



VNIVERSITAT
DE VALÈNCIA

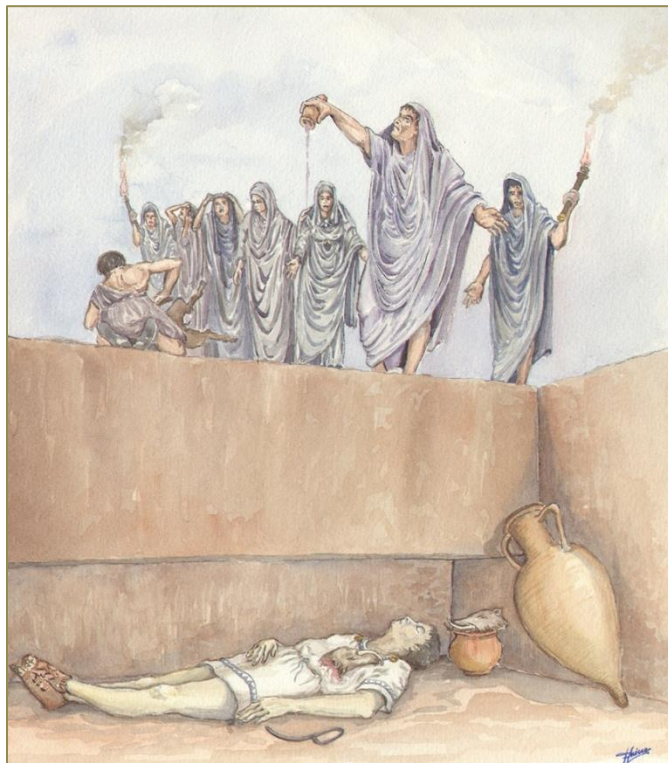
PROGRAMA DE DOCTORADO
PREHISTORIA I ARQUEOLOGIA DEL MEDITERRÀNEO
DEPARTAMENT DE PREHISTÒRIA I ARQUEOLOGIA
FACULTAT DE GEOGRAFIA I HISTÒRIA. UNIVERSITAT DE VALÈNCIA

TESIS DOCTORAL

LOS RITOS FUNERARIOS DE LA NECRÓPOLIS ROMANA

DE LA CALLE QUART DE VALENCIA

(SIGLOS II a.C-III d.C)



AUTORA

ELISA GARCÍA PRÓSPER

DIRIGIDA POR

Prof. Dr. JOSÉ LUIS JIMÉNEZ SALVADOR

Dr. PIERRE GUÉRIN

Valencia, 2015



VNIVERSITAT
DE VALÈNCIA

PROGRAMA DE DOCTORADO
PREHISTORIA I ARQUEOLOGIA DEL MEDITERRÀNEO

DEPARTAMENT DE PREHISTÒRIA I ARQUEOLOGIA
FACULTAT DE GEOGRAFIA I HISTÒRIA
UNIVERSITAT DE VALÈNCIA

TESIS DOCTORAL

**LOS RITOS FUNERARIOS DE LA NECRÓPOLIS
ROMANA DE LA CALLE QUART DE VALENCIA
(SIGLOS II a.C-III d.C)**

AUTORA

ELISA GARCÍA PRÓSPER

DIRIGIDA POR

Prof. Dr. JOSÉ LUIS JIMÉNEZ SALVADOR

Dr. PIERRE GUÉRIN

Valencia, 2015

A Manolo y Claudia

AGRADECIMIENTOS

Cuando me dispuse a redactar estas líneas de agradecimientos me vinieron a la mente muchas personas que a lo largo de mi carrera han mostrado su respeto a la vocación que practico, y mi contribución al mundo científico.

En primer lugar, quisiera agradecer a mis directores de tesis el apoyo y generosidad que han demostrado a lo largo de estos años. Al profesor y catedrático José Luis Jiménez Salvador, le agradezco la oportunidad de ser su doctoranda, la confianza y comprensión, sobre todo en los últimos momentos, que me ha mostrado y que son ejemplo de su gran generosidad. Al Doctor Pierre Guérin, quisiera agradecerle la oportunidad que me dio en su día de formar parte de su equipo, circunstancia que cambió mi vida como arqueóloga. Valoro inmensamente los consejos y enseñanzas que me ha transmitido a lo largo de los años convirtiéndose en un maestro para mí, además de un gran amigo.

Me siento honrada de contar en mi vida con buenas personas, algunas de las cuales compartimos aquellos años de excavación, y cuya amistad sigue intacta a pesar de los años transcurridos. Ellos son: Eduard Sánchis, Antonio Sáez, Mónica Martí, Herminia Piquer, Elsa Pacheco y Paloma Sánchez.

Expresar mi agradecimiento, cariño, y un recuerdo muy especial a Miguel Sáez fallecido en noviembre de 2014. Un gran compañero y mejor amigo, cuya humanidad fue un precioso regalo para todos aquellos que compartimos momentos de la vida con él.

No quisiera olvidarme de otros miembros del equipo como Manuel Ramírez, Antonio Villanueva, Rosa Alcaide, Carmina Ballester, Beatriz Arnau y Guillermo Pascual,

A todos los estudiantes que tuvieron ocasión de participar en la excavación de esta necrópolis, y cuya presencia nos llenó de entusiasmo al equipo de profesionales que en ella estábamos trabajando. Fue un placer contribuir en tantas vocaciones, y desde estas líneas quisiera expresar mi personal y sincero reconocimiento.

Quisiera agradecer de forma especial la importante contribución de Sonia de Haro, M^a Sagrario Carrasco Porras y Pilar Iborra, encargadas de realizar los estudios interdisciplinares en materia de Antracología, Malacofauna y Zooarqueología,

A los colegas de profesión Rafa Martínez Porral, Celia Guillem y Marisa Serrano, por su generosidad en facilitarme datos relativos a sus excavaciones arqueológicas. A Amparo Santaclara e Isabel Martínez por la labor desempeñada en la restauración y protección de algunos materiales de la necrópolis.

A mis amigos y compañeros Aquilino Gallego y Rosa Albiach por su incondicional apoyo a lo largo de mi carrera, especialmente por los momentos vividos con *Villa Cornelivs*.

A Helena Ruiz, por su amistad y su gran ayuda en la colaboración y revisión de la parte gráfica de este trabajo.

A toda mi familia por la confianza y apoyo que han demostrado a lo largo de estos años. Especialmente a mis padres por la oportunidad que me brindaron al educarme en valores de igualdad, autonomía y confianza, además de darme la oportunidad de ser una de las primeras mujeres universitarias de nuestra familia.

Mención especial a las dos personas más importantes de mi vida: mi hija Claudia, que a través de sus ojos sinceros me dice te quiero todos los días de su vida. Y a Manolo, a quien quiero con toda mi alma, y que sólo él sabe lo que ha supuesto esta etapa que ahora cierro.

PARTE I

PREÁMBULO	1
1. INTRODUCCIÓN	4
1.1 <i>Funus Valentiae</i>. El mundo funerario de <i>Valentia</i> en época romana	6
1.1.1 Evolución del ritual funerario en <i>Valentia</i>	19
1.2 La necrópolis romana de la calle Quart. Descubrimiento y campañas de excavación	26
2. JUSTIFICACIÓN Y OBJETIVOS DEL TRABAJO	29
3. MATERIAL Y METODOLOGÍA	31
3.1 Material	31
3.2 Metodología de campo	32
3.2.1 Aspectos arqueológicos de campo	34
3.3 Bases metodológicas	40
3.3.1 Inventario y catalogación de ajuares funerarios	41
3.3.2 Base de datos integrada (contenidos)	42
3.3.3 Protocolos metodológicos	47

PARTE II

4.- LOS RITUALES FUNERARIOS ROMANOS	57
4.1. <i>Funus romanum</i>	59
4.1.1 Ritos funerarios previos a las exequias	60
4.1.2 El funeral.	62
4.1.3 Ritos para las exequias.	70
4.1.4 Otros funerales	71
4.2. Disposiciones jurídicas y testamentarias	73

PARTE III

5.- RESULTADOS. CATÁLOGO DE TUMBAS Y ESTRUCTURAS FUNERARIAS	77
5.1. Estratigrafía y topografía funeraria	77
5.2 Estructura del catálogo	82
5.3 Periodo republicano (Ss. II-I a.C)	83
5.3.1. Fase Republicana (último tercio siglo II a.C.): Tumbas de inhumación, tumbas de cremación y estructuras funerarias	83
5.3.2. Fase Republicana (siglo I a.C.): Tumbas de inhumación, tumbas de cremación y estructuras funerarias	195
5.3.3 Láminas del periodo republicano. Siglos II-I a.C.	235
5.4 Periodo imperial (Ss. I-III d.C)	273
5.4.1. Fase Imperial (siglo I d.C.): Tumbas de inhumación, Tumbas de cremación, Estructuras funerarias	273
5.4.2. Fase Imperial (siglo II d. C.): Tumbas de inhumación, Tumbas de cremación, Estructuras funerarias	360
5.4.3. Fase Imperial (siglos II-III d. C.): Tumbas de inhumación, Tumbas de cremación, Estructuras funerarias	408
5.4.4 Láminas del periodo imperial. Siglos I-III d.C.	455
6. DISCUSIÓN	
6.1 Algunos aspectos tafonómicos	475
6.2 Tipos de sepultura	477
6.3 Periodo republicano	483
6.3.1 Fase Republicana (último tercio siglo II a.C.)	483
6.3.1.1 Tumbas de inhumación y gestos funerarios	485
6.3.1.1.1 Fosas simples , tipo (A)	485
A) Gestos funerarios. Determinación de la Edad	486
B) Determinación sexual	486
C) Deposición y posición del deceso en la tumba	488
D) Evidencias de amortajamiento	490
E) Descomposición del cuerpo	491

F) Las ofrendas	492
F.1) Los metales	495
F.2) Las monedas	495
G) Gestos funerarios en enterramientos infantiles	496
6.3.1.1.2 Fosas simples, tipo (B)	497
6.3.1.1.3 Fosa común (<i>puticulus</i>) tipo (C)	500
6.3.1.1.4 Fosa Doble, tipo (D)	502
6.3.1.1.5 Tumba construida con adobes , tipo (E)	504
6.3.1.1.6 Reutilización de un <i>Ustrinum</i> , tipo (F)	505
6.3.1.1.7 Las tumbas de cámara, tipo (G)	506
6.3.1.2 Tumbas de cremación y gestos funerarios	520
6.3.1.2.1 Cremaciones primarias (<i>busta</i>) (J)	523
A) Aspectos antropológicos de los <i>busta</i>	526
6.3.1.2.2 Cremaciones secundarias (<i>loculi</i>) (K)	527
6.3.1.2.3. Aspectos antracológicos de las cremaciones	530
6.3.1.2.4 El <i>ustrinum</i>	530
6.3.2 Fase Republicana (Siglo I a.C.)	532
6.3.2.1 Tumbas de inhumación y gestos funerarios	534
6.3.2.1.1 Fosas simples individuales (A)	534
A) Gestos Funerarios.	534
B) Aspectos antropológicos y paleopatológicos	535
6.3.2.2 Tumbas de cremación y gestos funerarios	536
6.3.2.2.1 Cremaciones primarias (<i>busta</i>) (J)	536
6.3.2.2.2 Cremaciones secundarias (<i>loculi</i>) (K)	539
A) Las cremaciones con urnas	539
B) Las cremaciones sin urna	540
C) Cremaciones ibéricas <i>versus</i> cremaciones romanas	543
D) La fauna de las cremaciones	548
6.3.2.2.3 Los <i>ustrina</i>	548

6.3.3 Otras estructuras funerarias fase Republicana (siglos II-I a.C)	552
6.3.3.1 Cenotafios	552
6.3.3.2 Zanja votiva	552
6.3.3.3 La calzada	553
6.4 Periodo imperial	555
6.4.1 La necrópolis en época Imperial (Ss. I-III d.C)	556
6.4.1.1 Tumbas de inhumación y gestos funerarios	560
A) Orientación	561
B) Gestos funerarios	562
C) Características funerarias por edad y sexo	563
D) Deposición y posición en la tumba	565
E) Posición de brazos y piernas	567
F) Evidencias de amortajamiento	568
G) Descomposición del cuerpo	570
H) Las ofrendas	571
I) Cerámica	577
J) Monedas	578
K) Fauna	581
L) Gestos funerarios en enterramientos infantiles	583
6.4.1.2. Tumbas de cremación y gestos funerarios	587
A) Las ofrendas	588
B) Aspectos antropológicos	590
C) Aspectos antracológicos	595
6.4.1.2.1 Los <i>Ustrina</i>	595
6.5 Otros aspectos rituales	599
6.5.1. Los enterramientos en decúbito prono y el caso de un posible esclavo.	599
A) Gestos funerarios	599
B) El caso de un posible esclavo	608
6.5.2. Los clavos como elemento ritual	610

6.6 El origen de los primeros pobladores de <i>Valentia</i>	617
6.6.1 Apuntes historiográficos y epigráficos sobre la fundación de la ciudad	617
6.6.2 Los ritos funerarios de los primeros pobladores de <i>Valentia</i>	621
6.6.3 El análisis de isótopos del estroncio ($^{87}\text{sr}/^{86}\text{sr}$) para la determinación de la movilidad en poblaciones históricas	626
7. CONCLUSIONES	633
8. BIBLIOGRAFÍA	639
9. LISTADO DE FIGURAS, TABLAS Y LÁMINAS	659
10. ANEXOS	
10.1 Los restos faunísticos recuperados en la necrópolis calle Quart Ss. II a.C.-III d.C. Pilar Iborra Eres. ICV+R Culturarts Generalitat	667
10.2 Análisis antracológico necrópolis de la calle Quart (Valencia). Sonia de Haro. Universitat de València	685
10.3 Estudio preliminar del conjunto numismático de la necrópolis romana de la calle Quart. Antonio Sáez Landete. Arqueólogo	697

PARTE I

*“No conozco la clave del éxito,
pero sé que la clave del fracaso es tratar de complacer a todo el mundo”
Woody Allen*

PREÁMBULO

Cuando estábamos concluyendo las partes de discusión de esta tesis¹ y repasando aquellas más generales, nos dimos cuenta que era importante hacer un preámbulo que pusiera de manifiesto que este trabajo tiene su origen en la excavación de dos solares en pleno centro de la ciudad, y que fueron realizadas con carácter de urgencia. Bajo nuestro punto de vista, es imposible separar el trabajo científico de aquel estrechamente ligado con la excavación arqueológica, y por tanto, es importante conocer cuáles fueron las condiciones del trabajo a finales de los años noventa, y la forma en que se implementó el trabajo de campo en el ámbito científico de la Arqueología de la Muerte.

La necrópolis romana de la calle Quart, hasta la fecha la más antigua de Valencia, es el primer ejemplo de Arqueología Funeraria urbana de la ciudad, cuyos niveles primigenios coinciden con la fundación de época romano republicana.

La Arqueología funeraria también llamada Arqueología de la Muerte, es un movimiento que desde los años setenta² surgió como campo de interés disciplinar en el transcurso de las transformaciones metodológicas y teóricas que conmovieron la práctica de la arqueología hasta la actualidad³. El documento funerario tiene una doble naturaleza: en

¹ Esta tesis supone la continuación del trabajo de investigación del tercer ciclo (DEA) “*Los ritos funerarios de los primeros pobladores de Valentia. Siglos II-I a.C*” Inscrito en el programa 296 D Prehistoria y Arqueología en el área mediterránea. Defendido en el año 2002 en primera convocatoria y con la calificación de sobresaliente. La presente tesis doctoral se integra en el Proyecto global de investigación sobre “Los Primeros pobladores de Valencia” que desde hace años viene desarrollando Grupo Paleolab.

² La Arqueología de la Muerte inicia su desarrollo en los años setenta principalmente con L.R Binford (1972) de formación antropológica concibe las prácticas funerarias como reflejo de la organización y estructura social. En los ochenta la publicación de *The Archaeology of death* editada por R.Chapman, I. Kynnes y K.Randsborg presenta un estado de la cuestión sobre las prácticas funerarias. Bajo nuestro punto de vista la mejor recensión historiográfica sobre la “Arqueología de la Muerte” es el trabajo de Teresa Chapa, que presentó en el Curso de Verano Fons Mellaria en 1990 (Chapa, 1991).

³ A nivel Peninsular han sido varias las reuniones científicas, congresos y seminarios celebrados que han puesto en relieve los numerosos estudios llevados a cabo en el ámbito de la Arqueología Funeraria, son muchos los eventos con esta temática por lo que citamos algunos como ejemplo de referencia: En 1985 el Colloque de Caen. Université de Caen (1985) “La mort les morts et l’au-delà”. En 1987, el Congreso Internacional de Toulouse-Montréjeau “Incinérations et Inhumations dans L’Occident Roman aux trois premiers siècles de notre Ère. Año 1991, Seminario *Fons Mellaria* “Arqueología de la Muerte: metodología y perspectivas actuales” Univesidad de Córdoba. Año 1992, celebrado en Sagunto (Valencia), sobre “Necrópolis y Arqueología de la Muerte en época romana”.Año 1994, “Arqueoloxía da morte. Arqueloloxía da morte na Península Ibérica desde as Orixes o Medioevo, Universidad de Vigo. Año 2000, Seminario organizado en la Universidad Internacional Menéndez Pelayo de Valencia “Arqueología funeraria romana. Una aproximación interdisciplinar”. Año 2001. Congreso Internacional organizado en el Seminario de Arqueología de la Universidad de Córdoba “Espacio y usos funerarios en el Occidente Romano”. Año 2010 destaca la celebración del Congreso sobre “Nuevas tendencias de investigación en Arqueología Funeraria”. Quisiéramos señalar la información continuada que aportan bianualmente los congresos organizados desde hace más de veinte años por la Sociedad Española de Paleopatología (SEPA) <http://uam.es/paleopatologia>, y la innegable difusión que desde la Arqueología de la Muerte ofrecen los congresos de la Sociedad Española de Antropología física (SEAF) <http://www.seaf.net/>

cuanto al producto material, y los datos paleoantropológicos y paleopatológicos como base para inferencias demográficas. Es una disciplina que se nutre de numerosas ciencias auxiliares sin las cuales la interpretación de los datos compilados durante la excavación sería parcial e incompleta. Contar en una excavación con profesionales de la Arqueología funeraria es aportar grandes lecturas a un trabajo cada vez más interdisciplinar. Los gestos funerarios, su documentación e interpretación son fundamentales a la hora de abordar el estudio de una necrópolis, y parten, según nuestra opinión, de fundamentos académicos propios del campo de la Arqueología. En cambio, para el estudio de las enfermedades, pseudopatologías o posibles causas de la muerte, es preciso obtener la formación necesaria y /o contar con facultativos especializados que corrijan y certifiquen nuestros trabajos. La Paleopatología como bien dice el Dr. Campillo *es una especialidad histórico-médica* (Campillo, 1997a) que necesita de diagnósticos diferenciales proporcionados por la experiencia clínica y las numerosas pruebas complementarias. El arqueólogo, como investigador ajeno a la medicina, en ocasiones infiere en el ámbito médico de la Paleopatología sin tener la capacitación suficiente incurriendo en errores fundamentales. La transversalidad de la ciencia arqueológica requiere cada vez de más especialistas. Ésta y otras ciencias auxilian a la Arqueología en su importante y delicada tarea de hacer lecturas del registro en el marco de la Arqueología de la Muerte o Arqueología Funeraria.

En el caso del desarrollo y ejecución de la arqueología urbana de Valencia, no siempre se ha contado con las facilidades que aportan las ciencias auxiliares de la Arqueología. Es más, no se ha contado de forma habitual con estas ciencias condicionando enormemente los resultados científicos posteriores.

Desde inicios de los años ochenta, y con motivo de la reurbanización y restauración de los barrios históricos de la ciudad⁴ se produjeron numerosas excavaciones de solares que demandaban arqueólogos directores y técnicos. Estos trabajos fueron desarrollados por numerosos arqueólogos, algunos recién licenciados en Prehistoria y Arqueología de la Universitat de València y de otras de ámbito nacional e internacional. El Servicio de Investigación Arqueológica Municipal (SIAM) del Ayuntamiento de Valencia, era el organismo encargado de organizar equipos y supervisar estas excavaciones, así como de suministrar al arqueólogo los protocolos necesarios para el desempeño de sus funciones. Destacaba la importante formación que tenían estos arqueólogos en materia de metodología de excavación, siendo pioneros en el uso de la nueva metodología encabezada por el "Método crono-estratigráfico Harris", así como en el estudio de materiales, sobre todo de cerámica de época romana e islámica.

El lado menos positivo de esta situación, lo encabeza la Arqueología de la Muerte y las metodologías propias de esta disciplina arqueológica. La insuficiente especialización y

formación de los arqueólogos directores que tenían que enfrentarse a una necrópolis, condicionaron enormemente la lectura e interpretación del registro funerario. En su mayoría, estos profesionales estaban poco interesados en la cuestión de los “muertos” dejando toda esta responsabilidad a “antropólogos” sin acreditación universitaria, ni especialización homologada, o bien dejando las tareas antropológicas de campo en manos de estudiantes y/o recién licenciados con mucho interés tal y como fue el caso de esta doctoranda. Además los protocolos de documentación de campo eran insuficientes sin un método de documentación, estudio previo y conservación de los materiales antropológicos *a posteriori*. La labor del laboratorio de Antropología Forense y Paleopatología de la Facultad de Medicina de la Universitat de València, dirigido por el Catedrático José Delfín Villalaín y su equipo de médicos y antropólogos forenses, supuso un auténtico balón de oxígeno para todos aquellos arqueólogos necesitados de formación tanto de campo como de laboratorio. Los cursos que organizaron *ex profeso* para arqueólogos, a lo largo de la década de los 90 hasta inicios de la década del 2000, fueron fundamentales para poder conocer metodologías a implementar en el ejercicio de nuestro trabajo.

En este contexto y a partir del año 1998 con la aprobación de la Ley del Patrimonio Cultural Valenciano⁵, la situación no fue mejor. En estos momentos, además de la escasez de formación, se unía la negociación que debía hacer el arqueólogo director directamente con el promotor, con el que tenía que pactar la inclusión de especialistas en los equipos de excavación. Esta era la situación de la mayoría de las intervenciones en la ciudad de Valencia, salvo en casos excepcionales.

Con el transcurrir de la primera década del nuevo milenio, desde el Servicio de Patrimonio Arqueológico de la Consellería de Cultura se ha ido exigiendo la inclusión de estudios antropológicos en las memorias científicas de las excavaciones de urgencia, pero no ha sido como resultado de la redacción de un Reglamento al que se deban todas las intervenciones, sino más bien dependiendo del interés de los técnicos que expiden los permisos de excavación.

En estas circunstancias condicionaron los trabajos de la excavación de la necrópolis romana de la calle Quart (1996-2000), que se organizó de forma diferente suponiendo una excepción en el planteamiento de las intervenciones de necrópolis y cuya modelo fue implementado en las futuras intervenciones. El objetivo era, que además de finalizar el trabajo en fecha y cumplir con el promotor, se debía procurar hacer un registro impecable a pesar de las muchas dificultades y la total ausencia de medios. El doctor Pierre Guérin, director de las campañas, se preocupó de organizar un equipo de

⁴ Plan general de ordenación urbana (P.G.O.U, 1983, 1988 y ss.).

⁵ Ley 4/1998 del 11 de junio del Patrimonio Cultural Valenciano; Ley 7/2004, de 19 de octubre, de la Generalitat, de Modificación de la Ley 4/1998, Ley 5/2007, de 9 de febrero, de la Generalitat, de modificación de la Ley 4/1998, de 11 de junio, del Patrimonio Cultural. La tercera modificación LEY 10/2012, de 21 de diciembre, de Medidas Fiscales, de Gestión Administrativa y Financiera, y de Organización de la Generalitat.

profesionales que tuvieran al menos formación y/o experiencia en arqueología urbana y funeraria. Nos motivó y valoró con el fin de considerar el trabajo desempeñado como algo muy importante y poco común en el mundo de la arqueología urbana valenciana. Nos inculcó la idea de que la excavación era un campo de trabajo científico de primer nivel, cuyos resultados iban a ser decisivos para el estudio del origen de la ciudad. Con esa motivación trabajamos durante varias campañas y a pesar de los muchos problemas que desde entonces tuvimos, sabíamos y valorábamos el “tesoro arqueológico” que teníamos entre manos. Para llegar a cumplir con los plazos se pudo contar con la participación de estudiantes de la Licenciatura de Historia y del Máster de Arqueología, muchos de ellos hoy en día grandes arqueólogos. Cerca de un centenar de alumnos universitarios nacionales, extranjeros y algún que otro voluntario, tuvieron la oportunidad de poder participar en todas las fases de la excavación, así como rellenar fichas de registro o hacer fotografías. En definitiva, esta necrópolis supuso un centro formativo en el corazón arqueológico de la ciudad.

Personalmente fue gran privilegio formar parte de este equipo. Día a día el trabajo que allí se desempeñaba fue ahondando en nuestra vocación y supuso el germen de motivación para desarrollar el tema de esta tesis. Ha sido una oportunidad tanto a nivel profesional como humano.

"Es mucho más hermoso iluminar que simplemente brillar; de la misma manera es más hermoso transmitir a los demás lo que se ha contemplado que sólo contemplar"

Tomás de Aquino

1. INTRODUCCIÓN

La colonia de *Valentia* fue una de las más precoces fundaciones romanas en la Península Ibérica, al igual que las fundaciones de *Italica* (206 a.C.), *Gracchurris* (179), *Corduba* (169/168 o 152/151), *Carteia* (171) (Pena, 1984; García-Prósper, 2002; Ribera, 2009).

La bien conocida cita de Tito Livio, o mejor dicho su refundidor, (Periocha LV, 35) "*Iunius Brutus cos, in Hispania is quid sub viriatho militaverant agros et oppidum dedit, quod vocatum est Valentia*", hace referencia a un hecho histórico que la arqueología de la ciudad no ha hecho más que confirmar a lo largo de los años. La fundación romana de *Valentia* aconteció en el año 138 a.C. por el cónsul Junio Bruto, que encabezó una expedición de militares licenciados, fundando la colonia en una isla del Turia, no lejos del litoral, probablemente en el lugar donde la Vía *Heraklea* vadeaba el río.

La investigación arqueológica y geomorfológica han confirmado estos hechos tanto en sus vertientes topográficas como históricas. Aportan sin embargo otros datos de interés para la comprensión del proceso colonial, revelando por una parte el carácter *ex novo* de la fundación romana, que se va concretando tras las nuevas excavaciones y hallazgos arqueológicos. El aislamiento inicial del primigenio asentamiento de *Valentia* y la condición foránea de sus primeros moradores otorga a la cultura material de estos momentos iniciales un carácter genuino muy llamativo, y en ruptura con todos los procesos locales anteriores.

Las novedades arqueológicas, en concreto la información que da una reciente excavación, está aportando nuevos datos que enriquecen este panorama histórico en torno a la fundación de la ciudad. Los trabajos llevados a cabo en el año 2008 en un gran solar de la calle Ruaya, al norte de la ciudad y a unos cientos de metros del casco histórico, ofrecen una nueva perspectiva para los momentos iniciales de la ciudad. Los primeros resultados, apenas publicados en unos artículos periodísticos, hacen referencia al hallazgo de cerámica griega, dos monedas del siglo III a.C, junto a otros hallazgos,

como estructuras de caminos, pozos y balsas⁶, que si bien no ponen en cuestión la fundación romana de la ciudad, si aportan valiosa información sobre el entorno agrícola de la misma y ponen en evidencia la presencia humana en las tierras donde posteriormente se fundó la colonia romana. Consideramos que este descubrimiento tiene suficiente entidad como para ser debidamente estudiado e incluido en la secuencia cronológica y arqueológica de Valencia.

1.1 *Funus valentiae*. El mundo funerario de *Valentia* en época romana

Conocer el estado de la cuestión del mundo funerario en la Valencia de época romana, es el marco fundamental para situar la necrópolis objeto de nuestro trabajo como el origen y punto de partida de la evolución del *funus* de la ciudad. Para ello, no podemos obviar lo que ha supuesto la actividad arqueológica de la ciudad a lo largo de los años. Tal y como ya se ha hecho referencia en el preámbulo, el incremento de la construcción y los trabajos de rehabilitación del centro histórico promovido por planes de protección a partir de la década de los años ochenta, han favorecido en buena medida un incremento de los hallazgos arqueológicos relativos al mundo funerario.

Los inicios de la actividad arqueológica de la ciudad se remontan al siglo XVII con los hallazgos de la Basílica del Desemparats (Ribera, 1998), pero no fue hasta los años treinta con la actividad la *Secció d'Antropologia i Prehistoria del Centre de Cultura Valenciana* presidida por Nicolau Primitiu, cuando se publicaron los primeros hallazgos arqueológicos como resultado de intervenciones puntuales en el casco histórico (Primitiu, 1932). En el año 1947 con motivo de las obras de infraestructura en la Avenida del Oeste, actual Avda. Barón de Cárcer, surgieron enterramientos de época Imperial dándose a conocer el Cementerio de La Boatella. Estos hallazgos propiciaron la creación de la "Comisaría Local de Excavaciones Arqueológicas" bajo la dirección de D. José LLorca. Un año más tarde, en 1948 el Ayuntamiento estableció las primeras medidas de protección del patrimonio arqueológico con la creación del SIAM (Servicio de Investigación Arqueológico Municipal) suponiendo un punto de inflexión en la forma de trabajar en las nuevas excavaciones. En 1951 se aprobaron unas normas de protección que prohibían el uso de maquinaria en todo el centro histórico, obligando al vaciado de los solares a mano (Ribera, 1998).

Desde estas primeras actuaciones hasta la actualidad destacan dos momentos concernientes a la regulación de la actividad arqueológica. Uno en 1983 cuando se introdujo una normativa de protección arqueológica para el Centro Histórico de la ciudad, y otro posterior en 1988 con la redacción del P.G.O.U para todo el término municipal. En este marco legal, se delimitaron competencias entre el Ministerio de Cultura y la

⁶ Las noticias consultadas sobre este hallazgo son las publicadas en los medios de comunicación. El diario Levante El Mercantil Valenciano hizo eco de la noticia en varios artículos: 13 febrero 2008, 7 noviembre de 2012.

Consellería de Cultura que se encargaron de la tramitación de expedientes, supervisión y ejecución de los trabajos, así como la implementación de nuevas metodologías de excavación.

Este marco jurídico facilitó el desarrollo de nuevas y numerosas excavaciones siempre de carácter de urgencia que contribuyeron al estudio de la arqueología de la ciudad, teniendo como máximo referente los hallazgos de la plaza de l'Almoina, cuyas excavaciones iniciadas en el año 1985 hasta las primeras décadas del nuevo milenio, han dado lugar a un centro arqueológico en el entorno episcopal de la ciudad (Ribera, 1998, Jiménez y Ribera, 2002). De acuerdo con este panorama de superávit, las excavaciones relativas a las necrópolis romanas han sido igual de prolíferas. No hay más que consultar la hemeroteca local y los archivos de la Dirección General de Patrimonio para darnos cuenta de la cantidad de necrópolis excavadas y, en cambio, el escaso número de publicaciones. En el mejor de los casos se trata de artículos redactados por los directores de las intervenciones con resultados preliminares y en ocasiones con colaboraciones de algunos especialistas. La falta de medios que han tenido los equipos para investigar supone un hecho muy grave que con el tiempo se traduce en una esterilidad científica preocupante.

Para abordar este estado de la cuestión nos hemos visto con ciertas dificultades ante la escasez de publicaciones completas y actualizadas de algunas de estas intervenciones. Los hallazgos funerarios de la ciudad han aportado valiosa información que hemos tenido que recopilar casi *ex novo* porque desde la publicación del número especial de la Revista Saitabi, nº46 del año 1996, no ha habido ningún trabajo específico, y/o compilatorio que agrupe todas las intervenciones desde 1996 hasta la actualidad.

Consideramos que la Arqueología funeraria de esta ciudad hubiera requerido de mayor apoyo institucional para su difusión científica y divulgativa siendo éste el propósito final del arqueólogo, y el verdadero sentido de nuestra actividad profesional y científica. Bajo nuestro punto de vista esta importante actividad debiera haberse visto compensada con un trabajo postexcavación parejo a la labor de difusión y de equipo que durante muchos años se ha llevado a cabo desde la Gerencia Municipal de Urbanismo del Ayuntamiento de Córdoba, bajo la dirección de Desiderio Vaquerizo, catedrático de Arqueología de la Universidad de Córdoba.

El Funus Valentiae está formado por las necrópolis y los hallazgos funerarios de tipo urbano y periurbano⁷, y de carácter de urgencia en un marco cronológico muy concreto que se remonta desde el último cuarto del siglo II a.C hasta el Bajo Imperio y de carácter

⁷ Hacemos referencia a las necrópolis periurbanas a aquellos conjuntos funerarios alejados del *pomerium* y relacionados con establecimientos rurales. Las necrópolis urbanas, por consiguiente, son aquellas que si bien también estaban alejadas del núcleo urbano en época romana, eran los lugares destinados a los enterramientos de los habitantes de *Valentia*. De la misma forma, en este trabajo hacemos referencia a aquellas intervenciones con clara actividad funeraria, descartando excavaciones, inéditas, que no aportan suficiente información para este estudio.

eminentemente pagano. Los datos obtenidos de las excavaciones permiten hacer una extrapolación al conjunto general superando así la parcialidad que aporta la excavación de solares, que de alguna forma condiciona las interpretaciones finales solo subsanables con nuevas intervenciones que completen esta carta arqueológica.

La información que se apunta a continuación, se ha obtenido a partir de varios canales: por un lado, la consulta de fuentes bibliográficas de trabajos publicados, la consulta de la base de datos de yacimientos de la Dirección General de Patrimonio Cultural Valenciano, Consellería de Educación, Cultura y Deporte de la Generalitat Valenciana⁸ y la información obtenida gracias a la generosidad de compañeros y directores de excavaciones que nos han permitido consultar sus memorias científicas de excavación⁹.

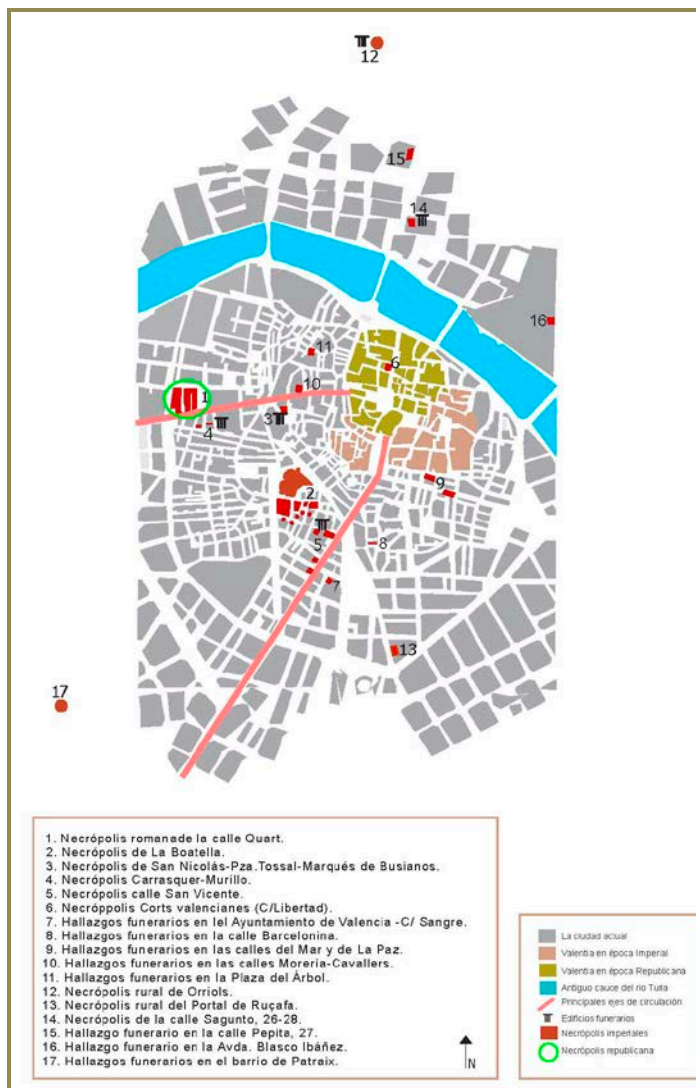


Figura 1.1. *Funus Valentiae*. Los hallazgos funerarios de la Valencia romana.

⁸ La página consultada es: <http://www.cult.gva.es/dgpa/yacimientos/yacimientosArq.html>. La última consulta se hizo el día 4 de marzo de 2014.

⁹ Quisiéramos reiterar nuestro agradecimiento a los arqueólogos y arqueólogas Rafael Martínez, Eduard Sanchis, Aquilino Gallego, M^a Luisa Serrano, Rosa Albiach y Celia Guillén el apoyo y ayuda aportados para la recopilación de la información.

Desde el punto de vista de vista de las necrópolis urbanas cabe hacer la distinción entre varias zonas de concentración de necrópolis y hallazgos funerarios (Figura 1.1). Topográficamente se puede hablar de las necrópolis al norte de las calles Quart-Cavallers que son el fósil del *decumanus maximus* de la ciudad donde se encuentran las necrópolis: Quart, Morería-Cavallers y Pza. Arbol. Al sur de este eje viario estarían los hallazgos funerarios en las calles Carrasquer-Morería, y la necrópolis de San Nicolás-Pza Tossal y Marqués de Busianos.

El otro eje de concentración sería la actual calle San Vicente, posiblemente el fósil por este lado de la ciudad de la *Via Augusta*. En esta zona están las necrópolis de la calle San Vicente, un poco más al norte la Boatella y al este de la vía los hallazgos de Ajuntament, Calle Barcelonina.

Las necrópolis de carácter rural o periurbano también se encuentran al Norte y Sur de la ciudad. Las que están al norte son las de Orriols, calle Sagunto, calle Pepita, y en la Avda Blasco Ibáñez. Al sur de la ciudad estarían las necrópolis de Portal de Ruçafa y en el barrio de Patraix a tenor de unos hallazgos epigráficos a falta de una excavación que confirme y complete esta información.

De este catálogo quedan fuera las necrópolis episcopales de la Plaza de la Almoina, la necrópolis de la antigua cárcel de San Vicente Mártir y Sant Vicent de la Roqueta ya que el ritual practicado corresponde a enterramientos del espacio martirial en torno a la figura del Santo Vicente y de época visigoda.

Este recorrido a través de los resultados arqueológicos funerarios se ha abordado haciendo un breve catálogo que referencia con una sencilla explicación de cada hallazgo, historial de campañas, situación, extensión y principales hallazgos. Hemos considerado oportuno comenzar por las necrópolis urbanas y por la más antigua.

Tabla1.1. Relación de las necrópolis de época romana de *Valentia*.

NECRÓPOLIS VALENTIA S. II A.C-VI d.C	CRONOLOGÍA
NECRÓPOLIS URBANAS	
1. Necrópolis romana de la Calle Quart (Misericordia, Quart-Cañete)	Ss. II a.C-IV d.C
2. Necrópolis de La Boatella	Ss.II d.C–VI d.C
3. Necrópolis de San Nicolás–Plaza del Tossal	Ss. I/ II-IV d.C
4. Necrópolis Carrasquer-Murillo	Ss I-II d.C
5. Necrópolis Calle San Vicente	Ss. I-IV d. C.
6. Necrópolis Corts Valencianes (c/Libertad)	Romano Imperial
7. Hallazgos funerarios plaza del Ayuntamiento-C/Sangre	Siglo II d.C.
8. Hallazgos funerarios calle Barcelonina	Ss.II-IV d.C
9. Hallazgos funerarios calles Mar y de la Paz	Ss. II-IV d.C/ Ss.V-VI d.C
10. Hallazgos funerarios calle Morería-Cavallers	Siglo II d.C.
11. Hallazgos funerarios plaza del Árbol	S. I d.C
NECRÓPOLIS PERIURBANAS (rurales)	
12. Necrópolis rural Orriols	S.II-IV d.C.
13. Necrópolis calle Portal Ruzafa	S. I-III d.C.
14. Necrópolis calle Sagunto, nº 26-28	S.I-III d.C.
15. Necrópolis romana de la calle Pepita, nº 27,29	Siglo I a.C-II d.C.
16. Hallazgos funerarios en la Avda. Blasco Ibáñez	Siglo II d.C.
17. Hallazgos funerarios en Patraix	Siglos I-II d.C.

NECRÓPOLIS URBANAS

1. NECRÓPOLIS DE LA CALLE QUART (Virgen de la Misericordia-Quart y Cañete)¹⁰

Esta necrópolis, también denominada Necrópolis Occidental de Valencia, se excavó en dos solares bien diferenciados: Uno en la calle Virgen de La Misericordia con un área de 280 m² y otro más extenso, de 500m² junto a la calle Quart, esquina con la calle Cañete.

Los directores de la excavación de la Calle Virgen de la Misericordia fueron Miquel Rosselló Mesquida y Enrique Ruiz Val. Entre los 1992 y 1993 se excavaron un total de 103 inhumaciones y 5 cremaciones con un marco cronológico que desde el siglo I a.C, hasta el III-IV d.C,

Los responsables de las intervenciones en los solares de las calles Quart-Cañete fueron Pierre Guèrin, Beatriz Arnau Davó y Elisa García-Prósper. El solar ubicado entre las calles Quart y Cañete aporta información en torno a un total de (267) estructuras funerarias entre las que se encuentran un total de (248) tumbas entre las cuales (179) son enterramientos de inhumación y (69) cremaciones. Además de otras estructuras

¹⁰ Las referencias bibliográficas relativas a los diferentes trabajos preliminares que se han realizado sobre esta necrópolis:

eminentemente funerarias como *ustrina*, cenotafios, una zanja votiva e infraestructuras de la necrópolis como calzadas y un canal de desagüe de uso funerario. Con un amplio arco cronológico que va desde el último tercio del siglo II a.C hasta el siglo III d.C momento de los últimos enterramientos.

Los rituales practicados en ambos solares fueron el inhumatorio y crematorio. El ajuar no estaba presente en todas las tumbas y en las más antiguas estaba compuesto por cerámica de época romana e ibérica, *strigiles*, panoplia guerrera, fauna y malacofauna.

El periodo imperial sigue la dualidad del ritual, simplificándose las tumbas de inhumación con una mayor parte de fosas simples, y otras más escasas con el empleo de algún material edilicio como las *tegulae*. Aunque en menor medida, se sigue constatando la presencia del ajuar funerario compuesto por cerámica, vidrio, objetos de metal, numismática y fauna.

2.- NECRÓPOLIS DE LA BOATELLA

En páginas anteriores ya se ha mencionado que la primera intervención que se hizo en Valencia de una necrópolis romana fue en 1945 con el descubrimiento de la necrópolis de la Boatella¹¹. Esta necrópolis es muy extensa ya que abarca varias manzanas de viviendas en la zona meridional del centro histórico de la ciudad (Mercado Central, Avda. de Barón de Cárcer, En Gil, Calabazas, Linterna, Mallorquins, Polul, Mola, Reixes, Plaza de la Merced, Músico Peydró). La cronología, también extensa ya que abarca desde el S.II d.C hasta el siglo VI d.C.

Las numerosas intervenciones fueron dirigidas en unos primeros años por D. José Llorca y D. Nicolau Primitiu. Desde la década de los años 90 la dirección facultativa estuvo en manos de Rosa Albiach Descals, Isabel García, Eduard Sánchis Zarzo, Elisa García-Prósper, Carmina Ballester, y las últimas intervenciones dirigidas por la arqueóloga Agustina Herreros.

Los resultados de la campaña de 1945 fueron el hallazgo de 155 inhumaciones. Durante la campaña de 1995 se excavaron 7 inhumaciones. Los resultados de la campaña de 1997: 13 inhumaciones y por último, los trabajos de excavación llevados a cabo entre los años 2006-2007 dieron como resultado 106 tumbas.

El ritual funerario practicado es inhumatorio con un variada tipología de enterramiento: tumbas de fosa simple con cubierta de *tegulae* plana o bien a doble vertiente, cistas con cubierta de *tegulae* plana o a doble vertiente, tumba con estructura de *opus signinum* y *opus caementicium*, tumba de sillares, tumbas de muretes de ladrillo trabados con

¹¹ Las principales referencias bibliográficas sobre el hallazgo (Llorca, 1946; Ballester, 1946; Ballesteros, 1947; Senent, 1947; Aranda, 1948; Cueves, 1948; Ares, 1948; Mateu, 1949; González Martí, 1952; Roda, 1955; Fletcher, 1955; Soler, 1961; Tarradell, 1962; Pereira, 1979; Ribera, 1983; Ribera y Soriano, 1987; Soriano, 1989; Albiach y Soriano, 1996; García-Prósper y Sáez Landete, 1999; García-Prósper, 2001; Cebrián y Herreros, 2008; Gallelo, 2008).

mortero de cal y gravas, tumbas de sarcófago de piedra con la cubierta a dos aguas, tumbas infantiles tipo *enchytrismos* (en ánfora). Con un ajuar no muy abundante pero caracterizado por ofrendas de cerámica, vidrio, objetos de metal, fauna, óbolo a Caronte.

Entre otros hallazgos de interés destacan los soportes epigráficos como aras funerarias y placas con epigrafía latina. (*CIL* II, 14: 40, 61, 66 y 74)¹² con dataciones entre el siglo II y el IV d.C, además del hallazgo de un mosaico sepulcral datado en el siglo V d.C.

3.- NECRÓPOLIS DE SAN NICOLÁS-PLAZA DEL TOSSAL

El conjunto funerario formado por el nuevo cementerio de San Nicolás, Plaza del Tossal es un extenso conjunto funerario que ocupa Plaza del Marqués de Busianos, Calles de Quart, Carrasquer, Murillo, Abadía de San Nicolás¹³.

El hallazgo en los últimos años de numerosos enterramientos de época alto imperial al sur de la calle Quart, ha motivado la consideración de estos hallazgos como pertenecientes a un mismo conjunto funerario. La distribución topográfica de los mismos ayuda a interpretar que esta zona fue dedicada al enterramiento desde finales del siglo I hasta el III-IV d.C.

Cabe señalar la presencia de tumbas simples con cubierta de *tegulae*, y el hallazgo de un monumento funerario en la Plaza del Marqués de Busianos¹⁴, y otros cimientos de *opus caementicium* hallados en solares de las calles Carrasquer y Murillo, confirman esta hipótesis.

Las diferentes intervenciones estuvieron dirigidas por los arqueólogos Marisa Serrano, Enrique Ruiz Val, Javier Máñez, Dolores Ortega, Juan Salazar, Carmina Ballester y Carmen Marín.

Según sus excavadores, el ritual funerario practicado es también dual crematorio/inhumatorio, éste último con una tipología de enterramiento simple y con empleo de cubierta de *tegulae*. Destaca un monumento funerario en la plaza Marqués de Busianos y estructuras relacionadas con otros monumentos en solares de las calles Carrasquer y Murillo.

El ajuar funerario estaba compuesto por ofrendas de cerámica, vidrio, hueso trabajado (*acus crinalis*), objetos de adorno como cuentas collar, objetos metal (címbalos cobre), fauna (destacando la presencia del hallazgo de dos caparazones de tortuga).

¹² La Inscripción (*CIL* II, 14:40) está datada en 71 d.C - 130 d.C.; la inscripción (*CIL* II, 14: 61) está datada en el 101 d.C - 300 d.C.; la inscripción (*CIL* II, 14: 66) está datada en el 101 d.C - 200 d.C y por último, la inscripción (*CIL* II, 14:74) en el 151-250 d.C. Fuente: Epigraphische datenbank Heidelberg <http://edh-www.adw.uni-heidelberg.de/home> última visita el 12/02/2015 citado en (Pereira Menaut, 1979).

¹³ Las publicaciones en torno a esta importante área funeraria son las citas que de ella hacen Soriano, 1996 y Arnau, García, Ruiz, Serrano, 2003 a y b.

¹⁴ Esta primera interpretación ha dado lugar a discusión (Jiménez y Ribera, 2005; Machancoses, 2015).

4.- NECRÓPOLIS CARRASQUER-MURILLO

En la calle Carrasquer, al sur de la calle Quart se excavaron nueve inhumaciones correspondientes a diez individuos de cronología Bajo Imperial (siglos I-II d.C.) y según sus excavadores atribuibles por su proximidad a la necrópolis de la calle Quart¹⁵.

Todas y cada una de las sepulturas eran individuales, excavadas en niveles naturales, algunas con cubierta de *tegulae*.

Asociado a este episodio de enterramiento se documentaron los restos de una estructura de planta rectangular de posible uso funerario.

5.-NECRÓPOLIS DE LA CALLE SAN VICENTE

La calle San Vicente es una de las principales vías de la ciudad y la prolongación por el sur de la vía Augusta¹⁶. Esta necrópolis se empezó a conocer en los años 90 a partir de unas obras de construcción en varios solares. Fue una novedad ya que era una zona de la ciudad poco excavada. Las intervenciones arqueológicas de los solares en varios solares de la calle San Vicente (nº4, nº26-32, nº54 y nº76), han aportado valiosa información al respecto, conformando un espacio funerario que por su disposición junto a la prolongación del cardo le otorga entidad de necrópolis junto a la vía.

Esta necrópolis ocupa las calles San Vicente Mártir, En Sanz, Grabador Selma, Mesón de Teruel, calle del Abate y su cronología de época imperial abarca desde el siglo I d.C., hasta los siglos III-IV d. C.

Los directores de las diferentes intervenciones en los puntos arriba mencionados fueron Vicent Escrivà, Carmen Marín, José Manuel Melchor, Josep Benedito y Elisa García Prósper.

El ritual funerario practicado es dual crematorio/inhumatorio. Con respecto al primero se constataron vestigios referentes a un *ustrinum*, *loculi* y *busta*. Y las inhumaciones se caracterizaban por fosas simples, con cubierta de *tegulae*, con cubierta de adobes (2 casos en la excavación de San Vicente-Mesón de Teruel) y en ánfora (*Pythos*). El ajuar hallado estaba compuesto por cerámica, una *crepundia*¹⁷, cuentas de collar, objetos de vidrio, lucerna, moneda, restos escultóricos.

Las inscripciones funerarias halladas en las diferentes excavaciones a lo largo de este tramo de la *Via Augusta* suman un total de 15 y de dos Inscripciones funerarias (CIL II, 14: 28 y 73) datadas entre los siglos I-III d.C. A estos hallazgos puede unirse los restos

¹⁵ Agradecemos a la arqueóloga Dolores Ortega su generosidad al facilitarnos la memoria de excavaciones.

¹⁶ Ribera, 1996; García-Prósper *et al.*, 2005; Benedito, Melchor, y Seguí, 2007; Seguí, *et al.*, 2000.

¹⁷ Hallada en un enterramiento infantil de inhumación procedente de la excavación San Vicente, esquina Mesón de Teruel. (García-Prósper, *et al.*, 2005).

de cimentación de un edificio de carácter funerario del siglo II d.C. en la calle del Abate¹⁸ sin materiales antropológicos asociados pero de indudable carácter funerario debido al *locus sepulturae*¹⁹.

6.- NECRÓPOLIS CORTS VALENCIANES (CALLE LIBERTAD)²⁰

En el año 2009 y bajo la dirección facultativa de Concha Camps, se excavó un solar en la calle Libertad con motivo de las obras de ampliación del Palau de Les Corts.

Entre los hallazgos de mayor entidad destaca la presencia de enterramientos de época romana junto a una calzada atribuida a la *Via Augusta*.

El ritual practicado el de inhumación, las tumbas eran en su mayoría simples excavadas en la tierra, algunas llevaban cubierta de *tegulae* y un enterramiento infantil en ánfora con escaso ajuar funerario.

7.- HALLAZGOS FUNERARIOS EN EL AYUNTAMIENTO VALENCIA

Al Este de la Calle San Vicente los datos funerarios proceden de antiguo. Al tratarse de una zona de menor actividad arqueológica las intervenciones han sido puntuales, y actualmente no tenemos constancia de excavaciones recientes al este de la Vía Augusta.

En unas obras realizadas en el subsuelo del Ayuntamiento de Valencia, concretamente esquina con la calle de La Sangre (a 40 metros de la calle San Vicente) se hallaron "elementos sepulcrales" (Tarradell, 1962) y una inscripción funeraria de una liberta (CIL II 14: 64) que podría incluirse a este hallazgo, datado entre el 101 d.C. - 200 d.C.

8.- HALLAZGOS FUNERARIOS EN LA CALLE BARCELONINA

A unos 300 m al norte de estos hallazgos, en la calle Barcelonina, y también en este lado de la calle San Vicente se hallaron restos atribuidos a prácticas funerarias de época romana, una moneda en la boca como ejemplo del rito a Caronte, y dos inscripciones funerarias (CIL II, 14: 50,62a y 93 c)²¹ La cronología adscrita es romano Imperial (siglos II-IV d.C.).

¹⁸ Memoria arqueológica calle del Abate, 4 de Valencia. Depositado en las dependencias del SIAM y de la Dirección General de Patrimonio arqueológico. Conselleria de Cultura. Generalitat Valenciana (García-Prósper, E, 2005).

¹⁹ *Locus sepulturae* alcanzó rango, categoría de *locus religiosus* como un derecho a la sepultura de igual o mayor importancia que el derecho civil al tratarse de un derecho sacro (Remesal, 2002, 370).

²⁰ No hemos obtenido información de esta necrópolis. Los datos que presentamos son el resultado de una noticia periodística publicada Levante-EMV.com » Valencia Domingo 05 de julio de 2009.

²¹ La inscripción CIL II, 14: 93c apareció en la calle Embajador Vich-calle Eulàlia y datada entre el 101-300 d.C. La inscripción CIL II, 14: 62 a no consta como tal, se puede leer la referencia 62 y se halló en el palacio del Marqués de Dos Aguas datada entre el 151-250 d.C. La inscripción CIL II, 14: 50, se halló en la Pza de San Francisco y se data entre el 101-200 d.C. Fuente: Epigraphische datenbank Heidelberg <http://edh-www.adw.uni-heidelberg.de/home> última visita el 11/02/2015.

9.- HALLAZGOS FUNERARIOS CALLE DEL MAR y CALLE DE LA PAZ

Las fuentes bibliográficas (Ribera, 1996) atribuyen el hallazgo de siete inscripciones funerarias del entorno del recinto circense a una posible necrópolis entre las calles del Mar y de la Paz. Estas inscripciones (*CIL* II, 14: 26, 27, 30, 54, 60, 79 y 86)²² se atribuyen por la bibliografía (Ribera, 1996) a esta área funeraria. Sin embargo, consultadas las bases de datos sobre las inscripciones de *Valentia*, se comprueba que las inscripciones (*CIL* II, 14: 26, 27, 60 y 86) se hallaron en las calles mencionadas o entorno al área circense tal y como mencionan las fuentes, pero hay otras como la (*CIL* II, 14: 79) que se ubica en la calle Santo Tomás, muy alejada de la zona que estamos describiendo. Este es un ejemplo, entre otros, de ciertas discrepancias detectadas durante esta investigación. Para nuestro propósito no importa tanto el número de inscripciones halladas en una zona en concreto, sino más bien la presencia o ausencia de las mismas en un *locus religiosus* y la cronología que ofrecen.

Al margen de esta situación que consideramos requiere de un trabajo exhaustivo, y concreto de revisión que se escapa de nuestros objetivos, debemos añadir la documentación que aporta el hallazgo de unos restos de un monumento funerario (Jiménez, 1996) que motivaron la posibilidad interpretativa de un área funeraria para las élites locales en la zona de las calles del Mar y de la Paz (Ribera, 1996). La cronología aportada tanto por la epigrafía como por las características del monumento, estaría en torno al siglo II y IV d.C.

De momentos posteriores pero relativos a este lugar de enterramiento, se excavaron en la calle del Mar tumbas de inhumación colectivas, construidas con grandes sillares de piedra caliza datadas en época visigoda (siglos V-VI d.C). En este contexto se documentó una botella de vidrio y un anillo con sello semejante al hallado en la tumba de San Vicent de la Roqueta y en otras de la Almoína (Ribera y Soriano, 1996).

10.- HALLAZGOS FUNERARIOS CALLE MORERÍA-CAVALLERS

En pleno Barrio del Carmen, concretamente entre las calles Morería-Cavallers y adyacentes hay constancia de posiblemente datos relativos a una cremación y hallazgo de seis soportes epigráficos (*CIL* II, 14: 58, 63, 70, 80, 93 a, 93f, 93h) datadas entre el 101-200 d.C. No obstante tras la consulta de otras fuentes comprobamos que la (*CIL* II, 14: 93 a) no corresponde a esta zona²³.

²² Hemos observado algunas discrepancias entre la bibliografía y la base de datos consultada. La inscripción (*CIL* II, 14: 79) cuyo hallazgo se ubica en la confluencia de estas calles Mar y Paz, según la Epigraphische datenbank Heidelberg <http://edh-www.adw.uni-heidelberg.de/home>, esta inscripción se halló en la calle Santo Tomás, alejada cientos de metros de este punto, concretamente en el histórico Barrio del Carmen de la ciudad.

²³ La inscripción (*CIL* II, 14: 93a) atribuida a esta necrópolis por las fuentes bibliográficas (Ribera, 1996) forma parte, de un hallazgo epigráfico no funerario, procedente de la Pza. de la Almoína. Epigraphische datenbank Heidelberg <http://edh-www.adw.uni-heidelberg.de/home> el 11/02/2015.

11.- HALLAZGOS FUNERARIOS PZA. ÁRBOL

En la Plaza del Árbol, en el año 2000 bajo la dirección de la arqueóloga Consuelo Matamoros se llevó a cabo una excavación arqueológica que dio a la luz restos funerarios. Según sus excavadores, se documentaron dos tumbas de inhumación: una fosa simple y otra de cámara. Con escaso ajuar funerario destacando un As fechado en el siglo I d.C. y que otorga esta cronología para el conjunto excavado.

Este hallazgo es inédito y la información se la debemos al arqueólogo Eduard Sánchis Zarzo que nos ha facilitado una copia del informe de la excavación de la Plaza del árbol II Fase (UA5), mayo 2000.

NECRÓPOLIS PERIURBANAS

12.- NECRÓPOLIS RURAL ORRIOLS (MAUSOLEO CAMÍ MOLÍ DELS FRARES, AVDA. CONSTITUCIÓN 260-262)

El conocimiento de esta necrópolis tiene sus orígenes en noviembre de 1960, cuando se notificó el descubrimiento de unas sepulturas en el “Camí del Molí dels Frares” a unos 2 km al norte de la ciudad. Desde ese momento y hasta bien entrado el nuevo milenio, se han sucedido de forma intermitente las intervenciones en este lugar completando e incrementando la casuística funeraria en esta zona periurbana de la ciudad²⁴.

Los hallazgos funerarios se hicieron en los números 260, 262, 264 de la actual Avenida de la Constitución (antigua carretera de Barcelona), tradicionalmente considerada con el trazado de la *Via Augusta* a su paso por tierras valencianas (Albiach y Soriano, 1996).

Se han llevado a cabo varias intervenciones bajo la dirección facultativa de D. José Llorca (1962), Rosa Albiach Descals (1995) y Celia Guillem (2005). La cronología eminentemente de época Imperial abarcando desde el siglo II d.C hasta el IV d.C.

De las campañas se extraen los siguientes datos:

En la campaña de 1960: Ritual de inhumación: un mausoleo con al menos tres tumbas con sarcófago de plomo en dos niveles de enterramiento (Albiach y Soriano, 1996).

El ajuar estaba compuesto por un vaso de vidrio, un anforisco, dos ungüentarios, tres pulseras de azabache, entre otros objetos.

Campaña 1995: Edificio funerario nº1 que albergaba un *bustum*. Datado (S. II-IV d.C.). Se exhumaron 8 inhumaciones sencillas algunas con empleo de cubierta de *tegulae*.

²⁴ Los excavadores de esta necrópolis atribuyen este hallazgo a un emplazamiento de carácter rural, posibles villa rústica. Las principales referencias bibliográfica de este cementerio. Albiach y Soriano, 1996; Ribera, 1996; Ribera y Soriano, 1987. <http://www.cult.gva.es/dgpa/yacimientos/yacimientosArg.html>. Página web consultada el día 4 de marzo de 2014. Agradecemos la información facilitada por la arqueóloga directora Celia Guillem directora de la intervención en el solar nº 262 de la Avda. Constitución.

Edificio nº 2 de inhumación con un NMI de dos inhumaciones en su interior (conservación incompleta).

Entorno a estos edificios se excavaron un total de ocho tumbas excavadas en la tierra, alguno con evidencias de ataúd de madera. Cubiertas de *tegulae* plana o a doble vertiente.

En líneas generales las ofrendas que se pudieron documentar en parte de estas tumbas eran en su mayoría de tipo cerámico como jarrita de cerámica común, lucernas, vidrio, objetos metal (clavos, colgantes de oro, anillo de bronce), fauna. Restos de indumentaria como las *caligae* (sandalias romanas que portaba el ejército).

Campaña 2005: 11 inhumaciones (4 inhumaciones de fosa con cubierta plana de *tegulae*; tres inhumaciones en fosa simple con cubierta de *tegulae* a doble vertiente; una inhumación infantil en ánfora con una jarrita como ajuar funerario, una tumba monumental con una inhumación cuyo deceso estaba acompañado con una jarrita de vidrio con dos asas. Y por último una tumba de inhumación de muy pequeño tamaño construida con paredes en muy mal estado de conservación en cuyo interior solo se conservó un clavo.

13.- NECRÓPOLIS CALLE PORTAL RUZAFÁ

Situada en la calle Calvo Sotelo nº 16, 18 y 20, en el solar de un antiguo solar del Teatro Serrano²⁵. El descubrimiento fue en el año 1962 bajo la dirección técnica de D. José Llorca. Y la datación es imperial (S. I-III d.C.).

Durante los trabajos de excavación se efectuaron 14 zapatas de las cuales cuatro contenían restos de sepulturas. También se documentó una especie de osario, tumba colectiva, con restos de 9 inhumaciones más. En total 13 inhumaciones dispuesta en un nivel de enterramiento.

El ritual funerario practicado es de Inhumación: Fosa simple con cubierta de *tegulae* a doble vertiente; tumba de ladrillos, cubierta de *tegulae* a doble vertiente; en ánfora *ad enchitrismoi* (infantil). También se documentó una tumba de piedras, cubierta plana de mortero (colectiva, 9 individuos).

El Ajuar funerario estaba compuesto por objetos de vidrio, cerámica (urnas y lucerna).

14.- NECRÓPOLIS CALLE SAGUNTO

En el año 1994 se hallaron los primeros vestigios de lo que podría ser un área funeraria de época republicana en esta parte de la actual ciudad de Valencia. No se identificaron tumbas, aunque se hallaron restos atribuibles a una cremación o un *ustrinum* (Ribera, 1996). En otra excavación de la misma zona se encontraron restos de cremaciones

²⁵ LLORCA. 1962, Ribera, 1996. <http://www.cult.gva.es/dgpa/yacimientos/yacimientosArg.html>. Página web consultada el día 4 de marzo de 2014.

datados en el siglo II a.C. a tenor de los hallazgos numismáticos (5 dracmas de Arse y un denario romano). Formando parte de los hallazgos de este periodo, hay testimonios orales del hallazgo de un número indeterminado de cremaciones de tradición ibérica.

A inicios de la década del 2000, las excavaciones en el solar ubicado entre las confluencias de la calle Sagunto nº 26-28 y Santa Isabel nº 6-10 ofrecieron la oportunidad de ampliar el conocimiento del panorama funerario en esta parte de la ciudad. Los trabajos de excavación fueron dirigidos por el arqueólogo Rafael Martínez Porral²⁶.

Los resultados más inmediatos fueron el hallazgo de un mausoleo junto a la calzada que contenía cuatro urnas de cremación. Este enterramiento tiene una datación entre el siglo I-III d.C.

15.- NECRÓPOLIS ROMANA DE LA CALLE PEPITA, Nº 27-29

La calle Pepita se sitúa próxima a la calle Sagunto y la calle Ruaya. Forma parte de los enterramientos periurbanos al norte de la ciudad, próximos a la *Via Augusta*.

Se llevaron a cabo dos campañas de excavación dirigidas por la arqueóloga M^a Luisa Serrano²⁷. La primera se realizó en el solar nº 27 de la calle Pepita obteniendo unos resultados de una cremación primaria *bustum* del siglo I a.C. y un enterramiento en fosa excavada en la tierra (simple), datado en el siglo II d.C

Los trabajos de excavación realizados en el nº 29 de la misma calle dieron como resultado el hallazgo de cinco tumbas de inhumación datadas entre los siglos I-III d.C.

La presencia del ajuar funerario /ofrendas incluye: una lucerna de disco como ajuar que probablemente represente a Juno, fragmentos de vidrio, cerámica de concina africana, *Terra Sigillata Africana-C* hasta algún objeto metálico indeterminado.

16.- HALLAZGOS EPIGRÁFICOS AVDA. BLASCO IBÁÑEZ

En la Avenida de Blasco Ibáñez. se documentaron hallazgos epigráficos²⁸ de carácter funerario, tal vez atribuibles a una necrópolis de carácter rural (Ribera,1996) corresponden a las referencias (*CIL* II, 14: 36 y 78) datadas entre el 101-200 d.C.

²⁶ Agradecemos al director de la excavación Rafael Martínez Porral la información facilitada y copia del informe de la intervención de la calle Sagunto 26-28 de Valencia. El estudio antropológico de las cremaciones se realizó en el año 2009 y en estos momentos está pendiente de publicación

²⁷ Esta necrópolis está inédita. La información se ha obtenido tras la consulta de la página de yacimientos de la Dirección General de Patrimonio. Consellería de Cultura. <http://www.cult.gva.es/dgpa/yacimientos/yacimientosArg.html>. Página web consultada el día 4 de marzo de 2014. Agradecemos a la directora de las intervenciones M^a Luisa Serrano la información complementaria facilitada.

²⁸ Estos hallazgos epigráficos se han comprobado en la base de datos Epigraphische datenbank Heidelberg <http://edh-www.adw.uni-heidelberg.de/home> el 11/02/2015.

17.- HALLAZGOS FUNERARIOS PATRAIX

Por último hacer mención del hallazgo en el Barrio de Patraix. Se tiene conocimiento del hallazgo de dos inscripciones (CIL II, 14:44,75) y atribuidas a algún asentamiento rural cuya datación se establece entre los siglos I-II d.C (Ribera, 1996).

A modo de síntesis, el panorama funerario de *Valentia* se caracteriza por presentar un nutrido grupo de necrópolis que supone un buen ejemplo de evolución en la práctica ritual. Tantos los conjuntos funerarios urbanos como aquellos de carácter rural, ponen de manifiesto la preocupación que tenía la población por el cumplimiento de los preceptos en materia funeraria.

Desde los primeros enteramientos, inmediatos a la fundación, hasta bien entrado el periodo imperial, se observa una evolución de los rituales que no hacen más que manifestar voluntades personales, familiares o de grupo. *Valentia*, al igual que otras ciudades de *Hispania* es ejemplo de la práctica dual del rito funerario (inhumación y cremación).

1.1.1 Evolución del ritual funerario en *Valentia*

“...en mi opinión el tipo más antiguo de sepultura es aquel que, según Jenofonte, se empleó para Ciro: el cuerpo se devuelve a la tierra y se sitúa de tal forma que parezca cubierto por el manto de su madre” (Cic, II, XXII).

*“...ipsum cremare, apud Romanos non fuit veteris instituti: terra condebantur”
(Plin., Nat.Hist, VII)*

Estas evocadoras citas ponen de manifiesto que las prácticas de ambos rituales eran reales aunque había preferencias según el gusto, costumbre o moda. Ponen de manifiesto una dualidad en la práctica del ritual sin poder establecer unos límites de uso para cada rito, en relación a una cronología en concreto, sino más bien comprender, al menos es así para el caso de *Valentia*, que ambos rituales se practicaron de forma coetánea y gradual ganando terreno con el tiempo la inhumación con respecto a la cremación. Podríamos decir que estos cambios en la práctica funeraria, fueron el resultado de una amalgama de circunstancias que se pueden sintetizar en costumbres propias de las familias (*gens*), influencia de otras culturas, o cambio de mentalidad, que favorecieron la práctica de la inhumación en toda la península itálica y que necesariamente influyeron de forma importante y decisiva también en *Hispania* (ver capítulo 4).

En nuestra ciudad y lejos de hacer un estudio exhaustivo de las necrópolis valencianas se puede establecer unas características generales sobre la práctica del ritual funerario y su evolución. Hay que hacer mención que la información recogida procede por un lado de excavaciones antiguas, sin una lectura estratigráfica clara, hallazgos aislados y excavaciones de urgencia pero con la aplicación del método cronestratigráfico Harris que ofrece una secuencia clara y fiable. En este sentido, y con todas las cautelas que un trabajo de este tipo requiere, podemos hacer una inferencia en torno a la evolución del ritual funerario en nuestra ciudad.

Valentia, a pesar de ser considerada como “yacimiento único”, carece de un proyecto integral y transversal de Arqueología Funeraria Romana con el peligro que conlleva hacer afirmaciones sobre la evolución del ritual funerario sin haberse estudiado las excavaciones. Sin embargo, esta tesis supone el primer ejemplo de sistematización de la información de una necrópolis en pro del estudio del ritual funerario, es solo un comienzo de una práctica que bien valdría la pena desarrollar con la casuística del *Funus Valentiae*.

La primera observación a destacar es que la dualidad de los ritos inhumatorio y crematorio, es observable en excavaciones actuales de las necrópolis urbanas de la calle Quart, en la necrópolis de San Nicolás-Tossal, y en la de la calle San Vicente. La necrópolis de la Boatella, hasta el momento la más grande de la ciudad, tiene su inicio en el siglo II d.C. hasta el V d.C., sin presencia de cremaciones en su área funeraria.

En el ámbito rural, también hay constancia de esta dualidad en la necrópolis de Orriols los hallazgos de la calle Pepita con una cremación datada en el siglo I a.C., e inhumaciones de época Alto Imperial, así como y en el mausoleo de la calle Sagunto con cuatro urnas de cremación datadas entre los siglos I-III d.C.²⁹.

Esta práctica mixta del rito crematorio-inhumatorio no es exclusiva de *Valentia*, y responde a la pauta habitual en *Hispania*, valgan los ejemplos de la *Baetica* (Vaquerizo, 2010); *Tarraco* (Ciurana, 2011) o *Barcino* (Beltrán de Heredia, 2007). Cada vez los estudiosos del tema confirman que la opción de la práctica de un ritual u otro respondería a decisiones personales, familiares, propias de una *gens* o bien decisiones grupales.

En *Valentia* también se observa el evergetismo propio de época alto Imperial, el deseo de enterrarse junto a las principales vías de acceso a la ciudad (cardo, decumano) y para ello construir edificios monumentales que evoquen la memoria del difunto, y sepultar los restos de uno o varios individuos, con toda probabilidad, de una misma familia (García-Prósper, 2006). Tales son los ejemplos del monumento en la necrópolis de marqués de

²⁹ El estudio antropológico de estas cremaciones realizado por Manuel Polo y esta autora, aporta valiosa información sobre las prácticas rituales de los restos óseos como de lectura del ritual ante la presencia de alimentos en una de las urnas cinerarias que evocan al banquete ofrecido al finado.

Busianos, junto al decumano, en la necrópolis de la calle San Vicente junto a la Vía Augusta por el sur (Tabla 1.2).

Con respecto a las necrópolis más alejadas del recinto de *Valentia* el caso es similar. Todas ellas, de época imperial y atribuidas a un lugar de enterramiento propio de poblaciones de tipo rural³⁰. La necrópolis de Orriols desde su descubrimiento en los años 60 fue el primer ejemplo de necrópolis rural junto a una vía principal de acceso, destacando también por las construcciones de los mausoleos documentados. A lo largo de los años 90 e inicios del nuevo milenio las excavaciones realizadas en la Avda. de la Constitución, calles Pepita y Sagunto, han incrementado tanto en el número de hallazgos funerarios como en la monumentalidad en esta zona al norte de la ciudad. Se trata de *locus religiosus* junto a una bifurcación de la antigua vía Heraclea, posteriormente *Via Augusta*.

Tabla 1.2. Prácticas funerarias de *Valentia*

NECRÓP	138 a.C		I.a.C		I d.C			II d.C			III d.C			IV d.C		
	C	I	C	I	C	I	EP	C	I	EP	C	I	EP	C	I	EP
1.																
2.																
3.																
4.																
5.																
6.																
7.																
8.																
9.																
10.																
11.																
12.																
13.																
14.																
15.																
16.																
17.																

C: Cremación; I: Inhumación; EP: Epitafios

NECRÓPOLIS URBANAS: 1. Necrópolis romana de la calle Quart ; 2. Necrópolis de La Boatella; 3. Necrópolis de San Nicolás–Plaza del Tossal; 4.- Necrópolis Carrasquer-Murillo; 5. Necrópolis calle San Vicente; 6.-Necrópolis Corts Valencianes (C/ Libertad); 7.- Hallazgos funerarios Pza. Ayuntamiento-C/Sangre; 8.- Hallazgos funerarios calle Barcelonina; 9.- Hallazgos funerarios calles Mar y de la Paz; 10.- Hallazgos funerarios calle Morería-Cavallers; 11.- Hallazgos funerarios plaza del Àrbol;**NECRÓPOLIS PERIURBANAS:** 12.- Necrópolis rural Orriols; 13.- Necrópolis calle Portal Ruzafa; 14.- Necrópolis calle Sagunto; 15.- Necrópolis romana de la calle Pepita, nº 27,29; 16.- Hallazgos funerarios en la Avda. Blasco Ibáñez; 17.- Hallazgos funerarios en Patraix.

³⁰ Las necrópolis se encontraban en las inmediaciones de la urbe pero separadas físicamente por la muralla, límite entre el espacio urbano y el *ager*. Desde un punto de vista legal, quizás las más antiguas disposiciones relacionadas con la muerte se encuentran en las Leyes de las XII Tablas, concretamente destaca la décima, donde surge la primera prohibición conocida sobre las prácticas funerarias dentro de las ciudades: *que un muerto no sea enterrado ni quemado dentro de la ciudad* (Tab, X, 1).

La evolución del ritual desde época republicana es importante. Se transita desde una ausencia clara de organización del espacio, como ocurre en la necrópolis de la calle Quart (ver capítulos 5 y 6), sin un patrón definido de orientación, ni por supuesto, monumentalidad, ni epigrafía ya que se entiende que en estos inicios de la ocupación romana, estamos en un momento primigenio en la organización de la necrópolis. Esta situación evoluciona hacia la construcción de verdaderos espacios funerarios extraurbanos con disposición de tumbas monumentales a ambos lados de las vías, (mausoleo calle Sagunto, Orriols, Marqués Busianos.) y con aquellas más sencillas detrás para no ser visibles, siguiendo un patrón iniciado en Roma. Este concepto de elección del lugar de sepultura era tan importante que se buscaba estar cerca de la puerta de la ciudad, o próxima a los lugares de espectáculo, y así ser vistos por el gran público ya que eran zonas de encuentro y paseo (Hesberg, 1994). Esta transformación se produjo primero en la *Urbs* para luego transmitirse al resto del Imperio a partir de la *Pax Augusta* (Hesberg, 1994; García-Prósper, 2006).

Ya hemos hecho mención del gran número de hallazgos funerarios, y también de la dualidad del ritual. Con respecto a esto último y en cómputos generales se ha hecho una labor compilatoria de los hallazgos funerarios a partir de la bibliografía³¹ (Tabla 1.3). De la que se han obtenido un total de 647 tumbas de inhumación, 89 cremaciones y un total de 42 epitafios³² (Tabla 1.4). Estos últimos bien podrían atribuirse a tumbas de inhumación, pero dado que, en su mayoría, se trata de hallazgos de excavaciones antiguas, hemos considerado más prudente anotarlos de forma independiente y no integrarlos en las inhumaciones.

Tabla 1.3: Número de inhumaciones, cremaciones y epitafios hallados en *Valentia*

INHUMAC.	CREM.	EPITAFIOS	
604	82	33	necrópolis urbanas
43	7	9	necrópolis periurbanas
647	89	42	TOTAL

³¹ El criterio que hemos obtenido para hacer este estudio consiste en la búsqueda bibliográfica y por internet (base de datos de yacimientos arqueológicos de la Conselleria de Cultura. Generalitat Valenciana), así como la información extraída de memorias inéditas que gustosamente nos ha facilitado colegas arqueólogos directores de las intervenciones.

³² Los datos pueden variar ya que se han extraído de trabajos publicados que hacen referencia a hallazgos documentados en épocas anteriores al empleo de una metodología actual.

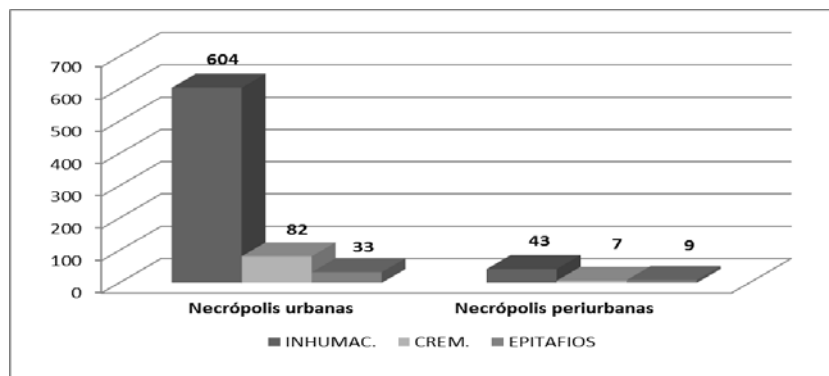


Figura 1.2. Rituales funerarios y epitafios de *Valentia*

El mayor número de hallazgos proceden de excavaciones de tipo urbano, como resultado y consecuencia directa de los planes de ordenación urbana y de rehabilitación que se han venido desarrollando en el casco histórico de la ciudad desde los años ochenta (Figuras 1.2 y 1.3). La ampliación del cinturón de protección marcado en inicio para la documentación arqueológica derivada de obras urbanas, se vio ampliado a otros barrios dando nuevos datos en materia de arqueología funeraria. Al margen de las medidas de protección, el hallazgo de núcleos de necrópolis periurbanas de naturaleza rural, ofrece un panorama funerario menos congestionado que el de las necrópolis urbanas como la de la Boatella, muy extensa y concurrida.

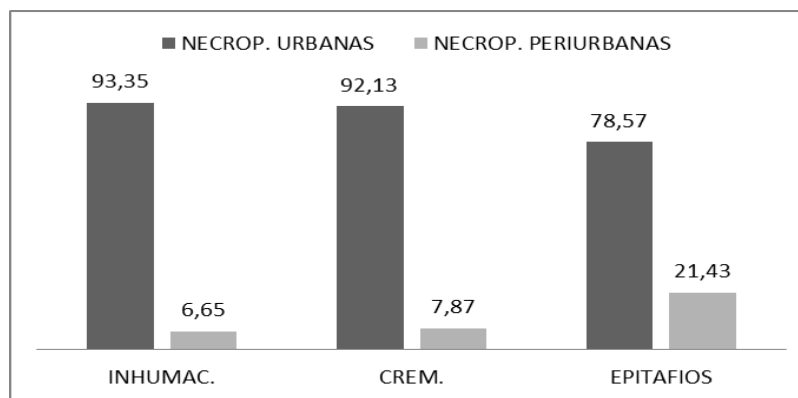


Figura 1.3. Ritual y topografía funeraria en porcentajes

Como conclusión podríamos decir que los datos arqueológicos extraídos de las excavaciones realizadas en las necrópolis de *Valentia*, han aportado significativos datos sobre la evolución del ritual funerario. Las transformaciones reflejan también una variedad en los tipos de enterramiento, más sencillos, en general, en época republicana para lo que atañe al rito inhumatorio.

Por lo que respecta a las cremaciones, hay ejemplos de cremaciones primarias, *busta* y secundarias, *loculi*, con la presencia de *ustrina*, en muchas de la necrópolis tal y como hemos mencionado en páginas anteriores.

En época imperial, sobre todo a partir del siglo II-III d-C, se dio una generalización del rito de la inhumación. Esta práctica aporta una mayor variedad de tumbas dado que es fácil documentar ánforas como receptáculos, restos de ataúdes a través de los clavos de hierro dispuestos según los listones de la madera ya desaparecida, o materiales edilicios (como *tegulae*, ladrillos, o sillares), haciendo bien de cista o cubierta de las tumbas.

Es fácil encontrar tumbas de inhumación todavía con ajuares depositados junto a la cabeza, o a los pies y formados por objetos de cerámica, vidrio y metal principalmente. Conforme avance la cronología el ajuar funerario irá desapareciendo y en ocasiones de forma testimonial podrá documentarse una botellita de vidrio o una lucerna.

Tabla 1.4. Necrópolis y cómputo general de tumbas y epitafios

FUNUS VALENTIAE	INHUM.	CREMAC.	EPITAF.
NECRÓPOLIS URBANAS			
1. Necrópolis romana de la Calle Quart (Ss. II a.C-IV d.C)	283	74	0
Solar Virgen de la Misericordia (S.I a.C-IV d.C)	105	5	0
Solar Quart-Cañete (S. II a.C-III d.C)	178	69	0
2. Necrópolis de La Boatella (Ss.II d.C–VI d.C)	281	0	4
Campaña 1945: (actual Avda Barón Cárcer)	155	0	0
Campaña 1995: Calabazas, nº 9.Pza Merced	7	0	0
Campaña: 1997 Calabazas-En Gil	13	0	0
Campañas 2006-2007	106	0	0
3. Necrópolis de San Nicolás–Pza. Tossal (Ss. I/ II-IV d.C)	18	2	0
Marqués de Busianos, nº 3	11	0	0
Pza Hornos San Nicolás	4	0	0
Pza. Marqués Busianos año 2002	3	2	0
4. Necrópolis Carrasquer-Murillo (Ss. I-II d.C)	9	0	0
5. Necrópolis Calle San Vicente (Via Augusta Sur) (Ss. I-IV d.C)	10	5	15
Calle S. Vicente, nº 54-En Sanz	2	0	0
Calle S. Vicente 76-Grabador Selma	1	1	2
Calle S. Vicente nº 26-32, esq. Mesón de Teruel	7	4	13
6. Necrópolis Corts Valencianes (C/Libertad) (se desconoce el nº exacto)	1	0	0
7. Hallazgos funerarios Plaza Ayuntamiento-Calle Sangre (S.II d.C)	0	0	1
8. Hallazgos funerarios calle Barcelonina (S. II-IV d.C)	0	0	3
9. Hallazgos funerarios calles Mar y de la Paz (Ss. II-IV d.C/Ss. V-VI d.C)	0	0	4
10. Hallazgos funerarios calle Morería-Cavallers (adyacentes) (S. II d.C)	0	1	6
Hallazgos de epitafios	0	0	6
Cremación	0	1	0
11. Hallazgos funerarios plaza del Árbol (S. I d.C)	2	0	0
NECRÓPOLIS PERIURBANAS			
12. Necrópolis rural Orriols (Via Augusta Norte) (Ss.II-IV d.C)	24	1	0
Campaña 1960	3	0	0
Campaña 1995	10	1	0
Campaña 2005	11	0	0
13. Necrópolis calle Portal Ruzafa (Ss. I-III d.C)	13	0	0
14. Necrópolis calle Sagunto (Ss. I-III d.C)	0	5	0
Campañas 1994 (seguro 1 cremación, restos de otras indet.)	0	1	0
C/Sagunto 26-28 Campaña 2006-7	0	4	0
15. Necrópolis romana de la calle Pepita, nº 27,29 (Ss. I a.C-II d.C)	6	1	0
Calle Pepita 27	1	1	0
Calle Pepita 29	5	0	0
16. Hallazgos funerarios en la Avda. Blasco Ibáñez (Ss. II d.C)	0	0	7
17. Hallazgos funerarios en Patraix (Ss. I-II d.C)	0	0	2

1.2 La necrópolis romana de la calle Quart. Descubrimiento y campañas de excavación

El descubrimiento de un espacio funerario en el año 1992 en una zona del casco antiguo de la ciudad dio lugar a nuevas perspectivas científicas en torno al conocimiento del mundo funerario de *Valentia*. Esta necrópolis denominada en un inicio por la bibliografía como la Necrópolis Occidental de *Valentia*³³, tendría una extensión aproximada 5.000 m² y englobaría, entre otros, dos espacios aledaños junto a las torres de Quart: un primer solar en la calle Virgen de la Misericordia, nº 4, una pequeña cata en un edificio en la Plaza de Santa Úrsula³⁴, y los solares entre las calles Quart nº 48-50 y Cañete nº 2 y 4. Este último espacio fue denominado por sus excavadores como la Necrópolis romana de la calle Quart, ya que si bien en los primeros momentos de su descubrimiento no se atribuía, en principio, al hallazgo en la calle Virgen de la Misericordia, conforme fueron avanzando los trabajos se vio su relación directa incrementándose así las dimensiones del primer cementerio de la ciudad (Figura 4).



Figura 1.4. Plano de situación de la necrópolis romana de la calle Quart. Los sectores excavados y su relación con otras necrópolis próximas.

³³ Rosselló y Ruiz, 1996 b.

³⁴ Según información del director de la excavación en la Plaza de Santa Úrsula, Pierre Guérin, la cota de excavación no profundizó más allá del 1,80 m pero fue suficiente para el hallazgo de un substrato arenoso (típico de los niveles antiguos) que contenía ungüentarios fusiformes presentes en la necrópolis. Si bien no se pudo ampliar esta pequeña excavación, si se notificó a las instancias municipales su inclusión como hallazgo funerario.

Desde un punto de vista espacial esta necrópolis occidental ocuparía la actual manzana de sita entre las calles Quart por el sur, la calle Pinzón por el Este, la plaza de Santa Úrsula por el oeste y la calle Pintor Zariñena por el norte. Esta necrópolis se estableció sobre una suave elevación junto a la prolongación del Decumano máximo y distanciada de la ciudad en época romana a unos 700 m.

La posibilidad de excavar en extensión ha permitido un planteamiento global de la excavación por horizontes. De hecho, cada período ha proporcionado no sólo un conjunto de tumbas, sino también áreas de cremación y ejes de circulación, como calzadas y caminos, que articulaban el cementerio. Por otra parte, la excavación también ha dado a conocer una auténtica estratigrafía funeraria de rellenos artificiales destinados a aumentar la capacidad de acogida del cementerio en fases superpuestas. Las primeras noticias que hay sobre esta necrópolis parten del año 1992, cuando los arqueólogos Miquel Rosselló y Enrique Ruiz, excavaron en el precitado solar de la calle Virgen de la Misericordia. Como resultado de esta primera intervención se excavaron un total de 108 deposiciones funerarias, con un total de 103 inhumaciones y cinco cremaciones datadas entre el siglo I a.C hasta el S. IV d.C (Rosselló y Ruiz, 1996 a y b).

Con posterioridad, en 1996, comenzaron nuevas excavaciones en la zona, esta vez bajo la dirección del Pierre Guérin, concretamente en el nº 4 de la calle Cañete con una primera campaña (1.CAÑ.004), donde se excavaron numerosos niveles de época medieval y moderna y los primeros enterramientos de época romana. La segunda y tercera campañas (2.CAÑ.004 y 3. CAÑ. 004) fueron codirigidas por Pierre Guérin y Beatriz Arnau. Los primeros resultados fue la exhumación de 49 enterramientos, con una cronología que abarcaba desde el último tercio del S.II a.C, intuyéndose pues el inicio de la actividad funeraria en esta parte de la necrópolis, hasta el siglo II-III d.C,

Desde febrero hasta Junio del año 1998, se realizó la cuarta campaña de excavaciones (4. CAÑ.002) en un solar contiguo, ubicado entre los números 48 y 50 de la calle Quart. Durante los meses de trabajos, y gracias a la colaboración de grupo de estudiantes de la Facultad de Geografía e Historia de la Universitat de València E.G³⁵, fue posible excavar 121 enterramientos y otras estructuras funerarias en una extensión de unos 250 m².

La última campaña de excavaciones se desarrolló entre los meses de agosto de 1999 y enero del año 2000. Esta última intervención (5 CAÑ), consistió en la excavación perimetral de los márgenes de seguridad de las anteriores campañas. Durante este trabajo se pudieron documentar un total de 63 enterramientos y otras estructuras funerarias que completaban el conjunto del solar entre las calles Quart y Cañete.

³⁵ Los estudiantes voluntarios y del módulo 3568 de la Licenciatura de Geografía e Historia participaron en los trabajos de campo de la necrópolis.

2. JUSTIFICACIÓN Y OBJETIVOS DEL TRABAJO

La presente tesis posiblemente sea el primer análisis que se hace sobre una necrópolis urbana en la ciudad de Valencia. Se ha pretendido abordar este estudio con un planteamiento integrador bajo la intervención de ciencias multidisciplinarias propias del marco científico de la Arqueología de la Muerte. Un estudio que reúne las principales valoraciones sobre el panorama funerario de la necrópolis, como concepto filosófico y religioso de una población.

El proyecto de estudio de rituales de la necrópolis abarca todas las fases cronológicas (periodo republicano e imperial), documentadas en las excavaciones realizadas en los solares Quart-Cañete. Los objetivos se centraron en las diferentes tipologías de tumbas, elementos deposicionales, variaciones en los ajueres funerarios, abordados desde una metodología integradora de diferentes ciencias auxiliares que han participado en este proyecto¹. De forma particular se creó un grupo de investigación (Grupo Paleolab)² que ha coordinado los trabajos desde distintas áreas científicas Arqueología Funeraria, Bioantropología y Paleopatología, cuyos resultados han quedado plasmados en algunas publicaciones³.

Esta tesis presenta el estudio de los rituales funerarios practicados a partir de los gestos funerarios, como aproximación al *perimundo* del deceso, distribución y localización de las tumbas, la calidad de vida y muerte de los individuos y la convivencia de los diferentes ritos, ofreciendo una excepcional visión de conjunto sobre la necrópolis que hasta el momento no había sido posible.

La bioantropología ha constituido una herramienta fundamental para la interpretación de aspectos relativos al tipo de enterramiento, calidad de vida, de muerte de sus ocupantes. La zooarqueología ha aportado luz al conocimiento de las diferentes especies de macro/micro fauna presentes tanto en las ofrendas como en el banquete funerario. El tipo de combustible empleado en las piras funerarias, las ofrendas vegetales, informan

¹ Este estudio se ha llevado a cabo desde la total independencia económica e institucional. Los investigadores principales Manuel Polo Cerdá, responsable del área de Bioantropología y Paleopatología, y esta autora, responsable del área de Arqueología Funeraria, desempeñaron las investigaciones sin ningún tipo de ayuda económica. Los trabajos se han llevado a cabo gracias a la financiación particular de estos investigadores, incluyendo los estudios externos solicitados (Universidad de Arizona). Durante varios años (1997-2003) se solicitaron ayudas, sin ningún éxito, para financiar e impulsar el estudio y posterior publicación al: Ayuntamiento de Valencia (SIAM), Diputación de Valencia, Universitat de València, Fundación Juan Gil Albert, Dirección General de Patrimonio de la Consellería de Cultura, Programa europeo Cultura Raphaël 1999, y Programa Europeo, Cultura 2000, etc. Se ha contado con la generosidad de especialistas que como Pilar Iborra, M^a Sagrario Carrasco y Sonia de Haro han realizado sus investigaciones de forma gratuita.

² <http://grupopaleolab.blogspot.com.es> ; <http://www.facebook.com/grupo.paleolab>

³ Guérin, 1998; García-Prósper, et al., 1999; García-Prósper y Guérin, 2002; Polo Cerdá y García-Prósper, 2002; Polo Cerdá, García-Prósper, Guérin y Villalaín 2004; García-Prósper y Polo Cerdá, 2005; García-Prósper, Polo, Melchor y Benedito, 2005; García-Prósper, Polo Cerdá y Guérin, 2007; García-Prósper, López Flores y Polo Cerdá, 2009; García-Prósper, Polo, Romero, e Iborra, 2010; Polo Cerdá y García-Prósper 2007; Polo Cerdá, García-Prósper y De Haro Pozo, 2009; Polo, García-Prósper, 2011; García-Prósper, Polo, Romero, Iborra, Guérin, (En Prensa).

sobre el tiempo de combustión de los *busta* y *ustrina*, y conocer de forma indirecta el paleoambiente que cohabitaba con estas poblaciones.

De la misma forma, los materiales arqueológicos presentes en los ajuares funerarios se han integrado en las descripciones de cada enterramiento, y forman parte de la interpretación de los cambios rituales presentes en la necrópolis a lo largo de su cronología. No entran pues en los objetivos de este trabajo, el hacer un análisis de los materiales propio de trabajos sobre cultura material, que ya de por sí, sería motivo de otras tesis doctorales.

Para poder describir e interpretar los rituales practicados y en consecuencia conocer a los artífices de dichas prácticas, hemos trazado unos objetivos específicos:

1. Conocer los rituales funerarios romanos a través de las fuentes clásicas con la finalidad directa de poder inferir, comparar y discutir, siempre que sea posible, sobre los preceptos celebrados en la necrópolis objeto de nuestro estudio.
2. Presentar la topografía y estratigrafía funeraria de la necrópolis como base documental al conocimiento de las diferentes fases funerarias y los rituales practicados en cada época.
3. Describir a través de un catálogo integrado los diferentes tipos de enterramientos, y estructuras funerarias (NEF), los ajuares con los elementos que los componen (cerámica, moneda, vidrio, fauna, malacofauna, material antracológico, etc), de forma diacrónica según las fases funerarias.
4. Comparar y discutir los rituales practicados y los diferentes gestos funerarios (posición, deposición, mortaja, descomposición), a partir de una tipología de enterramiento descrita de acuerdo cada fase funeraria.
5. Establecer la evolución del ritual funerario entre los dos grupos cronológicos de la necrópolis, republicanos e imperiales.
6. Aportar nueva información sobre el origen de los primeros pobladores de *Valentia*, a partir de las propias conclusiones de nuestro estudio, a partir de paralelos con necrópolis de la península italiana, y estudios complementarios como el análisis de isótopos del estroncio que aportan información sobre movilidad en épocas históricas.

3. MATERIAL y METODOLOGÍA

3.1 Material

La necrópolis ocupa una extensión aproximada de 5.000 m² visible en la trama urbana a partir de una manzana de edificios construidos entre las décadas de los 70 y 90 del pasado siglo.

Con anterioridad ya se ha hecho referencia a que el objeto de nuestro estudio es el análisis del ritual de un sector de esta necrópolis que abarcaba una extensión de 531,85 m², y cuyos trabajos desempeñados a lo largo de cinco campañas de excavación han dado como resultado un total de 268 estructuras funerarias que metodológicamente hemos denominado (NEF)¹, entre las que se incluyen tumbas de inhumación, cremación, *ustrina* (piras funerarias), cenotafios, una zanja votiva e infraestructuras de la necrópolis como calzadas y un canal de desagüe de uso funerario.

Entre las 268 estructuras hay un total de 248 tumbas, entre las cuales 179 son tumbas de inhumación y 69 tumbas de cremación, distribuidas a lo largo de la cronología de la necrópolis.

Los restos óseos estudiados y documentados hacen un total de 251 restos óseos, distribuidos en 190 esqueletos de inhumación y un NMI² de 61, procedentes de cremaciones. Esta desigualdad numérica se debe a que en ocasiones alguna tumba de inhumación ha albergado un NMI superior a un esqueleto incrementando la ratio total. Los valores totales tanto de estructura como de restos antropológicos serán empleados para hacer referencias porcentuales dependiendo del contexto en que sean utilizados. Es decir, cuando hacemos referencia a estructuras funerarias (cremación-inhumación), tomaremos los totales de tumba. De igual modo, cuando hagamos inferencias sobre gestos funerarios observados en el esqueleto, utilizaremos los totales de NMI (quemados o no quemados).

¹ NEF, número de estructura funeraria. La denominación de NEF tiene su equivalencia en las denominadas unidades funerarias empleadas en trabajos de arqueología de la muerte por otros autores (Ciurana, 2011). Cada NEF está constituida por varias UUEE dependiendo de los componentes de la tumba o elemento funerario a describir.

² NMI (número mínimo de individuos).

Tabla 3.1. Tumbas y NMI de la Necrópolis

	OSEOS			Nº RESTOS Nº TUMBAS			ESTRUCT.
	ESQUEL.	CREM.	SUMA	INHUM	CREM	SUMA	
SIGLO II A.C	77	10	87	71	12	83	7
SIGLO I A.C	8	32	40	9	32	41	6
SIGLO I D.C	54	8	62	50	13	63	5
SIGLO II D.C	29	1	30	28	3	31	
SIGLOS II-III D.C	22	10	32	21	9	30	2
TOTAL	190	61	251	179	61	248	20

Con respecto al NMI de las cremaciones hay que mencionar que en algunas se han hallado restos de dos individuos y en ocasiones a la hora de abordar el estudio antropológico la muestra conservada era tan escasa que no se ha podido hacer el análisis. En la tabla inferior hacemos referencia por cronologías al nº de tumbas de cremación, el número mínimo de individuos en relación a las tumbas con restos óseos analizables.

Tabla 3.2. Nº de enterramientos y NMI del rito de la cremación

	Nº TUMBAS	Nº TUMBAS CON RESTOS	NMI
SIGLO II A.C	12	7	10
SIGLO I A.C	32	25	32
SIGLO I D.C	13	8	8
SIGLO II D.C	3	1	1
SIGLO II-III D.C	9	8	10
TOTAL	69	49	61

Además de las estructuras correspondientes a tumbas de inhumación y cremación que hacen un total de 248, hay que añadir otras 20 relativas a *ustrina*, *cenotafios*, zanja votiva, calzadas como elementos de mención y que comportan el panorama funerario de cada fase de utilización.

3.2 Metodología de campo

La investigación de la necrópolis romana de la calle Quart, ha supuesto a lo largo de los últimos quince años un esfuerzo que se inicia en el hallazgo de los primeros vestigios. La metodología empleada durante los trabajos de campo, ha condicionado favorablemente en la preparación de esta tesis doctoral. La excavación de la necrópolis romana de la calle Quart supuso un reto desde varios aspectos de la práctica arqueológica. La complejidad que supone una excavación con un planteamiento del trabajo específico, y la adaptación de la metodología a una necrópolis, además de la participación de un

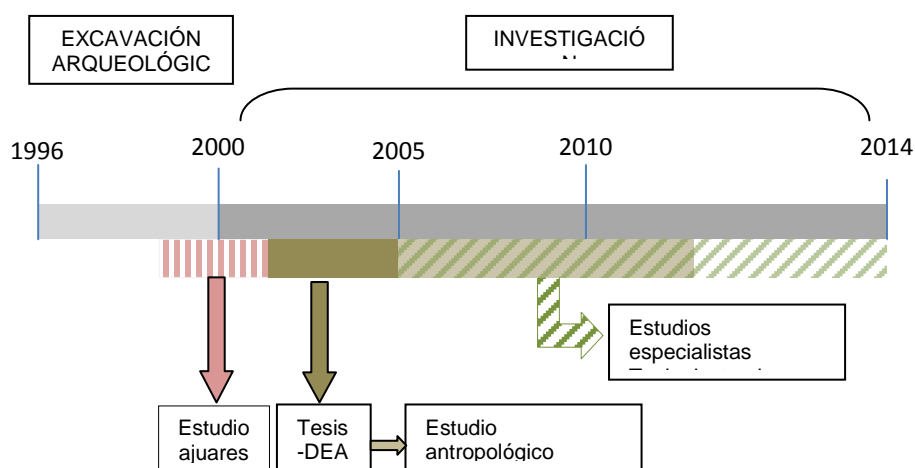
equipo especializado, iba más allá de la mera y sucinta documentación arqueológica de urgencia.

La labor desempeñada desde el Servicio de Investigación Arqueológica Municipal (SIAM) a partir de los años 80, con la normativa de protección arqueológica del año 1983, y con el Plan General de Ordenación Urbana (P.G.O.U) en el año 1988 (Ribera, 1998, 21), delimitó competencias y motivó la normalización metodológica de las intervenciones arqueológicas. La consideración de Valencia como un yacimiento único facilitó la integración en la interpretación de las diferentes fases de utilización de la necrópolis, a través del mosaico urbano que supone la excavación de solares.

La metodología de excavación empleada desde los años 80 del pasado siglo se basa en la utilización de la matriz de Harris (Harris, E.C, 1979), derivada del registro de datos en fichas de unidades estratigráficas³. Con esta base metodológica se han ido sustituyendo otros métodos como el diario de las excavaciones menos prácticos para las intervenciones urbanas y con carácter de urgencia.

En este apartado presentamos dos tipos de planteamientos metodológicos uno en el campo y otro que detalla las bases metodológicas empleadas.

Durante la fase de investigación, se han desarrollado de forma paralela e integrada la intervención de numerosas disciplinas que nutren y auxilian la Arqueología Funeraria. Nos estamos refiriendo a la participación de especialistas en materias como la Bioantropología, Paleopatología, Zooarqueología, Antracología, Malacofauna y estudio químico del hueso.



³ Ver protocolos metodológicos (3.1 a 3.5).

3.2.1 Aspectos arqueológicos de campo

Se presentan los protocolos para la toma de datos en el campo utilizadas durante la excavación desde el año 1996 hasta el 2000. Las fichas de registro han sufrido una evolución que parte de amplios campos descriptivos a la proliferación de campos necesarios para recoger la información precisa para su tratamiento posterior.

Durante la excavación de la necrópolis se tuvieron en cuenta tres aspectos fundamentales relativos a la localización de las tumbas, y estructuras funerarias, y a la detección del nivel de superficie que configura el suelo de la necrópolis que facilita al excavador la visión de conjunto y la interpretación de las fases funerarias. De acuerdo con el método cronoestratigráfico Harris, a cada elemento, ya sea fosa, esqueleto, relleno, o nivel de cementerio, se le otorga un número de unidad estratigráfica (UE) y las relaciones que hubiera entre ellos se plasman en el diagrama cronoestratigráfico, convirtiéndose en una herramienta muy útil durante el trabajo.

Cada (U.E), se describió por medio de diferentes fichas de registro (protocolos), proporcionadas por el Servicio de Arqueología del Ayuntamiento de Valencia (SIAM). Para facilitar la tarea de la excavación y de la elaboración de las memorias científicas, y a su vez para evitar errores metodológicos, en cada campaña de excavación se empleó una U.E diferente, coincidiendo con las distintas actuaciones en el solar. Así durante las campañas 1,2 y 3 CAÑ, las UU.EE comenzaron por 1 (1.000), durante la 4ª campaña, cada unidad estratigráfica comenzaba por 2 (2.000) y en la quinta y última, se empleó el número 3 (3.000).

El Servicio de Investigación Arqueológica Municipal, (SIAM), fue el ente público que estableció el protocolo de intervenciones arqueológicas, y la metodología a emplear. En este sentido, al excavador se les facilitaba tres tipos diferentes de fichas de toma de datos relativas a: Estratos (protocolo 3.1), construcciones o estructuras (protocolo 3.) y de esqueletos (protocolo 3.3 y 3.4), No había un protocolo integrado para la excavación de tumbas, independientemente del periodo cronológico. Por ejemplo, para documentar el hallazgo de un ajuar funerario, no había una ficha dedicada *ex proceso*, de modo que se tomaba referencia en la ficha de estratos, y se detallaba en el campo de observaciones que se trataba de ajuar funerario. Los arqueólogos durante años han tenido que adaptarse a estos protocolos, teniendo que completarlos con otras descripciones complementarias siempre dependiendo del interés particular del director de la intervención, con la consiguiente merma de documentación que esta carencia suponía.

Como hemos mencionado con anterioridad, generalmente cada enterramiento consta al menos de tres unidades estratigráficas (U.E), referentes al relleno de la tumba, la fosa y

el esqueleto. En el caso que ésta estuviera provista de cubierta o constara de otros elementos edilicios, éstos se identificaban con otro número de unidad estratigráfica y se describían en las fichas habituales. Una vez tomados los datos relativos al enterramiento, y empleando las fichas del servicio municipal, todos los elementos excavados se situaban y se documentaban gráficamente por medio de planimetrías y secciones, a escala 1:20 y para los enterramientos, también a 1:10. La realización de fotografías y diapositivas de cada uno de los enterramientos y estructuras funerarias, ha permitido tener una visión completa de los principales aspectos de la necrópolis.

Una vez concluidos los trabajos de campo, comenzaron las tareas propias de recogida de datos para la redacción de las memorias científicas, secuencia gráfica de cada fase cronológica y catalogación de los materiales que formaban parte del ajuar funerario, entre otras funciones.

A. Fichas de registro. La ficha de estratos (Protocolo 3.1).

Este protocolo se utilizó para documentar e identificar los rellenos de las tumbas, los estratos de tierra con materiales o los diferentes estratos matrices de tumbas

La ficha se compone de diferentes bloques distribuidos en dos caras:

En la cara anterior de la ficha de registro de estrato se recogen los siguientes aspectos:

- 1) Localización: se refiere a una anotación breve de aspectos relativos al tipo de hallazgo y donde se localiza con respecto al yacimiento única de Valencia.
 - Fecha de la toma de datos.
 - Intervención/ Acrónimo de la excavación
 - Número de unidad estratigráfica UE.
 - Fecha, Coordenadas, sector y zona.
 - Cronología relativa.
 - Fiabilidad estratigráfica (si el estrato está alterado por alguna otra UE).
- 2) Descripción:
 - Composición de la tierra, haciendo referencia a la presencia y/o ausencia de elementos como cenizas, carbones, hueso, malacofauna, madera, escoria de hierro, cerámicas, etc. así como los materiales que se recuperan durante el proceso.
 - Descripción textual de las principales características del estrato y su relación con el hallazgo.
 - Textura de la tierra relativa a si es arcillosa, arenosa, limos, etc.
- 3) Relaciones estratigráficas:
 - Un espacio donde de forma muy concreta se establecen las relaciones estratigráficas inmediatas y su plasmación en una pequeña matriz Harris

que con posterioridad ayuda a la formación de la matriz general de la necrópolis.

4) Croquis:

- Un campo que permite hacer un croquis con la extensión del estrato, donde se pueden anotar las cotas así como su relación con otros hallazgos inmediatos.
- Junto a este campo, hay otro con un amplio espacio para la redacción de aquellos aspectos que se quieran reseñar y que no se han anotado en los campos de descripción o de relaciones estratigráficas.

La cara posterior de la ficha, está destinada a la interpretación y recogida de muestras principalmente:

5) Interpretación:

- En este apartado hay campos relativos a la toma de muestras (tierra, carbones, etc.) dejándose a criterio del excavador.
- La técnica de excavación empleada, el tipo de utensilio empleado así como si se ha cribado o no la tierra para recoger las muestras.
- Por último en este apartado se recogen datos relativos al tipo de estrato, si forma parte de una construcción, si es un relleno de una fosa excavada en la tierra, si se trata de un nivel de carácter natural, etc.

6) Materiales. En esta espacio que ocupa gran parte de la cara posterior de la ficha, se recogen de forma muy esquemática los diferentes tipo de cerámica recuperados en el estrato desde el periodo romano republicano, hasta época contemporánea.

- Con una frecuencia que va del 1 al 3, se marcan los hallazgos de cerámica presentes en el estrato y que ayudan para el trabajo posterior de inventario de materiales cerámicos, así como para establecer la datación que *a priori* se anota en la cara anterior de la ficha.
- En el caso de los ajuares se optó por otorgar el mismo número de unidad estratigráfica que al relleno, haciendo siempre una distinción durante la documentación entre los materiales incompletos, fragmentados y mezclados entre el estrato y los aquellos que estaban depositados en la base de la tumba o junto al esqueleto con una intencionalidad clara y que por lo tanto constituyen el ajuar funerario.

B. Fichas de registro: la ficha de estructuras (Protocolo 3.2)

Se empleó para documentar e identificar las estructuras halladas durante la excavación de la necrópolis.

Este protocolo de documentación también se compone de diferentes bloques distribuidos en dos caras:

En la cara anterior se recogen los siguientes aspectos:

- 1) Localización: al igual que en la ficha anterior se recogen aspectos básicos de la estructura como:
 - Fecha de la toma de datos.
 - Intervención/ Acrónimo de la excavación.
 - Número de unidad estratigráfica UE.
 - Fecha, Coordenadas, sector y zona.
 - Cronología relativa.
 - Fiabilidad estratigráfica (si el estrato está alterado por alguna otra UE).
- 2) Descripción:
 - Clase de estructura.
 - Tipo de conservación. Hace referencia a si permanecerá tras la documentación o por el contrario se destruirá para seguir la excavación por debajo de la estructura, así como si se somete algún tipo de conservación, etc.
 - Tipo de materiales que forman parte de la construcción y dimensiones de los mismos.
 - Tipo de técnica constructiva, disposición y orientación con respecto al plano.
- 3) Relaciones estratigráficas:
 - Un espacio donde de forma muy concreta se establecen las relaciones estratigráficas inmediatas y su plasmación en una pequeña matriz Harris que con posterioridad ayuda a la formación de la matriz general de la necrópolis.

La cara posterior de la ficha, está destinada principalmente a la plasmación gráfica del hallazgo:

- 4) Croquis:
 - Un amplio campo cuadrulado donde se deben reflejar las estructuras, con las cotas, la referencia al Norte y otras unidades estratigráficas que facilite al excavador una mejor comprensión del área.
 -

5) Comentarios:

- Aquellos aspectos importantes que nos e han reflejado con anterioridad pueden ser anotados en este campo.
- Documentación.
- Hace referencia al tipo de documentación que se hace de esta unidad estratigráfica, tanto planimétrica, como de tipo de fotografía, así como el autor de la ficha y su revisor.

C. Aspectos antropológicos de campo (Protocolos 3.3 y 3.4)

Durante los trabajos de excavación de la necrópolis romana de la calle Quart, se emplearon dos tipos de fichas relativas a la toma de datos antropológicos de campo.

El primer protocolo empleado constaba de dos bloques dedicados de forma muy generalizada a la descripción del esqueleto y del enterramiento (Protocolo 3.3).

- 1) Localización del hallazgo al igual que en los anteriores protocolos.
- 2) Posición del esqueleto.
 - Croquis del esqueleto donde se dibujaba la posición craneal y postcraneal, además de anotar las cotas superiores inferiores.
- Unos campos destinados a indicar el estado de conservación así como si se encontraba completo, o removido.
- Un campo dedicado a anotar observaciones que el excavador así considere.
- Esta primera parte finaliza con la notación de datos antropométricos sobre el dibujo de un esqueleto en norma anterior y posterior.

La cara posterior de la ficha, está destinada principalmente a la documentación de la tumba:

- 3) Aspectos topográficos de la tumba:
 - La ubicación del hallazgo en un sector de la necrópolis, la orientación y otros datos topográficos importantes, se plasman en un pequeño croquis y unos campos explicativos al inicio de esta cara posterior de la ficha.
- 4) Características de la tumba:
 - Datos relativos a la clase de tumba y dimensiones.
 - La forma y la construcción de la misma.

- Referenciar el número mínimo de individuos.
- Anotar la presencia y ausencia del ajuar funerario.
- Un campo dedicado a anotar observaciones.

5) Características de la fosa:

- Donde se reflejan las principales unidades estratigráficas.
- Un campo para la interpretación del hallazgo.

Con posterioridad, se redactó un nuevo protocolo más completo, donde se añadieron aspectos más técnicos que permitían una mayor información de campo muy útil a la hora de hacer el estudio antropológico en el laboratorio (Protocolo 3.4).

Las principales diferencias con respecto a la primera ficha están en la ampliación de la cara anterior con abundantes datos sobre la deposición del esqueleto y la forma de reflejar las relaciones estratigráficas:

1) Tras especificar en la parte superior de la ficha el acrónimo de la intervención, fecha, localización dentro del área excavada y el número de U.E designado, se anotan datos relativos a la Deposición del esqueleto a partir de:

- La realización del croquis a mano alzada en el que se refleje: la posición del esqueleto, la orientación respecto al N magnético, las cotas obtenidas respecto al punto 0 de la excavación.
- Descripción general del esqueleto.
- Anotación con una “x” si el enterramiento es primario o secundario, individual o colectivo y si la descomposición del cuerpo se hizo en medio aeróbico o anaeróbico.
- Anotación telegráfica con una “x” sobre la posición general del cuerpo y por regiones anatómicas.
- Aspectos tafonómicos que hayan podido inferir en la conservación de los restos.

2) Contexto y relaciones estratigráficas. Una vez finalizada la descripción del esqueleto y del enterramiento, el siguiente apartado lo constituye el dedicado al tipo de sepultura.

Si quedan restos de ella, se puede averiguar qué tipo de sepultura albergaba el enterramiento.

Los ritos funerarios de la necrópolis romana de la calle Quart de Valencia (Siglos II a.C-III d.C.)

- Unos campos esquemáticos permiten indicar el tipo de tumba (fosa simple, fosa con paredes de piedra o ladrillo y cubierta, nicho, cista, fosa con cámara lateral, u otras); el tipo de receptáculo funerario y evidencias de mortaja o restos de indumentaria.
- Este apartado general se completará indicando en un croquis los números de U.U.E.E. por los que está compuesto el enterramiento y especificando en las casillas correspondientes las relaciones estratigráficas (diagrama Harris) en la parte inferior derecha de la ficha.

La cara posterior de la ficha está destinada principalmente a la descripción del esqueleto, observaciones antropológicas y paleopatológicas:

- 3) Croquis donde se marcan las regiones anatómicas conservadas que ayudan a la designación posterior del índice de conservación esquelética.
- 4) Datos antropológicos relativos a la determinación de sexo y edad.
- 5) Respecto a la dentición, se indica con una “x” las patologías que se observen y el grado de desgaste de los molares.
- 6) Toma de medidas postcraneal útil para la estimación de la talla antes de su exhumación.
- 7) Observación de la evolución de osteofitos para determinar posibles signos degenerativos en columna vertebral.
- 8) Un campo dedicado a las observaciones que no hayan tenido un espacio en el protocolo, dado que los aspectos antropológicos son muy sucintos y escasos hasta el estudio posterior de laboratorio.
- 9) Por último, hay unos campos donde se ha referencia a la toma de fotografías y el levantamiento planimétrico antes de la exhumación de restos y el ajuar funerario que lo acompaña.

3.3 Bases metodológicas

Con posterioridad a la excavación arqueológica, los informes y memorias científicas fueron redactados según las normativas vigentes y establecidas por la Dirección General de Patrimonio, en base a las disposiciones legales expresadas en la Ley de Patrimonio Cultural Valenciano⁴.

⁴ LEY 4/1998 de 11 de junio, Ley 7/2004 de 19 de octubre y Ley 5/2007 de 9 de febrero.

Las bases conceptuales tratadas en esta tesis parten de los principios teóricos fundamentales presentes en trabajos de especialistas en Arqueología Funeraria y que compartimos metodológicamente. Nos referimos al trabajo del programa *Mourir a Pompei* dirigido por W. Van Andringa y S. Lepetz. Lepetz (Van Andringa, 2001), los trabajos de síntesis y transversales de Crubézy, Masset y cols sobre Arqueología Funeraria (Ferdrière, 2000), y los trabajos dirigidos por Valérie Bel sobre “Pratiques funéraires du haut-Empire dans la midi de la Gaule” (Bel, 2002).

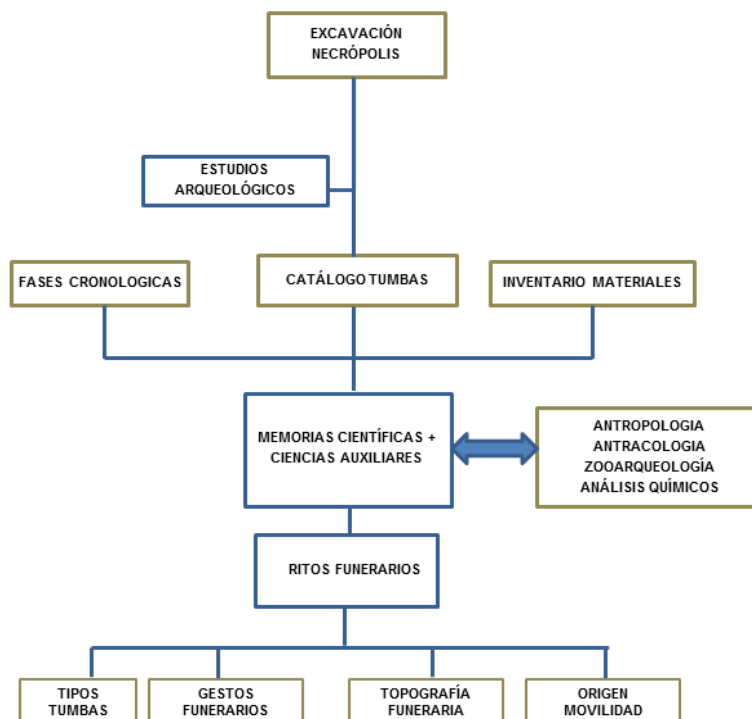


Figura 3.1. Arqueología del ritual: esquema de síntesis metodológica aplicada a la necrópolis

Partiendo de estas y otras fuentes bibliográficas diseñamos nuestro trabajo descriptivo a partir de unas bases fundamentales:

3.3.1 Inventario y catalogación de ajuares funerarios

En primer término, se procedió al inventario y catalogación de los materiales procedentes de los ajuares funerarios (Protocolo 3.5) y que se realizó tras las campañas de excavación, haciendo una distinción entre materiales presentes en las tumbas como objeto de ajuar, o producto del ritual del banquete funerario (*silicernium*) de los que se encuentran entre el relleno de las tumbas⁵. Los materiales presentes en la tesis forman parte del ajuar funerario. Se ha hecho una selección de aquellos que mejor información

⁵ La bibliografía empleada para esta catalogación de materiales arqueológicos es la habitual para el inventario de materiales cerámicos y vidrio de época romana tanto para la vajilla de mesa como para la de cocina o cerámica común (Hayes, 1972, 1985; Isings 1957, 1971; Lamboglia, 1952, Mayet, 1983; Vegas, 1973, Aquilué,

aportan para la interpretación del ritual funerario. Estos ajuares se encuentran integrados en láminas junto a la planimetría de la tumba, y fotografías del hallazgo en el catálogo de tumbas y estructuras funerarias (Parte II 5. Resultados. Catálogo de tumbas y estructuras funerarias).

3.3.2 Base de datos integrada (contenidos)

La elaboración de una base de datos a partir de hojas de cálculo Excell 2010, permitieron organizar y sistematizar las principales características de las tumbas divididas en: tipología de tumbas, gestos funerarios, análisis de cremaciones y datos antropológicos y paleopatológicos.

Tipología de tumbas

Debido al importante número de tumbas excavadas en la necrópolis y la coexistencia del ritual de la inhumación y cremación, se determinó establecer una tipología de enterramiento para facilitar su lectura y comprensión a la hora de analizar los resultados. Las tumbas están excavadas en los estratos de tierra y arenas, tanto naturales como antrópicos, y si bien en un principio resultaba fácil su descripción, a la hora de hacer inferencias entre los rituales practicados, fue determinante establecer una tipología de acuerdo con la forma y composición de la tumba.

Tabla.3.2 Tipos y código de clasificación de las tumbas de inhumación y cremación

Inhumación	Simple/A, Simple/B, F. Común/C, Doble/D, Adobes/E, <i>Ustrinum</i> /F, Cámara/G, <i>Tegulae plana</i> /H, Ánfora/I
Cremación	<i>Bustum</i> /J, <i>Loculus</i> /K

Gestos funerarios: deposición, posición, descomposición medio vacío y colmatado, mortaja

Las cuestiones relativas a los signos funerarios denominados como gestos funerarios fueron recogidos según las bases conceptuales de (Ubelaker 1989; Mallegni y Rubini 1994 y Canci y Minozzi, 2005).

Se denomina **deposición** a la disposición del individuo en el interior de la tumba. Las más habituales son: decúbito supino, decúbito prono, decúbito lateral (derecho-izquierdo), fetal, reclinado y sentado entre otras⁶.

La **posición** del esqueleto hace referencia a la colocación de la anatomía en función de brazos, piernas y cráneo. Hemos seguido las propuestas de Ubelaker (1989).

X, 1994, Atlante, 1981). Para la catalogación de la cerámica ibérica se ha empleado las tipologías de Mata y Bonet, 1992 y Aranegui, 1985).

Cuando se hace referencia la posición del cráneo se hace detallando la lateralidad (derecha-izquierda), o bien se describe siguiendo los puntos cardinales (Este-Oeste-Norte-Sur).

Para las extremidades se emplearán los términos de extendido, semiflexionado, flexionado e hiperflexionado:

- Extendido: cuando las piernas están rectas, juntas describiendo un ángulo de 180° con respecto del tronco.
- Semiflexionado: se aplica cuando el ángulo entre el eje del tronco y el eje del fémur está entre 90 y 180°.
- Flexionado: cuando el ángulo es de 90 o menos de 90° entre el eje del tronco y el del fémur.
- Hiperflexion: cuando la posición de la extremidad está completamente forzada viéndose reducido el ángulo de forma considerable.

Para poder hacer una lectura correcta de estas posiciones, se diseñó una codificación que describiera las colocaciones de brazos: (0) posición indeterminada; (1) estirados junto al cuerpo, (2) semiflexionados, (3) hiperflexionados, (4) cruzados a la altura del pecho, (5) cruzados a la altura de la pelvis, (6) uno estirado y otro semiflexionado. Y también de piernas: (0) posición indeterminada, extremidades estiradas y juntas (8), estiradas separadas (9), semiflexionadas (10), hiperflexionadas (11), una estirada y otra semiflexionada (12), (13) otras posiciones

Descomposición en medio vacío o medio aeróbico

Cuando el cadáver se ha descompuesto de forma natural dentro de un receptáculo funerario, en una cista, o en un espacio vacío como una cueva, la destrucción de los ligamentos articulares han liberado progresivamente los elementos óseos convirtiéndose en móviles, pudiéndose algunos huesos dislocarse bien por efecto de la gravedad, bien por otros factores que bien cabría anotar.

Por efecto de la gravedad los signos más evidentes son visibles en: dislocación del cráneo, caída de la mandíbula generalmente sobre el tórax, dislocación de la articulación del húmero, apertura de coxales, caída de ambas rótulas o al menos alguna de ellas, dislocación de la articulación cúbito-radio, etc. Estos signos son patentes cuando el esqueleto está en posición de decúbito supino, en cambio cuando está de decúbito lateral es posible al menos observar la caída de la escápula y un coxal pudiéndose ocultar detrás del tronco.

⁶ En nuestro trabajo se ha establecido una codificación que contempla cada una de las alternativas: 0 indeterminado; 1=supino-dorsal; 2=prono-ventral; 3=lateral derecho; 4=lateral izquierdo; 5=sentado; 6=fetal-dorsal.

Tal y como se ha mencionado al inicio de este apartado, la alteración o dislocación de los huesos a veces puede producirse de forma intencionada por la acción antrópica. Este “saqueo”, se detecta en forma de túneles, fosas o agujeros realizados sobre la tumba.

Descomposición en medio colmatado

Por el contrario, si la descomposición se produjo en un medio colmatado, es decir el cuerpo se introduce en la tumba y directamente se le arroja tierra encima, no se producirán ninguno de estos efectos, al no haber espacios vacíos, no se producirá un desplazamiento de los huesos quedando en la misma posición que cuando se enterraron. Este fenómeno es lo que se llama “efecto pared” y ésta puede tratarse del límite natural de la fosa, de la cámara funeraria o la pared lateral del sarcófago, impidiendo la caída de que cualquier material ya sea hueso, cerámica u objeto metálico.

Por otro lado cuando nos encontramos con esqueletos en posiciones muy contraídas y de máxima flexión no necesariamente significa que el individuo hubiese estado amortajado con fuerza aprisionándole los miembros, o encerrado en un saco. En ocasiones estas posiciones se deben a fenómenos de compresión transversal que se dan cuando el cuerpo yace en decúbito supino en un contenedor estrecho (sudario, fosa o receptáculo demasiado ajustado) o tal vez, a cuestiones ajenas a esta categoría y cuya posición forzada habría que buscarla en las posibles causas de muerte.

Mortaja

La posición que adoptan las extremidades también viene condicionada por la mortaja que aunque no suele conservarse, puede intuirse a través de la posición del esqueleto: las clavículas en forma de “V” indican que el individuo fue amortajado a la altura de los brazos; las rodillas juntas señalan que pudieron haber estado juntas por ligaduras y al igual ocurre con los tobillos que en muchas ocasiones aparecen juntos a la altura de los tobillos o cruzados uno encima del otro⁷.

Una tercera hoja de cálculo recogía los datos resultantes de los **estudios antropológicos y paleopatológicos**⁸ que expresan los datos fundamentales de edad

⁷ La evidencia de mortaja se ha valorado a partir de un código numérico propio: 1= mortaja a nivel de cabeza (mandíbula); 2=hombros; 3=codos; 4=manos; 5=rodillas; 6=tobillos; 7=pies.

⁸ El estudio bioantropológico y paleopatológico se llevó a cabo en sus inicios en el extinto laboratorio de Antropología y Paleopatología de la Facultad de Medicina de la Universidad de Valencia, bajo la dirección del catedrático José Delfín Villalaín. Los estudios fueron llevados a cabo por Manuel Polo Cerdá y por esta autora. El protocolo de toma de datos fue diseñado por los investigadores del Proyecto “Bioantropología de los Primeros pobladores de Valencia”, y del que forma parte esta tesis doctoral. El estudio se desarrolló siguiendo los siguientes aspectos reflejados en distintos protocolos de toma de datos: Estudio bioantropológico y paleopatológico de esqueletos adultos (Polo y García-Prósper, 2004). Estudio bioantropológico y paleopatológico de esqueletos infantiles y neonatos. Ficha de laboratorio para estudio de cremaciones (Protocolo 3.9) (García-Prósper y Polo, 2003).

El estudio y análisis Antropológico y Paleopatológico de esta necrópolis se recoge en la Tesis doctoral de Manuel Polo Cerdá “Paleobiología humana de la fundación romana de Valencia”. Universidad de Alicante.

(Infantil I, Infantil II, juvenil, adulto joven, adulto maduro, senil)⁹; sexo (varón, mujer, indeterminado, alofiso), talla¹⁰. Las patologías valoradas en un código numérico entre (0 al 7)¹¹, la presencia/ausencia de variantes de la normalidad y los marcadores de actividad motora valoradas en un código numérico entre (0 al 6)¹².

Para el **estudio de las cremaciones** se han empleado las metodologías de estudio e identificación de restos quemados hallados en *loculi*, *busta* y en urna. Así como también los restos óseos residuales hallados en los diferentes *ustrina* como ejemplo de la última combustión. El estudio de laboratorio se ha realizado según los protocolos publicados por esta autora junto a Manuel Polo (Polo y García-Prósper, 2007).

Como complemento al estudio se ha contado con la colaboración desinteresada de la especialista en **Zooarqueología**, la Dra. Pilar Iborra que desde el Instituto Valenciano de Cultura y Restauración (IVC+R Culturarts Generalitat), llevó a cabo el estudio de fauna a partir de una estrategia de muestreo que ha permitido inferir datos que nutran la interpretación de los rituales practicados. Los datos aportados se encuentran reflejados en el catálogo anteriormente citado, aspectos para la discusión (Parte II: capítulo 6), y en el anexo 1 (PARTE II: capítulo 10.1).

El estudio de **Antracología** de la necrópolis ha sido realizado por la investigadora Sonia de Haro, Universitat València. Los datos aportados se encuentran reflejados en el catálogo anteriormente citado y en el anexo 3. Y los escasos restos de malacofauna de carácter ritual hallados en la necrópolis, han sido estudiados por la especialista M^a Sagrario Carrasco Porrás de la Universitat de València. Los resultados al igual que en los casos anteriores se encuentran integrados en el catálogo de tumbas y aspectos de su discusión se hallan en el apartado correspondiente (Parte II: capítulo 6), y en el anexo (PARTE II: capítulo 10.2).

El material **numismático**, ya presentado en un anexo en la tesis de Licenciatura en el año 2002, fue elaborado por el arqueólogo Antonio Sáez Landete en colaboración con Nuria Lledó. Los resultados de su estudio, la catalogación de las monedas recuperadas en las tumbas se encuentran integradas en las descripciones de las estructuras funerarias presentes en el catálogo y aspectos para su discusión se hallan en el

⁹ Se han empleado los métodos de determinación de la edad y sexo recogidos principalmente en los "Standars for data collection from human skeletal remains" Buikstra y Ubelaker, 1994.

¹⁰ Para la estimación de la talla se han empleado las tablas y fórmulas regresivas de Mendonça (2000); Trotter y Glesser (1958) y, Manouvrier (1893).

¹¹ La codificación de los tipos de patologías observables son: 0= ausencia de patología; 1=presencia; 2=patología infecciosa; 3=patología traumática; 4=patología tumoral; 5=patología nutricional, carencial y/o metabólica; 6= patología degenerativa y 7= otras patologías no descritas con anterioridad.

¹² La codificación de los tipos de variantes de la normalidad observables son: 0= ausencia; 1=presencia; 2=cintura escapular; 3=miembros superiores; 4=pelvis; 5=miembros inferiores; 6= otras variantes no descritas con anterioridad.

Los ritos funerarios de la necrópolis romana de la calle Quart de Valencia (Siglos II a.C-III d.C.)

apartado correspondiente (Parte II: capítulo 6 de esta tesis) y en el anexo (PARTE II: capítulo 10.3).

Todas las descripciones de tumbas y estructuras funerarias con los estudios realizados se encuentran integrados en un **catálogo** subdividido según fases funerarias e ilustrado por las láminas de las principales unidades funerarias (NEF) (Parte II: capítulo 5).

Por último, para la cuestión de movilidad y posible **origen** de los fundadores de la ciudad, se encargó un estudio a la especialista Kelly J. Knudson del Centre for Bioarchaeological Research de Arizona State University cuyos resultados se han integrado en el texto (PARTE II: capítulo 6, epígrafe 6.6.3).

3.3.3 Protocolos metodològics

LOCALITZACIÓ		AJUNTAMENT DE VALÈNCIA															
		SERVEI DE PATRIMONI HISTÒRIC I CULTURAL		S. I. A. M.													
LOCALITZACIÓ		VALÈNCIA 19				Intervenció											
		DATES	COORDENADES	SECTOR	ZONA	U.E.	Nº d'U.E.										
LOCALITZACIÓ		COTES		PERTANY AL		Datació provisional				Fiabilitat Estratigràfica							
		Z sup.	Z inf.	Fet:	Basada en:				Per qué?								
DESCRIPCIÓ		COMPOSICIÓ															
		CENDRES	CARBONS	OS	MALACOL	FUSTA	RAJOLA	ESCÒRIA	ENLLUÏT	MORTER	CALÇ	BLOCS	TEULES	TOVES			
DESCRIPCIÓ		Freqüència: Inexistent - 0 Escassa - 1 Mitjana - 2 Freqüent - 3															
		ORGÀNIC						INORGÀNIC									
DESCRIPCIÓ												TEXTURA					
												Argila	<input type="checkbox"/>	Lim	<input type="checkbox"/>	Arena	<input type="checkbox"/>
RELACIONS		Igual a:	Equival a:				<input type="checkbox"/>	<input type="checkbox"/>	<input type="checkbox"/>	<input type="checkbox"/>	<input type="checkbox"/>	<input type="checkbox"/>	<input type="checkbox"/>	<input type="checkbox"/>	<input type="checkbox"/>	<input type="checkbox"/>	
		Se li recolza:	Es recolza en:				<input type="checkbox"/>	<input type="checkbox"/>	<input type="checkbox"/>	<input type="checkbox"/>	<input type="checkbox"/>	<input type="checkbox"/>	<input type="checkbox"/>	<input type="checkbox"/>	<input type="checkbox"/>	<input type="checkbox"/>	
		Cobert per:	Cobreix:				<input type="checkbox"/>	<input type="checkbox"/>	<input type="checkbox"/>	<input type="checkbox"/>	<input type="checkbox"/>	<input type="checkbox"/>	<input type="checkbox"/>	<input type="checkbox"/>	<input type="checkbox"/>	<input type="checkbox"/>	
		Reblit per:	Rebleix:				<input type="checkbox"/>	<input type="checkbox"/>	<input type="checkbox"/>	<input type="checkbox"/>	<input type="checkbox"/>	<input type="checkbox"/>	<input type="checkbox"/>	<input type="checkbox"/>	<input type="checkbox"/>	<input type="checkbox"/>	
		Tallat per:	Talla:				<input type="checkbox"/>	<input type="checkbox"/>	<input type="checkbox"/>	<input type="checkbox"/>	<input type="checkbox"/>	<input type="checkbox"/>	<input type="checkbox"/>	<input type="checkbox"/>	<input type="checkbox"/>	<input type="checkbox"/>	
CROQUIS						COMENTARIS:											

Protocolo 3.1. Ficha de estratos arqueológicos (anverso)

INTERPRETACIÓ	MOSTRES ARREPLEGADES	TÈCNICA D'EXCAVACIÓ			
	GARBELLAT: <input type="checkbox"/> SI <input type="checkbox"/> NO				
<input type="checkbox"/> Construcció <input type="checkbox"/> Destrucció <input type="checkbox"/> Ocupació <input type="checkbox"/> Rebliment <input type="checkbox"/> Abandonament <input type="checkbox"/> Natural EXPLICACIÓ					
MATERIALS	VOLUM DE MATERIAL				
	0. Res	1. Molt escàs (Menys d'1 bossa petita)	2. Escàs (1 bossa petita)	3. Normal (1 bossa gran)	4. Abundant (Vàries bosses grans)
ROMÀ-REPUBLICÀ		ROMÀ-TARDÀ		BAIX-MEDIEVAL	
1. Ibèrica	1 2 3	27. Sigil.lata clara C	1 2 3	50. Ceràmica grisa	1 2 3
2. Campaniana A	1 2 3	28. Sigil.lata clara D	1 2 3	51. Verd i manganès	1 2 3
3. Campaniana B (Cales)	1 2 3	29. Deriv. Sigil.lata Paleocr. (DSP)	1 2 3	52. Ceràmica blava	1 2 3
4. Beoide	1 2 3	30. Altras ceràmiques fines	1 2 3	53. Ceràmica daurada	1 2 3
5. Verrins negre (genèric)	1 2 3	31. Llàntries	1 2 3	54. Blava i daurada	1 2 3
6. Llàntries	1 2 3	32. Àmfora africana	1 2 3	55. Monocroma	1 2 3
7. Parets fines	1 2 3	33. Àmfora oriental	1 2 3	56. Ceràmica comuna (genèrica)	1 2 3
8. Àmfora itàlica	1 2 3	34. Àmfores (genèriques)	1 2 3	57. Ceràmica de cuina	1 2 3
9. Àmfores (genèric)	1 2 3	35. Ceràmica de cuina africana	1 2 3	58. Cresols	1 2 3
10. Ceràmica grisa	1 2 3	36. Ceràmica comuna importada	1 2 3	59. Cànters i tenalles	1 2 3
11. Ceràmica de cuina (genèrica)	1 2 3	ISLÀMIC		60. Catúfols	1 2 3
12. Ceràmica comuna itàlica	1 2 3	37. Verd i manganès	1 2 3	61. Taulells i alicatats	1 2 3
13. Cer. comuna taula (genèrica)	1 2 3	38. Corda seca total	1 2 3	MODERN	
ROMÀ-IMPERIAL		39. Daurada	1 2 3	62. Ceràmica blava	1 2 3
14. T. S. Aretina	1 2 3	40. Bícromes	1 2 3	63. Ceràmica daurada	1 2 3
15. T. S. Sudgàl.lica	1 2 3	41. Corda seca parcial	1 2 3	64. Ceràmica d'Alcora	1 2 3
16. T. S. Hispànica	1 2 3	42. Esgrafiada	1 2 3	65. Ceràmica de cuina	1 2 3
17. Sigil.lata clara A	1 2 3	43. Monocromes	1 2 3	66. Ceràmica comuna (genèrica)	1 2 3
18. Sigil.lata clara C	1 2 3	44. Ceràmica comuna (genèrica)	1 2 3	67. Taulells i alicatats	1 2 3
19. Llàntries	1 2 3	45. Ceràmica de cuina	1 2 3	CONTEMPORANI	
20. Parets fines	1 2 3	46. Cresols	1 2 3	68. Pisa	1 2 3
21. Àmfora hispànica	1 2 3	47. Cànters i tenalles	1 2 3	69. Porcellana	1 2 3
22. Àmfora africana	1 2 3	48. Catúfols	1 2 3	70. Ceràmica de cuina	1 2 3
23. Àmfores (genèriques)	1 2 3	49. Taulells i alicatats	1 2 3	71. Ceràmica comuna (genèrica)	1 2 3
24. Ceràmica de cuina (genèrica)	1 2 3	ALTRES MATERIALS		72. Taulells (genèric)	1 2 3
25. Ceràmica comuna africana	1 2 3	74. Vidre	1 2 3	73. Paviment hidràulic	1 2 3
26. Cer. comuna taula (genèrica)	1 2 3	75. Os treballat	1 2 3	80. Monedes	1 2 3
ALTRES CERÀMIQUES		76. Material de construcció	1 2 3	81. Conduccions hidràuliques	1 2 3
.....	1 2 3	77. Pintures murals	1 2 3	82. Pedra treballada	1 2 3
.....	1 2 3	78. Guixeries	1 2 3	1 2 3
.....	1 2 3	79. Metalls	1 2 3	1 2 3
VALORACIÓ (Redacció lliure explicant quins són els materials més comuns, els més representatius i els excepcionals, les intrusions i la cronologia argumentada)					
DOCUMENT	PLÀNOL/S N ^o	<input type="checkbox"/> Diapositives		Fitxa feta per:	
	SECCIÓ N ^o	<input type="checkbox"/> Negatiu color	N ^o carret:	Revisada per:	
		<input type="checkbox"/> Negatiu B/N	N ^o carret:		

Protocolo 3.1. Ficha de estratos arqueológicos (reverso)

LOCALITZACIÓ		AJUNTAMENT DE VALÈNCIA		SERVEI DE PATRIMONI HISTÒRIC I CULTURAL			S . I . A . M .			
		VALENCIA 19 _____				Intervenció _____				
DATES		COORDENADES		SECTOR		ZONA		U.E.		Nº d'U.E.
COTES		PENDENT	PERTANY AL Fet:		Datació provisional		Fiabilitat Estratigràfica			
Zsup.					Basada en:		Per qué ?			
Zinf.										
CLASSE			CONSERVACIÓ FINAL			MATERIALS				
MORFOLOGIA										
Descripció global						Dimensions	Mínima	Màxima	Conservat	
						Longitud				
						Amplària				
						Alçada				
Tècnica:						Altres:				
Trabada:										
Disposició:										
Orientació:										
Components individuals:						Dimensions	Mínima	Màxima	Conservat	
						Longitud				
						Amplària				
						Alçada				
RELACIONS						INTERPRETACIÓ-FUNCIÓ:				
Sincròniques:										
Diacròniques:						Explicació:				
Igual a:			Equivalent a:			<input type="checkbox"/>	<input type="checkbox"/>	<input type="checkbox"/>	<input type="checkbox"/>	<input type="checkbox"/>
Se li recolza:			Es recolza en:			<input type="checkbox"/>	<input type="checkbox"/>	<input type="checkbox"/>	<input type="checkbox"/>	<input type="checkbox"/>
Cobert per:			Cobreix:			<input type="checkbox"/>	<input type="checkbox"/>	<input type="checkbox"/>	<input type="checkbox"/>	<input type="checkbox"/>
Reblit per:			Rebleix:			<input type="checkbox"/>	<input type="checkbox"/>	<input type="checkbox"/>	<input type="checkbox"/>	<input type="checkbox"/>
Tallat per:			Talla:			<input type="checkbox"/>	<input type="checkbox"/>	<input type="checkbox"/>	<input type="checkbox"/>	<input type="checkbox"/>
						<input type="checkbox"/>	<input type="checkbox"/>	<input type="checkbox"/>	<input type="checkbox"/>	<input type="checkbox"/>
RELACIONS										

Protocolo 3.2. Ficha de estructuras (anverso)

DOCUMENT	<p style="writing-mode: vertical-rl; transform: rotate(180deg);">CROQUIS: Planta, alçat, secció</p>		
	<p style="writing-mode: vertical-rl; transform: rotate(180deg);">COMENTARIS</p>		
PLANOL/S Nº	<input type="checkbox"/> Diapositives <input type="checkbox"/> Negatiu color		Fitxa feta per:
SECCIO' Nº	<input type="checkbox"/> Negatiu B/N	Nº carret: Nº carret:	
			Revisada per:

Protocolo 3.2. Ficha de estructuras (reverso)



ESQUELET NUM.

VALENCIA 19 _____

Tomba num.

LOCALISACIÓ

ORIENTACIÓ

POSICIÓ DE

cara

braços

cames



¿COMPLET?

¿REMOGUT?

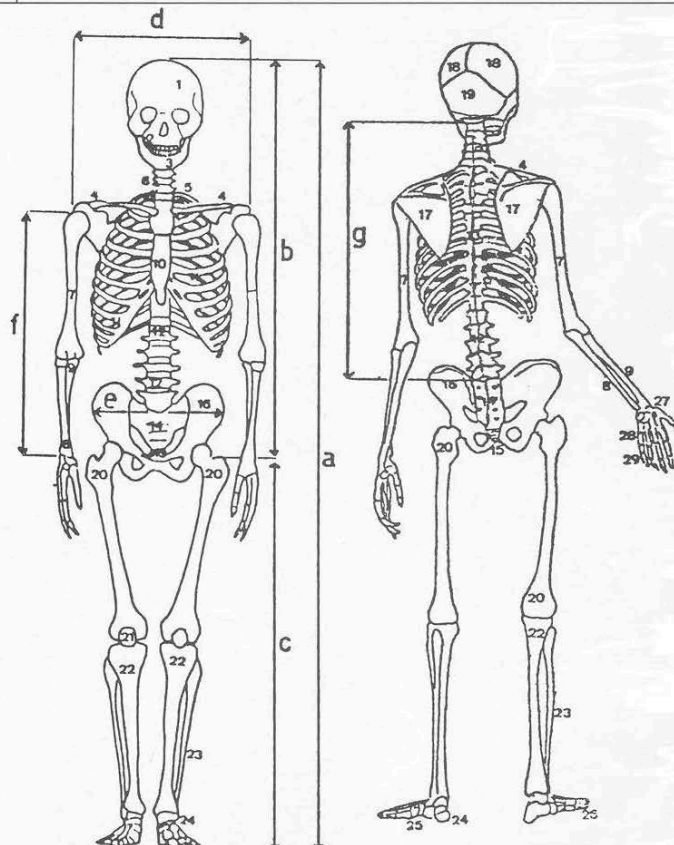
CONSERVACIÓ

Observacions

m i d e s

- A _____ mm.
- B _____ mm.
- C _____ mm.
- D _____ mm.
- E _____ mm.
- F _____ mm.
- G _____ mm.

- 1 craneu
- 2 maxilar superior
- 3 maxilar inferior
- 4 clavícula
- 5 cintura pectoral
- 6 vertebres cervicals
- 7 humer
- 8 cubit
- 9 radi
- 10 esterno
- 11 costelles
- 12 vertebres lumbars
- 13 vertebres dorsals
- 14 sacre
- 15 coccix
- 16 iliac
- 17 omoplat
- 18 parietal
- 19 occipital
- 20 femur
- 21 rotula
- 22 tibia
- 23 perone
- 24 tars
- 25 metatars
- 26 falanges
- 27 carp
- 28 metacarp
- 29 falanges



Protocolo 3.3. Ficha antropológica antigua (anverso)

ESTACIO					T O M B A					
CAMPANYA										DATA
					SECTOR					
					QUADRICULA					
					ORIENTACIO					
					SITUACIO					
A B M O T F O S S A	CLASSE				MIDES tomba	Long. Ampl. Prof.	MIDES caixa	Long. Ampl. Prof.		
	FORMA	PLANTA Superficie				SECCIO Longitudinal				
		Fondo				Transversal				
	CONSTRUCCIO	COBERTA								
		CAPÇALERA								
		COSTATS								
		FONDO								
	FARCIT DE LA TOMBA									
	NUM. INDIVIDUS				REF.					
	AIXOVAR									
OBSERVACIONS										
UNITAT ESTRATIG.					INTERPRETACIO:					
SOBRE										
IGUAL										
TALLA										
FARCIDA										

Protocolo 3.3. Ficha antropológica antigua (reverso)

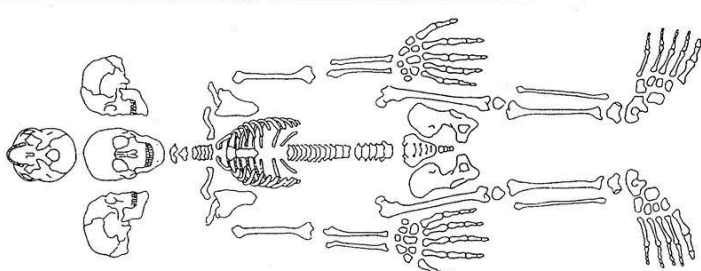


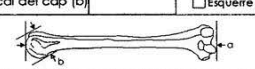
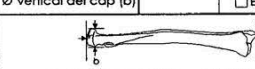
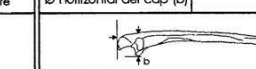
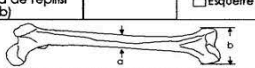
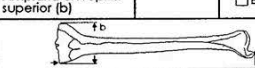
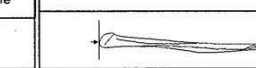



Dates	Localització dins l'àrea excavada	Acronim de la intervenció	Pertany al fet	Nº d'U.E.
-------	-----------------------------------	---------------------------	----------------	-----------

DEPOSICIÓ	Orientació (de cap a peu) i grau	DESCRIPCIÓ GENERAL DE L'ESQUELET I EL SOTERRAMENT			
		Soterrament <input type="checkbox"/> Primari <input type="checkbox"/> Secundari <input type="checkbox"/> Individual <input type="checkbox"/> Col·lectiu Cos <input type="checkbox"/> Descomposat en medi buit <input type="checkbox"/> En medi colmatat			
		<small>Cal no oblidar-se d'indicar la forma d'amortament (extremitats lligades?, hi ha ossos caiguts?, quins són?), així com la coloració dels ossos</small>			
		Posició general del cos: <input type="checkbox"/> Decúbit supí <input type="checkbox"/> Decúbit lateral dret <input type="checkbox"/> Decúbit lateral esqu. <input type="checkbox"/> Decúbit prono	Posició del cap: <input type="checkbox"/> Mirant a l'esquerra <input type="checkbox"/> Mirant a la dreta <input type="checkbox"/> Mirant al front <input type="checkbox"/> Comprimit sobre el pit <input type="checkbox"/> Boca avall	Posició dels braços: <input type="checkbox"/> Estesos al llarg del cos <input type="checkbox"/> Creuats en la pelvis <input type="checkbox"/> Creuats sobre el pit <input type="checkbox"/> Creuats sobre l'abdómen <input type="checkbox"/> Doblegats a l'alçada del cap <input type="checkbox"/> Boca avall	Posició de les cames: <input type="checkbox"/> Esteses al llarg del cos <input type="checkbox"/> Semi-flexionades <input type="checkbox"/> Flexionades
Està articulats? <input type="checkbox"/> Sí <input type="checkbox"/> No <input type="checkbox"/> Semi-articulat Quina part?	Marques: <input type="checkbox"/> Arrels. Ossos afectats <input type="checkbox"/> Rossegadors. Ossos afectats <input type="checkbox"/> Carnívors. Ossos afectats <input type="checkbox"/> Altres. Ossos afectats				

CONTEXT I RELACIONS ESTRATIGRÀFIQUES	Context: <input type="checkbox"/> Context funerari <input type="checkbox"/> Context NO funerari Explicar:	Sepultura (cal emplenar fitxa/es d'UE pròpia) <input type="checkbox"/> Sense fassa <input type="checkbox"/> Fassa simple <input type="checkbox"/> Ninxol <input type="checkbox"/> Cista <input type="checkbox"/> Fassa amb càmera lateral <input type="checkbox"/>		Nº d'UE <input type="text"/> <input type="text"/> <input type="text"/> <input type="text"/> <input type="text"/> <input type="text"/>
	Presència o evidències de receptàcul funerari (explicar les evidències si s'escau) <input type="checkbox"/> Sarcòfag de pedra <input type="checkbox"/> Sarcòfag de metall <input type="checkbox"/> Urna <input type="checkbox"/> Àmfora <input type="checkbox"/> Taüt		Cràquies de les diferents UU.EE. que conformen el soterrament (cal emplenar fitxes pròpies) 	
	Evidències de mortalla o indumentària		<input type="text"/> <input type="text"/> <input type="text"/> <input type="text"/> <input type="text"/> <input type="text"/>	
	Igual a:	Equival a:	<input type="text"/> <input type="text"/> <input type="text"/> <input type="text"/> <input type="text"/> <input type="text"/>	
	Se li recolza:	Es recolza en:	<input type="text"/> <input type="text"/> <input type="text"/> <input type="text"/> <input type="text"/> <input type="text"/>	
	Cober per:	Cobreix:	<input type="text"/> <input type="text"/> <input type="text"/> <input type="text"/> <input type="text"/> <input type="text"/>	
Reblit per:	Rebleix:	<input type="text"/> <input type="text"/> <input type="text"/> <input type="text"/> <input type="text"/> <input type="text"/>		
Tallat per:	Talla:	<input type="text"/> <input type="text"/> <input type="text"/> <input type="text"/> <input type="text"/> <input type="text"/>		
S'ha areplegat mostres? De què? Amb quin nº d'U.E. s'ha numerat la mostra		Nº i classe (B/N o color) dels negatius	Diapositives?	Autor d'aquesta part de la fitxa

Protocolo 3.4. Ficha antropológica nueva (anverso)

DADES ANTROPOLÒGIQUES I PALEOPATOLÒGIQUES				
Sexe <input type="checkbox"/> Masculí <input type="checkbox"/> Femení <input type="checkbox"/> Indeterminat Grups d'edat <input type="checkbox"/> Infantil I (0-6) <input type="checkbox"/> Infantil II (07-14) <input type="checkbox"/> Adolesc. (15-19) <input type="checkbox"/> Adult (20-39) <input type="checkbox"/> Madur (40-69) <input type="checkbox"/> Senil (>60) Margen d'edat		OSSOS CONSERVATS 		
 Ajuntament de València SIAM		Estat de conservació		
CRANI	Forma: <input type="checkbox"/> Dollocrani <input type="checkbox"/> Mesocrani <input type="checkbox"/> Braquicrani Arcs superciliaris: <input type="checkbox"/> Marcats <input type="checkbox"/> No marcats Front: <input type="checkbox"/> Vertical <input type="checkbox"/> Inclinada Vora orbital superior: <input type="checkbox"/> Fina <input type="checkbox"/> Roma Inion: <input type="checkbox"/> Desenvolupat <input type="checkbox"/> No desenv. Mentó: <input type="checkbox"/> Sortint <input type="checkbox"/> Quadrat	PATOLÒGIES <input type="checkbox"/> Càries <input type="checkbox"/> Abcés <input type="checkbox"/> Pericoronitis <input type="checkbox"/> Sano <input type="checkbox"/> Torus <input type="checkbox"/> Hipoplàsia <input type="checkbox"/> <input type="checkbox"/> Pèrdues ante mortem <input type="checkbox"/> Pèrdues post mortem DESGAST (1) (2) (2+) (3) (3+) (4) (4+) (5) (5+) (5++) (6) (7)  ALTRES TRETES BUCALS		
ESQUELET POSTCRANIAL	ASPECTE GENERAL: <input type="checkbox"/> Ossos gràcils <input type="checkbox"/> Ossos robustos INSERCIIONS MUSCULARS: <input type="checkbox"/> Marcades <input type="checkbox"/> No marcades LONGITUD:			
	HÚMER Longitud màxima (a) _____ Ø vertical del cap (b) _____ Quin os s'ha mesurat? <input type="checkbox"/> Dret <input type="checkbox"/> Esquerre 	RADI Longitud màxima (a) _____ Ø vertical del cap (b) _____ Quin os s'ha mesurat? <input type="checkbox"/> Dret <input type="checkbox"/> Esquerre 	CÚBIT Longitud màxima (a) _____ Ø horitzontal del cap (b) _____ Quin os s'ha mesurat? <input type="checkbox"/> Dret <input type="checkbox"/> Esquerre 	
	FÈMUR Amplària externa a la meitat de la diàlisi (a) _____ Amplària de l'epifisi inferior (b) _____ Quin os s'ha mesurat? <input type="checkbox"/> Dret <input type="checkbox"/> Esquerre 	TÍBIA Longitud màxima (a) _____ Amplària en l'epifisi superior (b) _____ Quin os s'ha mesurat? <input type="checkbox"/> Dret <input type="checkbox"/> Esquerre 	PERONÉ Longitud màxima _____ Quin os s'ha mesurat? <input type="checkbox"/> Dret <input type="checkbox"/> Esquerre 	
	COXAL Morfologia de l'escotadura ciàtica <input type="checkbox"/> Angle obert <input type="checkbox"/> Angle tancat Solc periauricular <input type="checkbox"/> Absent <input type="checkbox"/> Marcat Angle subpúbic <input type="checkbox"/> Absent <input type="checkbox"/> Marcat Forat obturador <input type="checkbox"/> Oval <input type="checkbox"/> Triangular			
	COLUMNA VERTEBRAL Grau de desenvolupament d'osteofits  Cervicals _____ Dorsals _____ Lumbars _____			
OBSERVACIONS	Observacions antropològiques i paleopatològiques			
Fitxa d'esquelet (v. 2.0) <small>wordcount: 1/10/2010/10:00:00</small>	Nº i classe (B/N o color) dels negatius	Diapositives?	Autor d'aquesta part de la fitxa	Data de redacció

Protocolo 3.4. Ficha antropológica nueva (reverso)



NUMERO		MUSEU	
classificació genèrica		FOTOGRAFIES I DIBUIXOS	
nom de l'objecte			
matèria			
cronologia			
descripció			
us	uns altres num.	IDENTIFICACIÓ	
tècnica			
mides			
decoracions			
autor	signat		
data d'execució	datat		
tema			
títol			
estat de conservació			
retencions (data, autor, tractament)			
Ubicació		n.º negatiu	
forma d'ingrés		valoració	
font d'ingrés		INGRES	
data			

Protocolo 3.5. Hoja de inventario y catalogación de materiales (anverso)

HISTORIA DE L'OBJECTE	LLOC PROCEDENCIA/JACIMENT	
	SECTOR	
	UNITAT ESTRATIGRAFICA	
	ORIGE GEOGRAFIC	
	LLOC EXECUCIO / SECA	
	ESTIL/CULTURA	
	ESCOLA/TALLER	
	INSCRIPCIONS/MARQUES	
	EDITOR/FCNEDOR	
	TALLER	TIRADA
REPRODUCCIONS (POSTALS, DIAPOSITIVES, CATALECS)		
EXPOSICIONS		
BIBLIOGRAFIA		
NOTES I OBSERVACIONS		
FICHA FETA PER	DATA	
REVISADA PER	DATA	

Protocolo 3.5. Hoja de inventario y catalogación de materiales (anverso)

PARTE II

4.- LOS RITUALES FUNERARIOS ROMANOS

Hominem mortuum in urbe ne sepelito neve urito.
(Leg.XII, Tab.,X,I)

Lejos de pretender una exhaustiva recopilación de la bibliografía que nos habla de los ritos funerarios romanos, este capítulo intenta reunir, las principales referencias bibliográficas concernientes al *funus*. Las numerosas referencias de que se dispone sobre el mundo funerario romano se extraen de obras que no tratan específicamente de este tema. Autores como Cicerón, Plinio, Festo, Séneca, Juvenal, Tácito, Apuleyo, Herodoto, o el mismo San Agustín, entre otros, muestran a través de sus obras, episodios sobre las costumbres funerarias más allegadas, constituyendo unas de las mejores referencias¹.

Algunas prescripciones antiguas ya expresaban preceptos sobre el lugar de los muertos a las afueras de la ciudad. Jurídicamente el espacio comprendido en el interior del

¹ Desde un punto de vista historiográfico ha habido una preocupación por sistematizar y organizar de algún modo las fuentes clásicas que versan sobre el tratamiento del ritual funerario romano. En este sentido, cabe hacer especial mención a las enciclopedias y diccionarios que como el *Dictionnaire des Antiquités Grecques et Romaines* de C. Daremberg y E. Saglio, el *Dizionario Epigrafico di Antichità Romane* de E. Ruggiero (1896) que parten de voces latinas y describen el origen, procesos, usos y costumbres del funeral romano, griego e incluso etrusco. Estas obras, suponen una fuente básica para comenzar cualquier trabajo sobre el mundo funerario greco-latino, ya que las directas y continuas referencias a textos clásicos son de gran ayuda para el estudioso de estos temas. En la actualidad, son muchos los trabajos que de alguna forma u otra hablan del ritual funerario romano. Destaca el archiconocido trabajo de J.M.C Toynbee, (1982) *Death and burial in Roman world*, traducido también al italiano *Morte e sepoltura nel mondo romano*, una obra básica que recopila y, en muchos casos traduce, determinados aspectos de algunas de las voces latinas presentes en el *Dictionnaire des Antiquités Grecques et Romaines*, anteriormente mencionado. Tampoco hay que olvidar libros como *La mort dans l'antiquité romaine* de Jean Prieur; (1986), la obra de Pierre Boyancé, (1972) *Études sur la religion romaine*; el libro *Archéologie funéraire* dirigido por Alain Ferdière (2000) o el clásico trabajo de John Scheid, (1984) *Contraria Facere: Renversements et déplacements dans les rites funéraires*, o el monográfico coordinado por este mismo autor *Pour une archéologie du rite. Nouvelles perspectives de l'Archéologie funéraire* (2008) Sobre temas más concretos destacamos *Esclavitud y sociedad en Roma*, de Keith Bradley (1998). Por lo que se refiere a *Hispania*, cabe destacar, entre otras muchas, las contribuciones de Desiderio Vaquerizo que en las últimas décadas ha dedicado al conocimiento del mundo funerario y cuyos trabajos han supuesto una útil herramienta para todos aquellos que intentamos introducirnos en el mundo funerario romano. En este sentido destacan el monográfico *Arqueología de la muerte: metodología y perspectivas actuales* (1991); el libro sobre los resultados del proyecto *Funus: Funus romanum* (2001); Las actas del Seminario *Espacios y usos funerarios en el Occidente Romano* (2002); *Immaturi et inuupti. Terracotas figuradas en ambiente funerario de Corduba, Colonia Patricia*. (2004); De la agonía al luto. Muerte y *funus* en la Hispania romana (2011); Espacios y usos y hábitos funerarios en la Hispania romana: reflexiones y últimas novedades (2011); Enterramientos anómalos en la *Hispania* romana (2012), entre otros interesantes trabajos. Mención destacada son los trabajos de Javier Arce *Funus Imperatorum o Memoria de los antepasados*, así como el trabajo de Abascal Palazón J.M, (1991) *La muerte en Roma: fuentes, legislación y evidencias arqueológicas*; y el de Fernando Quesada (1991), *Muerte y ritual funerario en la Grecia Antigua: una introducción a los aspectos arqueológicos*. Sin olvidar la única labor revisora en la Comunidad Valenciana en manos González Villaescusa (2001) *El mundo funerario romano en el País Valenciano. Monumentos funerarios y sepulturas entre los siglos I a.C-VIII d.C.*, donde apunta a lo largo de su trabajo algunos aspectos sobre los usos y costumbres funerarias en época romana, muy útiles para el investigador. Un trabajo más actual supone la publicación de la tesis doctoral de Judit Ciurana (2011) que realiza un excelente trabajo compilatorio sobre *“Pratiques i rituals funeraris a Tàrraco i el seu Ager (segles II a.C- III/IV d.C.)*

pomerium no era un espacio para los difuntos debido a la insalubridad que producía el descomposición de los cuerpos y el peligro de los incendios. La Ley de las XII tablas (X, 1 y 8-9) a mediados del siglo V a.C. ya recogía ésta y otras prohibiciones respecto a los usos funerarios, constituyendo un antes y un después en estas prácticas. Con anterioridad a esta promulgación existía la costumbre de enterrar en el interior de la ciudad, incluso proceder a la cremación (*Cic, de Leg II, 22-24*) y a la práctica de enterrar en el entorno doméstico (*subgrundaria*) para los fallecidos con menos de 40 días (*Tib, II, 6*). Esta ley motivó la organización de los espacios alrededor de las ciudades, y junto a calzadas de acceso interno y próximas a las ciudades, de acuerdo con el modelo etrusco tan cercano (Vaquerizo, 2001).

Desde el comienzo de la República se difundió en la idea de la separación del alma y el cuerpo o metempsícosis. Para que el alma permaneciera en la morada subterránea, era necesario que el cuerpo quedase recubierto de tierra y así permanecer en la *Terra mater* (Ramos, 2003). Si el alma no tenía tumba carecía de morada y vagaba errante atormentando a los vivos con funestas enfermedades (Cuq, 1896).

En épocas pretéritas se creía que el mundo de los muertos, el más allá, estaba en las profundidades de la tierra de ahí la importancia de arrojar un puñado de tierra en las prácticas de los funerales. La tumba era considerada como un *locus religiosus*, dejando de ser propiedad de un humano, por lo que formaba parte del derecho pontifical (D.1.8.6.2). La importancia de morir con dignidad, enterrarse en un lugar adecuado (*locus religiosus*) y consagrar la perpetuidad de su memoria, eran fundamentales para consagrar su alma y purificar a la familia. Esta última, debía cumplir con los preceptos antes, durante y después de los funerales para que el alma consiguiera la paz y la armonía en la más allá.

4.1. *Funus romanum*

“Existen algunos que defienden que la muerte es la separación del alma del cuerpo, otros sostienen que no se produce ninguna separación, sino que el alma y cuerpo perecen juntas y que el alma se extingue con el cuerpo. Entre aquellos que sostienen la tesis de la separación del alma, unos aseguran que ésta última se disipa rápidamente; otros, sin embargo, que vive eternamente” (Cicerón, Tusc, I, 9,18)

La palabra *funus*, designa la ceremonia de los funerales. Pero en un sentido más amplio de la palabra, se le aplica al conjunto de los ritos que se producen desde el momento del deceso hasta la inhumación, retorno a la tierra, origen último de todo, o de la cremación, símbolo de la purificación por el fuego (Vaquerizo, 2001). Es, en efecto, desde el momento de la muerte en la casa y cuando la familia se declara funesta o *funestata*, que dejará de serlo a través de la inhumación (Cic.,Leg.II, 2,55). El término inhumación etimológicamente viene de *humus*, por tanto, el inhumado es el que está cubierto de tierra (Varrón, L V).

También es *funus*, el sacrificio que se ofrece a los dioses Manes del difunto el noveno día después de las exequias y del banquete, *cena novendialis*, antes de los cuales los comensales se quitan los hábitos de duelo y cuyo significado desvelaremos más adelante.

Estos ritos son, en principio, iguales para todos los funerales. Hay sin embargo, desde el punto de vista ceremonial, diferencias notables entre los tipos de funerales: *funus translaticium* o *vulgare*, *funus indictivum*, *funus militare* y *funus publicum* principalmente. Por otro lado, las fuentes clásicas distinguen, desde el punto de vista de la organización, las personas que se encargan de celebrar los funerales, el *funus privatum* y el *funus publicum*. En todos ellos, el hecho de la muerte conlleva una contaminación, por lo que son necesarios ritos de purificación por parte de los vivos para liberar el alma; así mismo, dejar un cadáver desprovisto de sepultura era causa de desagradables repercusiones sobre el destino del alma del difunto. En el caso de no poderse hacer nada al respecto, lanzar un puñado de tierra sobre el cuerpo constituía el requisito mínimo para una sepultura (Toynbee, 1982).

En términos generales, los funerales constaban de tres partes principalmente: en primer lugar, los ritos funerarios previos a las ofrendas; en segundo término, los funerales propiamente dichos y en tercer lugar, los ritos tras las ofrendas.

Por último, para la realización de los funerales eran necesarias unas disposiciones legales a través de las cuales se establecía el coste de los diferentes actos, el plazo de tiempo estimado para el duelo, el tipo de entierro que podían recibir los esclavos, o fugitivos, etc... Todos estos aspectos serán comentados a lo largo de este capítulo, con el fin de tener una visión general del complejo sistema funerario en época romana.

4.1.1 Ritos funerarios previos a las exequias

Estoy muerto y he vuelto al polvo; el polvo es tierra, y si la tierra es una divinidad entonces no estoy muerto
(Cil VI, 35887, cit. Vaquerizo, D, 2001)

Cuando una persona moría, los familiares y amigos más allegados lo acompañaban en este momento. Uno de los gestos más conmovedores constituía el último beso, ya que se creía que el alma escapaba del cuerpo por la boca (Cic, *In Verr.V*).

A partir de este momento, comenzaban una serie de actos en torno a la preparación y disposición del cadáver antes del último adiós en la sepultura.

Una vez la muerte le había sobrevenido al difunto, se le cerraban los ojos, (*oculos condere, premere, operide, o claudere*), tarea que habitualmente se le encomendaba a los niños (Plin, *Hist. Nat.*,XI). Tras este gesto, existía la costumbre de quitar los anillos al fallecido, causa principal de los saqueos de las tumbas según Plinio el Viejo (Plin. *Hist. Nat.* 33, 2 citado en Ramos, 2003). Los parientes más cercanos proclamaban su nombre en voz alta repetidas veces, *conclamatio*, con ello se pretendía que la muerte no fuera aparente y evitar que el alma anduviese errante sin sepultura. Este grito o llamada se reiteraba hasta el momento de la inhumación o cremación, dándole el último adiós y deseándole que la tierra le fuera leve² (Serv, Ad. Vergil. *Aen*,VI).

Al igual que cuando nacía un niño se depositaba en la tierra, de la misma forma, el cuerpo del moribundo era bajado del lecho, reclinado sobre sus rodillas *supra genua tollere*, para ser dejado en tierra, *deponere*, y lavarlo con agua caliente. Posteriormente, se le perfumaba con la ayuda del *pollinctor*, y se le ungía con ungüentos, *unctura*, con el fin de contribuir a la mejor conservación del cadáver, o sencillamente disimular el hedor de putrefacción (Plin. *Hist. Nat.*,XI, 45; Prieur, 1986; Vaquerizo, 2001). Estos ungüentos, estaban compuestos a base de sal, miel, bálsamo y mirra, aunque este último, estaba prohibido por la Ley de las Doce Tablas dada su exquisitez y coste elevado. A pesar de ello, los romanos lo empleaban a menudo adquiriéndolo a través de los cartagineses (Cuq, 1896).

² ..."ofrecemos los cuencos de tibia leche y copas con la sangre sagrada y encerramos su espíritu en la tumba y dando una gran voz le despedimos con el último adiós..." (Eneida, III, 67)

Una vez lavado y perfumado el cuerpo se revestía con una toga, normalmente de color blanco y si el ciudadano era demasiado pobre, se le envolvía con un pedazo de tejido negro. La Ley de las Doce Tablas, aunque reprobaba el lujo en los funerales, prescribía colocar sobre la cabeza las coronas que había ganado en su vida, bien en juegos públicos, bien por razones de su valor (*Cic, Leg, II 21, 60*). En el caso de las personas con alto poder adquisitivo, empleaban las vestimentas más suntuosas. Los magistrados, por ejemplo, eran adornados con las insignias de sus funciones (*Cuq, 1896*).

También era de uso y costumbre, colocarle las coronas que se le habían otorgado en vida, así como introducirle una moneda en la boca para pagar al barquero Caronte, y poder pasar la laguna Estigia, que separaba el mundo de los vivos del de los muertos (*Cuq, 1896*). Al parecer esta costumbre, cuyo origen se remonta a la antigua Grecia, tuvo una gran aceptación, sobre todo a partir de Augusto, y entre las clases sociales más populares (*Ficoroni, 1732, citado en Cuq, 1896*). La figura de Caronte, está presente tanto en la mitología griega, bajo en nombre de *Charon*, como en la etrusca, bajo el nombre de *Charum* o *Charu*, el cual, era retratado como un feroz demonio, generalmente armado con un martillo, quien atormenta y tortura al difunto hasta su llegada al más allá (*Reich, 1979*).

Tras estos preparativos, el cuerpo se exponía tumbado sobre un lecho eminentemente funerario, *lectus funebris*, en el *atrium* de la casa y con los pies dirigidos a la puerta³. De esta forma, se atestiguaba que la muerte no se había producido bajo un acto de violencia. Así mismo, la exposición del cadáver sería necesaria para reflejar y mostrar signos irreversibles de la presencia de la muerte como antesala del propio funeral (*Lucan. Phars.III, 442*). Tal y como hemos apuntado, el cuerpo se rodeaba de flores, coronas y velas depositadas por los amigos (*Cuq, 1896*). En la puerta de la casa, se colocaban ramas de abeto y ciprés como advertencia de la existencia de un difunto a los transeúntes y de los pontífices que no debían contaminarse con una visión fúnebre (*Plin. M, Hist. Nat, XVI, 40 y 139*).

La exposición podía durar desde varias horas hasta 3 o 7 días, según los casos (*Serv, Ad Aen.V, 64*). En el caso de los más desfavorecidos, los cuerpos esperaban sobre su camastro para ser llevados a un cementerio público (*Cuq, 1896*).

³ En el caso de las familias pobres, colocaban a sus difuntos en el lecho de muerte que a su vez era la cama habitual.

4.1.2 El funeral

“... Los Manes no nos requieren mucho...; las divinidades de la Estigia no son ávidas. Una guirnalda de coronas, frutos esparcidos sobre la tumba, algún grano de sal, pan mojado en vino puro, aquí y allá alguna violeta;...otra cosa no sirve”. (Ovidio, Fastos, II).

Según la condición social, política o económica del difunto, había ciertas diferencias entre los funerales pero básicamente en todos se cumplían, además de los ritos anteriormente expuestos, otros que afectaban básicamente al transporte del cuerpo, *la humatio* (el entierro) y la purificación tras el sepelio.

De entre todos los funerales existentes, el *funus translaticium*, también llamado *funus vulgare*, *plebeium* o *simpluviareum*, era el destinado al pueblo, el practicado a las gentes más desfavorecidas, por tanto el más popular y del que nos vamos a servir para explicar los pasos fundamentales del *funus*.

A) Transporte del cuerpo

Una vez concluido el tiempo destinado al velatorio y a la exposición del difunto, se procedía al traslado del cuerpo a cargo de amigos y familiares más allegados, quienes, avisados normalmente por un liberto, acudían previamente al lugar de exposición, para hacerle las ofrendas oportunas (*Varron. De re rust*, I, 69).

Había una costumbre muy arraigada de realizar el cortejo fúnebre e incluso el entierro de noche, a la luz de las antorchas, *“para que ni los sacerdotes ni los magistrados se lo encontraran, ya que traía mala suerte”* (Cuq, 1896,1390). En este sentido, el funeral, el paso del cadáver y su misma presencia, es un acto contaminante, negativo del que, si es posible, hay que evitar la visión (Arce, 1988). La costumbre de celebrar enterramientos nocturnos se daba sobre todo para los funerales de los niños *acerba funera* e indigentes, así como en caso de exhumación, *translatio cadaveris*. A finales de la República, las exequias se practicaron de día a pesar de que se mantuvo la costumbre de alumbrar el camino que iba al cementerio con antorchas. A pesar de ello, había ciertas excepciones como por ejemplo en el entierro de L. *Cornelius Sila* que, muerto en el año 78 a.C., fue enterrado a la luz del día con gran fasto, aunque como ya se ha mencionado, lo habitual era que los funerales se celebrase por la noche. Así mismo, el emperador Juliano promulgaba en febrero del año 363 una ley que obligaba que las exequias acontecieran durante la noche *“ya que la muerte es el descanso y es la noche la que conviene al descanso. Parece por tanto, que debe ser la noche el momento apropiado para celebrar los funerales de los muertos, pues el día es impropio por diversas razones...”* (Arce, 1988).

En otro orden de cosas, el cuerpo era trasladado del lecho al interior de un ataúd de madera, normalmente abierto *capulus*, y colocado sobre unas parihuelas *feretrum* o *sandapila*, en forma de litera, *lectica*. Para los indigentes se ponía simplemente el cuerpo sobre un ataúd, adaptado a las parihuelas. En caso de muerte violenta, si la facies estaba dañada, la cabeza era velada (Cuq, 1896).

B) El cortejo fúnebre

Antes de proceder al traslado del féretro u pregonero, *praeco*, anunciaba públicamente la ceremonia *funus indicere*, organizándose la procesión (Vaquerizo, 2011) El *feretrum*, era portado a hombros por los hijos, parientes más próximos o los propios herederos del difunto. A veces, también lo portaban voluntarios o esclavos libertados por testamento (Toynbee, 1982). Para aquellos que como consecuencia de su pobreza no disponían de recursos para ser enterrados con las ceremonias habituales, los *vespillones*, *sandapilarii*⁴ o *lectinarii*⁵, se encargaban de transportar los cadáveres (Toynbee, 1982).

El traslado del cadáver se realizaba de noche para que lo impuro no entrara en contacto con la luz solar (Mangas, 2003). El cortejo estaba perfectamente organizado: en primer lugar, iban las trompetas *tibicines*, las plañideras, *praeficae*, y los tañidores de flautas o *aulos* (Cuq, 1896). Las plañideras, daban signos del más horroroso desespero, golpeándose el pecho, arrancándose los cabellos, llorando amargamente y gritando sin desconsuelo. Por intervalos, la plañidera que tenía mejor voz hacía elogios al difunto generalmente cantado, representado o ejemplificado por la *nenia*, palabra griega que designa los cantos lúgubres (*Cic*, de Leg II), una lamentación, que implicaba el recuerdo del difunto, de sus acciones y sobre todo, la desesperación que ocasionaba su pérdida que según Festo, se entonaba al son de la tibia (Cuq, 1896). La *nenia*, es un canto poco espectacular, con escaso virtuosismo y era interpretada por la *praefica*, una mujer contratada expresamente para este trabajo. Es posible que sea el origen de la *laudatio funebris* (Arce, 2000). La presencia de las *praeficas* y de los músicos, así como otros aspectos presentes en los cortejos fúnebres, es un dato que señala la clara herencia de las costumbres etruscas en el mundo funerario romano (Toynbee, 1982). La Ley de las Doce Tablas, restringió a 10 el número de músicos prohibiendo más tarde las lamentaciones de las plañideras (*Cic*, de Leg II).

Detrás del ataúd se encontraban todos los asistentes al funeral, los parientes y amigos iban a continuación un poco separados; los primeros por deber, y los segundos para honrar al difunto. En los funerales de personas pobres no había demasiados asistentes y el hecho se agravó cuando en época imperial, los parientes y los niños eran dispensados

⁴ Portadores de las *sandapila*.

de acudir, de modo que llegó un momento que a los funerales no iba casi nadie. Tal indiferencia provocó que en algunos testamentos hubiera una cláusula destinada a recompensar económicamente a aquellos que quisieran asistir a sus funerales y una suma más sustanciosa para aquellos que llegaran en primer lugar (Cuq, 1896).

El dolor de los asistentes se manifestaba a través de diferentes formas: las mujeres, en algunos casos llevaban los cabellos deshechos y con ceniza por encima, los vestidos estaban desgarrados, se proferían quejas, *planctus mulierum*, se golpeaban el pecho, y se desgarraban las mejillas hasta ensangrentarlas. Los magistrados proscibieron esta costumbre pero a pesar de la prohibición continuó realizándose (Cuq, 1896). Las mujeres y las hijas arrojaban sus cabelleras sobre el féretro y los hijos, en cambio, iban con la cabeza velada al contrario de las hijas que llevaban el rostro descubierto en contraposición de una antigua creencia que obligaba a las mujeres a llevar la cabeza cubierta para mostrarse en público (Cuq, 1896). Los hombres, se quitaban el anillo de oro y lo reemplazaban por uno de hierro. Los magistrados vestían la *praetexta pulla* (túnica destinada a los funerales), y las mujeres, renunciando también al oro y la púrpura se ponían las vestimentas de duelo, *lugubria*, de color negro, que cambiarán por una túnica más amplia durante los funerales, llamada *pulla palla*. Durante el Imperio, momento en el que hay una gran profusión de los colores en la vestimenta femenina, el blanco fue adoptado por las mujeres romanas como prenda de duelo (Cuq, 1896).

C) El lugar de entierro

Sit tibi terra levis

El cortejo fúnebre se detenía en el lugar elegido para dar sepultura al difunto. Normalmente todas las sepulturas debían construirse fuera de la ciudad (*Cic de Leg II*). El *pomerium*, era el límite religioso que rodeaba la ciudad. Constituía el surco sagrado e inviolable que fue trazado en Roma por el arado de Rómulo, durante la fundación de la ciudad el 21 de abril del año 753 a.C., y ese mismo rito se aplicó a todas las ciudades, incluidas las colonias (Prieur, 1986). El *pomerium*, separa el mundo de los vivos del de los muertos y las disposiciones que recogían tales prohibiciones se encontraban en las Leyes de las Doce Tablas, quebrantadas tan solo en contadas excepciones⁶.

Si bien es cierto que durante los primeros siglos los romanos enterraban sus muertos en la ciudad, fueron los decenviros, los que posteriormente prohibieron practicar cualquier rito en la misma. Cicerón atribuía este veto, al temor de los incendios (*Cic de Leg II*) y San Agustín, comentaba en su día, que el veto a la inhumación se debía para evitar el

⁵ Constantino estableció la corporación de los *Lectinarii*, encargados de transportar gratuitamente los cadáveres de los indigentes en el Bajo Imperio.

hedor que produce la corrupción de los cuerpos (Cuq 1896). A lo largo del Bajo Imperio, esta prohibición no tuvo demasiada trascendencia en Oriente, en particular en Constantinopla, debido, en cierto modo, a la influencia del cristianismo y su costumbre de conservar reliquias de los santos en el interior de las ciudades (Priour, 1986).

La creencia basada en que el momento de la muerte es un hecho fatal, que contamina la casa del difunto, familiares o amigos, es una influencia de la doctrina de Heráclito sobre la naturaleza del hombre (Priour, 1986; Jaeger, 1978). Para él, un cadáver no es más que un montón de podredumbre que se debe lanzar como el estiércol. El contacto, la vista, la cercanía con un cadáver, estaban mancillados, contaminados, eran un desecho para el resto de las personas y para los dioses Lares y Penates (Cuq, 1896). El hecho era grave ya que además de quedar la casa inmediatamente contaminada, o estar prohibido encontrarse con el cortejo, el *funestatus* no podía hacer sacrificios a los dioses, un flamen de Júpiter no podía entrar allí donde hubiera una pira funeraria, ni tocar un muerto, ni calzar zapatos hechos con piel de animal muerto por enfermedad, tampoco estaba permitido escuchar la música procedente de las flautas de los funerales. Así mismo, el pontífice que debía rezar la oración fúnebre tapaba el ataúd con un velo para evitar las miradas de la misma forma se cubrían las estatuas de los dioses o se cambiaban de ubicación momentáneamente (Cuq, 1896).

Normalmente las familias pudientes se enterraban en sus tierras mientras que para los indigentes y esclavos había cementerios públicos con numerosas fosas comunes en forma de pozos donde se arrojaban los cuerpos (Cuq, 1896). La Ley de las Doce Tablas jamás se aplicó al entierro de los niños menores de 40 días, a los cuales se les siguió enterrando en el interior de las casas, bajo el tejadillo, *subgrundo*, de la puerta que da al patio. Este lugar se llamaba *sub grundarium*, de ahí el término *Lares grundules* (Tib II, 6).

En cuanto el cortejo fúnebre escogía el lugar para proceder al enterramiento, se llevaba a cabo el rito fundamental que consistía en lanzar un puñado de tierra sobre el cadáver, en caso de inhumación; o cortar un dedo al difunto, si el rito practicado era la cremación, para enterrarlo a continuación junto con las cenizas, *os resectum* (Cuq 1896; Toynbee, 1982).

Inhumación–cremación

Desde hace algunos años el registro arqueológico no ha hecho más que confirmar las hipótesis que giran entorno a la idea de que la práctica del ritual funerario responde a opciones personales y culturales. Muchos estudiosos afirman, y estamos completamente de acuerdo, que esta coexistencia del rito respondía a motivos personales o familiares

⁶ Normalmente en los funerales de los emperadores, tal es el caso del Mausoleo de Augusto, el Arco de Tito o la columna Trajana que se encuentran intramuros.

(Mangas, 2005; Vaquerizo, 2011). A este respecto, apoyamos las afirmaciones Ortalli que apunta “ *la adhesión a uno u otro (rito), era evidentemente fruto de la elección libre y propia del individuo, opción que a menudo era plenamente aceptada por el grupo social al que pertenecía, sin distinciones o conflictos en las relaciones interpersonales y sociales...*” (Ortalli, 2007, citado en Vaquerizo, 2011, 208)⁷.

Autores como Taglietti (2001), se muestra cauto a la hora de atribuir una exclusividad del rito crematorio como el *mos romanus* ya que “*la respuesta a esta pregunta (haciendo referencia a la práctica de la cremación como la puramente romana), no debe y no puede ser unívoca; Roma es la menos adecuada para hacer referencia al mos romanus debido a la variedad de composición de la población y de la multitud de usos y costumbres en la ciudad*” (Taglietti, 2001, citado en Vaquerizo, 2011, 208).

Abundando un poco más en este tema dual, nos gustaría poner un ejemplo que ilustra muy bien este sentido de elección personal, familiar o grupal de una práctica u otra. Audin, en su trabajo de 1960 “Inhumación et Incinération” refiere que “*...en la necrópolis de Ostia puede observarse como la inhumación está reservada en casos a personas pudientes, mientras que la cremación está reservada al personal doméstico*”. No consideramos que esto responda a un patrón “tipo” de ritual, pero si ilustra perfectamente la idea conceptual de elección de dos ritos habituales en época romana y consideramos que el debate *mos romanus* está superado a tenor de los datos que aportan las excavaciones de necrópolis en *Hispania*⁸.

De cualquier forma el contacto con la tierra suponía el más importante de los preceptos y tanto si se elegía la inhumación como la cremación, el cuerpo, los restos mortales, volvían a la tierra *humus*. Aunque se escogiera la cremación como ritual a practicar, la urna o los restos calcinados sin receptáculo, se enterraban, volviendo a la tierra como respuesta al concepto filosófico y ancestral de regreso al seno materno.

A lo largo de la cronología, la inhumación fue ganando adeptos ante la práctica crematoria en parte debido a la directa influencia del cristianismo.

La inhumación, era calificada como la ceremonia esencial de todos los funerales, el rito más antiguo practicado, que respondía a la antigua creencia que consideraba que el cuerpo inhumado retornaba al seno de la tierra madre (Cibeles, Isis o Deméter). De la misma forma, con esta práctica se evoca la postura del embrión en el seno materno (Audin, 1960).

⁷ Los textos entrecomillados de Ortalli y Taglietti están en italiano en el artículo de Vaquerizo, 2011. Hemos considerado oportuno traducirlo para hacer referencia en el texto.

⁸ Esta dualidad de ritual es patente en *Hispania*. Destacamos los casos de *Valentía* (García-Prósper *et al.* 2001 2002, 2007), *Corduba*, *Baetica* (Vaquerizo, 2011, 2010), *Tarraco* (Ciurana, 2011), etc.

El cuerpo se depositaba en el interior de una tumba, excavada en la tierra, a más o menos profundidad. Se descendía el ataúd que contenía el cuerpo del difunto que bien podía estar en contacto directo con la tierra, en el interior de un sarcófago de mármol, plomo, ánfora, etc...(Cuq, 1896).

Tras la invasión gala, Roma adoptó la cremación, debido quizás a una voluntad inevitable de aproximación a Grecia en esta misma época (Audin, 1960). Y También para facilitar el traslado de los soldados caídos en las contiendas. La cremación, adquiere pues una concepción diferente, tras la muerte del cuerpo no subsiste más que una especie de imagen de sí mismo (Audin, 1960). Facilita el viaje del cuerpo al cielo de donde procede, superando la corruptibilidad del cuerpo y evitando su putrefacción. Apoyando esta idea, Cicerón afirmaba que “...*El lugar de la cremación no posee ningún carácter religioso. Pero una vez cubierto de tierra se dice que el cuerpo está inhumado, el lugar se llama sepulcro y está protegido por numerosos derechos de religión...*” (Cic de Leg., II).

Podemos hablar de dos tipos de cremaciones, las primarias, cuando el lugar de la cremación coincide con el de la sepultura, tal sería el caso de los *busta*; y las secundarias, aquellas en que tras la cremación en la pira, *rogus*, se recogen los restos y se depositan en el interior de una urna, directamente en una fosa, *loculi*, o junto con otras en un *columbario*.

Los *ustrina* aunque también se empleaban como lugar de cremación, en casos, también funcionaban como cremación primaria aunque para esta función estaba más extendido el uso de los *busta* (Toynbee, 1982; Cuq, 1896). El tamaño de la pira dependía del status social y el poder adquisitivo del “cliente” (Tranoy, 2000). Así mismo, había una serie de normas que permitían controlar la construcción de tumbas o piras funerarias en propiedades rústicas (Cuq, 1896). Tales reglas, disponían que se debía enterrar y establecer la pira funeraria en un extremo de la propiedad, en lugar pedregoso y no apto para el cultivo, y ninguna tumba se podía poner a menos de 60 pies de distancia del campo vecino sino tenía el consentimiento del otro propietario (Ruiz Castellanos, 1992).

Volviendo a las prácticas rituales, una vez colocado el féretro sobre la pira, se abrían los ojos del difunto para enseñarle por última vez el cielo y junto a él se le ponían objetos de su uso personal como armas, vasos, vestimentas, etc. Así mismo, también se quemaban animales de gran afecto para él tales como perros o pájaros (Cuq, 1896). Los asistentes al sepelio ofrecían al fuego ofrendas como vestidos, víveres, pan, perfumes, etc. Los parientes y amigos íntimos le dedicaban el último adiós, *ultima conclamatio*, posteriormente y desviando la cara, encendían la pira con las antorchas que les habían acompañado durante el trayecto al cementerio (*Plin, Hist.Nat XIV*).

Una vez concluida la cremación, apagaban la pira con agua y vino (*Virg, L,VI*), a pesar de que algunas leyes prohibían arrojar vino sobre el *rugus*⁹. En estos momentos, cuando tan solo quedaban las personas de confianza del difunto, se recogían los restos calcinados, *ossilegium*, y se envolvían en un trapo para ser inhumados a continuación, *inhumatum*. A tal respecto, las leyes de las Doce Tablas se pronunciaban, y aunque defendían el hecho de recoger los restos óseos calcinados de un difunto, y proceder a su entierro, exigía que tales prácticas (*ossilegium e inhumatio*) se celebrasen en un día. De todos modos, las mismas leyes de las doce tablas no veían lógico que, en el caso de la cremación, se emplearan dos ceremonias distintas, una para quemar los restos y otra para inhumarlos. Sin embargo, también se ha constatado que las leyes debían ser recordadas constantemente porque la práctica en ocasiones se relajaba en demasía (Remesal, 2002).

Tal y como hemos podido observar hasta el momento, la sepultura se purificaba, se consideraba legítima en el momento que el cuerpo ha sido enterrado ya sea por el rito de la inhumación o por el del *os resectum* que consiste en cortar un dedo al difunto antes de la cremación y echarle como mínimo tres puñados de tierra para consagrar la inhumación de esta parte del cuerpo (*Serv. Ad Aen. VII, 176*, citado en Cuq, 1896).

Cuando no se hallaba el cuerpo de una persona muerta lejos de su lugar de origen, se construía una sepultura imaginaria, un cenotafio, con el fin de evitar que el alma vagara sin morada (*Serv.III, 68; IV, 386; Plin.Ep.VII, 27; Tertull. De anim.56; Plaut. Mostell, II 2,68*, citado en Cuq, 1896). Se erigían, sobre todo, en honor de aquellos, que murieron en campañas bélicas y jamás hallaron sus restos para ser enterrados (*Tacit. Annal. I, 62*). Sin embargo, al no contener restos óseos, no estaban bajo la tutela legal de la *Lex pontificia*, no se le consideraba lugar *sagrado* de ahí que si se perdía su memoria, su señalética en el camposanto, podía ser reutilizada o vendida (D.17.2.52.7, citado en Remesal, 2002). El heredero que olvidaba realizar este tipo de *inhumatio*, (cenotafio) debía sacrificar una cerda (*Porca Praesentanea*) a la tierra y a la diosa Ceres, celebrar funerales durante tres días, y ofrecer todos los años un sacrificio expiatorio de una cerda hembra. (*Cic de Leg, II, 22*).

Por el contrario, si alguien había muerto en un barco y se le tiraba al mar, su familia no estaba contaminada, ya que el hueso no descansa sobre la tierra (Cuq, 1896).

D) La purificación

La contaminación que produce la muerte y la necesidad de evitar las posibles consecuencias negativas indujeron en la antigüedad clásica a realizar una serie de ritos

⁹ Una ley de Numa, prohibía emplear el vino para menesteres de semejantes características (Cuq, 1896).

propiciatorios. En primer lugar, para acendrar la casa mortuoria, el *everriator*¹⁰, eliminaba la contaminación con una especie de escoba. En segundo lugar, a la vuelta del funeral, se limpiaba a los asistentes con agua y fuego con un manajo de laurel rociado con agua y pasado por el fuego (Cuq, 1896). Y por último, se purificaba la familia por medio de dos actos diferenciados: un banquete funerario, *silicernium* que se daba en torno a la tumba, y un sacrificio, en el cual se mataba una cerda, *porca praesentanea*, (*Festo*, V) por el carácter presencial de dicho sacrificio en el funeral y un carnero castrado, *vervex*, a los dioses Lares (*Cic de Leg*, II, 22).

El rito de la *porca presentánea* está bien representado en nuestra necrópolis. En tumbas, sobre todo de la fase más antigua, es un elemento de ofrenda importante y presente en tumbas de inhumación y con manifestaciones en algunas cremaciones.

Este ritual consiste en el sacrificio de una cerda, ofrecida a la diosa Ceres, deidad de la agricultura, de la cosechas y de la fecundidad. Este rito en su contexto funerario, estaba destinado a purificar a la familia ya que la muerte, percibida como una degradación de la vida, constituye el envejecimiento para los vivos *familia funesta* (Blaizot, 2009, Scheid, 1984)¹¹. A este sacrificio le sucede el banquete funerario, en el que participan el difunto, la familia y los dioses.

El menú del banquete funerario estaba formado fundamentalmente por huevos, legumbres, habas, lentejas y sal y estaba destinado principalmente para los asistentes (Cuq, 1896). Al finado, se le ofrecían alimentos, vino y agua fresca para satisfacer su sed, así como leche, aceite y miel. Estos líquidos debían introducirse en el interior de las tumbas por medio de diferentes dispositivos que lógicamente favorecían las libaciones (Prieur, 1986).

Los objetos empleados para estos banquetes y sacrificios, suponen un elemento importantísimo de interpretación no solo por las formas cerámicas empleadas, más allá del valor cronológico o de *status* social que puedan evocar, que por el simbolismo que comportan. En este sentido, los platos, boles servían para alimentos propios del banquete y eran ofrecidos al difunto, los vasos y/o jarras, olpes, etc. servían como contenedores de líquidos y las ollas de cerámica común reductora con o sin tapadera para contener el sacrificio. En las tumbas infantiles no es extraño encontrar las primeras piezas (platos, boles) con jarritas con pico vertedor, o biberones (Bonnet, 2009).

En el rito de la cremación los objetos destinados al difunto pueden aparecer fragmentados y quemados junto a otros que no lo estén. Son ejemplo simbólico de la participación del difunto en el *silicernium*.

¹⁰ Personaje destinado a tal efecto.

¹¹ Más datos relativos a este ritual ver PARTE II, capítulos 6.3.1.1.7 y 6.6.2.

4.1.3 Ritos tras las exequias

Al día siguiente de los funerales se abría un periodo de nueve días llamado *novemdial*, al cabo del cual acontecía la conocida *cena novemdialis*. Cerca de la tumba se dejaban para el muerto ofrendas de comida, que a menudo eran también consumidas por los asistentes a la ceremonia (Toynbee. 1982). Dicha celebración, tal y como hemos apuntado, concluía con un sacrificio, la cena y los juegos fúnebres¹², también se ofrecía a los dioses Manes libaciones de vino (*Fest.V Resparsum vinum*, citado en Cuq, 1896), agua, leche y sangre (*Serv. Ad Aen*, V, 78, citado en Cuq, 1896). El sacrificio, al igual que en los juegos fúnebres, debemos buscar su origen en las costumbres funerarias etruscas, consistente en consagrar a las divinidades, la sangre de ciertos animales, aplicándose no solo a hombres ilustres, sino también ante las tumbas de padres de familia, mujeres y niños (Cuq, 1896).

El dolor por un ser querido también estaba presente en la intimidad del hogar, la costumbre romana establecía de una forma amplia el tiempo consagrado al duelo: unos diez meses por un ascendente, un descendiente adulto o un marido; ocho meses para otros familiares próximos; para los niños con edades entre tres y diez años, de uno a tres años de duelo. En cambio, no había luto para los niños menores de un año (Cuq, 1896).

Durante el duelo, había de abstenerse de festines, riquezas, vestimentas blancas; la viuda no podía contraer de nuevo matrimonio antes del duelo. En cambio, no había la mismas diligencias para el viudo. A pesar de tales exigencias, también había excepciones, y estas se daban en ciertos casos como el nacimiento de un hijo, el regreso de cautividad de un padre, hermano, hijo o un marido, la boda de una hija, o la participación en los misterios de la diosa Ceres. En contraposición a estos hechos excepcionales, una viuda jamás podía liberarse de cumplir el duelo enteramente a no ser por maternidad o por expreso designio del emperador (Cuq, 1896). Lo curioso es que no había una legislación expresa que dictaminara el cumplimiento del duelo, sino más bien se seguía porque así lo hacían las personas honestas, y por tanto, para ser respetable, se debía cumplir con tales costumbres (Cuq, 1896). En cambio, estaba mal visto aquel padre de familia que aun sabiendo de la muerte de su yerno, daba en matrimonio a su hija sin haber finalizado el luto; aquel que conscientemente había tomado en matrimonio una viuda antes de finalizar el tiempo estipulado para el duelo; el padre de familia que había dejado que sus hijos contrajeran un matrimonio de tales características; la mujer que no había seguido la costumbre de llevar duelo por un padre, hijo u otro familiar; la

¹² Los juegos fúnebres, sustituían los sacrificios humanos utilizados durante los primeros siglos de Roma cuando sacrificaban una parte del entorno del difunto, empleado sobre todo en funerales principescos, o bien se mataba a prisioneros. Actualmente, no se relacionan los combates de gladiadores en la tradición de los sacrificios humanos, pero si dentro de la tradición de los juegos fúnebres ya que supusieron el establecimiento oficial del origen de los gladiadores, propiamente dicho (Prieur, 1986).

viuda que a pesar de la muerte de su primer marido, se vuelve a casar sin respetar el tiempo oportuno.

4.1.4 Otros funerales

Tal y como hemos anunciado al inicio de este capítulo, hay otros funerales que aunque contienen las características comunes con el *funus translaticium* (exposición, cortejo y sepelio), algunos aspectos difieren, sobre todo, en cuanto a contenido, bien porque a quien va dirigido era un soldado, *Funus Militare*, o bien porque se trate de personajes importantes dentro de la sociedad romana, *Funus Indictivum*, *Funus Publicum* (*Funus Censorium*, *Imperatorum*) y *Funus Publicum Municipale*.

El conjunto de ceremonias y ritos destinados a miembros del ejército muertos en acto de servicio configuraban el ***Funus Militare***. Los soldados que morían en los campos de batalla eran normalmente sepultados en una fosa común, próxima al lugar del fallecimiento, donde se les rendía los últimos honores. El ritual del *os resectum* estaba autorizado pero dependía de la voluntad de los mando practicarlo. Hay constancia de que existían colegios de soldados al más puro estilo de colegios funerarios como los de carácter civil (Cuq, 1896).

Conforme se desarrollaban las campañas bélicas, bien porque se prolongaban en el tiempo, o bien porque se tenían lugar a larga distancia de Roma, y también por temor a posibles profanaciones de las tumbas, se fue incorporando el ritual de la cremación, para facilitar el transporte de los restos y darles sepultura en Roma o en allá de donde fuera el soldado caído (Cuq, 1896).

Dentro de cada legión, había una caja especial, *undecimus follis*, alimentada por las cotizaciones de todos los legionarios (Cuq, 1896). Cada vez que moría uno de ellos, se sacaba el dinero necesario para sufragar los gastos del sepelio, aunque muchas veces no era suficiente, y los herederos tenían que pagarlo de *sua pecunia* (Abascal, 1991).

Otro funeral era el dedicado a los personajes de mayor importancia social, conocido como el ***Funus indictivum***, donde el *praeco* o pregonero era el encargado de convocar los fastos del funeral (Vaquerizo, 2001). Todo estaba perfectamente organizado gracias al trabajo de personal destinado y contratado para tales circunstancias, como era el *designator*, empleado de las pompas fúnebres, los músicos, coros, etc (Cuq, 1896). En contraposición a otros funerales, el cuerpo del difunto reposaba sobre un lecho de oro o marfil y estaba cubierto por ricas telas. Para preservar la conservación del cadáver el *pollinctor* se encargaba de embalsamar el cuerpo del difunto (Cuq, 1896).

El cortejo fúnebre siempre se celebraba de día, y en él figuraban músicos y coros de hombres que reemplazaban a las plañideras. De la misma forma, se contaba con la

presencia de bufones, mimos y actores, quienes eran los encargados de llevar las máscaras del difunto. Los esclavos, liberados por disposición testamentaria, asistían al cortejo con la cabellera rasurada y eran los encargados de portar el féretro. Otro aspecto característico, consistía en que de camino al lugar escogido para la sepultura, normalmente propiedad de la familia, el convoy fúnebre se detenía en el foro, donde un pariente o los propios hijos del difunto pronunciaban la oración funeraria o *laudatio funebris* (Cuq, 1896).

Este último aspecto era habitual en los funerales públicos, ***Funus Publicum***, dedicado a determinados difuntos, hombre y mujeres, merecedores en vida de tal reconocimiento como benefactores del Estado o la ciudad y a cuyo acto eran invitados todos los ciudadanos (Vaquerizo, 2001). Un tipo de *funus publicum* era el celebrado en honor a los censores muertos, *funus censorium*, y que durante el Imperio derivó en *funus imperatorum*, ofrecido al propio emperador y a su familia¹³ (Cuq, 1896).

El Senado se encargaba de decidir quién debía recibir un sepelio de tales características, pues no todos eran merecedores del mismo¹⁴, y también era el encargado de sufragar los gastos (Arce, 1988). Por consiguiente, los funerales públicos, no solo se diferencian de los privados en este aspecto, sino que la celebración del funeral en nombre del estado era un honor excepcional, y por consiguiente, había numerosos elementos nuevos que enriquecían el acto en sí y establecían la diferencia con los funerales del pueblo.

En todo *funus publicum*, el cuerpo se exponía en el Foro donde acudía el pueblo a rendirle homenaje, el cadáver era transportado a hombros por los notables de la ciudad y el convoy fúnebre era seguido por los mismos magistrados, de los cuales uno era elegido para rezar la oración fúnebre. El fuego de la pira era alimentado por los cónsules o por el sucesor del emperador, o por los centuriones. Por otro lado, cuando el cuerpo ya estaba sobre la pira o *rogus*, los soldados daban tres vueltas en torno a los restos del difunto, comenzando por la izquierda en señal de duelo (Cuq, 1896).

Por último, el funeral también público, pero de carácter local era el llamado ***Funus Publicum Municipale***, que tal y como su nombre indica, se celebraba en cada municipio y también era destinado a personajes ilustres dentro de la sociedad municipal. En este

¹³ En un primer momento, el *funus censorium* estaba destinado a funerales de censores, tal y como su nombre indica, para distinguirse de alguna forma de los sepelios de otros magistrados. Durante la república no se consideraban funerales públicos propiamente dicho, pero con el Imperio, la expresión *funus censorium* se aplicaba fundamentalmente a los funerales de los emperadores (Cuq, E 1896).

¹⁴ En el trabajo de J.Arce, titulado *Funus Imperatorum*, se hace referencia a la *poena post mortem*, dedicada a aquellos emperadores que gobernaron despóticamente y que por ello debían ser arrojados al Tiber o a las cloacas, de modo que no pudiesen obtener nunca el beneficio y el respeto que comportaba un funeral. Por ejemplo: *Tiberius ad Tiberim* (Tiberio al Tiber), pág 32.

caso, la Curia, era la institución encargada de decretar el funeral a quienes lo merecían, y eran los magistrados los encargados de llevarlo a cabo (Cuq, 1896).

A lo largo de este capítulo, se han presentado algunos de los principales aspectos fundamentales que configuran el *funus romanum*. A través de la lectura de las fuentes escritas, podemos conocer las claves fundamentales del ritual funerario de época romana, para poder entender, analizar e interpretar, muchos de los elementos que se nos presentan a lo largo de la excavación de una necrópolis y en concreto en la necrópolis objeto de nuestro estudio.

Al contrario de las opiniones que afirman la sencillez metodológica que conlleva la excavación de una necrópolis, me atrevo a decir que en muchas ocasiones una mala lectura o simplemente el desconocimiento de aquello que estamos viendo, nos lleva a interpretar erróneamente los datos que tomamos, sin ser en muchos casos conscientes de la responsabilidad que tiene el arqueólogo como especialista, científico y profesional, encargado de escribir la historia allí donde otros no han podido llegar. Por consiguiente creemos conveniente, como historiadores, conocer las fuentes clásicas ya que en muchos casos son nuestra guía hacia el “acierto científico”.

4.2 Disposiciones jurídicas y testamentarias

El derecho romano contemplaba la normativa de proteger el cadáver, la sepultura y cualquier objeto depositado en honor del difunto. Estos daños podían ser de distinta índole: desde introducir un cuerpo ajeno a una sepultura, borrar las inscripciones, dañar estatuas, hasta la violación de tumbas en busca de objetos de valor o incluso restos cadavéricos para ejercer prácticas mágicas (Mangas, 2003).

Aspectos relativos a la seguridad, el mantenimiento y la construcción de las tumbas y monumentos funerarios, están en la Ley de las XII tablas, en la *Lex Ursonensis* (*Urso*, actual Osuna), así como las disposiciones recogidas por el Digesto de Justiniano que comportan fundamentos del derecho Romano¹⁵. La consulta de estas fuentes debe ser de gran ayuda para el arqueólogo especializado y que trabaja en el ámbito funerario de época romana, ya que en tanto en cuanto estas leyes en ocasiones pueden parecer alejadas a la realidad del registro arqueológico, pueden ser la clave en casos de interpretaciones complejas.

¹⁵ El Digesto promulgado por el emperador Justiniano en el año 530 d.C. se redactó en el marco jurídico de la constitución *Deo Auctore*. También conocido como Pandectas en su denominación griega (“colección que lo contiene todo”) fue estructurado en cincuenta libros, que están divididos en títulos y éstos a su vez se dividen en fragmentos, con partes de obras de los jurisconsultos. En nuestro trabajo hacemos referencia al Digesto a través de autores que lo estudian y lo recogen como Remesal (2002) y Mangas (2003).

En términos generales, la legislación y las normas determinadas por los magistrados trataban de poner un límite a acciones violentas hacia los sepulcros, así como limitar los gastos de los funerales y, evitar la ostentación del cortejo que acompañaba al difunto (Toynbee, 1982). De la misma forma, acotaban los rituales que debían practicarse en un cenotafio, cómo y por qué construir un monumento y lo más importante, saber que el *locus religiosus* solo tiene carácter sagrado en el lugar donde se depositan los restos del finado haciendo distinción clara entre sepulcro y monumento (D.11.7.2.5.6) con el consabido valor económico que conlleva tal distinción¹⁶.

Por lo que respecta a los testamentos, comentar que durante los primeros siglos de la República, estas disposiciones eran infrecuentes y el heredero era designado públicamente. Posteriormente, las cosas fueron cambiando debido, en cierto modo, a la ampliación de las relaciones comerciales de Roma fuera de sus fronteras, permitiendo a muchos romanos establecerse en el extranjero, agilizando así el derecho (Cuq, 1896). A partir de estos momentos, los testamentos empezaron a redactarse ya que podía pasar cierto tiempo desde la muerte de un padre de familia, hasta la llegada de los herederos (que podían ser familiares directos o bien adoptados), y la apertura del testamento. Así mismo, en el caso que la muerte sobreviniera cercana, se dejaba un periodo de tiempo razonable, para que el heredero decidiera aceptar o rechazar el designio del difunto (Cuq, 1896). Para evitar problemas de este tipo, con el tiempo se eligió un amigo de la familia como responsable de organizar los funerales, independientemente de la decisión de los herederos (Cuq, 1896). En el caso que el amigo de confianza no pudiera llevar a cabo los preparativos, lo haría una persona designada por los amigos del difunto; en su defecto, se encargaría el heredero, en el caso que el difunto fuera el padre de familia y si se trataba de un hijo o una mujer, se responsabilizaría el mismo padre de familia (Toynbee, 1982).

Al igual que los ciudadanos romanos con cierto poder adquisitivo, los pobres, esclavos y libertos, también se preocupaban por su destino tras la muerte. Respecto a estos últimos, algunos, optaban por adquirir un espacio en el mausoleo o columbario de su antiguo patrón, otros en cambio, se conformaban con tener una sencilla sepultura (Abascal, 1991).

Entre las numerosas asociaciones del mundo romano, los *collegia funeraticia*, eran de dos tipos: aquellos que se encargaban de inhumar en una sepultura común a los cófrades fallecidos, o depositaban sus cenizas en un columbario. Otro tipo de *collegium* era el que se dedicaba a dar el dinero cotizado de un cófrade al heredero para sufragar

¹⁶ En el Imperio romano se distinguía entre lo que era sagrado y no lo era, en relación a un enterramiento, mediante la distinción entre conceptos de sepulcro y monumento. Sagrado es donde reposan los restos, mientras que lo demás es solo un lugar destinado a consagrar la memoria del difunto (Remesal, 2002)

los gastos del entierro. Si el cófrade moría intestado, el colegio se encargaría de los funerales (Cuq, 1896).

Estas asociaciones quizás tengan su origen en las agrupaciones de esclavos y libertos de una misma familia, que a partir de época de Augusto formaron auténticas congregaciones, coincidiendo con el aumento del número de esclavos (Bradley, 1998). En este momento, se dio un cambio de mentalidad por parte de los amos con respecto a su servicio, en relación con el periodo republicano, momento en el que se consideraba al esclavo como un miembro más de la familia¹⁷. En cambio, con el Imperio, los tratos vejatorios hacia el servicio eran una constante a pesar de algunas excepciones¹⁸.

Con posterioridad, a partir del siglo II d.C. y motivados por sus propias necesidades, las asociaciones funerarias empezaron a tener un verdadero sentido, y alcanzaron gran difusión cuando aprobaron en sus estatutos la incorporación de mujeres y esclavos no sólo en Roma e Italia, sino incluso en las provincias (Cuq, 1896). A pesar de ello, la supervivencia de un *collegium*, durante un largo periodo de tiempo, era muy difícil ya que solo se mantenían a través de las cuotas de los asociados, de modo que la falta de ingresos durante un periodo de tiempo relativamente largo, podía producir su cierre (Cuq, 1896).

A parte de los colegios fúnebres, había un gran número de colegios profesionales tales como el de obreros, comediantes, magistrados, gladiadores e incluso soldados que facilitaban servicios funerarios a sus miembros (Toynbee, 1982).

¹⁷ "...En la Italia romana del siglo I a.C., era posible que los esclavos se distinguieran individualmente a pesar de los bajos orígenes y que fueran recibidos con alegría en la comunidad libre y civil." (Bradley 1998).

¹⁸ Tal es el caso de Cicerón quien ante la muerte de su esclavo afirmaba que su defunción le había afligido "...más de lo que tal vez debería afectar la muerte de un esclavo..." (Bradley 1998).

PARTE III

5.- RESULTADOS. CATÁLOGO DE TUMBAS Y ESTRUCTURAS FUNERARIAS

5.1 Estratigrafía y topografía funeraria

En páginas anteriores ya se ha apuntado que esta necrópolis abarca aproximadamente unos 5.000 m², se situó junto a la prolongación del trazado del *Decumanus Maximus*, actual calle Quart, y a unos 700 metros de distancia de la ciudad de época romano republicana (Guérin *et al.*, 1998; García-Prósper, Guérin, Martí y Ramírez, 1999; García-Prósper y Guérin, 2002).

Desde un punto de vista topográfico, la necrópolis estaba en medio de un triángulo macizo comprendido entre las calles Quart, calle de la Corona y el paseo de la Pechina, que presenta una elevación aproximada de unos 15 metros sobre el nivel del mar (Rosselló, 1980). Las continuas avenidas del rito Turia, en determinados momentos previos a la instauración de la necrópolis, dejaron tras de sí un aporte arenoso que se depositó sobre el estrato natural de arcillas, conformando la matriz sobre la cual se construirían la mayoría de los primeros enterramientos de la necrópolis (García-Prósper y Guérin, 2002). Con el paso del tiempo, los desniveles geológicos se vieron colmatados, a lo largo de las fases de utilización, por diferentes estratos de carácter antrópico con la finalidad de continuar con la actividad funeraria.

Esta estratigrafía arqueológica ha permitido diferenciar cada uno de los horizontes funerarios que abarcan desde el último tercio del siglo II a.C., hasta el S.III d.C., cuando deja de usarse como lugar de enterramiento a favor de otras áreas como la extensa necrópolis romana de la Boatella (S.II-V d.C.) (Albiach y Soriano, 1996).

El sector de la necrópolis Quart-Cañete, presentaba una secuencia diferenciada en tres momentos funerarios: una fase de época republicana antigua, datada en el último tercio siglo II a.C., una fase tardorrepublicana correspondiente al siglo I a.C., y una fase imperial que abarcó desde el siglo I al III d.C.

Fase republicana S.II a.C (Lámina 5.1)

La fecha que hasta ahora se barajaba para la fundación de la ciudad, 138 a.C. se confirma con los materiales que se han hallado en las tumbas excavadas: ánforas vinarias greco-itálicas de transición, campaniense A (formas 28, 31, 36 de Lamb.) cubiletes de paredes finas (Mayet II) y jarritas grises de la costa catalana, que proporcionan una cronología inicial del tercer cuarto del s.II a.C. para esta primera fase de la necrópolis.

Formando parte de este nivel de enterramiento se han excavado un total de 71 enterramientos correspondientes al rito inhumatorio y 12 del crematorio. Además de otras estructuras que apoyan este panorama conformado por *ustrina* (piras

funerarias) y la presencia de una zanja votiva amortizada con los materiales resultantes de los banquetes celebrados en el espacio funerario.

La mayoría de los enterramientos están excavados en los estratos naturales de arcillas y arenas de origen fluvial. Esta fase antigua, está representada por dos niveles dada la superposición existente en algunos casos, confirmando la opción dual de rito desde el momento primigenio.

Las inhumaciones son todas primarias en su mayoría de tipo simple (58 tumbas), excavadas en la tierra y bastante ajustadas a la anatomía, salvo algunas excepciones. Pero también se documentó una fosa común con cinco individuos (NEF 15), una fosa doble (NEF 23), un *ustrinum* amortizado con una doble inhumación (NEF 19), una tumba construida con adobes (NEF 45) y las tumbas de cámara o hipogeos que hacen un total de seis ejemplos (NEF 18, 22, 24, 29, 31 y 41).

Las cremaciones en un total de 12 casos son de carácter primario (4) *busta* y (8) de tipo secundario o *loculi*.

El espacio funerario se ocupa totalmente, incluso los enterramientos se encuentran más allá de los niveles de cimentación de los edificios aledaños tanto al norte como al este y oeste de la cata. En cambio, en el lado más meridional y próximo a la actual calle Quart, la actividad se detiene bruscamente ante un pronunciado buzamiento y se construye como límite físico, una estructura longitudinal que recorre de Este a Oeste la cata arqueológica. Más allá de esta estructura el terreno describe un importante buzamiento de unos 4 metros de profundidad que hacía imposible la actividad funeraria en esta parte de la necrópolis.

Fase republicana S.I a.C (Lámina 5.28)

La siguiente fase se caracteriza por una menor actividad funeraria. Solo se han documentado 41 tumbas, y casi en exclusividad pertenecientes al rito crematorio con un total de 32 casos, y solo nueve inhumaciones primarias de las cuales 7 son fosas simples, una indeterminada y un enterramiento en ánfora.

Los niveles funerarios empiezan a ser rellenos antrópicos donde se excavan las cremaciones secundarias y se depositan las urnas cinerarias. En el sector oriental de la cata arqueológica destaca el estrato UE 1274 sobre el que se construyen gran parte de las cremaciones de este momento. Este estrato, de composición mayoritariamente arenosa, albergaba materiales cerámicos tales como fragmentos informes de ánfora itálica, de cerámica campaniense A y fragmentos de cerámicas ibéricas. La construcción de una calzada hacia el interior de la necrópolis, (UE 2152) construida directamente sobre las tumbas del momento anterior (siglo II a.C.), pone de manifiesto que la necrópolis se va organizando a pesar de la escasa frecuencia de enterramientos relativos a este periodo tardo-republicano.

Los materiales de los ajueres funerarios otorgan una cronología relativa que junto a

la presencia de una clara estratigrafía, no plantea dudas del cambio funerario que se observa en esta segunda fase de uso de la necrópolis, y que es fiel reflejo de la destrucción de la ciudad tras las guerras sertorianas que fueron especialmente duras en la ciudad de *Valentia*¹

Los enterramientos se empiezan a organizar entorno a las calzadas. Y los estudios antropológicos, topográficos y de ritual funerario aportan datos diferenciadores en la práctica del ritual de la cremación (romanas vs ibéricas).

Fase imperial S.I d.C. (Lámina 5.38)

En este momento, continua la organización de las tumbas (UE 2001), en torno al eje interno de acceso a la necrópolis. La actividad funeraria empieza a concentrarse junto al *decumanus maximus* (calle Quart) donde varios niveles de arcillas de tipo antrópico comienzan a colmatar y nivelar el pronunciado desnivel presente en esta parte de la necrópolis. Es en este momento cuando se produce los enterramientos en decúbito prono tan importantes para la inferencia del ritual en una población concreta.

El rito sigue siendo dual, las inhumaciones y las cremaciones siguen coexistiendo siendo mayoría las primeras en detrimento de las segundas (50 inhumaciones y 13 cremaciones).

La tipología se simplifica siendo las tumbas de inhumación de tipo simple el más empleado, salvo una tumba con cubierta de *tegulae* (NEF140). El tipo de orientación elegido es Este-Oeste, y la presencia de ajuar funerario también está constatada aunque no tan profusa como en épocas anteriores.

La cremación sigue siendo una opción funeraria clara con 13 *loculi*, dos *ustrina* (NEF 201, 202) y una estructura interpretada como fosa de limpieza o basurero (NEF 203).

¹ Dentro de esta tesis se trata este tema en el capítulo 6.6 La necrópolis romana de la calle Quart y su relación con los cambios de carácter urbano de *Valentia*.



Figura 5.1 Calzada de uso interno del siglo I d.C.

Fase imperial siglos II-III d.C. (Lámina 5.47)

La concentración de las tumbas es mayoritaria en el lado meridional de la necrópolis dejando de enterrar en el resto del área. La superposición de tumbas supone un abigarramiento y una complejidad estratigráfica que ofrece hacer una interpretación sobre un cambio en la práctica del ritual como reflejo de cambios en la ciudad. Nuevas necrópolis, como la de la Boatella, se ponen en funcionamiento con mayor organización del espacio, enterrándose en un solo nivel facilitando su acceso y práctica del ritual.

El talud natural presente en la época republicana inicial, se colmata con niveles antrópicos de textura arcillosa componiendo una superposición de hasta cuatro niveles de enterramiento. Este cambio es también un reflejo de los cambios que se producen en la ciudad, nuevos lugares funerarios y el crecimiento y expansión de la ciudad que provoca un auge del evergetismo en materia funeraria. La práctica de enterramientos junto a las principales vías de acceso es un hecho común en el mundo funerario romano en todo el Imperio desde el siglo I d.C.

Este momento funerario se caracteriza por la práctica inhumatoria con un total de (49 tumbas), las cremaciones solo (12 tumbas). Las orientaciones son mayoritariamente Este Oeste, la presencia de ajuares funerarios está presente en 27 tumbas de las 61

enterramientos de ambos ritos presentes en la cronología que abarca entre los siglos II y III d.C). Este panorama nos invita a interpretar qué cambios de mentalidad y religiosos se abren paso en los últimos momentos de uso de la necrópolis.

El final de este momento lo ofrece la construcción de un nivel pisable construido de forma muy poco cuidada, con recorrido Este-Oeste, y que supone la amortización del nivel funerario en el sector meridional de la necrópolis (Lámina 5.56). El espacio se organiza como un lugar de paso y acceso a la ciudad, dejando atrás casi cinco siglos de uso funerario. En este momento los lugares de enterramiento se desarrollan cada vez más en lugares religiosos de evocación martirial dando paso al cristianismo en las necrópolis de Valencia.



Figura 5.2: Sección de las calzadas del siglo I a.C y I d.C con una reparación (UE 2025)

5.2 Estructura del catálogo

Dentro de este catálogo las tumbas y estructuras funerarias están representadas según la secuencia cronológica descrita en el apartado anterior (5.1 Estratigrafía y topografía funeraria). Dentro de cada periodo cronológico, las sepulturas y otras estructuras funerarias están clasificadas según un orden numérico creciente que se ha denominado NEF (número de estructura funeraria).

Dentro de cada fase cronológica se describen, en primer lugar, las inhumaciones, a continuación las cremaciones, *ustrina*, cenotafios y otras estructuras tales como calzadas y/o zanja votiva, todo ello dependiendo de la presencia de estas estructuras en cada periodo.

Detrás de estas descripciones siguiendo la pauta de ritual se encuentran en primer lugar las láminas con la planimetría del periodo, las tumbas de inhumación y cremación más destacables, y seguidamente las láminas de aquellas estructuras funerarias.

Los planos con la representación de las sepulturas y estructuras funerarias por fases cronológicas, están adaptados según la escala original de (1/20), las sepulturas individuales están a escala (1/10), el ajuar funerario compuesto por materiales cerámicos, vidrio y objetos metálicos tales como los *strigilles* y cascos, están a escala (1/3), los materiales en hueso trabajado, cerámica no vascular y objetos metálicos pequeños están a escala (1/1).

En la medida de lo posible, todos los objetos han sido dibujados a excepción de aquellos que están muy mal conservados, en estos casos se han ilustrado por medio de la planimetría de la tumba y/o con fotografía singular del objeto.

Algunas abreviaturas que aparecen en el texto:

U.E: unidad estratigráfica

LAC: línea amelocementaria.

NEF: número estructura funeraria.

FDI (sistema identificación dental)

(s/n): sin número.

DISH (hiperóstosis idiopática difusa)

TBC: tuberculosis.

5.3 Periodo republicano

Como hemos dicho anteriormente, esta fase se determina a partir de una clara estratigrafía, que otorga un marco cronológico claramente apoyado por los materiales cerámicos presentes en los ajuares funerarios. Éstos son coincidentes con los documentados en los niveles cohetáneos de *Valentia*.

Esta primera fase funeraria ocupaba todo el espacio excavado. Las tumbas aparecen polarizadas sin una orientación homogénea y ofreciendo una variada tipología inhumatoria, las cremaciones también están presentes. La zanja votiva supone el límite meridional del primer cementerio.

5.3.1 Fase republicana (último tercio siglo II a.C.) (Lámina 5.1)

1. TUMBA DE INHUMACIÓN (1229)

Fosa (s/n), de forma rectangular, conservaba unas dimensiones de 0,7 x 0,32 m.

Relleno (s/n), de textura arenosa sin presencia de cerámica, ni carbones pero con la documentación de un individuo de malacofauna.

Malacofauna: *Theba pisana* (1 individuo) Es una especie característica de las dunas litorales, pero también habita en terrenos de cultivo, prados, jardines.

Esqueleto U.E 1229, corresponde a un individuo de edad comprendida entre los 30 y 40 años, y de sexo probable varón. Enterrado en deposición de decúbito supino, y orientado E-O. Conservaba parte del tórax y fragmentos de ambos coxales. . El índice de conservación del esqueleto se ha establecido en un (22%).

No se describen evidencias de mortaja.

Edad: en el rango adulto joven (20-40 años), sin poder hacer una aproximación de edad debido a la escasez de restos óseos conservados.

Sexo: posible varón determinada dicha estimación a partir de las características morfológicas de robustez de los miembros conservados y por los espesores de la cortical de diferentes miembros según Gejvall, (1980).

- Robustez de miembros.
- Espesor del tercio medio del húmero: 5,5-7,5 mm.

Estatura indeterminada.

Descomposición en medio colmatado.

Compleción anatómica: robusta.

Lateralidad indeterminada

Desde un punto de vista patológico destacan:

Patología infecciosa: reacción perióstica costal, posible TBC.

Patología degenerativa: uncartrosis cervical (C6-C7); ligero reborde degenerativo en el cótilo derecho.

Marcadores de estrés ocupacional: indicadores de una biomecánica relacionada con una actividad continuada de brazos y piernas como consecuencia de sus actividades laborales u ocupacionales:

1. Hipertrofia de falanges, bilateral, grado leve.

Variantes anatómicas epigenéticas: No se observan.

Sin ajuar.

2. TUMBA DE INHUMACIÓN (1246)

Fosa (s/n), de forma rectangular, conservaba unas dimensiones de 1,60 x 0,50 m.

Relleno (s/n), estaba formado por una tierra marrón de textura areno arcillosa en la que tan sólo se recuperaron dos clavos oxidados de hierro y un fragmento de pared de cerámica campaniense tipo A de forma indeterminada.

Esqueleto U.E 1246, corresponde a un individuo con una edad comprendida entre 30 y 35 años, de sexo probable varón. Enterrado en deposición de decúbito supino, con los miembros superiores hiperflexionados sobre el pecho y los miembros inferiores estirados y juntos. Presentaba una orientación E-O. Se conserva parte del tórax, miembros superiores, cintura pélvica y miembros inferiores. El índice de conservación del esqueleto se ha establecido en un (84%).

Evidencias de mortaja a nivel de hombros, rodillas y pies.

Edad: en el rango adulto joven (20-40 años), pudiéndose establecer en un rango de edad comprendida entre los 30-35 años a partir de los métodos empleados y relacionados a continuación.

Métodos:

1. Superficie auricular del ilion: Fase 3 (30-34).
2. Sífnisis pubis según Suchey-Brooks: Fase 4II-1/II-2: 25 años; fase 3 (26-30).

Sexo: varón (morfológica y antropométricamente, con un 90,91 % de confianza).

Métodos morfológicos: morfología pélvica (ángulo de la escotadura ciática cerrado, ausencia de surco preauricular).

Métodos antropométricos: la combinación de medidas antropométricas de fémur, aplicando las fórmulas regresivas da un resultado de sexo varón con un 88,16% de

confianza (diámetro vertical de la cabeza femoral, según fórmula $48 \times 0,4865479 - 20,9910026$, punto de corte $0,039055$)²

Estatura de 164-174 cm, según longitud máxima de radio izquierdo (251mm), peroné izquierdo (353 mm). Se han empleado las tablas y fórmulas regresivas de Trotter y Glesser y Manouvrier.

Complexión anatómica: grácil/robusta.

Lateralidad derecha, fundamentalmente objetivada por la presencia de mayor desarrollo de las entesopatías de extremidades superiores e inferiores.

Descomposición en medio colmatado.

Desde un punto de vista patológico destacan:

Patología infecciosa: Periostitis en la cara externa de la tibia izquierda.

Patología degenerativa: ligera artrosis calcáneo-astragalina.

Patología traumática: Hematoma perióstico de fémur derecho localizado en la cara anterior; Fractura de tercio medio de peroné izquierdo.

Marcadores de estrés ocupacional: indicadores de una biomecánica relacionada con una actividad continuada de brazos y piernas como consecuencia de sus actividades laborales u ocupacionales:

1. Cintura escapular: sindesmosis costal bilateral, grado leve para el izquierdo y grado moderado para el derecho; ligamento costoclavicular bilateral, grado leve lado izquierdo y moderado para el derecho.
2. Entesopatía del músculo bíceps braquial radial derecho, grado moderado.
3. Entesopatía del músculo supinador cubital derecho, grado moderado.
4. Entesopatía del músculo tríceps braquial cubital derecho, grado moderado.
5. Entesopatía de la tuberosidad isquiopúbica derecha, grado leve.
6. Entesopatía del ligamento redondo izquierdo, grado leve.
7. Faceta de Poirier izquierdo, en grado leve.
8. Entesopatía de línea áspera bilateral, grado intenso para ambos lados.
9. Entesopatía del trocánter mayor bilateral, grado moderado.
10. Entesopatía del músculo sóleo tibial bilateral en grado moderado para ambos lados.

Variantes anatómicas epigenéticas: No se observan.

Sin ajuar.

² Método de determinación del sexo por relaciones antropométricas (Aleman *et al.* 1997).

3. TUMBA DE INHUMACIÓN (1248)

Fosa de forma rectangular, conservaba unas dimensiones de 0,60 x 0,30 x 0,13 m

Esqueleto U.E 1248, corresponde a un individuo con una edad comprendida entre 35 y 45 años, de probable sexo mujer. Enterrado en deposición de decúbito supino y orientado E-O. Se conserva la parte superior del esqueleto: cráneo, parte del tórax (costillas y vértebras cervicales y torácicas) y fragmentos proximales del húmero derecho y radio izquierdo. El índice de conservación es del 13,5%.

Posible evidencia de mortaja a nivel de hombros.

Edad: en el rango adulto joven (20-40 años), pudiéndose establecer en una horquilla de edad comprendida entre los 35-45 años a partir del desgaste dental tipo 5 (Holly-Smith, 1984) con una correspondencia de edad entre los 33-45 años (Brothwell, 1991).

Sexo: posible mujer determinada dicha estimación a partir de las características morfológicas de robustez de los miembros conservados y por los espesores de la cortical de diferentes miembros según Gejvall, (1980).

- Gracilidad de miembros.
- Máximo espesor diploe frontal-parietal: 6-6,5 mm.
- Máximo espesor diploe occipital: 8,5 mm.
- Espesor del tercio medio del húmero: 3-4 mm.

Estatura indeterminada.

Descomposición en medio colmatado.

Complexión anatómica: grácil.

Lateralidad indeterminada.

Desde un punto de vista patológico destacan:

1. Salud bucodental: fractura de esmalte dental, cara mesial de las piezas del maxilar 1.3, 2.8 y mandibular 3.7; fractura en cara distal en la pieza manipular 3.4; fractura en cara vestibular de la pieza dental mandibular 4.5. Ligera hipercementosis visible en la pieza 4.6. Hipoplasias del esmalte en las piezas mandibulares 3.3 y 4.3 a una altura de la línea amelocementaria (LAC) entre 1 y 3,5 mm.
2. Patología degenerativa: artrosis en la articulación cúbito-humeral izquierda.
3. Patología metabólica: hiperóstosis frontal.

Marcadores de estrés ocupacional: indicadores de una biomecánica relacionada con una actividad continuada de brazos como consecuencia de sus actividades laborales u ocupacionales:

1. Entesopatía del músculo tríceps braquial cubital izquierdo, grado moderado.
2. Hipertrofia humeral derecha, grado moderado.
3. Hipertrofia de falanges izquierda, grado leve.

Variantes anatómicas epigenéticas: No se observan.

Sin ajuar.

4. TUMBA DE INHUMACIÓN (1308)

Tumba que se encuentra ubicada en el sector SO de la excavación. Mala conservación

Fosa, (s/n), de forma rectangular, conservaba unas dimensiones de 0,50 x 0,35 m.

Esqueleto U.E 1308, corresponde a un individuo infantil II, de sexo indeterminado, enterrado en deposición de decúbito supino y con una orientación de O-E. Del individuo tan solo se conserva la extremidad superior derecha que estaba semiflexionada, parte del hueso iliaco derecho y parte del tórax. El índice de conservación del esqueleto se ha establecido en un 8%.

Edad: infantil II (7,5-8,5 años de edad), estimada a partir de la longitud diafisaria de húmero (Fazekas y Kósa, 1978).

Posible evidencia de mortaja a nivel de hombros.

Descomposición del cuerpo en medio colmatado.

Desde un punto de vista paleopatológico no se han descrito nosologías.

Observaciones: la tumba estaba muy alterada por el enterramiento de época imperial (U.E.1303) y por la cremación (U.E.1301) además de estar localizada por debajo de uno de los cortes de la excavación que limitaba con la actual calle Cañete.

Sin ajuar.

5. TUMBA DE INHUMACIÓN (1278, 1279, 1277)

Inhumación localizada en el cuadrante S.O de la excavación.

Fosa U.E 1277, de forma rectangular, orientada E-O y que conserva unas dimensiones de 1,32 x 0,55 x 0,41m.

Relleno U.E 1278, estaba formado por una tierra marrón de textura areno arcillosa en la que tan sólo se recuperaron dos fragmentos informes de cerámica común romana.

Esqueleto U.E 1279, corresponde a un individuo juvenil, pudiéndose establecer en una horquilla de edad comprendida entre los 14-15 años. Sexo indeterminado. Presentaba una orientación O-E con una deposición en decúbito lateral izquierdo. La cabeza estaba ladeada hacia el norte, con las extremidades superiores e inferiores flexionadas. El índice de conservación del esqueleto se ha establecido en un 21,5%.

Evidencias de mortaja a nivel de hombros y tobillos.

Edad: juvenil establecida a partir de la observación de las epífisis de crecimiento no obliteradas de húmero, fémur y tibia.

Sexo: indeterminado.

Descomposición en medio colmatado.

Complejión anatómica: grácil.

Lateralidad indeterminada.

Desde un punto de vista patológico destacan:

1. Salud bucodental: hipoplasias del esmalte en las piezas del maxilar 1.5, 2.3³ y 2.5 a una altura de la línea amelocementaria LAC de 3- 6 mm; hipoplasias del esmalte en la pieza mandibular 3.3 a una distancia de la LAC 3,5 mm.
2. Patología degenerativa: uncartrosis cervical.
3. Patología de tipo infeccioso: periostitis en fragmento costal.
4. Patología nutricional-carencial: criba femoral.

No se han observado marcadores de actividad.

Variantes anatómicas epigenéticas: no se documentan.

Sin ajuar.

³ La identificación dental en maxilar y mandíbula se ha realizado según el sistema de Walter Drum o FDI (dígito dos) (Walter Drum. Revista Alemana Quintessence Dic.1970 <http://odontologiaa.mx.tripod.com/odontograma.html>).

6. TUMBA DE INHUMACIÓN (1297, 1296, 1298)

Inhumación situada en el cuadrante S.E de la excavación, junto al corte sur.

Fosa U.E 1298, de planta rectangular, con los lados menores ligeramente redondeados, y unas dimensiones de 1,30 x 0,60 x 0,61 m. La estructura tiene una orientación N-S.

Relleno U.E 1297, estaba formado por una tierra marrón, de textura areno arcillosa, con presencia abundante de caracoles y carbones. Se han recuperado algunos fragmentos informes de cerámica común romana y de ánfora tripolitana o Dressel 1A; un fragmento y borde de cerámica Campaniense B, y un clavo de hierro.

Esqueleto U.E 1296, corresponde a un individuo de sexo varón, con una edad estimada entre los 30-40 años. Estaba enterrado en deposición de decúbito supino y orientado N-S. Hay que destacar, por la posición forzada de la cabeza que se encontraba flexionada y sobre el pecho. Las extremidades superiores estaban estiradas junto al cuerpo y las inferiores estaban dispuestas de forma paralela y ligeramente separadas. El índice de conservación del esqueleto se ha establecido en un 30%.

Evidencias de mortaja a nivel de hombros.

Edad: en el rango adulto joven (20-40 años), pudiéndose establecer en una horquilla de edad comprendida entre los 30-40 años a partir del desgaste dental tipo 5 (Holly-Sthmith, 1984) con una correspondencia de edad entre los 33-45 años (Brothwell, 1991).

Sexo: varón.

Métodos morfológicos: morfología craneal (mentón cuadrangular, gonion evertido).

Métodos antropométricos: la combinación de medidas antropométricas de fémur, aplicando las fórmulas regresivas da un resultado de sexo varón con un 88,16% de confianza (diámetro vertical de la cabeza femoral, según fórmula $46 \times 0,4865479 - 20,9910026$, punto de corte 0,039055).

Estatura <150-152 cm, según longitud máxima de fémur izquierdo (370 mm), y húmero derecho (260mm). Se han empleado las tablas y fórmulas regresivas de Trotter y Glesser y Nunes de Mendonça.

Descomposición del esqueleto en medio vacío.

Complejión anatómica: robusta.

Lateralidad derecha, fundamentalmente objetivada por la presencia de mayor desarrollo de las entesopatías de extremidades superiores.

Desde un punto de vista patológico destacan:

1. Salud bucodental: hipoplasias del esmalte en las piezas maxilares 1.2, 2.1, 2.2 a una altura de la línea amelocementaria LAC de 2,5-5 mm; hipoplasias en la pieza mandibular 4.3 a una altura de la Línea amelocementaria 2,5-4,5 mm. Caries de tipo oclusal con afectación a esmalte-cemento y dentina en las piezas del maxilar 1.8 y 1.6; caries coronal con afectación a dentina en las piezas dentales 2.1 y 2.2. Caries de tipo radicular con afectación a pulpa en las piezas dentales 2.4 y 2.8.
2. Patología degenerativa presencia de procesos artrósicos en cuerpos vertebrales cervicales C2, cavidades de Schmorl en dos cuerpos vertebrales dorsales y ligera artrosis entre las vértebras lumbares L4-L5, procesos artrósicos en la articulación coxo-femoral.

Marcadores de estrés ocupacional: indicadores de una biomecánica relacionada con una actividad continuada de brazos y piernas como consecuencia de sus actividades laborales u ocupacionales:

1. Cintura escapular: entesopatías del ligamento costoclavicular bilateral, grado leve para ambos lados; entesopatías del ligamento conoideo derecho, grado moderado.
2. Entesopatía del ligamento redondo bilateral, en grado leve en lado izquierdo e intenso en lado derecho.
3. Entesopatía de línea áspera bilateral en grado moderado para ambos lados.
4. Entesopatía del músculo sóleo tibial derecho en grado moderado.
5. Entesopatía del glúteo mayor bilateral, en grado moderado para ambos lados.

Variantes anatómicas epigenéticas: sutura petroescamosa bilateral.

Sin ajuar.

7. TUMBA DE INHUMACIÓN (1312, 1314, 1313)

Inhumación ubicada en el cuadrante S.E de la excavación y afectada por la canalización UE.1358.

Fosa U.E 1313, de planta rectangular, con unas dimensiones de 1,05 x 0,45 x 0,28 m. Estaba orientada E-O.

Relleno U.E 1312, estaba compuesto por una tierra marrón oscura, de textura areno arcillosa, en la que se registra la presencia de caracoles, carbones y algunos fragmentos de huesos quemados. Igualmente se documenta la presencia de fragmentos informes de ánfora y un fragmento de borde de cerámica común.

Esqueleto U.E 1314, corresponde a un individuo adulto joven (38-42 años), de sexo mujer, enterrado en deposición de decúbito supino y con una orientación de E-O.

Tenía las extremidades superiores semiflexionadas, la derecha sobre el tórax y el brazo izquierdo sobre la pelvis. El índice de conservación del esqueleto se ha establecido en un 37%.

Evidencias de mortaja a nivel de hombros.

Edad: en el rango adulto joven (20-40 años), pudiéndose establecer en una horquilla de edad comprendida entre los 30-45 años a partir del desgaste dental tipo 7 (Holly-Sthmith, 1984) con una correspondencia de edad entre los 33-45 años (Brothwell, 1991).

Edad: en el rango adulto joven (20-40 años), pudiéndose establecer en un rango de edad comprendida entre los 35-38 años a partir de los métodos empleados y relacionados a continuación.

Métodos:

1. Superficie auricular del ilion: Fase 4 (35-38).

Sexo: mujer.

Métodos morfológicos: morfología craneal (frente vertical, arcos supraciliares no marcados, borde orbitario cortante, apófisis mastoides pequeñas, mentón protuyente).

Métodos antropométricos: la combinación de medidas antropométricas de húmero, aplicando las fórmulas regresivas da un resultado de sexo mujer con un 83,08% de confianza (diámetro vertical de la cabeza humeral, según fórmula $42 \times 0,4136169 - 17,5369729$, punto de corte $-0,05569$).

La combinación de medidas antropométricas de fémur, aplicando las fórmulas regresivas da un resultado de sexo mujer con un 88,16% de confianza (diámetro vertical de la cabeza femoral, según fórmula $41 \times 0,4865479 - 20,9910026$, punto de corte $0,039055$).

Estatura indeterminada.

Descomposición del esqueleto en medio colmatado.

Desde un punto de vista patológico destacan:

1. Salud bucodental: fractura vertical de esmalte dental, cara vestibular de las piezas del maxilar (1.1 y 2.1), hipoplasias del esmalte en las piezas de maxilar (1.1, 1.2 y 2.1, 2.3, 2.5), a una altura de la línea amelocementaria LAC de 3-6 mm. Hipoplasias del esmalte en las piezas mandibulares 3.3, 4.3 a una distancia de la línea amelocementaria 3-6 mm. Caries en LAC con afectación en la pieza del maxilar 2.5, caries en las piezas mandibulares 3.7 y 4.1 de tipo radicular con afectación a dentina.
2. Patología traumática: hematoma en primera falange del segundo dedo izquierdo, fractura distal de radio derecho.

3. Patología degenerativa: caracterizado por presencia de procesos artrósicos de vertebrales cervicales, dorsales y lumbares, coxo-femoral, y ténporo mandibular.

Marcadores de estrés ocupacional: indicadores de una biomecánica relacionada con una actividad continuada de brazos y piernas como consecuencia de sus actividades laborales u ocupacionales:

1. Cintura escapular: sindesmosis costal derecha, grado leve.
2. Hipertrofia de falanges izquierdo, grado leve.
3. Entesopatía del ligamento redondo bilateral, grado leve para el lado izquierdo y moderado para el derecho.

Variantes de la normalidad observadas en: protuberancia occipital, *torus palatino*, incisura supraorbitaria, sutura petroescamosa.

Sin ajuar.

8. TUMBA DE INHUMACIÓN (1325, 1326, 1321)

Inhumación situada en el límite norte del cuadrante S.O de la excavación.

Fosa U.E 1321, de planta rectangular, con unas dimensiones aproximadas de 1,80 x 0,62 x 0,37 m. Estaba orientada E-O.

Relleno UE.1325, de textura areno arcillosa con presencia de carbones, malacofauna, nueces carbonizadas, y fragmentos informes de cerámica de cocina y de ánfora itálica.

Esqueleto U.E 1326, corresponde a un individuo adulto (20-25 años), de sexo varón, enterrado en deposición de decúbito supino y orientado E-O. El índice de conservación del esqueleto se ha establecido en un 30,5%.

Evidencias de mortaja a la altura de hombros, rodillas y tobillos.

Edad: en el rango adulto joven (20-40 años), pudiéndose establecer en una horquilla de edad comprendida entre los 20-25 años a partir del desgaste dental tipo 4 (Holly-Smith, 1984) con una correspondencia de edad entre los 25-35 años (Brothwell, 1991).

Sexo: varón

Métodos morfológicos: morfología pélvica (ángulo cerrado de la escotadura ciática).

Sexo: posible varón determinada dicha estimación a partir de las características morfológicas de robustez de los miembros conservados y por los espesores de la cortical de diferentes miembros según Gejvall, (1980).

- Robustez de miembros.

- Máximo espesor díploe frontal-parietal: 7 mm.
- Máximo espesor díploe occipital: 14 mm
- Espesor del tercio medio del húmero: 4-5 mm.

Estatura estimada en un rango entre los 160-164 cm, a partir de las tablas de Manouvrier y Trotter y Glesser, según la longitud máxima de la tibia izquierda (340 mm).

Descomposición en medio colmatado.

Complexión anatómica: robusta.

Lateralidad derecha, fundamentalmente objetivada por la presencia de mayor desarrollo de las entesopatías de extremidades superiores/inferiores.

Desde un punto de vista patológico destacan:

1. Patología de tipo degenerativo a nivel lumbar y coxo-femoral.
2. Patología reumática: artritis en la base del cótilo izquierdo.
3. Patología inflamatoria-infecciosa: pediculosis occipital.

Marcadores de estrés ocupacional: indicadores de una biomecánica relacionada con una actividad continuada de brazos y piernas como consecuencia de sus actividades laborales u ocupacionales:

1. Cintura escapular: sindesmosis costal derecha, grado intenso.
2. Hipertrofia humeral bilateral, grado leve.
3. Entesopatía de línea áspera izquierdo en grado moderado
4. Entesopatía del músculo sóleo tibial derecho en grado moderado.

Variantes anatómicas epigenéticas: No se observan.

Ajuar-indumentaria:

- Un anillo con sello de metal y una piedra engarzada que se hallaba en la mano izquierda.

Sin ajuar.

9. TUMBA DE INHUMACIÓN (1327, 1329, 1328)

Inhumación situada en el cuadrante S.E de la excavación.

Fosa U.E 1328, de forma rectangular. Esta estructura tenía unas dimensiones conservadas de 0,78 x 0,24 x 0,40 m y una orientación N-S.

Relleno U.E 1327, estaba formado por una tierra marrón oscura, de textura arcillosa, con carbones y restos de malacofauna. El material cerámico recuperado es muy

escaso registrándose la base de un cubilete de paredes finas y un fragmento de cerámica común romana.

Esqueleto U.E 1329, corresponde a un esqueleto infantil II con un rango de edad entre los 5 y 6 años de edad, de sexo indeterminado. Estaba enterrado en deposición de decúbito lateral derecho y orientado N-S. En mal estado solo se conservaba la mitad derecha del esqueleto. Tanto los miembros superiores como los inferiores conservados estaban hiperflexionados. El índice de conservación del esqueleto se ha establecido en un 14%.

Evidencias de mortaja a nivel de hombros y rodillas.

Edad: en el rango infantil I (5-6 años) pudiéndose establecer a partir de la longitud de radio (148 mm), longitud de fémur (230-240 mm).

Sexo: indeterminado.

Lateralidad indeterminada.

Estatura indeterminada.

Descomposición en medio colmatado.

Desde un punto de vista patológico destacan:

1. Patología de tipo nutricional-carencial manifiesto por presencia de criba femoral en fémur izquierdo.

Variantes anatómicas epigenéticas: No se observan.

Sin ajuar.

10. TUMBA DE INHUMACIÓN (1335, 1334, 1336) (Lámina 5.2)

Inhumación situada en el cuadrante S.O de la excavación.

Fosa UE.1336, de planta rectangular (cabecera redondeada), con unas dimensiones conservadas de 1,72 x 0,70 x 1,19 m y una orientación de O-E.

Relleno UE.1335, que colmataba esta inhumación estaba compuesto por una tierra marrón oscura, de textura areno arcillosa, con escasa presencia de carbones, malacofauna y como elementos cerámicos se recuperó un fragmento de galbo de ánfora itálica.

Esqueleto U.E 1334, corresponde a un individuo adulto joven entre 25-30 años, de sexo varón, enterrado en deposición de decúbito supino y orientado O-E. La cabeza estaba girada hacia el norte, las extremidades superiores estaban pegadas al cuerpo, la derecha semiflexionada con la mano en deposición dorsal cruzada por encima de la pelvis y la extremidad izquierda estaba estirada junto al cuerpo. Las extremidades

inferiores estaban estiradas y juntas. Las inserciones musculares están marcadas. El índice de conservación del esqueleto se ha establecido en un 37,5%.

Evidencias de mortaja a nivel de hombros, rodillas y tobillos.

Edad: en el rango adulto joven (20-40 años), pudiéndose establecer en una horquilla de edad comprendida entre los 25-35 años a partir del desgaste dental tipo 4-5 (Holly-Sthmith, 1984) con una correspondencia de edad entre los 25-35 años (Brothwell, 1991)⁴.

Sexo: varón.

Métodos morfológicos: morfología craneal (mentón cuadrangular).

Métodos antropométricos: la combinación de medidas antropométricas de fémur, aplicando las fórmulas regresivas da un resultado de sexo varón con un 88,16% de confianza (diámetro vertical de la cabeza femoral, según fórmula $47 \times 0,4865479 - 20,9910026$, punto de corte 0,039055).

Estatura estimada en 179-181 cm, según longitud máxima de húmero derecho (365 mm). Se han empleado las tablas y fórmulas regresivas de Nunes de Mendonça y Manouvrier.

Descomposición en medio colmatado.

Complejión anatómica: robusta.

Lateralidad derecha, fundamentalmente objetivada por la presencia de mayor desarrollo de las entesopatías de extremidades superiores.

Desde un punto de vista patológico destacan:

1. Salud bucodental: hipoplasia del esmalte en las piezas dentales del maxilar 1.3 y 2.3 a una altura de la línea amelocementaria 3 mm. Caries coronal con afectación a pulpa en las piezas del maxilar 2.7 y 2.8.
2. Patología degenerativa muy leve manifiesta en una uncartrosis cervical
3. Patología de tipo nutricional-carencial y metabólica: criba orbitaria derecha tipo porótico y supraorbitaria. Hiperóstosis frontal (9-11 mm).
4. Patología infecciosa: periostitis en la cara interna clavicular, ligera periostitis a nivel medio diafisario de la tibia izquierda.

Marcadores de estrés ocupacional: indicadores de una biomecánica relacionada con una actividad continuada de brazos y piernas como consecuencia de sus actividades laborales u ocupacionales:

1. Entesopatía del músculo bíceps braquial radial izquierdo, grado moderado.

⁴ Estos métodos están recogidos en los *Standars for data collection from human skeletal remains* (Buikstra, y Ubelaker, 1994).

2. Entesopatía del músculo supinador cubital bilateral, grado leve izquierdo, grado moderado derecho.
3. Entesopatía del músculo pectoral mayor izquierdo, grado leve.
4. Hipertrofia humeral derecha, grado leve.
5. Hipertrofia de falanges derecha, grado leve.
6. Entesopatía del ligamento redondo izquierdo, en grado leve.

Variantes anatómicas epigenéticas: sutura petroescamosa.

Ajuar:

-Moneda de bronce, *quadrens* de Arse (anv. concha/ rev. delfines), hallada en la parte derecha de la mandíbula. Cronología (133 - 120 a.C.).

11. TUMBA DE INHUMACIÓN (1342, 1344, 1343) (Lámina 5.15)

Inhumación situada en el cuadrante S.O de la excavación.

Fosa U.E 1343, es de forma rectangular, con unas dimensiones conservadas de 1,40 x 0,60 x 0,18 m. Estaba orientada O-E.

Relleno U.E 1342, estaba compuesto por una tierra anaranjada, de textura arenosa, con presencia de malacofauna y abundante material cerámico, en estado fragmentario, en el que se han documentado restos informes de ánfora itálica Dressel 1A, cerámica común romana, cerámica de cocina (fragmento de borde de olla), y un fragmento de borde de ánfora ibérica.

Esqueleto U.E 1344, corresponden a un individuo adulto joven con una edad estimada entre los 20 y 28 años, de sexo varón y orientado O-E. Estaba enterrado en deposición sedente, del que tan solo se ha conservado dos piezas dentales aisladas, parte del tórax, pelvis y extremidades inferiores que estaban estiradas y paralelas entre sí, haciendo ángulo recto con el resto del esqueleto. El índice de conservación del esqueleto se ha establecido en un 23,5%.

No se han documentado evidencias de mortaja.

Edad: en el rango adulto joven (20-40 años), pudiéndose establecer en un rango de edad comprendida entre los 30-35 años a partir de los métodos empleados y relacionados a continuación.

Métodos:

1. Superficie auricular del ilion: Fases 1-2 (20-28).
2. Sínfisis pubis según Suchey-Brooks: Fase 1: 18-20 años.
3. Cuarta costilla (articulación condrocostal): Fase 2 (20-23).

Sexo: varón.

Métodos antropométricos: la combinación de medidas antropométricas de fémur, aplicando las fórmulas regresivas da un resultado de sexo varón con un 88,16% de confianza (diámetro vertical de la cabeza femoral, según fórmula $48 \times 0,4865479 - 20,9910026$, punto de corte 0,039055).

Estatura estimada en 160-164 cm, a partir de las tablas de Nunes de Mendonça y Manouvrier a partir de la longitud máxima del fémur izquierdo de 420-430 mm.

Descomposición en medio colmatado.

Lateralidad indeterminada.

Desde un punto de vista patológico destacan:

1. Salud bocodental: hipoplasia del esmalte en la pieza del maxilar 1.4 a una altura de la línea amelocementaria entre 3-4 mm.
2. Patología degenerativa a nivel de la columna dorsal baja y lumbar, cavidades de Schmorl.

Marcadores de estrés ocupacional: indicadores de una biomecánica relacionada con una actividad continuada de brazos y piernas como consecuencia de sus actividades laborales u ocupacionales:

1. Entesopatía del ligamento redondo bilateral, en grado moderado para ambos lados.
2. Faceta de Poirier izquierda, en grado leve.
3. Entesopatía del músculo sóleo tibial bilateral en grado leve para ambos lados.

Variantes anatómicas epigenéticas: No se observan.

Sin ajuar.

12. TUMBA DE INHUMACIÓN (1367, 1368, 1366) (Lámina 5.2)

Inhumación situada en el cuadrante S.E de la excavación.

Fosa U.E 1366, de planta rectangular, con unas dimensiones, conservadas, de 1,18 x 0,50 cm. y una profundidad máxima de 0,54 cm. Esta estructura presenta una orientación E-O.

Relleno U.E 1367, estaba compuesto por una tierra rojiza, de textura arcillosa y rubefacta, con restos escasos de malacofauna y de huesos calcinados, en el que se ha documentado fragmentos informes de ánfora itálica, de cerámica común romana, y dos clavos de hierro.

Esqueleto U.E 1368, corresponde a un individuo probablemente mujer y de edad madura, enterrado en deposición de decúbito supino y orientado E-O. La cabeza

estaba levemente girada hacia el sur, las extremidades superiores estaban cruzadas a la altura del pecho, con la mano derecha sobre la izquierda. Las extremidades inferiores se encontraban semiflexionadas, juntas y giradas hacia el lado derecho, apoyándose directamente sobre uno de los laterales de la tumba. El índice de conservación del esqueleto se ha establecido en un 24,5%.

Evidencias de mortaja a nivel de hombros y rodillas.

Edad: en el rango adulto maduro (40-60 años), pudiéndose establecer a partir del desgaste dental tipo 7 (Holly-Sthmith, 1984) con una correspondencia de edad >45 años (Brothwell, 1991).

Sexo: probable mujer.

Métodos morfológicos: morfología craneal (apófisis mastoides pequeñas).

Sexo: posible mujer determinada dicha estimación a partir de las características morfológicas de robustez de los miembros conservados y por los espesores de la cortical de diferentes miembros según Gejvall, (1980).

- Gracilidad de miembros.
- Máximo espesor díploe occipital: 6 mm
- Espesor del tercio medio del fémur: 5 mm.
- Espesor del tercio medio del húmero: 5 mm.
- Espesor del tercio medio del radio: 3 mm.

Estatura estimada en 163 cm, a partir de las tablas de Nunes de Mendonça a partir de la longitud máxima del húmero izquierdo de 320 mm.

Descomposición del cuerpo en medio vacío.

Complexión anatómica: grácil.

Lateralidad derecha, fundamentalmente objetivada por la presencia de mayor desarrollo de las entesopatías de extremidades superiores e inferiores.

Desde un punto de vista patológico destacan:

1. Salud bocudental: caries en línea amelocementaria con afectación en la dentina y pulpa, presente en las dos piezas dentales mandibulares aisladas y conservadas (3.7 y 3.8).
2. Patología degenerativa: signos artrósicos a nivel de la columna cervical, y de articulaciones de codo y muñeca.

Marcadores de estrés ocupacional: indicadores de una biomecánica relacionada con una actividad continuada de brazos y piernas como consecuencia de sus actividades laborales u ocupacionales:

1. Cintura escapular: ligamento costoclavicular izquierdo, grado intenso.
2. Entesopatía del músculo supinador cubital bilateral, grado intenso para el derecho, moderado para el izquierdo.
3. Hipertrofia humeral izquierdo, grado moderado.
4. Hipertrofia de falanges bilateral, grado moderado par el izquierdo, intenso para el derecho.
5. Entesopatía de pectoral mayor bilateral, grado moderado.
6. Entesopatía de línea áspera izquierdo en grado intenso.
7. Entesopatía del músculo sóleo tibial bilateral en grado moderado.
8. Entesopatía del glúteo mayor derecho, en grado intenso.

Variantes anatómicas epigenéticas: No se observan.

Presencia de 2 clavos pertenecientes a los restos del ataúd.

Indumentaria:

- Un anillo posiblemente de plata, cuya forma se asemeja a un nudo marinero, hallado en el dedo anular de la mano derecha.

13. TUMBA DE INHUMACIÓN (1332= 3014, 1345=3013, 1346=3015)

Inhumación ubicada en el cuadrante S.O.

Fosa U.E 1346=3015, es de una forma rectangular, con unas dimensiones, aproximadas, de 2 x 0,50 x 0,18 m. y una orientación de O-E.

Relleno U.E 1332=3014, está compuesto por una tierra marrón, de textura arcillosa, con algunas gravas y restos de malacofauna, huesos, y abundante presencia de carbones. Como material cerámico asociado, se han registrado fragmentos de cerámica común romana y dos fragmentos de ánfora itálica, un fragmento de borde perteneciente a un plato-tapadera de cerámica común romana, un fragmento sin forma de cerámica Campaniense A.

Esqueleto U.E 1345=3013, corresponde a un individuo juvenil (17-21 años), de sexo mujer, enterrado en deposición de decúbito supino, en mal estado de conservación y orientado SO-NE. El cráneo estaba ladeado hacia la derecha. Solo se conserva la extremidad superior izquierda en deposición semiflexionada, conservándose húmero, cúbito-radio y algunas falanges. De la extremidad superior derecha solo se ha conservado parte de las diáfisis de los huesos largos en desarticulación. Las extremidades inferiores estaban estiradas y paralelas. En general, el esqueleto tiene un aspecto grácil. El índice de conservación del esqueleto se ha establecido en un 41%.

Evidencias de mortaja a nivel de mandíbula, hombros, rodillas y pies.

Edad: en el rango adulto joven (20-40 años), pudiéndose establecer en un rango de edad comprendida entre los 25-28 años a partir de los métodos empleados y relacionados a continuación.

Métodos:

1. Superficie auricular del ilion: Fase 2 (25-28).

Estatura estimada en 140-145cm, a partir de las tablas de Nunes de Mendonça y Manouvrier a partir de la longitud máxima del húmero izquierdo de 265 mm.

Descomposición en medio colmatado.

Complexión anatómica: grácil.

Lateralidad izquierda, fundamentalmente objetivada por la presencia de mayor desarrollo de las entesopatías de extremidades superiores e inferiores.

Desde un punto de vista patológico destacan:

1. Salud bocudental: hipoplasias del esmalte.
2. Patología infecciosa: pleuritis costal, discitis en la primera vértebra lumbar.
3. Patología degenerativa: coxoartritis en ambas cabezas femorales y artrosis glenohumeral derecha.

Marcadores de estrés ocupacional: indicadores de una biomecánica relacionada con una actividad continuada de brazos y piernas como consecuencia de sus actividades laborales u ocupacionales:

1. Cintura escapular: sindesmosis costal derecha, grado moderado.
2. Entesopatía del músculo supinador cubital bilateral, grado leve para ambos lados.
3. Entesopatía del músculo pectoral mayor izquierdo, grado leve.
4. Entesopatía de línea áspera izquierdo en grado moderado.
5. Entesopatía del músculo sóleo tibial izquierdo en grado leve.

Se ha observado una variante anatómica epigenética en clavícula derecha.

Sin ajuar.

14. TUMBA DE INHUMACIÓN (1363, 1362, 1361)

Inhumación situada en el cuadrante SO de la excavación.

Fosa U.E 1361, de forma rectangular, con unas dimensiones conservadas, de 0,61 x 0,52 x 0,26 m. La orientación es SO-NE.

Relleno U.E 1363, estaba compuesto por una tierra de textura arenosa.

Esqueleto U.E 1362, corresponde a un individuo de edad y sexo indeterminado, orientado SO-NE. Del esqueleto tan solo se han conservado parte de sus extremidades inferiores fragmentos medios de ambas tibias y peronés. El índice de conservación del esqueleto se ha establecido en un 2%.

No hay evidencias de mortaja.

Edad adulto indeterminado (20-40 años) sin poder aproximar un rango de edad más concreto.

Estatura indeterminada.

Sexo indeterminado.

Debido al mal estado de conservación y la escasa entidad ósea, no se ha podido establecer el medio en el que se produjo la Descomposición *post mortem*.

No se han observado patologías.

Marcadores de estrés ocupacional: indicadores de una biomecánica relacionada con una actividad continuada piernas como consecuencia de sus actividades laborales u ocupacionales:

1. Entesopatía del músculo sóleo tibial bilateral en grado leve para ambos lados.

Variantes anatómicas epigenéticas: No se observan.

Ajuar:

En el interior de la fosa, y directamente sobre las extremidades inferiores, se recuperaron tres fragmentos de ánfora de época romana.

- (nº inv. 74): Fragmento de boca, cuello y asa de ánfora itálica. Diámetro de boca 14 cm.

15. FOSA COMÚN-*puticulus* (1287, 1247-1337-1338-1339-1340, 1310)

(Lámina 5.14)

Enterramiento ubicado en el cuadrante SO, prácticamente en el centro de la excavación.

Fosa U.E 1310, no se ha podido reconocer los límites originales (afectada por estructuras medievales), posiblemente tuviera una planta circular.

Relleno U.E 1287, estaba formado, básicamente, por arena, en la que se ha documentado la presencia de fragmentos de ánfora itálica Dressel 1A y varios fragmentos de borde de cerámica de cocina.

En el interior de esta fosa se hallaron un total de cinco individuos identificados con las siguientes unidades estratigráficas 1247; 1337; 1338 a y b; 1339=1340.

Esqueleto UE.1247, corresponde a un individuo adulto con una edad comprendida entre los 33-45 años, de sexo varón y orientado SE-NO. Estaba enterrado en deposición de cúbito lateral izquierdo, con la cabeza ladeada en deposición forzada y adaptada a la forma de la fosa; de la extremidad superior izquierda se conservaron restos de clavícula izquierda, escápula, húmero, cúbito y radio fragmentados, así como la mano completa a falta de huesos del carpo; de la extremidad inferior izquierda (tibia, peroné y pie) y con representación de toda la extremidad inferior derecha pero muy fragmentada. El índice de conservación del esqueleto se ha establecido en un 43%. A pesar de la escasa y mala conservación se pudo anotar una deposición de los miembros superiores estirados y ajustados al cuerpo, y las extremidades inferiores, estiradas y juntas.

Evidencias de mortaja a nivel de hombros y tobillos.

Edad: en el rango adulto joven (20-40 años), pudiéndose establecer en una horquilla de edad comprendida entre 30-45 años a partir del desgaste dental tipo 4-5 (Holly-Smith, 1984) con una correspondencia de edad entre los 33-45 años (Brothwell, 1991).

Sexo: varón.

Métodos morfológicos: morfología craneal (frente huidiza, arcos supraciliares marcados, glabella tipo 3-4).

Sexo: posible varón determinada dicha estimación a partir de las características morfológicas de robustez de los miembros conservados y por los espesores de la cortical de diferentes miembros según Gejvall, (1980).

- Robustez de miembros.
- Máximo espesor díplote occipital: 7 mm.
- Espesor del tercio medio del fémur: 9 mm.

Estatura estimada en un rango entre los 169,7-175 cm, a partir de las tablas de Manouvrier y Trotter y Glesser, según la longitud máxima de la tibia izquierda (382mm).

Complexión anatómica: robusta.

Descomposición en medio colmatado.

Desde un punto de vista patológico destacan:

1. Salud bucodental: hipoplasias del esmalte en las piezas dentales del maxilar 1.2, 2.2 a una altura de la línea amelocementaria de 3-5 mm. Hipoplasias del esmalte en las piezas mandibulares 3.3, 3.4 y 4.3 a una altura de la línea amelocementaria de 3-4 mm.

2. Patología infecciosa: periostitis en extremidades inferiores (a nivel de parte media de ambas tibias y peronés).
3. Patología inflamatoria: artritis en falanges de mano izquierda.
4. Patología traumática: osteocostondritis disecante.

Marcadores de estrés ocupacional: indicadores de una biomecánica relacionada con una actividad continuada de brazos y piernas como consecuencia de sus actividades laborales u ocupacionales:

1. Cintura escapular: ligamento costoclavicular izquierdo, grado leve.
2. Entesopatía del músculo bíceps braquial radial izquierdo, grado intenso.
3. Entesopatía del músculo supinador cubital izquierdo, grado moderado.
4. Entesopatía del músculo tríceps braquial cubital izquierdo, grado moderado.
5. Hipertrofia humeral izquierdo, grado moderado.
6. Hipertrofia de falanges izquierdo, grado moderado.
7. Entesopatía del músculo sóleo tibial izquierdo, en grado moderado.
8. Espina tibial bilateral, en grado moderado para el lado derecho, intenso para el izquierdo.
9. Entesopatía en primer metatarsiano pie derecho asociado al uso de un tipo determinado de calzado formado por tiras de cuero.

Variantes anatómicas epigenéticas: No se observan.

Esqueleto UE.1337: corresponde a un individuo adulto, de sexo posible varón y orientado SE-NO. Solo se conserva el tercio inferior de las extremidades inferiores que estaban en deposición de decúbito supino. El índice de conservación del esqueleto se ha establecido en un 8,5%.

Evidencias de mortaja a la altura de tobillos.

Edad en el rango adulto (20-60), sin poder hacer mayores aproximaciones a juzgar por el mal estado de conservación del esqueleto.

Sexo posible varón a partir de la observación del esqueleto postcraneal.

Estatura indeterminada.

Descomposición en medio colmatado.

Complexión anatómica: robusta.

Desde un punto de vista patológico destacan:

1. Patología inflamatoria: artrosis en la articulación calcáneo-astragalina.

Marcadores de estrés ocupacional: indicadores de una biomecánica relacionada con una actividad continuada de brazos y piernas como consecuencia de sus actividades laborales u ocupacionales:

1. Entesopatía del músculo sóleo tibial izquierdo en grado moderado.

Variantes anatómicas epigenéticas: No se observan.

Esqueleto UE.1338 a: corresponde a un individuo adulto con un rango de edad indeterminado de sexo indeterminado, orientado SE-NO. Conserva parte del fémur izquierdo, en deposición de decúbito supino. El índice global de conservación es del 1%.

No hay evidencias de mortaja.

Edad en el rango adulto (20-60), sin poder hacer mayores aproximaciones a juzgar por el mal estado de conservación del esqueleto.

Sexo posible varón a partir de la observación del esqueleto postcraneal.

Descomposición en medio colmatado.

No se observan nosologías para este individuo.

Marcadores de estrés ocupacional: indicadores de una biomecánica relacionada con una actividad continuada de brazos y piernas como consecuencia de sus actividades laborales u ocupacionales:

Entesopatías del glúteo mayor.

Variantes anatómicas epigenéticas: No se observan.

Esqueleto UE.1338 b: corresponde a un individuo juvenil, orientado SE-NO. Conserva parte del fémur izquierdo, en deposición de decúbito supino. El índice global de conservación es del 0,5%.

Sexo indeterminado.

Estatura indeterminada.

No hay evidencias de mortaja.

Descomposición en medio colmatado.

No se describen nosologías para este individuo.

No se observan marcadores de actividad.

Variantes anatómicas epigenéticas: No se observan.

Esqueleto UE.1339=1340: corresponde a un individuo adulto joven con un rango de edad entre los 20 y 40 años, de posible sexo varón. Se conserva tibia, peoné y pie izquierdos y peroné y pie derechos. Estaba enterrado en deposición de decúbito supino, con las extremidades inferiores paralelas y ligeramente separadas, con una orientación de S-N. El índice de conservación es del 13,5%.

Evidencias de mortaja a nivel de tobillos.

Edad en el rango adulto (20-60), sin poder hacer mayores aproximaciones a juzgar por el mal estado de conservación del esqueleto.

Sexo varón posible varón determinada dicha estimación a partir de las características morfológicas de robustez de los miembros conservados.

Estatura estimada en un rango entre los 153-157 cm, a partir de las tablas de Manouvrier y Trotter y Glesser, según la longitud máxima de peroné derecho (320mm).

Descomposición en medio colmatado.

Complexión anatómica: robusta.

Desde un punto de vista patológico destacan:

1. Patología traumática: fractura con consolidación de quinto metatarsiano de pie izquierdo.

Marcadores de actividad en miembros inferiores: entesopatías de músculo soleo bilateral.

Entesopatía de primer metatarsiano pie derecho asociado a una actividad motora por uso repetido de un tipo determinado de calzado.

Variantes anatómicas epigenéticas: No se observan.

16. TUMBA DE INHUMACIÓN (1357, 1359, 1347)

Inhumación situada en el cuadrante S.E de la excavación.

Fosa U.E 1347, se halló en mal estado de conservación, muy afectada por estructuras posteriores.

Relleno U.E 1357, compuesto por tierra marrón oscura, de textura arcillo-arenosa con ausencia de cualquier tipo de material a excepción de algunos fragmentos óseos.

Esqueleto U.E 1359, corresponde a un individuo adulto (menor de 40 años), de posible sexo varón, orientado E-O, del que tan solo se conserva parte de su extremidad inferior izquierda y algunos huesos de la mano izquierda. El índice de conservación es del 13%.

Dada la mala conservación de los restos no ha sido posible determinar la presencia de mortaja y el tipo de descomposición *post mortem*.

Edad en el rango adulto (20-40), sin poder hacer mayores aproximaciones a juzgar por el mal estado de conservación del esqueleto.

Sexo varón posible varón determinada dicha estimación a partir de las características morfológicas de robustez de los miembros conservados.

No se describen patologías para este individuo.

Marcadores de estrés ocupacional: indicadores de una biomecánica relacionada con una actividad continuada de piernas como consecuencia de sus actividades laborales u ocupacionales:

1. Entesopatía de línea áspera izquierda en grado leve.
2. Entesopatía del trocánter menor izquierdo en grado leve.
3. Entesopatía sacroilíaca.
4. Entesopatía del músculo sóleo tibial izquierdo en grado leve.

Variantes anatómicas epigenéticas: No se observan.

17. TUMBA DE INHUMACIÓN (1315, 1317, 1316)

Inhumación individual situada en el sector NE de la excavación.

Fosa U.E 1316, de forma rectangular, con sus lados menores redondeados y una orientación S-N. El enterramiento estaba cortado por el extremo distal como consecuencia de la construcción de otros enterramientos.

Relleno U.E 1315, formado por una tierra oscura, de textura arcillo-arenosa, que contenía malacofauna, gravas, fragmentos de huesos calcinados, y abundantes carbones. El material cerámico recuperado es escaso y fragmentado, entre los que destacan varios fragmentos de ánfora romana (indeterminada) y fragmentos de cerámica común y de cocina dispersos.

Esqueleto U.E 1317, corresponde a un individuo juvenil con un rango de edad entre los 19 y 20 años, de sexo varón, enterrado en deposición de decúbito lateral derecho y orientado S-N. La cabeza ligeramente ladeada hacia el Este. Las extremidades superiores están semiflexionadas, con el brazo izquierdo sobre el tórax y el brazo derecho. El índice de conservación del esqueleto se ha establecido en un (27,5%).

Edad: en el rango adulto joven (20-40 años), pudiéndose establecer en una horquilla de edad comprendida entre los 25-35 años a partir del desgaste dental tipo 3 (Holly-Sthmith, 1984) con una correspondencia de edad entre los 20-25 años (Brothwell, 1991).

Sexo: varón

Morfología craneal (mentón protuyente, gónion evergente). y pélvica (escotadura ciática angulosa).

Complejión anatómica: robusta.

Estatura estimada en $146 \pm 8,44$ cm según las tablas y fórmulas de regresión de Nunes de Mendonça a partir de la longitud máxima del húmero derecho de 265 mm.

Evidencias de mortaja a nivel de mandíbula y manos.

Descomposición del cuerpo en medio colmatado.

Desde un punto de vista patológico destacan:

1. Salud bucodental: hipoplasias del esmalte dental.

Marcadores de estrés ocupacional: indicadores de una biomecánica relacionada con una actividad continuada de brazos como consecuencia de sus actividades laborales u ocupacionales:

1. Cintura escapular: ligamento costoclavicular derecha, grado moderado.
2. Entesopatía del músculo supinador cubital izquierdo, grado leve.
3. Entesopatía del músculo pectoral mayor bilateral, grado moderado.
4. Hipertrofia humeral izquierdo, grado moderado.

18. TUMBA DE INHUMACIÓN (1319, 1318, 1371, 1372, 1373,) (Lámina 5.3)

Inhumación individual situada en el límite norte del cuadrante SO de la excavación.

Esta tumba corresponde al tipo de tumba de cámara o hipogeo característico de la necrópolis.

Fosa U.E 1319, tiene una orientación E-O, con unas dimensiones de 2,10 x 0,80 x 1,20 m.

Relleno U.E 1318, estaba formado por una tierra marrón, de textura arcillosa con carbones. El material cerámico recuperado en este relleno está formado por fragmentos informes de cerámica ibérica, básicamente ánfora. Cubierta por este relleno se localizó un ánfora greco-itálica de transición, ligeramente inclinada y apoyada sobre la cara N de la fosa.

Nicho U.E 1371, En uno de los lados mayores de la fosa (pared Norte), a escasa altura del fondo, se delimitó un nicho con dimensiones conservadas (2,00 long. x 0,40 m. anchura)

Relleno nicho U.E 1372, estaba compuesto por una tierra arcillosa en la que se recuperó tan solo un clavo de hierro.

Esqueleto U.E 1373, corresponde a un individuo maduro (55-65 años) de sexo varón, enterrado en deposición decúbito supino y orientado E-O. La cabeza estaba ladeada hacia el N. Las extremidades inferiores y la superior derecha se estaban extendidas, mientras que la superior izquierda estaba semiflexionada con la mano apoyada sobre el pecho. El índice de conservación es del 71,5%.

Signos de amortajamiento en tobillos y a la altura de los hombros.

Edad: en el rango senil (>60 años), pudiéndose establecer en un rango de edad comprendida entre los 30-35 años a partir de los métodos empleados y relacionados a continuación.

Métodos:

1. Sínfisis pubis según Suchey-Brooks: Fase 6: >40 años.

Sexo: varón (morfológica y antropométricamente, con un 90,91 % de confianza).

Métodos antropométricos: la combinación de medidas antropométricas de fémur, aplicando las fórmulas regresivas da un resultado de sexo varón con un 90,91% de confianza (anchura epicondilar + diámetro vertical de la cabeza femoral, según fórmula $79,61x + 0,1545610 + 48,65x - 0,2482526 - 22,4541154$, punto de corte - 0,122985).

Estatura estimada entre 170-176 cm según las tablas y fórmulas de regresión de Nunes de Mendonça y Trotter y Glesser, a partir de la longitud máxima del fémur derecho de 462 mm y de la tibia izquierda de 385 mm.

Descomposición en medio vacío.

Desde un punto de vista patológico destacan:

1. Salud bucodental: fractura incisal distal de la pieza mandibular 3.1; hipoplasias del esmalte en la pieza dental mandibular 4.3 a una altura de la línea amelocementaria 4,5 mm; absceso importante periapical en la pieza mandibular 4.8; pequeño tumor en el reborde alveolar en la pieza mandibular 4.6.
2. Patología degenerativa: procesos artrósicos generalizados en columna vertebral, y principales articulaciones.
3. Patología reumática: DISH (hiperostosis idiopática difusa), también llamada enfermedad de Forrester).

Marcadores de estrés ocupacional: indicadores de una biomecánica relacionada con una actividad continuada de brazos y piernas como consecuencia de sus actividades laborales u ocupacionales:

1. Cintura escapular: ligamento costoclavicular bilateral grado intenso, sindesmosis costal derecha, grado intenso.
2. Entesopatía del músculo supinador cubital izquierdo, grado leve.
3. Entesopatía del músculo pectoral mayor bilateral, grado moderado.
4. Hipertrofia humeral bilateral, grado intenso.
5. Corredera bicipital izquierda, grado intenso.
6. Hipertrofia de falanges bilateral.

7. Entesopatía del ligamento redondo bilateral, en grado moderado para ambos lados
8. Faceta de Poirier bilateral, en grado intenso.
9. Entesopatía de línea áspera derecha en grado intenso.
10. Faceta de Martin bilateral, grado intenso.
11. Entesopatía del trocánter menor derecho, en grado intenso.
12. Entesopatía del trocánter mayor derecho, en grado intenso.
13. Faceta de acucillamiento tibial bilateral en grado moderado.
14. Entesopatía del glúteo mayor derecho, en grado leve.
15. Espina tibial derecho, en grado moderado.
16. Faceta de acucillamiento astragalina derecho.
17. Entesopatía en primer metatarsiano pie derecho asociado al uso de un tipo determinado de calzado formado por tiras de cuero.

Variantes anatómicas epigenéticas: Apófisis geni en mandíbula.

Los materiales de 1318:

Ajuar

- (1) Ánfora greco-italica de transición. Diámetro de boca 13,5 cm. Pieza completa.

Los materiales hallados en el interior del nicho UE 1371:

- (2) (nº de interés Museístico 0609): una olla de cerámica de cocina ibérica de borde exvasado. En estado fragmentario pero completa. Diámetro de boca 15 cm, diámetro de base 8,5 cm, altura 16,7 cm. Pieza fragmentada.
- (3) Un *strigilis* completo de hierro que posiblemente estaría situado a la altura del codo de la extremidad superior izquierda. Medidas: longitud 24 cm; anchura 2,5 cm; espesor lámina 0,5 cm.

Fauna:

Los restos de fauna recuperados en esta tumba, pertenecen a dos especies: el cerdo (*Sus domesticus*) y la oveja (*Ovis aries*).

-Cráneo de jabalí, seccionado frontalmente cuyas mitades se localizan a la altura de los pies y de las rodillas, corresponden al cráneo y mandíbulas de un macho, con una edad de muerte comprendida entre los 23-31 meses. No se ha podido determinar si presentaba alguna marca de carnicería.

-Cuartos traseros de un ovicáprido colocados sobre el fémur derecho del esqueleto. Corresponden a una oveja sub-adulta, no mayor de 30 meses, (aproximadamente rondaría los dos años de edad). Hay restos pertenecientes al esqueleto axial (dos vértebras lumbares y tres caudales), así como del esqueleto apendicular (pelvis izquierda, los dos fémures, fragmentos de las dos tibias y un fragmento de calcáneo).

Una pelvis y un fémur presentan marcas de carnicería. En la pelvis se observa un corte profundo en la cresta iliaca realizado durante el despiece. El fémur presenta incisiones finas marcas que por su localización en las zonas articulares, relacionamos con la desarticulación de los miembros.

La pelvis presenta una patología: un crecimiento anormal del tejido óseo sobre la zona de inserción muscular en el íleon.

Como característica de los restos de oveja, queremos resaltar su robustez ya que pese a ser un ejemplar inmaduro (huesos con epífisis no fusionadas), el tamaño de los huesos es superior al de las ovejas presentes en los yacimientos ibéricos del Camp del Turia. Tal vez se trate de una raza introducida o de un ejemplar castrado, aunque no disponemos de suficientes restos para concretar esta posibilidad.

19. TUMBA DE INHUMACIÓN (1280, 1288-1295)

Enterramiento localizado en el centro de la excavación.

Se trata de la reutilización de un espacio funerario, *ustrinum*, que tras su función de pira crematoria fue utilizado como fosa de dos inhumaciones.

Fosa, (s/n), corresponde al *ustrinum* 1280.

Esqueleto U.E 1288, corresponde a un individuo juvenil con un rango de edad entre los 17 y 21 años, de sexo varón, enterrado en deposición de decúbito prono y orientado SO-NE. Las extremidades superiores estaban semiflexionadas, la izquierda por debajo del abdomen, la derecha sobre el fondo de la fosa; las extremidades inferiores estiradas y ligeramente separadas. El índice de conservación es del 38,5%.

Sin evidencias claras de amortajamiento.

Edad: juvenil establecida a partir de la observación de la obliteración de las epífisis de crecimiento de húmero y acromion.

Edad: en el rango adulto joven (17-21 años), a partir del desgaste dental tipo 3-4 (Holly-Sthmith, 1984), erupción del tercer molar (1.8), con una correspondencia de edad entre los 17-25 años (Brothwell, 1991).

Sexo: varón (morfológica y antropométricamente, con un 90,91 % de confianza).

Métodos morfológicos: morfología craneal (frente huidiza, arcos supraciliares marcados, borde orbitario romo, glabella tipo 5, apófisis mastoides pequeñas, mentón cuadrangular) y pélvica (escotadura ciática ángulo cerrado).

Métodos antropométricos: la combinación de medidas antropométricas de fémur, aplicando las fórmulas regresivas da un resultado de sexo varón con un 90,91% de confianza (anchura epicondilar + diámetro vertical de la cabeza femoral, según fórmula $75x 0,1545610 + 47x 0,2482526 - 22,4541154$, punto de corte $-0,122985$).

Estatura estimada en 160-163 cm a partir de la longitud máxima de fémur derecho (426,5 mm), según las tablas y fórmulas regresivas de Nunes de Mendonça y Manouvrier.

Descomposición en medio colmatado.

Desde un punto de vista patológico destacan:

1. Salud bucodental: desgaste biselado oclusal mesial de la pieza mandibular 2.3. Hipoplasias del esmalte en las piezas del maxilar 2.1, 2.2, a una altura de la línea amelocementaria LAC de 5 mm; hipoplasias del esmalte en las piezas de la mandíbula 3.3 a una altura de la línea amelocementaria LAC de 5 mm
2. Patología traumática: posible fractura del quinto metatarsiano del pie izquierdo.

3. Patología degenerativa. Artrosis en articulaciones y cavidad Schmorl en vértebras lumbares.

Marcadores de estrés ocupacional: indicadores de una biomecánica relacionada con una actividad continuada de brazos y piernas como consecuencia de sus actividades laborales u ocupacionales:

1. Cintura escapular: ligamento costoclavicular bilateral, grado leve para el lado izquierdo y moderado para el derecho.
2. Entesopatía del músculo pectoral mayor bilateral, grado intenso para ambos lados.
3. Hipertrofia humeral bilateral, grado intenso para ambos lados.
4. Corredera bicipital derecha, grado intenso.
5. Hipertrofia de falanges derecha, grado leve.
6. Entesopatía del ligamento redondo bilateral, en grado intenso para ambos lados.
7. Faceta de Poirier izquierdo, en grado leve.
8. Entesopatía de línea áspera bilateral en grado moderado para ambos lados.
9. Entesopatía del trocánter mayor izquierdo, en grado moderado.
10. Entesopatía del músculo sóleo tibial bilateral en grado moderado para el lado derecho, intenso para el lado izquierdo.
11. Entesopatía del glúteo mayor bilateral, en grado moderado para ambos lados.
12. Entesopatía en primer metatarsiano pie derecho asociado al uso de un tipo determinado de calzado formado por tiras de cuero.

Variantes anatómicas epigenéticas: No se observan.

Esqueleto U.E 1295, corresponde a un individuo infantil I, de sexo indeterminado y orientado NE-SO. Enterrado en deposición de decúbito lateral derecho, del que se conserva el cráneo y parrilla costal. El índice de conservación es del 15,5%.

Sin evidencias claras de amortajamiento.

Descomposición en medio colmatado.

Sin hallazgos patológicos.

Ausencia de ajuar relacionado con el enterramiento.

20. TUMBA DE INHUMACIÓN (1369, 1370)

Fosa situada en el sector S.O de la excavación.

Fosa U.E 1369, de forma rectangular y orientada E-O.

Relleno U.E 1370, está compuesto por una tierra de textura arenosa con aislados carbones y escasa presencia de malacofauna. Con respecto al material cerámico nos hemos encontrado un vaso completo pero fragmentado de paredes finas, forma Mayet II.

Entre el relleno, se documentaron restos óseos humanos sin conexión anatómica, correspondientes al menos a un individuo de edad posiblemente adulto, de sexo indeterminado, identificados como: un fragmento de coxal, varias costillas fragmentadas y parte de un húmero. Estos datos son estimaciones de campo.

Ausencia de ajuar relacionado con el enterramiento.

21. TUMBA DE INHUMACIÓN (1374, 1375, 1379)

Enterramiento ubicado en el sector Este de la excavación.

Fosa U.E 1374, forma ovalada.

Relleno U.E 1375, compuesto por tierra de textura areno-arcillosa sin material cerámico, antracológico ni malacofauna.

Esqueleto U.E 1379, corresponde a un individuo adulto joven, de posible sexo mujer, enterrado en deposición de decúbito supino y orientado N-S. Los miembros superiores e inferiores conservados estaban estirados y junto al cuerpo. La conservación es muy deficiente: del cráneo se conserva parte del occipital, ausencia de las cervicales, así como de la extremidad superior izquierda. De la extremidad superior derecha se conservan las diáfisis, parte del cubito, radio y falanges. Del tórax tan sólo se conservan las costillas y vértebras pero en muy mal estado. De las extremidades inferiores solo se ha podido documentar el fémur izquierdo. El índice de conservación es del 9%.

Evidencias de mortaja a nivel de hombros.

Edad adulto indeterminado sin poder aproximar un rango de edad más concreto.

Estatura indeterminada.

Sexo indeterminado.

Descomposición del cuerpo en medio colmatado.

Desde un punto de vista patológico no se han descrito nosologías.

Marcadores de estrés ocupacional: indicadores de una biomecánica relacionada con una actividad continuada de brazos y piernas como consecuencia de sus actividades laborales u ocupacionales:

1. Hipertrofia humeral derecho, grado leve.
2. Hipertrofia de falanges derecho, grado moderado.
3. Entesopatía de línea áspera izquierdo en grado moderado.
4. Entesopatía del glúteo mayor izquierdo, en grado intenso.

Variantes anatómicas epigenéticas: No se observan.

Ausencia de ajuar relacionado con el enterramiento.

22. TUMBA DE INHUMACIÓN (1381, 1384, 1382, 1385, 1383) (Lámina 5.4)

Esta tumba corresponde al tipo de tumba de cámara o hipogeo característico de la necrópolis.

Fosa U.E 1384, de forma rectangular, orientada E-O. Conservaba unas dimensiones de (1,50 x 0,65 x 0,50 m).

Relleno U.E 1385, formado por tierra marrón-arcillosa. Con respecto a los materiales que forman parte de esta unidad estratigráfica diferenciar entre los que se encontraron incompletos, fragmentados y mezclados entre el estrato y los objetos que estaban en la base de la tumba depositados con una intencionalidad formando parte del ajuar funerario.

Nicho U.E 1381, estructura de forma longitudinal, orientada E-O. Con dimensiones de (1,70 longitud x 0,54 m anchura).

Relleno nicho U.E 1382, estaba compuesto por una tierra marrón arenosa arcillosa, con presencia de caracoles, carbones de forma puntual y fragmentos sin forma de cerámica común romana y varios fragmentos de galbo, cuello y asas pertenecientes a un ánfora itálica, depositados a la altura del tercio superior del esqueleto sin contacto directo.

Esqueleto U.E 1383, corresponde a un individuo adulto en un rango de edad entre los 35-40 años, de sexo mujer, enterrada en deposición de decúbito supino y orientado E-O. Los miembros superiores e inferiores conservados estaban estirados y junto al cuerpo. El cráneo no apareció, así como la extremidad superior izquierda. De la extremidad superior derecha no se conservaba la mano y el cúbito. Del mismo modo el tórax carece de las clavículas y sus costillas estaban en muy mal estado. Las extremidades inferiores se encontraban estiradas y cruzadas la parte izquierda por encima de la derecha. El índice de conservación es del 19,5%.

Evidencias de amortajamiento a nivel de hombros, rodillas y tobillos.

Edad: en el rango adulto maduro (40-60 años), pudiéndose establecer en un rango de edad comprendida entre los 35-40 años a partir de los métodos empleados y relacionados a continuación.

Métodos:

1. Superficie auricular del ilion: Fase 5 (40-44).

Sexo: mujer.

Métodos morfológicos: morfología craneal y pélvica (escotadura ciática, surco preauricular). Métodos antropométricos: la combinación de medidas antropométricas de húmero, aplicando las fórmulas regresivas da un resultado de sexo mujer con un 83,08% de confianza (diámetro vertical de la cabeza humeral, según fórmula $40 \times 0,4136169 - 17,5369729$, punto de corte $-0,05569$).

Estatura estimada en 167-168 cm según las tablas y fórmulas de regresión de Manouvrier a partir de la tibia izquierda de 375 mm.

Descomposición del cuerpo en medio vacío.

Complexión anatómica: grácil.

Lateralidad derecha, fundamentalmente objetivada por la presencia de mayor desarrollo de las entesopatías de extremidades superiores/inferiores.

Desde un punto de vista patológico:

1. Patología degenerativa: manifiesta por la presencia de espondiloartrosis en la columna lumbar baja y una escoliosis dorsal derecha.

Marcadores de estrés ocupacional: indicadores de una biomecánica relacionada con una actividad continuada de brazos y piernas como consecuencia de sus actividades laborales u ocupacionales:

1. Entesopatía del músculo supinador cubital derecho, grado leve.
2. Hipertrofia humeral derecho, grado leve.
3. Faceta de Poirier derecha, en grado moderado.
4. Entesopatía del trocánter menor izquierdo, grado moderado

Variantes anatómicas epigenéticas: No se observan.

Los materiales del relleno UE 1385:

Formando parte del relleno se hallaron:

- (nº inv. 200): fragmento de borde perteneciente a una olla de cerámica común ibérica. Diámetro de boca 8 cm.
- (nº inv. 201): fragmento de base perteneciente a una olla de cerámica común ibérica. Diámetro de base 5,5 cm.

- (nº inv. 202): fragmento de borde perteneciente a una olla de cerámica común ibérica. Diámetro de boca 11 cm.
- 20 fragmentos correspondientes a ollas de cerámica común ibérica. De borde perteneciente a una olla de cerámica común ibérica.
- Un fragmento sin forma perteneciente a un *kalathos* de cerámica ibérica pintada.
- Un fragmento sin forma de ánfora itálica de pasta campana.

Metales:

- Un clavo de hierro (sin observación de medidas).

Ajuar depositado en el fondo de la fosa.

-(1) (nº interés Museístico 0593). Pátera de cerámica Campaniense A, forma L.28. Presenta decoración estampillada en el fondo interno formada por cuatro palmetas y dos líneas de ruedecilla. Asimismo, hay un grafito inciso en la pared externa del vaso. Diámetro boca 13,5 cm, diámetro base 6 cm, altura 5,1 cm. Cronología: la forma Lamboglia 28 es una de las formas propias de la Campaniense A Media (190-100 a.C.) originaria de Ischia (Morel, 1981; Pérez, 1986). Se documenta en los niveles tardorrepublicanos de *Valentia* en contextos que abarcan desde la fundación hasta el primer cuarto del siglo I a. C. (Ribera, 1993). Pieza completa

-(2) (nº interés Museístico 0592). Cerámica bitroncocónica monocroma de la costa catalana, forma 7 de Aranegui (1985). Borde vuelto al exterior y cuerpo bicónico con una sola asa de sección circular. Pasta gris muy depurada y superficie exterior de color gris oscuro. Diámetro boca 6 cm; diámetro base 3 cm; altura 6,9 cm. Pieza completa. Cronología: entre el 150-50 a.C.

-(3) (nº interés Museístico 0607). Cubilete de paredes finas forma Mayet II. Diámetro boca 6,5 cm, diámetro base 3,2 cm, altura 12,6 cm. Pieza fragmentada.

-(4) (nº de interés Museístico 0613). Una olla de cerámica de cocina íbero-romana, de borde exvasado y base cóncava. Diámetro boca 9,2 cm, diámetro base 5 cm, altura 11,2 cm. Pieza fragmentada.

23. TUMBA DE INHUMACIÓN (1413, 1414-1435, 1415-1436) (Lámina 5.5)

Tumba de inhumación doble.

Fosa U.E 1413, Fosa de inhumación 1413 situada en el sector N.O de la excavación orientada N-S presenta una forma elíptica. Las medidas conservadas son las siguientes: 1,70 x 0,70 x 0,50 m.

Se trata de una fosa que contiene dos individuos superpuestos, con una separación de 30 cm y orientados de forma inversa S-N.

Relleno U.E 1414, que acompañó al esqueleto 1415 se componía de tierra arenosa con una considerable frecuencia de carbones y malacofauna y tan solo un fragmento de cerámica romana Campaniense A forma Lamboglia 36 hallado bajo la mano izquierda y hallada del esqueleto UE 1415. No se considera ajuar funerario.

Por debajo de este primer relleno, se halló otro, U.E 1435, que cubría el segundo esqueleto U.E 1436 de la misma textura pero con fragmentos de hueso quemado y de ánfora sin forma. Destacar el ajuar localizado junto a la UE 1436.

Esqueleto U.E 1415, corresponde a un individuo varón, adulto de aproximadamente 30-35 años, enterrado en deposición de decúbito supino y orientado N-S. La cabeza estaba ligeramente ladeada hacia el O y levantada sobre el nivel del cuerpo, las extremidades superiores extendidas y paralelas al tronco, y las inferiores extendidas y paralelas. Los dedos de los pies formaban un ángulo de 180 grados con respecto a las tibias lo cual indica un amortajamiento de ambos pies. También se vio la compresión de los mismos contra el límite norte de la fosa lo cual manifiesta una adaptación del cuerpo al tamaño de la fosa. El índice de conservación es del 56,5%.

Evidencias de mortaja a nivel de hombros y tobillos.

Edad: en el rango adulto joven (20-40 años), a partir del desgaste dental tipo 5-6 (Holly-Sthmith, 1984) con una correspondencia de edad entre los 30-35 años (Brothwell, 1991).

Sexo: varón.

Morfología craneal (frente huidiza, arcos supraciliares marcados, apófisis mastoides grandes).

Sexo: posible varón determinada dicha estimación a partir de las características morfológicas de robustez de los miembros conservados y por los espesores de la cortical de diferentes miembros según Gejvall, (1980).

- Robustez de miembros.
- Espesor del tercio medio del húmero: 4-5 mm.
- Espesor del tercio medio del radio: 3-4 mm.

Estatura indeterminada.

Complexión anatómica: robusta.

Lateralidad izquierda, fundamentalmente objetivada por la presencia de mayor desarrollo de las entesopatías de extremidades superiores.

Desde un punto de vista patológico:

1. Salud bucodental: Desgastes biselados vestíbulo-lingual en la pieza maxilar (1.3); desgaste biselado mesiodistal en la pieza maxilar 2.3. Presencia de una caries oclusal con afectación a dentina en el molar del maxilar 1.7.
2. Patología degenerativa: ligeros signos artrósicos en articulación gleno-humeral y de codo.
3. Patología carencial y metabólica: criba orbitaria de tipo porótico unilateral izquierdo. Hiperóstosis porótica en región fronto-parietal derecha.
4. Patología infecciosa: pediculosis occipital atribuida a presencia de parásitos.

Marcadores de estrés ocupacional: indicadores de una biomecánica relacionada con una actividad continuada de brazos como consecuencia de sus actividades laborales u ocupacionales:

1. Cintura escapular: sindesmosis costal derecha, grado leve.
2. Entesopatía del músculo bíceps braquial radial izquierdo, grado moderado.
3. Entesopatía del músculo supinador cubital izquierdo, grado moderado.
4. Entesopatía del músculo tríceps braquial cubital izquierdo, grado moderado.
5. Entesopatía del músculo pectoral mayor bilateral, grado leve para el lado derecho y moderado para el izquierdo.
6. Hipertrofia humeral izquierdo, grado leve.
7. Hipertrofia de falanges izquierdo, grado moderado.

Variante de la normalidad: incisura superoesterna en rodilla derecha y sutura petroescamosa.

Sin ajuar funerario.

Esqueleto U.E 1436, corresponde a un individuo varón, adulto con una edad comprendida entre los 25-35 años, enterrado en deposición de decúbito supino y orientado N-S. Dicho esqueleto se encuentra completo pero sin alterar, y de regular conservación. El cráneo ligeramente ladeado hacia el O. La extremidad superior derecha semiflexionada y su mano en posición dorsal reposada sobre el abdomen y la extremidad superior izquierda extendida con la mano en la misma deposición a la altura del muslo izquierdo. Las extremidades inferiores estaban extendidas y ligeramente separadas. El índice de conservación es del 50%.

Evidencias de mortaja a nivel de hombros y tobillos.

Edad: en el rango adulto joven (20-40 años), pudiéndose establecer en una horquilla de edad comprendida entre los 25-35 años a partir del desgaste dental tipo 4-5 (Holly-

Sthmith, 1984) con una correspondencia de edad entre los 25-35 años (Brothwell, 1991).

Edad: en el rango adulto joven (20-40 años), pudiéndose establecer en un rango de edad comprendida entre los 30-35 años a partir de los métodos empleados y relacionados a continuación.

Métodos:

1. Superficie auricular del ilion: Fase 4-5 (35-44).

Sexo: varón.

Métodos morfológicos: morfología craneal (mentón protuyente, gonion ligeramente evertido) y pélvica (ángulo subpúbico, faceta auricular).

Métodos antropométricos: la combinación de medidas antropométricas de fémur, aplicando las fórmulas regresivas da un resultado de sexo varón con un 88,16% de confianza (diámetro vertical de la cabeza femoral, según fórmula $50 \times 0,4865479 - 20,9910026$, punto de corte 0,039055).

Descomposición en medio colmatado.

Complexión anatómica: robusta.

Lateralidad derecha, fundamentalmente objetivada por la presencia de mayor desarrollo de las entesopatías de extremidades superiores.

Desde un punto de vista patológico:

1. Salud bucodental: hipoplasia del esmalte, abscesos apical asociada a una caries oclusal que afecta a dentina del molar 2.7 (sistema de identificación dental FDI).
2. Patología infecciosa: sinusitis frontal izquierda.
3. Patología tumoral: posible meningioma en región frontoparietal interna.
4. Patología carencial y metabólica: criba orbitaria de tipo porótico unilateral derecha. Hiperóstosis porótica en región froto-parietal derecha.
5. Patología degenerativa: artrosis generalizada en todo el esqueleto destacando una artrosis atlanto-odontoidea, artrosis costovertebral, artrosis de articulación glenohumeral, de codo, artrosis sacroilíaca, de cabeza femoral bilateral y calcáneo astragalina.
6. Quiste óseo en cuboides izquierdo.

Marcadores de estrés ocupacional: indicadores de una biomecánica relacionada con una actividad continuada de brazos y piernas como consecuencia de sus actividades laborales u ocupacionales:

1. Cintura escapular: sindesmosis costal bilateral, grado intenso.

2. Entesopatía del músculo bíceps braquial radial derecho, grado intenso.
3. Entesopatía del músculo pectoral mayor derecho, grado leve.
4. Hipertrofia humeral derecho, grado moderado.
5. Hipertrofia de falanges, bilateral, grado leve.
6. Entesopatía del ligamento redondo bilateral, en grado intenso.
7. Entesopatía de línea áspera izquierdo en grado intenso.
8. Entesopatía del trocánter mayor bilateral, en grado intenso.
9. Entesopatía del músculo sóleo tibial izquierdo, grado leve.
10. Impronta tibial izquierdo en grado moderado.
11. Entesopatía del glúteo mayor izquierdo, en grado intenso.
12. Entesopatía en primer metatarsiano pie derecho asociado al uso de un tipo determinado de calzado formado por tiras de cuero.

Variantes de la normalidad: sutura petroescamosa, abertura supraorbitaria.

Ajuar (lámina nº 5.5):

UE 1435:

El esqueleto UE 1436 estaba acompañado por abundante ajuar funerario (UE 1435) compuesto por materiales cerámicos, metales, malacofauna:

Cerámica:

- (1) (nº interés Museístico 0595). Un ungüentario fusiforme, forma Cuadrado serie B de barniz negro. Pasta marrón clara, muy depurada. Superficie exterior también de color marrón claro con restos de barniz negro en el borde y parte del cuello. Superficie interior de color negro. Diámetro boca 2,3 cm. Pieza fragmentada. Cronología: En el pecio de Grand Congloué se documenta este tipo datado por Morel en el 190 a.C. Pieza fragmentada. Depositado junto al pie derecho.
- (2) (nº interés Museístico 0608). Olla de borde exvasado y base cóncava probablemente ibérica, forma Bonet y Mata, clase B, subtipo 12. Completa pero fragmentada. Diámetro boca 11 cm, diámetro base 6 cm, altura 12,1 cm. Pieza fragmentada. Situada junto a la articulación de la rodilla derecha.
- (3). (nº interés Museístico 0611). Jarra de borde moldurado en pasta beige clara muy depurada. Diámetro boca 13 cm, diámetro base 10,5 cm, altura 28,8 cm. En el cuello se lee un grafito post-cocción tipo (GA.E). Pieza fragmentada en varios trozos y localizados a lo largo del lado derecho de la base de la tumba.
- (4) Fusayola de cerámica bitroncocónica de 4, 5 cm de anchura y 2 cm de altura. Hallada junto a los fragmentos cerámicos anteriormente descritos.

Malacofauna:

- (5) Bivalvo. Una concha *cardium edule*,

Metales:

- (6) Una argolla de 4 cm de diámetro junto a la pierna derecha.
- (7) Varios elementos de hierro posiblemente fragmento de una argolla con un clavo de 11 cm. de longitud que atravesaba una arandela. Este conjunto estaba ubicado a la altura del codo derecho y tal vez pudiera tratarse de elementos de una argolla de hierro de mayores dimensiones.
- (8) Un clavo de hierro de aproximadamente 6 cm de longitud fragmentado en dos mitades ubicado a la altura de los pies.
- (9) Clavo de hierro con cabeza y punta de sección cuadrada. Dimensiones: Longitud: 3,6 cm. Diámetro de la cabeza: 1,7 cm. Grosor: 0,4 cm.

24. TUMBA DE INHUMACIÓN (1419-1441, 1439, 1420, 1440) (Lámina 5.6)

Esta tumba corresponde al tipo de tumba de cámara o hipogeo.

Localizada en el sector N.E de la excavación.

Fosa U.E 1419, es de forma rectangular, orientada E-O y con unas dimensiones conservadas de 2,00 x 0,94 x 0,60 m.

Relleno U.E 1439, de tierra areno arcillosa presentaba caracolillos y carbones.

Nicho UE 1441, de forma longitudinal con unas dimensiones de 1,90 x 0,60 m donde reposa el individuo con su ajuar.

Relleno nicho U.E 1420, compuesto por una tierra marrón areno arcillosa con presencia de carbones y malacofauna. Desde el punto de vista del material a un nivel superficial se hallaron restos de ánfora greco-italica fragmentados. En la base de la fosa se encontró un ánfora de la misma tipología completa pero fragmentada en buen estado de conservación, estaba apoyada en el límite Norte de la misma y erguida.

Esqueleto U.E 1440, corresponde a un individuo varón, adulto (30-40 años) enterrado en deposición decúbito supino y orientado E-O. El cráneo no estaba ladeado, se conservaba en buen estado. Las extremidades superiores extendidas a lo largo del cuerpo. Puede observarse como la mano derecha está en deposición dorsal delicadamente sobre el coxal derecho, la izquierda está junto al fémur del mismo lado. Las extremidades inferiores están cruzadas, la izquierda por encima de la derecha. Las extremidades inferiores estaban extendidas y ligeramente separadas. El índice de conservación es del 63%.

Evidencias de amortajamiento a la altura de los hombros y tobillos.

Edad: en el rango adulto joven (20-40 años), pudiéndose establecer en un rango de edad comprendida entre los 30-40 años a partir de los métodos empleados y relacionados a continuación.

Métodos:

1. Superficie auricular del ilion: Fase 4 (35-38).
2. Sífnisis pubis según Suchey-Brooks: Fase 4: 30-40 años.

Sexo: varón

Métodos morfológicos: morfología craneal (mentón cuadrangular, eversión goniaca).

Métodos antropométricos: la combinación de medidas antropométricas de fémur, aplicando las fórmulas regresivas da un resultado de sexo varón con un 88,16% de confianza (diámetro vertical de la cabeza femoral, según fórmula $46 \times 0,4865479 - 20,9910026$, punto de corte 0,039055).

Estatura estimada en 160-165 cm según las tablas y fórmulas de regresión de Manouvrier y Trotter y Glesser a partir de la tibia izquierda de 343 mm.

Complexión anatómica: robusta.

Lateralidad derecha, fundamentalmente objetivada por la presencia de mayor desarrollo de las entesopatías de extremidades superiores.

Descomposición del cuerpo en medio vacío.

Desde un punto de vista patológico:

1. Salud bucodental: invaginación paracingular, porosis palatina, caries en piezas dentales del maxilar, desgaste biselado en canino (1.3). Hipoplasias del esmalte en las piezas (1.2, 1.3, 1.6, 1.7, 1.8, 2.3, 2.7) a una altura de la línea amelocementaria LAC de 1,5-5 mm. Hipoplasias del esmalte a nivel mandibular en las piezas (3.3, 4.3) a una altura de la línea amelocementaria LAC de 3,5-4,5 mm.
2. Patología carencial: porosis en los huesos malares, porosis supraciliar.
3. Patología degenerativa: artrosis generalizada en todo el esqueleto destacando en columna cervical, artrosis de codo, rizartrrosis de muñeca derecha, sacroilíaca, de cabeza femoral bilateral y calcáneo astragalina.

Marcadores de estrés ocupacional: indicadores de una biomecánica relacionada con una actividad continuada de brazos y piernas como consecuencia de sus actividades laborales u ocupacionales:

1. Cintura escapular: sindesmosis costal derecha, grado leve; ligamento costoclavicular izquierdo, grado leve.
2. Entesopatía del músculo bíceps braquial radial derecho, grado moderado.

3. Entesopatía del músculo supinador cubital bilateral, grado moderado.
4. Entesopatía del músculo pectoral mayor izquierdo, grado leve.
5. Hipertrofia humeral bilateral, grado leve para el lado izquierdo e intenso para el lado derecho.
6. Hipertrofia de falanges derecho, grado leve.
7. Entesopatía isquiática bilateral, grado leve.
8. Entesopatía del ligamento redondo bilateral, en grado moderado en lado izquierdo e intenso en lado derecho.
9. Faceta de Poirier derecho, en grado intenso.
10. Entesopatía de línea áspera bilateral en grado moderado para el izquierdo e intenso para el derecho.
11. Entesopatía del trocánter menor derecho, grado leve.
12. Entesopatía del ligamento rotuliano tibial bilateral, en grado leve para el izquierdo y moderado en el derecho.
13. Faceta de acucillamiento tibial derecho en grado leve.

Variantes de la normalidad: sutura petroescamosa.

Ajuar

Los materiales de 1420:

- (1) (nº interés Museístico 0640). Ánfora greco-italica de pasta adriática. Completa.
- (nº inv. 307): Cuatro fragmentos pertenecientes a un borde de ánfora greco itálica, de procedencia adriática. Diámetro: 13,5 cm.
- (nº inv. 308): Un fragmento de arranque de asa de ánfora greco itálica de procedencia adriática.

Fauna:

- Cráneo de suido seccionado frontalmente cuyas mitades se colocaron una sobre la olla y la otra sobre el tórax del esqueleto. Los restos óseos corresponden a un cerdo (*Sus domesticus*). Se ha identificado un cráneo y sus correspondientes mandíbulas. Considerando el desgaste que presentan los molares primero y segundo y la ausencia de desgaste oclusal en los molares terceros, podemos atribuir una edad de muerte entre los 23-31 meses (adulto-joven).

Las marcas de carnicería se manifiestan en un corte fino y largo localizado en el hueso frontal que pone de manifiesto un procesado carnicero previo a la deposición en la tumba.

25. TUMBA DE INHUMACIÓN (1421, 1422, 1425)

Tumba de inhumación 1421 localizada en el sector N.E de la excavación.

Fosa U.E 1421, es de forma elíptica y está orientada SE-NO.

Relleno U.E 1422, está compuesto por una tierra marrón de textura areno arcillosa con presencia puntual de carbones y malacofauna, así como pequeños fragmentos de huesos quemados. El escaso material recuperado son fragmentos sin forma de ánfora indeterminada y cerámica común ibérica y romana.

Esqueleto U.E 1425, corresponde individuo adulto con una edad comprendida entre 35-40 años, de sexo varón, enterrado en deposición de decúbito supino y orientado SE-NO. El cráneo estaba ladeado hacia el O. La extremidad superior derecha se encontraba en hiperflexión con la mano en deposición dorsal a la altura del pecho y el brazo izquierdo semilexionado sobre el abdomen. No se han recuperado las extremidades inferiores. El índice de conservación es del 28%.

Evidencias de mortaja a nivel de hombros.

Edad: en el rango adulto (33-45) a partir del desgaste dental tipo 5-6 (Holly-Sthmith, 1984) con una correspondencia de edad entre los 33-45 años (Brothwell, 1991).

Edad: en el rango adulto pudiéndose establecer en un rango de edad comprendida entre los 35-38/42 años a partir de los métodos empleados y relacionados a continuación.

Métodos:

1. Superficie auricular del ilion: Fase 4 (35-38).
2. Cuarta costilla (articulación condrocostal): Fase 5 (33-42)

Sexo: varón.

Métodos morfológicos: morfología craneal (frente huidiza, arcos supraciliares marcados, borde orbitario romo, gabela tipo 3, apófisis mastoides robustas, mentón protuyente, gonion evergente).

Métodos antropométricos: la combinación de medidas antropométricas de fémur, aplicando las fórmulas regresivas da un resultado de sexo varón con un 88,16% de confianza (diámetro vertical de la cabeza femoral, según fórmula $45 \times 0,4865479 - 20,9910026$, punto de corte 0,039055).

Estatura 165-167 cm, a partir de la longitud máxima de radio derecho (238 mm): y peroné derecho (260 mm), según las tablas de Manouvrier.

Descomposición del cuerpo en medio colmatado.

Complexión anatómica: robusta.

Lateralidad derecha, fundamentalmente objetivada por la presencia de mayor desarrollo de las entesopatías de extremidades superiores.

Desde un punto de vista patológico:

1. Salud bucodental: fractura de esmalte dental en cara vestibular de las piezas (1.1, 2.1), hipoplasias del esmalte en las piezas (1.7, 2.2 y 2.3) a una altura de la línea amelocementaria LAC de 1,5-3 mm; hipoplasias del esmalte en las piezas (4.4, 4.7) a una altura de la línea amelocementaria LAC de 2-3 mm. con afectación a dentina en la pieza maxilar 2.6, caries en línea amelocementaria con afectación a esmalte-cemento en la pieza maxilar 2.7. Caries con afectación a pulpa en la pieza 4.8 de la mandíbula.
2. Patología carencial: porosis supraorbitaria bilateral.
3. Patología degenerativa: artrosis generalizada en columna cervical, dorsal y lumbar, cavidades Schmorl.
4. Patología infecciosa: pleuritis en cara interna de costillas.
5. Patología inflamatoria: sacroileítis en cintura pélvica.

Marcadores de estrés ocupacional: indicadores de una biomecánica relacionada con una actividad continuada de brazos y piernas como consecuencia de sus actividades laborales u ocupacionales:

1. Cintura escapular: sindesmosis costal bilateral, grado leve por el lado izquierdo e intenso para el derecho. Ligamento costoclavicular izquierdo, grado intenso.
2. Entesopatía del músculo bíceps braquial radial bilateral, grado intenso.
3. Entesopatía del músculo bíceps braquial cubital derecho, grado intenso
4. Entesopatía del músculo supinador cubital izquierdo, grado intenso.
5. Entesopatía del músculo tríceps braquial cubital derecho, grado moderado.
6. Entesopatía del músculo pectoral mayor bilateral, grado moderado en el derecho e intenso en el izquierdo.
7. Hipertrofia humeral derecha, grado leve.
8. Corredera bicipital izquierda, grado intenso.
9. Entesopatía del ligamento redondo bilateral, grado intenso.

Variantes de la normalidad: sutura petroescamosa.

Junto al esqueleto y a la altura del tórax se halló una punta de sílex.

26. TUMBA DE INHUMACIÓN (1424, 1418, 1423) (Lámina 5.7)

Tumba localizada en el sector N.O de la excavación.

Fosa U.E 1424, fosa de forma rectangular, orientada S-N

Relleno U.E 1418, compuesto por tierra areno arcillosa con restos de carbones.

Esqueleto U.E 1423, corresponde a un individuo adulto con una edad comprendida entre 20 y 25 años, de sexo mujer, enterrado en deposición decúbito prono y orientado S-N. La extremidad superior derecha semiflexionada hacia atrás, su mano en deposición dorsal a la altura del coxal derecho, la izquierda también semiflexionada por debajo del tronco y la mano por debajo del coxal derecho. La extremidad inferior derecha conserva parte del fémur. El índice de conservación es del 34%.

Sin evidencias de mortaja.

Edad: en el rango adulto joven (20-40 años), pudiéndose establecer en una horquilla de edad comprendida entre los 20-25 años a partir del desgaste dental tipo 2-3 (Holly-Sthmith, 1984) con una correspondencia de edad entre los 17-25 años (Brothwell, 1991).

Sexo: mujer.

Métodos morfológicos: morfología craneal (frente vertical, arcos supraciliares no marcados, borde orbitario cortante, apófisis mastoides pequeñas, huesos malares gráciles, mentón protuyente).

Métodos antropométricos: la combinación de medidas antropométricas de húmero, aplicando las fórmulas regresivas da un resultado de sexo mujer con un 83,08% de confianza (diámetro vertical de la cabeza humeral, según fórmula $38 \times 0,4136169 - 17,5369729$, punto de corte $-0,05569$).

Estatura indeterminada.

Descomposición del cuerpo en medio colmatado.

Complexión anatómica: grácil.

Lateralidad indeterminada.

Desde un punto de vista patológico:

1. Salud bucodental: hipoplasias del esmalte en las piezas (1.2, 1.3, 1.4 y 2.1) a una altura de la línea amelocementaria LAC de 2,5-5 mm; hipoplasias del esmalte en las piezas (3.5, 3.7, 4.5, 4.7) a una altura de la línea amelocementaria LAC de 2,5-3 mm.
2. Patología carencial: criba orbitaria bilateral, tipo porótico grado 1.
3. Patología infecciosa: TBC (mal de Pott) en vértebra dorsal.

4. Marcas de roedores en las apófisis mastoides.

Marcadores de estrés ocupacional: indicadores de una biomecánica relacionada con una actividad continuada de brazos como consecuencia de sus actividades laborales u ocupacionales:

1. Entesopatía del músculo supinador cubital izquierdo, grado leve.
2. Hipertrofia humeral derecha, grado leve.
3. Corredera bicipital derecha, grado leve.

Variantes de la normalidad: diente en pala (2.2), sutura petroescamosa, restos de sutura metódica sin obliterar.

Ajuar

Los materiales de 1418:

- (1) (nº interés Museístico 0604). Pátera ibérica forma Bonet y Mata subtipo 8.2. Plato con borde reentrante. Decoración a base de bandas y filetes pintados de color rojo vinoso en la pared externa. Diámetro borde 28,4 cm; diámetro base 9,4 cm; altura 11,2 cm. Estado de conservación muy bueno, está completa aunque fragmentada. Estaba alojada encima de la cabeza del esqueleto.
- (nº inv. 217). Asa de ánfora itálica. Pasta campana, engobe blanco. Hallada en el interior de la fosa y junto a la cabeza.

27. TUMBA DE INHUMACIÓN (1431, 1429, 1430) (Lámina 5.8)

Tumba localizada en el sector N.O de la excavación.

Fosa U.E 1431, de forma rectangular, orientada O-E y que conserva unas medidas de 1,04 x 0,44 x 0,87m.

Relleno U.E 1429, estaba compuesto por una tierra marrón arenoso arcillosa con presencia de carbones y malacofauna. Desde el punto de vista del material cerámico hay una escasa cantidad de cerámica común y ánforas indeterminadas.

Esqueleto U.E 1430, corresponde a un individuo Infantil I con un rango de edad comprendido entre los 24-30 meses de edad aproximada de dos años, enterrado en deposición decúbito supino y orientado O-E. Tan solo conserva parte del tórax, húmero derecho, y parte de las extremidades inferiores. El índice de conservación es del 18,5%.

Evidencias de mortaja en las extremidades inferiores.

Descomposición en medio colmatado.

No se han descrito hallazgos patológicos.

No se han descrito variantes de la normalidad ni marcadores ocupacionales.

Ajuar

Depositado a los pies y junto al tórax del individuo

- (1) (nº interés Museístico 0591). Cerámica bitroncocónica monocroma de la costa catalana, forma 7 de Aranegui. Diámetro boca 8,5 cm, diámetro de base 4,5 cm, altura 11,6 cm. En muy buen estado de conservación. Pieza completa.
- (2) (nº interés Museístico 0590). Cerámica de Paredes Finas, forma Mayet II. Cubilete piriforme. Labio oblicuo y curvado, galbo globular y base de plana. Pasta y superficie naranja sin tratamiento ni desgrasante aparente Inclusiones blancas finas y abundantes. Diámetro máximo 8 cm, diámetro de base 5 cm, altura 15,5 cm. Pieza completa.

28. TUMBA DE INHUMACIÓN (1448, 1446, 1447)

Tumba localizada en el sector N.E de la excavación.

Fosa U.E 1448, de forma rectangular, se encuentra orientada S.E-N.O.

Relleno U.E 1446, está compuesto por una tierra marrón areno arcillosa con carbones sin ningún tipo de material cerámico.

Esqueleto U.E 1447, corresponde a un individuo de sexo varón, adulto joven (33-45 años), enterrado en deposición de decúbito supino. El cráneo estaba girado hacia el Este. La extremidad superior izquierda se encuentra extendida y paralela al cuerpo con la mano en deposición dorsal y alojada sobre la parte superior del fémur izquierdo. La extremidad superior derecha estaba extendida con la mano a la altura del tercio superior del fémur derecho. Las extremidades inferiores estaban extendidas aun así no se han encontrado los pies del difunto. Inserciones musculares marcadas. Es destacable la deposición forzada tanto de la cabeza como el resto de las extremidades debido a la topografía irregular y a las dimensiones reducidas de la fosa. El índice de conservación es del 55,5%.

Evidencias de mortaja a nivel de hombros y extremidades inferiores.

Edad: en el rango adulto joven (25-35 años), pudiéndose establecer en una horquilla de edad comprendida entre los 25-35 años a partir del desgaste dental tipo 4-5 (Holly-Sthmith, 1984) con una correspondencia de edad entre los 25-35 años (Brothwell, 1991).

Edad: en el rango adulto joven (20-40 años), pudiéndose establecer en un rango de edad comprendida entre los 30-35 años a partir de los métodos empleados y relacionados a continuación.

Métodos:

1. Sínfisis pubis según Suchey-Brooks: Fase 4: 30-40 años.
2. Cuarta costilla (articulación condrocostal): Fase 5: 33-42 años.

Sexo: varón.

Métodos morfológicos: morfología pélvica (ángulo cerrado de la escotadura ciática).

Sexo: posible varón determinada dicha estimación a partir de las características morfológicas de robustez de los miembros conservados y por los espesores de la cortical de diferentes miembros según Gejvall, (1980).

- Robustez de miembros.
- Máximo espesor díploe frontal-parietal: 6 mm.
- Máximo espesor díploe occipital: 15 mm
- Espesor del tercio medio del húmero: 4 mm.

Estatura estimada en 171,5-173 cm según las tablas y fórmulas de regresión de Manouvrier y Trotter y Glesser, a partir del radio izquierdo de 250 mm.

Evidencias de Descomposición en vacío.

Complejión anatómica: robusta.

Lateralidad derecha, fundamentalmente objetivada por la presencia de mayor desarrollo de las entesopatías de extremidades superiores/inferiores.

Desde un punto de vista patológico:

1. Salud bucodental: apiñamiento dental en las piezas del maxilar (2.2 y 2.1). Absceso apical en la pieza maxilar (1.6). Hipoplasias del esmalte en las piezas (1.4, 1.5, 1.6, 2.6) del maxilar a una altura de la línea amelocementaria LAC de 2-3 mm. Hipoplasias del esmalte en las piezas (3.3 y 4.3) de la mandíbula a una altura de la línea amelocementaria LAC de 2,5-3 mm.
2. Patología carencial: porosis supraorbitaria.
3. Patología degenerativa: hernias de disco y cavidades de Schmorl en casi la totalidad de la columna torácica (T3-T4; T5-T6; T7-T10 y T12).
4. Patología infecciosa: periostitis en región clavículo-acromial, periostitis cara medial de tibia izquierda, región sacroilíaca con tejido reactivo inflamatorio; TBC (mal de Pott) en columna lumbar.
5. Patología traumática-circulatoria: osteocondritis disecante en el extremo distal del radio izquierdo.

Marcadores de estrés ocupacional: indicadores de una biomecánica relacionada con una actividad continuada de brazos y piernas como consecuencia de sus actividades laborales u ocupacionales:

1. Cintura escapular: sindesmosis costal derecha, grado intenso; ligamento costoclavicular bilateral, grado moderado para ambos lados.
2. Entesopatía del músculo tríceps braquial cubital izquierdo, grado moderado.

3. Entesopatía del músculo pectoral mayor derecho, grado intenso.
4. Hipertrofia humeral bilateral, grado moderado para el izquierdo, grado intenso para el derecho.
5. Hipertrofia de falanges derecha, grado intenso.
6. Faceta de Poirier derecho, en grado leve.
7. Entesopatía de línea áspera bilateral, grado intenso para ambos lados.
8. Entesopatía del trocánter mayor derecho, en grado leve.
9. Entesopatía del músculo sóleo tibial bilateral en grado leve para ambos lados.
10. Entesopatía del glúteo mayor bilateral, en grado leve para ambos lados.

Variantes de la normalidad: apertura de agujero supraorbitario.

Ausencia de ajuar.

29. TUMBA DE INHUMACIÓN (1453, 1451, 1452) (Lámina 5.9)

Enterramiento localizado en el sector N.O de la excavación y situado junto a la tumba nº 31 de tipo hipogeo o de cámara. En mal estado de conservación ya que se hallaba por debajo del límite oeste de la necrópolis. A pesar de ello, presentaba algunas de las características atribuibles a la tipología de enterramiento del tipo de cámara o hipogeo pudiéndose añadir a los cinco ejemplos hallados en la necrópolis.

Fosa U.E 1453, de forma rectangular, orientada E-O y de dimensiones 1,10 x 0,90 x 0,44 m.

Relleno U.E 1451, estaba compuesto por una tierra marrón de textura areno arcillosa con presencia de malacofauna y carbones de forma aislada.

Nicho (s/n), no detectado durante el proceso de excavación debido a que parte de la tumba estaba justo por debajo del corte oeste, conservaba unas dimensiones de (0,60 x 0,50 m).

Esqueleto U.E 1452, corresponde a un individuo adulto joven (35-40 años), de sexo varón, enterrado en deposición decúbito supino y orientado E-O. Se conserva parte del tórax, cintura pélvica, parte de los miembros superiores y tercio superior de miembros inferiores. Las extremidades superiores estaban extendidas paralelas al cuerpo. El índice de conservación es del 35,5%.

Evidencias de amortajamiento a la altura de los hombros.

Estatura estimada en 166-171 cm según las tablas y fórmulas de regresión de Manouvrier y Trotter y Glessner a partir del radio izquierda de 243 mm.

Edad: adulto joven a partir de la observación de signos degenerativos en columna vertebral de forma incipiente estimándose una edad entre los 35-40 años. No se

puede hacer una mayor aproximación debido al mal estado de conservación del esqueleto.

Sexo: varón

Métodos antropométricos: la combinación de medidas antropométricas de fémur, aplicando las fórmulas regresivas da un resultado de sexo varón con un 88,16% de confianza (diámetro vertical de la cabeza femoral, según fórmula $52,5 \times 0,4865479 - 20,9910026$, punto de corte 0,039055).

Descomposición del cuerpo en medio vacío.

Desde un punto de vista patológico:

1. Patología degenerativa: vértebras osteoporóticas (T8-T12), artrosis de articulación coxo-femoral bilateral, artrosis de codo, eburnación de primera falange del segundo dedo de la mano derecha.
2. Patología infecciosa: Pleuritis granulomatosa en costillas, abundantes hernias de disco y cavidades Schmorl en toda la columna vertebral. Posible TBC.

Marcadores de estrés ocupacional: indicadores de una biomecánica relacionada con una actividad continuada de piernas como consecuencia de sus actividades laborales u ocupacionales:

1. Entesopatía del ligamento redondo bilateral, en grado moderado en lado izquierdo e intenso en lado derecho.
2. Entesopatía de línea áspera bilateral en grado intenso.
3. Entesopatía del glúteo mayor izquierdo, en grado moderado.

Variantes de la normalidad: perforación esternal.

Ajuar

Cerámicas:

- (1) (nº interés Museístico 0594) Cuenco de cerámica Campaniense A, forma Lamboglia 31 b, similar a la F 2950. Decoración con filete de pintura blanca en el tercio superior de la pared interna del vaso. Diámetro de boca 15 cm, diámetro de base 55 cm, altura 8 cm. Completo pero fragmentado.

- (2) (nº interés Museístico 0610) *Kalathos* o sombrero de copa Ibérico. Diámetro de boca 23 cm, diámetro de base 17,2 cm, altura 17,7 cm. Presenta decoración el tercio superior del vaso a bandas y filetes paralelos con pintura rojo vinoso. El tercio inferior presenta decoración floral en color rojo vinoso.

Estas dos piezas aparecen fragmentadas de forma que es fácil suponer que hubieran sido arrojadas al interior de la tumba de forma intencionada.

Metales:

- (3) Dos arandelas de hierro. Una más pequeña de 2,5 cm de diámetro y la otra, más grande, 4,5 cm de diámetro.
- (4) Un cuchillo afalcatado doblado sobre si mismo. Estaba situado a la parte derecha del tórax.
- (5) Un tubito de plomo. Se halló junto a la mano derecha. Dimensiones: Longitud consevada: 5,7 cm. Anchura: 1,8 cm. Grosor de lámina: 0,2-0,3 cm.
- Seis fragmentos de un objeto de hierro de forma laminada, sutil que podría tener un empuñadura de madera y cuya interpretación podría ser de un raspador de hierro con empuñadura de madera. Tal vez su función podría ser el trabajo o curtido de la piel. Dimensiones conservadas: Anchura del empuñadura: 0,9, Anchura de la hoja: 1cm; grosor máximo: 0,5.

La cronología de este enterramiento se establece en el siglo II a.C a partir del ajuar funerario y las relaciones estratigráficas.

30. TUMBA DE INHUMACIÓN (1456, 1454, 1455)

Tumba localizada en el sector N.E de la excavación.

Fosa U.E 1456, es de forma rectangular, orientada N.E-S.O y con unas dimensiones de 1,12 x 0,58 x 0,77 m.

Relleno U.E 1454, estaba compuesto por una tierra marrón arenoso arcillosa con una considerable frecuencia de carbones y malacofauna.

Esqueleto U.E 1455, corresponde a un individuo adulto con una edad comprendida entre los 30-34 años, varón, enterrado en deposición de decúbito supino y orientado N.E-S.O. Tan sólo se conservan las extremidades inferiores dispuestas de forma paralela y ligeramente semiflexionadas, de modo que los pies en contacto con el extremo de la fosa por lo que indica las reducidas dimensiones de la fosa. El índice de conservación es del 16%.

Edad: en el rango adulto joven (20-40 años), pudiéndose establecer en un rango de edad comprendida entre los 30-35 años a partir de los métodos empleados y relacionados a continuación.

Métodos:

1. Superficie auricular del ilion: Fase 3 (30-34).

Sexo: varón

Métodos antropométricos: la combinación de medidas antropométricas de fémur, aplicando las fórmulas regresivas da un resultado de sexo varón con un 88,16% de confianza (diámetro vertical de la cabeza femoral, según fórmula $44 \times 0,4865479 - 20,9910026$, punto de corte 0,039055).

Estatura estimada en 165-168 cm según las tablas y fórmulas de regresión de Manouvrier y Trotter y Glesser a partir de la tibia derecha de 355 mm.

Descomposición del cuerpo en medio vacío.

Desde un punto de vista patológico:

1. Patología degenerativa: aplastamiento de la vértebra lumbar L5, artrosis coxo-femoral.

Marcadores de actividad en miembros inferiores.

1. Entesopatía del ligamento redondo bilateral, en grado intenso para ambos lados.
2. Entesopatía del músculo sóleo tibial izquierdo, grado intenso.
3. Entesopatía de cabeza de peroné derecho, grado intenso.

Ajuar:

Monedas:

- Moneda de bronce, posiblemente un As, en mal estado de conservación. Frustra (finales siglo II a.C.). Hallada junto al tronco del esqueleto.

31. TUMBA DE INHUMACIÓN (1458, 1457, 1464) (Lámina 5.10)

Enterramiento localizado en el sector NO de la excavación.

Esta tumba corresponde al tipo de tumba de cámara o hipogeo característico de la necrópolis.

Fosa U.E 1458, de forma rectangular con un nicho o cámara lateral en su límite Norte y unas dimensiones de 1,30 x 0,52 x 0,8 m.

Relleno U.E 1457, estaba compuesto por una tierra marrón areno arcillosa con restos de cerámica indeterminados así como presencia puntual de caracoles y carbones.

Nicho (s/n): No detectado durante el proceso de excavación. Conservaba unas dimensiones de (1,60 x 0,40 m).

Esqueleto U.E 1464, corresponde a un individuo adulto en un rango de edad entre los 25-30 años, de sexo varón, enterrado en deposición de decúbito supino y orientado O-E. El cráneo estaba girado hacia el Sur, del que se conserva la región temporo-mandibular. La extremidad superior izquierda estaba flexionada con la mano en deposición dorsal a la altura de la clavícula izquierda. La extremidad superior derecha estaba extendida y paralela al tronco con la mano derecha reposando sobre el tercio superior de fémur derecho. Las extremidades inferiores estaban extendidas. El índice de conservación es del 65%.

Evidencias de mortaja a nivel de húmeros, y extremidades inferiores.

Edad: en el rango adulto joven (20-40 años), pudiéndose establecer en un rango de edad comprendida entre los 25-30 años a partir de los métodos empleados y relacionados a continuación.

Métodos:

1. Sínfisis pubis según Suchey-Brooks: Fase 3 (26-30).
2. Cuarta costilla (articulación condrocostal): Fase 4 (28-32 años).

Sexo: varón.

Métodos antropométricos: la combinación de medidas antropométricas de fémur, aplicando las fórmulas regresivas da un resultado de sexo varón con un 88,16% de confianza (diámetro vertical de la cabeza femoral, según fórmula $49 \times 0,4865479 - 20,9910026$, punto de corte 0,039055).

Estatura indeterminada.

Descomposición de los miembros en medio vacío.

Desde un punto de vista patológico:

1. Salud bucodental: mal deposición con rotación y apiñamiento en las piezas dentales (3.3 y 4.3) de la mandíbula. Hipoplasias del esmalte en las piezas de la mandíbula (3.3, 4.3, 4.4, 4.5) a una altura de la línea amelocementaria LAC de 2-4 mm; Caries coronal con afectación a pulpa en las piezas mandibulares (3.7 y 4.8).
2. Patología degenerativa: Ligeros procesos degenerativos en columna dorsal y lumbar, hernia posterocentral a nivel de la vértebra torácica.
3. Patología traumática: posible fractura del segundo meta del pie izquierdo.

Marcadores de estrés ocupacional: indicadores de una biomecánica relacionada con una actividad continuada de brazos y piernas como consecuencia de sus actividades laborales u ocupacionales:

1. Cintura escapular: sindesmosis costal derecha, grado moderado; ligamento costoclavicular derecho, grado moderado.
2. Entesopatía del ligamento redondo bilateral, en grado moderado.
3. Faceta de Poirier izquierdo, en grado leve.
4. Entesopatía de línea áspera izquierdo en grado leve
5. Entesopatía del músculo sóleo tibial izquierdo en grado leve.

Ajuar

Los materiales de 1457:

- (1) (nº interés Museístico 0599). Olla de cerámica romana de cocina, de borde exvasado y base cóncava, depositado en la fosa. Un baquetón en el hombro como elemento decorativo. Diámetro de boca 13; diámetro de base 7cm; altura 15,1 cm. Estado fragmentario.

Metales:

- (2) Un *strigilis* de hierro completo pero fragmentado por el empuñadura y colocado junto a los demás objetos del ajuar. Medidas: longitud 24 cm; anchura 2,5 cm; espesor lámina 0,5 cm.

Se hallaron dos clavos de hierro pertenecientes al receptáculo funerario del nicho.

Fauna de 1457:

La fauna se encontraba en la base de la fosa (UE 1458), junto la olla de cerámica de cocina y los objetos de hierro.

- Restos de cerdo (*Sus domesticus*), del que se distinguen fragmentos de cráneo seccionado frontalmente y dispuesto en dos mitades en el interior de la fosa 1458.

Se han diferenciado restos de dos individuos, un subadulto y un neonato. Del animal subadulto (19 y 23 meses) contamos con un cráneo completo y las mandíbulas. La

morfología de la dentición indica que se trata de una hembra. Por las marcas que se han observado en una hemimandíbula se puede decir que hay un procesado carnicero previo a su deposición en la tumba. Sobre la superficie lingual de la mandíbula izquierda hay dos cortes finos y largos producidos muy probablemente al extraer la lengua del animal. También hay una fractura producida por un instrumento cortante (hacha o cuchillo grande) sobre la sínfisis mandibular.

El cráneo presenta sobre el frontal derecho una depresión de forma irregular, con tres pequeñas marcas circulares en su interior, que no llega a perforar el hueso. Por sus características pudiera corresponder a la marca de la dentición de un carnívoro (perro). La marca presenta los bordes redondeados lo que indica crecimiento de hueso y por lo tanto la supervivencia del animal a la agresión

El segundo individuo identificado, es un animal neonato. Los huesos identificados son: dos húmeros, un calcáneo, un astrágalo, dos costillas y un metapodio.

- Restos de un bóvido (*Bos taurus*) correspondientes a un molar primero superior derecho, con desgaste en las primeras cúspides.

- 9 vértebras de un pez de tamaño mediano no identificado taxonómicamente. alguna de estas vértebras presenta una perforación antrópica realizada sobre el agujero natural del *centrum* de la vértebra. Por lo que habría que considerar este conjunto como un amuleto o resto de un adorno.

32. TUMBA DE INHUMACIÓN (1461, 1459, 1460)

Fosa de inhumación localizada en el sector E de la excavación.

Fosa U.E 1461, es de forma rectangular, orientada S-N y con unas dimensiones 1 x 0,78 x 0,23 m.

Relleno U.E 1459, compuesta por una tierra de textura areno arcillosa, con escasa presencia de malacofauna.

Esqueleto U.E 1460, corresponde a un individuo varón, adulto joven (25-30 años), enterrado en deposición de decúbito supino y orientado S-N. La cabeza estaba ladeada hacia el norte. Las extremidades superiores estaban paralelas y pegadas al cuerpo, de la extremidad superior derecha solo se conserva parte del húmero en cambio de la parte izquierda a pesar de conservarse el húmero, cubito y radio, éstos aparecen descolocados. Del tórax se conservan costillas, vértebras y el manubrio. Con respecto a la cintura pélvica tan solo resta parte del coxal izquierdo. El índice de conservación es del 30%.

Evidencias de mortaja en los hombros.

Edad: en el rango adulto joven (20-40 años), pudiéndose establecer en una horquilla de edad comprendida entre los 25-35 años a partir del desgaste dental tipo 4-5

(Holly-Sthmith, 1984) con una correspondencia de edad entre los 25-35 años (Brothwell, 1991).

Edad: en el rango adulto joven (20-40 años), pudiéndose establecer en un rango de edad comprendida entre los 25-30 años a partir de los métodos empleados y relacionados a continuación.

Métodos:

1. Superficie auricular del ilion: Fase 3 (30-34).

Sexo: varón.

Métodos morfológicos: morfología craneal (frente huidiza, arcos supraciliares marcados, borde orbitario romo, glabella tipo 5, apófisis mastoides robustas, huesos malares robustos, inion tipo 2). Morfología pélvica (ángulo de escotadura ciática cerrado).

Estatura estimada en $153-169 \pm 4,05$ cm según las tablas y fórmulas de regresión de Manouvrier y Trotter y Glesser a partir del húmero izquierdo de 293 mm y clavícula izquierda de 147mm.

Descomposición del cuerpo en medio vacío.

Complejión anatómica: robusta.

Lateralidad derecha, fundamentalmente objetivada por la presencia de mayor desarrollo de las entesopatías de extremidades superiores.

Desde un punto de vista patológico:

1. Patología bucodental: caries en piezas dentales (3.7 y 3.6), mal posicionamiento de algunas piezas dentales, hipoplasias del esmalte en las piezas 4.5 y 4.7 a una altura de la línea amelocementaria LAC de 2 mm; diastema entre las piezas mandibulares 4.2 y 4.5.
2. Patología carencial: criba orbitaria unilateral izquierda, porosis palatina.
3. Patología degenerativa: procesos degenerativos en columna dorsal y lumbar, cavidades de Schmorl, hernias discales, espóndilo artrosis dorsal anterior.
4. Patología traumática: fractura *perimortem* de trazo oblicuo en región supracondílea del húmero izquierdo.

Marcadores de estrés ocupacional: indicadores de una biomecánica relacionada con una actividad continuada de piernas como consecuencia de sus actividades laborales u ocupacionales:

1. Cintura escapular: sindesmosis costal bilateral, grado leve para el izquierdo, intenso para el derecho.
2. Entesopatía del músculo bíceps braquial radial izquierdo, grado moderado.

3. Hipertrofia humeral bilateral, grado modereado en el izquierdo, intenso en el derecho.

Variantes anatómicas epigenéticas: No se observan.

Sin ajuar.

33. TUMBA DE INHUMACIÓN (1468, 1466, 1467)

Enterramiento localizado en el sector N.E de la excavación.

Fosa U.E 1468, de forma rectangular, orientada N.O-S.E y conserva unas dimensiones de 1,02 x 0,70 x 0,3 m.

Relleno U.E 1466, compuesto por una tierra marrón areno arcillosa.

Esqueleto U.E 1467, corresponde a un individuo juvenil en un rango de edad entre 17 y 21 años, de sexo indeterminado, enterrado en deposición de decúbito supino y orientado NO-SE. Tan sólo conserva el último tercio de las extremidades inferiores que estaban estiradas y paralelas entre sí. El índice de conservación es del 7,5%.

Evidencias de mortaja a la altura de los pies.

Estatura indeterminada.

Descomposición en medio colmatado.

Sin hallazgos patológicos.

Marcadores de actividad en miembros inferiores:

Entesopatía del glúteo mayor bilateral, grado leve para el lado izquierdo, grado moderado para el lado derecho.

Sin ajuar.

34. TUMBA DE INHUMACIÓN (1471, 1469, 1470=3068, 3066, 3067)

Tumba localizada en el sector N.E de la excavación.

Fosa U.E 1471= 3068, de forma rectangular, con una orientación S.E-N.O y unas dimensiones de 1,30 x 0,50 m.

Relleno U.E 1469= 3066, presentaba una tierra marrón de textura areno arcillosa con escasos carbones, caracoles y sin presencia de material cerámico.

Esqueleto U.E 1470= 3067, corresponde a un individuo posiblemente adulto joven (20-40), de sexo varón enterrado en deposición de decúbito supino y orientado SE-NO. Del esqueleto se ha conservado la mano izquierda en deposición dorsal, el tercio superior del fémur izquierdo y la epífisis proximal de la tibia derecha. El índice de conservación es del 28,5%.

Evidencias de mortaja a nivel de tobillos.

Edad. Posiblemente adulto joven (20-40 años) fundamentado en el aspecto general de los huesos largos.

Sexo: posible varón determinada dicha estimación a partir de las características morfológicas de robustez de los miembros conservados y por los espesores de la cortical de diferentes miembros según Gejvall, (1980).

- Robustez de miembros.
- Espesor del tercio medio del fémur: 8,5 mm.

Estatura estimada en 180-192 cm según las tablas y fórmulas de regresión de Orfila, Nunes de Mendonça, Trotter y Glessner, a partir de la longitud máxima del húmero izquierdo de 397 mm.

Descomposición en medio colmatado.

Complexión anatómica: robusta.

Lateralidad derecha, fundamentalmente objetivada por la presencia de mayor desarrollo de las entesopatías de extremidades inferiores.

Desde un punto de vista patológico destacan:

1. Patología congénita: *genu varo* (malformación fisiológica y/o patológica).
2. Patología infecciosa: reacción perióstica en tibia derecha, cara interna y externa.

Marcadores actividad en las extremidades inferiores, en la articulación calcáneo-astragalina.

Sin ajuar.

35. TUMBA DE INHUMACIÓN (1474, 1473, 1472)

Enterramiento localizado en el sector N.E de la excavación.

Fosa U.E 1474, de forma rectangular y orientación E-O.

Relleno U.E 1473, compuesto por tierra de textura arenosa, compacta y escasa presencia de malacofauna.

Esqueleto U.E 1472, corresponde a un individuo adulto joven (20-40) años, de sexo indeterminado, enterrado en deposición de decúbito supino y orientado E-O. Tan solo se conservan las extremidades inferiores excepto los pies que se han perdido. El índice de conservación es del 1,5%.

Estatura indeterminada.

Descomposición en medio vacío.

Marcadores de actividad en extremidades inferiores.

Sin ajuar.

36. TUMBA DE INHUMACIÓN (2059, 2061, 2060)

Tumba localizada en el sector N. de la excavación.

Fosa U.E 2060, de planta rectangular con unas dimensiones conservadas de 1,17 x 0,50 x 0,38 m. Presenta orientación NE. – SO.

Relleno U.E 2059, está formado por una tierra de textura arenosa, presencia de malacofauna y nódulos de carbón, fragmentos de ladrillo y escasos fragmentos de cerámica común.

Esqueleto U.E 2061, corresponde a un individuo adulto con una edad comprendida entre los 30-38 años, de sexo mujer, enterrado en deposición de decúbito supino, orientado NE-SO. La cabeza estaba ligeramente inclinada hacia el N. y presentaba un estado de conservación muy deficiente (ausencia de frontal, maxilar y hueso malar). La extremidad superior izquierda estaba extendida y paralela al cuerpo, con la mano en deposición dorsal. La extremidad superior derecha semiflexionada sobre el abdomen, con la mano en deposición dorsal y muy elevada respecto del resto del cuerpo. Las extremidades inferiores solo se conservaban en su tercio superior al estar dañadas por una fosa. El índice de conservación es del 29%.

Estatura estimada en 151-153 cm según las tablas y fórmulas de regresión de Manouvrier y Trotter y Glesser a partir del radio izquierdo de 207,85 mm.

Evidencias de mortaja en cintura escapular.

Descomposición del cuerpo en medio colmatado.

Desde un punto de vista patológico:

1. Patología bucodental: caries en piezas dentales (3.4 y 3.8) de la mandíbula.
2. Patología metabólica y carencial: craneal, hipoplasia del esmalte, criba orbitaria unilateral izquierda, porosis palatina.
3. Patología degenerativa: artrosis bilateral en la primera falange del primer dedo de ambas manos.
4. Patología traumática: fractura biselada en hueso fresco en tercio inferior del fémur derecho; lesión por arma blanca subtrocantérea de fémur izquierdo de 16,50 mm de diámetro.

Otras evidencias patológicas: pleuritis costal de tipo ambiental.

Marcadores de actividad en miembros superiores e inferiores.

Sin ajuar.

37. TUMBA DE INHUMACIÓN (2063, 2064, 2062)

La inhumación se localiza en el sector N. de la excavación

Fosa U.E 2062, de forma rectangular, orientada N-S. Conservaba unas dimensiones de 0,55 x 0,85 x 0,14 m.

Relleno U.E 2063, estaba compuesto por una tierra arenosa con un tono más oscuro que el estrato arenoso donde se encuentra excavada la fosa. Cabe indicar la presencia de nódulos de carbón en grado escaso, así como huesos quemados.

Esqueleto U.E 2064, corresponde a un individuo adulto indeterminado, probablemente de sexo mujer, enterrado en deposición de decúbito lateral derecho y orientado N-S. Sólo conserva el tercio inferior de las extremidades inferiores, las tibias estaban ladeadas hacia la derecha, el pie derecho se encontraba semiflexionado mientras que el izquierdo estaba extendido. Los dedos se hallaban comprimidos al estar adaptados a la morfología de la fosa. El índice de conservación es del 22%.

Estatura indeterminada.

Evidencias de amortajamiento a nivel de tobillos.

Descomposición se dio en un medio colmatado.

Sin hallazgos patológicos.

No marcadores de actividad reseñables.

Ajuar

Cerámica:

-(1) (nº inv. 452 bis). Cerámica común romana. Forma indet. Tercio superior y asa de un Olpe. Labio engrosado saliente, cuerpo piriforme. Asa vertical acintada cogida del cuello. Base indicada de solera incipiente. Pasta beige con inclusiones blancas finas y abundantes. Diámetro del borde 7 cm.

Metales:

- (nº inv. 517) Cuatro clavos de hierro con cabeza. Dimensiones máximas: 10 cm x 1,5 cm. Teniendo en cuenta la descomposición en medio colmatado la presencia de clavos puede estar relacionada con aspectos rituales.

38. TUMBA DE INHUMACIÓN (2104, 2203, 2204) (Lámina 5.15)

Tumba ubicada en el cuadrante N.E de la excavación.

Fosa U.E 2104, de forma rectangular y que presenta unas medidas aproximadas de 1.97 x 0.42 x 1.18 m.

Relleno U.E 2203, estaba compuesto por una tierra de textura areno arcillosa con escasez de carbones, malacofauna o material cerámico.

Esqueleto U.E 2204, corresponde a un individuo maduro, de sexo varón, orientado E-O y enterrado en deposición fetal. La cabeza estaba girada hacia el Norte y hacia atrás como consecuencia de una colocación forzada. Las extremidades superiores estaban de diferente forma: la derecha se encontraba semiflexionada sobre la cabeza con la mano semicerrada en deposición dorsal, y la izquierda semiflexionada sobre el tórax con la mano en la misma deposición que la anterior. El tórax y la pelvis estaban, al igual que la cabeza, girados hacia el Norte. Las extremidades inferiores estaban semiflexionadas directamente sobre el esqueleto, la derecha encima del tórax mientras que la izquierda descansaba sobre sí misma. Ambos pies estaban separados e impactados sobre el extremo más occidental de la fosa formando un ángulo de 90º con las tibias. El índice de conservación es del 58%.

Estatura estimada en 168-173 cm según las tablas y fórmulas de regresión de Manouvrier, a partir de la tibia izquierda de 380 mm y fémur derecho de 481 mm.

Evidencias de mortaja a nivel de extremidades inferiores.

Descomposición del cuerpo en medio colmatado.

Desde un punto de vista patológico:

1. Patología bucodental: caries en piezas dentales (1.7 y 1.6), hipoplasias del esmalte.
2. Patología metabólica y carencial: hiperóstosis craneal, porosis parietal, porosis supraauditiva.
3. Patología degenerativa: espondiloartrosis lumbar.
4. Patología infecciosa: destrucción de cuerpos vertebrales, discitis en todos los cuerpos vertebrales dorsales bajos. Mal de Pott (TBC).

Marcadores de actividad a nivel de miembros superiores e inferiores.

Variantes anatómicas: retención de sutura metódica.

Sin ajuar.

39. TUMBA DE INHUMACIÓN (2105, 2180, 2106)

Se trata de una inhumación del sector Norte de la excavación.

Fosa U.E 2106, de forma rectangular con unas medidas conservadas de 1.42 x 0.48 x 0,23 m.

Relleno U.E 2105, es una tierra de textura arenosa con algunos caracoles.

Esqueleto U.E 2180, corresponde a un individuo adulto (20-40), de posible sexo mujer, enterrado en deposición de decúbito supino y orientado O-E. Tan sólo conserva las extremidades inferiores extendidas y paralelas entre sí. El índice de conservación es del 8%.

Estatura indeterminada.

Evidencias de mortaja a la altura de los tobillos.

Descomposición en medio colmatado.

Ajuar:

-(1) (nº inv. 429) Cerámica Campaniense B. Lamb. 1. Barniz negro acharolado, espeso, pasta beige. En el fondo interno, dos ranuras concéntricas. Diámetro borde 8 cm. Se halló junto a las extremidades inferiores.

En el relleno se documentaron diversos fragmentos cerámicos:

- (nº inv. 404) Cerámica ibérica pintada, 1 fragmento, decoración pintada de banda rojo vinoso.
- (nº inv. 405) Cerámica de Paredes Finas. Borde de cubilete Mayet II. Pasta gris.
- (nº inv. 402) Ánfora itálica, Dressel 1A, fragmento de borde, diámetro indeterminado, altura conservada, 10 cm, pasta campana.
- (nº inv. 403) Ánfora itálica, fragmento de asa y carena.

40. TUMBA DE INHUMACIÓN (2136, 2137, 2195) (Lámina 5.16)

Fosa U.E 2136, de forma rectangular, con unas dimensiones de 175 x 70 x 1,10 m y orientada E-O.

Relleno U.E 2137, de textura arcillosa y color marrón. Entre el material cerámico destacan varios fragmentos de base perteneciente a un cubilete de paredes finas forma Mayet II, un borde de cerámica de Campaniense A, forma Lamboglia 33, un fragmento de borde de ánfora itálica, dos fragmentos de borde de patera ibérica,

fragmentos sin forma de ánforas itálicas, fragmentos de cerámica de cocina romana, un borde de cerámica ibérica de cocina y varios fragmentos de cerámica Campaniense A quemados. Estos materiales con toda probabilidad procedan de la cremación 2160 a la que corta.

Esqueleto U.E 2195, corresponde a un individuo adulto en un rango de edad entre los 25-35 años y de sexo varón, enterrado en deposición irregular, con el tronco apoyado sobre la pared E de la fosa, con la cabeza apoyada sobre el hombro izquierdo, las extremidades superiores semiflexionadas, la izquierda se apoya directamente sobre el suelo de la fosa, de manera que todo el peso del cuerpo recae sobre ella, la mano está elevada con los dedos en horizontal. La derecha está sobre el cuerpo, con la mano sobre el abdomen y tercio superior del muslo izquierdo. La extremidad inferior derecha está extendida directamente sobre el suelo de la fosa, con el talón hacia dentro, formando un ángulo de 180° con la tibia. La izquierda semiflexionada con el pie de lado, con el talón hacia el interior formando un ángulo de 90° con la tibia. El índice de conservación es del 40,5%.

Estatua indeterminada.

Sin evidencias de mortaja.

Descomposición del cuerpo en medio colmatado.

Desde un punto de vista patológico:

1. Salud bucodental: hipoplasias del esmalte.
2. Patología metabólica: hiperóstosis craneal.

Otros indicadores patológicos: Ligera periostitis en tibia derecha.

Marcadores de actividad en miembros superiores e inferiores.

Variantes de la normalidad: diente en pala.

Sin ajuar.

41. TUMBA DE INHUMACIÓN (2196, 2176, 2272, 2273, 2274) (Lámina 5.11)

Esta tumba corresponde al tipo de tumba de cámara o hipogeo característico de la necrópolis

Fosa U.E 2196, de forma rectangular de 2,45 x 1,10 x 1,60 m y orientada E-O.

Relleno U.E 2176, está compuesto por un estrato de tierra de textura areno arcilloso contiene numerosos fragmentos de cerámica (ánforas itálicas, greco itálicas y Dressel 1A y un anillo de bronce.

Nicho U.E 2274, de forma longitudinal con unas dimensiones de 2,15 x 0,60 m donde reposa el individuo con su ajuar.

Relleno nicho U.E 2272, al igual que el anterior relleno, también está compuesto por tierra de textura areno arcillosa, con presencia de carbones y pequeños fragmentos de huesos quemados. En la parte superior e inferior del nicho hallamos varios clavos que podrían suponer la existencia de algún tipo de cubierta o ataúd.

Esqueleto U.E 2273, corresponde a un individuo adulto maduro con un rango de edad entre los 40 y 45 años, de sexo varón, enterrado en deposición de decúbito supino y orientado E-O. La cabeza sobreelevada, ladeada hacia el sur. La extremidad superior derecha semiflexionada con la mano en deposición dorsal sobre el abdomen, la extremidad superior izquierda extendida a lo largo del cuerpo con la mano en deposición lateral. Las extremidades inferiores extendidas con los pies juntos, el derecho ligeramente superpuesto sobre el izquierdo. El índice de conservación es del 47%.

Estatura indeterminada.

Evidencias de mortaja en cintura escapular, codos, rodillas y pies.

Descomposición del cuerpo en medio vacío.

Desde un punto de vista patológico:

1. Patología carencial y metabólica: criba orbitaria bilateral, hiperóstosis supraorbitaria y fronto-parietal.
2. Patología degenerativa: Artrosis temporo-mandibular bilateral, artrosis costo vertebral, espondiloartrosis en columna lumbar, osteofitosis y fusión vertebral. Ligera artrosis coxo-femoral; ligera artrosis tibio-peronea derecha.
3. Patología traumática: fractura consolidada de tercio medio de diáfisis radial izquierdo con callo de fractura.

Marcadores de actividad a nivel de cintura escapular, miembros superiores e inferiores.

Variantes de la normalidad: sutura petroescamosa.

Presencia de un rosarillo verdoso en parte media del radio derecho (posible huella de brazalete o pulsera).

Ajuar:

Los materiales de 2176:

Metales:

- (nº de inventario 538) Tres clavos de hierro con cabeza. Dimensiones máximas: 9,5 x 1 cm. Posiblemente relacionados en el receptáculo funerario teniendo en cuenta la Descomposición del cuerpo en medio aeróbico.

-(3) (nº interés Museístico 0916) Anilla de bronce de sección circular, completa aunque oxidada. Diámetro exterior 2,1 cm. Diámetro interior 1,3 cm.

Los materiales de 2272:

Cerámicas:

- (1) (nº interés Museístico 0624). Ungüentario fusiforme. Forma Cuadrado VI. Labio subtriangular, galbo fusiforme y base troncocónica de botón. Restos de engobe en el cuello y el labio, banda blanca sobrepintada. Pasta y superficie beige sin desgrasante aparente. Diámetro de boca 2,3cm, Diámetro de base 2,17cm, Diámetro máximo 3,1 cm. Altura 11,9 cm.
- (2) (nº interés Museístico 0625). Ungüentario. Forma Cuadrado VI. Labio subtriangular, galbo fusiforme y base troncocónica de botón. Restos de engobe en el cuello y el labio, banda blanca sobrepintada. Pasta y superficie beige sin desgrasante aparente con inclusiones micáceas, y alisado de superficie. Diámetro de boca 2,6 cm, Diámetro de base 2,4 cm, Diámetro máximo 4,3 cm. Altura 15,2 cm.

Metales:

- (4) (nº interés Museístico 0924). *Strigilis* de hierro que consiste en una hoja acanalada y curvada (*ligula*) y un mango (*capulus*). La cuchara forma un ángulo recto con el asa, que se compone de dos lados iguales, paralelos y unidos por los extremos. Su estado de conservación es muy oxidado pero completo. Dimensiones aproximadas: 30cm de largo x 2,5 de ancho.

42. TUMBA DE INHUMACION (2234, 2252, 2260, 2261, 2235)

Inhumación ubicada en el sector central de la excavación.

Fosa U.E 2235, es de forma rectangular con unas medidas conservadas de 1.70 x 0.65 x 0,75 m y una orientación de 0,75 m. Tiene la particularidad de poseer una cubierta de adobes dispuestos a doble vertiente.

^{1R} Relleno U.E 2234, toda la estructura estaba cubierta por el relleno de textura arenosa, con escasos carbones y caracoles. Entre los materiales cerámicos destacan restos de dos ánforas itálicas, un cubilete de Paredes Finas Mayet II, fragmentos de cerámica de cocina y ánfora itálica.

Cubierta U.E 2260 de adobes conservados a doble vertiente en la parte del testero de la tumba. Los adobes tenían unas dimensiones que oscilan entre 30, 40 y 50 cm x 10 cm de anchura. Tan solo se conservan *in situ* aquellos que conformaban la cubierta del testero de la tumba.

Por debajo de la cubierta de adobes se localizó un segundo relleno U.E 2252, de textura arenosa es un estrato depositado con posterioridad al enterramiento.

Esqueleto U.E 2261, corresponde a un individuo varón y maduro, enterrado en deposición decúbito supino y orientado al Este. La cabeza hacia el frente, estaba ligeramente levantada por una almohadilla de tierra. Las extremidades superiores

estaban cruzadas a la altura de la pelvis y las manos en deposición dorsal. Las extremidades inferiores se encontraban estiradas teniendo la derecha por encima de la izquierda. El índice de conservación es del 72,5%.

Estatura 157-162 cm según las tablas y fórmulas de regresión de Manouvrier a partir de la tibia derecha 330 mm y del radio izquierdo de 207,85 mm.

Evidencias de mortaja a la altura de los hombros, rodillas y tobillos.

Descomposición en vacío.

Desde un punto de vista patológico:

1. Salud bucodental: hipoplasias del esmalte, absceso en pieza (2.2).
2. Patología infecciosa: sinusitis fistulizada.
3. Patología tumoral: osteoma osteoide en seno frontal izquierdo.
4. Patología degenerativa: cavidades Schmorl en vértebras torácicas altas (de T4 a T7), acuñaamiento de cuerpos vertebrales torácicos, artrosis en primer dedo del pie izquierdo.

Marcadores de actividad a nivel de cintura escapular, miembros superiores e inferiores.

Variante de la normalidad visible en el agujero nutricio clavicular izquierdo.

Sin ajuar.

43. TUMBA DE INHUMACIÓN (2301, 2302, 2303)

La inhumación estaba situada en el sector norte de la excavación.

Fosa U.E 2303, solamente se conservó en la parte de la cabecera y parece que sería alargada y ligeramente redondeada en la cabecera. Sus dimensiones eran de 1'08 m. por 1'40 m. y una profundidad de 23 cm. y orientación Norte – Sur posiblemente.

Relleno U.E 2301, está formado por una tierra areno– arcillosa con escasos carbones y malacofauna. No hay material cerámico.

Esqueleto U.E 2302, corresponde a un individuo de edad y sexo indeterminados, enterrado en deposición de decúbito supino, del que tan solo se ha conservado el cráneo, hacia el frente, y algunos fragmentos de huesos posiblemente de las vértebras cervicales y clavículas.

Estatura indeterminada. El índice de conservación es del 9,5%.

Posibles signos de amortajamiento en las clavículas.

Desde un punto de vista patológico:

1. Salud bucodental: hipoplasias del esmalte.

2. Patología degenerativa: ligera artrosis glenohumeral.

Marcadores de actividad a nivel de cintura escapular.

Sin ajuar.

44. TUMBA DE INHUMACION (2305, 2306, 2307) (Lámina 5.12)

Tumba localizada en el sector centro-este de la excavación.

Fosa U.E 2307, forma indeterminada, orientada E-O y con unas medidas de 108 x 140 x 0,80 m.

Relleno U.E 2305, está formado por una tierra arenosa en su parte superficial, la tierra en contacto con el esqueleto es arena arcillosa, con escasos carbones, caracoles. Los materiales

Esqueleto U.E 2306, corresponde a un individuo adulto de sexo varón, con una edad comprendida entre los 30 y los 35 años y enterrado en deposición de decúbito prono. Su aspecto general es de huesos robustos e inserciones musculares marcadas. La cabeza se ha separado del tronco y ha caído, encontrándose a una cota más profunda que el cuerpo. De la extremidad superior izquierda sólo se conserva parte del radio. La extremidad superior derecha está ligeramente semiflexionada, con la mano en deposición dorsal y a la altura del tercio superior del fémur. De las extremidades inferiores sólo conserva el fémur derecho ya que está afectado por dos fosas, una medieval y otra contemporánea. El índice de conservación es del 27,5%.

Estatura 165,4 cm según las tablas y fórmulas de regresión de Manouvrier a partir del húmero derecho 325 mm.

Ausencia de mortaja por la deposición del esqueleto.

Descomposición en vacío.

Desde un punto de vista patológico:

1. Salud bucodental: hipoplasias del esmalte.

Marcadores de actividad a nivel de cintura miembros superiores e inferiores.

Ajuar

Cerámicas:

-(1) (nº interés Museístico 0626). Cerámica bitroncocónica monocroma de la costa catalana. Forma 7 de Aranegui. Labio saliente, galbo bitroncocónico y base de solera incipiente. Asa vertical acintada pegada al labio, superficie gris-rugosa, sin tratamiento aparente. Superficie rugosa sin tratamiento aparente. Pasta del mismo color sin desgrasante. Diámetro de borde 5,5 cm, diámetro de base 2,8 cm, altura conservada 7 cm, diámetro máximo 6,4 cm. Completa.

Estado de conservación intacto, se halló junto al tronco del esqueleto.

45. TUMBA DE INHUMACIÓN (2358, 2359, 2360)

Tumba localizada en el sector Norte de la excavación.

Fosa U.E 2360, de forma rectangular, estaba orientada O-E y mantiene unas dimensiones de 1,45 × 0,44 x 0,21 m.

Relleno U.E 2358, es de tierra arenosa de color amarillento, con fragmentos de cerámica (fragmentos informes de ánfora itálica), malacofauna y *tegula* quemada.

Esqueleto U.E 2359, corresponde a un individuo adulto en un rango de edad entre los 25-30 años, de sexo varón, enterrado en deposición de decúbito supino y orientado O-E. El cráneo, la extremidad superior derecha y mitad derecha del tronco han sido arrasados, sólo se conservan la extremidad superior izquierda, 10^a, 11^a y 12^a vértebras torácicas, vértebras lumbares, hueso sacro, pelvis, y extremidades inferiores completas. La extremidad superior izquierda estaba extendida y separada del cuerpo, parte del antebrazo estaba bajo el coxal izquierdo y con la mano en deposición palmar. Las extremidades inferiores estaban extendidas y unidas, el pie derecho descansaba sobre el izquierdo. El índice de conservación es del 46%.

Estatura 169-171 cm según las tablas y fórmulas de regresión de Manouvrier a partir de la longitud máxima de la tibia derecha con 385 mm y del fémur derecho con 465 mm.

Evidencias de mortaja en tobillos.

Descomposición en medio vacío.

Desde un punto de vista patológico:

1. Patología degenerativa: artrosis en la articulación calcáneo-astragalina izquierda.

Marcadores de actividad en miembros superiores e inferiores.

Sin ajuar.

46. TUMBA DE INHUMACION (2361, 2362, 2363)

Tumba de inhumación localizada en el sector N.O de la excavación.

Fosa U.E 2363, es de forma rectangular, estaba orientada E-O y conservaba unas dimensiones de 1,90 x 0,55 x 0,55 m.

Relleno U.E 2361, está formado por una tierra areno arcillosa con mayor proporción de arena, con carbones, caracoles y escasa cerámica: borde de ollita y un fragmento informe de cerámica de cocina, una base de ungüentario, fragmentos de ánfora itálica y fragmentos de ánfora indeterminada.

Esqueleto U.E 2362, corresponden a un individuo maduro de sexo varón, con una edad comprendida entre los 40-50 años y enterrado en deposición de decúbito supino, orientado E-O. La extremidad superior derecha está extendida a lo largo del cuerpo. Su aspecto general es de huesos robustos e inserciones musculares marcadas. La extremidad superior izquierda está semiflexionada en ángulo recto y sobre las vértebras lumbares, con los dedos de la mano sobre el cúbito y radio derechos. Las extremidades inferiores están extendidas con el pie derecho sobre el izquierdo, y ambos pies elevados porque están apoyados en la pared de la fosa. El índice de conservación es del 64%.

Estatura indeterminada.

Evidencias de mortaja en cintura escapular y miembros inferiores.

Descomposición en medio colmatado.

Desde un punto de vista patológico:

1. Patología bucodental: hipoplasias del esmalte.
2. Patología degenerativa: artrosis costo-esternal, coxo-femoral, espondiloartrosis con sindesmofitos en columna dorso-lumbar.

Marcadores de actividad a nivel de cintura escapular, miembros superiores e inferiores.

Variante de la normalidad: *os trigonum* bilateral.

Ajuar:

Cerámicas:

- (Nº interés museístico 0906). Cerámica de Paredes Finas, forma Mayet II. Cubilete piriforme. Labio oblicuo y curvado, galbo globular y base de plana. Pasta y superficie naranja sin tratamiento ni desgrasante aparente. Diámetro máximo 8 cm, diámetro de base 5 cm, altura 15,5 cm. Completa pero fragmentada, colocada sobre la extremidad superior derecha, a la altura del codo.

47. TUMBA DE INHUMACIÓN (2405, 2406, 2407)

Inhumación localizada en el sector Norte de la excavación.

Fosa U.E 2407, de forma rectangular y estaba orientada de E-O y unas dimensiones de 1,50 x 0,78 m.

Relleno U.E 2405, estaba compuesto por una tierra arenosa clara con escasos carbones y abundante malacofauna, sin materiales.

Esqueleto U.E 2406, corresponde a un individuo adulto con un rango de edad entre los 20-25 años, de sexo mujer, enterrado en deposición de decúbito supino, orientado E-O. La extremidad superior derecha estaba extendida y separada del tórax unos 45 ° con la mano semi-abierta, en deposición dorsal. La extremidad superior izquierda a lo largo del tórax con la mano en deposición dorsal también. Las extremidades inferiores extendidas y paralelas, el tórax estaba levemente arqueado y elevado. El índice de conservación es del 90%.

Estatura en un rango entre los 148-151 cm según las tablas y fórmulas de regresión de Manouvrier y Trotter y Glesser a partir de la longitud máxima del radio derecho con 204 mm.

No se han descrito signos de amortajamiento.

Descomposición del cuerpo en medio colmatado.

Desde un punto de vista patológico:

1. Patología carencial-bucodental: hipoplasias del esmalte.

Marcadores de actividad a nivel de miembros superiores, cintura pélvica y miembros inferiores.

Variante de la normalidad: Diastema entre las piezas dentales 1.1 y 2.1 (según sistema FDI de identificación dental); *facies articularis* interna bipartita en Axis (segunda vértebra cervical); retención de la sutura metópica; sutura petroescamosa, ensanchamiento de la silla turca (fosa hipofisaria).

Fauna:

- Fragmento de costilla de meso mamífero indeterminado recuperado del relleno de la tumba. No forma parte del ajuar funerario.

Sin ajuar.

48. TUMBA DE INHUMACIÓN (2458, 2459, 2460)

La inhumación está situada en el sector norte de la excavación

Fosa U.E 2460, de forma rectangular y orientada O-E.

Relleno U.E 2458, estaba formado por una tierra areno arcillosa en la que aparecen algunos carbones y malacofauna de reducido tamaño.

Esqueleto U.E 2459, corresponde a un individuo de sexo y edad indeterminados, enterrado en deposición de decúbito supino y orientado O-E. La cabeza estaba ladeada hacia el frente y sobreelevada, posiblemente apoyada sobre una cabecera. La extremidad superior derecha estaba semiflexionada y ligeramente separada del cuerpo, tan solo se conserva parte del cúbito y radio. La extremidad superior izquierda está extendida y situada bajo el tronco de la que solo conserva el húmero. La parte izquierda del cuerpo está elevada respecto a la parte derecha debido a que se adapta a las características de la fosa. Falta la parte superior del esplacocráneo y parte del frontal. El índice de conservación es del 17%.

Estatura indeterminada.

Evidencias de mortaja a nivel de hombros.

Descomposición en medio colmatado.

Desde un punto de vista patológico:

1. Salud bucodental: hipoplasias del esmalte, apiñamiento incisivos, caries, retención de dientes decíduos.
2. Patología carencial: hipoplasias del esmalte.
3. Patología traumática: posible fractura costal.

Variante de la normalidad: retención de la sutura metópica; sutura petroescamosa.

Ausencia de ajuar.

49. TUMBA DE INHUMACIÓN (2461, 2462, 2463)

La inhumación se encuentra en el sector norte de la excavación

Fosa U.E 2463, de forma rectangular, orientada E-O y con unas dimensiones de 1'60 x 0'52 x 30m.

Relleno U.E 2461, está formado por una tierra de arenosa en la que aparecen algunos carbones y caracoles. El material cerámico que aparece es ánfora itálica. Posiblemente todos los fragmentos pertenecen a la misma pieza.

Esqueleto U.E 2462, corresponde a un individuo adulto con una edad comprendida entre los 21-25 años, de sexo indeterminado, enterrado en deposición decúbito supino con la cabeza caída hacia atrás. Esta deposición forzada del cuello pudo producirse por una adaptación forzada a la fosa o a algún tipo de almohada realizada con material perecedero. Ambas extremidades superiores estaban extendidas a lo largo del cuerpo y ligeramente semiflexionadas. La mano derecha estaba en deposición dorsal y apoyada sobre el coxal derecho mientras que la izquierda se

apoyaba sobre el tercio superior del fémur izquierdo. La extremidad inferior izquierda estaba extendida y con el pie extendido en deposición dorsal mientras que la derecha apareció semiflexionada y ligeramente ladeada a la derecha y el pie extendido en deposición lateral. El índice de conservación es del 58%.

Estatura en un rango entre los 159-165 cm según las tablas y fórmulas de regresión de Manouvrier y Trotter y Glesser a partir de la longitud máxima del radio derecho con 227 mm.

Evidencias de mortaja en mandíbula, hombros, y rodillas.

Descomposición del cuerpo en medio colmatado.

Desde un punto de vista patológico:

1. Patología carencial: criba orbitaria izquierda, hipoplasias del esmalte.
2. Patología infecciosa: discos vertebrales muy porosos sobre todo a nivel dorsal y lumbar (L4 y L5). Posible diagnóstico: discitis inespecífica.
3. Patología traumática: fractura de la cara distal de la pieza dental (2.5).

Variante de la normalidad: diente en pala (2.1).

Ausencia de ajuar.

50. TUMBA DE INHUMACIÓN (3006, 3007, 3008)

Enterramiento infantil localizado en el sector O de la excavación.

Fosa U.E 3008, de forma rectangular, conserva unas dimensiones de 0'70 x 0'35 x 0,13 m.

Relleno U.E 3006, estaba compuesto por una tierra de color claro y de textura areno arcillosa con presencia de caracoles.

Esqueleto U.E 3007, corresponde a un esqueleto infantil I con un rango de edad entre los 4 y 4 años de edad, de sexo indeterminado. Estaba enterrado en deposición de decúbito lateral derecho y orientado E-O. Tan solo se ha conservado el cráneo, parte del tórax y de las extremidades superiores (fragmento diafisario perteneciente al húmero izquierdo). De las extremidades inferiores se han conservado las diáfisis de ambos fémures y parte de la tibia derecha. El índice de conservación del esqueleto se ha establecido en un 12%.

Edad: en el rango infantil I (4-5 años) pudiéndose establecer a partir de la longitud máxima sagital de la *Pars Basilaris* y por la erupción y maduración dental (Ubelaker, 1989):

Sexo: indeterminado.

Lateralidad indeterminada.

Estatura indeterminada.

Descomposición en medio aeróbico.

No se documentan patologías.

Variantes anatómicas epigenéticas: No se observan.

Ausencia de ajuar.

51. TUMBA DE INHUMACIÓN (3114, 3115, 3116)

Enterramiento localizado en el sector Norte de la excavación.

Fosa U.E 3116, de forma rectangular y orientada N.O-S.E.

Relleno U.E 3114, estaba formado por una tierra arenosa sin presencia de material cerámico.

Esqueleto U.E 3115, corresponde a un individuo adulto, con un rango de edad adulto joven, pudiéndose establecer en una horquilla de edad comprendida entre los 20 y 40 años. Sexo varón. Presentaba una orientación NO-SE y estaba enterrado en deposición de decúbito lateral izquierdo. Tan solo se conservan parte de las extremidades inferiores: el tercio inferior del fémur, rótula y la tibia y peroné derechos. De la extremidad inferior izquierda tan sólo se conserva la tibia. El índice de conservación del esqueleto se ha establecido en un (3,50%).

Edad: en el rango adulto joven (20-40 años) fundamentada por ausencia de degeneración ósea y robustez del hueso cortical.

Sexo: posible varón determinada dicha estimación a partir de las características morfológicas de robustez de los miembros conservados.

Evidencias de mortaja a la altura de los tobillos.

Descomposición en medio colmatado a juzgar por la deposición de los restos óseos conservados.

Compleción anatómica: robusta.

Lateralidad izquierda fundamentalmente objetivada por la presencia de mayor desarrollo de las entesopatías de extremidades inferiores.

No se han descrito observaciones paleopatológicas.

Marcadores de estrés ocupacional: indicadores de una biomecánica relacionada con una actividad continuada de brazos y piernas como consecuencia de sus actividades laborales u ocupacionales:

1. Entesopatía del cuádriceps del fémur izquierdo en grado moderado.
2. Entesopatía de patella izquierda en grado moderado.

3. Impronta tibio-femoral bilateral en grado moderado.
4. Entesopatía distal del peroné bilateral en grado moderado.

Variantes anatómicas epigenéticas:

1. Incisura superoesterna patelar bilateral.

Ausencia de ajuar.

52. TUMBA DE INHUMACIÓN (3025, 3026, 3027)

Enterramiento ubicado en el sector oeste de la excavación.

Fosa U.E 3027, de forma rectangular y orientada S-N.

Relleno U.E 3025, estaba formado por un estrato de tierra de textura areno arcillosa con abundante presencia de carbones, caracolillos y dos fragmentos de cerámica común, uno de ellos quemado.

Esqueleto U.E 3026, corresponde a un individuo adulto, con un rango de edad adulto joven pudiéndose establecer en una horquilla de edad comprendida entre los 20y30 años. Sexo mujer. Presentaba una orientación S-N y estaba enterrado en deposición de decúbito supino. Sólo se han conservado parte de las extremidades inferiores extendidas y paralelas entre sí. De la parte izquierda se conserva el tercio inferior del fémur, rótula, tibia y peroné, mientras que de la extremidad inferior derecha sólo conserva el tercio inferior del fémur y tibia. El índice de conservación del esqueleto se ha establecido en un (3%).

Sexo: posible mujer determinada dicha estimación a partir de las características morfológicas de gracilidad de los miembros conservados.

Evidencias de mortaja a la altura de los tobillos.

Descomposición en medio vacío a juzgar por la deposición de los restos óseos conservados.

Complexión anatómica: grácil.

Lateralidad derecha-izquierda indeterminada.

No se han descrito observaciones paleopatológicas.

No se han descrito marcadores de actividad ni variantes anatómicas epigenéticas.

Ausencia de ajuar.

53. TUMBA DE INHUMACIÓN (3028, 3029, 3030)

Enterramiento ubicado en el sector oeste de la excavación.

Fosa U.E 3030, fosa de forma rectangular y orientada E-O. Tan solo se ha conservado parcialmente posiblemente como consecuencia de niveles de épocas posteriores. Conservaba unas dimensiones de 0'80 x 0'30 X 0,23 m.

Relleno U.E 3028, estaba compuesto por un estrato de tierra de textura arenosa con abundante presencia de carbones y caracolillos. El material cerámico está formado por: un fragmento sin forma de ánfora itálica de pasta campana; un fragmento de galbo de ánfora de tipo indeterminado y un fragmento de borde de ánfora itálica tipo Dressel 1A.

Esqueleto U.E 3029, corresponde a un individuo infantil pudiéndose establecer en una horquilla de edad comprendida entre los 11,5-12,5 años, de sexo indeterminado. Presentaba una orientación E-O y estaba enterrado en deposición de decúbito supino. Tenía la cabeza ladeada hacia el norte. Tan sólo se ha conservado el tórax y la extremidad superior derecha, la cual se dispone paralela al cuerpo. El índice de conservación del esqueleto se ha establecido en un (33,5%).

Evidencias de mortaja a la altura de los hombros.

Descomposición en medio colmatado.

Lateralidad derecha-izquierda, indeterminada.

Desde un punto de vista patológico destacan:

1. Salud bucodental: fractura incisal (1.2 y 2.2); cálculo en las piezas maxilares (1.7, 1.6), hipoplasias del esmalte en las piezas 4.3, 3.3 a una altura de la línea amelocementaria LAC de 3,99 y 3,25 mm.
2. Patología infecciosa: reacción perióstica en costilla, posible TBC.
3. Patología metabólica, nutricional, carencial: criba orbitaria tipo cribótico-trabecular.

No se han observado marcadores de actividad ni variantes anatómicas epigenéticas.

Ausencia de ajuar.

54. TUMBA DE INHUMACIÓN (3033, 3034, 3035) (Lámina 5.13)

Enterramiento hallado en el sector Este de la excavación.

Fosa U.E 3035, de forma rectangular y orientada S-N. Conservaba unas dimensiones de 1'10 x 0'45 x 0,71m.

Relleno U.E 3033, estaba formado por un estrato de tierra de textura arcillosa con abundante presencia de carbones, caracoles y material cerámico destacando el quemado del que no lo está. Se recuperaron fragmentos cerámicos quemados y no quemados procedentes de la proximidad a un área de cremaciones.

Entre el material quemado destacan:

- Un fragmento de base de Campaniense B, forma Lamboglia 3, barniz negro mate espeso y pasta gris (quemada).

Entre el material no quemado se han recuperado fragmentos cerámicos que no conforman una pieza completa:

- Varios fragmentos de cerámica itálica de pasta campana pertenecientes a la misma pieza.

- Un fragmento sin forma de cerámica Campaniense A. Barniz negro escamado y pasta rojiza.

- Un fragmento de ala plana perteneciente a un *kalathos* ibérico (sombrero de copa), la decoración consiste en filetes concéntricos en el ala y dientes de lobo de color rojo vinoso, el galbo lleva una banda bajo el ala.

- Parte de borde y cuello de ánfora greco-itálica.

- Dos fragmentos de ánfora itálica de pasta adriática.

- Un fragmento de ánfora itálica de pasta campana.

Esqueleto U.E 3034, corresponde a un individuo juvenil, con un rango de edad comprendido entre los 15 y 18 años. Sexo, posible mujer. Presentaba una orientación S-N y estaba enterrado en deposición decúbito lateral izquierdo con el cráneo hacia el mismo lado. Conserva la mayor parte del esqueleto faltando el tórax, pelvis y parte de los fémures y la extremidad superior derecha. Por el contrario la extremidad superior izquierda estaba semiflexionada sobre el tórax y sobre elevado a juzgar por la deposición del cubito y radio. Las extremidades inferiores estaban semiflexionadas teniendo la derecha por encima de la izquierda. Tan sólo se ha conservado el pie derecho. El índice de conservación del esqueleto se ha establecido en un (28%).

Edad: juvenil establecida a partir de la observación de las epífisis de crecimiento no obliteradas de húmero, fémur y tibia.

Sexo: posible mujer.

Métodos morfológicos: morfología craneal (frente vertical, arcos supraciliares no marcados, borde orbitario cortante, apófisis mastoides pequeñas).

Estatura 140-150 cm, según longitud máxima de húmero derecho (245 mm): $139,35 \pm 7,70$ cm. Se han empleado las tablas y fórmulas regresivas de Nunes de Mendonça.

No hay evidencias de mortaja.

Descomposición en medio colmatado.

Compleción anatómica: grácil.

Lateralidad indeterminada.

Desde un punto de vista patológico destacan:

1. Patología infecciosa: reacción perióstica en parte media del peroné derecho; sinusitis esfenoidal.

Marcadores de estrés ocupacional: indicadores de una biomecánica relacionada con una actividad continuada de piernas como consecuencia de sus actividades laborales u ocupacionales:

1. Entesopatía de línea áspera izquierdo en grado leve.
2. Impronta tibial izquierda, leve.

Variantes anatómicas epigenéticas: tubérculo de Carabelli los primeros molares (1.6, 2.6) el maxilar.

Ajuar

- (1) (nº inv. 592). Un plato de Campaniense B, forma Lamboglia 5 con círculo inciso con otros en el fondo. Decoración con círculos y estrías. Diámetro borde 18 cm, diámetro base 6,4 cm, altura 2,7 cm. Pieza completa hallada junto al tronco del esqueleto.

55. TUMBA DE INHUMACIÓN (3036, 3037, 3038)

Enterramiento hallado en el sector Este de la excavación.

Fosa U.E 3038, de forma alargada, tiene una orientación E-O.

Relleno U.E 3036, estaba formado por un estrato de tierra de textura areno arcillosa con presencia de carbones y caracolillos.

Esqueleto U.E 3037, corresponde a un individuo adulto, con un rango de edad adulto joven, pudiéndose establecer en una horquilla de edad comprendida entre los 20-40 años. Sexo, posible mujer. Presentaba una orientación E-O y estaba enterrado en deposición de decúbito supino. Tan sólo se ha podido excavar el tercio inferior de las extremidades inferiores. Estaban extendidas con la derecha por encima de la izquierda. El índice de conservación del esqueleto se ha establecido en un (14%).

Edad: determinada por la ausencia de signos degenerativos en los restos óseos conservados.

Sexo: posible mujer, determinada rasgos morfológicos de gracilidad en los restos óseos conservados.

Estatura: indeterminada.

Descomposición en medio colmatado.

Complexión anatómica: grácil.

Lateralidad indeterminada.

No se observan patologías.

Marcadores de estrés ocupacional: indicadores de una biomecánica relacionada con una actividad continuada piernas como consecuencia de sus actividades laborales u ocupacionales:

1. Faceta de Squatting en tibia derecha.

Variantes anatómicas epigenéticas: No se observan.

56. TUMBA DE INHUMACIÓN (3039, 3040, 3041)

Enterramiento localizado en el sector Norte de la excavación.

Fosa U.E 3041, de forma rectangular y con una orientación E-O. Tan sólo se conservaba la parte correspondiente a la cabecera con unas dimensiones de 0'30 x 0'40 x 0,41m. El enterramiento está afectado por una fosa de época bajo medieval.

Relleno U.E 3039, estaba formado por una tierra de textura arenosa con presencia de carbones, caracoles sin presencia de material cerámico.

Esqueleto U.E 3041, corresponde un individuo de edad, posiblemente adulto sin poder establecer un rango de edad más concreto. Sexo también indeterminado. Presentaba una orientación E-O y estaba enterrado en deposición de decúbito supino. Tan solo se ha conservado parte del occipital y de los parietales. El índice de conservación del esqueleto se ha establecido en un (2 %).

Estatura indeterminada.

Sin evidencias de mortaja.

Descomposición en medio colmatado.

Lateralidad indeterminada.

Sin observaciones paleopatológicas no variantes de la normalidad.

57. TUMBA DE INHUMACIÓN (3042, 3043, 3044)

Enterramiento ubicado en el sector Norte de la excavación.

Fosa U.E 3044, de forma rectangular, orientada E-O y con unas dimensiones conservadas 0'50 x 0'62 x 0,32 m.

Relleno U.E 3042, estaba formado por una tierra de textura arenosa con presencia de carbones, caracoles sin presencia de material cerámico.

Esqueleto U.E 3043, corresponde a un individuo varón posiblemente adulto-maduro. Presentaba una orientación E-O y estaba enterrado en deposición de decúbito supino. Tan solo se ha conservado parte del cráneo (frontal, parietales y occipital parcialmente). El índice de conservación del esqueleto se ha establecido en un (3,5 %).

Edad: Tras la observación de la permeabilidad de suturas craneales, y la obliteración de Obelion se establece una edad aproximada en un rango entre los 40-59 años de edad.

Estatura indeterminada.

Sin evidencias de mortaja.

Descomposición en medio colmatado.

Lateralidad indeterminada,

Sin observaciones paleopatológicas no variantes de la normalidad.

58. TUMBA DE INHUMACIÓN (3053=3120, 3054=3121, 3055=3122)

Enterramiento localizado en el sector Norte de la excavación.

Fosa U.E 3055=3122, de forma rectangular conserva unas dimensiones de 1'20 x 0'50 m.

Relleno U.E 3053=3120, estaba formado por una tierra arenosa de color marrón amarillento con presencia de carbones y caracoles de forma aislada, sin material cerámico.

Esqueleto U.E 3054=3121, corresponde a un individuo adulto con un rango de edad adulto joven, pudiéndose establecer en una horquilla de edad comprendida entre los 20-23 años. Sexo mujer. Orientado Este-Oeste (170°N) y enterrado en deposición decúbito supino. Tan solo se conservaba parte del tórax y extremos distales de las extremidades inferiores, ambas estiradas y juntas. El índice de conservación del esqueleto se ha establecido en un (34,5%).

Edad: en el rango adulto joven (20-40 años), pudiéndose establecer en un rango de edad comprendida entre los 20-23 años a partir de los métodos empleados y relacionados a continuación.

Métodos:

1. Cuarta costilla (articulación condrocostal): Fase 3 (20-24).

Sexo: mujer

Métodos antropométricos: la combinación de medidas antropométricas de fémur, aplicando las fórmulas regresivas da un resultado de sexo mujer con un 88,31% de confianza (anchura epicondilar según fórmula $73 \times 0,2873460 - 21,5737148$, punto de corte $-0,01657$).

Estatura 163-165,4 cm, según longitud máxima de la tibia izquierda (354 mm), según las tablas de Trotter y Glesser.

Sin evidencias de mortaja.

Descomposición en medio colmatado.

Complexión anatómica: grácil.

Lateralidad indeterminada.

Desde un punto de vista patológico destacan:

1. Patología infecciosa: pleuritis en placa en costillas lado izquierdo; osteítis en cara anterior del primer metatarso izquierdo, primera y segunda falange; osteítis en cara posterior de metatarsianos del pie derecho.
2. Patología degenerativa: cavidades de Schmorl en T1-T2, hernia discal con convención medular en T3-T4; artrosis patelar ligera en lado izquierdo, ligera artrosis calcáneo-astragalina izquierdos.

Marcadores de estrés ocupacional: indicadores de una biomecánica relacionada con una actividad continuada de brazos y piernas como consecuencia de sus actividades laborales u ocupacionales:

1. Cintura escapular: ligamentos costoclavicular izquierdo, grado moderado.
2. Entesopatía del músculo pectoral mayor izquierdo, grado intenso.
3. Hipertrofia humeral izquierdo, grado intenso.
4. Hipertrofia de falanges izquierda, grado intenso.
5. Entesopatía del tríceps braquial izquierdo, grado intenso.
6. Entesopatía del músculo braquio-radial, grado intenso.
7. Entesopatía del ligamento rotuliano izquierdo, grado moderado.

8. Entesopatía del músculo sóleo tibial bilateral en grado intenso para ambos lados.

Variantes anatómicas epigenéticas: No se han descrito.

59. TUMBA DE INHUMACIÓN (3063, 3064, 3065)

Enterramiento localizado en el sector Este de la excavación.

Fosa U.E 3065, de forma es un tanto indefinida, conservaba unas dimensiones de 1 x 0'55 x 0,9 m.

Relleno U.E 3063, está formado por una tierra de textura arenosa de color marrón claro con presencia aislada de caracoles, carbones y material formado por: dos cuentas de collar de pasta vítrea de color azul y verde; una base anillada perteneciente a un cuenco de cerámica ibérica pintada; dos fragmentos sin forma de cerámica romana de cocina y un fragmento de galbo de ánfora greco-italica.

Esqueleto U.E 3064, corresponde a un individuo infantil con un rango de edad adulto joven- maduro, pudiéndose establecer en una horquilla de edad comprendida entre los 6,5 y 7,5 años, fundamentada en la erupción y maduración dental. Sexo indeterminado. Presentaba una orientación S-N y estaba enterrado en deposición de decúbito supino. Del cráneo solo se conservaba el occipital y la mandíbula, del resto del esqueleto el húmero izquierdo, el fémur y tibias derechos. El índice de conservación del esqueleto se ha establecido en un (3%).

No se han observado signos de amortajamiento.

Descomposición en medio colmatado.

Lateralidad derecha-izquierda, indeterminada.

Desde un punto de vista patológico destacan:

1. Salud bucodental: desgaste oclusal en las piezas dentales (7.3, 7.4, 7.5). Pérdida *post mortem* (7.2) y pérdida *ante mortem* (7.1).
2. Patología infecciosa: aposición de hueso perióstico en cara exterior de rama mandibular derecha y perialveolar. Aposición de hueso perióstico en húmero. Diagnóstico diferencial con TBC.
3. Patología metabólica, nutricional, carencial: Porosis en *pars basilaris*, diagnóstico diferencial con Escorbuto.

Ajuar-Indumentaria:

- Dos cuentas de collar: una de pasta vítrea monocroma de color azul marino. Dimensiones: 0,6 cm x 0,4 cm y la otra también de pasta vítrea monocroma de color verde. Dimensiones: 0,6 cm x 0,6 cm.

60. TUMBA DE INHUMACIÓN (3095, 3096, 3097)

Enterramiento localizado en el sector N.O de la excavación.

Fosa U.E 3097, de forma alargada, conserva unas dimensiones de 1'30 x 0'50 x 0,33 m.

Relleno U.E 3095, está formado por una tierra de textura arenosa de color marrón con presencia de caracoles y carbones.

Esqueleto U.E 3096, corresponde a un individuo adulto, con un rango de edad adulto joven, pudiéndose establecer en una horquilla de edad comprendida entre los 20 y 28 años. Sexo varón. Presentaba una orientación SE-NO y estaba enterrado en deposición de decúbito lateral derecho. La conservación del enterramiento era muy deficitaria, afectado por niveles de épocas posteriores. Se encontraban *in situ* las tibias y peronés así como la articulación calcáneo-astragalina. Las extremidades inferiores se encuentran extendidas y cruzadas, la izquierda sobre la derecha. A una cota inferior se localizó parte del tórax y de las extremidades superiores con parte del húmero izquierdo y radio derecho. El índice de conservación del esqueleto se ha establecido en un (20 %).

Edad: en el rango adulto joven (20-40 años), pudiéndose establecer en un rango de edad comprendida entre los 20-28 años a partir de los métodos empleados y relacionados a continuación.

Métodos:

1. Cuarta costilla (articulación condrocostal): Fase 3 (20-24).

Sexo: varón (morfológica y antropométricamente, con un 90,91 % de confianza).

Métodos morfológicos: morfología pélvica (escotadura ciática, agujero obturador y ángulo subpúbico).

Métodos antropométricos: la combinación de medidas antropométricas de fémur, aplicando las fórmulas regresivas da un resultado de sexo varón con un 90,91% de confianza (anchura epicondilar + diámetro vertical de la cabeza femoral, según fórmula $84 \times 0,1545610 + 54,5 \times 0,2482526 - 22,4541154$, punto de corte -0,122985).

Estatura 174 cm, según longitud máxima de fémur derecho (473 mm). Se han empleado las tablas y fórmulas regresivas de Trotter y Glesser.

Evidencias de mortaja a nivel de tobillos.

Descomposición en medio colmatado.

Compleción anatómica: robusta.

Lateralidad indeterminada.

Desde un punto de vista patológico destacan:

1. Patología infecciosa: reacción perióstica en parte media de ambas tibias.
2. Patología traumática: contusión, hematoma en cara interna superior de la tibia izquierda (3,5x 1,5 mm).
3. Patología degenerativa: ligera artrosis astrágalo-tibia bilateral.

Marcadores de estrés ocupacional: indicadores de una biomecánica relacionada con una actividad continuada de brazos y piernas como consecuencia de sus actividades laborales u ocupacionales:

1. Entesopatía del músculo bíceps braquial radial derecho, grado intenso.
2. Entesopatía del músculo pectoral mayor derecho, grado moderado.
3. Hipertrofia humeral derecho, grado moderado.
4. Hipertrofia de falanges derecho, grado leve.
5. Entesopatía del ligamento redondo derecho, en grado moderado
6. Faceta de Poirier derecho, en grado leve.
7. Entesopatía de línea áspera izquierdo en grado intenso.
8. Entesopatía del trocánter mayor derecho, en grado moderado.
9. Entesopatía del ligamento rotuliano en rótula derecho, grado intenso.
10. Entesopatía del ligamento rotuliano en tibia derecha, grado moderado.
11. Entesopatía del músculo sóleo tibial bilateral en grado leve para el lado izquierdo y moderado para el derecho.
12. Retroversión tibial derecha, grado moderado.
13. Faceta de acucillamiento tibial bilateral en grado intenso para ambos lados.
14. Entesopatía del tendón de Aquiles derecho, grado intenso.
15. Entesopatía del peroné izquierdo distal izquierdo, grado intenso.

Variantes anatómicas epigenéticas: No se describen.

61. TUMBA DE INHUMACIÓN (3092, 3093, 3094)

Enterramiento localizado en el sector Norte de la excavación.

Fosa U.E 3094, de forma irregular tenía unas medidas conservadas de 0'20 x 0'10 m.

Relleno U.E 3092, es de textura arenosa sin material cerámico y escasa presencia de carbones y malacofauna.

Esqueleto U.E 3093, corresponde a un individuo adulto con edad y sexo indeterminado. La orientación y la deposición del cuerpo es indeterminada debido al mal estado de conservación de los restos óseos. Tan solo se ha conservado parte de las extremidades inferiores. El índice de conservación del esqueleto se ha establecido en un (3,5%).

Sin evidencias de mortaja

Lateralidad derecha-izquierda, indeterminada.

Marcadores de estrés ocupacional: indicadores de una biomecánica relacionada con una actividad continuada de brazos y piernas como consecuencia de sus actividades laborales u ocupacionales:

1. Entesopatía de la primera falange del primer dedo del pie derecho producida por el uso de un calzado determinado, posiblemente las *caligae* o sandalias con tiras de cuero.

62. TUMBA DE INHUMACIÓN (3088, 3086, 3087)

Enterramiento localizado en el sector N.E de la excavación.

Fosa U.E 3087, de forma rectangular, se conserva parcialmente, quedando la parte inferior de la tumba por debajo del corte Este con unas medidas conservadas de: 0'50 x 0'70 x 0,52 m.

Relleno U.E 3088, está compuesto por una tierra de textura arenosa con presencia de carbones y hueso quemado sin presencia de cerámica.

Esqueleto U.E 3086, corresponde a un individuo adulto, con un rango de edad adulto joven, pudiéndose establecer en una horquilla de edad comprendida entre los 20 y 40 años. Sexo mujer. Presentaba una orientación N-S y estaba enterrado en deposición de decúbito prono. Tiene arrasado el tercio superior del esqueleto como consecuencia de la actuación de la pala mecánica. Las extremidades superiores estaban en deposición semiflexionada por debajo del abdomen. Tan sólo se ha conservado la epífisis distal del húmero derecho y la epífisis proximal del cubito y radio. La extremidad superior izquierda estaba extendida junto al cuerpo. Las extremidades inferiores estaban extendidas, se desconoce si estaban o no amortajadas ya que la mitad inferior de las mismas están por debajo del corte Este. El índice de conservación del esqueleto se ha establecido en un (9.5 %).

Edad: en el rango adulto joven (20-40 años), ante la ausencia de signos degenerativos propios de la edad.

Sexo: posible mujer determinada dicha estimación a partir de las características morfológicas de robustez de los miembros conservados y por los espesores de la cortical de diferentes miembros según Gejvall, (1980).

- Gracilidad de miembros.
- Máximo espesor díploe frontal-parietal: 6.80 mm.
- Espesor del tercio medio del fémur: 2.80-3.18 mm.
- Espesor del tercio medio del húmero: 3,26 mm.
- Espesor del tercio medio del radio: 1.78 mm.

Estatura indeterminada.

Evidencias de mortaja a la altura de los hombros.

Descomposición en medio colmatado.

Complexión anatómica: grácil.

Lateralidad derecha-izquierda, fundamentalmente objetivada por la presencia de mayor desarrollo de las entesopatías de extremidades superiores/inferiores.

Desde un punto de vista patológico destacan:

1. Patología degenerativa: ligera artrosis L5-S1.

Marcadores de estrés ocupacional: indicadores de una biomecánica relacionada con una actividad continuada de brazos y piernas como consecuencia de sus actividades laborales u ocupacionales:

1. Entesopatía del músculo bíceps braquial radial izquierdo, grado moderado.
2. Entesopatía del músculo tríceps braquial cubital izquierdo, grado moderado.
3. Tuberosidad isquiática bilateral, grado leve.
4. Faceta de Poirier bilateral, en grado leve.
5. Entesopatía de línea áspera bilateral, grado leve.
6. Entesopatía del trocánter mayor bilateral, en grado moderado.

Ausencia de ajuar.

63. TUMBA DE INHUMACIÓN (3083, 3084, 3085)

Enterramiento localizado en el sector N.O de la excavación.

Fosa U.E 3085, de forma rectangular, estaba orientada O.E y conservaba unas medidas de 1'10 x 0'40 x 0,42 m.

Relleno U.E 3083, está formado por una tierra de textura areno arcillosa sin presencia de caracoles, carbones ni material cerámico.

Esqueleto U.E 3084, corresponde a un individuo adulto, con un rango de edad adulto joven- maduro, pudiéndose establecer en una horquilla de edad comprendida entre los 20-30 años. Sexo mujer. Presentaba una orientación O-E y estaba enterrado en deposición de *decúbito lateral* derecho. El cráneo, parcialmente conservado, estaba ladeado hacia el Sur (derecha). La extremidad superior izquierda estaba semiflexionada sobre el tórax, no conserva la mano. La derecha no se conserva, ha desaparecido posiblemente como consecuencia de la incursión de niveles de épocas posteriores. La pelvis está también apoyada ligeramente sobre el lado derecho, la extremidad inferior derecha parece estar semiflexionada intuyendo que estuviera en deposición fetal ya que tan sólo se conserva el tercio superior del fémur. De la extremidad inferior izquierda tan sólo se conserva la epífisis proximal del fémur. El índice de conservación del esqueleto se ha establecido en un (35,5%).

Edad: en el rango adulto joven (20-40 años), pudiéndose establecer en un rango de edad comprendida entre los 20-25 años a partir de los métodos empleados y relacionados a continuación.

Métodos:

1. Cuarta costilla (articulación condrocostal): Fases 3-4: 20-32 años.

Sexo: posible mujer determinada dicha estimación a partir de las características morfológicas de robustez de los miembros conservados y por los espesores de la cortical de diferentes miembros según Gejvall, (1980).

- Gracilidad de miembros.
- Máximo espesor díploe frontal-parietal: 8,02 mm.
- Máximo espesor díploe occipital: 12,01 mm.
- Máximo espesor tejido cortical 1/3 medio del fémur: 5,81 mm.
- Diámetro vertical cabeza femoral: 43,33 mm.
- Máximo espesor tejido cortical 1/3 medio húmero: 5,03-5,34 mm.
- Máximo espesor tejido cortical 1/3 medio radio: 3,86-3,89 mm.
- Diámetro anteroposterior apófisis odontoides: 11,87 mm.
- Diámetro transversal apófisis odontoides: 9,61 mm.

Estatura 158-152 cm, según longitud máxima de radio izquierdo (210 mm): 152-158.

Se han empleado las tablas y fórmulas regresivas de Trotter y Glesser y Manouvrier.

No hay evidencias de mortaja.

Descomposición en medio colmatado.

Complexión anatómica: grácil.

Lateralidad derecha, fundamentalmente objetivada por la presencia de mayor desarrollo de las entesopatías de extremidades superiores/inferiores.

Desde un punto de vista patológico destacan:

1. Salud bucodental: hipoplasias del esmalte en las piezas (1.5, 1.4, 1.3, 1.2, 2.2, 2.3, 4.3, 3.3) a una altura de la línea amelocementaria LAC de 2,46-6,05 mm.
2. Patología infecciosa: reacción perióstica en costillas TBC.
3. Patología degenerativa: ligera artrosis atlanto-odontoidea, cavidad de Schmorl entre T10 y T11.
4. Patología metabólica- nutricional-carencial: hiperóstosis frontal (8,02mm); ligera porosis supra-orbitaria.

Marcadores de estrés ocupacional: indicadores de una biomecánica relacionada con una actividad continuada de brazos y piernas como consecuencia de sus actividades laborales u ocupacionales:

1. Cintura escapular: ligamento costoclavicular bilateral, grado intenso en el lado derecho.
2. Entesopatía del ligamento conoideo clavícula bilateral, grado leve en el lado izquierdo y moderado para el derecho.
3. Entesopatía del ligamento deltoideo clavícula bilateral, grado leve en el lado izquierdo e intenso para el derecho.
4. Entesopatía del músculo bíceps braquial radial derecho, grado leve.
5. Entesopatía del músculo supinador cubital bilateral, grado moderado en el lado derecho.
6. Entesopatía del músculo tríceps braquial cubital bilateral, grado moderado para el lado derecho.
7. Entesopatía del músculo pectoral mayor bilateral, grado leve.
8. Entesopatía de la membrana interósea del radio izquierdo, izquierdo, grado intenso.
9. Entesopatía del ligamento redondo bilateral, en grado leve para ambos lados.
10. Faceta de Poirier bilateral, grado moderado.

No se han descrito variantes anatómicas epigenéticas.

64. TUMBA DE INHUMACIÓN (3089, 3090, 3091)

Enterramiento localizado en el sector N.O de la excavación.

Fosa U.E 3091, de forma rectangular y a pesar de prolongarse por debajo del corte Oeste, conservaba unas medidas de 0'80 x 0'20 m.

Relleno U.E 3089, compuesto por una tierra de textura arenosa con carbones, escasos caracoles y material cerámico, formado por varios fragmentos de cerámica común romana.

Esqueleto U.E 3090, corresponde a un individuo adulto, con un rango de edad adulto joven, pudiéndose establecer en una horquilla de edad comprendida entre los 20-30 años. Sexo probable varón. Presentaba una orientación NO-SE y estaba enterrado en deposición de decúbito supino. Muy mal estado de conservación y escasos restos óseos representados por parte del cúbito y radio izquierdos así como algunas de las falanges de la mano del mismo lado. El resto del cuerpo posiblemente se halle por debajo del límite occidental. El índice de conservación del esqueleto se ha establecido en un (2,5%).

Edad: en el rango adulto joven (20-30 años), fundamentado por la ausencia de signos degenerativos propios de edad madura.

Sexo: posible varón determinada dicha estimación a partir de las características morfológicas de robustez de los miembros conservados.

Estatura indeterminada.

No se han descrito evidencias de mortaja.

No se han observado rasgos propios de la descomposición en medio colmatado.

Complexión anatómica: robusta.

Lateralidad indeterminada.

No se han observado evidencias paleopatológicas.

Marcadores de estrés ocupacional: indicadores de una biomecánica relacionada con una actividad continuada de brazos como consecuencia de sus actividades laborales u ocupacionales:

1. Entesopatía del músculo supinador cubital izquierdo, grado moderado.
2. Entesopatía del músculo tríceps braquial cubital izquierdo, grado moderado.
3. Entesopatía de la cresta interósea izquierdo en grado moderado.
4. Hipertrofia de falanges izquierdas, grado leve.
5. Entesopatía por hiperflexión del primer metacarpo en cabeza y base.

65. TUMBA DE INHUMACIÓN (3098, 3099, 3100)

Enterramiento localizado en el sector N.O de la excavación.

Fosa U.E 3100, de forma rectangular, conservaba unas medidas de 0'70 x 0'10 x 0,62 m.

Relleno U.E 3098, estaba formado por una tierra arenosa limpia sin presencia de carbones, caracoles o material cerámico.

Esqueleto U.E 3099, corresponde a un individuo adulto, con un rango de edad adulto joven, pudiéndose establecer en una horquilla de edad comprendida entre los 20 y 30 años. Sexo varón. Presentaba una orientación NO-SE y estaba enterrado en deposición de decúbito supino. En mal estado de conservación, sólo conserva parte del cúbito derecho, cuatro metacarpos, dos falanges, parte de la pelvis y el fémur derecho. El resto del esqueleto ha sido cortado por la inhumación (NEF 64). El índice de conservación del esqueleto se ha establecido en un (9,5%).

Sexo: varón (antropométricamente, con un 90,91 % de confianza).

Métodos antropométricos: la combinación de medidas antropométricas de fémur, aplicando las fórmulas regresivas da un resultado de sexo varón con un 88,16% de confianza (diámetro vertical de la cabeza femoral, según fórmula $45,33 \times 0,4865479 - 20,9910026$, punto de corte 0,039055).

Estatura indeterminada.

Sin evidencias de mortaja.

Descomposición en medio colmatado.

Complexión anatómica: robusta.

Lateralidad indeterminada.

Sin hallazgos paleopatológicos.

Sin marcadores de actividad reseñable.

Variantes anatómicas epigenéticas:

- Dehiscencia del arco posterior de la primera vértebra sacra (S1).

66. TUMBA DE INHUMACIÓN (3101, 3102)

Estructura localizada bajo el corte Oeste de la excavación.

Fosa U.E 3102, de forma rectangular que conservaba unas medidas de 0'50 x 0'27 x 0,46 m. Esta tumba estaba afectada en parte por la inhumación (3089, 3090, 3091) y el resto de la estructura se prolongaba por debajo de la actual calle Cañete.

Relleno U.E 3101, estaba formado por una tierra arenosa con presencia de carbones y material cerámico hallado en el fondo de la fosa formado por una base de olla de cerámica de cocina, un pivote de ánfora de tipo indeterminado y varios fragmentos de cerámica común romana.

Esqueleto (s/n). Junto al material cerámico, se hallaron algunos fragmentos de huesos humanos posiblemente pertenecientes al esqueleto no visible al estar el resto del enterramiento por debajo de la calle.

Sin estudio antropológico de laboratorio.

67. TUMBA DE INHUMACIÓN (3117, 3118, 3119)

Enterramiento individual localizado en el sector norte de la excavación.

Fosa U.E 3119, de forma alargada con unas medidas 1'57 x 0'60 x 0,26 m.

Relleno U.E 3117, estaba compuesto por tierra de textura arenosa de color marrón claro, sin cerámica.

Esqueleto U.E 3118, corresponde a un individuo adulto, con un rango de edad adulto joven, pudiéndose establecer en una horquilla de edad comprendida entre los 20 y 35 años. Sexo mujer. Presentaba una orientación NO-SE. La cabeza estaba ladeada hacia la derecha (oeste) y sobre elevada, con respecto al resto de la anatomía, por la presencia de una cabecera de tierra. Las extremidades superiores se encuentran parcialmente conservadas: la extremidad superior derecha, estaba extendida y pegada al tronco. La mitad izquierda del esqueleto estaba cortada por el enterramiento (3120=3053, 3121=3054, 3122=3055), por lo que no conserva más que parte del tórax (escápula, clavícula, la 1ª y 2ª costillas), así como la parte diafisaria de la tibia y peroné izquierdos. Las extremidades inferiores estaban extendidas y paralelas entre sí. No se conservan los pies aunque a juzgar por la deposición de las tibias y peronés, es posible que los talones estuvieran enfrentados, pudiendo estar incluso amortajados. El índice de conservación del esqueleto se ha establecido en un (25,5%).

Edad: en el rango adulto joven (20-40 años), pudiéndose establecer en una horquilla de edad comprendida entre los 20-30 años a partir del desgaste dental tipo 3-4 (Holly-Sthmith, 1984) con una correspondencia de edad entre los 25-35 años (Brothwell, 1991).

Sexo: mujer.

Métodos morfológicos: morfología craneal (frente vertical, arcos supraciliares no marcados, borde orbitario cortante, apófisis mastoides pequeñas, huesos maxilares gráciles, mentón protuyente).

Estatura indeterminada.

Evidencias de mortaja a la altura de los hombros

Descomposición en medio colmatado.

Complexión anatómica: grácil.

Lateralidad indeterminada.

Desde un punto de vista patológico destacan:

1. Salud bucodental: caries oclusal en el tercer molar del maxilar (1.8). Hipoplasias del esmalte a nivel maxilar 1.6, 2.3 y 2.6 a una altura de la línea amelocementaria LAC de entre los 2,44-3,50 mm; a nivel mandibular (3.4, 3.3, 4.3, 4.4) a una altura de la LAC entre los 1,69-3,01 mm.
2. Patología infecciosa: reacción perióstica en parte media del fémur derecho, y en la tibia izquierda a nivel medio lateral.
3. Patología metabólica, nutricional, carencial: hiperóstosis frontal izquierda (11,03 mm).

No se observan marcadores de actividad.

No se observan variantes epigenéticas.

68. TUMBA DE INHUMACIÓN (3132, 3133, 3134)

Enterramiento localizado en el sector Este de la excavación.

Fosa U.E 3134, de forma rectangular, con unas dimensiones de 0'90 x 0'50 X 0,28 m.

Relleno U.E 3132, estaba compuesto por una tierra de textura areno arcillosa, con abundante presencia de malacofauna, material antracológico y material cerámico compuesto por dos fragmentos sin forma de cerámica común romana.

Esqueleto U.E 3133, corresponde a un individuo adulto, con un rango de edad adulto joven, pudiéndose establecer en una horquilla de edad comprendida entre los 20 y 30 años. Sexo varón. Presentaba una orientación NE-SO y estaba enterrado en deposición de decúbito supino. Tan sólo se conserva la pelvis y parte de las extremidades inferiores, que se encuentran extendidas y paralelas entre sí. No se han conservado los pies al estar la tumba cortada por este extremo. El índice de conservación del esqueleto se ha establecido en un (7%).

Edad: en el rango adulto joven (20-40 años), pudiéndose establecer en un rango de edad comprendida entre los 26-30 años a partir de los métodos empleados y relacionados a continuación.

Métodos:

1. Sínfisis pubis según Suchey-Brooks: Fase 3: 26-30 años.

Sexo: varón (morfológica y antropométricamente, con un 90,91 % de confianza).

Métodos morfológicos: morfología pélvica (escotadura ciática, agujero obturador y ángulo subpúbico).

Métodos antropométricos: la combinación de medidas antropométricas de fémur, aplicando las fórmulas regresivas da un resultado de sexo varón con un 90,91% de confianza (anchura epicondilar + diámetro vertical de la cabeza femoral, según fórmula $80x 0,1545610 + 48 x 0,2482526 - 22,4541154$, punto de corte $-0,122985$).

Estatura indeterminada.

Evidencias de mortaja a nivel de rodillas.

Descomposición en medio colmatado.

Complejión anatómica: robusta.

Lateralidad indeterminada.

Desde un punto de vista patológico destacan:

1. Patología metabólica, nutricional, carencial: criba orbitaria bilateral tipo porótica, criba femoral bilateral cribótica; hiperóstosis frontal.
2. Patología degenerativa: coxoartrosis ligera bilateral; espondiloartrosis lumbar ligera.

Marcadores de estrés ocupacional: indicadores de una biomecánica relacionada con una actividad continuada de piernas como consecuencia de sus actividades laborales u ocupacionales:

1. Entesopatía del ligamento redondo bilateral, en grado moderado en ambos casos.
2. Entesopatía de línea áspera derecho en grado intenso.
3. Entesopatía del ligamento rotuliano tibial izquierdo, grado intenso.
4. Entesopatía del músculo sóleo tibial izquierdo en grado intenso.
5. Entesopatía del glúteo mayor bilateral, en grado intenso.
6. Impronta tibial izquierdo, en grado intenso.

No se han observado variantes anatómicas epigenéticas.

La cronología de este enterramiento se establece en el siglo II a.C a partir de las relaciones estratigráficas.

69. TUMBA DE INHUMACIÓN (3162, 3163, 3164)

Enterramiento primario localizado en el sector N.E de la excavación.

Fosa U.E 3164, de forma rectangular, estaba orientada E-O y conservaba unas dimensiones de 1'30 x 0'80 x 0,20 m.

Relleno U.E 3162, estaba compuesto por un estrato de tierra arenosa con presencia de material antracológico y malacofauna.

Esqueleto U.E 3163, corresponde a un individuo adulto, con un rango de edad adulto joven, pudiéndose establecer en una horquilla de edad comprendida entre los 20 y 30 años. Sexo varón. Presentaba una orientación E-O y estaba enterrado en deposición de decúbito prono. En muy mal estado de conservación e incompleto, careciendo de cráneo. De la extremidad superior derecha se conservan el cubito, radio y las falanges de la mano, situados por debajo del esqueleto a la altura del abdomen; la extremidad superior izquierda a juzgar por la sobreelevación del cúbito y radio, estaría semiflexionada con la mano en deposición palmar y apoyada en la base de la tumba, una de las falanges calzaba un anillo; de la pelvis tan solo se conserva el coxal izquierdo; las extremidades inferiores, de las que se conservaban las diáfisis, estaban semiflexionadas, ladeadas hacia la izquierda y paralelas entre sí. No se conservaron los pies. El índice de conservación del esqueleto se ha establecido en un (28%).

Sexo: posible varón determinada dicha estimación a partir de las características morfológicas de robustez de los miembros conservados y por los espesores de la cortical de diferentes miembros según Gejvall, (1980).

- Robustez de miembros.
- Espesor del tercio medio del fémur: 7,61 mm.
- Espesor del tercio medio del húmero: 3,50 mm.
- Espesor del tercio medio del radio: 4,55 mm.
- Espesor del tercio medio del cúbito: 4,60 mm.

Estatura indeterminada.

Sin evidencias de mortaja.

Descomposición en medio colmatado.

Complexión anatómica: robusta.

Lateralidad indeterminada.

Desde un punto de vista patológico destacan:

1. Salud bucodental: Caries en LAC en las piezas 4.2 y 4.5 de la mandíbula.
2. Patología degenerativa: cavidades de Schmorl en las vértebras torácicas T10-T11.

3. Patología traumática: en ambas extremidades inferiores. Fémur derecho dos heridas incisas realizadas por arma blanca, posible punta de *pillum*, en epífisis distal; amputación del tercio medio del fémur; herida inciso-cortante en cóndilo medial. En fémur izquierdo: fractura supracondilar biselada y fractura *perimortem* de tercio medio.
4. Patología infecciosa: periostitis bilateral en parte media de ambas tibias y en ambas caras.

Marcadores de estrés ocupacional: indicadores de una biomecánica relacionada con una actividad continuada de brazos y piernas como consecuencia de sus actividades laborales u ocupacionales:

1. Entesopatía del músculo supinador cubital bilateral, grado moderado en el lado derecho e intenso en el lado izquierdo.
2. Entesopatía del músculo tríceps braquial cubital bilateral, grado moderado en el lado derecho e intenso en el lado izquierdo.
3. Hipertrofia humeral derecho, grado intenso.
4. Entesopatía de línea áspera femoral bilateral, grado moderado.

No se han descrito variantes anatómicas epigenéticas.

70. TUMBA DE INHUMACIÓN (3167, 3168, 3169)

Enterramiento primario localizado en el sector Norte de la excavación.

Fosa U.E 3169, de forma rectangular y conservaba unas dimensiones de 0'55 x 0'60 x 0,19 m.

Relleno U.E 3167, estaba compuesto por una tierra de textura areno arcillosa con abundante presencia de carbones, malacofauna y material cerámico formado por un fragmento de galbo de ánfora indeterminada y un fragmento de cerámica ibérica sin pintar.

Esqueleto U.E 3168, corresponde a un individuo adulto, con un rango de edad adulto joven, pudiéndose establecer en una horquilla de edad comprendida entre los 20-25 años. Sexo mujer. Presentaba una orientación NO-SE y estaba enterrado en deposición de decúbito lateral izquierdo. En mal estado de conservación. Los restos óseos conservados estaban formados por ambas extremidades inferiores, colocadas de forma estirada. Junto a éstas se hallaron dos costillas, una vértebra y la mandíbula correspondientes al mismo individuo. El índice de conservación del esqueleto se ha establecido en un (13 %).

Edad: en el rango adulto joven (20-40 años), pudiéndose establecer en una horquilla de edad comprendida entre los 17-25 (Brothwell, 1991).

Sexo: mujer.

Métodos morfológicos: morfología craneal (mentón protuyente).

Estatura indeterminada.

No se han descrito signos de mortaja.

Descomposición en medio colmatado.

Complexión anatómica: grácil.

Lateralidad indeterminada.

Desde un punto de vista patológico destacan:

1. Salud bucodental: hipoplasias del esmalte en la pieza del maxilar (1.1), a una altura de la línea amelocementaria LAC de 4,241 mm.
2. Patología infecciosa: reacción perióstica ligera tibio-peronea bilateral.
3. Patología degenerativa: ligera artrosis calcáneo-astragalina.

Marcadores de estrés ocupacional: indicadores de una biomecánica relacionada con una actividad continuada de piernas como consecuencia de sus actividades laborales u ocupacionales:

1. Entesopatía del trocánter mayor izquierdo, en grado moderado.
2. Faceta de acucillamiento tibial bilateral en grado moderado para ambos lados.
3. Entesopatía del tendón de Aquiles derecho, en grado moderado.

Variantes anatómicas epigenéticas: no se han descrito.

71. TUMBA DE INHUMACIÓN (3170,3171)

Enterramiento primario localizado en el sector Norte de la excavación.

Fosa U.E 3171, de forma rectangular en muy mal estado de conservación al encontrarse la mayor parte de la tumba por debajo de uno de los cortes.

Relleno U.E 3170, estaba compuesto por una tierra de textura areno arcillosa con presencia de material cerámico, carbones y malacofauna. De forma desarticulada se hallaron los restos de un esqueleto sin conexión anatómica que tras el estudio de laboratorio se ha determinado que forma parte del mismo esqueleto por lo que metodológicamente se le ha identificado con el mismo número de UE. Al que se le ha añadido una letra para distinguirlo del relleno de la tumba.

Esqueleto U.E 3170-A, corresponde a un individuo adulto, con un rango de edad adulto joven, pudiéndose establecer en una horquilla de edad comprendida entre los 20 y 30 años. Sexo varón. La deposición desarticulada de los restos óseos no ha

permitido establecer una orientación, deposición y deposición clara para poder describirla. El índice de conservación del esqueleto se ha establecido en un (8%).

Edad: en el rango adulto joven (20-40 años), pudiéndose establecer en una horquilla de edad comprendida entre los 20-30 años a partir del desgaste dental tipo 2-4 (Holly-Sthmith, 1984) con una correspondencia de edad entre los 25-35 años (Brothwell, 1991).

Sexo: varón (morfológica y antropométricamente, con un 90,91 % de confianza).

Métodos morfológicos: morfología craneal (mentón cuadrangular, eversión gónica).

Métodos antropométricos: la combinación de medidas antropométricas de fémur, aplicando las fórmulas regresivas da un resultado de sexo varón con un 88,16% de confianza (diámetro vertical de la cabeza femoral, según fórmula $45,42 \times 0,4865479 - 20,9910026$, punto de corte 0,039055).

Estatura indeterminada.

Sin evidencias de mortaja y sin poder determinar el tipo de descomposición.

Complejión anatómica: robusta.

Lateralidad indeterminada.

Desde un punto de vista patológico destacan:

1. Salud bucodental: cálculo dental generalizado a nivel de premolares y molares de la mandíbula.
2. Patología degenerativa: ligera artrosis coxo-femoral. .

Marcadores de estrés ocupacional: indicadores de una biomecánica relacionada con una actividad continuada de brazos y piernas como consecuencia de sus actividades laborales u ocupacionales:

1. Entesopatía del músculo bíceps braquial radial izquierdo, grado leve.
2. Entesopatía del músculo pectoral mayor, grado moderado.
3. Hipertrofia humeral izquierdo, grado moderado.
4. Entesopatía del ligamento redondo derecho, en grado moderado.
5. Faceta de Poirier derecho, en grado moderado.
6. Entesopatía de línea áspera derecho en grado moderado.
7. Entesopatía del trocánter mayor derecho, en grado moderado.
8. Faceta de acuclillamiento tibial derecho, grado leve.

Variantes anatómicas epigenéticas: no se han observado.

CREMACIONES DEL SIGLO II A.C

TUMBAS DE CREMACIÓN

72. *BUSTUM* (1284, 1283)

Cremación primaria situada en el cuadrante S.O de la cata.

Fosa UE.1283, de planta rectangular-irregular (afectada por estructuras posteriores), con unas dimensiones de 1,02 x 0,45 x 0,37 m. En el fondo de la fosa, se localizó un orificio circular, de 11 cm. de diámetro y 16 cm. de profundidad, del cual se puede hipotetizar una función ritual como orificio de libaciones.

Relleno UE.1284, que la colmata, estaba formado por tierra arenosa arcillosa con abundante presencia de carbones y cenizas, así como madera carbonizada, y un bajo porcentaje de malacofauna. No se encontró material cerámico en este relleno, ni tampoco la existencia de urna cineraria.

Estudio antropológico:

Los restos óseos corresponden a partes craneales y esqueleto postcraneal haciendo un total de 384.03 gr.

La calidad de la combustión fue media alcanzándose entre los 400 y 600°C.

Datos ponderales: neurocráneo (13.01 gr); esplacocráneo (1.04 gr), cintura escapular y pelvis (11.42 gr); costillas y esternón (26.07 gr), vértebras (9.13 gr); huesos largos (214.50 gr), manos y pies (5.63 gr); restos no identificables (22,81gr); hueso esponjoso libre (15.11 gr).

NMI: dos individuos.

Sexo: probable mujer para el individuo adulto.

Edad: Restos correspondientes a un individuo infantil 1 (0-6 años) y un individuo adulto joven (20-40 años).

Patologías:

1. Patología traumática: una apófisis espinosa presenta una fractura del extremo con signos de vitalidad y organización.

73. *BUSTUM* (2103/2238, 2104=2240) (Lámina 5.17)

Cremación secundaria localizada en el sector N. de la excavación.

Fosa UU.EE. 2104=2240, Esta cremación primaria, estaba excavada sobre el relleno que colmataba la fosa de inhumación 2104 (tumba nº 40). Directamente sobre el relleno la tumba nº 40, se halló un estrato, UE 2103, correspondiente a un *Bustum* que conservaba unas dimensiones de 1.60 x 0.75 m.

Relleno UU.EE 2103=2238, estaba formado por una tierra arenosa compacta, como consecuencia de una prolongada exposición al fuego endureciendo los bordes del *bustum*. Había abundantes carbones, huesos calcinados con tonalidades del blanco al negro pasando por un azul intenso y malacofauna.

Durante los trabajos antropológicos se realizó el estudio de forma diferenciada de las UUEE que contenían material antropológico.

UE 2238:

Estudio antropológico:

Los restos óseos corresponden a partes craneales y esqueleto postcraneal haciendo un total de 16.495 gr.

La calidad de la combustión fue media alcanzándose una temperatura entre los 300-400°C.

Datos ponderales: neurocráneo (0.787 gr); esplacnocráneo (0.22 gr), cintura escapular y pelvis (0.0 gr); costillas y esternón (0.0 gr), vértebras (0.292 gr); huesos largos (12.197 gr), manos y pies (0.0 gr); restos no identificables (2.999 gr); hueso esponjoso libre (0.0 gr).

NMI: un individuo.

Sexo: probable varón.

Edad: adulto (20-40 años).

Patologías: No se observaron aspectos paleopatológicos.

UE 2103:

Estudio antropológico:

Los restos óseos corresponden a partes craneales y esqueleto postcraneal haciendo un total de 75.20 gr.

La calidad de la combustión fue media alcanzándose una temperatura aproximada de 400-600°C.

Datos ponderales: neurocráneo (0.98 gr); esplacnocráneo (0.0 gr), cintura escapular y pelvis (57.34 gr); costillas y esternón (0.0 gr), vértebras (0.0 gr); huesos largos (14.64 gr), manos y pies (0.38 gr); restos no identificables (0.0gr); hueso esponjoso libre (1.86 gr).

NMI: un individuo

Sexo: indeterminado.

Edad: adulto (20-40 años)

Patologías: No se observaron aspectos paleopatológicos.

Respecto del material cerámico, puede establecerse una distinción según estuviese quemado o no. A la primera categoría pertenecen varias asas de ánfora itálica, fragmentos de ollas de cerámica de cocina, restos de un olpe, una base de olla, un fragmento de cerámica de Paredes Finas y dos jarritas grises de la costa catalana. Entre las piezas no quemadas destacan varios fragmentos de cerámica común, un fragmento de disco de lucerna y un pivote de ánfora itálica; varios fragmentos de boca de una Dressel 1 A, dos fragmentos de Campaniense B de Cales (forma Lamb. 5), un fragmento de Campaniense A, tres fragmentos de borde de un *kalathos* ibérico.

Ajuar

Cerámicas:

- (1) (nº interés Museístico 0617) Cerámica bitroncocónica monocroma de la costa catalana. Forma 7 de Aranegui. Labio saliente, galbo botroncocónico y base de solera incipiente. Asa vertical acintada pegada al labio. Superficie gris-rugosa, sin tratamiento aparente. Pasta del mismo color sin desgrasante aparente. Diámetro del borde 5,1 cm, diámetro base 2,8 cm, diámetro máximo 5,9 cm, altura total 6,2 cm. Estado de la pieza fragmentario, le falta parte de la boca y cuerpo.
- (2) (nº interés Museístico 0618) Cerámica bitroncocónica monocroma de la costa catalana. Forma 7 de Aranegui. Labio saliente, galbo botroncocónico y base de solera incipiente. Asa vertical acintada pegada al labio. Superficie gris-rugosa, sin tratamiento aparente. Pasta del mismo color sin desgrasante aparente. Estado de conservación intacto. Diámetro borde 5,1 cm, diámetro base 3 cm, diámetro máximo 6 cm, altura total 6,4 cm. Pieza completa.
- (3) (nº interés Museístico 0649) Cerámica campaniense B de Cales, forma F 2614f1 de Morel, equivalente a la forma Lamboglia 28 ab. Estado fragmentario, falta la base. Barniz negro espeso intenso y mate, pasta beige oscura. Diámetro de boca 13 cm y altura conservada 4,2 cm. Cronología: 300-146 a.C.

Metales:

- (nº interés Museístico 0915) *Strigilis*. Herramienta alargada que consiste en una hoja acanalada y curvada (*ligula*) y un mango (*capulus*). La cuchara forma un ángulo recto con el asa, que se compone de dos lados iguales, paralelos y unidos por los extremos. Su estado de conservación es muy oxidado pero casi completo. Dimensiones aproximadas entre 25 y 30 cm de largo x 2,5 de ancho.

74. LOCULUS (2113, 2114) (Lámina 5.18)

Creación secundaria se situaba en la zona central de la excavación.

Fosa U.E 2114, de forma elíptica con unas dimensiones de 1'10 x 0'65 x 0'88 m.

Relleno U.E 2113, estaba compuesto por una tierra arenosa y abundantes carbones, caracoles y material cerámico donde destacan fragmentos de ímbrices de los que cuatro aparecen quemados y tres más sin quemar, fragmentos de ollitas de cocina, un *oinokoe*, y cerámica común quemados junto con un elemento redondeado de bronce y otro de hierro, semejante a una llave, en buen estado.

Estudio antropológico:

Los restos óseos corresponden a partes craneales y esqueleto postcraneal haciendo un total de 45.17 gr.

La calidad de la combustión fue media alcanzándose una temperatura entre 400-600°C.

Datos ponderales: neurocráneo (16.46 gr); esplacnocráneo (0.60 gr), cintura escapular y pelvis (0.0 gr); costillas y esternón (0.0 gr), vértebras (1.35 gr); huesos largos (16.07 gr), manos y pies (3.84 gr); restos no identificables (6.85 gr); hueso esponjoso libre (0.0 gr).

NMI: un individuo

Sexo: indeterminado

Edad: adulto (20-40 años)

Patologías: No se observaron aspectos paleopatológicos.

Ajuar:

Metales:

- (1) (nº inv 521) Indeterminado de hierro. Se trata de una varilla doblada que en un extremo forma una anilla estrecha y en el otro se abre en ángulo recto como una grapa. Dimensiones conservadas: 6,8 cm x 2 cm. en un extremo y 0,7 cm. en el otro
- (2) (nº inv 522) Anilla de bronce de sección cuadrada. Está fragmentada en ocho partes Dimensiones máximas conservadas: 1,7 x 0,8 cm.

75. LOCULUS (2144, 2145) (Lámina 5.19)

Cremación secundaria.

Fosa U.E 2144, de forma irregular, con unas dimensiones aproximadas de 0,90 x 0,70 x 0,12 m.

Relleno U.E 2145, compuesto por una tierra areno arcillosa de color gris oscura, con gran cantidad de cenizas, carbones y huesos quemados. Proporciona dos fragmentos de borde de ánfora greco-italica quemados y cinco ungüentarios fusiformes, uno de tamaño medio y cuatro pequeños sin haber sido expuestos al fuego.

Sin restos antropológicos conservados para su estudio de laboratorio.

Ajuar

Cerámicas:

- (1) (nº Interés Museístico 0634) ungüentario fusiforme, tipo B III (Cuadrado, 1987:2) de borde triangular. Pasta gris, engobe negro exterior. Diámetro de boca 3 cm; altura conservada 20,4 cm. Pieza fragmentada.
- (2) (nº Interés Museístico 0635) ungüentario fusiforme, tipo B VI-VII (Cuadrado, 1987) de borde triangular. Diámetro de boca 2 cm; diámetro de base 2 cm; altura conservada 12,6 cm. Pieza completa.
- (3) (nº Interés Museístico 0636) ungüentario fusiforme, tipo B VI-VII (Cuadrado, 1987). Diámetro de base 2 cm; altura conservada 8,3 cm. Pieza fragmentada.
- (4) (nº Interés Museístico 0637) ungüentario fusiforme, tipo B VI-VII (Cuadrado, 1987) B9.LAT de Pasta gris, engobe negro al interior. Diámetro de base 2,3 cm; altura conservada 11,6 cm. Pieza fragmentada.
- (5) (nº Interés Museístico 0638) ungüentario fusiforme, tipo BVI (Cuadrado, 1987) de borde triangular. Diámetro de boca 2,1 cm; diámetro de base 2,8 cm; altura conservada 14,8 cm. Pieza completa.

Además del material completo, se documentaron fragmentos recuperados durante la excavación de la tumba y que detallamos a continuación:

- (nº inv. 419) Dos fragmentos pertenecientes a una jarrita bitroncocónica monocroma de la costa catalana. Forma 7 de Aranegui. Pasta del mismo color sin desgrasante aparente. Diámetro de boca 2,5 cm.
- (6) (nº inv. 420) Anfora romana (greco-italica de transición o Dressel 1A. Fragmento de borde Pasta campana, engobe blanquecino.
- (7) (nº inv. 421) Anfora romana (greco-italica de transición o Dressel 1A. Fragmento de borde Pasta campana, engobe blanquecino.

76. BUSTUM (2206, 2207)

Cremación primaria

Fosa U.E 2206, de forma irregular, con las paredes rubefactadas como consecuencia de la exdeposición al fuego.

Relleno U.E 2207, estaba compuesto por una tierra de color marrón clara con gran abundancia de carbones y huesos quemados, el material cerámico consiste en fragmentos de ánfora itálica.

Estudio antropológico:

Los restos óseos corresponden a partes craneales y esqueleto postcraneal haciendo un total de 10.87 gr.

La calidad de la combustión fue débil alcanzándose una temperatura entre 300-400°C.

Datos ponderales: neurocráneo (8.27 gr); esplanocráneo (0.0 gr), cintura escapular y pelvis (0.0 gr); costillas y esternón (0.0 gr), vértebras (0.0 gr); huesos largos (0.0 gr), manos y pies (0.0 gr); restos no identificables (2,60 gr); hueso esponjoso libre (0.0 gr).

NMI: un individuo

Sexo: probable varón

Edad: adulto (20-40 años)

Patologías: No se observaron aspectos paleopatológicos.

77. LOCULUS (2236, 2237)

Cremación secundaria localizada en el sector Oeste de la excavación.

Fosa U.E 2237, de forma irregular, más o menos redondeada. Las dimensiones conservadas eran de 0,55 x 0,80 x 0,25 m.

Relleno U.E 2236, estaba compuesto por carbón, tierra quemada y canto rodado de mediano tamaño. También se recuperó un fragmento de ánfora greco-italica.

Metales:

Formando parte del relleno se hallaron varias tachuelas de hierro (nº de inventario 542) que formarían parte de unas *caligae* ya que por su morfología y tipo son típicas de calzado. El estado de conservación presentaba evidencias de acción del fuego.

Sin restos antropológicos conservados para su estudio de laboratorio.

78. BUSTUM (2247, 2248) (Lámina 5.20)

Cremación primaria localizada en el cuadrante Oeste de la excavación.

Fosa U.E 2248, de forma semicircular de 1,50 x 0,92 x 0,32 m.

Relleno U.E 2247, que lo colmata estaba formado por una tierra marrón, de textura arenosa, en algunos puntos, muy endurecida por encontrarse afectada por el fuego, que contiene carbones, nódulos de hierro, piedras pequeñas, hueso quemado, restos de malacofauna. En este relleno se distingue una micro-estratigrafía definida por sucesivas deposiciones de tres tipos: carbones y tierra quemada, arena, nódulos de cal.

Estudio antropológico:

Los restos óseos corresponden a partes craneales y esqueleto postcraneal haciendo un total de 83.8 gr.

La calidad de la combustión fue intensa alcanzándose una temperatura de más de 600°C.

Datos ponderales: neurocráneo (18.89 gr); esplanocráneo (0.0 gr), cintura escapular y pelvis (0.0 gr); costillas y esternón (0.92 gr), vértebras (0.48 gr); huesos largos (56.94 gr), manos y pies (3.10 gr); restos no identificables (3.47); hueso esponjoso libre (0.0 gr).

NMI: un individuo

Sexo: probable mujer

Edad: adulto (20-40 años)

Patologías: No se observaron aspectos paleopatológicos.

Ajuar:

Cerámicas:

- (nº inv. 448). Fragmento de ánfora Greco-Itálica de Transición. Pasta adriática quemada. Diámetro de boca 12,5 cm; Altura conservada 6 cm.
- (nº inv. 449). Fragmento de ánfora Itálica Dressel1A. Pasta campana. Diámetro de borde 13 cm, altura conservada 5 cm.
- (nº inv. 450). Fragmento de ánfora Greco-Itálica. Fragmento de borde. Pasta campana, engobe beige, quemada. Diámetro 13-14 cm.
- (nº inv. 451). Fragmento de cerámica bitroncocónica monocroma de la costa catalana. Parte del borde y arranque del asa acintada. Diámetro 10 cm.

Metales:

Se documentaron varias piezas metálicas correspondientes a un casco de bronce, tipo Montefortino, aplastado sobre una espada (*gladius*) de hierro, curvada sobre un recipiente de material perecedero que ha dejado la huella de su contenido. No lejos de estos elementos se localizaron más fragmentos de hierro, de un posible *strigilis*, y de lo que se interpreta como el empuñadura de un cuchillo puesto que conserva los remaches que sujetaban las cachas al ánima, junto a este aparecían adobes que han tomado una coloración rojiza por efecto del fuego.

- (1) (nº interés Museístico 0921) Espada o *gladius* de hierro en mal estado de conservación. Únicamente se conservan tres fragmentos de la hoja, está curvada intencionadamente sobre un recipiente de material perecedero que ha dejado su impronta. Las dimensiones conservadas de la espada son las siguientes: longitud: 13,4 cm; anchura máxima: 4,5 cm; grosor: 0,3-0,9 cm.
- (2) (nº interés Museístico 0922) Casco de bronce de tipo Montefortino que forma parte del armamento defensivo de la panoplia del soldado romano. Su estado de conservación es delicado pues se encuentra muy deteriorado, quemado y roto.

Conserva tan solo una parte del capacete Semiesférico, aplastado e incompleto. No conserva el botón. El borde inferior cableado. No se aprecia guardanuca ni bisagras para las carrilleras, ni anilla de sujeción. No se observa decoración, aunque hay que tener en cuenta el estado de conservación de la pieza. Siguiendo la clasificación tipológica de García-Mauriño, pensamos que el casco nº 1, pertenecería al tipo I, subtipo Ic. Diámetro máximo 19,5 cm; altura máxima 10,8 cm.

- Enmangue de un cuchillo de hierro. Conserva los remaches que sujetan las cachas al ánima. Dimensiones conservadas: Longitud: 13'1 cm. Anchura máxima: 2'5 cm.

- Fragmento de *strigilis* correspondiente el rascador (*ligula*) y al asa (*capulus*). Su estado de conservación es muy malo.

79. LOCULUS (2352, 2353) (Lámina 5.21)

Cremación secundaria estaba situada en la zona norte de la excavación.

Fosa U.E 2353, de forma semicircular con unas dimensiones de 0'80 x 0'44 x 0,15 m.

Relleno U.E 2352, compuesto por una tierra arenosa en la que aparecen algunos carbones y escasos huesos calcinados. Se halló un fragmento de ánfora Tarraconense, dos de ánfora africana, dos fragmentos quemados de cerámica ibérica pintada y un fragmento de aguja de bronce.

Metales

- (1) (nº de inventario 570) Fragmento de aguja de bronce. Dimensiones conservadas: 2,3 x 0,15 cm.

Sin restos antropológicos conservados para su estudio de laboratorio.

80. BUSTUM (2354, 2355)

Cremación primaria localizada en el sector N. de la excavación.

Fosa U.E 2355, con unas dimensiones de 0,75 x 0,62 x 0,15 m.

Relleno U.E 2354, estaba compuesto por una tierra arenosa con presencia de pequeñas piedras fragmentadas por la acción del calor, cenizas en grado medio y escasos carbones y huesos.

Sin restos antropológicos conservados para su estudio de laboratorio.

81. LOCULUS (2356, 2357) (Lámina 5.21)

Cremación secundaria

Fosa U.E 2357, de planta rectangular.

Relleno U.E 2356, estaba formado por una tierra de textura limosa y de color marrón oscuro. Presentaba abundantes nódulos de carbón, cal, hueso quemado, así como clavos sin deposición ordenada, y un objeto indeterminado de hierro (descrito líneas *infra*).

Estudio antropológico:

Los restos óseos corresponden a partes craneales y esqueleto postcraneal haciendo un total de 29.97 gr.

La calidad de la combustión fue intensa alcanzándose una temperatura de más de 600°C.

Datos ponderales: neurocráneo (0.0 gr); esplacocráneo (0.0 gr), cintura escapular y pelvis (0.0 gr); costillas y esternón (0.66 gr), vértebras (0.0 gr); huesos largos (28.83 gr), manos y pies (1.48 gr); restos no identificables (0.0 gr); hueso esponjoso libre (0.0 gr).

NMI: un individuo.

Sexo: probable varón.

Edad: adulto (20-40 años)

Patologías:

- Degenerativa: peine artrósico; osteofitos anteriores en el reborde superior del disco vertebral.

Variantes anatómicas:

-*Patella emarginata* de rótula izquierda.

Metales

- (1) (nº de inventario 571). Un objeto de hierro de sección redonda en mal estado de conservación. Debido a su estado de conservación no se ha podido establecer una interpretación del hallazgo.

82. LOCULUS (3060, 3061) (Lámina 5.22)

Cremación secundaria localizada en el sector Este de la excavación.

Fosa U.E 3061, de forma redondeada y tiene unas medidas conservadas de 0'50 x 0'40 m.

Relleno U.E 3060, estaba compuesto por una tierra de textura arcillosa de color grisácea con vetas arenosas, abundancia de carbones y caracoles en menor medida, hasta frutos secos carbonizados entre los que se distinguen nueces.

Sin restos antropológicos conservados para su estudio de laboratorio.

Ajuar:

- (1) (nº inv. 610): Base y arranque de cuerpo correspondiente a un ungüentario fusiforme, forma Cuadrado, serie B. Diámetro de base 2,5 cm; Altura conservada 11 cm. Pieza fragmentada. No quemada.
- (2) (nº inv. 609): Perfil completo de cerámica Campaniense B, forma Lamboglia 5. Diámetro de boca 17,5; diámetro de base 6 cm; altura 4 cm. Pieza fragmentada. No quemada.
- Varios fragmentos de ánfora itálica de pasta campana. No quemados.

83. LOCULUS (3071, 3072)

Cremación secundaria localizada en el sector este de la excavación.

Fosa U.E 3072, de forma alargada y se ha excavado parcialmente ya que se prolonga por debajo del corte.

Relleno U.E 3071, estaba compuesto por una tierra de textura areno arcillosa con abundante presencia de carbones, caracoles, restos de fauna de especies indeterminadas y un clavo de hierro.

El material cerámico hallado durante la excavación del relleno está formado por:

- (1) (nº inv 608): 1 fragmento de cerámica Campaniense B, forma Lamb 6/F1441. Plato poco profundo, de borde colgante largo y ondulado. La cronología de esta pieza es de mediados del siglo II a.C. a finales del tercer cuarto del siglo I a.C. (Principal y Ribera, 2013). Fragmentado. Sin quemar.
- Dos fragmentos sin forma de cerámica pertenecientes a un cubilete de Paredes Finas forma Mayet II. Sin quemar.
- Fragmento de pivote de ánfora itálica Dressel 1A. Sin quemar.

Estudio antropológico:

Los restos óseos corresponden a partes craneales y esqueleto postcraneal haciendo un total de 10.51 gr.

La calidad de la combustión fue muy débil alcanzándose una temperatura entre los 100 y 250 °C.

Datos ponderales: neurocráneo (0.0 gr); esplacnocráneo (0.0 gr), cintura escapular y pelvis (6.23 gr); costillas y esternón (0.48 gr), vértebras (0.0 gr); huesos largos (2.61 gr), manos y pies (0.0 gr); restos no identificables (1.19 gr); hueso esponjoso libre (0.0 gr).

NMI: un individuo

Sexo: indeterminado

Edad: Infantil (0-1 año).

Patologías: No se observaron aspectos paleopatológicos.

Monedas:

- Un Quadrans. De AE, procedente de la ceca de Sagunto, con una cronología de 133-120 a. C. En el anverso: Venera y gráfila de puntos y en el reverso: Delfín con signo ibérico (A) debajo y tres puntos a continuación, marca de valor del cuadrante. Sobre el delfín creciente. Peso: 2'82 grs; Diámetro: 15,5 mm; Grosor: 3 mm; Deposición cuños: 6 h. En general está poco desgastada.

ESTRUCTURAS DE CARÁCTER FUNERARIO

84. *USTRINUM* (1280, 1376, 1360, 1348, 1333, 1322, 1281) (Lámina 5.23)

Junto al corte S de la excavación se halló, con orientación E-O, un *ustrinum*.

Fosa U.E 1280, de planta rectangular, con los lados menores ligeramente redondeados, y unas dimensiones de 1,90 x 0,70 x 0,80 m.

Relleno UUEE. 1360-1376-1348-1333-1322, rellenos atribuibles a las diferentes fases de utilización del *ustrinum*. Compuestos por carbones y cenizas, fragmentos de huesos quemados, con diferentes tonalidades que van del negro al blanco, así como algún resto de madera, todo ello incluido en un relleno formado básicamente por tierra rubefacta de diferentes tonalidades, cercanas a un rojo vinoso.

El relleno U.E 1281, colmata la estructura, estaba compuesto por una tierra areno arcillosa de color rojizo con restos de huesos y carbones, y abundante material cerámico.

Los materiales de 1281 (lámina 18):

- (1) (nº inv. 1) 1 borde de cerámica Campaniense A, forma Lamboglia 27 AB, F 2788. Diámetro de borde 13 cm.
- (2) (nº inv.2) 1 base de cerámica Campaniense A, forma Lamboglia 27 Bb.
- (3) (nº inv.3) 1 borde de cerámica Campaniense B Etrusca, forma Lamboglia 6, F 1443 m1. Diámetro de borde 21 cm.
- (4) (nº inv. 4) 1 base de cerámica Campaniense B etrusca, forma Lamboglia 5, F 2252 a. Diámetro de base 8 cm.
- (5) (nº inv. 5) 1 base de cerámica Campaniense B etrusca, forma Lamboglia 3, Morel F 7553e. Diámetro base 9 cm.
- (6) (nº inv. 6) 1 base de cerámica Campaniense Beoïde, forma Lamboglia 5.
- (7) (nº inv. 7) 1 base borde de olla de cerámica cocina. Diámetro borde 14 cm.
- (8) (nº inv. 8) 1 base borde de olla de cerámica cocina. Diámetro borde 14 cm.

-(9) (nº inv. 9) 1 base de cubilete de paredes finas, forma Mayet II. Pasta beige anaranjada. Diámetro base 3,5 cm.

-(10) (nº inv. 10) 1 base de cubilete de paredes finas, forma Mayet II. Pasta beige anaranjada. Diámetro base 4,5 cm.

-(11) (nº inv. 11) 1 base de jarrita de cerámica gris ibicenca. Pasta gris Diámetro base 4 cm.

Observaciones: Con posterioridad a esta función incineradora, la fosa UE.1280 fue aprovechada como lugar de inhumación doble (UUEE.1288-1295).

85. CENOTAFIO (1244-1245)

Fosa situada en el sector Norte de la excavación.

Fosa U.E 1244, es de forma alargada con unas dimensiones conservadas de 1x 0,70 m y con las paredes enrojecidas por la rubefacción del fuego.

Relleno U.E 1244, era de textura arenosa. Durante la excavación de este estrato se pudieron recoger un fragmento de boca, galbo y pivote pertenecientes a un ánfora tipo Dressel 1 A. No se hallaron otros materiales asociados.

86. CENOTAFIO (1355, 1351, 1356)

Esta fosa de carácter votivo estaba situada en el cuadrante S.O de la excavación.

Cubierta U.E 1356, amontonamiento de cantos de río de tamaño medio, que creaban una cubierta de forma, más o menos, circular. Estas piedras cubrían una fosa UE.1351.

Fosa U.E 1351, de forma circular con unas dimensiones de 0,60 x 0,12 cm.

Relleno U.E 1355, formado por arenas.

Ajuar:

- Fragmentos pertenecientes a dos cubiletes de paredes finas Mayet II. En mal estado de conservación.

Monedas:

- Arse-Sagunto (109-108 a.C.) As. Óbolo. Anverso: cabeza de Roma , a la derecha/
Reverso: proa de nave, a la derecha, encima, siglas del magistrado monetar.

87. CENOTAFIO (1299, 1300) (Lámina 5.24)

Situado en el cuadrante S.E de la excavación

Fosa UE.1300, de planta, más o menos, rectangular, cuyas dimensiones eran 1,30 x 0,53 x 0,31m. Su orientación era E-O.

Relleno UE.1299, colmatada por una tierra marrón, de textura arcillosa, con algunos carbones y piedras pequeñas, que cubría cinco ungüentarios cerámicos, situados en la mitad este de la fosa.

Ajuar (lámina 19)

Cerámicas:

Los ungüentarios hallados en este cenotafio suponen la variante de la forma Vegas, 63 de gran tamaño, con borde de sección triangular y con paralelos en *Pollentia* y Atenas (Vegas, 1973). Datados entre los siglos II-I a.C.

- (1) (nº interés Museístico 0600). Ungüentario fusiforme de gran tamaño. Completo pero fragmentado y no quemado. Diámetro boca 8,5 cm, diámetro de base 6,5 cm. Estado fragmentario. Cronología (\pm 175-100 a.C.).
- (2) (nº interés Museístico 0601). Ungüentario fusiforme de gran tamaño. Fragmentado, no quemado. Diámetro de base 6,5, altura conservada 22,3 cm. Estado fragmentario. Cronología (\pm 125-75 a.C.).
- (3) (nº interés Museístico 0602). Ungüentario fusiforme de gran tamaño. Fragmentado, no quemado. Altura conservada 19,8 cm. Estado fragmentario. Cronología (\pm 125-75 a.C.).
- (4) (nº interés Museístico 0603). Ungüentario fusiforme de gran tamaño. Fragmentado, no quemado. Diámetro de borde 3,5, altura conservada 21,8 cm. Estado fragmentario. Cronología (\pm 125-25 a.C.).
- (5) (nº interés Museístico 0606). Ungüentario fusiforme de gran tamaño. Fragmentado, no quemado. Diámetro de boca 3,5 cm, diámetro de base 6,5 cm. Estado fragmentario. Cronología (\pm 125-75 a.C.).

88. CENOTAFIO (1291, 1307)

Situado en el cuadrante S.E de la cata.

Fosa UE.1307, de planta rectangular, con unas dimensiones de 0,80 x 0,60 x 0,48m. La orientación documentada es E-O.

Relleno UE.1291, estaba compuesto de tierra areno arcillosa con carbones, caracoles y algunas piedras. Asimismo se recuperó abundante material cerámico. Destaca el porcentaje de ánforas, entre ellas se ha identificado varios fragmentos informes de Dressel1, un asa ánfora de Cos, un asa y un borde de greco-italica. El resto de material correspondía a cerámica común romana y dos bordes de olla ibérica.

89. CENOTAFIO (1352, 1353)

Estructura localizada en el límite sur del cuadrante NE de la excavación.

Fosa UE.1353, de planta rectangular, cuyas dimensiones aproximadas son de 2 x 0,90 x 0,20 m y su orientación E-O.

Relleno UE.1352, estaba compuesto por tierra areno arcillosa, con restos de tierra cocida y zonas de tonalidades rojizas, con caracoles y un conjunto cerámico formado por ánfora itálica, cerámica común romana y fragmentos de un *kalathos* ibérico.

90. ZANJA VOTIVA (2311, 2312= 3198, 3199) (Láminas 5.26, 5.26 y 5.27)

Estructura ubicada en el sector Sur de la excavación con una orientación Este-Oeste.

Zanja U.E 2312=3199, de forma alargada y rectangular, conservaba unas dimensiones de 9.30 x 0.50 x 0,35 m.

Relleno U.E 2311=3198, estaba compuesto por una tierra de textura areno arcillosa con carbones, caracoles y restos óseos calcinados. El material metálico está representado por dos *strigiles* y escasos fragmentos muy concrecionados de bronce. El material cerámico, ampliamente representado está formado por: ollas completas de cerámica de cocina y otras fragmentadas; numerosos fragmentos de cerámica común romana; 3 fragmentos pertenecientes a cerámica Campaniense A, forma Lamboglia 36 y 1 fragmento sin forma de Campaniense B; ungüentarios incompletos, uno de ellos quemado; 2 fusayolas, una de ellas quemada; 2 fondos de cubilete de Paredes Finas, Mayet II; 3 fragmentos de borde de caliciformes o *Kalathos* ibéricos y una pátera ibérica. En lo que se refiere a las ánforas los tipos más representados son de pasta campana, de Apulia y del Adriático correspondiendo a dos modelos: greco-italicas de transición y Dressel 1A, sin olvidar un borde de ánfora ibérica.

Con el propósito de tener una visión de conjunto de las ánforas se ha procedido a agrupar los fragmentos de borde que pertenecen al mismo recipiente para calcular un número aproximado de ánforas. El recuento general de fragmentos de borde permite contabilizar 42 piezas que totalizan 27 ánforas al calcular el número mínimo de individuo. Si restamos las ánforas representadas por un único fragmento de borde quedan 8 ánforas de las cuales 5 tienen pasta campana y 3 pasta adriática.

Materiales

Cerámicas:

- (1) (nº Interés Museístico 0619) Cerámica Campaniense A, Lam. 36 Borde saliente, base anillada, Barniz negro con reflejos metálicos azulados Interior de la base en reserva. Pasta anaranjada sin desgrasante aparente. Muy deteriorada, perfil incompleto, falta el labio. Diámetro de la base 8,5 cm. Diámetro máximo conservado 23 cm.
- (2) (nº Interés Museístico 0620) Cerámica de paredes finas. Cubilete forma Mayet II. Labio exvasado, galbo globular y base anillada. Superficie beige sin tratamiento y base anaranjada por apilamiento. Pasta sandwich beige y naranja sin desgrasante. Diámetro del borde 6,8 cm Diámetro de base 3,6 cm Altura 8,4 cm.
- (4) (nº inv. 406) base de Ungüentario fusiforme, diam., pie 2,5 cm. diam. máximo, 3,8; altura conservada 8,5 cm. Pasta gris sin desgrasante ni inclusiones.
- (5) (nº inv. 407) Cerámica Campaniense beoide, forma Lamb. 2 Diámetro de borde, 11 cm. altura conservada, 3,7 cm. Pasta beige amarillenta, barniz mate.
- (6) (nº inv. 408) Cerámica común romana. Base cóncava, galbo globular, pasta marrón quemada, desgrasante grueso y abundante. Diámetro, 7 cm, altura conservada, 9,1 cm.
- (7) (nº inv. 485) Ánfora greco-italica, fragmentos del borde, diámetro de boca, 14 cm, altura conservada, 7,5 cm. Pasta de Apulia.
- (8) (nº inv. 486) Ánfora greco-italica, fragmento del borde, diámetro de boca, 15 cm, altura conservada, 7 cm. Pasta campana.
- (9) (nº inv. 487) Ánfora Dressel 1 A, fragmentos del borde, boca parte del cuello y arranque de asa, diámetro de boca, 15 cm, altura conservada, 13 cm. Pasta campana.
- (10) (nº inv. 488) Ánfora Dressel 1 A, fragmento del borde, boca y parte del cuello, altura conservada de 7,5 cm. Pasta campana.
- (11) (nº inv. 489) Ánfora greco-italica de transición, fragmentos del borde, boca, parte del cuello y arranque de asa. Diámetro de boca 15 cm. Altura conservada, 12,3 cm. Pasta campana con engobe amarillento.

- (12) (nº inv. 490) Ánfora Dressel 1 A, fragmentos del borde, boca y parte del cuello, diámetro de boca, 12 cm, altura conservada, 11 cm. Pasta campana.
- (13) (nº inv. 491) Ánfora Dressel 1 A, fragmentos del borde, boca parte del cuello y arranque de asa, diámetro de boca, 15 cm, altura conservada, 13 cm. Pasta campana.
- (14) (nº inv. 492) Ánfora greco-italica de transición, fragmento del borde y cuello, diámetro de boca, 14 cm, altura conservada, 6 cm. Pasta campana.
- (15) (nº inv. 493) Ánfora Dressel 1 A, fragmentos del borde, boca y parte del cuello, diámetro de boca, 12 cm, altura conservada, 11 cm. Pasta campana.
- (16) (nº inv. 494) Ánfora Dressel 1 A, fragmentos del borde, boca y parte del cuello, diámetro de boca, 14 cm, altura conservada, 9 cm. Pasta campana.
- (17) (nº inv. 495) Ánfora Dressel 1 A, fragmentos del borde, boca y parte del cuello, diámetro de boca, indet., altura conservada, 7,6 cm. Pasta campana, engobe amarillento.
- (18) (nº inv. 496) Ánfora greco-italica de transición, fragmento del borde y cuello, diámetro de boca, 15 cm, altura conservada, 4,3 cm. Pasta campana.
- (19) (nº inv. 497) Ánfora greco-italica de transición, fragmento del borde y cuello, diámetro de boca, 14 cm, altura conservada, 7 cm. Pasta campana.
- (20) (nº inv. 498) Ánfora greco-italica de transición, fragmento del borde y cuello, diámetro de boca, 16 cm, altura conservada, 6 cm. Pasta adriática.
- (21) (nº inv. 499) Ánfora Dressel 1 A, fragmento del borde y cuello, diámetro de boca, 15 cm, altura conservada, 13,5 cm. Pasta campana.
- (22) (nº inv. 500) Ánfora greco-italica de transición, fragmento del borde y cuello, diámetro de boca, 15 cm, altura conservada, 3 cm. Pasta adriática.
- (23) (nº inv. 501) Ánfora Dressel 1 A, fragmento del borde y cuello, diámetro de boca, 14 cm, altura conservada, 3,3 cm. Pasta campana.

Cerámica no vascular:

- (3) (nº Interés Museístico 0630) Fusayola troncocónica con cabeza. Pasta gris sin desgrasante. Diámetro de base 3,5 cm Altura 3,2 cm Diámetro de la cabeza 1,9 cm.
- (nº interés Museístico 0935) Fusayola troncocónica con cabeza. Dimensiones: 3 x 3,4 cm.

Metales:

- (24) (sin nº interés Museístico) *Strigilis* de hierro completo. El rascador (*ligula*) es una hoja acanalada y curvada que forma un ángulo recto con el asa (*capulus*); ésta es plana y curvada formando un rectángulo de dos lados paralelos unidos por los extremos con el mango. Su estado de conservación es muy oxidado pero completo. Dimensiones aproximadas: 30 cm de largo x 2,5 de ancho.
- (25) (nº interés Museístico 0926) Amuleto fálico de bronce, en mal estado de conservación. Representa los órganos reproductores masculinos. Dimensiones 1,6 x 0,8 cm.
- (nº de inventario 584) Varios fragmentos del rascador o cuchara (*ligula*) de un *strigilis* de hierro. El fragmento más grande mide 6,7 x 2,7 cm.

5.3.2 Fase republicana siglo I a.C.

El final de la fase anterior y el inicio de la nueva se caracteriza por una nueva nivelación del suelo funerario a través de una capa de tierra de naturaleza antrópica, donde se ubican la mayor parte de las tumbas del s. I a.C. La construcción de una calzada y el hallazgo de tumbas en estratos antrópicos, y la presencia de hasta tres *ustrina*, suponen el fósil director del horizonte funerario para la fase republicana reciente.

TUMBAS DE INHUMACIÓN (Lámina 5.28)

91. TUMBA DE INHUMACIÓN 1276

Tumba primaria de inhumación localizada en el sector S.O de la excavación.

Esqueleto U.E 1276, corresponde a un individuo varón adulto con una edad comprendida entre los (39-44 años), enterrado en deposición de decúbito supino y orientado S-N. Esqueleto en mal estado de conservación y muy fragmentado. El fémur izquierdo aparece junto al tórax y un fragmento de tibia junto al cráneo, la extremidad superior derecha semiflexionada sobre la cadera y la extremidad superior izquierda extendida. Conserva parte del húmero, cúbito y radio izquierdos. El índice de conservación es del 84%.

Estatura estimada en 168-171 cm según las tablas y fórmulas de regresión de Manouvrier y Trotter y Glesser a partir de la longitud máxima de radio derecho de 217 mm y cúbito derecho de 265 mm.

Evidencias de mortaja a nivel de hombros.

Descomposición en medio colmatado.

Desde un punto de vista patológico:

1. Salud bucodental: caries en molares de maxilar, hipoplasias del esmalte.
2. Patología metabólica: hiperóstosis frontal y parieto-occipital.
3. Patología degenerativa: ligeros signos artrósicos en raquis y costovertebrales; ligera espondiloartrosis en L4, L5.

Marcadores de actividad a nivel de cintura escapular, miembros superiores e inferiores.

Variante anatómica: agujero supraorbitario izquierdo.

92. TUMBA DE INHUMACIÓN 1275

Tumba primaria de inhumación ubicada en el sector N.O de la excavación.

Fosa, imposible de delimitar puesto que fue alterada por dos fosas medievales.

Relleno, de tierra arcillosa con restos de carbones y malacofauna. Aparecen numerosos fragmentos de cerámica: común romana e ibérica, y un fragmento de borde perteneciente a una Dressel1B.

Esqueleto U.E 1275, corresponde a un individuo varón, adulto joven (20-40 años), enterrado en deposición de decúbito supino y orientado O-E. Sólo conservaba parte del tórax, ambos húmeros, con inserciones musculares muy marcadas y del cráneo un canino del maxilar. El índice de conservación es del 17,5%.

Estatura indeterminada.

Descomposición en medio colmatado.

Desde un punto de vista patológico:

1. Salud bucodental: hipoplasias del esmalte en la única pieza existente (1.3).
2. Patología degenerativa: signos artrósicos en columna dorsal y torácica, cavidades Schmorl y osteofitosis generalizada desde T10 hasta L2.

Marcadores de actividad a nivel de cintura escapular, miembros superiores.

93. TUMBA DE INHUMACION (2130, 2131, 2132) (Lámina 5.29)

Tumba primaria de inhumación ubicada en el sector central de la excavación.

Fosa U.E 2132, orientada E-O, de forma rectangular. Las dimensiones de la fosa son 2,22 x 0,40 x 0,33 m.

Relleno U.E 2130, que colmata la fosa está formado por una tierra de textura arcillosa de color marrón, con abundantes carbones, caracoles, nódulos de tierra rojiza rubefacta y cerámica: fragmentos de ánfora itálica, cerámica común romana, y un fragmento de base de un posible vaso de Paredes Finas. Aparece también un remache de hierro, posiblemente perteneciente a un escudo.

Metales

-(1) (nº de inventario 525) Remache de hierro. Consiste en una lámina de poco más de medio cm de espesor atravesada en el extremo, redondeado, por un clavo también de hierro de cuerpo corto (1,7 cm) y cabeza de unos 3 cm de diámetro.

Esqueleto U.E 2131, corresponde a un individuo adulto de sexo varón, con una edad comprendida entre los 30-35 años, orientado E-O. Su aspecto general es de huesos robustos con inserciones musculares marcadas. Estaba enterrado en deposición de decúbito supino, con la cabeza boca arriba y ligeramente levantada. La extremidad

superior derecha semiflexionada sobre el abdomen, la extremidad superior izquierda flexionada sobre el pecho, con el húmero apoyado en la pared de la fosa. Las extremidades inferiores están extendidas con los pies juntos. El índice de conservación es del 73,5%.

Estatura estimada entre 168-176 cm según las tablas y fórmulas de regresión de Manouvrier y Trotter y Glesser a partir de la longitud máxima de radio derecho de 256 mm y fémur izquierdo de 457 mm.

Evidencias de mortaja en cintura escapular, miembros superiores e inferiores.

Descomposición del cuerpo en medio vacío.

Desde un punto de vista patológico:

1. Patología bucodental: caries en piezas dentales (1.6, 2.5, 3.6), hipoplasias del esmalte.
2. Patología carencial: porosis endocraneal frontal.
3. Patología traumática: callo de fractura en parrilla costal, miositis osificante húmero derecho.
4. Patología degenerativa: artrosis bilateral de codo, artrosis coxo-femoral, artrosis de rodilla bilateral, articulación calcáneo astragalina derecha, artrosis de primera falange del primer dedo pie derecho. Hernias discales en columna torácica.
5. Patología infecciosa: periostitis en miembros superiores (húmeros, cúbitos), destrucción de cuerpos vertebrales, abscesos en vértebras lumbares, discitis en todos los cuerpos vertebrales dorsales bajos. Mal de Pott (TBC).

Marcadores de actividad a nivel de cintura escapular, cintura pélvica, miembros superiores e inferiores.

94. TUMBA DE INHUMACIÓN (3049, 3112, 3111, 3113, 3050)

Tumba primaria de inhumación, *ad Enchytrismoi*, enterramiento en ánfora, localizado en el sector Norte de la excavación.

Fosa U.E 3050, de forma rectangular, orientada Este-Oeste que conserva unas dimensiones de 0'50 x 0'20 x 0,79 m.

Relleno U.E 3049, estaba formado por un estrato arenoso con presencia de carbones y caracoles en escasa cantidad. Por debajo de este estrato había restos de un ánfora U.E 3111, de tipo indeterminado, de la que solo se ha conservado parte del galbo.

Esqueleto U.E 3113, corresponde a un individuo neonato de sexo indeterminado. Orientación E-O. En muy mal estado de conservación, tan solo se han documentado

restos de calota craneal. El índice de conservación del esqueleto se ha establecido en un (1,5%).

Sin hallazgos paleopatológicos.

95. TUMBA DE INHUMACIÓN (3011, 3012)

Las siguientes unidades estratigráficas pertenecen a una posible inhumación de la que se ha podido documentar parte de la fosa y su relleno. Según la ubicación de esta estructura, con toda probabilidad el resto de fosa se prolongue por debajo de la calle Quart, sin excavar en su totalidad.

Fosa U.E 3012, orientada S-N es de forma alargada y se encuentra excavada en el estrato arenoso característico de la necrópolis, conserva unas medidas de 1'40 x 0'10 x 0,15 m.

Relleno U.E 3011, estaba compuesto por una tierra de textura areno arcillosa con presencia de caracoles, carbones y material cerámico formado por fragmentos de cerámica común romana.

96. TUMBA DE INHUMACIÓN (3127, 3128, 3129)

Tumba primaria de inhumación localizada en el sector Este de la excavación.

Fosa U.E 3129, de forma alargada, estaba orientada E-O y conservaba unas medidas de 0'50 x 0'40 x 0,129 m.

Relleno U.E 3127, estaba compuesto por tierra de textura areno arcillosa compuesta por carbones y malacofauna de forma aislada. No se han documentado restos cerámicos.

Esqueleto U.E 3128, corresponde a un individuo adulto, con un rango de edad adulto joven, pudiéndose establecer en una horquilla de edad comprendida entre los 20 y 40 años. Sexo mujer. Presentaba una orientación E-O y estaba enterrado en deposición de decúbito supino. Tan solo conserva parte del tórax y la diáfisis del húmero derecho. El índice de conservación del esqueleto se ha establecido en un (20,5%).

Edad: en el rango adulto joven, pudiéndose establecer en un rango de edad comprendida entre los 20-40 años a partir de los métodos empleados y relacionados a continuación.

Métodos:

1. Cuarta costilla (articulación condrocostal): Fase 4: 24-32 años.

Sexo: posible mujer determinada dicha estimación a partir de las características morfológicas de gracilidad de los miembros conservados y por los espesores de la cortical de diferentes miembros según Gejvall, (1980).

- Gracilidad de miembros.
- Espesor del tercio medio del húmero: 3,87 mm.
- Espesor del tercio medio del radio: 2,46 mm.

Estatura indeterminada.

Evidencias de mortaja a la altura de los hombros de acuerdo con la deposición del húmero junto al tórax.

Descomposición en medio colmatado.

Complexión anatómica: grácil.

Lateralidad indeterminada.

Desde un punto de vista patológico destacan:

1. Patología degenerativa: ligera artrosis costo-vertebral; protusiones de Schmorl en vértebras torácicas T10-T11 y T-11, T-12.

No se han observado marcadores de actividad en miembros superiores e inferiores ni variantes anatómicas epigenéticas.

97. TUMBA DE INHUMACIÓN (3179, 3180, 3181)

Tumba primaria de inhumación localizada en el sector Oeste de la excavación.

Fosa U.E 3181, de forma rectangular conserva unas medidas de 0'68 x 0'28 x 0,9 m.

Relleno U.E 3179, estaba compuesto por un estrato de tierra de textura arenosa arcillosa con abundante presencia de carbones, malacofauna y material cerámico formado por fragmentos de cerámica común romana, de cocina, un fragmento de galbo de ánfora indeterminada y un asa quemada de cerámica común romana.

Esqueleto U.E 3180, corresponde a un individuo adulto, con un rango de edad adulto joven, pudiéndose establecer en una horquilla de edad comprendida entre los 20 y 40 años. Sexo varón. Presentaba una orientación E-O y estaba enterrado en deposición de decúbito supino. Tan solo permanecen las extremidades inferiores, extendidas y paralelas entre sí. El índice de conservación del esqueleto se ha establecido en un (4%).

Sexo: posible varón determinada dicha estimación a partir de las características morfológicas de robustez de los miembros conservados.

Estatura 158 cm, según longitud máxima de tibia izquierda (335 mm): 1,590 cm. Se han empleado las tablas y fórmulas regresivas de Manouvrier.

Evidencias de mortaja a nivel de rodillas.

Descomposición en medio colmatado.

Complexión anatómica: robusta.

Lateralidad derecha, fundamentalmente objetivada por la presencia de mayor desarrollo de las entesopatías de extremidades inferiores.

Sin hallazgos paleopatológicos.

Marcadores de estrés ocupacional: indicadores de una biomecánica relacionada con una actividad continuada de brazos y piernas como consecuencia de sus actividades laborales u ocupacionales:

1. Entesopatía del músculo pectoral mayor derecho grado intenso.
2. Hipertrofia humeral derecha, grado intenso.
3. Entesopatía del músculo. Braquioradial derecho, grado intenso.
4. Entesopatía del ligamento rotuliano tibial, grado intenso.
5. Entesopatía del músculo sóleo tibial derecho en grado moderado.
6. Retroversión tibial derecha, grado moderado.
7. Entesopatía tendón de Aquiles derecho, grado intenso.

Variantes anatómicas epigenéticas: No se observan.

98. TUMBA DE INHUMACIÓN (3201, 3202, 3203)

Tumba primaria de inhumación localizada en el sector Oeste de la excavación.

Fosa U.E 3203, de forma rectangular, conservaba la parte de la tumba donde se alojan los pies 0'30 x 0'20 x 0,9 m.

Relleno U.E 3201, estaba compuesto por un estrato de textura areno arcillosa, con abundante presencia de carbones, malacofauna y material cerámico formado por: un fragmento de borde de cerámica campaniense; un fragmento sin forma de cerámica común romana y una base de plato de cerámica común romana.

Esqueleto U.E 3202, corresponde a un individuo adulto, con un rango de edad adulto joven, pudiéndose establecer en una horquilla de edad comprendida entre los 30-40 años. Sexo posible varón. Presentaba una orientación E-O y estaba enterrado en deposición de decúbito supino. En general, muy mal conservado. Solo conservaba ambos pies. El índice de conservación del esqueleto se ha establecido en un (16 %).

Sexo: posible varón determinada dicha estimación a partir de las características morfológicas de robustez de los miembros conservados.

Evidencias de mortaja a la altura de los tobillos.

Descomposición en medio colmatado.

Complejión anatómica: robusta.

Lateralidad indeterminada.

Desde un punto de vista patológico destacan:

1. Patología degenerativa: artrosis con eburnación de cabeza del primer metatarsiano derecho e izquierdo.

Marcadores de estrés ocupacional:

1. Entesopatía de la inserción del tendón de Aquiles izquierdo en grado moderado.

Variantes anatómicas epigenéticas: No se observan.

99. TUMBA DE INHUMACIÓN (3105, 3106, 3107)

Tumba primaria de inhumación localizada en el sector Este de la excavación.

Fosa U.E 3107, de forma rectangular,

Relleno U.E 3105, estaba compuesto por un estrato de textura arenosa, con abundante presencia de carbones, malacofauna y hueso quemado, probablemente humano.

Esqueleto U.E 3106, corresponde a un individuo adulto, con un rango de edad adulto joven, pudiéndose establecer en una horquilla de edad comprendida entre los 20-40 años. Sexo posible mujer. Presentaba una orientación S-N y estaba enterrado en deposición de decúbito supino. Solo se conservan restos de cráneo (región frontal y ambos temporales-parietales), tres fragmentos costales y un cuerpo vertebral no identificado. En general, muy mal conservado. El índice de conservación del esqueleto se ha establecido en un (4,5%).

Sexo: posible mujer determinada dicha estimación a partir de las características morfológicas de robustez de los miembros conservados y por los espesores de la cortical de diferentes miembros según Gejvall, (1980).

- Gracilidad de miembros.
- Máximo espesor díploe frontal-parietal: 6,5-8 mm.

No se observan evidencias de mortaja.

Descomposición en medio colmatado.

Complejión anatómica: grácil.

Lateralidad indeterminada.

Desde un punto de vista patológico destacan:

2. Patología metabólica, nutricional, carencial: leve porosis frontal y supraciliar.

Marcadores de estrés ocupacional: no se observan.

Variantes anatómicas epigenéticas: No se observan.

CREMACIONES DEL SIGLO I a.C.

100. *LOCULUS* (1241, 1242)

Cremación secundaria.

Fosa U.E 1241, de planta hemiesférica. Dimensiones conservadas de 0,55 x 0,40 x 0,10 m.

Relleno U.E 1242, compuesto por tierra de textura arenosa con abundante presencia de carbones, cenizas y restos sueltos de hueso quemado.

Urna: Urna piriforme de cerámica pintada ibérica arrasada hacia el cuello, con dos arranques de asas verticales a ambos lados. En su interior se encontraban los restos óseos del individuo.

Estudio antropológico:

Los restos óseos corresponden a partes craneales y esqueleto postcraneal haciendo un total de 116,78 gr.

La calidad de la combustión fue intensa alcanzándose una temperatura de más de 600°C.

Datos ponderales: neurocráneo (7.16 gr); esplacnocráneo (0.04 gr), cintura escapular y pelvis (0.0 gr); costillas y esternón (2.36 gr), vértebras (2.90 gr); huesos largos (24.44 gr), manos y pies (1.06gr); restos no identificables (73.02gr); hueso esponjoso libre (5.80 gr).

NMI: un individuo

Sexo: indeterminado.

Edad: Infantil I (0-2 años).

Patologías: No se observaron aspectos paleopatológicos.

Ajuar:

- Tres cubiletes de paredes finas, forma Mayet I y II.

101. *LOCULUS* (1227, 1228)

Cremación secundaria.

Fosa U.E 1227, de planta hemiesférica. Dimensiones conservadas de 1 x 0,64 x 0,40 m.

Relleno U.E 1228, compuesto por tierra de textura arenosa con abundante presencia de carbones, cenizas y restos sueltos de hueso quemado. Pequeña urna piriforme arrasada hacia el cuello, con dos arranques de asas verticales a ambos lados.

Sin restos antropológicos conservados para su estudio de laboratorio.

102. LOCULUS (1205, 1206)

Cremación secundaria situada en el sector Norte de la excavación.

Fosa UE 1206, de planta hemiesférica con un diámetro de 50 cm.

Relleno UE 1205, estaba compuesto por tierra de textura areno-arcillosa, con carbones de gran tamaño, restos de fauna y huesos humanos calcinados. En el interior, una urna, un vaso de cerámica de cocina gris con un puñado simbólico de huesos calcinados. En el fondo había 4 ungüentarios quemados.

Estudio antropológico:

Los restos óseos corresponden a partes craneales y esqueleto postcraneal haciendo un total de 168,59 gr.

La calidad de la combustión fue intensa alcanzándose más de 600°C.

Datos ponderales: neurocráneo (38.93 gr); esplanocráneo (2.38gr), costillas y esternón (10,16gr), huesos largos (93,37gr), restos no identificables (22,81gr),

NMI: un individuo

Sexo: probable varón

Edad: adulto (20-40 años)

Patologías: No se observaron aspectos paleopatológicos.

Fauna:

Los restos asociados a esta cremación son tres astrágalos no quemados: dos derechos y uno izquierdo de oveja (*Ovis aries*). La estructura ósea está bastante alterada tanto es así que alguna de las piezas casi ha perdido toda la cortical. Debido a estas modificaciones, consecuencia de las características del sedimento, resulta difícil apreciar las marcas antrópicas, es decir las marcas de carnicería y otras marcas de manipulación. Tan sólo en un astrágalo derecho se observa, en la faceta lateral una abrasión de la superficie, también en la superficie distal se distingue una ligera abrasión, que modifica una marca de carnicería (incisión fina de desarticulación). Los pulidos parciales de su superficie son consecuencia de su manipulación para transformarlo en una "taba".

Estos elementos, que no presentan signos de cremación, tal vez estaban relacionados con el ajuar funerario. Ya que el uso de los astrágalos con piezas de juego o como piezas para leer el oráculo, esta atestiguada desde épocas precedentes.

103. LOCULUS (1263, 1249) (Lámina 5.30)

Cremación secundaria localizada en el límite norte del cuadrante SE de la excavación.

Fosa U.E 1249, de planta circular, con dimensiones conservadas de 0,60 x 0,21 m.

Cremación localizada en el límite norte del cuadrante SE de la excavación.

Fosa U.E 1249, de planta circular, con dimensiones conservadas de 0,60 x 0,21 m.

Relleno U.E 1263, estaba formado por tierra marrón oscura, de textura arcillo-arenosa, con abundantes carbones, malacofauna, restos de tierra quemada y clavos de hierro. En la base del *loculus* se encontró una capa de tierra en la que se registró una presencia abundante de nueces carbonizadas y 5 caracoles de grandes dimensiones. Junto a estos elementos se documentaron restos de suido, no quemados, que cubrían los restos de un cubilete de paredes finas, con restos óseos calcinados en su interior y sin quemar. Este cubilete constituiría el receptáculo funerario.

Estudio antropológico:

Los restos óseos humanos, corresponden a partes craneales y esqueleto postcraneal haciendo un total de 121,72 gr.

La calidad de la combustión fue intensa alcanzándose una temperatura de más de 600°C.

Datos ponderales: neurocráneo (11.28 gr); esplacnocráneo (0.10 gr), cintura escapular y pelvis (5.25 gr); costillas y esternón (6.72 gr), vértebras (3.82 gr); huesos largos (71.50 gr), manos y pies (2.26 gr); restos no identificables (25.29 gr); hueso esponjoso libre (1.00 gr).

NMI: un individuo

Sexo: probable varón

Edad: adulto (20-60 años)

Patologías:

-Metabólica, carencial: hiperostosis frontal.

Ajuar

- (1) 17 Fragmentos de borde y cuerpo de cerámica que forman parte de una única pieza. Cubilete de paredes finas Mayet II. Pasta de color naranja, desgrasante calizo y micáceo muy fino. Diámetro de boca: 10 cm. No conserva la base.

- (2) 1 fragmento de borde correspondiente a un vaso cerámico de paredes finas.

Fauna:

Los restos de fauna, formaban parte del relleno del *luculus* y no estaban quemados.

Los huesos pertenecen a dos especies, un mamífero y un ave. Los restos de mamífero son de un cerdo (*Sus domesticus*) y pertenecen a un único individuo que no alcanzaría los 4 meses de edad. Los huesos identificados son todos de la parte izquierda del animal, del que se conservan un fragmento de cráneo, un maxilar, una mandíbula, una escápula, una pelvis, un fémur y cuatro fragmentos de costilla. Sobre la mandíbula y sobre el cráneo se aprecian marcas de carnicería.

Por lo que respecta al ave, los huesos son de un gallo (*Gallus gallus domesticus*) de corta edad. Contamos con una vértebra, un húmero derecho y un tibio-tarso izquierdo. No hemos observado marcas de carnicería sobre estos huesos, aunque hay que señalar que la cortical de los huesos está muy alterada por agentes edáficos.

Malacofauna:

Las especies de caracoles hallados y estudiados corresponden a las especies: *Cerņuella virgata* (1 individuo), *Cerņuella explanata* (1 individuo), *Pseudotachea splendida* (1 individuo), *Helix aspersa* (4 individuos) y 10 fragmentos de indeterminados.

La especie *Cerņuella virgata* y *explanata* son frecuentes en zonas abiertas con cierta humedad, presente en Valencia en zonas bajas próximas al litoral. La *Helix aspersa* es una especie consumida, presente en los 4 individuos de gran tamaño.

Antracología:

Formando parte de esta cremación, se recuperaron restos de carbones que han permitido hacer un estudio y valorar las especies empleadas para la combustión del finado.

Se han estudiado un total de 27 taxones entre los que se han podido diferenciar especies de madera pertenecientes a *Quercus caducifolio* en un 66,6% y de *Quercus perennifolio* en un 33,4%.

104. LOCULUS (1256, 1255) (Lámina 5.30)

Cremación secundaria localizada en el cuadrante S.E de la cata, junto al corte S.

Fosa UE.1255, de planta circular, en cuyo interior se han recuperados restos cerámicos pertenecientes tanto a la urna como a parte del ajuar y restos óseos humanos calcinados.

Relleno UE.1256, estaba formado por una tierra marrón, de textura arenosa, con abundantes carbones, piedras pequeñas, semillas carbonizadas (posiblemente nueces), escasos fragmentos de cerámica y huesos quemados. La urna cineraria es una olla de cerámica ibérica tosca. A su lado aparecen dos mitades de un plato gris de borde saliente y restos de una tinajilla de cerámica ibérica pintada. La olla ha proporcionado abundantes restos humanos calcinados que presentan un color gris azulado.

Estudio antropológico:

Los restos óseos corresponden a partes craneales y esqueleto postcraneal haciendo un total de 263.66 gr.

La calidad de la combustión fue intensa alcanzándose una temperatura entorno a los 300-500/600°C.

Datos ponderales: neurocráneo (43.23 gr); esplacocráneo (14.39 gr), cintura escapular y pelvis (18.09 gr); costillas y esternón (15.87 gr), vértebras (8.68 gr); huesos largos (114.38 gr), manos y pies (0.30 gr); restos no identificables (48.49 gr); hueso esponjoso libre (0.0 gr).

NMI: un individuo

Sexo: probable mujer.

Edad: adulto (20-40 años).

Patologías: No se observaron aspectos paleopatológicos.

Ajuar

-(1) (sin nº inv). Tinajilla ibérica pintada con decoración en la parte superior del galbo compuesta por caracteres de tipo geométrico en rojo vinoso: semicírculos concéntricos y trazos verticales en "S" con una banda fina y otra gruesa en la base de la com deposición. Diámetro de boca: 13,4 cm; diámetro de base: 10 cm. Fragmentada

-(2) (nº de interés museístico 0597). Plato de borde saliente. Imitación indígena en pasta gris de una forma Lamboglia 28/Lamboglia 22. Diámetro de boca 15'3 cm, diámetro base 5 cm, altura 5,2 cm.

-(3) (nº de interés museístico 0598). Olla ibérica de borde exvasado que según la tipología de Bonet y Mata pertenece a la clase B, subtipo 1.2. Diámetro de boca 11 cm, diámetro de base 6 cm, altura 11,5 cm.

105. LOCULUS (1258, 1257)

Cremación secundaria.

Fosa UE.1257, de forma circular con unas dimensiones aproximadas de 0,30 x 0,15 m.

Relleno U.E 1258, de textura arenosa, con abundante presencia de carbones y malacofauna. Hay que destacar la escasa presencia de material cerámico formando parte del relleno, ya que tan sólo se recuperó un fragmento de ánfora romana republicana de pasta itálica, Dressel 1A y una cuenta de pasta vítrea de color azul.

Fauna:

La fauna recuperada está compuesta por un fragmento diafisario de ave con un peso de 0,25gr, y un cóndilo seccionado de fauna con huella de carnicería quemado, color grisáceo con un peso (1,48 gr).

Estudio antropológico:

Los restos óseos recuperados corresponden a partes craneales y esqueleto postcraneal de dos individuos haciendo un total de 292,68 gr.

La calidad de la combustión fue intensa alcanzándose una temperatura de más de 600°C.

Datos ponderales: neurocráneo (61,30 gr); esplacnocráneo (3,72 gr), cintura escapular y pelvis (3,18 gr); costillas y esternón (28,73 gr), vértebras (42,97 gr); huesos largos (51,21 gr), manos y pies (2,97 gr); restos no identificables (89,71 gr); hueso esponjoso libre (8,89 gr).

NMI: probables dos individuos.

Sexo: indeterminado para ambos casos

Edad: un individuo infantil II (7-12 años); adulto joven (20-40 años)

Patologías: tejido reactivo en platillo de vértebra dorsal del individuo adulto.

106. LOCULUS (1268, 1269) (Lámina 5.31)

Cremación secundaria.

Fosa UE. 1269, de planta prácticamente cuadrada, orientada N-S, con unas dimensiones aproximadas de 0,44 x 0,40 x 0,7m.

Relleno U.E 1268, colmatado por una tierra marrón oscura, de textura areno arcillosa, con abundante presencia de carbones y cenizas, y restos de malacofauna, que acoge restos humanos y un numeroso conjunto cerámico.

Estudio antropológico:

Los restos óseos corresponden a partes craneales y esqueleto postcraneal haciendo un total de 419,21 gr.

La calidad de la combustión fue intensa alcanzándose una temperatura de más de 600°C.

Datos ponderales: neurocráneo (118,98 gr); esplanocráneo (0,40 gr), cintura escapular y pelvis (9,55 gr); costillas y esternón (27,81 gr), vértebras (14,74 gr); huesos largos (94,83 gr), manos y pies (8,59 gr); restos no identificables (126,45); hueso esponjoso libre (17,86 gr).

NMI: un individuo

Sexo: probable mujer

Edad: adulto (20-40 años)

Patologías:

1. Metabólica, carencial: hiperostosis frontal (11,24-12,01 mm).

Ajuar

- (1) (sin nº inv.) Perfil completo de una cerámica Campaniense Beoide *Montagna Pasquinucci 127/F3122* de Morel. Copa de dos asas verticales bífidas rematadas por un bucle, borde divergente, cuerpo semiesférico y pie anular bajo (Py et al., 1993). Pasta de color marrón claro muy depurada y el barniz es de color negro achocolatado y cubre la totalidad de la pieza. Morel clasifica esta pieza como una producción de carácter local o regional y fija su cronología en el siglo II a. C., puntualizando que más bien habría que situarla a mediados de ese siglo (Morel, 1981). Diámetro de boca 9 cm, Diámetro de base 10,5 cm, Altura 4,2 cm.
- (2) (sin nº inv.) Cerámica ibérica lisa. Fragmento de borde exvasado de cerámica común ibérica y pasta de color beige, diámetro de boca 10 cm. Probablemente se trate de una tinajilla (Mata y Bonet, 1992).
- (3) (sin nº inv.) Fragmentos de base y boca correspondientes a dos vasos de cerámica de paredes finas. Forma Mayet II (Mayet, 1975). Diámetro de boca 6 cm. Diámetro de base: 5 cm. Perfil fusiforme o globular y base plana o ligeramente convexa. La pasta de estas piezas es bastante depurada y ofrece una gama de colores que va del beige al naranja, pasando por el gris.

107. LOCULUS (1286, 1285)

Cremación secundaria.

Fosa UE.1285, de forma circular, ligeramente oval, con unas dimensiones de 0,49 x 0,36 x 0,20 m.

Relleno UE.1286, de textura arenosa con abundante presencia de tierra quemada de diferentes colores (amarillo, verdoso, anaranjado,...), y escasos puntos de cal. En este relleno se recuperó un fragmento de *pondus*, cerámica ibérica (parte de la base de un *kalathos* ibérico pintado y un fragmento de borde de un vaso caliciforme), cerámica común romana y un fragmento de ánfora itálica. Asimismo también se registraron frutos secos como bellotas o almendras carbonizadas.

Estudio antropológico:

Los restos óseos corresponden a partes craneales y esqueleto postcraneal haciendo un total de 85,85 gr.

La calidad de la combustión fue intensa alcanzándose una temperatura entre los 400-600°C.

Datos ponderales: neurocráneo (45,67 gr); esplacocráneo (0,00 gr), cintura escapular y pelvis (0,00 gr); costillas y esternón (0,89 gr), vértebras (1,10 gr); huesos largos (9,93 gr), manos y pies (0,00 gr); restos no identificables (26,25 gr); hueso esponjoso libre (2,01 gr).

NMI: dos individuos.

Sexo: indeterminado.

Edad: neonato y un adulto (20-60 años).

Patologías: No se observaron aspectos paleopatológicos.

Sin ajuar funerario.

108. LOCULUS (1305, 1306)

Cremación secundaria localizada en el cuadrante S.E. de la excavación.

Fosa UE.1306, de planta circular, con unas medidas conservadas de 0,28 x 0,22 m.

Relleno UE.1305, estaba formado por tierra marrón, de textura areno arcillosa, ennegrecida por la gran presencia de carbones, en la que también se ha documentado la presencia de malacofauna y restos óseos humanos.

Estudio antropológico:

Los restos óseos corresponden a partes craneales y esqueleto postcraneal haciendo un total de 5,87 gr.

La calidad de la combustión fue intensa alcanzándose una temperatura de más de 600°C.

Datos ponderales: neurocráneo (3,78 gr); esplacnocráneo (0,00 gr), cintura escapular y pelvis (0,00 gr); costillas y esternón (0,00 gr), vértebras (0,49 gr); huesos largos (1,58 gr), manos y pies (0,00 gr); restos no identificables (0,00 gr); hueso esponjoso libre (0,00 gr).

NMI: un individuo

Sexo: probable mujer

Edad: juvenil (13-20 años)

Patologías: No se observaron aspectos paleopatológicos.

Sin ajuar funerario.

109. LOCULUS (1324, 1323)

Cremación secundaria localizada en límite norte del cuadrante S.E de la excavación.

Fosa U.E 1323, a pesar del mal estado de conservación en el que se encontraba la fosa, conservaba unas dimensiones aproximadas de 0,75 x 0,70 x 0,29 m.

Relleño U.E 1324, estaba formado por una tierra marrón oscura, de textura arenosa arcillosa con abundantes carbones y restos de huesos humanos calcinados, pequeñas gravas y caracoles, y como material cerámico se recuperaron fragmentos informes de ánfora romana, cerámica ibérica y común romana, un fragmento de ungüentario y un cubilete de paredes finas, forma Mayet II .

Estudio antropológico:

Los restos óseos corresponden a partes craneales y esqueleto postcraneal haciendo un total de 38,94 gr.

La calidad de la combustión fue intensa alcanzándose una temperatura de más de 600°C.

Datos ponderales: neurocráneo (7,04 gr); esplacnocráneo (0,00 gr), cintura escapular y pelvis (0,00 gr); costillas y esternón (1,53 gr), vértebras (0,00 gr); huesos largos (25,95 gr), manos y pies (0,00 gr); restos no identificables (4,38 gr); hueso esponjoso libre (0,00 gr).

NMI: un individuo

Sexo: probable mujer

Edad: posible juvenil (13-20 años).

Patologías: No se observaron aspectos paleopatológicos.

Sin ajuar funerario.

110. LOCULUS (1350, 1349)

Cremación secundaria localizada en el cuadrante S.E de la excavación.

Fosa U.E1349, de forma rectangular, conservaba unas dimensiones aproximadas de 1,50 x 0,90 x 0,59 m y orientada de E.O.

Relleno U.E 1350, estaba compuesto por arenas, muy compactadas, con distintas tonalidades de rojos que parecían indicar la acción del fuego. Formando parte de este relleno aparecían pequeños carbones y huesos quemados muy fragmentados. Junto al corte Este, se documentó una concentración de huesos, y junto a ésta se recuperaron un número indeterminado de cuentas de collar de pasta vítrea. El material cerámico es escaso y estaría formado por un borde de ungüentario, y fragmentos informes de cerámica común romana.

Sin restos antropológicos conservados para su estudio de laboratorio.

Sin ajuar funerario.

111. LOCULUS (1377, 1378)

Cremación secundaria localizada junto al corte Este de la excavación

Fosa U.E 1377, de forma circular.

Relleno U.E 1378, estaba compuesto por una tierra arenosa con carbones en grado medio, caracoles aislados, escasas gravas de pequeño tamaño y un fragmento de escoria de metal. Restos óseos humanos quemados de color blanco-azulado.

Sin restos antropológicos conservados para su estudio de laboratorio.

Sin ajuar funerario.

112. LOCULUS (1465)

Cremación secundaria localizada en el corte N.E de la excavación.

Fosa, muy afectada por estructuras posteriores.

Relleno U.E 1465, El relleno está formado por una tierra arcillosa oscura con abundancia de carbones, caracoles necrófagos. Como material cerámico nos encontramos con fragmentos de ánfora itálica. Debido a su localización en el corte solo hemos podido excavar parte de su relleno.

Sin restos antropológicos conservados para su estudio de laboratorio.

Sin ajuar funerario.

113. **LOCULUS (2107, 2107b)**

Cremación secundaria localizada en el corte O de la excavación, amortizando uno de los *ustrina* situados de dicho sector. No se aprecia claramente un *loculus*, como si formara parte del relleno de amortización del *ustrinum* 2047.

Urna 2107, corresponde a una tinajilla ibérica de labio moldurado, con decoración geométrica de bandas y círculos concéntricos, tapado con una patera de borde reentrante. En mal estado de conservación.

Relleno 2107b, estrato de tipo areno arcilloso con presencia de huesos calcinados y malacofauna hallado en el interior de la urna de cremación 2107.

Estudio antropológico:

Los restos óseos humanos corresponden a partes craneales y esqueleto postcraneal haciendo un total de 65,91 gr.

La calidad de la combustión fue intensa alcanzándose una temperatura de más de 600°C.

Datos ponderales: neurocráneo (0,46 gr); esplacnocráneo (0,00 gr), cintura escapular y pelvis (0,00 gr); costillas y esternón (2,96 gr), vértebras (5,17 gr); huesos largos (21,75 gr), manos y pies (0,87 gr); restos no identificables (7,30 gr); hueso esponjoso libre (1,03 gr).

NMI: un individuo

Sexo: Indeterminado

Edad: juvenil (13-20 años)

Patologías: No se observaron aspectos paleopatológicos.

Fauna:

Los restos que proceden del relleno del interior de la urna pertenecen a un cerdo menor de tres años. Los huesos son un fémur distal izquierdo no fusionado, un fragmento de vértebra y 19 fragmentos de cráneo. Todos ellos están calcinados y presentan una coloración blanca. Sobre ellos no hemos apreciado marcas de carnicería, en parte debido a la cremación que han sufrido.

Malacofauna:

Los restos de caracoles estudiados en el interior de la urna son: *Ferussacia follicula* (1 individuo); *Rumina decollata* (1 individuo sin ápice); *Discus rotundatus* (1 individuo); *Cernuella virgata* (1 individuo); *Cernuella explanata* (1 individuo); *Theba pisana* (5 individuos).

114. LOCULUS (2055, 2056)

Cremación secundaria localizada en el sector central de la excavación.

Fosa U.E 2056, de forma elíptica conservaba unas medidas aproximadas de 0.20 x 0.50 x 0,11 m.

Relleno U.E 2055, está compuesto por una tierra areno arcillosa de color marrón oscura con gran cantidad de carbones. Se trata de una cremación de pequeño tamaño con escasos restos óseos todos o mayoritariamente de coloración blanquecina. Entre el material cerámico destaca un fragmento de ánfora sin quemar, restos informes de metal y un ungüentario de pequeño tamaño aparentemente no expuesto al fuego.

Estudio antropológico:

Los restos óseos corresponden a partes craneales y esqueleto postcraneal haciendo un total de 23,63 gr.

La calidad de la combustión fue intensa alcanzándose una temperatura de más de 600°C.

Datos ponderales: neurocráneo (0,00 gr); esplacocráneo (0,00 gr), cintura escapular y pelvis (0,00 gr); costillas y esternón (0,97 gr), vértebras (0,00 gr); huesos largos (17,52 gr), manos y pies (1,83 gr); restos no identificables (3,31); hueso esponjoso libre (0,00 gr).

NMI: un individuo.

Sexo: indeterminado.

Edad: juvenil (13-20 años).

Patologías: No se observaron aspectos paleopatológicos.

Metales:

- (nº de inventario 515). Objeto indeterminado de bronce.

115. LOCULUS (2110, 2111)

Cremación secundaria.

Fosa U.E 2110, de forma irregular.

Relleno U.E 2111, contiene carbones, huesos, cenizas y fragmentos de ánforas itálicas.

Sin restos antropológicos conservados para su estudio de laboratorio.

116. **LOCULUS (2126, 2127)**

Cremación secundaria ubicada en el sector O de la excavación.

Fosa U.E 2127, de planta circular, conserva unas dimensiones de 0,50 × 0,36 x 0,20 m.

Relleno U.E 2126, compuesto por una tierra areno arcillosa con una coloración rojiza y negruzca que ayudó a detectar los límites de la fosa. La textura es arcillosa muy compactada, mezclada con carbones y fragmentos de huesos calcinados prácticamente triturados como consecuencia de la acción del fuego. Al profundizar, la tierra se vuelve más arenosa con un color más claro debido al contacto con las paredes de la fosa.

Estudio antropológico:

Los restos óseos corresponden a partes craneales y esqueleto postcraneal haciendo un total de 207,09 gr.

La calidad de la combustión fue intensa alcanzándose una temperatura de más de 600°C.

Datos ponderales: neurocráneo (8,31 gr); esplanocráneo (0,56 gr), cintura escapular y pelvis (18,09 gr); costillas y esternón (19,37 gr), vértebras (12,37 gr); huesos largos (66,98 gr), manos y pies (1,40 gr); restos no identificables (79,07 gr); hueso esponjoso libre (0,88 gr).

NMI: dos individuos.

Sexo: probable mujer para el individuo adulto.

Edad: Infantil I (0-6 años); adulto joven (20-40 años).

Patologías: No se observaron aspectos paleopatológicos.

Ajuar:

Metales:

Durante la excavación del relleno se recuperó restos de un *strigilis*.

- (nº de inventario 524) Mango (*capulus*) de un *strigilis* de hierro. Dimensiones conservadas: 13 x 3 cm.

117. **BUSTUM (2133, 2134)**

Cremación primaria.

Fosa U.E 2134, localizado en el sector central de la excavación, afectado en parte por una tumba (2130 2131 2132), de forma cuadrada y con las esquinas redondeadas. Las dimensiones conservadas son de 0,85 x 0,40 x 0,45 m

Relleno U.E 2133, estaba formado por una tierra arenosa con manchas de tierra rubefacta y nódulos de color verde endurecidos por la acción del calor, con numerosos fragmentos de ánfora itálica Dressel1A, varios fragmentos de cerámica común romana, ollita de cocina, ungüentario roto sin quemar y un recipiente cerámico sin identificar. Junto a los huesos aparece escoria de hierro y un fragmento de *strigilis*.

Se identificaron escasos restos antropológicos formando parte del relleno, y en la base de la cremación.

Rodeando el *bustum* se aprecia una mancha de color rojizo, posiblemente debida a la propagación del calor por el fuego realizado en el *bustum*.

Estudio antropológico:

Los restos óseos corresponden a partes del esqueleto postcraneal haciendo un total de 1,92 gr.

La calidad de la combustión fue débil alcanzándose una temperatura entre 250-300°C.

Datos ponderales: neurocráneo (0,00 gr); esplacnocráneo (0,00 gr), cintura escapular y pelvis (0,00 gr); costillas y esternón (0,00 gr), vértebras (0,00 gr); huesos largos (0,00 gr), manos y pies (0,65 gr); restos no identificables (1,27 gr); hueso esponjoso libre (0,00 gr).

NMI: un individuo

Sexo: indeterminado.

Edad: adulto (20-40 años)

Patologías: No se observaron aspectos paleopatológicos.

Ajuar:

Metales:

- (nº de inventario 526) restos de escoria de hierro.

- (nº de inventario 527) parte de un *strigilis* de hierro. Se conserva un fragmento del mango con el arranque de la cuchara. Dimensiones conservadas: 9,8 x 2,5 cm aprox.

118. LOCULUS (2228, 2229, 2263, 2264) (Lámina 5.32)

Cremación secundaria localizada en el sector Oeste de la excavación formada por una fosa (UE 2229), en cuyo interior se localizaba una urna (UE 2264), en cuyo interior había un relleno (UE 2263) con los restos antropológicos del finado acompañado de ajuar funerario. El intersticio presente entre la urna y la fosa estaba compuesto por un relleno (UE 2228) con materiales como resultado del ritual de la cremación practicado.

Fosa U.E 2229, de forma más o menos circular, de 0,52 x 0,40 x 0,48 m de profundidad.

Relleño U.E 2228, compuesto por tierra algo compacta de color marrón oscuro o negruzca debido a que se encuentra afectada por el fuego. Está compuesta por carbones, (madera y al menos un fruto seco quemado, seguramente una avellana) pequeños nódulos de cal, abundante hueso quemado de coloración que va del blanco al azul y negro, que conservan un tamaño considerable (hasta 4 ó 5 cm), seguramente de origen animal.

En este estrato aparecen también piedras de distintos tamaños, algunas de ellas quemadas, así como abundante material malacológico y cerámico: varios fragmentos de cerámica de Barniz negro (Campaniense B, forma Lamb.2, y Campaniense A), una base y un cuello de ungüentario quemado, cerámica de cocina, ánfora greco-italica, una fusayola, una cuente de pasta vítrea, un pequeño cuenco y un brazalete formado por dos hilos de cobre trenzados, un clavo (ver infra) y la impronta de un recipiente realizado con materia vegetal (esparto o similar).

Ajuar:

Los materiales de 2228

Cerámicas:

- (1) (nº Interés Museístico 0648) Cerámica ibérica lisa. Paterita forma A III 8.2.2 de Bonet y Mata. Borde reentrante, galbo bitroncocónico y base anillada. Pasta y superficie beige con inclusiones micáceas finas y abundantes. Diámetro de boca 6,8 diámetro de base 3,4. Altura 2,5.
- (2) (nº Interés Museístico 0649) Campaniense B de Cales, forma 2614 f1 de Morel, equivalente a Lamb. 28 A b. Barniz negro espeso, intenso y mate, pasta beige oscuro. Diámetro de boca 13 cm, Altura conservada, 4,2 cm.
- (nº inv. 427) Ungüentario, fragmento de base. Diámetro de la boca, 3 cm.
- (nº inv. 428) Ungüentario, fragmento de base. Diámetro de la boca, 2,7 cm.

Metales:

- (nº de inventario 541) Punta de un posible clavo de hierro de pequeño tamaño y sección rectangular. Dimensiones conservadas: 4 cm. aprox. de largo. La sección es de 0,3 x 0,15 cm
- (3) (nº interés Museístico 0919) Brazalete formado por dos hilos de bronce de sección circular trenzados. Anchura máxima 5,2 cm. Grosor del hilo: unos 2 mm. Estado de conservación muy oxidado y partido.

Cerámica no vascular y pasta vítrea:

- (nº interés Museístico 0920) Fusayola bitroncocónica con cabeza de pasta vítrea de color azul marino con decoración en espiga alternando un color crudo o azulado con

el amarillo. Está completa aunque afectada, algo deformada en un lado, por el fuego. Altura 2,1 cm. Anchura máxima 2,25 cm.

- (nº interés museístico 0923) Fusayola acéfala bitroncocónica de cerámica. Altura 2,3 cm. Diámetro máximo 2,75cm.

Urna y plato tapadera U.E.2264, consistía en una vasija ibérica con hombro, decorada con pintura geométrica tapada con un plato de borde exvasado, también decorado en sus dos caras, colocado en deposición invertida.

- (4) (nº Interés Museístico 0642). Cerámica ibérica pintada. Tinajilla de cuerpo Tritroncocónico. Tinajilla de hombro, forma A 2.11 de Mata y Bonet. Labio engrosado, galbo tritroncocónico, base cóncava de ónfalo. Dos asas verticales acintadas cogidas al hombro. Decoración vegetal y geométrica color rojo vinoso. En la mitad superior, faja de metopas con motivos vegetales delimitada por una banda entre filetes. Los motivos vegetales combinan la hoja de hiedra con tallos y roleos con una flor de cuatro pétalos y centro con cruz. Diámetro de boca, Diámetro de base, Altura conservada.

- (5) (nº Interés Museístico 0643). Cerámica ibérica pintada. Plato de ala plana, forma A III 8.1.2 de Mata y Bonet. Labio biselado, galbo hemisférico y base alta. Decoración color rojo vinoso por ambas caras. En el ala, dientes de lobo a ambos lados, en el interior, friso de zigzag y tejadillos alternos entre series concéntricas de bandas y filetes. En el exterior, friso de semicírculos concéntricos delimitados por dos bandas concéntricas, superficie beige con alisado, pasta beige sin desgrasante. Diámetro de boca 23,7 cm, diámetro de base 7,1 cm, altura 6,3 cm.

Relleno int. urna: U.E 2263, compuesto por carbón, ceniza y hueso quemado en fragmentos muy pequeños, sobre todo ello se halló un ungüentario y un vaso caliciforme ibérico intacto y un clavo. En el fondo de la urna, bajo el estrato que la rellenaba se localizaban numerosas fusayolas.

Los restos antropológicos se hallaron durante la excavación del estrato 2263.

Estudio antropológico de la UE 2263:

Los restos óseos corresponden a partes craneales y esqueleto postcraneal de dos individuos haciendo un total de 121,13 gr.

La calidad de la combustión fue intensa alcanzándose una temperatura de más de 600°C.

Datos ponderales: neurocráneo (21,54 gr); esplacnocráneo (0,05 gr), cintura escapular y pelvis (0,00 gr); costillas y esternón (3,66 gr), vértebras (3,21 gr); huesos largos (85,97 gr), manos y pies (0,96 gr); restos no identificables (5.74 gr); hueso esponjoso libre (0.00 gr).

NMI: dos individuos (2263 A y 2263 B)

Sexo: indeterminado para ambos casos.

Edad: 2263 A adulto (20-40 años); 2263 B (infantil I (0-6 años).

Patologías: No se observaron aspectos paleopatológicos.

Estudio antropológico de la UE 2268:

Los restos óseos corresponden a partes craneales y esqueleto postcraneal haciendo un total de 15,03 gr.

La calidad de la combustión fue intensa alcanzándose una temperatura de más de 300-400°C.

Datos ponderales: neurocráneo (0,40 gr); esplacnocráneo (0,00 gr), cintura escapular y pelvis (0,00 gr); costillas y esternón (0,00 gr), vértebras (0,00 gr); huesos largos (14,05 gr), manos y pies (0,00 gr); restos no identificables (0,58 gr); hueso esponjoso libre (0,00 gr).

NMI: un individuo

Sexo: probable mujer

Edad: adulto indeterminado.

Patologías: No se observaron aspectos paleopatológicos.

Los materiales de 2263:

Cerámicas:

- (6) (nº interés Museístico 0622) Ungüentario fusiforme forma Lattes B10, Cuadrado tipo IV. Labio subtriangular, galbo fusiforme y base troncocónica de botón. Restos de engobe en el cuello y el labio. Pasta y superficie beige sin desgrasante aparente. Diámetro de boca 2,4 cm, Diámetro de base 2,4 cm, Diámetro máximo 4,5 cm. Altura 14,7 cm.

- (7) (nº interés Museístico 0623) Cerámica ibérica pintada. Vaso caliciforme Forma A 4.1 (Mata y Bonet, 1992). Vaso caliciforme de cuerpo globular carenado. Borde exvasado y base anillada. Pasta naranja intenso sin tratamiento, inclusiones micáceas y calcáreas finas y abundantes. Diámetro de borde 9,7 cm, Diámetro de base 4,6 cm, Diámetro máximo 8,8 cm. Altura 10,6 cm.

Cerámica no vascular:

- (nº interés Museístico 0923) Fusayola de cerámica acéfala bitroncocónica. Altura 2,3 cm. Diámetro máximo 2,75cm.

- (nº interés Museístico 0933) Fusayola troncocónica con cabeza. Algo fragmentada en la base, aunque conserva el perfil completo. Afectada por el fuego, seguramente fue arrojada a la pira funeraria antes de introducirla en la urna. Dimensiones conservadas: diámetro máximo conservado 2,4 cm. Altura 2,3 cm.

- (nº interés Museístico 0934) Fusayola troncocónica con cabeza. Está completa y afectada por el fuego, seguramente fue arrojada a la pira funeraria antes de introducirla en la urna. Dimensiones conservadas: diámetro máximo: 3 cm. Altura 2,3 cm.

Metales:

- (nº de inventario 552) Clavo de hierro (sin más observaciones).
- (8) (nº de inventario 553) Doble anilla formada por un hilo de hierro cerrado en el centro formando una especie de ocho. Dimensiones: 5,4 cm. Sección del hilo: 0,2 cm.

Fauna:

Los restos de fauna proceden del relleno del interior de la urna, se trata de dos pequeños fragmentos indeterminados que están totalmente calcinados, presentando una coloración blanca y gris, para los que no podemos atribuir especie.

119. LOCULUS (2230, 2231, 2265, 2266) (Lámina 5.33)

Cremación secundaria localizada en el corte Oeste de la excavación.

Fosa U.E 2231, de planta circular, con un diámetro aproximado de 30 cm. y 38 cm. de profundidad.

Relleno U.E 2230, estaba compuesto por arena.

Urna U.E 2266, lebes ibérico decorado y tapado por un plato ibérico usado de tapadera

Rell. Int. urna U.E.2265, compuesto por tierra de textura arenosa cubriendo los huesos quemados de tamaño considerable, algunos de ellos completos (vértebras), seguramente lavados, pertenecientes a un individuo adulto. La tierra que estaba en contacto directo con los huesos tenía una coloración visiblemente más oscura.

Sobre este conjunto se había depositado un fragmento de ungüentario.

Estudio antropológico:

Los restos óseos corresponden a partes craneales y esqueleto postcraneal haciendo un total de 122,77 gr.

La calidad de la combustión fue intensa alcanzándose una temperatura entre los 400 y 600°C.

Datos ponderales: neurocráneo (34,21 gr); esplacnocráneo (5,79 gr), cintura escapular y pelvis (7,54 gr); costillas y esternón (8,40 gr), vértebras (40,02 gr); huesos largos (15,80 gr), manos y pies (1,41 gr); restos no identificables (0,71 gr); hueso esponjoso libre (8,89 gr).

NMI: un individuo

Sexo: indeterminado

Edad: adulto (20-40 años)

Patologías: No se observaron aspectos paleopatológicos.

Cerámicas:

- (1) (nº Interés Museístico 0647) Cerámica ibérica. Imitación de Campaniense A, Lam.36. Plato de ala, forma A III 8.1.2 de Mata y Bonet (1992). Ala saliente curvada, galbo troncocónico y base anillada. Pasta y superficie beige sin tratamiento, desgrasante micáceo fino y abundante. Diámetro de boca 20,5 cm, Diámetro de base 4,5 cm, Altura, 3,2 cm.
- (2) (sin nº inv) Lebes, forma A.II.6 de Mata y Bonet (1992). Recipiente abierto y de perfil globular con un labio diferenciado y sin asas. Base cóncava y el labio en ala. Tiene una decoración pintada en rojo vinoso de bandas y filetes asociados a un friso de semi-círculos concéntricos. El labio de ala, lleva dientes de lobo cruzados por un filete. Diámetro de boca 20,5 cm, Diámetro de base 6 cm, Altura, 13,8 cm.
- (nº inv. 418) Ungüentario fusiforme. Fragmento de pie. Diámetro, 2 cm. Pintura negra en el cuello.

120. LOCULUS (2267, 2268, 2269, 2270, 2271) (Lámina 5.34)

Cremación secundaria excavada situada en el corte Oeste de la excavación.

Fosa U.E 2268, de forma alargada conserva unas dimensiones de 0,90 x 0,50 x 0,52.

Relleno U.E 2267, estaba compuesto por un estrato de arena bastante suelta en la que aparecen restos óseos muy escasos.

La fosa contenía un ánfora de Brindisi completa (UE 2269), dispuesta en horizontal y orientada E-O. En el interior de la fosa se pudieron diferenciar dos estratos: uno de arena bastante suelta (UE 2270) y otro sedimento con materia orgánica (UE 2271). No se documenta presencia de ajuar en el *loculus* ni en el interior del ánfora.

Estudio antropológico de:

Los restos óseos corresponden a partes craneales y esqueleto postcraneal haciendo un total de 5,97 gr.

La calidad de la combustión fue intensa alcanzándose una temperatura de más de 600°C.

Datos ponderales: neurocráneo (0,00 gr); esplacocráneo (0,00 gr), cintura escapular y pelvis (0,00 gr); costillas y esternón (0,00 gr), vértebras (0,00 gr); huesos largos (5,97 gr), manos y pies (0,00 gr); restos no identificables (0,00 gr); hueso esponjoso libre (0,00 gr).

NMI: un individuo

Sexo: indeterminado.

Edad: adulto (20-40 años)

Patologías: No se observaron aspectos paleopatológicos.

Receptáculo funerario UE 2269:

- (nº interés Museístico 0641) Ánfora de Brindisi. Diámetro de boca 11,3 cm, Diámetro máximo 36,2 cm, Altura 74 cm. Pasta y superficie de color beige claro con desgrasante heterogéneo fino y abundante. No hay datos referentes a la presencia de restos antropológicos en el interior del ánfora.

121. LOCULUS (2287, 2288)

Cremación secundaria situada en el sector Oeste de la excavación.

Fosa U.E 2288, de forma circular con unas dimensiones de 0,40 x 0,72 x 0,22.

Relleno U.E 2287, estaba compuesto por una tierra arenosa, con restos de carbones, cenizas y fragmentos de ánfora. Se documentaron grandes piedras con signos de rubefacción depositadas sobre el relleno y parte del *loculus*.

Sin restos antropológicos conservados para su estudio de laboratorio.

122. LOCULUS (3009, 3010)

Cremación localizada en el corte oeste de la excavación.

Fosa U.E 3010, de forma alargada y conservaba unas dimensiones de 0'40 x 0'10 x 0,5m.

Relleno U.E 3009, estaba formado por una tierra de textura arenosa con abundante presencia de carbones, nódulos de arcilla rubefacta, hueso calcinado y material cerámico compuesto por: un fragmento de ánfora itálica de pasta campana; un fragmento de borde de tipo indeterminado de cerámica común romana y un fragmento de olla de cerámica de cocina romana.

Estudio antropológico:

Los restos óseos corresponden a partes craneales y esqueleto postcraneal haciendo un total de 8,18 gr.

La calidad de la combustión fue intensa alcanzándose una temperatura de más de 600°C.

Datos ponderales: neurocráneo (0,00 gr); esplacnocráneo (0,00 gr), cintura escapular y pelvis (0,00 gr); costillas y esternón (0,00 gr), vértebras (0,00 gr); huesos largos (8,18 gr), manos y pies (0,00 gr); restos no identificables (0,00 gr); hueso esponjoso libre (0,00 gr).

NMI: un individuo

Sexo: indeterminado.

Edad: adulto (20-40 años)

Patologías: No se observaron aspectos paleopatológicos.

123. LOCULUS (3051, 3052)

Cremación secundaria localizada en el sector Norte de la excavación.

Fosa U.E 3052, de forma redondeada conservaba unas medidas de 0'30 x 0'20 x 0,18 m.

Relleno U.E 3051, estaba formado por una tierra de textura arenosa con abundante presencia de carbones sin material cerámico.

Estudio antropológico:

Los restos óseos corresponden a partes craneales y esqueleto postcraneal haciendo un total de 5,64 gr.

La calidad de la combustión fue intensa alcanzándose una temperatura de más de 600°C.

Datos ponderales: neurocráneo (0,00 gr); esplacnocráneo (0,00 gr), cintura escapular y pelvis (0,00 gr); costillas y esternón (0,00 gr), vértebras (0,00 gr); huesos largos (5,64 gr), manos y pies (0,00 gr); restos no identificables (0,00 gr); hueso esponjoso libre (0,00 gr).

NMI: un individuo

Sexo: probable varón

Edad: adulto (20-40 años)

Patologías: No se observaron aspectos paleopatológicos.

124. LOCULUS (3078, 3079) (Lámina 5.35)

Cremación secundaria localizada en el sector Este de la excavación.

Fosa U.E 3079, de forma redondeada y conservaba unas dimensiones de 0'40 x 0'30 x 0,16m.

Relleno U.E 3078, estaba compuesto por una tierra de textura arenosa con presencia de carbones, de forma abundante caracoles.

Sin restos antropológicos conservados para su estudio de laboratorio.

Ajuar

Cerámica:

- (1) (nº inv 593) Un plato completo a excepto de algún trozo de cerámica Campaniense B, forma 8 de Montagna-Pasquinucci. Decoración interna a base de surcos concéntricos y estrías a ruedecilla. Diámetro borde 13 cm, diámetro base 5,2 cm, altura 5,2 cm. Ligéramente quemada la superficie.
- (2) (nº inv. 595) Una base de ungüentario fusiforme. Diámetro base 3 cm, altura 8 cm.
- (3) (nº inv 594) Una base de ollita de cerámica de cocina de tradición ibérica. Diámetro base 5,2 cm.
- (4) (nº inv 596) Un fragmento de boca, base y de asa pertenecientes a un olpe de cerámica común romana. Diámetro boca 6 cm; diámetro de base 3 cm.

125. LOCULUS (3080, 3081)

Cremación secundaria localizada en el sector Este de la excavación.

Fosa U.E 3081, de forma redondeada y conservaba unas dimensiones de 0'56 x 0'40 x 0,27 m.

Relleno U.E 3080, estaba compuesto por una tierra de textura arcillosa de color marrón grisáceo con presencia de carbones, frutos secos carbonizados entre los que se distinguen avellanas, caracoles y hueso calcinado. El material cerámico estaba formado por: fragmentos de borde pertenecientes al menos a tres ollas de cerámica de cocina; un fragmento de cerámica de tapadera y varios fragmentos de ungüentario parcialmente conservado.

Estudio antropológico:

Los restos óseos corresponden a partes craneales y esqueleto postcraneal haciendo un total de 71,10 gr.

La calidad de la combustión fue intensa alcanzándose una temperatura entre 400-600° C.

Datos ponderales: neurocráneo (8,27 gr); esplacnocráneo (0,00 gr), cintura escapular y pelvis (0,86 gr); costillas y esternón (5,02 gr), vértebras (0,00 gr); huesos largos (49,34 gr), manos y pies (0,69 gr); restos no identificables (6,92 gr); hueso esponjoso libre (0,00 gr).

NMI: un individuo

Sexo: probable varón

Edad: adulto (20-40 años)

Patologías: No se observaron aspectos paleopatológicos.

126. **LOCULUS (3123, 3124)** (Lámina 5.36)

Cremación secundaria ubicada en el sector Este de la excavación.

Fosa U.E 3124, de forma redondeada y conserva unas dimensiones de 0'62 x 0'60 x 0'26 m, teniendo en cuenta que la cremación se prolonga por debajo del corte Este.

Relleno U.E 3123, estaba compuesto por un estrato de tierra de textura areno arcillosa con presencia de carbones, cerámica, malacofauna y restos de bronce pertenecientes a un casco de tipo montefortino, en mal estado de conservación. El material cerámico encontrado está formado por: varios fragmentos de cerámica ibérica entre los que destaca uno perteneciente a un borde de *kalathos* sin decoración y varios fragmentos de ánfora itálica y ánfora indeterminada. No se recuperaron restos óseos, posiblemente localizados fuera de los límites de la excavación.

Estudio antropológico:

Los restos óseos corresponden a partes craneales y esqueleto postcraneal haciendo un total de 94,73 gr.

La calidad de la combustión fue intensa alcanzándose una temperatura de más de 600°C.

Datos ponderales: neurocráneo (0,00 gr); esplacnocráneo (0,00 gr), cintura escapular y pelvis (0,00 gr); costillas y esternón (3,05 gr), vértebras (0,61 gr); huesos largos (78,30 gr), manos y pies (1,28 gr); restos no identificables (11,49 gr); hueso esponjoso libre (0,00 gr).

NMI: un individuo.

Sexo: probable varón.

Edad: adulto indeterminado.

Patologías: No se observaron aspectos paleopatológicos.

Ajuar

- (nº inv 585): Casco de bronce de tipo Montefortino. Conserva un diámetro máximo 16,5 cm; altura máxima 9 cm. Se observan las siguientes partes: capacete muy deteriorado, fragmentado en numerosos trozos, cuatro de ellos de tamaño considerable y fácilmente reconocibles. El resto son pequeños fragmentos informes; borde superior e inferior. Carece de guardanuca y carrilleras. El capacete es semiesférico. No se conserva el botón. El borde inferior presenta un cableado sencillo; el borde superior presenta una línea incisa horizontal, y conserva en uno de sus lados un remache del mismo material que probablemente tendría la función de sustentar las carrilleras del casco.

Siguiendo la clasificación tipológica de García-Mauriño, pensamos que pertenecería al tipo I, subtipo I b. La distribución geográfica peninsular muestra que los cascos pertenecientes al tipo I, se localizan en el área oriental, tanto en la costa como en el interior.

127. BUSTUM (3125, 3126)

Cremación primaria localizada en el sector Este de la excavación.

Fosa U.E 3125, de forma alargada y conservaba unas dimensiones de 0,50x 0,40 x 0,12m.

Relleno U.E 3126, estaba compuesto por tierra de textura arenosa compacta, con presencia de malacofauna y abundante hueso quemado localizado en una parte del enterramiento.

Estudio antropológico:

Los restos óseos corresponden a partes craneales y esqueleto postcraneal haciendo un total de 194,60 gr.

La calidad de la combustión fue intensa alcanzándose una temperatura de más de 600°C.

Datos ponderales: neurocráneo (21,88 gr); esplacnocráneo (0,00 gr), cintura escapular y pelvis (12,71 gr); costillas y esternón (10,99 gr), vértebras (23,30 gr); huesos largos (74,74 gr), manos y pies (3,84 gr); restos no identificables (41,98 gr); hueso esponjoso libre (5,6 gr).

NMI: un individuo

Sexo: probable mujer

Edad: adulto (20-40 años)

Patologías: No se observaron aspectos paleopatológicos.

128. LOCULUS (3147, 3148)

Cremación secundaria localizada en el sector Oeste de la excavación.

Fosa U.E 3148, de forma alargada y conservaba unas dimensiones de 0'50 x 0'27 x 0,3 m.

Relleno U.E 3147, estaba compuesto por tierra de textura arcillosa, con abundantes cenizas, caracoles, y carbones de forma aislada.

El material cerámico estaba formado por: tres fragmentos sin forma de ánfora indeterminada; tres fragmentos pertenecientes a diferentes vasos de cerámica ibérica pintada con motivos de bandas, dientes de lobo y red en color rojo vinoso; tres fragmentos de olla de cocina quemada sin forma identificable; un fragmento de base de plato de Campaniense B; un fragmento sin forma de cerámica Campaniense A, y por último un fragmento de borde perteneciente a un cubilete de paredes finas forma Mayet II.

Sin restos antropológicos conservados para su estudio de laboratorio.

129. LOCULUS (3149, 3150)

Cremación secundaria localizada en el sector Oeste de la excavación.

Fosa U.E 3150, de forma alargada y conservaba unas dimensiones de 0'55 x 0'30 x 0,26 m.

Relleno U.E 3149, estaba compuesto por un estrato de tierra de textura arenosa con presencia de cenizas y escaso material cerámico formado por: un fragmento de galbo perteneciente a un ánfora indeterminada; y tres fragmentos de hueso humano calcinado.

Estudio antropológico:

Los restos óseos corresponden a partes craneales y esqueleto postcraneal haciendo un total de 8,43 gr.

La calidad de la combustión fue intensa alcanzándose una temperatura de más de 600°C.

Datos ponderales: neurocráneo (0,85 gr); esplacnocráneo (0,00 gr), cintura escapular y pelvis (2,69 gr); costillas y esternón (0,00 gr), vértebras (0,00 gr); huesos largos (4,08 gr), manos y pies (0,00 gr); restos no identificables (0,81 gr); hueso esponjoso libre (0,00 gr).

NMI: un individuo

Sexo: indeterminado.

Edad: adulto indeterminado.

Patologías: No se observaron aspectos paleopatológicos.

130. BUSTUM (3177, 3178)

Cremación primaria localizada en el sector Oeste de la excavación.

Fosa U.E 3178, de forma alargada y conservaba unas medidas de 1'08 x 0'42 x 0,2 m. La base de la estructura estaba rubefacta debido a una repetida exdeposición al fuego.

Relleno U.E 3177, estaba compuesta por una tierra de textura arenosa con abundante presencia de carbones, frutos secos carbonizados y escasos restos de cerámica formados por fragmentos de galbo de ánfora quemada.

Estudio antropológico:

Los restos óseos corresponden a partes craneales y esqueleto postcraneal haciendo un total de 9,37 gr.

La calidad de la combustión fue intensa alcanzándose una temperatura de más de 600°C.

Datos ponderales: neurocráneo (1,65 gr); esplacocráneo (3,14 gr), cintura escapular y pelvis (0,00 gr); costillas y esternón (0,00 gr), vértebras (0,00 gr); huesos largos (4,58 gr), manos y pies 0,00 gr); restos no identificables (0,00 gr); hueso esponjoso libre (0,00 gr).

NMI: un individuo.

Sexo: probable mujer.

Edad: adulto indeterminado.

Patologías: No se observaron aspectos paleopatológicos.

131. LOCULUS (3185, 3184, 3183, 3182) (Lámina 5.36)

Cremación primaria localizada en el sector oeste de la excavación.

Cremación de carácter indígena.

Fosa U.E 3182, de forma redondeada, conservaba unas dimensiones de 0'60 x 0'58 x 0,20 m.

Relleno U.E 3185, todo el enterramiento estaba cubierto por un estrato de tierra de textura arenosa con cantidad de carbones y frutos secos carbonizados.

Urna U.E 3183, en el interior de esta fosa se halló una tinaja ibérica sin hombro 0'44 x 0'48 m. La parte superior de la tinaja está provista de borde en forma de pico pintado en color rojo vinoso, mientras que la parte inferior está provista de un pico candiota. La superficie de la pieza presenta una decoración a bandas por la parte de la panza.

Constituye la urna cineraria en cuyo interior se depositaron los restos del individuo.

Rel.int.urna U.E 3184, estaba compuesto por una tierra de textura areno arcillosa con abundante presencia de carbones, escasos caracoles, algunos fragmento de fauna indeterminada y material cerámico que formaría en ajuar funerario.

Estudio antropológico:

Los restos óseos corresponden a partes craneales y esqueleto postcraneal haciendo un total de 511,19 gr.

La calidad de la combustión fue variable alcanzándose una temperatura entre los 400-600°C.

Datos ponderales: neurocráneo (41,87 gr); esplacnocráneo (13,87 gr), cintura escapular y pelvis (16,45 gr); costillas y esternón (15,55 gr), vértebras (5,12 gr); huesos largos (195,40 gr), manos y pies (4,88 gr); restos no identificables (136,50 gr); hueso esponjoso libre (81,55 gr).

NMI: un individuo.

Sexo: probable varón.

Edad: adulto indeterminado.

Patologías: No se observaron aspectos paleopatológicos.

Observaciones:

Se han podido observar posibles evidencias de acción antrópica en un fragmento de hueso cortical (dimensiones: 18.5 x 18 x 9 mm), de la región anterior de la tibia. Dos marcas de corte de morfología en aspa y de dimensiones 9 x 6 mm. La etiología de estas marcas, puede atribuirse, a una manipulación *postmortem* de los restos (¿de carácter ritual?), sin descartar un origen tafonómico, por arrastre o por acción de fauna carroñera.

Ajuar:

- (1) (nº inv. 607): Perfil completo de plato de Campaniense A, forma Lamboglia 28. Diámetro de base 9 cm; diámetro borde 24 cm altura 6,5 cm. Decoración interna de palmeta y ruedecilla. Perfil completo.

ESTRUCTURAS FUNERARIAS

132. USTRINUM (2047, 2068, 2083, 2084, 2095, 2109, 2048) (Lámina 5.37)

Estructura funeraria hallada en el centro de la excavación.

Fosa U.E 2048, de forma rectangular (y unas dimensiones de 2,30 x 2,20 x 0,22 m. Constaba de dos niveles de utilización como pira funeraria con sus respectivos rellenos. Las paredes presentaban signos de rubefacción por efecto de una exposición continua al fuego. Conservaba el lado sur y los dos lados menores con las paredes y los suelos compactados.

Relleno U.E. 2047, constituye el 1^{er} nivel de utilización, formado por un estrato arcilloso muy compacto, de color negruzco que contiene abundantes carbones, cenizas, malacofauna, cal y restos óseos calcinados. En él también aparecen fragmentos de ánforas itálicas Dressel1A y greco-itálicas, fragmentos de cerámica común romana, un borde de T.S. Aretina, una moneda y una lucerna de cerámica común.

El relleno está amortizado por dos cremaciones en urna de cerámica ibérica, ambas con sus respectivos ajuares. Una de ellas es una tinajilla con hombro (*Pithos*) nº 11, con un fragmento de *strigilis* a su lado y varios ungüentarios. La otra urna es un caliciforme.

Este relleno reposa sobre un suelo de tierra roja, dura, el que podríamos considerar como el primer suelo del *ustrinum*.

El 2º nivel de utilización U.E 2083, es un relleno de tierra arcillosa con gravas muy compacto, con gran cantidad de carbones y huesos quemados. Está amortizado con una urna de incineración U.E 2107. Bajo el relleno hay un suelo de tierra roja compactada, en él hay abundante material ánforico: fragmentos sin forma de ánforas itálicas y bordes y asas de Dressel 1A.

Los materiales de 2047

Metales:

- (2) (nº de inventario 509) Tres fragmentos de *strigilis*. Uno de la cuchara o *ligula*, dos del mango o *capulus*, uno de ellos con el arranque del rascador. Seguramente pertenecen a dos o más piezas distintas. Dimensiones del fragmento más grande: 11,5 x 2,2 cm.
- (3) (nº de inventario 510) Mango de cuchillo de hierro consistente en dos láminas de hierro (cachas) de 1 mm. de espesor, unidas a otra central (anima) de entre 3 y 4 mm. de grosor según la zona. En uno de los lados se aprecian los grafitos XI. Dimensiones máximas conservadas: 8 x 1,7 x 0,9 cm.

- (6) (nº de inventario 508) Puente de *fibula* de resorte de bronce. Dimensiones: 5 cm aprox. x 0,3 cm

- (4) (nº interés Museístico 0909) Objeto de bronce de forma almendrada atravesado por hondos surcos longitudinales formando gallones. Podría tratarse de un amuleto, tal vez una piña, muy afectada por haber sido arrojada a la pira funeraria. Longitud 1,6 cm. Grosor 0,95 cm.

Objetos de Hueso:

- (5) (nº de inventario 511/1-3) Tres fragmentos de aguja de pelo (*Acus crinalis*) de sección circular, terminada en una pequeña esfera. Dimensiones máximas cons.: 4 x 0,3 cm.

- (nº de inventario 511/4) Una taba de hueso de 2,5 x 1,5 x 1,2 cm.

Los materiales de 2083

Cerámica:

- (1) (sin nº inv). Fragmento *kalathos* sombrero de copa ibérico. Ala plana, paredes rectas. Presenta decoración en la superficie del ala a base de dientes de lobo en color rojo vinoso. El tercio superior del vaso a bandas y círculos con pintura rojo vinoso. Diámetro de boca 22,1 cm; altura conservada 3 cm.

Metales:

- (7) (nº interés Museístico 0914) Podón de hierro de hoja pequeña y curva en el extremo. Conserva el arranque del mango en el que aún se observan restos de hueso del astil. Dimensiones: 11,5 x 2,7 x 0,6 cm.

Moneda UE 2083:

- Cronología: (130 a.C.- reinado de Augusto). As. Arse/Sagunto. Anverso: *BIULAKOS BALKALTUR* (en ibérico). Cabeza de Roma hacia la derecha. Reverso: *SAGV / ARSE* (en ibérico) Proa de nave a la derecha, con caduceo delante.

133. *USTRINUM* (2087, 2088, 2151)

Estructura localizada en el sector Oeste de la excavación.

Fosa U.E 2088, estructura de forma cuadrangular con las paredes y suelo endurecido y rubefacto por la continua acción del fuego. Conservaba unas dimensiones aproximadas de 180 x 170 x 22 cm

Relleno U.E 2087, estaba formado por un estrato de arcilla arenosa rubefacta con numerosos carbones, hueso quemado, nódulos de cal y material cerámico.

Se recuperaron restos óseos antropológicos derivados de las últimas combustiones. La cantidad de restos fue muy escasa pero ello no impidió que se obtuvieran resultados del análisis de estos huesos calcinados.

Estudio antropológico:

Los restos óseos corresponden a partes craneales y esqueleto postcraneal haciendo un total de 51,09 gr.

La calidad de la combustión fue intensa alcanzándose una temperatura de más de 600°C.

Datos ponderales: neurocráneo (1,00 gr); esplanocráneo (0,00 gr), cintura escapular y pelvis (1,57 gr); costillas y esternón (1,59 gr), vértebras (0,00 gr); huesos largos (40,37 gr), manos y pies (0,00 gr); restos no identificables (4,54 gr); hueso esponjoso libre (2,02 gr).

NMI: dos individuos.

Sexo: probable varón para el individuo adulto.

Edad: infantil indeterminado y adulto (20-40 años)

Patologías: No se observaron aspectos paleopatológicos.

Materiales:

Cerámicas:

- (1) (nº inv. 422) Cerámica común de cocina. Olla. Borde plano en marli, labio engrosado, arranque del cuerpo troncocónico, diámetro del borde, 21,5 cm, altura conservada, 7 cm. Pasta y superficie porosa, gris sin tratamiento.
- (2) (nº inv. 423) Opérculo púnica. Diámetro, 10,5 cm, altura conservada, 2,5 cm. Pasta amarillenta. (Cal, cuarzo, quemada).
- (nº inv. 424) Ungüentario fusiforme de base anillada, con pintura negra en el cuello. Quemado. Diámetro de la boca, 2,1 cm.
- (nº inv. 425) Ungüentario piriforme, pasta gris. Quemado. Diámetro de la boca, 2 cm.
- (nº inv. 426) Ungüentario piriforme, pasta gris. Quemado. Engobe negruzco al interior. Diámetro de la boca, 3,5 cm.

Relleno U.E 2151, bajo el estrato anterior de tierra rubefacta había otro estrato, compuesto por una sucesión de capas de arena quemada y concentraciones de carbón entre el que se distinguen gran cantidad de frutos secos carbonizados, en principio parece tratarse de avellanas y nueces.

Se distinguen dos momentos de deposición de los frutos secos quemados y apagados con arena. En primer lugar, se observó un primer punto de cremación de unos 10 ó 12 cm de espesor, extinguido por varias capas muy finas de arena, luego otra gruesa de unos 10 cm. que lo cubría totalmente y sobre ella, una segunda capa

de madera y frutos secos quemados, de unos 5 cm de espesor. Ambas deposiciones son diacrónicas, aunque es difícil precisar el tiempo transcurrido entre una y otra. De este estrato no se recuperaron elementos cerámicos o de otra naturaleza.

134. USTRINUM (3076, 3077)

Estructura localizada en el sector E de la excavación

Fosa U.E 3077, de forma cuadrangular, conservaba unas dimensiones de 1'12 x 0'57 x 0,27 m. El fondo y las paredes conservadas presentaban una coloración rojiza como consecuencia de una exdeposición continuada al fuego.

Relleno U.E 3076, de tierra arenosa con presencia de carbones, caracolillos, esquirlas de hueso fragmentado y calcinado y material cerámico quemado y muy fragmentado formado por: fragmentos de galbo de ánfora itálica y greco-itálica; un fragmento de borde de ánfora greco-itálica; varios fragmentos de olla de cocina romana y fragmentos sin forma de cerámica común romana.

135. CALZADAS (2152 N-S, 2304)= (3021, 3020)

En el sector S.E de la excavación, se detectó una calzada formada por numerosos cantos rodados 2152 N=3021 trabados con tierra de textura arcillosa que constituye una senda de guijarros equipada para una circulación peatonal, como parece indicar su escasa anchura. Este camino de recorrido Norte-Sur, se entrega sobre los vestigios de lo que parece haber sido la prolongación periurbana del *Decumanus Maximus*, (2152 S) identificado con la calle Quart de Valencia.

La presencia de hondas carriladas y frecuentes reparaciones (2304=3020) atestiguadas por diferentes rellenos y capas de arena y guijarros, muestra que el nuevo eje ha captado parte del tráfico rodado y una utilización continuada hasta que en época imperial se sustituye por otras calzadas con el mismo trazado pero de mayores dimensiones.

Monedas:

- (sin nº inv.) As de Tiberio. Ceca de Sagunto. Cronología: 14 – 37. Referencia bibliográfica: RPC 202. Pág.: 100. Lám.: 15. / Vives 124 – 3. Anverso: Leyenda: TI CAESAR DIVI AVG F AVG. Tipo: Cabeza desnuda de Tiberio a la derecha, dentro de gráfila. Leyenda latina sinistrógira alrededor. Gráfila: Puntos. Reverso: Leyenda: [L SEMP] GEMINO / [L VAL] SVRA / II VIR. Tipo: Galera legionaria a la derecha y encima leyenda latina SAG. Resello debajo de la galera. Leyenda alrededor indicando los magistrados monetarios. Gráfila: Puntos. Marcas posteriores: Contramarca DD. Diámetro: 27 mm. Grosor: 2,9 g. Posición cuños: 10 h.

Grado de desgaste: Desgastada.

136. CANALIZACIÓN (2339, 2340, 2341=3023, 3024)

La calzada mencionada anteriormente, cubría los restos de la zanja (3023=2341) de la canalización formada por segmentos de cerámica embutidos (3024=2340) con un recorrido de más de 12 metros atestiguados durante la excavación y con una posible función de traslado de aguas limpias.

137. CANAL DE DRENAJE (1358=3130, 3131)

Zanja 1358=3131. En estrecha relación con la calzada se constata la presencia de una extensa zanja orientada S.E- N.O, con una longitud aproximada de 3'10 x 0'60 m. Teniendo en cuenta las relaciones estratigráficas, este canal con posibles funciones de drenaje, pertenece al S.I a.C. y se empleó hasta época imperial.

Relleno U.E 1330, estaba compuesto por una tierra de textura arcillosa de color marrón oscuro con presencia de material antracológico y malacofauna.

5.3.3 Láminas del periodo republicano (siglos II-I a.C)

TIPOS DE TUMBAS Y ESTRUCTURAS DEL SIGLO II A.C

- TUMBAS SIMPLES-A
- TUMBAS SIMPLES-B
- FOSA COMÚN-C
- TUMBA DOBLE-D
- TUMBA ADOBES-E
- REUTILIZACIÓN DE USTRINUM
- TUMBAS DE CÁMARA-G
- LOCULI
- BUSTA
- ESTRUCTURAS VOTIVAS

♂ VARÓN ♀ MUJER ¿? INDET.

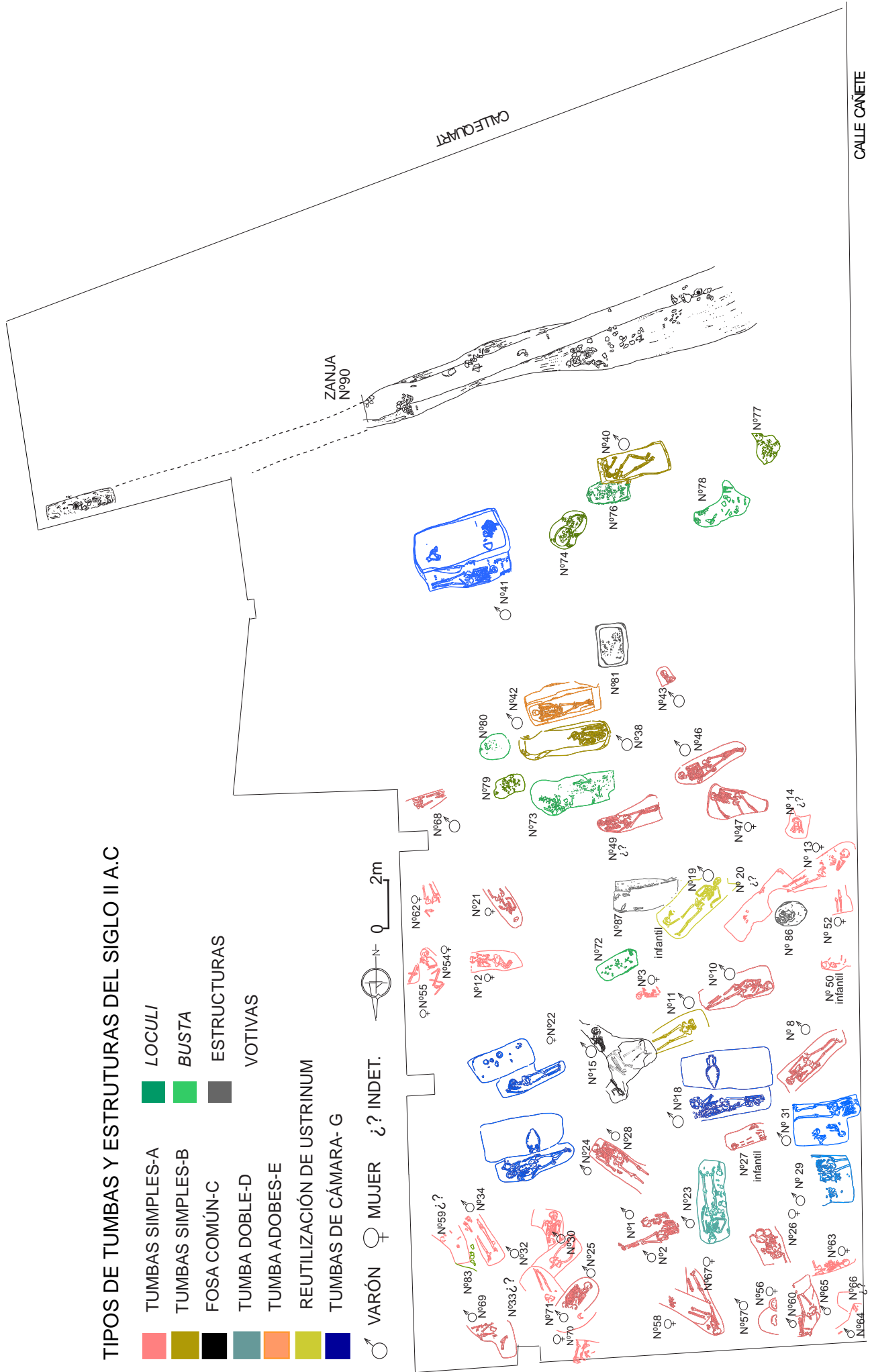
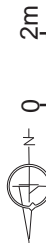


Lámina 5.1: Tipos de tumbas y estructuras siglo II a.C

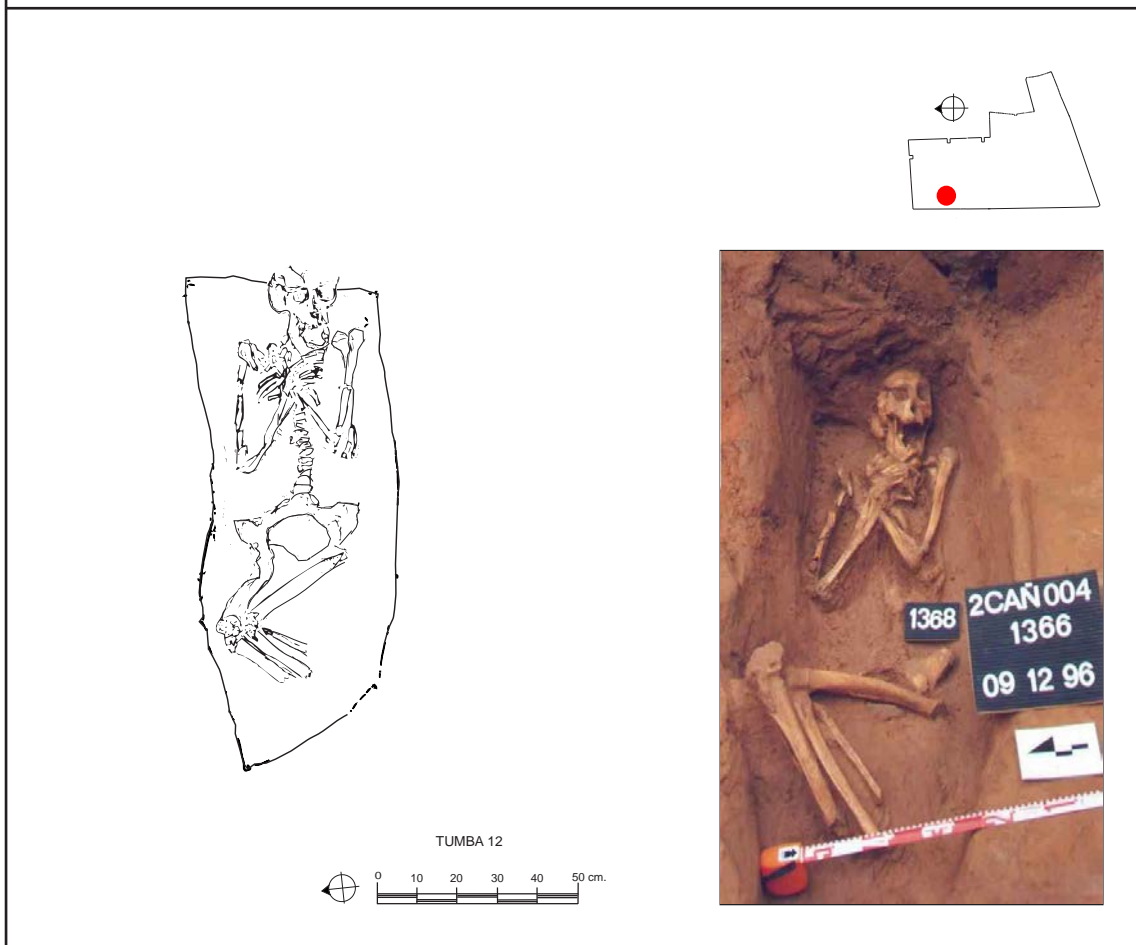
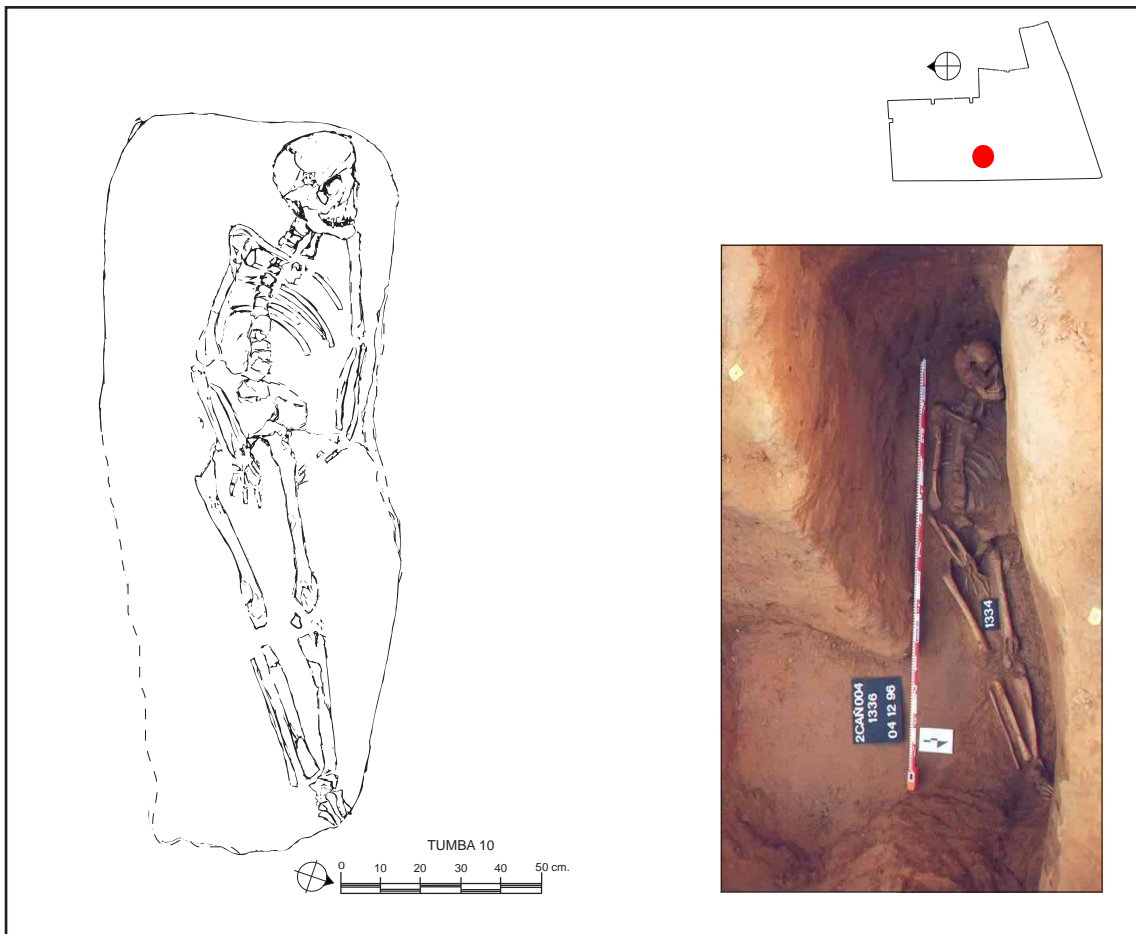


Lámina 5.2: Tumbas nº 10 y 12

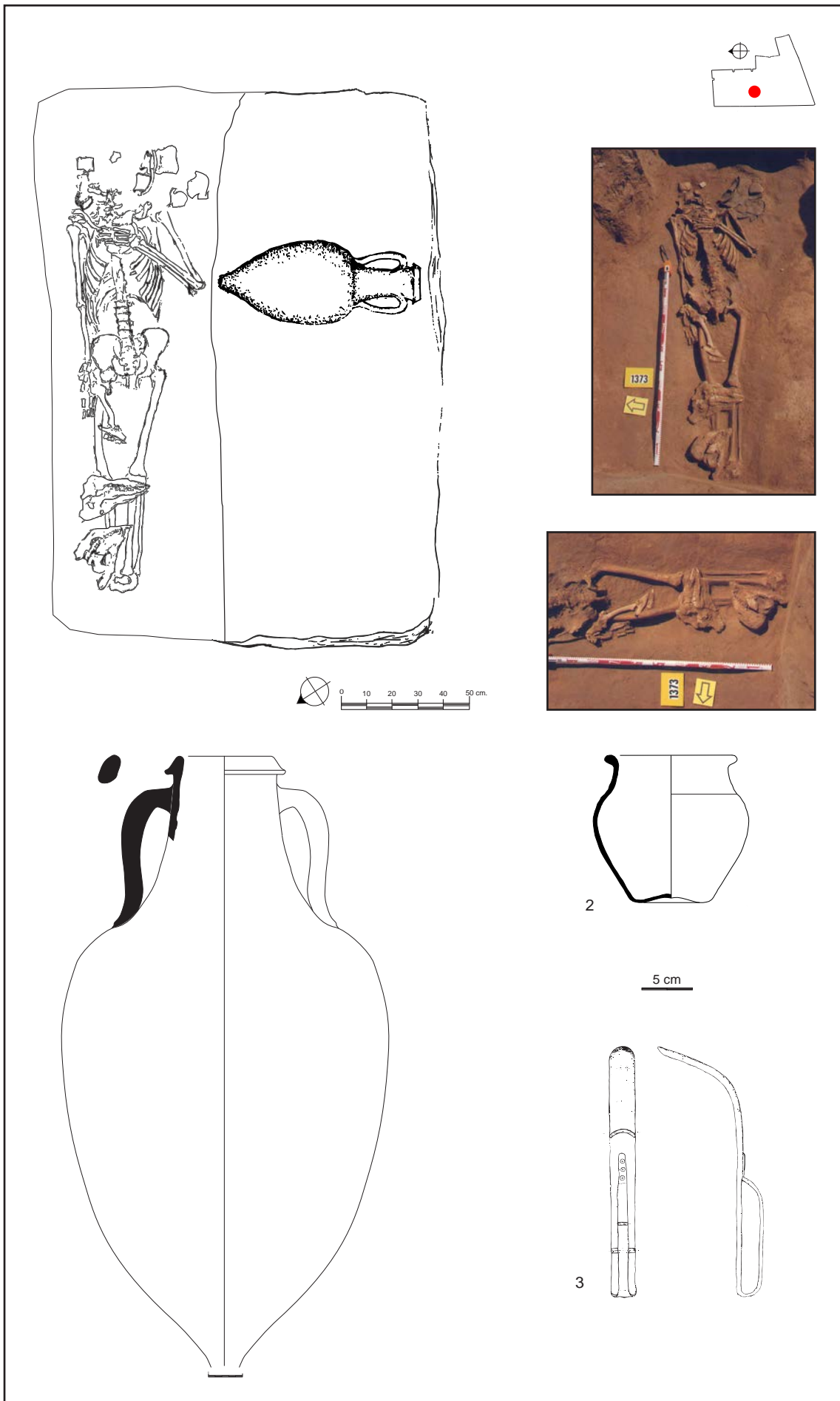


Lámina 5.3: Tumba nº 18

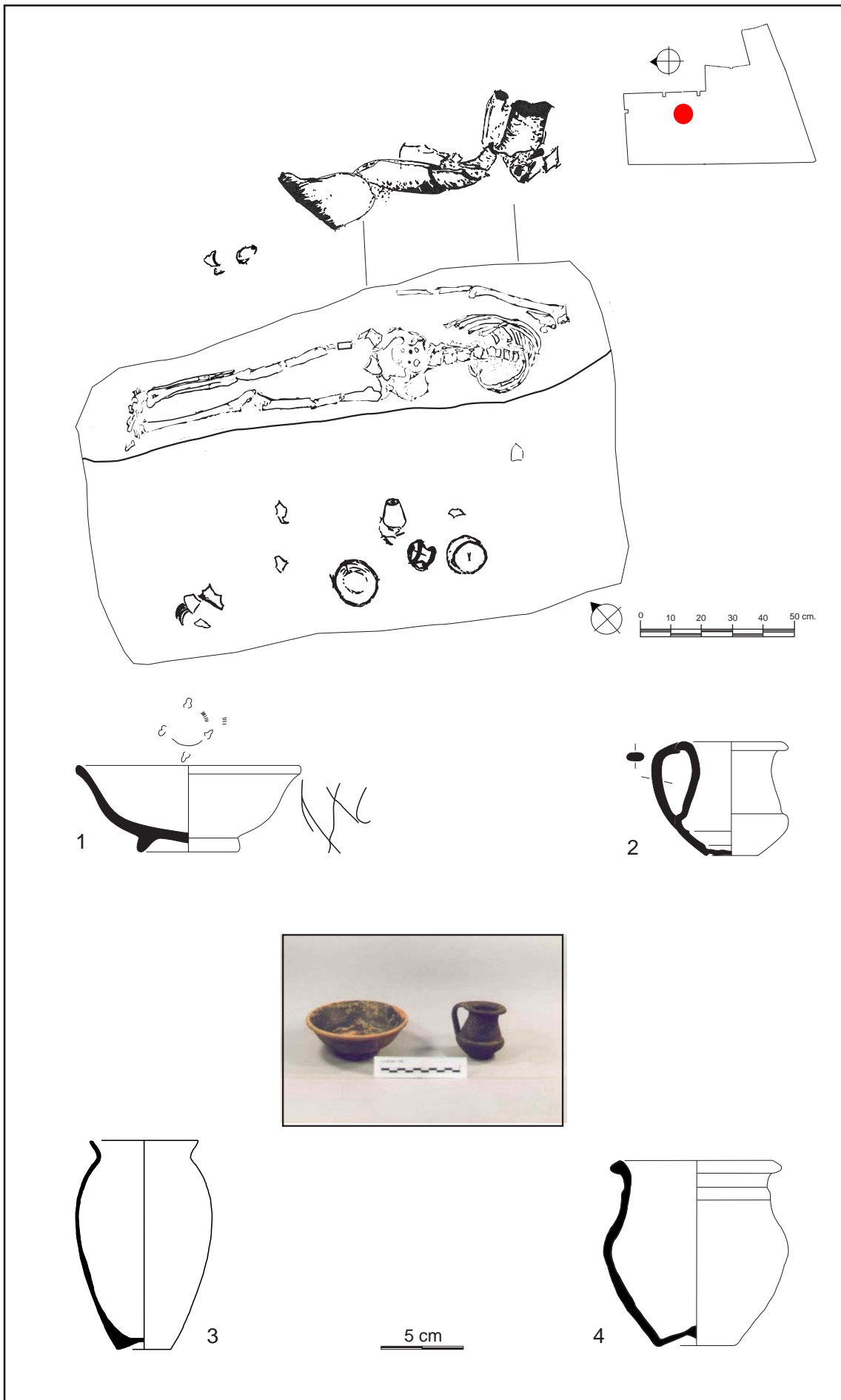


Lámina 5.4: Tumba nº 22

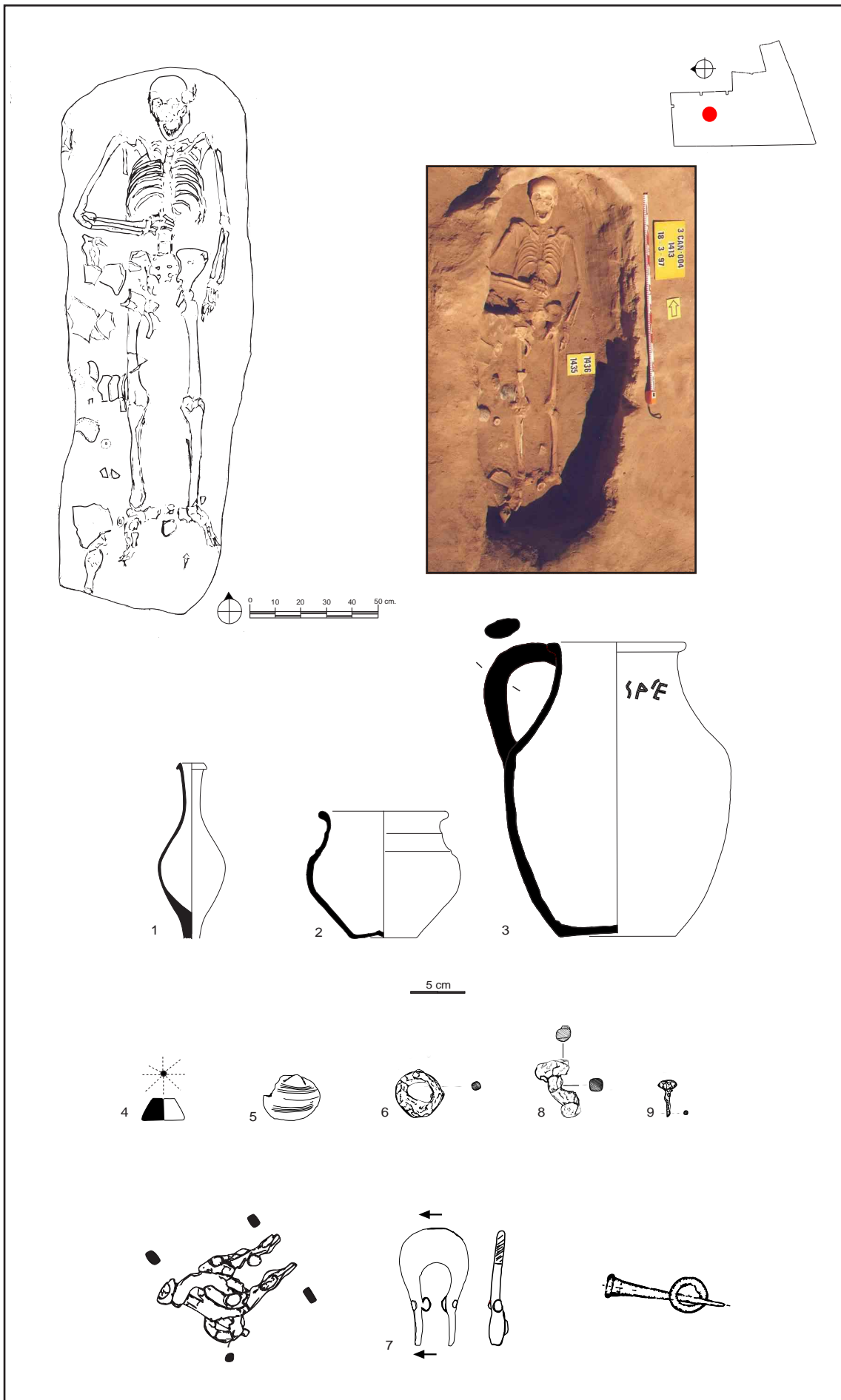


Lámina 5.5:Tumba nº 23

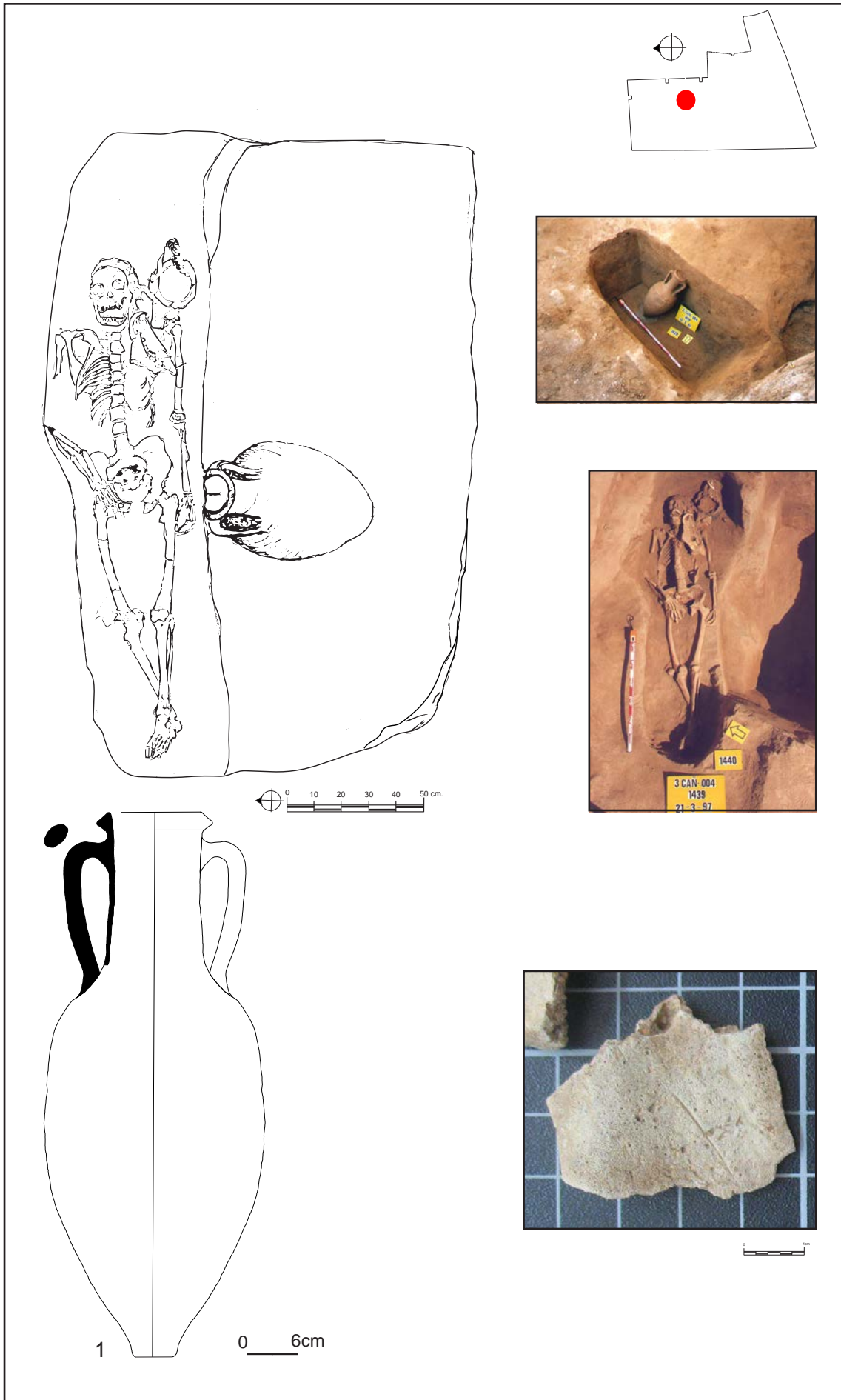


Lámina 5.6: Tumba nº 24

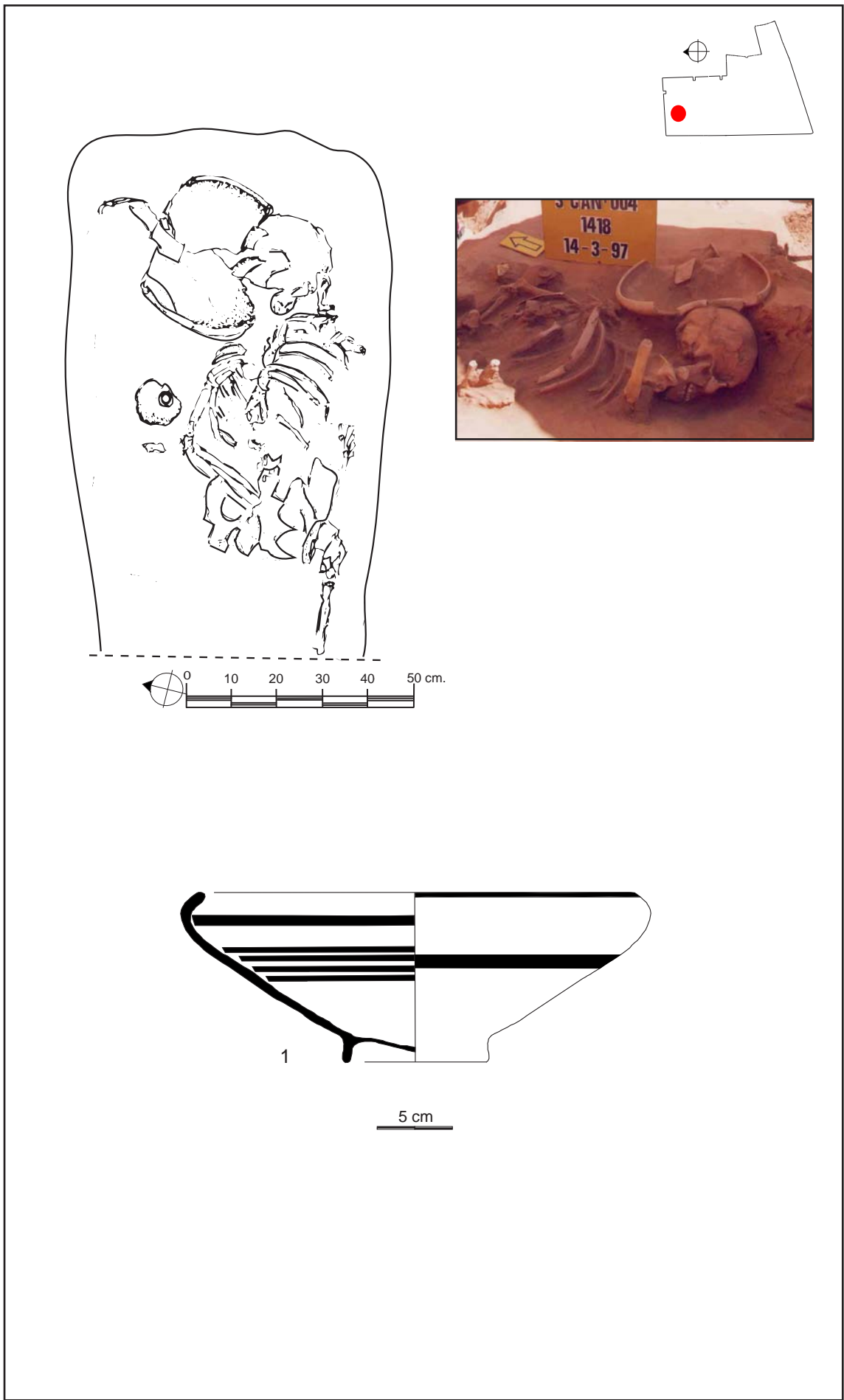


Lámina 5.7: Tumba nº 26

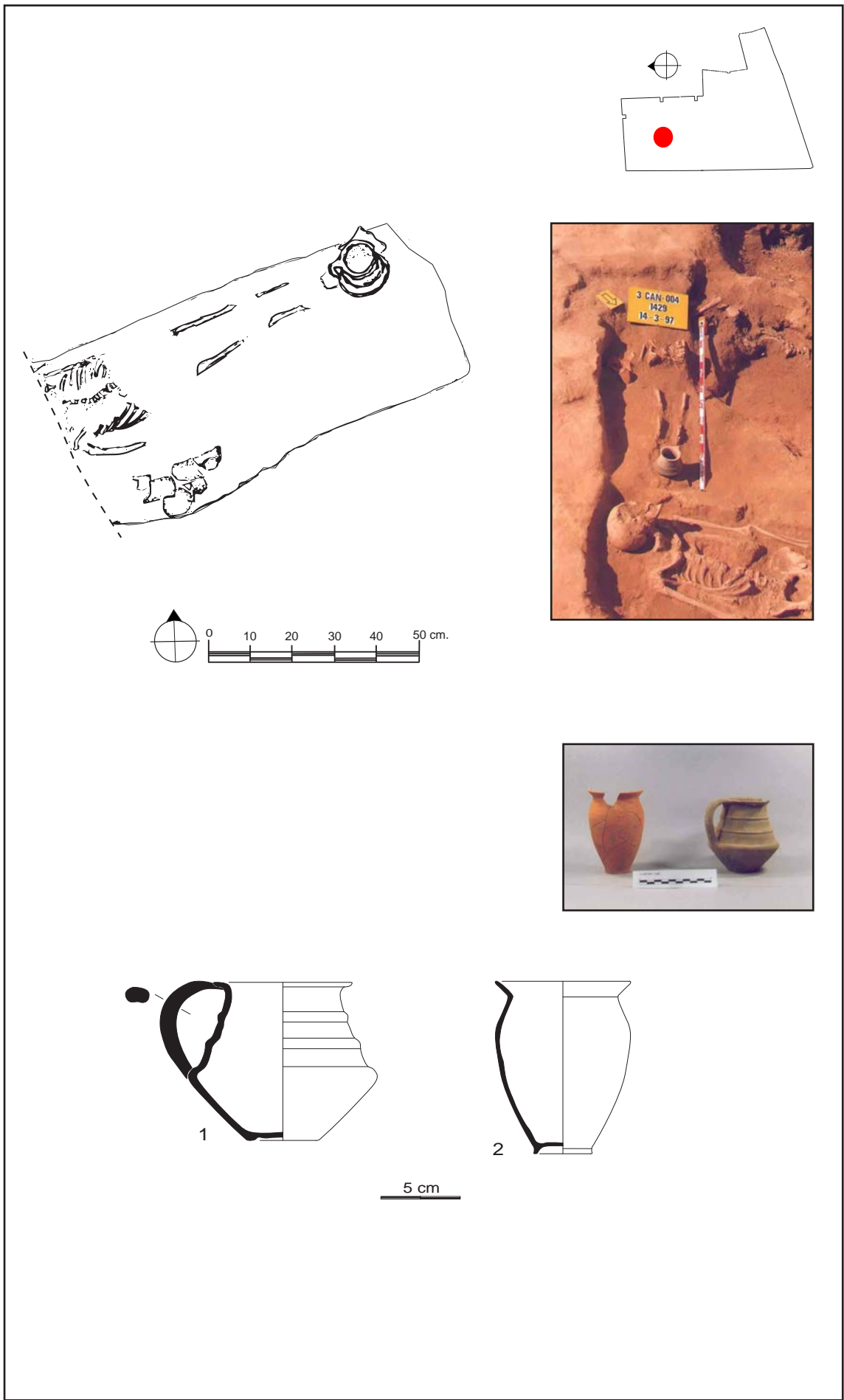


Lámina 5.8: Tumba nº 27

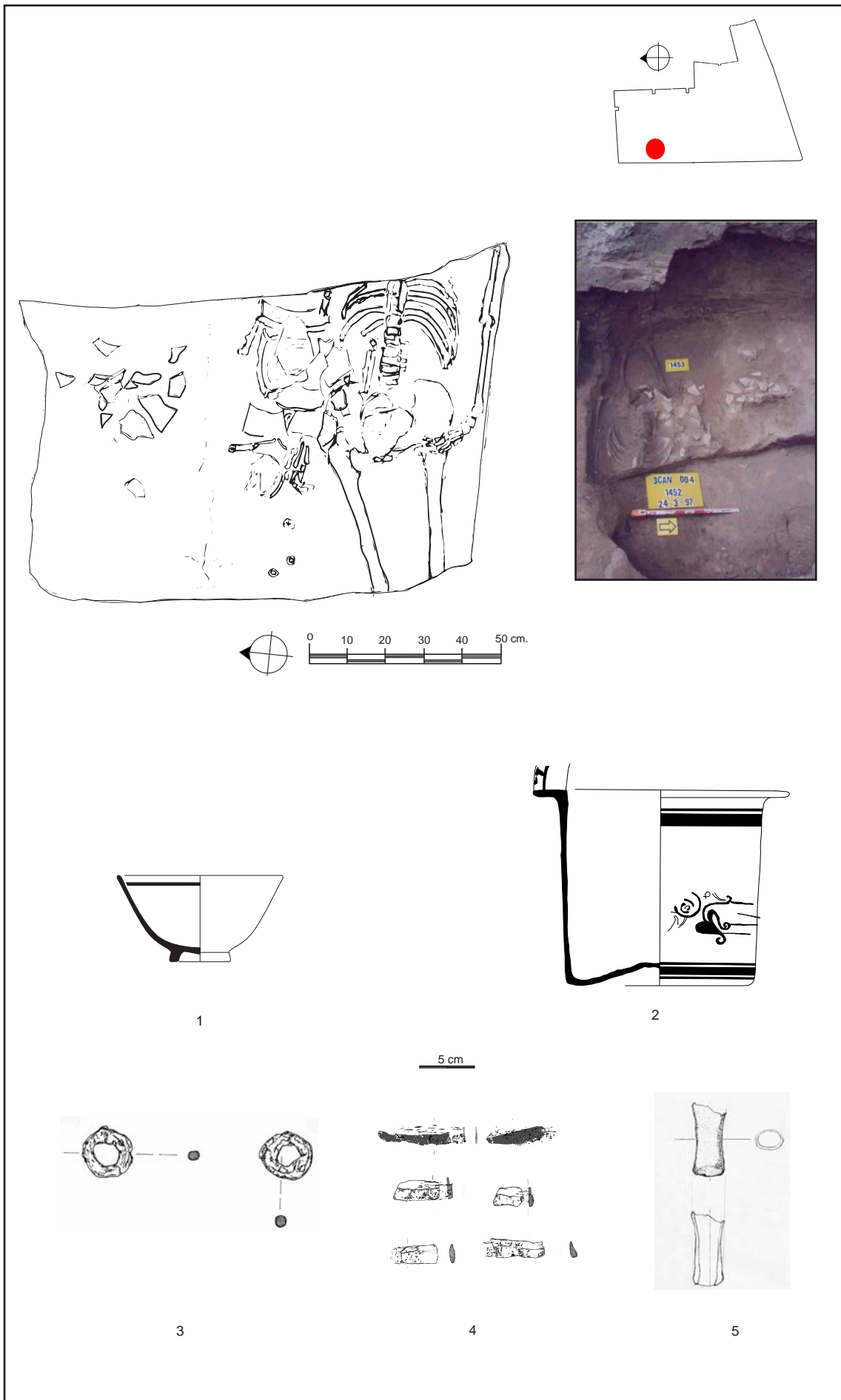


Lámina 5.9: Tumba nº 27

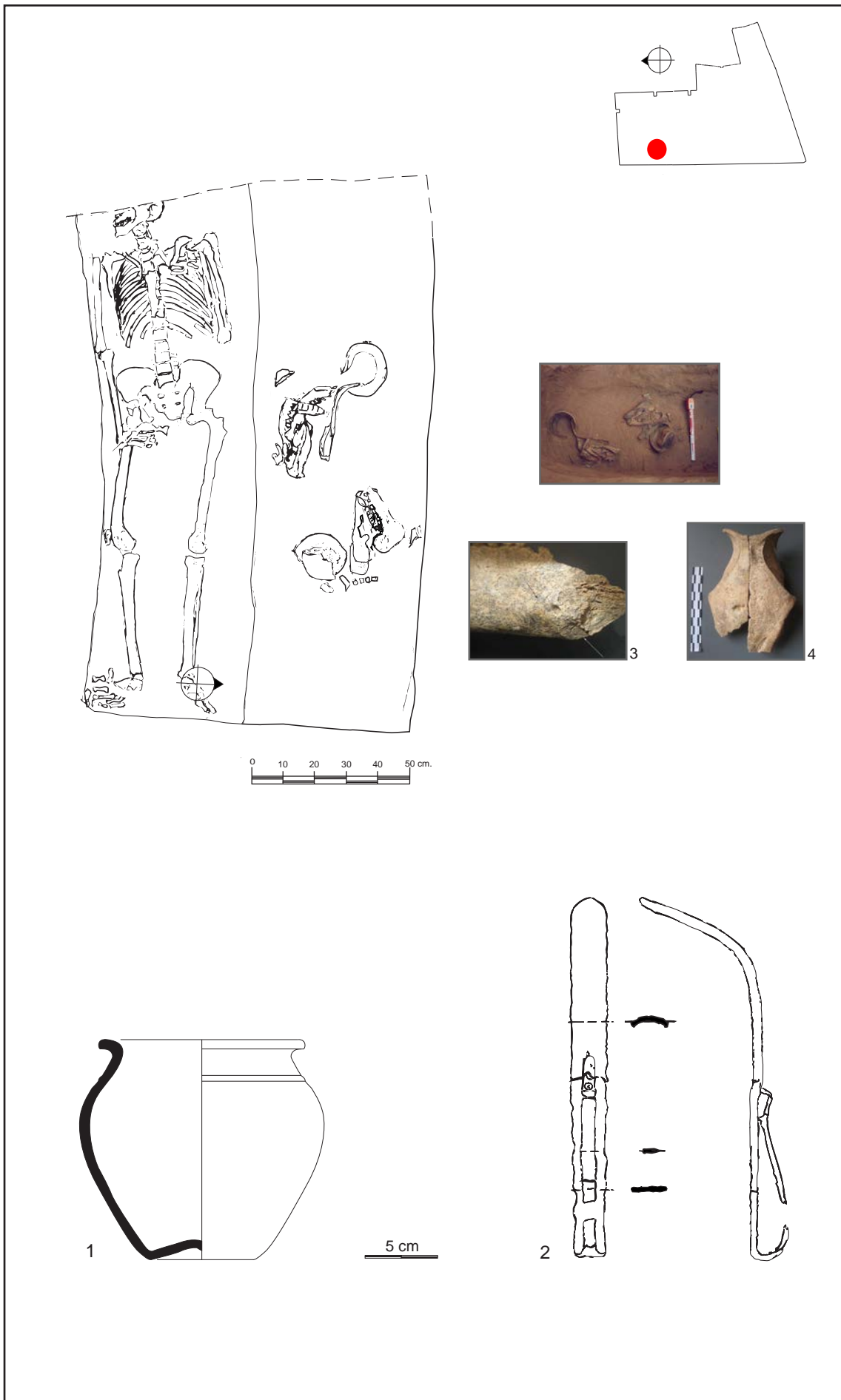


Lámina 5.10: Tumba nº 31

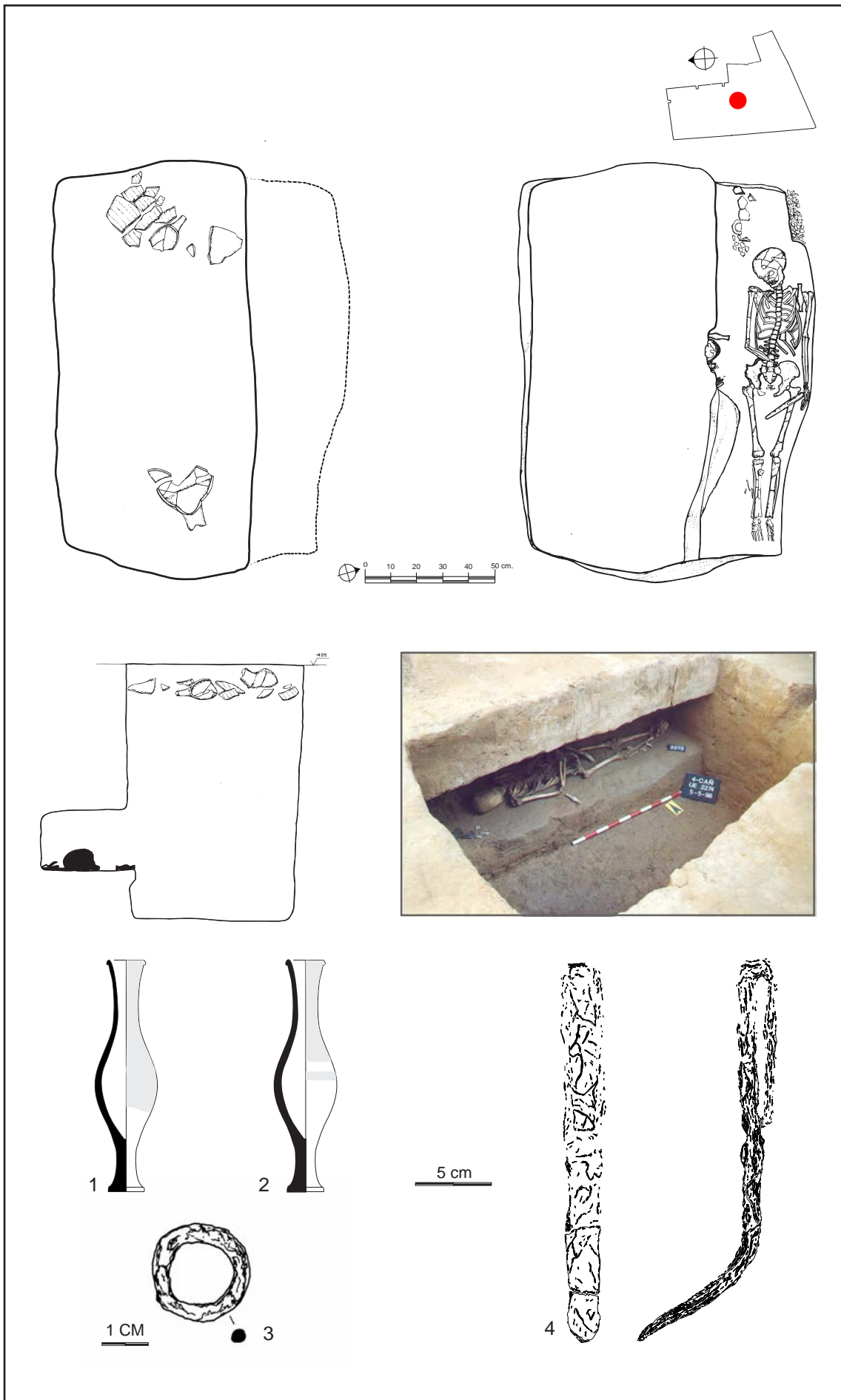


Lámina 5.11: Tumba nº 41

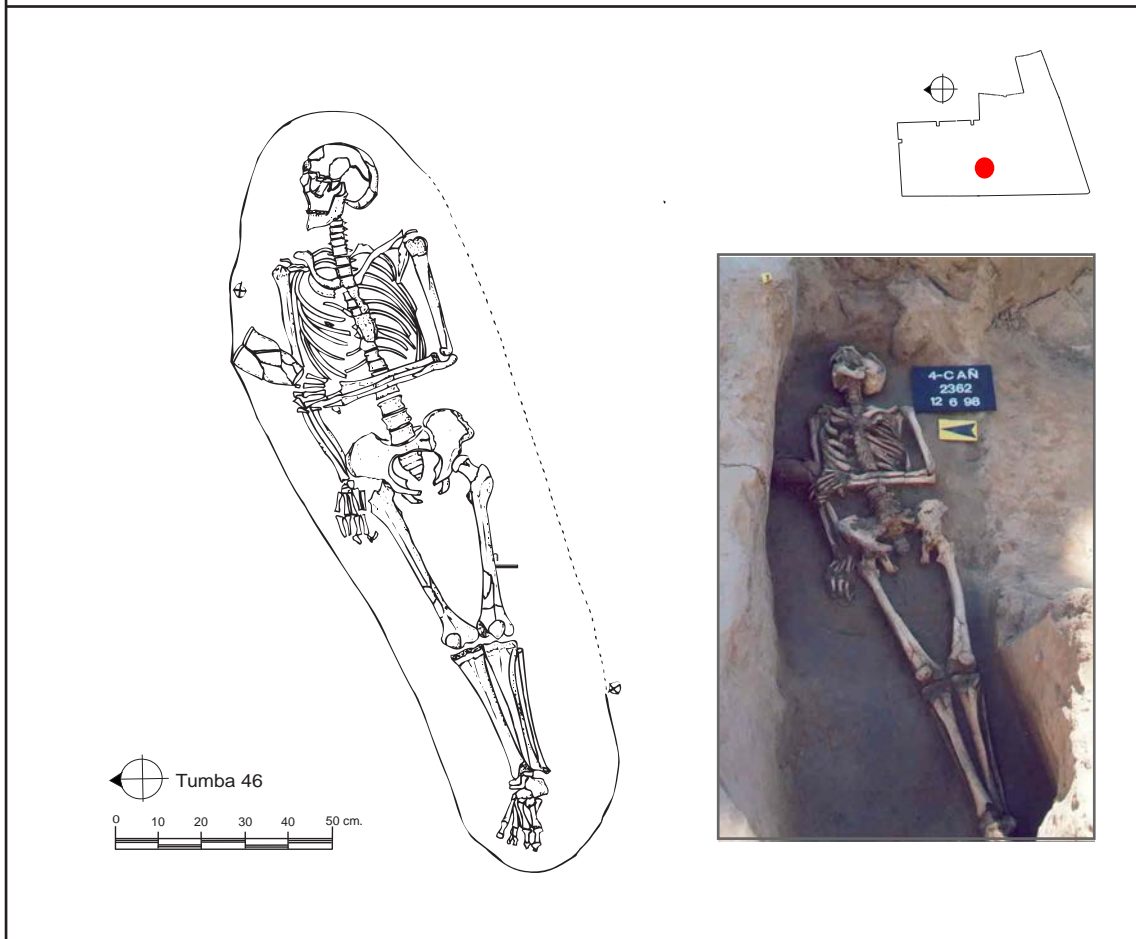
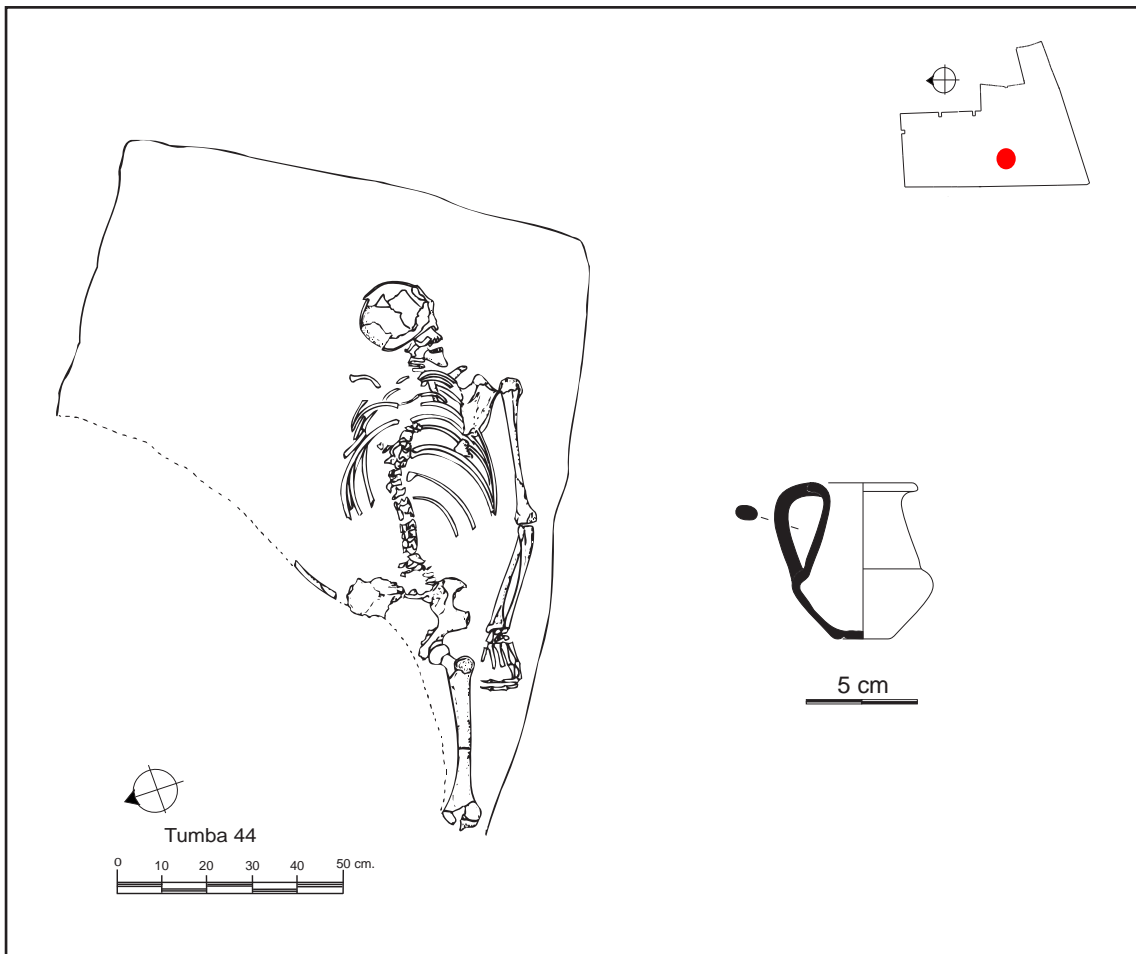


Lámina 5.12: Tumbas nº 44 y 46.

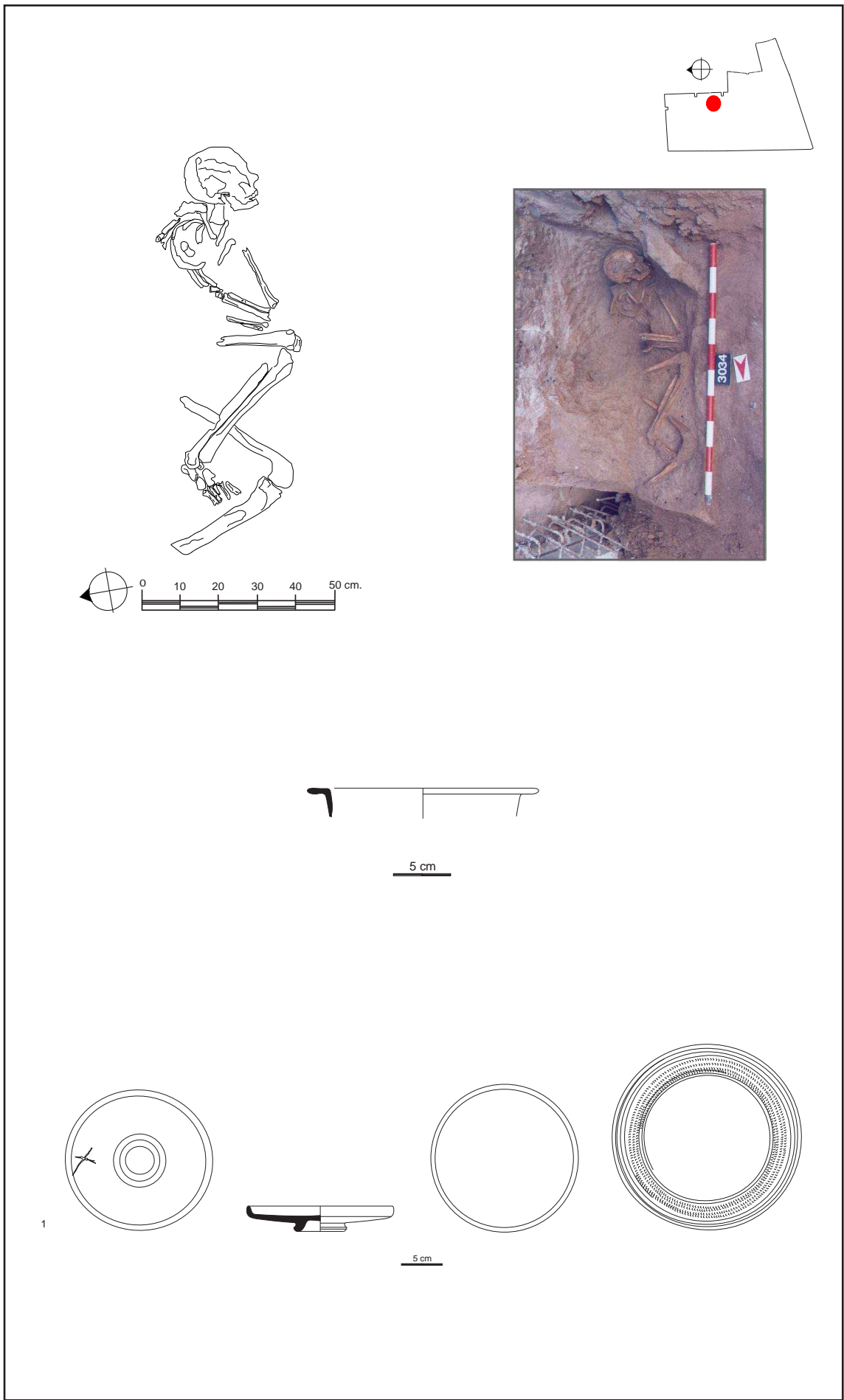


Lámina 5.13: Tumba nº54

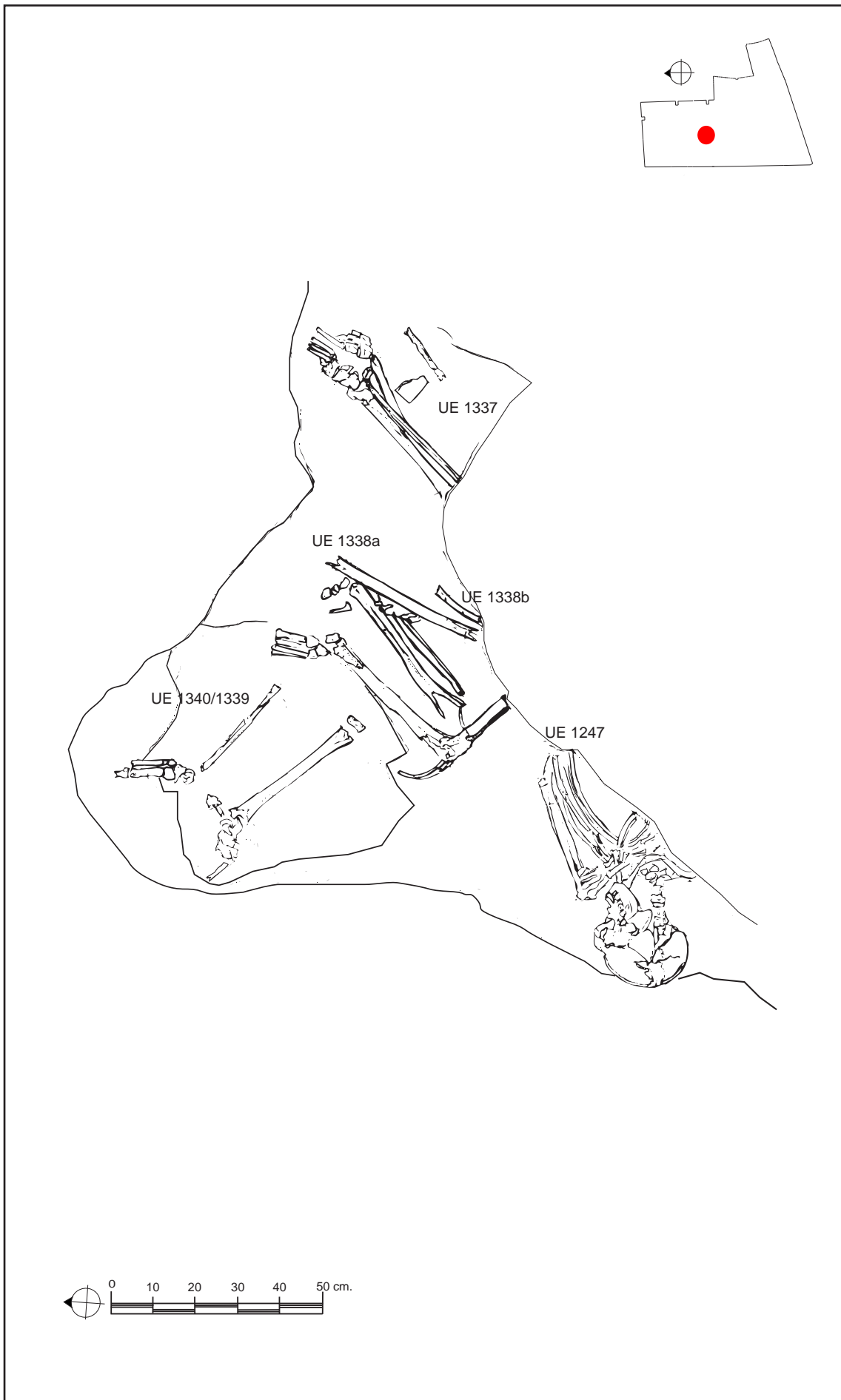


Lámina 5.14: Tumba nº 15 *puticuli*

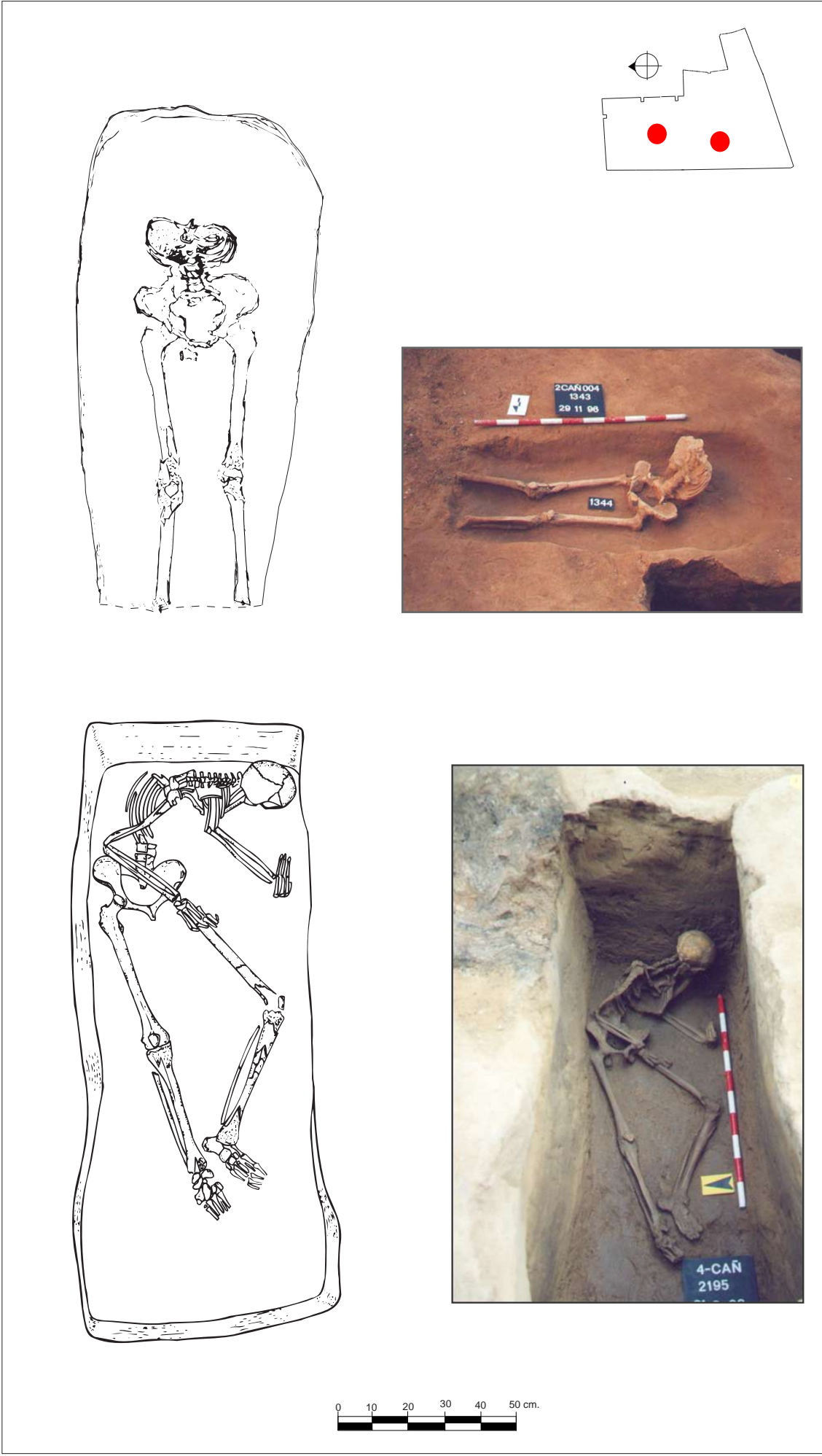


Lámina 5.15: Tumbas nº 11 y nº 38

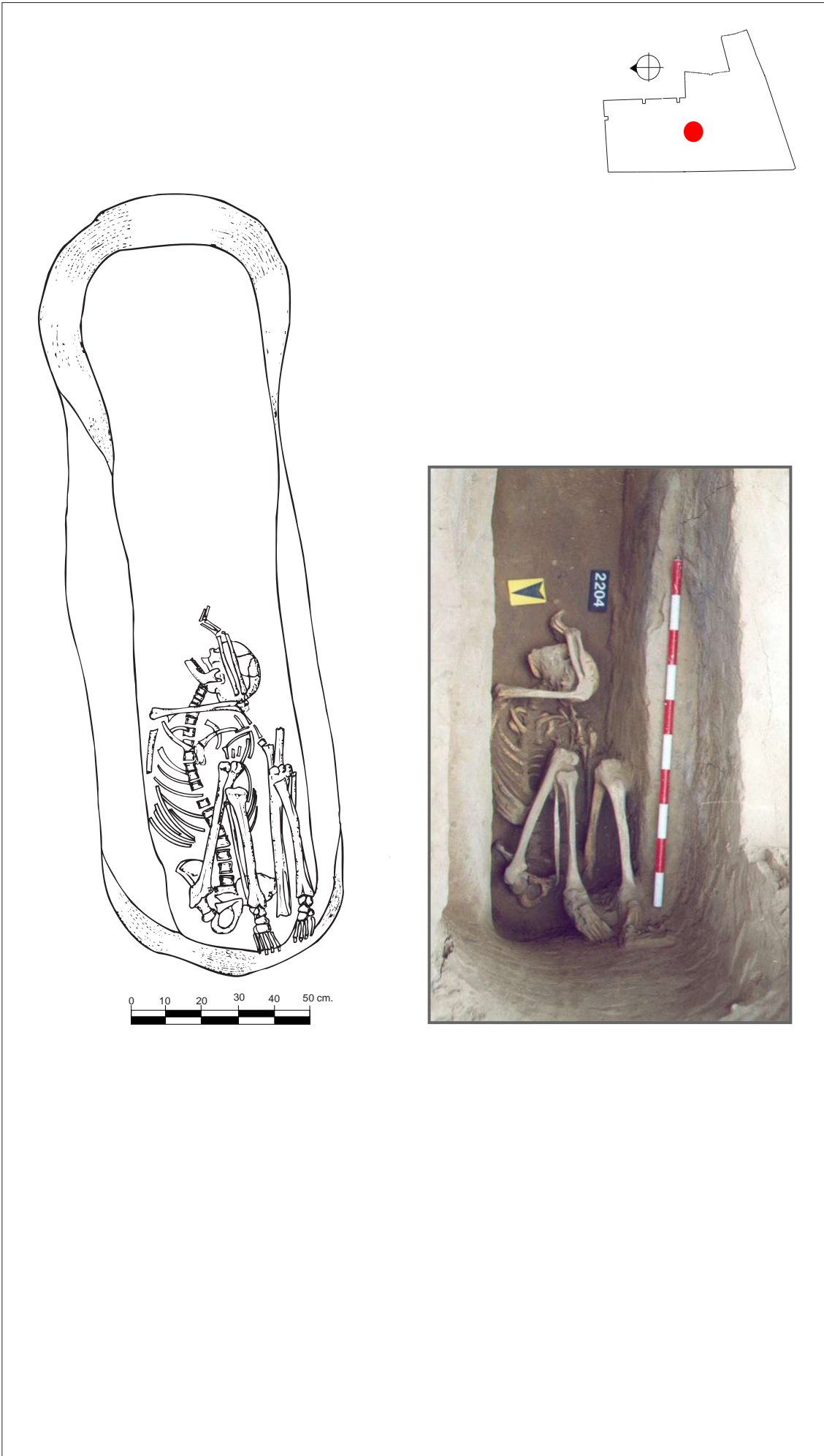


Lámina 5.16: Tumba 40

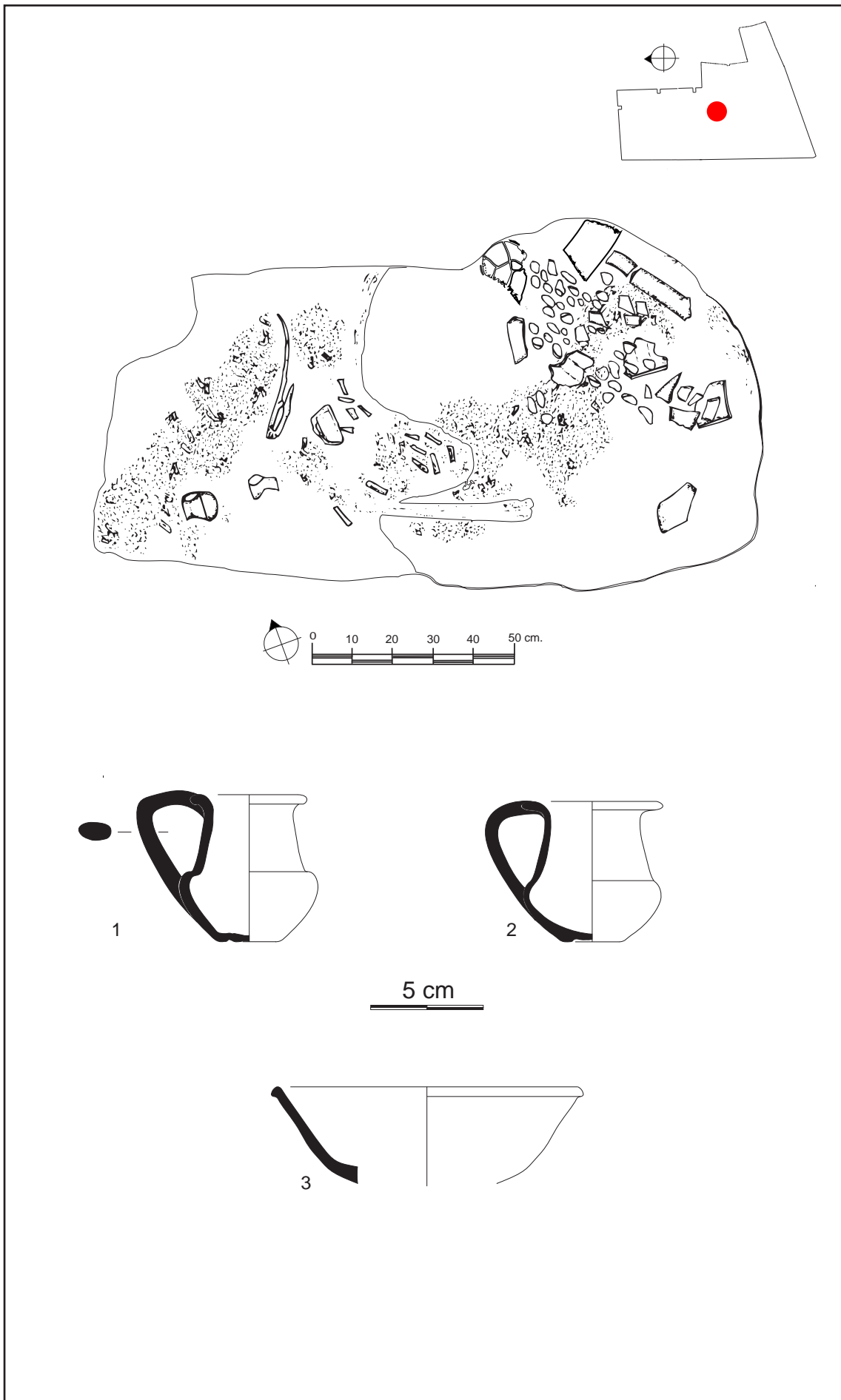


Lámina 5.17 : Tumba nº 73

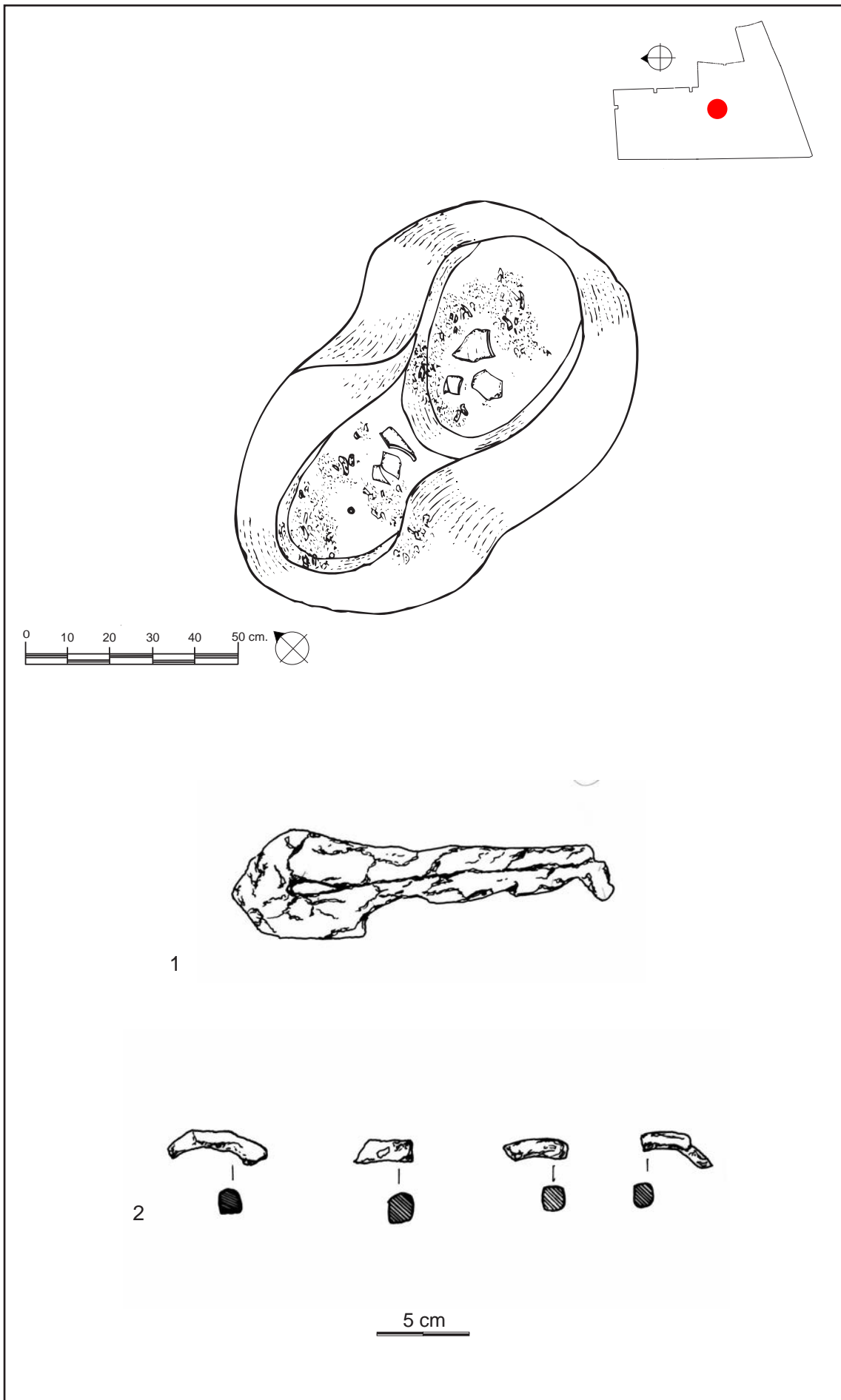


Lámina 5.18: Tumba nº 74

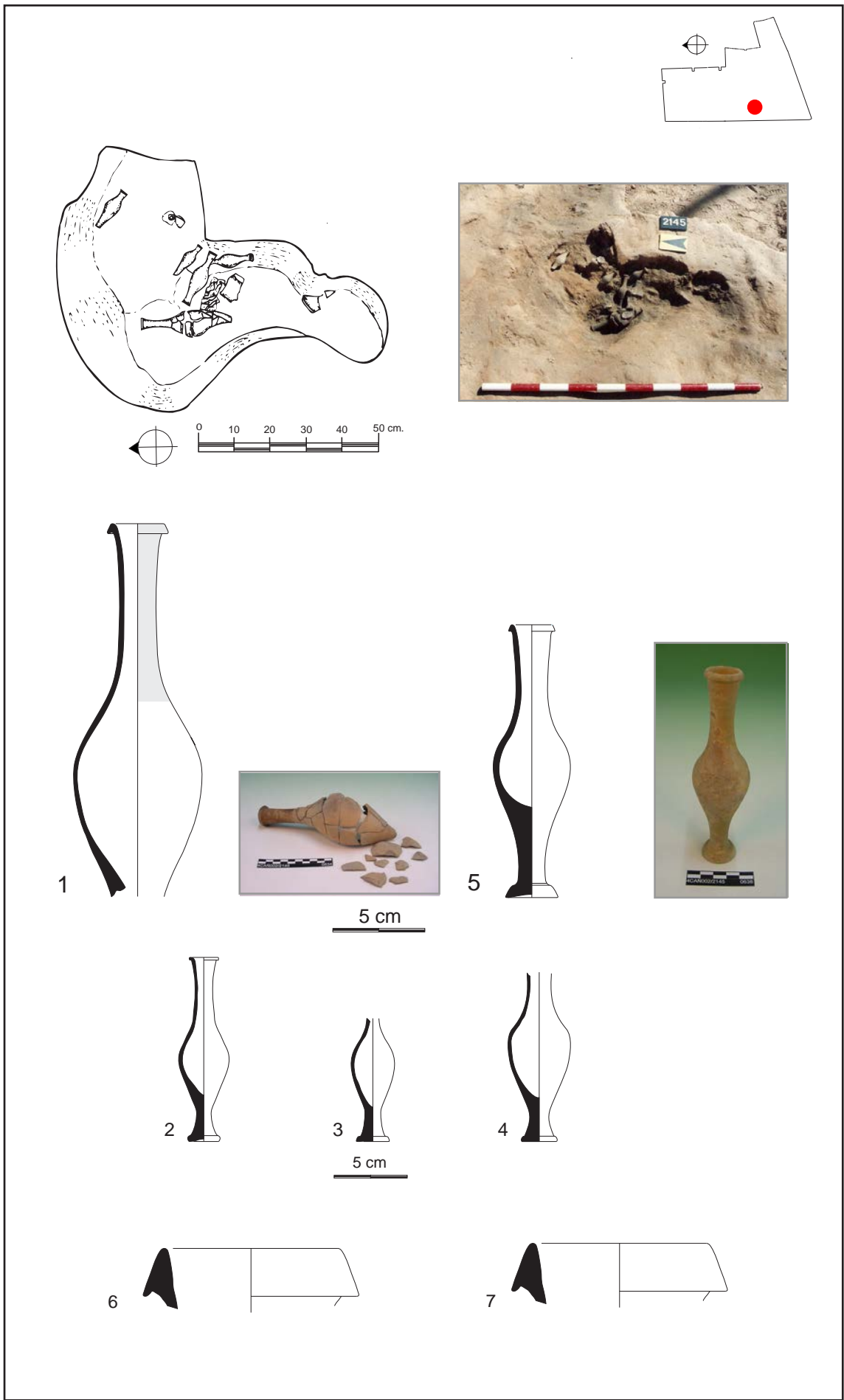


Lámina 5.19: Tumba nº 75

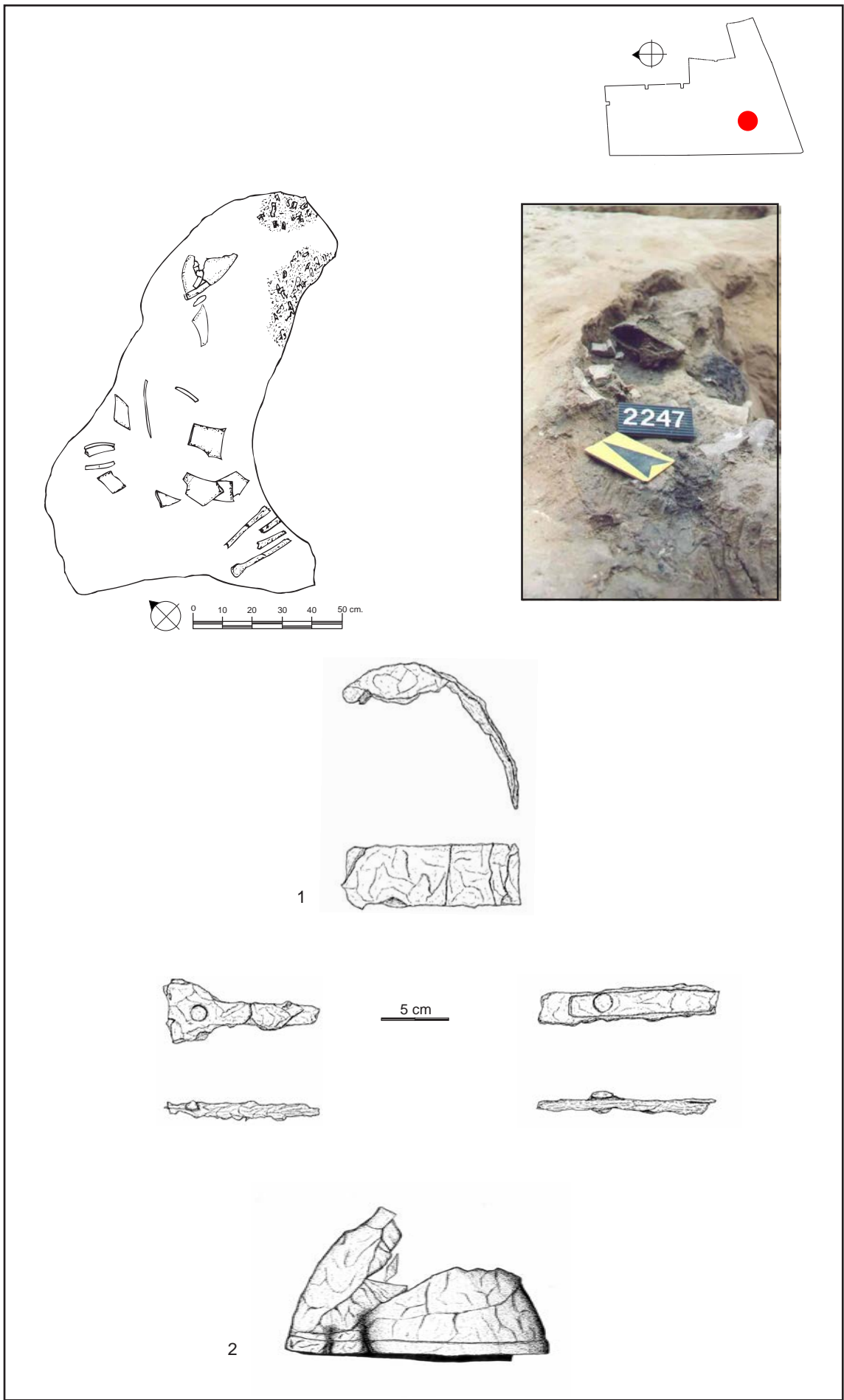


Lámina 5.20: Tumba n°78

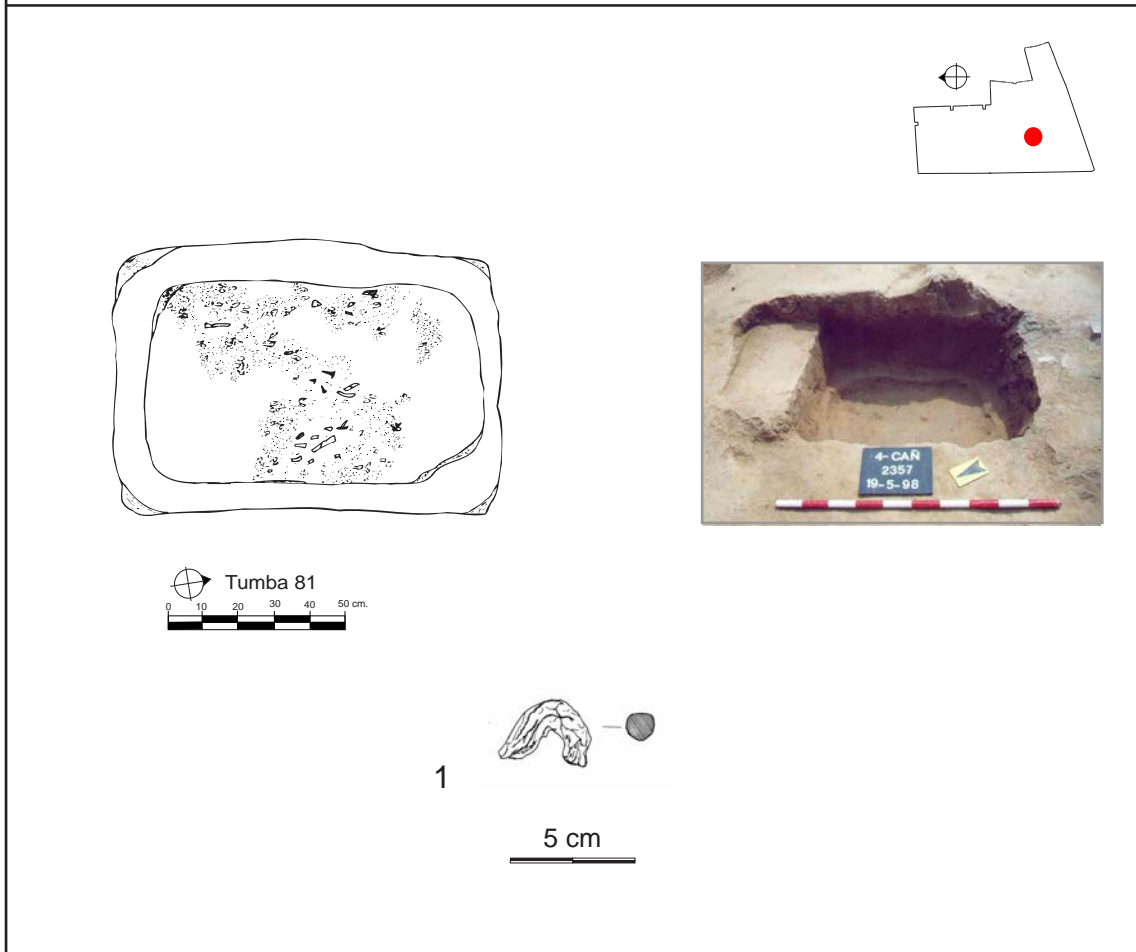
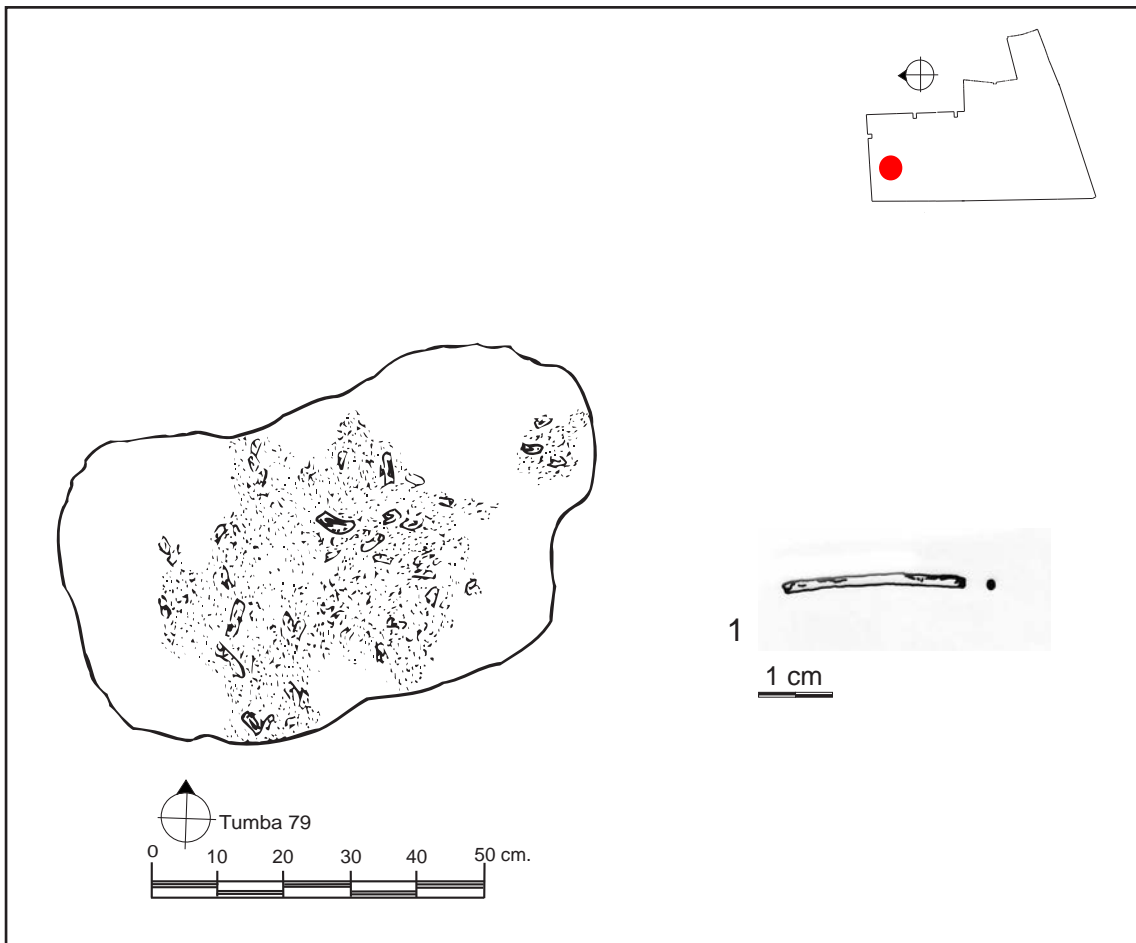


Lámina 5.21: Tumbas nº 79 y 81

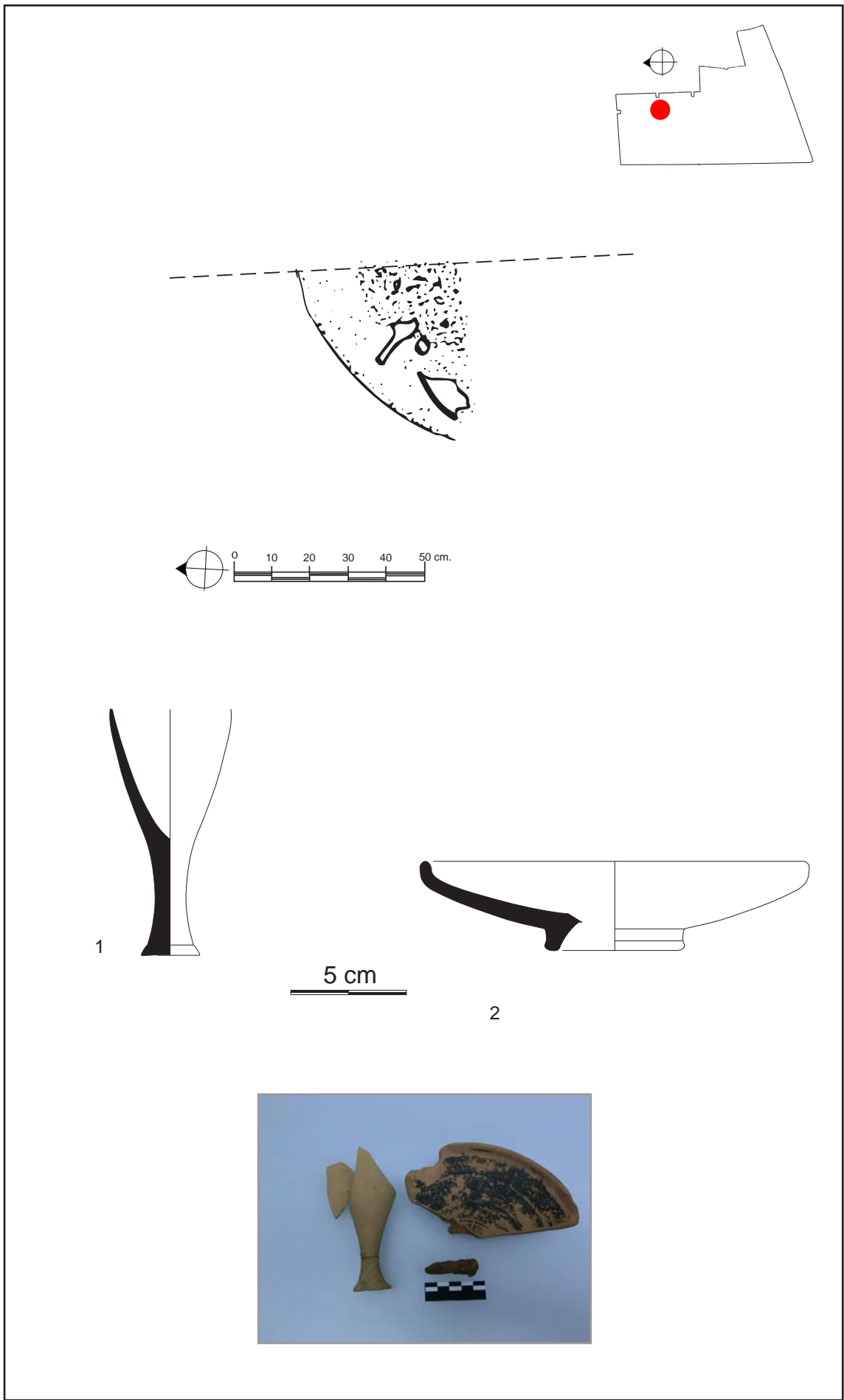


Lámina 5.22: Tumba nº82

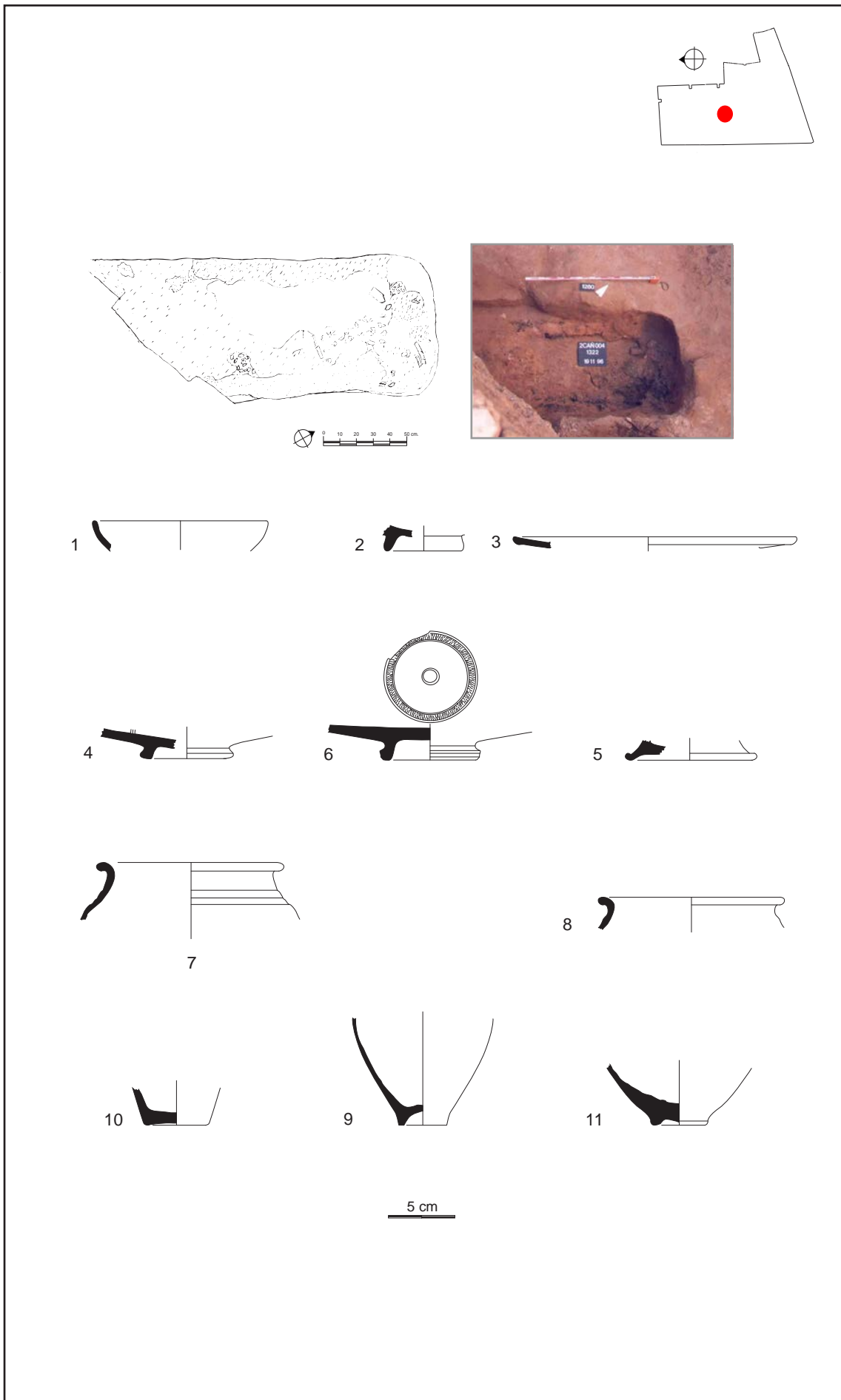


Lámina 5.23. *Ustrinum* estructura nº 84

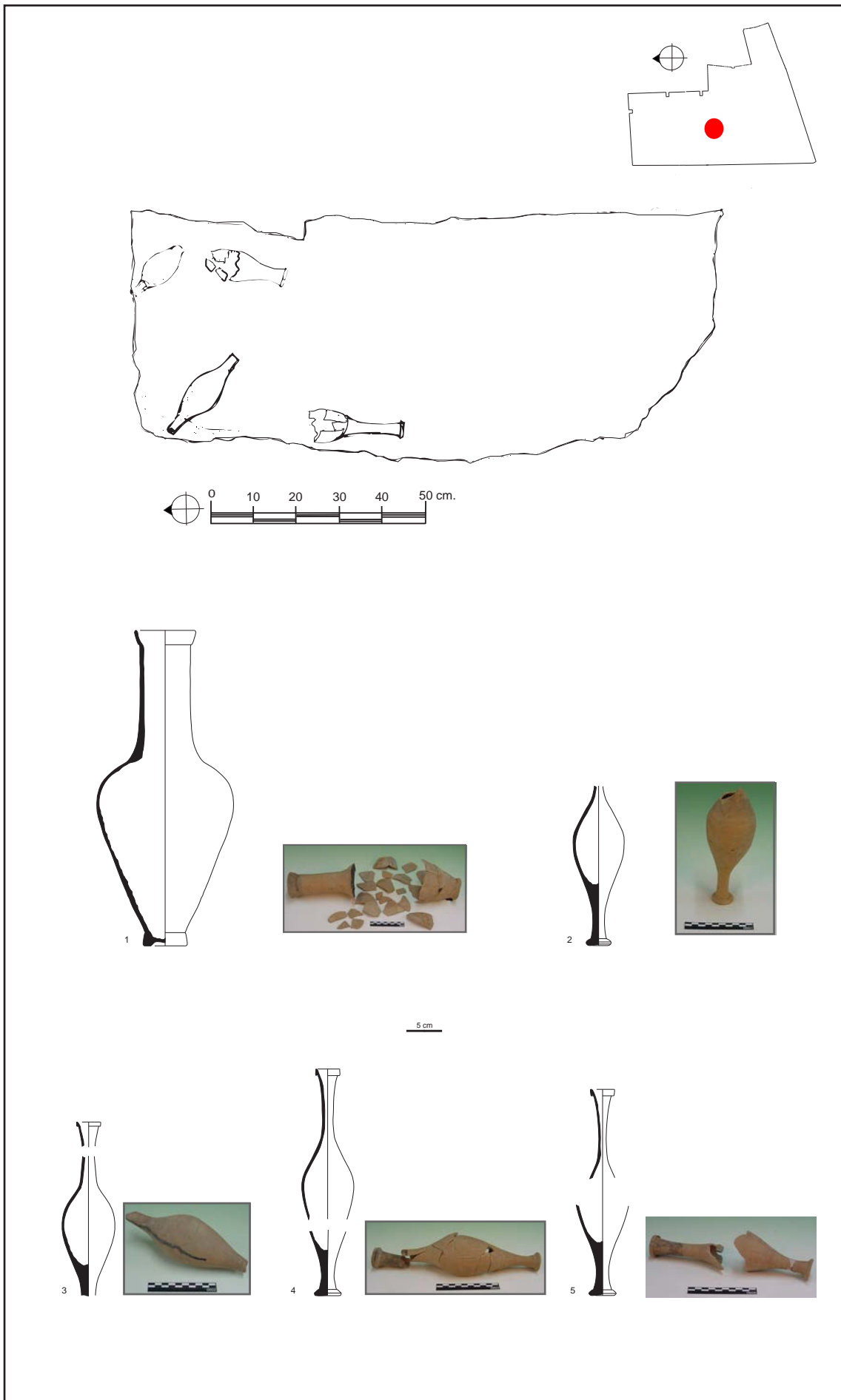


Lámina 5.24: Cenotafio, estructura nº 87

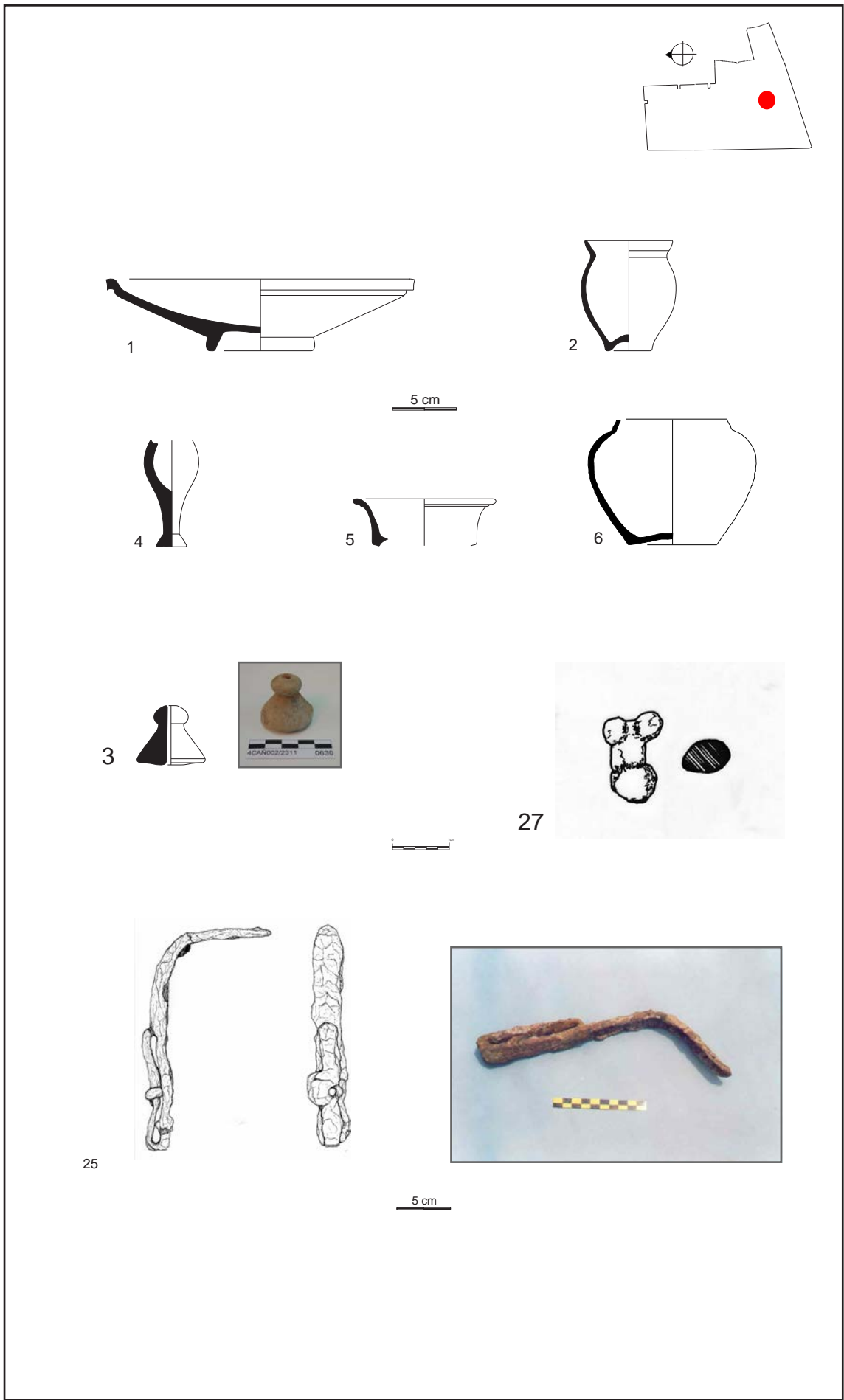


Lámina 5.25 Zanja votiva 90

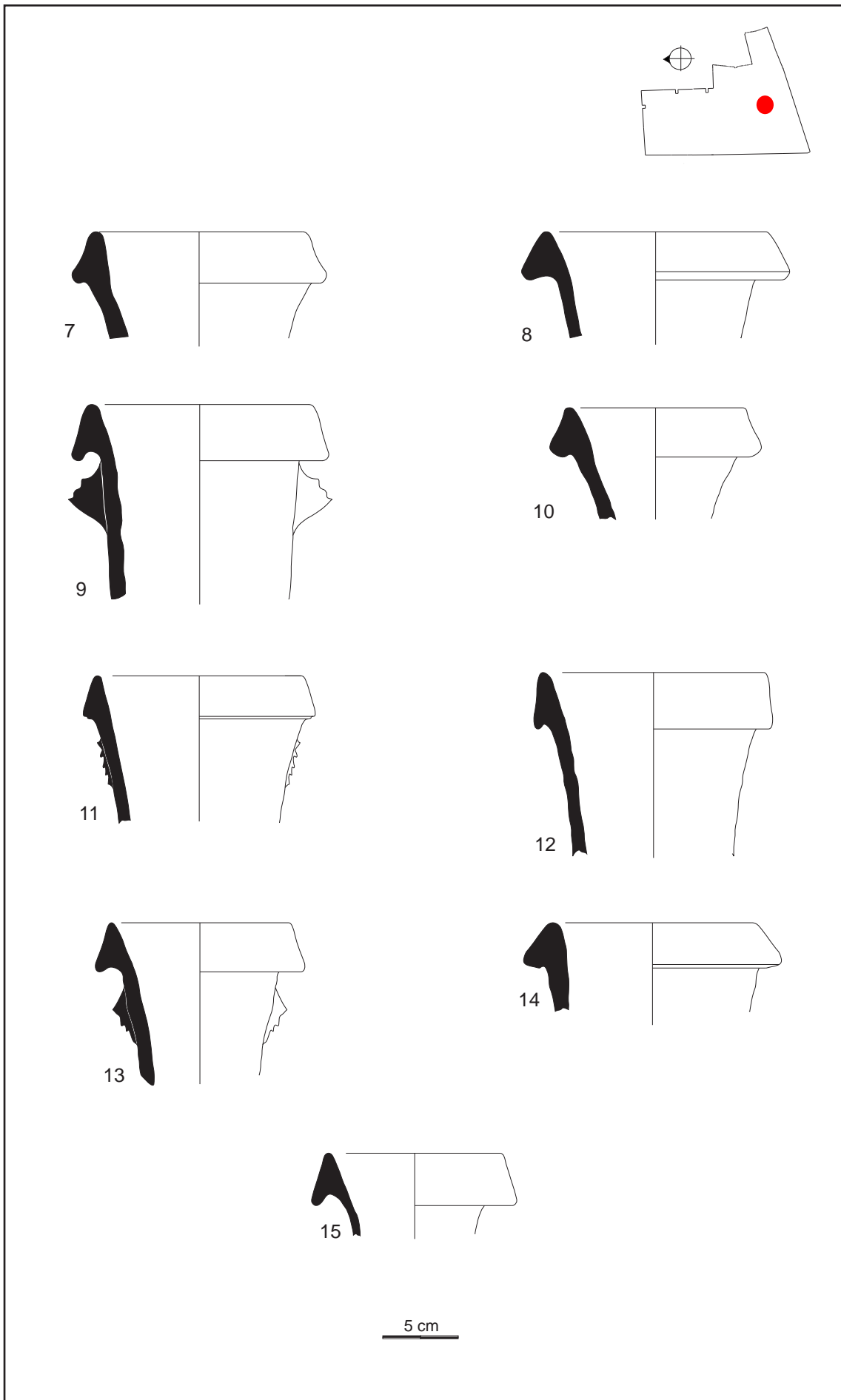
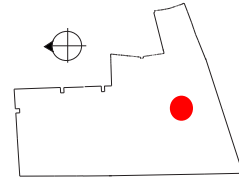


Lámina 5.26: Zanja votiva 90



16



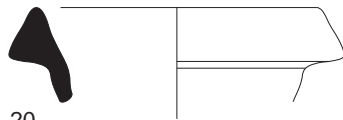
17



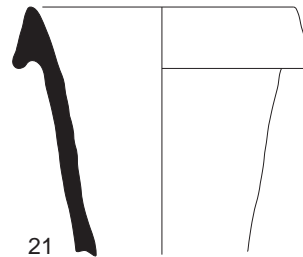
18



19



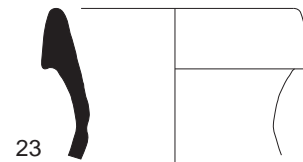
20



21



22



23

5 cm

Lámina 5.27: Zanja votiva 90

TIPOS DE TUMBAS DEL SIGLO I A.C

- TUMBAS SIMPLES-A
- LOCULLUS
- BUSTUM
- USTRINUM
- CREMACIONES URNA IBÉRICA

♂ VARÓN ♀ MUJER ¿? INDET.

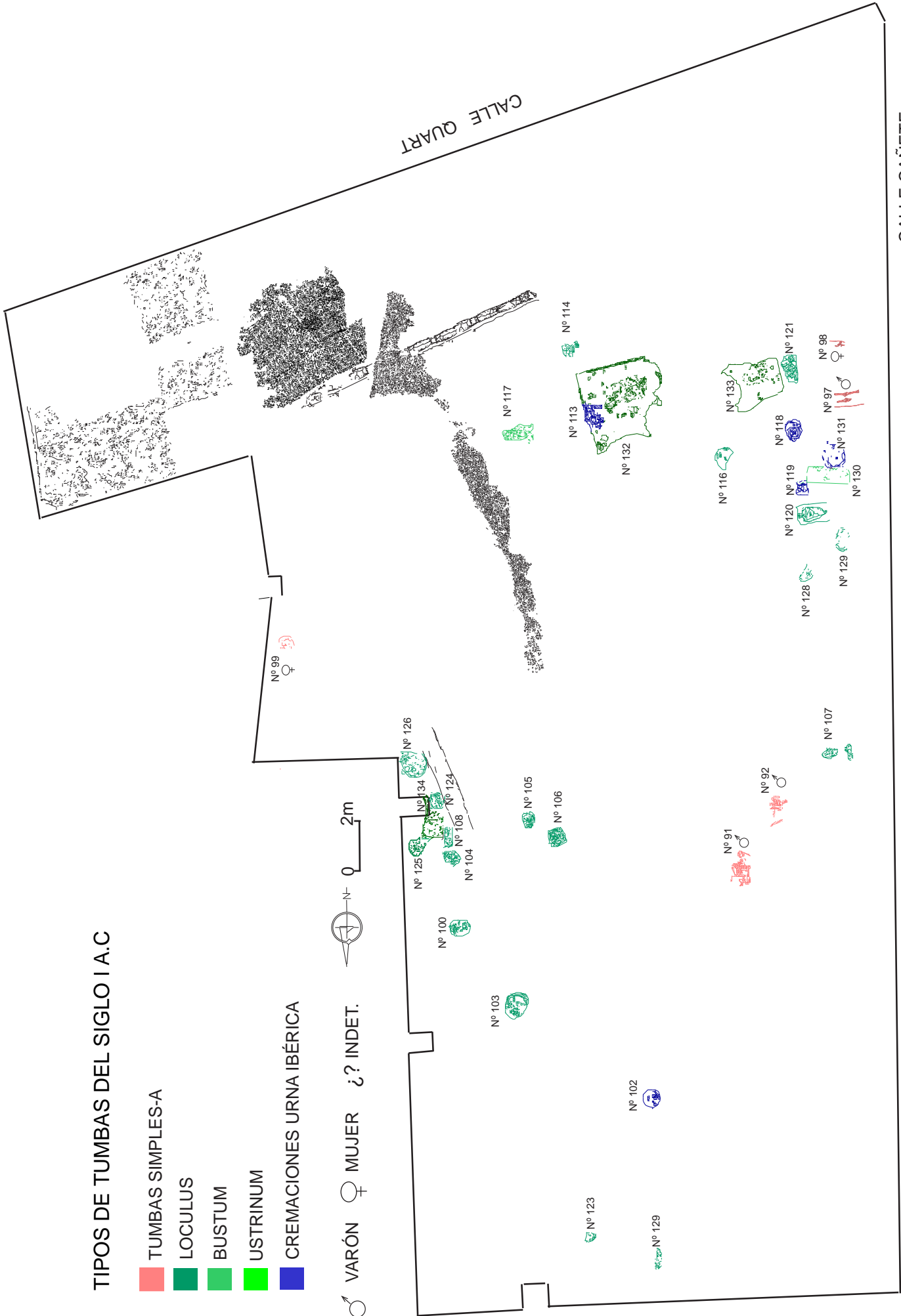
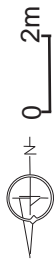


Lámina 5.1: Tipos de tumbas y estructuras S. I a.C

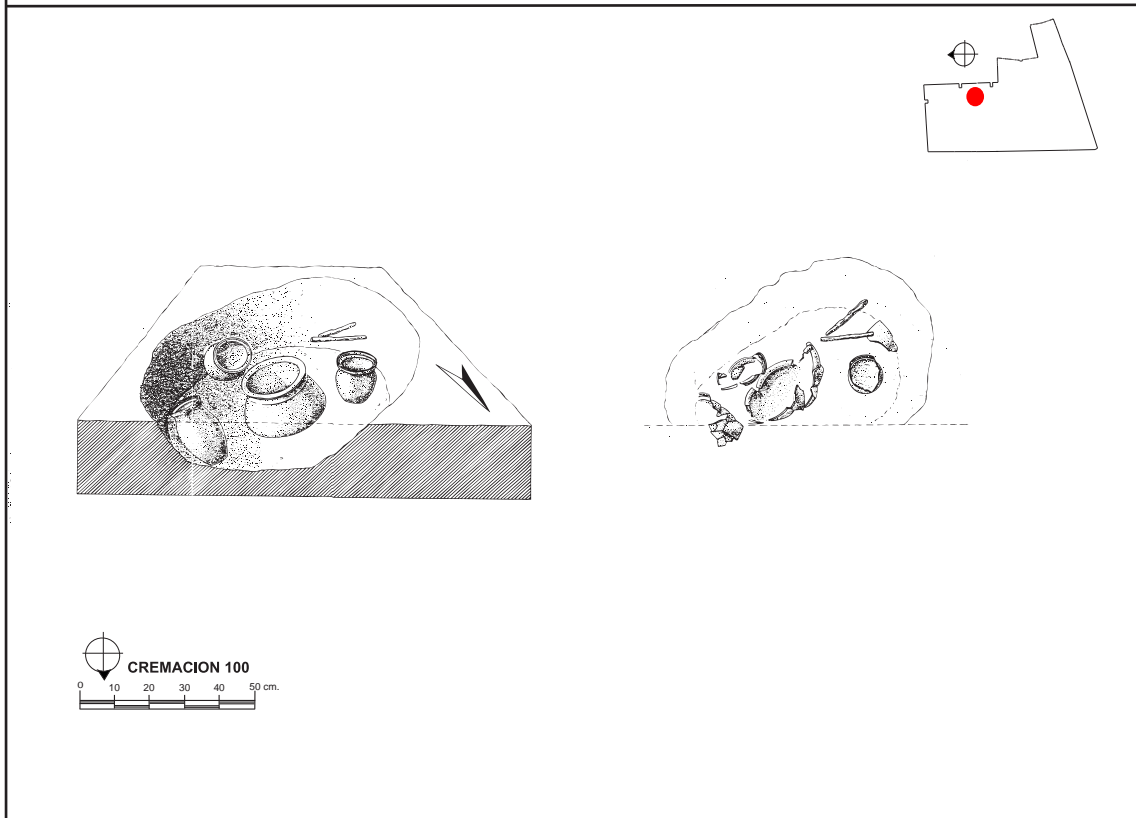
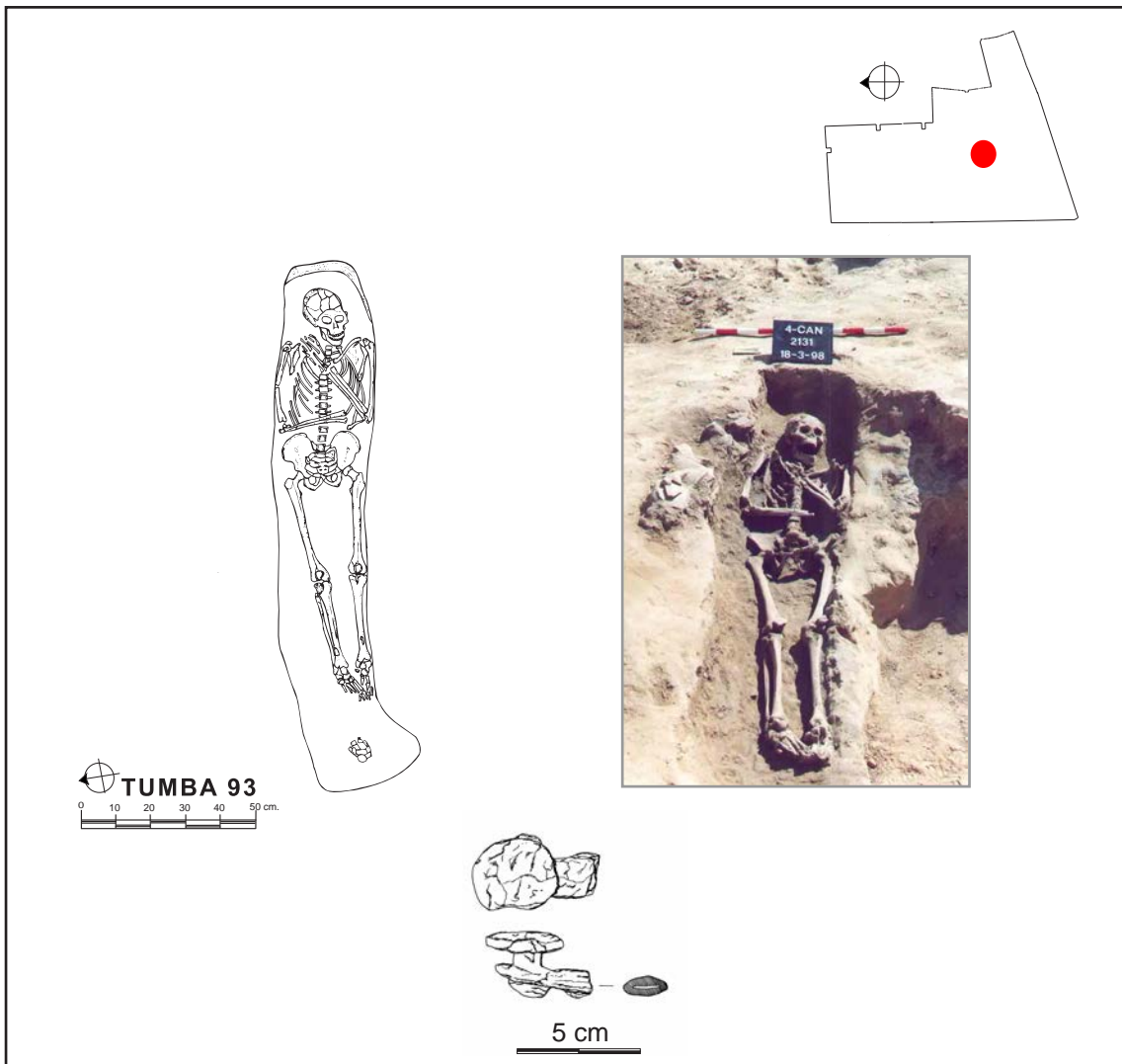


Lámina 5.29 Tumba nº 93 y Cremación nº 100

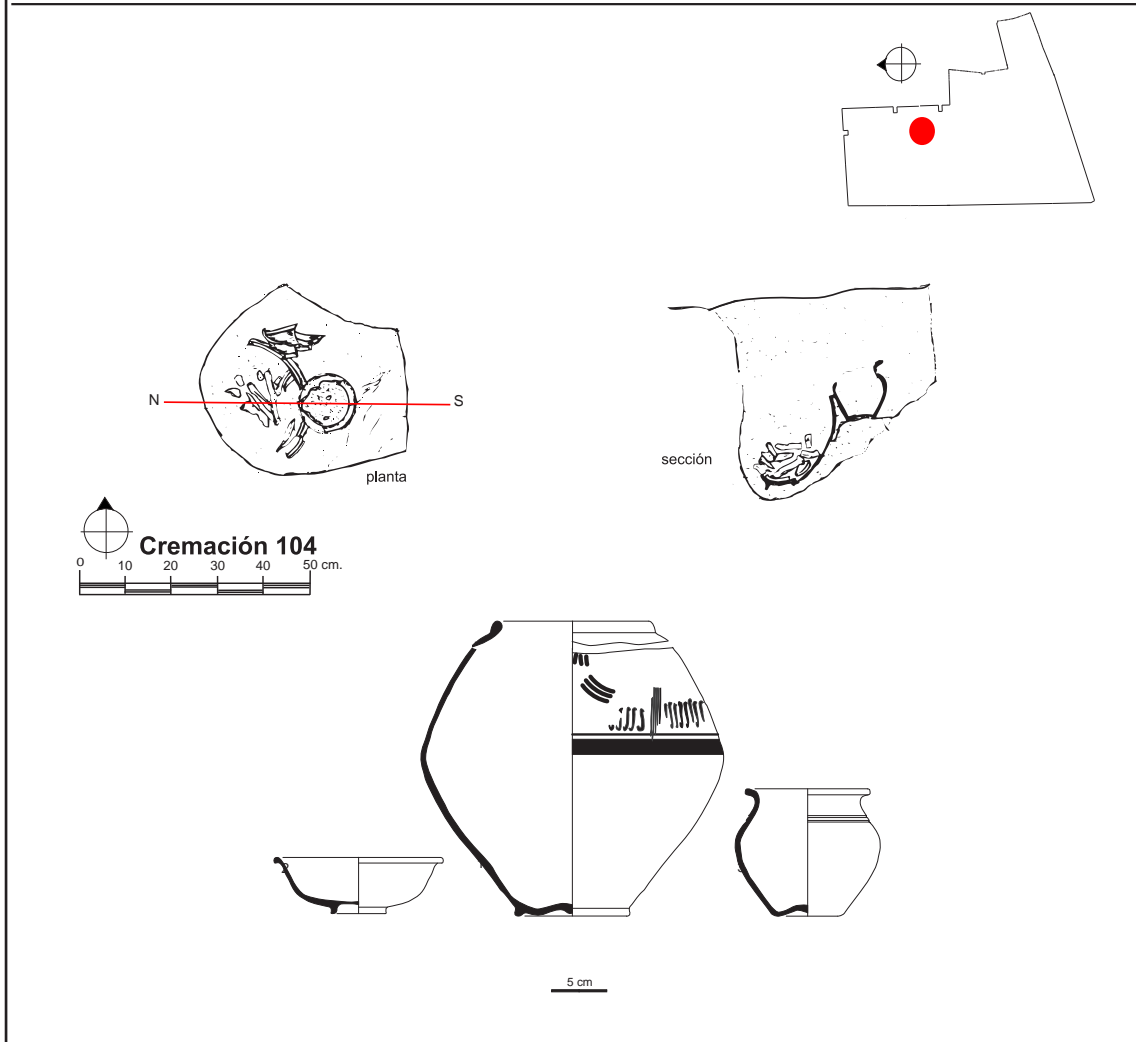
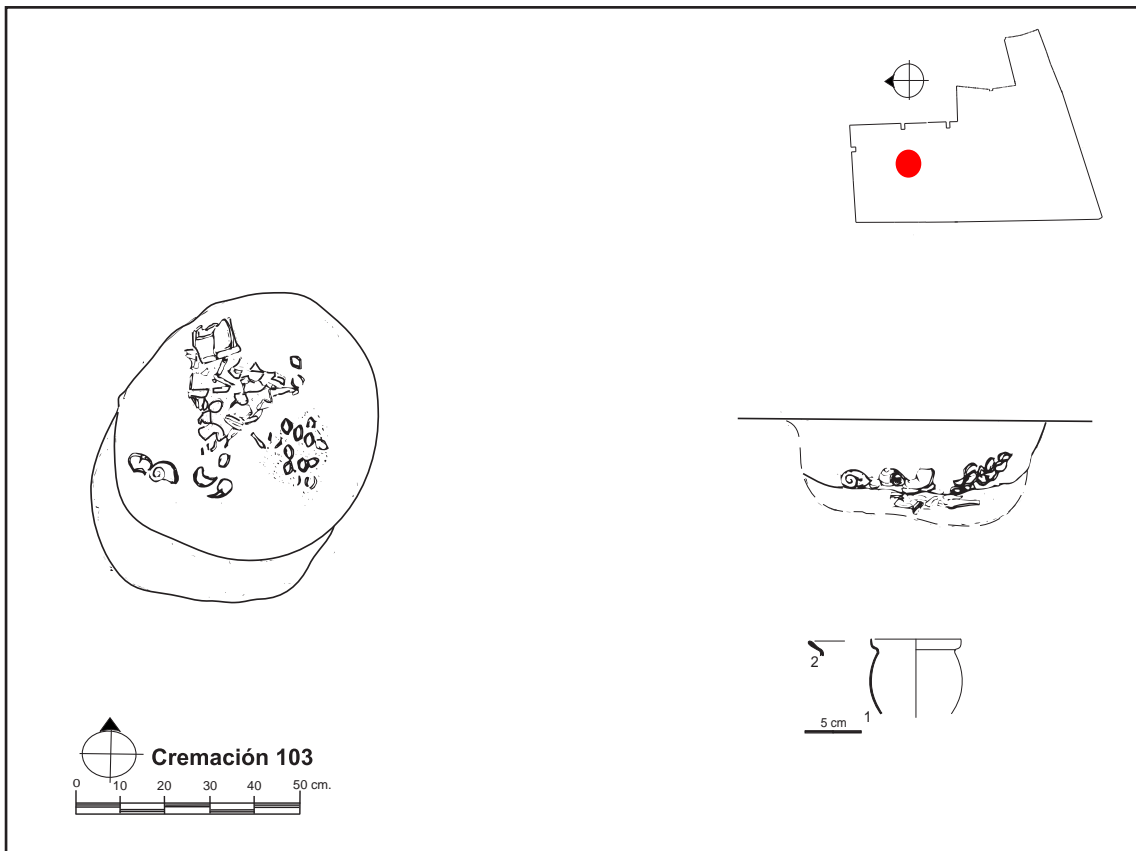


Lámina 5.30 Cremaciones 103 y 104

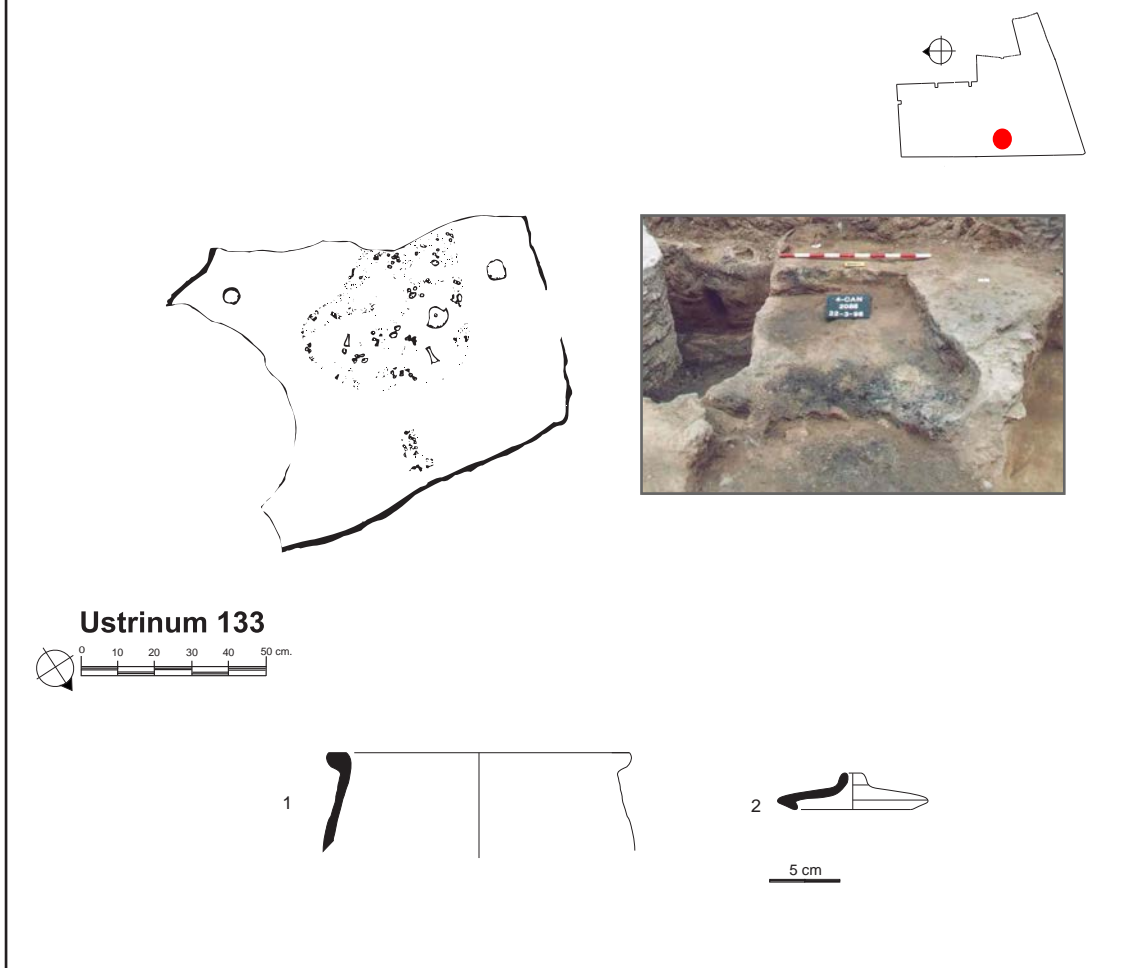
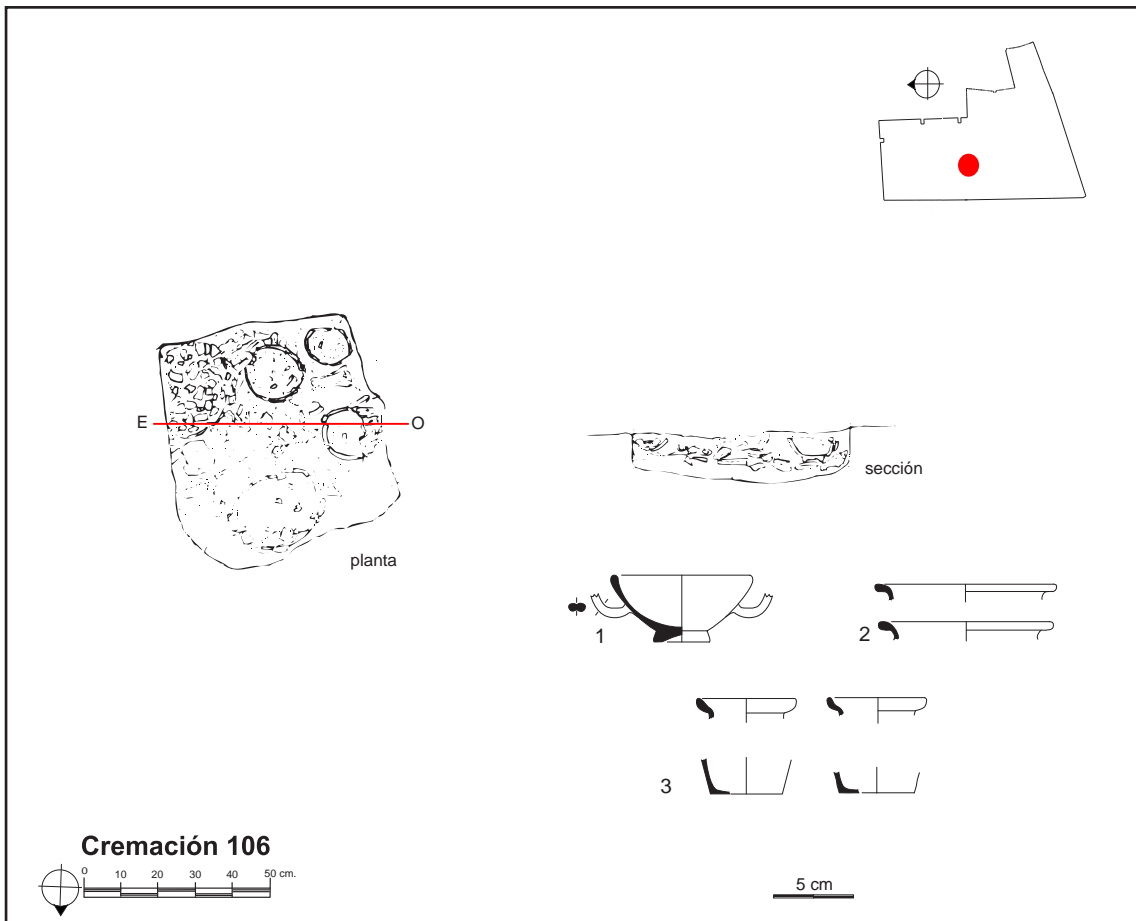


Lámina 5.31: Cremación 106 y Ustrinum 133

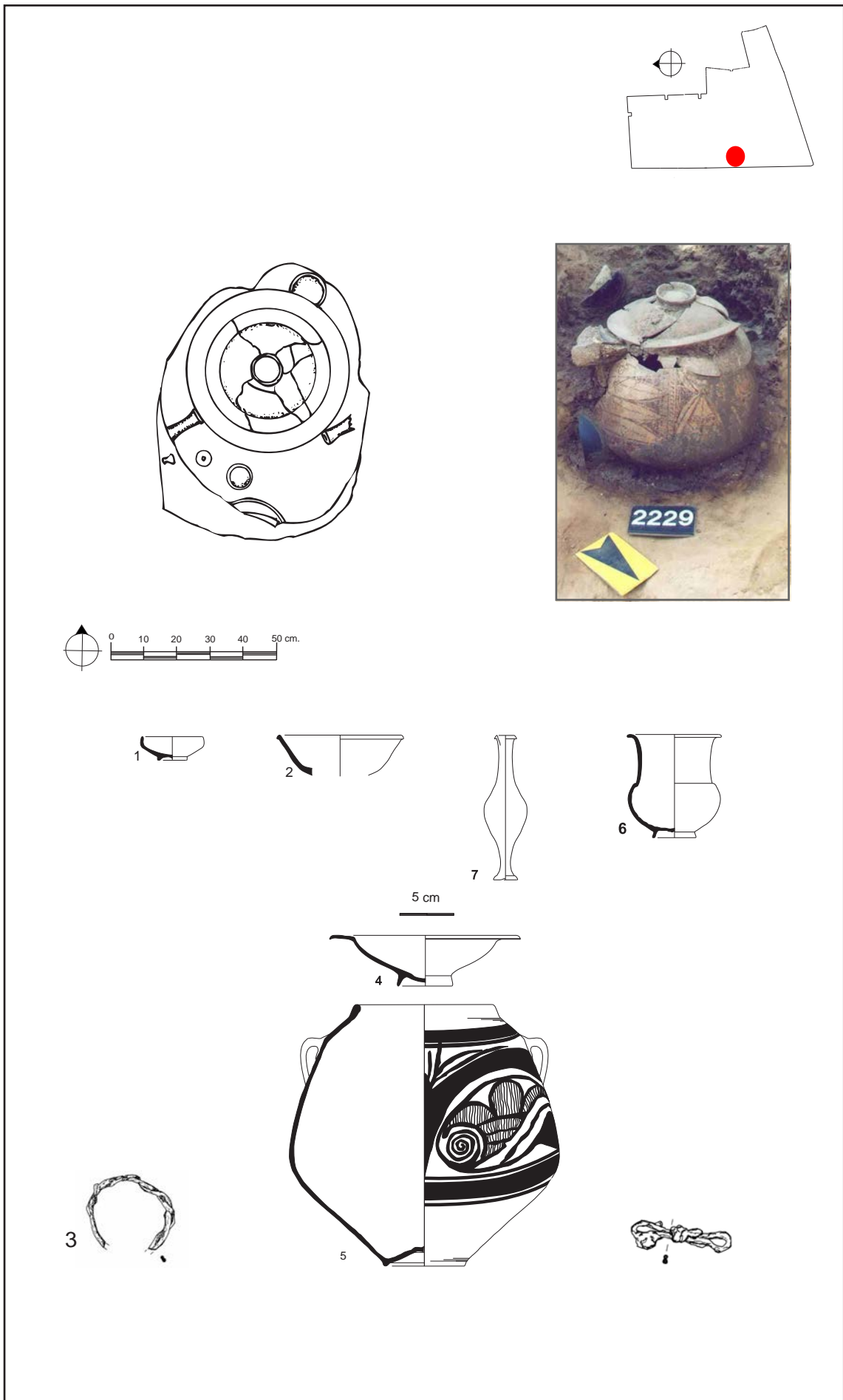
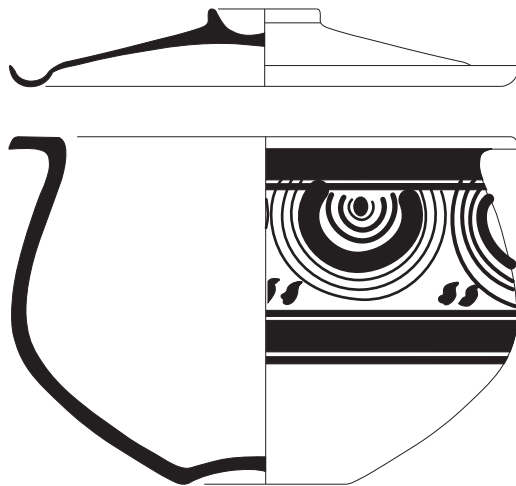
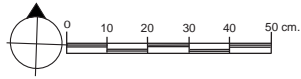
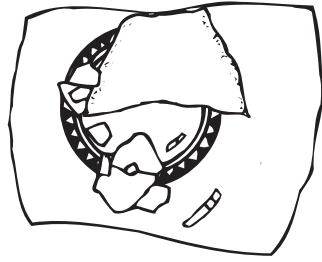
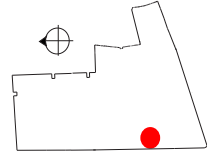


Lámina 5.32: Cremación nº 118



5 cm

Lámina 5.33: Cremación nº 119

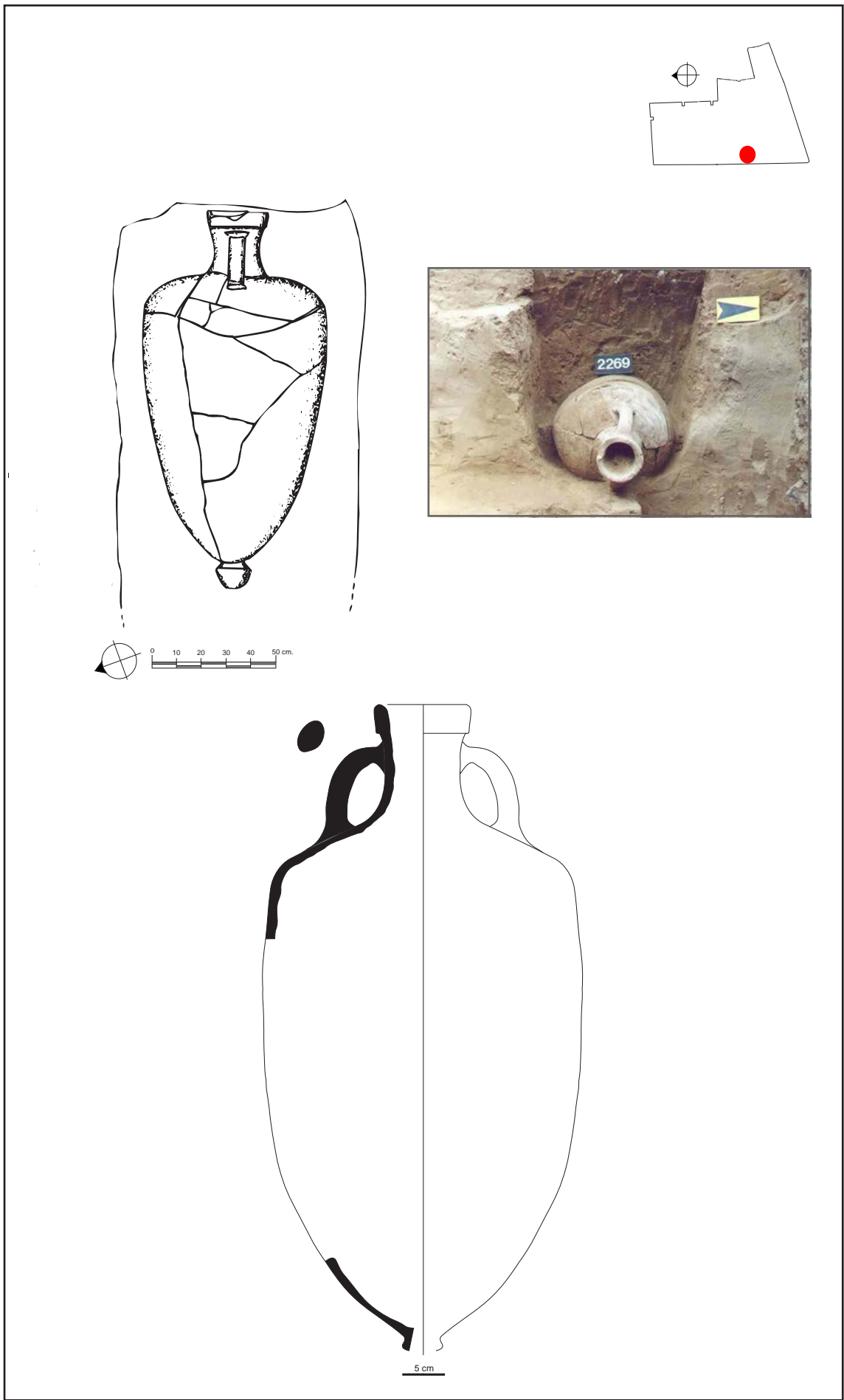


Lámina 5.34: Cremación nº 120

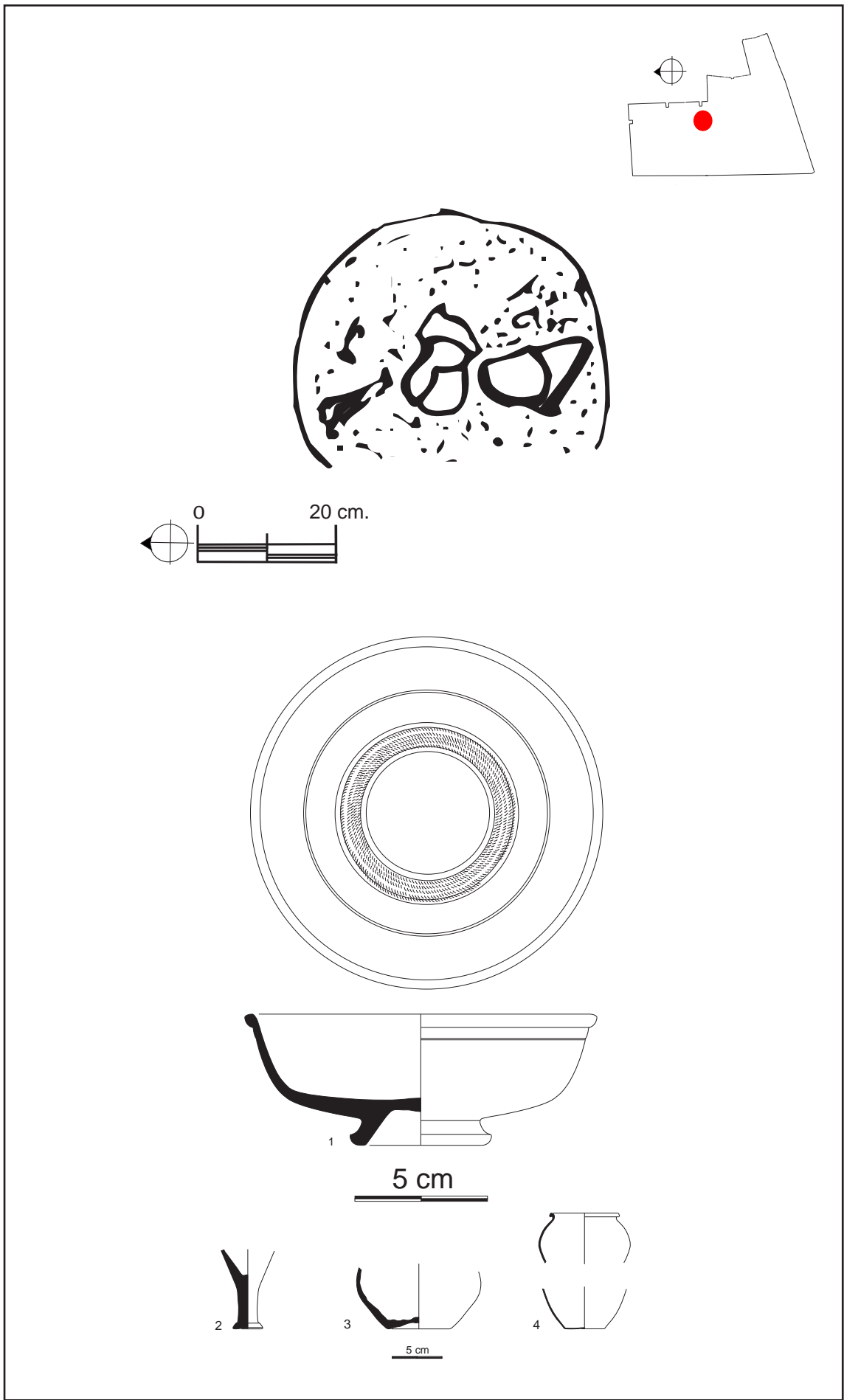


Lámina 5.35: Cremación n° 124

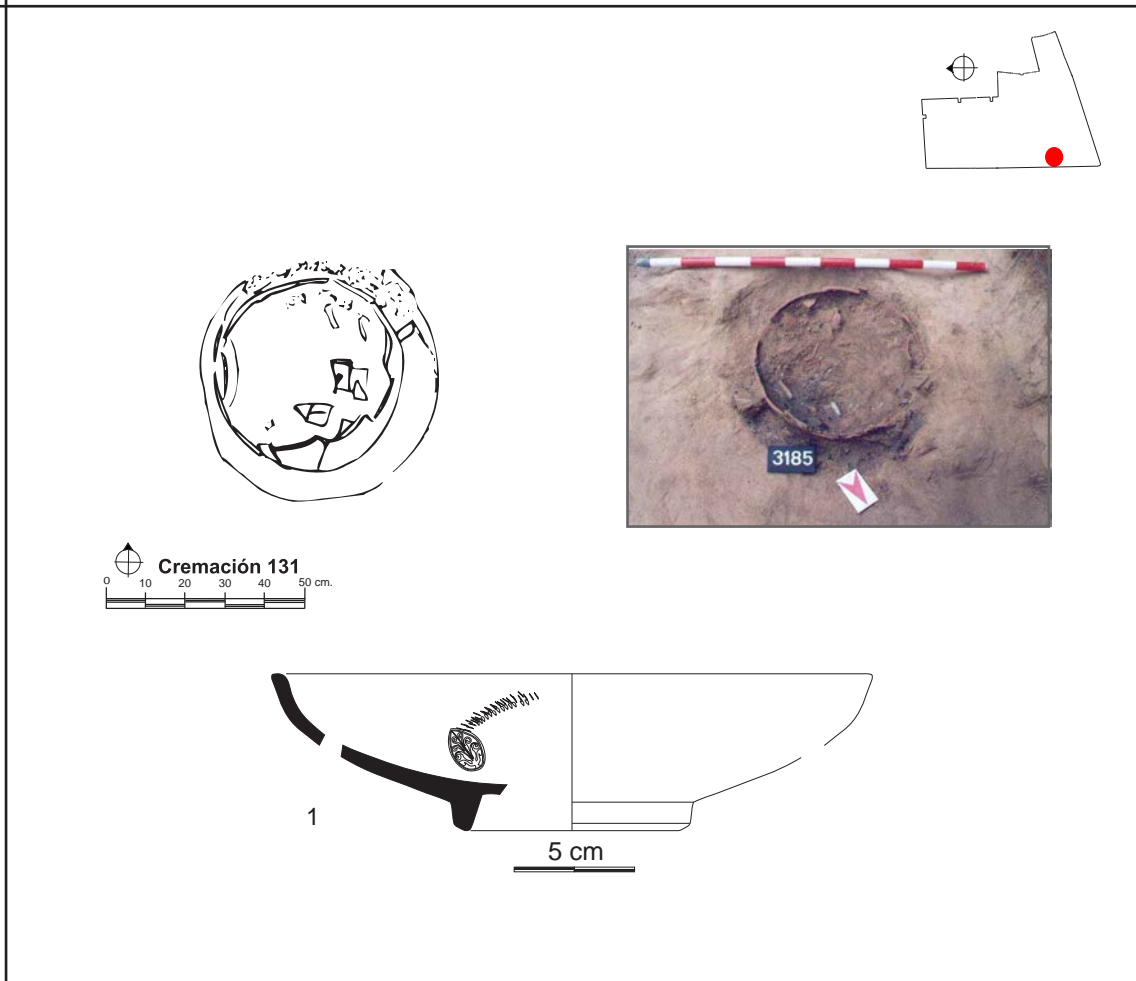
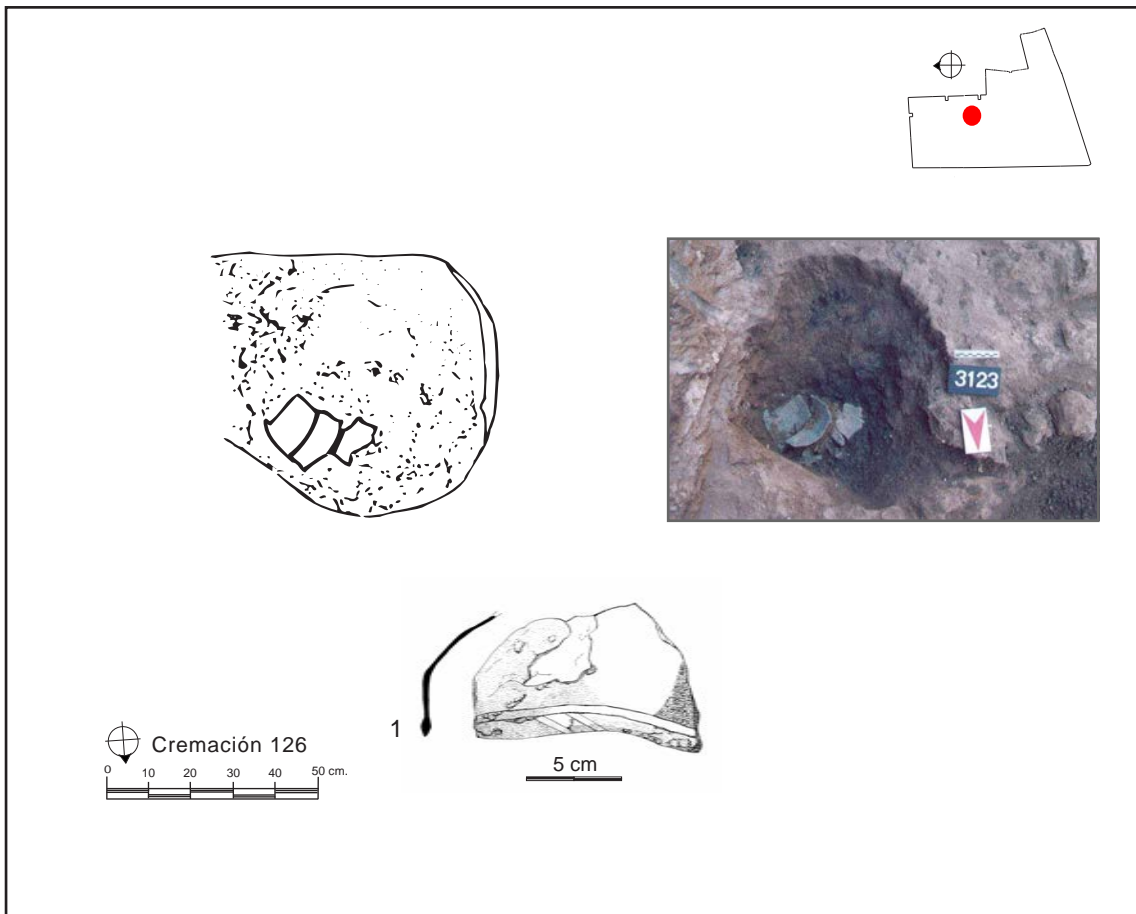


Lámina 5.36: Cremaciones nº 126 y 131

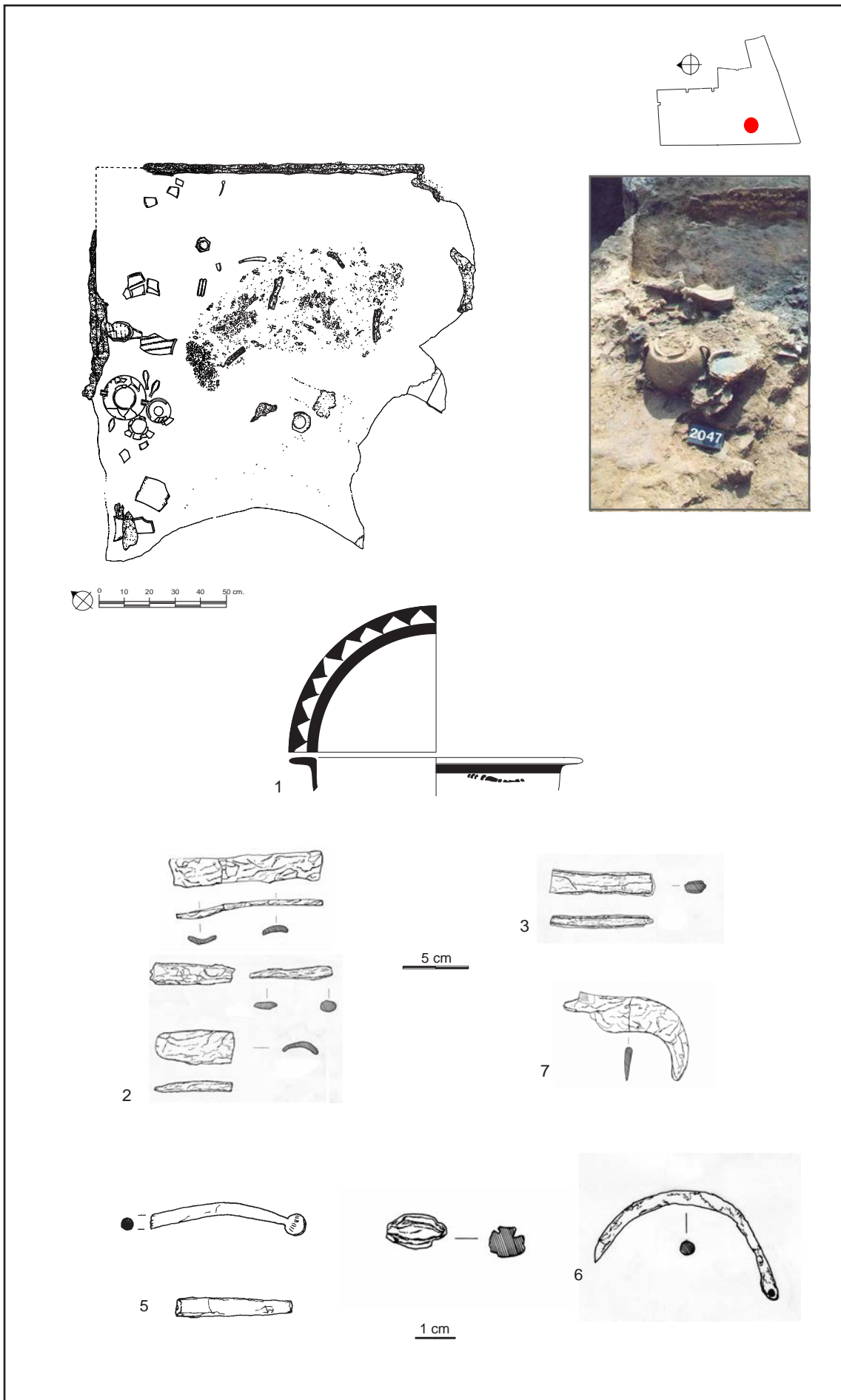


Lámina 5.37: Ustrinum n° 132

5.4 Periodo imperial

5.4.1 Fase imperial (siglo I d.C.) (Tumbas de inhumación, tumbas de cremación y estructuras funerarias) (Lámina 5.38)

Tal y como ya se ha apuntado en el apartado 5.1, durante el alto imperio el área funeraria se encuentra articulada por dos calzadas constituidas por capas de cantos rodados de pequeño tamaño. Desde inicios del siglo I d.C. y a lo largo del siglo II-III d.C., la falta de espacio provocada por la profusión de tumbas interrumpe la circulación rompiendo la calzada. Varias capas de enterramientos ocupan el corte sur cuyos niveles naturales buzan en talud. Los primeros enterramientos se sitúan en varios niveles de arcillas, naturales, y antrópicos. Estos estratos con enterramientos fueron fáciles de identificar gracias a la presencia de los *ustrina* que sirvieron de identificador de los niveles funerarios.

TUMBAS DE INHUMACIÓN

138. TUMBA DE INHUMACIÓN (1272, 1273)

Fosa (s/n) de forma rectangular.

Relleno U.E 1273, estaba compuesto por una tierra de textura arcillosa con carbones, malacofauna, fragmentos cerámicos así como metálicos. Cabe destacar la presencia de restos antropológicos sin conexión anatómica formando parte del relleno del enterramiento.

Durante los trabajos de laboratorio se estudiaron restos antropológicos pertenecientes a dos individuos identificados como esqueletos (1273-A, 1273-B).

Esqueleto U.E 1273-A, corresponde a un individuo adulto sin poder aproximar un rango de edad. De sexo probable varón. En mal estado de conservación (6,5% IC). Dado que son restos recuperados de la excavación del relleno de esta tumba, se desconocen datos aportado por los gestos funerarios tales como posición, deposición del individuo, evidencias de mortaja, etc.

Desde un punto de vista patológico destacan:

1. Patología infecciosa: osteítis supra-inion (infección por parasitosis).

Marcadores de actividad en miembros superiores como hipertrofia humeral, muy marcada.

Esqueleto UE 1273-B, corresponde a un individuo subadulto de sexo indeterminado, y edad sin poder concretar dado el escaso índice de conservación (1%).

Esqueleto U.E 1272-A, corresponde a un esqueleto adulto, con un rango de edad adulto joven- maduro, pudiéndose establecer en una horquilla de edad comprendida entre los

35 y 45 años. Sexo mujer. Presentaba una orientación S-N y estaba enterrado en posición de decúbito supino. La cabeza estaba girada hacia la derecha. La extremidad superior derecha estaba completa con las falanges sobre la pelvis y las extremidades inferiores semiflexionadas conservándose además el tarso y metatarso sin presencia de las falanges de ambos pies. El índice de conservación del esqueleto se ha establecido en un (33,5%).

Edad: edad comprendida entre los 35-45 años a partir del desgaste dental tipo 4-6 (Holly-Sthmith, 1984) con una correspondencia de edad entre los 33-45 años (Brothwell, 1991).

Sexo: mujer.

Métodos morfológicos: morfología pélvica (escotadura ciática con ángulo abierto).

Estatura de 161-163 cm, estimada a partir de las tablas de Manouvrier (Krogman, 1986), a partir de la longitud máxima de tibia derecha.

Sin evidencias claras de mortaja.

Descomposición en medio colmatado.

Complexión anatómica: grácil.

Lateralidad indeterminada.

Desde un punto de vista patológico destacan:

1. Salud bucodental: fractura de esmalte dental, cara vestibular y mesial de las piezas (4.6, 4.7), hipoplasias del esmalte en las piezas (1.6, 1.5 y 4.2) a una altura de la línea LAC de 3- 2 mm.
2. Patología infecciosa: reacción perióstica en parte media del peroné derecho. Patología tumoral: orificio de 6x5 mm en el cuello del astrágalo "*collum talli*".
3. Patología traumática: torsión de tercer metacarpiano izquierdo.

Marcadores de estrés ocupacional: indicadores de una biomecánica relacionada con una actividad continuada de brazos y piernas como consecuencia de sus actividades laborales u ocupacionales:

1. Entesopatía del pectoral mayor derecho en grado leve.
2. Hipertrofia humeral derecha en grado moderado.
3. Hipertrofia de falanges bilateral en grado leve.
4. Entesopatía de ligamento redondo bilateral en grado moderado.
5. Entesopatía de línea áspera bilateral en grado moderado.

Variantes anatómicas epigenéticas: metodismo de suturas craneales.

Ajuar:

Los materiales de 1273

Cerámicas:

- (1) Fragmento de borde de cerámica ibérica lisa. Pátera. Pasta de color gris marronáceo con inclusiones finas y abundantes. Diámetro de boca 17 cm.
- (2) Fragmento de borde correspondiente a una tapadera de cerámica ibérica lisa. Borde moldurado y saliente. Pasta gris muy depurada que presenta las superficies espatuladas. Diámetro de boca: 10 cm.
- (3) (nº inv. 77) Cerámica ibérica lisa. Vaso caliciforme. Borde saliente, pasta gris con inclusiones muy finas de cuarzo, cal y mica. Diámetro de boca 9 cm.
- (nº inv. 75) Lucerna de disco completa.
- (4) Fragmento de borde perteneciente a un ánfora romana tipo Dressel 1B. Pasta naranja, desgrasante fino y superficie externa con engobe color crema.
- (nº inv. 78) Asa de ánfora romana, posible Dressel 1.
- (nº inv. 79) Arranque de asa de ánfora romana. Posible Dressel 1. Pasta anaranjada con desgrasante de cal, cuarzo muy fino. Superficie exterior con engobe beige.

Metales:

- Un clavo de hierro (sin más observaciones).
- Varios fragmentos de bronce de lo que podría ser una llave.

Los materiales de tipo cerámico hallados durante la excavación del relleno son de cronología tardorrepublicana (finales del siglo II a.C. hasta primera mitad del I a.C.), según el datos que aporta el fósil director otorgado por los fragmentos de asa de ánfora romana Dressel 1 A. No obstante, las relaciones estratigráficas otorgan a este enterramiento una datación relativa de época alto imperial del siglo I d.C.

139. TUMBA DE INHUMACIÓN (1226)

Fosa (s/n), de forma rectangular, muy ajustada al cuerpo.

Relleno (s/n), estrato de tipo arenoso con escasos carbones y restos de malacofauna.

Malacofauna: *Rumina decollata* (1 individuo sin ápice) especie propia de terrenos calcáreos, enterrada en suelos muy desarrollados o en grietas, es posible encontrarlas en cavernas o tumbas; *Cernuella virgata* (3 individuos); *Cernuella explanata* (1 individuo) con gran capacidad de adaptación a los distintos ambientes, desde la costa hasta la alta montaña; *Trochoidea elegans* (1 individuo) vive en zonas áridas, expuestas al sol, sobre

la vegetación: dunas, bordes de caminos; *Theba pisana* (1 individuo), especie característica de las dunas litorales, pero también habita en terrenos de cultivo, prados, jardines

Esqueleto U.E 1226, corresponde a un individuo adulto joven (20-25 años), de sexo mujer. Enterrado en posición de decúbito lateral derecho con las extremidades superiores estiradas a lo largo del cuerpo y las inferiores semiflexionadas, con una orientación NE-SO. El índice de conservación del esqueleto se ha establecido en un 37,5%.

Signos de amortajamiento a nivel de hombros, rodillas y tobillos.

Descomposición del cuerpo en medio colmatado.

Edad: edad comprendida entre los 20-25 años a partir del desgaste dental tipo 4-5 (Holly-Sthmith, 1984) con una correspondencia de edad entre los 25-35 años (Brothwell, 1991).

Sexo: mujer

Métodos morfología craneal (frente vertical, arcos supraciliares poco marcados, borde orbitario cortante).

Estimación de la talla indeterminada.

Complexión anatómica: grácil.

Lateralidad indeterminada.

Desde un punto de vista patológico destacan:

1. Salud bucodental: hipoplasias del esmalte en las piezas dentales de mandíbula y maxilar (1.3, 2.3, 2.7, 2.8, 4.3, 3.3).
2. Patología degenerativa: ligera artrosis costo-vertebral y ligera uncartrosis dorso-lumbar.

No se han observado marcadores de actividad.

No se ha documentado la existencia de ajuar asociado a esta inhumación.

140. TUMBA DE INHUMACIÓN (1304, 1311, 1320, 1303)

Inhumación situada en el cuadrante SO de la cata.

Fosa UE.1303, de forma rectangular, con los lados menores redondeados, con unas dimensiones de 1,75 x 0,37cm (la anchura real de la fosa debe ser de 55 cm que es el ancho de las *tegulae* que la cubren) y una profundidad de 55 cm. aproximadamente. La orientación documentada es S-N. Este enterramiento presenta una cubierta plana

(UE.1304) de *tegulae* (cuatro y un ladrillo en su límite norte), sobre la que se recuperó parte de una lucerna de disco.

Relleno UE. 1311, que se encuentra bajo esta cubierta estaba formado por una tierra marrón de textura arcillosa con abundancia de carbones, caracoles, cantos de río de tamaño pequeño y restos de mortero. Se recuperó parte de un asa de ánfora itálica (Dr.1), parte del borde y la base de un plato de cerámica Campaniense A (27D), y restos informes de bronce.

Esqueleto UE. 1320, corresponde a un individuo adulto joven, pudiéndose establecer en una horquilla de edad comprendida entre los 35 y 40 años. Sexo mujer. Enterrado en posición de decúbito supino con las extremidades superiores e inferiores estiradas a lo largo del cuerpo y con una orientación S-N. El índice de conservación del esqueleto se ha establecido en un (45%).

Signos mortaja a nivel de rodillas y tobillos.

Descomposición del cuerpo en medio aeróbico visible a través del desplazamiento de la mandíbula, parrilla costal y miembros superiores rotadas externamente.

Edad: edad comprendida entre los 35-40 años a partir del desgaste dental tipo 5-6 (Holly-Sthmith, 1984) con una correspondencia de edad entre los 33-45 años (Brothwell, 1991).

No se ha documentado la existencia de ajuar asociado a esta inhumación.

Sexo: mujer.

Métodos morfológicos: morfología craneal (frente vertical, arcos supraciliares no marcados, corde orbitario cortante, apófisis mastoides pequeñas, huesos malares gráciles, mentón protuyente, eversión goníaca).

Estatura indeterminada.

Complexión anatómica: grácil.

Lateralidad derecha.

Desde un punto de vista patológico destacan:

1. Salud bucodental: Apiñamiento de piezas mandibulares desde (3.2 a la 4.2); hipoplasias del esmalte en las piezas (1.1, 2.3, 2.8, 4.3, 3.3) con una altura de línea LAC entre los 2,5-3,5 mm; caries el LAC en las piezas dentales (1.8, 1,7, 2.6, 2.7) con afectación a dentina y en la pieza (3.1) con afectación a esmalte-cemento.
2. Patología traumática: contusión de 6x5 mm en región frontal supra orbitaria derecha.

3. Patología infecciosa: áreas osteolíticas, posible mieloma múltiple.
4. Patología degenerativa: artrosis apófisis odontoides, uncoartrosis de 2ª, 3ª vértebras cervicales lado derecho; uncoartrosis de vértebras lumbares lado derecho.

Marcadores de estrés ocupacional: no se documentan

Variantes anatómicas epigenéticas: no se documentan.

141. TUMBA DE INHUMACIÓN (1290)

No se han podido identificar la forma y dimensiones de la fosa de inhumación ya que se encuentra alterada por una fosa medieval. Se sitúa en el sector SO. de la excavación.

Relleno de la fosa es una tierra arenosa sin restos de cerámica o carbones.

Esqueleto UE 1290, corresponde a un esqueleto adulto, con un rango de edad adulto maduro, pudiéndose establecer en una horquilla de edad comprendida entre los 45-50 años. Sexo mujer. Enterrado en posición de decúbito lateral derecho, orientado SE-NO. Conserva parte del cráneo, se ha recuperado parte de la mandíbula, y tercio superior del esqueleto postcraneal. El índice de conservación del esqueleto se ha establecido en un (31%).

Edad: edad comprendida entre los 45-50 años a partir del desgaste dental tipo 6-7 (Holly-Sthmith, 1984) con una correspondencia de edad entre los >45 años (Brothwell, 1991).

Sexo: mujer.

Métodos morfológicos: morfología craneal (frente vertical, arcos supraciliares no marcados, borde orbitario cortante, apófisis mastoides pequeñas, huesos malares gráciles, mentón protuyente, eversión goníaca).

La estimación de la estatura es indeterminada.

Evidencias de mortaja a nivel de húmeros.

Descomposición en medio colmatado.

Complexión anatómica: grácil.

Lateralidad indeterminada.

Desde un punto de vista patológico destacan:

1. Salud bucodental: fractura de esmalte dental, cara vestibular de las piezas (1.1, 2.1), hipoplasias del esmalte en las piezas (2.1, 2.3) a una altura de la línea LAC de 3 mm; retención del tercer molar de la hemiarcada maxilar derecha (1.8);

caries de tipo radicular con afectación a pulpa en las piezas (1.6, 1.4, 2.5, 2.7, 4.5); caries en línea amelocementaria en las piezas dentales (4.7, 3.7).

2. Patología degenerativa: artrosis clavicular extremo esternal, artrosis apófisis odontoides, uncartrosis de 2ª, 3ª, 4ª vértebras cervicales.

Marcadores de estrés ocupacional:

1. Entesopatía cintura escapular: sindesmosis costal bilateral, grado leve ligamento costo clavicular izquierdo, grado moderado.

2. Entesopatía del músculo tríceps braquial cubital, derecho, grado intenso.

3. Entesopatía del pectoral mayor bilateral en grado leve.

4. Hipertrofia humeral bilateral en grado moderado.

5. Hipertrofia de falanges bilateral en grado leve.

Variantes anatómicas epigenéticas: metodismo de suturas craneales.

142. TUMBA DE INHUMACIÓN 1354

Enterramiento localizado en el sector S.O. de la excavación. La fosa de inhumación no ha podido ser definida en su forma y dimensiones al encontrarse alterada por la fosa medieval (U.E.1265)

Esqueleto UE. 1354, corresponde a un esqueleto adulto con un rango de edad adulto joven, pudiéndose establecer en una horquilla de edad comprendida entre los 20-25 años. Sexo varón. Presentaba una orientación O.-E y estaba enterrado en posición de decúbito supino. El cráneo estaba girado hacia la izquierda, se conservan escasos restos del tórax (omoplato derecho), cintura escapular del mismo lado, extremidad superior también derecha y escasos fragmentos costales y vertebrales. El índice de conservación del esqueleto se ha establecido en un (16,5%).

Edad: edad comprendida entre los 20-25 años a partir de los métodos empleados y relacionados a continuación.

Métodos:

1. Superficie auricular del ilion: Fase 1 (20-25).

Sexo: varón.

Métodos morfológicos: morfología craneal (frente huidiza, arcos supraciliares marcados, borde orbitario romo, glabella tipo 5, apófisis mastoides robustas, huesos malaes robustos, inion tipo 2).

Estatura 164 cm, según longitud máxima de húmero derecho (320 cm): $164 \pm 7,70$ cm. Se han empleado las tablas y fórmulas regresivas de Nunes de Mendonça y Manouvrier.

Descomposición en medio colmatado.

Complexión anatómica: robusta.

Lateralidad indeterminada.

Desde un punto de vista patológico destacan:

1. Salud bucodental: hipoplasias del esmalte en las piezas (1.8, 1.5 y 1.3) a una altura de la línea LAC de 6-2 mm.
2. Patología traumática: inversión o rotación interna de la primera falange del primer dedo de la mano derecha; trepanación en región parietal de 16 mm de diámetro.
3. Patología inflamatoria: *torus* auditivo izquierdo.

Marcadores de estrés ocupacional: indicadores de una biomecánica relacionada con una actividad continuada del lado derecho (extremidad superior), como consecuencia de sus actividades laborales u ocupacionales:

1. Entesopatía del músculo tríceps braquial cubital, grado moderado
2. Entesopatía del pectoral mayor en grado intenso.
3. Hipertrofia humeral en grado moderado.
4. Hipertrofia de falanges en grado leve.

Variantes anatómicas epigenéticas: metodismo de suturas craneales.

143. TUMBA DE INHUMACIÓN (1428, 1426, 1427)

Fosa UE 1428, localizada en el sector N.O de la excavación, bajo el corte O. Presentaba una orientación S-N.

Estratigráficamente estaba cubierta por el estrato medieval 1389.

Relleno UE. 1426, estaba compuesto por un estrato areno-arcilloso con presencia de carbones y caracoles así como fragmentos aislados de cerámica, entre ellos destacaría un fragmento de cerámica Campaniense A sin forma.

Esqueleto UE. 1427, corresponde a un individuo adulto joven (20-40) con una edad pudiéndose establecer en una horquilla de edad comprendida entre los 21 y 25 años. Sexo indeterminado. Presentaba una orientación S-N y estaba enterrado en posición de decúbito supino. El cráneo estaba ladeado hacia el O. La extremidad superior derecha estaba flexionada con la mano en posición dorsal sobre el pecho. El resto del esqueleto

no se conservaba. El índice de conservación del esqueleto se ha establecido en un (4,5%).

Edad: edad comprendida entre los 21-25 años a partir de la erupción de tres de los cuatro terceros molares (>21 años), y por desgaste dental tipo 4-5 (Holly-Sthmith, 1984) con una correspondencia de edad entre los 25-35 años (Brothwell, 1991).

Sexo: indeterminado.

Estatura: indeterminada.

Descomposición en medio colmatado.

Complexión anatómica: grácil.

Lateralidad indeterminada.

Desde un punto de vista patológico destacan:

1. Salud bucodental: hipoplasias del esmalte en la pieza mandibular (4.6) a una altura de la línea LAC de 3 mm; caries en línea amelocementaria con afectación a dentina en la pieza (1.6), dos caries coronales con afectación a esmalte-cemento en las piezas mandibulares (3.6, 4.6).

No se documentan marcadores de actividad.

Variantes anatómicas epigenéticas, no se documentan.

144. TUMBA DE INHUMACIÓN (1442, 1437, 1438)

Fosa UE 1442, localizada en el sector N.O de la excavación.

Relleno UE 1437, estaba formado por tierra marrón areno-arcillosa con presencia puntual de carbones y malacofauna. El material aportado en este estrato estaba compuesto por restos de cerámica común ibérica, y ánforas itálicas sin forma.

Los únicos restos de ajuar conservados son el fondo de un recipiente de vidrio de forma indeterminada y una pieza de metal alterada.

Esqueleto UE 1438, corresponde a un individuo adulto joven con un rango de edad adulto joven- maduro, pudiéndose establecer en una horquilla de edad comprendida entre los 25-30 años. Sexo mujer. Presentaba una orientación S-N y estaba enterrado en posición de decúbito lateral izquierdo, con el cráneo girado hacia el O. Las extremidades superiores estaban semiflexionadas con las manos colocadas en posición dorsal y sobre el pecho. Las extremidades inferiores no se conservaban. El índice de conservación del esqueleto se ha establecido en un (54%).

Descomposición en medio colmatado.

Se aprecian signos de amortajamiento en los hombros.

Edad: en el rango adulto joven (20-40 años), pudiéndose establecer en un rango de edad comprendida entre los 30-35 años a partir de los métodos empleados y relacionados a continuación.

Métodos:

1. Superficie auricular del ilion: Fase 2 (25-28).
2. Sínfisis pubis según Suchey-Brooks: Fase III-1/III-2: 30 años.
3. Cuarta costilla (articulación condrocostal): Fase 4 (24-32).

Sexo: mujer.

Métodos morfológicos: morfología craneal (mentón protuyente) y pélvica (escotadura ciática abierta).

Estatura 151-153 cm, según longitud máxima de cúbito derecho (223 mm). Se han empleado las tablas y fórmulas regresivas Manouvrier y Trotter y Glesser.

Complexión anatómica: grácil.

Lateralidad izquierda, fundamentalmente objetivada por la presencia de mayor desarrollo de las entesopatías de las extremidades superiores.

Desde un punto de vista patológico destacan:

1. Salud bucodental: hipoplasias del esmalte en las piezas (2.1, 2.2, 2.3 y 2.7) del maxilar y en las piezas (3.3 y 3.5) de la mandíbula a una altura de la línea LAC entre los 1-4 mm. Caries oclusal con afectación a dentina en la pieza 4.8 de mandíbula y caries en LAC (línea amelocementaria) en las piezas (3.5 y 3.6) de la mandíbula. Desgaste biselado lingual en la pieza 2.6.
2. Patología metabólica: hiperostosis frontal de 8 mm de diámetro.
3. Patología degenerativa-traumática: ligera espondilolistesis cervical en las vértebras C6 y C7.
4. Patología congénita: Espina bífida.

Marcadores de estrés ocupacional: indicadores de una biomecánica relacionada con una actividad continuada de brazos y piernas como consecuencia de sus actividades laborales u ocupacionales:

5. Cintura escapular: entesopatía del ligamento costoclavicular bilateral en grado leve.
6. Entesopatía del músculo tríceps braquial cubital izquierdo, grado moderado.
7. Hipertrofia humeral derecha en grado leve.

8. Corredera bicipital derecha en grado leve.
9. Hipertrofia de falanges izquierda en grado leve.
10. Entesopatía de ligamento redondo bilateral en grado moderado.
11. Entesopatía sacro ilíaca bilateral grado moderado.
12. Faceta de Poirier derecho en grado intenso.

Marcas de parto bilaterales. Variantes anatómicas epigenéticas: No se documentan.

145. TUMBA DE INHUMACIÓN (1432, 1411, 1412) (Lámina 5.44)

Fosa UE 1432, localizada en el sector NW de la excavación. De forma rectangular presenta una orientación S-N.

Relleno UE 1411, compuesto por una tierra areno-arcillosa con presencia puntual de carbones y malacofauna, así como escasas muestras cerámicas: fragmentos de ánfora, un caliciforme ibérico y una forma indeterminada de Campaniense A también presente en el relleno de la fosa que corta este enterramiento por la parte superior 1426.

Esqueleto UE 1412, corresponde a un individuo adulto, con un rango de edad adulto joven, pudiéndose establecer en una horquilla de edad comprendida entre los 30 y 35 años. Sexo varón. Presentaba una orientación S-N y estaba enterrado en posición decúbito prono con el cráneo hacia abajo girado hacia el Este. La extremidad superior derecha estaba semiflexionada con su mano en posición palmar bajo el coxal izquierdo, la extremidad superior izquierda estaba también semiflexionada con la mano en la misma posición por debajo del tronco a la altura de ambos coxales. Las extremidades inferiores estaban extendidas con los pies juntos. El índice de conservación del esqueleto se ha establecido en un (56%).

Evidencias de mortaja a la altura de los hombros y pies.

Descomposición en medio colmatado.

Edad: edad comprendida entre los 30-35 años a partir de los métodos empleados y relacionados a continuación.

Métodos:

1. Sínfisis pubis según Suchey-Brooks: Fases 3 y 4: 30-40 años.

Sexo: varón.

Métodos morfológicos: morfología craneal (frente huidiza, arcos supraciliares marcados, borde orbitario romo, apófisis mastoides robustas, huesos malares robustos).

Estatura 164 cm, según longitud máxima de radio derecho (235mm) y tibia derecha (355 mm). Se han empleado las tablas y fórmulas regresivas de Manouvrier.

Complexión anatómica: robusta.

Lateralidad derecha, fundamentalmente objetivada por la presencia de mayor desarrollo de las entesopatías de las extremidades superiores.

Desde un punto de vista patológico destacan:

1. Salud bucodental: hipoplasias del esmalte en las piezas (1.7, 1.3, 1.1, 2.1, 2.3, 2.7) del maxilar y las piezas dentales (4.7, 4.6, 4.3, 3.5, 3.6) de la mandíbula a una altura de la línea LAC entre 1,5 y 6 mm.
2. Patología degenerativa: ligera uncartrosis derecha de columna dorsal, artrosis de codo derecho, ligera coxoartrosis izquierdo.

Marcadores de estrés ocupacional: indicadores de una biomecánica relacionada con una actividad continuada de brazos y piernas como consecuencia de sus actividades laborales u ocupacionales:

1. Entesopatía del músculo bíceps braquial radial bilateral, grado leve para el lado izquierdo e intenso para el derecho.
2. Entesopatía del músculo supinador cubital bilateral, grado leve para el lado izquierdo, intenso para el lado derecho.
3. Entesopatía del músculo tríceps braquial cubital, grado leve para el lado izquierdo, intenso para el lado derecho.
4. Entesopatía del pectoral mayor derecho en grado intenso.
5. Hipertrofia humeral derecha en grado intenso.
6. Hipertrofia de falanges del lado derecho en grado intenso.
7. Entesopatía de ligamento redondo bilateral en grado moderado.
8. Entesopatía de línea áspera bilateral en grado leve.
9. Entesopatía del músculo soleo tibial derecho en grado moderado.
10. Faceta de acucillamiento tibial derecho, moderado.
11. Entesopatía del tendón de Aquiles del lado izquierdo, grado leve.

Variantes anatómicas epigenéticas: hueso accesorio en sutura lamboidea, morfología de la apófisis transversa de la vértebra cervical C2 como una espinosa cervical; incisura superosterna bilateral de rótulas.

146. TUMBA DE INHUMACIÓN (1433, 1434)

Ha resultado imposible definir en cuanto a forma y dimensiones la fosa que contendría el esqueleto 1434 ya que apareció alterada como consecuencia del canal medieval 1191 y la zanja del pozo 1153. Sin embargo, consideramos que el enterramiento sería de tipo simple.

Relleno UE 1433, estrato de sedimento de textura areno-arcillosa sin materiales arqueológicos.

Esqueleto UE 1434, corresponde a un individuo juvenil, pudiéndose establecer en una horquilla de edad comprendida entre los 14-15 años. Sexo probable mujer. Presentaba una orientación S-N con una posición decúbito lateral izquierdo. El cráneo, los húmeros y la mayor parte de las extremidades superiores no se conservan, tan solo parte de la mano izquierda. Las extremidades inferiores aparecen estiradas y ligeramente semiflexionadas ladeadas hacia la derecha. El índice de conservación del esqueleto se ha establecido en un (21%).

Edad: juvenil establecida a partir de la observación de las epífisis de crecimiento no obliteradas como: la epífisis proximal y distal de ambos fémures, mesetas y maleolos tibiales, epífisis proximales y distales de ambos peronés, así como a través de la observación de líneas metafisarias de metatarsianos, falanges e isquiones.

Sexo: probable mujer.

Métodos morfológicos: morfología pélvica (surco preauricular presente).

Estatura: 152,8-155cm, según longitud máxima de tibia derecho (323mm). Se han empleado las tablas y fórmulas regresivas de Manouvrier.

Descomposición en medio colmatado.

Complejión anatómica: grácil.

Lateralidad derecha fundamentalmente objetivada por la presencia de mayor desarrollo de las entesopatías de las extremidades inferiores.

Desde un punto de vista patológico destacan:

1. Patología nutricional, carencial, metabólica: criba femoral izquierda.
2. Patología infecciosa: posible brucelosis detectada en las vértebras L4-L5.

Marcadores de estrés ocupacional: indicadores de una biomecánica relacionada con una actividad continuada de piernas como consecuencia de sus actividades laborales u ocupacionales:

1. Faceta de acucillamiento astragalina izquierdo, grado leve.

2. Impronta tibial bilateral, grado leve en lado izquierdo, grado intenso en lado derecho.

Variantes anatómicas epigenéticas: no se documentan.

Fauna:

Formando parte del relleno de la tumba se halló un fragmento óseo de animal, perteneciente a un centro-tarsal derecho de équido.

147. TUMBA DE INHUMACIÓN (2049, 2050)

Debido a lo deteriorado que se encontraba este enterramiento, fue imposible determinar las dimensiones y la morfología de la fosa de inhumación que se encontraba en el sector O. de la excavación.

Relleno UE 2049, estaba compuesto por tierra areno – arcillosa de color marrón – rojizo en las cotas superiores, sin embargo en las cotas inferiores cambia a una textura más arenosa de color gris con manchas rojizas. Esto es debido a que la inhumación se efectuó justo sobre el nivel que ocupaban las incineraciones, probablemente, la fosa cortó este nivel y por ello encontramos entre la tierra que cubría el esqueleto abundantes carbones y caracoles. Se recuperó un clavo perteneciente al ataúd y otro en una ollita que formaba parte del ajuar.

Esqueleto UE 2050, corresponde a un individuo adulto, con un rango de edad adulto joven, pudiéndose establecer en una horquilla de edad comprendida entre los 25-35 años. Sexo mujer. Estaba orientado E-O. Estaba en posición de decúbito supino, con la cabeza ladeada hacia la derecha (N). La extremidad superior derecha estaba semiflexionada sobre la pelvis, la izquierda flexionada sobre el tórax, con la mano en posición dorsal sobre el brazo derecho. Las extremidades inferiores estaban extendidas. En general, el resto del esqueleto también se vio alterado por niveles posteriores quedando tan sólo conservados fragmentos de las extremidades superiores e inferiores, de costillas de la mitad izquierda del tórax, y del coxal derecho. El índice de conservación del esqueleto se ha establecido en un (11%).

Evidencias de mortaja a nivel de clavículas, y extremidades inferiores.

Edad: 25-35 años a partir del desgaste dental tipo 4-5 (Holly-Sthmith, 1984) con una correspondencia de edad entre los 25-35 años (Brothwell, 1991).

Sexo: posible mujer determinada dicha estimación a partir de las características morfológicas de robustez de los miembros conservados y por el espesor de la cortical del tercio medio del fémur, según Gejvall, (1980).

- Gracilidad generalizada de miembros conservados.

- Máximo espesor diploe occipital: 9,5mm.
- Espesor del tercio medio del húmero: 4mm.

Estatura indeterminada.

Descomposición en medio vacío, fundamentado por los signos antropológicos de descomposición y por la presencia de clavos del ataúd (ver infra).

Complexión anatómica: grácil.

Lateralidad indeterminada.

Desde un punto de vista patológico destacan:

1. Salud bucodental: hipoplasias del esmalte en las piezas 1.3 y 2.6 a una altura de la línea LAC de 2-6 mm.

Marcadores de estrés ocupacional: indicadores de una biomecánica relacionada con una actividad continuada de brazos:

1. Sindesmosis costal bilateral, grado leve en lado izquierdo, grado moderado en lado derecho.

Variantes anatómicas epigenéticas: no se detectan.

Ajuar:

Cerámica:

- (s/n) Ollita de cerámica reductora, en cuyo interior se halló un clavo de hierro. Estaba situada a la altura del coxal derecho, y se encontraba totalmente fragmentada.

Metales:

-(nº de inventario 512) Varios clavos de hierro. Dimensiones máximas conservadas: 5 x 1 cm.

-(nº de inventario 513) Restos de un clavo hallado en el interior de la olla.

148. TUMBA DE INHUMACIÓN (2076, 2082, 2075)

Inhumación primaria e individual, localizada en el sector N. de la excavación.

Fosa UE 2075, fosa simple excavada en estrato arenoso (UE 2016) con planta rectangular. Se conserva parcialmente al estar afectada por la fosa (UE 2058), con unas dimensiones de 0,60 m. x 0,80 m. y una profundidad relativa entre 0,14 m. / 0,12 m. Presenta orientación N-S.

Relleno UE 2076, estaba compuesto por una tierra arenosa ligeramente más compacta y con una tonalidad más oscura que el estrato arenoso donde se encuentra excavada la

fosa. Mencionar la presencia de malacofauna y nódulos de carbón en grado escaso, así como la ausencia de cerámica.

Esqueleto UE 2082, corresponde a un individuo adulto, con un rango de edad adulto maduro, sin poder establecer una horquilla de edad. Sexo varón. Presentaba una orientación N-S. Estaba en posición decúbito lateral derecho. El cráneo estaba por debajo del límite N. de la excavación. El tórax se encontraba muy dañado manteniendo parte de las costillas y de las vértebras en muy mal estado de conservación. La extremidad superior derecha se encontraba completamente flexionada sobre si misma (ausencia de la mano) mientras que la extremidad izquierda estaba semiflexionada sobre el tórax con la mano en posición dorsal bajo la extremidad superior derecha (conservaba parcialmente el húmero). Las extremidades inferiores se hallaban semiflexionadas. La extremidad inferior derecha se conservaba en su totalidad mientras que la izquierda carecía del tercio superior. El índice de conservación del esqueleto se ha establecido en un (32,5%).

Estatura indeterminada.

No se hallaron signos de mortaja.

La descomposición del individuo se produjo en medio colmatado.

Complexión anatómica: robusta.

Lateralidad derecha fundamentalmente objetivada por la presencia de mayor desarrollo de las entesopatías de extremidades superiores e inferiores.

Desde un punto de vista patológico destacan:

1. Patología degenerativa: artrosis clavículo-esternal; artrosis costo esternal, artrosis sacroilíaca, osteofitos en columna dorsal, hernia discal en T3 y T4, cavidad de Schmorl en T5; hundimiento de disco en S1.
2. Patología traumática: callo de fractura costal.

Marcadores de estrés ocupacional: indicadores de una biomecánica relacionada con una actividad continuada de brazos y piernas como consecuencia de sus actividades laborales u ocupacionales:

1. Entesopatía del ligamento costoclavicular bilateral grado intenso.
2. Entesopatía del ligamento conoideo bilateral, grado moderado.
3. Entesopatía del músculo pectoral mayor derecho, grado intenso.
4. Hipertrofia humeral derecha en grado intenso.
5. Entesopatía de la línea áspera femoral derecha, grado intenso.
6. Entesopatía del músculo sóleo tibial derecho en grado intenso.

7. Entesopatía del glúteo menor derecho, grado moderado.

Variantes anatómicas epigenéticas: no se observan.

No se ha constatado la presencia de ajuar relacionado con el enterramiento.

149. TUMBA DE INHUMACIÓN (2077, 2078, 2079, 2081) (Lámina 5.39)

Se trata de un *enchytrismos*, enterramiento en ánfora, localizado en el sector S.E de la excavación.

Fosa UE 2079, de forma rectangular con sus extremos redondeados conservaba unas medidas aproximadas de 1.15 x 0.50 m con una profundidad de 25 cm. Estaba orientada Este-Oeste y estaba excavada en el estrato arenoso (2065)

Relleno UE 2077, estaba compuesto por una tierra de textura arenosa con escasez de carbones, malacofauna y ausencia de cerámica. Por debajo de este estrato estaba el ánfora 2078, forma Dressel 2/4, con parte del galbo y pivote fragmentados. En su interior había un relleno, UE 2081 de tierra arenosa que ocultaba varios huesos humanos inconexos de pequeño tamaño junto con una moneda deteriorada y una bula (*bullae*).

Escasa información del estudio antropológico (UE 2078).

Ajuar:

Cerámica:

-(1) (nº interés museístico 0639): ánfora Dressel 2/4 de la tarraconense. Pasta y superficie de color anaranjada, con inclusiones micáceas finas y abundantes. Diámetro de boca 14 cm. Estado fragmentario.

-(2) (nº interés museístico 0913): *Bullae*. Se trata de una cápsula de forma circular con un apéndice superior para llevarla colgada que se utilizaba para guardar amuletos. Pieza realizada en bronce, de forma esférica y se abre en dos mitades hemisféricas como una caja, ambas mitades están unidas por una lámina doblada que sirve de pasador para llevarla colgada, presenta una especie de remate circular en el centro de ambas caras, es hueca por dentro. A simple vista no presenta decoración, sus medidas son las siguientes: Diámetro: 2cm; Anchura: 1,4 cm; Apéndice superior: 0,8 cm.

Fauna:

En el relleno 2077 se localizó parte del cráneo, con las mandíbulas derecha e izquierda y el maxilar derecho, así como parte del esqueleto axial y parte del esqueleto apendicular delantero izquierdo de un perro (*Canis familiaris*). Se trata de un animal adulto de talla media, que presenta malformaciones en la diáfisis de un húmero y en la apófisis de una vértebra, posiblemente causadas por un traumatismo. Sobre los huesos de este animal no se han observado marcas de carnicería.

Moneda:

-Frustra, Ae. Muy concrecionada.

150. TUMBA DE INHUMACIÓN (2092, 2093, 2094)

Fosa UE 2094, localizada en el sector oeste de la excavación, orientada E-O, de forma rectangular y con la cabecera redondeada. Cubierta por otra inhumación (2012 2009 2013). La profundidad de la fosa es de 19 cm. Conservada parcialmente presentaba unas dimensiones de 105 x 34 cm.

Relleno UE 2092, que colmata la fosa estaba formado por una tierra de textura arenos-arcillosa con manchas de tierra rubefacta de color verde y rojo, abundantes carbones, caracoles y escasa cerámica fragmentada: cerámica común romana, Paredes Finas, cerámica ibérica (2 fragmentos de borde de *kalathos*) y cerámica de cocina. A la altura del tercio superior del fémur derecho aparece un pequeño trozo de madera quemada. En el relleno aparece un hueso de pie posiblemente humano.

Esqueleto UE 2093, corresponde a un individuo adulto joven, pudiéndose establecer en una horquilla de edad comprendida entre los 20-25 años. Sexo varón. Presentaba una orientación E-O y estaba enterrado en posición de decúbito supino. La extremidad superior derecha estaba semiflexionada sobre la pelvis. De la extremidad superior izquierda sólo se conservaba la mano, que apoya sobre el cúbito y radio derechos. Parte de las extremidades inferiores se hallaban por debajo del límite oeste de la excavación, pudiéndose conservar tan solo el tercio superior de ambos fémures. El índice de conservación del esqueleto se ha establecido en un (29%).

Signos de amortajamiento en cintura escapular y extremidades inferiores.

Descomposición en medio colmatado.

Edad: establecida a partir de la observación de las epífisis de crecimiento no obliteradas como: la permeabilidad del extremo clavicular esternal, la no obliteración de las epífisis proximales de ambos fémures.

Sexo: varón (morfológica y antropométricamente, con un 90,91 % de confianza).

Métodos morfológicos: morfología pélvica (escotadura ciática angulosa).

Métodos antropométricos: la combinación de medidas antropométricas de fémur, aplicando las fórmulas regresivas de Alemán y cols. (1997) da un resultado de sexo varón con un 88,16% de confianza (diámetro vertical de la cabeza femoral, según fórmula $45,5 \times 0,4865479 - 20,9910026$, punto de corte 0,039055).

Estatura 166 cm, según longitud máxima de radio derecho (241 mm). Se han empleado las tablas y fórmulas regresivas de Manouvrier.

Complejión anatómica: robusta.

Lateralidad indeterminada.

Desde un punto de vista patológico destacan:

1. Patología infecciosa: reacción perióstica, pleuritis, en cara interna costal.

Marcadores de estrés ocupacional: indicadores de una biomecánica relacionada con una actividad continuada de brazos y piernas como consecuencia de sus actividades laborales u ocupacionales:

1. Cintura escapular: sindesmosis costal derecho, grado intenso.
2. Entesopatía del pectoral mayor derecho en grado moderado.
3. Hipertrofia humeral derecha en grado intenso.
4. Entesopatía de ligamento redondo izquierdo en grado intenso.
5. Entesopatía del músculo glúteo mayor bilateral, grado intenso para ambos casos.

Variantes anatómicas epigenéticas: No se observan.

Como único elemento de ajuar era un tejuelo de cerámica común romana colocado sobre el tercio superior del fémur izquierdo.

151. TUMBA DE INHUMACIÓN (2115, 2116, 2117)

Inhumación del sector Norte de la excavación. La fosa está excavada en el estrato 2065. Es una inhumación cuya configuración general resulta difícil de entender debido al deficiente estado de conservación.

Relleno UE 2115, está formado por una tierra arenosa de textura fina, con escasos carbones y fragmentos de ánfora indeterminada.

Esqueleto UE 2116, corresponde a un individuo adulto, con un rango de edad adulto joven entorno a los 21 años. Sexo indeterminado. Presentaba una orientación E-O, en posición de decúbito supino. El cráneo se orienta hacia el frente y tan solo conserva la parte superior del tórax y parte de las extremidades superiores. El índice de conservación del esqueleto se ha establecido en un (8%).

Edad: en el rango adulto joven (20-40 años), pudiéndose establecer en una horquilla de edad comprendida entre los 25-35 años a partir del desgaste dental tipo 4-5 (Holly-Sthmith, 1984) con una correspondencia de edad entre los 25-35 años (Brothwell, 1991).

Sexo: Indeterminado.

Estatura indeterminada.

Descomposición en medio colmatado.

Complejión anatómica: grácil/robusta.

Lateralidad indeterminada.

Desde un punto de vista patológico destacan:

1. Salud bucodental: hipoplasias del esmalte en las piezas (1.3, 1.2 y 2.3) a una altura de la línea LAC de 3- 2mm.

Marcadores de estrés ocupacional: No se observan.

Variantes anatómicas epigenéticas: No se observan.

152. TUMBA DE INHUMACIÓN (2118, 2119, 2120)

Inhumación situada en el sector Oeste de la excavación.

Fosa UE 2120, excavada en un estrato arenoso (UE 2021), debía ser rectangular con los lados menores redondeados, con unas dimensiones conservadas de 80 x 23 cm. y una profundidad máxima de 0.31 m. La orientación era de NE-SO. Esta estructura estaba cortada por la zanja, 2042, de un pozo contemporáneo. Además al fosa también afectó un estrato de carbones (UE 2087) perteneciente al *ustrinum* (UE 2088).

Relleno UE 2118, estaba compuesto por arcilla arenosa poco compactada que ha permitido delimitar la fosa con toda facilidad. Procede del *ustrinum* arriba mencionado afectado por esta tumba y presenta gran cantidad de carbones y tierra rubefacta de coloración rojiza a verdosa, cal y escasos fragmentos cerámicos, hueso quemado y piedras. Se recuperaron del relleno algunos huesos humanos, en concreto una vértebra y una falange, seguramente pertenecientes al mismo individuo enterrado en la fosa, aunque aparecen desarticulados debido a la remoción de la tumba en época moderna

Esqueleto UE 2119, corresponde a un individuo con un rango de edad adulto joven-maduro, pudiéndose establecer en una horquilla de edad comprendida entre los 25-35 años., sexo varón. Presentaba una orientación E-O y estaba enterrado en posición de decúbito supino. La cabeza estaba ligeramente ladeada a su derecha (sur), y caía sobre el pecho. Posiblemente contara con cabecera. Del esqueleto postcraneal tan solo se conservaba la extremidad superior derecha que estaba pegada al tronco, semiflexionada, con pérdida total del radio y parcial del cubito. El índice de conservación del esqueleto se ha establecido en un (15%).

Edad: en el rango adulto joven (20-40 años), pudiéndose establecer en una horquilla de edad comprendida entre los 25-35 años a partir del desgaste dental tipo 4-5 (Holly-Sthmith, 1984) con una correspondencia de edad entre los 25-35 años (Brothwell, 1991).

Sexo: posible varón determinada dicha estimación a partir de las características morfológicas de robustez de los miembros conservados y por el espesor de la cortical del tercio medio del fémur, según Gejvall, (1980).

- Robustez de miembros.
- Máximo espesor díploe frontal-parietal: 8 mm
- Espesor del tercio medio del húmero: 3,5 mm.

Estatura indeterminada.

Descomposición en medio colmatado.

Complexión anatómica: grácil/robusta.

Lateralidad indeterminada.

Desde un punto de vista patológico destacan:

1. Salud bucodental: hipoplasias del esmalte en las piezas (1.3, 1.1 y 4.3) a una altura de la línea LAC de 2-8 mm.
2. Patología degenerativa: artrosis esternoclavicular.

Marcadores de estrés ocupacional: indicadores de una biomecánica relacionada con una actividad continuada de brazos como consecuencia de sus actividades laborales u ocupacionales:

1. Cintura escapular: sindesmosis costal derecha, grado intenso.
2. Entesopatía del músculo supinador cubital, grado intenso.
3. Entesopatía del pectoral mayor derecho en grado moderado.
4. Hipertrofia humeral derecha en grado intenso.

153. TUMBA DE INHUMACIÓN (2154, 2155, 2156) (Lámina 5.40)

Enterramiento individual y primario localizado en el sector S de la excavación.

Fosa UE 2156, tenía una forma trapezoidal, conservaba una profundidad máxima de 14cm y unas dimensiones de 156×44 y estaba orientada E-O.

Relleno UE 2154, estaba compuesto por una tierra de textura areno-arcillosa de color marrón oscuro con abundantes carbones, caracoles y cerámica. Como la fosa cortaba una cremación (2164) y la calzada (2152), entre este relleno se encuentran gravas procedentes de la calzada junto con tierra de coloración negruzca y fragmentos de huesos calcinados propios de la cremación. Cabe mencionar la presencia de fragmentos informes de cerámica común romana aparte del ajuar; de ellos se hablará posteriormente.

Esqueleto UE 2155, corresponde a un individuo adulto, con un rango de edad adulto maduro, pudiéndose establecer en una horquilla de edad comprendida entre los 40-50 años. Sexo mujer. Presentaba una orientación E-O y estaba enterrado en posición de decúbito supino con la cabeza ladeada hacia la izquierda (S) y apoyada sobre el hombro izquierdo. La extremidad superior izquierda estaba semiflexionada con la mano en posición dorsal sobre la zona lumbar. La extremidad superior derecha estaba en igual posición pero la mano se encuentra sobre la mano izquierda. Las extremidades inferiores estaban extendidas. El índice de conservación del esqueleto se ha establecido en un (38 %).

Evidencias de mortaja en extremidades superiores e inferiores.

Descomposición en vacío debida a una cubierta o a un ataúd.

Edad: en el rango adulto maduro (40-60 años), pudiéndose establecer en una horquilla de edad comprendida entre los 40-50 años a partir del desgaste dental tipo 5 (Holly-Sthmith, 1984) con una correspondencia de edad entre los >40 años (Brothwell, 1991).

Sexo: varón (morfológica y antropométricamente, con un 90,91 % de confianza).

Métodos morfológicos: morfología craneal (frente vertical, arcos supraciliares no marcados) y pélvica (escotadura ciática).

Métodos antropométricos: a combinación de medidas antropométricas de fémur, aplicando las fórmulas regresivas da un resultado de sexo mujer con un 88,16% de confianza (diámetro vertical de la cabeza femoral, según fórmula $38 \times 0,4865479 - 20,9910026$, punto de corte 0,039055).

Evidencias de mortaja en extremidades superiores e inferiores.

Estatura 142-148 cm, según longitud máxima de radio derecho (196 mm). Se han empleado las tablas y fórmulas regresivas de Manouvrier y Trotter y Gleser.

Complexión anatómica: grácil/robusta.

Descomposición en vacío debida a una cubierta o a un ataúd.

Lateralidad derecha, fundamentalmente objetivada por la presencia de mayor desarrollo de las entesopatías de extremidades superiores.

Desde un punto de vista patológico destacan:

1. Patología degenerativa: artrosis de cabeza humeral bilateral, artrosis cérvico-dorsal derecha, artrosis de S1 con osteofitos anteriores.
2. Patología carencial, nutricional, metabólica: criba orbitaria bilateral tipo porótico; hiperostosis frontal (7,5 mm diámetro).

Marcadores de estrés ocupacional: indicadores de una biomecánica relacionada con una actividad continuada de brazos y piernas como consecuencia de sus actividades laborales u ocupacionales:

1. Cintura escapular: sindesmosis costal bilateral, grado intenso en el lado izquierdo y moderado en el derecho; Entesopatía del ligamento costoclavicular bilateral grado intenso en el lado derecho y moderado en el izquierdo.
2. Entesopatía del bíceps braquial radial bilateral grado intenso en ambos casos.
3. Entesopatía del músculo supinador cubital bilateral en grado intenso.
4. Entesopatía del músculo tríceps braquial cubital izquierdo en grado moderado.
5. Entesopatía del pectoral mayor bilateral en grado intenso en ambos casos.
6. Hipertrofia humeral bilateral en grado intenso en ambos casos.
7. Hipertrofia de falanges bilateral en grado moderado para el lado izquierdo e intenso para el derecho.
8. Entesopatía de ligamento redondo bilateral en grado moderado para el lado izquierdo e intenso para el derecho.
9. Faceta de Poirier izquierdo en grado intenso.
10. Entesopatía de línea áspera bilateral en grado intenso en ambos casos.
11. Entesopatía del músculo sóleo tibial izquierdo en grado moderado.
12. Periostitis en cara interna de tibias y peroné debido a actividad.
13. Faceta de Squatting de tibia izquierda.
14. Entesopatía del glúteo mayor izquierdo en grado intenso.

Variantes anatómicas epigenéticas: No se observan.

Ajuar

Cerámica:

- (1) (nº interés museístico 0615). *Simpulum* de cerámica común romana. Mango horizontal, plano en cola de golondrina, cazo hemisférico de carena baja. Borde vertical, labio marcado. Base de solera incipiente. Pasta y superficie beige sin tratamiento aparente, desgrasante heterogéneo, fino y abundante. Diámetro de borde 10,5 cm; diámetro de base 6,5 cm; altura 6,7 cm.
- (2) (nº interés museístico 0614). Olpe de cerámica común, forma Vegas 44. Borde con escalón interno marcado, labio engrosado, galbo piriforme, base de pastilla. Asa vertical acintada y pegada al labio. Pasta naranja bastante depurada. Superficie exterior de

color gris claro con presencia de pequeños desgrasantes heterogéneos finos y abundantes. Diámetro de borde 8,2 cm; diámetro de base 5,7 cm; altura 18,8 cm.

El *simpulum* estaba depositado a la altura del tercio inferior del esqueleto, en cambio parte del olpe se halló al lado izquierdo de la tibia izquierda.

154. TUMBA DE INHUMACIÓN (2165, 2166, 2167)

Esta inhumación se sitúa en el sector este de la excavación.

Fosa UE 2167, no se conserva completamente la forma, ya que ha sido afectada por la construcción de la calzada (2001), y la fosa (2003). Estaba orientada E-O y conservaba una profundidad de 15 cm.

Relleno UE 2165, estaba compuesto por una tierra areno-arcillosa de color amarillento con presencia de carbones y malacofauna, sin material cerámico.

Esqueleto UE 2166, corresponde a un individuo adulto corresponde a un individuo menor de 21 años (17-25 años), de sexo indeterminado estaba en posición decúbito supino, orientado E-O, con la cabeza ligeramente ladeada hacia la derecha. Los brazos solamente conservan parte del húmero lo cual impide concretar su disposición. La parte inferior del tronco y las extremidades inferiores no se conservan. El índice de conservación del esqueleto se ha establecido en un (30,5%).

Edad: en el rango juvenil (13-20 años), adulto joven (20-25) años a partir del desgaste dental tipo 2-3 (Holly-Sthmith, 1984) con una correspondencia de edad entre los 17-25 años (Brothwell, 1991).

Sexo: indeterminado.

Estatura indeterminada.

Descomposición en medio no aeróbico.

Complexión anatómica: grácil.

Lateralidad indeterminada.

Desde un punto de vista patológico destacan:

1. Salud bucodental: hipoplasias del esmalte en las piezas (3.4 y 3.7) a una altura de la línea LAC de 2mm.

Marcadores de estrés ocupacional: no se observan.

Variantes anatómicas epigenéticas: no se observan.

155. TUMBA DE INHUMACIÓN (2177, 2178, 2179)

Fosa UE 2179, de forma irregular ubicada en el sector S.-E. de la excavación. Estaba orientada E-O., conserva una profundidad máxima de 29cm y unas dimensiones de 151×50. En su recorrido corta una de las calzadas y el esqueleto (2250).

Relleno UE 2177, es una tierra areno-arcillosa de color marrón oscuro con abundantes carbones, caracoles y cerámica. La fosa ha cortado una incineración (2164) y un enterramiento (2250) que descansaba directamente sobre la calzada 2152, por ello, este relleno incluye gravas mezcladas con tierra de coloración negruzca y fragmentos de huesos calcinados, así como restos del esqueleto que ha sido cortado y clavos del ataúd. Este relleno ha proporcionado un conjunto heterogéneo de cerámica cuyo elemento más reciente corresponde a dos fragmentos de *Terra Sigillata Lucente*

Esqueleto UE 2178, con un rango de edad adulto maduro, pudiéndose establecer en una horquilla de edad comprendida entre los 40-50 años. Sexo mujer. Presentaba una orientación E-O y estaba enterrado en posición de decúbito supino, con la cabeza ladeada hacia la izquierda (S) y sobreelevada sobre el esternón debido a una cabecera. La extremidad superior derecha presenta el hombro totalmente en vertical (comprimido), por ello el húmero estaba sobreelevado con respecto al tronco (tronco hundido). El brazo estaba semiflexionado con la mano en posición lateral -también semiflexionada-, porque estaba chocando con el cúbito y radio izquierdos. Con la extremidad superior izquierda ocurre algo similar, ya que el hombro también estaba en posición vertical, y el húmero sobre elevado; sin embargo, el desnivel de la base de la fosa ha producido el hundimiento de la epífisis proximal y la elevación de la distal; con todo ello, el cúbito y radio han caído sobre el tórax y la mano ha quedado en posición dorsal sobre las vértebras lumbares. Las extremidades inferiores estaban extendidas. El índice de conservación del esqueleto se ha establecido en un (63%).

Edad: en el rango adulto maduro (40-50 años), pudiéndose establecer en un rango de edad comprendida entre los 30-35 años a partir de los métodos empleados y relacionados a continuación.

Métodos:

1. Superficie auricular del ilion: Fase 5-6 (40-47 años).
2. Sínfisis pubis según Suchey-Brooks: Fase V-1/V-2 (40-50 años).
3. Cuarta costilla (articulación condrocostal): Fase 6 (43-54 años).

Sexo: mujer (morfológica y antropométricamente, con un 90,91 % de confianza).

Métodos morfológicos: morfología craneal (frente vertical, arcos supraciliares no marcados, borde orbitario cortante, apófisis mastoides pequeñas, mentón protuyente). y pélvica (escotadura ciática, agujero obturador y ángulo subpúbico).

Métodos antropométricos: la combinación de medidas antropométricas de fémur, aplicando las fórmulas regresivas da un resultado de sexo varón con un 90,91% de confianza (anchura epicondilar + diámetro vertical de la cabeza femoral, según fórmula $72,5 \times 0,1545610 + 41 \times 0,2482526$).

Estatura 152 cm, según longitud máxima del húmero izquierdo (286 mm) y fémur derecho (396 mm). Se han empleado las tablas y fórmulas regresivas de Nunes de Mendonça.

Evidencias de mortaja visibles en la posición de las clavículas, la posición de las extremidades superiores e inferiores, unidas a la altura de los tobillos.

Descomposición en medio colmatado.

Complexión anatómica: grácil.

Lateralidad derecha, fundamentalmente objetivada por la presencia de mayor desarrollo de las entesopatías de extremidades superiores e inferiores.

Desde un punto de vista patológico destacan:

1. Salud bucodental: hipoplasias del esmalte en las piezas (1.4, 1.3, 3.1, 3.3, 4.1, 4.3) a una altura de la línea LAC de 2-5 mm; absceso maxilar a la altura de la pieza dental (2.2); diastema maxilar entre las piezas (1.1 y 2.1).
2. Patología degenerativa: artrosis temporomandibular, artrosis esternoclavicular, artrosis de codo, ligera eburnación de ambos cóndilos femorales, columna dorsal y lumbar con osteofitos, cavidades de Schmorl en L3-L5. Osteofito en forma "pico de loro" entre las vértebras torácicas T4-T5, artrosis en la primera vértebra sacra S1, artrosis del primer dedo del primer dedo derecho e izquierdo.
3. Patología carencial, nutricional, metabólica: porosis supraciliar, pediculosis (porosis supra ínion), hueso mamelonado en tabla interna del hueso frontal.

Marcadores de estrés ocupacional: indicadores de una biomecánica relacionada con una actividad continuada de brazos y piernas como consecuencia de sus actividades laborales u ocupacionales:

1. Cintura escapular: sindesmosis costal derecho, grado leve, entesopatía del ligamento costoclavicular derecho grado leve.
2. Hipertrofia humeral bilateral en grado leve para el lado izquierdo y moderado para el derecho.
3. Corredera bicipital bilateral en grado leve para ambos casos.
4. Entesopatía de ligamento redondo izquierdo en grado moderado.

5. Entesopatía de línea áspera bilateral en grado leve en el lado izquierdo y moderado en el derecho.
6. Entesopatía del músculo sóleo tibial bilateral en grado moderado en ambos casos.
7. Periostitis en cara interna de tibias debido a actividad.
8. Faceta de Squatting de tibia bilateral grado moderado para ambos.
9. Entesopatía del glúteo mayor bilateral, grado moderado lado izquierdo e intenso para el lado derecho.

Variantes anatómicas epigenéticas: apófisis geni, sutura petroescamosa.

156. TUMBA DE INHUMACIÓN (2189, 2190, 2191)

Inhumación localizada en el sector Oeste de la excavación.

Fosa UE 2191, No se ha podido determinar la forma de la al verse afectada por la zanja de un pozo moderno, así como por la fosa de inhumación (2148). Las dimensiones conservadas son 25 x 44 x 14 cm y estaba orientada NE-SO. Sin materiales arqueológicos salvo restos de un clavo de hierro fragmentado.

Relleno UE 2189, es de tierra arcillosa con restos de carbón, tierra quemada y nódulos de cal. También aparece en el relleno restos de malacofauna, falanges de pie humano que no corresponden al individuo que ocupa esta tumba, así como escasos restos cerámicos entre los que cuenta un fragmento de cerámica Campaniense B y un clavo fragmentado.

Metales:

-(nº de inventario 536) Fragmento de un clavo de hierro hallado en el relleno del enterramiento y formaría parte del ataúd.

Esqueleto UE 2190, corresponde a un individuo adulto, con un rango de edad adulto joven- maduro, pudiéndose establecer en una horquilla de edad comprendida entre los 33 y 45 años. Sexo mujer. Presentaba una orientación NE-SO La posición es decúbito supino. Las vértebras cervicales estaban ligeramente inclinadas a la derecha, indicando que seguramente lo estaría también el cráneo, que no se conserva. La extremidad superior derecha ha desaparecido aunque la presencia de dedos indica que reposaría la mano sobre el tórax. La extremidad superior izquierda se encuentra semiflexionada sobre el abdomen. La pelvis y extremidades inferiores se pierden en el corte Oeste. El índice de conservación del esqueleto se ha establecido en un (16%).

Edad: en el rango adulto joven-maduro (20-60 años), pudiéndose establecer en una horquilla de edad comprendida entre los 33-45 años a partir del desgaste dental tipo 5

(Holly-Sthmith, 1984) con una correspondencia de edad entre los 33-45 años (Brothwell, 1991).

Sexo: mujer determinada dicha estimación a partir de las características morfológicas de robustez de los miembros conservados y por el espesor de la cortical del tercio medio del fémur, según Gejvall, (1980).

- Gracilidad de miembros.
- Máximo espesor tejido cortical del tercio medio del húmero: 2,5 mm.
- Máximo espesor tejido cortical del tercio medio del radio: 2 mm.

Estatura indeterminada.

Descomposición en medio vacío evidenciado en la caída de la clavícula derecha y de las falanges de las manos.

Evidencias de mortaja visible a la altura de la clavícula que estaba comprimida en forma de V.

Complexión anatómica: grácil.

Lateralidad indeterminada.

Desde un punto de vista patológico destacan:

1. Patología infecciosa: reacción perióstica en parte media de la tibia izquierda, fragmentos costales con reacción perióstica con pleuritis granulomatosa.
2. Patología degenerativa: artrosis de la segunda falange del cuarto dedo.

Marcadores de estrés ocupacional: indicadores de una biomecánica relacionada con una actividad continuada de brazos y piernas como consecuencia de sus actividades laborales u ocupacionales:

1. Cintura escapular: ligamento costoclavicular costal derecha, grado intenso.
2. Entesopatía del músculo bíceps braquial radial izquierda, grado moderado.
3. Entesopatía del músculo tríceps braquial radial izquierda, grado moderado.
4. Hipertrofia humeral izquierda en grado moderado.
5. Hipertrofia de flexión de falanges derecha, grado moderado.
6. Entesopatía de ligamento redondo izquierdo en grado moderado.

Variantes anatómicas epigenéticas: No se observan.

No conserva ajuar.

157. TUMBA DE INHUMACIÓN (2249, 2250, 2251)

Fosa UE 2251, estaba excavada en tierra areno-arcillosa que sirvió como preparación de la calzada 2006, y se asienta sobre la calzada 2152. Conservaba una profundidad de 14cm, y unas dimensiones de 120×40. Estaba una orientación de NE a SO.

Relleno UE 2249, estaba compuesto por tierra de color rojizo con fragmentos de cerámica, malacofauna, huesos humanos desarticulados y un clavo de cobre o bronce. La tierra en contacto con las paredes de la fosa era más arenosa.

Metales:

-(nº de inventario 547) Un clavo de bronce. Desconocemos sus dimensiones.

Esqueleto UE 2250, corresponde a un individuo adulto, con un rango de edad adulto joven-maduro, pudiéndose establecer en una horquilla de edad comprendida entre los 25-30 años. Sexo mujer. Presentaba una orientación NE-SO y estaba enterrado en posición de decúbito supino., estaba cortado desde el cráneo hasta la tercera vértebra lumbar conservando ambas manos, el cúbito y radio izquierdos, tercera, cuarta y quinta vértebras lumbares, hueso sacro, pelvis, y extremidades inferiores completas. La extremidad superior izquierda semiflexionada con la mano sobre el abdomen, y la mano derecha sobre la izquierda. Las extremidades inferiores estaban extendidas y separadas, con los talones enfrentados y formando un ángulo de 180 grados con las tibias. Las falanges estaban totalmente flexionadas hacia fuera, adaptándose tamaño de una fosa demasiado corta. El índice de conservación del esqueleto se ha establecido en un (38%).

Edad: en el rango adulto joven (20-40 años), pudiéndose establecer en un rango de edad comprendida entre los 25-30 años a partir de los métodos empleados y relacionados a continuación.

Métodos:

1. Superficie auricular del ilion: Fase 2 (25-28).
2. Sínfisis pubis según Suchey-Brooks: Fases II-1/II-2 y Fase III-1/III-2 (25-30 años).
3. Cuarta costilla (articulación condrocostal):
4. Cartílago tiroides:

Sexo mujer. Determinado a partir de los siguientes métodos morfológicos y métricos:

Métodos morfológicos: morfología pélvica (escotadura ciática, agujero obturador, surco preauricular y ángulo subpúbico).

Estimación a partir de las características morfológicas de robustez de los miembros conservados y por el espesor de la cortical del tercio medio del fémur, según Gejvall.

Máximo espesor de tejido cortical del tercio medio del fémur: 4mm.

Diámetro vertical de cabeza femoral: 41 cm.

Métodos antropométricos: la combinación de medidas antropométricas de fémur, aplicando las fórmulas regresivas da un resultado de sexo mujer con un 88,16% de confianza (diámetro vertical de la cabeza femoral, según fórmula $y = 0,4865479x - 20,9910026$, punto de corte 0,039055).

Estatura 149-156 cm, según longitud máxima de tibia derecha (324 mm), peroné derecho (305 mm). Se han empleado las tablas y fórmulas regresivas de Trotter y Glesser.

Descomposición en medio aeróbico.

No hay evidencias mortaja.

Complexión anatómica: grácil.

Lateralidad indeterminada.

Desde un punto de vista patológico destacan:

1. Patología degenerativa: cavidades de Schmorl en columna lumbar desde L2 hasta la L5.

Marcadores de estrés ocupacional: indicadores de una biomecánica relacionada con una actividad continuada de brazos y piernas como consecuencia de sus actividades laborales u ocupacionales:

1. Entesopatía del músculo supinador cubital izquierdo, grado leve.
2. Entesopatía del músculo tríceps braquial cubital izquierdo, grado moderado.
3. Entesopatía del ligamento redondo bilateral, en grado leve en lado izquierdo e intenso en lado derecho.
4. Faceta de Poirier derecho, en grado leve.
5. Entesopatía de línea áspera izquierdo en grado leve
6. Entesopatía del trocánter mayor derecho, en grado moderado.
7. Entesopatía sacro ilíaca.
8. Entesopatía del músculo sóleo tibial bilateral en grado leve para ambos lados.
9. Faceta de acuilamiento tibial derecho en grado intenso.
10. Entesopatía del glúteo mayor derecho, en grado leve.
11. Espina tibial derecho, en grado moderado.
12. Faceta de acuilamiento en cabeza del primer metatarsiano del pié derecho.
13. Marca de parto.

Variantes anatómicas epigenéticas: no se observan.

158. TUMBA DE INHUMACIÓN (2308, 2309, 2310)

Fosa UE 2310, excavada en el estrato arenoso (2205) de forma trapezoidal ubicada en el sector N de la excavación. Estaba orientada N-S, conservaba una profundidad máxima de 24cm y unas dimensiones de 147x57.

Relleno UE 2308, es de tierra arenosa de color marrón claro con abundantes fragmentos sin forma de cerámica (ánfora itálica, común romana, cerámica de cocina oxidante), carbones y malacofauna.

También formaban parte del relleno, cuatro clavos de hierro que pertenecieron a la cubierta o al ataúd, un colmillo de jabalí, junto a la tibia izquierda y una anilla.

-(1) (nº inv. 0925): Anilla de bronce, redondeada de sección rectangular aparecida sobre el pie derecho del individuo. Diámetro externo 2 cm; diámetro interno 1 cm.

-(nº de inventario 558) Cuatro clavos de hierro con cabeza. Dimensiones máximas conservadas: 3 x 1 cm.

Esqueleto UE 2309, corresponde a un individuo adulto, con un rango de edad adulto joven, pudiéndose establecer en una horquilla de edad comprendida entre los 30-35 años. Sexo mujer. Presentaba una orientación S-N y estaba enterrado en posición de decúbito supino, con la cabeza girada hacia la derecha (E) y apoyada sobre el hombro del mismo lado. La extremidad superior izquierda estaba semiflexionada con el antebrazo sobre el abdomen y la mano en posición dorsal sobre el tercio superior del muslo derecho. La extremidad superior derecha estaba extendida y separada del cuerpo con la mano extendida en posición lateral. Las extremidades inferiores estaban unidas y semiflexionadas ladeadas a la derecha, con las rodillas juntas al igual que los tobillos. El índice de conservación del esqueleto se ha establecido en un (66%).

No hay evidencias de mortaja salvo en la posición de las piernas y pies que estaban unidos, sin embargo, esta evidencia se pierde al observar la extremidad superior derecha, totalmente separada del cuerpo.

Edad: en el rango adulto joven (20-40 años), pudiéndose establecer en un rango de edad comprendida entre los 30-35 años a partir de los métodos empleados y relacionados a continuación.

Métodos:

1. Superficie auricular del ilion: Fase 3 (30-34).
2. Sínfisis pubis según Suchey-Brooks: Fase 3: 26-30 años.

Sexo: alofiso con rasgos morfológicos propios de ambos sexos.

Estatura 159-163 cm, según longitud máxima de fémur izquierdo (435 mm) y tibia derecha (361). Se han empleado las tablas y fórmulas regresivas de Nunes de Mendonça y Manouvrier.

Tampoco se puede atestiguar una descomposición en vacío aunque se han recuperado clavos de hierro en el relleno.

Complexión anatómica: robusta.

Lateralidad derecha, fundamentalmente objetivada por la presencia de mayor desarrollo de las entesopatías de extremidades superiores/inferiores.

Desde un punto de vista patológico destacan:

1. Salud bucodental: hipoplasias del esmalte en las piezas (2.4, 3.4 y 3.5) a una altura de la línea LAC de 1,5- 3 mm. Pequeño tumor en cara lingual entre los molares (1.7 y 1.8).
2. Patología degenerativa: artrosis glenohumeral, espondiloartrosis izquierda a nivel cervical, hernias discales dorsales entre T10-11-12, artrosis coxofemoral, Espondiloartrosis y osteofitosis entre L5 y S1, rizartrrosis generalizada falanges y metas mano derecha, artrosis bilateral de rodillas, artrosis astrágalo.

Marcadores de estrés ocupacional: indicadores de una biomecánica relacionada con una actividad continuada de brazos y piernas como consecuencia de sus actividades laborales u ocupacionales:

1. Cintura escapular: sindesmosis costal derecha, grado leve.
2. Entesopatía del músculo bíceps braquial radial derecho, grado moderado.
3. Entesopatía del músculo supinador cubital bilateral, grado intenso para ambos lados.
4. Entesopatía del músculo tríceps braquial cubital bilateral, grado intenso para ambos lados.
5. Entesopatía del músculo pectoral mayor derecho, grado intenso.
6. Hipertrofia humeral bilateral, grado intenso.
7. Corredera bicipital izquierda, grado intenso.
8. Hipertrofia de falanges, bilateral, grado leve.
9. Entesopatía del ligamento redondo bilateral, en grado intenso.
10. Faceta de Poirier derecho, en grado moderado.
11. Entesopatía de línea áspera bilateral, grado intenso.

12. Entesopatía del músculo sóleo tibial bilateral en grado moderado para ambos lados.

Variantes anatómicas epigenéticas: no se observan.

Enterramiento carente de ajuar funerario. Los materiales descritos en líneas superiores, fueron hallados durante los trabajos de excavación del relleno de la tumba, sin estar depositados con una intencionalidad de ofrenda funeraria.

159. TUMBA DE INHUMACIÓN (2317, 2318, 2319)

Enterramiento primario e individual localizado en el sector O de la excavación.

Fosa UE 2319, estaba excavada en estrato arenoso (2135), estaba en mal estado de conservación por la afectación del pozo (2040), además de prolongarse por debajo del corte O. La tumba tenía una profundidad entre 0,13 m. / 0,18 m. Estaba orientada E-O.

Relleno UE 2317, estaba compuesto por una tierra de textura arenoso-arcillosa. Señalar la presencia de fauna y malacofauna, cal en grado escaso, así como nódulos de carbón en grado medio. Respecto al material cerámico se hallaron fragmentos de paredes finas, de cerámica de cocina, fragmento de cerámica Campaniense A (posiblemente parte de una pátera), fragmentos de ánfora itálica y de cerámica ibérica (dos fragmentos informes y un borde de urna).

Esqueleto UE 2318, corresponde a un individuo adulto con un rango de edad adulto joven 20-40 años. Sexo indeterminado. Presentaba una orientación E-O y estaba enterrado en posición de decúbito supino. Se conservan los pies en posición dorsal, estando el derecho por encima del izquierdo. La posición de los tobillos deja sospechar el uso de una mortaja en el enterramiento. El índice de conservación del esqueleto se ha establecido en un (14,5%).

Edad: indeterminada.

Estatura indeterminada.

Descomposición en medio colmatado.

Complexión anatómica: grácil.

Lateralidad derecha-izquierda, indeterminada.

Patologías: No se han observado.

Marcadores de estrés ocupacional: No se han observado.

Variantes anatómicas epigenéticas: No se han observado.

160. TUMBA DE INHUMACIÓN (2326, 2327, 2328)

La inhumación primaria e individual se localizaba en el sector O de la excavación.

Fosa UE 2328, excavada en estrato arenoso (2135). Estaba en mal estado de conservación al estar cortada por la zanja (2042) y. Tiene una profundidad relativa entre 0,10 m. / 0,04 m. Presenta orientación E – O.

Relleno UE 2326, de la tumba era de tierra de textura arenoso-arcillosa. Señalar la presencia de malacofauna en grado escaso y nódulos de carbón en grado medio. Respecto al material cerámico se hallaron tres fragmentos de ánfora itálica y cerámica común romana.

Esqueleto UE 2327, corresponde a un individuo de edad y sexo indeterminado. Presentaba una E-O y estaba enterrado en posición de decúbito supino. Se conserva parcialmente el tercio inferior de las extremidades inferiores. Los restos (parte de la tibia derecha y el pie izquierdo) estaban dispuestos de forma paralela. El índice de conservación del esqueleto se ha establecido en un (2%).

Edad: indeterminada.

Estatura indeterminada.

Descomposición en medio colmatado.

Complexión anatómica: grácil.

Lateralidad izquierda, fundamentalmente objetivada por la presencia de mayor desarrollo de las entesopatías de extremidades inferiores.

Patologías: No se han observado.

Marcadores de estrés ocupacional: indicadores de una biomecánica relacionada con una actividad continuada de brazos y piernas como consecuencia de sus actividades laborales u ocupacionales.

1. Entesopatía de línea áspera izquierdo en grado moderado.

2. Entesopatía del glúteo mayor izquierdo, en grado intenso.

Variantes anatómicas epigenéticas: No se han observado.

161. TUMBA DE INHUMACIÓN (2374, 2375, 2376)

Fosa UE 2376, excavada en estrato arcilloso (2051), de forma rectangular ubicada en el sector S de la excavación. Estaba orientada E–O y conserva una profundidad máxima de 27cm y unas dimensiones de 148×48. Esta estructura cortaba la fosa-basurero 2239.

Relleno UE 2374, estaba compuesto por tierra arcillosa de color marrón rojizo de textura muy plástica con caracoles, clavos de hierro y cerámica. Como la fosa ha cortado un basurero (2239), nos encontramos con tierra negruzca con gran cantidad de carbones y fauna que presenta huellas de carnicería realizadas con algún instrumento cortante. El material más representativo de este relleno son fragmentos de cerámica común romana, cocina, una base de *Terra Sigillata Hispanica*, y por último un pivote de ánfora bética que se encontró bajo el húmero izquierdo del esqueleto.

Esqueleto UE 2375, corresponde a un individuo adulto, con un rango de edad adulto joven, pudiéndose establecer en una horquilla de edad comprendida entre los 26-35 años. Sexo mujer. Presentaba una orientación E-O y estaba enterrado en posición de decúbito supino. La cabeza ladeada hacia la izquierda (S) y ligeramente sobreelevada con respecto al resto del cuerpo. La extremidad superior derecha estaba semiflexionada sobre el abdomen, con la mano en posición dorsal sobre el tercio superior del fémur izquierdo. La extremidad superior izquierda estaba extendida a lo largo del cuerpo con la mano en posición dorsal sobre la mano derecha. Las extremidades inferiores estaban extendidas y separadas, ligeramente semiflexionadas y ladeadas hacia la izquierda (Sur). Los pies estaban juntos por los tobillos, formaban un ángulo de 90 grados con las tibias. El pie derecho, sólo conserva el calcáneo. El cuerpo estaba totalmente adaptado a la forma de la fosa, así el cráneo quedaba sobreelevado con respecto al resto del cuerpo. El índice de conservación del esqueleto se ha establecido en un (65,5%).

Edad: en el rango adulto joven (20-40 años), pudiéndose establecer en un rango de edad comprendida entre los 26-30 años a partir de los métodos empleados y relacionados a continuación.

Métodos:

1. Sínfisis pubis según Suchey-Brooks: Fase 3: 26-30 años.

Sexo: varón (morfológica y antropométricamente, con un 90,91 % de confianza).

Métodos morfológicos: morfología craneal y pélvica (escotadura ciática, agujero obturador y ángulo subpúbico).

Métodos antropométricos: la combinación de medidas antropométricas de fémur, aplicando las fórmulas regresivas da un resultado de sexo varón con un 88,16% de confianza (diámetro vertical de la cabeza femoral, según fórmula $40,5x - 0,4865479 - 20,9910026$, punto de corte 0,039055).

Estatura 163,4-167 cm, según longitud máxima de radio izquierdo (233 mm). Se han empleado las tablas y fórmulas regresivas de Manouvrier y Trotter y Glesser.

No presentaba evidencias de mortaja.

Descomposición en vacío.

Compleción anatómica: robusta.

Lateralidad izquierda, fundamentalmente objetivada por la presencia de mayor desarrollo de las entesopatías de extremidades superiores.

Desde un punto de vista patológico destacan:

1. Salud bucodental: caries en línea amelocementaria (LAC) con afectación a esmalte-cemento; malrotación de incisivos del maxilar (la pieza 2.1 sobre 1.1).
2. Patología infecciosa: pleuritis costal de tipo granulomatoso.
3. Patología degenerativa: artrosis cervical y costovertebral.
4. Patología degenerativa-traumática: osteocondritis disecante en cabeza radial derecha.
5. Patología traumática: fractura consolidada costal, fractura con hundimiento de cabeza del primer metatarsiano del pie izquierdo.

Marcadores de estrés ocupacional: indicadores de una biomecánica relacionada con una actividad continuada de brazos y piernas como consecuencia de sus actividades laborales u ocupacionales:

1. Cintura escapular: sindesmosis costal derecha, grado moderado; entesopatía del tendón conoideo bilateral en grado leve.
2. Entesopatía del músculo bíceps braquial radial bilateral, grado intenso.
3. Entesopatía del músculo supinador cubital bilateral, grado intenso.
4. Entesopatía del músculo tríceps braquial cubital bilateral, grado intenso.
5. Entesopatía del músculo pectoral mayor bilateral, grado intenso.
6. Hipertrofia humeral derecho, grado leve.
7. Hipertrofia de falanges izquierda, grado leve.
8. Entesopatía del ligamento redondo bilateral, grado intenso.
9. Faceta de Poirier bilateral, grado intenso.
10. Entesopatía de línea áspera bilateral, grado intenso.
11. Entesopatía del trocánter mayor bilateral, grado intenso.
12. Entesopatía del músculo sóleo tibial izquierdo en grado intenso.
13. Entesopatía del tendón de Aquiles izquierdo, grado moderado.
14. Entesopatía del glúteo mayor bilateral en grado intenso.
15. Entesopatía en primer metatarsiano pie derecho asociado al uso de un tipo determinado de calzado formado por tiras de cuero.

Variantes anatómicas epigenéticas: tubérculo geni en cara interna mandibular.

El esqueleto no se acompañaba de ningún ajuar, sí se han recuperado dos monedas en el relleno de la fosa.

Metales:

-(nº de inventario 573) Cinco clavos de hierro con cabeza. Dimensiones máximas conservadas: 3,5 x 1 cm.

Monedas:

- Denario. Anverso: CAESAR VESPASIANVS AVG. Cabeza laureada hacia la derecha. Reverso: ANNONA AVG. Representación de la Anona sentada hacia la izquierda portando un haz de espigas con ambas manos sobre el regazo. Cronología: 78 – 79 d. C.
- Frustra. Ae.

162. TUMBA DE INHUMACIÓN (2402, 2403, 2404)

Fosa UE 2404, de forma rectangular ubicada en el sector N de la excavación. Estaba orientada N-S.

Relleno UE 2402, estaba compuesto por tierra de textura areno-arcillosa con algunos carbones y caracoles

Los restos correspondientes al individuo 2403, son resultado del estudio de laboratorio no teniendo datos de campo debido a los escasos restos conservados.

Esqueleto U.E 2403, corresponde a un individuo adulto, con un rango de edad adulto maduro, mayor de 45 años. Sexo mujer. Se conservan restos del esqueleto craneal como mandíbula y fragmento de hueso frontal. Escasos fragmentos costales y vertebrales, extremidades superiores y tercio superior de las extremidades inferiores. El índice de conservación del esqueleto se ha establecido en un (23%).

Edad: en el rango adulto maduro (>45 años), pudiéndose establecer en una horquilla de edad comprendida entre los 45-55 años a partir del desgaste dental tipo 7 (Holly-Sthmith, 1984) con una correspondencia de edad mayor de 45 años (Brothwell, 1991).

Sexo: posible mujer determinada dicha estimación a partir de las características morfológicas de robustez de los miembros conservados y por espesores de la cortical de diferentes miembros, según Gejvall, (1980).

Gracilidad de miembros.

- Máximo espesor díploe frontal: 5,5 mm
- Espesor del tercio medio del húmero: 3 mm.

- Espesor del tercio medio del radio: 2mm.
- Espesor del tercio medio del fémur: 6 mm.

Estatura indeterminada.

Descomposición en medio colmatado.

Complexión anatómica: grácil.

Lateralidad derecha-izquierda, indeterminada.

Desde un punto de vista patológico:

1. Salud bucodental: hipoplasias del esmalte en las piezas (1.1, 2.1) a una altura de la línea LAC de 4,5mm.

Marcadores de estrés ocupacional: indicadores de una biomecánica relacionada con una actividad continuada de brazos y piernas como consecuencia de sus actividades laborales u ocupacionales:

1. Fosa de Allen derecha (región coxofemoral).
2. Entesopatía del ligamento redondo bilateral, en grado moderado.

163. TUMBA DE INHUMACIÓN (2414, 2415, 2416) (Lámina 5.44)

Fosa UE 2416, excavada en estrato arenoso (2041), de forma trapezoidal ubicada en el sector centro- sur de la excavación. Estaba orientada E-O y conservaba una profundidad máxima de 24cm y unas dimensiones totales de 165×48 cm.

Relleno UE 2414, es de tierra areno-arcillosa de color marrón oscuro con matices rojizos en la zona de relleno que corresponde a los pies del esqueleto, y amarillentos debido a la arena del estrato donde estaba excavada la fosa de inhumación. Tiene trozos de caracoles, clavos de hierro y cerámica, así como fauna. Cabe mencionar la presencia de fragmentos de cerámica común romana y un borde de *Terra Sigillata Hispanica*.

Fauna:

El único resto presente en el relleno de este enterramiento es una diáfisis de meso mamífero indeterminado, se trata de un fragmento de 6 centímetros que presenta marcas de haber sido fracturado.

Esqueleto UE 2415, corresponde a un individuo adulto, con un rango de edad adulto joven, pudiéndose establecer en una horquilla de edad comprendida entre los 25 y 35 años. Sexo varón. Presentaba una orientación E-O y estaba enterrado en posición de decúbito prono. El cráneo, estaba ladeada hacia la derecha, la extremidad superior izquierda estaba extendida y separada a lo largo del cuerpo, la derecha estaba extendida a lo largo del cuerpo sobre la mitad derecha del tronco con la mano descansando sobre

el coxal derecho. La extremidad inferior izquierda ligeramente semiflexionada hacia la derecha (sur), con la rodilla tocando con la rodilla derecha, el pie formaba un ángulo de 90 grados con la tibia. La extremidad inferior derecha estaba extendida, con el peroné sobre la tibia. El índice de conservación del esqueleto se ha establecido en un (66%).

Evidencias de mortaja visibles a nivel de rodillas.

Edad: en el rango adulto joven (20-40 años), pudiéndose establecer en un rango de edad comprendida entre los 25-35 años a partir de los métodos empleados y relacionados a continuación.

Métodos:

1. Cuarta costilla (articulación condrocostal): Fase 3 (24-28 años).

Sexo: varón (morfológica y antropométricamente, con un 90,91 % de confianza).

Métodos morfológicos: morfología craneal (arcos supraciliares marcados, órbitas oculares con borde romo, huesos malares robustos, mentón cuadrangular, protuberancia occipital externa marcada).

Métodos antropométricos: la combinación de medidas antropométricas de fémur, aplicando las fórmulas regresivas da un resultado de sexo varón con un 90,91% de confianza (anchura epicondilar + diámetro vertical de la cabeza femoral, según $77,63x 0,1545610 + 45,40 x 0,2482526$).

Estatura 170 cm, según longitud máxima de fémur derecho (461 mm): $170 \pm 5,96$ cm.

Se han empleado las tablas y fórmulas regresivas de Nunes de Mendonça.

Descomposición en medio colmatado.

Complexión anatómica: robusta.

Lateralidad derecha, fundamentalmente objetivada por la presencia de mayor desarrollo de las entesopatías de extremidades superiores/inferiores.

Desde un punto de vista patológico destacan:

1. Salud bucodental: hipoplasias del esmalte en las piezas (1.3, 3.5, 3.3, 4.3, 4.5) a una altura de la línea LAC entre los 2 y 6mm.
2. Patología infecciosa: reacción perióstica generalizada y bilateral de tipo granulomatosa en tibia, peroné, fémur. Diagnóstico tuberculosis pulmonar. Osteocartropatía hipertrófica.
3. Patología degenerativa: artrosis costo vertebral y artrosis cervical, artrosis calcáneo-astragalina bilateral.
4. Patología traumática: fractura costal y clavicular izquierda.

Marcadores de estrés ocupacional: indicadores de una biomecánica relacionada con una actividad continuada de brazos y piernas como consecuencia de sus actividades laborales u ocupacionales:

1. Cintura escapular: Entesopatía del ligamento conoideo izquierdo, grado intenso.
2. Entesopatía del músculo bíceps braquial radial derecho, grado intenso.
3. Entesopatía del músculo tríceps braquial cubital derecho, grado intenso.
4. Entesopatía del músculo pectoral mayor derecho, grado intenso.
5. Hipertrofia humeral derecho, grado intenso.
6. Hipertrofia de falanges bilateral, grado moderado.
7. Entesopatía del ligamento redondo bilateral, en grado moderado en lado izquierdo e intenso en lado derecho.
8. Entesopatía de línea áspera bilateral en grado moderado.
9. Entesopatía del ligamento rotuliano tibial derecho, grado moderado.
10. Entesopatía del músculo sóleo tibial bilateral en grado intenso para ambos lados.
11. Entesopatía del tendón de Aquiles derecha, grado intenso.
12. Entesopatía del glúteo mayor bilateral, grado intenso.
13. Entesopatía del glúteo menor izquierdo, grado intenso.
14. Impronta tibial en fémur derecho, grado intenso.

Variantes anatómicas epigenéticas: no se observan.

El esqueleto no se acompañaba de ningún ajuar. Los materiales anotados anteriormente se hallaban entre el estrato de tierra que conformaba el relleno del enterramiento.

Metales:

-(nº de inventario 575) Dos clavos de hierro con cabeza. Dimensiones conservadas: 4,5 x 1 cm.

164. TUMBA DE INHUMACIÓN (2410, 2412, 2413) (Lámina 5.45)

Inhumación localizada en el sector Sur de la excavación.

Fosa UE 2411, estaba excavada en el estrato (2401) y orientada O-E.

Relleno UE 2410, estaba formado por una tierra arcillosa de color marrón con abundancia de carbones y gruijarros de pequeño tamaño.

Esqueleto UE 2412, corresponde a un individuo adulto, con un rango de edad adulto joven, pudiéndose establecer en una horquilla de edad comprendida entre los 25 y 30 años. Sexo varón. Presentaba una orientación N-S y estaba enterrado en posición de decúbito prono. Solo se conserva cabeza, tórax, extremidad superior izquierda y parte superior del húmero derecho. La otra extremidad estaba semi-flexionada y levantada, con la mano en posición dorsal, junto al tórax. El índice de conservación del esqueleto se ha establecido en un (43%).

Edad: en el rango adulto joven (20-40 años), pudiéndose establecer en un rango de edad comprendida entre los 25-30 años a partir de los métodos empleados y relacionados a continuación.

Métodos:

1. Cuarta costilla (articulación condrocostal): Fase 3-4 (24-32 años).

Sexo: varón.

Métodos morfológicos: morfología craneal (frente huidiza, arcos supraciliares marcados, borde orbitario romo, apófisis mastoides robustas, huesos malares robustos, íonion muy marcado).

Posible varón determinada dicha estimación a partir de las características morfológicas de robustez de los miembros conservados y por los espesores de la cortical de diferentes miembros según Gejvall, (1980).

- Robustez de miembros.
- Máximo espesor díploe frontal-parietal: 6,5 mm
- Espesor del tercio medio del húmero: 6 mm.
- Espesor del tercio medio del radio: 4 mm.

Estatura indeterminada.

Descomposición en medio colmatado.

Complexión anatómica: robusta.

Lateralidad indeterminada.

Desde un punto de vista patológico destacan:

1. Salud bucodental: hipoplasias del esmalte en las piezas (1.3, 2.3, 4.2, 3.1, 3.2) a una altura de la línea LAC de 3- 4 mm; caries oclusal con afectación a dentina en las piezas 1.7, 1.6; caries el línea amelocementaria en la pieza dental (2.7); caries en de tipo coronal con afectación a pulpa en las piezas (4.6, 3.5, 3.6); fracturas mesiales y distales en la piza 1.1; fractura mesial y disatema leve en las piezas (1.1 y 2.1); absceso radicular en la pieza mandibular (3.5).

2. Patología degenerativa: artrosis costovertebral; cavidades de Schmorl en vértebras torácicas (T5 a T12) y entre las lumbares L2-L3.
3. Patología carencial, metabólica: hiperostosis frontal de 9,5 mm.
4. Patología traumática: fragmentos costales con callos de fractura.

Marcadores de estrés ocupacional: indicadores de una biomecánica relacionada con una actividad continuada de brazos y piernas como consecuencia de sus actividades laborales u ocupacionales:

1. Cintura escapular: sindesmosis costal derecha, grado intenso.
2. Entesopatía del ligamento conoideo bilateral en grado moderado.
3. Hipertrófia humeral bilateral, grado intenso para ambos lados.
4. Entesopatía del músculo pectoral mayor bilateral, grado intenso para ambos lados.
5. Corredera bicipital bilateral, grado intenso para ambos lados.

Variantes anatómicas epigenéticas: No se observan.

Metales:

Durante los trabajos de excavación del relleno de este enterramiento se halló un clavo:

-(nº de inventario 583) Clavo grande de hierro, con cabeza. Dimensiones conservadas: 6 cm x 1 cm.

Ajuar:

Fauna:

Junto al tórax del esqueleto, se encontraban varios huesos de animales: una mandíbula izquierda y una escápula derecha de cerdo (*Sus domesticus*). Una primera falange de cabra (*Capra hircus*) y una diáfisis de un fémur izquierdo de perro (*Canis familiaris*).

Se ha observado una marca de carnicería en la falange de cabra, se trata de un corte fino y oblicuo realizado en la superficie medial.

165. TUMBA DE INHUMACIÓN (2417, 2418, 2419) (Lámina 5.41)

Enterramiento primario e individual localizado en el sector sur de la excavación.

Fosa UE 2419, excavada en tierra de forma rectangular, orientada N-S.

Relleno UE 2417, de textura areno-arcillosa con algunos carbones y nódulos calcáreos. Escasa presencia de cerámica fragmentada.

Esqueleto UE 2418, corresponde a un individuo con un rango de edad infantil I, pudiéndose establecer en una horquilla de edad comprendida entre los 18 meses y los

dos años de edad. Sexo indeterminado. Presentaba una orientación E-O y estaba enterrado en posición de decúbito supino. La cabeza estaba girada hacia el oeste (izquierda). La extremidad superior derecha estaba semiflexionada con el antebrazo depositado sobre el tórax. La extremidad superior izquierda estaba en la misma posición que la contralateral, con la mano sobre el abdomen. Las extremidades inferiores extendidas. El índice de conservación del esqueleto se ha establecido en un (33,5%).

Edad: en el rango infantil I (0-7 años) pudiéndose establecer en una horquilla de edad comprendida entre los 18 meses-2 años a partir de la erupción y maduración dental de Ubelaker.

Sexo: indeterminado.

Descomposición en medio vacío.

Lateralidad indeterminada.

Sin hallazgos patológicos.

Variantes anatómicas epigenéticas: No se observan.

Ajuar

-(1) (nº interés museístico 0652). Cerámica de Paredes Finas (Cáscara de Huevo) Copa carenada abierta casi troncocónica, forma Mayet XXXIV cuya altura es inferior al diámetro del borde. Labio delgado, pasta muy clara, base de pastilla. Diámetro de boca 10 cm; diámetro de base 3 cm; altura 4,5 cm. Estaba depositado en la cabecera de la tumba. Pieza fragmentada, perfil completo. Cronología: 40 - 80 d. C.

166. TUMBA DE INHUMACIÓN (2420, 2421 A-B, 2422) (Lámina 5.45)

Enterramiento primario e individual localizado en el sector sur de la excavación.

Fosa UE 2422, excavada en tierra de forma rectangular con unas dimensiones de 130 x 50 cm. y una potencia que varía entre los 30 y los 15 cm. La orientación es E-O, encontrándose la fosa cortada por un pozo medieval en el lado E.

Esta tumba se vio alterada con la construcción de un pozo de época islámica en el lado más oriental del enterramiento. La remoción resulta provocó una afectación a tumbas en estratos inferiores y una readaptación de los mismos por parte de los excavadores del pozo. Como consecuencia de todo ello, es una tumba con restos intactos acompañados de un ajuar funerario hallado a los pies de la tumba y restos antropológicos reubicados sin conexión anatómica.

La diferenciación del número mínimo de individuos se hizo durante los trabajos de laboratorio.

Relleno UE 2420, de naturaleza antrópica, de textura arcillosa muy compacta.

Esqueleto UE 2421, corresponde a un número mínimo de individuos (NMI) de dos individuos adultos con un rango de edad adulto joven (20-40). Sexo varón y mujer. La construcción de un pozo de época medieval provocó la destrucción de la cabecera de la tumba, produciendo una remoción de la tumba que provocó la no conservación de gran parte del esqueleto craneal y postcraneal y de la alteración de los restos allí conservados.

Se determina un número mínimo de individuos a partir de la presencia de dos sacros de morfología sexual discriminante. De los restos pertenecientes a la mujer (UE 2421 A), se ha conservado el sacro, extremidades superiores e inferiores en posición de decúbito prono y con un índice de conservación del esqueleto de un (23,5%).

De los restos pertenecientes al varón (UE 2421 B), se ha conservado el sacro, columna vertebral, coxal derecho y pies. Con un índice de conservación del esqueleto de un (5%).

Edad: para ambos casos en el rango adulto joven (20-40 años), pudiéndose establecer en un rango de edad comprendida entre los 20-25 años a partir de los métodos empleados y relacionados a continuación.

Métodos:

1. Superficie auricular del ilion: Fase 1-2 (20-25).

UE 2421 A: Sexo mujer (antropométricamente, con un 90,91 % de confianza).

Métodos antropométricos: la combinación de medidas antropométricas de fémur, aplicando las fórmulas regresivas da un resultado de sexo mujer con un 90,91% de confianza (anchura epicondilar + diámetro vertical de la cabeza femoral, según fórmula $68,78 \times 0,1545610 + 40,19 \times 0,2482526$).

UE 2421 B: Sexo: varón.

Métodos morfológicos: morfología pélvica.

Estatura indeterminada.

Descomposición en medio vacío confirmado por la presencia de clavos de hierro propios de ataúd de madera.

Lateralidad indeterminada.

Desde un punto de vista patológico destacan:

UE 2421 A:

1. Patología congénita del desarrollo: espina bífida.

UE 2421 B:

1. Patología degenerativa: probable sacralización de L5 (columna lumbar), ligera artrosis de la superficie auricular.; impronta del núcleo pulposo en L2; ligera espondiloartrosis de las carillas articulares.
2. Patología inflamatoria: osteoartritis del primer dedo del pié derecho.

Marcadores de estrés ocupacional: UE 2421 A

1. Entesopatía del músculo tríceps en el húmero izquierdo.
2. Entesopatía del supinador y olecraneana del cúbito izquierdo.
3. Entesopatía del ligamento redondo bilateral.
4. Faceta de Poirier derecho, en grado leve.
5. Entesopatía del glúteo mayor derecho.
6. Entesopatía del tendón rotuliano de la tibia izquierda.

Variantes anatómicas epigenéticas: No se observan.

Ajuar funerario:

-(1) (nº interés museístico 0632). Plato de cerámica de cocina africana, forma Hayes 26/ Lamboglia 9B. Borde reentrante, pared más o menos exvasada unida a la base con carena viva. Base plana. Pasta de color naranja, porosa, sin desgrasante, engobe anaranjado y marca de apilamiento. Huellas de fuego en el exterior de la base. Diámetro de boca 27cm; diámetro de base 22cm; altura 4,5cm. Pieza fragmentada, perfil completo.

-(2) (nº interés museístico 0661). Lucerna de disco forma Deneauve VII B. El disco está decorado con un delfín mirando a la derecha con la cola curvada hacia arriba. El asa perforada está sobrelevada con perforación y con estrías longitudinales sobre el dorso como posible decoración. La base es plana y está rodeada por dos circunferencias incisas. Hombro forma Loeschcke VIB. Pasta de color beige. Longitud 10,5cm; anchura 7,3cm; altura 2,6cm. Pieza completa.

-(3) (nº interés museístico 0631). Olpe de cerámica común romana. Borde troncocónico engrosado, labio vertical, galbo globular acanalado y base plana. Un asa acintada vertical pegada al labio. Pasta beige con desgrasante calcáreo y micáceo abundante. Superficie sin tratamiento. Diámetro de boca 8,9cm; diámetro de base 5,6 cm; altura 21,6cm. Pieza fragmentada pero completa.

Fauna:

La fauna hallada en el enterramiento corresponde a diferentes fragmentos hallados entre el estrato del relleno de la inhumación:

- Un maxilar izquierdo, una ulna derecha, y una tibia proximal izquierda de perro (*Canis familiaris*) de edad adulta y talla media.

Metales:

-(nº de inventario 576) Varios clavos (posiblemente 7) de hierro con cabeza. Son de tamaños muy variados. Dimensiones conservadas: el clavo más grande mide 9 x 1,5 cm y el más pequeño 2,5 x 1 cm.

167. TUMBA DE INHUMACIÓN (2426, 2427, 2428)

Enterramiento localizado en el sector Sur de la excavación.

Fosa UE 2428, estaba orientada E-O y tenía una forma rectangular con unas dimensiones conservadas de 40 x 22 x 7 cm.

Relleno UE 2426, compuesto por una tierra de textura arcillosa, muy compacta con algo de carbón.

Esqueleto UE 2427, corresponde a un individuo adulto con un rango de edad adulto joven (20-40). Sexo varón. Presentaba una orientación E-O y estaba enterrado en posición de decúbito supino. En muy mal estado de conservación los únicos huesos conservados son el tercio superior del fémur derecho, parte de la pelvis y la mano izquierda que reposa sobre ella. El índice de conservación del esqueleto se ha establecido en un (4%).

Edad: adulto joven (20-40), sin poder establecer un rango aproximado. Sin cambios degenerativos propios de edad madura.

Sexo: varón (antropométricamente, con un 90,91 % de confianza).

Métodos antropométricos: la combinación de medidas antropométricas de fémur, aplicando las fórmulas regresivas da un resultado de sexo varón con un 88,16% de confianza (diámetro vertical de la cabeza femoral, según fórmula $43 \times 0,4865479 - 20,9910026$, punto de corte 0,039055).

Estatura indeterminada.

No se observan evidencias de mortaja.

Descomposición en medio colmatado.

Lateralidad indeterminada.

Sin hallazgos paleopatológicos.

Marcadores de estrés ocupacional: indicadores de una biomecánica relacionada con una actividad continuada de piernas como consecuencia de sus actividades laborales u ocupacionales:

1. Entesopatía del ligamento redondo en fémur derecho, en grado leve.
2. Entesopatía del trocánter mayor derecho, en grado moderado.

Variantes anatómicas epigenéticas: No se observan.

Ausencia de ajuar funerario.

168. TUMBA DE INHUMACIÓN (2429, 2430, 2437)

Enterramiento primario e individual localizado en el sector Oeste de la excavación.

Fosa UE 2437, estaba orientada E-O. Era forma rectangular con las esquinas redondeadas por la cabecera, el resto de la tumba se hallaba por debajo del corte oeste. Las dimensiones conservadas son 87 x 43 x 32 cm.

Relleno UE 2429, de la fosa es de textura arcillo-arenosa con abundante carbón, pequeños nódulos de cal, arcilla rubefacta y malacología.

Se recuperaron del relleno numerosos fragmentos cerámicos de paredes finas, *Terra Sigillata Hispanica*, fragmentos informes de ánfora, cerámica común, de cocina y vidrio.

Esqueleto UE 2430, corresponde a un individuo adulto, con un rango de edad adulto joven, pudiéndose establecer en una horquilla de edad comprendida entre los 25-30 años. Sexo mujer. Presentaba una orientación E-O y estaba enterrado en posición de decúbito prono. La cabeza estaba boca abajo. Las extremidades superiores semiflexionadas por debajo del tronco. Las extremidades inferiores estaban extendidas y se pierden por el corte Oeste. Se adapta a la forma de la fosa, de modo que la parte izquierda estaba elevada sobre la derecha. El índice de conservación del esqueleto se ha establecido en un (33,5%).

Edad: en el rango adulto joven (20-40 años), pudiéndose establecer en una horquilla de edad comprendida entre los 25-30 años a partir del desgaste dental tipo 4 (Holly-Sthmith, 1984) con una correspondencia de edad entre los 25-30 años (Brothwell, 1991).

En el rango adulto joven (20-40 años), pudiéndose establecer en un rango de edad comprendida entre los 25-30 años a partir de los métodos empleados y relacionados a continuación.

Métodos:

1. Sínfisis pubis según Suchey-Brooks: Fase 2 (21-25 años); Fase 3 (26-30 años).

Sexo: mujer.

Métodos morfológicos: morfología craneal (frente vertical, arcos supraciliares no marcados, borde orbitario cortante, apófisis mastoides pequeñas, huesos malares gráciles).

Métodos antropométricos: la combinación de medidas antropométricas de fémur, aplicando las fórmulas regresivas da un resultado de sexo varón con un 88,16% de confianza (diámetro vertical de la cabeza femoral, según fórmula $36,5 \times 0,4865479 - 20,9910026$, punto de corte 0,039055).

No presenta signos de mortaja.

Estatura 152,8-155 cm, según longitud máxima de húmero izquierdo (289 mm). Se han empleado las tablas y fórmulas regresivas de Trotter y Glesser y Manouvrier.

Descomposición en medio colmatado.

Complexión anatómica: grácil.

Lateralidad derecha fundamentalmente objetivada por la presencia de mayor desarrollo de las entesopatías de extremidades superiores e inferiores.

Desde un punto de vista patológico destacan:

1. Salud bucodental: fisuras verticales en cara vestibular desde la pieza (3.2) a la (4.2) del maxilar; hipoplasias del esmalte en las piezas (1.4, 2.4) del maxilar, (3.5, 3.4, 4.4, 4.5) de la mandíbula a una distancia de la línea LAC entre los 3 y 5 mm; caries coronal con afectación a dentina en la pieza del maxilar (2.6); caries en línea amelocementaria con afectación a esmalte y pulpa respectivamente en dos piezas dentales de la mandíbula (3.4 y 3.5); agenesia de las piezas dentales del maxilar (1.2 y 2.2).
2. Patología degenerativa: cavidades de Schmorl en columna lumbar entre L5-S1.
3. Patología degenerativa: Tejido poroso reactivo generalizado en todos los cuerpos vertebrales. Diagnóstico diferencial.

Marcadores de estrés ocupacional: indicadores de una biomecánica relacionada con una actividad continuada de brazos y piernas como consecuencia de sus actividades laborales u ocupacionales:

1. Cintura escapular: sindesmosis costal derecha, grado leve.
2. Entesopatía del ligamento costoclavicular izquierdo, grado leve.
3. Entesopatía del músculo tríceps braquial cubital derecho, grado intenso.
4. Entesopatía del músculo pectoral mayor bilateral, grado moderado.
5. Hipertrofia humeral bilateral, grado moderado.
6. Corredera bicipital derecha, grado leve.
7. Hipertrofia de falanges derecho, grado leve.

8. Entesopatía del ligamento redondo bilateral, en grado moderado en lado derecho e intenso en lado izquierdo.
9. Entesopatía del glúteo mayor izquierdo, en grado leve.

Variantes anatómicas epigenéticas: sutura petroescamosa.

Descomposición en medio colmatado.

Este enterramiento no presenta ajuar.

Metales:

-(nº de inventario 577) Dos clavos de hierro con cabeza. Dimensiones conservadas: 5 x 1 cm.

Presencia de clavos de hierro junto a la cabeza y brazo derecho del individuo que no se pueden considerar procedentes de un posible ataúd puesto que la descomposición se produjo en medio colmatado, de forma que caben interpretaciones de otro tipo ya sean de carácter ritual o meramente accidental.

169. TUMBA DE INHUMACIÓN (2431, 2432, 2433)

Enterramiento situado en el sector S.O. de la excavación.

Fosa UE 2433, orientada E-O era de forma trapezoidal, con unas dimensiones conservadas de 130 x 48 x 19 cm. Estaba excavada en un estrato arcilloso (2051), cortando otra tumba más antigua excavada en el mismo estrato de manera que no resulta sencillo diferenciar perfectamente los límites de cada fosa.

Relleno UE 2431, estaba compuesto por un estrato areno-arcilloso anaranjado, con presencia de carbones, más abundantes al contacto con el esqueleto por lo que la coloración de la tierra adquiere un tono más grisáceo. Aparecen también huesos de fauna y humanos procedentes de otras inhumaciones removidas y fragmentos de cerámica común y de vidrio romanos.

Esqueleto UE 2432, corresponde a un individuo adulto, con un rango de edad adulto joven, pudiéndose establecer en una horquilla de edad comprendida entre los 35 y 38 años. Sexo mujer. Presentaba una orientación E-O y estaba enterrado en posición de decúbito supino. La cabeza estaba ladeada hacia la derecha, al N y con el tórax y las extremidades inferiores ligeramente ladeadas a la derecha. La extremidad superior derecha estaba flexionada sobre la mitad derecha del tórax. La extremidad superior izquierda estaba semiflexionada también sobre el tórax, con la mano en posición dorsal sobre el codo derecho. La pelvis estaba en posición lateral, las extremidades inferiores estaban semiflexionadas levemente giradas hacia la derecha con los pies en ángulo

recto con las tibias. El índice de conservación del esqueleto se ha establecido en un (65%).

Evidencias de mortaja a nivel de rodillas y pies.

Edad: en el rango adulto joven (20-40 años), pudiéndose establecer en un rango de edad comprendida entre los 30-35 años a partir de los métodos empleados y relacionados a continuación.

Métodos:

1. Superficie auricular del ilion: Fase 4 (35-38 años).

Sexo: mujer.

Métodos morfológicos: morfología craneal (frente vertical, arcos supraciliares no marcados, borde orbitario cortante, apófisis mastoides pequeñas, mentón protuyente).

Sexo: posible mujer determinada dicha estimación a partir de las características morfológicas de robustez de los miembros conservados y por los espesores de la cortical de diferentes miembros según Gejvall, (1980).

- Gracilidad de miembros.
- Máximo espesor díploe frontal-parietal: 6 mm.
- Máximo espesor díploe occipital: 12,5 mm.
- Espesor del tercio medio del fémur: 5,5 mm.
- Diámetro vertical de la cabeza humeral: 36 mm.
- Espesor del tercio medio del húmero: 3,75 mm.

Estatura 158-156 cm, según longitud máxima de húmero izquierdo (298 mm): 156 cm; según la longitud máxima del radio derecho (223mm): 158 cm. Se han empleado las tablas y fórmulas regresivas de Nunes de Mendonça y Manouvrier.

Descomposición en medio colmatado.

Complexión anatómica: grácil.

Lateralidad derecha, fundamentalmente objetivada por la presencia de mayor desarrollo de las entesopatías de extremidades superiores e inferiores.

Desde un punto de vista patológico destacan:

1. Salud bucodental: invaginación paracingular en la pieza dental 1.2; apiñamiento ligero de las piezas de (4.2 a 3.2); erupción incorrecta de la piza (4.7) que se encuentra en el lugar del segundo premolar (4.5); hipoplasias del esmalte en las piezas (1.2, 1.3, 2.3) del maxilar y (3.3, 3.2, 3.1, y 4.3) a una altura de la línea LAC entre los 2 y 5 mm.

2. Patología degenerativa: artrosis de codo bilateral, hernia discal en L5 (columna lumbar), cavidad Schmorl entre L1 y L2.
3. Patología infecciosa: reacción perióstica en parte media de ambos fémures y tibias.
4. Patología congénita: Fusión vertebral entre L5 y L6 (columna lumbar).

Marcadores de estrés ocupacional: indicadores de una biomecánica relacionada con una actividad continuada de brazos y piernas como consecuencia de sus actividades laborales u ocupacionales:

1. Cintura escapular: ligamento costoclavicular derecha, grado moderado.
2. Corredera bicipital bilateral, grado leve en lado izquierdo y moderado en lado derecho.
3. Faceta de Poirier derecho, en grado intenso.
4. Entesopatía del ligamento rotuliano en rótula bilateral, grado intenso en el lado derecho.
5. Entesopatía del glúteo mayor izquierdo, en grado leve.

Variantes anatómicas epigenéticas: No se observan.

La descomposición se produjo en medio colmatado pues no se observa desplazamiento de los elementos.

El esqueleto tenía alojada sobre la cavidad abdominal una cucharilla de bronce.

Metales

-(nº interés museístico 0929) Cucharilla de hierro (*ligula*) de mango largo y delgado acabado en punta y doblado casi en ángulo recto respecto a la pala, que es de forma ovalada. Dimensiones: desde la cazoleta al final del mango mide 13,5 cm. La cazoleta mide 2,7 cm x 1,8 cm. Este objeto se recuperó en la región abdominal del individuo.

170. TUMBA DE INHUMACIÓN (2434, 2435, 2436)

Inhumación primaria e individual localizada en el sector S-O.

Fosa UE 2436, conservada parcialmente por la afectación de un enterramiento posterior (2433). Las dimensiones mínimas eran 163 x 50 x 17 cm.

Relleno UE 2434, estaba compuesto por un estrato de tierra arcillosa de color marrón oscuro, con carbones, malacofauna, huesos de fauna y dos fragmentos de cerámica común y un pivote de ánfora itálica.

Esqueleto UE 2435, corresponde a un individuo adulto, con un rango de edad adulto joven, pudiéndose establecer en una horquilla de edad comprendida entre los 20-30 años. Sexo varón. Presentaba una orientación E-O y estaba enterrado en posición de decúbito supino. La extremidad superior izquierda semiflexionada con la mano en posición dorsal sobre el abdomen. La extremidad superior derecha estaba ligeramente semiflexionada con la mano en posición dorsal sobre el fémur derecho. Las extremidades inferiores estaban semiflexionadas y ligeramente ladeadas hacia la derecha con las rodillas y pies unidos, el izquierdo extendido en posición dorsal y el derecho arqueado. El índice de conservación del esqueleto se ha establecido en un (67%).

Presenta signos de mortaja en las clavículas comprimidas en forma de V, y en rodillas y pies juntos.

Edad: en el rango adulto joven (20-40 años), pudiéndose establecer en un rango de edad comprendida entre los 20-28 años a partir de los métodos empleados y relacionados a continuación.

Métodos:

1. Superficie auricular del ilion: Fase 1 (20 años); 2 (25-28 años).
2. Cuarta costilla (articulación condrocostal): Fase 2 (20-23 años).

Sexo: varón.

Métodos morfológicos: morfología craneal (frente huidiza, arcos supraciliares marcados, borde orbitario romo), morfología pélvica (escotadura ciática angulosa).

Métodos antropométricos: la combinación de medidas antropométricas de fémur, aplicando las fórmulas regresivas da un resultado de sexo varón con un 88,16% de confianza (diámetro vertical de la cabeza femoral, según fórmula $48 \times 0,4865479 - 20,9910026$, punto de corte 0,039055).

Estatura 165-172 cm, según longitud máxima de tibia derecha (370 mm): 165; 171-172, 168 cm.

Se han empleado las tablas y fórmulas regresivas de Manouvrier, Trotter y Glesser y Rollet.

Descomposición en medio vacío.

Complexión anatómica: robusta.

Lateralidad derecha, fundamentalmente objetivada por la presencia de mayor desarrollo de las entesopatías de extremidades superiores e inferiores.

Desde un punto de vista patológico destacan:

1. Patología degenerativa: artrosis de cúbito, cavidades de Schmorl entre L9-L10-L11 y L12.
2. Patología metabólica, carencial y congénita: Hiperóstosis frontal, osteocondritis disecante
3. Patología traumática: fractura biselada de hueso fresco de tercio superior de húmero derecho patelar.

Marcadores de estrés ocupacional: indicadores de una biomecánica relacionada con una actividad continuada de brazos y piernas como consecuencia de sus actividades laborales u ocupacionales:

1. Cintura escapular: sindesmosis costal bilateral, grado leve lado izquierdo, grado intenso lado derecho.
2. Entesopatía del músculo bíceps braquial radial izquierdo, grado leve.
3. Entesopatía del músculo tríceps braquial cubital izquierdo, grado leve.
4. Entesopatía del músculo pectoral mayor, en grado intenso para ambos lados.
5. Hipertrofia humeral bilateral, grado intenso para ambos lados.
6. Entesopatía del ligamento redondo bilateral, en grado leve en lado izquierdo e intenso en lado derecho.
7. Faceta de Poirier derecho, en grado leve.
8. Entesopatía de línea áspera izquierdo en grado leve.
9. Entesopatía del músculo sóleo tibial bilateral en grado leve para ambos lados.

Variantes anatómicas epigenéticas: No se observan.

171. TUMBA DE INHUMACIÓN (2438, 2439, 2440)

Inhumación primaria e individual localizada en el sector Sur de la excavación

Fosa UE 2440, de forma rectangular estaba orientada E-O su profundidad de 25 cm. (Excavada en el estrato arcilloso 2051). Las dimensiones conservadas de la fosa eran 165 x 50 cm.

Relleno UE 2438, que colmata la fosa estaba compuesto por una tierra arcillosa de color marrón oscuro, con abundantes carbones, dos clavos de hierro y cerámica fragmentada: varios fragmentos de T. S. Aretina, cerámica de Paredes Finas, ánfora Hispanica, ánfora africana y cerámica de cocina.

Esqueleto UE 2439, corresponde a un individuo adulto, con un rango de edad adulto joven, pudiéndose establecer en una horquilla de edad comprendida entre los 25-30

años. Sexo varón. Presentaba una orientación E-O y estaba enterrado en posición de decúbito supino. No conservaba la cabeza, si se han documentado el tercio superior de ambas extremidades superiores, Las extremidades inferiores estaban extendidas a lo largo del cuerpo y unidas a la altura de las rodillas. Ambos talones de los pies estaban enfrentados formando un ángulo de 180 grados con las tibias. El índice de conservación del esqueleto se ha establecido en un (31 %).

Amortajamiento evidenciado en la posición de ambas piernas, extendidas y juntas a la altura de las rodillas, y los pies con los talones enfrentados.

Descomposición en medio colmatado.

Edad aproximada determinada a partir de la observación de la obliteración de la línea epifisaria femoral todavía visible.

Sexo:

Métodos antropométricos: la combinación de medidas antropométricas de fémur, aplicando las fórmulas regresivas da un resultado de sexo varón con un 88,16% de confianza (diámetro vertical de la cabeza femoral, según fórmula $45 \times 0,4865479 - 20,9910026$, punto de corte 0,039055).

Estatura: 159-164 cm, según longitud máxima de tibia izquierda (335 mm): 159-163 cm; longitud máxima del peroné izquierdo (342 mm): 160-164 cm. Se han empleado las tablas y fórmulas regresivas de Manouvrier y Trotter y Glesser.

Descomposición en medio colmatado visible en la posición general del esqueleto, los huesos no aparecen desplazados de su posición original. La presencia de dos clavos de hierro en el relleno de la fosa, junto a la descomposición en medio colmatado hace pensar que no exista ni ataúd ni cubierta de madera, por tanto los clavos pueden pertenecer a la inhumación nº 164: (2410, 2411 y 2412), ya que la tumba nº 169 estaba cortándola.

Complexión anatómica: robustez de miembros inferiores.

Lateralidad izquierda motivada por una mayor actividad motora de la extremidad inferior izquierda.

Desde un punto de vista patológico destacan:

1. Patología degenerativa-traumática: osteocondritis disecante en el astrágalo derecho.
2. Patología traumática: periostitis en cara media-medial diafisaria de ambas tibias asociada a un hematoma de 12x12 mm de extensión.

Marcadores de estrés ocupacional: indicadores de una biomecánica relacionada con una actividad continuada de piernas como consecuencia de sus actividades laborales u ocupacionales:

1. Faceta de Poirier izquierdo, en grado leve.
2. Entesopatía de línea áspera izquierdo en grado moderado.
3. Entesopatía del músculo sóleo tibial izquierdo en grado leve.
4. Faceta de acucillamiento tibial izquierdo en grado leve.
5. Entesopatía del glúteo mayor izquierdo, en grado moderado.
6. Espina tibial izquierdo, en grado intenso.

Variantes anatómicas epigenéticas: No se observan.

Metales:

- (nº de inventario 578) Dos clavos de hierro.

172. TUMBA DE INHUMACIÓN (2441, 2442, 2443)

Inhumación primaria e individual localizada en el sector suroeste de la excavación

Fosa UE 2443, estaba orientada E-O, su forma no puede determinarse porque estaba afectada por otra inhumación (UUEE 2431, 2432, 2433) La profundidad de la fosa es de 22 cm. (excavada en el estrato 2401). Las dimensiones conservadas son 50 x 25 cm.

Relleno UE 2441, que colmata la fosa estaba formado por una tierra areno-arcillosa de color marrón-grisáceo en las zonas en contacto con el esqueleto, con abundantes carbones, huesos humanos y de animal fragmentados. La tierra que estaba en contacto con la fosa es más arenosa, de color anaranjado y con escasos carbones. Se ha identificado una mandíbula de jabalí colocada sobre el tronco del esqueleto. En el relleno aparece escasa cerámica fragmentada: fragmentos informes de base y panza de cerámica común romana. Por último aparece un fragmento de vidrio de color azul.

Esqueleto UE 2442, corresponde a un individuo adulto, con un rango de edad adulto joven, pudiéndose establecer en una horquilla de edad comprendida entre los 25-30 años. Sexo mujer. Presentaba una orientación E-O y estaba enterrado en posición de decúbito supino. Solo se conserva la mitad izquierda del tronco, incluyendo costillas, clavícula, omoplato y húmero. Carece de vértebras, cúbito y radio. No se pueden aportar más datos sobre su posición original porque estaba cortado y posiblemente removido por la inhumación nº 169 (UE: 2431 2432 2433). El índice de conservación del esqueleto se ha establecido en un (13,5%).

Edad: en el rango adulto joven (20-40 años), pudiéndose establecer en una horquilla de edad comprendida entre los 25-30 años a partir del desgaste dental tipo 3-4 (Holly-Sthmith, 1984) con una correspondencia de edad entre los 25-35 años (Brothwell, 1991).

La edad también se determina a partir de la observación de la obliteración de la línea epifisaria de la cabeza del húmero derecho todavía permeable (18-22 años).

Sexo: mujer.

Métodos morfológicos: morfología craneal (mentón protuyente); morfología pélvica (escotadura ciática ángulo abierto, surco preauricular marcado bilateral)

Determinación sexual a partir de las características morfológicas de robustez y/o gracilidad de los miembros conservados y por los espesores de la cortical de diferentes miembros según Gejvall, (1980).

- Gracilidad de miembros.
- Espesor del tercio medio del húmero: 3 mm.
- Espesor del tercio medio del fémur: 5 mm.

Estatura 152 cm, según longitud máxima de húmero derecho (287 mm): $152 \pm 7,70$ cm.

Se han empleado las tablas y fórmulas regresivas de Nunes de Mendonça y Manouvrier.

Descomposición en medio colmatado.

Complexión anatómica: grácil.

Lateralidad indeterminada.

Desde un punto de vista patológico destacan:

1. Salud bucodental: hipoplasias del esmalte en la pieza mandibular 3.3, a una altura de la línea LAC de 6-7,5 mm.
2. Patología infecciosa: reacción perióstica de tipo granulomatosa en la cara interna de dos fragmentos costales derechos.
3. Aplastamiento de cabeza femoral izquierdo (posible afectación taxonómica).

Marcadores de estrés ocupacional: indicadores de una biomecánica relacionada con una actividad continuada de brazos como consecuencia de sus actividades laborales u ocupacionales:

1. Hipertrofia humeral derecha, grado leve.

Variantes anatómicas epigenéticas: No se observan.

173. TUMBA DE INHUMACIÓN (2446, 2447, 2448) (Lámina 5.46)

Inhumación primaria e individual localizada en el sector S. de la excavación.

Fosa UE 2448, excavada en estrato arcilloso (2262) con planta rectangular. Se conserva en su totalidad con unas dimensiones de 2 m. x 0,54 m. y una profundidad relativa entre 0,15 m. / 0,29 m. Presenta orientación E - O.

Relleno UE 2446, de la tumba estaba compuesto por una tierra arcillosa compacta y con una tonalidad blanquecina. Mencionar la presencia nódulos de carbón en grado escaso y fragmentos de hueso de animal. El material cerámico recuperado en el relleno estaba formado por tres fragmentos de olla de cocina (dos bordes y uno informe), un fragmento de ánfora itálica, un borde Dr. 1A, un fragmento de paredes finas engobadas, dos fragmentos de *Terra Sigillata Italica* y por último dos fragmentos de *Terra Sigillata Hispanica*.

Fauna:

Formando parte del relleno de la tumba se hallaron restos de fauna.

Los restos documentados correspondían a una mandíbula izquierda de un perro adulto (*Canis familiaris*) y otra mandíbula izquierda de un asno (*Equus asinus*). La edad de muerte del équido es de 10-11 años.

Sobre el cuerpo de la mandíbula de équido se observan marcas de carnicería, se trata de cortes de escasa longitud, no muy profundos, realizados con un instrumento metálico.

Esqueleto UE 2447, corresponde a un individuo adulto, con un rango de edad adulto joven, pudiéndose establecer en una horquilla de edad comprendida entre los 21-29 años. Sexo varón. Presentaba una orientación E-O y estaba enterrado en posición de decúbito prono. La cabeza se encontraba boca abajo y ligeramente ladeada hacia la derecha. Las extremidades superiores se hallaban semiflexionadas y cruzadas a la altura del coxal izquierdo. La extremidad superior izquierda estaba por debajo de la derecha. Ambas manos en posición palmar. El tórax apareció ligeramente ladeado hacia la izquierda. Las extremidades inferiores se encontraron semiflexionadas. Como consecuencia de su adaptación a la forma de la fosa se apreció una sobreelevación del tercio inferior de las extremidades inferiores respecto del tercio superior de las mismas, así como los dedos comprimidos. El índice de conservación del esqueleto se ha establecido en un (61%).

Se hallaron signos de mortaja en la posición de los brazos: pegados al tronco y de las extremidades inferiores unidas a la altura de las rodillas y de los talones.

Edad: en el rango adulto joven (20-40 años), pudiéndose establecer en un rango de edad comprendida entre los 21-25 años a partir de los métodos empleados y relacionados a continuación.

Métodos:

1. Sínfisis pubis según Suchey-Brooks: Fase 2 (21-25 años).

Edad: en el rango adulto joven (20-40 años), pudiéndose establecer en una horquilla de edad comprendida entre los 25-30 años a partir del desgaste dental tipo 3-4 (Holly-Smith, 1984)

Sexo: mujer.

Métodos antropométricos: la combinación de medidas antropométricas de fémur, aplicando las fórmulas regresivas da un resultado de sexo mujer con un 88,16% de confianza (diámetro vertical de la cabeza femoral, según fórmula $40 \times 0,4865479 - 20,9910026$, punto de corte 0,039055).

Estatura 157,10 cm, según longitud máxima de húmero derecho (303 mm): 157,10 cm.

Se han empleado las tablas y fórmulas regresivas de Manouvrier.

La descomposición del individuo se produjo en un medio colmatado, como evidenciaba la posición general de los huesos.

Complexión anatómica: grácil.

Lateralidad derecha-izquierda, fundamentalmente objetivada por la presencia de mayor desarrollo de las entesopatías de extremidades superiores/inferiores.

Desde un punto de vista patológico destacan:

1. Salud bucodental: Mal posicionamiento desde la pieza mandibular (3.3 a 4.3); desgastes biselados de cara vestibular de (3.1 a 4.1); hipoplasias del esmalte en las piezas (1.3, 1.2, 1.1, 2.1, 2.2, 2.3) del maxilar a una altura de la línea LAC de 3-5,5 mm; y en las piezas mandibulares (3.3, 3.2, 3.1, 4.1, 4.3) a una altura de la línea LAC 2,5-5mm.
2. Patología infecciosa: reacción Pleuritis costal tipo placa y granulomatoso; periostitis de tipo infeccioso visible en gran parte del esqueleto postcraneal: deformidad de clavículas con periostitis en cara visceral, ligera periostitis bilateral a nivel metacarpiano, periostitis en cara interna de ambos fémures, periostitis en tercio inferior de ambos peronés. (Mal de Pott. Osteocartropatía hipertrófica).
3. Patología degenerativa: artrosis en cabeza femoral izquierda.
4. Patología carencial, metabólica: hiperostosis frontal generalizada.
5. Patología traumática: callo de fractura costal.

Marcadores de estrés ocupacional: indicadores de una biomecánica relacionada con una actividad continuada de brazos y piernas como consecuencia de sus actividades laborales u ocupacionales:

1. Entesopatía del músculo bíceps braquial radial bilateral, grado leve para ambos lados.
2. Entesopatía del músculo supinador cubital bilateral, grado moderado para ambos lados.
3. Entesopatía del músculo tríceps braquial cubital bilateral, grado moderado para ambos lados.
4. Hipertrofia humeral bilateral, grado leve.
5. Impronta tibial izquierdo, en grado leve.

Variantes anatómicas epigenéticas: doble canal nutricio visible en la tibia derecha

No se ha constatado la presencia de ajuar cerámico relacionado con el enterramiento, en cambio aparecen dos mandíbulas de animal. Tanto el material cerámico recuperado en el relleno, como las relaciones estratigráficas fechán el enterramiento en el S. I d. C.

174. TUMBA DE INHUMACIÓN (2450, 2451, 2452)

Inhumación primaria e individual localizada en el sector S. de la excavación.

Fosa UE 2452, excavada en estrato arenoso (2401) con una forma que no fue posible definir en su totalidad (dimensiones conservadas: 0,55 m. x 0,35 m.) al estar afectada por una fosa de incineración (2445) y perderse por debajo del corte O. Conservaba una profundidad relativa entre 0,02 m. / 0,05 m. Estaba orientada E – O.

Relleno UE 2450, de la tumba estaba compuesto por una tierra de arcillosa muy compacta y con una tonalidad marrón oscuro. Señalar la presencia de malacofauna, fauna y cal en grado escaso, así como un fragmento de cerámica común romana.

Esqueleto UE 2451, corresponde a un individuo adulto, con un rango de edad adulto joven-, pudiéndose establecer en una horquilla de edad comprendida entre los 20-25 años. Sexo posible mujer. Presentaba una orientación E-O y estaba enterrado en posición de decúbito prono. Sólo conserva el tercio superior de las extremidades inferiores al estar afectado por una tumba posterior y por su localización en el corte O. El índice de conservación del esqueleto se ha establecido en un (4%).

Edad: entorno a los 20 años determinada a partir de la observación de la obliteración de la línea epifisaria de la cabeza femoral y meseta tibial.

Sexo: mujer (antropométricamente, con un 90,91 % de confianza).

Métodos antropométricos: la combinación de medidas antropométricas de fémur, aplicando las fórmulas regresivas da un resultado de sexo varón con un 90,91% de

confianza (anchura epicondilar + diámetro vertical de la cabeza femoral, según fórmula $73,2 \times 0,1545610 + 39,16 \times 0,2482526 - 22,4541154$, punto de corte $-0,122985$).

Estatura 156-158 cm, según longitud máxima de fémur izquierdo (425 mm): $158 \pm 5,96$ cm.

Se han empleado las tablas y fórmulas regresivas de Nunes de Mendonça y Manouvrier.

Descomposición en medio colmatado.

Complexión anatómica: grácil.

Lateralidad indeterminada.

Desde un punto de vista patológico destacan:

1. Patología traumática: fractura de hueso fresco con trazo helicoidal y localización subtrocanterea; lesión o herida presumiblemente por arma blanca a nivel trocantéreo.
2. Patología carencial, metabólica: criba femoral derecha.

Marcadores de estrés ocupacional: indicadores de una biomecánica relacionada con una actividad continuada de piernas como consecuencia de sus actividades laborales u ocupacionales:

1. Entesopatía del ligamento redondo bilateral, en grado intenso.
2. Entesopatía del tendón rotuliano en ambas tibias grado intenso
3. Entesopatía tibial izquierdo en grado moderado.

Variantes anatómicas epigenéticas: No se observan.

175. TUMBA DE INHUMACIÓN (2453, 2454, 2455)

Inhumación primaria e individual localizada en el sector S. de la excavación.

Fosa UE 2455, excavada en estrato arenoso (2401) con una forma que no fue posible definir en su totalidad (dimensiones conservadas: 0,40 m. x 0,20 m.) al estar afectada por una fosa de inhumación (2443). Tiene una profundidad relativa entre 0,08 m. / 0,09 m. Presenta orientación E-O.

Relleno UE 2453, de la tumba estaba compuesto por una tierra arcillosa muy compacta y con una tonalidad marrón oscuro. Señalar la presencia de malacofauna y nódulos de carbón en grado escaso.

Esqueleto UE 2454, corresponde a un individuo neonato a término de sexo indeterminado. Presentaba una orientación E-O y estaba enterrado en posición de decúbito supino. El cráneo (ausencia del maxilar y la mandíbula) apareció ladeado hacia

la derecha. La extremidad superior derecha estaba completamente extendida a lo largo del cuerpo. Ausencia del resto del esqueleto al hallarse muy afectado por estructuras posteriores. Sólo se recuperaron algunos fragmentos de vértebras, de costillas y de omoplato. El índice de conservación del esqueleto se ha establecido en un (8%).

La descomposición del individuo se produjo probablemente en vacío, aunque no se puede afirmar debido al mal estado de conservación del esqueleto

Edad: neonatal a término pudiéndose establecer a partir de la longitud diafisaria del húmero derecho (67 mm) de acuerdo con el rango métrico de 61,6-70 mm, según Fazekas y Kosa (1978).

Sexo: indeterminado.

Descomposición en medio vacío.

Lateralidad indeterminada.

Sin hallazgos patológicos.

Variantes anatómicas epigenéticas: No se observan.

176. TUMBA DE INHUMACIÓN (2466, 2467, 2468)

Inhumación primaria e individual localizada en el sector S. de la excavación

Fosa UE 2468, rectangular de 0'85 por 0'50 m. y con una profundidad conservada de 15 cm, orientada O-E.

Relleno UE 2466, está formado por tierra arcillosa muy compacta. Tenía carbones, nódulos de cal y cantos rodados así como fragmentos informes de cerámica común y de cocina.

Esqueleto UE 2467, corresponde a un individuo adulto, con un rango de edad adulto joven (20-40 años), sin poder establecer una horquilla de edad más concreta. Sexo varón. Presentaba una orientación S-N y estaba enterrado en posición de decúbito supino. Las extremidades inferiores estaban extendidas y paralelas. El índice de conservación del esqueleto se ha establecido en un (9%).

Sexo varón

Métodos antropométricos: la combinación de medidas antropométricas de fémur, aplicando las fórmulas regresivas da un resultado de sexo varón con un 82,95% de confianza (perímetro a la mitad + diámetro transversal, según fórmula $86 \times 0,1421616 + 30 \times 0,2375234$ -constante 18,826376, punto de corte -0,011135).

Estatura 160-162 cm, según longitud máxima de peroné izquierdo (342 mm). Se han empleado las tablas y fórmulas regresivas de Manouvrier.

Descomposición en medio colmatado.

Complexión anatómica: robusto.

Lateralidad indeterminada

No se han documentado hallazgos paleopatológicos.

Marcadores de estrés ocupacional: indicadores de una biomecánica relacionada con una actividad continuada de piernas como consecuencia de sus actividades laborales u ocupacionales:

1. Entesopatía de línea áspera bilateral en grado intenso para ambos lados.
2. Entesopatía del músculo sóleo tibial derecho en grado moderado.
3. Impronta tibial bilateral grado intenso para ambos lados.
4. Entesopatía de tibia y peroné bilateral grado moderado.

Variantes anatómicas epigenéticas: No se observan.

177. TUMBA DE INHUMACIÓN (2473, 2474, 2475)

Inhumación primaria e individual localizada en el sector S. de la excavación

Fosa UE 2475, de forma rectangular con la cabecera redondeada. Su orientación N-S, y con una profundidad conservada de 17 cm.

Relleno UE 2473, compuesto por una tierra de arena – arcillosa con carbones y algún caracol.

Esqueleto UE 2474, corresponde a un individuo adulto con un rango de edad adulto maduro, mayor de 40 años. Sexo mujer. Presentaba una orientación NE-SO y estaba enterrado en posición de decúbito supino. Tan solo se pudo recuperar el cráneo dado que el resto del enterramiento se localizaba por debajo del corte sur de la excavación. El índice de conservación del esqueleto se ha establecido en un (4,5%).

Edad: en el rango adulto maduro (40-60 años), concretamente entre los 40-45 años a partir del desgaste dental tipo 5 (Holly-Sthmith, 1984) con una correspondencia de edad entre los 33-45 años (Brothwell, 1991).

Sexo: mujer.

Métodos morfológicos: morfología craneal (frente vertical, arcos supraciliares no marcados, borde orbitario cortante, apófisis mastoides pequeñas, huesos maxilares gráciles, mentón protuyente).

Estatura indeterminada.

Lateralidad indeterminada.

Sin hallazgos patológicos.

Sin marcadores de estrés ocupacional.

Variantes anatómicas epigenéticas: No se observan.

178. TUMBA DE INHUMACIÓN (2480, 2481, 2482)

Esta inhumación estaba en el sector sur de la excavación.

Fosa UE 2482, no se conoce al extenderse más allá del corte sur de la excavación y también por estar afectada por otras tumbas. La profundidad conservada es de 13 cm. y tiene una orientación N.-E. / S.-O.

Relleno UE 2480, estaba compuesto por una tierra de textura areno–arcillosa con caracoles y sin restos cerámicos.

Esqueleto UE 2481, corresponde a un individuo adulto, con un rango de edad adulto joven (20-40), Sexo mujer. Presentaba una orientación S-N y estaba enterrado en posición de decúbito prono con la cabeza ladeada hacia la izquierda y con la mandíbula sobre el hombro. Solo conserva la parte izquierda del tronco y el húmero de la extremidad superior izquierda. El esqueleto estaba inclinado y por tanto se ha adaptado a la fosa. Hay evidencias de amortajamiento en la posición del brazo pegado al tronco. El índice de conservación del esqueleto de 9,5%.

Durante las tareas de estudio antropológico de laboratorio, se hallaron restos craneales de otro individuo, de edad adulto y sexo probable mujer (UE 2481 B). Se determina un número mínimo de individuos a partir de la presencia de dos huesos frontales repetidos de morfología sexual relativa a mujer. De los restos pertenecientes a la (UE 2481 B), se han conservado restos del hueso frontal, temporal y occipital, restos mandibulares con un índice de conservación del esqueleto de un (1,5%).

UE 2481 A

Edad: en el rango adulto joven (20-40 años), pudiéndose establecer en una horquilla de edad comprendida entre los 25-35 años a partir del desgaste dental tipo 5 (Holly-Sthmith, 1984) con una correspondencia de edad entre los 25-35 años (Brothwell, 1991).

UE 2481 B

Edad: en el rango adulto maduro (40-60 años), pudiéndose establecer en una horquilla de edad comprendida entre los 40-50 años a partir del desgaste dental tipo 5-6 (Holly-Sthmith, 1984) con una correspondencia de edad mayor de 45 años (Brothwell, 1991).

UE 2481 A: Sexo mujer

Sexo: mujer.

Métodos morfológicos: morfología craneal (frente vertical, arcos supraciliares no marcados, borde orbitario cortante, apófisis mastoides pequeñas, huesos malares gráciles, mentón protuyente).

UE 2481 B: Sexo: mujer.

Métodos morfológicos: morfología craneal (frente vertical, apófisis mastoides pequeñas).

Estatura indeterminada para ambos

Descomposición en medio colmatado para el individuo que estaba *in situ* (2481A).

Lateralidad indeterminada.

Desde un punto de vista patológico destacan:

UE 2481 A:

1. Salud bucodental: caries de tipo radicular con afectación a pulpa en las piezas dentales mandibulares (3.4, 4.4 y 4.5); caries en línea amelocementaria (LAC) con afectación a esmalte en la pieza mandibular (4.3).
2. Patología infecciosa: hiperóstosis frontal interna; lesión osteolítica en tabla interna a nivel de sutura metópica.
3. Patología degenerativa: artrosis témporo-mandibular; ligera artrosis cervical C2; espondiloartrosis cervical con aplastamiento entre C2 y C6.
4. Patología vascular: corpúsculo de Paccioni.

UE 2481 B:

1. Salud bucodental: caries de tipo radicular con afectación a pulpa en las piezas dentales del maxilar (1.6, 2.4); caries de tipo oclusal con afectación a dentina en la pieza (2.5); dos caries en la pieza mandibular 3.8 en LAC y coronal con afectación a esmalte para ambos casos.
2. Patología traumática: traumatismo en hueso frontal con ligero hundimiento de tabla externa con unas dimensiones de: 14,71x 8,83 mm.
3. Patología degenerativa: artrosis témporo-mandibular.
4. Patología vascular: corpúsculo de Paccioni a nivel de sutura sagital.

Marcadores de estrés ocupacional: UE 2481 A

1. Entesopatía del músculo braquial de húmero izquierdo.

Variantes anatómicas epigenéticas:

UE 2481 A: metodismo, sutura petroescamosa.

UE 2481 B: No se observan.

179. TUMBA DE INHUMACIÓN (2483, 2484, 2485)

Esta inhumación estaba en el sector S.O de la excavación.

Fosa UE 2485, excavada en estrato arcilloso de forma indeterminada, ubicada en el sector S.O. de la excavación. No se han podido apreciar las dimensiones ni su orientación.

Relleno UE 2483, compuesto por una tierra arcillosa de color marrón rojizo con carbones, caracoles y un fragmento de mármol veteado de color rosáceo con un surco en el centro.

Esqueleto UE 2484, corresponde a un individuo adulto, con un rango de edad adulto maduro (40-60 años). Sexo indeterminado. Presentaba una orientación E-O y estaba enterrado aparentemente en posición de decúbito supino. El índice de conservación del esqueleto se ha establecido en un (2,5%).

Edad: en el rango adulto maduro (40-60 años), a partir del desgaste dental tipo 7 (Holly-Sthmith, 1984) con una correspondencia de edad mayor de 45 años (Brothwell, 1991).

Sexo Indeterminado.

Estatura indeterminada.

Descomposición en medio colmatado posiblemente.

Lateralidad indeterminada.

Desde un punto de vista patológico destacan:

1. Salud bucodental: hipoplasias del esmalte en las piezas (4.3) a una altura de la línea LAC de 2,2 mm; caries en línea amelocementaria con afectación a esmalte-cemento en las piezas mandibulares 4.3, 4.3.
2. Patología inflamatoria: porosis suprauditiva.

No se observan marcadores de actividad.

Variantes anatómicas epigenéticas: sutura petroescamosa bilateral.

180. TUMBA DE INHUMACIÓN (2486, 2487, 2488)

Inhumación primaria e individual localizada en el sector sur de la excavación

Esta inhumación estaba en el sector sur de la excavación.

Fosa UE 2488, no se pudo determinar la forma ni dimensiones dado que se vio afectada por la superposición de diversos enterramientos. Conservaba una profundidad de 21 cm.

Relleno UE 2486, de esta fosa estaba formado por una tierra arcillosa con abundantes carbones y caracoles. Dentro de este relleno se ha recuperado una placa de mármol veteadado.

Esqueleto UE 2487, corresponde a un individuo adulto, con un rango de edad adulto maduro, (40-60 años). Sexo varón. Presentaba una orientación E-O y estaba enterrado en posición de decúbito supino. Se conserva el cráneo ya que el resto del esqueleto se extendía más allá del corte oeste de la excavación, de forma que no ha sido posible establecer la posición del cuerpo ni su forma de descomposición. El índice de conservación del esqueleto se ha establecido en un (6,5%).

Edad: en el rango adulto maduro (40-60 años), a partir del desgaste dental tipo 7 (Holly-Smith, 1984) con una correspondencia de edad mayor de 45 años (Brothwell, 1991). La edad también se ha determinado a partir de la observación de la obliteración de las suturas craneales (Meindly y Lovejoy, 1985 a).

Sexo: varón.

Métodos morfológicos: morfología craneal (frente huidiza, arcos supraciliares marcados, borde orbitario romo, glabella tipo 5, apófisis mastoides robustas, huesos malares robustos, inion tipo 5, mentón cuadrangular).

Estatura indeterminada.

Lateralidad indeterminada.

Desde un punto de vista patológico destacan:

1. Salud bucodental: hipoplasias del esmalte en las piezas (4.3) a una altura de la línea LAC de 4 mm; caries en línea amelocementaria con afectación a esmalte-cemento en las piezas maxilares con afectación a pulpal las piezas (2.7, 2.8); con afectación a dentina 1.8; con afectación a esmalte-cemento la pieza (1.7); caries radicular con afectación a pulpa en las piezas (1.2, 2.2, 2.3, 2.4); caries radicular con afectación a pulpa en la pieza mandibular (4.4). Desgaste biselado de la pieza mandibular (3.5).
2. Patología degenerativa: cervicoartrosis con osteofitosis antero-lateral y aplastamiento de discos. Artrosis atlanto-axoidea.
3. Patología metabólica, nutricional, carencial: hiperóstosis craneal frontal-parietal; porosis supraorbitaria bilateral.

No se observan marcadores de actividad.

Variantes anatómicas epigenéticas: sutura petroescamosa derecha.

181. TUMBA DE INHUMACIÓN (3003=1443, 3004=1444, 3005=1445)

Enterramiento localizado en el sector Oeste de la excavación que corresponde con la tumba 1443, 1444, 1445 documentada durante la 3ª campaña de excavaciones de la que solo se excavó el cráneo.

Fosa UE 3005, estaba excavada en los estratos naturales de arena y arcilla con una orientación E-O. De forma rectangular conservaba unas medidas de 1 x 0'50 m.

Relleno UE 3003, es de tierra, de textura arenosa con escasa presencia de carbones, pequeños restos de hueso quemado y caracoles necrófagos. Desde el punto de vista del material cerámico se hallaron dos fragmentos de cerámica común romana.

Esqueleto UE 3004, corresponde a un individuo adulto, con un rango de edad adulto joven, pudiéndose establecer en una horquilla de edad comprendida entre los 25-30 años. Sexo varón. Presentaba una orientación E-O y estaba enterrado en posición de decúbito supino. Se conserva el tórax y el tercio superior de las extremidades inferiores. La extremidad superior derecha estaba semiflexionada sobre el tórax. La extremidad superior izquierda estaba extendida por debajo del coxal izquierdo. Las extremidades inferiores se hallaban extendidas y paralelas. El índice de conservación del esqueleto se ha establecido en un (56,5%).

Edad: en el rango adulto joven (20-40 años), pudiéndose establecer en una horquilla de edad comprendida entre los 20-30 años a partir del desgaste dental tipo 3-4 (Holly-Sthmith, 1984) con una correspondencia de edad entre los 25-35 años (Brothwell, 1991).

Edad: en el rango adulto joven (20-40 años), pudiéndose establecer en un rango de edad comprendida entre los 30-35 años a partir de los métodos empleados y relacionados a continuación.

Métodos:

1. Sínfisis pubis según Suchey-Brooks: Fase 2-3 (25-34 años).
2. Cuarta costilla (articulación condrocostal): Fase 4 (28-32 años).

Sexo: varón (morfológica y antropométricamente, con un 90,91 % de confianza).

Métodos morfológicos: morfología craneal y pélvica (escotadura ciática, agujero obturador y ángulo subpúbico).

Métodos antropométricos: la combinación de medidas antropométricas de fémur, aplicando las fórmulas regresivas da un resultado de sexo varón con un 88,16% de confianza (diámetro vertical de la cabeza femoral, según fórmula $55 \times 0,4865479 - 20,9910026$, punto de corte 0,039055).

Estatura 173 cm, según longitud máxima de húmero derecho (346,5 mm). Se han empleado las tablas y fórmulas regresivas de Manouvrier.

Evidencias de mortaja a nivel de hombros.

Descomposición en medio colmatado.

Complexión anatómica: robusta.

Lateralidad derecha, fundamentalmente objetivada por la presencia de mayor desarrollo de las entesopatías de extremidades superiores.

Desde un punto de vista patológico destacan:

1. Salud bucodental: fractura ocluso-distal de la pieza 36, fractura oclusal de la pieza 22; desgaste biselado de la pieza 12 de derecha a izquierda; apiñamiento frontal de los segundos incisivos del maxilar; hipoplasias del esmalte en las piezas 1.1, 4.3 y 3.3 a una altura de la línea amelocementaria LAC de 3-6mm.
2. Patología infecciosa: pleuritis a nivel costal en costillas, reacción perióstica en parte media del peroné derecho.
3. Patología degenerativa: ligero proceso degenerativo en apófisis odontoides; ligero proceso degenerativo en la superficie del platillo cervical; osteítis interna a nivel clavicular; ligera artrosis en cara externa de la glenoide derecha; ligera artrosis de codo bilateral; artrosis costo esternal de la primera costilla izquierda con reacción perióstica; hundimiento del platillo de S1 (primera vértebra sacra); ligera coxartrosis en base del cótilo derecho.
4. Patología metabólica, nutricional, carencial: porosis supraorbitaria, criba orbitaria derecha, tipo porótico grado 2 ligero; Serpes endocránea simétrica (área osteolítica endocraneal).

Marcadores de estrés ocupacional: indicadores de una biomecánica relacionada con una actividad continuada de brazos y piernas como consecuencia de sus actividades laborales u ocupacionales:

1. Cintura escapular: ligamento costoclavicular bilateral en grado leve para el lado izquierdo y grado intenso para el derecho; ligera Entesopatía acromial derecha, grado moderado.
2. Entesopatía del músculo bíceps braquial radial bilateral, grado leve izquierdo, grado moderado derecho.
3. Entesopatía del músculo supinador cubital izquierdo, grado leve.
4. Entesopatía del músculo tríceps braquial cubital derecho, grado leve.
5. Entesopatía del músculo pectoral mayor derecho, grado intenso.
6. Hipertrofia humeral bilateral, grado intenso en lado izquierdo y grado derecho en lado derecho.

7. Corredera bicipital derecha, grado moderado.
8. Hipertrofia de falanges derecha, grado leve.
9. Entesopatía de la base del ílion bilateral en grado leve.
10. Entesopatía subpubiana del lado derecho en grado moderado.
11. Entesopatía suprapubiana bilateral en grado leve.
12. Entesopatía del ligamento redondo bilateral, en grado leve para ambos lados.
13. Faceta de Poirier bilateral, en grado intenso.
14. Entesopatía de línea áspera bilateral, en grado intenso.
15. Entesopatía del trocánter menor bilateral, en grado moderado par el lado derecho, grado intenso para el izquierdo.
16. Entesopatía isquiofemoral intertrocantérea anterior bilateral, grado moderado.

No se observan variantes anatómicas epigenéticas.

La cronología de este enterramiento se establece en el siglo I d.C. a partir de las relaciones estratigráficas.

182. TUMBA DE INHUMACIÓN (3215, 3216, 3217)

Enterramiento primario e individual localizado en el sector Oeste de la necrópolis.

Fosa UE 3217, de forma rectangular, conservaba unas dimensiones de 1'38 x 0'50 m y estaba orientada E-O. Desde el punto de vista estratigráfico, estaba excavada en el estrato de arcillas naturales (UE 3002).

Relleno UE 3215, estaba compuesto por una tierra de textura arcillosa muy compacta con presencia de material antracológico, malacofauna, y cerámica formada por fragmentos: varios fragmentos informes de *Terra Sigillata Hispanica*, cerámica común y un fragmento de borde y asa de ánfora Dressel 2/4.

Esqueleto UE 3216, corresponde a un individuo adulto, con un rango de edad adulto joven- maduro, pudiéndose establecer en una horquilla de edad comprendida entre los 30 y 40 años. Sexo mujer. Presentaba una orientación E-O y estaba enterrado en posición de decúbito supino. En general se encuentra en muy mal estado de conservación. Del esqueleto craneal ha permanecido parte del cráneo, desarticulado. Del esqueleto postcraneal, se conserva parte del tórax y gran parte del húmero derecho. De las extremidades inferiores se conserva la parte diafisaria del fémur derecho, así como parte del fémur izquierdo, la tibia y el peroné del mismo lado. El índice de conservación del esqueleto se ha establecido en un (21 %).

Sexo: mujer (morfológica y antropométricamente, con un 90,91 % de confianza).

Métodos antropométricos: la combinación de medidas antropométricas de fémur, aplicando las fórmulas regresivas da un resultado de sexo mujer con un 88,16% de confianza (diámetro vertical de la cabeza femoral, según fórmula $41,92 \times 0,4865479 - 20,9910026$, punto de corte 0,039055).

Estatura indeterminada.

Evidencias de mortaja a nivel clavicular.

Descomposición en medio colmatado.

Complexión anatómica: grácil.

Lateralidad derecha, fundamentalmente objetivada por la presencia de mayor desarrollo de las entesopatías de extremidades superiores.

Desde un punto de vista patológico destacan:

1. Patología infecciosa: pleuritis neoforativas en primera costilla derecha de forma leve.
2. Patología degenerativa: ligera artrosis costo-vertebral a nivel dorsal; ligera artrosis gleno-humeral bilateral; ligera artrosis de codo derecho; ligera gonoartrosis derecha.

Marcadores de estrés ocupacional: indicadores de una biomecánica relacionada con una actividad continuada de brazos y piernas como consecuencia de sus actividades laborales u ocupacionales:

1. Entesopatía del ligamento conoideo derecho, grado moderado.
2. Entesopatía del músculo bíceps braquial radial derecho, grado moderado.
3. Entesopatía del músculo tríceps braquial cubital derecho, grado leve.
4. Entesopatía del ligamento redondo derecho, en grado moderado.
5. Faceta de Poirier derecho, en grado moderado.
6. Entesopatía de línea áspera bilateral, grado moderado para ambos lados.
7. Entesopatía del trocánter mayor derecho, en grado moderado.
8. Entesopatía del glúteo mayor bilateral, en grado moderado.

Variantes anatómicas epigenéticas: No se observan.

183. TUMBA DE INHUMACIÓN (3257, 3258, 3259)

Enterramiento primario e individual localizado en el sector Sur de la excavación. Estaba orientado E-O.

Fosa UE 3259, de forma alargada estaba excavada en el estrato (3220=2401) y conserva unas medidas de 0'76 x 0'25 m. Desde el punto de vista estratigráfico ésta fosa corta la tumba (3263, 3264, 3265) y a su vez estaba cortada posiblemente por niveles pertenecientes a épocas posteriores.

Relleno UE 3257, estaba compuesto por una tierra de textura arcillosa con presencia de carbones y malacofauna. El material cerámico estaba formado por cerámica común romana y un fragmento sin forma de ánfora indeterminada.

Esqueleto UE 3258, corresponde a un individuo infantil de sexo indeterminado, con una edad al deceso comprendida entre los 4 y 6 años. Presentaba una orientación E-O y estaba enterrado en posición de decúbito supino. Conserva la parte inferior del cráneo, parte del tórax, la parte superior del hueso ilíaco izquierdo y extremidad superior izquierda, estirada y paralela al cuerpo, a excepción de la mano. Las extremidades inferiores así como la pelvis estaban cortadas. El índice de conservación del esqueleto se ha establecido en un (20%).

Evidencias de mortaja.

Descomposición en medio vacío.

Lateralidad indeterminada.

Desde un punto de vista patológico destacan:

1. Patología infecciosa: reacción perióstica en fragmento costal; Serpes endocránea simétrica en región fronto-parietal (TBC).

No se han observado marcadores de actividad ni variantes anatómicas.

184.TUMBA DE INHUMACIÓN (3260, 3261, 3262) (parte gráfica en capítulo 6.5.1)

Enterramiento individual y primario, localizado en el sector sur de la excavación.

Fosa UE 3262, parcialmente conservada y orientada E-O, es de forma alargada y estaba excavada en el estrato arcilloso de carácter antrópico (3220=2401). Conserva unas medidas de 1'10 x 0'50 m.

Relleno UE 3260, estaba compuesto por una tierra de textura arcillosa con escasa presencia de carbones y malacofauna.

Esqueleto UE 3261, corresponde a un individuo adulto, de sexo varón, enterrado en posición de decúbito supino y del que solo se conservan la mitad inferior de las

extremidades inferiores (tibias, peronés y pies). Presentaba una orientación E-O y estaba enterrado en posición de decúbito supino. Los pies estaban juntos, el izquierdo por encima del derecho, y es en la tibia del lado izquierdo donde se alberga una pesada argolla de hierro que rodea la extremidad. El índice de conservación del esqueleto se ha establecido en un (12%).

Edad: en el rango adulto joven (20-40 años), sin poder establecer en una horquilla de edad más aproximada debido a la escasez de restos conservados.

Sexo: posible varón teniendo en cuenta la robustez de miembros inferiores.

Estatura indeterminada.

Evidencias de mortaja a nivel de tobillos.

Descomposición en medio colmatado.

Complexión anatómica: robusta.

Lateralidad indeterminada.

Desde un punto de vista patológico destacan:

1. Patología traumática: fractura biselada de hueso fresco del tercio distal de la tibia izquierda con posible asociación a peroné. Periostitis a nivel medio en tibia derecha.

Ajuar:

Fauna:

En el límite distal de la fosa se hallaron restos de fauna consistentes en un coxal de bóvido adulto, según estimaciones zooarqueológicas de campo.

185. TUMBA DE INHUMACIÓN (3263, 3264, 3265)

Enterramiento primario e individual localizado en el sector Sur de la excavación y con una orientación E-O.

Fosa UE 3265, es una estructura de forma alargada, excavada en el estrato (3220=2401) y conserva unas dimensiones de 1'40 x 0'40 m. Desde el punto de vista estratigráfico, se encuentra cortada por la inhumación (3257, 3258, 3259).

Relleno UE 3263, estaba compuesto por una tierra de textura arcillosa con escasa presencia de carbones y malacofauna.

Esqueleto UE 3264, corresponde a un individuo adulto de sexo indeterminado. Presentaba una orientación E-O y estaba enterrado en posición de decúbito supino. Solo se conserva la parte derecha del tórax, pelvis, fémur, tibia y peroné. El resto del

esqueleto estaba cortado por otra tumba. El índice de conservación del esqueleto se ha establecido en un (4,5%).

Determinación de edad y sexo indeterminado.

Estatura indeterminada.

No se han observado signos de amortajamiento.

Descomposición en medio anaeróbico.

Lateralidad indeterminada.

No se observan evidencias paleopatológicas.

No se observan marcadores de estrés ocupacional como resultado de una biomecánica relacionada con una actividad continuada de brazos y piernas como consecuencia de sus actividades laborales u ocupacionales.

186. TUMBA DE INHUMACIÓN (3266, 3267, 3268)

Enterramiento primario e individual, localizado en el sector Sur de la excavación y orientado O-E.

Fosa UE 3268, de forma alargada, estaba excavada en el estrato (3220=2401), y conserva unas dimensiones de 1'30 x 0'51 m.

Relleno UE 3266, estaba compuesto por una tierra de textura arcillosa con escasa presencia de carbones y malacofauna.

Esqueleto UE 3267, corresponde a un individuo adulto, con un rango de edad adulto maduro, pudiéndose establecer en una horquilla de edad comprendida entre los 45-50 años. Sexo varón. Presentaba una orientación E-O enterrado en posición de decúbito lateral derecho. Tenía las extremidades superiores semiflexionadas y juntas con las manos entrelazadas. No conserva parte del tórax ni la cintura pélvica. Las extremidades inferiores estaban cruzadas y semiflexionadas con la izquierda sobre la derecha. Junto a las manos se halló un anillo de hierro oxidado y parcialmente roto. El índice de conservación del esqueleto se ha establecido en un (36,5%).

Edad: en el rango adulto maduro (40-60 años), pudiéndose establecer en una horquilla de edad comprendida entre los 45-50 años a partir del desgaste dental tipo 5-6 (Holly-Sthmith, 1984) con una correspondencia de edad mayor de 45 años (Brothwell, 1991).

Sexo: varón (morfológica y antropométricamente).

Métodos morfológicos: morfología craneal (arcos supraciliares marcados, frente huidiza, huesos malares robustos, cresta nugal marcada, eversión goníaca, mentón cuadrangular).

Métodos antropométricos: la combinación de medidas antropométricas de fémur, aplicando las fórmulas regresivas da un resultado de sexo varón con un 88,16% de confianza (diámetro vertical de la cabeza femoral, según fórmula $50,05 \times 0,4865479 - 20,9910026$, punto de corte 0,039055).

Sexo: varón determinada dicha estimación a partir de las características morfológicas de robustez de los miembros conservados y por los espesores de la cortical de diferentes miembros según Gejvall, (1980).

- Robustez de miembros.
- Máximo espesor díploe frontal-parietal: 8,57-9,28 mm.
- Máximo espesor díploe occipital:13,84 mm.
- Máximo espesor del tejido cortical del 1/3 medio del fémur: 4,47 mm.
- Diámetro vertical de la cabeza femoral: 50,05 mm.
- Máximo espesor tejido cortical 1/3 medio húmero: 3,45 mm.
- Máximo espesor tejido cortical 1/3 medio radio: 2,11 mm.
- Diámetro anteroposterior de la apófisis odontoides: 11,26 mm.
- Diámetro transversal apófisis odontoides: 10,32 mm.

Estatura entre los 152,8-160 cm, según longitud máxima del húmero izquierdo (290 cm). Se han empleado las tablas y fórmulas regresivas de Nunes de Mendonça, Manouvrier y Trotter y Glesser.

Evidencias de mortaja.

Descomposición en medio colmatado.

Complexión anatómica: robusta.

Lateralidad derecha, fundamentalmente objetivada por la presencia de mayor desarrollo de las entesopatías de extremidades superiores.

Desde un punto de vista patológico destacan:

1. Salud bucodental: Sarro generalizado y enfermedad periodontal muy acusada. Absceso fistulizado en la pieza (2.4) del maxilar. Hipoplasias del esmalte en las piezas (3.2, 3.3, 3.4, 4.2, 4.3) de la mandíbula y a una altura de LAC entre los 1,90 y los 3,60 mm.
2. Patología infecciosa: posible TBC o Brucelosis observable en la espondilo discitis incipiente de las vértebras cervicales C4, C5, C7 y las dorsales D1 y D2. Osteítis en la zona del ínion (infección parasitaria por piojos).

3. Patología degenerativa: artrosis temporo-mandibular izquierda; artrosis atlanto-odontoidea, artrosis con eburnación en las vértebras cervicales C1-C2. Cavidad de Schmorl entre las vértebras dorsales D6-D7, D7-D8. Artrosis leve de cabeza radial.
4. Patología traumática: fractura de fémur derecho a nivel tercio medio diafisario con callo de fractura y acortamiento de miembro entre 4 y 5 cm.
5. Patología metabólica, nutricional, carencial: criba orbitaria bilateral tipo 1 porótica muy leve; hiperóstosis frontal de 8,57 mm de espesor; criba orbitaria porótica tipo 1.

Marcadores de estrés ocupacional: indicadores de una biomecánica relacionada con una actividad continuada de brazos y piernas como consecuencia de sus actividades laborales u ocupacionales:

1. Cintura escapular: sindesmosis costal bilateral, grado leve para el lado izquierdo y grado moderado en lado derecho; ligamento costoclavicular derecho en grado moderado.
2. Entesopatía del músculo bíceps braquial radial bilateral, grado leve izquierdo y grado intenso para el derecho.
3. Entesopatía del músculo supinador cubital bilateral, grado leve para el lado izquierdo y grado intenso para el lado derecho.
4. Entesopatía del músculo tríceps braquial cubital bilateral, grado leve para el lado izquierdo y grado intenso para el lado derecho.
5. Hipertrofia de falanges de ambas manos, grado leve.
6. Entesopatía del ligamento redondo derecho en grado intenso.
7. Faceta de Poirier derecho en grado intenso.
8. Entesopatía de línea áspera derecho en grado intenso.

No se han descrito variantes anatómicas epigenéticas.

187. ESQUELETO (3269)

Durante la excavación del estrato de arcillas 3223, en el sector S.O de la excavación, se recuperó parte de calota craneal, sin conexión anatómica y fragmentos de extremidades inferiores.

Esqueleto UE 3269 corresponde a un individuo adulto, con un rango de edad adulto joven, pudiéndose establecer en una horquilla de edad comprendida entre los 30 y 40

años. Sexo posible varón. El índice de conservación del esqueleto se ha establecido en un (4%).

Por su mal estado de conservación, no se ha podido determinar la presencia de mortaja y estado de descomposición.

Edad: en el rango adulto joven (20-40 años), pudiéndose establecer la edad con mucha cautela a partir de la observación de las suturas Sagital (S) en los fragmentos 3 y 4 obliterados con una correspondencia de edad de 30-40 años.

Desde un punto de vista patológico destacan:

1. Patología metabólica, nutricional, carencial: hiperóstosis frontal de 8,25 mm de espesor.

Marcadores de estrés ocupacional: indicadores de una biomecánica relacionada con una actividad continuada de piernas como consecuencia de sus actividades laborales u ocupacionales:

1. Entesopatía de línea áspera bilateral en grado moderado.
2. Entesopatía del glúteo mayor bilateral en grado moderado.

Variantes anatómicas epigenéticas: se observa y anota la presencia de sutura petroescamosa en apófisis mastoide izquierda.

TUMBAS DE CREMACIÓN

188. *LOCULUS* (1238, 1237)

Posible tumba de cremación sin restos óseos incinerados en su interior, ni materiales atribuibles a un posible ajuar.

Sin restos antropológicos conservados para su estudio de laboratorio.

189. *LOCULUS* (1302, 1301) (Lámina 5.41)

Tumba situada en el cuadrante SO de la cata, en el corte oeste.

Fosa UE 1301, de planta semicircular con un diámetro máximo de 58 cm. y una anchura conservada de 30 cm., y una profundidad de 24 cm.

Relleno UE 1302, estaba compuesto por una tierra marrón, de textura arcillosa, con abundancia de carbones y fragmentos de restos óseos indeterminados. Se han recuperado fragmentos informes, de cerámica común romana e ibérica, campaniense A y aretina decorada, y un clavo de hierro.

Estudio antropológico:

Los restos óseos corresponden a partes craneales y esqueleto poscraneal haciendo un total de 9 gr.

La calidad de la combustión fue débil alcanzándose una temperatura entre los 300-600°C.

Datos ponderales: neurocráneo (0,00 gr); esplanocráneo (0,00 gr), cintura escapular y pelvis (0,00 gr); costillas y esternón (0,00 gr), vértebras (0,00 gr); huesos largos (8,61 gr), manos y pies (0,00 gr); restos no identificables (0,39 gr); hueso esponjoso libre (0,00 gr).

NMI: un individuo.

Sexo: probable mujer.

Edad: adulto indeterminado.

Patologías: No se observaron aspectos paleopatológicos.

Ajuar (lámina 29):

Cerámica:

-(1) (nº interés museístico 0596) Perfil completo de un ungüentario fusiforme de pasta marrón castaño con pequeños desgrasantes blancos y negros, la superficie interna presenta un color grisáceo y la exterior beige. Diámetro de boca 2,3 cm. Diámetro de base 2 cm

-(2) (sin nº inv) Fragmento perteneciente a un caliciforme ibérico con bandas de decoración pintada.

-(3) (sin nº inv) Un fragmento de borde perteneciente a un cubilete de paredes finas, forma Mayet II, de pasta de color marrón claro con desgrasantes calizos muy finos y superficie exterior con restos de un engobe blanquecino. Diámetro de boca 7 cm.

-(4) (sin nº inv) Un fragmento de pared de Terra *Sigillata* Aretina decorado de forma indeterminada aunque pudiera pertenecer a un bol de la forma Drag. 30.

Metales

-Fragmento de clavo de hierro.

Fauna

- Un hueso quemado de fauna indeterminada.

190. LOCULUS (2038, 2039)

Enterramiento ubicado en el sector N.E de la excavación.

Fosa UE 2039, estaba excavada en el estrato arenoso (2065). Tiene una forma redondeada, conserva unas medidas de 0.42 x 0.44 m y una profundidad de 19 cm.

Relleno UE 2038, estaba formado por una tierra areno-arcillosa con carbones y caracoles necrófagos.

Entre el material cerámico sin quemar destacan:

-Un fragmento de borde de plato de cerámica campaniense A.

-Varios fragmentos de ánfora itálica.

Entre los quemados hay que mencionar varios fragmentos de ánfora itálica.

Sin restos antropológicos conservados para su estudio de laboratorio.

191. LOCULUS (2157, 2158)

La cremación se localiza en el sector E. de la excavación.

Fosa UE 2158, es de forma circular con una profundidad que oscilaba entre los 0,06 m. y los 0,11 m.

Relleno UE 2157, estaba compuesto por una tierra de arenosa, compactada por la acción del fuego. En este relleno destaca la presencia de carbones y hueso quemado en grado alto, así como malacofauna en grado medio y prácticamente ausencia de malacofauna. Respecto al material cerámico se halló un fragmento de ánfora itálica.

Estudio antropológico:

Los restos óseos corresponden a partes craneales y esqueleto poscraneal haciendo un total de 45,12 gr.

La calidad de la combustión fue intensa alcanzándose una temperatura de más de 600°C.

Datos ponderales: neurocráneo (5,40 gr); esplancocráneo (0,53 gr), cintura escapular y pelvis (1,92 gr); costillas y esternón (3,20 gr), vértebras (0,47 gr); huesos largos (21,09 gr), manos y pies (1,40 gr); restos no identificables (10,22 gr); hueso esponjoso libre (0,89 gr).

NMI: un individuo.

Sexo: indeterminado.

Edad: Infantil II (7-12); Juvenil (13-20 años).

Patologías: No se observaron aspectos paleopatológicos.

192. LOCULUS (2163, 2164)

La cremación se sitúa en el sector sur de la excavación.

Fosa UE 2164, era de forma circular y ha conservado una profundidad de 10 cm.

Relleno UE 2163, es una tierra arcillosa con gran cantidad de carbones y malacofauna y una pequeña cantidad de huesos calcinados.

Estudio antropológico:

Los restos óseos corresponden a partes craneales y esqueleto poscraneal haciendo un total de 20,54 gr.

La calidad de la combustión fue débil alcanzándose una temperatura entre los 250-600°C.

Datos ponderales: neurocráneo (4,04 gr); esplancocráneo (0,00 gr), cintura escapular y pelvis (0,00 gr); costillas y esternón (3,35 gr), vértebras (0,00 gr); huesos largos (7,59 gr), manos y pies (0,00 gr); restos no identificables (1,29 gr); hueso esponjoso libre (4,27 gr).

NMI: un individuo.

Sexo: probable varón.

Edad: adulto (20-40 años).

Patologías: No se observaron aspectos paleopatológicos.

193. **LOCULUS (2216, 2217)**

La cremación estaba localizada en el sector oeste de la excavación.

Fosa UE 2217, era de forma elíptica con unas dimensiones conservadas de 1'40 m. de longitud por 0'45 m. de anchura y una profundidad conservada de 0'17 m.

Relleno UE 2216, estaba compuesto por una tierra de areno-arcillosa, compactada por la acción del fuego en la que abundan las cenizas y los carbones. Aparece malacofauna, pequeños cantos quemados. En el material cerámico hay fragmentos de ánfora quemados y fragmentos de cerámica común sin quemar.

194. **LOCULUS (2219, 2220)**

Cremación localizada en el sector Oeste de la excavación. Estaba afectada por la zanja (2042) de construcción de un pozo moderno.

Fosa UE 2220, evidencia que tenía forma redondeada. Conservaba unas dimensiones de 60 x 25cm y una profundidad máxima de 37 cm. Estaba excavado en un estrato de arena (2135) y las paredes, que alcanzan un espesor de 6 cm, estaban rubefactas como consecuencia de una exposición prolongada al calor que emitía el *ustrinum*.

Relleno UE 2219, estaba compuesto por una tierra de textura arcillo-arenosa con cal, malacología y numerosos carbones y arcilla quemada procedentes del *ustrinum* (2088) que se ve afectado por este enterramiento. Aparecía también una concentración de hueso humano quemado muy fragmentado, de tamaño casi inapreciable.

Por relación estratigráfica se adscribe a época alto imperial.

Sin restos antropológicos conservados para su estudio de laboratorio.

195. **LOCULUS (2337, 2338)**

Cremación localizada en el sector sur de la excavación.

Fosa UE 2338, era de forma irregular con unas dimensiones de 54 x 60 cm. Y una potencia alrededor de los 10 cm. Estaba excavada en el estrato 2051, en el sector sur y junto al corte.

Relleno UE 2337, era de tierra arcillosa de color rojizo contiene carbones, huesos calcinados, tachuelas de hierro, fragmentos de cerámica común romana y ánfora itálica.

Estudio antropológico:

Los restos óseos corresponden a partes craneales y esqueleto poscraneal haciendo un total de 26,38 gr.

La calidad de la combustión fue intensa alcanzándose una temperatura de más de 600°C.

Datos ponderales: neurocráneo (0,00 gr); esplacnocráneo (0,00 gr), cintura escapular y pelvis (1,78 gr); costillas y esternón (12,29 gr), vértebras (2,38 gr); huesos largos (4,68 gr), manos y pies (0,36 gr); restos no identificables (4,89 gr); hueso esponjoso libre (0,00 gr).

NMI: dos individuos.

Sexo: indeterminado.

Edad: Infantil II y adulto indeterminado.

Patologías: No se observaron aspectos paleopatológicos.

Observaciones: durante el estudio antropológico se documentó una punta de hierro insertado o adherido a dos costillas. El origen puede ser de tipo lesivo o tafonómico.

196. *LOCULUS* (2345, 2346)

Enterramiento ubicado en el sector Centro-Sur de la excavación.

***Loculus* UE 2346**, estaba excavado en el estrato arcilloso de época imperial (2051). Es de forma rectangular, presenta una orientación Norte-Sur y conserva unas medidas de 1 x 0.50 m con una profundidad aproximada de 12 cm.

***Relleno* UE 2345**, estaba formado por una tierra de textura areno-arcillosa de color marrón con carbones; hueso calcinado no muy abundante; trocitos de vidrio; una tachuela de hierro.

Estudio antropológico:

Los restos óseos corresponden a partes craneales y esqueleto poscraneal haciendo un total de 26,24 gr.

La calidad de la combustión fue intensa alcanzándose una temperatura de más de 600°C.

Datos ponderales: neurocráneo (11,32 gr); esplacnocráneo (13,24 gr), cintura escapular y pelvis (0,00 gr); costillas y esternón (0,31 gr), vértebras (0,00 gr); huesos largos (0,85 gr), manos y pies (0,00 gr); restos no identificables (0,52 gr); hueso esponjoso libre (0,00 gr).

NMI: un individuo

Sexo: probable varón

Edad: adulto (20-40 años)

Patologías: No se observaron aspectos paleopatológicos.

Ajuar:

Entre el material hallado en el interior del *loculus* destaca aquel que no estuvo expuesto al fuego:

Cerámica:

-(1) (nº interés museístico 0664): Dos fragmentos (borde y base) de vaso de cerámica romana de paredes finas, forma Mayet XXX. Bol hemiesférico bajo, de borde reentrante, galbo con carena y base de pastilla. Pasta beige sin desgrasante aparente. Decoración arenosa, con incisiones externas por debajo del borde. Cronología: S.I d.C.

-5 fragmentos de cerámica de Paredes Finas, forma Mayet II. Fragmentados no quemado.

-1 cuenta de collar de pasta vítrea; varios fragmentos de pared de cerámica común romana. Sin poder precisar su estado quemado / no quemado.

Monedas:

- As. Anverso: TI CLAUDIVS CAESAR AV (G PM TR P IMP) Cabeza de Claudio I desnuda hacia la izquierda. Reverso: CONSTATIAE (AVGVSTI) S – C. Representación de Minerva, con casco y vestimenta de tipo militar, de pie hacia la izquierda. Mantiene su mano derecha alzada mientras que con la izquierda sujeta una alargada lanza. Cronología: 41 – 50 d. C.

- As. Anverso: Frustra. Contramarca de la cabeza de águila legionaria. Reverso: Frustra.

197. LOCULUS (2444, 2445)

Cremación localizada en el sector sur de la excavación.

Fosa UE 2445, de forma rectangular con las esquinas redondeadas, de escasa potencia, tiene una profundidad de 4 cm.

Relleno UE 2444, estaba formado por una tierra arcillosa de color oscuro con abundantes carbones y cenizas, y hueso quemado fragmentado y caracoles escasos.

Sin restos antropológicos conservados para su estudio de laboratorio.

198. LOCULUS (2470, 2471, 2472) (Lámina 5.43)

Cremación situada en el sector Sur de la excavación.

Fosa UE 2472, de forma indeterminada ya que se extiende más allá del límite sur de la excavación.

El *loculus* contenía una **urna cineraria UE 2471**, y una olla quemada.

Relleno UE 2470, era de tierra arcillosa con carbones.

Estudio antropológico:

Los restos óseos corresponden a partes craneales y esqueleto poscraneal haciendo un total de 525,02 gr.

La calidad de la combustión fue media alcanzándose una temperatura entre los 400-600°C.

Datos ponderales: neurocráneo (28,28 gr); esplanocráneo (2,82 gr), cintura escapular y pelvis (32,62 gr); costillas y esternón (24,00 gr), vértebras (82,88 gr); huesos largos (177,88 gr), manos y pies (13,64 gr); restos no identificables (106,48 gr); hueso esponjoso libre (56,42 gr).

NMI: un individuo

Sexo: probable varón

Edad: juvenil (13-20).

Patologías: No se observaron aspectos paleopatológicos.

Urna cineraria 2471

-(1) (nº interés Museístico 0901) Cerámica común romana. Tapadera hemiesférica de borde reentrante y pomo anillado, superficie color crema sin tratamiento. Pasta sandwich sin inclusiones aparentes ni desgrasante. Diámetro máximo 13 cm, Diámetro de pomo 3 cm, Altura 6,3 cm. Cronología: s. I d. C.

-(2) (nº interés Museístico 0902) Cerámica común romana. Urna bitroncocónica carenada de borde recto y almendrado, cuello indicado y base de solera incipiente. Dos asas acintadas verticales arrancan de la carena. Superficie de color crema sin tratamiento aparente. Pasta sandwich sin desgrasante ni inclusiones aparentes. Diámetro de boca 10 cm, Diámetro máximo 20,4 cm, Diámetro de base 7,6 cm, Altura 14,1 cm. Cronología: s. I d. C.

Monedas:

- As. Anverso: A VITELLIVS IMP GERMAN. Cabeza laureada hacia la izquierda. Reverso: CONSENSVS EXERCITVVM. Representación de Marte con casco y desnudo a excepción de una capa. Aparece en actitud de avanzar hacia la izquierda. En su mano derecha sostiene una lanza mientras que en la izquierda sujeta un águila y un estandarte. Cronología: 69 d. C.

199. LOCULUS (3135, 3136, 3137, 3138)

Estructura localizada en el sector Norte de la excavación.

Debido a las precarias condiciones de trabajo, y la difícil situación del enterramiento, en el corte del batache, se tuvo que proceder de forma rápida a la documentación y excavación del ánfora y del material que albergaba en su interior, dado que había peligro de derrumbe del corte con más de 4 metros de altura.

Fosa UE 3138, de forma circular y con unas dimensiones de 0'36 x 0'30 m., se encuentra por encima de los niveles (3170) y (3171), pertenecientes a un posible enterramiento.

Urna-ánfora UE 3137, conservaba el tercio inferior de la pieza. La pasta es de color rojizo, las paredes son finas, la superficie del ánfora tiene un engobe amarillento y el pivote es saliente; a juzgar por estas características a simple vista, podría tratarse de un ánfora procedente del Norte de África.

Relleno interior del ánfora UE 3136, estaba compuesto por una tierra de textura arcillosa, muy compacta con material antracológico y cerámico formado por:

-Varios fragmentos informes de *Terra Sigillata Hispanica*, fragmentos informes de cerámica Campaniense A y fragmentos de un cubilete de paredes finas, acompañados por varios fragmentos dispersos de hueso calcinado.

Relleno UE 3135, todo el enterramiento estaba cubierto por un estrato de tierra de textura areno-arcillosa con abundante presencia de carbones y malacofauna.

Sin restos antropológicos conservados para su estudio de laboratorio.

200. LOCULUS (3218, 3219)

Enterramiento localizado en el sector sur de la excavación.

Fosa UE 3219, era una fosa redondeada y excavada en el estrato arcilloso (3220=2401). Con unas medidas de 0'90 x 0'38 m.

Relleno UE 3218, estaba compuesto por una tierra de textura arcillosa con presencia de carbones, malacofauna y cerámica.

Estudio antropológico:

Los restos óseos corresponden a partes craneales y esqueleto poscraneal haciendo un total de 9,07 gr.

La calidad de la combustión fue intensa alcanzándose una temperatura entre los 500-600°C.

Datos ponderales: neurocráneo (1,69 gr); esplanocráneo (1,70 gr), cintura escapular y pelvis (0,00 gr); costillas y esternón (2,82 gr), vértebras (0,00 gr); huesos largos (1,99 gr), manos y pies (0,00 gr); restos no identificables (0,87 gr); hueso esponjoso libre (0,00 gr).

NMI: un individuo

Sexo: indeterminado.

Edad: adulto indeterminado.

Patologías: No se observaron aspectos paleopatológicos.

Metales:

- (sin nº inv) Fragmento informe de bronce. Por la forma ligeramente curvada y el espesor de la lámina (0,4 cm.) podría tratarse de un fragmento de casco.

ESTRUCTURAS FUNERARIAS

201. USTRINUM (2469, 2456, 2457)

Estructura de carácter funerario localizada en el sector S. de la excavación.

Fosa UE 2457, era de forma rectangular, estaba muy afectado por estructuras de épocas posteriores conservando unas dimensiones de 2 m. x 0,90 m. y una profundidad de 0,19 m.

Relleno UE 2456, 2469, En su interior se pudieron diferenciar hasta dos niveles de uso definidos por las capas de arcilla rubefacta que formaban las sucesivas bases de la estructura. Estos dos momentos se hallaban separados por un relleno, 2456, que amortizaba la primera utilización, compuesto por una tierra arcillosa con abundancia de cenizas y carbones, con hueso quemado en grado medio y ausencia de malacofauna.

Metales:

-(nº de inventario 579) Un clavo de hierro con cabeza. Dimensiones conservadas: 4 x 1 cm.

Moneda: localizada en el relleno del *ustrinum*.

- Tiberio (14-37 d.C.). *Celsa*. Ae. Cronología: 14 – 37 d. C. Peso: 5,6 g. Diámetro: 20 / 21mm. Mal conservada.

202. USTRINUM (2394, 2393)

Estructura de carácter funerario localizada en el sector S. de la excavación.

Fosa UE 2394, de forma rectangular, estaba muy afectado por estructuras de épocas posteriores conservando unas dimensiones de 2,20 m. x 0,60 m.

Relleno UE 2393, compuesto por tierra areno-arcillosa con abundancia de carbones y restos óseos muy fragmentados, así como cerámica fragmentada y quemada.

203. BASURERO (2329, 2400)

Estructura de carácter funerario localizada en el sector S. de la excavación.

Fosa UE 2400, era de forma irregular y estaba excavada en el estrato natural.

Relleno UE 2329, estaba compuesto por una tierra arcillosa de color marrón oscuro. Ha proporcionado restos de cal y enlucido, así como gran cantidad de escoria, clavos, carbones, varios *lacrimaria* y un ungüentario de vidrio, afectados todos ellos por el fuego. En cuanto a la cerámica cabe destacar numerosos fragmentos de *Terra Sigillata* aretina, fragmentos de ánforas Hispánicas (Tarraconense y Bética), cerámica común romana, ollas de cerámica de cocina romana y un asa de lucerna. Por material y estratigrafía se dataría el basurero en el siglo I d.C..

Metales:

- (nº de inventario 561) Escoria de hierro de hierro.
- (nº de inventario 562) Tres fragmentos de dos o tres clavos de hierro de sección cuadrada y hueca en el interior. Longitud máxima conservada 4,2 cm. Grosor máximo 0,8 cm.

Pasta vítrea:

- (nº interés museístico 0932) Cuenta de pasta vítrea de color azul con decoración en espiral de color blanco. Está fragmentada en una parte de la base pero conserva el perfil completo. Dimensiones conservadas: diámetro máximo 2,3 cm. Altura 1,1 cm.

Moneda:

- Domiciano (92 – 94). As, Ae. Anverso: Leyenda: *imp caes domit avg germ cos xvi cens per pp*. Tipo: cabeza laureada hacia la derecha. Reverso: Leyenda: *virtvti avgvsti / s – c*. Tipo: representación de la virtud de pie hacia la derecha, portando lanza y “parazonium”. Peso: 11, 3 g. Diámetro: 26 / 27mm. Posición cuños: 6h. Referencia bibliográfica: ric, nº409, pág. 205. Vol. II.

Esta estructura se interpreta como una fosa destinada a la limpieza de los *ustrina* dado que los materiales recuperados corresponden a los hallados en tumbas y piras funerarias, además de no tener signos de rubefacción en sus paredes y base por lo que se descartó que se tratara de otra pira. Su forma, bastante irregular tampoco se ajustaba a la de los *ustrina* documentados.

INFRAESTRUCTURA FUNERARIA

204. LA CALZADA (UE 1261)

Es una estructura empedrada, dirección SE-NO, (UE. 1261) del s.I d.C., amortizada por un relleno del S.II d.C. en el que se recuperó una moneda de Adriano (1^{er} tercio del S.II). A lo largo de la calzada discurría un canal, de igual orientación, cuya función tiene que ver con el momento de construcción (posible canal de drenaje).

La calzada estaba hecha con cantos de río trabados con tierra de textura arcillosa, y conserva las huellas de dos carriladas paralelas de igual orientación. Asociada a ésta, y en su límite oriental, hay un canal amortizado en el S I d.C. cuya función podía ser drenar la superficie durante la construcción. La amortización de este canal en el S I d.C. (mismo momento de construcción de la calle, muestra una rápida colmatación que puede confirmar la hipótesis de que sea un elemento relacionado con la construcción de la superficie empedrada y lleva a descartar otras posibilidades de uso que en un principio se sugirieron, tales como que sirviera de drenaje de la necrópolis asentada en este solar.

205. CALZADA (3047=2001)

Estructura ya documentada en campañas anteriores, en concreto en la segunda y cuarta campañas. Esta calzada discurre a partir de dos ramales, uno con dirección uno en el margen Este con unas medidas de 2'10 x 1'40 metros y otro en el flanco Norte, con unas medidas de 1'60 x 1'80 m. la calzada, estaba formada por cantos de río de pequeño y mediano tamaño trabados con arena, Por otro lado, no se han documentado marcas de carriladas, ni refacciones como consecuencia del uso y paso continuo sobre la misma.

Se documentó un fragmento de calzada, UE 2025, situada en un extremo de la cata arqueológica por lo que no se pudo ver las dimensiones totales. Estaba construida con cantos rodados y sobre la calzada (3047=2001) tratándose de una posible reparación de la misma.

- As de Calígula. Cronología: 37-38 d. C. (bibliografía: R.I.C. vol 1 nº 38). Descripción: Anverso: Leyenda: *C CAESAR AVG GERMANICUS PON M TR POT*. Cabeza descubierta de Calígula hacia la izquierda. Gráfica: puntos. Reverso: Leyenda: *VESTA / S - C*. Representación de Vesta vestida con velo. Aparece sentada hacia la izquierda sobre trono ornamental. Sujeta con su mano derecha una pátera mientras que con la izquierda mantiene en posición transversal un alargado cetro. peso: 11 g. Diámetro: 27mm. Cuños: 6 h. Estado bueno.

- Moneda de Claudio II. Peso: 1,1 g. Diámetro 14/16mm. Posición de los cuños 12 h.

- Moneda de bronce de 1,8 g. Diámetro: 17/18mm. Posición de los cuños: 6h. Muy desgastada.
- Moneda de bronce de 23,9 g. Diámetro: 28/30,5mm. Muy desgastada.
- Moneda de bronce de 4 g. Diámetro: 31mm. Muy desgastada. Recuperada en la calzada. Peso: 4 g. Diámetro: 31mm.

5.4.2 Fase imperial (siglo II d.C.) (Lámina 5.47)

TUMBAS DE INHUMACIÓN

206. TUMBA DE INHUMACIÓN (2012, 2009, 2013)

Inhumación primaria e individual localizada en el sector oeste de la excavación

Fosa UE 2013, tenía una forma rectangular y estaba orientada NE-SO. En su parte sur estaba afectada por la zanja de construcción de un pozo contemporáneo (2041), de manera que el esqueleto carece de pie izquierdo. La profundidad de la fosa era de 12 cm., muy arrasada por niveles medievales. Las dimensiones conservadas de la fosa son 110 x 30 cm.

Relleno UE 2012, que colmata la fosa estaba formado por una tierra areno-arcillosa de color marrón oscuro, con algunas manchas de tierra rubefacta, cal, carbones, caracoles, hueso quemado muy fragmentado y escasa cerámica: Paredes Finas, cerámica de cocina y cerámica común romana. Formando parte del relleno apareció también un pequeño fragmento de estuco rojo, y dos clavos de hierro que formaban parte del ataúd del que no se han conservado restos de la madera (ver infra). A la altura de las vértebras dorsales y colocadas entre las costillas aparecen siete tachuelas de hierro.

Metales:

- (nº de inventario 505) Dos clavos de hierro de dimensiones desconocidas. Estos clavos formarían parte del ataúd.

Esqueleto UE 2009, corresponde a un individuo subadulto, con un rango de edad juvenil, menor de 17 años, sexo indeterminado. Presentaba una orientación NE-SO y estaba enterrado en posición de decúbito supino. Se conserva parte del tronco y la extremidad superior izquierda (no completa, falta el tercio superior del húmero) estaba semiflexionada con los dedos de la mano sobre la pelvis. Ambas extremidades inferiores estaban extendidas y juntas. El índice de conservación del esqueleto se ha establecido en un (16,5%).

Amortajamiento evidente en la posición de ambas rodillas y pies muy juntos.

Edad: juvenil establecida a partir de la observación de las epífisis de crecimiento no obliteradas como: las cabezas femorales y cóndilos de ambos fémures, líneas metafisarias de ambos isquiones.

Sexo: indeterminado.

Estatura indeterminada.

Descomposición en vacío visible en caída de los dedos de la mano izquierda sobre la pelvis.

Complexión anatómica: grácil.

Lateralidad derecha, fundamentalmente objetivada por la presencia de mayor desarrollo de las entesopatías de extremidades inferiores.

Desde un punto de vista patológico destacan:

1. Patología metabólica-nutricional-carencial: criba femoralis izquierda.

Marcadores de estrés ocupacional: indicadores de una biomecánica relacionada con una actividad continuada de brazos y piernas como consecuencia de sus actividades laborales u ocupacionales:

1. Entesopatía del músculo bíceps braquial radial izquierdo, grado leve.

Variantes anatómicas epigenéticas: no se observan.

Ajuar:

Cerámica no vascular:

- (nº interés museístico 0907) Fusayola acéfala bitroncocónica. Decoración perimetral en ruedecilla. Altura 2,2 cm. Diámetro 2,4 cm.

Metales:

- (nº de inventario 506) Once tachuelas de hierro con cabeza de las que cuatro están unidas por el óxido de dos en dos. La punta está curvada y es de sección cuadrada con un grosor máximo de 3 mm. Dimensiones máximas conservadas: Altura 1,7 cm; diámetro de la cabeza 1,6 cm. Estos elementos metálicos se hallaron en la zona torácica, entre las costillas y las vértebras dorsales. Posible indumentaria ¿?

207. TUMBA DE INHUMACIÓN (2091, 2052, 2026, 2096)

Inhumación primaria e individual localizada en el sector oeste de la excavación

Fosa UE 2096, simple y de forma rectangular, estaba orientada O.-E, conservaba una profundidad máxima de 37cm. Estaba cortada en el límite N por la zanja U.E. 2031.

Cubierta UE 2091, En el límite E, sobre la fosa, una *tegula* pudo formar parte de una cubierta de la que se conserva únicamente una.

Relleno UE 2052, es de tierra areno-arcillosa de color marrón oscuro con abundantes carbones, caracoles y cerámica. La tierra que estaba en contacto con el fondo de la fosa

adquiere tonalidades más claras y es más arenosa. A su vez, como la fosa ha cortado en su recorrido un *ustrinum* entre este relleno se encuentra tierra negruzca y fragmentos de huesos calcinados. Entre el material, cabe mencionar la presencia de fragmentos informes de cerámica común romana, de *Terra Sigillata Aretina* (un fragmento), *Terra Sigillata Lucente* (una base de plato), *Terra Sigillata Africana* A y C, Campaniense A y B y por último fragmentos informes de ánfora Africana e Itálica.

Esqueleto UE 2026, corresponde a un individuo adulto-maduro, con un rango de edad adulto joven- maduro, pudiéndose establecer en una horquilla de edad comprendida entre los 40-45 años. Sexo varón. Presentaba una orientación O-E y estaba enterrado en posición de decúbito supino. El cuerpo estaba totalmente adaptado a la forma de la fosa. La cabeza ladeada hacia la derecha (S) y sobre elevada por la existencia de una cabecera de tierra. La extremidad superior izquierda estaba semiflexionada con la mano en posición dorsal sobre el abdomen. La extremidad superior derecha estaba en igual posición pero la mano se encuentra sobre el tórax. Las extremidades inferiores estaban ligeramente semiflexionadas con los talones enfrentados (no unidos) y pies extendidos. El índice de conservación del esqueleto se ha establecido en un (41,5%).

Amortajamiento evidente en la posición de húmeros y pies.

Edad: en el rango adulto maduro (40-60 años), pudiéndose establecer en un rango de edad comprendida entre los 40-45 años a partir de los métodos empleados y relacionados a continuación.

Métodos:

1. Superficie auricular del ilion: Fase 5 (40-44).

Sexo: varón (morfológica y antropométricamente, con un 90,91 % de confianza).

Métodos morfológicos: morfología craneal (frente huidiza, arcos supraciliares marcados, glabella tipo 4, apófisis mastoides robustas, inion tipo 3); morfología pélvica (ángulo cerrado de la escotadura ciática).

Métodos antropométricos: la combinación de medidas antropométricas de fémur, aplicando las fórmulas regresivas da un resultado de sexo varón con un 90,91% de confianza (anchura epicondilar + diámetro vertical de la cabeza femoral, según fórmula $71 \times 0,1545610 + 44 \times 0,2482526 - 22,4541154$, punto de corte $-0,122985$).

Estatura: 166-174 cm, según longitud máxima de radio izquierdo (247 mm) y cúbito izquierdo (270 mm). Se han empleado las tablas y fórmulas regresivas de Trotter y Glesser y Manouvrier.

Descomposición en medio colmatado.

Complexión anatómica: robusta.

Lateralidad derecha, fundamentalmente objetivada por la presencia de mayor desarrollo de las entesopatías de extremidades inferiores.

Desde un punto de vista patológico destacan:

1. Salud bucodental: hipoplasias del esmalte en la pieza (2.7) a una altura de la línea LAC de 3 mm; caries en línea amelocementaria (LAC) con afectación a dentina en la pieza dental (2.7).
2. Patología degenerativa: fusión cervical C2-C3, artrosis de codo derecho, importante artrosis sacro ilíaca derecha, artrosis de cabeza femoral izquierda, artrosis de epífisis distal de radio izquierdo, artrosis de articulación tibio-astragalina derecha; osteocondritis disecante de primera falange del pie izquierdo.

Marcadores de estrés ocupacional: indicadores de una biomecánica relacionada con una actividad continuada de brazos y piernas como consecuencia de sus actividades laborales u ocupacionales:

1. Entesopatía del músculo bíceps braquial radial bilateral, grado intenso para ambos lados.
2. Entesopatía del músculo supinador cubital bilateral, grado intenso para ambos lados.
3. Entesopatía del músculo tríceps braquial cubital bilateral, grado intenso para ambos lados.
4. Entesopatía del músculo pectoral mayor bilateral, grado intenso para ambos lados.
5. Hipertrofia humeral bilateral, grado intenso para ambos lados.
6. Hipertrofia de falanges bilateral, grado moderado para el lado derecho, grado intenso para lado izquierdo.
7. Entesopatía del ligamento redondo bilateral, grado intenso para ambos lados.
8. Faceta de Poirier bilateral, grado intenso para ambos lados.
9. Entesopatía de línea áspera bilateral, grado intenso para ambos lados.
10. Entesopatía del ligamento rotuliano izquierdo en grado moderado.
11. Entesopatía del músculo sóleo tibial bilateral, grado intenso para ambos lados.
12. Entesopatía de la impronta tibial derecho en grado leve.

Variantes anatómicas epigenéticas: *patella emarginata*, sutura petroescamosa.

208. TUMBA DE INHUMACIÓN (2138, 2139, 2140)

Inhumación primaria e individual localizada en el sector oeste de la excavación.

Fosa UE 2140, simple de forma rectangular con unas dimensiones de 1'53×43 en el sector O. de la excavación. Estaba orientada E-O. y conserva una profundidad máxima de 24cm.

Relleno UE2138, estaba compuesto por tierra areno-arcillosa de color marrón oscuro con abundantes fragmentos de carbones, caracoles, hierro, y cerámica. La tierra que estaba en contacto con la base de la fosa adquiere tonalidades más claras y es más arenosa. Como cerámica más representativa hallada en este relleno, cabe mencionar la presencia de un fragmento informe de *Terra Sigillata Hispanica* con decoración en relieve, fragmentos informes de cerámica de paredes finas, un fragmento de boca de ungüentario, fragmentos informes de cerámica común romana y de cerámica de cocina.

Esqueleto UE 2139, corresponde a un individuo adulto, con un rango de edad adulto maduro, pudiéndose establecer en una horquilla de edad comprendida entre los 50-55 años. Sexo mujer. Presentaba una orientación E-O y estaba enterrado en posición de decúbito supino con la cabeza y cuello girados completamente hacia la izquierda (S). La posición general del tercio superior de este esqueleto estaba totalmente forzada ya que el tronco gira sobre sí mismo hacia la izquierda, de manera que la extremidad superior derecha descansa sobre las costillas de la parte izquierda, y la escápula sobre las vértebras cervicales. A su vez, las vértebras cervicales forman un ángulo recto con las dorsales, que ya discurren en línea recta con las lumbares. Por el contrario, la extremidad superior izquierda mantiene una posición normal, de acuerdo con el resto del esqueleto, descansando sobre la base de la fosa, semiflexionada y con la mano en posición dorsal sobre el abdomen. En cuanto a las extremidades inferiores, la derecha estaba extendida, ligeramente ladeada hacia la izquierda careciendo de pie; y la izquierda estaba semiflexionada, también hacia la izquierda, con el pie semi-extendido formando un ángulo prácticamente de 180 grados Norte con la tibia. El índice de conservación del esqueleto se ha establecido en un (40%).

Presenta evidencias de mortaja visibles en la posición de las clavículas, comprimidas en forma de V y a la altura de los tobillos.

Edad: en el rango adulto maduro (40-60 años), pudiéndose establecer en una horquilla de edad comprendida entre los 50-55 años a partir del desgaste dental tipo 6-7 (Holly-Sthmith, 1984) con una correspondencia de > de 45 años (Brothwell, 1991).

Edad: en el rango adulto maduro (40-60 años), pudiéndose establecer en un rango de edad comprendida entre los 50-55 años a partir de los métodos empleados y relacionados a continuación.

1. Superficie auricular del ilion: Fase 7 (50-55).

Sexo: mujer.

Métodos morfológicos: morfología craneal (frente vertical, apófisis mastoides pequeñas, huesos malares gráciles, mentón protuyente, gonion recto).

Métodos antropométricos: la combinación de medidas antropométricas de fémur, aplicando las fórmulas regresivas da un resultado de sexo mujer con un 89,04% de confianza (diámetro horizontal de la cabeza femoral, según fórmula $40 \times 0,4600559 - 19,5014547$, punto de corte 0,01657).

Estatura indeterminada.

Descomposición en medio colmatado.

Complexión anatómica: grácil.

Lateralidad indeterminada.

Desde un punto de vista patológico destacan:

1. Salud bucodental: caries oclusal con afectación a dentina en la pieza (1.8); caries en línea amelocementaria (LAC) en las piezas dentales del maxilar (1.7, 1.5 y 2.5) con afectación a esmalte-cemento y pulpa; caries en LAC en la pieza de la mandíbula (4.8).
2. Patología degenerativa: espondiloartrosis en la columna cervical muy acusada.
3. Patología carencial, metabólica: hiperostosis frontal de 9mm.

Marcadores de estrés ocupacional: indicadores de una biomecánica relacionada con una actividad continuada de brazos y piernas como consecuencia de sus actividades laborales u ocupacionales:

1. Cintura escapular: sindesmosis costal bilateral, grado intenso para ambos lados.
2. Entesopatía del ligamento conoideo bilateral, grado intenso.
3. Entesopatía del músculo bíceps braquial radial derecho, grado leve.
4. Entesopatía del músculo supinador cubital bilateral, grado intenso para ambos lados.
5. Hipertrofia humeral bilateral, grado leve para el derecho, grado moderado en lado izquierdo.
6. Hipertrofia de falanges bilateral, grado leve para ambos lados.
7. Entesopatía del ligamento redondo derecho, grado leve.
8. Faceta de Poirier izquierda, en grado moderado.
9. Entesopatía de línea áspera derecha en grado intensa.

10. Entesopatía del músculo sóleo tibial derecho en grado intenso.

Variantes anatómicas epigenéticas: No se observan.

Junto al cráneo, a la altura del occipital, se halló un pasador de hueso *acus crinalis* que formaba parte de la indumentaria del difunto.

Metales:

- (nº de inventario 528) Indeterminado de hierro.

Formando parte de la indumentaria del finado estaría un alfiler de hueso

- (nº de inventario 529) *Acus crinalis* de hueso. Dimensiones conservadas: 8,5 x 1 cm.

209. TUMBA DE INHUMACIÓN (2146, 2147, 2148) (Lámina 5.48)

Enterramiento primario e individual localizado en el sector Oeste de la excavación.

Fosa UE 2148, era de forma alargada, estaba orientada E-O y conservaba unas dimensiones de 32 x 50 cm y una profundidad máxima de 16 cm. Estaba afectada por la zanja (2042) de construcción de un pozo moderno que corta el esqueleto hasta la altura de la pelvis. Las piernas se pierden desde la altura de las rodillas por el corte Oeste.

Relleno UE 2146, estaba compuesto de arcilla arenosa con carbones, pequeños nódulos de cal y arcilla quemada de tonalidad rojiza a verdosa, malacofauna, pequeños fragmentos de hueso quemado y algún canto rodado.

Esqueleto UE 2147, corresponde a un individuo adulto, con un rango de edad adulto joven, pudiéndose establecer en una horquilla de edad comprendida entre los 35 y 40 años. Sexo mujer. Presentaba una orientación E-O y estaba enterrado en posición de decúbito supino. Las extremidades inferiores conservadas estaban extendidas. Se adapta a la morfología del terreno, de manera que la parte izquierda estaba sobreelevada con respecto al lado derecho. El índice de conservación del esqueleto se ha establecido en un (4%).

Evidencias de amortajamiento a la altura de las rodillas.

Edad: en el rango adulto joven (20-40 años), pudiéndose establecer en un rango de edad comprendida entre los 35-40 años a partir de los métodos empleados y relacionados a continuación.

Métodos:

1. Superficie auricular del ilion: Fase 4 (35-38).
2. Sínfisis pubis según Suchey-Brooks: Fase 4: 30-40 años.

Sexo: mujer (morfológica y antropométricamente, con un 88,16 % de confianza).

Métodos morfológicos: morfología pélvica (ángulo de la escotadura ciática abierto).

Métodos antropométricos: la combinación de medidas antropométricas de fémur, aplicando las fórmulas regresivas da un resultado de sexo mujer con un 88,16% de confianza (diámetro vertical de la cabeza femoral, según fórmula $41x 0,4865479 - 20,9910026$, punto de corte 0,039055).

Estatura indeterminada.

Descomposición en medio vacío.

Complexión anatómica: grácil.

Lateralidad derecha, fundamentalmente objetivada por la presencia de mayor desarrollo de las entesopatías de extremidades inferiores.

Desde un punto de vista patológico destacan:

1. Patología metabólica, nutricional y carencial: criba femoral bilateral (12 x 9 mm).

Marcadores de estrés ocupacional: indicadores de una biomecánica relacionada con una actividad continuada de piernas como consecuencia de sus actividades laborales u ocupacionales:

1. Entesopatía del ligamento redondo bilateral, en grado intenso para ambos lados.
2. Faceta de Poirier bilateral, en grado en grado intenso para ambos lados.
3. Entesopatía del glúteo mayor derecho, en grado intenso.
4. Entesopatía del glúteo menor derecho, en grado intenso.
5. Presencia de marcas de parto en pelvis.

Variantes anatómicas epigenéticas: No se observan.

Ajuar

- (1) (nº Interés Museístico 0644) Cerámica común romana. Copa de borde saliente, labio exvasado, diferenciado del galbo por una carena. Base de solera incipiente. Pasta anaranjada con manchones grises. Cocción reductora. Diámetro de boca 9,4 cm; Diámetro de base 3,2 cm; altura 4,6 cm. Siglo II d. C.

- (2) (nº Interés Museístico 0645) *Terra Sigillata Lucente*, forma Lamb. 8 Barniz naranja escamado, incisiones marrones. Diámetro de boca 7,4 cm; Diámetro de base 3,8 cm; Altura 3,7 cm. Siglo II d. C.

- (3) (nº Interés Museístico 0646) Cerámica Africana de Cocina. Plato tapadera, forma Hayes 196. Borde redondeado, fondo ápodo, borde ahumado. Pasta y superficie naranja

sin tratamiento, desgrasante heterogéneo fino y abundante. Pasta porosa. Diámetro del borde 24 cm. Altura 4 cm. Siglo II d. C.

- (nº inv. 400) Cerámica común romana, fragmento de base, diam. 5 cm, pasta gris, desgrasante calizo fino.

- (nº inv. 401) Cerámica común romana, fragmento de borde, diam. 3 cm, labio exvasado, pintura negra, pasta marrón clara.

210. TUMBA DE INHUMACIÓN INFANTIL (2173, 2174, 2175)

Enterramiento primario e individual, localizado en el sector Sur de la excavación.

Fosa UE 2175, de forma trapezoidal, estaba orientada E-O, conserva una profundidad máxima de 10cm y unas dimensiones de 100x32.

Relleno UE 2173, es una tierra arcillosa de color marrón rojizo con abundantes fragmentos de carbones, caracoles y cerámica. Aparte del ajuar, cabe mencionar la presencia de cerámica común romana en el relleno.

Esqueleto UE 2174, corresponde a un individuo infantil II (6 años), estaba enterrado en posición decúbito supino, con una orientación E-O. La cabeza ladeada hacia la izquierda (S), las extremidades superiores estaban extendidas y separadas a lo largo del cuerpo. Las extremidades inferiores estaban extendidas, con los talones enfrentados y los dedos extendidos formando un ángulo de 180 grados con las tibias. En general, salvo el esqueleto craneal, muy deteriorado, el resto de huesos estaban en perfecto estado de conservación. El índice de conservación del esqueleto se ha establecido en un (22,5%).

Edad: aproximada de 6 años± 24 meses según el esquema dental de erupción y maduración dental de Ubelaker.

Sexo: indeterminado.

Estatura: indeterminada.

Descomposición en medio vacío visible en la desarticulación de las clavículas, húmeros y coxales.

Lateralidad indeterminada.

Desde un punto de vista patológico destacan:

1. Patología metabólica, carencial y nutricional: ligera criba femoral derecha, periostitis tibial derecha.

Sin marcas de actividad repetida.

Variantes anatómicas epigenéticas: No se observan.

Ajuar:

- (nº interés museístico 0663). Cubilete de paredes finas, forma cuenco tipo LAT 34b, borde sin diferenciar, galbo troncocónico carenado, base de pastilla. Diámetro máximo 10,2; diámetro de base 3,7 cm; altura 7,5 cm. Cronología: s. II d. C. Este objeto se halló colocado junto al fémur izquierdo.

Metales:

- (nº de inventario 534) Un clavo de hierro.

Las monedas: Se halló en el interior de la tumba, junto a la pared y a la altura del codo izquierdo.

- Antonino Pio (145-161 d.C.). As. Ae. Óbolo. Anverso: DIVA FAVSTINA. Busto de Faustina I con el pelo ondulado en grandes tirabuzones alrededor de la cabeza y recogidos en un moño. Reverso: CERES. Ceres de pies hacia la izquierda. Porta en su mano derecha un ramo de espigas de trigo, mientras que con la izquierda sujeta una antorcha larga y recta.

Cronología: 141- 161 d.C.

211. TUMBA DE INHUMACIÓN (2192, 2193, 2194)

La inhumación estaba situada en la parte central de la excavación.

Fosa U.E 2194, de forma rectangular con unas dimensiones conservadas de 1'56 x 0'54 x 15 cm y una orientación S-N.

Relleno U.E 2192, de la fosa estaba compuesto por una tierra de arenosa con algunos carbones y caracoles, varios fragmentos de ánforas itálicas, cerámica Campaniense A y un objeto de metal.

- (nº de inventario 537) Espátula de bronce de sección circular rematada en un extremo por un rascador de poco más de medio centímetro de ancho. Dimensiones conservadas: 8,5 x 0,65 x 0,3 cm.

Esqueleto U.E 2193, corresponde a un individuo adulto posiblemente mujer, enterrado en posición de decúbito supino con la cabeza hacia el frente ligeramente ladeada hacia la izquierda, orientado S-N. El esqueleto se encontró prácticamente arrasado, conservándose de la mitad derecha: húmero, parte del cúbito y radio, parte del hueso ilíaco, fémur, rótula, tibia, peroné y pie completo. La extremidad superior derecha estaba semiflexionada con la mano probablemente sobre el abdomen, la extremidad inferior derecha estaba extendida. El índice de conservación es del 24,5%.

Estatura estimada entre 159,5-164 cm según las tablas y fórmulas de regresión de Manouvrier y Trotter y Glesser a partir de la longitud máxima del húmero derecho de 315 mm.

Evidencias de mortaja a nivel de húmeros y rodillas.

Descomposición en medio colmatado.

Desde un punto de vista patológico:

1. Patología carencial: criba *femorales*, hipoplasias del esmalte.
2. Patología degenerativa: ligera artrosis de rodilla derecha.

Marcadores de actividad a nivel de miembros superiores e inferiores.

Ajuar:

La moneda: Depositada junto a la boca.

- Antonino Pio (145-161 d.C.). As. Ae. Óbolo. Anverso: IMP T AEL CAES HADR ANTONINVS AVG PIVS P P. Cabeza laureada hacia la derecha. Reverso: TR POT COS III IVSTITIA S- C. Representación de Justicia sentada hacia la izquierda portando una pátera y un cetro. Mal conservada.

212. TUMBA DE INHUMACIÓN (2241, 2242, 2243)

Enterramiento individual y primario localizado en el sector S.O de la excavación.

Fosa UE 2243, era de forma rectangular y estaba orientada E-O. Conservaba una profundidad de 19cms, (excavada en el estrato arcilloso 2051).

Relleno UE 2241, estaba formado por una tierra de textura areno-arcillosa con abundantes carbones de gran tamaño, cal, caracoles, clavos de hierro y cerámica fragmentada: varios fragmentos informes de *Terra Sigillata Hispanica* decorados, dos fragmentos de base de T.S indeterminada quemados, varios fragmentos informes y de borde de cerámica común romana, un borde de plato-tapadera de cerámica africana de cocina, Hayes 196, y varios fragmentos de ánfora indeterminada.

Esqueleto UE 2242, corresponde a un individuo adulto, con un rango de edad adulto joven, pudiéndose establecer en una horquilla de edad comprendida entre los 30 y 35 años. Sexo mujer. Presentaba una orientación E-O y estaba enterrado en posición de decúbito supino. La cabeza ladeada hacia la izquierda (Sur) y elevada respecto al cuerpo, adaptada a la fosa. De la extremidad superior derecha sólo conserva parte del cúbito y dedos apoyados sobre la cara. La extremidad superior izquierda estaba flexionada con los dedos de la mano apoyados sobre el tronco. Las extremidades inferiores estaban extendidas, juntas, y elevadas respecto a la pelvis. Huellas de raíces

en las extremidades inferiores. La mandíbula y una falange de la mano presentan una coloración verdosa, esto es debido a que la descomposición de algún metal que no se ha encontrado, posiblemente bronce dejó la impronta sobre el hueso cuando se dio la descomposición de la materia orgánica. El índice de conservación del esqueleto se ha establecido en un (48,5%).

Ausencia de mortaja evidenciado en la posición general de los huesos: la parte superior del tronco (omoplatos y cervicales) apoyados en la pared de la fosa.

Edad: en el rango adulto joven (20-40 años), pudiéndose establecer en una horquilla de edad comprendida entre los 30-35 años a partir del desgaste dental tipo 5 (Holly-Sthmith, 1984) con una correspondencia de edad entre los 33-45 años (Brothwell, 1991).

Edad: en el rango adulto joven (20-40 años), pudiéndose establecer en un rango de edad comprendida entre los 30-35 años a partir de los métodos empleados y relacionados a continuación.

Métodos:

1. Superficie auricular del ilion: Fase 3 (30-34).

Sexo: mujer (morfológica y antropométricamente, con un 88,16 % de confianza).

Métodos morfológicos: morfología craneal (borde orbitario cortante, apófisis mastoides pequeñas, mentón protuyente); y pélvica (escotadura ciática).

Métodos antropométricos: la combinación de medidas antropométricas de fémur, aplicando las fórmulas regresivas da un resultado de sexo mujer con un 88,16% de confianza (diámetro vertical de la cabeza femoral, según fórmula $39 \times 0,4865479 - 20,9910026$, punto de corte 0,039055).

Estatura 147-150 cm, según longitud máxima de radio izquierdo (200 mm). Se han empleado las tablas y fórmulas regresivas de Trotter y Glesser y Manouvrier.

Descomposición en vacío visible en la desarticulación de mandíbula, clavículas, apertura de coxales y caída de los fémures.

Complexión anatómica: grácil.

Lateralidad derecha, fundamentalmente objetivada por la presencia de mayor desarrollo de las entesopatías de extremidades superiores.

Desde un punto de vista patológico destacan:

1. Salud bucodental: hipoplasias del esmalte en las piezas del maxilar (1.1, 1.2 y 1.3) a una altura de la línea LAC entre los 3 y 6,5 mm; en las piezas de la mandíbula (3.1, 3.3, 3.4, 4.1, 4.3, 4.4) a una altura de la línea LAC entre los 3 y 5,5 mm; agenesia dental de las piezas (3.8 y 4.8).

2. Patología degenerativa: artrosis cervical (C5-C6), cavidades de Schmorl entre las vértebras torácicas T10-T11.
3. Patología metabólica, carencial, nutricional: hiperóstosis frontal (10,5x11mm).
4. Patología traumática: hematoma bilateral en tercio medio de peroné con periostitis asociada de cara interna de tibia derecha.

Marcadores de estrés ocupacional: indicadores de una biomecánica relacionada con una actividad continuada de brazos y piernas como consecuencia de sus actividades laborales u ocupacionales:

1. Cintura escapular: ligamento costoclavicular derecha en grado leve.
2. Entesopatía del músculo pectoral mayor bilateral en grado leve para el lado izquierdo y moderado para el derecho.
3. Hipertrofia humeral bilateral, grado leve para ambos lados.
4. Entesopatía de la tuberosidad isquiática bilateral grado moderado para ambos lados.
5. Entesopatía de línea áspera bilateral en grado moderado para ambos lados.
6. Entesopatía del músculo sóleo tibial bilateral en grado leve para ambos lados.

Variantes anatómicas epigenéticas: sutura petroescamosa bilateral.

Ajuar (lámina 30):

- (1) (nº interés Museístico 0658) Lucerna Tipo VII B de Deneauve (nº 868 - lám. LXXIX) Arranque de rostrum liso destacado con respecto al margo. Margo con decoración de ovas, disco delimitado por molduras. Decoración de ruedecilla. Orificio de alimentación destacado (Ombligo). Base plana con inscripción en el centro rodeada por una circunferencia incisa. Asa perforada sobreelevada con dos estrías longitudinales. Longitud 11,1 cm, anchura 8,5 cm, altura 3,2 cm. Cronología: s. I - II d. C. Este objeto estaba colocado entre los pies.

Metales:

- (nº de inventario 543) Cinco fragmentos de varios clavos de hierro en mal estado de conservación. Recuperados durante los trabajos de excavación. Un fragmento estaba pegado al tercio superior de uno de los fémures. Estos clavos formarían parte del ataúd.

Moneda:

- Antonino Pio (145-161 d.C.). As. Ae. Anverso: ANTONINVS. Busto Barbado hacia la derecha. Reverso: Figura sedente sobre un escudo hacia la derecha. El estado de

conservación no permite hacer mayores precisiones. Se halló durante la excavación del relleno.

213. TUMBA DE INHUMACIÓN (2256, 2257, 2258)

Enterramiento individual y primario localizado en el sector S de la excavación

Fosa UE 2258, era de forma rectangular y orientada E-O. Conservaba una profundidad de 19 cms, (excavada en el estrato arcilloso 2051). Las dimensiones de la fosa 174 x 63 cm.

Relleno UE 2256, estaba formado por una tierra arcillosa, de color marrón oscuro, con carbones, hueso quemado fragmentado, clavos de hierro, un fragmento de vidrio, y escasa cerámica: varios fragmentos de olla de cerámica de cocina, cerámica común romana, y un fragmento de ánfora Tarraconense.

Esqueleto UE 2257, corresponde a un individuo adulto, con un rango de edad adulto maduro, pudiéndose establecer en una horquilla de edad comprendida entre los 40-45 años. Sexo varón. Presentaba una orientación E-O y estaba enterrado en posición de decúbito supino. La cabeza ladeada hacia la izquierda (Sur) y ligeramente elevada al igual que la extremidad inferior derecha. La extremidad superior derecha estaba semiflexionada en ángulo recto, con el cúbito y el radio encajados en las vértebras lumbares. La extremidad superior izquierda estaba ligeramente semiflexionada y con la mano sobre la pelvis. La extremidad inferior derecha estaba ligeramente semiflexionada y elevada respecto de la izquierda, que estaba extendida. Los pies estaban juntos y algo elevados porque se adaptan a las dimensiones de la fosa. El índice de conservación del esqueleto se ha establecido en un 59,5%).

Evidencias de mortaja a nivel de hombros, rodillas y piés.

Edad: en el rango adulto maduro (40-60 años), pudiéndose concretar una edad que supera los 45 años a partir del desgaste dental tipo 5-7 (Holly-Sthmith, 1984).

Edad: en el rango adulto maduro (40--60 años), pudiéndose establecer en un rango de edad comprendida entre los 40-44 años a partir de los métodos empleados y relacionados a continuación.

Métodos:

1. Superficie auricular del ilion: Fase 5 (40-44).

Sexo: varón (morfológica y antropométricamente, con un 88,16 % de confianza).

Métodos morfológicos: morfología craneal (huesos malares robustos, inion tipo 3, mentón cuadrangular).

Métodos antropométricos: la combinación de medidas antropométricas de fémur, aplicando las fórmulas regresivas da un resultado de sexo varón con un 88,16% de confianza (diámetro vertical de la cabeza femoral, según fórmula $50 \times 0,4865479 - 20,9910026$, punto de corte 0,039055).

Estatura 168,6-172 cm, según longitud máxima de cúbito izquierdo (265mm). Se han empleado las tablas y fórmulas regresivas de Trotter y Glesser y Manouvrier.

Descomposición en vacío visible en: caída de cúbito, radio, y dedos de la mano derecha, caída de dedos de la mano izquierda, apertura de coxales, y caída del peroné derecho.

Complexión anatómica: robusta.

Lateralidad izquierda, fundamentalmente objetivada por la presencia de mayor desarrollo de las entesopatías de extremidades superiores e inferiores.

Desde un punto de vista patológico destacan:

1. Salud bucodental: hipoplasias del esmalte en las piezas mandibulares (3.3, 3.4, 4.2, 4.3) a una altura de la línea LAC de 2,5-4,5 mm; caries en LAC con afectación a esmalte-cemento (4.3), con afectación a dentina en las piezas (3.4, 3.5, 4.8) y con afectación a pulpa en la pieza (3.8). Mal posicionamiento de las piezas (3.3, 3.4 y 3.5) desgaste biselado de cara vestibular de la pieza dental (4.8).
2. Patología degenerativa: artrosis en columna torácica: hernia de disco en las vértebras T6 y T7; osteofitos anteriores en "pico de loro" de T12 y T11; reacción perióstica en parte media del peroné derecho; ligera artrosis coxofemoral izquierda; artrosis de la primera falange del 5º dedo de la mano derecha; ligera artrosis patelar derecha.
3. Patología traumática: posible hematoma con periostitis asociada en la parte media diafisaria de ambas tibias y peronés.

Marcadores de estrés ocupacional: indicadores de una biomecánica relacionada con una actividad continuada de brazos y piernas como consecuencia de sus actividades laborales u ocupacionales:

1. Cintura escapular: ligamento costoclavicular.

2. Entesopatía del músculo bíceps braquial radial bilateral, grado moderado para el lado izquierdo e intenso para el derecho.
3. Entesopatía del músculo supinador cubital derecho, grado moderado.
4. Entesopatía del músculo tríceps braquial cubital bilateral, grado intenso para ambos lados.
5. Entesopatía del músculo pectoral mayor bilateral, grado moderado en el para derecho e intenso en el izquierdo.
6. Hipertrofia humeral bilateral, grado moderado en el para derecho e intenso en el izquierdo.
7. Hipertrofia de falanges bilateral, grado moderado en el para derecho e intenso en el izquierdo.
8. Entesopatía del ligamento sacrotuberal bilateral.
9. Entesopatía del ligamento redondo bilateral, grado moderado en el para derecho e intenso en el izquierdo.
10. Entesopatía de línea áspera bilateral, grado intenso para ambos lados.
11. Entesopatía del ligamento rotuliano en rótula derecha.
12. Entesopatía del músculo sóleo tibial bilateral en grado intenso para ambos lados.
13. Entesopatía del tendón de Aquiles bilateral, en grado leve para ambos lados.
14. Entesopatía del glúteo mayor bilateral en grado intenso para ambos lados.
15. Entesopatía del glúteo menor derecho en grado intenso.

Variantes anatómicas epigenéticas: No se observan.

Metales:

- (nº de inventario 551) Dos clavos de hierro en muy mal estado de conservación. Estos clavos formarían parte del ataúd.

Fauna:

- Deposición de hueso animal indeterminado sobre el tercio superior del húmero izquierdo.

214. TUMBA DE INHUMACIÓN (2280, 2281, 2282)

Enterramiento individual y primario localizado en el sector Oeste de la excavación

Fosa UE 2282, apenas se conservaba, por lo que no es posible conocer su forma y dimensión. La profundidad máxima conservada es de 7 cm.

Relleno UE 2280, es de tierra arenosa rubefacta, muy endurecida, con abundante hueso quemado, cal, carbón y tierra de coloración ocre a rojizo como consecuencia de una exposición continua la fuego, seguramente procede del *bustum* (2248) cortado por esta inhumación.

Esqueleto UE 2281, corresponde a un individuo adulto, con un rango de edad adulto joven (20-40), no pudiéndose establecer una horquilla de edad concreta. Sexo varón. Presentaba una orientación E-O y estaba enterrado en posición de decúbito supino. Tenía la extremidad superior derecha cruzada sobre el pecho. Los huesos conservados son: parte del húmero, cúbito y radio derechos y escasos fragmentos de la parrilla costal derecha. El índice de conservación del esqueleto se ha establecido en un (4 %).

Sexo: posible varón determinada dicha estimación a partir de las características morfológicas de robustez de los miembros conservados y por los espesores de la cortical de diferentes miembros según Gejvall, (1980).

- Robustez de miembros.
- Máximo espesor díploe frontal-parietal: 8mm.
- Espesor del tercio medio del húmero: 6mm.
- Espesor del tercio medio del radio: 4mm.

Estatura indeterminada

Descomposición en medio colmatado.

Complexión anatómica: robusta.

Lateralidad indeterminada.

Sin hallazgo paleopatológicos.

Marcadores de estrés ocupacional: indicadores de una biomecánica relacionada con una actividad continuada de brazos como consecuencia de sus actividades laborales u ocupacionales:

1. Entesopatía del músculo tríceps braquial cubital izquierdo, grado intenso.

Variantes anatómicas epigenéticas: No se observan.

215. TUMBA DE INHUMACIÓN (2289, 2290, 2291)

Enterramiento individual y primario localizado en el sector S.O de la excavación

Fosa UE 2291, de forma rectangular, estaba excavada en el estrato arcilloso 2051. Conservaba unas dimensiones de 136 x 36 x 27 cms y presentaba una orientación E-O.

Relleno UE 2289, estaba formado por una tierra arcillosa, de color marrón oscuro con puntos de cal, carbones, nódulos de tierra rubefacta de color rojo y negro, hueso quemado fragmentado, un fragmento de clavo de hierro, una pequeña tachuela de hierro y escasa cerámica: fragmentos informes de ánfora bética, cerámica común romana de cocción oxidante y reductora, cerámica de cocina y *Terra Sigillata Hispanica* decorada.

Esqueleto UE 2290, corresponde a un individuo adulto, con un rango de edad adulto joven-, pudiéndose establecer en una horquilla de edad comprendida entre los 27-35 años. Sexo varón. Presentaba una orientación E-O y estaba enterrado en posición de decúbito supino. La cabeza estaba ladeada hacia la izquierda (Sur) y elevada respecto al cuerpo, posiblemente apoyada en una almohadilla de tierra o adaptada a la fosa. La extremidad superior derecha estaba flexionada y sobre el tronco, con los dedos de la mano apoyados sobre el omóplato izquierdo. La extremidad superior izquierda estaba flexionada sobre el brazo derecho, con los dedos de la mano sobre el omóplato derecho. La extremidad inferior derecha estaba semiflexionada y sobre la izquierda, la extremidad inferior izquierda estaba extendida. Parte de las extremidades inferiores han sido seccionadas porque se pierden por el corte Oeste. Coloración oscura en algún hueso por la descomposición de la materia orgánica. El índice de conservación del esqueleto se ha establecido en un (44%).

Evidencias de mortaja a nivel de brazos y las piernas.

Edad: en el rango adulto joven (20-40 años), pudiéndose establecer en un rango de edad comprendida entre los 27-35 años a partir de los métodos empleados y relacionados a continuación.

Métodos:

1. Superficie auricular del ilion: Fase 3 (30-34).
2. Sínfisis pubis según Suchey-Brooks: Fase III-1/III-2: 30 años.
3. Cuarta costilla (articulación condrocostal): fase 4: 28-32

Sexo: varón (morfológica y antropométricamente, con un 90,91 % de confianza).

Métodos morfológicos: morfología craneal (mentón protuyente, gonion evergente); morfología pélvica (ángulo de escotadura ciática cerrado).

Métodos antropométricos: la combinación de medidas antropométricas de fémur, aplicando las fórmulas regresivas da un resultado de sexo varón con un 88,16% de confianza (diámetro vertical de la cabeza femoral, según fórmula $49,5x - 0,4865479 - 20,9910026$, punto de corte 0,039055).

Estatura 158-165 cm, según longitud máxima de fémur derecho (416 mm) y radio derecho (228 mm). Se han empleado las tablas y fórmulas regresivas de Nunes de Mendonça, Manouvrier y Trotter y Glesser.

Descomposición en medio vacío.

Complexión anatómica: robusta.

Lateralidad izquierda, fundamentalmente objetivada por la presencia de mayor desarrollo de las entesopatías de extremidades inferiores.

Desde un punto de vista patológico destacan:

1. Salud bucodental: hipoplasias del esmalte en las piezas maxilares (1.3 y 2.3) a una altura de la línea LAC entre 3-2 mm; hipoplasias del esmalte en las piezas dentales mandibulares (3.2, 3.3, 4.3, 4.5, 4.6) a una altura de la línea LAC entre 1- 4 mm; caries en línea amelocementaria con afectación a esmalte y cemento en la pieza del maxilar (1.8).
2. Patología degenerativa: ligera artrosis glenohumeral derecha, osteofitos anteriores en columna cervical entre C4 a C7, ligera artrosis costo vertebral.
3. Patología inflamatoria: porosis suprauditiva.

Marcadores de estrés ocupacional: indicadores de una biomecánica relacionada con una actividad continuada de brazos y piernas como consecuencia de sus actividades laborales u ocupacionales:

1. Cintura escapular: sindesmosis costal derecha, grado moderado.
2. Entesopatía del músculo supinador cubital derecho, grado moderado.
3. Entesopatía del músculo tríceps braquial cubital bilateral, grado moderado para ambos lados.
4. Entesopatía del músculo pectoral mayor izquierdo, grado intenso.
5. Hipertrofia humeral izquierdo, grado moderado.
6. Corredera bicipital izquierda, grado intenso.
7. Entesopatía del ligamento redondo bilateral bilateral, en grado intenso para ambos lados.
8. Faceta de Poirier bilateral, en grado intenso para ambos lados.

9. Entesopatía de línea áspera bilateral, en grado intenso para ambos lados
10. Entesopatía del ligamento rotuliano izquierdo, grado moderado.
11. Entesopatía del músculo sóleo tibial derecho en grado leve.
12. Entesopatía del glúteo mayor derecho, en grado intenso.
13. Impronta tibial derecha, grado moderado.
14. Espina tibial derecho, en grado leve.

Variantes anatómicas epigenéticas: presencia del tercer trocánter en fémur izquierdo.

Metales:

- (nº de inventario 556) Un clavo de hierro del ataúd.
- (nº de inventario 557) Una tachuela de hierro.

216. TUMBA DE INHUMACIÓN (2298, 2299, 2300)

Enterramiento individual y primario localizado en el sector S.E de la excavación

Fosa UE 2300, de forma alargada, estaba orientada E-O. Conservaba unas dimensiones de 73 x 41 x 24 cm.

Relleno UE 2298, estaba compuesto por una tierra arcillosa de color marrón oscuro con escasa cerámica: cuatro fragmentos informes de cerámica común romana. Junto al pie izquierdo aparecen dos fragmentos de vidrio, y colocado sobre la tibia izquierda un fragmento de ánfora.

Esqueleto UE 2299, subadulto con un rango de edad juvenil, menor de 17 años, sexo indeterminado. Presentaba una orientación E-O y estaba enterrado en posición de decúbito supino. El esqueleto se pierde por el corte Este, de manera que sólo pueden verse parte de las piernas en mal estado de conservación. De la extremidad inferior derecha se aprecian parte del fémur y la tibia. De la extremidad inferior izquierda se aprecian parte del fémur, y tibia y peroné enteros pero fragmentados y elevados respecto al fémur. El índice de conservación del esqueleto se ha establecido en un (6%).

Sin evidencias de mortaja.

Edad: juvenil establecida a partir de la observación de las epífisis de crecimiento no obliteradas.

Sexo: indeterminado.

Estatura indeterminada.

Descomposición en vacío visible en: caída de la rótula derecha, calcáneo, y dedos del pie izquierdo.

Compleción anatómica: grácil.

Lateralidad indeterminada.

Sin hallazgos paleopatológicos.

Sin marcadores de actividad reseñables.

Variantes anatómicas epigenéticas: no se observan.

Vidrio:

- (nº de inventario 581) Dos fragmentos informes de vidrio.

La cronología de este enterramiento se establece en el siglo II d.C. a partir de las relaciones estratigráficas.

217. TUMBA DE INHUMACIÓN (2320, 2321, 2322)

Enterramiento individual y primario localizado en el sector S de la excavación

Fosa UE 2322, excavada en el estrato arcilloso (2051) de forma rectangular, estaba orientada E-O., conserva una profundidad máxima de 12cm y unas dimensiones de 157×38.

Relleno UE 2320, es de tierra arcillosa de color marrón oscuro, de textura muy plástica con abundantes carbones, caracoles y cerámica. Entre los materiales, cabe mencionar un borde de *Terra Sigillata Hispanica*, un fragmento de ánfora indeterminada y dos de cerámica común romana.

Esqueleto UE 2321, corresponde a un individuo adulto, con un rango de edad adulto senil, mayor de 60 años. Sexo mujer. Presentaba una orientación E-O y estaba enterrado en posición de decúbito supino. Estaba cortada en su parte derecha por un pozo islámico (2046). La cabeza ladeada hacia la izquierda (S) y apoyada sobre las clavículas. La extremidad superior izquierda estaba semiflexionada con la mano en posición lateral sobre el abdomen. De la extremidad superior derecha, sólo se conserva parte del cúbito y radio y la mano, por lo que según la posición que aún conservan, puede deducirse que ambas extremidades superiores estaban colocadas de igual manera. Las extremidades inferiores estaban extendidas y separadas, con los talones enfrentados y los dedos extendidos. El índice de conservación del esqueleto se ha establecido en un (26,5%).

Presenta evidencias de mortaja en la posición de las clavículas, comprimidas en forma de V, y de las extremidades superiores, semiflexionadas sobre el pecho.

Edad: en el rango senil (>60 años), a partir del desgaste dental tipo 7-8 (Holly-Sthmith, 1984).

Sexo: mujer.

Métodos morfológicos: morfología craneal (frente vertical, apófisis mastoides pequeñas, mentón protuyente, gonion recto).

Estatura indeterminada.

Descomposición en vacío manifiesta en la desarticulación de las falanges de las manos, caída de húmero y radio izquierdos, y desarticulación de ambos fémures.

El esqueleto en general tiene un aspecto grácil, con inserciones musculares poco marcadas. Se observa rosarillos en una falange de la mano izquierda debido a la marca que dejó un anillo de cobre o bronce.

Lateralidad derecha, fundamentalmente objetivada por la presencia de mayor desarrollo de las entesopatías de extremidades superiores.

Desde un punto de vista patológico destacan:

1. Salud bucodental: caries en línea amelocementaria con afectación a dentina y pulpa en las piezas dentales (3.4 y 4.8) de la mandíbula; la pieza (4.8) mal posicionada con impactación sobre (4.7) (pérdida *ante mortem*).
2. Patología degenerativa: leve artrosis de la articulación calcáneo-astragalina con ligera eburnación.

Marcadores de estrés ocupacional: indicadores de una biomecánica relacionada con una actividad continuada de brazos como consecuencia de sus actividades laborales u ocupacionales:

1. Cintura escapular: sindesmosis costal izquierda, grado leve.
2. Hipertrofia de falanges derecha, grado moderado.

Variantes anatómicas epigenéticas: No se observan.

Ajuar

- (1) (nº interés Museístico 0621) Cerámica común romana. Olpe de borde engrosado y exvasado, cuerpo piriforme con base de solera indicada. Asa vertical acintada pegada al borde. Superficie beige alisada con pasta de igual color sin desgrasante aparente. Diámetro de borde 5 cm; diámetro de base 4,3 cm; altura 13,7 cm. Diámetro máximo 9,3 cm. Cronología: s. II d. C. Colocado entre los pies.

Metales:

- (2) (nº de inventario 560) Tres fragmentos de un anillo de bronce de sección ovalada, algo más aplanado en la cara interna. No presenta ningún tipo de ornamento ni de engarce para piedra de anillo. Diámetro aproximado cara externa 1,8 cm; cara interna 1,45 cm. Grosor del hilo metálico: 0'2 cm. Este objeto formaría parte de un objeto personal del deceso.

218. TUMBA DE INHUMACIÓN (2323, 2324, 2325)

Enterramiento individual y primario localizado en el sector S.E de la excavación

Fosa UE 2325, localizada en el sector suroeste de la excavación, orientada E-O, de forma rectangular. Su profundidad es de 12 cm. (Excavada en el estrato arcilloso 2051). Las dimensiones de la fosa son 140 x 46 cm.

Relleno UE 2323, que colmata la fosa estaba formado por una tierra areno-arcillosa con cal, carbones, un clavo de hierro, cuatro fragmentos de estuco pintados de rojo, un talón y un fragmento de cráneo posiblemente de animal, y cerámica: una fusayola troncocónica con cabeza, un fragmento de borde de *Terra Sigillata Italica*, un fragmento de base y varios fragmentos informes de cerámica común romana, y un fragmento informe de ánfora Apula.

Esqueleto UE 2324, corresponde a un individuo adulto, con un rango de edad adulto joven, pudiéndose establecer en una horquilla de edad comprendida entre los 35 y 38 años. Sexo mujer. Presentaba una orientación E-O y estaba enterrado en posición de decúbito supino. La cabeza ladeada hacia la izquierda (Sur). La extremidad superior derecha estaba semiflexionada, casi en ángulo recto, con los dedos de la mano sobre el coxal derecho. La extremidad superior izquierda estaba también semiflexionada y con los dedos de la mano sobre el sacro. Las extremidades inferiores estaban semiflexionadas con los pies juntos y apoyados en la pared de la fosa. Presenta marcas de raíces en la mayor parte del esqueleto. El índice de conservación del esqueleto se ha establecido en un (72,5%).

Evidencias de mortaja a nivel de hombros y pies.

Edad: en el rango adulto joven (20-40 años), pudiéndose establecer en una horquilla de edad comprendida entre los 35-40 años a partir del desgaste dental tipo 4-5 (Holly-Sthmith, 1984) con una correspondencia de edad entre los 33-45 años (Brothwell, 1991).

Edad: en el rango adulto joven (20-40 años), pudiéndose establecer en un rango de edad comprendida entre los 35-38 años a partir de los métodos empleados y relacionados a continuación.

Métodos:

1. Superficie auricular del ilion: Fase 4 (35-38).

Sexo: mujer.

Métodos morfológicos: morfología craneal (frente vertical, arcos supraciliares no marcados, borde orbitario cortante, apófisis mastoides pequeñas, huesos malares gráciles); morfología pélvica (ángulo abierto de la escotadura ciática, surco preauricular marcado).

Métodos antropométricos: la combinación de medidas antropométricas de fémur, aplicando las fórmulas regresivas da un resultado de sexo mujer con un 88,16% de confianza (diámetro vertical de la cabeza femoral, según fórmula $43 \times 0,4865479 - 20,9910026$, punto de corte 0,039055).

Estatura 149,7-152 cm, según longitud máxima de radio derecho (205 mm). Se han empleado las tablas y fórmulas regresivas de Trotter y Glesser y Manouvrier.

Descomposición en medio vacío visible en: caída de ambos cúbitos, caída de los dedos de ambas manos, y apertura de coxales. Por esta razón, además de por la presencia de algún clavo.

Complexión anatómica: grácil.

Lateralidad izquierda, fundamentalmente objetivada por la presencia de mayor desarrollo de las entesopatías de extremidades inferiores.

Desde un punto de vista patológico destacan:

1. Salud bucodental: hipoplasias del esmalte en la piezas del maxilar (1.3) y en las mandibulares (3.3 y 3.5) a una altura de la línea LAC de 2-5 mm; mal posicionamiento con ligero apiñamiento de los incisivos laterales del maxilar; fractura en cara mesial de la pieza maxilar 2.6.
2. Patología degenerativa: artrosis de base craneal y C1, artrosis temporo-mandibular derecha, artrosis costo clavicular y glenohumeral, leve artrosis de escafoides del pie derecho.
3. Patología nutricional, carencial, metabólica: hiperóstosis frontal.
4. Patología infecciosa: Presencia de pediculosis occipital.

Marcadores de estrés ocupacional: indicadores de una biomecánica relacionada con una actividad continuada de brazos y piernas como consecuencia de sus actividades laborales u ocupacionales:

1. Cintura escapular: sindesmosis costal derecha, grado leve; ligamento costoclavicular bilateral en grado leve para el derecho e intenso para el lado izquierdo; entesopatía del tubérculo conoideo.
2. Entesopatía del músculo bíceps braquial radial bilateral, grado moderado para ambos lados.
3. Entesopatía del músculo tríceps braquial cubital bilateral, grado intenso para ambos lados.
4. Entesopatía del músculo pectoral mayor izquierdo, grado leve.
5. Entesopatía de la tuberosidad isquiática bilateral, grado moderado para ambos lados.
6. Entesopatía del ligamento redondo bilateral, en grado moderado para ambos lados.
7. Entesopatía de línea áspera bilateral en grado leve para ambos lados.
8. Faceta de acuilamiento astragalino bilateral en grado leve.
9. Impronta tibial izquierda, en grado leve.

Variantes anatómicas epigenéticas: suturapetroescamosa.

Ajuar:

Fauna:

Junto a la pelvis se recuperaron restos de fauna correspondientes a una cuerna de cabra (*Capra hircus*), un calcáneo derecho de un perro (*Canis familiaris*) de talla pequeña. Y fragmento de costilla y húmero de macro mamífero indeterminado.

219. TUMBA DE INHUMACIÓN (2333, 2334, 2335)

Enterramiento individual y primario localizado en el sector S de la excavación.

Fosa UE 2335, excavada en la tierra, conservaba unas dimensiones de 125 x 45 cm. y una potencia alrededor de los 14 cm. La orientación es E-O., encontrándose la fosa cortada por un pozo moderno en la parte O. El enterramiento estaba excavado en 2051 y afectado por el pozo moderno 2373.

Relleno UE 2333, es de tierra arcillosa muy compacta, contiene carbones, huesos quemados, y clavos. El material cerámico consta de fragmentos de una cazuela de cerámica de cocina africana Hayes 12, un borde de caliciforme ibérico, fragmentos sin forma de ánforas itálicas, de cerámica común romana y un fragmento de vidrio.

Fauna:

Se ha documentado un fragmento proximal de un fémur derecho de ovicaprino (*Ovis aries/Capra hircus*).

Esqueleto UE 2334, corresponde a un individuo adulto, con un rango de edad adulto joven, pudiéndose establecer en una horquilla de edad comprendida entre los 35 y 45 años. Sexo varón. Presentaba una orientación E-O y estaba enterrado en posición de decúbito supino. La cabeza completa pero removida estaba girada hacia el sur. La extremidad superior derecha extendida y completa. La extremidad superior izquierda flexionada, solo conserva cúbito y radio. Las extremidades inferiores estaban extendidas pero sólo conservadas hasta las rodillas. Tórax, abdomen y pelvis completas pero desplazados. El índice de conservación del esqueleto se ha establecido en un (45,5%).

Evidencias de mortaja a nivel de hombros y rodillas.

Edad: en el rango adulto joven-maduro (20-60 años), pudiéndose establecer en una horquilla de edad comprendida entre los 33-45 años a partir del desgaste dental tipo 6-7 (Holly-Sthmith, 1984) con una probable edad entre los 33-45 años (Brothwell, 1991).

Edad: en el rango adulto joven (20-40 años), pudiéndose establecer en un rango de edad comprendida entre los 30-35 años a partir de los métodos empleados y relacionados a continuación.

Métodos:

1. Superficie auricular del ilion: Fase 5 (40-44).
2. Sínfisis pubis según Suchey-Brooks: Fase IV-1/IV-2: 35 años.

Sexo: varón.

Métodos morfológicos: morfología craneal (frente huidiza, arcos supraciliares marcados, borde orbitario romo, glabella tipo 4, apófisis mastoides robustas, cresta nugal, inion tipo 3, mentón cuadrangular, gonion evergente) y morfología pélvica (ángulo cerrado de escotadura ciática, ausencia surco preauricular, agujero obturador y ángulo subpúbico agudo).

Métodos antropométricos: la combinación de medidas antropométricas de fémur, aplicando las fórmulas regresivas da un resultado de sexo varón con un 90,91% de confianza (anchura epicondilar + diámetro vertical de la cabeza femoral, según fórmula $75 \times 0,1545610 + 45 \times 0,2482526 - 22,4541154$, punto de corte $-0,122985$).

Estatura 163-165 cm, según longitud máxima de fémur derecho (436 mm). Se han empleado las tablas y fórmulas regresivas de Trotter y Glessner, Nunes de Mendonça y Manouvrier.

Descomposición en medio vacío. Evidencias de cubierta de madera al encontrarse varios clavos dentro de la fosa.

Compleción anatómica: robusta.

Lateralidad derecha, fundamentalmente objetivada por la presencia de mayor desarrollo de las entesopatías de extremidades superiores e inferiores.

Desde un punto de vista patológico destacan:

1. Salud bucodental: hipoplasias del esmalte en las piezas mandibulares (3.3) y 3.5 a una altura de la línea LAC de 2-4,5 mm.
2. Patología degenerativa: artrosis columna cervical, espondiloartrosis, osteofitos en columna torácica, fusión lumbar con osteofitos, hernias de disco en vértebras lumbares L2-L3; artrosis tèmpero-mandibular, artrosis bilateral de codos, artrosis distal de cúbito y radio; artrosis bilateral de falanges medias y distales.
3. Patología nutricional, carencial, metabólica: criba orbitaria bilateral de tipo porótico.
4. Patología infecciosa: pleuritis granulomatosa en cara visceral de costillas.

Marcadores de estrés ocupacional: indicadores de una biomecánica relacionada con una actividad continuada de brazos y piernas como consecuencia de sus actividades laborales u ocupacionales:

1. Cintura escapular: sindesmosis costal derecha, grado intenso; ligamento costoclavicular derecho en grado intenso.
2. Entesopatía del músculo bíceps braquial radial derecho, grado intenso.
3. Entesopatía del músculo supinador cubital izquierdo, grado intenso.
4. Entesopatía del músculo tríceps braquial cubital izquierdo, grado intenso.
5. Entesopatía del músculo pectoral mayor derecho, grado intenso.
6. Hipertrofia humeral derecho, grado intenso.
7. Hipertrofia de falanges bilateral, grado intenso.
8. Entesopatía olecraneana izquierdo, grado intenso.
9. Entesopatía de cresta ilíaca, grado intenso.
10. Entesopatía isquiática, grado intenso.
11. Entesopatía sacroilíaca, grado intenso.
12. Entesopatía del ligamento redondo bilateral, en grado intenso para ambos lados.

13. Entesopatía de línea áspera bilateral grado intenso.
14. Entesopatía del trocánter mayor bilateral, en grado intenso.
15. Entesopatía del glúteo mayor derecho, en grado leve.
16. Entesopatía del trocánter mayor bilateral, grado intenso.
17. Impronta tibial bilateral, grado intenso.

Variantes anatómicas epigenéticas: No se observan.

220. TUMBA DE INHUMACIÓN (2349, 2350, 2351)

Enterramiento individual y primario localizado en el sector S de la excavación.

Fosa UE 2351, excavada en estrato arcilloso (2051). Conservaba unas dimensiones de 0,55 m. x 0,28 m y una profundidad que oscilaba entre 0,19 m. / 0,09 m. Estaba orientada E – O.

Relleno UE 2349, estaba compuesto por una tierra de textura arcillosa. Señalar la presencia de malacofauna en grado medio y abundantes nódulos de carbón. Ausencia de material cerámico.

Esqueleto UE 2350, corresponde a un individuo de sexo indeterminado. Presentaba una orientación E-O y estaba enterrado en posición de decúbito supino. Sólo conserva parcialmente el tercio inferior de las extremidades inferiores. Estaba enterrado en posición de decúbito supino. Los restos estaban dispuestos de forma paralela. El índice de conservación del esqueleto se ha establecido en un (13,5%).

Edad probablemente adulto joven (20-40) ante la ausencia de signos degenerativos, sin poder establecer un rango aproximado.

Sexo indeterminado.

Estatura indeterminada.

Descomposición en medio vacío.

Complexión anatómica: grácil.

Lateralidad indeterminada.

Desde un punto de vista patológico destacan:

1. Patología degenerativa: ligera artrosis tibio-peronea distal derecho.

Marcadores de estrés ocupacional: indicadores de una biomecánica relacionada con una actividad continuada de piernas como consecuencia de sus actividades laborales u ocupacionales:

1. Osgood-Schlatter bilateral de tibias, grado moderado en el lado izquierdo e intenso para el lado derecho.
2. Entesopatía del músculo sóleo tibial bilateral en grado leve para ambos.
3. Entesopatía del tendón de Aquiles bilateral en grado leve para ambos lados.

Variantes anatómicas epigenéticas: No se observan.

221. TUMBA DE INHUMACIÓN (2366, 2367, 2368)

Enterramiento individual y primario localizado en el sector S.O de la excavación.

Fosa UE 2368, de forma rectangular irregular que estaba delimitada por el Sur, su parte izquierda, por dos grandes cantos rodados alineados. A los pies del esqueleto había un recipiente cerámico que servía para delimitar la fosa en su límite Oeste. Las dimensiones conservadas eran de 167 x 60 x 11 cm de profundidad.

Relleno UE 2366, estaba formado por una tierra muy arcillosa, de color marrón oscuro, con manchas rojizas, un fragmento de mármol de color rosáceo, y escasa cerámica fragmentada: varios fragmentos de cerámica común romana, dos fragmentos de *Terra Sigillata Hispanica*, un fragmento de ánfora bética, y un fragmento de ánfora de producción local.

Fauna:

Un único resto, se trata de un fragmento de metatarso IV proximal izquierdo de perro (*Canis familiaris*).

Esqueleto UE 2367, corresponde a un individuo adulto, con un rango de edad adulto joven, pudiéndose establecer en una horquilla de edad comprendida entre los 25-30 años. Sexo mujer. Presentaba una orientación E-O y estaba enterrado en posición de decúbito supino. En posición decúbito supino, con la cabeza ladeada hacia el Sur. La extremidad superior derecha estaba semiflexionada, con la mano sobre el abdomen. La extremidad superior izquierda estaba semiflexionada y con los dedos de la mano sobre el coxal izquierdo. Las extremidades inferiores estaban extendidas con los talones separados y enfrentados.

Evidencias de mortaja a la altura de los pies. El índice de conservación del esqueleto se ha establecido en un (60%).

Edad: en el rango adulto joven (20-40 años), pudiéndose establecer en una horquilla de edad comprendida entre los 25-35 años a partir del desgaste dental tipo 4-5 (Holly-Smith, 1984) con una correspondencia de edad entre los 25-35 años (Brothwell, 1991).

Edad: en el rango adulto joven (20-40 años), pudiéndose establecer en un rango de edad comprendida entre los 30-35 años a partir de los métodos empleados y relacionados a continuación.

Métodos:

1. Superficie auricular del ilion: Fase 2 (25-28 años).
2. Sínfisis pubis según Suchey-Brooks: Fase 3 (26-30 años).
3. Cuarta costilla (articulación condrocostal): Fase 4 (24-32 años).

Sexo: mujer (morfológica y antropométricamente, con un 90,91 % de confianza).

Métodos morfológicos: morfología craneal (arcos supraciliares no marcados, borde orbitario cortante, apófisis mastoides pequeñas, huesos malares gráciles) y pélvica (ángulo de la escotadura ciática abierto).

Métodos antropométricos: la combinación de medidas antropométricas de fémur, aplicando las fórmulas regresivas da un resultado de sexo mujer con un 90,91% de confianza (anchura epicondilar + diámetro vertical de la cabeza femoral, según fórmula $73x 0,1545610 + 42,5 x 0,2482526 - 22,4541154$, punto de corte $-0,122985$).

Estatura 155,6-166 cm, según longitud máxima de tibia izquierda (334 mm); húmero izquierdo (300 mm); y radio izquierdo (234 mm). Se han empleado las tablas y fórmulas regresivas de Trotter y Glesser y Manouvrier.

Descomposición en vacío visible en la desarticulación de: húmero derecho, dedos de la mano derecha (caídos sobre la pelvis), clavícula izquierda, esternón, y por último cúbito y radio de ambas extremidades superiores.

Complexión anatómica: grácil.

Lateralidad izquierda, fundamentalmente objetivada por la presencia de mayor desarrollo de las entesopatías de extremidades superiores.

Desde un punto de vista patológico destacan:

1. Salud bucodental: caries oclusal con afectación a esmalte-cemento de la pieza del maxilar (2.8); caries en línea amelocementaria con afectación a pulpa de la pieza mandibular (3.3). mal posicionamiento, apiñamiento de la pieza mandibular (4.3) sobre (4.4); fisura vertical de las piezas maxilares (1.1 y 2.1).
2. Patología degenerativa: artrosis costo-clavicular izquierda, ligera artrosis gleno-humeral izquierda, artrosis costo-vertebral; cavidad Schmorl en las vértebras torácicas T11-T12.

Marcadores de estrés ocupacional: indicadores de una biomecánica relacionada con una actividad continuada de brazos y piernas como consecuencia de sus actividades laborales u ocupacionales:

1. Cintura escapular: sindesmosis costal izquierda, grado leve.
2. Hipertrofia humeral derecha, grado leve.
3. Corredera bicipital bilateral, grado leve para el lado izquierdo, grado moderado para el derecho.
4. Entesopatía del ligamento redondo bilateral, en grado leve en lado izquierdo e intenso en lado derecho.
5. Faceta de Poirier derecho, en grado moderado.
6. Entesopatía de línea áspera izquierdo en grado leve
7. Entesopatía del músculo sóleo tibial izquierdo en grado leve.
8. Impronta tibial derecho, en grado moderado.

Variantes anatómicas epigenéticas: Sutura petroescamosa.

Ajuar:

- (nº interés Museístico 0653). Cerámica común romana. Jarrita. Borde saliente, labio moldurado, galbo piriforme. Base de solera incipiente, dos asas acintadas verticales cogidas al labio. Pasta y superficie amarillenta sin tratamiento ni desgrasante aparente. Diámetro de base 4,8 cm; Altura conservada 12,5 cm. Cronología: s. II d. C. En muy mal estado de conservación no pudo dibujarse.

222. TUMBA DE INHUMACIÓN (2408, 2409, 2410) (Lámina 5.50)

Enterramiento localizado en el sector Sur de la excavación.

Fosa UE 2410, excavada en el estrato arcilloso 2051, de formas imprecisas, posiblemente rectangular.

Relleno UE 2408, es una tierra arcillosa y de color marrón oscuro con nódulos de carbón, cal y escaso material cerámico. El mismo relleno proporciona también dos clavos (sin más observaciones).

Esqueleto UE 2409, pertenece a un individuo infantil de edad indeterminada en posición decúbito supino y orientado E-O. La cabeza estaba ladeada hacia el S. Las extremidades superiores estaban semi-flexionadas sobre la pelvis, la derecha con la mano en posición dorsal sobre la cadera. El índice de conservación del esqueleto se ha establecido en un (36,5%).

No presenta signos de amortajamiento.

Edad: aproximada de 7 años \pm 24 meses según el esquema dental de erupción y maduración dental de Ubelaker.

Sexo: indeterminado.

Estatura: indeterminada.

Descomposición en medio vacío se evidencia en la pelvis y los fémures desplazados.

Lateralidad indeterminada.

Desde un punto de vista patológico destacan:

1. Salud bucodental: presencia de desgaste oclusal en las piezas decíduas sobre todo visible en los molares (5.4, 5.5 y 6.4, 6.5) del maxilar; caries en línea amelocementaria en el 2º molar (7.5) izquierdo mandibular; hipoplasias en los caninos maxilares (5.3 y 6.3) a una distancia de 3 mm; y en la pieza 6.2 dos líneas de hipoplasias a una distancia de 3 y 7mm.
2. Patología metabólica, carencial y nutricional: ligera criba orbitaria porótica tipo 1 en la órbita derecha.

Sin marcas de actividad repetida.

Variantes anatómicas epigenéticas: No se observan.

Metales:

- (1) (nº de inventario 574) Siete tachuelas de hierro de cabeza redondeada, de sección cuadrada. Punta curvada, excepto en un caso que es recta. Dimensiones aproximadas: 1,5 x 1,5 cm. Grosor: 0'3-0'4 cm. Con toda probabilidad formarían parte de la indumentaria.

223. TUMBA DE INHUMACIÓN (2377, 2378, 2379)

Enterramiento individual y primario localizado en el sector O de la excavación.

Fosa UE 2379, de forma y dimensiones no se pudieron detectar al estar profundamente afectada por estructuras posteriores. Presenta una orientación E– O. Parte de la base estaba realizada con piedras y cantos rodados.

Relleno UE 2377, estaba formado por una tierra arcillosa y con una tonalidad marrón. Señalar dentro de la composición del estrato la presencia de nódulos de carbón y cal en grado escaso, cantos rodados de reducido tamaño y huesos de animales.

Fauna:

Los huesos pertenecen dos especies domésticas; a un perro de talla pequeña (*Canis familiaris*), con dos fragmentos de una ulna derecha y a un bovino (*Bos taurus*) con cinco fragmentos de las rama horizontal de una mandíbula.

Esqueleto UE 2378, corresponde a un individuo adulto, con un rango de edad adulto joven- 20-30 años. Sexo mujer. Presentaba una orientación E-O y estaba enterrado en posición de decúbito supino. Sólo conserva parte del tórax, columna vertebral y extremidad superior derecha, al encontrarse muy afectado por estructuras posteriores. Presenta una posición decúbito supino, con un fuerte desplazamiento. La extremidad superior derecha se hallaba flexionada sobre el tórax. El índice de conservación del esqueleto se ha establecido en un (18%).

Edad adulto joven fundamentado por la ausencia de signos degenerativos generalizados.

Sexo: mujer (antropométricamente, con un 90,91 % de confianza).

Métodos antropométricos: la combinación de medidas antropométricas de fémur, aplicando las fórmulas regresivas da un resultado de sexo mujer con un 88,16% de confianza (diámetro vertical de la cabeza femoral, según fórmula $36,5 \times 0,4865479 - 20,9910026$, punto de corte 0,039055).

Estatura indeterminada.

Descomposición en medio vacío.

Complexión anatómica: grácil.

Lateralidad derecha fundamentada por un mayor desarrollo entesopático del lado derecho.

Desde un punto de vista patológico destacan:

1. Patología degenerativa: ligera artrosis costo-vertebral y de cabeza femoral.
2. Patología metabólica, carencial y nutricional: hiperóstosis frontal (7mm).

Marcadores de estrés ocupacional: indicadores de una biomecánica relacionada con una actividad continuada de brazos como consecuencia de sus actividades laborales u ocupacionales:

1. Cintura escapular: sindesmosis costal derecha, grado intenso; entesopatía del ligamento conoideo derecho, intenso.
2. Entesopatía isquion derecho, grado intenso.

Variantes anatómicas epigenéticas: No se observan.

224. TUMBA DE INHUMACIÓN (2380, 2381, 2382)

Enterramiento individual y primario localizado en el sector S de la excavación.

Fosa UE 2382, estaba excavada en estrato arcilloso (2051). Era de forma indeterminada, orientada E-O. y conservaba unas dimensiones de 125x20 cm.

Relleno UE 2380, es tierra arcillosa de color marrón rojizo de textura muy plástica. Cabe mencionar la presencia de fragmentos informes de cerámica común romana y de ánfora africana.

Esqueleto UE 2381, corresponde a un individuo adulto, con un rango de edad adulto joven, pudiéndose establecer en una horquilla de edad comprendida entre los 30 y 35 años. Sexo varón. Presentaba una orientación E-O y estaba enterrado en posición de decúbito supino. La cabeza ladeada hacia la derecha (N). No se pudo determinar la posición de las extremidades superiores, ya que la parte derecha estaba cortada por el sondeo, quedando sólo parte del húmero y costillas, y la izquierda se encuentra dentro del corte Sur (sólo es visible la mano derecha). Lo mismo ocurre con las extremidades inferiores; de la derecha no se conserva ningún hueso, y de la izquierda es sólo visible el cóndilo femoral, el tercio superior de la tibia, y parte del peroné. Algunas vértebras y hueso sacro. El índice de conservación del esqueleto se ha establecido en un (33,5%).

No presentaba evidencias de mortaja.

Edad: en el rango adulto joven (20-40 años), pudiéndose establecer en un rango de edad comprendida entre los 30-35 años a partir de los métodos empleados y relacionados a continuación.

Métodos:

1. Superficie auricular del ilion: Fase 3 (30-34 años).
2. Sínfisis pubis según Suchey-Brooks: Fase 3 (26-30 años).

Sexo: varón (morfológica y antropométricamente, con un 90,91 % de confianza).

Métodos morfológicos: morfología craneal (frente huidiza, arcos supraciliares marcados, borde orbitario romo, huesos malares robustos, íonion tipo 5, mentón cuadrangular, gonion evertido). y morfología pélvica (escotadura ciática, agujero obturador y ángulo subpúbico).

Métodos antropométricos: la combinación de medidas antropométricas de húmero, aplicando las fórmulas regresivas da un resultado de sexo varón con un 83,08% de confianza (diámetro vertical de la cabeza femoral, según fórmula $49 \times 0,4136169 - 17,5360729$, punto de corte $-0,05569$).

Estatura 160-1652,5 cm, según longitud máxima de fémur derecho (424 mm). Se han empleado las tablas y fórmulas regresivas de Nunes de Mendonça, Manouvrier y Trotter y Glesser.

Descomposición en medio colmatado.

Complexión anatómica: robusta.

Lateralidad indeterminada.

Desde un punto de vista patológico destacan:

1. Salud bucodental: hipoplasias del esmalte en las piezas del maxilar (1.3, 1.4 y 1.5) a una altura de la línea LAC de 2 a 4,5 mm; caries oclusal con afectación a esmalte-cemento de la pieza (3.7) de la mandíbula; agenesia dental de las piezas molares (1.8 y 2.8).
2. Patología degenerativa: ligera espondiloartrosis cervical (C1-C2); osteofitos en vértebras dorsales, espondiloartrosis dorsal, hernia de disco en vértebras dorsales bajas.
3. Patología metabólica, nutricional, carencial: hiperóstosis frontal izquierda; criba orbitaria porótica tipo 1.

Marcadores de estrés ocupacional: indicadores de una biomecánica relacionada con una actividad continuada de brazos y piernas como consecuencia de sus actividades laborales u ocupacionales:

1. Entesopatía del músculo pectoral mayor derecho, grado leve.
2. Corredera bicipital derecha, grado moderado.
3. Entesopatía de línea áspera izquierdo en grado leve
4. Impronta tibial izquierda, en grado leve.
5. Entesopatía del glúteo mayor izquierdo, grado leve.

Variantes anatómicas epigenéticas: sutura petroescamosa.

225. TUMBA DE INHUMACIÓN (2383, 2384, 2385)

La inhumación estaba situada en la esquina sudoeste de la excavación.

Fosa UE 2385, de forma indeterminada. Estaba orientada E-O y conservaba una profundidad de 0,32 m.

Relleno UE 2383, estaba formado por una tierra arcillosa en la que abundan los carbones, nódulos de cal, cantos rodados y malacofauna.

Esqueleto UE 2384, corresponde a un individuo adulto, con un rango de edad adulto joven- maduro, pudiéndose establecer en una horquilla de edad comprendida entre los 20 y 25 años. Sexo mujer. Presentaba una orientación E-O y estaba enterrado en posición de decúbito supino. La cabeza apoyada en el pecho y hacia a la izquierda. Los brazos estaban flexionados y cruzados sobre el pecho y la mano izquierda sobre la derecha. Los codos y hombros estaban comprimidos y con las clavículas en forma de V. Faltan las extremidades inferiores que se pierden en el límite oeste de la excavación. El cuerpo estaba adaptado a la forma de la tumba. El cráneo estaba sobreelevado porque no cabe en la tumba o tiene cabecera. El índice de conservación del esqueleto se ha establecido en un (43,5%).

Edad: en el rango adulto joven (20-40 años), pudiéndose establecer en un rango de edad comprendida entre los 20-25 años a partir de los métodos empleados y relacionados a continuación.

Métodos:

1. Sínfisis pubis según Suchey-Brooks: Fase 2: 21-25 años.

Sexo: mujer.

Métodos morfológicos: morfología craneal (frente vertical, arcos supraciliares no marcados, borde orbitario cortante, apófisis mastoides pequeñas, huesos malares gráciles, mentón protuyente, gonion recto).

Sexo: mujer.

Métodos antropométricos: la combinación de medidas antropométricas de húmero, aplicando las fórmulas regresivas da un resultado de sexo mujer con un 83,08% de confianza (diámetro vertical de la cabeza femoral, según fórmula $36 \times 0,4136169 - 17,5360729$, punto de corte $-0,05569$).

Estatura 154,3-157 cm, según longitud máxima de húmero izquierdo (294 mm); radio derecho (216 mm), cúbito izquierdo (227mm). Se han empleado las tablas y fórmulas regresivas de Manouvrier y Trotter y Glesser.

Descomposición en medio colmatado.

Complexión anatómica: grácil.

Lateralidad derecha, fundamentalmente objetivada por la presencia de mayor desarrollo de las entesopatías de extremidades superiores.

Desde un punto de vista patológico destacan:

1. Salud bucodental: hipoplasias del esmalte en las piezas del maxilar (2.2 y 2.3) a una altura de la LAC de 2-4 mm, hipoplasias del esmalte en las piezas de la

mandíbula (3.2, 3.3, 3.4, 3.5, 4.2, 4.3, 4.4, 4.5) a una altura de la línea amelocementaria 1,8-4,5 mm; perla del esmalte en el molar del maxilar (2.8).

2. Patología metabólica, nutricional, carencial: hiperóstosis frontal izquierda; criba orbitalia porótica tipo 1 derecha;
3. Patología infecciosa: área reactiva en la región frontal endocraneal con una extensión de 23 x 20 mm, posible diagnóstico meningitis.

Marcadores de estrés ocupacional: indicadores de una biomecánica relacionada con una actividad continuada de brazos y piernas como consecuencia de sus actividades laborales u ocupacionales:

1. Cintura escapular: sindesmosis costal derecha, grado intenso; ligamento costoclavicular derecho, grado intenso.
2. Entesopatía del músculo pectoral mayor derecho, grado moderado.
3. Corredera bicipital derecha, grado moderado.

Variantes anatómicas epigenéticas: No se observan.

226. TUMBA DE INHUMACIÓN (2386, 2387, 2388)

La inhumación se localiza en el sector S. de la excavación.

Fosa UE 2388, excavada en estrato arcilloso (2051) con una forma que no fue posible definir en su totalidad y una profundidad relativa entre 0,04 m. / 0,10 m. Presenta orientación E-O.

Relleno UE 2386, de la tumba estaba compuesto por una tierra arcillosa muy compacta y con una tonalidad ocre. Mencionar la presencia de malacofauna en grado escaso, nódulos de carbón de forma muy frecuente así como nódulos de cal.

Esqueleto UE 2387, corresponde a un individuo adulto, con un rango de edad adulto joven (20-40 años). Sexo indeterminado. Presentaba una orientación E-O, estaba enterrado en posición de decúbito supino. La mala conservación de los restos no permite aproximar más datos relativos a la posición y deposición del esqueleto. Se pudo recuperar parte de la mandíbula, una clavícula, una costilla, parte de la pelvis y una falange. El índice de conservación del esqueleto se ha establecido en un (5%).

Edad: en el rango adulto joven (20-40 años), pudiéndose establecer en una horquilla de edad comprendida entre los 25-35 años a partir del desgaste dental tipo 4 (Holly-Sthmith, 1984) con una correspondencia de edad entre los 25-35 años (Brothwell, 1991).

Sexo indeterminado.

Estatura indeterminada.

Descomposición en medio colmatado.

Compleción anatómica: grácil.

Lateralidad indeterminado.

Sin hallazgos paleopatológicos

Sin marcadores de actividad.

Variantes anatómicas epigenéticas: no se observan.

227. TUMBA DE INHUMACIÓN (2395, 2396, 2397) (Lámina 5.46)

Inhumación situada en el sector S-E de la excavación.

Fosa UE 2397, de fosa simple, estaba orientada de E-O y es de planta rectangular, con los lados menores redondeados. Las dimensiones son 168 x 44 x 21 cm.

Relleno UE 2395, es un estrato arenoso, bastante compacto compuesto por carbones, hueso quemado y sin quemar, nódulos de cal y de arcilla limosa, muy plástica y de color marrón oscuro. También había arcilla rubefacta de color verdoso o amarillento y escasos fragmentos cerámicos muy rodados y amorfos.

Esqueleto UE 2396, corresponde a un individuo adulto, con un rango de edad adulto joven, entre los 20 y 39 años. Sexo varón. Presentaba una orientación E-O y estaba enterrado en posición de decúbito prono. La cabeza mirando a la izquierda (al norte), el mentón elevado y el cuello doblado. La extremidad superior derecha aparece semiflexionada bajo el abdomen y la mano extendida en posición palmar. La extremidad superior izquierda extendida a lo largo del cuerpo y la mano en posición lateral pegada al coxal izquierdo. Las extremidades inferiores extendidas, ligeramente semiflexionadas y unidas por los pies que estaban extendidos y montados el derecho sobre el izquierdo, podrían evidenciar que hubo mortaja. El índice de conservación del esqueleto se ha establecido en un (73%).

Edad: en el rango adulto joven (20-40 años), pudiéndose establecer en un rango de edad comprendida entre los 25-35 años a partir de los métodos empleados y relacionados a continuación.

Métodos:

1. Superficie auricular del ilion: Fase 3 (30-34).
2. Sínfisis pubis según Suchey-Brooks: Fase 3-4: 26-30 años.

Sexo: varón (morfológica y antropométricamente, con un 90,91 % de confianza).

Métodos morfológicos: morfología craneal (apófisis mastoides grandes y robustas, íon marcado, mentón cuadrangular)

Métodos antropométricos: la combinación de medidas antropométricas de fémur, aplicando las fórmulas regresivas da un resultado de sexo varón con un 90,91% de confianza (anchura epicondilar + diámetro vertical de la cabeza femoral, según fórmula $77,16 \times 0,1545610 + 48,03 \times 0,2482526 - 22,4541154$, punto de corte $-0,122985$).

El cuerpo se adapta a la morfología de la fosa observable en el hundimiento del tórax y la compresión de los dedos de los pies.

Estatura 157,10-163 cm, según longitud máxima de húmero derecho 8300 m), radio izquierdo 8220 mm), fémur izquierdo (417 mm). Se han empleado las tablas y fórmulas regresivas de Nunes de Mendonça, Manouvrier y Trotter y Glesser.

Descomposición en medio colmatado.

Complexión anatómica: robusta.

Lateralidad derecha, fundamentalmente objetivada por la presencia de mayor desarrollo de las entesopatías de extremidades superiores e inferiores.

Desde un punto de vista patológico destacan:

1. Salud bucodental: hipoplasias del esmalte en las piezas del maxilar (1.3, 1.4, 2.3 y 2.4) a una altura de la LAC de 2-4 mm, hipoplasias del esmalte en las piezas de la mandíbula (3.3, 3.4, 4.3, 4.4), a una altura de la línea amelocementaria 3-4 mm; caries en las piezas el maxilar (2.5, 2.7 y 2.8) de tipo radicular con afectación a pulpa (2.5), caries en LAC con afectación a esmalte-cemento (2.7) y caries de tipo coronal (2.8)
2. Patología infecciosa: reacción perióstica en generalizada en todo el esqueleto destacando pleuritis de tipo granulomatosa a nivel endocostal. Patología de origen infeccioso. Depresión anterior en la vértebra lumbar L5 etiología infecciosa, Brucelosis. Osteocartropatía hipertrófica.
3. Patología degenerativa: artrosis de codo; ligera artrosis fémur-patelar; artrosis de la primera falange del primer dedo en ambos pies.

Marcadores de estrés ocupacional: indicadores de una biomecánica relacionada con una actividad continuada de brazos y piernas como consecuencia de sus actividades laborales u ocupacionales:

1. Cintura escapular: sindesmosis costal bilateral, grado intenso; entesopatía del ligamento conoideo derecho, grado moderado.
2. Entesopatía del músculo tríceps braquial cubital bilateral, grado moderado.
3. Entesopatía del músculo pectoral mayor derecho, grado leve.
4. Hipertrofia humeral bilateral, grado leve.

5. Corredera bicipital bilateral, grado leve.
6. Entesopatía del ligamento redondo bilateral, en grado leve para ambos lados.
7. Faceta de Poirier bilateral, en grado moderado para el derecho, e intenso para el izquierdo.
8. Entesopatía de línea áspera bilateral en grado intenso.
9. Faceta de acucillamiento tibial derecho en grado intenso.
10. Retroversión tibial bilateral en grado intenso para ambos lados.
11. Entesopatía del glúteo mayor derecho, en grado intenso.
12. Impronta tibial en fémur bilateral en grado moderado para ambos lados
13. Faceta de Martins bilateral en grado intenso para ambos lados.
14. Entesopatía en primer metatarsiano pie derecho asociado al uso de un tipo determinado de calzado formado por tiras de cuero.

Variantes anatómicas epigenéticas: No se observan.

228. TUMBA DE INHUMACIÓN (3204, 3205, 3206)

Enterramiento primario e individual que se encuentra localizado en el sector Oeste de la excavación.

Fosa UE 3206, estaba excavada en las arcillas naturales (UE 3002), era de forma alargada aunque tan solo se conservaba la mitad superior del enterramiento encontrándose el resto por debajo de la calle Cañete. Conserva unas medidas de 0'70 x 0'52 m.

Relleno UE 3204, estaba compuesto por un estrato de tierra areno-arcillosa muy compacta, con presencia de material antracológico, malacofauna y material cerámico formado por: varios fragmentos de galbo de ánforas de tipo indeterminado; varios fragmentos de galbo de ánforas de tipo africano; un fragmento de pared de una olla de cocina y un fragmento de *kalathos* de cerámica ibérica pintada.

Esqueleto UE 3205, corresponde a un individuo adulto, con un rango de edad adulto maduro, pudiéndose establecer en una horquilla de edad comprendida entre los 40-59 años. Sexo varón. Presentaba una orientación NO-SE. Estaba enterrado en posición de decúbito supino. La cabeza estaba ladeada levemente hacia el sur. En general se encuentra en mal estado de conservación. El cráneo, estaba aplastado a nivel frontal; el maxilar estaba aplastado en el interior del cráneo en cambio la mandíbula se encuentra en perfecto estado de conservación pudiéndose comprobar pérdidas ante mortem de todas las piezas dentales a excepción del 2º y 3º molar derechos y un desgaste acusado

(4+,5). Por lo que respecta al esqueleto postcraneal se conserva la extremidad superior izquierda flexionada sobre el pecho. El resto de la anatomía estaba por debajo del límite Oeste de la excavación. El índice de conservación del esqueleto se ha establecido en un (17%).

Edad: en el rango adulto maduro (\geq 45 años), pudiéndose establecer a partir del desgaste dental entre 5 y 7 (Holly-Sthmith, 1984) con una correspondencia de edad mayor de 45 años (Brothwell, 1991).

Sexo: varón determinado a partir de la observación de la morfología craneal.

Estatura indeterminada.

Evidencias de mortaja.

Descomposición en medio vacío.

Complexión anatómica: robusta.

Desde un punto de vista patológico destacan:

1. Salud bucodental: hipoplasias del esmalte en las piezas (3.3) a una altura de la línea amelocementaria LAC de 3- 4 mm.
2. Patología infecciosa: reacción perióstica costal. Pleuritis.
3. Patología degenerativa: ligera osteoartritis a nivel lumbar; artrosis cervical y temporo mandibular.
4. Patología tumoral: quiste, tumoración osteolítica con unas dimensiones de 3,52 mm de diámetro.
5. Patología traumática: hematoma a nivel medio del cúbito izquierdo.
6. Patología congénita: defecto de osificación del arco ventral de la primera cervical (tubérculo anterior).

Marcadores de estrés ocupacional: indicadores de una biomecánica relacionada con una actividad continuada de brazos como consecuencia de sus actividades laborales u ocupacionales:

1. Cintura escapular: sindesmosis costal izquierda, grado intenso; Entesopatía del ligamento costoclavicular izquierdo, grado moderado.
2. Entesopatía del músculo bíceps braquial radial izquierdo, grado intenso.
3. Entesopatía del músculo supinador cubital izquierdo, grado intenso.
4. Entesopatía del músculo tríceps braquial cubital izquierdo, grado intenso.
5. Hipertrofia de falanges izquierdo, grado intenso.

6. Entesopatía radial del tercio inferior izquierdo, grado leve y tuberosidad cubital en el lado izquierdo, grado moderado.

Variantes anatómicas epigenéticas: no se observan.

229. TUMBA DE INHUMACIÓN (3228, 3229, 3230)

Enterramiento individual y primario con una orientación E-O y localizado en el sector Sur de la excavación.

Fosa UE 3230, era una estructura alargada excavada en el estrato arcilloso (3223=2051a). Estaba cortada por la tumba (3231, 3232, 3233). Conserva unas dimensiones de 0'50 x 0'27 m.

Relleno UE 3228, estaba compuesto por una tierra de textura arcillosa muy compacta con presencia de carbones, nódulos de cal, arcilla y cerámica común muy escasa.

Esqueleto UE 3229, corresponde a un individuo juvenil con un rango de edad entre los 13 y 20 años. Sexo varón. Presentaba una orientación E-O y estaba enterrado en posición de decúbito supino. Tan solo conserva el cráneo, la parte derecha del tórax, el húmero, el cúbito y radio del mismo lado, aunque muy aplastados. El índice de conservación del esqueleto se ha establecido en un (10,5%).

Se ha determinado la edad a partir de la valoración de una vértebra dorsal en fase de desarrollo pero con proceso de osificación completa.

Sexo: varón (antropométricamente, con un 88,16 % de confianza).

Métodos antropométricos: la combinación de medidas antropométricas de fémur, aplicando las fórmulas regresivas da un resultado de sexo varón con un 88,16% de confianza (diámetro vertical de la cabeza femoral, según fórmula $47,34 \times 0,4865479 - 20,9910026$, punto de corte 0,039055).

Talla indeterminada.

Evidencias de mortaja a nivel de hombros.

Descomposición en medio colmatado.

Lateralidad indeterminada.

Desde un punto de vista patológico destacan:

1. Patología metabólica, nutricional, carencial: porosis supraorbitaria.

Marcadores de estrés ocupacional: indicadores de una biomecánica relacionada con una actividad continuada de brazos como consecuencia de sus actividades laborales u ocupacionales:

1. Cintura escapular: sindesmosis costal derecha en grado leve.
2. Entesopatía del músculo pectoral mayor visible en el húmero derecho en grado moderado.

Sin ajuar funerario.

230. TUMBA DE INHUMACIÓN (3231, 3232, 3233)

Enterramiento primario e individual localizado en el sector Sur de la excavación. Tiene una orientación E-O.

Fosa UE 3233, es una estructura de forma alargada cuya forma es apenas visible ya que se confunde con el estrato arcilloso de carácter antrópico en el que estaba excavada (3223=2051b). Estratigráficamente afecta cortando al enterramiento (3228, 3229, 3230) descrito anteriormente.

Relleno UE 3231, estaba formado por una tierra de textura arcillosa con presencia de carbones y malacofauna.

Esqueleto UE 3232, corresponde a un individuo infantil I, pudiéndose establecer en una horquilla de edad comprendida entre los 4,5-5,5 años objetivada a partir de la observación de la erupción y maduración dental (Ubelaker, 1989). De sexo indeterminado. Presentaba una orientación E-O y enterrado en posición de decúbito supino con la cabeza girada hacia el Sur (izquierda). Tan solo conserva el cráneo, parte derecha del tórax y el húmero, el resto estaba por debajo de la calle Quart. El índice de conservación del esqueleto se ha establecido en un (12%).

Posible evidencia de mortaja a nivel de hombros.

Descomposición del cuerpo en medio vacío.

Desde un punto de vista paleopatológico no se han descrito nosologías.

Sin ajuar.

231. TUMBA DE INHUMACIÓN (3246, 3247, 3248)

Enterramiento primario e individual, localizado en el sector Sur de la excavación.

Fosa UE 3248, era de forma alargada, orientada E-O y conserva unas dimensiones de 0'65 x 0'20 m. Estaba en muy mal estado de conservación ya que tan solo se pudo excavar la mitad sur de la tumba (izquierdo), careciendo del resto de la fosa. Tal deterioro quizás se deba al nivel de la necrópolis perteneciente a la última fase (Siglos II y III d.C.), hecho ya constatado en la anterior campaña de excavaciones.

Relleno UE 3246, estaba compuesto por un estrato de tierra arcillosa muy compacta y de color rojizo, con abundante presencia de carbones y caracoles.

Esqueleto UE 3247, corresponde a un individuo adulto, con un rango de edad adulto joven, pudiéndose establecer en una horquilla de edad comprendida entre los 20-40 años. Sexo varón. Presentaba una orientación E-O y estaba enterrado en posición de decúbito supino. Tan solo conservaba la parte inferior de la extremidad izquierda, perteneciente al tercio inferior del fémur, tibia, peroné y pie. El índice de conservación del esqueleto se ha establecido en un (11,5%).

La determinación de la edad se ha establecido a partir de la no observación de cambio degenerativos propios de la edad madura (40-60 años).

Sexo: varón (antropométricamente, con un 90,91 % de confianza).

Métodos antropométricos: la combinación de medidas antropométricas de fémur, aplicando las fórmulas regresivas da un resultado de sexo varón con un 88,31% de confianza (anchura epicondilar según fórmula $81,14 \times 0,2873460 - 21,5737148$, punto de corte $-0,01657$).

Estatura 169-170 cm, según longitud máxima de tibia izquierda (360 mm). Se han empleado las tablas y fórmulas regresivas de Trotter y Glesser.

No se han observado evidencias de mortaja.

Descomposición en medio colmatado.

Complexión anatómica: robusta.

Lateralidad indeterminada.

Desde un punto de vista patológico destacan:

1. Patología inflamatoria: osteítis del hueso cuneiforme izquierdo.
2. Periostitis por actividad en cara interior de ambas tibias.

Marcadores de estrés ocupacional: indicadores de una biomecánica relacionada con una actividad continuada de piernas como consecuencia de sus actividades laborales u ocupacionales:

1. Entesopatía aquilea (calcáneo izquierdo).
2. Entesopatía del músculo sóleo tibial izquierdo, grado moderado.
3. Faceta de acucillamiento tibial izquierdo en grado intenso.
4. Impronta tibial (femoral derecha).

No se han observado variantes anatómicas epigenéticas.

232. TUMBA DE INHUMACIÓN (3249, 3250, 3251) (Lámina 5.50)

Enterramiento primario e individual situado en el sector Sur de la excavación.

Fosa UE 3251, de forma alargada, estaba excavada en el estrato arcilloso (3223=2051b) y conserva unas dimensiones de 0'50 x 0'47 m. Desde el punto de vista estratigráfico, este enterramiento estaba por encima de otra inhumación (UU.EE 3253, 3254, 3255) sin que le llegue a afectar. Ambas son tumbas pertenecientes a individuos infantiles por lo que habría que esperar para determinar algún tipo de relación de parentesco.

Relleno UE 3249, estaba compuesto por una tierra de textura arcillosa muy compacta con presencia de material antracológico y malacofauna. El material cerámico estaba formado por dos fragmentos sin forma de ánfora indeterminada y fragmentos de borde de olla de cocina de cerámica común romana.

Esqueleto UE 3250, corresponde a un individuo infantil I, con una edad comprendida entre 0 y 6 años, de sexo indeterminado, enterrado en posición de decúbito supino y orientado O-E. El cráneo estaba aplastado y girado hacia el Norte (izquierda). Las extremidades inferiores estaban semiflexionadas y ladeadas hacia el Norte, estando la derecha sobre la izquierda y un poco más elevada; los pies no se conservan. El índice de conservación del esqueleto se ha establecido en un (24,5%).

Evidencias de mortaja a nivel de hombros.

La descomposición es indeterminada.

La estimación de la edad se ha establecido en un rango de edad entre los 4 y 5 años a partir de la observación de la erupción y maduración dental (Ubelaker, 1989).

Sexo indeterminado.

Descomposición en medio vacío.

Desde un punto de vista patológico destacan:

1. Patología infecciosa: reacción perióstica de carácter infeccioso en ambas tibias.

Sin marcadores de actividad observables ni variantes anatómicas epigenéticas.

Ajuar

-(1) (nº inv 0602 bis): Lucerna de disco forma Deneauve VI A completa. Cuerpo troncocónico, pico redondeado delimitado por una línea incisa ligeramente curva. Disco cóncavo con el orificio de alimentación completo con una especie de estrella como elemento decorativo localizado en la base del asa. Asa sobrelevada y perforada. Base plana. Pasta de color naranja sin barniz conservado. Longitud 10,2 cm; diámetro del disco 7 cm; altura del disco 2,3 cm.

233. TUMBA DE INHUMACIÓN (3253, 3254, 3255)

Enterramiento primario e individual localizado en el sector Sur de la excavación.

Fosa UE 3255, es de forma alargada, estaba excavada en el estrato arcilloso (3223=2051b) y conserva unas dimensiones de 1x0'38 m. Desde el punto de vista estratigráfico, este enterramiento estaba por debajo de la inhumación (UU.EE 3251, 3252, 3253) sin que la llegue a afectar. Ambas son tumbas pertenecientes a individuos infantiles por lo que el estudio de laboratorio intentará determinar algún tipo de relación de parentesco.

Relleno UE 3253, estaba compuesto por una tierra de textura arcillosa muy compacta con presencia de material antracológico y malacofauna.

Esqueleto UE 3254, corresponde a un individuo infantil II, de sexo indeterminado, enterrado en posición de decúbito supino y con una orientación de E-O. Se encuentra en buen estado de conservación, el cráneo en posición frontal estaba completo; las extremidades superiores estaban semiflexionadas con las manos sobre las pelvis y las extremidades inferiores estaban extendidas y paralelas entre sí. El índice de conservación del esqueleto se ha establecido en un (29,5%).

La estimación de la edad se ha establecido en un rango de edad entre los 8-9 años a partir de la observación de la erupción y maduración dental (Ubelaker, 1989).

Sexo indeterminado.

Evidencias de mortaja a nivel de hombros.

Descomposición en medio vacío.

Desde un punto de vista patológico destacan:

1. Salud bucodental: caries en las piezas (5.4, 6.4, 7.4 y 8.4) en dentición decidua e hipoplasias en las piezas (4.3, 2.1, 1.1)
2. Patología nutricional, carencial, metabólica: criba orbitaria de tipo porótico.
3. Patología infecciosa: periostitis mandibular interna, periostitis alveolar, periostitis tibio-peronea. Hipovitaminosis, diagnóstico diferencial con el escorbuto.

Sin marcadores de actividad observables ni variantes anatómicas epigenéticas.

TUMBAS DE CREMACIÓN

234. *LOCULUS* (2337, 2338)

Creación ubicada en el sector sur de la excavación

***Loculus* UE 2338**, de forma irregular con unas dimensiones de 54 x 60 cm. Y una potencia alrededor de los 10 cm.

***Relleno* UE 2337**, estaba compuesto por una tierra arcillosa con carbones, huesos calcinados, tachuelas de hierro, fragmentos de cerámica común romana y ánfora itálica.

Metales:

- (nº de inventario 564) Clavo de hierro con cabeza de sección cuadrada y hueca. Está fragmentado y muy oxidado. Longitud conservada 2,9 cm. Diámetro cabeza 2 cm. Grosor 0,7 cm.

Sin restos antropológicos conservados para su estudio de laboratorio.

Formando parte del relleno del *loculus*, se halló una moneda en muy mal estado de conservación que conservaba un peso de 6,9 gr., y un diámetro de 21-26 mm.

235. *LOCULUS* (2347, 2348)

Enterramiento ubicado en el sector Sur de la excavación.

***Loculus* UE 2348**, estaba excavado en el estrato arcilloso de época imperial (2051). Es de forma circular y conservaba una profundidad de 8 cm.

***Relleno* UE 2347**, estaba formado por una tierra de textura arcillosa de color marrón oscuro con presencia de carbones; restos óseos calcinados así como una punta de hierro calcinada.

Moneda hallada en el relleno del *loculus*:

- Antonino Pio (138-161 d.C.). As. Ae. Mal estado de conservación.

236. *LOCULUS* (3208, 3209)

Enterramiento localizado en el sector Sur de la excavación.

***Loculus* UE 3209**, estaba excavado en el estrato arcilloso (3223=2051b). Es de forma rectangular y conserva unas dimensiones de 0'52 x 0'52 m.

***Relleno* UE 3208**, estaba compuesto por una tierra de textura arcillosa compuesto por carbones, un fragmento quemado de cerámica común romana, dos tachuelas de hierro, y varios fragmentos de hueso humano calcinado.

Estudio antropológico:

Los restos óseos corresponden a partes craneales y esqueleto poscraneal haciendo un total de 3,41 gr.

La calidad de la combustión fue intensa alcanzándose una temperatura de más de 500-600°C.

Datos ponderales: neurocráneo (1,50 gr); esplacnocráneo (0,00 gr), cintura escapular y pelvis (0,00 gr); costillas y esternón (0,88 gr), vértebras (0,00 gr); huesos largos (0,48 gr), manos y pies (0,00 gr); restos no identificables (0,55 gr); hueso esponjoso libre (0,00 gr).

NMI: un individuo

Sexo: Indeterminado.

Edad: Infantil I (0-6 años).

Patologías: No se observaron aspectos paleopatológicos.

5.4.3 Fase imperial (siglos II-III d. C)

237. TUMBA DE INHUMACIÓN (2101, 2102, 2159)

Enterramiento primario e individual, localizado en el sector Sur de la excavación.

Fosa UE 2159, era de forma rectangular con sus extremos redondeados, con unas medidas aproximadas de 1.70 x 0.38 m y una profundidad conservada de 35 cm. Estaba excavada en el estrato arcilloso de época imperial (UE 2051). Estratigráficamente estaba afectada por la calzada (UE 2006).

Relleno UE 2101, estaba formado por una tierra de textura arcillosa de color marrón oscuro con carbones y escasa cerámica destacando varios fragmentos de cerámica común romana; un fragmento de ánfora itálica indeterminada y dos fragmentos de *Terra Sigillata Hispanica* sin forma.

Esqueleto UE 2102, corresponde a un individuo adulto, con un rango de edad adulto joven, pudiéndose establecer en una horquilla de edad comprendida entre los 20-25 años. Sexo mujer. Presentaba una orientación NE-SO y estaba enterrado en posición de decúbito supino. La cabeza estaba girada levemente hacia su izquierda (este). Las extremidades superiores se encontraban semiflexionadas, cruzadas sobre el abdomen y con las manos en posición dorsal. Las extremidades inferiores estaban extendidas y paralelas entre sí. El índice de conservación del esqueleto se ha establecido en un (70,5%).

Evidencia de mortaja a la altura de los hombros, rodillas y tobillos.

Edad: en el rango adulto joven (20-40 años), pudiéndose establecer en una horquilla de edad comprendida entre los 25-35 años a partir del desgaste dental tipo 4-5 (Holly-Sthmith, 1984) con una correspondencia de edad entre los 20-25 años (Brothwell, 1991).

Edad: en el rango adulto joven (20-40 años), pudiéndose establecer en un rango de edad comprendida entre los 20-25 años a partir de los métodos empleados y relacionados a continuación.

Métodos:

1. Superficie auricular del ilion: Fase 1 (20).
2. Cuarta costilla (articulación condrocostal): Fase 3 (20-24).

Sexo: mujer (morfológica y antropométricamente, con un 90,91 % de confianza).

Métodos morfológicos: morfología pélvica (ángulo de la escotadura ciática abierta, presencia de surco preauricular).

Métodos antropométricos: la combinación de medidas antropométricas de fémur, aplicando las fórmulas regresivas da un resultado de sexo mujer con un 88,16% de

confianza (diámetro vertical de la cabeza femoral, según fórmula $42,5 \times 0,4865479 - 20,9910026$, punto de corte 0,039055).

Estatura 155-159 cm, según longitud máxima de húmero izquierdo (296mm), radio izquierdo 8223); fémur derecho (428 mm). Se han empleado las tablas y fórmulas regresivas de Nunes de Mendonça y Manouvrier.

Descomposición en medio vacío.

Complexión anatómica: grácil.

Lateralidad indeterminada.

Desde un punto de vista patológico destacan:

1. Salud bucodental: hipoplasias del esmalte en las piezas (1.1, 1.3 y 1.4) a una altura de la línea amelocementaria LAC de 2,5-3 mm; hipoplasias del esmalte en las piezas dentales mandibulares en las piezas (3.2 y 3.3) a una altura de la línea amelocementaria 2,2-3,2 mm caries coronal con afectación a dentina en la pieza dental (2.6) del maxilar; caries en LAC con afectación a dentina en la pieza mandibular (3.6).
2. Patología degenerativa: ligera artrosis de codo bilateral, cavidad de Schmorl entre las vértebras T12 y L1; artrosis bilateral de primera falange del primer dedo
3. Patología traumática: proceso quístico-traumático en la apófisis coracoides; fractura costal consolidada.
4. Patología metabólica, nutricional, carencial: hiperóstosis parietal de 7,2 cm diámetro.

Marcadores de estrés ocupacional: indicadores de una biomecánica relacionada con una actividad continuada de brazos y piernas como consecuencia de sus actividades laborales u ocupacionales:

1. Entesopatía del músculo bíceps braquial radial derecho, grado moderado.
2. Entesopatía del músculo supinador cubital derecho, grado moderado.
3. Entesopatía del músculo tríceps braquial cubital bilateral, grado leve en lado izquierdo, grado moderado lado derecho.
4. Hipertrofia humeral derecho, grado leve.
5. Corredera bicipital izquierda, grado leve.
6. Entesopatía del ligamento redondo bilateral, en grado moderado en lado izquierdo e intenso en lado derecho.
7. Entesopatía del trocánter mayor bilateral, en grado moderado para ambos lados.

8. Entesopatía del músculo sóleo tibial bilateral en grado leve para el lado izquierdo y moderado para el derecho.
9. Retroversión tibial en grado leve para ambos lados.
10. Faceta de acucillamiento tibial bilateral en grado leve para ambos lados.
11. Entesopatía del glúteo mayor bilateral, grado leve APRA el derecho y moderado para el izquierdo.
12. Entesopatía del tendón de Aquiles bilateral, grado leve para ambos lados.

Variantes anatómicas epigenéticas: asimetría de seno frontal derecho, sutura petroescamosa.

Ajuar:

Fauna:

Un único resto, se trata de un fragmento de una *ulna* izquierda de perro (*Canis familiaris*) de talla mediana.

238. TUMBA DE INHUMACIÓN (2141, 2142, 2143)

Enterramiento primario e individual, localizado en el sector Sur de la excavación.

Fosa UE 2143, de forma indeterminada. Muy arrasada, estaba orientada E-O.

Relleno UE 2141, estaba formado por una tierra arcillosa muy compacta con algunos fragmentos de estuco de color rojo.

Esqueleto UE 2142, corresponde a un individuo adulto, con un rango de edad adulto joven pudiéndose establecer en una horquilla de edad comprendida entre los 35 y 40 años. Sexo mujer. Presentaba una orientación E-O y estaba enterrado en posición de decúbito supino. El índice de conservación del esqueleto se ha establecido en un (33,5%). Carecía de cráneo ya que ha sido afectado por una fosa medieval (2169). Los brazos estaban estirados a lo largo del tronco con la mano derecha en posición lateral junto al tercio superior del muslo derecho mientras la mano izquierda estaba en posición lateral sobre el tercio superior del muslo izquierdo. Las extremidades inferiores estaban extendidas con los tobillos enfrentados. El índice de conservación del esqueleto se ha establecido en un (42%).

Evidencias de mortaja a nivel de hombros y pies.

Edad: en el rango adulto joven (20-40 años), pudiéndose establecer en un rango de edad comprendida entre los 35-40 años a partir de los métodos empleados y relacionados a continuación.

Métodos:

1. Superficie auricular del ilion: Fase 4 (35-38).
2. Sínfisis pubis según Suchey-Brooks: Fase 4 (30-40 años).
3. Cuarta costilla (articulación condrocostal): Fase 5 (33-46 años).

Sexo: mujer.

Métodos morfológicos: morfología pélvica (ángulo de escotadura ciática abierto)

Métodos antropométricos: la combinación de medidas antropométricas de fémur, aplicando las fórmulas regresivas da un resultado de sexo mujer con un 88,16% de confianza (diámetro vertical de la cabeza femoral, según fórmula $42 \times 0,4865479 - 20,9910026$, punto de corte 0,039055).

Estatura 160-163 cm, según longitud máxima de cúbito izquierdo (250 mm), fémur derecho (429 mm). Se han empleado las tablas y fórmulas regresivas de Nunes de Mendonça y Manouvrier.

Descomposición en medio aeróbico.

Complexión anatómica: grácil/robusta.

Lateralidad derecha-izquierda, fundamentalmente objetivada por la presencia de mayor desarrollo de las entesopatías de extremidades superiores/inferiores.

Desde un punto de vista patológico destacan:

1. Patología degenerativos: artrosis gleno humeral izquierda, artrosis bilateral de codo, artrosis bilateral de primer metacarpiano con eburnación, artrosis coxofemoral, ligera gonoartrosis de tibia derecha, osteofitos lumbares, artrosis dorso-lumbar, cavidades de Schmorl a nivel de vértebras dorsales bajas, uncartrosis dorso-lumbar.
2. Patología infecciosa: Pleuritis encara interna de las costillas, periostitis en la cara media medial de la tibia derecha.

Marcadores de estrés ocupacional: indicadores de una biomecánica relacionada con una actividad continuada de brazos y piernas como consecuencia de sus actividades laborales u ocupacionales:

1. Entesopatía del músculo pectoral mayor bilateral, grado intenso.
2. Hipertrofia humeral bilateral, grado intenso.
3. Hipertrofia de falanges izquierda, grado moderado.
4. Entesopatía isquiones bilateral, grado intenso.
5. Entesopatía del ligamento redondo bilateral, en grado intenso para ambos lados.

6. Entesopatía de línea áspera bilateral en grado intenso.
7. Entesopatía del glúteo mayor bilateral, en grado intenso.

Variantes anatómicas epigenéticas: perforación olecraneana izquierda.

Metales:

- (nº de inventario 530) Varios clavos de hierro con cabeza, de pequeño tamaño. Dimensiones conservadas: aprox. 2 x 1 cm. La presencia de clavos y la descomposición en medio vacío indica la posibilidad de un ataúd.

239. TUMBA DE INHUMACIÓN (2170, 2171, 2172) (Lámina 5.51)

Enterramiento primario e individual, localizado en el sector Sur de la excavación.

Fosa UE 2172, localizada en el sector sur de la excavación, orientada E-O. Era de forma rectangular. Conservaba unas dimensiones de 155 x 33 cm y una profundidad de 23 cm.

Relleno UE 2170, estaba formado por una tierra arcillosa de color marrón oscuro, con abundantes carbones, hueso quemado, escoria de hierro, una epífisis de herbívoro seccionada limpiamente por un utensilio cortante, y más huesos de animal fragmentados, además de cerámica: fragmentos informes de cerámica común romana, cerámica de cocina (dos bordes de olla), parte de base y pico de una lucerna quemada y *Terra Sigillata Africana* tipo A. Hay dos clavos de hierro y una tachuela, también de hierro, pegado a la 4ª vértebra lumbar.

Esqueleto UE 2171, corresponde a un individuo adulto, con un rango de edad adulto maduro pudiéndose establecer en una horquilla de edad comprendida entre los 50-55 años. Sexo mujer. Presentaba una orientación E-O y estaba enterrado en posición de decúbito supino, la cabeza estaba en posición frontal. La extremidad superior derecha semiflexionada en ángulo recto, final del cúbito y el radio sobre las vértebras lumbares. La extremidad superior izquierda flexionada sobre el pecho, con los dedos de la mano caídos sobre el tronco. La extremidad inferior derecha sobreelevada y semiflexionada formando un ángulo abierto respecto a la columna, las últimas falanges de los pies apoyadas en la pared de la fosa. La extremidad inferior izquierda también sobreelevada y con las últimas falanges apoyadas en la pared de la fosa. El índice de conservación del esqueleto se ha establecido en un (74,5%).

Evidencias de mortaja a nivel de hombros.

Edad: en el rango adulto maduro (40-60 años), pudiéndose establecer en un rango de edad comprendida entre los 50-55 años a partir de los métodos empleados y relacionados a continuación.

Métodos:

1. Superficie auricular del ilion: Fase 7 (50-55).
2. Sífnisis pubis según Suchey-Brooks: Fase 6: >50 años.

Sexo: mujer.

Métodos morfológicos: morfología pélvica (ángulo de escotadura ciática abierto, presencia de surco preauricular)

Métodos antropométricos: la combinación de medidas antropométricas de fémur, aplicando las fórmulas regresivas da un resultado de sexo mujer con un 88,16% de confianza (diámetro vertical de la cabeza femoral, según fórmula $42,5 \times 0,4865479 - 20,9910026$, punto de corte 0,039055).

Estatura 145,5-153 cm, según longitud máxima de húmero izquierdo (291 mm), radio izquierdo (199 mm), cúbito izquierdo (214 mm). Se han empleado las tablas y fórmulas regresivas de Nunes de Mendonça y Manouvrier.

Descomposición en medio vacío.

Complexión anatómica: grácil.

Lateralidad derecha, fundamentalmente objetivada por la presencia de mayor desarrollo de las entesopatías de extremidades superiores/inferiores.

Desde un punto de vista patológico destacan:

1. Salud bucodental: hipoplasias del esmalte en la pieza del maxilar (2.3) a una altura de la línea amelocementaria LAC de 3,5 mm; hipoplasias del esmalte en las piezas mandibulares (3.3, 3.4, 4.3, 4.4, 4.5) a una altura de la línea amelocementaria entre los 2 y 4 mm; apiñamiento de la pieza mandibular (4.2) sobre (4.3); posible tumoración en el lado derecho de la mandíbula a la altura de la pieza (4.6).
2. Patología infecciosa: reacción perióstica en parte media de la tibia derecha.
3. Patología degenerativa: artrosis esterno-clavicular izquierda, artrosis gleno-humeral izquierda, ligera artrosis de codo derecho, ligera artrosis cervical, artrosis costo vertebral, ligera artrosis torácica de dorsales medias, artrosis lumbo-sacra transicional con osteofitosis anteriores, coxoartrosis derecha acusada, artrosis patelar con eburnación.
4. Patología inflamatoria: osteoartritis del primer dedo interfalángica proximal,
5. Patología traumática: torsión de tercer metacarpiano izquierdo.
6. Patología metabólica, nutricional, carencial: criba femoral izquierda a una distancia de 18,5 x 20,5mm.

Marcadores de estrés ocupacional: indicadores de una biomecánica relacionada con una actividad continuada de brazos y piernas como consecuencia de sus actividades laborales u ocupacionales:

1. Entesopatía del ligamento coracoides derecho, grado leve.
2. Entesopatía del músculo bíceps braquial radial izquierdo, grado leve.
3. Entesopatía del músculo supinador cubital bilateral, grado leve.
4. Entesopatía del músculo tríceps braquial cubital bilateral, grado leve.
5. Entesopatía del músculo pectoral mayor bilateral, grado leve.
6. Corredera bicipital bilateral, grado leve para el derecho, grado moderado para el izquierdo.
7. Hipertrofia de falanges izquierda, grado moderado.
8. Entesopatía del ligamento redondo bilateral, en grado intenso para ambos lados
9. Entesopatía de línea áspera bilateral en grado moderado.
10. Entesopatía del trocánter mayor bilateral, en grado intenso.
11. Entesopatía del ligamento rotuliano en rótula derecho, grado intenso.
12. Entesopatía del músculo sóleo tibial derecho en grado leve.
13. Faceta de acucillamiento tibial derecho en grado leve.

Variantes anatómicas epigenéticas: No se observan.

Ajuar:

- Varios fragmentos de un olpe depositados a la altura de la cabeza.

Metales:

- (1) (nº de inventario 531) Un clavo de hierro con cabeza de sección cuadrada, muy afectado por el óxido. Dimensiones conservadas: altura 5 cm; sección 0,5 cm; diámetro de la cabeza 2,5 cm aprox.

- (2) (nº de inventario 532) Una tachuela de hierro de cabeza redondeada. Punta curva de sección cuadrada de 0,4 cm. Dimensiones conservadas: altura 1,5 cm; diámetro de la cabeza 1,5 cm aprox.

- (nº de inventario 533) Una tachuela de hierro en mal estado de conservación.

240. TUMBA DE INHUMACIÓN (2181, 2182, 2183) (Lámina 5.52)

Enterramiento primario e individual, localizado en el sector Sur de la excavación.

Fosa UE 2183, excavada en el estrato arcilloso (2051) de forma trapezoidal. Estaba orientada E-O, conservaba una profundidad máxima de 16cm y unas dimensiones de 180x41.

Relleno UE 2181, es de tierra arcillosa de color marrón oscuro, muy plástica con abundantes carbones, clavos de hierro, huesos calcinados, caracoles y cerámica. Entre el material de relleno, cabe mencionar un fragmento de borde de tinajita y otro de asa de anforisco, de cerámica común romana aparte del ajuar que se verá más adelante.

Esqueleto UE 2182, corresponde a un individuo adulto, con un rango de edad adulto joven pudiéndose establecer en una horquilla de edad comprendida entre los 21-25 años. Sexo mujer. Presentaba una orientación E-O y estaba enterrado en posición de decúbito supino. La cabeza ladeada hacia la izquierda (S) y apoyada sobre el hombro izquierdo. La extremidad superior izquierda estaba flexionada sobre el tórax con la mano en posición dorsal flexionada hacia abajo sobre el esternón. La extremidad superior derecha estaba en igual posición pero la mano se encuentra sobre la mano izquierda, más extendida y en una posición más elevada que la izquierda. Las extremidades inferiores estaban extendidas, con los talones enfrentados y los dedos extendidos formando un ángulo de 180 grados con la tibia. Los pies estaban unidos a la altura de los tobillos. El índice de conservación del esqueleto se ha establecido en un (56,5%).

Evidencias de mortaja visibles en la posición de las clavículas, comprimidas en forma de V, la posición de las extremidades superiores, semiflexionadas sobre el pecho y por último, las piernas, unidas a la altura de los tobillos.

Edad: en el rango adulto joven (20-40 años), pudiéndose establecer en un rango de edad comprendida entre los 21-25 años a partir de los métodos empleados y relacionados a continuación.

Métodos:

1. Sínfisis pubis según Suchey-Brooks: Fases 1-2 (20-25 años).

Sexo: mujer (morfológica y antropométricamente, con un 90,91 % de confianza).

Métodos morfológicos: morfología craneal (apófisis mastoides pequeñas, mentón protuyente) y pélvica (ángulo de la escotadura ciática abierto).

Métodos antropométricos: la combinación de medidas antropométricas de fémur, aplicando las fórmulas regresivas da un resultado de sexo mujer con un 90,91% de

confianza (anchura epicondilar + diámetro vertical de la cabeza femoral, según fórmula $70,5 \times 0,1545610 + 40 \times 0,2482526 - 22,4541154$, punto de corte $-0,122985$).

Descomposición en vacío.

Complexión anatómica: grácil.

Lateralidad derecha, fundamentalmente objetivada por la presencia de mayor desarrollo de las entesopatías de extremidades superiores.

Desde un punto de vista patológico destacan:

1. Salud bucodental: hipoplasias del esmalte en las piezas maxilares (1.3, 1.2, 1.1, 2.1, 2.2, 2.3) a una altura de la línea amelocementaria LAC de 2-4,5 mm; y en las piezas mandibulares (3.1, 4.2, 4.3) a una altura de la línea amelocementaria de 2,5-4mm.
2. Patología degenerativa: cavidades Schmorl en las vértebras torácicas 8 y 11.
3. Patología metabólica, nutricional, carencial: hiperóstosis frontal y parietal derecha; criba orbitaria porótica tipo 1.

Marcadores de estrés ocupacional: indicadores de una biomecánica relacionada con una actividad continuada de brazos y piernas como consecuencia de sus actividades laborales u ocupacionales:

1. Cintura escapular: sindesmosis costal bilateral, grado leve para el lado izquierdo y moderado para el derecho.
2. Entesopatía del músculo supinador cubital derecho, grado moderado.
3. Hipertrofia humeral bilateral, grado leve para ambos lados.
4. Corredera bicipital bilateral, grado intenso para ambos lados.
5. Entesopatía del ligamento redondo izquierdo, en grado moderado.
6. Entesopatía del músculo sóleo tibial izquierdo, grado leve para ambos lados
7. Retroversión tibial bilateral, grado leve para ambos lados.
8. Faceta de acucillamiento tibial bilateral, grado leve para ambos lados.

Variantes anatómicas epigenéticas: No se han descrito.

Ajuar depositado en el lado derecho, junto a la cabeza.

- (1) (nº interés Museístico 0616) Cerámica común romana. Posible forma Vegas, 40. Jarra de dos asas con cuello poco diferenciado, de borde engrosado y ligeramente exvasado al exterior. Dos asas verticales acintadas pegadas al labio. Galbo piriforme, base de solera incipiente. Pasta amarilla-beige sin tratamiento aparente. Diámetro borde

6,3 cm; Diámetro de base 5 cm; Altura conservada 13 cm; Diámetro máximo 8,2 cm. Cronología aproximada a partir de finales del siglo II- III d. C.

- (2) (nº interés Museístico 0629) Cerámica común romana. Cuenco hemiesférico. Forma posible Vegas, tipo 20. Labio vertical engrosado, base de solera incipiente. Superficie exterior de color beige, presenta una marca de apilamiento de color naranja en la mitad inferior. El interior es de color naranja. La pasta es de color naranja con inclusiones calizas. Diámetro borde 12 cm; Diámetro base 5 cm; Altura conservada 6,2 cm. Cronología: s. II d. C.

- (3) (nº interés museístico 0659): Lucerna de disco forma Deneauve VIIIB. Cuerpo troncocónico, pico redondeado delimitado por una línea incisa ligeramente curva. Disco cóncavo con el orificio de alimentación roto y el de aireación en la parte inferior. Pequeña asa sobreelevada y perforada. Base plana delimitada por dos círculos incisos. Hombro Loeschcke VIb con las molduras desgastadas. Pasta de color beige sin barniz conservado. Pieza fragmentada. Longitud 10,4cm; diámetro del disco 7,4 cm; altura del disco 2,5 cm. Cronología: s. II d. C.

Metales:

- (nº de inventario 535) Varios clavos de hierro muy fragmentados y mal conservados. La presencia de varios clavos y la descomposición en medio vacío indica la posibilidad de un ataúd.

Malacofauna:

- *Cardium edule* completo.

241. TUMBA DE INHUMACIÓN (2186, 2187, 2187 B, 2188)

Enterramiento primario e individual, localizado en el sector central de la excavación.

Fosa UE 2188, tiene una forma elíptica aunque estaba muy arrasada por estructuras posteriores por lo que solo se ha conservado la base. Las dimensiones conservadas eran de 0'73 m. por 0'40 m. y con una profundidad de 6 cm. Estaba orientada O-E.

Relleno UE 2186, de la tumba es una tierra de arcillosa en la que había algunos carbones y presencia de caracoles. Se han hallado fragmentos de cerámica común, un borde de cáscara de huevo y tres bases de paredes finas.

Esqueleto UE 2187, corresponde a un individuo infantil II (6 años), estaba enterrado en posición decúbito supino, con una orientación O-E. El estado de conservación del cráneo es deficiente ya que se conserva parte de la mandíbula, el maxilar izquierdo así como el occipital y parte de los temporales. Las extremidades superiores semiflexionadas sobre el abdomen y las extremidades inferiores semiflexionadas y colocadas sobre el lado

derecho. El esqueleto se adaptaba a la fosa quedando el tórax más elevado con respecto al coxal. El índice de conservación del esqueleto se ha establecido en un (22%).

Edad: aproximada de 6 años \pm 24 meses según el esquema dental de erupción y maduración dental de Ubelaker.

Sexo: indeterminado.

Estatura: indeterminada.

Descomposición en medio vacío visible.

Lateralidad indeterminada.

Desde un punto de vista patológico destacan:

Patología metabólica, carencial y nutricional: ligera periostitis tibial bilateral.

Sin marcas de actividad repetida.

Variantes anatómicas epigenéticas: No se observan.

Esqueleto UE 2187 B

Durante el estudio antropológico y paleopatológico de laboratorio se documentaron restos maxilares pertenecientes a un individuo adulto.

Edad: en el rango adulto joven (20-40 años), pudiéndose establecer en una horquilla de edad comprendida entre los 25-35 años a partir del desgaste dental tipo 4-5 (Holly-Sthmith, 1984) con una correspondencia de edad entre los 25-35 años (Brothwell, 1991).

El sexo es indeterminado.

Desde un punto de vista patológico destacan:

1. Salud bucodental: hipoplasias del esmalte en las piezas 1.3, 2.3 a una altura de la línea amelocementaria LAC de 3-4 mm.

242. TUMBA DE INHUMACIÓN INFANTIL (2197, 2198, 2199)

Enterramiento primario e individual, localizado en el sector sur de la excavación.

Fosa UE 2199, excavada en matriz arcillosa (2051) de forma indeterminada en mal estado de conservación. Estaba orientada E-O.

Relleno UE 2197, estaba compuesto por tierra arcillosa de color marrón rojizo de textura muy plástica, con abundantes carbones y caracoles. No se ha recuperado ningún material ni clavos del ataúd.

Esqueleto UE 2198, corresponde a un individuo prematuro de 38 semanas (224 días) de edad según Balthazard y Dervieux. Estaba enterrado a 50° Norte, con la cabeza al E y los pies al O, y con una estatura de 40'5cm (estimación directa). Estaba en posición decúbito lateral derecho, con el brazo derecho extendido, y el izquierdo sobre el costado izquierdo. Las extremidades inferiores estaban prácticamente arrasadas, por lo que es imposible determinar la posición que tenían. En general, el esqueleto estaba muy deteriorado, por lo que la información obtenida se limitará a la que se pueda extraer del estudio antropológico de laboratorio. El índice de conservación del esqueleto se ha establecido en un (19,5%).

No hay evidencias de amortajamiento ni de descomposición en vacío.

Ausencia de ajuar relacionado con el enterramiento.

243. TUMBA DE INHUMACIÓN INFANTIL (2200, 2201, 2202)

Enterramiento primario e individual, localizado en el sector suroeste de la excavación.

Fosa UE 2202, de forma rectangular estaba orientada NE-SO y conservaba unas dimensiones de 63 x 20 cm, con una profundidad de 12 cm.

Relleno UE 2200, estaba compuesto por una tierra de textura arcillosa de color marrón oscuro con bastantes carbones, hueso quemado fragmentado, posiblemente de fauna, y escasa cerámica: 2 fragmentos informes de cerámica común romana.

Esqueleto UE 2201, corresponde a un individuo infantil, con una edad comprendida entre los 6-9 meses hasta el año de edad, edad estimada por dentición (Ubelaker). La edad estimada por la medición de la tibia derecha y el fémur derecho da una edad de 317 y 358 días respectivamente (Balthazard y Dervieux). Estaba enterrado en posición decúbito supino, con la cabeza ladeada hacia la derecha (sur). La extremidad superior derecha semiflexionada a la altura del tronco, el húmero izquierdo debajo de la cabeza y junto al tronco, cúbito y radio cruzados, y dedos de la mano junto a la pelvis. Las extremidades inferiores estaban extendidas y juntas. El índice de conservación del esqueleto se ha establecido en un (36,5%).

Amortajamiento evidenciado en la posición de las clavículas, comprimidas en forma de "v", y los pies juntos.

Descomposición en medio vacío visible en el húmero derecho y los coxales caídos.

244. TUMBA DE INHUMACIÓN (2225, 2226, 2227)

Enterramiento primario e individual, localizado en el sector sur de la excavación.

Fosa UE 2227, de forma rectangular con unas dimensiones conservadas de 0'70 m. por 0'34 m. y una profundidad conservada de 3 cm. Su orientación era O-E.

Relleno UE 2225, de la tumba estaba formado por una tierra arcillosa con escaso material cerámico.

Esqueleto UE 2226, corresponde a un individuo infantil II, con una edad estimada de 10-12 años. Presentaba una orientación O-E y estaba enterrado en posición de decúbito supino. El cráneo ladeado hacia la izquierda y forzado hacia atrás. Las extremidades superiores aparecieron cruzadas sobre la pelvis estando la izquierda por encima de la derecha. La parte izquierda del esqueleto no se conserva, y las extremidades inferiores que se extienden más allá del límite oeste de la excavación. El índice de conservación del esqueleto se ha establecido en un (40%).

La descomposición del cuerpo se produjo en medio en vacío.

Lateralidad indeterminada.

Desde un punto de vista patológico destacan:

1. Patología metabólica, nutricional, carencial: criba femoral porótica, periostitis en cara interna del cuello femoral derecho.

Variantes anatómicas epigenéticas: retención de la sutura metódica.

Ausencia de ajuar relacionado con el enterramiento.

245. TUMBA DE INHUMACIÓN (2244, 2245, 2246)

Enterramiento primario e individual, localizado en el sector suroeste de la excavación.

Fosa UE 2246, de forma indeterminada, estaba orientada E-O con unas dimensiones conservadas de la fosa son de 45 x 25 cm y una profundidad de 18 cm.

Relleno UE 2244, estaba formado por una tierra de textura arcillosa con abundantes carbones, hueso quemado, varios fragmentos de hueso de animal sin determinar, un fragmento de hierro indeterminado, dos pequeñas tachuelas también de hierro, y escasa cerámica: dos fragmentos informes de ánfora, posiblemente de la Bética, dos fragmentos informes y una base completa de ollita de cerámica de cocina, y fragmentos informes de cerámica común romana.

Esqueleto UE 2245, corresponde a un individuo infantil I, con una edad estimada de 5 años \pm 16 meses. Presentaba una orientación E-O y estaba enterrado en posición de decúbito supino. La cabeza estaba ladeada hacia la derecha (Norte). La extremidad superior derecha estaba semiflexionada y separada del tronco, sólo conserva el cúbito y el radio, de la extremidad superior izquierda sólo conserva parte del húmero, pegado al tronco.

Amortajamiento evidenciado en la posición del brazo izquierdo, muy pegado al tronco.

Descomposición en vacío visible en la desarticulación de ambas clavículas.

Sin hallazgos paleopatológicos.

Metales:

- (nº de inventario 544) Dos tachuelas de hierro.
- (nº de inventario 545) Punta de clavo de hierro sin cabeza de sección cuadrada Dimensiones conservadas: 6,8 x 1,3 cm.
- (nº de inventario 546) Una tachuela de hierro con cabeza redondeada. Punta curvada de sección cuadrada de 0,3 cm. Dimensiones conservadas: altura 1,3 cm; diámetro de la cabeza 0,7 cm.

246. TUMBA DE INHUMACIÓN (2253, 2254, 2255) (Lámina 5.53)

Enterramiento primario e individual, localizado en el sector sur de la excavación.

Fosa UE 2255, de forma rectangular reconocida a partir de la disposición de los clavos del ataúd localizados durante el proceso de excavación. Tiene unas dimensiones de 1,77 m. x 0,46 m. y una profundidad relativa entre 0,35m. / 0,14 m. Estaba orientada E – O.

Relleno UE 2253, de la tumba estaba compuesto por una tierra arcillosa muy compacta y con una tonalidad marrón oscuro. Señalar la presencia de malacofauna y nódulos de carbón en grado medio así como hueso en grado escaso. Respecto al material cerámico se recuperaron fragmentos de ánfora, de cerámica de cocina y fragmentos del borde de una tapadera, forma Hayes 196 u Ostia I, 261)

Esqueleto UE 2254, corresponde a un individuo adulto, con un rango de edad adulto joven, pudiéndose establecer en una horquilla de edad comprendida entre los 35-40 años. Sexo mujer. Presentaba una orientación E-O y estaba enterrado en posición de decúbito supino. El cráneo apareció ladeado hacia la izquierda. Las extremidades superiores estaban semiflexionadas a la altura del pecho, encontrándose la derecha bajo la izquierda. Las extremidades inferiores se hallaron extendidas a lo largo de cuerpo con los talones enfrentados. El índice de conservación del esqueleto se ha establecido en un (48,5%).

Se evidenciaron signos de mortaja a la altura de los hombros.

Edad: en el rango adulto joven (20-40 años), pudiéndose establecer en una horquilla de edad comprendida entre los 35-40 años a partir del desgaste dental tipo 5 (Holly-Sthmith, 1984) con una correspondencia de edad entre los 33-45 años (Brothwell, 1991).

Sexo: mujer.

Métodos morfológicos: morfología craneal (frente vertical, borde orbitario cortante, apófisis mastoides pequeñas); morfología pélvica (ángulo de escotadura ciática abierto).

Métodos antropométricos: la combinación de medidas antropométricas de fémur, aplicando las fórmulas regresivas da un resultado de sexo mujer con un 88,16% de confianza (diámetro vertical de la cabeza femoral, según fórmula $40 \times 0,4865479 - 20,9910026$, punto de corte 0,039055).

Estatura indeterminada.

Descomposición en medio vacío.

Complexión anatómica: grácil.

Lateralidad derecha, fundamentalmente objetivada por la presencia de mayor desarrollo de las entesopatías de extremidades superiores.

Desde un punto de vista patológico destacan:

1. Salud bucodental: fractura en cara vestibular de la pieza dental del maxilar 1.5; hipoplasias del esmalte en las piezas maxilares (1.1, 1.2, 1.3, 1.4, 1.6, 1.7, 1.8, 2.1, 2.2, 2.3, 2.4, 2.5, 2.6) a una altura de la línea amelocementaria entre los 2 y 6 mm; y en las piezas mandibulares (3.2, 3.3, 3.4, 3.7, 3.8, 4.1, 4.2, 4.3, 4.4, 4.5) a una altura de la línea amelocementaria LAC entre los 1,5 y 5 mm.
2. Patología infecciosa: pleuritis granulomatosa en cara visceral de costillas.
3. Patología degenerativa: ligera artrosis de codo derecho, leves osteofitos a nivel lumbar, leve artrosis patelar derecha, artrosis de primera falange del pie derecho.
4. Patología metabólica, nutricional, carencial: leve criba orbitaria porótica derecha.

Marcadores de estrés ocupacional: indicadores de una biomecánica relacionada con una actividad continuada de brazos y piernas como consecuencia de sus actividades laborales u ocupacionales:

1. Cintura escapular: sindesmosis costal derecha, grado leve; entesopatía del ligamento costoclavicular bilateral en grado moderado para ambos lados; entesopatía del ligamento conoideo bilateral en grado moderado para el lado izquierdo e intenso en el derecho.
2. Entesopatía del músculo bíceps braquial radial bilateral, grado leve.

3. Entesopatía del músculo supinador cubital derecho, grado intenso.
4. Entesopatía del músculo tríceps braquial cubital derecho, grado intenso.
5. Entesopatía del músculo pectoral mayor derecho, grado moderado.
6. Hipertrofia de falanges bilateral, grado moderado.
7. Entesopatía del ligamento redondo izquierdo, en grado moderado.
8. Entesopatía de línea áspera izquierdo en grado leve
9. Entesopatía del glúteo mayor izquierdo, en grado moderado.

Variantes anatómicas epigenéticas: sutura petroescamosa bilateral.

Ajuar

Localizado a la altura de las rodillas

- (1) (nº interés Museístico 0633). Cerámica común romana. Olpe. Labio saliente, galbo piriforme, base de solera incipiente. Asa vertical acintada, pegada al borde. Superficie y pasta amarilla sin tratamiento ni desgrasante aparente. Diámetro de borde: 5,2 cm; diámetro máximo 8,8 cm; Diámetro de base: 4,8 cm; Altura conservada 14,2 cm.

Metales:

- (2) (nº de inventario 548). Clavo de hierro de sección cuadrada. Dimensiones conservadas: 4 cm x 0,7 cm. Posiblemente formaría parte del ataúd.

- (3) (nº de inventario 549). Un punzón de hierro de sección circular. Dimensiones conservadas: 2,6 x 0,5 cm.

- (4) (nº de inventario 550). Cinco clavos de hierro con cabeza. La altura máxima conservada: 6'8 cm. Grosor: 0'6 cm. Estos clavos formarían parte del ataúd.

247. TUMBA DE INHUMACIÓN (2275, 2276, 2277)

Enterramiento primario e individual, localizado en el sector S.O de la excavación.

Fosa UE 2277, estaba excavada en el estrato arcilloso (2051) y afectada en su lado Norte por la fosa medieval (2169). Era un enterramiento rectangular con sus extremos redondeados, con unas dimensiones conservadas de 1.44 x 0.32 m y una profundidad aproximada de 47 cm.

Relleno UE 2275, estaba formado por una tierra arcillosa de color marrón con abundantes carbones, caracoles necrófagos y material cerámico formado por: 1 fragmento de *Terra Sigillata Hispanica* de forma indeterminada con restos de decoración aplicada; 1 fragmento de cubilete de Paredes Finas, forma Mayet II y 1 fragmento de otro cubilete con restos de decoración en su superficie; 1 fragmento de base de plato de cerámica campaniense B, forma 5 ó 7 de Lamboglia; 1 fragmento de boca de un cubilete

de Paredes Finas “cáscara de huevo”; 1 fragmento de cerámica común romana; varios fragmentos de galbo de ánfora itálica de tipo indeterminado; 5 fragmentos de *Terra Sigillata Africana*, Hayes 14 A – Lamboglia 3 a.

Esqueleto UE 2276, corresponde a un individuo adulto, con un rango de edad adulto joven- maduro, pudiéndose establecer en una horquilla de edad comprendida entre los 35 y 45 años. Sexo mujer. Presentaba una orientación E-O y estaba enterrado en posición de decúbito supino. La cabeza estaba aplastada y se encontraba hacia el frente. Las extremidades superiores conservan el cubito y radio izquierdos sobre el abdomen; el tercio superior del húmero derecho y parte de las falanges de la mano derecha. Las extremidades inferiores estaban estiradas y paralelas entre sí. Del tórax se conservan parte de las costillas, vértebras y la clavícula derecha. El índice de conservación del esqueleto se ha establecido en un (46,5%).

Evidencias de mortaja a nivel de hombros y rodillas.

Edad: en el rango adulto joven (20-40 años), pudiéndose establecer en un rango de edad comprendida entre los 30-35 años a partir de los métodos empleados y relacionados a continuación.

Métodos:

1. Superficie auricular del ilion: Fase 3,4 (30-38).
2. Sínfisis pubis según Suchey-Brooks: Fase 3-4: 30-35 años.

Sexo: mujer.

Métodos morfológicos: morfología pélvica (cresta ilíaca abierta, ángulo de escotadura ciática abierto, surco preauricular marcado).

Métodos antropométricos: la combinación de medidas antropométricas de húmero, aplicando las fórmulas regresivas da un resultado de sexo mujer con un 83,08% de confianza (diámetro vertical de la cabeza humeral, según fórmula $35 \times 0,4136169 - 17,5369729$, punto de corte $-0,05569$).

Métodos antropométricos: la combinación de medidas antropométricas de fémur, aplicando las fórmulas regresivas da un resultado de sexo mujer con un 88,16% de confianza (diámetro vertical de la cabeza femoral, según fórmula $38,5 \times 0,4865479 - 20,9910026$, punto de corte $0,039055$).

Estatura 140-148 cm, según longitud máxima de radio izquierdo (192 mm) y fémur izquierdo (382 mm). Se han empleado las tablas y fórmulas regresivas de Nunes de Mendonça y Manouvrier.

Descomposición en medio vacío.

Complexión anatómica: grácil.

Lateralidad derecha, fundamentalmente objetivada por la presencia de mayor desarrollo de las entesopatías de extremidades inferiores.

Desde un punto de vista patológico destacan:

1. Salud bucodental: apiñamiento frontal de incisivos centrales y laterales en piezas mandibulares; banda de hipoplasias del esmalte en la pieza del maxilar (2.1) a una altura de la línea amelocementaria LAC de 4 mm; bandas y líneas de hipoplasias en las piezas dentales mandibulares en (3.2, 3.3, 3.4, 3.5, 3.6, 3.7, 4.3, 4.4, 4.5, 4.7, 4.8) a una altura de la LAC de 1-2,3 mm; caries oclusal con afectación a pulpa de la pieza mandibular (4.6) con afectación en la pieza molar (4.5), caries en LAC con afectación a dentina de la pieza (3.6).
2. Patología vascular: corpúsculo de Paccioni.

Marcadores de estrés ocupacional: indicadores de una biomecánica relacionada con una actividad continuada de brazos y piernas como consecuencia de sus actividades laborales u ocupacionales:

1. Cintura escapular: sindesmosis costal bilateral, grado intenso.
2. Entesopatía del músculo bíceps braquial radial derecho, grado moderado, entesopatía del ligamento costoclavicular izquierdo, grado moderado.
3. Entesopatía del músculo supinador cubital izquierdo, grado intenso.
4. Entesopatía del músculo tríceps braquial cubital izquierdo, grado intenso.
5. Entesopatía del músculo pectoral mayor derecho, grado moderado.
6. Hipertrofia humeral derecho, grado leve.
7. Corredera bicipital derecho, grado leve.
8. Entesopatía isquiática derecha.
9. Entesopatía del ligamento redondo bilateral, en grado leve en lado izquierdo e intenso en lado derecho.
10. Entesopatía de línea áspera bilateral, en grado intenso para ambos lados.
11. Entesopatía del músculo sóleo tibial derecho, grado leve.
12. Impronta tibial bilateral, grado intenso.
13. Espina tibial bilateral, en grado moderado.
14. Marca de parto.

Variantes anatómicas epigenéticas: No se observan.

Ajuar:

- (nº interés Museístico 0627) *Terra Sigillata Africana* Hayes 14 A / Lamb. 3. Cuenco carenado de borde saliente y labio engrosado, base anillada. Pasta de color anaranjado con superficie e interior engobado. Diámetro de borde 16 cm, Diámetro de base 7 cm, Altura 5,6 cm. Cronología: s. I-II d. C.

- (nº interés Museístico 0657) Lucerna de pico forma Deneauve VII A - Dressel - Lamb. 17, 19 y 20. Dos molduras delimitan el disco, posiblemente decorado como se aprecia en el lado derecho: dos líneas paralelas en relieve, ligeramente inclinadas. Asa plana sobreelevada con perforación y sin decoración. Pico corto redondeado y plano. No se conserva la base ni parte de la cazuela. Pasta beige con restos de engobe, color marrón con reflejos rojizos. Cronología: finales del Siglo I d.C., principios del II d. C. No se ha dibujado debido al mal estado de conservación.

- (nº interés Museístico 0662) Botella de vidrio de forma paralelepípeda, base cuadrada y plana. Altura conservada 23 cm, anchura 9,5 cm. Cronología: s. I-II d. C (Mezquíriz, 2002-03).

248. TUMBA DE INHUMACIÓN INFANTIL (2316)

Durante los trabajos de laboratorio, se documentaron los restos esqueletizados de un individuo infantil identificado por la unidad estratigráfica **UE 2316**. Corresponde a un individuo infantil II, con una edad estimada de 8-9 años determinada a partir de la erupción y maduración dental de Ubelaker. El índice de conservación del esqueleto se ha establecido en un (4%). No se han descrito patologías ni variantes epigenéticas.

249. TUMBA DE INHUMACIÓN INFANTIL (2292, 2293, 2294) (Lámina 5.54)

Enterramiento primario e individual, localizado en el sector S de la excavación.

Fosa UE 2294, era de forma rectangular, estaba orientada E-O y conservaba una profundidad máxima de 21cm y unas dimensiones de 156 × 44.

Relleno UE 2292, estaba compuesto por una tierra arcillosa de color marrón oscuro, de textura muy plástica con abundantes carbones, huesos, caracoles y cerámica perteneciente al ajuar.

Esqueleto UE 2293, Corresponde a un individuo infantil II de aproximadamente 7 años ± 24 meses según Ubelaker. Presentaba una orientación E-O y estaba enterrado en posición de decúbito supino. La cabeza ladeada hacia la derecha (N) y apoyada sobre el hombro derecho. La extremidad superior izquierda estaba semiflexionada con la mano en posición dorsal –aunque no se conserva, se deduce por la posición del cúbito y el

radio- sobre el abdomen. La extremidad superior derecha estaba extendida a lo largo del cuerpo, tampoco se conserva la mano. Las extremidades inferiores estaban extendidas, con los talones enfrentados y los dedos extendidos formando un ángulo de 180 grados con las tibias. Los pies estaban unidos a la altura de los tobillos. El índice de conservación del esqueleto se ha establecido en un (34%).

Evidencias de mortaja en la posición de las clavículas, comprimidas en forma de V, la posición de la extremidad superior izquierda, semiflexionada sobre el abdomen y por último, las piernas, unidas a la altura de los tobillos.

Edad: 7 años \pm 24 meses según Ubelaker.

Sexo: indeterminado.

Descompuesto en un medio vacío, visible en la desarticulación de húmero y radio izquierdos (caídos) y apertura de los coxales. Cabe destacar que la cabeza se encuentra en una posición forzada, comprimida sobre el hombro derecho debido a que el cráneo descansa sobre una cabecera de tierra.

Desde un punto de vista patológico destacan:

1. Salud bucodental: hipoplasias del esmalte en las piezas (5.1, 5.2, 6.1 y 7.1, 8.1) a una altura de la línea amelocementaria LAC de 2,5-5 mm; caries en línea amelocementaria en la pieza del maxilar (5.4) con afectación a dentina.
2. Patología metabólica, nutricional, carencial: criba orbitaria tipo trabecular; criba femoral tipo cribótico y porosis en la *pars basilaris*.

Ajuar

Depositado a los pies del esqueleto.

- (1) (nº Interés Museístico 0650) *Terra Sigillata Africana*. Hayes 8 A. Copa carenada con borde redondeado, y labio ligeramente pronunciado al exterior y el interior con moldura. Carena diferenciada por un ángulo acanalado. Base anillada. En el interior 2 surcos concéntricos a la altura del borde. La decoración es a ruedecilla en el labio y la carena. Diámetro de boca, 16,6 cm, diámetro de base, 6,1 cm, altura 5,4 cm. Cronología: siglo II d. C.

- (2) (nº Interés Museístico 0651) Vidrio. Jarra en forma de biberón, forma Isings 99 (Almagro y Alonso, 2009). Jarrita de vidrio soplado al aire. Presenta una panza o depósito esférico que finaliza en un cuello alto y cilíndrico, la base es aplanada. No conserva la boca ni el asa si la tuviere. Presenta un pico vertedor cónico. Perfil casi completo. Altura conservada 8,4 cm, diámetro de la base 3,8 cm. diámetro en el cuello, 1,3 cm. diámetro máximo: 5,8 cm. Cronología: s. II-III d. C.

Fauna:

Los restos de fauna hallados en el enterramiento corresponden a dos especies domésticas. Se han documentado tres fragmentos de vértebra, uno de cráneo y un fragmento de diáfisis de metapodio de Équido. También un occipital izquierdo de un perro (*Canis familiaris*) de talla pequeña.

250. TUMBA DE INHUMACIÓN (2295, 2296, 2297)

Enterramiento primario e individual, localizado en el sector S.E de la excavación.

Fosa UE 2297, excavada en matriz arcillosa (2051), era de forma trapezoidal, estaba orientada E-O, y conservaba unas dimensiones de 65×26.

Relleno UE 2295, era de textura arcillosa, de color marrón rojizo con abundantes fragmentos de carbones, caracoles y cerámica. El único fragmento de cerámica que se ha recuperado es un asa de lucerna.

Esqueleto UE 2296, Corresponde a un individuo infantil I (18 meses + 6 meses) a partir de la erupción y maduración dental de Ubelaker. Estimación directa de su estatura es de 60 cm. Estaba orientado a 90 grados Norte, con la cabeza al E y los pies al O. Estaba en posición decúbito supino, con la cabeza ladeada hacia la izquierda (S), las extremidades superiores estaban extendidas y separadas a lo largo del cuerpo. Las extremidades inferiores estaban extendidas, y a la altura de las rodillas se doblan ligeramente hasta acabar uniéndose en los tobillos. No se sabe la posición que tenían los pies ya que al igual que las manos y las extremidades superiores han desaparecido. De las extremidades superiores sólo se han conservado fragmentos de las diáfisis de los húmeros, y fragmentos de las epífisis del cúbito y radio derechos. El cráneo estaba prácticamente arrasado, así como el resto del esqueleto, del cual no se ha podido obtener prácticamente información de campo. El índice de conservación del esqueleto se ha establecido en un (2,5 %).

No se han encontrado evidencias de mortaja.

Descomposición en vacío

Sin hallazgos paleopatológicos.

251. TUMBA DE INHUMACIÓN (2313, 2314, 2315)

Enterramiento primario e individual, localizado en el sector S.O de la excavación.

Fosa UE 2315, excavada en el estrato arcilloso (2051), muy afectada por el *Bustum* (2074) y en su lado Sur, cortada por el sondeo de época contemporánea (2259). Tenía

una forma rectangular con sus extremos redondeados y unas medidas de 1.63 x 0.47 m y una profundidad de 17 cm.

Relleno UE 2313, estaba formado por una tierra arcillosa de color marrón con escasos carbones, pequeños caracoles y material cerámico formado por: varios fragmentos de base de cerámica común romana; varios fragmentos de ánfora itálica; 1 fragmento de boca de cerámica común romana. Por último se hallaron sobre el esqueleto a la altura del pecho, varias tachuelas de hierro posiblemente de la vestimenta.

Esqueleto UE 2314, corresponde a un individuo adulto, con un rango de edad adulto joven, pudiéndose establecer en una horquilla de edad comprendida entre los 35 y 40 años. Sexo mujer. Presentaba una orientación E-O y estaba enterrado en posición de decúbito supino. La cabeza levemente girada hacia la derecha (norte). Las extremidades superiores estaban semiflexionadas; la derecha sobre el abdomen, no conservaba la mano; la izquierda, en parte mutilada (sólo conserva la epífisis del húmero y el cubito y radio), estaba semiflexionada con el antebrazo sobre el pecho. La extremidad inferior derecha estaba semiflexionada y ligeramente desplazada hacia la derecha; la izquierda, extendida conservando la tibia y el peroné. El tórax y la pelvis solo conservaban la mitad derecha. El índice de conservación del esqueleto se ha establecido en un (38%).

Signos de amortajamiento a nivel de hombros.

Edad: en el rango adulto joven (20-40 años), pudiéndose establecer en una horquilla de edad comprendida entre los 35-40 años a partir del desgaste dental tipo 4-6 (Holly-Sthmith, 1984) con una correspondencia de edad entre los 33-45 años (Brothwell, 1991).

Edad: en el rango adulto joven (20-40 años), pudiéndose establecer en un rango de edad comprendida entre los 35-38 años a partir de los métodos empleados y relacionados a continuación.

Métodos:

1. Superficie auricular del ilion: Fase 4 (35-38).
2. Sínfisis pubis según Suchey-Brooks: Fase 4:

Sexo: mujer.

Métodos morfológicos: morfología craneal (frente vertical, arcos supraciliares no marcados, borde orbitario cortante, apófisis mastoides pequeñas, huesos malares gráciles, mentón protuyente); morfología pélvica (ángulo abierto de escotadura ciática, surco preauricular marcado)

Métodos antropométricos: la combinación de medidas antropométricas de húmero, aplicando las fórmulas regresivas da un resultado de sexo mujer con un 83,08% de confianza (diámetro vertical de la cabeza humeral, según fórmula $41 \times 0,4136169 - 17,5369729$, punto de corte $-0,05569$).

Métodos antropométricos: la combinación de medidas antropométricas de fémur, aplicando las fórmulas regresivas da un resultado de sexo mujer con un 88,16% de confianza (diámetro vertical de la cabeza femoral, según fórmula $43 \times 0,4865479 - 20,9910026$, punto de corte 0,039055).

Estatura 149,7-152 cm, según longitud máxima de radio derecho (205 mm). Se han empleado las tablas y fórmulas regresivas de Trotter y Glesser y Manouvrier.

Descomposición en medio vacío.

Complexión anatómica: grácil.

Lateralidad indeterminada.

Desde un punto de vista patológico destacan:

1. Salud bucodental: hipoplasias del esmalte en las piezas mandibulares (3.3, 4.3, 4.4) a una altura de la línea amelocementaria LAC de 2,5-3 mm; caries coronal con afectación a pulpa en la pieza del maxilar (1.3), caries en LAC con afectación a dentina en la pieza del maxilar (2.2); caries coronal con afectación a pulpa en la pieza de la mandíbula (4.2).
2. Patología degenerativa: ligera artrosis en articulación calcáneo-astragalina bilateral, artrosis de primera falange de primer dedo de pie izquierdo.
3. Patología traumática: callo de fractura de tercio medio con desplazamiento de cúbito izquierdo; fractura de articulación distal de la primera falange del primer dedo con artrosis asociada de falangeta.

Marcadores de estrés ocupacional: indicadores de una biomecánica relacionada con una actividad continuada de brazos y piernas como consecuencia de sus actividades laborales u ocupacionales:

1. Entesopatía del músculo tríceps braquial bilateral, grado moderado.
2. Hipertrofia humeral derecha, grado intenso.
3. Entesopatía tuberosidad isquiática derecha, grado moderado.
4. Entesopatía del ligamento redondo derecho, en grado moderado.
5. Entesopatía de línea áspera derecha en grado moderado.
6. Entesopatía línea áspera femoral derecha, grado moderado.
7. Faceta de acucillamiento tibial bilateral.
8. Entesopatía del tendón de Aquiles bilateral, gado leve.
9. Entesopatía en primer metatarsiano pie derecho asociado al uso de un tipo determinado de calzado formado por tiras de cuero.

10. Marca de parto.

Variantes anatómicas epigenéticas: No se observan.

Rosarillo verdoso en región mandibular debido al hallazgo de una moneda de bronce.

Ajuar:

Moneda:

-As. Frustra. Muy mal estado de conservación.

Metales:

-(nº de inventario 559) Cuatro clavos de hierro con cabeza. Dimensiones máximas conservadas: 2 x 0,5 cm. Formarían parte del ataúd.

-Varias tachuelas a la altura del tórax que tal vez tengan que ver con la indumentaria.

252. TUMBA DE INHUMACIÓN (2330, 2331, 2332)

Enterramiento primario e individual, localizado en el sector S de la excavación

Fosa UE 2332, era de forma rectangular con las esquinas redondeadas, orientada E-O y conservaba unas dimensiones de 120 x 38 x 23 cm. Estaba excavada en el estrato arenoso (2153), rompiendo la calzada (2152). La parte superior de la fosa estaba afectada por una fosa de inhumación posterior (2179), de cuyo relleno (2177) se recuperó gran cantidad de hueso humano seguramente del esqueleto que a continuación se describe.

Relleno UE 2330, estaba compuesto por tierra areno-arcillosa marrón oscura donde aparecen abundantes carbones, restos de fauna y algunos diminutos fragmentos cerámicos, todos ellos amorfos.

Los restos de fauna son un fragmento distal de metatarso de ciervo (*Cervus elaphus*), y de un carpo metacarpo distal de gallo (*Gallus gallus domesticus*).

El metatarso de ciervo presenta una malformación en el extremo distal. Así mismo se trata de un hueso fracturado en la mitad de la diáfisis.

Esqueleto UE 2331, corresponde a un individuo adulto, con un rango de edad adulto joven, pudiéndose establecer en una horquilla de edad comprendida entre los 30 y 35 años. Sexo mujer. Presentaba una orientación E-O y estaba enterrado en posición de decúbito supino. De las extremidades superiores solo se conservan parte del cúbito y radio izquierdo y las dos manos, situadas bajo la pelvis. Las extremidades inferiores estaban extendidas (perdido el fémur derecho) con los pies colocados a 180° respecto a las tibias. El índice de conservación del esqueleto se ha establecido en un (46%).

Edad: en el rango adulto joven (20-40 años), pudiéndose establecer en un rango de edad comprendida entre los 30-35 años a partir de los métodos empleados y relacionados a continuación.

Métodos:

1. Superficie auricular del ilion: Fase 4 (35-38).
2. Sínfisis pubis según Suchey-Brooks: Fase 3: 26-30 años.

Sexo: mujer

Métodos morfológicos: morfología pélvica (escotadura ciática)

Métodos antropométricos: la combinación de medidas antropométricas de fémur, aplicando las fórmulas regresivas da un resultado de sexo mujer con un 88,31% de confianza (anchura epicondilar según fórmula $67x 0,2873460 - 21,5737148$, punto de corte $-0,01657$).

Estatura indeterminada.

La descomposición se produjo en medio colmatado como atestigua la posición sin desplazamiento de costillas, pelvis y pies, que estaban unidos a la altura de los tobillos, evidenciando amortajamiento.

Complexión anatómica: grácil.

Lateralidad indeterminada.

Desde un punto de vista patológico destacan:

1. Patología degenerativa: cavidades de Schmorl en vértebras torácicas (T6,7,9-10)

Marcadores de estrés ocupacional: indicadores de una biomecánica relacionada con una actividad continuada de brazos y piernas como consecuencia de sus actividades laborales u ocupacionales:

1. Entesopatía del tendón de Aquiles bilateral, en grado leve para ambos lados.
2. Entesopatía del glúteo mayor izquierdo, grado leve.

Variantes anatómicas epigenéticas: No se describen.

253. TUMBA DE INHUMACIÓN (2342, 2343, 2344)

Enterramiento primario e individual, localizado en el sector S de la excavación

Fosa UE 2344, era de forma alargada y redondeada en sus extremos con unas medidas aproximadas de 1.20 x 0.46 m y una profundidad de 18 cm. Estaba excavada en el estrato arcilloso (2051).

Relleno UE 2342, estaba compuesto por una tierra arcillosa de color marrón oscuro con carbones, nódulos de cal y escasos fragmentos de cerámica: cerámica común romana; elementos metálicos de bronce y hierro sin forma definida y fragmentos de la canalización 2340.

Esqueleto UE 2343, corresponde a un individuo adulto, con un rango de edad juvenil, pudiéndose establecer en una horquilla de edad comprendida entre los 17-20 años. Sexo mujer. Presentaba una orientación NO-SE y estaba enterrado en posición de decúbito lateral izquierdo. La cabeza estaba girada hacia la derecha (sur), las extremidades superiores semiflexionadas con la derecha por encima de la izquierda y la mano en posición dorsal. La extremidad superior izquierda estaba semiflexionada junto al cráneo, con la mano en posición palmar. Las extremidades inferiores estaban semiflexionadas en la misma posición que las superiores. El índice de conservación del esqueleto se ha establecido en un 29,5%).

Evidencias de mortaja a nivel de rodillas y piés.

Edad: juvenil establecida a partir de la observación de las epífisis de crecimiento obliteradas pero con la línea epifisaria permeable como: epífisis distales radiales no fusionadas, epífisis proximales de cúbitos y radios sin fusionar, cabeza femoral fusionada pero con visibilidad de la línea metafisaria, epífisis distales de ambas tibias.

Sexo: mujer.

Métodos morfológicos: morfología craneal (frente vertical, borde orbitario cortante, apófisis mastoides pequeñas, huesos malares gráciles, mentón protuyente).

Métodos antropométricos: la combinación de medidas antropométricas de fémur, aplicando las fórmulas regresivas da un resultado de sexo mujer con un 88,16% de confianza (diámetro vertical de la cabeza femoral, según fórmula $40 \times 0,4865479 - 20,9910026$, punto de corte 0,039055).

Estatura 155,6-156 cm, según longitud máxima de fémur derecho (412 mm). Se han empleado las tablas y fórmulas regresivas de Nunes de Mendonça y Manouvrier.

Descomposición en vacío visible en caída de los dedos de la mano izquierda sobre la pelvis.

Complexión anatómica: grácil.

Lateralidad izquierda fundamentalmente objetivada por la presencia de mayor desarrollo de las entesopatías de extremidades inferiores.

Desde un punto de vista patológico destacan:

1. Patología metabólica-nutricional-carencial: criba humeral derecha, criba femoral izquierda.

2. Patología infecciosa: ligera hiperóstosis parietal, periostitis bilateral en cara medial de tibias.
3. patología traumática: fractura del malar derecho.

Marcadores de estrés ocupacional: indicadores de una biomecánica relacionada con una actividad continuada de brazos y piernas como consecuencia de sus actividades laborales u ocupacionales:

1. Cintura escapular: ligamento costocalvicular derecho, grado leve.
2. Entesopatía del músculo pectoral mayor izquierdo, grado leve.
3. Entesopatía del ligamento redondo izquierdo, en grado leve.
4. Impronta tibial izquierdo, en grado leve.

Variantes anatómicas epigenéticas: No se observan.

Metales:

- (nº de inventario 565) Dos fragmentos de un anillo de hierro de sección ovalada. Los dos miden aproximadamente 1 cm de longitud. Grosor 2,5 mm.
- (nº de inventario 566) Clavo de hierro con cabeza, de sección cuadrada, deteriorado por el óxido y fragmentado por la punta, hueca en el interior. Longitud conservada 5,6 cm. Diámetro cabeza 2,5 cm. Grosor 0,6 cm.
- (nº de inventario 567) Objeto indeterminado de bronce.

254. TUMBA DE INHUMACIÓN (3224, 3225, 3226)

Enterramiento individual y primario, localizado en el sector S.O de la excavación.

Fosa UE 3226, se trata de una estructura de forma alargada, excavada en el estrato de arcillas (3207) y orientada E-O. No se excavó completamente ya la parte final de la tumba se prolongaba por debajo de la calle Cañete. Las medidas conservadas son de 1'30 x 0'40 m.

Relleno UE 3224, estaba compuesto por un estrato de textura arcillosa con presencia de material antracológico, malacofauna y fragmentos de hueso calcinado.

Esqueleto UE 3225, corresponde a un individuo adulto, con un rango de edad adulto maduro, pudiéndose establecer en una horquilla de edad comprendida entre los 40-50 años. Sexo mujer. Presentaba una orientación E-O y estaba enterrado en posición de decúbito supino. Al no conservarse la totalidad del cráneo ha sido imposible describir la posición de la cabeza. El resto del cuerpo se conserva bastante mal. Del esqueleto postcraneal se ha conservado el tórax, pelvis y extremidades inferiores, las cuales estaban estiradas y paralelas entre sí. En cambio, de las extremidades superiores solo

se ha conservado el brazo izquierdo, semiflexionado sobre el pecho y con la mano en posición dorsal, aunque con toda probabilidad de haberse conservado la extremidad superior derecha se encontraría en la misma posición. Al prolongarse el enterramiento por debajo de la calle, no ha sido posible excavar el tercio inferior de las extremidades inferiores por razones de seguridad. El índice de conservación del esqueleto se ha establecido en un (34%).

Edad: en el rango adulto maduro (40-60 años), pudiéndose establecer en un rango de edad comprendida entre los 40-50 años a partir de los métodos empleados y relacionados a continuación.

Métodos:

1. Superficie auricular del ilion: Fase 5 (40-44).
2. Sínfisis pubis según Suchey-Brooks: Fase 5: 40-50 años.

Sexo: varón (morfológica y antropométricamente, con un 90,91 % de confianza).

Métodos morfológicos: morfología craneal (apófisis mastoides pequeñas, huesos malares prominentes, mentón triangular) y pélvica (escotadura ciática abierta).

Métodos antropométricos: la combinación de medidas antropométricas de fémur, aplicando las fórmulas regresivas da un resultado de sexo mujer con un 88,16% de confianza (diámetro vertical de la cabeza femoral, según fórmula $35,88 \times 0,4865479 - 20,9910026$, punto de corte 0,039055).

Estatura 155-156 cm, según longitud máxima de fémur derecho (415 mm): $156 \pm 5,96$ cm. Se han empleado las tablas y fórmulas regresivas de Nunes de Mendonça y Manouvrier.

Evidencias de mortaja a nivel de hombros.

Descomposición en medio vacío.

Complexión anatómica: grácil.

Lateralidad izquierda, fundamentalmente objetivada por la presencia de mayor desarrollo de las entesopatías de extremidades superiores/inferiores.

Desde un punto de vista patológico destacan:

1. Salud bucodental: enfermedad periodontal de (4.7) a una LAC de 7,54 mm.
2. Patología degenerativa: espondiloartrosis C3-C4; artrosis gleno-humeral derecho; espondiloartrosis L4-L5; L5-S1. Osteofitosis con desgaste de platillo en C3-C4, L5-S1 y L4-L5; rizartrrosis primer dedo mano derecha; coxoartrosis en articulación coxofemoral derecha; artrosis de carpo izquierdo; artrosis patelar bilateral muy acusada con eburnación y osteofitosis inferior.

3. Patología metabólica, nutricional, carencial: hiperóstosis fronto-parietal entre 6,91 -7,02 mm.

Marcadores de estrés ocupacional: indicadores de una biomecánica relacionada con una actividad continuada de brazos y piernas como consecuencia de sus actividades laborales u ocupacionales:

1. Cintura escapular: fosa romboide izquierda, grado intenso; ligamento costoclavicular izquierdo, grado moderado.
2. Entesopatía del músculo supinador cubital izquierdo, grado moderado.
3. Entesopatía del músculo tríceps braquial cubital izquierdo, grado moderado.
4. Hipertrfia de falanges en lado izquierdo, grado moderado.
5. Entesopatía braquio-radial izquierdo, grado moderado.
6. Entesopatía del músculo deltoideo izquierdo, grado intenso.
7. Entesopatía isquion bilateral, grado moderado.
8. Entesopatía del ligamento redondo izquierdo, grado moderado.
9. Faceta de Poirier izquierdo, grado moderado.
10. Entesopatía de línea áspera bilateral en grado moderado.
11. Entesopatía del ligamento rotuliano en rótula izquierda, grado intenso.

Variantes anatómicas epigenéticas: sutura petroescamosa.

Otros aspectos: exóstosis auditiva bilateral en grado ligero como consecuencia de una actividad ocupacional. Adaptación al medio, tal vez de tipo acuático.

Metales:

- (sin nº inv) Tachuela de hierro con cabeza redondeada y punta curvada, de sección cuadrada. Dimensiones máximas conservadas: Longitud 1,7 cm; grosor cabeza: 1,8 cm.

255. TUMBA DE INHUMACIÓN (3234, 3235, 3236)

Enterramiento primario e individual localizado en el sector Sur de la excavación, en el batache 48.

Fosa UE 3236, era de forma alargada, conservaba unas dimensiones de 0'70 x 0'40 m, estaba excavada en el estrato arcilloso (3207=2051a). y orientada O-E.

Relleno UE 3234, estaba compuesto por una tierra de textura arcillosa muy compacta, con presencia de carbones, malacofauna, cal y material cerámico formado por: dos

fragmentos de cerámica común y un fragmento de asa perteneciente a una jarrita de cerámica común romana.

Esqueleto UE 3235, corresponde a un individuo adulto, con un rango de edad adulto joven, pudiéndose establecer en una horquilla de edad comprendida entre los 30 y 35 años. Sexo varón. Presentaba una orientación N-S y estaba enterrado en posición de decúbito supino. El cráneo estaba aplastado aunque por debajo de la mandíbula se recuperó una moneda. Del esqueleto postcraneal se conserva parte del tórax y la extremidad superior izquierda semiflexionada sobre el abdomen conservándose el húmero derecho y el cúbito y radio fragmentados. De la pelvis se conservaba la pala ilíaca izquierda, parcialmente la derecha y el sacro casi en su totalidad. Las extremidades inferiores no se hallaron al estar cortada la tumba más allá de la pelvis. El índice de conservación del esqueleto se ha establecido en un (27,5%).

Edad: en el rango adulto joven (20-40 años), pudiéndose establecer en un rango de edad comprendida entre los 30-35 años a partir de los métodos empleados y relacionados a continuación.

Métodos:

1. Superficie auricular del ilion: Fase 3 (30-34).

Sexo: varón.

Métodos morfológicos: morfología craneal (gonion evertido).

Estatura 155-160 cm, según longitud máxima de húmero izquierdo (290 mm): $155 \pm 8,44$ cm; 160 cm. Se han empleado las tablas y fórmulas regresivas de Nunes de Mendonça y Trotter y Glesser.

Sin evidencias de mortaja.

Descomposición en medio vacío.

Complejión anatómica: robusta.

Lateralidad indeterminada.

Desde un punto de vista patológico destacan:

1. Salud bucodental: hipoplasias del esmalte en las piezas (1.1, 2.1, 2.5, 3.2, 4.7) a una altura de la línea amelocementaria LAC de 2-4 mm; caries en el molar 2.8 con afectación a esmalte-cemento.
2. Patología degenerativa: ligera artrosis cervical (c1-c2), artrosis glenohumeral y de codo inicial.
3. Patología metabólica, nutricional, carencial: hiperóstosis parietal derecha; porosis supraorbitaria bilateral.

4. Patología infecciosa: osteítis en la zona del ílion (infección parasitaria por piojos).

Marcadores de estrés ocupacional: indicadores de una biomecánica relacionada con una actividad continuada de brazos y piernas como consecuencia de sus actividades laborales u ocupacionales:

1. Cintura escapular: ligamento costoclavicular derecho, grado moderado; ligamento conoideo clavicular derecho, grado moderado.
2. Entesopatía del músculo bíceps braquial radial izquierdo, grado moderado.
3. Entesopatía del músculo supinador cubital izquierdo, grado leve.
4. Entesopatía del músculo pectoral mayor izquierdo, grado moderado.
5. Hipertrofia humeral izquierdo, grado moderada.
6. Entesopatía del músculo braquio radial izquierdo, grado moderado.
7. Entesopatía del tríceps braquial izquierdo, grado moderado.
8. Tuberosidad isquiática izquierdo, grado intenso.
9. Entesopatía de línea áspera izquierdo en grado intenso.
10. Entesopatía del trocánter mayor izquierdo, en grado intenso.
11. Entesopatía del músculo sóleo tibial izquierdo en grado moderado.

Variantes anatómicas epigenéticas: no se observan.

Ajuar:

Moneda:

Se halló una moneda por debajo de la mandíbula.

- As de AE, de ceca y autoridad emisora desconocida. En el anverso y reverso: Frustró; peso: 7.06 grs; Diámetro: 26 mm; Grosor: 2'9 mm; el grado de desgaste: Frustró.

256. TUMBA DE INHUMACIÓN (3240, 3241, 3242)

Enterramiento primario e individual localizado en el sector Sur de la excavación.

Fosa UE 3242, era de forma alargada y estaba cortada por la incineración (3239), por lo que conserva unas dimensiones de 0'50 x 0'16 m.

Relleno UE 3240, estaba compuesto por una tierra de textura arcillosa con presencia de material antracológico y malacofauna.

Esqueleto UE 3241, corresponde a un individuo infantil I, con una edad comprendida entre 0 y 6 años y de sexo indeterminado, enterrado en posición de decúbito supino y

orientado O-E. Conserva parte del cráneo, la parte derecha del tórax, el coxal izquierdo y la extremidad superior derecha (parte del húmero y cúbito), que se encontraba extendida y paralela al cuerpo. No se conservan las extremidades inferiores, ni el hemitórax derecho ya que ha sido cortada por la cremación (3237, 3239). El índice de conservación del esqueleto se ha establecido en un (4,5%).

La estimación de la edad se ha establecido en un rango de edad entre los 1,5 y 2 años a partir de la edad ósea. (Schaefer, Black y Scheuer, 2009).

Sexo indeterminado.

Evidencias de mortaja a nivel de hombros.

Descomposición en medio vacío.

No se han observados hallazgos patológicos.

Sin marcadores de actividad observables ni variantes anatómicas epigenéticas.

257. TUMBA DE INHUMACIÓN (3243, 3244, 3245)

Enterramiento primario e individual, localizado en el sector Sur de la necrópolis.

Fosa UE 3245, de forma alargada, estaba orientada E-O y conserva unas dimensiones de 1'40 x 0'43 m. Desde el punto de vista estratigráfico, estaba excavada en el estrato de arcillas de carácter antrópico (3207=2051a).

Relleno UE 3243, estaba compuesto por un estrato de tierra arcillosa muy compacta, de color marrón rojizo y con presencia de carbones, malacofauna y material cerámico formado por: varios fragmentos de pared de un vaso de cerámica común romana; un fragmento de borde de olla Hayes 197 de cerámica africana de cocina y varios fragmentos sin forma de ánfora indeterminada.

Esqueleto UE 3244, corresponde a un individuo adulto, con un rango de edad adulto maduro, pudiéndose establecer en una horquilla de edad comprendida entre los 50 y 60 años. Sexo varón. Presentaba una orientación E-O y estaba enterrado en posición de decúbito supino. El cráneo aplastado y ladeado hacia el Sur (izquierda). Las extremidades superiores estaban semiflexionadas y colocadas sobre el abdomen, pero sin llegar a cruzarse entre sí. La extremidad superior derecha estaba incompleta, de modo que fue imposible recuperar los huesos pertenecientes a la mano (quizás estuviera cortada). El tórax, estaba en muy mal estado de conservación sobre todo a nivel vertebral. Las extremidades inferiores estaban estiradas y paralelas entre sí. El índice de conservación del esqueleto se ha establecido en un (31%).

Edad: en el rango adulto maduro (40-60 años), pudiéndose establecer en una horquilla de edad comprendida entre los 50-60 años a partir del desgaste dental tipo 4-5 (Holly-Sthmith, 1984) con una correspondencia de edad mayor a los 45 años (Brothwell, 1991).

Edad: en el rango adulto joven (20-40 años), pudiéndose establecer en un rango de edad comprendida entre los 30-35 años a partir de los métodos empleados y relacionados a continuación.

Métodos:

1. Superficie auricular del ilion: Fase X (\geq 50 años).
2. Sínfisis pubis según Suchey-Brooks: Fase 6 (\geq 50 años).

Sexo: varón (morfológica y antropométricamente, con un 90,91 % de confianza).

Métodos morfológicos: morfología craneal (frente huidiza, arcos supraciliares marcados, borde orbitario redondeado, glabella tipo 4, apófisis mastoides robustas, huesos malares robustos, gonion evertido).

Métodos antropométricos: la combinación de medidas antropométricas de fémur, aplicando las fórmulas regresivas da un resultado de sexo varón con un 88,16% de confianza (diámetro vertical de la cabeza femoral, según fórmula $48,69 \times 0,4865479 - 20,9910026$, punto de corte 0,039055).

Estatura indeterminada.

Evidencias de mortaja a la altura de los hombros, clavículas y rodillas.

Descomposición en medio vacío.

Complexión anatómica: robusta.

Lateralidad derecha, fundamentalmente objetivada por la presencia de mayor desarrollo de las entesopatías de extremidades superiores/inferiores.

Desde un punto de vista patológico destacan:

1. Salud bucodental: edéntulo, abundante cálculo dentario en las piezas existentes, absceso fistulizado en la pieza mandibular (4.3); 10 pérdidas *ante mortem* del maxilar y otras 10 de la mandíbula.
2. Patología degenerativa: espondiloartrosis cervical, artrosis atlanto-odontoidea, espondiloartrosis lumbar con osteofitos, coxoartrosis bilateral con eburnación.
3. Patología tumoral: tres neoformaciones tumorales endocraneales.
4. Patología metabólica, nutricional, carencial: hiperóstosis frontal interna derecha; porosidad supraorbitaria.

Marcadores de estrés ocupacional: indicadores de una biomecánica relacionada con una actividad continuada de brazos y piernas como consecuencia de sus actividades laborales u ocupacionales:

1. Entesopatía del músculo supinador cubital bilateral, grado moderado para el lado izquierdo e intenso para el lado derecho.
2. Entesopatía del músculo pronador radial bilateral, grado moderado para el izquierdo e intenso para el lado derecho.
3. Entesopatía del músculo braquial radial derecho, grado moderado.
4. Entesopatía del ligamento redondo izquierdo, grado intenso.
5. Entesopatía de línea áspera bilateral en grado intenso para ambos lados.
6. Entesopatía del glúteo mayor bilateral, en grado moderado para el lado izquierdo e intenso para el lado derecho.
7. Impronta tibial bilateral, en grado intenso en ambos casos.

Variantes anatómicas epigenéticas: sutura petroescamosa.

TUMBAS DE CREMACIÓN

258. *LOCULUS* (2069, 2070)

Enterramiento ubicado en el sector Sur de la excavación.

Loculus UE 2070, de forma indeterminada, muy mal conservado, excavado en el estrato 2051A.

Relleno UE 2069, compuesto por numerosos carbones, nódulos de arcilla quemada. Entre los carbones se documentó restos de hierro concrecionado, clavos y material cerámico entre el que se distingue un fragmento de asa de ánfora, fragmentos de cerámica de paredes finas, cerámica común y lucerna.

Estudio antropológico:

Los restos óseos corresponden a partes craneales y esqueleto poscraneal haciendo un total de 748,09 gr.

La calidad de la combustión fue intensa alcanzándose una temperatura de más de 600°C.

Datos ponderales: neurocráneo (62,76 gr); esplacnocráneo (3,36 gr), cintura escapular y pelvis (56,03 gr); costillas y esternón (20,07 gr), vértebras (107,57 gr); huesos largos (224,00 gr), manos y pies (10,55 gr); restos no identificables (244,56 gr); hueso esponjoso libre (19,19 gr).

NMI: un individuo

Sexo: probable mujer

Edad: adulto (20-28 años)

Patologías: No se observaron aspectos paleopatológicos.

259. BUSTUM (2073, 2074)

Enterramiento ubicado en el sector Sur de la excavación.

Bustum UE 2074, se halla excavado en el estrato arcilloso de época imperial (2051), estaba afectado por el sondeo contemporáneo (2169) y por la calzada (2006) ubicada en esta parte de la excavación. Del mismo modo este enterramiento estaba por encima de la inhumación (2277). Presenta una forma rectangular con unas medidas de 1 x 1.70 m y con una profundidad de 17 cm. Sus paredes se encuentran quemadas y endurecidas como consecuencia de la exposición al fuego. En su interior había abundantes restos óseos calcinados de un color blanquecino.

Relleno UE 2073, estaba compuesto por una tierra de textura arcillosa con caracoles, carbones y nódulos de arcilla quemada. Entre el material hallado destaca un clavo de hierro y numerosas tachas o remaches posiblemente pertenecientes a la vestimenta. El material cerámico quemado estaba compuesto por fragmentos sin forma de cerámica común. El material no quemado consistía en varios fragmentos de galbo de ánfora, de cerámica común; un fragmento de boca de olla de cerámica común y un fragmento de *tegula*.

Estudio antropológico:

Los restos óseos corresponden a partes craneales y esqueleto poscraneal haciendo un total de 976,41 gr.

La calidad de la combustión fue intensa alcanzándose una temperatura entre los 500-600°C.

Datos ponderales: neurocráneo (8,48 gr); esplacnocráneo (3,59 gr), cintura escapular y pelvis (25,10 gr); costillas y esternón (41,34 gr), vértebras (64,83 gr); huesos largos (559,07 gr), manos y pies (35,39 gr); restos no identificables (214,18 gr); hueso esponjoso libre (24,44 gr).

NMI: un individuo

Sexo: probable mujer

Edad: adulto (20-40 años)

Patologías:

-Patología degenerativa: Cavidad de Schmorl.

Metales:

- (nº de inventario 518) Un clavo de hierro. Las medidas no han podido ser precisadas.
- (nº de inventario 519) Varias tachuelas de hierro cuyas medidas no han podido ser precisadas.

260. LOCULUS (2053, 2054)

Cremación localizada en el sector Centro-Sur de la excavación.

Urna cineraria UE 2054, un olpe de cerámica común, estaba sobre el estrato arcilloso (2017), junto a la calzada (2006). Debido a los niveles contemporáneos no se detectó el *loculus*, pudiéndose tomar sólo la profundidad del recipiente estimada en 19 cm.

Relleno UE 2053, en el interior había un estrato de tierra con restos óseos incinerados pertenecientes a un individuo pudiéndose distinguir fragmentos de huesos largos, falanges, epífisis femoral y restos de calcáneo. Todos presentaban una coloración blanquecina como consecuencia de una exposición directa al fuego a una temperatura superior a los 600º centígrados.

Estudio antropológico:

Los restos óseos corresponden a partes craneales y esqueleto poscraneal haciendo un total de 1086,88 gr.

La calidad de la combustión fue intensa alcanzándose una temperatura entre los 500-600ºC.

Datos ponderales: neurocráneo (72,93 gr); esplacnocráneo (27,94 gr), cintura escapular y pelvis (48,31 gr); costillas y esternón (56,88 gr), vértebras (52,59 gr); huesos largos (225,74 gr), manos y pies (36,08 gr); restos no identificables (548 gr); hueso esponjoso libre (18,41 gr).

NMI: dos individuos.

Sexo: probable mujer para el individuo adulto.

Edad: Infantil II (7-12 años); adulto joven (20-40 años)

Patologías: No se observaron aspectos paleopatológicos.

Ajuar:

-(1) (nº interés Museístico 0654). Cerámica común romana. Olpe. Cuerpo globular, base de solera incipiente. Arranque de asa acintada en la parte superior del galbo. No se conserva ni el cuello ni la boca. Pasta sándwich, superficie de color beige,

desgrasante calizo, heterogéneo y abundante. Diámetro máximo 10,1 cm; Altura conservada 22,2 cm.

261. LOCULUS (2123, 2124)

Cremación localizada en el sector Sur de la excavación.

Loculus UE 2124, era de forma rectangular con el eje mayor de 1,10 m. y el menor de 0,30 m. La profundidad relativa oscila entre los 0,04 m. y los 0,06 m. El relleno estaba compuesto por una tierra arcillosa con presencia de abundantes carbones y huesos, así como malacofauna en grado escaso.

Relleno UE 2123, en el extremo E. del *loculus* aparecieron restos cerámicos sin quemar de un *oenochoe*, junto el borde y parte del cuello quemados de una jarrita de cerámica común, así como un fragmento informe de hierro.

Estudio antropológico:

Los restos óseos corresponden a partes craneales y esqueleto poscraneal haciendo un total de 154,54 gr.

La calidad de la combustión fue intensa alcanzándose una temperatura de más de 600°C.

Datos ponderales: neurocráneo (0,00 gr); esplanocráneo (14,99 gr), cintura escapular y pelvis (19,69 gr); costillas y esternón (9,81 gr), vértebras (12,74 gr); huesos largos (53,75 gr), manos y pies (5,10 gr); restos no identificables (35,16 gr); hueso esponjoso libre (3,30 gr).

NMI: un individuo

Sexo: indeterminado

Edad: Juvenil (13-20 años)

Patologías: No se observaron aspectos paleopatológicos.

Metales:

- (nº de inventario 523) Clavo de hierro con cabeza. Dimensiones conservadas 3 x 1cm.

262. CREMACIÓN EN URNA 2128

Cremación localizada en el sector Sur de la excavación.

Restos de una cremación sin que se haya podido diferenciar el *loculus*, y el relleno que la cubriera.

Se han conservado restos del galbo de un contenedor de cerámica común indeterminada, con restos óseos humanos y carbones en su interior.

Estudio antropológico:

Del estudio antropológico del laboratorio se han descrito las siguientes características:

Los restos óseos corresponden a partes craneales y esqueleto poscraneal haciendo un total de 39,46 gr.

La calidad de la combustión fue débil alcanzándose una temperatura entre los 250-300°C.

Datos ponderales: neurocráneo (1,51 gr); esplanocráneo (0,07 gr), cintura escapular y pelvis (4,95 gr); costillas y esternón (1,85 gr), vértebras (0,00 gr); huesos largos (25,24 gr), manos y pies (0,79 gr); restos no identificables (4,96 gr); hueso esponjoso libre (0,09 gr).

NMI: un individuo.

Sexo: probable varón.

Edad: adulto (20-40 años).

Patologías: No se observaron aspectos paleopatológicos.

263. BUSTUM (2184, 2185)

Cremación localizada en el sector Sur de la excavación.

Bustum UE 2185, de forma circular con un radio de 0,50 m. La profundidad relativa oscila entre los 0,08 m. y los 0,04 m.

Relleno UE 2184, es de tierra arcillosa de color rojizo (localizada en el límite de la incineración) y negro con alguna incrustación de arena de tonalidad amarillenta. Hay escasos carbones y cenizas. Destacar el elevado número de huesos calcinados, así como los fragmentos de huesos de animales. Se hallaron restos cerámicos sin quemar de cerámica común, junto a fragmentos quemados de un ánfora.

Estudio antropológico:

Los restos óseos corresponden a partes craneales y esqueleto poscraneal haciendo un total de 781,18 gr.

La calidad de la combustión fue intensa alcanzándose una temperatura de más de 600°C.

Datos ponderales: neurocráneo (17,42 gr); esplanocráneo (5,64 gr), cintura escapular y pelvis (14,64 gr); costillas y esternón (20,16 gr), vértebras (6,35 gr); huesos largos

(308,01 gr), manos y pies (10,90 gr); restos no identificables (385,26 gr); hueso esponjoso libre (12,10 gr).

NMI: un individuo

Sexo: indeterminado.

Edad: Juvenil (14,5-15,5).

Patologías: No se observaron aspectos paleopatológicos.

264. LOCULUS (2278, 2279)

Cremación localizada en el sector S.E de la excavación.

Loculus UE 2279, era de forma circular y tiene una profundidad de 32 cm. Las dimensiones del *loculus* son 84 x 42 cm.

Relleno UE 2278, que la colmata estaba formado por una tierra de textura arcillosa muy compactada, de color marrón rojizo, con algunas gravas y piedras pequeñas, junto a abundantes huesos humanos calcinados, escoria de hierro, un utensilio pequeño de bronce no identificado y un diente de gran herbívoro. Asociada a la incineración aparece una botella de vidrio, junto a ella, y apoyados en la misma, hay un paquete de huesos calcinados y lavados, por la forma en la que aparecen es posible que estuvieran guardados en un recipiente de material perecedero. El paquete de huesos estaba depositado sobre fragmentos de cerámica común romana.

En la base del *loculus* había fragmentos cerámicos: cerámica africana de cocina (borde de Hayes 196), fragmento sin forma de *Terra Sigillata Hispanica*, fragmentos sin forma de cerámica de cocina, fragmento de ánfora africana y varios fragmentos sin forma de cerámica común romana.

Estudio antropológico:

Los restos óseos humanos corresponden a partes craneales y esqueleto poscraneal haciendo un total de 278,59 gr.

La calidad de la combustión fue intensa alcanzándose una temperatura de más de 600°C.

Datos ponderales: neurocráneo (41,99 gr); esplacnocráneo (5,85 gr), cintura escapular y pelvis (9,51 gr); costillas y esternón (23,23 gr), vértebras (31,63 gr); huesos largos (99,64 gr), manos y pies (18,30 gr); restos no identificables (41,35 gr); hueso esponjoso libre (7,09 gr).

NMI: un individuo.

Sexo: probable varón.

Edad: adulto (20-40 años).

Patologías: No se observaron aspectos paleopatológicos.

Ajuar (lámina):

- (nº interés museístico 0662). Botella de vidrio de forma paralelepípeda de base cuadrada y plana. Posible forma Isings 50b, 51b (Mezquíriz, 2002-3). No conserva la boca. Altura conservada 23 cm; diámetro del cuerpo 9,5 cm. No contenían restos óseos en su interior. Datación siglos I-II d.C. Sin dibujo, estado fragmentario.

Metales:

- (nº de inventario 554) Objeto indeterminado de bronce.

Fauna:

En único resto de fauna es un molar segundo superior derecho de bovino (*Bos taurus*). El molar presenta un desgaste oclusal poco pronunciado por lo que debía pertenecer a un animal joven-adulto.

265. LOCULUS (3221, 3222)

Enterramiento localizado en el sector Sur de la excavación.

Loculus UE 3222, era de forma rectangular y conserva unas dimensiones de 1'50 x 0'76 m.

Relleno UE 3221, es de textura arcillosa con presencia de carbones y cerámica formada por: dos fragmentos de cerámica común, varios fragmentos sin forma de ánfora, varios fragmentos de lucerna de disco en mal estado, cuatro fragmentos de cerámica común romana, un fragmento de copa de cerámica común, un fragmento de borde y panza de olla de cocina, y varios fragmentos de *Terra Sigillata* entre los que destacan seis fragmentos visiblemente quemados.

Sin restos antropológicos conservados para su estudio de laboratorio.

266. LOCULUS (3237, 3238)

Enterramiento localizado en el sector Sur de la excavación.

Loculus UE 3238, era de forma redondeada, se prolonga por debajo de la calle Quart conserva unas dimensiones de 0'48 x 0'22 m. Estratigráficamente estaba excavada en el nivel de arcillas antrópicas (3207=2051a).

Relleno UE 3237, estaba compuesto por una tierra de textura arcillosa con cantidad de material antracológico, malacofauna y material cerámico que conformaría el ajuar del enterramiento.

Estudio antropológico:

Los restos óseos corresponden a partes craneales y esqueleto poscraneal haciendo un total de 58,11 gr.

La calidad de la combustión fue intensa alcanzándose una temperatura de más de 600°C.

Datos ponderales: neurocráneo (10,12 gr); esplanocráneo (0,00 gr), cintura escapular y pelvis (4,17 gr); costillas y esternón (0,89 gr), vértebras (6,14 gr); huesos largos (24,52 gr), manos y pies (0,00 gr); restos no identificables (12,27 gr); hueso esponjoso libre (0,00 gr).

NMI: un individuo.

Sexo: probable mujer.

Edad: Juvenil-adulto (20-25 años).

Patologías: No se observaron aspectos paleopatológicos.

Rodeando los restos óseos se hallaron unos fragmentos cerámicos entre los que se distinguieron un fragmento de disco de lucerna, un fragmento de Olpe de cerámica común romana. Un fragmento de base perteneciente a vaso de cerámica común romana, sin decoración ni tratamiento en su superficie. Y un fragmento de borde y pared de olla de cerámica de cocina, tipo I, 4 de Vegas.

El enterramiento se prolongaba por debajo de la calle Quart por lo que no se pudo excavar en su totalidad.

ESTRUCTURAS FUNERARIAS

267. *USTRINUM* (3017, 3018) (Lámina 5.55)

Localizado en el sector S.E de la excavación.

Fosa UE 3018, excavada en un estrato arcilloso de carácter antrópico (3019). El fondo de dicha estructura presentaba una coloración rojiza como consecuencia de una exposición continuada al fuego. Conserva unas dimensiones de 1'50 x 1'07 m.

Relleno UE 3017, está compuesto por un estrato de arcilla con presencia de carbones, caracolillos, hueso fragmentado y calcinado y por último material cerámico muy fragmentado pudiéndose distinguir entre material quemado y otros sin quemar.

Estudio antropológico:

Los restos óseos recuperados correspondientes a la última utilización de la estructura funeraria y que no fueron recogidos en el último momento. El peso total recuperado hace un total de 22,43 gr.

La calidad de la combustión del hueso fue media alcanzándose una temperatura entre los 250-400°C.

Datos ponderales: neurocráneo (0,00 gr); esplancocráneo (0,00 gr), cintura escapular y pelvis (0,00 gr); costillas y esternón (0,41 gr), vértebras (0,00 gr); huesos largos (13,16 gr), manos y pies (0,00 gr); restos no identificables (8,86 gr); hueso esponjoso libre (0,00 gr).

NMI: un individuo.

Sexo: probable mujer.

Edad: Juvenil (13-20) o adulto joven (20-25 años).

Patologías: No se observaron aspectos paleopatológicos.

Posible **ajuar** de amortización de la pira funeraria:

- (1) (nº inv 604): Fragmento de borde y pared de cerámica *Terra Sigillata Hispanica* forma Drag 24/25. Panza hemisférica, separada del borde, vertical o ligeramente inclinado hacia el interior por una moldura. El borde es liso con una ranura fina en la cara interna. Decoración a ruedecilla en el exterior. Diámetro de boca 11 cm; altura conservada 4 cm.

- (2) (nº inv 605): Fragmento de borde y pared de cerámica *Terra Sigillata Hispanica* forma Drag 18. Pared rectilínea, labio ligeramente saliente. Diámetro de boca 11 cm; diámetro de base 5,5 cm; altura 3,8cm. Grafito en la base *NUVDI*.

- (3) (nº inv 606): Perfil completo de cerámica *Terra Sigillata Hispanica* forma Drag 15/17. Pared inclinada con borde en forma de bastoncillo, destaca la flexión que rompe la pared

en dos partes y luego la base. Diámetro de boca 12 cm; diámetro de base 6 cm; altura 3,2cm. Grafito en la base OFCA.

268. CALZADA (2006) (Lámina 5.56)

Superficie pisable, parcialmente conservada y de factura muy diferente a las calzadas de los periodos anteriores. Estaba compuesta por guijarros dispuestos de forma aleatoria, de mediano y gran tamaño, piedras irregulares y elementos constructivos como tégulas así como fragmentos cerámicos en superficie. Tenía una orientación norte-sur y estaba localizada en el sector meridional de la excavación discurriendo de forma paralela a la prolongación del *Decumanus Maximus*, actual calle Quart.

Estratigráficamente esta calzada sellaba la actividad funeraria convirtiéndose esta zona en lugar de paso y contacto entre la ciudad y las zonas rurales.

Sobre la superficie se hallaron fragmentos de cerámica, osamentas de animal y material numismático, recuperados y procedentes del propio uso de la vía no formando parte de la construcción de la misma. Dada la importante fragmentación de los restos cerámicos en la lámina se han representado las formas más características y de mejor conservación.

La cerámica:

- (1) (nº inv. 481). Cerámica Africana de Cocina, forma Lamb. 9 A, Hayes 181. Borde redondeado reentrante. Base anillada con acanaladuras en el interior, 2 en la base, y otra marcando la carena. Pasta anaranjada con desgrasante fino y aislado. No tiene pátina cenicienta en el exterior. Perfil completo. Diámetro de borde 19,5 cm Diámetro de base 11 cm. Altura 3,2 cm. Cronología: S. 2ª mitad II d. C- V d.C.
- (2) (nº inv. 482). Terra Sigillata Africana Forma Lamb, 4 A. Plato con borde vuelto al exterior. En el exterior del borde hay unas acanaladuras. Una de ellas diferencia el inicio de la carena. Pasta anaranjada, rugosa con desgrasante fino y abundante. No conserva barniz. Cronología: s. II d. C.
- (3) (nº inv. 483) Terra Sigillata Africana Forma Lamb. 1 / Hayes 8 A. Copa carenada. Borde formado por un lóbulo central, limitado superiormente por un labio pronunciado al exterior e inferiormente por un relieve poco saliente. Pasta anaranjada, rugosa, con desgrasante fino y abundante. Ha perdido el barniz así como la decoración a ruedecilla del lóbulo. Diámetro, 24,4 cm. Cronología: s. II d. C.
- (3) (nº inv. 484) Terra Sigillata Sudgallica. Forma Drag. 15. Plato de borde exvasado unido al fondo por media caña. Base anillada. Diámetro de base, 7 cm. Cronología: (2ª mitad siglo I-primera mitad II d.C.).

- (nº inv. 453). Fragmento de borde de cerámica africana de cocina. Forma Hayes 197, Ostia III, 267. Olla de borde almendrado con pátina cenicienta externa, pasta anaranjada de textura rugosa con abundante desgrasante. Diámetro 20-22 cm. Cronología: s. II-V d.C.
- (nº inv. 454). Fragmento de cerámica común romana. Tipo indeterminado, base anillada quemada. Pasta de color gris. Diámetro, 4 cm.
- (nº inv. 455). Fragmento de cerámica común romana. Forma indeterminada. Pared recta sin labio, quemado, pasta gris. Diámetro, 17 cm aprox. Cronología: s. II d. C.
- (nº inv. 456). Fragmento de cerámica Africana de Cocina Lamboglia 10 A, Hayes 23 B A. Cazuela de pasta anaranjada de textura rugosa y con abundante desgrasante, el interior conserva barniz tipo A. Diámetro borde, 28 cm. Cronología: s. II-V d. C.
- (nº inv. 457). Fragmento de borde de cerámica de Cocina itálica. Forma Vegas 4. Labio plano perpendicular al galbo. Borde ahumado, pasta anaranjada. Con abundante desgrasante heterogéneo. Diámetro borde: 23 cm. Cronología s. II- I a. C.
- (nº inv. 458). Fragmento de borde de *Terra Sigillata Hispanica*. Forma Ritt. 8. Diámetro 12 cm. Cronología: s. I -II d. C.
- (nº inv. 459). Cerámica Africana de Cocina Hayes 197, Ostia III, 267. Olla de borde almendrado con pátina cenicienta externa, pasta anaranjada de textura rugosa con abundante desgrasante. Diámetro indet. Cronología: S. II-V d.C..
- (nº inv. 460). Cerámica Africana de Cocina Lamboglia 10 A, Hayes 23 B. Fragmento de borde de cazuela de pasta anaranjada de textura rugosa y con abundante desgrasante, en el interior conserva barniz tipo A. Diámetro indet. Cronología: s. II-V d. C.
- (nº inv. 461). Cerámica Africana de Cocina Lamboglia 10 A, Hayes 23 B. Fragmento de borde de cazuela de pasta anaranjada de textura rugosa y con abundante desgrasante, en el interior conserva barniz tipo A. Diámetro indet. Cronología: s. II-V d. C.
- (nº inv. 462). Cerámica Africana de Cocina Hayes 196/ Ostial 261. Plato-tapadera. Pared recta de borde no diferenciado, pasta y superficie naranja con desgrasante fino y abundante. Diámetro 14 cm. Cronología: finales siglo I- IV d.C.
- (nº inv. 463). *Terra Sigillata Hispanica*. Forma Drag 18. Fragmento de borde. Diámetro indeterminado. Cronología: S.I d. C.
- (nº inv. 464). Cerámica Africana de Cocina Hayes 196/ Ostia I, 261. Pared recta de borde no diferenciado, pasta y superficie naranja con desgrasante fino y abundante. Diámetro 12 cm. Cronología: finales siglo I- IV d.C.

- (nº inv. 465). Cerámica Africana de Cocina Hayes 196/ Ostial 261. Pared recta de borde no diferenciado, pasta y superficie naranja con desgrasante fino y abundante. Diámetro indet. Cronología: s. II d. C.
- (nº inv. 466). Cerámica africana de cocina. Forma Hayes 197, Ostia III, 267. Base de olla con pátina cenicienta externa, pasta anaranjada de textura rugosa con abundante desgrasante. Diámetro indet. Cronología: S. II-V d.C.
- (nº inv. 467). Cerámica Africana de Cocina Hayes 196/ Ostial 261. Pared recta de borde no diferenciado, pasta y superficie naranja con desgrasante fino y abundante. Diámetro indet. Cronología: finales siglo I- IV d.C.
- (nº inv. 468). Cerámica Africana de Cocina Lamboglia 10 A, Hayes 23 B. Fragmento de base de cazuela de pasta anaranjada de textura rugosa y con abundante desgrasante, en el interior conserva barniz tipo A. Diámetro indet. Cronología: s. II-V d. C.
- (nº inv. 469). Cerámica Africana de Cocina Lamboglia 10 A, Hayes 23 B. Fragmento de base de cazuela de pasta anaranjada de textura rugosa y con abundante desgrasante, en el interior conserva barniz tipo A. Diámetro indet. Cronología: s. II-V d. C.
- (nº inv. 470). Cerámica Africana de Cocina Lamboglia 10 A, Hayes 23 B. Fragmento de borde de cazuela de pasta anaranjada de textura rugosa y con abundante desgrasante, en el interior conserva barniz tipo A. Diámetro indet. Cronología: s. II-V d. C.
- (nº inv. 471). Cerámica africana de cocina. Forma Hayes 197, Ostia III, 267. Olla de borde almendrado con pátina cenicienta externa, pasta anaranjada de textura rugosa con abundante desgrasante. Diámetro 20 cm. Cronología: S. II-V d.C.
- (nº inv. 472). Cerámica Africana de Cocina Lamboglia 10 A, Hayes 23 B. Fragmento de borde de cazuela de pasta anaranjada de textura rugosa y con abundante desgrasante, en el interior conserva barniz tipo A. Diámetro indet. Cronología: s. II-V d. C.
- (nº inv. 473). Cerámica africana de cocina. Forma Hayes 197, Ostia III, 267. Olla de borde almendrado con pátina cenicienta externa, pasta anaranjada de textura rugosa con abundante desgrasante. Diámetro indet. Cronología: S. II-V d.C.
- (nº inv. 474). Cerámica africana de cocina. Forma Hayes 197, Ostia III, 267. Olla de borde almendrado con pátina cenicienta externa, pasta anaranjada de textura rugosa con abundante desgrasante. Diámetro 23 cm. Cronología: S. II-V d.C.
- (nº inv. 475). Cerámica africana de cocina. Forma Hayes 197, Ostia III, 267. Olla de borde almendrado con pátina cenicienta externa, pasta anaranjada de textura rugosa con abundante desgrasante. Diámetro indet. Cronología: S. II-V d.C.
- (nº inv. 476). Cerámica africana de cocina. Forma indeterminada. Base. Diámetro 7 cm.

- (nº inv. 477). Cerámica Africana de Cocina Lamboglia 10 A, Hayes 23 B. Fragmento de base de cazuela de pasta anaranjada de textura rugosa y con abundante desgrasante, en el interior conserva barniz tipo A. Diámetro indet. Cronología: s. II-V d. C.
- (nº inv. 478). Cerámica africana de cocina. Forma Hayes 197, Ostia III, 267. Olla de borde almendrado con pátina cenicienta externa, pasta anaranjada de textura rugosa con abundante desgrasante. Diámetro indet. Cronología: S. II-V d.C.
- (nº inv. 479). Cerámica Africana de Cocina Hayes 196/ Ostial 261. Borde no diferenciado, pasta y superficie naranja con desgrasante fino y abundante. Diámetro indet. Cronología: finales siglo I- IV d.C.
- (nº inv. 480). Cerámica africana de cocina. Forma Hayes 197, Ostia III, 267. Olla de borde almendrado con pátina cenicienta externa, pasta anaranjada de textura rugosa con abundante desgrasante. Diámetro indet. Cronología: S. II-V d.C.

Monedas:

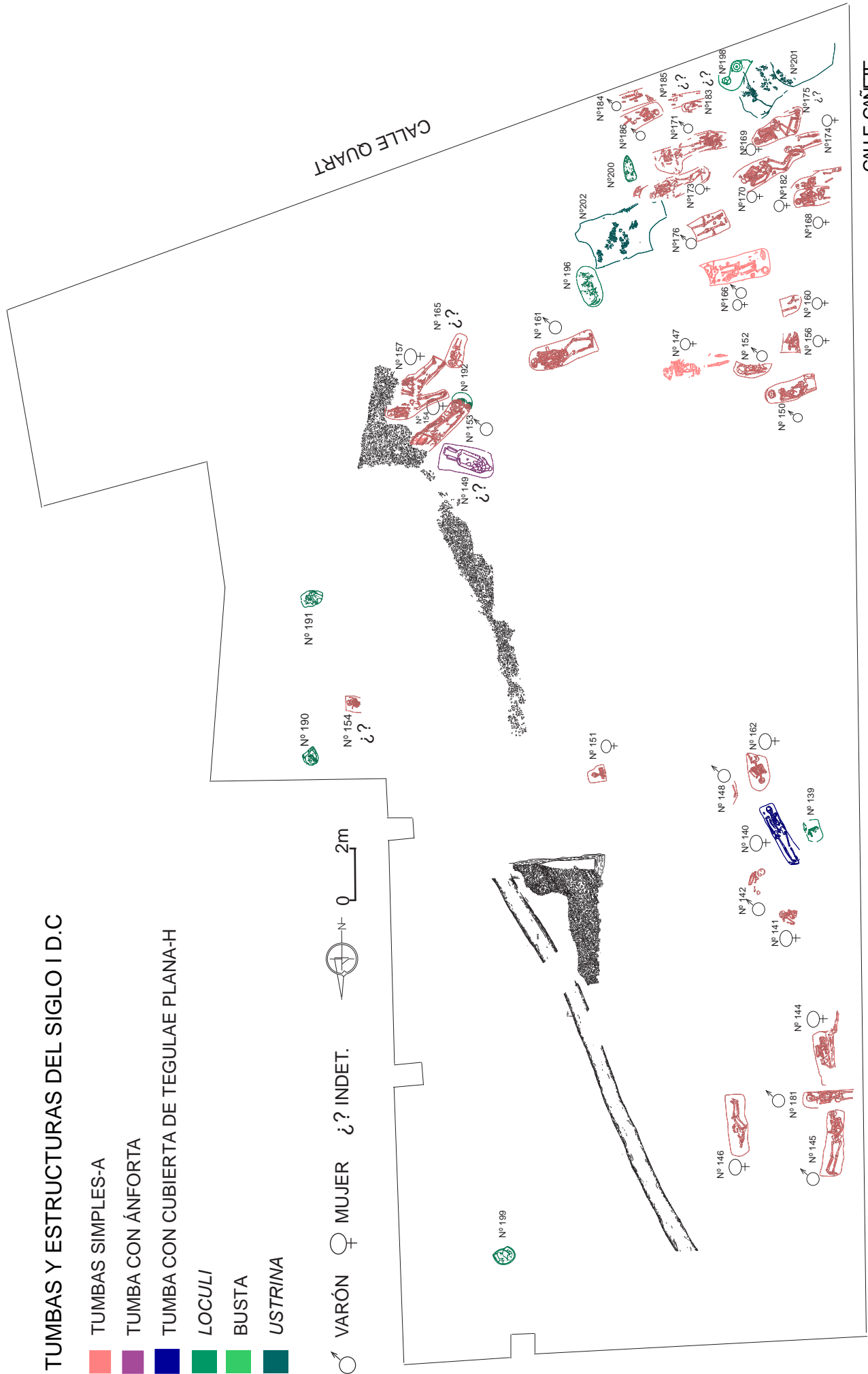
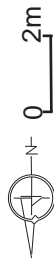
- Frustra. Localizada en la calzada. Debido al mal estado de conservación no se han podido obtener datos descriptivos. Peso: 7,4 g. Diámetro: 26 / 28mm.
- Frustra. Localizada en la calzada. Debido al mal estado de conservación no se han podido obtener datos descriptivos. Peso: 6,8 g. Diámetro: 25mm.

5.4.4 Láminas del periodo imperial (siglos I-III d.C)

TUMBAS Y ESTRUCTURAS DEL SIGLO I D.C

- TUMBAS SIMPLES-A
- TUMBA CON ÁNFORTA
- TUMBA CON CUBIERTA DE TEGULAE PLANA-H
- LOCULI
- BUSTA
- USTRINA

♂ VARÓN ♀ MUJER ¿? INDET.



CALLE CAÑETE

Lámina 5.38: Tipos de tumbas y estructuras S. I d.C

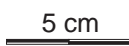
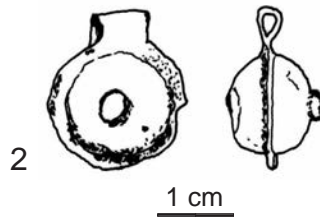
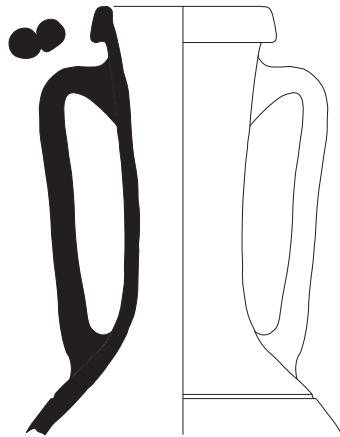
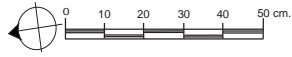
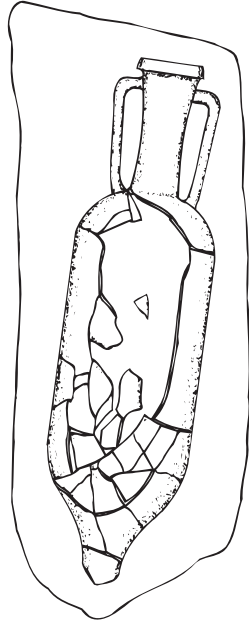
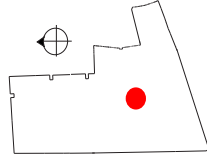


Lámina 5.39: Tumba nº 149

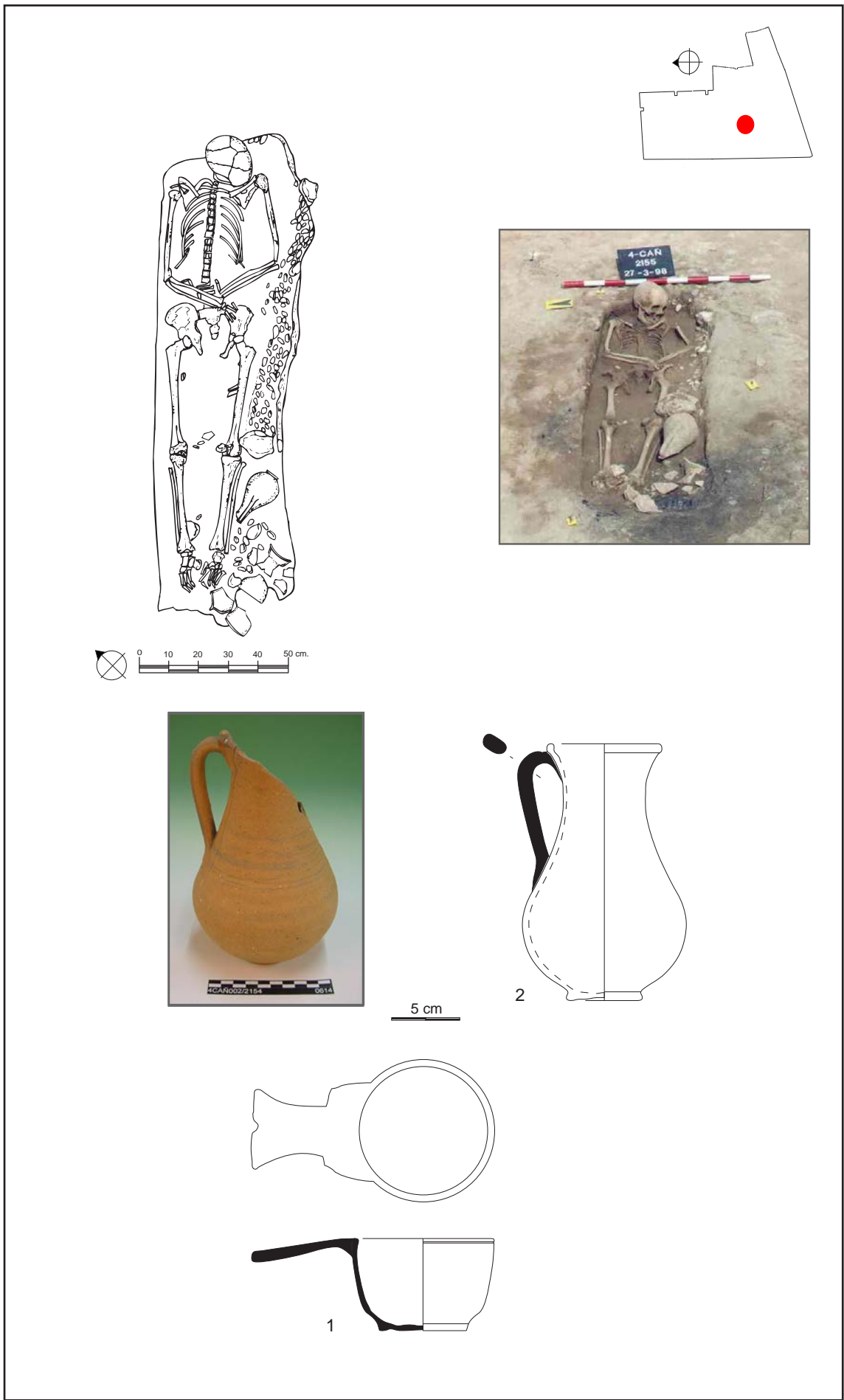


Lámina 5.40: Tumba nº 153

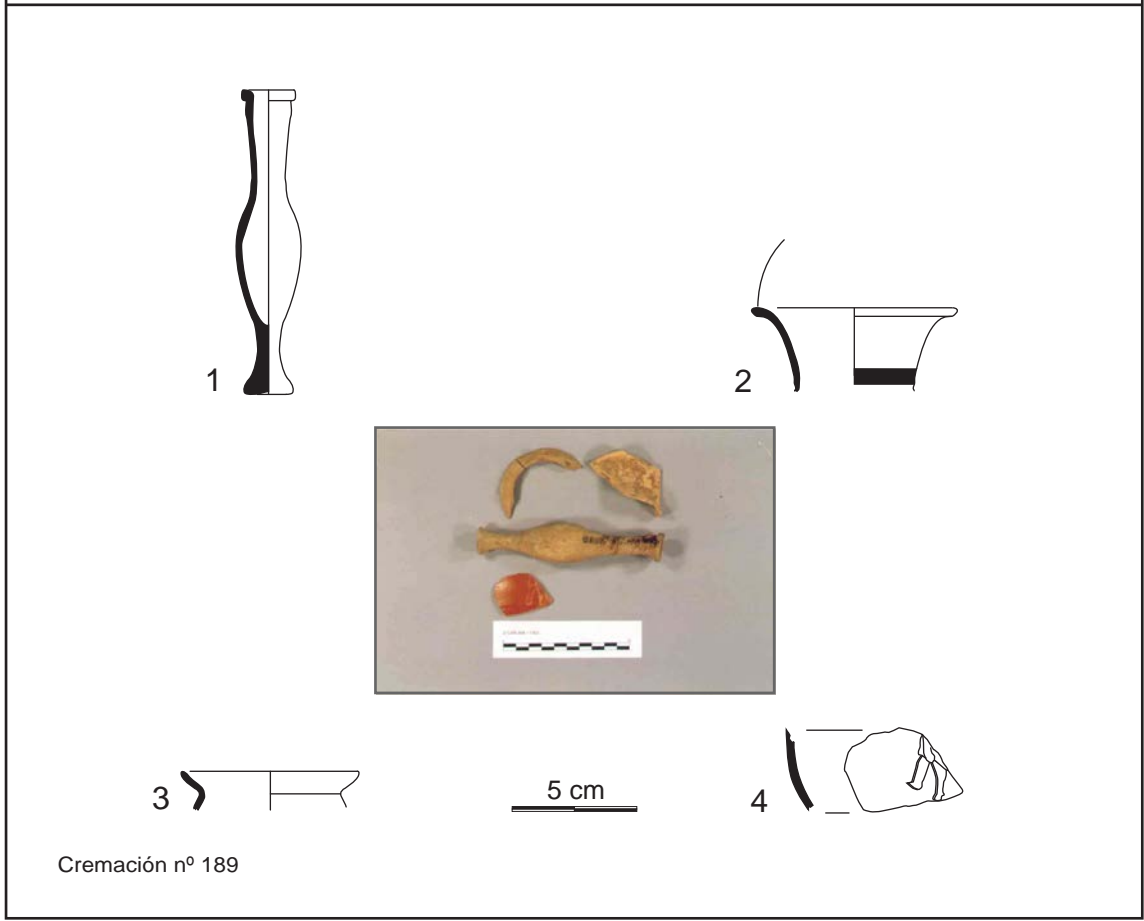
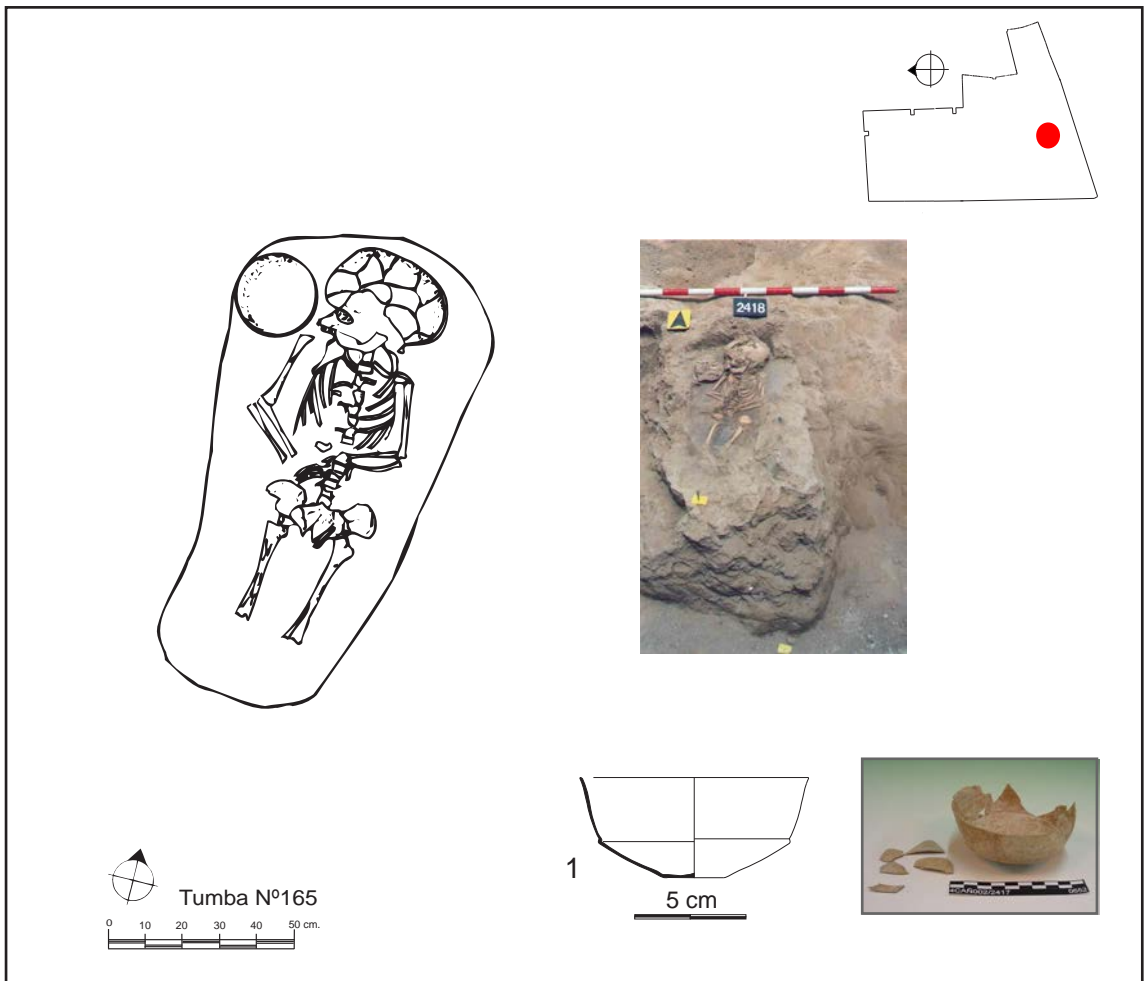


Lámina 5.41: Tumba n° 165 y Cremación n° 189

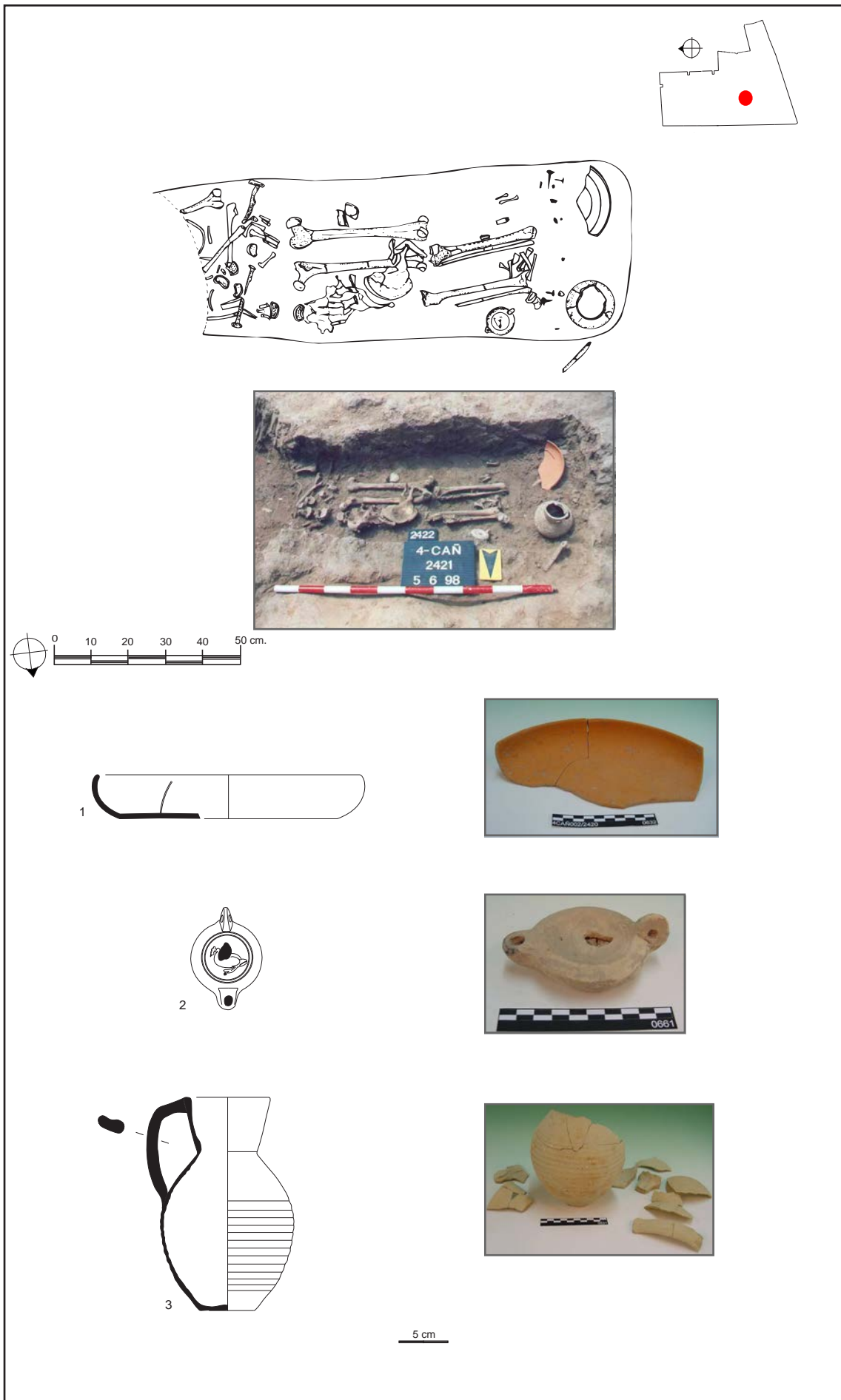


Lámina 5.42: Tumba nº166

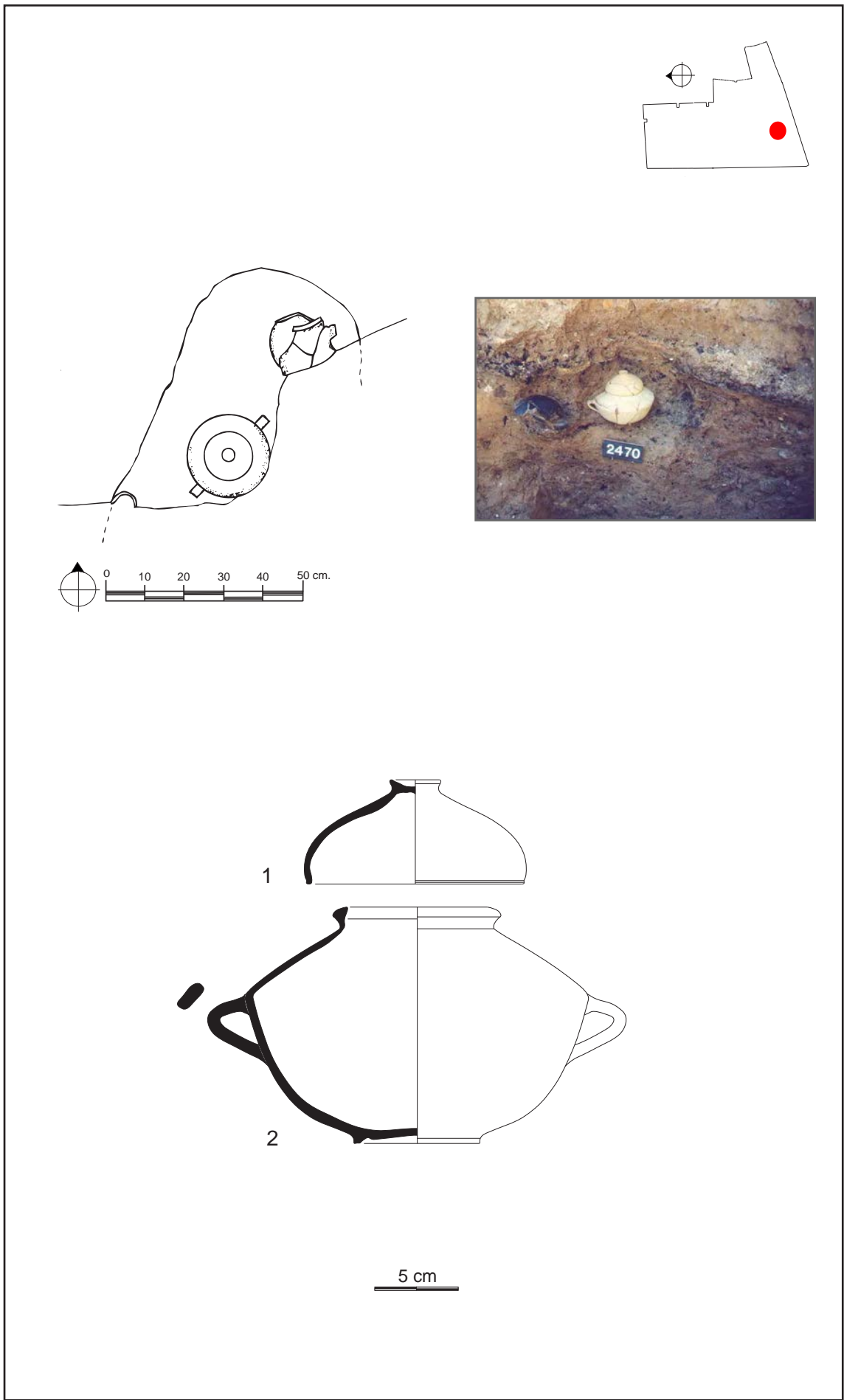


Lámina 5.43: Cremación 198

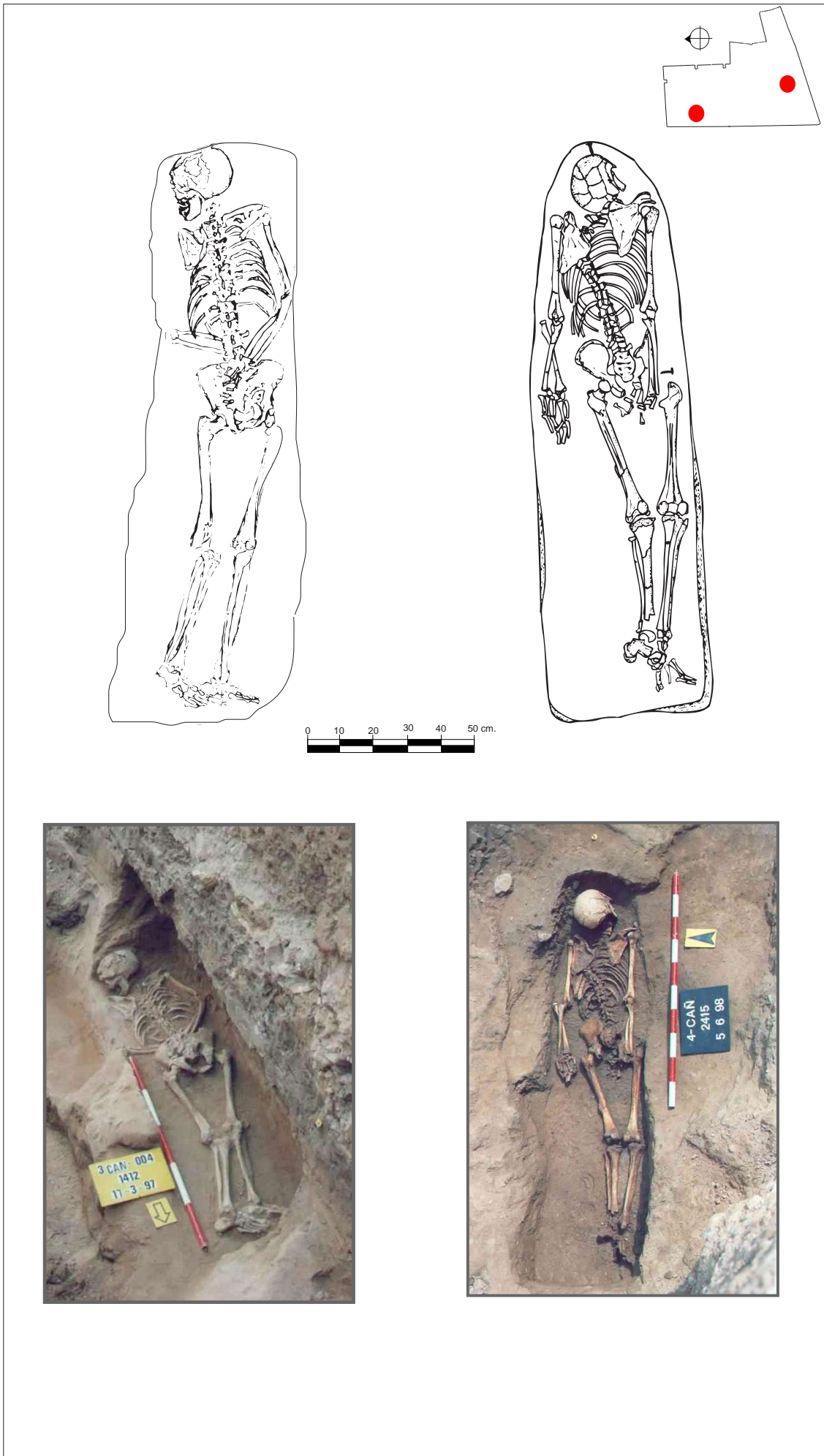


Lámina 5.44: Tumbas nº 145, nº 163 y nº 164

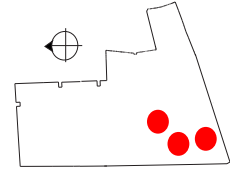


Lámina 5.45: Tumbas nº 164, nº 166 y nº 168

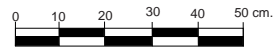
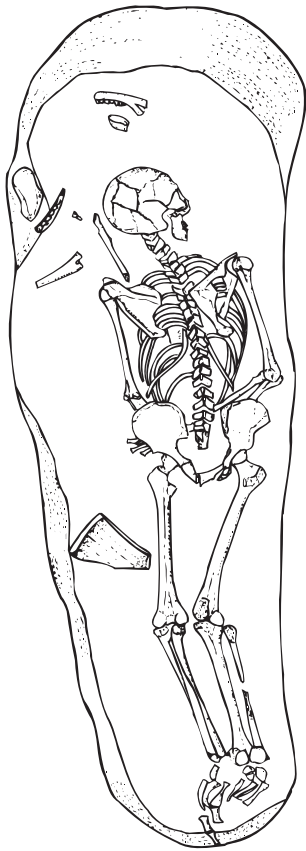
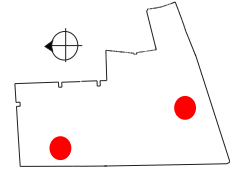
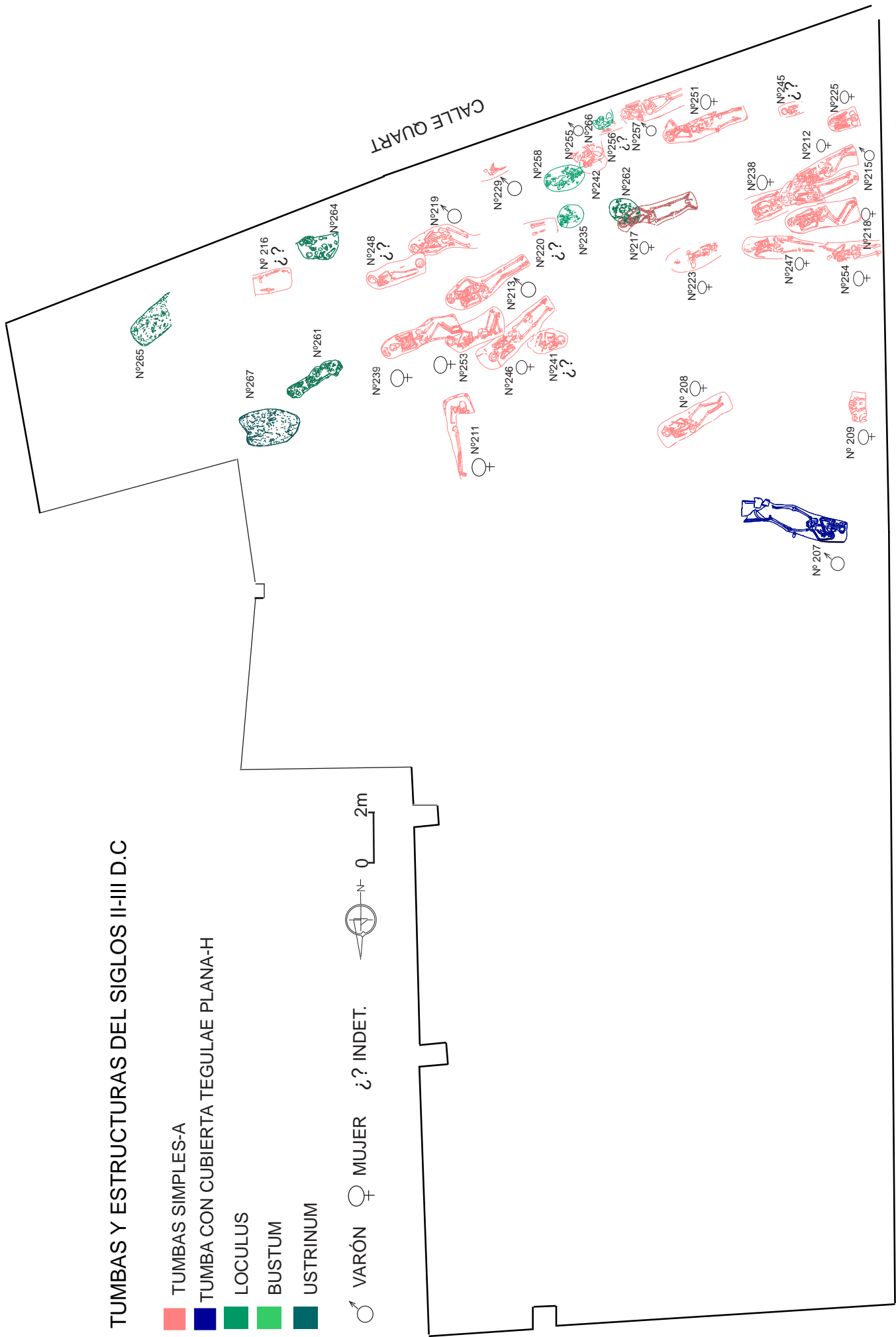


Lámina 5.46: Tumbas nº 173 y nº 227

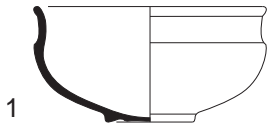
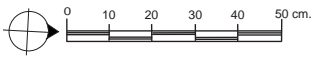
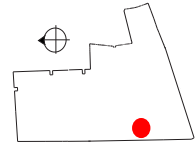
TUMBAS Y ESTRUCTURAS DEL SIGLOS II-III D.C

- TUMBAS SIMPLES-A
- TUMBA CON CUBIERTA TEGULAE PLANA-H
- LOCULUS
- BUSTUM
- USTRINUM
- ♂ VARÓN ♀ MUJER ¿? INDET.



CALLE CAÑETE

Lámina 5.47: Tipos de tumbas y estructuras Siglos II-III d.C



5 cm

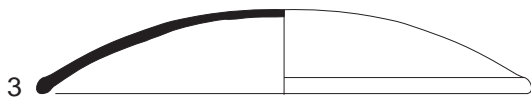


Lámina 5.48: Tumba n° 209

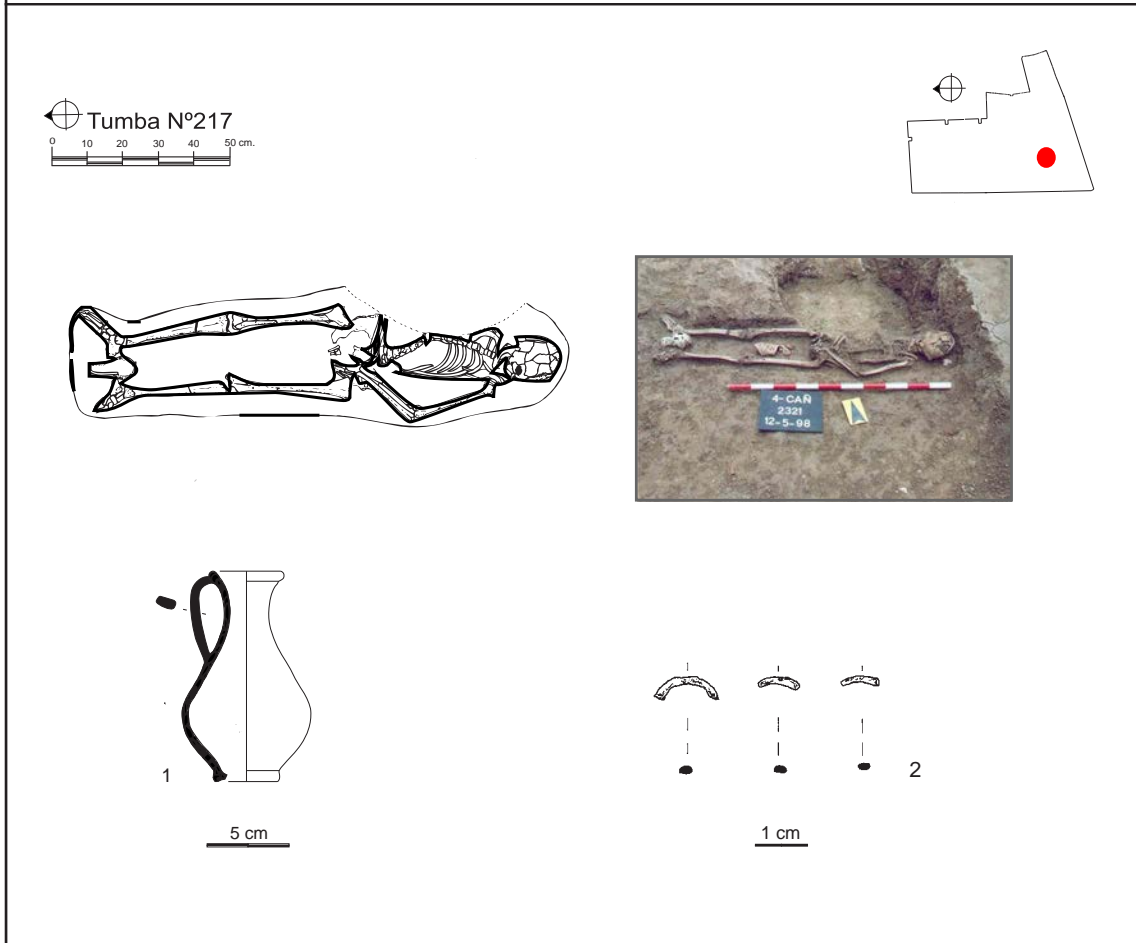
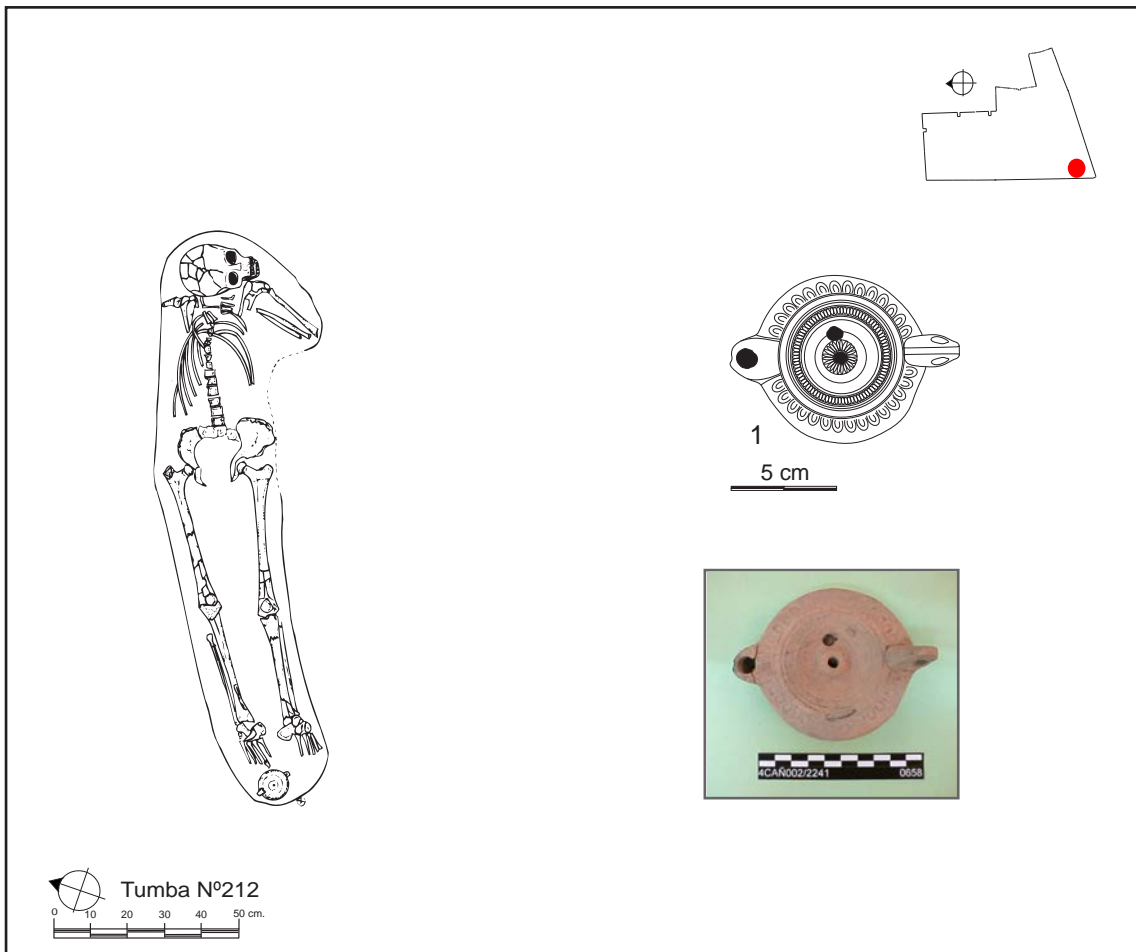


Lámina 5.49: Tumbas 212 y 217

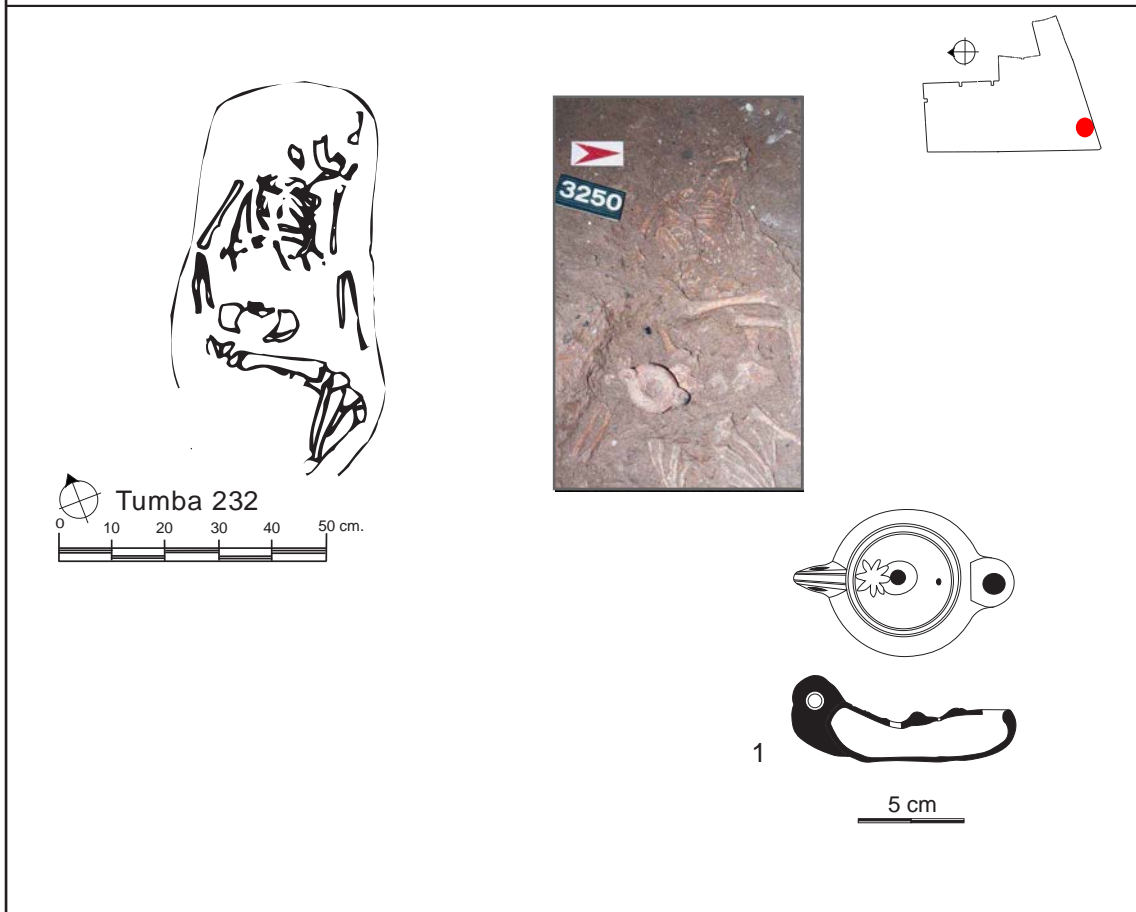
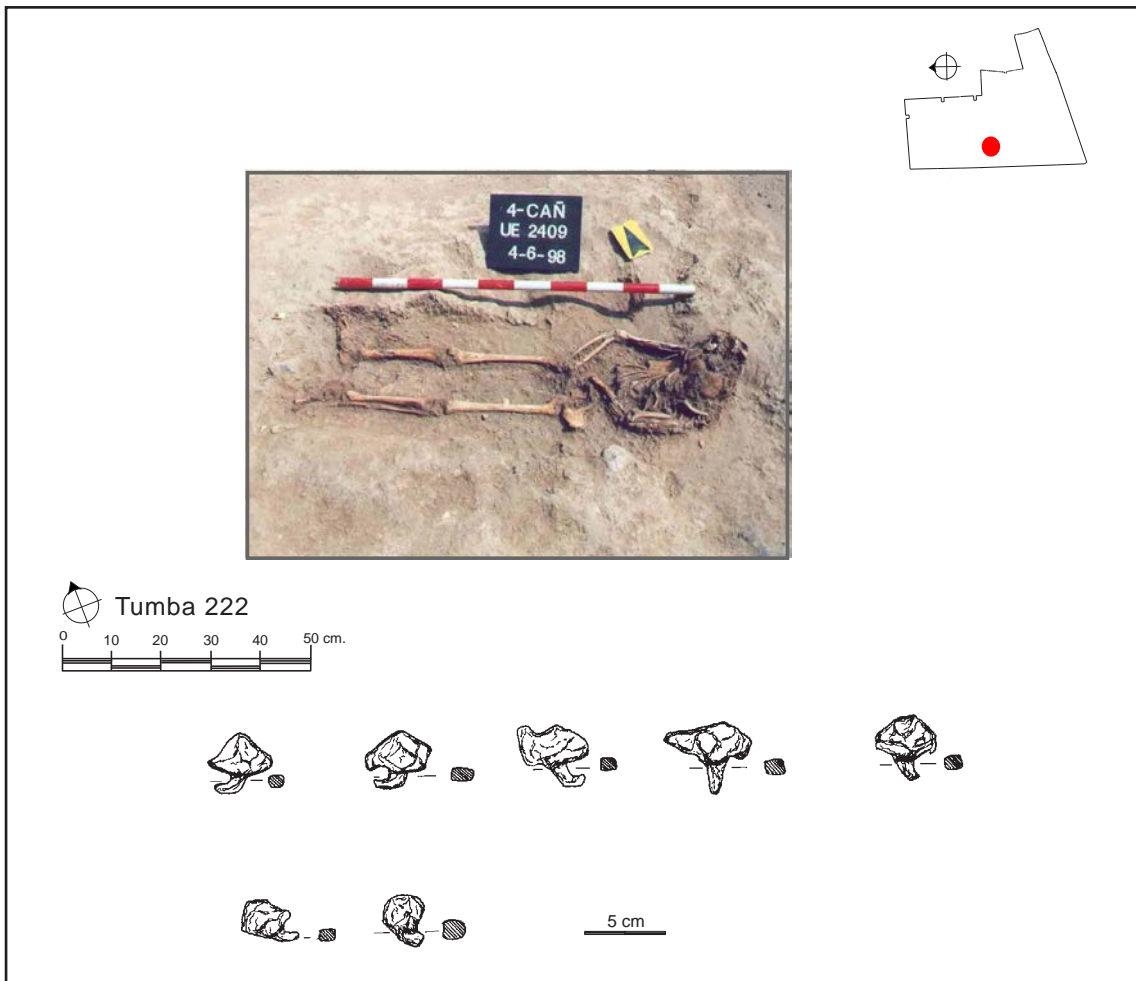


Lámina 5.50: Tumbas 222 y 232

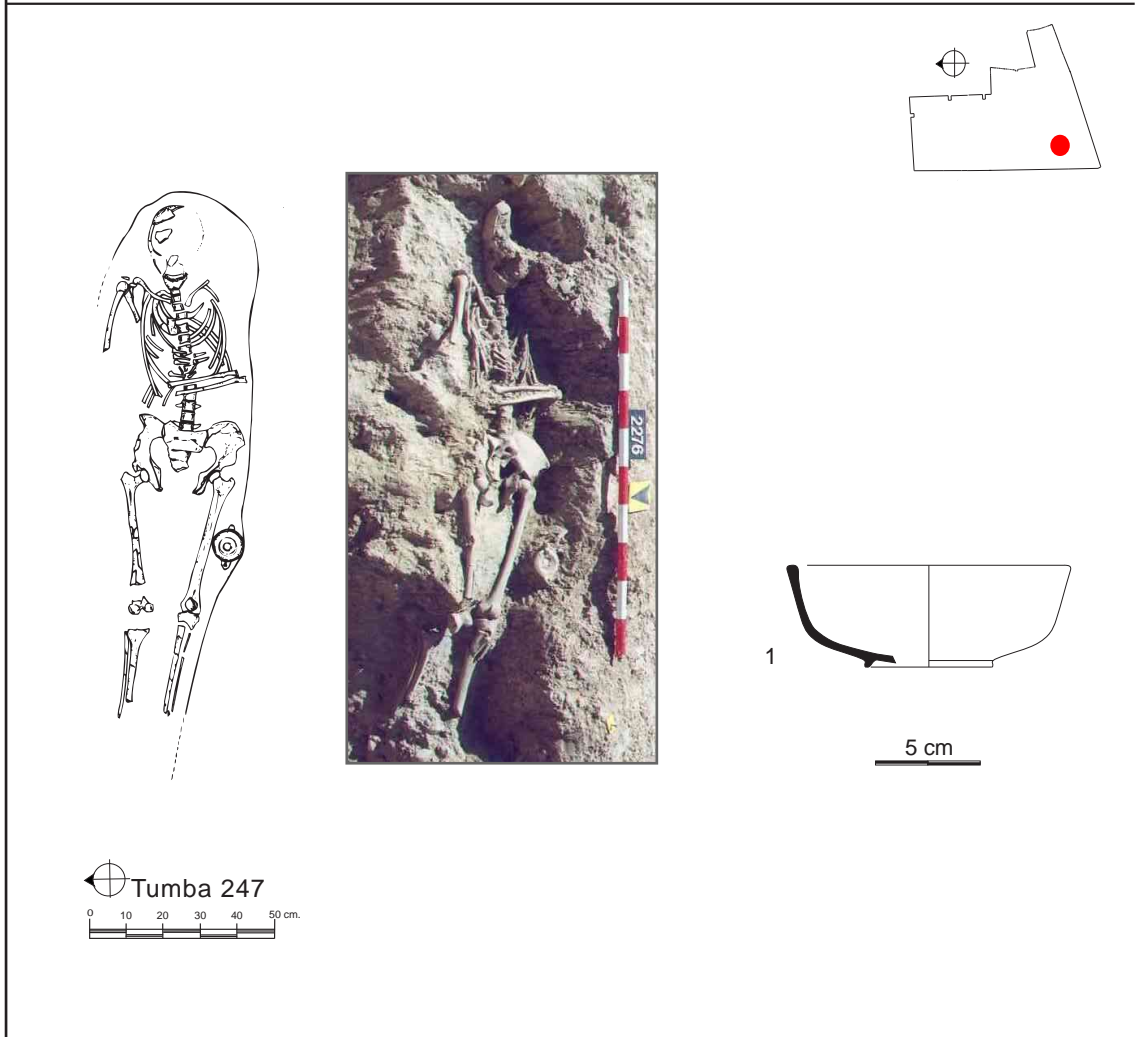
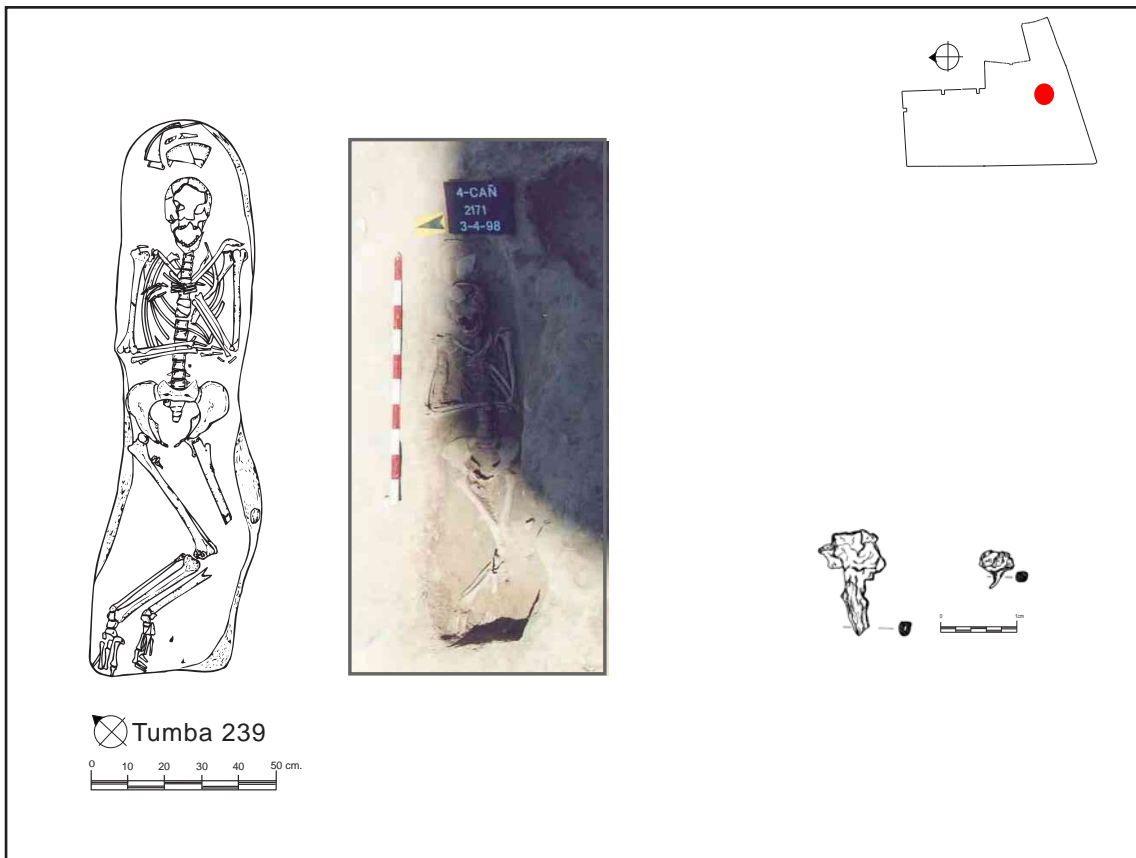


Lámina 5.51: Tumbas nº 239 y 247

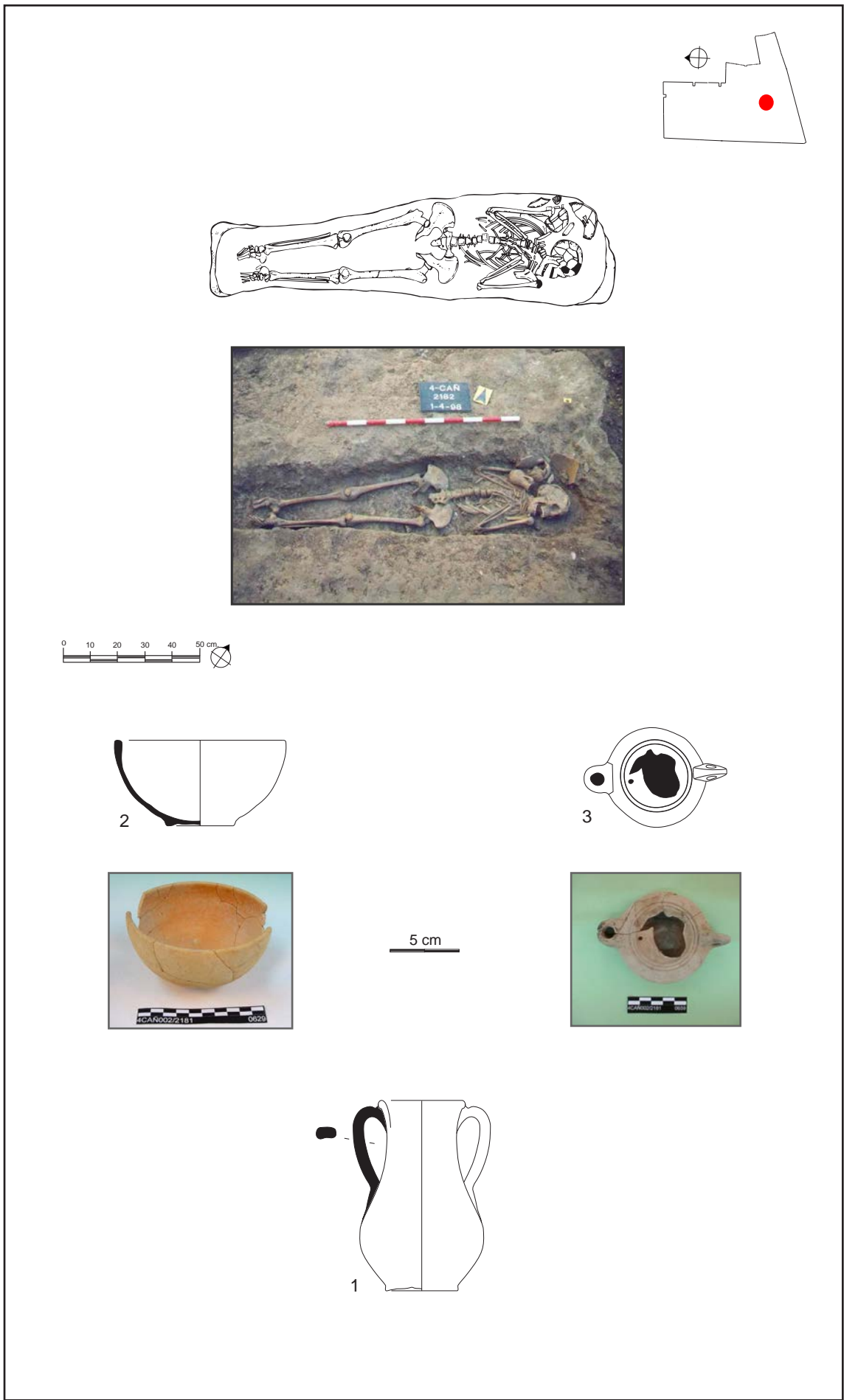


Lámina 5.52: Tumba nº 240

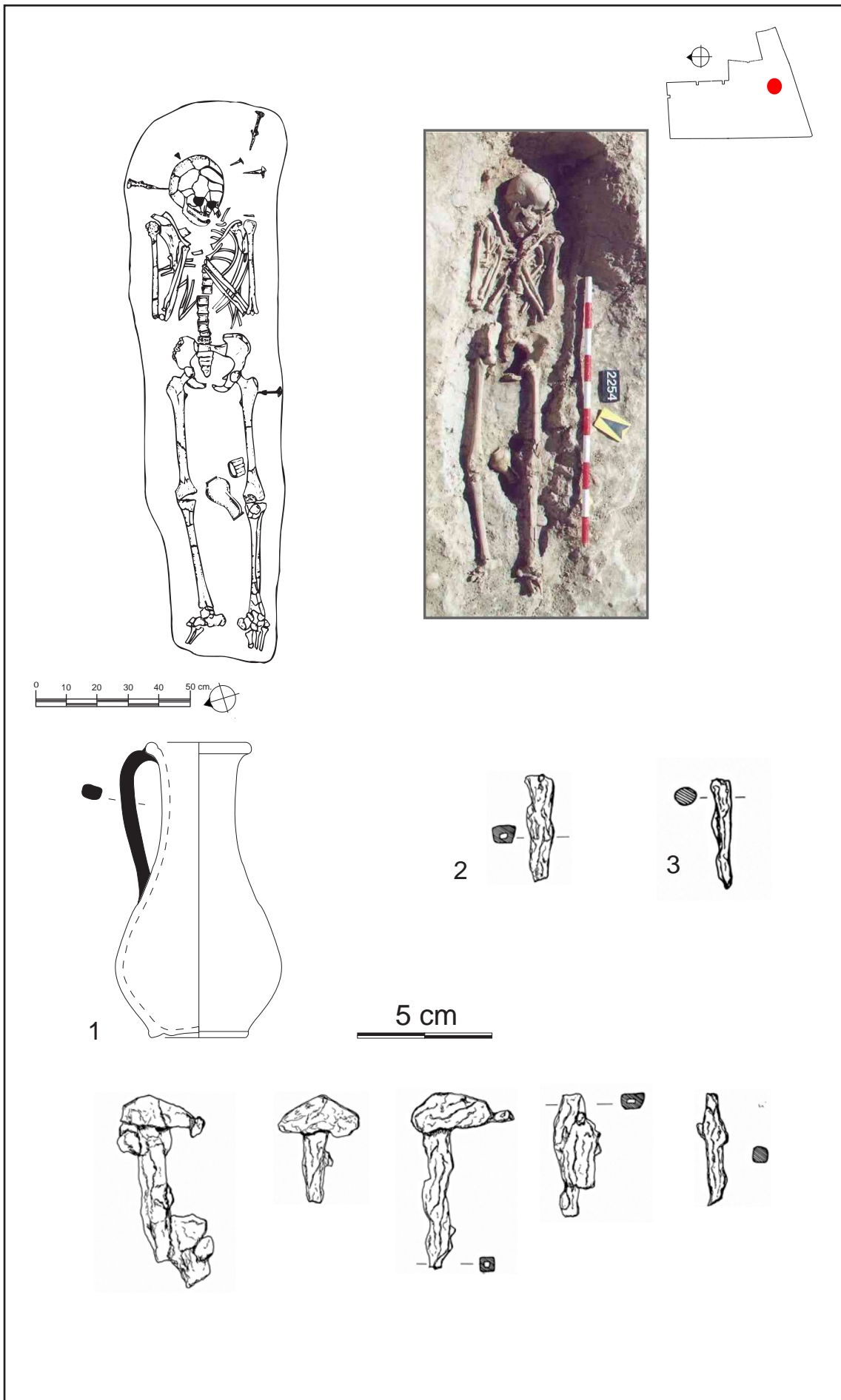


Lámina 5.53: Tumba 246

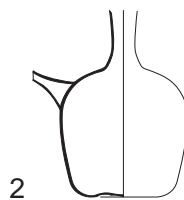
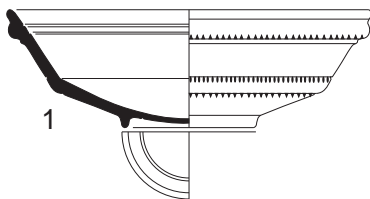
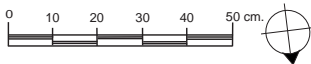
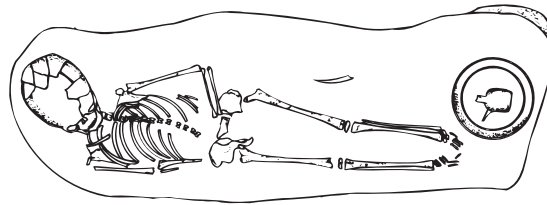
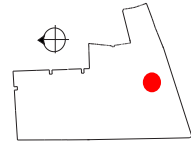


Lámina 5.54: Tumba nº 249

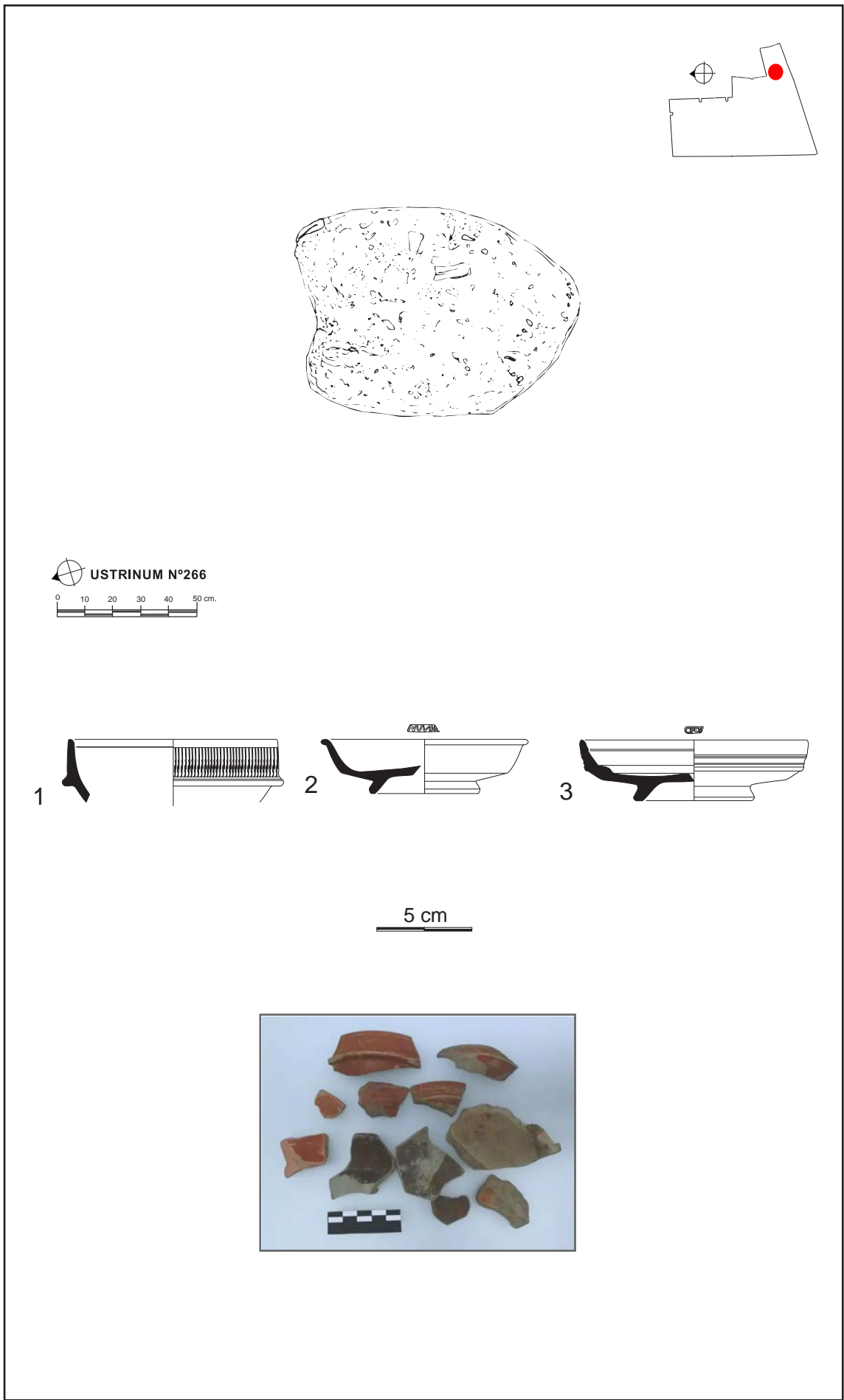
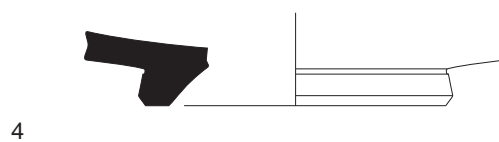
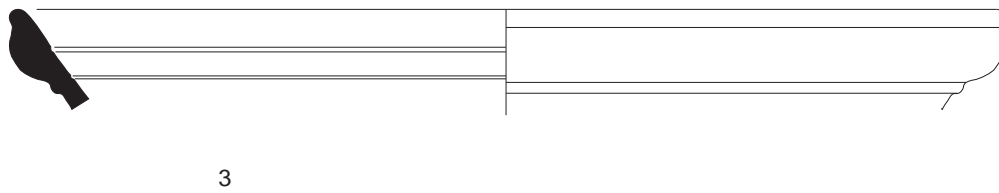
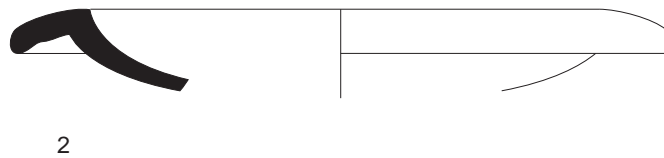
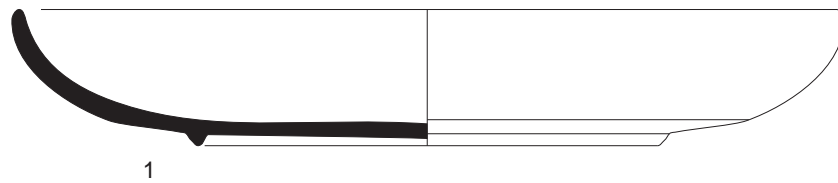
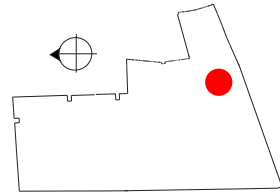


Lámina 5.55: *ustrinum* 267



5 cm



Lámina 5.56: Calzada nº2006

6. DISCUSIÓN

6.1 Algunos aspectos tafonómicos

Antes de empezar a describir las características de las fases funerarias y las estructuras que las componen, así como de analizar los aspectos más reveladores de los rituales practicados en cada una de estas secuencias cronológicas, bien vale hacer unas observaciones de tipo tafonómico que afectan al estado de conservación de las estructuras y que, en consecuencia, pueden condicionar la interpretación que de ellas se pueda hacer.

La necrópolis ya desde el momento inicial sufre constantes transformaciones que se traducen en una importante superposición estratigráfica que afecta a la conservación de los enterramientos. En relación con esta conservación es la afectación tafonómica que se observa en los esqueletos (%IC) (porcentaje de índice de conservación), en relación a la observación de unos u otros gestos funerarios y su estado, así como la conservación de los objetos procedentes del ajuar funerario.

La muestra observable y computable de enterramientos observa la categoría de “indeterminado” en aquellos casos que el esqueleto aparece prácticamente sin restos de estructura funeraria.

De la misma forma, la lectura de los gestos como la deposición, posición, mortaja, se ha sistematizado con un código numérico que referencia al tipo de gesto funerario (posición de extremidades superiores o inferiores, o bien deposiciones en la tumba, por poner algunos ejemplos).

La presencia de tinciones de color verdoso y ocre junto a la mandíbula o también en otras regiones anatómicas, son resultado de la oxidación de objetos metálicos como monedas, u otros elementos tales como brazaletes o anillos que formarían parte de la indumentaria. La coloración presente en la superficie cortical es por consecuencia de los procesos de putrefacción, que oxidan el metal, y tiñen de color la zona esquelética en contacto (Chimenos, 2000). Estos fenómenos se han observado en algunos casos como en las tumbas N° 41 de época republicana y las tumbas n° 217 y n° 251 de periodo imperial (Figuras 6.1, 6.2 y 6.3), entre otras.



Figura 6.1: Tinciones (rosarillos) en tercio medio de radio derecho. Tumba N° 41



Figura 6.2: Rosarillos a nivel maxilar (N°251) y en falange de mano izquierda (N°217)



Figura 6.3: Tumba n° 166

La propia actividad funeraria, condicionada por la “superpoblación” que tuvo la necrópolis en el momento inicial, y sobre todo, a partir de época augustea, provocó la superposición de enterramientos y en consecuencia, la intromisión de unas estructuras con otras en casos superponiéndose y en otros casos cortándolas, tal vez debido a una pérdida de memoria provocada por una ausencia de señalización. Además, los niveles estratigráficos de época islámica y bajo medieval también afectaron la fisonomía funeraria. Ejemplo de ello es el enterramiento imperial ejemplo de ello es el enterramiento nº 166 afectado por la construcción de un pozo que provocó la agrupación de parte del raquis del esqueleto y la pronación de ambos fémures.

6.2 Tipos de sepultura

En páginas anteriores ya hemos hecho referencia a que el sector de la necrópolis, objeto de nuestro estudio, presenta una amplia distribución del ritual inhumatorio y crematorio a lo largo de su cronología (Fig.6.4). Las inhumaciones y cremaciones se encuentran presentes en todas las fases, siendo mayores las primeras en detrimento de las segundas sin que ello sirva para hacer una inferencia a la extensión total de la necrópolis (cerca de 5.000m²) sin excavar en su mayoría, y que tal vez se comporte de forma diferente atendiendo a cuestiones cronológicas y/o rituales.

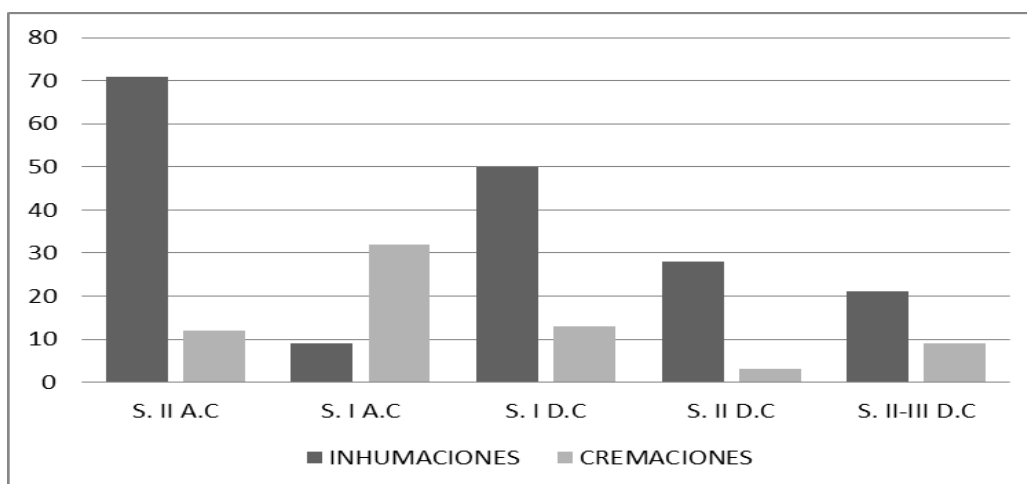


Figura 6.4: Distribución por siglos del número de inhumaciones y cremaciones de la necrópolis

Las estructuras funerarias correspondientes a tumbas de inhumación y cremación suman un total de 248, que suponen un número mínimo de individuos (NMI) de 261 restos humanos.

Tabla 6.1: Valores de NMI y número de tumbas para ambos ritos

	NMI			TUMBAS		
	INHUM	CREM	TOTAL	INHUM	CREM	TOTAL
SIGLO II A.C	76	12	88	71	12	83
SIGLO I A.C	9	32	40	9	32	41
SIGLO I D.C	54	13	67	50	13	63
SIGLO II D.C	29	3	32	28	3	31
SIGLO II-III D.C	22	9	31	21	9	30
TOTAL	190	61	261	179	69	248

Las tumbas de inhumación son un total de 179 para toda la cronología. Desde un punto de vista porcentual, el mayor número de tumbas esqueletos presentes en las inhumaciones (76) se da en las fases iniciales de la necrópolis (S.II a.C.) con un 40% sobre el total de esqueletos (190), seguido con cierta distancia el 28,42% del siglo I d.C. (Fig. 6.5).

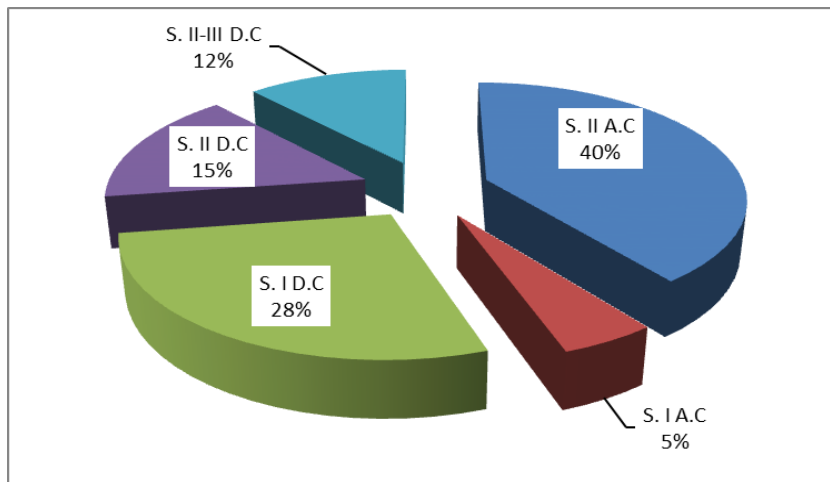


Figura 6.5: Distribución por siglos y porcentaje sobre el total de esqueletos en inhumaciones

Las tumbas de cremación suman un total de 69 para todas las fases cronológicas. Durante la fase del siglo I a.C. se produce un repunte en la práctica crematoria, sobre todo para las secundarias (*loculi*) con un 42,03% de las practicadas en la necrópolis a lo largo de toda la cronología (Figura 6.6).

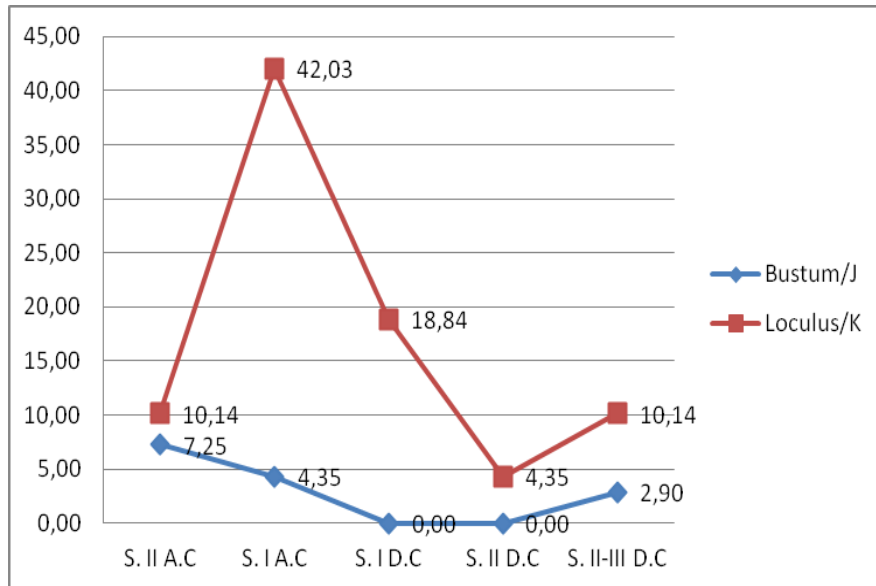


Figura 6.6: Porcentaje y distribución cronológica de las tumbas de cremación

Además de las tumbas esta necrópolis se caracteriza por la presencia de un total de 20 estructuras eminentemente funerarias. Nos referimos a los cenotafios, *ustrina*, calzadas, y otras infraestructuras que estaban presentes de alguna u otra forma en todas las fases (Tabla 6.2).

Tabla 6.2: Representación de estructuras funerarias por cronología y número

	<i>USTRINA</i>	CENOTAFIO	ZANJA	CALZADA	CANALIZ.	CANAL	BASURERO
SIGLO II A.C	1	5	1				
SIGLO I A.C	3			1	1	1	
SIGLO I D.C	2			2			1
SIGLO II D.C							
SIGLO II-III D.C	1			1			
TOTAL	7	5	1	4	1	1	1

Los enterramientos tanto de inhumación como de cremación tienen características bien definidas que nos han permitido establecer una sencilla tipología para su descripción en particular y como integrantes de un grupo morfológico más global (Tabla 6.3).

Tabla 6.3: Tipología de enterramiento y representatividad por cronología y número

	S. II A.C	S. I A.C	S. I D.C	S. II D.C	S. II-III D.C	TOTALES
TIPO	NÚMERO	NÚMERO	NÚMERO	NÚMERO	NÚMERO	NÚMERO
indet.	0	1	2	0	0	3
Simple/A	58	7	46	27	21	159
Simple/B	3	0	0	0	0	3
F. Común/C	1	0	0	0	0	1
Doble/D	1	0	0	0	0	1
Adobes/E	1	0	0	0	0	1
<i>Ustrinum</i> /F	1	0	0	0	0	1
Cámara/G	6	0	0	0	0	6
<i>Tegulae plana</i> /H	0	0	1	1	0	2
Ánfora/I	0	1	1	0	0	2
Total inhumac.	71	9	50	28	21	179
<i>Bustum</i> /J	5	3	0	0	2	9
<i>Loculus</i> /K	7	29	13	3	7	60
Total cremac.	12	32	13	3	9	69
TOTAL Nº	83	41	63	31	30	248

En este sentido y con respecto a las inhumaciones podríamos decir que las denominadas Simples/A están caracterizadas por ser fosas excavadas en la tierra (ya sean los sedimentos naturales de arcillas y limos arenosos de la etapa inicial, como los estratos antropizados, presentes en la estratigrafía de época imperial). Tenían una morfología alargada y ajustada al esqueleto. Es el tipo de enterramiento más representativo a lo largo de toda la cronología, de hecho, supone el 88,83% del total de inhumaciones excavadas.

Hay un número muy reducido de tumbas cuyo estado deficiente de conservación no ha permitido establecer una tipología de forma clara (aunque bien podrían atribuirse al tipo A), y se les ha considerado como indeterminadas. En toda la necrópolis se trata de tres casos: la tumba Nº 91 del siglo I a.C. de la que no se detectó fosa; dos casos en el siglo I d.C., la tumba Nº 180, justo por debajo del límite oeste con la calle Cañete, y la Nº 187 de la que solo se hallaron los restos de la calota craneal.

Las tumbas de inhumación del tipo Simples/B, se caracterizan por ser de mayores dimensiones, todas ellas adscritas al momento inicial de la necrópolis. Se trata de tres tumbas suponiendo un 1,68 % de las tumbas de inhumación.

El tipo fosa común/C o también denominado *putticulus*, está representado en un solo ejemplo en la necrópolis y supone un 0,56% del total del rito inhumatorio. De mala conservación en su interior se hallaron restos óseos de al menos 5 individuos.

Se ha documentado una fosa con un doble enterramiento inhumatorio denominado tumba doble/D, supone también el 0,56 % de las tumbas de inhumación. Esta tumba alberga dos individuos depositados en dos momentos cronológicos.

La tumba de adobes/E, también supone un caso en toda la secuencia. Se caracteriza por tener las paredes y cubierta a doble vertiente toda ella hecha con adobes de arcilla.

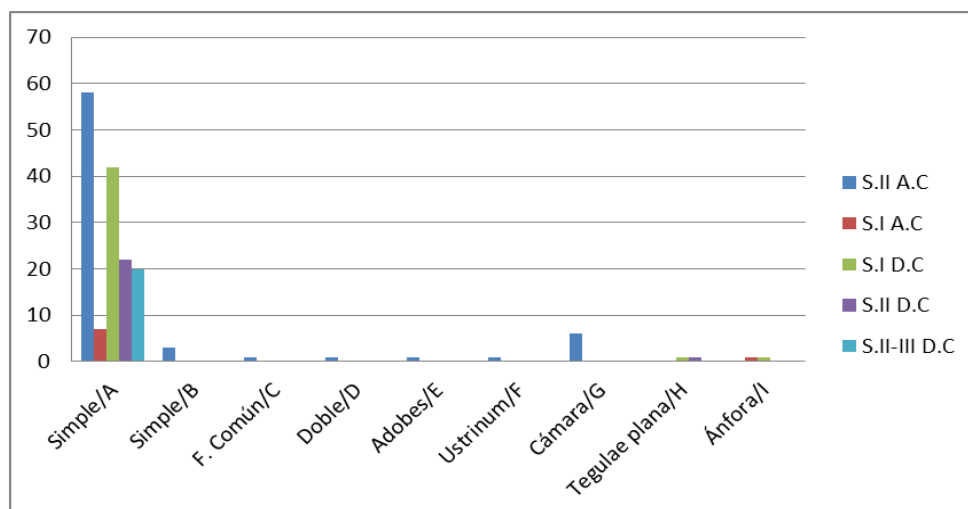
La inhumación denominada *ustrinum*/F se trata de una antigua pira funeraria construida y utilizada durante el periodo más antiguo de toda la necrópolis, que fue reutilizada como inhumación para albergar en su interior dos individuos.

Las tumbas de cámara/G o hipogeos se han documentado en seis casos suponiendo el 3,35% del número total de inhumaciones excavadas.

Las tumbas de *Tegulae* plana/H, se han documentado en dos casos y en época imperial suponiendo un 1,12 % del total de inhumaciones. Este tipo se caracteriza por el empleo de la *tegulae* como cubierta de la tumba, dispuesta de forma plana, y la fosa excavada directamente en los estratos de tierra.

Las tumbas con ánfora/I siempre con restos de individuos infantiles en su interior, se han documentado en dos casos suponiendo el 1,12% de inhumaciones totales.

Figura 6.7: Representación de tipos de tumbas de inhumación por cronologías



El ritual de la cremación está representado por cremaciones primarias (*bustum/J*) y cremaciones secundarias (*loculus/K*) presentes a lo largo de la cronología (ver tabla *infra*).

Tabla 6.4: Tipos de enterramiento y frecuencia de la cremación a lo largo de toda la cronología

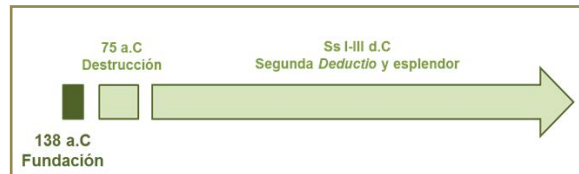
	S. II A.C	S. I A.C	S. I D.C	S. II D.C	S. II-III D.C	TOTAL
Bustum/J	5	3	0	0	2	10
%	5,25	4,35	0,00	0,00	2,90	14,40
Loculus/K	7	29	13	3	7	59
%	10,14	42,03	18,84	4,35	10,14	85,51
Total cremac.	12	32	13	3	9	69

Con respecto a las primeras se han clasificado como *Bustum/J* y se han documentado 10 casos en todas la cronología suponiendo el 13.04% de las cremaciones documentadas (Tabla 6.4).. Las cremaciones secundarias (*loculus/ K*) representan el mayor número con un total de 60 tumbas suponiendo el 86.96% del rito de la cremación. Con respecto a estas últimas hay que mencionar aquellos *loculi* que contienen urna cerámica de tradición indígena que con tan solo 6 casos suponen el 8.33% de las cremaciones totales documentadas.

6.3 Periodo republicano

6.3.1 Fase republicana (último tercio del Siglo II a.C.)

El lugar de enterramiento escogido para los primeros pobladores de *Valentia*, fue una zona semi elevada, no apta para el cultivo, y alejada del foro republicano a



unos 700 metros de distancia. Los primeros enterramientos estaban a escasos metros de un camino rural que conectaba con la ciudad hacia el este, y con las tierras del interior por el oeste. Con el tiempo este camino se consolidó como el decumano máximo, hoy en día la calle Quart (Lámina 5.1).

Este *locus sepulcralis*, es el único, hasta el momento, para el momento fundacional de la ciudad si bien los numerosos trabajos arqueológicos desarrollados en el casco histórico no ha dado con otro lugar de enterramiento que completara el panorama funerario para este momento histórico.

La topografía funeraria denota una importante superposición de tumbas simples, y cremaciones que ponen de manifiesto una carencia del espacio, y una posible pérdida de la memoria de los enterramientos. En las páginas siguientes se intentará aclarar las posibles causas pero tal vez podamos ya adelantar que esta superposición se deba a una ausencia de señalización, o por la propia premura de tener que efectuar los primeros enterramientos inmediatamente después de la llegada de los colonos.

De este momento primigenio se han documentado un total de 83 enterramientos de los cuales 71 son inhumaciones y 12 cremaciones. De acuerdo con estos datos, desde un primer momento se dio una actividad funeraria importante con una coexistencia de ambos ritos, aunque con un mayor número de inhumaciones en detrimento de las cremaciones.

Por norma general, las tumbas de inhumación presentaban unas características variables en cuanto al tamaño, orientación, posición del esqueleto, ajuar y se agrupaban según diferentes patrones.

A continuación describiremos los tipos de enterramiento para cada práctica ritual, junto con características propias como los gestos funerarios, tipología de ajuar, aspectos antropológicos y paleopatológicos que ayuden a profundizar en el panorama funerario de *Valentia* (Figura 6.8).

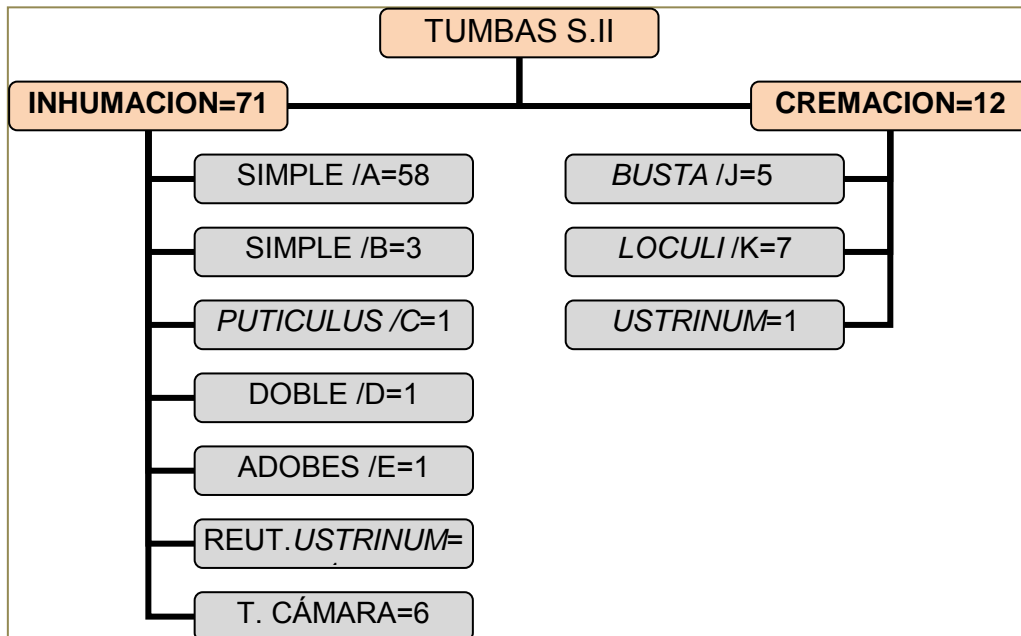


Figura 6.8: Organigrama del panorama funerario de la necrópolis de la fase inicial

El número de tumbas de esta primera fase funeraria, no corresponde con el número mínimo de individuos hallados en su interior, presentando un cómputo mayor. Ello se debe en parte al tipo de enterramiento documentado como el *puticulus*, o las inhumaciones que reutilizaban una de las piras funerarias (Figura 6.8 y Tabla 6.5).

Tabla 6.5: Relación entre los tipos de tipos de tumbas y el número de esqueletos

TIPO	S. II A.C	
	tumba	esqueleto
indet.	0	0
Simple/A	58	58
Simple/B	3	3
F. Común/C	1	5
Doble/D	1	2
Adobes/E	1	1
<i>Ustrinum</i> /F	1	2
Cámara/G	6	6
Ánfora/I	0	0
Total.	71	77

La práctica del rito de la cremación es patente en esta fase republicana antigua con la presencia de 5 primarias (*busta*) y 7 secundarias (*loculi*) y un *ustrinum*. Con respecto al NMI resultante del estudio de laboratorio cabe señalar que de las 12 tumbas analizadas, siete conservaban restos antropológicos aportando un NMI de 10 para la muestra analizada.

6.3.1.1 Tumbas de inhumación y gestos funerarios

6.3.1.1.1 Fosas simples, tipo (A)

Este tipo de sepultura es el más representado no solo en este momento cronológico de la necrópolis sino también durante las fases posteriores. No en vano, supone uno de los tipos más frecuentes de sepultura en el mundo romano occidental para el ritual de la inhumación (Blaizot, 2009).

Las fosas simples son el tipo de enterramiento más numeroso con un total de 61 casos, entre los que cabe hacer una distinción entre fosas simples/A (58) y fosas simples de mayor tamaño /B (3).

Se caracterizaban por ser las más numerosas con 58 casos. Las estructuras de este tipo, estaban excavadas en los sedimentos naturales de arcillas y arenas estériles. Se ajustaban al cuerpo del finado y no siguen un patrón ni organización en cuanto a criterios como orientación, presencia/ausencia de ajuar funerario, sexo, edad y gestos funerarios tal y como se describen a continuación.

Con respecto a la orientación de este tipo de tumba se observa un predominio de la orientación E-O con un número de 19 casos.

Tabla 6.6: Porcentajes de orientación de las tumbas tipo simple/A

ORIENTACION	E-O	O-E	N-S	S-N	N.E-S.O	N.O-S.E	S.E-N.O	S.O-N.E	INDET
(n=58)	19	9	7	5	2	6	4	2	4
%	32.76	15.52	12.07	8.62	3.45	10.34	6.90	3.45	6.90

La elección de la orientación no responde a criterios de organización en este sector de la necrópolis, al menos para este momento. No parece estar ligada a la situación topográfica y relacionada con la edad o el sexo del individuo inhumado. De la misma forma y ante los datos de que disponemos, no podemos establecer una relación directa entre el predominio de orientación (E-O, la cabeza al Este), la estación del año y el

momento del entierro, tal y como se afirma para el caso del sector de la necrópolis en la calle de la Misericordia (Rosselló y Ruiz, 1996).

A) Gestos funerarios. Determinación de la edad

En este apartado se presentan aspectos relativos a características de edad, sexo, deposición y posición de individuo en el interior de la tumba, la presencia o ausencia de mortaja, así como la descripción y cuantificación del tipo de descomposición del cuerpo tras los procesos de putrefacción de las partes blandas del esqueleto.

Al igual que en la serie republicana haremos inferencias sobre los gestos funerarios observables en los enterramientos infantiles presentes en las tumbas simples/A.

La mayor parte de los enterramientos del tipo A, corresponden a individuos adultos (20-40 años) con 39 casos, siete de edad madura (40-60 años), seis casos juveniles (13-20 años), y seis casos de infantiles con rangos de edad entre los (0-12 años) (Tabla 6.7).

Tabla 6.7: Número de casos distribuidos por edades

EDAD	CASOS
INFANTIL I	1
INFANTIL II	5
JUVENIL	6
JOVEN	39
MADURO	7

Desde un punto de vista porcentual, los grupos de **edad** y el número de casos representados suponen el 75,32% del total de los esqueletos de la fase del siglo II a.C. y el 30,53% del total de los esqueletos analizados de la necrópolis (Tabla 6.8).

Tabla 6.8: Porcentajes y representatividad por edades en las tumbas simples A

	NMI	NMI (S.II a.C.) (77)	NMI NECRÓPOLIS (179)
INFANTIL I	1	1,30%	0,53%
INFANTIL II	5	6,49%	2,63%
JUVENIL	6	7,79%	3,16%
JOVEN	39	50,65%	20,53%
MADURO	7	9,09%	3,68%
TOTAL	58	75,32	30,53

B) Determinación sexual

Con respecto a los resultados obtenidos con la **determinación sexual** decir que hay un predominio del sexo varón con (19) casos seguido por el sexo mujer con 15 casos y los indeterminados con 5 ejemplos. Los individuos juveniles están representados por (1) varón, (2) mujeres y (3) casos indeterminados (3). La determinación del sexo en individuos maduros es también predominante en varones (4) con muy poca diferencia

con respecto a las mujeres (3). La determinación de la edad en individuos infantiles es muy poco fiable por lo que se han atribuido como indeterminados (Figura 6.9).

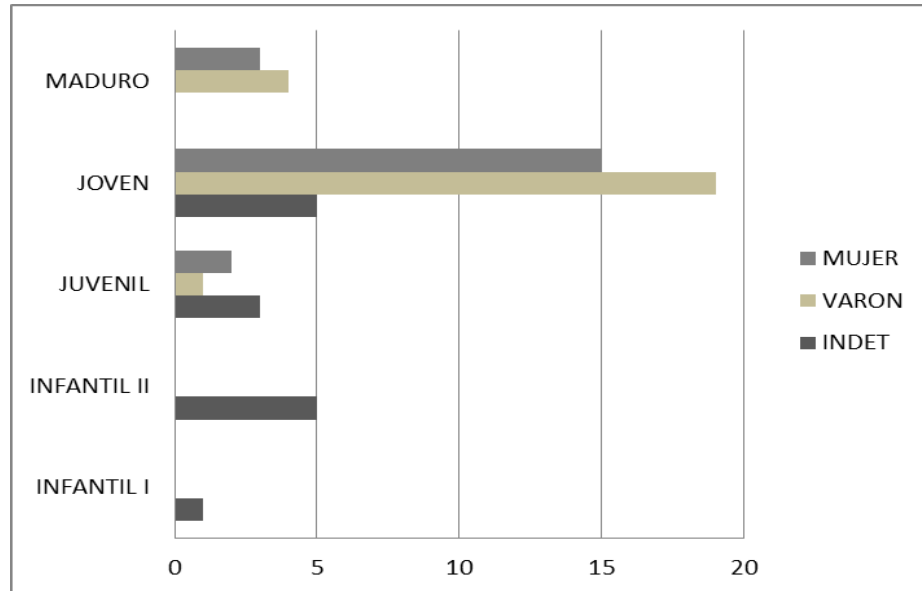


Figura 6.9: Distribución de edad y sexos de los individuos enterrados en fosas simples

Aparentemente la distribución por edad y sexos en la topografía funeraria no es muy determinante. No parece que haya un lugar destinado a los diferentes sexos y edades (varones, mujeres e incluso para los niños). La organización del espacio funerario parece responder más bien a criterios de espacio sobre todo para las tumbas simples que de forma abigarrada e incluso afectándose, se distribuyen en el centro septentrional de la cata arqueológica (Figura 6.10).

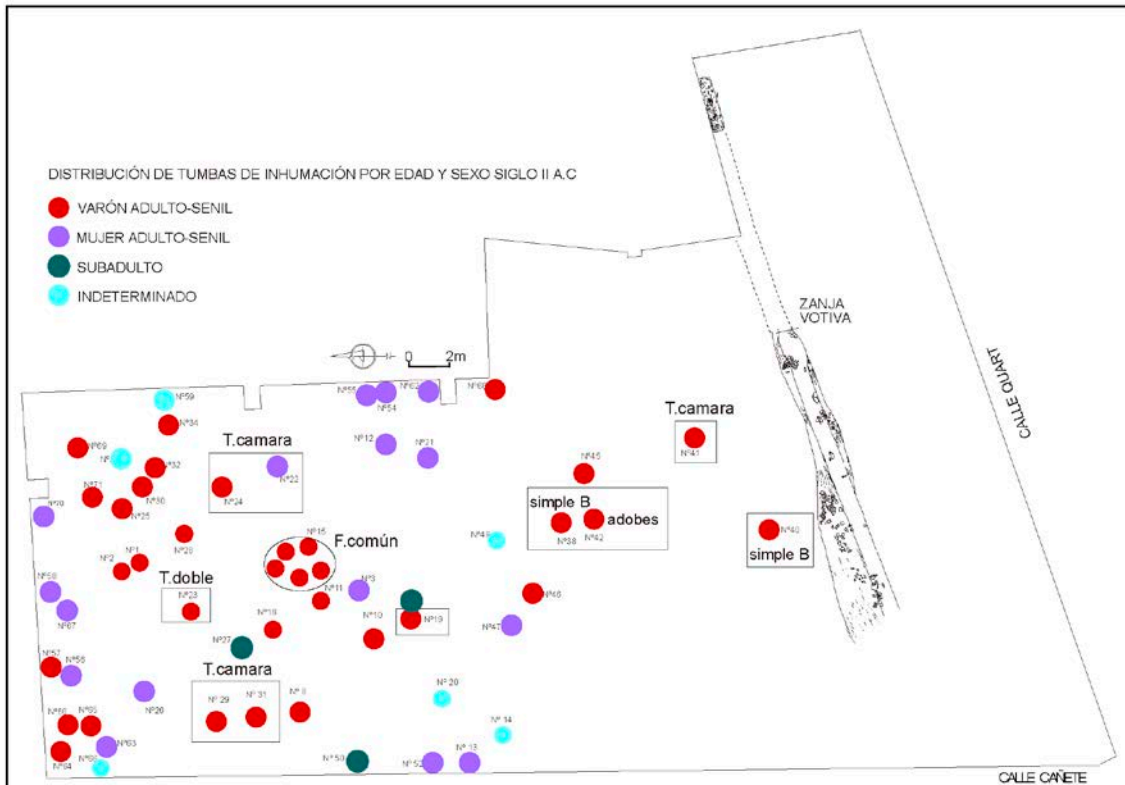


Figura 6.10.: Distribución por edades y sexo de las tumbas de inhumación del siglo II a.C. La mayoría corresponden a tumbas simples-A

C) Deposición y posición en la tumba

Con respecto a términos como **deposición**, **posición** del cuerpo esqueletizado conviene matizar algunas diferencias entre ambos términos que en ocasiones son empleados para explicar aspectos idénticos (Mallegni y Rubini, 1994)¹.

Conviene recordar que se emplea el término **deposición** cuando se refiere a la disposición del individuo en el interior de la tumba. Las más habituales son: decúbito supino, decúbito prono, decúbito lateral (derecho-izquierdo), fetal y sentado, entre otras.

Tal y como puede comprobarse en la (Figura 6.11), hay un predominio de la deposición supina en 38 de las 58 tumbas simples suponiendo el 65,52% del total de tumbas de esta tipología; cuatro casos en decúbito prono siendo el 6,90%; seis casos para la deposición en decúbito lateral derecho y tres para el izquierdo suponiendo el 10,34% y 5,17% respectivamente. Por último, en siete de los casos no se pudo establecer una diferenciación debido al mal estado de conservación.

¹ Estos términos ya quedaron explicados en el apartado de metodología (PARTE I: capítulo 3.3).

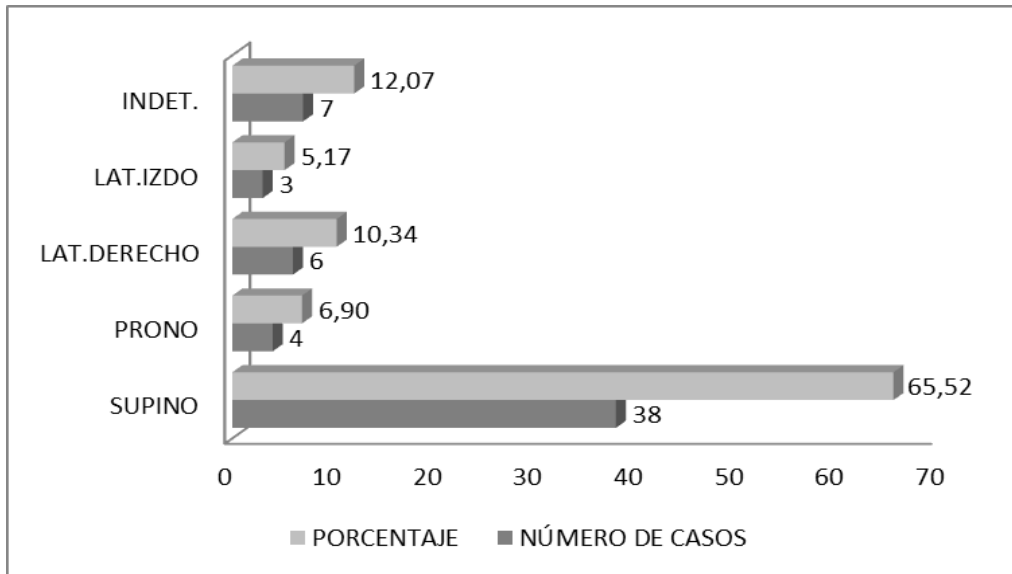


Figura 6.11: Relación de deposiciones en las tumbas simples A

La presencia de cuatro enterramientos en decúbito prono no es un hecho excepcional y en esta necrópolis no son los únicos casos. En época imperial (siglos I-II d.C.), se han documentado más casos, algunos de ellos, con patologías reseñables que bien pudieran indicar la razón de esta tipología de deposición. Este tipo de enterramiento bien merece un tratamiento específico que se le da en un capítulo dedicado en el capítulo 6.5 (Otros aspectos rituales).

La **posición** del cuerpo en el interior de la tumba, hace referencia a la colocación de la anatomía del esqueleto en función de brazos y piernas. Para las extremidades se emplearán los términos de extendido, semiflexionado, flexionado e hiperflexionado (Figuras 6.12 y 6.13).

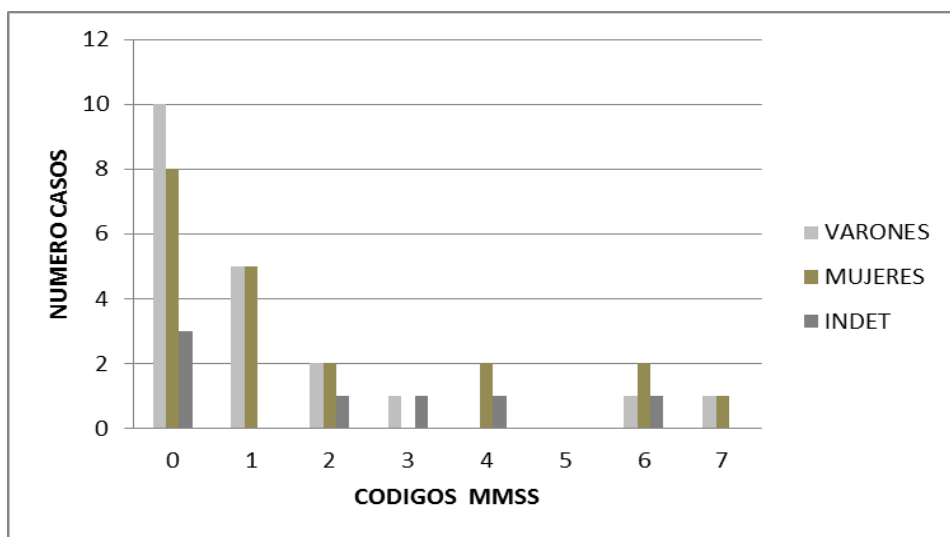


Figura 6.12: Distribución de las principales posiciones de extremidades superiores. En el eje de las X: (0) indeterminado; (1) estirados junto al cuerpo, (2) semiflexionados, (3) hiperflexionados, (4) cruzados a la altura del pecho, (5) cruzados a la altura de la pelvis, (6) uno estirado y otro semiflexionado, (7) otras posiciones. En el eje de las Y se representan los valores para cada tipo de posición.

Hay un claro predominio de la posición de brazos estirados y junto al cuerpo suponiendo el 17,24% del total para las tumbas simples, indicando una adaptación ajustada del cuerpo a la fosa. Sin embargo, no hay que olvidar el importante número de posición indeterminada, grado (0), con 21 casos que suponen el 36,21% y que corresponde a casos donde hay una fuerte afectación tafonómica característica de una excavación urbana. De la misma forma hay una preferencia por la deposición de extremidades inferiores estiradas y paralelas entre sí. No en vano son posiciones propias de las sepulturas estrechas y no fáciles para la introducción del difunto en la fosa.

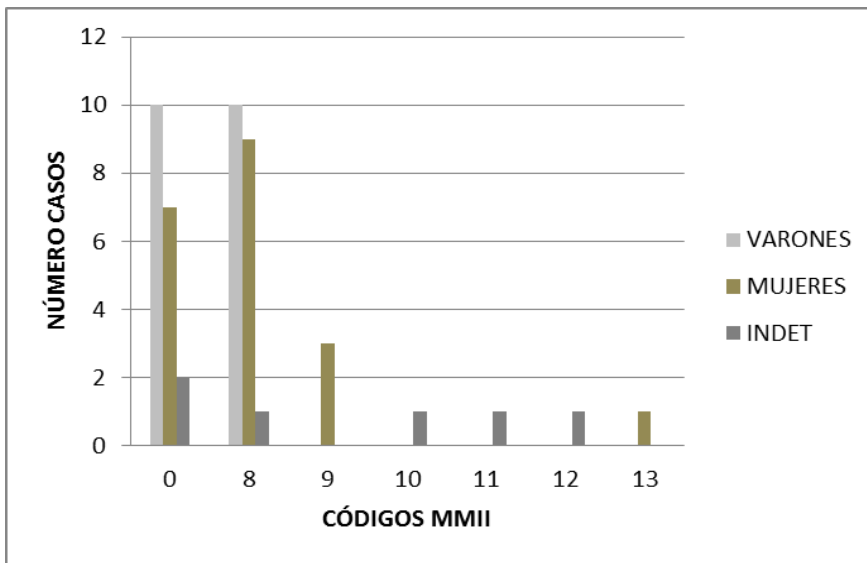


Figura 6.13: Distribución de las principales posiciones de extremidades inferiores. En el eje de las X: (0) indeterminado, extremidades inferiores: estiradas y juntas(8), estiradas separadas (9), semiflexionadas (10), hiperflexionadas (11), una estirada y otra semiflexionada (12), (13) otras posiciones. En el eje de las Y se representan los valores para cada tipo de posición.

La posición que adoptan las extremidades también viene condicionada por la mortaja que se intuye a través de la posición del esqueleto: las clavículas en forma de “V” indican que el individuo fue amortajado a la altura de los brazos; las rodillas juntas señalan que pudieron haber estado juntas por ligaduras y al igual ocurre con los tobillos que en muchas ocasiones aparecen juntos a la altura de los tobillos o cruzados uno encima del otro.

D) Evidencias de amortajamiento

Las evidencias de mortaja están presentes en los 33 individuos hallados en las 33 tumbas simples tipo A, y suponen el 56.89% del total de tumbas de esta tipología (58).

Se han observado siete puntos en el esqueleto donde se evidenciaban señales de la mortaja, que han dejado su señal en la deposición de las partes esqueletizadas y que aportan una clara información sobre el tratamiento del cuerpo en el momento de la sepultura. Estas evidencias se han observado en cabeza-mandíbula, hombros, codos, manos, rodillas, tobillos y pies. De los 33 casos de tumbas con evidencias de mortaja en

13 se ha observado amortajamiento a nivel de hombros, tres casos con amortajamiento a nivel de hombros, rodillas y pies, un caso a nivel de hombros y tobillos, tres casos a nivel de hombros y rodillas, dos casos a nivel de cabeza, hombros, rodillas, un caso a nivel de cabeza-mandíbula y manos, dos casos a nivel de rodillas, otros dos a nivel de pies, cuatros casos a nivel de tobillos y un caso a nivel de cabeza-mandíbula y pies. Esta falta de homogeneidad está estrechamente relacionada con la conservación cadavérica. Se observa que en 29 tumbas el IC (índice de Conservación) es menor del 50%, restando solo 4 enterramientos con un porcentaje entre el 55,5 y el 84%.

E) Descomposición del cuerpo

La descomposición en medio vacío (aeróbico) se produce cuando el cadáver se ha descompuesto de forma natural dentro de un receptáculo funerario, en una cista, o en un espacio vacío como una cueva, la destrucción de los ligamentos articulares han liberado progresivamente los elementos óseos convirtiéndose en móviles, pudiéndose algunos huesos dislocarse bien por efecto de la gravedad, bien por otros factores que bien cabría anotar.

Por efecto de la gravedad los signos más evidentes son visibles en: dislocación del cráneo, caída de la mandíbula generalmente sobre el tórax, dislocación de la articulación del húmero, apertura de coxales, caída de ambas rótulas o al menos alguna de ellas, dislocación de la articulación cúbito-radio, etc. Estos signos son patentes cuando el esqueleto está en posición de decúbito supino, en cambio cuando está de decúbito lateral es posible al menos observar la caída de la escápula y un coxal pudiéndose ocultar detrás del tronco (Mallegni y Rubini, 1994).

Si la descomposición se produjo en un medio colmatado (anaeróbico) es decir el cuerpo se introduce en la tumba y directamente se le arroja tierra encima, no se producirán ninguno de estos efectos, al no haber espacios vacíos, no se producirá un desplazamiento de los huesos quedando en la misma posición que cuando se enterraron. Este fenómeno es lo que se llama "efecto pared" (Mallegni y Rubini, 1994) y ésta puede tratarse del límite natural de la fosa, de la cámara funeraria o la pared lateral del sarcófago, impidiendo la caída de que cualquier material ya sea hueso, cerámica u objeto metálico.

La relación entre el tipo de descomposición y la mortaja resulta con coincidencias en 26 casos con descomposición en medio colmatado, cinco con descomposición en medio vacío, y un caso de descomposición indeterminada (Figura 6.14).

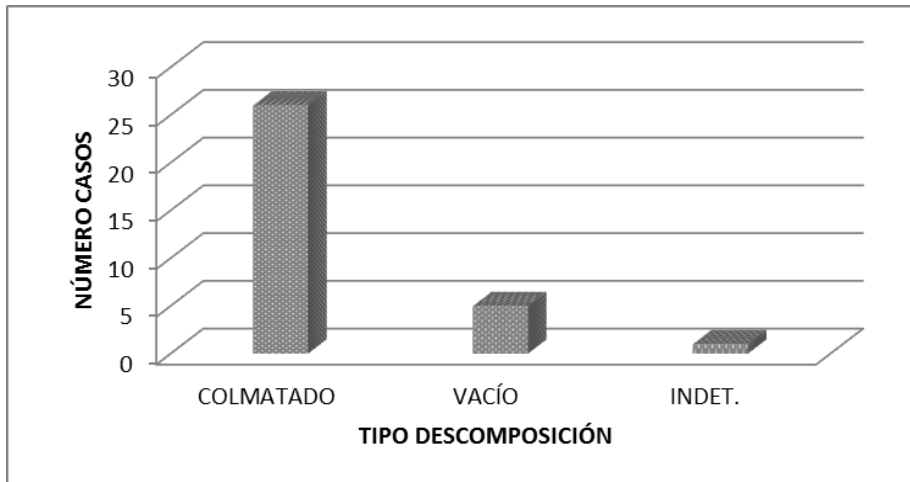


Figura 6.14: Relación entre el tipo de descomposición en medio colmatado, vacío e indeterminado

F) Las ofrendas

En la necrópolis romana de la calle Quart, entre las 58 tumbas de tipología simple-A, tan solo 12 tenían ajuar funerario en su interior y depositado como ofrenda en el momento del sepelio. A pesar de la escasez de material recuperado, los materiales que forman parte de esta categoría están compuestos principalmente por: cerámicas, en su mayoría muy fragmentadas y presentes en ocho de las doce tumbas; monedas presentes en dos tumbas (Nº10 y 30), 4 clavos en una de las tumbas (Nº37) y elementos de indumentaria como un anillo, posiblemente, de plata presente en la tumba (Nº12) (Tabla 6.8).

Tabla 6.8: Tumbas simples con ajuar funerario

NEF	CERAMICA	MONEDAS	METALES	OTROS	SEXO	EDAD	POSIC.	DESC.
10		Quadrans			VARÓN	JOVEN	SUPINO	COLM.
12				ANILLO	MUJER	MADURO	SUPINO	COLM.
14	Frag. Ánfora				INDET.	INDET.	INDET.	INDET.
25				SILEX	VARÓN	JOVEN	SUPINO	COLM.
26	Ánfora, ibérica, romana				MUJER	JOVEN	SUPINO	COLM.
27	Ibérica y romana				INDET.	INFANTIL I	SUPINO	COLM.
30		As			VARÓN	JOVEN	SUPINO	COLM.
37	Frag. romana.		4 clavos		MUJER	JOVEN	SUPINO	COLM.
39	Romana ibérica				MUJER	JOVEN	SUPINO	COLM.
44	Ibérica				VARÓN	JOVEN	PRONO	COLM.
46	Romana				VARÓN	MADURO	SUPINO	COLM.
54	Romana				MUJER	JUVENIL	SUPINO	COLM.

Los elementos analizados corresponden a cerámica, numismática, metales y otros elementos como indumentaria y una punta de sílex.

Cinco tumbas corresponden a varones, otras cinco a mujeres y dos indeterminados. Con respecto al grupo de edad cabe mencionar que siete corresponden a adultos joven (20-40 años), dos casos corresponden a adultos maduros (mayores de 45 años), un juvenil (entre 17-19 años), y un infantil I (0-7 años).

Todos los esqueletos estudiados estaban en posición en decúbito supino, un caso en decúbito prono (adulto, varón) y un indeterminado. El medio de descomposición de los restos esqueléticos fue colmatado.

Con respecto al tipo de ajuar funerario decir que en ocho tumbas está presente la cerámica, siete de ellas en exclusividad sin otro elemento de ofrenda. Dos tumbas (Nº 10 y Nº 30) tan sólo en su interior se hallaron sendas monedas como ofrenda y que se interpreta como un ejemplo del cumplimiento del ritual del óbolo a Caronte. En la tumba (Nº 37) se hallaron junto al esqueleto cuatro clavos de contenido ritual ya que en individuo se enterró con sudario y sin ataúd, por lo que la descomposición del cuerpo se hizo en medio colmatado. En la tumba (Nº 25) se halló una punta de sílex junto al cráneo.

La disposición del ajuar en la sepultura corresponde a un gesto deliberado, todos los elementos responden a una intencionalidad que conlleva una interpretación ritual. Para esta tipología de tumbas los objetos fueron depositados en el interior de la tumba, en el suelo de la fosa con cuatro localizaciones diferenciadas: junto a la cabeza, junto a las extremidades superiores, inferiores y junto al tronco (Tabla 6.9).

Tabla 6.9: Disposición del ajuar en el interior de las tumbas simples-A

Nº TUMBA	SITUACIÓN DEL AJUAR				
	CABEZA	EXT.SUP	TRONCO	EXT.INF.	IND.
10	moneda				
12					anillo
14				sílex	
25	sílex				
26	pátera/anf.				
27	Mayet II			gris amp.	
30			moneda		
37					
39				Camp.B	
44			gris amp.		
46		Mayet II			
54			L.5		

Los materiales que conforman el ajuar son poco variados consistentes en su mayoría por materiales cerámicos, monetales (tan solo dos), metales (clavos hallados en una tumba) y de diversa categoría como una apunta de sílex y un anillo que formaría parte de la indumentaria, un objeto e índole personal.

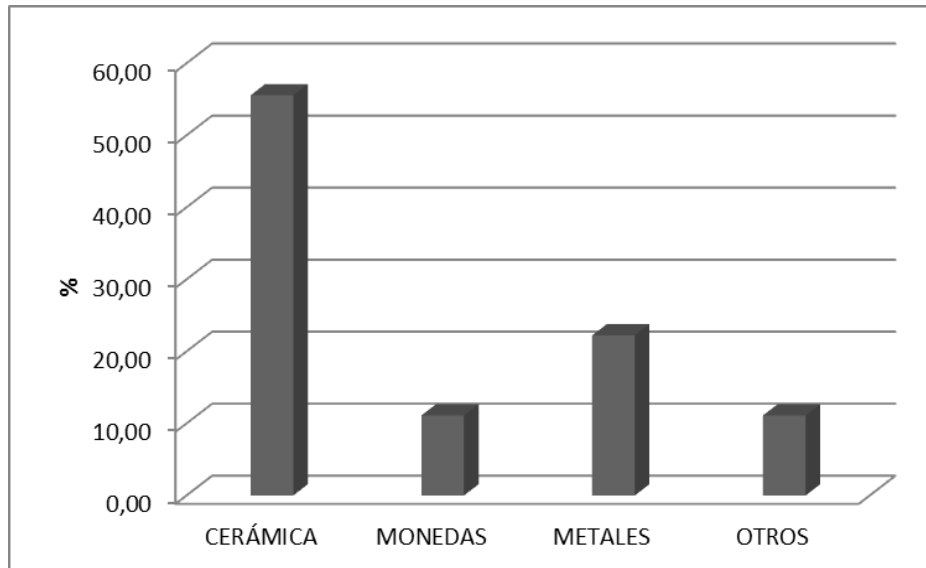


Figura 6.14: Tipo de ofrendas funerarias y sus representatividad en porcentajes

Las ofrendas cerámicas suponen el elemento de ofrenda mayoritariamente representado en las tumbas simples. Estaban compuestas por ánforas, cerámica ibérica y cerámica de importación de la península itálica. Los elementos metálicos están representados por las monedas y clavos (Figura 6.14).

Con respecto a la cerámica de época romana destacan dos cubiletes de paredes finas completos forma Mayet II, un fragmento de boca, cuello y asa de un olpe de cerámica común, y como importaciones de la península itálica destacan las formas Lamboglia 1 y 5 de Campaniense B. El material aunque fragmentado y escaso, se halló junto al esqueleto por lo que se ha considerado que forma parte del ajuar y que se depositó con intencionalidad manifiesta para al finado en su viaje al más allá.

La escasa representación de ánforas está formada por fragmentos de galbo, boca, cuello y un asa de ánforas de procedencia de la península itálica, sobre todo del área Campana (Grecoitálicas de transición y Dr. 1 A), en su mayoría.

La cerámica local, ibérica, está representada por dos cubiletes completos forma 7 de Aranegui, y una pátera forma Bonet y Mata subtipo 8.2 que estaba fragmentada pero completa.

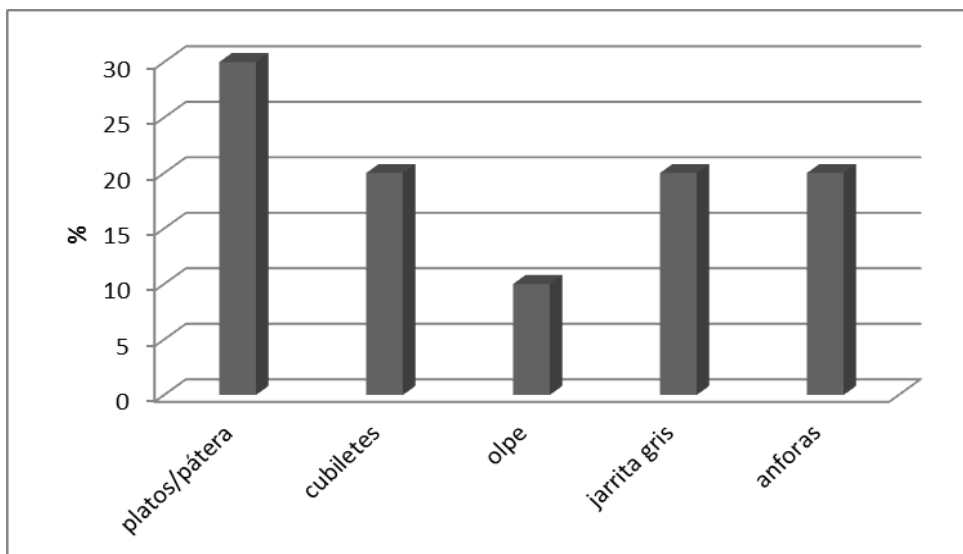


Figura 6.15: Tipologías de ajuares cerámicos

Los materiales cerámicos coinciden perfectamente con la facies arqueológica del momento fundacional documentados en las excavaciones de la ciudad (Ribera, 1998).

F.1) Los metales

En la tumba (Nº37) se hallaron 4 clavos de hierro que conservaban la cabeza. Y tenían unas dimensiones máximas: 10 cm x 1,5 cm. Teniendo en cuenta la descomposición en medio colmatado la presencia de clavos puede estar relacionada con aspectos rituales. La adscripción interpretativa de los clavos al mundo funerario como elementos de protección se discuten en el epígrafe 6.5.2 de esta tesis.

Un elemento que más bien formaría parte de la indumentaria es la presencia de un anillo hallado en la tumba (Nº11), posiblemente de plata, en el dedo anular de la mano derecha y de forma semejante a un nudo marinero.

F.2) Las monedas

La presencia de monedas está constatada en las tumbas 10 y 30 correspondiente a las unidades estratigráfica 1334 y 1455 respectivamente.

En la tumba Nº 10 la moneda era de bronce, *quadrans* de Arse (anv. concha/ rev. delfines), hallada en la parte derecha de la mandíbula. Datada en el 133 y 120 a.C.

En la tumba Nº 30, la moneda documentada era de bronce, posiblemente un As, en mal estado de conservación (Frustra) de finales siglo II a.C. Hallada junto al tronco del esqueleto.

En ambos enterramientos la descomposición del cuerpo se hizo en medio colmatado por lo que su ubicación originaria no distaría mucho de la del hallazgo permitiendo hacer una reconstrucción de este particular ritual.

En el momento de la excavación lo más habitual es encontrar las monedas desplazadas junto a la mandíbula o incluso sobre la base de la tumba. La razón se debe al efecto de los fenómenos tafonómicos sobre los restos óseos. La propia descomposición del cuerpo, la desintegración del sudario, y por tanto, de la mortaja ocasiona la desarticulación de la mandíbula, y en consecuencia, la lógica presencia de la moneda próxima a lo que fue la boca. Si la descomposición se produce en medio vacío se facilita la caída de la moneda, depositándose normalmente junto la mandíbula o clavícula ocasionando los conocidos rosarillo que no son más que despigmentaciones por contacto del cobre o bronce de la moneda sobre la superficie ósea.

G) Gestos funerarios en enterramientos infantiles

Los enterramientos objetivados para esta tipología son un número de siete, con un rango de edad entre los 0 y 14 años suponiendo el 9,09% del total de inhumaciones del siglo II a.C. Todos presentaban claras evidencias de haber sido amortajados, y la descomposición de las partes blandas se produjo en un medio colmatado. En cuanto al rango de edad, podemos decir que cuatro tumbas (Nº 4, 9, 50 y 59), se les determinó un rango de edad entre los 5 y 9 años, tan solo uno de ellos (Nº 53) pudo tener una edad ligeramente superior y el (Nº 27 y UE 1205) por debajo de los cinco años (Tabla 6.10).

Tabla 6.10: Gestos funerarios de los enterramientos infantiles

NEF	INDIV.	RANGO EDAD	AJUAR	DEPOSIC.	OR.	MORTAJA	DESCOMP.	PATOLOGÍA
4	1308	5-9		1	O-E	MORTAJA	colmatado	AUSENCIA
9	1329	5-9		3	N-S	MORTAJA	colmatado	PRESENCIA
	1295	0-4		3	NE-SO	MORTAJA	colmatado	AUSENCIA
27	1430	0-4	si	indet.	O-E	MORTAJA	colmatado	AUSENCIA
50	3007	5-9		3	E-O	indet	colmatado	AUSENCIA
53	3029	10-14		1	E-O	MORTAJA	colmatado	PRESENCIA
59	3064	5-9		1	E-O	indet	colmatado	PRESENCIA

Las tumbas infantiles, al igual que las de adultos, no se encuentran en un área determinada de la necrópolis, y tampoco están orientadas de forma homogénea. Sin embargo, desde el punto de vista del ritual funerario las edades evocan el cumplimiento de la “normativa” existente para estos casos y que las fuentes clásicas refieren como el funeral de los niños *acerba funus acerbum* o *funus in maturum*, que se aplicaba a los niños que ya habían cumplido 40 días, mientras que los otros, podían ser enterrados en la misma casa (*sub grundo*) (Tib.II, 6).

Las muertes de niños, forman parte de un grupo potencialmente peligroso y no admitido por la sociedad, constituyen el sepelio más negativo en el *funus* constituido por las muertes prematuras (*mors immatura, mors cruda*) que hace referencia a muertes de nacidos muertos, recién nacidos, muertes perinatales en los que se incluye a los de la primera infancia, *mors ante diem fatalem* (Alfayé, 2009).

Ningunos de estos individuos estaban acompañados de ajuar funerarios, tan solo la tumba N° 27 (infantil I), tenía junto a los pies y el tórax un cubilete de paredes finas y una jarrita gris monocroma de la costa catalana. Ambos recipientes completos.

La ausencia de ajuar para estos momentos no es una excepción, el entierro en época republicana solía hacerse de noche (Juliano, *Lett.* 136). Los funerales de los niños en estos momentos se hacían también de forma rápida para evitar cuanto antes la agonía que suponía para la familia, y la sociedad en general, la muerte de un infante. Esta celeridad vendría además impuesta por las causas de una muerte producida por la devastación que suponen una enfermedad infectocontagiosa.

Los individuos UUEE 3029 y 3064 (tumbas N° 53 y 59), murieron, con toda probabilidad, por causas de enfermedades como la tuberculosis y el escorbuto motivando un entierro rápido, y con grandes reservas a nivel de exteriorización del ritual. Caso diferente es el de la tumba (n° 27 UE 1430), se trata de un individuo infantil I que como hemos referido en líneas anteriores, iba acompañado de ajuar funerario.

Esta práctica, en comparación con el resto de los casos mencionados, pone de manifiesto dos aspectos: el primero, relativo a un mejor nivel económico o social dado que el enterramiento cuenta con ajuar funerario² aunque éste sea escueto, y en segundo lugar, evidencia un cuidado en el enterramiento y un interés con cumplir las normas que motivan el buen viaje del difunto al más allá.

6.3.1.1.2 Fosas simples, tipo (B)

Formando parte de este momento cronológico se encuentran las fosas simples (un hoyo excavado en la tierra) de grandes dimensiones, es decir, no ajustadas a la anatomía como en los casos anteriores y cuyos ocupantes adoptan posiciones anómalas o poco convencionales, además de tener la particularidad de que estos casos no se repiten en ninguna otra fase de enterramiento.

Las tumbas (N° 11, 38, 40)³ cuyos esqueletos (UUEE 1344, 2195, 2204) correspondían a individuos jóvenes (20-40 años), de sexo masculino, en casos sin presencia de mortaja y colocados en el interior de la tumba en posición fetal, o bien sentados (Tabla 6.11). En

² Hay que tener en cuenta que la simple presencia–ausencia de ajuar funerario ya está aportando ciertas diferencias socio-económicas entre estos las tumbas de una misma categoría.

posiciones muy contraídas y de máxima flexión no necesariamente significa que el individuo hubiese estado amortajado con fuerza aprisionándole los miembros, o tal vez, encerrado en un saco. En ocasiones estas posiciones se deben a fenómenos de compresión transversal que se dan cuando el cuerpo yace en decúbito supino en un contenedor estrecho (sudario, fosa o receptáculo demasiado ajustado).

Tabla 6.11: Principales gestos funerarios de las tumbas simples/B

NEF	UE	tipo	CATEGORIA	SEXO	OR.	MORTAJA	DESCOMP.
11	1344	simple/B	JOVEN	V	O-E	0	colmatado
38	2204	simple/B	JOVEN	V	E-O	MORTAJA	colmatado
40	2195	simple/B	JOVEN	V	E-O	0	colmatado

Las posiciones que presentan estos individuos son dos en posición sedente y uno en posición fetal –dorsal. Posiciones forzosas categorizadas por la biliografía como poco convencionales (Polo y García-Prósper, 2002; García-Prósper y Polo, 2003; Alfayé, 2009), y que invitan a una reflexión sobre las circunstancias del óbito, posibles causas de muerte, y el tiempo transcurrido hasta el sepelio.

En los tres casos la inhumación se produjo en fase de máxima rigidez cadavérica (en torno a las 24 horas del fallecimiento), lo cual hizo imposible enterrar en posición de decúbito supino a dichos individuos. Es posible pensar, que en fase de *rigor mortis*, no se considerase lícito vencer tal rigidez para así enterrar al fallecido de forma conveniente (García-Prósper y Polo, 2003). Estas posiciones son una clara manifestación de una celeridad del enterramiento, y por consiguiente, suponen el incumplimiento de uno de los ritos previos a las exequias, la exposición del cuerpo que requería entre 3 y 7 días. La causa de muerte tal vez sea la clave para entender estos tipos de deposiciones, que por el contrario sí cumplieron con el rito de inhumar los restos en *locus sepulcralis* y así purificar sus almas⁴.

Como síntesis, cabría señalar que a pesar de la aparente homogeneidad presente en el tipo A, hay un claro antagonismo entre las posiciones adoptadas por los individuos enterrados en decúbito supino y lateral, *versus*, posiciones poco convencionales y de decúbito prono. Si bien las primeras corresponden a las posiciones habituales de enterramiento...*que evocan directamente la postura del embrión en el seno materno* (Audin, 1960), los casos de individuos enterrados en posiciones anómalas o en decúbito prono, hay una relación directa entre la disposición en el interior de la tumba, la ausencia de ajuar funerario y la presencia de claros signos de violencia o enfermedad infectocontagiosa. Estas características que bien responden a pautas de comportamiento

³ Véase las Láminas 5.15 y 5.16.

⁴...*non appena il corteo funebre giungeva al luogo dell'inumazione o della cremazione, veniva compiuto il rito indispensabile di gettare una manciata di terra sul cadavere...* (TOYNBEE, J.M., 1982, 35). Morte e sepoltura nel mondo romano. L'ERMA di Bretschneider. Roma.

con respecto a las poblaciones más desfavorecidas, encuentran numerosos paralelos en otras necrópolis del ámbito romano europeo, y aportan nuevos datos en torno al ritual funerario de los pobres, enfermos o desarraigados, más allá de lo que las fuentes clásicas mencionan, bien sea porque jamás hicieron mención de ello, o bien porque no han llegado hasta nuestros días (García-Prósper y Polo, 2003; Polo y García-Prósper, 2003).

Tabla 6.12: Aspectos antropológicos de las fosas simples tipo/B

NEF	INDIV.	EDAD	SEXO	PATOLOGIAS
11	1.344	20-28	V	No se observan
38	2.204	25-30	V	TBC
40	2.195	25-35	V	hiperóstosis craneal

Cabe destacar el caso de la tumba 38 (UE 2204). Se trata de un esqueleto orientado Este-Oeste, datado en el siglo II a.C., enterrado en posición fetal, correspondiente a un individuo varón, con una edad comprendida entre 21 y 30 años y una estatura entre 1,68 y 1,73 m., sin evidencias de mortaja y descomposición cadavérica en medio colmatado.

La ausencia de ajuar funerario, la carencia de ataúd, la posición fetal del individuo y su colocación en uno de los extremos de la fosa, estaría en relación con la falta de cuidado en el momento del enterramiento.

Es un esqueleto muy robusto que conserva la sutura metópica, y posiblemente fuera zurdo a tenor de la asimetría humeral y la presencia de marcadores de estrés ocupacional braquiales.

Desde el punto de vista paleopatológico presenta a nivel craneal una antigua lesión contundente de localización occipital, hiperostosis porótica parietal unilateral, porosis suprauditiva izquierda y pseudoporosis en malar izquierdo. A nivel vertebral, se observa una remodelación de hueso generalizada, sobretodo visible en la vértebra L5, que se encuentra parcialmente destruida, y en vértebras sacras. La vértebra D10 presenta un aplastamiento parcial del platillo vertebral que coincide con una cavidad osteolítica de D11, pudiendo corresponder a un secuestro. Los cuerpos vertebrales presentan abundantes orificios indicativos de un aumento de la actividad vascular muy característico de la tuberculosis (Baker, 1999). La remodelación ósea, el peso ligero de los huesos, la destrucción de cuerpos vertebrales dorsales y lumbares así como la hiperactividad vascular nos hacen sospechar que podamos estar ante un posible caso de enfermedad de Pott.

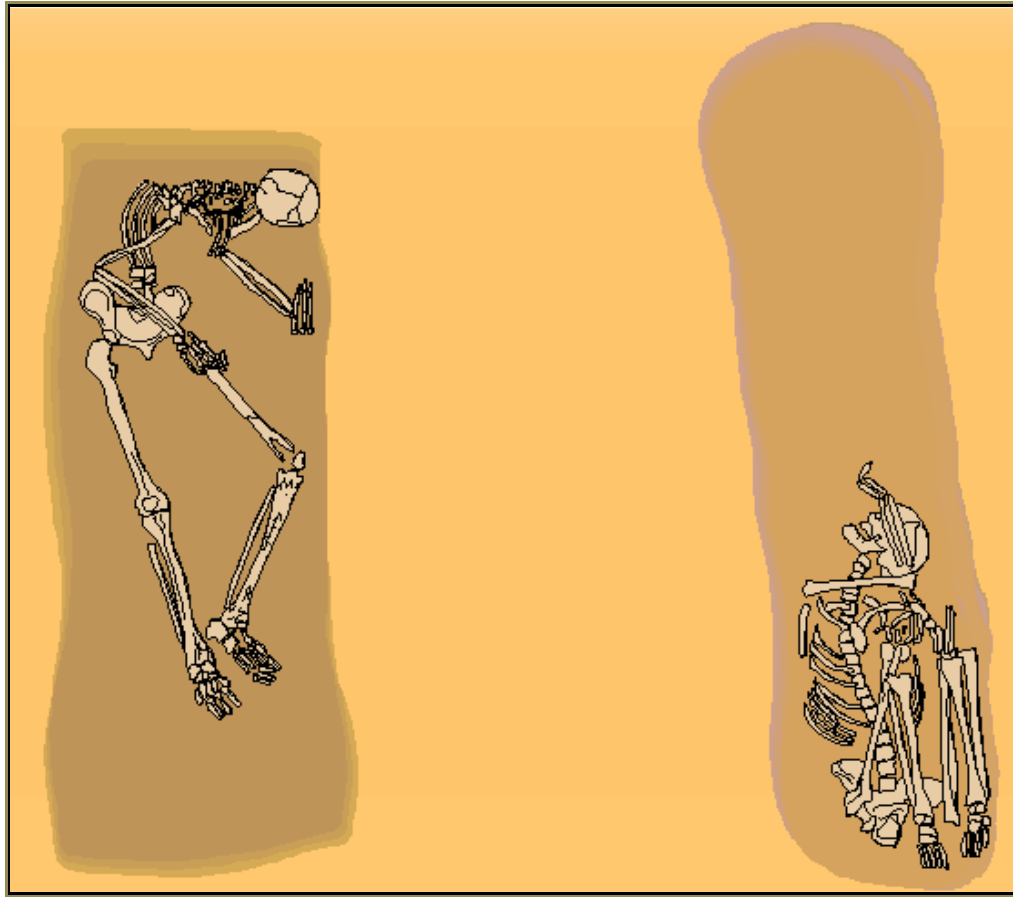


Figura 6.16: Planimetrías de los enterramientos N° 38 y 40 con posiciones anómalas

6.3.1.1.3 Fosa común (*puticulus*), tipo (C)

Este tipo de enterramiento se constató en un caso en todo el sector de la necrópolis estudiado, fue excavada durante los trabajos correspondientes a la segunda campaña de excavaciones (2 CAÑ 004). Estaba en mal estado de conservación debido a la construcción de estructuras de épocas posteriores, por lo que describe una forma bastante irregular (Lámina 5.14).

Este enterramiento estaba situado en el cuadrante S.O. de la excavación (Lámina 5.1). La forma original no se conservó completamente dado que estaba afectada por estructuras medievales y contemporáneas.

Los datos de campo confirmados posteriormente por el estudio de laboratorio, ofrecieron información sobre la ocupación de esta fosa común con un NMI de cinco individuos. La proximidad de los cuerpos, la falta de organización, la disposición de los restos esqueléticos, junto con la ausencia de ajuar funerario invitó a interpretar esta estructura funeraria como una fosa común (*puticulus*) en esta primera fase de la necrópolis.

Conviene mencionar la importancia que para este caso tiene el índice de conservación esquelética (IC), que calcula el porcentaje de huesos conservados a partir de un estándar de 200 (discriminando huesos sesamoideos y propios del oído).

Tabla 6.13: Índice de conservación cadavérica de los individuos de la fosa común.

UE	I.C.
1.247	43,00%
1.229	8,50%
1.246	1,00%
1.248	0,50%
1.308	13,50%

Los restos óseos individualizados pertenecen a esqueletos de adultos jóvenes-maduros salvo la UE 1248 que corresponden a un individuo juvenil. Como parece lógico para este tipo de enterramiento que responde a cierta celeridad y premura, la descomposición cadavérica se realizó en medio colmatado. Presentaban evidencias de mortaja en tres de los cinco casos, y en cuanto a las evidencias paleopatológicas, aquellos que presentaban signos osteológicos no son de tipo infecciosos y/o traumático. De modo que la naturaleza de este tipo de enterramiento para época republicana y en el periodo fundacional de la ciudad habría que buscarlo en causas ajenas a las cuestiones de salud y enfermedad.

Tabla 6.14: Principales gestos funerarios de la tumba N°15. Fosa común

UE	EDAD	SEXO	POSIC.	DEPOSICIÓN	ORIENT.	MORTAJA	DESPOMP.	PATOLOGIA
1.247	33-45	V	Lat. Izdo.	Brazos-piernas estiradas	SO-NE	Hombros, pies	colmatado	presencia
1.229	20-40	V	supino	Piernas estiradas	SE-NO	pies	colmatado	presencia
1.246	20-40	I	supino	No observable	SE-NO	No observable	colmatado	ausencia
1.248	juvenil	I	supino	No observable	SE-NO	No observable	colmatado	ausencia
1.308	20-40	V	supino	Piernas estiradas y separadas	S-N	pies	colmatado	presencia

La presencia de una fosa común habitualmente va relacionada con causas de carácter epidémico, de tipo violento o como resultado de algún enfrentamiento militar, o tal vez porque en ellas se enterraban a los indigentes y esclavos que al morir, en muchos casos en la vía pública, eran recogidos por los servicios fúnebres y llevados a un cementerio, y como normalmente no los reclamaba ningún familiar, se les practicaba un entierro rápido (Cuq, 1896). En el caso que nos ocupa tal vez responda a una naturaleza de enterramiento de personas sin recursos y sin arraigo familiar. Los datos son escasos (tan solo cinco inhumaciones e incompletas), contrarios a aquellos más numerosos como el *puticulus* de *Emerita Augusta* (Mérida) de cronología altoimperial donde se documentaron un total de 64 inhumaciones cuyos cuerpos adoptaban variadas

posiciones, muchas de ellas relacionadas con ser arrojadas desde el límite de la fosa (Vaquerizo, 2011; 2012).

6.3.1.1.4 Fosa Doble, tipo (D)

Este tipo de tumba (NEF 23), está constatado en un solo caso en la necrópolis, estaba situada en el sector N.O de la excavación y se caracterizaba por albergar dos individuos superpuestos, con una separación de unos escasos centímetros entre sí. En un principio, durante el proceso de excavación se planteó la posibilidad de que se tratara de una superposición más de las tantas que se suceden en ésta necrópolis (Láminas 5.1; 5.5).

La fosa que se excavó en un primer momento, y que corresponde con la segunda deposición, se identificó con la UE 1413. Esta estructura de tipo simple, estaba excavada en los sedimentos de arenas naturales de la necrópolis, albergaba los restos óseos correspondientes a un individuo adulto (UE 1415), de sexo varón sin acompañamiento de ajuar funerario, y sin patologías observables, más allá de una pediculosis a nivel occipital como consecuencia de una infección parasitaria por contagio con piojos. Justo durante los trabajos de limpieza de esta tumba, se detectó otro relleno (UE 1435) que cubría los restos de otro esqueleto (UE 1438) también varón, adulto joven y sin evidencias patológicas reseñables.

Ambos esqueletos corresponden a dos individuos adultos de sexo masculino, con un rango de edad adulto joven, enterrados en posición de decúbito supino, orientados N-S, descomposición del cuerpo en medio colmatado, y con evidencias de mortaja a nivel de hombros y tobillos (Tabla 6.15).

Tabla 6.15: Principales gestos funerarios de la tumba N°23

INDIV.	EDAD	SEXO	POSIC.	DEPOSICIÓN	OR.	MORTAJA	DESCOMP.
1.415	30-35	V	supino	Brazos y piernas estiradas	N-S	Hombros-tobillos	colmatado
1.436	25-35	V	supino	Brazos semiflexionado y estirado. Piernas estiradas y juntas	N-S	Hombros-tobillos	colmatado

Desde un punto de vista paleopatológico se evidenciaron signos degenerativos, enfermedad metabólica y nutricional-carencia en ambos individuos. Destaca la presencia de un tumor benigno y la afección cutánea (pediculosis) en el hueso occipital del cráneo que ofrece información indirecta sobre la calidad de vida y las condiciones higiénico-sanitarias de algunos individuos de la necrópolis⁵. Este tipo de infección, fue bastante habitual en época romana, destaca el trabajo sobre el estudio antropológico y paleopatológico de las víctimas del Vesubio en *Herculano* (Capasso y Di Totta, 1998).

⁵ A este respecto decir que no es un caso aislado, la pediculosis es una manifestación ósea de una afección cutánea como producto de una infección por parásitos (piojos) presente a lo largo de la cronología en la necrópolis. Se han documentados dos casos en época republicana (tumbas N1 8 y 23). Y en época imperial en la tumba N° 218.

Tabla 6.16: Aspectos paleopatológicos y paleocupacionales de la tumba N°23

INDIV.	PATOLOGIAS	MARC. ACTV	VARIANTES	OBSERVACIONES
1.415	Degenerativa Infecciosa Nutricional-carencial	Cintura escapular Miembros superiores	Sutura petroescamosa Incisura superoesterna	pediculosis occipital (piojos)
1.436	Degenerativa Nutricional-carencial Tumoral Hipoplasias del esmalte	Cintura escapular Miembros superiores Miembros inferiores	Sutura petroescamosa	Tumor meningioma Quiste cuboides

Ambos esqueletos presentaban evidencias de actividad motora repetida (entesopatías) a nivel de cintura escapular y miembros superiores que denotan una actividad intensa de extremidades superiores para ambos casos, y también de miembros inferiores para el esqueleto (UE 1436) (Tabla 6.16). Llama la atención del quiste óseo en el cuboides como consecuencia de llevar un calzado tipo sandalias (*caligae*)⁶.

Más allá de las cuestiones físicas de los individuos y del tipo de enterramiento llama la atención la clara diferenciación entre ambos enterramientos desde la presencia/ausencia del ajuar funerario.

El ajuar (UE 1435) estaba compuesto por materiales cerámicos, metales y hasta un bivalvo (ver catálogo, Tumba N° 23). Llama la atención el hallazgo de un clavo depositado en la base de la fosa, entre los pies de finado, conservado en dos mitades y con una longitud de 6 cm. También se tomó nota de otro clavo, este más corto y pequeño (3,6 cm long.) de cabeza y punta de sección cuadrada (Tabla 6.17).

Tabla 6.17: Principales características de la tumba N° 23

TUMBA	UJEE	CERÁMICA	MALACOF.	METALES
23	1435	ungüentario, olla ibérica cocina, jarra, fusayola	<i>cardium</i>	clavos, argolla?

La presencia de clavos en tumbas cuya deposición del cuerpo se ha hecho en un medio colmatado, es decir, sin receptáculo funerario, nos invita a establecer una interpretación ritual. La presencia de estos elementos en las tumbas de inhumación puede deberse a diversas cuestiones, bien como resultado de la descomposición de la madera del ataúd (en casos de descomposición del cuerpo en medio vacío) en tal caso estarían alineados a la altura de donde fueron clavados, o bien, porque se colocaron intencionadamente como objeto de protección del individuo en su viaje al más allá (Cuq, 1896, Alfayé, 2009 y 2010). Ambas posibilidades tienen una interpretación bien diferente, de modo que es necesario determinar el tipo de descomposición del individuo para comprender su

⁶ Luiggi Capasso en su estudio sobre las víctimas de la erupción del Vesubio: I fuggiaschi di Ercolano (2001) ya hace mención de la presencia de estas entesopatías como consecuencia de las *caligae*, cuyas tiras de cuero producen una erosión visible en la superficie ósea.

presencia. En caso de haberse producido una descomposición del cuerpo en medio vacío, los clavos aparecerían perfectamente alineados a la altura de donde fueron clavados de forma previa a la descomposición de la madera. En cambio, en caso de descomposición del individuo en medio colmatado, su presencia no se entiende dentro de esta explicación dado que el individuo fue sepultado directamente en el interior de la fosa, sin receptáculo, de forma que la documentación de clavos tiene una clara intencionalidad.

En la necrópolis hay varios casos tanto en tumbas de inhumación como de cremación, de clavos que bien podrían tener atribuciones e intencionalidad de carácter ritual y que conviene analizar con mayor detenimiento. Desarrollamos este aspecto en páginas siguientes, en un apartado específico (6.5.2. Otros aspectos rituales).

6.3.1.1.5 Tumba construida con adobes , tipo (E)

Al igual que en los casos anteriores, este tipo también está representado por un solo caso (Tumba Nº 42, UJEE 2235, 2234-2252, 2261).

Este enterramiento se caracteriza principalmente por estar formado fosa alargada-rectangular en cuya base estaban los restos óseos del individuo sin acompañamiento de ajuar funerario. La cubierta de la tumba estaba compuesta de adobes dispuestos a doble vertiente, de los que solo se conservaban *in situ*, en el testero de la tumba. Toda la estructura estaba colmatada por un relleno de arenas a su vez cubierto por los restos de dos ánforas itálicas y un cubilete de Paredes Finas Mayet II, fragmentos de cerámica de cocina y ánfora itálica, que bien podrían atestiguar un banquete funerario tras el sepelio (García-Prósper y Guérin, 2002).

Las características más importantes de este enterramiento vienen dadas por la disposición del material, fragmentado pero casi completo y colocado sobre la fosa como resultado del banquete funerario, o tal vez como señalización de la tumba.

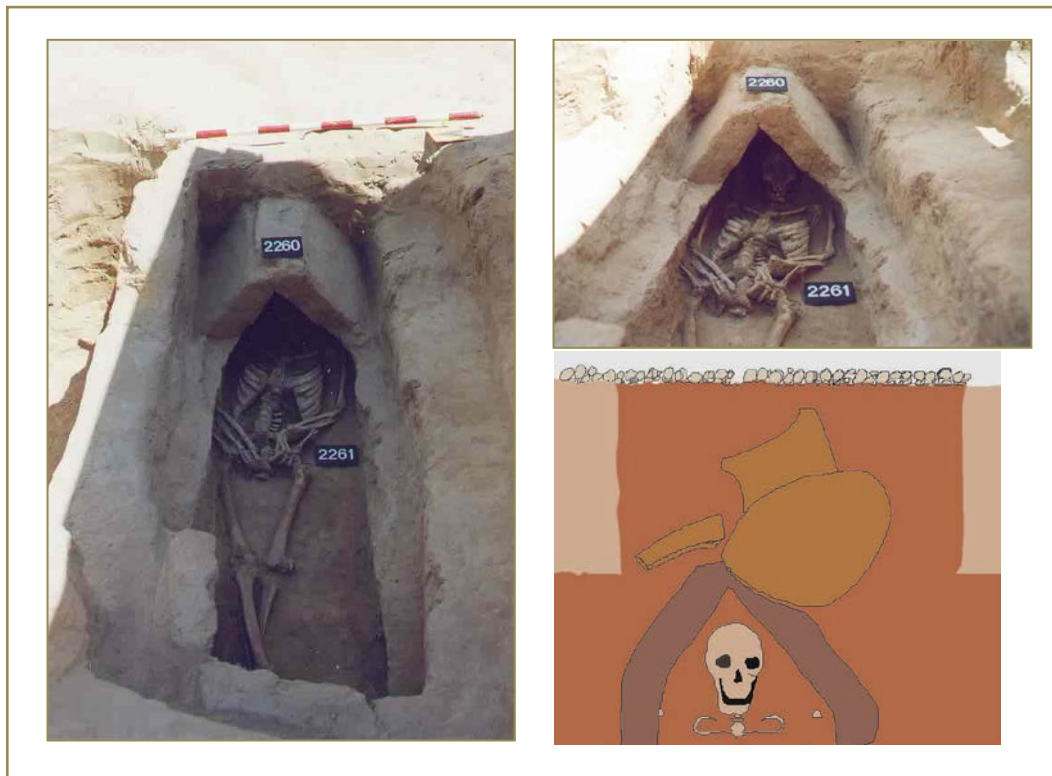


Figura 6.17: Composición de la tumba de adobes

Se trata de un elemento único en la necrópolis y en *Valentia* para esta cronología y topográficamente denota la falta de rigor en la disposición de las tumbas para este momento, ya que justo a su lado se encuentra la tumba 38 de las clasificadas simples/B de grandes dimensiones y cuyo ocupante adoptaba una posición forzada y cuya interpretación es de los enterramientos ejecutados con premura y escaso ritual (ver plano del siglo II a.C.).

6.3.1.1.6 Reutilización de un *Ustrinum*, tipo (F)

En toda la necrópolis se ha constatado un caso “peculiar” que consiste en la amortización de un *ustrinum* como sepultura con dos individuos enterrados. Este *ustrinum*, cuya fosa es la U.E 1280, era de planta rectangular, tenía los lados menores ligeramente redondeados, y conservaba unas dimensiones de 1,90 x 0,70 x 0,80 m. Tanto la base como el alzado conservado de las paredes estaban endurecidas y de color rojizo por la acción continuada y directa del fuego.

Tras ser utilizada como pira funeraria, esta estructura fue amortizada con dos enterramientos (Tumba N° 19) (Lámina 5.1), uno correspondiente a un depósito infantil (UE 1295) y otro correspondiente a un individuo adulto (UE 1288), enterrado en posición de decúbito prono. Ninguno de estos dos depósitos estaba acompañado de ajuar funerario.

Tabla 6.18: Principales características de la tumba

Nº TUMBA	UE	EDAD	SEXO	ORIENTACION	DESCOMPOSICIÓN
19	1.288	17-21	V	SO-NE	colmatado
	1.295	infantil I	I	NE-SO	colmatado

Las razones por las cuales se reutilizara este *ustrinum* como sepultura, tal vez se deba a la necesidad de inutilizar la pira, por deterioro, o por haber alcanzado el máximo de cremaciones, y se creyó conveniente amortizar la estructura con estos enterramientos. Otra razón puede deberse a la escasez de espacio para proceder a un enterramiento y rapidez en su ejecución, a juzgar de la lectura de los gestos funerarios. Además, los datos paleopatológicos no ofrecen lesiones *perimortem* y/o patologías infecciosas en estado agudo que permitan ayudar a una aproximación interpretativa más concreta.

6.3.1.1.7 Las tumbas de cámara, tipo (G)

El tipo de tumba de cámara o hipogeo, se ha documentado en las estructuras funerarias (NEF 18, 22, 24, 29, 31 y 41)⁷. Son seis tumbas de similares características y ejemplos únicos en la necrópolis y en el registro arqueológico funerario de *Valentia*.

Estos enterramientos se encontraban en un sector de la necrópolis, mantenían una disposición ordenada salvo una, la tumba 41, más alejada del grupo, y próxima al límite meridional de la necrópolis. Con respecto a las orientaciones y en contraposición con las fosa de tipo simple, éstas tumbas presentaban una orientación Este-Oeste en cinco de los seis casos, aspecto que junto con la organización en el espacio, el tipo de tumba y la homogeneidad de ajuar funerario, las identifica como unas tumbas excepcionales dentro de esta necrópolis y en especial en este momento cronológico fundacional.

Este tipo de tumba se caracteriza por tener, una forma paralelepípeda de grandes dimensiones y con un nicho en uno de los lados largos de la tumba, donde se depositaba el finado junto con el ajuar funerario. Estaban excavadas en los estratos de arcillas y arenas estériles. Las dimensiones sólo se conservaban en buen estado en las tumbas (NEF 18, 24 y 41), mientras que en los otros casos las alteraciones tafodáficas de origen antrópico han ocasionado alteraciones en sus dimensiones originales.

⁷ Véase las láminas (5.3; 5.4; 5.6; 5.9; 5.10; 5.11) en el capítulo 5 de esta tesis.

Tabla 6.19: Dimensiones conservadas en las tumbas de cámara.

NEF	U.E	LONG m	ANCH m	PROF. m	M3
18	1319 FOSA	2,10	0,80	1,20	2,02
	1373 NICHOS	2,00	0,40	0,00	
22	1384 FOSA	1,50	0,65	0,50	0,49
	1381 NICHOS	1,70	0,54	0,00	
24	1419 FOSA	2,15	0,94	0,60	1,21
	1441 NICHOS	1,90	0,60	0,00	
29	1453 FOSA	1,10	0,90	0,44	0,44
	NICHOS (s/n)	0,60	0,50	0,00	
31	1458 FOSA	1,30	0,42	0,80	0,44
	NICHOS (s/n)	1,60	0,40	0,00	
41	2196 FOSA	2,45	1,10	1,60	4,31
	2274 NICHOS	2,15	0,60	0,00	

La longitud media de estas tumbas estaba en torno a los dos metros, la anchura está por debajo del metro y la profundidad conservada tampoco supera el metro de media, aunque cabe señalar que la máxima en este sentido es de 1,60 m. De la misma forma se ha podido calcular los m³ de tierra que se extrajeron para poder construir tales enterramientos, siendo el n° 41 el que mejores y más fiables datos aporta ya que se pudo excavar sin ningún tipo de alteración estratigráfica.

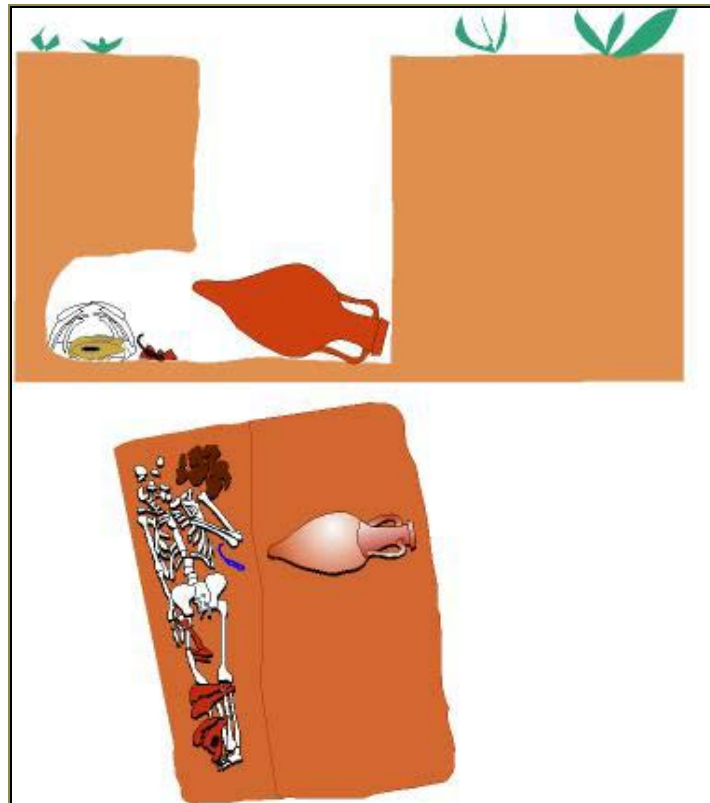


Figura 6.18: Sección y planta de la tumba de cámara N°18

Los materiales recuperados en las tumbas de cámara están formados por tres tipos: cerámicas tanto de importación itálica como materiales de producción local e indígena (ibéricas); fauna directamente relacionados con el banquete funerario, y ofrendas al finado y metales entre los que destacan los *strigiles*.

Tabla 6.20: Materiales que componen los ajueres funerarios

Nº	CERAMICA	FAUNA	METALES
18	Ánfora ,olla	suido-oveja	<i>strigilis</i>
22	Ollas ibéricas, kalathos y cer. romana		<i>clavos ataúd</i>
24	ánfora, olla	suido	
29	ibérica-romana		arandelas, tubito, cuchillo
31	romana	suido, bóvido, pez	<i>Strigilis clavos ataúd</i>
41	ungüentarios		<i>strigilis-anilla</i> <i>clavos ataúd</i>

La disposición de los materiales hallados tanto en el interior de los nichos, como en la fosa /cámara de acceso, nos permiten hacer una clasificación según los rituales practicados (Figura 6.19).

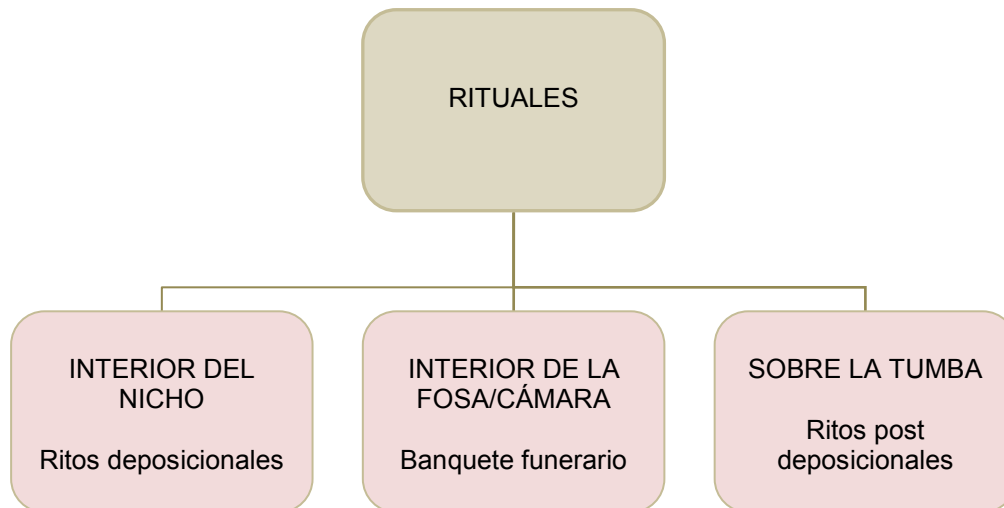


Figura 6.19: Organigrama con las principales acciones rituales constatadas en las tumbas de cámara

Entre el material hallado en el interior el nicho destacaban las ollas de cocina de tradición ibérica, la cerámica de importación, y los ungüentarios de barniz negro, el *strigilis* y la fauna. Los materiales cerámicas se depositaron intactos y junto al finado.

Los ajueres recuperados en el interior de la fosa/cámara, estaba formado principalmente por ánforas greco-itálicas de transición, cubiletes de paredes finas, cerámica

Campaniense A, jarritas grises de la costa catalana, ollas de cerámica de cocina de tradición ibérica, *kalathoi*, páteras ibéricas, e incluso *strigilis* y fauna que claramente ponen de manifiesto rituales atribuidos al *silicernium* o banquete funerario.

De acuerdo con los materiales hallados sobre la tumba, tan solo se ha documentado un caso (tumba N°41) donde se recuperaron varios fragmentos de ánfora itálica perteneciente a una misma pieza, y depositadas sobre el relleno que colmataba en enterramiento. La interpretación puede tener relación con actos post deposicionales relacionados con ceremonias junto a la tumba.

Tabla 6.21: Disposición del ajuar presente en la cámara y el nicho

TUMBAS	18 ♂	22 ♀	24 ♂	29 ♂	31 ♂	41 ♂
NICHO	Olla ibérica completa		Olla ibérica completa	Camp. A, L.31 b kalathos		Olla ibérica fragmentada ungüentarios
	<i>Strigilis</i>			Cuchillo, Arandelas, Tubo plomo	<i>strigilis</i> , clavos,	<i>strigilis</i> , clavos, anilla
	<i>Sus domesticus</i> , <i>Ovis aries</i>	NO FAUNA	<i>Sus domesticus</i>	NO FAUNA		Ictiofauna
FOSA	Ánfora greco-itálica completa	Frgs. ánfora itálica-campana	Ánfora greco-itálica completa	Fragmentos ánfora itálica	Olla ibérica completa	Frgs. ánfora itálica, greo-itálica sobre la tumba
		Frgs. Ollas ibéricas			<i>strigilis</i>	
		Frgs. <i>kalathos</i>			<i>Bos taurus</i> , <i>Sus domesticus</i> , Ictiofauna (indet)	
		Olla ibérica completa				
		Campaniense A, forma L.28				
		Cerámica bitroncocónica				
		Mayet II.				
		Clavo de hierro				

De acuerdo con los datos presentados en la tabla *supra*, se observa que los materiales que formaban parte de los depósitos funerarios presentando un patrón ritual establecido. La presencia de la olla de tradición ibérica, el *strigilis* y la fauna, sobre todo de cerdo, responden a unas pautas rituales diferentes a las del resto de la necrópolis. Además, se podría decir que hay a su vez una diferenciación en cuanto al rango social y/o sexual a tenor de los hallazgos y disposición de los mismos en la tumba. En este sentido, se observan dos tipos: aquellos donde el ajuar está en el interior del nicho (18, 24, 41 y 29),

y las tumbas 22 y 31, cuya disposición del material funerario se encuentra en la fosa de acceso (Tabla 6.21).

Con respecto al tipo de material hallado, es interesante señalar que la repetición del que podría considerarse el “ajuar tipo” consistente en la olla ibérica de cocina, el *strigilis* y la fauna coincide en los nichos de las tumbas (18, 24, 41) y en la fosa (31), que además son tumbas masculinas. De esta norma se sale la tumba nº 29, pero que sin embargo presenta materiales “tipo” como la cerámica de importación itálica y los ungüentarios, claros marcadores de la cultura romana, el *kalathos* ibérico, como elemento de integración cultural con el mundo ibérico o el cuchillo afalcatado, sin olvidar el ánfora vinaria.

En cambio este panorama cambia con la tumba 22, que corresponde a una mujer adulta con una edad comprendida entre los 35 y 40 años de edad. El ajuar estaba dispuesto en el interior de la fosa con una distinción clara entre el material fragmentado pero completo y el intacto, siendo además la tumba con mayor número de restos depositados. Junto a los objetos cerámicos se documentó un clavo de hierro que no parece tenga relación con el receptáculo funerario ya que se encontró en la cámara funeraria.

Un objeto “tipo” que si se repite en todas las tumbas es la presencia del ánfora, ya sea Dr. 1 A y/o Greco-itálica de transición, que denotan la relación entre los ritos funerarios y las libaciones celebradas con vino en ofrecimiento al dios Dionisos. Observamos que el ánfora estaba completa e intacta en las tumbas Nº 18 y 24 y se presentaba fragmentada en el interior de las cámaras de las tumbas Nº 29 y Nº 22.

La presencia del ánfora intacta junto al nicho, es reflejo del momento en que se le ofrece vino al difunto por parte de los familiares y asistentes al sepelio facilitando la purificación y el disfrute del mismo en la vida ultraterrena (Prieur, 1986). El difunto no era olvidado, se depositaba en su tumba los alimentos y el vino (S. Agust, *Serm. 15, de Sanctis*, citado en., Cuq, 1896).

El hallazgo del ánfora fragmentada indica que tras la consumición del vino, con la misma finalidad ritual, tras el banquete, se arrojan los restos al interior de la fosa como cumplimiento del precepto de purificación, inmortalidad y resurrección (Prieur, 1986). La misma interpretación cabe para las cerámicas tanto de importación campana, como ibéricas pintadas o de cocina. Las piezas completas depositadas junto al cadáver contendrían alimentos que no se han conservado, y aquellas fragmentadas son reflejo del *silicernium* (Cuq, 1896).

En cuanto a la fauna presente en las tumbas de cámara, destaca, por su simbología, los restos de suido. El *sus domesticus* estaba presente en tres de las seis tumbas de

cámara (Nº 18, 24 y 31), siendo además en esta última donde se hallaron restos pertenecientes a dos cerdos: una hembra y un neonato. Desde un punto de representatividad destaca el cráneo de suido sobre una olla de tradición indígena de la tumba Nº24 (Figura 6.20).

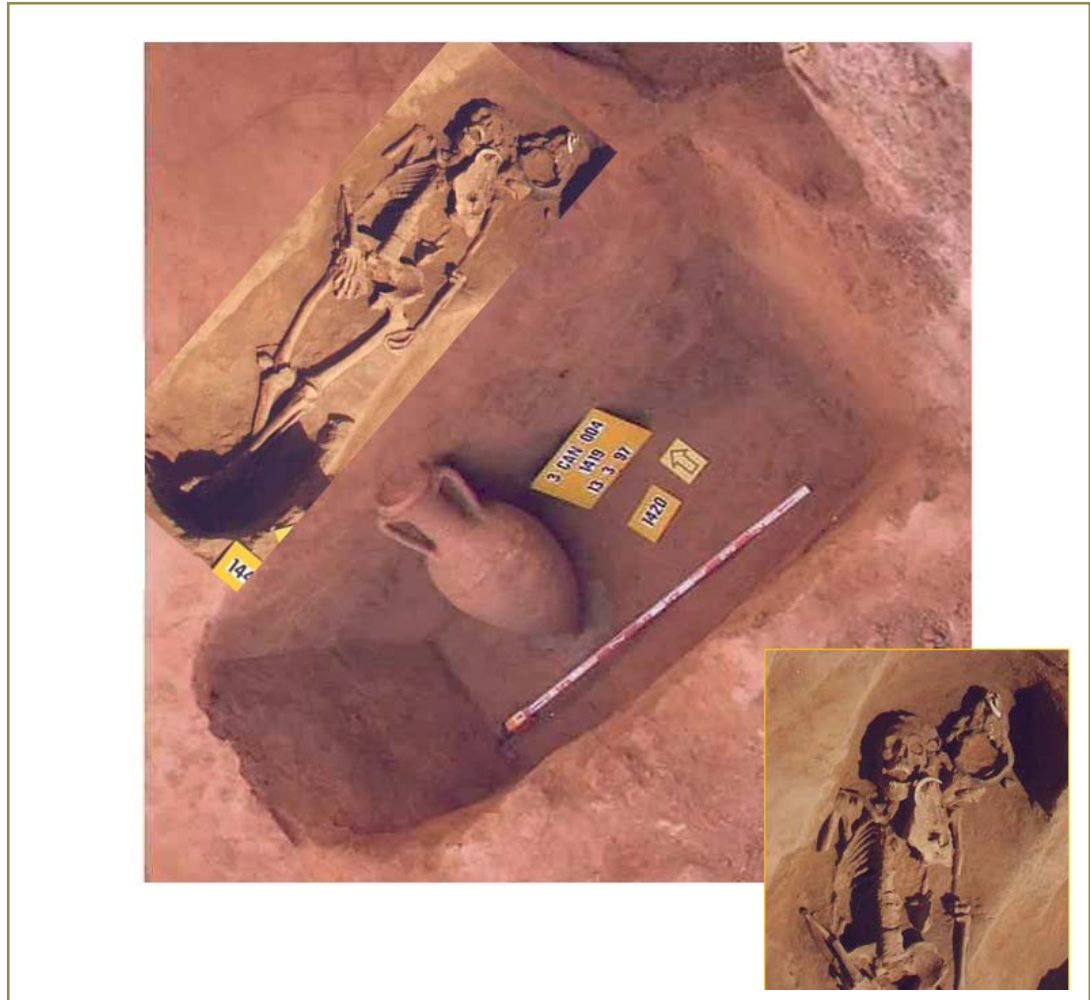


Figura 6.20: Composición de la tumba Nº24 con ofrenda alimentaria

Los análisis zooarqueológicos⁸, ponen de manifiesto las marcas de carnicería a nivel de cráneo consistentes en un corte profundo sobre el frontal que produciría una fractura completa. Junto al suido también se documentaron restos de oveja (*ovis aries*) presente en la tumba 18, o de bovino (*Bos taurus*) hallado en la tumba 31, además de vértebras de pez en las tumbas Nº 31 y Nº 41.

En la tumba Nº 18, los restos de fauna recuperados corresponden al cerdo (*Sus domesticus*) y la oveja (*Ovis aries*). Estos ejemplares se hallaron en el nicho, junto al esqueleto (Figura 6.21).

⁸ Ver anexo específico.

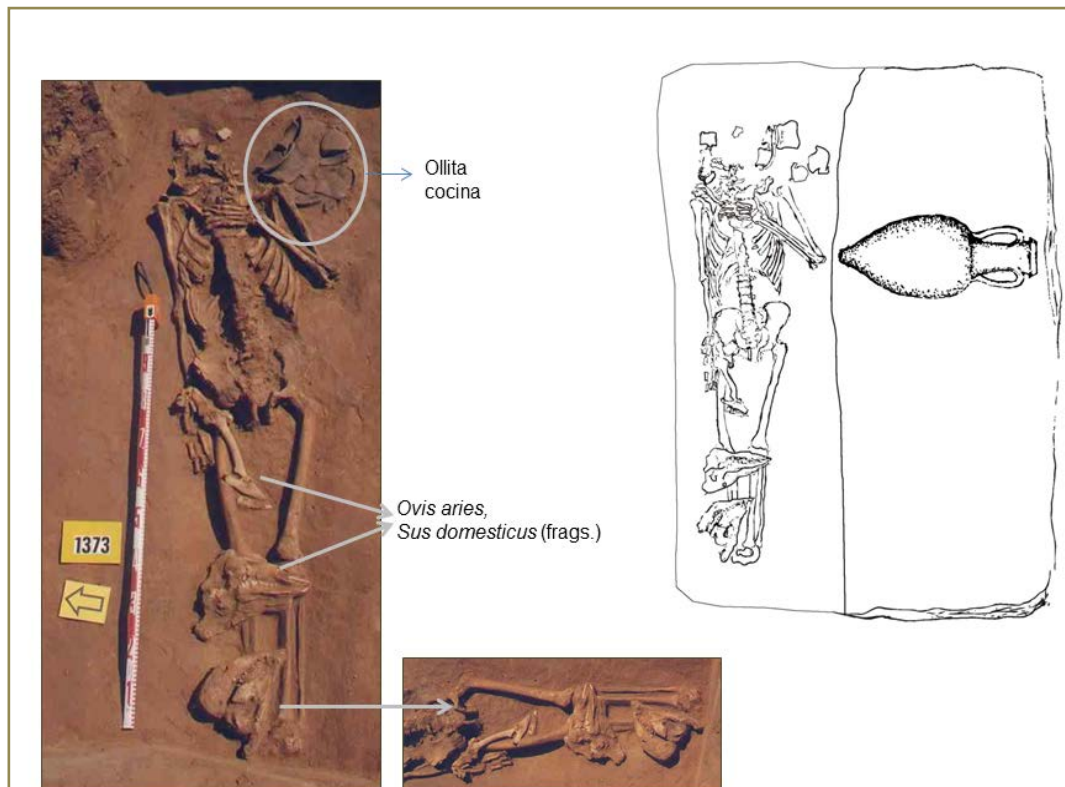


Figura 6.21: Composición de la tumba N°18

Los restos de cerdo corresponden al cráneo y mandíbulas de un macho, con una edad de muerte comprendida entre los 23-31 meses. El cráneo está totalmente fragmentado en minúsculos trozos, por lo que no se ha podido observar si presentaba alguna marca de carnicería.

Los restos de oveja pertenecen a un animal sub-adulto, no mayor de 30 meses, (aproximadamente rondaría los dos años de edad). Hay restos pertenecientes al esqueleto axial (dos vértebras lumbares y tres caudales), así como del esqueleto apendicular (pelvis izquierda, los dos fémures, fragmentos de las dos tibias y un fragmento de calcáneo). Una pelvis y un fémur presentan marcas de carnicería. En la pelvis se observa un corte profundo en la cresta iliaca realizado durante el despiece. El fémur presenta incisiones finas marcas que por su localización en las zonas articulares, relacionamos con la desarticulación de los miembros. La pelvis presenta una patología: un crecimiento anormal del tejido óseo sobre la zona de inserción muscular en el íleon.

La robustez de los restos de *ovis*, a pesar de su corta edad, no corresponde con especies autóctonas, tal vez se trate de una raza introducida o de un ejemplar castrado. Los resultados del análisis de isótopos del estroncio ($^{87}\text{Sr}/^{86}\text{Sr}$ 0.70819) que se establece

en un rango isotópico para los restos de fauna analizada de (0,70818 + 0,00007), confirman la procedencia foránea de este espécimen⁹.

Estos datos aportan nueva información que invita a la reflexión y al debate. El hecho de que este espécimen de *ovís*, inmaduro, forme parte de la ofrenda culinaria de esta tumba, y que la lectura isotópica nos indique un origen extranjero a *Valentia*, nos da a entender que su muerte se produjo en fecha inmediata a la fundación. Lo mismo ocurre por tanto con el finado que fallecería al poco tiempo de llegar y que tal vez procediera del mismo lugar que la ofrenda de fauna.

En la tumba N° 24, los restos óseos estudiados corresponden a un cerdo (*Sus domesticus*) del que se ha podido recuperar un fragmento de cráneo y sus correspondientes mandíbulas. Considerando el desgaste que presentan los molares primero y segundo y la ausencia de desgaste oclusal en los molares terceros, podemos atribuir una edad de muerte entre los 23-31 meses (adulto-joven).

Las marcas de carnicería se manifiestan en un corte fino y largo localizado en el hueso frontal que pone de manifiesto un procesado carnicero previo a la deposición en la tumba.

En la tumba N° 31, las especies identificadas son el bovino (*Bos taurus*) y el cerdo (*Sus domesticus*), junto a 9 vértebras de un pez de tamaño mediano no identificado taxonómicamente (Figuras 6.22 y 23)..

Pertenciente al bovino tan sólo hay un molar primero superior derecho, con desgaste en las primeras cúspides.

Los restos de cerdo corresponden a dos individuos, un subadulto y un neonato. Del animal subadulto (19 y 23 meses) había un cráneo completo y las mandíbulas. La morfología de la dentición indica que se trataría de una hembra. Por las marcas que hemos observado en una hemimandíbula se puede decir que hay un procesado carnicero previo a su deposición en la tumba. Sobre la superficie lingual de la mandíbula izquierda hay dos cortes finos y largos producidos muy probablemente al extraer la lengua del animal. También hay una fractura producida por un instrumento cortante (hacha o cuchillo grande) sobre la sínfisis mandibular (Figura 6.23).

El cráneo presenta sobre el frontal derecho una depresión de forma irregular, con tres pequeñas marcas circulares en su interior, que no llega a perforar el hueso. Por sus características pudiera corresponder a la marca de la dentición de un carnívoro (perro). La marca presenta los bordes redondeados lo que indica crecimiento de hueso y por lo tanto la supervivencia del animal a la agresión.

⁹ Ver capítulo específico sobre este estudio 6.6.3 en esta tesis.

El segundo individuo identificado, es un animal neonato. Los huesos identificados son: dos húmeros, un calcáneo, un astrágalo, dos costillas y un metapodio.

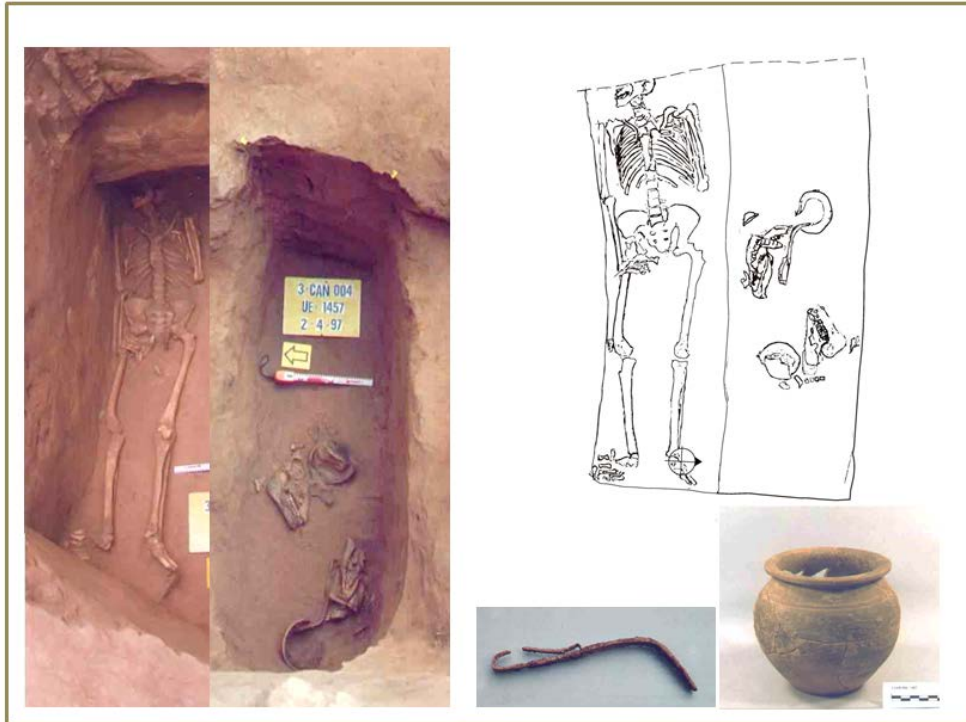


Figura 6.22: Composición tumba N°31



Figura 6.23: Sección longitudinal sobre el cráneo del suido adulto hembra de la tumba N°31

Como hemos comentado el animal que representa una simbología especial es el cerdo. En el capítulo referente a los ritos funerarios (capítulo 4), ya hicimos mención al ritual de la *porca praesentanea*, consistente en el sacrificio de una cerda delante de los asistentes (*Cic. de Leg. II*). Rito purificador que consagra la tumba y la elimina de malos augurios tanto para el difunto como para la familia declarada en desgracia tras el fallecimiento, (*Fest. P. 296-298 L*, citado en, Scheid, 1984).

De acuerdo con los preceptos... "La sepultura es el lugar escogido para la inhumación, o cremación y debe legitimarse desde el mismo instante donde debe arrojarse la tierra sobre el cuerpo (o al menos sobre el dedo del difunto), además de consagrar la tumba con el sacrificio de la cerda" (Cic, de Leg, II, 22). Se trataba de uno de los rituales que establecía una relación directa con el mundo de los muertos, y practicado en Roma desde el año 496 a.C. El sacrificio era ofrecido a la diosa Ceres (deidad de la agricultura y de la muerte). El calendario litúrgico estaba repleto de ceremoniales donde el cerdo formaba parte en los principales actos de celebración. Su atribución y relación con el mundo de los muertos se relaciona también con el ritual a la diosa *Tellus* (diosa tierra, en casos relacionada con *Gea*). La manifestación ritual se consagraba con el sacrificio de la *Porca Praecedanea* que significa "aquel que debe ser sacrificado previamente" y que con el tiempo se introdujera en los preceptos del *funus romanum* materializado en la *Porca Praesentanea* (Varron, Lib III, citado en. Bonniec, 1958).

El uso ritual funerario de la carne de cerdo está ampliamente constatado en la península itálica y en la Galia, siendo allí el animal más empleado como sacrificio (Tranoy, 2000). Forma parte de los tres pasos fundamentales en el ritual: en primer lugar, escoger la sepultura; a continuación el sacrificio de la *porca praesentanea* y por último, el banquete funerario (Scheid, 1984). Los alimentos procedentes del sacrificio de la *porca praesentanea* suponían el banquete fúnebre en el cementerio, ante los restos del finado. Éste último no "sólo" consumía, la sangre de aquella, la leche fresca y el aceite como menciona Virgilio (las *adapes* de Virgilio), sino que también se le hacía partícipe de forma simbólica de las viandas sólidas que también eran consumidas por los asistentes.

Este ritual revaloriza el carácter funerario de la carne de cerdo desde los primitivos latinos, y su uso habitual ya en los misterios de Eleusis que celebraban el culto de Ceres, como símbolo perpetuo de muerte y resurrección (Schmidt, 1989). Varron (*Liv. V*), cita como ejemplos de iniciación los ritos consagrados a Ceres entre los antiguos etruscos, griegos y latinos, quienes sacrificaban a una cerda en varias celebraciones, tanto funerarias como en matrimonios, en estrecha relación con la fertilidad y una vida nueva (Spaeth y Barbette, 1996).

Dentro de esta tipificación de las ofrendas de las tumbas de estas características se encuentran los elementos metálicos entre los que destacan los *strigilles* sobre todo por lo que simbolizan estos instrumentos en el mundo funerario.

Está presente en tres de las seis tumbas, en una de ellas (N^a 31), incluso presenta uno en el nicho y otro en la fosa. Es un elemento común en el mundo romano y más si cabe, en la vida cotidiana¹⁰. Este instrumento que puede atribuirse al aseo tras el baño, al

¹⁰ Es un instrumento que relacionado con el universo femenino está en relación con el matrimonio y el rito de la *lavatio* que le precede (Thuiller, 1982).

mundo de los púgiles, al ajuar de una novia, pero adquiere otro simbolismo cuando se halla en contexto funerario.

El hallazgo de *strigilles* en la necrópolis de la calle Quart no es un hecho aislado ni excepcional del mundo funerario¹¹, pero sí que está presente, sobre todo, en la primera fase de utilización como espacio funerario. Además de en las tumbas de cámara este instrumento de hierro también se ha documentado en el estrato de que rellena la zanja votiva (Nº 90), y también en las cremaciones (Nº 73 y Nº78). Esta última tiene la peculiaridad de ser un *bustum* con un ajuar compuesto por elementos propios de la panoplia militar tales como un casco de tipo montefortino, un *gladius* y restos de un puñal).¹²

El *strigilis* en contexto funerario se relaciona con el uso masculino de origen helénico y que hace referencia a dos ámbitos en los que se desarrolla la práctica colectiva y social del grupo, tales como el mundo de la palestra, y el del banquete funerario (Cerchiai, 1982)¹³. Es un objeto muy representado tanto en la iconografía funeraria como en los ajuares documentados en numerosas necrópolis etruscas (Thuillier, 1982; García-Prósper y Guérin 2002; García-Prósper, Polo Cerdá, y Guérin, 2007).

Al igual que Luca Cerchiai (1982) afirma que “*el muerto con el strigilis no es necesariamente un joven o un atleta aunque sí un hombre que ha querido representarse como perteneciente a la clase de edad de los Efebos*”, el *strigilis* identifica a su poseedor como alguien educado en un ambiente helenizante (Cerchiai,1982). Thuillier (1982), apoya la teoría de Cerchiai afirmando que los *strigiles* están representados como pertenecientes a la clase de los jóvenes. El *strigilis*, entre otros objetos, es propio de las tumbas masculinas ya que pone en relieve dos importantes contextos: el mundo de la palestra, (al que ya hemos hecho mención) y el del banquete funerario, en los cuales se desarrolla la práctica colectiva y social del grupo (Cerchiai, 1982).

Estamos de acuerdo con estas opiniones, y los datos científicos parece que apuntan en esta dirección. El *strigilis* está presente en esta tipología de tumbas en tres de las seis tumbas (una es de una mujer y la otra de un varón tiene un cuchillo) y en una de ellas está presente en el nicho y en la cámara (Nº 31). Además, todos los individuos son de sexo varón, y con una edad que se encuentra en el rango maduro-senil (40-65 años) siendo el más joven el ocupante de la tumba Nº 31 (25-30 años).

¹¹ En la necrópolis de Valladas se encuentran *strigiles* documentados en las tumbas de cremación nº 157, nº 158. Se trata de un hallazgo muy interesante dado que en la tumba 158 de encontró un manojó con cuatro *strigiles*. Echamos de menos una interpretación por parte de los autores de esta publicación (Bel, 2002).

¹² Este hallazgo se discute en el próximo epígrafe relativo a las cremaciones del siglo II a.C.

¹³ ..aunque en Italia no tenemos la costumbre de construir palestras, no obstante debe explicarse e indicarse cómo las construyen los griegos, al menos esa es mi opinión, tal como nos las han legado...” (*Vitruvii*, Lib V, 10, 11).

No se han realizado los análisis para averiguar una posible relación familiar entre los ocupantes de las tumbas de, que además de compartir el mismo tipo de tumba, una misma posición, deposición del cuerpo y ajuares, también se hallaban la mayoría en un sector concreto de la necrópolis. Consideramos que se trataría de personas con un rango social destacado dentro del grupo fundacional y que formarían parte del contingente humano que materializó la fundación de la ciudad compuesto por un grupo de gentes más amplio, procedente de varias zonas de la península itálica, y heterogéneo que incluía militares licenciados, mujeres y personas sin rango militar (García-Prósper, 2002). Consideramos que estas tumbas estarían dedicadas para un grupo determinado de colonos, tal vez la élite.

Tabla 6.22: Principales características antropológicas y deposicionales de las tumbas de cámara

	18	22	24	29	31	41
SEXO	V	M	V	V	V	V
DEPOSICIÓN	SUPINO	SUPINO	SUPINO	SUPINO	SUPINO	SUPINO
DESCOMP.	VACIO	VACIO	VACIO	VACIO	VACIO	VACIO
MORTAJA	PRESENCIA	PRESENCIA	PRESENCIA	PRESENCIA	PRESENCIA	PRESENCIA
POSICION¹⁴	6,8	1,8	1,8	8	6,8	6,8
PATOLOGIA	PRESENCIA	PRESENCIA	PRESENCIA	PRESENCIA	PRESENCIA	PRESENCIA
ACTIVIDAD	PRESENCIA	PRESENCIA	PRESENCIA	PRESENCIA	PRESENCIA	PRESENCIA
VARIANTES	AUSENCIA	AUSENCIA	PRESENCIA	PRESENCIA	AUSENCIA	PRESENCIA

El esqueleto de la tumba N° 18, corresponde a un individuo maduro (55-65 años) de sexo varón, enterrado en deposición decúbito supino y orientado E-O. Presentaba signos de amortajamiento en tobillos y a la altura de los hombros. La descomposición del cuerpo se produjo en un medio aeróbico (Tabla 6.22). Desde un punto de vista patológico se observan procesos artrósicos generalizados en columna vertebral, y principales articulaciones como consecuencia directa de la avanzada edad. Y patología reumática DISH (hiperóstosis idiopática difusa)¹⁵, también llamada enfermedad de Forrestier).

¹⁴ Las posiciones siguen la siguiente codificación: Distribución de las principales posiciones de extremidades superiores. (0) indeterminado; (1) estirados junto al cuerpo, (2) semiflexionados, (3) hiperflexionados, (4) cruzados a la altura del pecho, (5) cruzados a la altura de la pelvis, (6) uno estirado y otro semiflexionado, (7) otras posiciones.

Distribución de las principales posiciones de extremidades inferiores. (0) indeterminado, extremidades inferiores: estiradas y juntas (8), estiradas separadas (9), semiflexionadas (10), hiperflexionadas (11), una estirada y otra semiflexionada (12), (13) otras posiciones.

¹⁵ La hiperóstosis esquelética difusa (DISH), también conocida como la enfermedad de Forrestier es una enfermedad reumatológica con afectación sistémica que se caracteriza por la neoformación de hueso en las inserciones de ligamentos, tendones y cápsulas articulares. Esta enfermedad es raro detectarla antes de los 40 años. (Aufderheide y Rodríguez-Martín, 1998).

Los marcadores de estrés ocupacional ponen de manifiesto una biomecánica relacionada con una actividad continuada en cintura escapular, brazos y piernas como consecuencia de sus actividades laborales u ocupacionales.

El esqueleto de la tumba (Nº22), corresponde a un individuo adulto en un rango de edad entre los 35-40 años, de sexo mujer, enterrada en deposición de decúbito supino y orientado E-O. Presentaba signos de amortajamiento a nivel de hombros, rodillas y tobillos. La descomposición del cuerpo se realizó en medio vacío (Tabla 6.22)..

Desde un punto de vista patológico presentaba patología degenerativa manifiesta por la presencia de espondiloartrosis en la columna lumbar baja y una escoliosis dorsal derecha.

Los marcadores de estrés ocupacional ponen de manifiesto una biomecánica relacionada con una actividad continuada en cintura escapular, brazos y piernas como consecuencia de sus actividades laborales u ocupacionales.

El esqueleto de la tumba (Nº 24), corresponde a un individuo varón, adulto (30-40 años) enterrado en deposición decúbito supino y orientado E-O. Presentaba signos de amortajamiento a la altura de los hombros y tobillos. Descomposición del cuerpo en medio vacío (Tabla 6.22).

Desde un punto de vista patológico presenta evidencias de enfermedad carencial: porosis en los huesos malares, porosis supraciliar y patología degenerativa manifiesta por artrosis generalizada en todo el esqueleto destacando en columna cervical, artrosis de codo, rizartrosis de muñeca derecha, sacroilíaca, de cabeza femoral bilateral y calcáneo astragalina.

Los marcadores de estrés ocupacional ponen de manifiesto una biomecánica relacionada con una actividad continuada en cintura escapular, brazos y piernas como consecuencia de sus actividades laborales u ocupacionales.

Se observó una sutura petroescamosa (apófisis mastoides) como variante de la normalidad.

El esqueleto de la tumba (Nº 29), corresponde a un individuo adulto joven (35-40 años), de sexo varón, enterrado en deposición decúbito supino y orientado E-O. Presentaba evidencias de amortajamiento a la altura de los hombros. La descomposición del cuerpo se produjo en un medio aeróbico (Tabla 6.22).

Desde un punto de vista patológico pudo documentarse patología degenerativa: vértebras osteoporóticas (T8-T12), artrosis de articulación coxo-femoral bilateral, artrosis

de codo, eburnación de primera falange del segundo dedo de la mano derecha. Y patología infecciosa: Pleuritis granulomatosa en costillas, abundantes hernias de disco y cavidades Schmorl en toda la columna vertebral. Posible TBC.

Marcadores de estrés ocupacional a nivel de extremidades inferiores relacionadas con una actividad continuada de piernas como consecuencia de sus actividades laborales u ocupacionales.

Se observó una perforación esternal como variante de la normalidad.

El esqueleto de la tumba (Nº 31), corresponde a un individuo adulto en un rango de edad entre los 25-30 años, de sexo varón, enterrado en deposición de decúbito supino y orientado O-E. Evidencias de mortaja a nivel de húmeros, y extremidades inferiores. La descomposición del cuerpo se produjo en medio vacío.

Desde un punto de vista patológico presentaba patología degenerativa: Ligeros procesos degenerativos en columna dorsal y lumbar, hernia posterocentral a nivel de la vértebra torácica y patología traumática manifiesta en una posible fractura del segundo meta del pie izquierdo con regeneración ósea.

Marcadores de estrés ocupacional: indicadores de una biomecánica relacionada con una actividad continuada de cintura escapular, brazos y piernas como consecuencia de sus actividades laborales u ocupacionales.

El esqueleto de la tumba (Nº 41), corresponde a un individuo adulto maduro con un rango de edad entre los 40 y 45 años, de sexo varón, enterrado en deposición de decúbito supino y orientado E-O. Evidencias de mortaja en cintura escapular, codos, rodillas y pies. La descomposición del cuerpo se produjo en medio vacío (Tabla 6.22).

Desde un punto de vista patológico presenta patología carencial y metabólica: criba orbitaria bilateral, hiperóstosis supraorbitaria y fronto-parietal. Patología degenerativa: Artrosis temporo-mandibular bilateral, artrosis costo vertebral, espondiloartrosis en columna lumbar, osteofitosis y fusión vertebral. Ligeras artrosis coxo-femoral; ligera artrosis tibio-peronea derecha y patología traumática: fractura consolidada de tercio medio de diáfisis radial izquierdo con callo de fractura. Marcadores de actividad a nivel de cintura escapular, miembros superiores e inferiores. Además de estas evidencias, se observó una sutura petroescamosa (apófisis mastoides) como variante de la normalidad.

El estudio antropológico, paleopatológico y paleonutricional que se ha llevado a cabo ha comprobado que algunas de estas personas padecieron en vida enfermedades típicas de las sociedades acomodadas, difiriendo de los resultados que en este sentido se han obtenido de los ocupantes de las tumbas simples. De hecho, el primer individuo que se

ha descrito (Nº18), presenta evidencias osteológicas compatibles con la enfermedad de Forrestier, relacionada con la obesidad y la diabetes. Patologías asociadas a edad avanzada, sedentarismo y opulencia (Polo, en preparación)¹⁶.

Otra patología que evidencia este “status” privilegiado del que disfrutaban unos pocos es el pie gotoso del esqueleto (UE 1464) de la tumba Nº 31. Sin embargo, las condiciones de vida en los años inmediatos a la fundación no debieron ser demasiado favorables incluso para este grupo privilegiado. Evidencias osteológicas compatibles con la tuberculosis son reflejo de estos momentos primigenios. El esqueleto de la tumba de cámara (Nº 29) tiene lesiones compatibles con esta enfermedad que bien pudieran haberle ocasionado la muerte. A pesar de ello, el ritual de enterramiento fue de lo más ceremonial y distinguido si lo comparamos con otros casos cuyas causas de muerte son idénticas.

Consideramos que estos aspectos relativos a la salud y enfermedad distinguen a este grupo de fundadores, que ya en vida poseían una calidad de vida diferente de la de sus conciudadanos, y reflejada también a través de los gestos funerarios.

6.3.1.2 Tumbas de cremación y gestos funerarios

La fase fundacional de la necrópolis también se caracteriza por la práctica del rito de la cremación. Las estructuras relativas a la actividad crematoria, está compuesta por 12 tumbas de cremación (siete *loculi*, cinco *busta*) y un *ustrinum* o pira conservada.

Tabla 6. 23: Las cremaciones del siglo S.II a.C.

Nº CASOS	NEF	UE INDIV.	UE FOSA	TIPO	AJUAR
1	72	1.284	1.283	<i>bustum/J</i>	no
2	73	2238=2103	2240=2104	<i>Bustum/J</i>	si
3	74	2.113	2.114	<i>loculus/K</i>	si
4	75	2.145	2,144	<i>loculus/K</i>	si
5	76	2.207	2.206	<i>bustum/J</i>	no
6	77	2.236	2.237	<i>loculus/K</i>	si
7	78	2.247	2.248	<i>bustum/J</i>	si
8	79	2.352	2.353	<i>loculus/K</i>	si
9	80	2.354	2.355	<i>bustum/J</i>	no
10	81	2.356	2.357	<i>loculus/K</i>	si
11	82	3060	3.061	<i>loculus/K</i>	si
12	83	3071	3.072	<i>loculus/K</i>	si
13	84		1.280	<i>ustrinum</i>	si

¹⁶ Los resultados relativos a salud y enfermedad se encuentran incluidos en la tesis doctoral de Manuel Polo en estos momentos en preparación.

Las características del registro arqueológico con una importante superposición de las tumbas y afectación de los niveles de épocas posteriores, han condicionado la conservación de las tumbas de cremación limitando el análisis deposicional de las ofrendas y de los restos antropológicos. Algunas tumbas no tienen más que algunos fragmentos cerámicos y en general para este periodo, con poca variedad en cuanto al tipo de material. A pesar de estas dificultades se trata, en efecto, de distinguir si es posible, por medio del ajuar funerario, la ofrenda depositada de manera deliberada en la tumba. El término “ofrenda” hace referencia al depósito que de forma intencionada se encuentra en la tumba y cuya interpretación será discutida caso por caso siempre que sea posible.

De todas las cremaciones documentadas, tres no contenían materiales de ofrenda, quedando nueve tumbas con elementos de ajuar funerario.

Tanto las cremaciones de carácter primario como las secundarias, estaban distribuidas sin un orden aparente por toda la extensión de la cata arqueológica, pero con tímida predilección por el sector centro-meridional. Al igual que ocurre con las inhumaciones, el espacio se va ocupando con enterramientos sin que haya una aparente organización del espacio (Lámina 5.1).

Las cremaciones primarias o *busta* se caracterizan por construir la pira en el lugar elegido para la tumba y tras la combustión, las cenizas se recubren de tierra, siguiendo los preceptos, y acompañándose de los materiales de las ofrendas.

Las cremaciones secundarias o *loculi*, son aquellas en las que una vez quemado el cuerpo, sus restos se recogían y trasladaban bien a un hoyo excavado en la tierra, o bien dentro de una urna y posteriormente trasladados a una fosa para su inhumación. En el caso de los enterramientos colectivos o *columbaria*, los *loculi* son los nichos cavados en las paredes para alojar la urna funeraria (Vaquerizo, 2002).

Respecto a las deposiciones de las ofrendas en las cremaciones, cabe hacer distinción entre las ofrendas primarias y secundarias

- Ofrendas primarias depositadas en la pira o *ustrinum* antes o durante la cremación (quemadas).
- Ofrendas secundarias colocadas en el lugar de la sepultura después de la cremación (no quemadas).

Esta metodología de análisis empleada en la arqueología alemán desde los años 70 por G. Müller, también es muy utilizada en Francia y muy útil para explicar la dinámica de la cremación (Bel, 2002). Nosotros en este trabajo vamos a intentar sistematizar estos aspectos en la medida de lo posible a partir de los datos de campo y de inventario. En

los casos en que no haya información sobre su estado de conservación, se clasificará como indeterminados.

Los materiales considerados parte del ajuar funerario destacaban sobre todo porque muchos estaban completos (ungüentarios, cubiletes de paredes finas, forma Mayet II, etc.), en cambio otros, aparecían fragmentados e incompletos como es el caso de fragmentos de ánforas itálicas y greco-itálicas, algunas de ellas con claras evidencias de haber estado expuestos al fuego. Por lo que respecta a los metales, destaca la presencia de un *strigilis*; así como un casco de tipo montefortino y un *gladius* pertenecientes a la misma tumba (Nº 78).

Tabla 6.24: Tipo de material presente en las cremaciones

Nº	RITO	NEF	UUEE	tipo	CERAMICA	MONEDAS	METALES
1	C	72	1284-1283	<i>BUSTUM</i>			
2	C	73	2103= 2238, 2104=2240	<i>BUSTUM</i>	C. Ibérica, campaniense		<i>strigilis</i>
3	C	74	2113, 2114	<i>LOCULUS</i>			varilla, anilla
4	C	75	2144, 2145	<i>LOCULUS</i>	ungüentarios, anforas, gris*		
5	C	76	2207-2206	<i>BUSTUM</i>			
6	C	77	2236, 2237	<i>LOCULUS</i>			tachuelas
7	C	78	2247, 2248	<i>BUSTUM</i>	romana, ibérica		casco, <i>gladius</i> , <i>strigilis</i>
8	C	79	2352, 2353	<i>LOCULUS</i>			aguja bronce
9		80	2354-2355	<i>BUSTUM</i>			
10	C	81	2356, 2357	<i>LOCULUS</i>			objeto hierro indet.
11	C	82	3060, 3061	<i>LOCULUS</i>	romana		
12	C	83	3071, 3072	<i>LOCULUS</i>	romana	Quadrans	
13	C	84	1360-1376-1348-1333-1322-1281	<i>USTRINUM</i>	romana, ibérica		

6.3.1.2.1 Cremaciones primarias (*busta*) (J)

Las cremaciones primarias de este momento son cinco de las cuales solo dos conservaron parte de las ofrendas funerarias.

Tabla 6.25: Las cremaciones primarias

NEF	U.E INDIV.	U.E Fosa	Tipo	AJUAR
72	1.283-84	1.283	<i>bustum/J</i>	no
73	2238=2103	2240=2104	<i>bustum/J</i>	si
76	2.206-7	2.206	<i>bustum/J</i>	no
78	2.247-48	2.248	<i>bustum/J</i>	si
80	2.354	2.355	<i>bustum/J</i>	no

La mayoría de estas tumbas, conservaban una forma rectangular y tan solo una, la N° 73 (U.E 2104), alcanzaba unas medidas de 1,9 x 0,42 x 1,18 m, siendo la de mayores dimensiones con respecto a las otras en las que muchas no superaban el metro de longitud. Ya hemos hecho referencia a la importante afectación tafonómica que estas tumbas han sufrido, de hecho esta cremación fue literalmente arrasada por la construcción de una de las calzadas (N°135, UE 2152) del siglo I a.C.

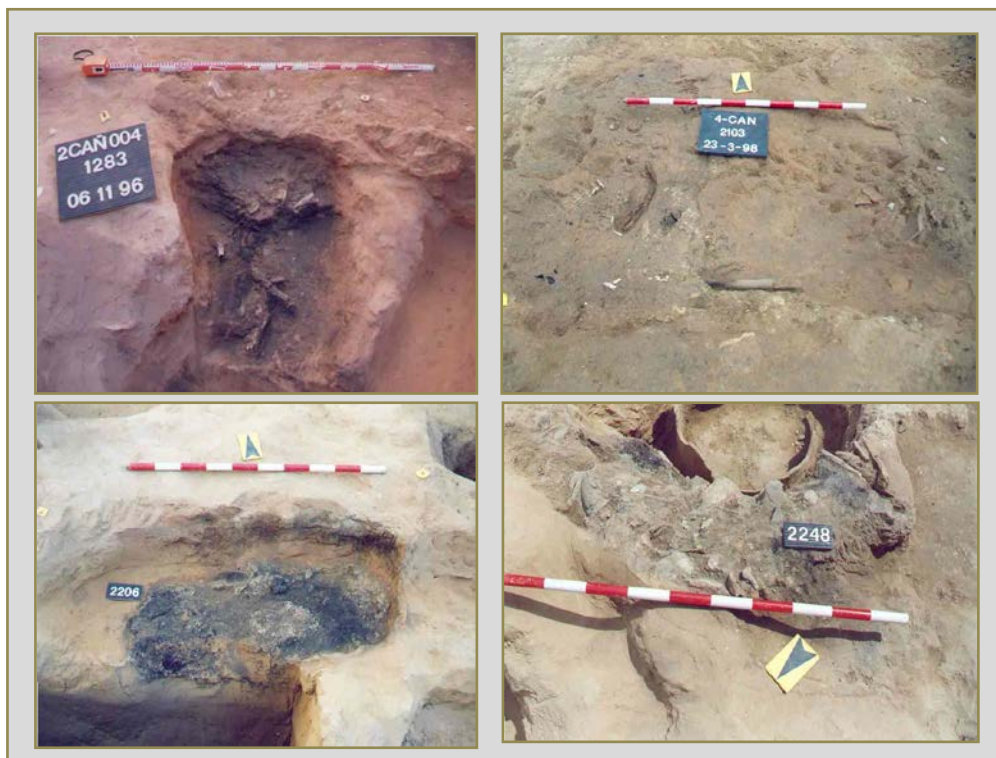


Figura 6.24: *Busta* de la fase inicial de la necrópolis

A pesar de la mala conservación que presentan estas tumbas, el *bustum* (Nº 72 UE, 1284, 1283), conservaba un orificio que se ha interpretado como la impronta del tubo de libaciones (que bien podía ser de arcilla o piedra), y que habitualmente se colocaba en un extremo de la tumba para introducir los líquidos sagrados ofrecidos a los dioses.

En líneas anteriores ya se ha comentado que tan solo dos *busta* se acompañaban de ofrendas: la tumba (Nº73) y la (Nº 78).

El *bustum* (Nº73) (lámina 5.17), es el de mayores dimensiones conservadas y del que mejor información se ha podido extraer. En este sentido se pudo recuperar material cerámico quemado al que pertenecían varias asas de ánfora itálica, fragmentos de ollas de cerámica de cocina, restos de un olpe, una base de olla, un fragmento de cerámica de Paredes Finas y dos jarritas grises de la costa catalana.

Entre las piezas no quemadas destacan varios fragmentos de cerámica común, un fragmento de disco de lucerna y un pivote de ánfora itálica; varios fragmentos de boca de una Dressel 1 A, dos fragmentos de Campaniense B de Cales (forma Lamb. 5), un fragmento de Campaniense A, tres fragmentos de borde de un *kalathos* ibérico. Y dos jarritas bitroncocónicas, forma 7 de Aranegui (nº inv. 0617-0618).

Formando parte de este conjunto, un *Strigilis* (nº inv 0915) fragmentado y oxidado. No se ha podido establecer si estaba o no quemado sin embargo su disposición, junto al tórax parece indicar que se depositó antes de la cremación.

El otro *bustum* es el (Nº 78) (Lámina 5. 20). No se halló completo, de hecho la zanja de construcción de un sumidero bajomedieval lo cortó casi por la mitad (Figura 6.25).

Esta tumba tiene la peculiaridad de albergar restos de panoplia militar compuesta por varias piezas metálicas correspondientes a un casco de bronce, tipo Montefortino (nº inv. 0922) aplastado sobre una espada (*gladius*) (nº inv. 0921) de hierro. Junto a estos restos, se localizaron más fragmentos de hierro, de un posible *strigilis*, y de lo que se interpreta como el empuñadura de un cuchillo puesto que conserva los remaches que sujetaban las cachas al ánima, junto a este aparecían adobes que han tomado una coloración rojiza por efecto del fuego.



Figura 6.25: Planimetría y fotografías de campo del *Bustum* N° 78

Junto a los restos metálicos había varios fragmentos cerámicos quemados, de ánfora Greco-Itálica de Transición, un fragmento de ánfora Itálica Dressel 1A; Fragmento de cerámica bitroncocónica monocroma de la costa catalana.

El casco está aplastado de manera intencionada, sobre un *gladius* de hierro que aparece también doblado intencionalmente, además se hallaron otros objetos metálicos, en concreto un fragmento de *strigilis*, y un cuchillo. Siguiendo la clasificación tipológica de García-Mauriño¹⁷, el casco corresponde al tipo I, sin poder precisar el subtipo. Del segundo ejemplar se conservan cuatro fragmentos, siguiendo la clasificación tipológica de García-Mauriño, corresponde al tipo I, subtipo I b, documentado en una cremación del S. I a.C.

Este casco pertenece al tipo Montefortino, modelo de casco ampliamente utilizado en Italia por parte de legionarios romanos. La presencia de este *bustum* en los niveles fundacionales tiene relación con la llegada de soldados licenciados que toman parte en la fundación romana de *Valentia*.

¹⁷ Los cascos de tipo Montefortino en la Península Ibérica. Aportación al estudio del armamento de la IIª Edad del Hierro. GARCÍA- MAURIÑO, Joaquín. (1993). Pág. 95-146. *Complutum*, 4.

El Gladius está incompleto, curvado y fragmentado en tres trozos de manera intencionada antes de su deposición. Sobre ella se aplastó un casco de tipo Montefortino también inutilizado intencionalmente.

Los escasos fragmentos conservados no permiten asegurar el tipo de arma, pero probablemente se trate de un *gladius hispaniensis*¹⁸. Hay ejemplos de *gladii* republicanos documentados en Francia y en España, es el caso de un depósito de armas hallado en la Azucarera (Alfaro, La Rioja), donde se hallaron fragmentos de un casco de tipo Montefortino, espadas tipo la Tene, *gladii hispanienses* junto a otros objetos. Los autores datan el depósito en época sertoriana aunque mencionan la posibilidad de que sea más antiguo, segunda mitad del siglo II a.C.¹⁹

A) Aspectos antropológicos de los busta

Por lo que respecta al material óseo recuperado es escaso, entre los 384,03 y los 10,87 gr. Predominando una combustión media (entre los 350 y 500° C)²⁰. La recogida de los restos es superficial en todos los casos y ello tiene relación con la afectación tafonómica del sustrato arqueológico. En los busta no se puede hablar de “recogida” sino más bien de la calidad de los materiales documentados (Tabla 6.26).

La coloración tiene que ver con el tipo de combustión. Los busta presentan gradiente colorimétrico que va del negro (300°C) al blanco (>650°C) (Polo y García-Prósper, 2007). Y ello está relacionado con el tipo de combustión que se realizó y los diferentes focos de calor distribuidos por la pira. Por regiones anatómicas se ha constatado que la combustión ha sido de menor gradiente antes aquellas zonas con menor presencia de tejido cortical, y mayor tejido esponjoso, así como de partes blandas.

¹⁸ ¿De filo o de punta? Catálogo de la Exposición “El filo de la cultura”. Pág. 139-149. QUESADA, Fernando. 2000. Valencia.

¹⁹ El depósito de armas de la Azucarera (Alfaro, La Rioja). Cuadernos de Arqueología de la Universidad de Navarra, 4, pág 173-194. IRIARTE, A *et al.* 1996.

²⁰ La combustión se considera media cuando alrededor del 50 % del material óseo quemado ha alcanzado temperaturas medias comprendidas entre los 350 °C y los 500 °C o sea desigual (Polo y García-Prósper, 2004).

Tabla 6.26: Resultados del estudio antropológico de las cremaciones del siglo II a.C

NEF	72	73		76	78
UE	1284	2238	2103	2206-2207	2247
Combust.	MEDIA	MEDIA	MEDIA	DÉBIL	INTENSA
Recogida	SUPERF.	SUPERF.	SUPERF.	SUPERF.	MEDIA
Color pred	GRIS	NEGRO	GRIS/NEGRO	NEGRO	BLANCO
Tª media °C	400-600	300-400	300-600	300-400	>600
Tipología	<i>BUSTUM</i>	<i>BUSTUM</i>	<i>BUSTUM</i>	<i>BUSTUM</i>	<i>BUSTUM</i>
NMI	2	1		2	1
Edad	Infant I / joven	joven (20-40)		(20-40)	(20-40)
Sexo	mujer (adulto)	varón	indet.	varón	indet.
Peso	384,03	16,50	75,20	10,87	83,80

6.3.1.2.2 Cremaciones secundarias (*loculi*) (K)

Las cremaciones secundarias están representadas por siete *loculi*, muy sencillos, excavados en la tierra (estratos naturales de arenas y arcilla), sin urna como receptáculo de los restos del finado (Tabla 6.27).

Tabla 6.27. Las cremaciones secundarias

	NEF	INDIV.	Fosa	Tipo	AJUAR	FORMA
1	74	2.113	2.114	<i>loculus/K</i>	si	elíptica
2	75	2.145	2.144	<i>loculus/K</i>	si	Indet.
3	77	2.236	2.237	<i>loculus/K</i>	Restos indum.	rectangular
4	79	2.352	2.353	<i>loculus/K</i>	si	semicircular
5	81	2.356	2.357	<i>loculus/K</i>	si	rectangular
6	82	3060	3.061	<i>loculus/K</i>	si	circular
7	83	3071	3.072	<i>loculus/K</i>	si	alargada

Las fosas eran de reducido tamaño, poco profundas con escueta presencia de materiales como: fragmentos de cerámica común quemados y fragmentos de ungüentario, *oinochoe* o paredes finas fragmentados y no quemados.

Los materiales hallados en el interior de las cremaciones, reflejan el momento de ofrenda al difunto, de las exequias de los familiares y demás asistentes al funeral. Por otro lado,

la presencia de material quemado y no quemado atestigua una práctica del ritual consistente en lanzar parte del ajuar a la pira durante la cremación y depositar el resto directamente en la tumba al final del proceso (García-Prósper, Guérin, Martí, Ramírez, 1999; García-Prósper y Guérin, 2002). A partir del estado de conservación del ajuar funerario, se han inferido estas características y establecer posibles interpretaciones.

Tabla 6.28: Las ofrendas funerarias de las cremaciones secundarias

NEF	CERÁMICA	METALES	ESTADO	FUEGO	INTERPRET
74	no	varilla hierro , anilla bronce	oxidado	indet.	indet.
75	5 ungüentarios	no	Completo y fragmentario	no quemado	posible ofrenda
77	no	tachuelas	oxidadas	quemadas	<i>caligae</i> (sandalias)
79	no	aguja de bronce		indet.	indet.
81		clavos, frag. hierro (indet)			ritual (clavos)?
82	Ung, Camp, ánf. itálica	no	fragmentadas	no quemada	restos Banquete
83	Camp B, p. finas, ánfora		fragmentadas	no quemada	restos banquete

El tipo de material hallado son de tipo cerámicos y metales. Los objetos quemados en la incineración o depositados junto al cadáver en la inhumación pueden ser aquellos que necesitan una purificación por medio del fuego o la inhumación (contacto con la tierra) (Tabla 6.28).

Los metales hallados en los *loculi*, presentaban un estado de conservación, en general, muy deficiente. Las anillas y pequeños elementos metálicos hallados, podría tener relación con el “cofre” o caja donde se recogerían los restos del finado tras la cremación. En la necrópolis de Valladas, donde se han documentado más de 200 cremaciones, el hallazgo de estos elementos metálicos se relacionan con el receptáculo funerario (Bel, 2002). Normalmente esta caja era de madera, y llevaba arandelas, anillas y remaches de metal (hierro y/o bronce) que permanecen tras la descomposición de las cajas por el paso del tiempo, y se recuperan durante la excavación en estado oxidado.

Como elemento de indumentaria se ha interpretado el hallazgo de un conjunto de tachuelas relacionadas con el calzado, concretamente con las *caligae* romanas. Estas sandalias estaban realizadas con suela de cuero y tiras del mismo material de las que no suele quedar vestigios, quedando las tachuelas de la suela²¹.

Por otro lado, la presencia de clavos en la cremación (Nº 77), puede deberse a dos motivos, bien como resultado de la cremación del receptáculo funerario, o de la caja que contendría los huesos, o bien como simbolismo de protección en el viaje al más allá

²¹ En una inhumación de la necrópolis de Orriols (*Valentia*) se hallaron los restos de tachuelas a la altura de los pies relacionados con estas *caligae* (Albiach y Soirano, 1996). Otro ejemplo de este tipo de hallazgo en la tumba Nº 58 de la necrópolis de Valladas (Bel, 2002).

(Alfayé, 2010). A este respecto y dado el número de clavos hallados tanto en cremaciones como en inhumaciones que podrían tener atribuciones rituales, se ha redactado un epígrafe a propósito de estas cuestiones.

Entre los objetos cerámicos destaca el buen estado de las ofrendas secundarias de la tumba (Nº75), representados por cinco ungüentarios, dos de ellos completos, y el resto fragmentados. No presentan acción de fuego visible por lo que fueron depositados tras la combustión del cuerpo y el traslado al *loculus*. Son por tanto, representación de los objetos que acompañaban al difunto en el último viaje, y purificados al inhumarse junto a los restos del finado.

De las siete cremaciones secundarias, se ha realizado el estudio de laboratorio en tres de ellas. Las demás cremaciones no tenían restos antropológicos conservados para su estudio.

Tabla 6.29: Principales características antropológicas

NEF	74	81	83
Combustión	MEDIA	INTENSA	DÉBIL
Recogida	SUPERF.	SUPERF.	SUPERF.
Color predominante	GRIS-BLANCO	BLANCO	OCRE
Tª media (°C)	400-600	>601	100-250
NMI	1	1	1
Edad	(20-40)	(20-40)	infantil I
Sexo	indet.	varón	indet
Peso	45,17	29,97	10,51

El material óseo recuperado es escaso y oscila entre los (45,17 y 10,51 gr). El tipo de combustión es heterogéneo, es decir, que presenta una coloración propia de una combustión débil (entre los 300-400°C), a una intensa (>600-650°C). Esta variabilidad tiene que ver con la selección de los restos recuperados de la pira, ya que se hace una recogida bastante superficial para estos *loculi* (Tabla 6.29). Obviamente la coloración será más blanca en aquellos que hayan soportado mayor grado de calor en la combustión. El NMI es de uno en cada *loculus*, y se ha documentado la presencia de un individuo infantil I (0-7 años), y dos adultos jóvenes (entre los 20-40 años). Asimismo, la determinación del sexo se ha podido establecer en la tumba Nº81 a partir del espesor del tejido cortical, según el método de Gejval, 1969.

6.3.1.2.3. Aspectos antracológicos de las cremaciones²²

Los carbones recuperados para el análisis de este periodo han seleccionado de acuerdo con una estrategia de muestreo teniendo en cuenta la calidad de conservación de los restos de carbones.

Tabla 6.30: Resultados antracológicos de las cremaciones primarias y secundarias

NEF	TIPO	RESULTADOS
72	<i>Bustum</i>	<i>Pinus Halepensis</i>
77	<i>Loculus</i>	<i>Olea Europaea</i>
83	<i>Loculus</i>	<i>Pistacia lentiscus</i>

De este estudio se conoce la presencia de *pinus halepensis* con una amplia capacidad de combustión y representado en un 100% de las 11 muestras de carbón analizado y presentes en el *bustum* de mejor conservación (Nº 72). El lentisco está presente en el 100% de los 30 carbones estudiados en el *loculus* (Nº 83), no es una especie muy inflamable pero en cambio aporta aroma que desprenderían los aceites esenciales al ser quemados. La *olea europaea* también es de combustión lenta y se ha documentado en un 100% de la muestra analizada en la cremación (Nº 77) (Tabla 6.30).

6.3.1.2.4 El *ustrinum*

El *ustrinum* (Nº 84), conservaba unas dimensiones de 1,90 x 0,70 x 0,80 m y tras su vida útil se destinó a lugar de enterramiento (Nº19) con dos individuos, uno adulto y otro infantil (Figura 6.26).

En época romana, las piras son principalmente de dos tipos: las construidas en el suelo y otras que lo hacían encima de una gran fosa rectangular. Las primeras se detectan por el endurecimiento de los muros y por la rubefacción de paredes y base de la estructura por la acción directa del fuego (Blaizot, 2009). En la necrópolis, todos los *ustrina* fueron de esta tipología ya que a pesar de no conservarse completamente, las paredes enrojecidas y “cocidas” por el fuego invitaban a esta interpretación.

En el momento de la cremación, los oficiales aprovisionan la fosa de grandes troncos con el fin de asegurar un lecho óptimo a la pira, o bien, construyen un pedestal directamente sobre el fondo. Teniendo en cuenta que la cremación de un cuerpo requiere al menos 3 horas con una temperatura constante entre los 400-850°C, la operación exigen una alimentación constante de fuego y un importante volumen de combustible.

²² Datos extraídos del informe del análisis antracológico realizado por Sonia de Haro.

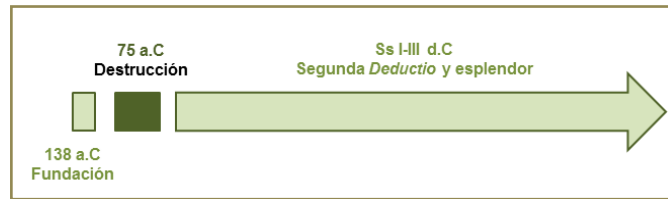
La construcción debería tener al menos, un metro de altura y la madera debe ser de combustión lenta que libere un máximo índice de calor (*pinus*, roble y la propia ceniza) (Blaizot, 2009).



Figura 6.26: Pira funeraria en fosa. (*ustrinum*, N° 84)

6.3.2 Fase Republicana (Siglo I a.C.)

Con respecto al periodo anterior la necrópolis experimenta un cambio materializado por la construcción de una calzada



de cantos rodados que discurre de Norte a Sur la cata arqueológica y se prolonga hacia el Este para confluir con la prolongación del *Decumanus Maximus*.

Directamente sobre las tumbas del periodo anterior se aportan estratos de tierra destinados a albergar las cremaciones, y los enterramientos de inhumación de este momento. Los materiales cerámicos de las cremaciones, así como la lectura estratigráfica, tan importante en esta necrópolis, ofrece un uso funerario a lo largo de esta centuria con escasos enterramientos, en comparación con el periodo anterior, como consecuencia de la participación de *Valentia* en las guerras sertorianas (75 a.C.). Esta contienda produjo una fuerte convulsión en la ciudad que se ha podido confirmar en las excavaciones urbanas. El ejemplo más clarificador de lo que pudo significar este momento de guerras son los 14 individuos descuartizados hallados en un nivel de incendio sobre el pavimento del foro, en la plaza de la Almoína (Calvo, 1991; Ribera y Calvo, 1995; Alapont, Calvo y Ribera, 2010; Ribera, 2013; y Ribera y Jiménez, 2014).

Estos hechos bélicos supusieron el inicio de un largo periodo de cambios en la ciudad tras la destrucción. La información que se extrae de las excavaciones arqueológicas pone de manifiesto que la ciudad siguió con actividad aunque de forma tímida y con contactos con población indígena próxima a *Valentia*. Las intervenciones realizadas en la Plaza de Cisneros nº 6, en la calle Roc Chabàs, o en la Plaza de la Almoína, (Marín y Ribera, 2002; Ribera, 1998; Serrano, 1999), junto a otros puntos como el hallazgo de la calle Ruaya, y en el entorno de las calles Sagunto, y Avda. de la Constitución, (Ribera, Jiménez, 2014), han proporcionado hallazgos de materiales ibéricos asociados a construcciones de carácter artesanal, y funerarios²³ que ponen de manifiesto una relación directa entre los colonos procedentes de la península itálica, y que quedaron tras la contienda, y los pobladores indígenas del entorno con eminente carácter ibérico.

Consideramos que no se produjo un completo abandono de la ciudad, aunque ésta sufrió una notable disminución de actividad y de población.

²³ En el año 1994 en la calle Sagunto se documentó un posible *ustrinum* y una fosa con restos de cremaciones con material numismático en su interior. También hay noticias de urnas cinerarias ibéricas de época republicana (Ribera, 1996). Estos hallazgos están inéditos y supondría un importante elemento de discusión el análisis de estas cremaciones ya que, al parecer, junto con las urnas de la necrópolis son las únicas en toda *Valentia* de esta características.

Reflejo del momento vivido en la ciudad es la fase tardorrepublicana del siglo I a.C. Durante este periodo se han documentado una ralentización en la actividad funeraria, consecuencia directa de la importante huida de población tras las guerras a otros lugares más seguros, menos convulsos. Y reflejo de este contacto con las sociedades indígenas es el horizonte de cremaciones en urnas ibéricas que de forma conjunta se han documentado en la necrópolis.

Las inhumaciones son escasas y sin ajuar, mientras que las cremaciones son más abundantes y presentan características diferentes incluso en la propia práctica del ritual crematorio. Los *loculi* con urnas ibéricas pintadas son un atractivo en la casuística crematoria de *Valentia*. Los estudios antropológicos han resultado ser de gran utilidad para poder conocer la pauta ritual y si es posible, establecer diferencias entre las tumbas de cremación más allá del tipo de receptáculo y/o ajuar funerario.

De las 41 tumbas excavadas pertenecientes a este momento, 9 son inhumaciones y 32 cremaciones.

Las primeras pertenecen al tipo A de fosa simple, excepto en un caso que se trata de un enterramiento en ánfora, Tipo I. Con respecto a las cremaciones, tan solo 2, son del tipo G; mientras que las 30 restantes, corresponden al tipo H, aunque con algunas variaciones.

El rito de la cremación adquiere una importancia notable en esta fase de la necrópolis. Las tumbas primarias (*busta*) están representadas en 3 casos, y las secundarias (*loculi*) están presentes en 29 casos.

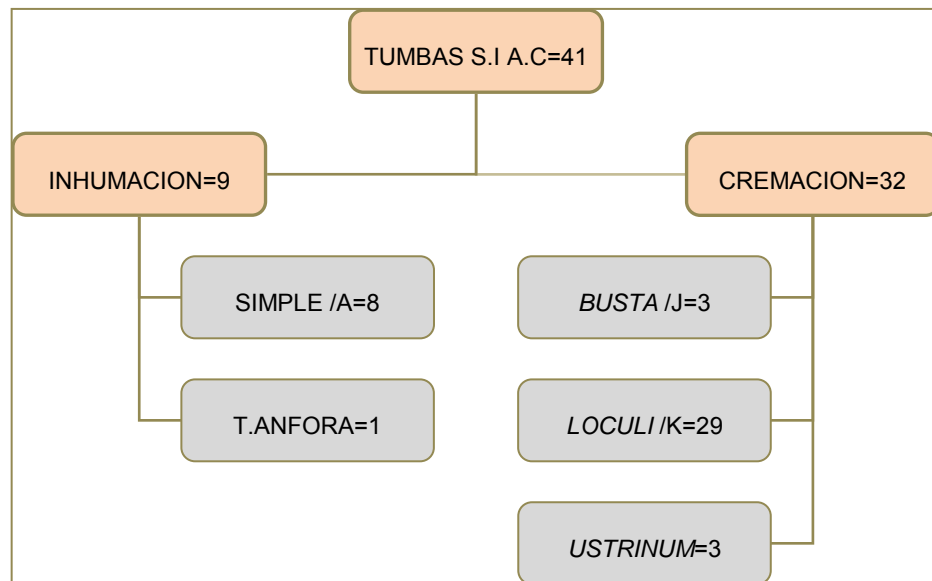


Figura .27: Organigrama con los tipos de tumbas y el número de casos

6.3.2.1 Tumbas de inhumación y gestos funerarios

6.3.2.1.1 Fosas simples individuales (A)

Tan solo 9 inhumaciones pertenecen a este momento de las cuales 8 son del tipo de fosa simple y un enterramiento en ánfora.

Tabla 6.31: Principales características de las inhumaciones del siglo I a.C

NEF	INDIV.	TIPO	ORIENTACIÓN	DESCOMP.
91	1276	sin fosa	S-N	COLMATADO
92	1275	simple/A	O-E	COLMATADO
93	2131	simple/A	E-O	VACÍO
94	3113	ánfora		indet
95	simple/A
96	3128	simple/A	E-O	COLMATADO
97	3180	simple/A	E-O	COLMATADO
98	3202	simple/A	E-O	COLMATADO
99	3106	simple/A	S-N	COLMATADO

Tabla 6.32: Principales gestos funerarios de las inhumaciones

NEF	EDAD	SEXO	ORIENTACIÓN	DEPOSIC.	POSICIÓN	MORTAJA	DESCOMP.
91	39-44	v	S-N	SUPINO	Código 6	Código 2	COLMATADO
92	20-40	v	O-E	SUPINO	Código 1	Indet.	COLMATADO
93	30-35	v	E-O	SUPINO	Código 2, 8	Código 2,5,7	VACÍO
94	neonato	Indet.	Indet.	Indet.	Indet.	Indet.	Indet.
95	Sin restos antropológicos. La fosa estaba por debajo de la actual calle Quart						
96	20-40	m	E-O	SUPINO	indet	Código 2	COLMATADO
97	20-40	v	E-O	SUPINO	Código 1	Código 5	COLMATADO
98	30-40	m	E-O	SUPINO	Código 8	Código 7	COLMATADO
99	20-40	m	S-N	SUPINO	Indet.	Indet.	COLMATADO

Las fosas de inhumación son del tipo simple/A, salvo una que es en ánfora. Desde un punto de vista de la colocación del cuerpo en el interior de la fosa, cabe señalar que prácticamente todos adoptaban una deposición supina (dorsal), en cuatro de los 8 casos con evidencias osteológicas, y la descomposición en medio colmatado salvo el esqueleto de la tumba 93 (Lámina 5.29) (Tabla 6.32).

A) Gestos funerarios

Las posiciones adoptadas en la tumba era de brazos estirados junto al cuerpo (Código1), uno estirado y otro semiflexionado (código 6), ambos brazos semiflexionados (código 2), y por lo que respecta a las extremidades inferiores la posición de ambas piernas

estiradas y juntas es la documentada (código 8). Estas posiciones vienen condicionadas por el índice de conservación esquelética que en líneas generales es deficiente, no superando el 50% en ningunos de los enterramientos de individuos adultos.

Las evidencias de mortaja se pudieron observar en cinco de las tumbas y estos signos eran manifiestos en tres regiones anatómicas (hombros, rodillas y pies). A nivel de hombros (Código 2) en tres casos, a nivel de rodillas (código 5) en dos casos, y pies (código 7) en dos casos.

La tumba N° 95, no conservaba restos antropológicos al hallarse la tumba por debajo de la calle imposibilitando la exhumación del esqueleto sin entrañar peligro para el excavador.

La tumba N° 94 que contenía los restos de un neonato que apenas conservaba el 1,50% IC sin poder analizar los gestos funerarios.

Ninguna tumba se acompañaba de ajuar funerario. El único elemento que se ha hallado en el interior de una tumba, concretamente en la N° 93, es un remache de hierro de 0,5 cm espesor atravesada por un clavo también de hierro, de (1,7 cm) y diámetro de cabeza de unos 3 cm. Se interpreta como elemento del ataúd de madera que no ha permanecido y que tiene relación con el tipo de descomposición en medio vacío de los restos esqueléticos.

B) Aspectos antropológicos y paleopatológicos

Tabla 6.33: Principales características de salud y enfermedad de las inhumaciones

NEF	INDIV.	EDAD	SEXO	PATOLOGIAS	MARC. ACTIVIDAD	VARIANTES
91	1276	39-44	v	6, 5	2,3,5	1
92	1275	20-40	v	6	2,3	0
93	2131	30-35	v	2	2,3,4,5	0
94	3113	neonato	indet	0	0	0
95					
96	3128	20-40	m	6	0	0
97	3180	20-40	v	0	3,4,5	0
98	3202	30-40	m	6	5	0
99	3106	20-40	m	0	0	0

Desde un punto de vista de calidad de vida y salud podemos decir que las patologías manifiestas son de tipo degenerativo (código 6), junto con las de tipo carencial, nutricional y metabólico (código 5). Las patologías de tipo degenerativo propios de edad avanzada como la artrosis, en estos casos de individuos adultos entre 20-40 años tal vez

tengan más relación con el tipo de actividad tal y como se expresa en el párrafo siguiente (Tabla 6.33).

La actividad repetida de miembros superiores e inferiores se reseñan en los individuos de edad adulta y de sexo varón. Los marcadores de actividad presentes en hombros (código 2), miembros superiores (código 3), pelvis (cod.4) y miembros inferiores (código 5) indican una movilidad repetida en relación con algún tipo de actividad laboral u ocupacional (Tabla 6.33).

6.3.2.2 Tumbas de cremación

6.3.2.2.1 Cremaciones primarias (*bustum*) (J)

Tal y como se ha apuntado anteriormente, este periodo se caracteriza por la cantidad de cremaciones presentes entre las que tan solo 3 se corresponden a primarias y 29 son secundarias. Así mismo, a este momento corresponden tres *ustrina*, dos de ellos, muy próximos entre sí, y que denotan claramente una importante actividad crematoria (Lámina 5.28).

Los *busta* pertenecientes a este momento, son fosas excavadas en la tierra, de forma rectangular en cuyo interior estaba el individuo incinerado. La estructura generalmente presenta las paredes y base rubefactas por la acción y la intensidad del fuego. Junto a los restos era fácil hallar metales, fauna, cerámica, restos de indumentaria junto a otros objetos resultantes de las ofrendas.

La presencia de estas cremaciones primarias tanto en esta fase funeraria como en la anterior, y también en época imperial, es menor que las cremaciones secundarias o *loculi*. Este hecho contrasta con la frecuencia de *busta* en necrópolis de Occidente donde supone una ruptura con las prácticas indígenas. La mayor densidad de estas tumbas se ha constatado en el siglo I d. C. y a partir de este momento, sin abandonarse, se dio paso a las cremaciones secundarias y las inhumaciones. Un ejemplo de esta evolución es la necrópolis galo romana de la Favorite (Lion), o también en Marsella (Tranoy, 2000).

Las cremaciones secundarias son sencillas, simples fositas excavadas en la tierra con escasos restos óseos y en acompañados de ajuar en el mejor de los casos. En general, presentan unas características similares en cuanto a forma, dimensiones, cantidad de restos óseos, tipo de combustión y tipo de material hallado en el interior.

Hay seis cremaciones en urna cerámica, cinco de las cuales utilizan urnas de cerámica ibérica marcando una diferenciación con respecto al resto de cremaciones (Tabla 6.34).

Tabla 6.34: Principales características de las cremaciones primarias y secundarias

NEF	UE indiv.	TIPO	FORMA aprox.	AJUAR
100	1.242	<i>loculus/K</i>	Indet.	Si
101	1.228	<i>loculus/K</i>	hemisférico	no
102	1.205	<i>loculus/K</i>	hemisférica	no
103	1.263	<i>loculus/K</i>	circular	si
104	1.256	<i>loculus/K</i>	circular	si
105	1.258	<i>loculus/K</i>	circular	no
106	1.268	<i>loculus/K</i>	cuadrada	si
107	1.286	<i>loculus/K</i>	circular	no
108	1.305	<i>loculus/K</i>	circular	no
109	1.324	<i>loculus/K</i>	irregular	no
110	1.350	<i>loculus/K</i>	rectangular	si
111	1.378	<i>loculus/K</i>	Indet.	no
112	<i>loculus/K</i>	Indet.	no
113	2.107 b	<i>loculus/K</i>	Indet.	si
114	2.055	<i>loculus/K</i>	Indet.	si
115	2111	<i>loculus/K</i>	irregular	no
116	2126	<i>loculus/K</i>	circular	si
117	2.133	<i>bustum/J</i>	cuadrado	si
118	2263-64	<i>loculus/K</i>	circular	si
119	2265	<i>loculus/K</i>	circular	si
120	2267	<i>loculus/K</i>	alargada	si
121	2287	<i>loculus/K</i>	circular	no
122	3009	<i>loculus/K</i>	alargada	no
123	3051	<i>loculus/K</i>	circular	no
124	3078	<i>loculus/K</i>	circular	si
125	3080	<i>loculus/K</i>	circular	no
126	3123	<i>loculus/K</i>	circular	si
127	3126	<i>bustum/J</i>	alargado	no
128	3147	<i>loculus/K</i>	alargado	!!
129	3149	<i>loculus/K</i>	alargada	no
130	3177	<i>bustum/J</i>	alargada	no
131	3185	<i>loculus/K</i>	circular	si
132		<i>ustrinum</i>	rectangular	si
133		<i>ustrinum</i>	cuadrangular	si
134		<i>ustrinum</i>	circular	no

En las cremaciones primarias tan solo se hallaron ofrendas en uno de los *busta* (Nº 117) compuesto por un *strigilis* situado junto a los restos antropológicos. En el relleno de la tumba se hallaron fragmentos de ánfora itálica Dressel1-A, varios fragmentos de cerámica común romana, ollita de cocina y fragmentos de ungüentario sin quemar. Los restos antropológicos formando parte del relleno, y en la base de la cremación. Rodeando el *bustum* se aprecia una mancha de color rojizo, posiblemente debida a la propagación del calor por el fuego realizado en el *bustum*.

Tabla 6.35: Las ofrendas en las tumbas de cremación

TIPO	NEF	UUEE	CERAMICA	MON.	FAUNA	MALAC	H.TR.	METAL
URNA	100	1.241	urna, p.finas					
<i>loculus/K</i>	103	1.263	P.finas		<i>Sus dom, gallus</i>	Carac.		
URNA	104	1.256	urna					
<i>loculus/K</i>	106	1.268	Camp, P.Finas					
<i>loculus/K</i>	110	1.350						
URNA	113	2.107 b			<i>Sus dom.</i>			
<i>loculus/K</i>	114	2.055						indet. Ae
<i>loculus/K</i>	116	2126						<i>strigilis</i>
<i>bustum</i>	117	2.133	Frag. cerámicos					<i>strigilis</i>
URNA	118	2263	ung, iber, fusay		indet			clavo 2263
		2.228	ibér, Camp..B, ung					clavo, brazalete
		2.264	plato, urna iberica					
URNA	119	2265	ib, lebes, ung, ...					
		2266	plato, urna iberica					
<i>loculus/K</i>	120	2267	receptáculo anfora					
<i>loculus/K</i>	124	3078	Camp..B, ung, Mayet..					
<i>loculus/K</i>	126	3123						casco montefortin o
URNA	131	3185	urna iberica					
USTRIN.	132	2047	kalathos ibérico	AS			<i>acus</i>	<i>strig</i>
USTRIN.	133	2087	ung, comun...					

Con respecto a las cremaciones secundarias, se han diferenciado dos tipos de sepulturas en este sentido, aquellas que están provistas de urna cineraria de cerámica ibérica, y las tumbas desprovistas de urnas cuyos restos descansan sobre un sencillo *loculus*.

6.3.2.2 Cremaciones secundarias (*loculi*) (K)

A) Las cremaciones con urnas

El grupo de tumbas provistas de urna cineraria constituye, un conjunto compacto, llamativo y novedoso en la secuencia funeraria.

Se agrupan en dos puntos concretos de la cata arqueológica: el sector Este con las tumbas (Nº100 y 104), próximas al *ustrinum* Nº 134. Y el sector Oeste con las tumbas (Nº 113, 118, 119 y 131), próximas a dos *ustrina* (Nº132 y 133). (Lámina 5.28).

Tabla 6.36: Principales características de las cremaciones secundarias con urna ibérica

TIPO	NEF	UUEE	CERAMICA	FAUNA	METALES	OTROS
URNA	100	1242	Tinajilla pintada			
URNA	104	1.256	Olla tosca			
URNA	113	2.107 b	Tinaja	suido		
URNA	118	2263	ung, iber, fusay	indet	clavo 2263	
		2.228	ibér, Camp..B, ung		clavo, brazaletes	fusay. pasta vitrea
		2.264	Tinaja			
URNA	119	2265	ib, lebes, ung,			
		2266	Lebes			
URNA	131	3185	Tinaja			

1. La cremación Nº 100 (UE 1241-1242), (Lámina 5.30) estaba localizada en el sector E de la excavación. El *loculus* era circular y estaba relleno con tierra areno arcillosa, con carbones y malacofauna. La urna era de cerámica pintada ibérica con los restos óseos de un individuo y tres cubiletes de paredes finas, forma Mayet 1 y 2.
2. La cremación Nº 104 (UE 1255-1256) (Lámina 5.30) también estaba localizada en el sector E de la excavación. El *loculus* era circular y estaba relleno con tierra marrón, arenosa, con abundantes carbones, piedras, semillas carbonizadas (posiblemente nueces), escasos fragmentos de cerámica y huesos calcinados. La urna cineraria es una olla de cerámica ibérica tosca. En el interior se recuperaron abundantes restos humanos calcinados que presentan un color gris azulado y entre los restos se pudo identificar parte de un fémur de un individuo.
3. La tumba Nº 113 (U.E 2107b), estaba localizada en el sector Oeste de la excavación, amortizando uno de los *ustrina* situados de dicho sector. No se aprecia claramente un *loculus*, como si formara parte del relleno de amortización del *ustrinum*. La urna corresponde a una tinajilla ibérica de labio moldurado, con decoración geométrica de bandas y círculos concéntricos, tapado con una patera de borde reentrante.
4. La cremación Nº118 (UE 2263-2228), (Lámina 5.32), estaba localizada en el corte Oeste de la excavación. El *loculus* era de planta circular con un relleno algo

rubefacto por el fuego, de color marrón oscuro o negruzco. El relleno, UE 2228, estaba formado por carbones, abundante hueso quemado. Este relleno también incluía piedras de distintos tamaños, algunas quemadas, así como abundante material malacológico y cerámico.

La urna, 2264, corresponde a una tinajilla de hombro ibérica, decorada con motivos geométricos y florales, tapada con un plato de borde exvasado, también decorado en sus dos caras con motivos geométricos, colocado en posición invertida, con la base anillada hacia arriba.

5. EL *loculus* N° 119, (U.E 2265-2266), (Lámina 5.33) contenía un lebes de ala plana con decoración rojo vinoso de bandas semi-circulares concéntricas. Tanto en el estrato de relleno del *loculus*, como el del interior de la tinaja, se hallaron numerosos materiales consistentes en clavos de hierro, cerámica Campaniense B, fusayolas, unguentarios, etc. Esta urna estaba tapada con un plato colocado de forma invertida.

En el interior se encontraban los restos óseos del individuo consistentes en vértebras lumbares, y fragmentos de calota craneal, perfectamente dispuestos, y cubiertos por una fina arena limpia, sin carbones ni cenizas. El aspecto de los huesos, al margen de su índice de combustión, indicaban que podrían haber sido lavados previamente a su depósito definitivo en el interior de la urna (Pereira, 2000).

6. La cremación N° 131 corresponde a la (U.E 3183), (Lámina 5.36) pertenece al tipo de tinaja sin hombro y provista de un pico candiota, también tiene una decoración pintada y en el interior se hallaron fragmentos de ánfora itálica y cerámica Campaniense B, junto a los restos óseos calcinados.

B) Las cremaciones sin urna

En lo que se refiere a las cremaciones atribuibles a gentes procedentes de la península Itálica, un primer elemento a destacar es la importante dispersión de sus tumbas por toda la superficie excavada; de toda evidencia constituyen el grupo numéricamente dominante, en contraposición con las escasas tumbas ibéricas, que se concentraban en dos sectores reducidos del espacio funerario.

Junto a los restos es habitual el hallazgo de metales, fauna, cerámica u otros objetos resultantes de los rituales.

De la misma forma, los *loculi*, restantes presentaban características similares en cuanto a forma, normalmente circular, dimensiones (diámetro medio en torno a los 50-60 cm), escasez de restos óseos, elevada combustión y tipo de material hallado en el interior.

Generalmente, el relleno de las tumbas estaba compuesto por una tierra suelta mezclada con carbones, en casos de forma aislada, y con abundancia de residuos cerámicos amorfos y habitualmente afectados por el fuego.

Normalmente en el fondo de los *loculi*, se depositaban los restos óseos quemados, sin receptáculo funerario, y junto a ellos, los objetos de ajuar, habitualmente, objetos de cerámica, como cubiletes de paredes finas, forma Mayet 1 y 2, ungüentarios, cerámica de barniz negro, fusayolas; clavos de hierro; restos de panoplia, como un casco de tipo Montefortino, fauna, destacando los restos de ovicápridos y suidos, y frutos secos como nueces y avellanas.

De acuerdo con el estado del ajuar, se distingue entre el material simplemente roto en los rituales, el material quemado tras haber sido arrojado sobre la pira, y el material intacto depositado directamente en la tumba, tras la cremación como ofrenda al difunto (García-Prósper y Guérin, 2002).

Tabla 6.37: Las cremaciones secundarias y el tipo de ofrendas

TIPO	NEF	UUEE	CERAMICA	FAUNA	MALAC.	METALES	OTROS
<i>loculus/K</i>	100	1.241	P.finas				
<i>loculus/K</i>	103	1.263	P.finas	<i>Sus, gallus</i>	Carac.		
<i>loculus/K</i>	106	1.268	Camp, P.Finas				
<i>loculus/K</i>	110	1.350					pasta vítrea
<i>loculus/K</i>	114	2.055				indet. Ae	
<i>loculus/K</i>	116	2126				<i>strigilis</i>	
<i>loculus/K</i>	120	2267	receptáculo anfora				
<i>loculus/K</i>	124	3078	Camp..B, ung, Mayet..				
<i>loculus/K</i>	126	3123				casco montefortino	

De este conjunto destacan dos enterramientos: las tumbas (Nº 103, y 126).

En la base del *loculus* Nº 103 (UE 1263) se encontró una capa de tierra en la que se registró una presencia abundante de nueces carbonizadas y 5 caracoles de grandes dimensiones. Junto a estos elementos se documentaron restos de suido, no quemados, que cubrían los restos de un cubilete de paredes finas, con restos óseos calcinados en su interior y sin quemar. Este cubilete constituiría el receptáculo funerario (Tabla 6.37).

La fauna presente en esta tumba formaba parte del relleno del *loculus* y no estaban quemados. Los huesos pertenecen a dos especies, un mamífero (*sus domesticus*) y un ave. Los restos de mamífero son de un cerdo y pertenecen a un único individuo que no alcanzaría los 4 meses de edad. Los huesos identificados son todos de la parte izquierda del animal, del que se conservan un fragmento de cráneo, un maxilar, una mandíbula, una escápula, una pelvis, un fémur y cuatro fragmentos de costilla. Sobre la mandíbula y sobre el cráneo se aprecian marcas de carnicería.

Por lo que respecta al ave, los huesos son de un gallo (*Gallus gallus domesticus*) de corta edad. Contamos con una vértebra, un húmero derecho y un tibio-tarso izquierdo. No hemos observado marcas de carnicería sobre estos huesos, aunque hay que señalar que la cortical de los huesos está muy alterada por agentes edáficos.

Las especies de caracoles estudiadas corresponden a las especies: *Cerņuella virgata* (1 individuo), *Cerņuella explanata* (1 individuo), *Pseudotachea splendida* (1 individuo), *Helix aspersa* (4 individuos) y 10 fragmentos de indeterminados.

La especie *Cerņuella virgata* y *explanata* son frecuentes en zonas abiertas con cierta humedad, presente en *Valentia* en zonas bajas próximas al litoral. La *Helix aspersa* es una especie consumida, presente en los 4 individuos de gran tamaño. Estos caracoles fueron depositados en la fosa tras la combustión para acompañar al finado del banquete funerario.

El tipo de combustible empleado para esta cremación está representado por dos tipos de madera, el *Quercus caducifolio* en un 66,6% y de *Quercus perennifolio* en un 33,4%.



Figura 6.28: Composición tumba N°103 y su contenido de ofrenda de malacofauna

La tumba N° 126, (UE 3124), se hallaba en el sector E de la excavación. Se trata de una tumba que destaca por el hallazgo de un casco de tipo Montefortino: El *loculus* era de forma redondeada y conservaba unas dimensiones parciales de 0'62 x 0'60 x 0'26 m, ya que la estructura continuaba por debajo del corte Este (Lámina 5.36). El relleno, estaba

compuesto por un estrato de tierra de arena arcillosa con carbones, cerámica, malacofauna y restos de bronce pertenecientes a un casco de tipo Montefortino, en mal estado. No se halló una concentración de restos óseos, aunque pudiera hallarse fuera de los límites de la excavación (Tabla 6.37).

C) Cremaciones ibéricas versus cremaciones romanas

Las diferencias entre las tumbas que denominamos “romanas” de las de tradición ibérica no solo atañen a cuestiones topográficas o el tipo de ajuar funerario, sino también a diferencias relativas a cuestiones antropológicas. Este apartado resume los principales aspectos rituales que nos llevan a esta interpretación y que ya fueron tratados por esta autora en un artículo (García-Prósper, *et. al.*, 2003).

Las seis tumbas con urna se hallaron agrupadas en dos sectores de la excavación (Este y Oeste). Sobre la tipología de enterramiento, aparece que las urnas estaban en el interior de *loculi* de forma circular con un diámetro en torno a los 40-60 cm (Lámina 5.28).

El relleno contenía una buena proporción de carbones, recuperados de la cremación, junto con otros materiales como cerámica, metal, hueso humano y fauna. Por otro lado, en tres de las seis tumbas descritas, la urna iba tapada con un plato colocado de forma invertida. Estas son ya características cercanas a las pautas que se describen para el ritual funerario ibérico, en el que tras apagar la pira se recogían los restos óseos y se encerraban en una urna tapada con una piedra o un plato, que posteriormente se depositaba en el interior de una fosa. A continuación, se rellenaba los intersticios entre la urna y el *loculus*, con los restos de tierra, cenizas y carbones resultantes de la cremación, que podían corresponder a diferentes individuos puesto que se recogían indiscriminadamente del *ustrinum*; la urna normalmente era de cerámica ibérica pintada o lisa. Por último se procedía a sellar la tumba con un adobe coincidiendo con la vertical de la urna (Blánquez, 2001). A excepción de este último elemento, del que no tenemos constancia, el resto de aspectos y procedimientos coinciden plenamente en la calle Quart.

La agrupación de estas cremaciones en los flancos Oeste y Este del solar, perfectamente alineadas, a escasos metros unas de otras, no hace más que confirmar una pauta ritual propia de este tipo de cremaciones (Blánquez, 2001). El hecho de cubrir las tinajas con platos o fragmentos de ánforas, y la presencia de un ajuar itálico (ungüentarios, cerámica campaniense, ánfora itálica...), son características apreciables en otras necrópolis del ámbito catalán como Can Trullás o Turó dels Dos Pins (García i Rosselló, 1993).

En los niveles del siglo II a.C de las excavaciones de la calle Felip Pedrell-Avda. Vidal i Baraquer de Tarragona, se documentaron tres cremaciones como únicas evidencias de este ritual en época republicana. Mantenían las mismas características, todas contenían los restos del finado en *kalathos* ibéricos con decoración geométrica pintada. En el interior de una urna se hallaron tres ungüentarios cerámicos con signos de exposición al fuego. Según sus excavadores la interpretación estriba en que se trata de tumbas en urnas de cerámica ibérica en cuyo interior se encontraban los restos de individuos procedentes de Italia, o bien se trate de indígenas romanizados (Ciurana, 2011). Por su parte, en *Corduba*, se hace referencia a la permeabilidad cultural favorecida por una convivencia entre las poblaciones indígenas y los colonos procedentes de la península itálica (García Matamala, 2003). En esta ciudad, el rito de la cremación es el rito que documentan los primeros enterramientos. Muchos de ellos utilizando urnas cerámicas de tradición indígena como contenedores cinerarios. La cremación e inhumación coexistieron durante toda la etapa de dominación romana (Vaquerizo, 2004)

Consideramos que un elemento esclarecedor para la arqueología funeraria que ayuda a dilucidar cuestiones interpretativas de este tipo es la integración de los resultados de los estudios antropológicos de las cremaciones. Nuestra experiencia al respecto ha sido determinante dado que aporta novedosa información sobre las pautas y la voluntad en la selección de los restos a depositar en la urna y de paso establece diferencias entre los restos recuperados en las tumbas plenamente “romanas” vs aquellas de tradición indígena.

Tabla 6.38: Principales características del estudio de cremaciones en urnas tradición ibérica

	Peso total	Combustión	Recogida	Color pred	Tª °C	NMI	Edad	Sexo
1242	116,78	Intensa	Media	Blanco	>600	1	0-2	INDET.
1256	263,66	Media	Superficial	Negro-gris	300-600	1	20-40	M
2107 b	39,27	Intensa	Superficial	Blanco	>600	2	Juvenil (13-20)	INDET.
2263=2228	121,13	Intensa	Cuidadosa	Gris-blanco	400-600	2	(0-6),(20-40)	INDET.
2263=2228	15,03	Media	Superficial	Negro	300-400	1	indet	M
2265	122,77	Intensa	Cuidadosa	Gris-blanco	400-600	1	adulto joven	INDET.
3184-85	511,19	Media	Cuidadosa	gris-blanco	400-600	1	adulto indet	V

Tabla 6.39: Principales características del estudio de cremaciones secundarias

	Peso	Combustión	Recogida	Color	Tª °C	NMI	Edad	Sexo
1205	168,59	Intensa	Media	Blanco	>600	1	20-40	V
1263	127,22	Media	Superf.	Blanco	>600	1	20-60	V
1258	292,68	Intensa	Cuidadosa	Blanco	>600	2	(7-12), (20-40)	INDET
1268	419,21	Intensa	Cuidadosa	Blanco	>600	1	20-40	M
1286	60,27	Debil	Superf.	Grisés	400-600	2	neo-(20-60)	INDET
1305	5,87	Media	Superf.	Blanco	>600	1	Juvenil (13-20)	M.
1324	38,92	Intensa	Superf.	Blanco	>600	1	Juvenil (13-20)	M.
2055	23,63	Intensa	Superf.	Blanco	>600	1	Juvenil (13-20)	INDET
2126	207,03	Intensa	Superf.	Blanco	>600	2	(0-6),(20-40)	M
2267	5,97	Intensa	Superf.	blanco	>600	1	adulto indet.	INDET
3009	8,18	Intensa	Superf.	blanco	>600	1	adulto	INDET
3051	5,64	Intensa	muy Superf.	blanco	>600	2	adulto	V
3080	71,7	Intensa	Superf.	gris-blanco	400-600	1	adulto	M
3123	94,73	Media	Superf.	blanco	>600	2	adulto	M
3149	8,43	Intensa	Superf.	blanco	>600	1	adulto indet	INDET

La variabilidad de la muestra ósea difiere si se trata de restos hallados en los *loculi* (cremaciones romanas) o en las urnas (cremaciones ibéricas). Hay diferencias colorimétricas debida a una diferente exposición del cuerpo al fuego, y los datos ponderales, también diversos, confirman un comportamiento diferente ante el ritual de la cremación (Tablas 6,38 y 6.39).

Abundando en esta línea interpretativa, cabe anotar que al menos dos de las tumbas en urna ibérica, corresponden a dobles cremaciones (adulto joven más infantil I). En todos los casos la combustión ha sido media, no alcanzando por completo los 600 °C, y siendo muy característica la presencia de díplome craneal con coloración negra (300-350 °C) y combustión incompleta (con un característico efecto sandwich). La recogida fue muy superior a las cremaciones sin urnas, con una representación entre el 40 y el 60 % de todas las regiones anatómicas.

En esta recogida, en las cremaciones ibéricas, ha habido una selección del neurocráneo, vértebras y huesos largos. Estos datos confirman la especial atención que se otorga al cráneo, considerado como un elemento importante del difunto (Alcázar y Mantero, 1991). Esta selección intencionada es apreciable en otras necrópolis del ámbito ibérico como la de Castellones de Céal en la provincia de Jaén (Chapa, *et al*, 1998).

No se ha podido recuperar ninguna pieza dental. Son las estructuras anatómicas más resistentes al fuego, y si bien a unos 150°C se producen fisuras en el esmalte, a una temperatura superior a los 600° hasta los 800°C puede producirse la calcinación integral (Etzeberria, 2003). En este sentido, se puede sospechar que hubo una segregación de dichos restos durante la selección de la recogida y depósito en las urnas de tradición

ibérica, y una no posible conservación, dada la mayor combustión, para las cremaciones romanas.

Se han podido observar diversas evidencias de acción antrópica sobre los restos humanos y de fauna, que probablemente fueron manipulados durante el ritual. Concretamente, en la tumba N° 131, se ha observado una marca en un fragmento de hueso cortical (dimensiones: 18.5 x 18 x 9 mm), de la región anterior de la tibia. Este hueso correspondía un individuo adulto, probablemente varón, y se observaron dos marcas de corte en aspa y de dimensiones 9 x 6 mm. Pensamos que estas marcas se produjeron *postmortem* tras la manipulación de los restos óseos todavía en la pira y previos al traslado para su inhumación en la urna cineraria.

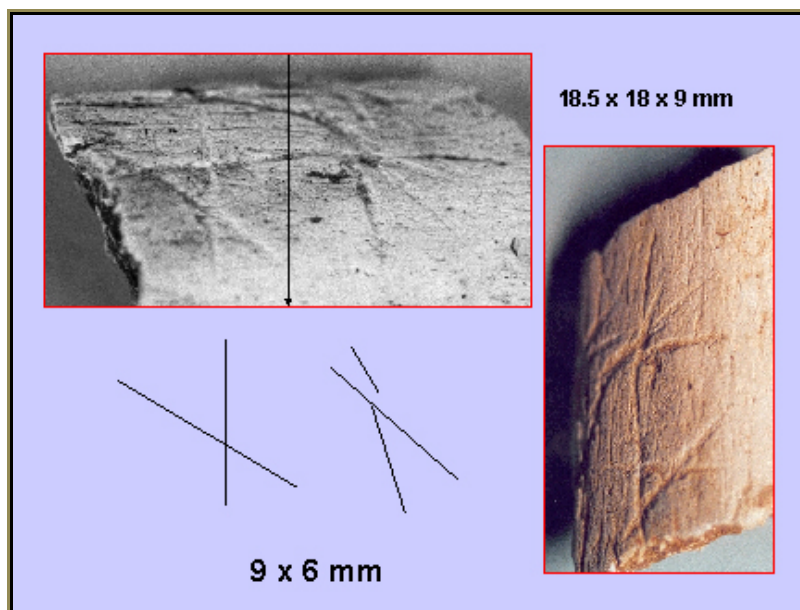


Figura 6.29: Marcas *postmortem* en la cortical de un fragmento de hueso largo

Las diferencias más notables entre unas y otras cremaciones se encuentren en aspectos como el tipo de combustión y la calidad de la recogida de los restos óseos incinerados, entre otros aspectos de tipo antropológico (Tabla 6.40).

El estado de conservación de los restos antropológicos incinerados, se ha comprobado que la elevada fragmentación de los huesos se debe con toda seguridad al triturado o manipulación al que se ven sometidos una vez concluida la cremación. Asimismo, se constata una falta de homogeneidad en la recogida de los restos, habiendo en unos casos un riguroso cuidado mientras que en otros la representación es escasa y está en mal estado.

La región anatómica mejor conservada y mejor recogida corresponde a huesos largos, con una combustión media superior a los 600°C. Las cremaciones romanas del siglo I a.C. la combustión ha sido más intensa y la recogida muy superficial.

Las diferencias cualitativas y cuantitativas de los restos óseos conservados revelan distintos tratamientos deposicionales y postdeposicionales de las cremaciones permitiendo reconocer la especificidad de aquellas de carácter ibérico.

Tabla 6. 40: Principales diferencias y semejanzas entre las cremaciones ibéricas y las romanas

TUMBAS	ROMANAS	IBÉRICAS	ASPECTOS COMUNES
Ubicación	Dispersión por todo el campo funerario	Agrupación preferente en sectores concretos.	
Relleno de la tumba	Mayor proporción de tierra limpia en el relleno. Abundancia de residuos cerámicos amorfos.	Relleno de carbón procedente de la pira	
Tipo de tumba			<i>Loculus</i> hemisférico
Deposición	Directamente en el <i>loculus</i>	Urna cineraria tapada	
Receptáculo	No se conserva	Urna de cerámica ibérica	
OFRENDAS			
Ajuares	Casco de tipo Montefortino Cuentas de collar Clavos	Ajuar de acompañamiento ibérico	Ungüentarios, cubiletes de p.f. y cerámica de barniz negro, fusayolas
fauna	Ovicápridos y suidos en poco volumen	Predominio de aves y micro-fauna y volumen mayor de restos	Existencia de ovicapridos y suidos
frutos secos	Abundancia de nueces y avellanas	Escasez general de frutos secos	Existencia de frutos secos
Tafonomía del ajuar	Cerámicas rotas intencionalmente, quemadas y sin quemar	cerámicas intactas	Rotura intencional en la pira Rotura intencional fuera de la pira
ANTROPOLOGÍA			
Calidad cremación	Mala: No se aprecia selección de partes específicas	Media o buena: Atención preferente hacia el neurocráneo, vértebras y huesos largos	
Piezas dentales	Apenas se conservan	No se conservan	Escasez o ausencia de piezas dentales
Tratamiento post crematorio	Manipulación deliberada ¿?	Manipulaciones <i>postmortem</i>	
Combustión	Intensa: temperatura > 550 ° C.	Media: entre 300 y 400 ° C.	
Peso medio	57,74 gr	176,42 gr	

D) La fauna de las cremaciones

El material estudiado correspondiente a la fauna está formado por 26 huesos y fragmentos óseos de cuatro mamíferos domésticos, los équidos (*Equus caballus/ E.asinus*), el cerdo (*Sus domesticus*), la oveja (*Ovis aries*) y el perro (*Canis familiaris*) y un ave doméstica, el gallo (*Gallus gallus domesticus*). Los huesos se recuperaron en cuatro *loculi* y en un estrato.

Tabla 6.41: Especies de fauna estudiadas

NEF	102	103	118	113
TIPO	<i>LOCULUS</i>	<i>LOCULUS</i>	<i>URNA</i>	<i>URNA</i>
UUEE	1205	1263	2263	2107b
Oveja	3			
Cerdo		10		3
Gallo		3		
Meso mami. Indet.			2	

De las estructuras analizadas cabría destacar que en el *Loculus* nº 102 se depositaron 3 astrágalos de oveja, estos elementos entre otras utilidades servían como piezas de juego y para leer el oráculo. Desde época clásica son elementos comunes en las necrópolis tanto de incineración como de inhumación. De igual manera es significativo el hallazgo de la parte izquierda del esqueleto de un cerdo de 4 meses, con evidencias de un previo procesado carnívoros y de los restos de un gallo en el *Loculus* Nº 103.

Los restos recuperados en el interior de las urnas de los *Loculus* Nº 113 y 118 estaban todos calcinados. Por lo que formarían parte de la cremación, tal y como es el caso del cerdo cremado de la UE 2017b como ofrenda.

6.3.2.2.3 Los *Ustrina*

Las piras asociadas a esta fase funeraria son tres. Tenían unas características similares de tamaño y estado de conservación, con dimensiones aproximadas entre 1'80 y 2'30 m de longitud, 1'70 y 2'20 m de ancho, con una profundidad media conservada de 0'30 m. Las paredes están endurecidas por la acción del fuego y su relleno ha proporcionado diversos materiales. Dos de los *ustrina*, (Nº 132, 133), estaban muy próximos entre sí, a escasos metros de las cremaciones de tipo ibérico del sector oeste, incluso uno de ellos fue amortizado por una de estas cremaciones (Figuras 6.30 y 6.31). El tercero estaba en el sector Este junto a otras dos tumbas ibéricas (Nº 134). Entre los materiales recuperados cabe indicar que proporcionaron abundantes esquirlas de hueso, fragmentos cerámicos quemados, restos de fauna y frutos secos: Uno de ellos contenía un auténtico estrato de avellanas y nueces carbonizadas.



Figura 6.30 El *ustrinum* N° 133 y detalle de frutos secos carbonizados

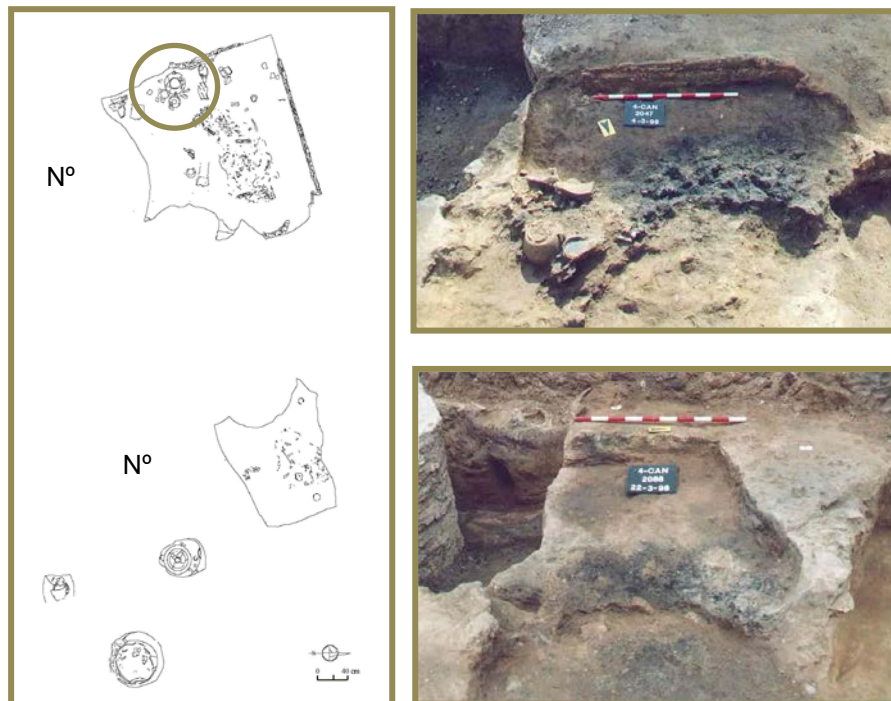


Figura 6.31: Los *ustrina* N°132 y 133 y las cremaciones del sector Oeste

Las relaciones espaciales parecerían evidenciar una apropiación de las estructuras de cremación por parte de la comunidad ibérica, hasta el punto que uno de los *ustrina*, el N° 132, aparece amortizado por una tumba ibérica. Pero existen indicios reveladores, como

los frutos secos (auténtico denominador común de ambos tipos de incineraciones con los *ustrina*) para sospechar que ambas comunidades utilizaban indiscriminadamente las mismas estructuras sin distinciones de tipo étnico. La proximidad de las tumbas ibéricas a los quemaderos llama la atención teniendo en cuenta que en las necrópolis ibéricas las piras se ubican fuera del recinto funerario (Blánquez, 2001). En el caso valenciano, la condición de “huéspedes” en una necrópolis que los datos de la fase anterior permiten considerar como colonial, habrán condicionado los ritos funerarios indígenas readaptándolos a las limitaciones de un espacio funerario acotado en función de los hábitos de los anfitriones.

Los materiales recuperados en los *ustrina* son de carácter residual, restos de las ofrendas que tras la combustión del cuerpo se recogían parcialmente para trasladarlas a la tumba y consagrarlas por medio de su inhumación. Tras las sucesivas cremaciones, de forma residual, se iban quedando restos de cerámicas, objetos personales, monedas, y testigo de estos gestos funerarios son los escasos materiales recuperados en la excavación de estas estructuras.

Las cerámicas, estaban fragmentadas y quemadas y sus características corresponden a los hallados en el interior de los *loculi* y urnas cinerarias (ungüentarios, ánforas, cerámicas ibérica pintadas).

La actividad crematoria era constante de ahí las tongadas de estratos de tierra documentados, y las señales de rubefacción en sus paredes y base de las estructuras. Estas piras se utilizaban de forma comunitaria para las cremaciones secundarias documentadas en este sector de la necrópolis.

Tabla 6.42: Los materiales hallados en los *ustrina*

NEF	UUEE	CERAMICA	MONED.	HUE. TRAB.	METALES
132	2047	<i>kalathos</i> ibérico	AS	<i>acus</i>	<i>strig</i>
133	2087-2151	ung, común...			
134	3077	Frag. Cerámicos residuales			

No se han encontrado evidencias de la práctica descrita por las fuentes en relación a que tras la cremación en los *ustrina*, se dejaban las cenizas y demás restos calcinados secar al aire durante algunos días, y tal vez regados con vino, hasta que se guardaban los restos en la urna (Cuq, 1896; Bendala, 1996, citado en Vaquerizo, 2011). Podemos suponer que tal vez así fuera en nuestra necrópolis y que los *ustores* utilizaran de forma alternativa cualquiera de los tres *ustrina* documentados en la excavación y que no siempre estuvieran encendidos a la vez, sobre todo los dos que se encuentran en el sector Oeste, muy próximos entre sí y junto a otras cremaciones.

Con respecto al material antracológico estudiado, se ha llevado a cabo una estrategia de muestreo en los dos *ustrina* con mejor conservación²⁴. Se analizaron un total de 187 fragmentos de carbón identificándose 4 taxones (Tabla 6.43).

Tabla 6.43: Frecuencias absolutas y relativas de los carbones analizados

NEF	<i>Arbutus unedo</i>		<i>Corylus sp.</i>		<i>Olea europea</i>		<i>Pinus halepensis</i>		<i>Pistacia lentiscus</i>		<i>Quercus perennifloia</i>		INDET.		TOTAL
	N	%	N	%	N	%	N	%	N	%	N	%	N	%	
132			1	0.53			5	2.67	24	12.83	62	33.16	95	50.80	187
133	15	46,88		0	17	53.13									32

Las maderas mejor representadas son las de carrasca y/o coscoja, olivo y/o acebuche, madroño y lentisco, sin desdeñar el importante número de carbones indeterminados. Debido por la alta combustión que se alcanzaría en estas estructuras crematorias, superando los 700-800°C de forma continuada afectando la estructura anatómica de la madera y alterándola hasta tal punto que ha sido imposible su identificación.

Los hallazgos de vegetales y frutos secos como parte integrante de las celebraciones del *funus*, son un hecho constatable tanto en esta necrópolis como en otras del entorno mediterráneo²⁵. La acción ritual de arrojar vegetales y también legumbres en la pira es un hecho constatable en nuestra necrópolis. La presencia de nueces y avellanas quemadas pero intactas en uno de los *ustrina*, y en algunos *loculi*, refleja la intención simbólica de hacer partícipe al difunto del banquete (*silicernium*) celebrado en su honor durante la cremación (Buxó, 1997). Además, la identificación de avellanas y restos de madera del mismo árbol, está directamente relacionado con los frutos secos ofrecidos al difunto, y también a la presencia de esta madera que se aprovecharía como combustible durante el proceso crematorio.

²⁴ Datos extraídos del estudio antracológico realizado por Sonia de Haro.

²⁵ En la necrópolis de Porta Nocera en Pompeya hay un programa específico de estudio carpológico que ha permitido identificar taxones procedentes de cremaciones de la necrópolis tales como lentejas, trigo, uvas, dátiles, granada e incluso avellanas y nueces (Zech-Matterne, 2008). Estas muestras las han recuperado tanto de niveles de excavación de los *ustrina* como en el interior de los *loculi*.

6.3.3 Otras estructuras funerarias fase Republicana (siglos II-I a.C.)

En las fases correspondientes a los momentos iniciales de la necrópolis se documentaron otras estructuras de carácter funerario

6.3.3.1 Cenotafios (Lámina 5.24)

La excavación de cuatro estructuras excavadas en los estratos naturales de la necrópolis y con materiales cerámicos en el interior, pero sin restos óseos, invitaron a la interpretación de que se trataban de sencillos cenotafios contruidos para honrar la memoria del difunto no hallado.

Figura 44.: Principales características de los posibles cenotafios

UU.EE	forma	Ajuar funerario/tipo	Dimensiones
1355-1351	Circular con cubierta	Vaso paredes finas, moneda	0,60 x 0,12 m
1299-1300	rectangular	5 ungüentarios	1,30 x 0,53 x 0,31m
1291-1307	rectangular	Frag. Ánfora, cerámica común romana, cerámica ibérica	0,80 x 0,60 x 0,48m
1352-1353	rectangular	Frag. Ánfora, cerámica común romana, cerámica ibérica	2 x 0,90 x 0,20 m

Los materiales estaban en buen estado de conservación y se hallaban alojados en el fondo de la fosa. Cabe recordar que los cenotafios se construían sobre todo en honor a aquellos que muertos en campañas bélicas y cuyos restos no se hallaron para ser enterrados.

6.3.3.2 Zanja votiva (Lámina 5.25)

Otra estructura eminentemente votiva es la zanja que recorría de Este a Oeste el límite meridional de la necrópolis.

En el catálogo de tumbas y estructuras funerarias ya se ha descrito esta estructura de aproximadamente 15 metros de longitud, colmatada por materiales en estrecha relación con los recuperados en las tumbas más antiguas (hipogeos, *bustum*).

La utilización de zanjas en contexto funerario está atestiguada desde finales del período geométrico en Grecia (Rosselló y Ruiz, 1996), la costumbre de arrojar materiales de carácter funerario a estas estructuras, fue adoptada por el mundo romano perdurando hasta época imperial. Otra zanja de estas características fue documentada en el sector vecino de esta necrópolis (calle Virgen de la Misericordia) (Rosselló y Ruiz, 1996) y en los niveles alto imperiales de la necrópolis de la Boatella (sector Calles Calabazas-En Gil) (García-Prósper y Sáez, 1998).



Figura 6.32: Vista general de la zanja excavada y detalle del relleno que la colmataba

6.3.3.3 La calzada (Lámina 5.28)

Como ya se ha mencionado al inicio del epígrafe de la fase tardo republicana (6.3.2), un hecho que pone de manifiesto la voluntad de organización del espacio funerario es la construcción de una calzada directamente sobre las tumbas de la fase anterior (siglo II a.C). Esta clara secuencia pone de manifiesto un cambio en la organización del espacio con la disposición de las tumbas en torno a este pavimento empedrado formado por guijarros.

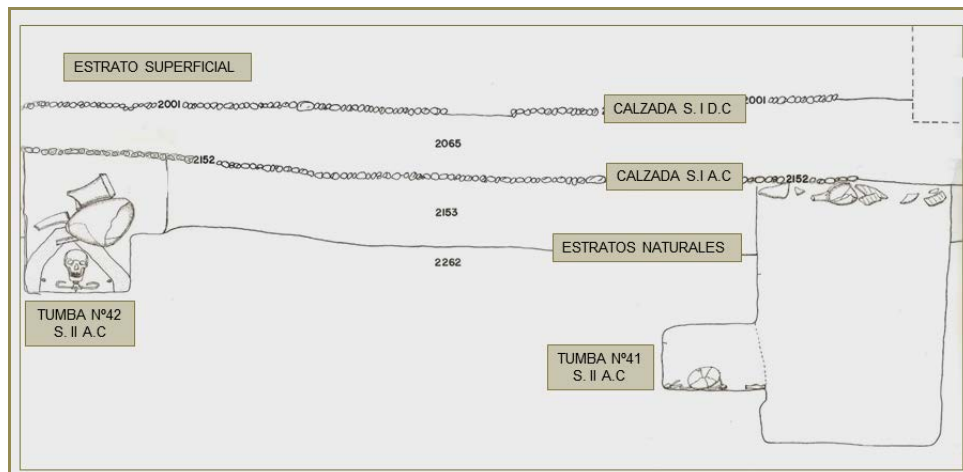


Figura 6.33: Sección N-S de la secuencia funeraria antigua y las calzadas

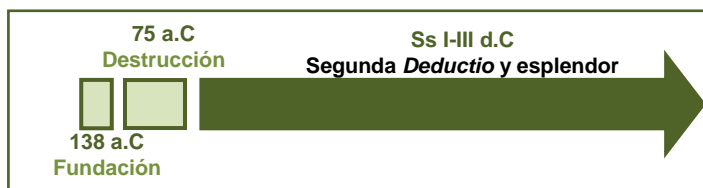
Esta calzada (Nº135, UE 2152, 2304/3020-3021), tiene una clara función funeraria, y se construyó para facilitar el servicio y acceso a las zonas más interiores de la necrópolis y su conexión con el camino de acceso a la ciudad. Se localizó en el sector más oriental de la excavación, discurriendo paralela a la actual calle Quart pero con una clara tendencia hacia el interior de la necrópolis. Se ha interpretado como un camino de uso peatonal, dada a su escasa anchura y con toda probabilidad se trate de la prolongación del *Decumanus Maximus*.

La presencia de carriladas y frecuentes reparaciones (2304=3020) atestiguadas por diferentes rellenos y capas de arena y guijarros, muestra que el nuevo eje ha captado parte del tráfico rodado y una utilización continuada hasta época imperial. Sobre la calzada y como consecuencia del uso, se halló una moneda de Tiberio que pone de manifiesto que este pavimento fue utilizado al menos hasta inicios del siglo I d.C., cuando diversas reparaciones y modificaciones sustituyeron la calzada original por otra (NEF 204-205), de iguales características pero de mejor conservación.

En relación a esta *via sepulcralis* se documentaron otras estructuras: una canalización de aguas limpias (NEF 136; UUEE 2339, 2340, 2341=3023, 3024) y un canal de drenaje (NEF 137; UUEE1358=3130, 3131). Ambas estaban relacionadas con el mantenimiento de las calzadas y permitían el buen funcionamiento de las mismas. Estas construcciones son reflejo de un panorama que invita a imaginar el dinamismo y tránsito en esta zona de la incipiente ciudad. Son reflejo del interés por una organización del espacio de la misma forma que la centuriación supuso una sistematización del uso agrícola del *ager* en los primeros años tras la colonización.

6.4 Periodo imperial (S. I-III d.C.)

Tras la destrucción de la ciudad en el año 75 a.C, aconteció una larga etapa de abandono, un *hiatus* considerado para unos



autores como un periodo de destrucción hasta que en época Flavia se produjo la repoblación (Ribera, 1999), o un periodo en el que la ciudad no quedó completamente deshabitada y donde los familiares de la primera época pudieron sobrevivir en el territorio o en poblaciones próximas y que retornaron a *Valentia* para constituir el *ordo decurionum ueterum* (Pena, 2002).

La arqueología urbana, salvo los niveles correspondientes a estos momentos documentados en la Plaza de la Almoina, apenas aporta datos sobre el periodo de tiempo de abandono o inactividad previo a la segunda *deductio* a inicios del siglo I d.C. De forma indirecta, los datos aportados por la arqueología funeraria, en concreto por esta necrópolis, constituyen una herramienta útil para poder comprender e interpretar este periodo tras la contienda sertoriana y la nueva “repoblación”.

Cuando se ha abordado la fase tardorrepblicana (S.I a.C.), ya se ha hecho referencia a que la actividad funeraria no se detuvo aunque se vio seriamente ralentizada en comparación con el periodo anterior. La necrópolis siguió su actividad: las calzadas de uso funerario siguieron en uso y por tanto la ciudad de alguna forma continuó estando habitada tal y como sugieren investigadores como M^a José Pena (2002). Esta autora sostiene que la repoblación o también llamada segunda “*deductio*” tal vez estuviera protagonizada por familias originarias que habrían huido ante la crueldad de la guerra junto con un contingente humano foráneo (sin especificar la naturaleza de este nuevo grupo humano). Además, el epígrafe (incompleto) hallado en *Cupra Maritima* y hasta la fecha el único testimonio epigráfico tardorrepblicano de la colonia de *Valentia*, demostraría que la vida urbana continuó en la ciudad después de su destrucción por las tropas de Pompeyo (Arasa, 2012). La perduración en época imperial de gentilicios (como *Sertorius*), relacionados con la fase previa a la guerra sería una prueba inequívoca de que la ciudad siguió ocupada, no perdiendo el rango colonial, aunque ello contraste con los escasos restos arqueológicos (Seguí, 1991; Arasa, 2012).

Tras los 50 años que duró el periodo de “hibernación” en la vida social y cotidiana de *Valentia*, la ciudad experimentó un cambio importante con una nueva imagen¹, aunque

¹ Cuando la ciudad empieza a crecer, sobre todo a partir del siglo II d.C., otras como *Tarraco*, inicia un proceso de abandono del modelo de ciudad clásica para entrar en el mundo de la baja romanidad (Ciurana, 2011). Estos cambios, se parangonan a la evolución funeraria. Se observa una desaceleración en las construcciones funerarias, y la reutilización de materiales edilicios del anfiteatro para la construcción de sarcófagos. El concepto de necrópolis *uiaae sepulcrales*, junto a las principales arterias de la ciudad entran en decadencia,

con cierto retraso si lo comparamos al momento de esplendor “funerario” que disfrutaban otras ciudades de *Hispania* como *Corduba* (Vaquerizo, 2001) o *Tarraco* (Ciurana, 2011) que comienzan su auge constructivo y evergeta decenios antes.

La construcción del nuevo Foro dio acogida institucional y de servidumbre a la renovada población. La ampliación de la superficie urbana requería de nuevas infraestructuras como la construcción de un canal asociado a un acueducto en la misma calle Quart, o el puerto fluvial que representaría a la actividad mercantil de la nueva ciudad (Ribera y Jiménez, 2014), además de ser ejemplo de relaciones humanas evidenciando el eclecticismo que ya caracterizó a la *Valentia* republicana.

En definitiva, una “nueva” ciudad que experimentó cambios también a nivel funerario. A partir de los siglos II-III d.C, la población pudo escoger otro lugar para el enterramiento. La necrópolis de la Boatella, la más extensa de la ciudad, supuso una alternativa al saturado viejo cementerio de la calle Quart. Este nuevo espacio funerario, se ubicó en área abierta, sin viales interiores, a cierta distancia de las vías sepulcrales, y provisto de cerramiento. Un cementerio a imagen de las nuevas áreas funerarias del bajo imperio (Ciurana, 2011).

Las personas con mayor poder adquisitivo, los nuevos evergetas², seleccionaron otros lugares de enterramiento, más destacados y visibles de acuerdo con los nuevos tiempos y modas importadas de la *Urbs*. La visibilidad de las tumbas monumentales, y la continuada visita de los conciudadanos garantizaba la supervivencia del alma, y el recuerdo a su persona era una preocupación constante que no se sabe bien si respondía al temor del más allá, o la pretensión vanidosa de no ser olvidado (Hesberg, 1994) Los mausoleos de la Plaza del Marqués de Busianos, de la calle Sagunto y de Orriols son buena muestra de ello (García-Prósper, 2006).

6.4.1 La Necrópolis en época Imperial (Ss. I-III d.C.)

A inicios del siglo I d.C la actividad funeraria continúa, las tumbas se distribuían por toda la cata arqueológica y sobre todo, ante la clara falta de espacio, se superpusieron en estratos antrópicos, junto a la actual calle Quart, concretamente en la zona donde se describía un claro buzamiento del terreno. El aporte de estratos antrópicos colmataban esta franja de unos 5-6 metros de anchura, donde se documentaron la mayoría de los enterramientos de esta fase imperial (Láminas 5.38 y 5.47).

imponiéndose áreas abiertas y cercadas, que constituirán los nuevos cementerios como los de Mas Rimbau, Parc de la Ciutat o Prat de la Riba, entre otros (Ciurana, 2011).

² Las inscripciones monumentales de carácter público proporcionan información sobre la existencia de templos evidenciando un mayor desarrollo en la vida forense. La participación de la aristocracia local es evidente ya que se dedica a beneficiar la *res publica* con las mejoras urbanística y ornamentaciones de la ciudad (Arasa, 2012).

El análisis de las monedas recuperadas en este estrato de colmatación corrobora los diferentes aportes de tierra a principios del s. I d.C. y en época Flavia³. El hallazgo de un As de Calígula (37-41 d.C.), en la calzada (UE 2001), nos permite interpretar el uso este vial, como mínimo, desde la primera mitad del siglo I d.C. La actividad funeraria ofrece materiales con cronologías desde los inicios del siglo I d.C. Valgan de ejemplo los hallazgos numismáticos del (*ustrinum* N° 201) con una moneda de Tiberio (14-37 d.C.) y en la cremación (N° 196) también con un As de Calígula (37-41d.C).

La calzada del periodo anterior (UE 2152), sigue en uso y con continuas reparaciones. A finales del siglo III-inicios del IV la calzada se sustituye por una nueva, ésta de factura más grosera, construida por materiales irregulares y que supuso el fin de la actividad funeraria en la zona (Figura 6.34).

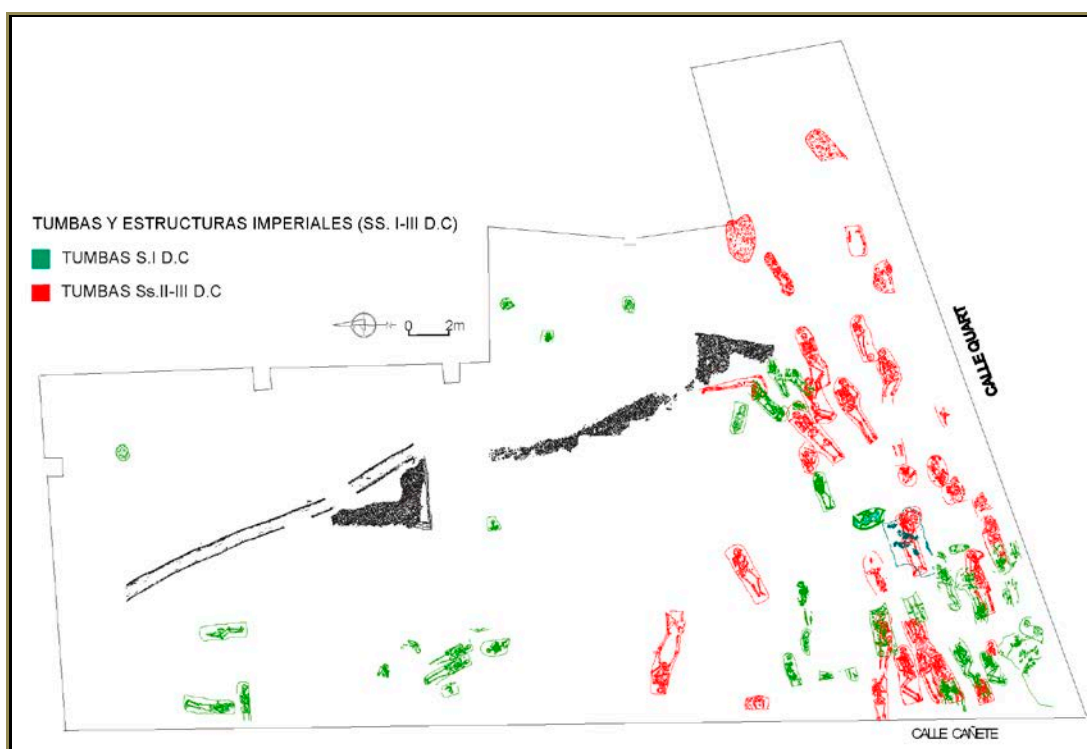


Figura 6.34: Disposición de las tumbas en la necrópolis de época imperial

Las tumbas de inhumación son de tres tipos: el más numeroso, el compuesto por la forma simple (tipo A), el formado por tumbas simples con cubierta de *tegulae* planas (tipo H) y el tipo de tumba en ánfora (tipo I). Junto a estas tumbas hay dos enterramientos cuyas fosa no se pudo detectar que se han interpretado como indeterminadas. Las 99 tumbas de inhumación del periodo imperial suponen el 55,31% de las inhumaciones de toda la serie cronológica (republicana e imperial) (Figura 6.35).

³ Ver anexo sobre los materiales numismáticos de la necrópolis.

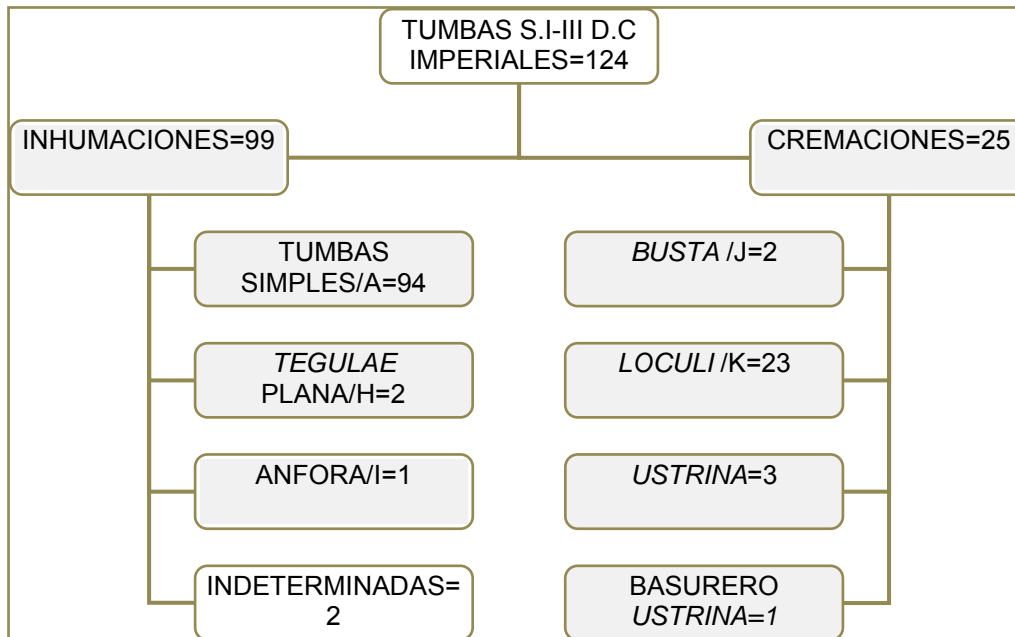


Figura 6.35: Organigrama de distribución de tumbas por ritual practicado y tipología

Al igual que ocurre con la muestra estudiada de época republicana, el número de tumbas no corresponde con el número mínimo de individuos hallados en su interior, presentando un cómputo sensiblemente mayor. La mayoría de estos casos se han detectado en el abordaje del estudio antropológico laboratorio (Tabla 6.45).

Tabla 6.45: Relación entre los tipos de tipos de tumbas y el número de esqueletos documentados en cada fase

	S. I D.C		S. II D.C		S. II-III D.C	
	tumba	esqueleto	tumba	esqueleto	tumba	esqueleto
SIMPLES-A	46	50	27	28	21	22
TEGULAE-H	1	1	1	1	0	0
ANFORA-I	1	1	0	0	0	0
INDET.	2	2	0	0	0	0
TOTAL	50	54	28	29	21	22

La convivencia de ambos ritos sigue siendo una constante en la necrópolis (Figura 6.36) que corresponde con lo observado en otras necrópolis de *Hispania* de época imperial como *Tarraco* (Arbeloa i Rigau, 1995); *Barcino* (Beltrán de Heredia, 2007); *Corduba* y *Baelo Claudia* (Vaquerizo, 2006).

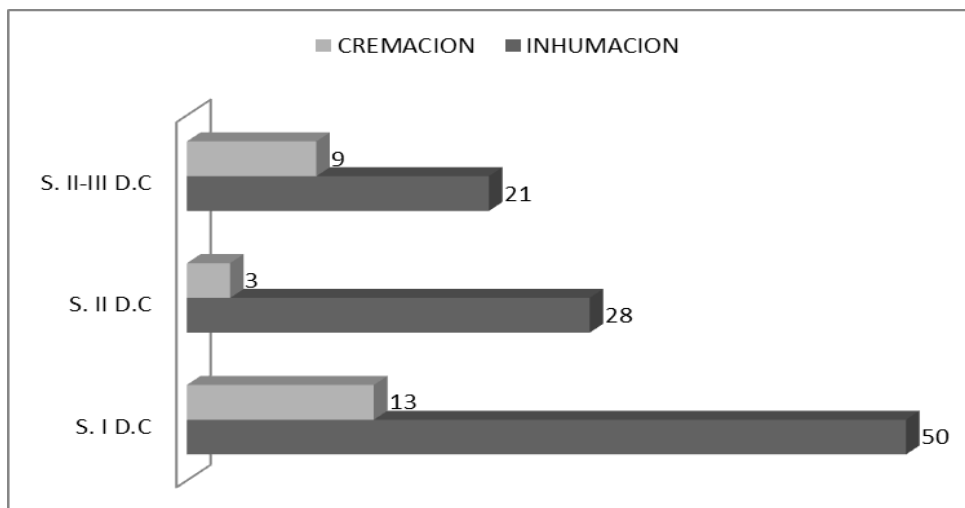


Figura 6.36: Representación de la inhumación y cremación en la serie Imperial

Las 25 tumbas de cremación del periodo imperial suponen el 36,93% de las cremaciones de toda la serie cronológica, (republicanas e imperiales) (Tabla 6.46). Al igual que ocurría en la fase anterior, las tumbas están representadas por las de tipo primario (*bustum/J*) y secundario (*loculus/K*).

Tabla 6.46: Las cremaciones del periodo imperial y su relación porcentual

	S. I D.C.	S. II D.C.	S. II-III D.C.	TOTALES
<i>Bustum/J</i>	0	0	2	2
%	0,00	0,00	2,90	2,90
<i>Loculus/K</i>	13	3	7	23
%	18,84	4,35	10,14	33,33
Total cremac.	13	3	9	25

Los *busta*, se han documentado 2 casos suponiendo el 2,90% de las cremaciones documentadas. Las cremaciones secundarias, (*loculus*), representan el mayor número con un total de 23 tumbas suponiendo el 33,33% del rito de la cremación. Además formando parte de esta práctica ritual se documentaron tres *ustrina* y una estructura asociada a esta actividad interpretada como un basurero.

Con respecto al NMI estudiados en las cremaciones cabe señalar que el número de tumbas analizadas para el siglo I d.C. son 13 cremaciones de las cuales ocho conservaban restos antropológicos, aportando un número de 8 individuos para la muestra representada. En la fase del siglo II d.C., tres son las cremaciones pertenecientes a este periodo de las cuales solo una tumba contenía restos antropológicos conservados otorgando un NMI de uno. En la fase datada entre finales del siglo II-III d.C, de nueve tumbas estudiadas, ocho contenían restos en su interior, de las cuales se documentaron un número mínimo de 10 individuos (Tabla 6.47).

Tabla 6.47: Representatividad de tumbas y restos analizados de las cremaciones

	Nº TUMBAS	TUMBAS RESTOS	NMI
SIGLO I D.C	13	8	8
SIGLO II D.C	3	1	1
SIGLO II-III D.C	9	8	10

6.4.1.1 Tumbas de inhumación y gestos funerarios

La representatividad de inhumaciones recae una vez más en las fosas simples-A que suponen un (94,95%) del total de inhumaciones para la serie imperial, y que contrasta notablemente con los otros tipos de tumbas (Láminas 5.38, 5. 47 y 5.51).

Debido a la escasa representatividad de estos tipos de tumbas, las descripciones relativas a la práctica inhumatoria, se abordará de forma conjunta, haciendo las precisiones necesarias cuando se trate de aspectos diferenciadores entre las tumbas simples-A y los otros dos tipos de enterramiento.

El tipo simple-A, es el más numeroso con un total de 94 tumbas excavadas en estratos antrópicos, con unas dimensiones ajustadas a la anatomía del cuerpo y con cierta variabilidad en cuanto a la presencia/ausencia de ajuares funerarios. Como ya se ha comentado, se trata del tipo de tumba más generalizado y común también en el mundo romano y atribuible, según la bibliografía, a personas de *status* de extrema pobreza (Toynbee, 1971). También se ha documentado el tipo de tumba en ánfora (un caso) de la fase del siglo (I d.C.); y dos casos con cubierta de *tegulae* plana en los siglos I d.C. y II d.C. (Figura 6.37).

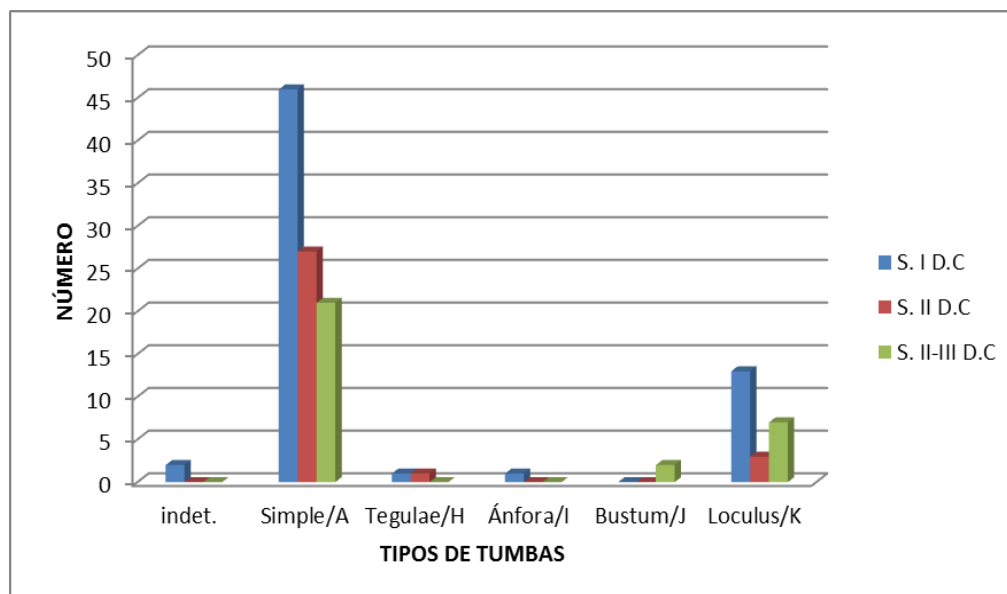


Figura 6.37: La tumbas de la serie Imperial y el número de casos para cada tipología

Hay dos tumbas que se han clasificado como indeterminadas teniendo en cuenta la escasez y mala conservación de la fosa, no pudiendo, por tanto, establecer con seguridad una clasificación en cuanto a tipología de enterramiento.

A) Orientación

El número total de esqueletos analizados en este periodo son 105 distribuidos en las 99 inhumaciones de toda la serie imperial (Ss.I-III d.C.) (Tabla 6.48). Las tumbas presentaban una clara tendencia a organizarse en el espacio en torno a la calzada, y con una clara predilección por la orientación E-O (Lámina 5.38).

Tabla 6.48: NMI presentes en las 99 tumbas de inhumación

	S. I D.C	S. II D.C	S. II-III D.C
	ESQUELETOS	ESQUELETOS	ESQUELETOS
SIMPLES-A	50	28	22
TEGULAE	1	1	0
ANFORA	1	0	0
INDET.	2	0	0
TOTAL	54	29	22

Tabla 6.49: Porcentajes de orientación de las tumbas S. I-III d.C.

	E-O	O-E	N-S	S-N	N.E-S.O	S.E-N.O	INDET
S. I D.C (n=54)	51,85%	5,56%	5,56%	12,96%	7,41%	1,85%	14,81%
S. II D.C (n=29)	72,41%	3,45%	0,00%	3,45%	3,45%	3,45%	6,90%
Ss. II-III D.C (n=22)	59,09%	9,09%	9,09%	9,09%	4,55%	0,00%	9,09%

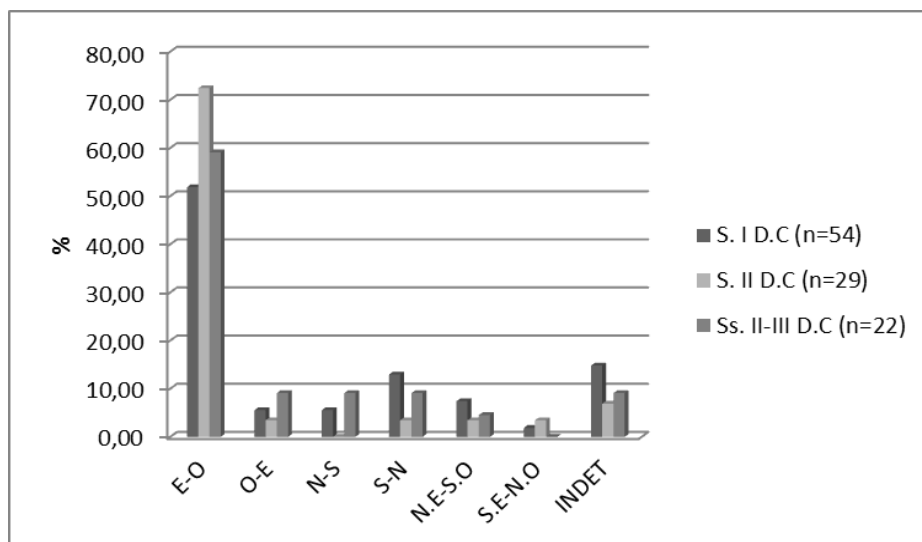


Figura 6.38: Tipo de orientación y frecuencias de uso de la serie imperial

Las tabla y gráfica *supra*, expresan datos que permiten establecer inferencias sobre la elección preferente en el momento de practicar el sepelio. Más de la mitad de las tumbas escogen una orientación E-O que responde a una intencionalidad y un propósito común. En principio, este predominio de orientación viene condicionado por la vía de acceso interior, pero también depende del espacio que se dispone. En el siglo I d.C, un pequeño grupo de tumbas simples se hallaron junto a la calzada o incluso afectándola en parte, manteniendo la misma orientación E-O (el cráneo al Este). El resto de tumbas de esta cronología bien se disponen paralelamente a ella, en la zona más interna del cementerio, o bien en el límite meridional, manteniendo la orientación hacia el este y colmatando poco a poco el talud natural.

Estamos de acuerdo con Von Hesberg (1994), en cuanto a que la elección del lugar de la sepultura se organiza con el propósito de una búsqueda a la proximidad de las calzadas y así tener una mayor visibilidad que con el tiempo en *Valentia* irá teniendo mayor importancia.

Somos de la opinión de Hoskin (1995:54) que afirma que “*cuando pensamos en las posibles razones para dichas costumbres (orientaciones de las tumbas), nos movemos en el reino de las hipótesis, y dejamos atrás las certezas*”. En este sentido, hay muchas interpretaciones sobre la elección de un tipo u otro de orientación que responden a creencias religiosas como la del culto al *Sol Inuictus*, que desde Siria celebraba su fiesta el 25 de diciembre, al igual que el culto a Mitra y posteriormente el cristianismo. A partir del emperador Juliano II (361-363), en un intento de reavivar el paganismo frente al cristianismo, estas modas fueron visibles en necrópolis de *Galia* (Prieur, 1986) y *Britania* (Philpott, 1991), para estas cronologías. Se “identifica” a las tumbas orientadas al oeste como respuesta a la llegada de Cristo según la creencia de esta confesión religiosa (López Borgoñoz, 1999).

Respetando estas hipótesis, que no descartamos puedan observarse en otras necrópolis de la ciudad, opinamos que en esta necrópolis, y en esta cronología las orientaciones que describen una cierta homogeneidad son más bien fruto de una adaptación al espacio, una necesidad práctica de adecuación del *locus religiosus* con respecto a la calzada, y un claro ejemplo de paganismo, visible tanto en esta disposición como en la presencia de ajuares funerarios.

B) Gestos funerarios

En este apartado se presentan aspectos relativos a características de edad, sexo, deposición y posición de individuo en el interior de la tumba, la presencia o ausencia de mortaja, así como la descripción y cuantificación del tipo de descomposición del cuerpo tras los procesos de putrefacción de las partes blandas del esqueleto.

De igual forma se abordarán aspectos relativos a los gestos funerarios en las tumbas de carácter infantil correspondientes a este periodo cronológico.

C) Características funerarias por edad y sexo

La población atribuida en la serie imperial, se distribuye según rangos de edad desde neonatales (< 40 semanas) representado con 3 casos de sexo indeterminado; infantiles I y II (0-12 años) también con 15 casos de sexo indeterminado; nueve juveniles (13-20 años) dos mujeres, un varón y seis indeterminados; el grupo más numeroso formado por individuos adultos jóvenes (entre 20-40 años) con 22 varones, 28 mujeres y 7 indeterminados; le sigue el grupo de edad maduro que abarca el rango entre 41 a 60 años con una representatividad de 9 varones y 11 mujeres. En el rango de edad correspondientes a los individuos seniles (mayores de 60 años) tan solo un individuo de sexo mujer.

Tabla 6.50: Distribución de edad y sexo a lo largo del siglo I-III d.C

	Nº	32	42	31
EDAD	RANGO	VARON	MUJER	INDET.
NEONATOS	< 40 semanas	0	0	3
INFANTIL I	0-6	0	0	9
INFANTIL II	7-12	0	0	6
JUVENIL	13-20	1	2	6
JOVEN	21-40	22	28	7
MADURO	41-60	9	11	0
SENIL	> 60	0	1	0

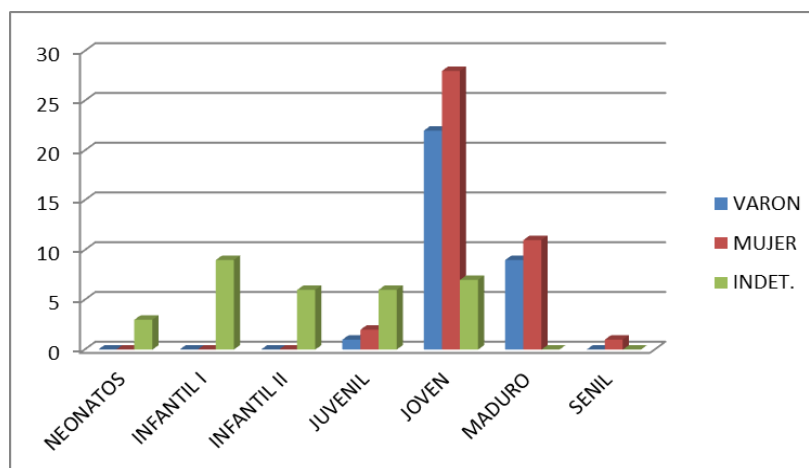


Figura 6.39: Número de casos según edad y sexo en la serie Imperial

La distribución por rangos de edad y sexo expresada en la gráfica (Figura 6.39), presentan una elevada presencia de mujeres en el rango de edad adulto joven (20-40 años). Es el grupo de edad más numeroso presente en la necrópolis y la mayor supervivencia de mujeres con respecto a los hombres tal vez se deba a dos cuestiones importantes (Figura 6.40). Por un lado, y el principal, que nuestros datos son relativos, “sesgados”, en tanto en cuanto solo disponemos de un sector de lo que sería la totalidad

de la necrópolis y que tal vez dispongamos de un sector con una mayoría de mujeres enterradas. Y la otra razón se deba a que el grupo de mujeres presentes en la necrópolis responda a la situación histórica que experimenta la ciudad de cambios y de refundación.

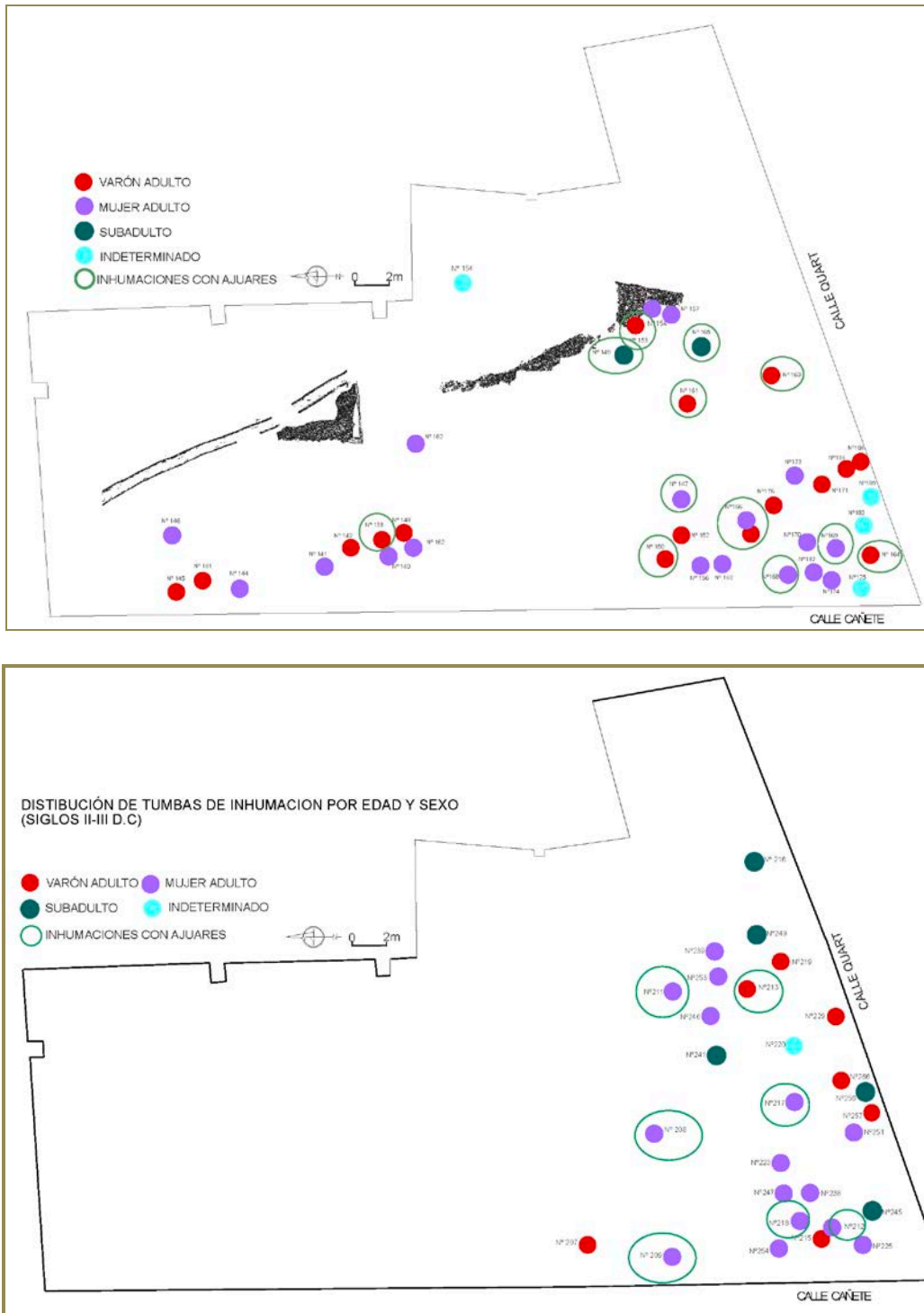


Figura 6.40. Distribución de tumbas de inhumación por edad y sexo en la fase del siglo I d.C. (*supra*) y las fases de los siglos II y II-III d.C. (*infra*)

Los planos de distribución por edades y sexo ofrecen en primer lugar una concentración y superposición de enterramientos en el sector meridional junto a la calle Quart y, en menor medida, a lo largo de la calzada. La representación por sexos tiende a presentar una evolución de un patrón mixto (hombres-mujeres), sin poder establecer una diferenciación de la distribución en el área por sexos, a una mayor presencia de mujeres en la última fase de utilización de la necrópolis.

Tal vez podría hacerse una lectura similar sobre la distribución y presencia de enterramientos con subadultos. Sin embargo, apelamos a todas las cautelas a este respecto, debido a los escasos ejemplos conservados, y que por número de muestra no son significativos para inferir la elección de una zona dedicada a enterramientos de mujeres e infantiles.

D) Deposición y posición en la tumba

En términos generales la disposición de los esqueletos en el interior de las tumbas se simplifica en relación con el periodo anterior. La deposición más habitual es la de cúbito supino con un total de 78 casos que supone un 74,29% de todas las tumbas de este momento; en posición del cuerpo en decúbito prono con 9 casos suponiendo un 8,57%; 5 casos (4,76%) para los enterrados en deposición de decúbito lateral derecho (LD); 3 casos enterrados en decúbito lateral izquierdo (LI), suponiendo un 2,86%; y por último, 10 casos con posiciones indeterminadas que suponen el 9,52% (Figura 6.41 y Tabla 6.51).



Figura 6.41: Ejemplo de tres tipos de deposiciones presentes en la serie Imperial

Tabla 6.51: Distribución de los tipos de deposición y sexo de la serie imperial

DEPOSICIÓN	TOTAL		VARONES		MUJERES		INDET	
SUPINO	78	74,29%	23	21,90%	30	28,57	25	23,81
PRONO	9	8,57%	4	3,81%	5	4,76	0	0,00
LD	5	4,76%	2	1,90%	2	1,90	1	0,95
LI	3	2,86%	0	0,00%	3	2,86	0	0,00
INDETERMINADO	10	9,52%	3	9,38%	2	1,90	5	4,76
TOTAL	105	100%	32	30,48%	42	40,00%	31	29,52%

Con respecto a la distribución por sexos hay una igualdad entre hombres y mujeres con una homogeneidad en la posición del cuerpo en de decúbito supino. La otra de las deposiciones más numerosa es la ventral o prono, está representada por 9 casos de los cuales 5 corresponden a individuos de sexo mujer (Figura 6.42).

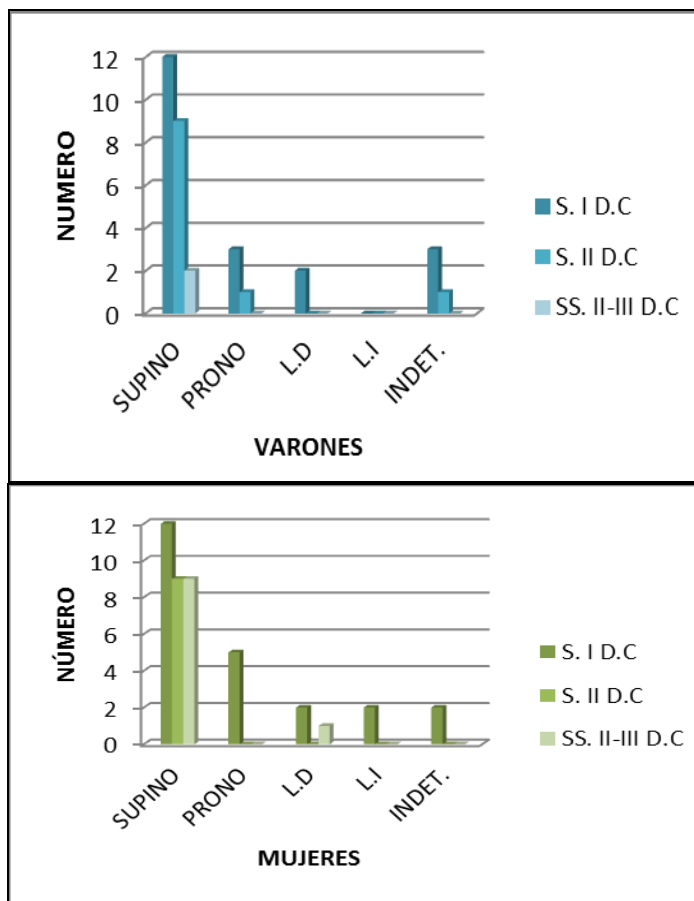


Figura 6.42: Distribución de los tipos de deposición y sexo

E) Posición de brazos y piernas

Con respecto a la posición de los miembros superiores e inferiores cabe señalar que la posición más documentada en la serie imperial es la relativa a brazos semiflexionados y piernas estiradas y juntas con la salvedad de que las posiciones indeterminadas son, una vez más, las más numerosas al igual que en la serie republicana.

Tabla 6.52: Diferentes tipos de posiciones de brazos presentes en individuos distribuidos por sexos

MMSS CÓDIGOS	TOTAL	VARONES	MUJERES	INDET
0	45	12	13	20
1	16	5	5	6
2	29	10	15	4
3	3	2	0	1
4	7	2	5	0
5	4	0	4	0
6	1	1	0	0
7	0	0	0	0

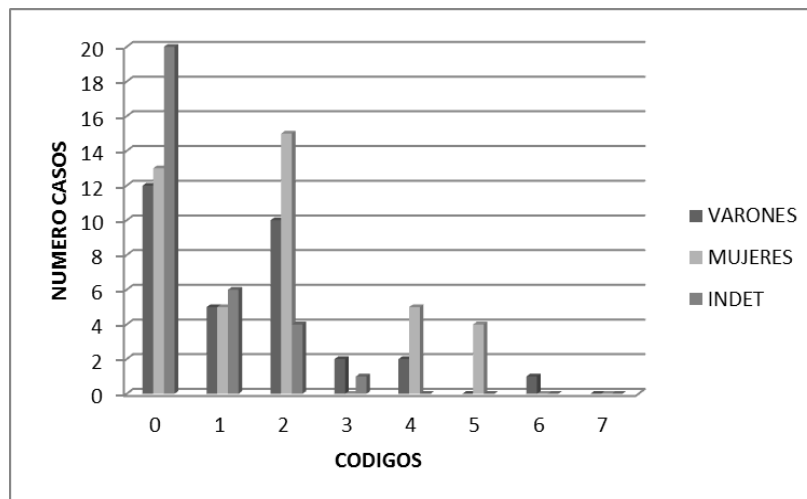


Figura 6.43: Distribución de las principales posiciones de extremidades superiores. En el eje de las X: (0) indeterminado; (1) estirados junto al cuerpo, (2) semiflexionados, (3) hiperflexionados, (4) cruzados a la altura del pecho, (5) cruzados a la altura de la pelvis, (6) uno estirado y otro semiflexionado, (7) otras posiciones. En el eje de las Y se representan los % para cada tipo de posición.

La posición de brazos más repetida es la que describe una semiflexión de miembros superiores, seguida de la de brazos cruzados a la altura del pecho. En ambos casos la prevalencia de estas posiciones en mujeres es notablemente mayor que en varones (Figura 6.43).

A este respecto la posición de brazos presenta una evolución en lo concerniente al momento republicano donde la posición elegida para la mayoría de las tumbas simples-A (las más numerosas), es de estirados junto al cuerpo (código 1) seguido por el de miembros semiflexionados (código 2) y código 4 (cruzados a la altura del pecho).

Tabla 6.53: Diferentes tipos de posiciones de piernas (códigos) presentes en individuos distribuidos por sexos

MMSS				
CÓDIGOS	TOTAL	VARONES	MUJERES	INDET
0	54	17	15	22
8	36	11	20	5
9	7	2	3	2
10	5	1	3	1
11	2	0	1	1
12	1	1	0	0
13	0	0	0	0

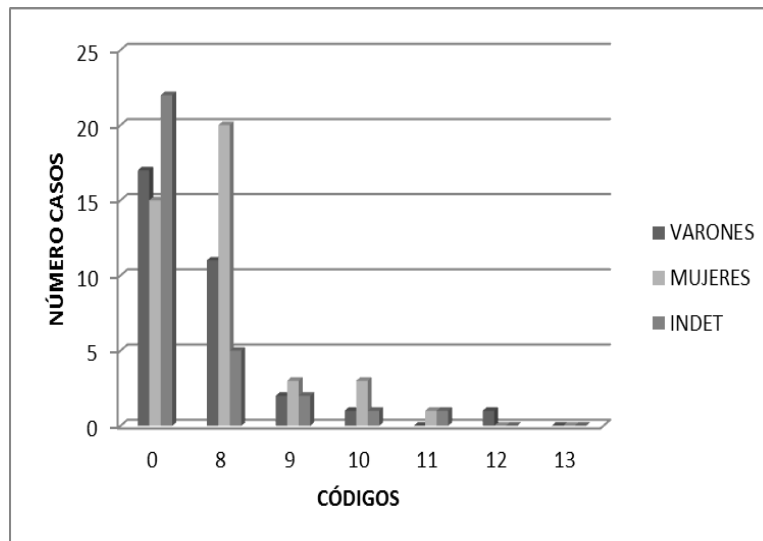


Figura 6.44: Distribución de las principales posiciones de extremidades inferiores. En el eje de las X: (0) indeterminado; (1) estirados junto al cuerpo, (2) semiflexionados, (3) hiperflexionados, (4) cruzados a la altura del pecho, (5) cruzados a la altura de la pelvis, (6) uno estirado y otro semiflexionado, (7) otras posiciones. En el eje de las Y se representan los % para cada tipo de posición.

Con respecto a las posiciones adoptadas en las piernas (MMII), cabe señalar la homogeneidad representativa de la posición de miembros estirados (código 8). (Tabla 6.53 y figura 6.44).

F) Evidencias de amortajamiento

Las evidencias de mortaja se han observado en 58 de los 105 individuos de la serie imperial. Por tipología de tumbas (56) se trata de tumbas simples-A y dos indeterminadas.

En líneas generales la región anatómica donde se ha notado una mayor presencia de mortaja es a nivel de hombros (código 2) con 44 casos, a nivel de rodillas (código 5) con 21 casos y en menor medida a nivel de tobillos (código 6) con 11 casos y en siete casos a nivel de pies (código 7). La mayoría de los casos positivos presentan estas evidencias de mortaja en varias partes anatómicas como resultado de los ritos preparatorios predeposicionales (Figura 6.45).

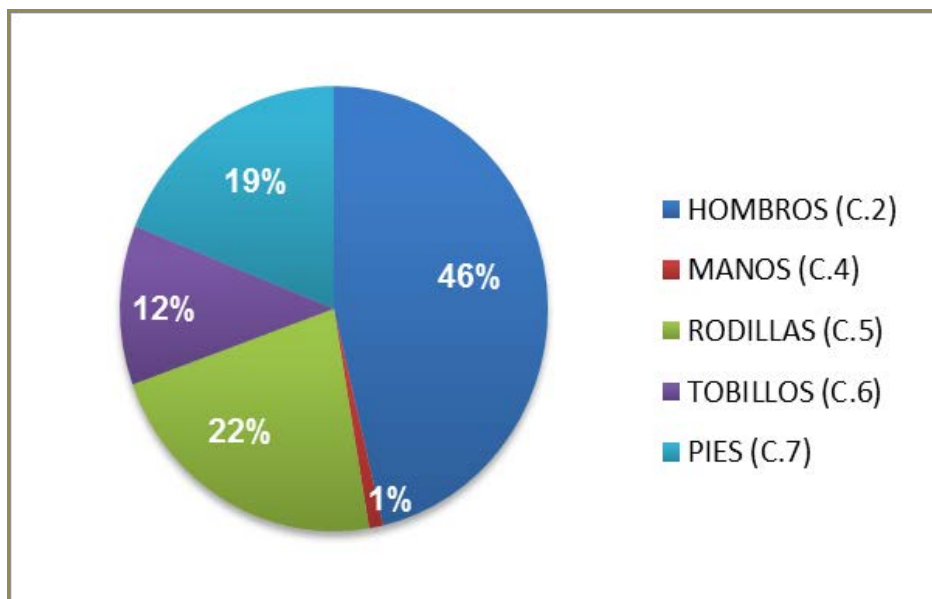


Figura 6.45: Porcentajes y regiones anatómicas con evidencias de mortaja

Los individuos de sexo mujer aportan el mayor número de casos con evidencias de mortaja y en su mayoría se engloba en el rango de edad adulto joven (20-40 años); los varones adultos jóvenes también presentan rasgos de amortajamiento y en menor medida los subadultos (infantiles I y II) con 12 casos (Tabla 6.54). Estas características vienen a demostrar el cuidado del cuerpo en el momento del sepelio y el cumplimiento de los preceptos contemplados en el *funus romanum*.

Tabla 6.54: Rangos de edad y sexo con evidencias de mortaja

AMORTAJAMIENTO	HOMBRES	MUJERES	INDET
INFANTIL I	0	0	7
INFANTIL II	0	0	2
JUVENIL	1	1	1
JOVEN	12	19	2
MADURO	3	5	0
SENIL	2	3	0
Total	18	28	12

¿Relación presencia/ausencia de mortaja y ajuar?

La presencia de mortaja puede significar por un lado un cuidado en el tratamiento del cuerpo y su relación con la presencia de ajuar funerario puede ser significativa desde un punto de vista ritual. O bien, la presencia de mortaja simplemente supone una práctica que favorece la manipulación los restos cadavéricos ya en la preparación del cuerpo y su posterior traslado e introducción en la tumba.

En la serie imperial (s. I-III d.C.), hay un total de 36 tumbas con ajuares depositados en el interior de las tumbas. De las cuales 25 presentan la relación ajuar/mortaja, mientras que 11 tumbas contienen ajuares pero no evidencias de amortajamiento del cuerpo.

Tabla 6.55: Relación presencia/ausencia de mortaja y ajuares funerarios

	MORTAJA+AJUAR	NO MORTAJA+AJUAR
S. I D.C	7	7
S. II D.C	9	3
SS. II-III D.C	9	1
TOTALES	25	11

Ante estos datos no podemos afirmar que haya una intencionalidad clara en perjuicio o a favor de la presencia de ajuares y mortaja en las tumbas del imperio (Tabla 6.55). No obstante es una relación interesante que en una serie más amplia debería contemplarse como un elemento más de discusión en el ámbito de los rituales funerarios.

G) Descomposición del cuerpo

Las tumbas imperiales ofrecen un equilibrio en cuanto a tipo de descomposición (44 casos en medio vacío y 44 en colmatado) que en cálculos generales resulta diferente al tipo de descomposición escogido en época republicana, que se inclina más por elegir un tipo de enterramiento desprovisto de receptáculo funerario.

Tabla 6.56: Tipo de descomposición y porcentajes en las tumbas republicanas

DESCOMPOSICIÓN	TOTAL		VARONES		MUJERES		INDET	
VACIO	12	14,12%	10	11,76%	2	2,35%	0	0,00%
COLMATADO	64	75,29%	32	37,65%	20	23,53%	12	14,12%
INDETERMINADA	9	10,59%	3	3,53%	0	0,00%	6	7,06%
TOTALES	85	100%	45	52,94%	22	25,88%	18	21,18%

Tabla 6.57: Tipo de descomposición y porcentajes en las tumbas imperiales

DESCOMPOSICIÓN	TOTAL		VARONES		MUJERES		INDET	
VACIO	44	41,90%	10	9,52%	19	18,10%	15	14,29%
COLMATADO	44	41,90%	16	15,24%	19	18,10%	9	8,57%
INDETERMINADA	17	16,19%	6	5,71%	4	3,81%	7	6,67%
TOTALES	105	100%	32	30,48%	42	40,00%	31	29,52%

En cuanto a valores relativos a la diferenciación sexual, cabe señalar la homogeneidad presente en época imperial observándose escasas diferencias entre hombres y mujeres enterrados en medio colmatado (16 varones, 19 mujeres), que contrasta con el nº de varones (32) de la época republicana (Tablas 6.56 y 6.57).

Tal vez la comparación más real sea aquella que establece paralelismos intragrupal entre las tumbas simples-A de ambas series (republicanas e imperiales).

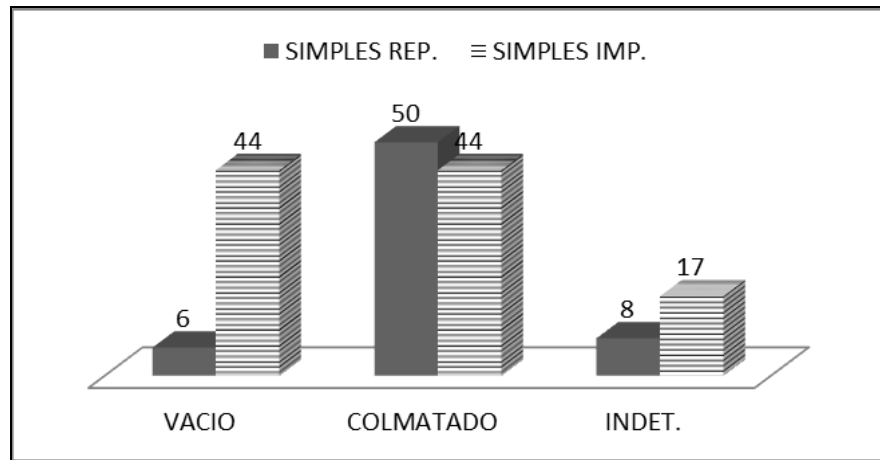


Figura 6.46: Comparativa entre el tipo de descomposición entre republicanos e imperiales

*“Ut...lucerna quotidiana pout monumento meo alternis mensibus lucernam ascendant et sollemnia mortis peragant”
(Dig.XL, 4,44)*

H) Las ofrendas

Las tumbas de inhumación y también de cremación de la serie imperial siguen aportando información sobre los gestos relacionados con las ofrendas y exequias que acompañaban al difunto en la tumba.

Haciendo una valoración de las posibles evoluciones del ritual desde época republicana, se observa una clara evolución entre las tumbas con ajuares de época republicana y las imperiales (Figura 6.47). Esta evolución o cambios entre ambas cronologías se expresa en términos porcentuales a partir del número total de tumbas de toda la necrópolis (179), resultando un incremento de tumbas con ajuares en época imperial para las inhumaciones.

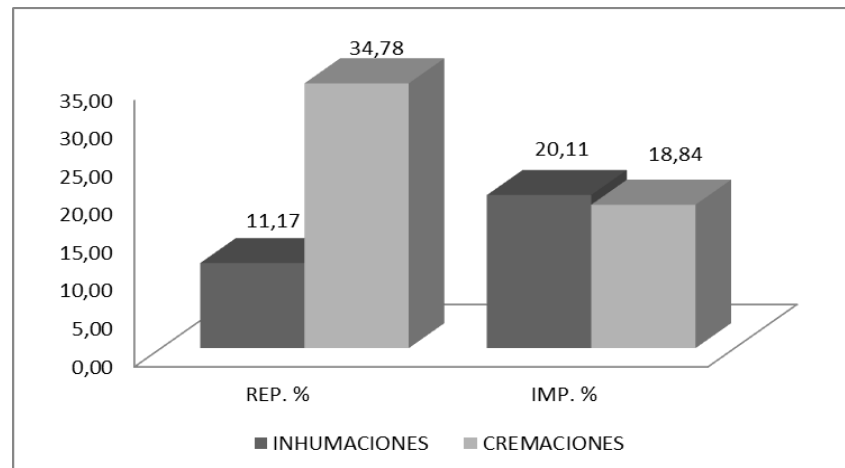


Figura 6.47: Evolución de la presencia de ajuares a través de las series cronológicas

Con respecto a las tumbas de cremación se produce un fenómeno a la inversa. El incremento de la práctica crematoria en la fase del siglo I a.C. favorece esta tendencia poniendo de manifiesto los cambios de la ciudad, y su reflejo en los rituales funerarios de la necrópolis.

En época imperial la distribución de las tumbas de inhumación con ajuares por grupos de edad y sexo ofrecen datos relativos a 7 tumbas de varones con edades comprendidas en el rango adulto joven (20-40 años); y dos tumbas de varones con edades comprendidas entre los 40 y 50 años. Respecto a las mujeres, se han documentado 15 tumbas con individuos en el rango de edad adulto joven (20-40 años); dos individuos adultos maduros (50-55 años); un individuo senil (>60 años) y un individuo mujer de edad juvenil. Con respecto a la población infantil se puede avanzar (si bien este tema se trata en epígrafe aparte) que los individuos en rango de edad I y II (0 a 12 años) se han distribuido en seis casos y un recién nacido (R.N) (Tabla 6.58).

Tabla 6.58: Principales características de las tumbas con ajuares

NEF	UE	SEXO	EDAD	DEPOSICION	DESCOMP.
138	1273	V	20-40	INDET	COLMATADO
147	2049	M	25-35	SUPINO	VACÍO
149	2077	INDET.	R.N	INDET.	INDET.
150	2092	M	20-25	SUPINO	COLMATADO
153	2154	V	40-50	SUPINO	COLMATADO
161	2374	V	26-30	SUPINO	COLMATADO
163	2414	V	25-35	PRONO	COLMATADO
164	2410	V	25-30	PRONO	COLMATADO
165	2417	INDET.	I.I	SUPINO 1	VACÍO
166	2420	M	20-40	PRONO	VACÍO
168	2429	M	25-35	PRONO	COLMATADO
169	2431	M	30-40	SUPINO	COLMATADO
171	2438	V	25-30	SUPINO	COLMATADO
184	3260	V	20-40	SUPINO	COLMATADO
206	2012	INDET.	JUVEN	SUPINO	VACÍO
208	2138	M	50-55	SUPINO	COLMATADO
209	2146	M	30-40	SUPINO	VACÍO
210	2173	INDET.	I.II	SUPINO	VACÍO
211	2192	M	20-25	SUPINO	COLMATADO
212	2241	M	30-35	SUPINO	VACÍO
213	2256	V	40-44	SUPINO	VACÍO
217	2320	M	>60	SUPINO	VACÍO
218	2323	M	35-38	SUPINO	VACÍO
221	2366	M	25-30	SUPINO	VACÍO
222	2408	INDET.	I.II	SUPINO	VACÍO
232	3249	INDET.	I.I	SUPINO	VACÍO
237	2101	M	20-25	SUPINO	VACÍO
239	2170	M	50-55	SUPINO	VACÍO
240	2181	M	21-25	SUPINO	VACÍO
245	2244	INDET.	I.I	SUPINO	VACÍO
246	2253	M	35-40	SUPINO	VACÍO
NEF	UE	SEXO	EDAD	DEPOSICION	DESCOMP.
247	2275	M	30-35	SUPINO	VACÍO
249	2292	INDET.	I.II	SUPINO	VACÍO
251	2313	M	35-40	SUPINO	VACÍO
253	2342	M	JUVEN.	LAT.IZDO	VACÍO
255	3234	V	30-35	1 SUPINO	INDET.

De acuerdo con el patrón de deposición decir que la mayoría de los individuos fueron colocados en deposición de decúbito supino en 29 de los 36 casos totales; en posición de decúbito prono en cuatro casos (2 varones y 2 mujeres); en posición de decúbito lateral izquierdo, se ha documentado un solo caso y dos indeterminados (uno de ellos es el individuo infantil enterrado en ánfora y del que apenas se recuperaron restos óseos, Nº 149).

La tipología de ajuar es variada haciendo constar la presencia de materiales cerámicos en la mayoría de las tumbas en 19 de los 36 enterramientos, las monedas con 7 casos,

la fauna con 8 casos, los objetos metálicos en 12 casos, siendo la mayoría clavos que bien pudieran considerarse como elementos de ritual, y tachuelas atribuibles a algún tipo de indumentaria. En menor representatividad se encuentran los hallazgos de malacofauna (1 caso), hueso trabajado (1 caso) y otros elementos como una *bull*a, un anillo, un biberón y una botella de vidrio⁴.

La disposición de los ajueres en el interior de las tumbas si bien es variada, deja sospechar cierto comportamiento que tiende a la homogeneidad. En primer lugar, el ajuar se depositaba en el interior de la tumba, y junto a diferentes espacios o regiones anatómicas que hemos codificado con el fin de poder explicar mejor su distribución: junto a la cabeza (1); brazos-manos (2), tórax-pelvis (3); piernas-pies (4) (Figura 6.48).

Las tumbas con ajueres depositados en la cabeza son un total de 5 de las 36 tumbas con ajueres de la serie imperial; dos tumbas para los depositados a la altura de brazos y manos; 8 tumbas con materiales depositados a nivel de tórax y pelvis, y 12 con materiales depositados junto a las extremidades inferiores y/o pies. Con respecto a los materiales hallados en el raquis, cabe señalar que en cinco ocasiones se han documentado tachuelas atribuibles a indumentaria al hallarse junto al esqueleto.

Solo hay un caso (tumba N° 210), donde se ha documentado ajuar funerario en dos regiones anatómicas, concretamente a nivel de brazos y piernas.

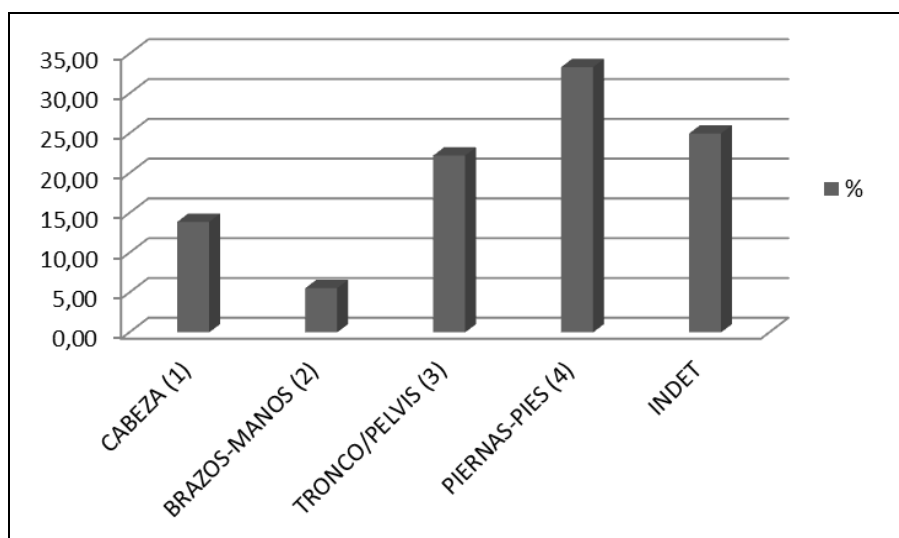


Figura 6.48: Distribución en porcentajes del ajuar por regiones anatómicas

⁴ En este apartado se incluyen también las tumbas de individuos infantiles con ajueres, aunque se detallan sus características en el apartado "Gestos funerarios en enterramientos infantiles".

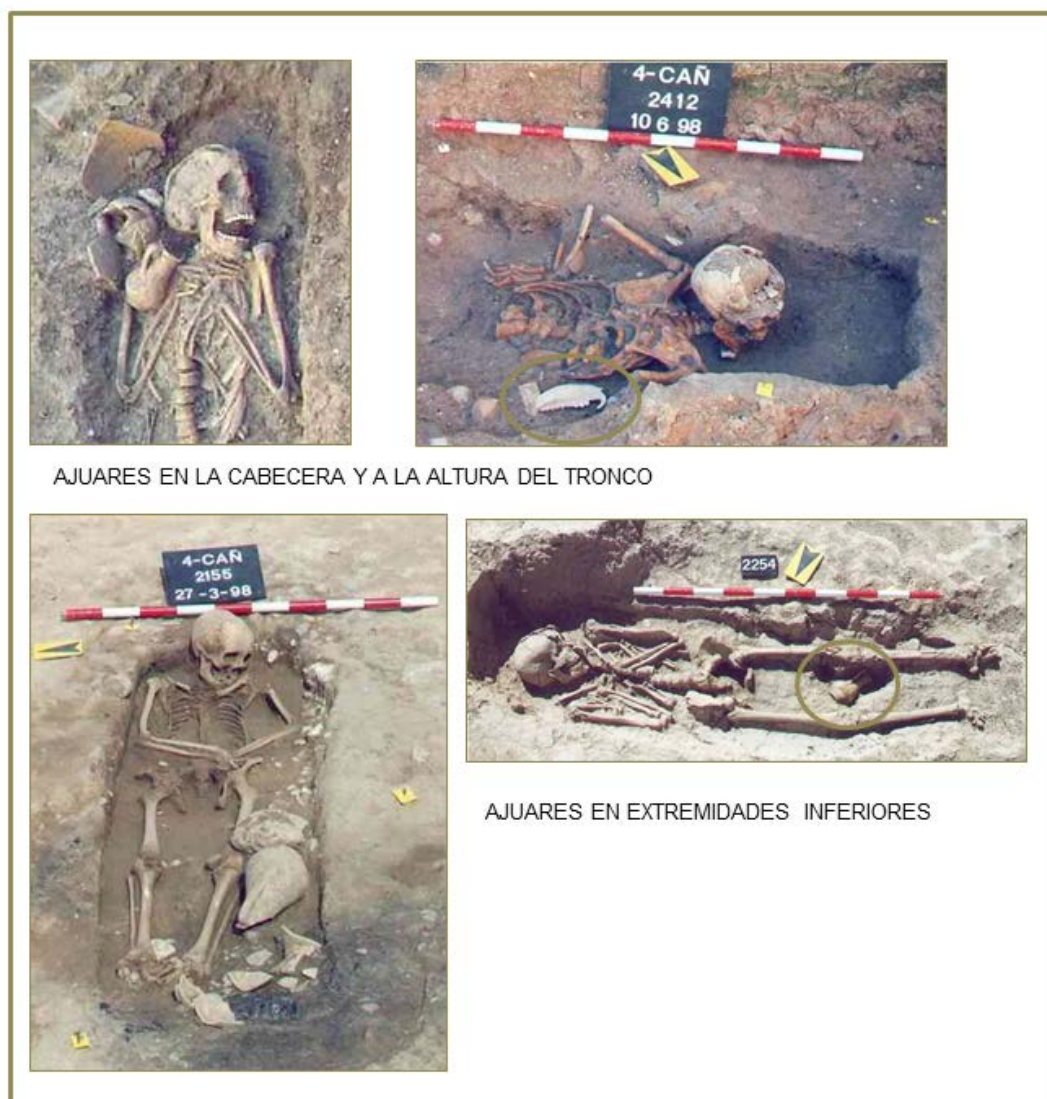


Figura 6.49: Algunos ejemplos de disposición de ajuares en el interior de las tumbas

Respecto al tipo de ajuar funerario y los materiales que lo componen, éstos son mayoritariamente de tipo cerámico, monedas, fauna, y metales hallados junto al cuerpo y en el interior de las tumbas (Figura 6.50).

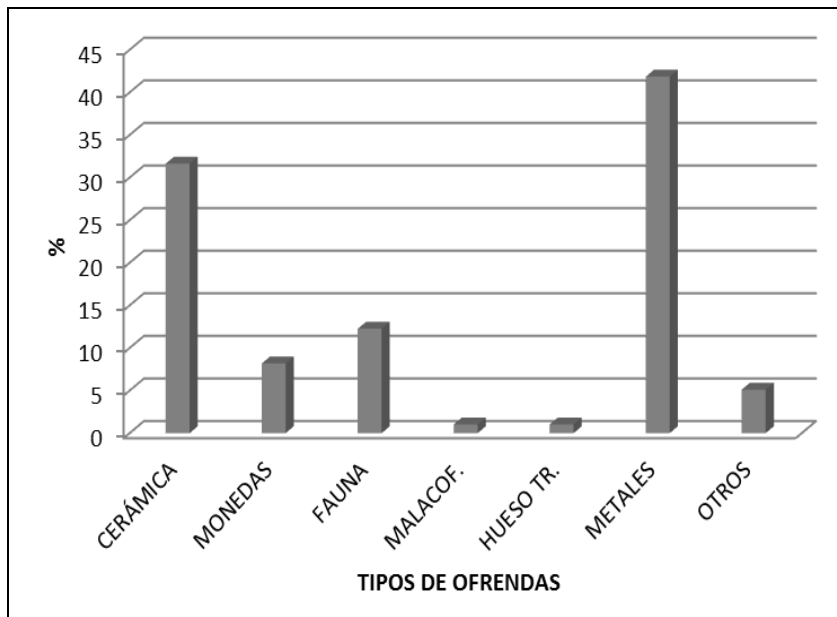


Figura 6.50: Tipo de ofrendas funerarias y sus representatividad en porcentajes de la serie imperial

En comparación con la serie republicana (S. II a.C.) hay cambios y variaciones de tipo de material presente en las tumbas y ello se debe a cambios en la práctica funeraria. Los porcentajes se han elaborado a partir el número total de objetos hallados en las tumbas republicanas, tipo Simples-A (18) e imperiales (99) (Figura 6.51).

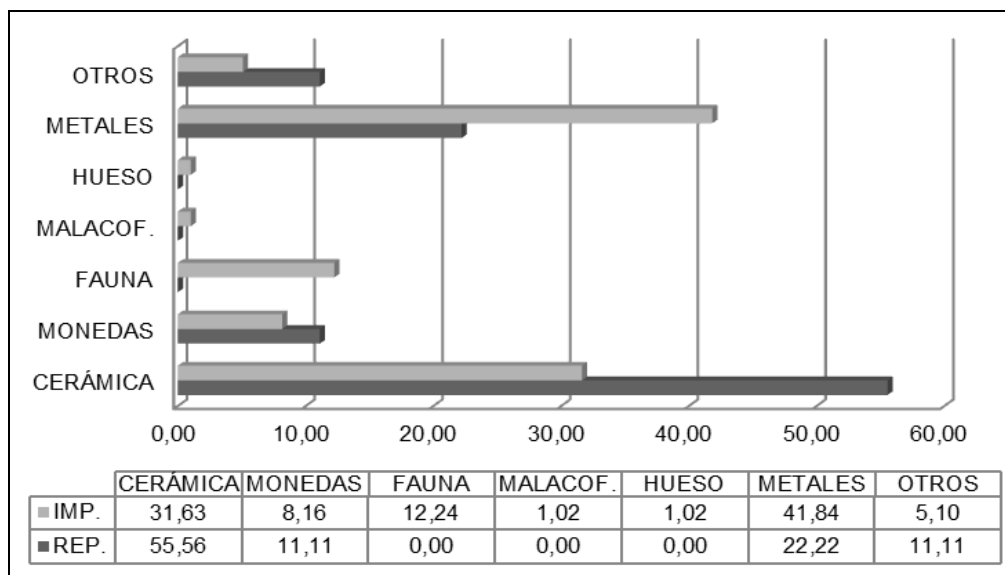


Figura 6.51: Evolución de las ofrendas funerarias de la serie republicana e imperial. Comparación de tumbas simples de ambas cronologías.

Los elementos fijos presentes en ambas cronologías son los relativos a objetos cerámicos, monedas y objetos metálicos en detrimento de la fauna, malacofauna y hueso trabajado, ausente en la serie republicana y prácticamente testimonial en época imperial.

I) Cerámica

A diferencia con el periodo republicano donde la variabilidad de materiales presentes en las tumbas simples-A ofrecen una interpretación más heterogénea de los ajueres funerarios, en la serie imperial se observa cierta tendencia a un “ajuar tipo: olpe/jarra, plato o cuenco y lucerna en sintonía con los estudios que a este respecto se están llevando a cabo en Francia y que también se han descrito en *Tarraco* (Bonnet, 2009; Ciurana, 2011).

El ajuar modelo o más repetido en las necrópolis de Languedoc consiste en la conjunción de plato-cuenco con los alimentos ofrecidos, la jarra para contener líquidos y una tapadera, o bien otro plato-cuenco para contener el sacrificio⁵. En la necrópolis de la calle Quart, de las 99 tumbas de inhumación documentadas en la serie imperial, 31 tenían ajueres y entre ellas se ha podido observar una aproximación a este ajuar tipo en tanto en cuanto el plato-cuenco y jarrita u olpe está presente en siete tumbas, con la particularidad de que en cuatro tumbas, junto al plato, cuenco u olpe se encontraba una lucerna (Nº 138, 166, 240, 247) y todos en el interior de la tumba. Los porcentajes representados en la Figura 6.52, ponen de manifiesto el ajuar tipo (cuenco-olpe-lucerna) también documentado en otras necrópolis tanto de *Hispania* como del sur de Francia.

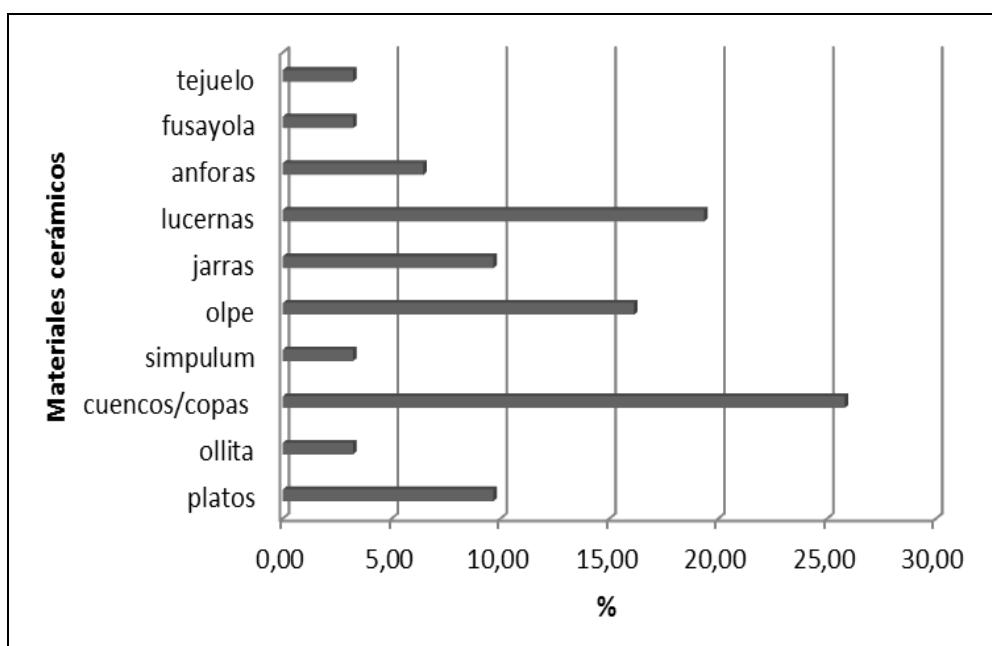


Figura 6.52: Los materiales cerámicos presentes en las ofrendas de la serie imperial

⁵ En una excavación realizada en la primera década de este siglo, en la calle Mont-d'Or de Lyon se hallaron tres recipientes: un plato de cerámica para contener sólidos, una jarra de cerámica común oxidante (Olpe) para contener vino y una olla de cerámica común reductora con una tapadera para contener el sacrificio (Bonnet, 2009). Estos materiales atestiguan los ritos observados en estructuras de cremación e inhumación. A partir del bajo imperio en Lyon la mayor parte de las inhumaciones están desprovistas de vasos y la presencia de un vaso por tumba es lo más habitual.

La presencia de lucernas en este periodo ha sido observable, además de las tumbas referidas anteriormente, en otras dos, siendo éste un objeto eminentemente ritual y funerario por cuanto supone la luz que ilumina el camino al más allá, además de ser un elemento de protección (Cuq, 1896) y de constituir junto con otros objetos (olla, moneda y clavo), un ajuar tipo de carácter protector (Alfayé, 2009).

El hallazgo de una lucerna sobre la cubierta de una tumba es ejemplo de los rituales postdeposicionales tras la celebración del *funus*, Son evidencia de festividades celebradas tras los funerales (*Parentalia* y *Lemura*), para desterrar del mundo de los vivos los espíritus rebeldes (*Ov.Fast.5.419-492 citado en Ciurana, 2011*). A los pies de la tumba se realizaban los sacrificios, rituales purificadores y la *novemdialis cena*. Evidencias de estos gestos rituales son la lucerna alojada sobre una de las *tegulae* que conforman la cubierta de la tumba (Nº 140). En *Tarraco* también se han constatado algunos casos de lucernas que junto a una cazuela de cerámica estaba sobre la cubierta de una tumba también de tegulas (Ciurana, 2011)

Otro cambio con el periodo republicano que evidencia nuevos usos y costumbres funerarias, es la presencia indirecta de elementos propios de la vestimenta que pone de manifiesto que se va dejando de emplear el sudario en pro de una vestimenta cotidiana. Las tachuelas presentes en algunas tumbas como la (Nº 206) o el *acus crinalis* de la tumba (Nº 208), son indicadores indirectos de un cambio en la preparación del cuerpo tras el acontecimiento de la muerte. Este cambio o evolución es también visible en otros conjuntos funerarios bien estudiados. Un hecho similar es el documentado en las excavaciones en Chaumes d'Alios, Martres-de-Veyre (Puy-de-Dôme), donde se hallaron medias y calcetines datados en el siglo II d.C y que se han conservado de forma excelente, gracias a las condiciones de conservación que permitieron documentar numerosos objetos personales e indumentaria (Bonnet, 2009).

J) Monedas

Ya hemos hecho referencia a la creencia que tenían del más allá los antiguos romanos⁶. Consideraban que las almas debían dirigirse al inframundo y para llegar debían atravesar los ríos Aqueronte y el Estigio (laguna Estigia). Se atravesaban con la ayuda de una barca conducida por Caronte que se encargaba de pasar las almas de los difuntos previo pago de un óbolo, y rechazaba a aquellos que no pudieran pagar, o a las almas de los insepultos permaneciendo durante cien largos años en espera de que Caronte les pase a la otra orilla (*Virgilio, Eneida, VI, 107-108*).

Si bien este rito se remonta a la influencia helenística en las prácticas funerarias romanas, el aumento de monedas en época imperial es ejemplo de la importancia que adquiere el rito de Caronte. Esta costumbre, tuvo mucha importancia, sobre todo, a

⁶ Parte II cap. 4.

partir de época de Augusto y al parecer, sobre las clases menos favorecidas⁷ (Ficoroni, 1732 citado en Cuq, 1896). Esta tradición contrasta con los cambios filosóficos que se producen a finales de la República, que por clara influencia de la escuela pitagórica, comenzó a extenderse la doctrina de que el alma se eleva al cielo, llegando a transformarse en un astro, siendo éste el destino de las personas buenas (Ramos, 2003). De acuerdo con este nuevo concepto, y dado el aumento de esta práctica ritual se interpreta que incluso para “subir al cielo” era necesario pagar a Caronte y asegurarse el trayecto libre de penas y posibles vicisitudes. El fallecido, una vez enterrado, no había terminado de morir; de modo que además de las monedas, también las joyas, los amuletos o los alimentos le servían para pagar ese pasaje y aprovisionar al difunto en su tránsito a la eternidad (Février, 1987).

Autores como Judit Ciurana (2011:148) aportan un apreciado sentido crítico a las interpretaciones exclusivistas que atribuyen al ritual del óbolo a Caronte la presencia de monedas. *“Les diverses fonts malgrat estar allunyades en el temps i en l’espai són unànimes en aquest tema. No obstant això, aquesta unanimitat no és tal quan deixem enrere les fonts i passem al registre arqueològic. A les àrees funeràries podem comprovar com no tots els difunts són acompanyats per monedes i encara és menys freqüent que es trobin emplaçades dins les seves boques”*⁸

Evidentemente la lectura de los gestos funerarios puede ayudar a la hora de establecer interpretaciones. Recordemos que a este respecto las fuentes bibliográficas refieren que en el momento del finado, y tras la clausura de los ojos, (*oculos condere, premere, operide, o clauder*) se colocaban sendas monedas en los párpados, en la boca o incluso en el bolsillo de la ropa (Cuq, 1896). Esta práctica ha sido constatada en enterramientos de inhumación del Bajo Imperio de la necrópolis de Chaumes d’Alios en Martres-de-Veyre en Puy-de -Dôme (Blaizot, 2009).

Con respecto al desplazamiento de las monedas en el esqueleto, hay que tener en cuenta que los procesos putrefactivos condicionan la posición final de los objetos que acompañaban al difunto, entre ellos las monedas. Tiene mucho que ver en esta conservación el medio en el que se ha descompuesto el cuerpo, y la dislocación de los miembros (entre ellos la mandíbula). Es diferente si la putrefacción se ha efectuado en un medio colmatado o vacío. Estos gestos también influyen a la hora de encontrar la moneda en el interior del receptáculo funerario o bien junto al cuerpo. Además, el hecho de encontrar unas tumbas con monedas y otras que no la llevan consideramos que responde al hecho de la gran variabilidad de las prácticas rituales que hallamos en el

⁷ De hecho para las fases republicanas de la necrópolis (siglos II-I a.C), solo dos tumbas de inhumación practican este ritual de las cinco monedas halladas en época republicana, frente a las 11 de época imperial (siglos I-III d.C). Este aumento, coincide con lo referenciado en la bibliografía.

⁸ *“Las diferentes fuentes a pesar de estar alejadas en el tiempo y en el espacio son unánimes en este tema. No obstante, esta unanimidad no es tal cuando dejamos atrás las fuentes y pasamos al registro arqueológico. En las áreas funerarias podemos comprobar como no todos los difuntos está acompañados por monedas y aun más frecuente que están desplazadas dentro de sus bocas”*

mundo funerario romano. De la misma forma que la práctica de la cremación e inhumación responde a decisiones personales y/o familiares, la práctica del ritual a Caronte u otros en los que también participan monedas, puede ser reflejo de esa gran variabilidad existente en el *funus*

En la necrópolis se han documentado un número total de 17 monedas halladas en el interior de tumbas en toda la cronología siendo 12 de época imperial. (7 inhumaciones, 4 cremaciones y una hallada en un *ustrinum*).

De las siete monedas localizadas dentro de inhumaciones, cuatro estaban en el interior de la tumba (dos en la boca); otras dos en el relleno que cubre la fosa y una de la que no disponemos datos de ubicación de su hallazgo (si bien en el relleno o en el interior de la tumba) (Tabla 6.59).

Tabla.6.59: Las tumbas de inhumación con monedas de carácter ritual

NEF	EDAD	SEXO	DESCOMPOSICION	TIPO	UBICACION
149	INFANTIL	INDET.	INDET	ANFORA	TUMBA
161	JOVEN	VARON	COLMATADO	SIMPLE-A	RELLENO
210	INFANTIL	INDET.	VACÍO	SIMPLE-A	TUMBA
211	JOVEN	MUJER	COLMATADO	SIMPLE-A	BOCA
212	JOVEN	MUJER	VACÍO	SIMPLE-A	RELLENO
251	JOVEN	MUJER	VACÍO	SIMPLE-A	INDET.
255	JOVEN	VARÓN	VACÍO	SIMPLE-A	BOCA

Ante los datos de que se dispone la interpretación más lógica es la relativa, al menos para los casos de las tumbas (Nº 211 y 255), a los ritos pre-deposicionales tras la muerte y que las fuentes atribuyen al ritual de Caronte (El óbolo a Caronte). Con toda probabilidad a esta interpretación también se le incluya la tumba infantil Nº149 cuya moneda se halló en el interior del ánfora junto a los escasos restos esqueléticos conservados y una *bulla* como objeto de protección, cumpliendo el óbolo la misión de facilitar el viaje al más allá de los fallecidos. Caso parecido el de la tumba Nº 210, también de un individuo infantil I.

Tal vez, las monedas halladas en las tumbas Nº161 y 212, recuperadas durante la excavación de las tumbas, presentes en el relleno de la tumba y no junto al esqueleto, respondan al hecho de arrojar la moneda como símbolo de protección más allá de ser un objeto metálico⁹ y por tanto su hallazgo responda a la capacidad de protección del finado (Ciurana, 2011).

En cualquier caso, la moneda no es un hallazgo casual sino lleno de intención que transporta al fallecido al otro lado, bien sea a través del Estigio y por el que se debe pagar un peaje, o simplemente para desear al no vivo el *bonum omen* o *bon auguri*.

⁹ Los metales , especialmente el hierro y el bronce eran muy valorados por sus características especiales y medicinales (*Plin.HN* 34.151)

K) Fauna

La fauna está representada por parte anatómicas y no por individuos completos y está presente en 8 tumbas de las 31 que contienen ajuares funerarios de la serie imperial haciendo un total de 43 huesos analizados pertenecientes a 10 especies estudiadas (Tabla 6.60).

Tabla 6.60: Las tumbas imperiales con ofrendas de fauna

NEF	UE	EDAD	SEXO	FAUNA
149	2077	INFANTIL I	INDET.	<i>canis</i>
164	2410	25-30	V	<i>canis, cerdo, cabra</i>
166	2420	20-40	M	<i>canis</i>
184	3260	20-40	V	<i>bóvido</i>
213	2256	40-44	V	<i>especie indet.</i>
218	2323	35-38	M	<i>cabra, canis</i>
237	2101	20-25	M	<i>canis</i>
249	2292	INFANTIL I	INDET.	<i>canis, equido</i>

Destacan las especies domésticas frente a las salvajes como el cérvido con una escasa representatividad (tan solo un caso). La especie más consta en estas fases funerarias es el (*canis*) con una representación del 53% de todas las especies documentadas, frente al gallo y ciervo que suponen el 2% de la muestra (Tabla 6.61).

Tabla 6.61: Las especies presentes en las tumbas y frecuencia por cronologías

ESPECIE	S. I D.C	II D.C	II-III D.C	TOTALES	
EQUIDO			5	5	11,6%
VACA-TORO		5		5	11,6%
OVEJA.CABRA		1		1	2,3%
CABRA	1	1		2	4,7%
CERDO	2			2	4,7%
PERRO	18	4	1	23	53,5%
CIERVO			1	1	2,3%
GALLO			1	1	2,3%
MESO MAM. INDET.	1			1	2,3%
MACRO MAM. INDET.		2		2	2,3%
TOTALES	22	13	8	43	100%

A partir del cambio de era en las ofrendas funerarias aparecen nuevas especies, como el perro y los équidos. Con respecto a los primeros, mencionar que en ningún caso presentan marcas de carnicería por lo que se interpretan como individuos depositados completos o parcialmente conservados con el propósito de servir como ofrenda funeraria.

Otros casos lo componen aquellos individuos cuyas marcas de carnicería evidencian un procesado para formar parte del banquete funerario. En las piezas estudiadas se han observado estas marcas de carnicería en las ovejas, bóvidos e incluso en los équidos.

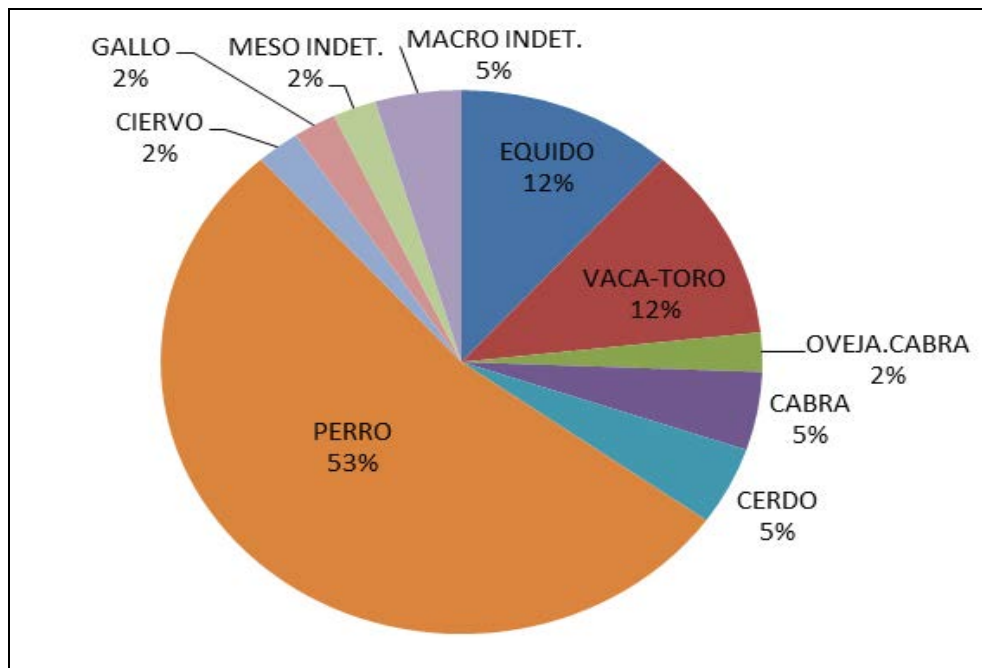


Figura 6.53: Distribución porcentual de las ofrendas de fauna

Los fragmentos de cánidos aparecen a menudo aislados, sin conexión anatómica y como en otros lugares en época romana (Lepetz, 1993) no se trata de ofrendas alimentarias. Sin embargo, el hecho de que no se presente completo, plantea ciertas dudas a la hora de interpretarse si bien es cierto que no fue consumido. A este respecto mencionar el caso de la tumba Nº 249 de un individuo infantil que se acompañaba de un ajuar compuesto por un plato de *sigillata* africana, un biberón además de los restos de canido y équido.

Con respecto a esta última especie mencionada, el équido, está presente en un 12% del total de la muestra y supone un elemento interesante en tanto en cuanto presentan huellas de manipulación (Figura 6.53).

Las gallináceas con apenas un 2% de representatividad llama la atención en tanto en cuanto se trata de un animal con una fuerte carga religiosa y simbólica. Las fuentes documentan la utilización de huevos en las prácticas de purificación bien como ofrenda o como instrumento lustral. La presencia del gallo junto al consumo de huevos al pie de la tumba, forman parte de las ofrendas votivas del mundo itálico adquiriendo un papel fúnebre determinante tanto en el momento del sepelio (*cena funeralis* o *silicernium*) como en la *cena novendialis* que se celebraba a los nueve días (Casas y Arbulo, 1997).

El cerdo que tanto protagonismo adquirió en la serie republicana, sobre todo en las inhumaciones de tumba de cámara y en cremaciones (*bustum*), como materialización del

ritual de la *Porca presentánea* consagrada a la diosa Ceres, en este momento supone el 5% de la muestra estudiada.

L) Gestos funerarios en enterramientos infantiles

Con respecto a los individuos subadultos en las categorías (infantiles I y II) se han documentado un total de 17 individuos para la serie imperial. La distribución por siglos sería de cuatro individuos en el siglo I d.C; cinco individuos para el siglo II d.C y por último, nueve individuos documentados en ocho tumbas para la fase comprendida entre los siglos S.II-III d.C).

Tabla 6.62: Número de individuos infantiles (I y II) y su representatividad en porcentajes.

	Nº	% NMI INF.	%TOTALES (105)
S. I D.C	4	22,22	3,81
S.II D.C	5	27,78	4,76
S.II-III D.C	9	50,00	8,57
TOTALES	18	100,00	15,42

Las tumbas infantiles se agrupaban en la zona donde se encuentran la mayor parte de los enterramientos de época imperial, junto a la actual calle Quart, dando a entender la posibilidad de que se destinara esta zona para tales sepulturas, tal y como ocurre en otras necrópolis (Garnotel y Fabre, 1991). El número de hallazgos (18) no es de gran representatividad pero si invita a considerar la elección de una zona en esta franja meridional para la sepultura de individuos subadultos, concretamente Infantiles I y II (Tabla 6.62).

Los rangos de edad se encuentran entre los recién nacidos con tres casos; infantiles I con 6 casos, y por último, infantiles II con 9 casos.

El tratamiento del cuerpo predeposicional no es homogéneo, las evidencias de mortaja estaban presentes en 10 casos suponiendo el (55,56% de las tumbas infantiles). En cambio, hay una mayor homogeneidad con respecto a los gestos postdeposicionales como la descomposición en medio vacío (14 casos, son 77,78%) y la orientación E-O (cabeza al este) con un 72,22 % de las tumbas infantiles.

Tabla 6.63: Gestos funerarios de los enterramientos infantiles de la serie imperial

	Nº	U.E	EDAD	TIPO	AJUAR	DEPOS.	OR.	MORTAJA	DESC.	PATOLO.
S. I	149	2081	I.I (0-4)	ANFORA	SI	INDET.	...	NO	VACIO	NO
	165	2418	I.I (0-4)	SIMPLE	SI	SUPINO	E-O	NO	VACIO	NO
	175	2454	I.I (0-4)	SIMPLE	NO	SUPINO	O-E	SI	VACIO	NO
	183	3258	I.II (5-9)	SIMPLE	NO	SUPINO	E-O	SI	VACIO	SI
S.II	210	2174	I.II (5-9)	SIMPLE	SI	SUPINO	E-O	SI	VACIO	SI
	222	2409	I.II (5-9)	SIMPLE	NO	SUPINO	E-O	INDET	VACIO	SI
	230	3232	I.II (5-9)	SIMPLE	NO	SUPINO	E-O	SI	VACIO	NO
	232	3250	I.II (5-9)	SIMPLE	SI	SUPINO	E-O	SI	VACIO	SI
	233	3254	I.II (5-9)	SIMPLE	NO	INDET.	E-O	SI	INDET	NO
SS.II-III	241	2187A	I.I (5-9)	SIMPLE	NO	SUPINO	O-E	NO	VACIO	SI
	242	2198	R.N (0-4)	SIMPLE	NO	LD.	E-O	INDET	INDET	INDET
	243	2201	I.I (0-4)	SIMPLE	NO	SUPINO	NE-SO	SI	VACIO	INDET
	244	2226	I.II (10-14)	SIMPLE	NO	SUPINO	O-E	NO	VACIO	SI
	245	2245	I.I (5-9)	SIMPLE	SI	SUPINO	E-O	SI	VACIO	NO
	248	2316	I.II (5-9)	SIMPLE	NO	INDET.	E-O	INDET	INDET	INDET
	249	2293	I.II (5-9)	SIMPLE	SI	SUPINO	E-O	SI	VACIO	SI
	250	2296	I.I (0-4)	SIMPLE	NO	SUPINO	E-O	NO	VACIO	NO
	256	3241	I.I (0-4)	SIMPLE	NO	SUPINO	E-O	SI	COLM.	NO

Con respecto a la deposición de los cuerpos, es similar a la de los adultos. Se repiten las mismas colocaciones, siendo la más común la de decúbito supino, una anécdota la de decúbito lateral y descartada la de decúbito prono. No hay una predilección para el tipo de deposición según los rangos de edad tal y como se ha podido observar en otras necrópolis como la del Valladas donde se observa cierta tendencia por la posición de decúbito lateral para los menos de un año, siendo la posición supina la más practicada (Bonnet, 2009).

No se han hallado vestigios procedentes de los receptáculos funerarios, salvo el caso del ánfora (tumba N° 149), aunque serían como los de los adultos; simples ataúdes de madera de los que apenas quedan restos de los remaches metálicos y clavos de su estructura. La tumba N° 245 contenía en su interior un clavo de pequeñas dimensiones (6,8 x 1,3 cm.), junto a tres tachuelas de hierro cuya interpretación más razonable o lógica para este caso sería que estos elementos metálicos pertenecerían al tipo de receptáculo.

Son cinco las tumbas con materiales de acompañamiento que suponen el 33,33% de las tumbas infantiles de la serie imperial. El tipo de materiales presentes, no difieren en principio de la de los adultos, aunque si suelen acompañarse de materiales de menor tamaño.

Las vajillas presentes en las inhumaciones de bebés, se compone mayoritariamente de vajilla de mesa. En general, las formas con pico vertedor, como el caso de la tumba N° 249 aunque de vidrio, se han considerado como biberones. De hecho, los análisis químicos realizados en los contenidos de algunos de estos recipientes atestiguan la presencia de ácidos grasos de la composición de leches de animal y humana (Wittmann y Bonnet, 2009) (Figura 6.54).

Los individuos neo natales o perinatales, se acompañaban de amuletos destinados a proteger a los niños ante una muerte prematura típica de poblaciones no medicadas: medallones, joyas de adultos colgadas, campanillas, símbolos fálicos, monedas perforadas o en desuso. Ejemplo de estas realidades es la tumba N° 149, que si bien el estado de conservación es muy deficitario, refleja lo que podría ser el típico ajuar de un niño: compuesto por cerámica, una moneda para asegurarse al tránsito a la otra vida y un amuleto de protección (*bullae*).

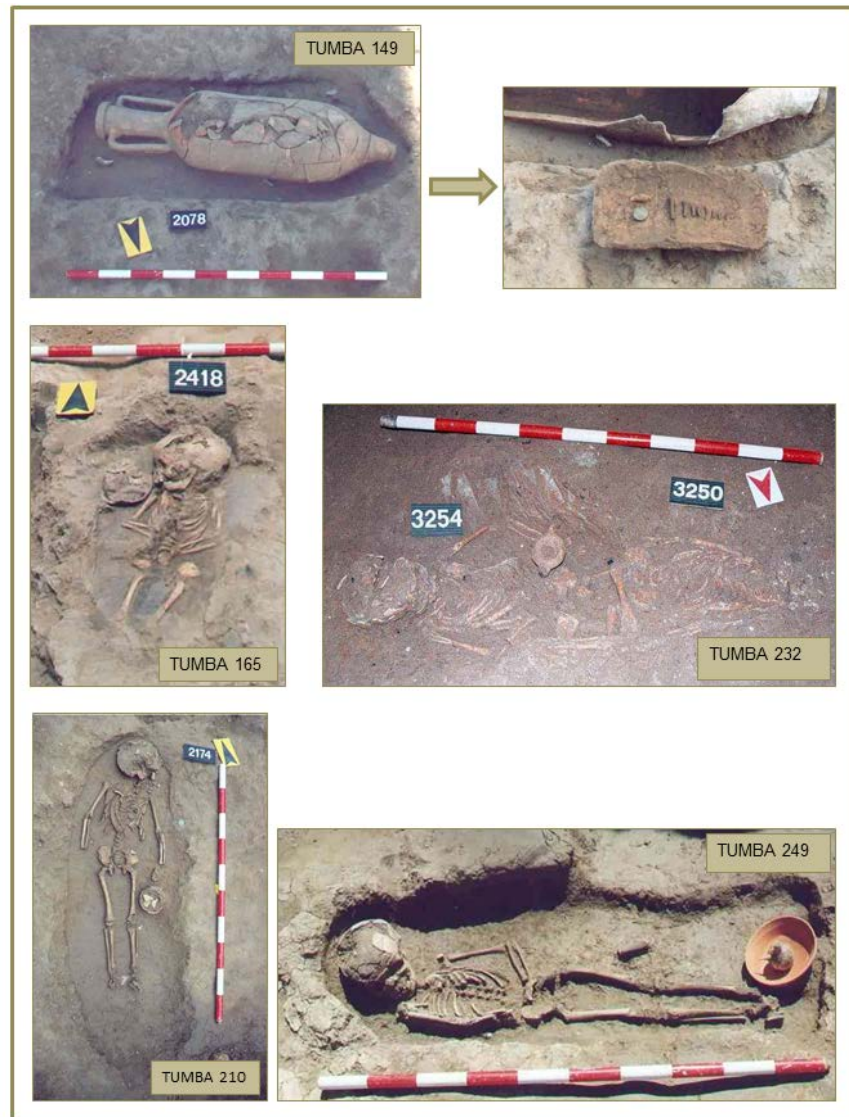


Figura 6.54: Los enterramientos infantiles con ajuar de la serie imperial

Los ritos funerarios de la necrópolis romana de la calle Quart de Valencia (siglos II a.C-III d.C.)

Los materiales se hallaron en todos los casos en el interior de la tumba y junto al esqueleto, en este sentido, los materiales cerámicos, numismáticos, fauna y de índole mágico-religioso se ubicaban bien a la cabecera de la tumba, junto a las extremidades inferiores o bien junto al tórax y extremidades superiores (Figura 6.54 y Tabla 6.64).

Tabla 6.64: Tipo de ofrendas y sus posiciones en el interior de las tumbas

NEF	UE	CERAM.	MONEDA	FAUNA	OTROS	CABEZA	MMSS	TORAX	MMII
149	2081	P. Finas	frustra Ae	canis	bullas				
165	2418	P. Finas							
210	2174	P. Finas	As						
232	3250	Lucerna							
249	2292	plato TSA		canis, equido	biberón				

Los estudios paleopatológicos ofrecen información que bien pueda ayudar a la interpretación de los rituales funerarios practicados para estas tumbas infantiles. En este sentido, cabe señalar los individuos de las tumbas N° 183 y 232 pudieron morir por causas de enfermedades infectocontagiosas como la tuberculosis (Tabla 6.65). Las patologías detectadas en los restos de las tumbas son de tipo carencial, metabólica y nutricional manifestadas por las *cribras orbitarias* y *femoralis* así como de las *pars basilaris*, patologías que si bien en principio no suponen una causa directa de muerte, si producen una estado carencial que debilita el sistema inmunitario.

Tabla 6.65: Las tumbas infantiles de la serie imperial con patologías

NEF	INDIV.	EDAD	AJUAR	DEPOSIC.	OR.	MORTAJA	DESCOMP.	PATOLOGÍA	TIPO
183	3258	I.II (5-9)	NO	SUPINO	E-O	PRESENCIA	VACIO	PRESENCIA	2
210	2174	I.II (5-9)	SI	SUPINO	E-O	PRESENCIA	VACIO	PRESENCIA	5
222	2409	I.II (5-9)	NO	SUPINO	E-O	INDET	VACIO	PRESENCIA	5
232	3250	I.II (5-9)	SI	SUPINO	E-O	PRESENCIA	VACIO	PRESENCIA	2
241	2187 A	I.I (5-9)	NO	SUPINO	O-E	AUSENCIA	VACIO	PRESENCIA	5
244	2226	I.II (10-14)	NO	SUPINO	O-E	AUSENCIA	VACIO	PRESENCIA	5

6.4.1.2 Tumbas de cremación y gestos funerarios

En las fases imperiales (siglos I-III d.C.), la inhumación y cremación compartieron el mismo espacio funerario, así como las piras que apenas se distanciaban unos centímetros de las tumbas (Láminas 5.38 y 5,47).

La casuística crematoria para esta fase, está compuesta por 29 estructuras de cremación (23, *loculi*, 2 *busta*, 3 *ustrina* y una estructura relacionada con éstas últimas pero sin evidencias de rubefacción y que se ha interpretado como una fosa de limpieza de las piras funerarias (Tabla 6.66).

Tabla 6.66: Las cremaciones de la serie imperial

	Nº CASOS	NEF	UE IND.	UE FOSA	TIPO
S-I D-C	1	188	1238	1237	<i>loculus/k</i>
	2	189	1302	1301	<i>loculus/k</i>
	3	190	2038	2039	<i>loculus/k</i>
	4	191	2157	2158	<i>loculus/k</i>
	5	192	2163	2164	<i>loculus/k</i>
	6	193	2216	2217	<i>loculus/k</i>
	7	194	2219	2220	<i>loculus/k</i>
	8	195	2237	2238	<i>loculus/k</i>
	9	196	2345	2346	<i>loculus/k</i>
	10	197	2444	2445	<i>loculus/k</i>
	11	198	2470*	2472	<i>loculus/k</i>
	12	199	3136*	3138	<i>loculus/k</i>
	13	200	3218	3219	<i>loculus/k</i>
	14	201		2457	<i>ustrinum</i>
	15	202		2394	<i>ustrinum</i>
	16	203		2400	<i>basurero</i>
S. II D.C	17	234	2337	2338	<i>loculus/K</i>
	18	235	2347	2348	<i>loculus/K</i>
	19	236	3208	3209	<i>loculus/K</i>
SS.II-III D.C	20	258	2069	2070	<i>loculus/K</i>
	21	259	2073	2074	<i>bustum/J</i>
	22	260	2054	2054 urna	<i>loculus/K</i>
	23	261	2123	2124	<i>loculus/K</i>
	24	262	2128		<i>loculus/K</i>
	25	263	2184	2185	<i>bustum/J</i>
	26	264	2278	2279	<i>loculus/K</i>
	27	265	3221	3222	<i>loculus/K</i>
	28	266	3237	3238	<i>loculus/K</i>
	29	267		3018	<i>ustrinum</i>

Con respecto a la serie republicana el número de cremaciones se ve claramente disminuido. De las 42 tumbas de cremación entre *loculi* y *busta* de las primeras fases de enterramiento, a las 25 cremaciones de época imperial, hay un descenso que responde a la tendente homogeneidad del rito inhumatorio (Tabla 6.55).

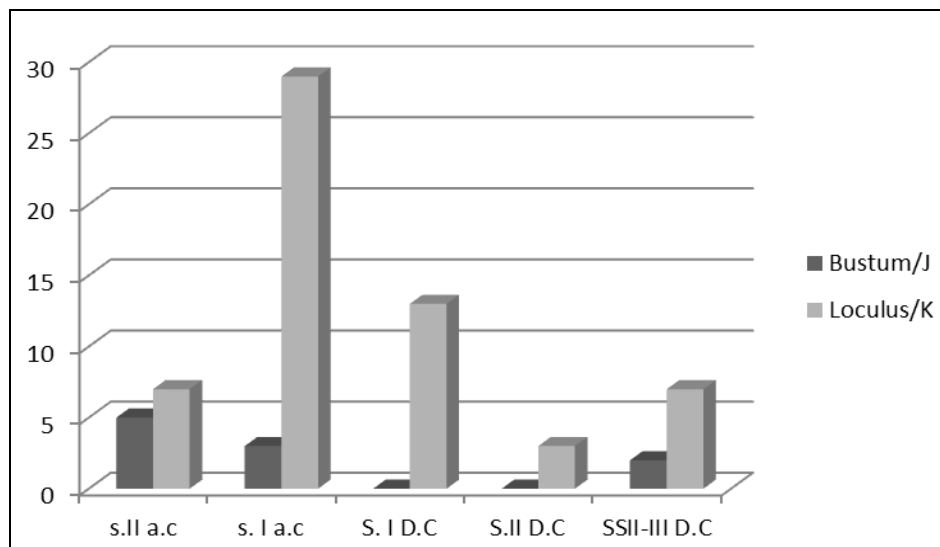


Figura 6.55: Distribución del número de casos a lo largo de la cronología

De todas las estructuras de cremación 16 contenían materiales que en las tumbas se han interpretado como ofrendas de carácter primario y secundario¹⁰, así como materiales resultantes de las últimas combustiones como en los casos de los *ustrina* (Nº 201 y Nº 267), así como los materiales del basurero (Nº203) que son resultado de las limpiezas y aportes tras las combustiones de las piras.

La mayoría de las tumbas son *loculi*, de estructura sencilla caracterizada por ser pequeñas excavaciones en el sustrato funerario con algunos restos óseos quemados, y en ocasiones con ajuar de acompañamiento de carácter secundario (sin quemar). Los *busta* se han documentado en menor número (tan solo dos), con mayor proporción de hueso quemado, en conexión anatómica y con elementos de acompañamiento tan solo en la tumba (Nº 259).

A) Las ofrendas

Las cremaciones que contienen materiales son 13 (12 *loculi* y 1 *bustum*). Con respecto a la fase republicana antigua (S. II a.C.) el número de tumbas con ajuar no discrepa, (13 tumbas para ambas cronologías), pero se observan diferencias con respecto al tipo de ritual practicado. Si en la primera fase el número fue de 7 *loculi*, en la serie imperial es de 12, en cambio el número de *busta* republicanos son 5 frente al *bustum* con algún objeto de acompañamiento.

¹⁰ Recordemos que las ofrendas primarias son aquellas que se depositaban la pira o *ustrinum* antes o durante la cremación (quemadas). Las ofrendas secundarias se colocaban en el lugar de la sepultura después de la cremación y por tanto no aparecían.

Con respecto a la cerámica además de que las formas y tipologías son diferentes de acuerdo con el periodo cronológico y el empleo de nuevos tipos cerámicos, la presencia de materiales cerámicos en el interior de las tumbas es bastante similar salvo que el estado de conservación que es más deficiente en la serie imperial donde abundan los fragmentos de pequeño tamaño (Tabla 6.68).

La presencia de fauna es meramente testimonial durante la cronología imperial, de hecho tan solo un fragmento quemado indeterminado hallado en el *loculus* (Nº189) y un molar *de Bos Taurus* en el *loculus* (Nº264) son los únicos ejemplos presentes (tabla 6.68).

Donde también se observan mayores diferencias es en la presencia de monedas y objetos metálicos como clavos. Con respecto a los primeros, decir que al igual que sucede en las inhumaciones en época imperial, se observa un repunte en la práctica de rituales de iniciación como el Óbolo a Caronte o con carácter protector. Son el resultado de una ofrenda cuya simbología es de índole mágico, prácticas muy extendidas entre las clases más desfavorecidas tal y como ya se apuntó en páginas anteriores.

La presencia de clavos en las cremaciones requiere de una diferenciación entre los clavos hallados como resultado de la cremación de la caja o bien que su presencia fuera resultado de una intención cuya explicación sería más de tipo mágico y simbólico¹¹.

Como elemento de indumentaria se ha interpretado el hallazgo de un conjunto de tachuelas de la tumba (Nº 259), tal vez relacionadas con el calzado, concretamente con las *caligae* romanas, tal y como ya se observó en las cremaciones de la serie republicana.

¹¹ En el capítulo 6.5.2 se hace una aproximación a las posibles interpretaciones que hay sobre este tema.

Tabla 6.68: Tipo de material presente en las cremaciones imperiales

Nº	NEF	CERAMICA	MONED	FAUNA	METALES	OTROS	TIPO	OBSERV.
1	189	T.S.Aret, calic, ung		Indet. quemado	1 clavo		Loc.	MUJER
2	190	Frag. Anf y frag camp A sin quemar					Loc.	Sin datos
3	196	Frag. P.Finas, Frg. TSH	AS			Cuenta collar	Loc.	VARON
4	198	Urna, Olla quemada	AS				Loc.	VARON
5	199	Urna, TSH, Camp A, P.finas					Loc.	Sin datos
6	200				Objeto informe		Loc.	indet.
7	234		indet		1 clavo		Loc.	Sin datos
8	235		AS				Loc.	As
9	259				1 clavo-tach		Bust.	MUJER
10	261				1 clavo		Loc.	Sin datos
11	260	Olpe, urna					Loc.	Infantil/Mujer
12	264			bos t.	Obj. bronce indet.	Botella vidrio	Loc.	Infantil/Mujer
13	266	Olpe, cer. Comun					Loc.	Infantil

B) Aspectos antropológicos

Por secuencia cronológica podemos afirmar que de un total de 13 tumbas de cremación pertenecientes al **siglo I d.C.**, se han estudiado restos antropológicos correspondientes a 8 individuos distribuidos en 7 tumbas con restos óseos humanos, mientras que 6 fueron las tumbas que se documentaron sin restos óseos humanos.

Del total de tumbas 13 han sido *loculi*, dos de ellos, las tumbas (Nº198 y Nº199), con urnas de cremación cerámica (Tabla 6.69).

Tabla 6.69: Tipo de enterramiento y número de restos antropológicos de las cremaciones del siglo I d.C.

NEF	NMI	TUMBA	CON restos	SIN restos	LOCULUS	URNA
188	0	<i>loculus/LL</i>	0	1	1	0
189	1	<i>loculus/LL</i>	1	0	1	0
190	0	<i>loculus/LL</i>	0	1	1	0
191	1	<i>loculus/LL</i>	1	0	1	0
192	1	<i>loculus/LL</i>	1	0	1	0
193	0	<i>loculus/LL</i>	0	1	1	0
194	0	<i>loculus/LL</i>	0	1	1	0
195	2	<i>loculus/LL</i>	1	0	1	0
196	1	<i>loculus/LL</i>	1	0	1	0
197	0	<i>loculus/LL</i>	0	1	1	0
198	1	<i>loculus/LL</i>	1	0	1	1
199		<i>loculus/LL</i>	0	1	1	1
200	1	<i>loculus/LL</i>	1	0	1	0
TOTAL	8		7	6	13	2

Por lo que respecta al material óseo recuperado por lo general es escaso (entre los 9. y los 45,12gr.) salvo en el caso de la tumba (Nº198) cuyo peso total es bastante superior (525,02 gr.) a la del resto. El uso de una urna cerámica tal vez haya facilitado la conservación de los huesos y su integridad (Tabla 6.70).

La combustión media-intensa (entre los 300 y con temperaturas superiores a los 600° C) y ello condiciona una mayor presencia de coloración blanquecina en casi todas las muestras estudiadas. El cambio de coloración, como ya vimos en las cremaciones del periodo anterior, está relacionado con el tipo de combustión que se realizó y los diferentes focos de calor distribuidos por la pira. Por regiones anatómicas se ha constatado que la combustión ha sido de menor gradiente antes aquellas zonas con menor presencia de tejido cortical, y mayor tejido esponjoso, así como de partes blandas.

La recogida de los restos es superficial salvo en el caso de la urna que demuestra una selección de piezas para su inhumación.

El NMI ha sido de un solo individuo salvo en el caso de la tumba (Nº195) del que se recuperaron restos de dos individuos, uno correspondientes a un infantil II (7-12 años) y restos de un adulto de sexo indeterminado.

Figura 6.70: Resultados del estudio antropológico de las cremaciones del siglo I d.C

	Nº 189	Nº191	Nº192	Nº195	Nº196	Nº198	Nº200
S. I D.C	1302	2157	2163-2164	2237	2345	2470	3218
Peso total	9	45,12	19,62	26,38	26,24	525,02	9,07
Combustión	Débil	Intensa	Débil	Intensa	Intensa	Media	Media
Recogida	Superf.	Superf.	Superf.	Superf.	Sup-select.	cuidadosa	Superf.
Color pred	Negro-gris	blanco	marrón-blanco	blanco	blanco	gris-blanco	gris-blanco
Tª media (°C)	300-600	>600	250-600	>600	>600	500-600	500-600
Tipología	<i>loculus</i>	<i>loculus</i>	<i>loculus</i>	<i>loculus</i>	<i>loculus</i>	urna funeraria	<i>loculus</i>
NMI	1	1	1	2	1	1	1
Edad	Adult-indet.	Infantil II-Juvenil	Adult- indet.	Infantil II-adulto	adulto	juvenil	Adult-indet.
Sexo	M	INDETER	INDETER.	INDETER.	V	V	INDETER.

De las 3 tumbas de cremación correspondientes al **S.II d.C**, solo una ha tenido buena conservación y han podido estudiarse sus restos antropológicos correspondientes a un individuo. El tipo de tumba es de *loculus* sin receptáculo funerario (Tabla 6.71).

Tabla 6.71: Tipo de enterramiento y número de restos antropológicos de las cremaciones del siglo II d.C

NEF	NMI	TUMBA	CON restos	SIN restos	LOCULUS	BUSTA	URNA
234	0	<i>loculus/LL</i>	0	1	1	0	0
235	0	<i>loculus/LL</i>	0	1	1	0	0
236	1	<i>loculus/LL</i>	1		1	0	0
TOTAL	1		1	2	3	0	0

Tan solo se han podido estudiar los restos correspondientes a la tumba (Nº 236) que además presenta un deficiente estado de conservación (tan solo 3, 41 gr), pero que a pesar de la escasa muestra se ha podido extraer datos relativos a un individuo infantil I (0-7 años), cuya combustión fue media (entre 500-600°C) y que la recogida fue superficial a juzgar por los restos conservados (Tabla 6.72).

Figura 6.72: Resultados del estudio antropológico de las cremaciones del siglo II d.C

	Nº236
S. II D.C	3208
Peso total	3,41
Combustión	Media
Recogida	Superficial
Color pred	gris-blanco
Tª media °C	500-600°C
Tipología	<i>loculus</i>
NMI	1
Edad	Infantil I
Sexo	INDETERMINADO

De un total de 9 tumbas de cremación pertenecientes a los **siglos II-III d.C.**, se han estudiado restos antropológicos correspondientes a 10 individuos. El tipo de enterramiento es de *loculus*, uno de ellos con urna de cerámica, y dos *busta*. Tan solo una de las tumbas no contenía restos antropológicos para ser estudiados en el laboratorio (Tabla 6.73).

Con respecto a los *loculi*, decir que en la tumba (Nº 260) se hallaron restos antropológicos correspondientes a dos individuos, depositados en el interior de la única urna cineraria documentada para este momento cronológico. El otro enterramiento con dos individuos es el (Nº 264), en este caso los restos estaban directamente depositados en la base del *loculus*.

Tabla 6.73: Tipo de enterramiento y número de restos antropológicos de las cremaciones del siglos II-III d.C

NEF	NMI	TUMBA	CON restos	SIN restos	LOCULUS	BUSTA	URNA
258	1	<i>loculus/LL</i>	1	0	1	0	0
259	1	<i>bustum/L</i>	1	0	0	1	0
260	2	<i>loculus/LL</i>	1	0	1	0	0
261	1	<i>loculus/LL</i>	1	0	1	0	0
262	1	<i>loculus/LL</i>	1	0	1	0	0
263	1	<i>bustum/L</i>	1	0	0	1	0
264	2	<i>loculus/LL</i>	1	0	1	0	0
265	1	<i>loculus/LL</i>	1	0	1	0	0
266	0	<i>loculus/LL</i>	0	1	1	0	0
TOTAL	10		8	1	7	2	0

Los índices ponderales de en este grupo de cremaciones son superiores en comparación con los casos presentados en líneas precedentes; destacan los 1.086,88 gr del *loculus* doble (Nº260).

La combustión es en líneas generales media-intensa (entre los 300°C y con temperaturas superiores a los 600°C) y ello condiciona una mayor presencia de coloración blanquecina en casi todas las muestras estudiadas.

La recogida de los restos es variada, no hay homogeneidad al respecto, siendo más cuidadosa en aquellos cuyo peso ponderal es mayor.

El NMI ha sido de un solo individuo salvo en los *loculi* (Nº260 y Nº264) de los que se recuperaron restos de dos individuos, uno correspondientes a un infantil II (7-12 años) y restos de un adulto de sexo mujer (Tabla 6.74).

Tabla 6.74: Resultados del estudio antropológico de las cremaciones del siglos II-III d.C

	Nº 258	Nº 259	Nº 260	Nº 261	Nº 262	Nº 263	Nº 264	Nº266
S. II-III D.C	2069	2073	2054	2123	2128	2184	2278	3237-3238
Peso total	748,06	976,42	1086,88	154,54	39,46	781,18	278,59	58,11
Combustión	Intensa	Media	Intensa	Intensa	Débil	Intensa	Intensa	Intensa
Recogida	Media		Media	Superf.	Superf.	Superf.	cuidadosa	Superf.
Color pred	blanco	Gris-blanco	Gris-blanco	gris-blanco	marrón	blanco	gris-blanco	blanco
Tª media °C	>600	500-600	500-600	500-600	250-300	>600	500-600	>600
Tipología	<i>loculus</i>	<i>bustum</i>	<i>loculus</i>	<i>loculus</i>	urna	<i>loculus</i>	<i>loculus</i>	<i>loculus</i>
NMI	1	1	2	1	1	1	2	1
Edad	20-28	20-40	Infant II-Adult. Joven	Juvenil	20-40	Juvenil	Inf. II -Adult. joven	Juvenil/-Adult.
Sexo	M	M	M	Indeterminado	M	Indeterminado	M	M

Con respecto a la presencia de niños en las cremaciones debemos hacer la valoración que todos habían superado el año de vida. En el siglo I d.C. los autores clásicos, entre ellos Plinio El Viejo (*Hist. Nat VII*, 16, 70), precisaba que la cremación de un niño no se puede realizar antes de que los dientes hayan erupcionado. La erupción dentaria se

produce en torno a los seis meses, por tanto la inhumación de estos menores no es una elección sino más bien responden al cumplimiento de la ley (Bonnet, 2009)¹².

El hecho de hallar en un mismo *loculus* los restos de un infantil y de una mujer, indican en primer lugar que la muerte de ambos se produjo en un espacio temporal reducido ya que si no, no se hubiera producido la cremación simultánea, además de que con toda probabilidad se trate de individuos unidos por parentesco, un lazo familiar.

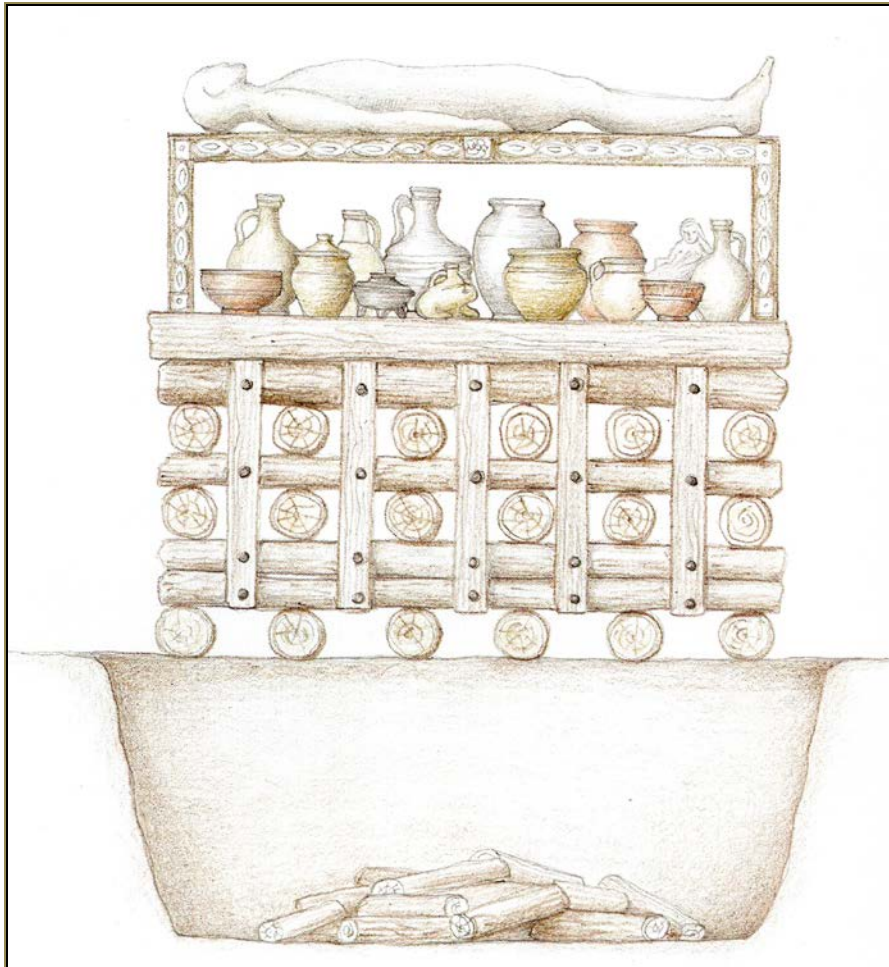


Figura 6.56.: Restitución hipotética de una pira funeraria. Tomado de Marie-Noëlle Baudrand (Rites funéraires à Lugdunum, 2009)

¹² Las excavaciones en Puy-de-Dôme, en el municipio de Beaumont, confirman los textos de Plinio, (*Hist. Nat VII*, 16, 70). En esta necrópolis se reagrupa una treintena de inhumaciones de bebés muertos en torno a los 6 meses de vida. Siendo la inhumación la práctica general durante el primer año de vida. *A priori*, el caso de la necrópolis de la calle Quart, el número no es comparable pero tal vez, el hecho de que haya una tendencia a depositar los restos cadavéricos de bebés e infantiles perinatales en la misma zona junto a los individuos subadultos de más edad.

C) Aspectos antracológicos

Los carbones recuperados para el análisis de este periodo se han seleccionado de acuerdo con una estrategia de muestreo teniendo en cuenta la calidad de conservación de los restos antracológicos (Tabla 6.75).

Tabla 6.75: Resultados antracológicos de las cremaciones primarias

	Olea		Pistacia		Punica		Quercus		Indet.	
UE	N	%	N	%	N	%	N	%	N	%
1302	3	100								
2053-2054							9	100		
2069	1	20	1	20			1	20	2	40
2123	5	100								
3208	63	56,2			49	43,7				

En los *loculi* los carbones más abundantes pertenecen a maderas de *olea europea*, carrasca i/o coscoja. Son especies empleadas en la necrópolis como material de combustión y sin grandes variaciones con respecto al periodo republicano.

En el *bustum* analizado (Nº 259), se han recuperado un total de 8 fragmentos de carbón todos ellos pertenecientes a *Olea europaea*.

6.4.1.2.1 Los *Ustrina*

Las piras asociadas a esta fase funeraria son tres (Nº 201, 203 y 267), así como una estructura relacionada con una fosa de limpieza de las acumulaciones de carbones en las piras (Nº203). Presentan unas características similares de tamaño y estado de conservación, con dimensiones aproximadas entre 1'50 y 2'20 m de longitud, 1'07 y 0'90 m de ancho, con una profundidad media conservada de 0'19 m.

Al igual que las estructuras del siglo II y I a.C, estas fosas estaban construidas directamente sobre los estratos de tierra y presentaban una profundidad escasa por la superposición de estratos aunque sus paredes rubefactas por la acción constante al fuego, denotaban su uso como pira. Los *ustrina*, (Nº 201 y 202), estaban próximos entre sí, en la zona más meridional de la cata arqueológica. La tercera pira (Nº 267), estaba en el mismo sector de la necrópolis, pero más desplazada hacia el Este, al igual que la fosa basurero (Nº203).

Al igual que se documentó en las piras de los periodos anteriores, los materiales recuperados son de carácter ritual, restos de las ofrendas y materiales antropológicos que de forma intencionada se dejan como amortización de la estructura tras los sucesivos usos funerarios. Las cerámicas, estaban fragmentadas y quemadas y sus características corresponden a los hallados en el interior de los *loculi*.

Los materiales numismáticos hallados en los *ustrina* consideramos, puedan corresponder a la ofrenda monetar que portaba el individuo desde los ritos pre-

deposicionales (Tabla 6.76). Tras la ceremonia de la cremación, en el momento de recoger las muestras óseas y de ajuares de tipo secundario, quedaron probablemente de manera accidental las monedas tras la combustión entre los restos de leña y carbones sin depositarlos en el *loculus* o urna junto con las otras ofrendas.

Tabla 6.76: Principales características de las piras y basurero

NEF	UE	TIPO	M. cerámicos	Monedas	metales	Otros
201	2457	<i>ustrinum</i>		Ae Tiberio	1 clavo	
202	2394	<i>ustrinum</i>				
203	2400	basurero		Ae Domiciano	2 clavos	Pasta vítrea
267	3018	<i>ustrinum</i>	TSA, TSH, Cer.comun			

En el *ustrinum* (Nº 267) se recuperaron los restos antropológicos de las últimas combustiones. Los restos óseos analizados aportaron información sobre la presencia de dos individuos correspondientes a una mujer adulta joven (20-40 años), junto a los restos de un infantil II. Las características antropológicas son idénticas a las recuperadas y analizadas en la cremación (Nº264) cuyos estudios antropológicos concluyeron que se trataba de dos individuos (mujer e infantil II). Con estos datos contemplamos la posibilidad de que este *ustrinum* se amortizara con la cremación (Nº 264), cuyas relaciones de parentesco pueden ser más que razonables y que tras la recogida, no completa, de los restos esqueletizados y carbonizados, quedaran en la pira constituyendo la última cremación. Además ambas estructuras se encuentran a escasos 4 metros de distancia (Lámina 5.51).

Las especies vegetales no debieron diferir a las empleadas en los *ustrina* del periodo republicano. Son especies de alta calidad de combustión y de gran aporte calorífico (*Arbustus unedo*, *Corylus*, *Olea europea*, *Pinus halepensis*, *Pistacia lentiscus*, *Quercus perennifolio*). Estas especies favorecen la cremación, cuya dinámica ofrece los cambios colorimétricos que el hueso incinerado experimenta (Figura 6.57). Esta tarea exige por un lado leña de alta combustión que alimenta en un primer momento la llama (como es el caso de *Pinus pinaster*, *Pinus halepensis*), debido a su alta concentración de resina, con especies de combustión lenta que contribuye al mantenimiento de una temperatura constante como es el caso de *Quercus ilex-coccifera*, *Olea europaea*, *Quercus caducifolio* y de *Arbutus unedo*. Las leguminosas tipo aliaga, se utilizarían con el fin de facilitar la combustión inicial.

Transcurrido un tiempo que podía alcanzar las tres horas o más (Blaizot, 2009) (dependiendo si se trata de un cuerpo un adulto y robusto o no). Los restos quedaban mayoritariamente reducidos a leños chamuscados y restos óseos esqueletizados que presentarían un gradiente colorimétrico variable dependiendo si la intensidad del fuego fue más o menos homogénea en la pira (Polo y García-Prósper, 2004).

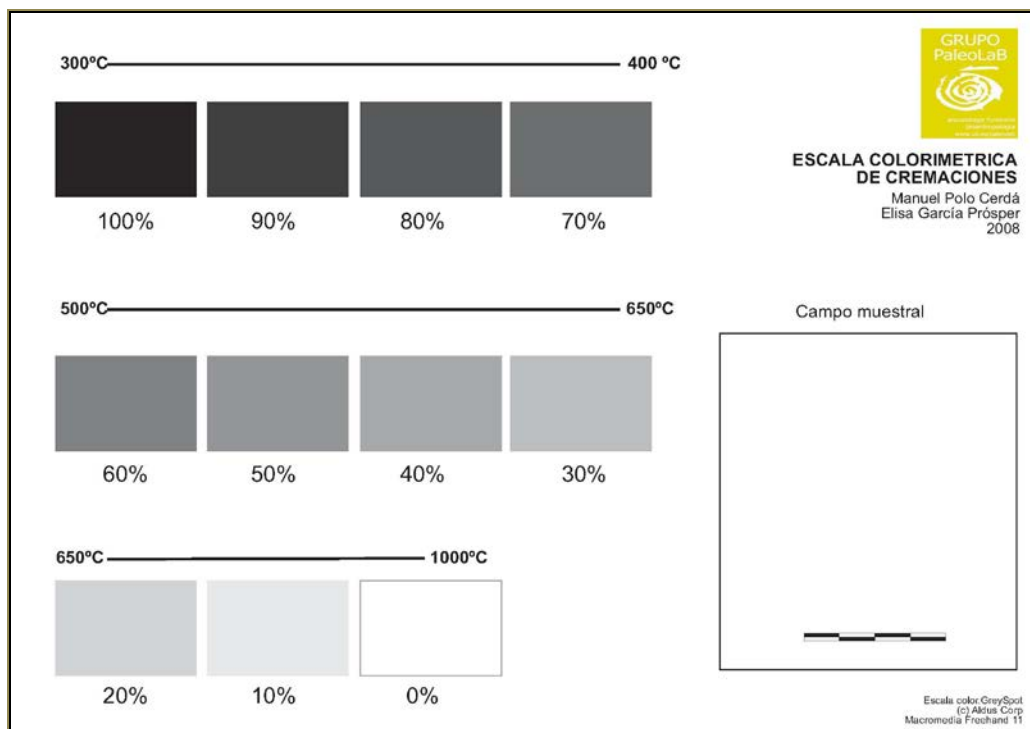


Figura 6.57: Escala colorimétrica de las cremaciones elaborada para el estudio de la necrópolis de la calle Quart. El tiempo entre el color más negruzco al más blanquecino se estima entre 1,30 y 3.30.

Los restos hallados en los *loculi* (en gran medida de escasa representación esquelética), están condicionados a los procesos de alteración que sufren en la pira funeraria. A continuación exponemos de forma breve y esquemática las alteraciones sufridas por regiones anatómicas según los criterios recogidos en la tesis doctoral de Sandrine Lenorzer (2006).

A lo largo del proceso de la cremación y con un aporte de fuego constante y abundante:

-El cráneo se abriría a partir de las suturas craneales y del díploe externo estallarían mostrando los huesos de la base del cráneo. Para este proceso la temperatura variaría entre los 204 y los 871°C (Bohnert *et al.* 1997).

- El tronco y vértebras se deforman bien poco. Las vértebras se fracturan a nivel del arco, carillas articulares y apófisis espinosa. Las costillas se fragmentan dejando visible la parte trabecular (interior). El esternón generalmente se conserva mal (apenas hay restos identificables como tal en las cremaciones estudiadas).

- Los huesos largos (extremidades superiores e inferiores), se fracturan frecuentemente a nivel diafisario quedando separados de los extremos epifisarios.

Las estructuras esponjosas como la del húmero, suelen quedar libres, sin apenas restos del tejido cortical quedando expuestos como tejido esponjoso para su clasificación.

Los ritos funerarios de la necrópolis romana de la calle Quart de Valencia (siglos II a.C-III d.C.)

- Los metacarpianos, metatarsianos, y las falanges se comportan de la misma forma que los huesos largos ya que su estructura es similar aunque de menor tamaño. Las falanges más distales apenas sufren cambios estructurales.
- Los huesos del carpo y tarso y otros de menor tamaño, apenas se deforman pero si sufren fracturas.
- Los coxales, escápula (huesos planos), junto con el acetábulo, la tuberosidad isquiática pueden fragmentarse aunque son fácilmente identificables.

Tras la cremación, los restos se escogían de forma más o menos cuidada para finalmente inhumarlos en cremaciones secundarias. Esta selección necesariamente dejaba tras de sí una acumulación de “residuos” óseos que debían ser retirados tras un número incierto de cremaciones. De ahí la necesidad de estructuras como la del basurero que recogía numerosos fragmentos no solo óseos sino también de materiales inorgánicos.

La imagen que se nos presenta para este periodo imperial con inhumaciones y cremaciones a escasos centímetros de distancia entre unas y otras, una superposición de tumbas hasta en cuatro niveles en una extensión de unos 5 metros de anchura, además del uso hasta los últimos momentos de piras funerarias próximas entre sí y a las tumbas, es cuanto menos agobiante, y no es de extrañar que los usos requirieran de nuevos espacios funerarios.

La construcción de una calzada a finales del siglo III o inicios del IV d.C. amortiza este lugar y deja de utilizarse como *locus religiosus* convirtiéndose este lado del *decumanus* como un lugar de paso a las afueras del *pomerium*.

A partir de estos momentos ya no hubo más enterramientos en la antigua necrópolis fundacional de *Valentia*.

6.5 Otros aspectos rituales

A lo largo de esta tesis hemos descrito y discutido aquellos gestos funerarios por cronología y tipo de ritual practicado. Sin embargo, hemos creído conveniente hacer cierta diferenciación con otros aspectos de la necrópolis como los enterramientos en decúbito prono que son ejemplo de un modo de enterramiento peculiar a nuestro entender y que se han documentado tanto en el periodo republicano como en el imperial. También se incluye el caso del enterramiento de un posible esclavo o cautivo, único ejemplo en *Valentia*.

En segundo lugar, se presenta un estudio sobre las características y la presencia de clavos en las tumbas de inhumación y cremación, y las posibles interpretaciones al respecto.

Sodalicium uernarum colentes Iside (m)
CIL II/14,6

6.5.1 Los enterramientos en decúbito prono y el caso de un posible esclavo

A lo largo de toda la cronología se ha documentado un total de 15 enterramientos cuyos ocupantes fueron enterrados en deposición de decúbito prono (ventral) y un enterramiento (Nº184), que si bien no estaba enterrado en esa posición, supone un ejemplar a discutir dado que es el único ejemplo de esqueleto atribuible a un posible esclavo en *Valentia* de época romana¹.

Los casos presentados estaban enterrados en tumbas simples tipo-A, excavadas en los estratos naturales y antrópicos junto a la calle Quart.

Los 14 casos suponen el 26,60% del total de esqueletos analizados en la necrópolis (190) (Láminas 5.44, 5.45 y 5.46). La mayoría estaban orientados E-O suponiendo el (1,26%) de las orientaciones de este grupo de enterramientos, seguidas en menor número las escogidas N-S y S-N con dos casos (0,28%); las orientaciones NO-SE y SO-SE, con tan solo 1 caso suponiendo el (0,14%) de los esqueletos en esta posición.

A) Gestos funerarios

Con respecto a los resultados obtenidos con la **determinación sexual** cabe señalar que hay paridad en cuanto a la distribución (7 varones y 7 mujeres), y los rangos de edad oscilan entre adultos jóvenes (20-40 años) para los 14 casos siendo tan solo uno de edad inferior (17-21 años) que se englobaría en edad juvenil (Tabla 6.77).

¹ Sobre esta temática ya se publicaron varios trabajos (Polo y García-Prósper, 2002; García-Prósper y Polo, 2003; García-Prósper, López y Polo, 2009), que han supuesto un punto de partida para investigaciones posteriores de otros autores en *Hispania* y también de los primeros trabajos publicados en Europa (Vaquerizo, 2011a y b, 2012; Alfayé, 2009, 2010; Milella *et. al.*, 2015).

La presencia de **mortaja** se detectó en cuatro casos (Nº 62, 145, 173, 227) y las regiones anatómicas afectadas eran: los hombros en cuatro ocasiones, las rodillas en un caso, a nivel de pies en dos casos y uno a nivel de tobillos. En el resto de esqueletos enterrados en decúbito prono no se observaron tales evidencias.

La **descomposición** de los cuerpos se hizo en medio colmatado salvo en el caso de fuerte afectación tafonómica cuya descomposición no quedó lo suficientemente definida (Nº166).

Tabla 6.77: Principales características de los enterramientos en decúbito prono

(5) S. II A.C	NMI	NEF	INDIV.	tipo	OR.	EDAD	MORTAJA	DESCOMP.
	1	19	1.288	<i>ustrinum</i> /F	SO-NE	17-21	0	colmatado
	2	26	1.423	simple/A	S-N	20-25	0	colmatado
	3	44	2.306	simple/A	E-O	30-35	0	colmatado
	4	62	3.086	simple/A	N-S	20-40	2	colmatado
	5	69	3.163	simple/A	E-O	20-30	0	colmatado
(8) S. I D.C	6	145	1.412	simple/A	S-N	30-35	2,7	colmatado
	7	163	2.415	simple/A	E-O	25-35	5	colmatado
	8	164	2.412	simple/A	N-S	25-30	0	colmatado
	9	166	2421A	simple/A	E-O	20-40	0	¿?
	10	168	2.430	simple/A	E-O	25-30	0	colmatado
	11	173	2.447	simple/A	E-O	21-29	2,5,6	colmatado
	12	174	2.451	simple/A	E-O	20-25	0	colmatado
	13	178	2481 A	simple/A	E-O	20-40	2	colmatado
(1) S. II D.C	14	227	2396	simple/A	NO-SE	20-40	2,7	colmatado

Las **posiciones** de brazos resultaron ser bastante homogéneas predominando la colocación de ambas extremidades estiradas junto al cuerpo (código 1), e hiperflexión de brazos en ambos sexos con un total de tres casos coincidentes para ambos sexos (código 2), mientras que la posición de un brazo estirado y otro flexionado ha sido solo para un caso varón (código 6) (Figura 6.58).

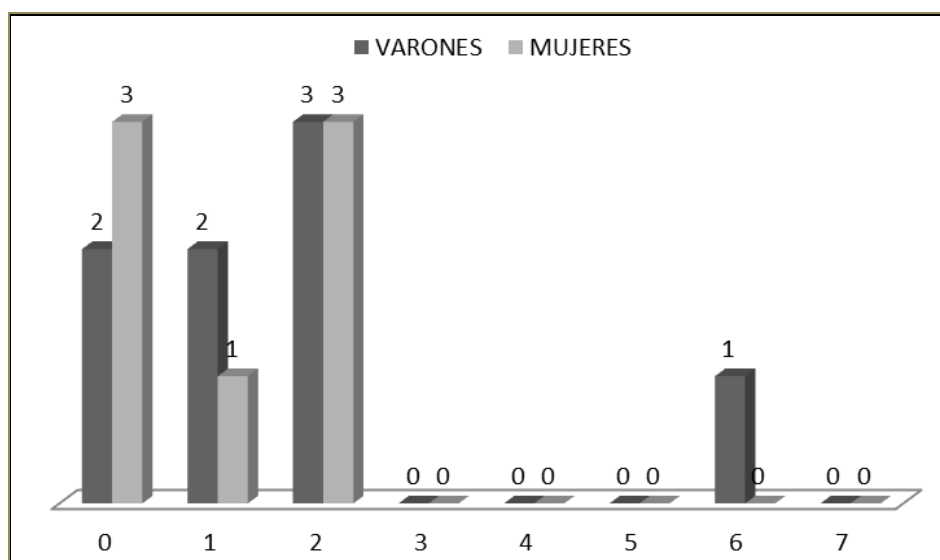


Figura 6.58: Distribución de las principales posiciones de extremidades superiores entre varones y mujeres. Sobre cada columna se representa la frecuencia para cada tipo de posición.

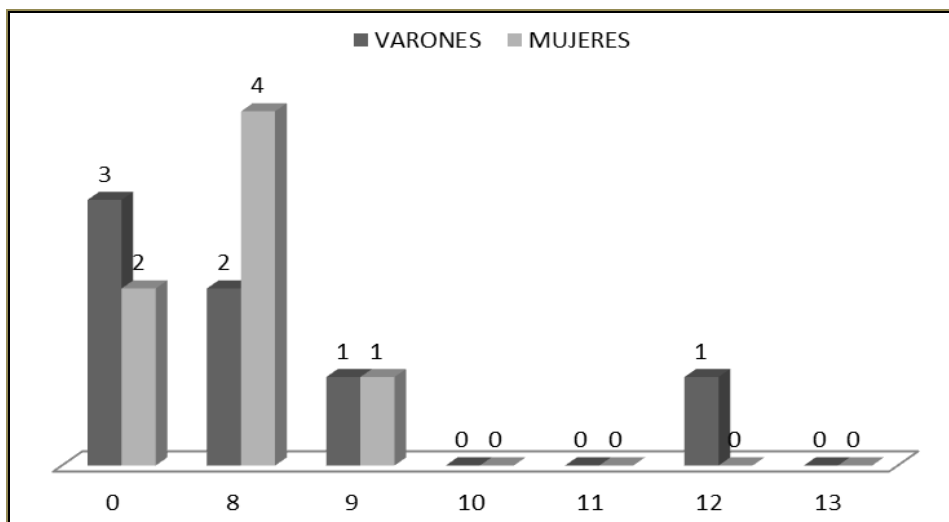


Figura 6.59: Distribución de las principales posiciones de extremidades inferiores. Sobre cada columna se representa la frecuencia para cada tipo de posición.

Con respecto a la **posición** de piernas hay coincidencias en la colocación de ambas extremidades. La presencia de las piernas estiradas y paralelas entre sí (código 8) y la posición con ambas extremidades estiradas y separadas, se da en dos casos (código 9) son las más repetidas en ambos sexos. En cambio, la posición de una pierna estirada y otra flexionada ha sido solo para un caso varón (código 12) (Figura 6.59).

En resumen podríamos decir que las posiciones más empleadas en este tipo de enterramiento observables en ambos sexos, es la de brazos estirados a lo largo del cuerpo, o bien hiperflexionados y cruzados, en combinación con piernas estiradas y juntas, o bien separadas entre sí. En principio, y aparentemente se trata de posiciones convencionales, si las comparamos con las adoptadas por los individuos de las tumbas simples, tipo-A. Aunque las posiciones que describen una hiperflexión de brazos transmiten poco cuidado, dando la sensación de haber sido arrojado el individuo a la fosa adoptando una postura forzada de brazos y también de cabeza (Figura 6.60)



Figura 6.60: El esqueleto UE 2412-NEF 164 presentaba una posición forzada de miembro superior

Con respecto a si estas tumbas tenían **ajuar** y de qué tipo, podemos afirmar que algunos enterramientos estaban acompañados por materiales de factura muy austera, depositados con una intencionalidad clara de acompañamiento y simbología ritual (Tabla 6.78).

Tabla 6.78: Los elementos de ajuar hallados en las tumbas con individuos en posición

NEF	INDIV.	CERAMICA		FAUNA		METAL	
19	1.288						
26	1.423	Anfora, ibérica, romana	Junto a la cabeza				
44	2.306	Cerámica ibérica	Junto tórax				
62	3.086						
69	3.163						
145	1.412						
163	2.415					2 clavos	relleno
164	2.412			<i>Canis, sus dom., capra</i>	Junto esqueleto	1 clavo	relleno
166	2421A	Afric, olpe, lucerna	A los pies	<i>canis</i>	Relleno		
168	2.430					2 clavos	cabeza y brazo
173	2.447			<i>Equus asinus, canis</i>	Relleno		
174	2.451						
178	2481 A						
227	2396						

Las tumbas que tienen algún elemento de ajuar cerámico son la N° 26, 44 y la 166. Todos estos objetos se hallaron o bien junto al esqueleto (N° 44 y 166) o sobre el mismo, como en la tumba N° 26 cuya pátera de cerámica pintada ibérica estaba sobre el cráneo del individuo (UE 1423) (Figura 6.61). La razón puede ser de varios tipos: una primera

interpretación puede ser aquella que hipotetiza sobre la deposición del ajuar sobre una superficie horizontal efímera (como una tabla de madera fina), que con el tiempo, y la descomposición acabó desapareciendo, provocando la caída de los materiales sobre el esqueleto. Un ejemplo muy ilustrativo de esta primera interpretación la encontramos en la sepultura N° 2037 de Malbose, Montpellier (Hérault) (Blaizot, 2009), donde hay una separación entre el receptáculo que en este caso sí lo hay, y la zona destinada al ajuar funerario.

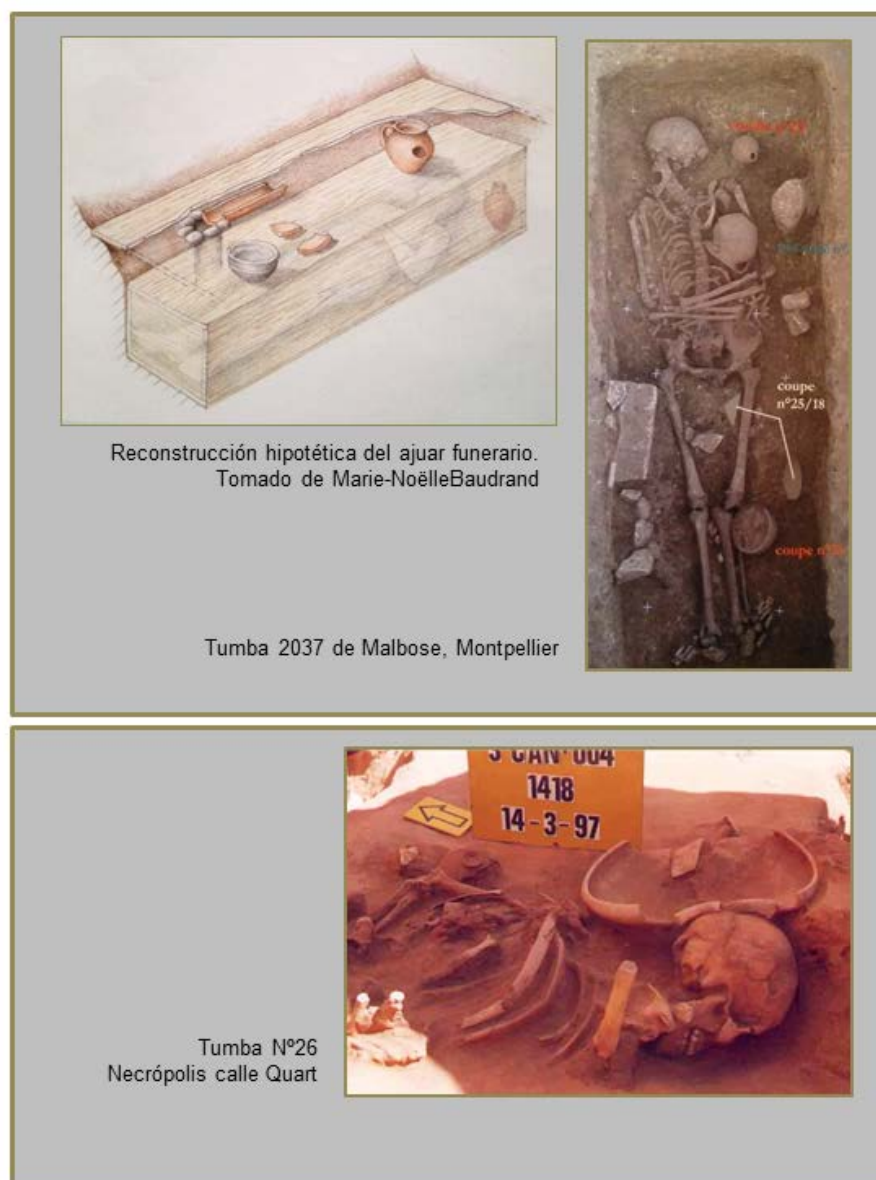


Figura 6.61: Interpretación de depósito funerario de la tumba N°26

Independientemente del tipo de descomposición de la tumba, ya sea aeróbico como en colmatado, esta posibilidad pudo haber sido lógica tanto para esta tumba como para otras de la necrópolis.

La otra interpretación que hemos valorado es que el hecho de hallar la patera sobre la cabeza responda a una actitud intencionada y que con el transcurso del tiempo y como consecuencia de los procesos putrefactivos, la pieza se haya roto. Es posible que esta segunda interpretación tenga más relación con la posición prono o ventral, y con un *funus* más rápido, menos ceremonioso.

En las tumbas (Nº163, 166 y 173), los restos de fauna son puramente anecdóticos ya que se recuperaron durante la excavación del relleno de la tumba. Estos ejemplos de fauna estarían dispersos en el nivel funerario, y se introducirían en la fosa en el momento de excavarla. Se trata de tumbas construidas en sedimento de tipo antrópico, rico en fragmentos cerámicos dispersos fauna en estado de conservación parcial, etc. Estos sustratos son los que nivelaron el talud meridional de la necrópolis y es donde se enterraron la mayoría de estos individuos en posición ventral.

Otro tipo de material hallado en las tumbas son los clavos recuperados en las tumbas (Nº 63, 164, 168). Se hallaron en número de 1 o 2 por tumba, y todos de reducidas dimensiones (entre los 4,5 y 6 cm de longitud). En los tres casos la descomposición del cuerpo se hizo en medio colmatado por lo que su presencia hace sospechar una intencionalidad. En la tumba (Nº 168), se hallaron dos clavos uno junto a la cabeza, y otro junto al brazo derecho, de 5 cm. de longitud cada uno. Este ejemplo supone un caso más de los llamados “sepulturas con clavos” (*nailed burial*) que fundamenta Silvia Alfayé (2009).

Estos objetos, cuyo estudio global se presenta en el siguiente capítulo, puede ser interpretado como un objeto ritual, profiláctico (Cuq, 1896), de protección ante los profanadores de las tumbas (Vaquerizo, 2011), y también para asegurarse de que queda inmovilizado el cuerpo del difunto en su lugar de enterramiento (Alfayé, 2009). A este respecto las sepulturas denominadas “anómalas” abundan en gran parte de la bibliografía de las últimas décadas, a parte de nuestros estudios, y que abundan en estas líneas interpretativas sobre la presencia de clavos como “fijación” del difunto en su nueva condición y su explicación en enterramientos en decúbito prono (Costantini, 2013; Cornelio *et al.* 2010; Ortalli, 2010).

En definitiva, el objetivo final es interpretar, o al menos, intentar comprender la naturaleza de este tipo de enterramiento. Algunos autores atribuyen causas de tipo ritual, ceremonial o deliberado, de la misma forma que hay quienes no descartan la idea de irreverencia, negligencia o ausencia del enterrador (Mcwhirr *et al.* 1982).

Las exequias fúnebres y el posterior enterramiento eran ceremonias costosas que las gentes de extracción baja no podían permitirse. Como ya sabemos, a finales de la República y sobre todo a partir del S. II d.C., surgieron por todo el Imperio numerosas asociaciones privadas encargadas de proporcionar a sus miembros, exequias adecuadas y sepulturas decentes. Los preparativos para el funeral, por tanto, eran

confiados a empresas profesionales de pompas fúnebres, *libitinarii*, con empleados encargados de preparar los cuerpos de los más ricos, *pollinctores*, y de los más pobres, *vespilliones*, para ser conducidos posteriormente a la cremación o bien a la inhumación (Cuq, 1896). Estas asociaciones, eran los *collegia funeraticia*, y podían tener desde unas decenas hasta varias centenas de asociados, entre ellos individuos libres de condición social baja, libertos, mujeres y esclavos. Eran congregaciones que se encargaban de celebrar un funeral digno a estas personas fallecidas.

Otras interpretaciones que se postulan para explicar la posición de decúbito prono, son las relativas al origen ancestral de determinados colectivos presentes en las sociedades de época romana. Personas de otras etnias, de procedencia lejana con otras costumbres que deciden enterrarse de esta forma como evocación de su cultura ancestral, lejos de sus lugares de origen (Vaquerizo, 2011). Un ejemplo de esta interpretación pudieran ser los enterramientos en decúbito prono de la Pza. Madrid de Barcelona. Sinceramente lo desconocemos, pero esta necrópolis se caracteriza por tumbas tipo “*cupae*” que sus excavadores atribuyen a gentes del norte de África (Beltrán de Heredia, 2007). En el caso de la necrópolis de la calle Quart, no podemos afirmar que los enterrados en esta posición pudieran tener un origen ancestral dado que los estudios antropológicos no han aportado evidencias a este respecto (el estudio de conservación de los cráneos es muy deficitario para poder hacer un estudio completo en este sentido).

Lo que sí que está claro es que a partir del siglo II d.C. se da una evolución del ritual hacia una homogeneidad en la deposición de decúbito supino. Este hecho ha sido constatado también en algunas necrópolis de Francia, concretamente en *Lugdunum*, donde la posición en decúbito prono es particularmente frecuente en los primeros siglos de nuestra Era (Bonnet, 2009). ¿Tal vez la organización de asociaciones como los *collegia* contribuyera a sistematizar y homogeneizar el *funus* y por eso a partir del siglo II las posiciones de los individuos se normalizaron? Al menos en el caso que nos ocupa, se da esta tendencia al igual que ocurre en otras necrópolis del mismo momento.

La coincidencia que existe entre individuos enterrados en posición de *decúbito prono* con evidentes marcas de violencia y enfermedades infectocontagiosas, no es un hecho aislado y ya dimos constancia de estas hipótesis en anteriores trabajos publicados (Polo y García-Prósper, 2002; García-Prósper y Polo, 2003). Los esqueletos de las tumbas N° 26, 145, 163, 173, 227 presentan evidencias osteológicas compatibles con TBC (tuberculosis), Mal de Pott y brucelosis, todas ellas enfermedades altamente contagiosas, y que en sus fases más avanzadas pueden ser muy desagradables dado el deterioro físico que ocasionan.

La presencia de lesiones compatibles con tuberculosis en la necrópolis fundacional de *Valentia*, supone un hecho de gran importancia ya que, con toda probabilidad, sean los primeros casos de TBC de época romana documentados en *Hispania*. Hasta el

momento, los casos más antiguos hallados en España son el Mal de Pott procedente de la Cueva de la Vaquera (Torreiglesias-Segovia), cuya cronología sitúa el enterramiento durante el Neolítico-Edad del Bronce (Santonja, 1975, citado en AEP, 2005), así como los casos documentados en la Cova dels Blaus de Castellón (Edad del Bronce) (Polo y Casabó, 2002). A estos habría que añadir desde el punto de vista cronológico los ejemplos procedentes de la necrópolis romana de la calle Quart de Valencia.

En necrópolis inglesas como la de Cirencester (Mcwhir *et al.* 1982) o Kempston (Boylston *et al.*, 2000), se han hallado individuos con signos violentos y enfermedades, como el posible carcinoma bronquial del enterramiento nº 2 de la necrópolis romana de Cassington, o el caso de espina bífida parcial de la tumba nº 172 del cementerio romano de Derby Racecourse (Philpott, 1991). En un trabajo muy reciente, sobre esta casuística en el Oeste de Europa (Milella *et al.* 2015), se plantean las diferencias entre los enterramientos en decúbito prono de Inglaterra (266 casos) frente a los del continente (109 casos), entre los que están los casos de la calle Quart de Valencia. Los autores exponen que una de las mayores diferencias se encuentra en los cuerpos decapitados (sean o no prono) ya que de 266 casos de Gran Bretaña, 156 presentaban el cráneo separado frente a los 3 casos documentados en Europa continental. En la necrópolis, no se ha hallado ningún esqueleto con signos de decapitación, de hecho, este tipo de práctica se está atribuyendo a posibles actitudes grupales cerradas y que poco tendrían que ver con nuestra casuística. Estos mismos autores defienden que las posiciones en decúbito prono son evidencia de un estado denigrante, incluso más que la de aquellos decapitados.

En la literatura greco-romana que sabemos de las referencias a la aparición de espíritus de los asesinados, que interfieren en el mundo de los vivos para aterrorizar a sus asesinos o para exigir su detención. Así, por ejemplo, *Liv., Ab urb.*, 3. 58. 11, cuenta que el espíritu de Virginia asesinado fue yendo de casa en casa hasta que se las arregló para obtener justicia. *Suet., Nero*, dice que Nerón, aterrado por las apariciones de su madre Agripina -muerta en el año 59 d.C. por su orden-, y probablemente también debido a su propio remordimiento, contrató magos para realizar rituales de magia para poner fin a tal presencia incómoda e inquietante, aunque no detalla la forma que adoptaron. También *Suet., Calig.*, 59. 2-3, nos informa de que el espíritu de este emperador asesinado apareció alrededor de los *Horti Lamiani* hasta que su hermana desenterrando el cadáver incinerado realiza el funeral adecuado (Alfayé, 2009). La necesidad de efectuar un entierro digno era una obligación para limpiar a la familia y para la paz de la propia alma del difunto.

En necrópolis de Grecia, Turquía, Hungría y Estados Unidos, de cronologías muy diversas, otros autores han asociado estrechamente la presencia de este tipo de inhumaciones a individuos cuyo estudio paleopatológico ha arrojado claras evidencias de enfermedades infectocontagiosas como la tuberculosis, otras enfermedades respiratorias

(neumoconiosis, ántrax, etc...), rabia, porfiria, etc... siendo interpretadas estas interacciones entre enterramientos en *decubito prono versus* enfermedad contagiosa, como un reflejo social del miedo ante este tipo de patologías que causaban una muerte más o menos rápida y desagradable (Tsaliki, 2001; Kelso, 2002).

Salvando las distancias cronológicas y geográficas anteriores, y apoyando nuestra hipótesis de repulsa ante ciertas enfermedades, valga el ejemplo de la inscripción sobre la lápida de un posible centurión del ejército, *Titus Acclenus*, que murió junto con su mujer, la liberta *Annia Helena*, de *morbus indignus*, que reza: “...*honestos, con suma probidad y gran fe, resignados, murieron torturados a causa de una enfermedad no merecida ...*” (CIL II/7, 287,citado en Vaquerizo, 2001). Con toda probabilidad este *morbus indignus* haga referencia a alguna de las enfermedades mencionadas que se constatan en la necrópolis fundacional de *Valentia* (García-Prósper y Polo, 2002; Polo y García-Prósper, 2003).

Abundando en este tema, el estudio de paleodieta (isótopos de carbono y nitrógeno) realizado con algunos esqueletos de la necrópolis de Quart, ofrecen información sobre el deficiente estado alimenticio de los enterramientos en decúbito prono. Concretamente los esqueletos de las tumbas (Nº163, 163, 168 y 145), se alimentaban de forma diferente al resto de la población de época imperial analizada². De hecho, alguno de ellos (Nº145) se ha obtenido patrones de dieta idénticos a la de los cerdos también analizados (Figura 6.62).

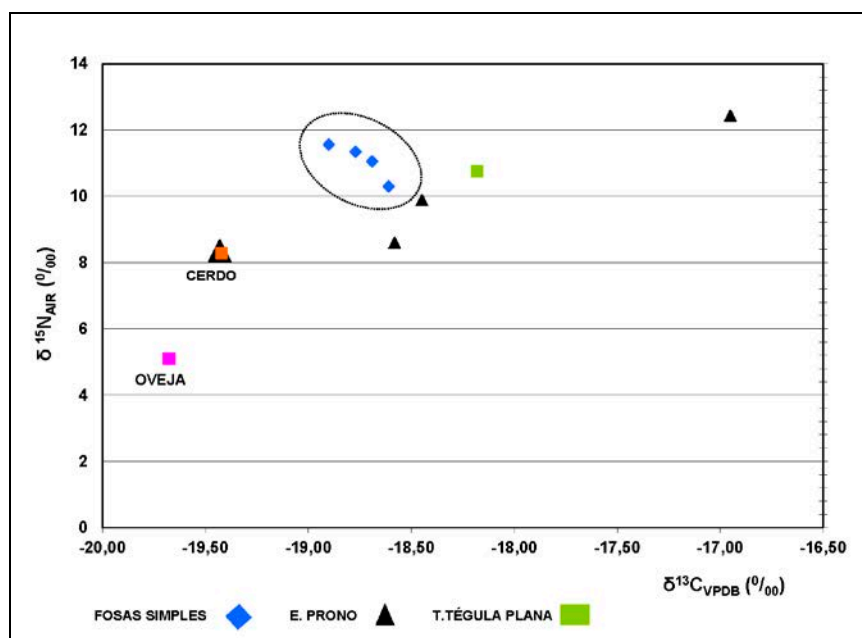


Figura 6.62: Resultados del estudio de isótopos del carbono y del nitrógeno para conocer el tipo de dieta en enterramientos de la serie imperial

² Agradecemos a Manuel Polo la información que nos ha facilitado y que se extrae de su tesis doctoral. El estudio de Paleodieta, se ha realizado bajo convenio de colaboración entre Grupo Paleolab y la Universidad Autónoma de Madrid. Se han hecho lecturas a partir de muestras óseas de esqueletos y fauna de las series republicana e imperial para constatar las diferencias que hay entre ambos grupos poblacionales.

Los enterramientos analizados tienen una dieta que si bien es mixta para todos los casos estudiados, se observan diferencias intergrupales entre los de fosas simples y los de decúbito prono. Incluso, para algunos de estos últimos, coincidente con la de algunos animales como ya hemos mencionado en el párrafo *supra*.

Más allá de analizar en este capítulo el tipo de dieta que tenían, dado que no es el objetivo de este trabajo, sí se puede comprobar cómo los gestos funerarios advierten alteraciones, cambios y diferencias en la sociedad que las ciencias auxilian en beneficio del investigador.

Con estos datos, podemos afirmar que, al menos para el caso de *Valentia*, los enterramientos en decúbito prono fueron personas con una calidad de vida deficiente, y relegados de la sociedad ya sea por origen, condición y/o enfermedad.

B) El caso de un posible esclavo

En el sector (Sur) de la necrópolis donde se halló la mayor parte de los enterramientos en decúbito prono, se documentó una fosa simple con un Individuo adulto joven, de sexo masculino, enterrado en deposición de decúbito supino y que portaba una argolla de hierro en el tobillo izquierdo³. Presentaba evidencias de mortaja a la altura de los tobillos y se acompañaba de una ofrenda de fauna junto a los pies.

Tras el análisis osteológico efectuado, se comprobó que había una fractura *perimortem*, sin consolidar en la tibia contralateral a la pierna que alojaba la argolla. La ausencia de regeneración ósea indica que no hubo supervivencia y ello pudo deberse a complicaciones propias de la tipología del traumatismo (shock traumático, sepsis, etc).

El hallazgo de este enterramiento junto a otros en decúbito prono pone de manifiesto la dedicación de una zona de la necrópolis al enterramiento de personas de escasos recursos, proscritos, o bien esclavos. La existencia de un *sodalitium uernarum* (una fraternidad de esclavos adoradores de Isis) (Arasa, 2012), tal vez tenga relación con la presencia de al menos esta tumba de un individuo enterrado con su argolla que indica una vida de esclavitud o punitiva, pero que de los gestos funerarios se deduce un cuidado y un respeto manifestados por las evidencias de amortajamiento del esqueleto conservado, y la presencia de una ofrenda de fauna depositada junto a los pies. Un exiguo ajuar funerario preceptivo de un *funus digno*.

³ La argolla tiene unas dimensiones cuyas dimensiones son 17,1 x 13cm, y 3 kg de peso, conformada por un grueso arco de caras planas, cuyos extremos convergen en una pieza donde se enrosca la correspondiente tuerca muy concrecionada. No se recuperaron restos de cadenas tal y como ocurre en el caso de *Ilipa*. Agradecemos a la restauradora y conservadora Dña. Amparo Santaclara Fos, el trabajo desinteresado de restauración y consolidación de la argolla.



Fig.6.63.: El caso de *Valentia*: hallazgo del enterramiento, estudio antropológico y detalle de las argollas restauradas



Figura 6.64: Los casos de Ilipa y Gades

Paralelos a este caso lo encontramos en *Italica*, concretamente en la localidad de Alcalá del Río (Sevilla), y en *Gades*, en la intervención de las antiguas bodegas de la Abarzuza, ambos de cronología Alto imperial. En el primer caso, se trata de un enterramiento individual, correspondiente individuo adulto masculino, cuyo grado de conservación es parcial, aunque las piernas se conservan intactas, mostrando varias argollas unidas por cadenas de hierro. El caso de *Gades*, se trata de un enterramiento individual adulto en decúbito supino. Presentaba en los tobillos dos argollas de hierro macizo sin cadena de unión entre ambas (García-Prósper, López y Polo, 2009).

6.5.2 Los clavos como elemento ritual

A lo largo de toda la discusión se ha podido comprobar que la presencia de clavos en diversos enterramientos tanto en las fases republicanas como en las imperiales, y tanto en cremaciones como en inhumación, es una constante. Hasta la fecha no hemos tenido la ocasión de aproximarnos a los resultados que aportaría un análisis preliminar de la presencia de dichos elementos en las tumbas de la necrópolis.

La referencia más antigua que hemos encontrado sobre la interpretación de la presencia de los clavos en los enterramientos y su significado “mágico”, la hallamos en el *Dictionnaire des Antiquités Grecques et Romaines* (Daremberg, Saglio, y Pottier, 1896). Sin embargo, y desde hace ya unos pocos años, varios trabajos de Silvia Alfayé (2009, 2010) recayeron en nuestras manos, a partir de la lectura de los artículos de Desiderio Vaquerizo (20011 a, b y 2012), de los que pudimos comprobar una excelente recensión con una nutrida base bibliográfica sobre esta temática. Otros autores como Alberto Sevilla Conde (2015) también ha trabajado aspectos interpretativos de elementos profilácticos en tumbas de *acerba*, sin olvidar el trabajo de Maria Grazia Maioli (2010) sobre su interpretación de los clavos en época romana. Estos trabajos nos ofrecieron la oportunidad de reflexionar sobre esta cuestión que ya habíamos comenzado a analizar hace algunos años aunque de forma tímida. Posteriormente, el artículo de Milella *et al.*, publicado en el año 2015, en la revista *Plos One*, seguía alimentando estas propuestas de análisis e interpretación sobre los clavos y sus posibles significados.

Ya desde el momento de la excavación, a lo largo de las cinco campañas de trabajos, se observó que algunas tumbas contenían clavos bien en su relleno, junto al esqueleto o en el *loculus* de algunas cremaciones. Las posibles explicaciones ante el hallazgo de estos elementos sería por un lado, considerarlos como una medida de protección, especie de talismán, o bien su función consistiera en una especie de fijación a la muerte las personas fallecidas y evitar así que erraran en el mundo de los vivos como consta en textos recogidos en el *Pseudo Quintiliano* (Ciurana, 2011; Alfayé, 2009, 2010). En esta línea se encuentra la consideración de la necesidad de dejar “clavadas” las enfermedades y quedar neutralizadas, el reflejo de esta práctica en el mundo funerario

tal fuera la ceremonia *Clauus annalis*, empleados para curar la epilepsia (*Plin. Hist. Nat*, 10, 152; 28 .48, citado en. Alfayé, 2010).

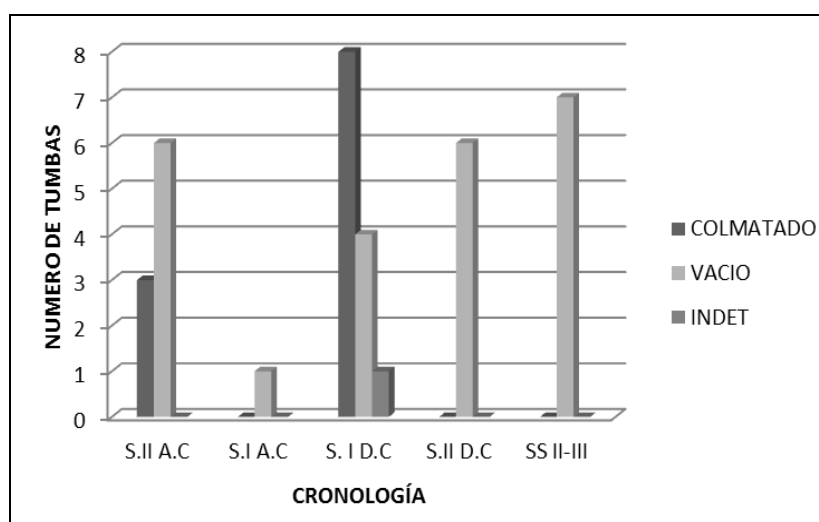
En la necrópolis de la calle Quart se ha documentado un número mínimo de 80 clavos hallados en 43 tumbas⁴, de las cuales 8 son de cremación y 35 de inhumación. Además de un clavo hallado en el *ustrinum* (NEF 201) y tres clavos documentados en el basurero (NEF 203).

Por cronologías, cabe señalar que en el siglo I d.C. es el periodo donde más clavos de han contabilizado seguido por el siglo II a.C., y después por el periodo de los siglos II-III d.C. Como puede verse en la tabla *infra*, el número de clavos es mayor en las inhumaciones que en las cremaciones como consecuencia directa del número de muestra.

Tabla 6.79: Número de clavos hallados en las tumbas según fases cronológicas.

	INHUM.	CREMAC.
S.II A.C	19	1
S.I A.C	1	3
SIGLO I D.C	28	5
S.II D.C	8	0
SS.II-III D.C	13	2
TOTAL	69	11

El tipo de descomposición de los cuerpos en las tumbas de inhumación, bien sea en medio colmatado o en medio vacío, aportan interesante información para la interpretación de estos elementos en las tumbas. De las 35 tumbas de inhumación, 11 tuvieron una descomposición en medio colmatado, y 24 en medio vacío.



⁴ El NM de clavos hallados es de 80 aunque en términos exactos este número estaría incrementado. No se sabe el número total de clavos que habría en las tumbas (Nº 81, 138, 147, 238, 240), ya que se presentaron fragmentados y en muy mal estado de conservación por lo que se ha determinado no contabilizarlos para evitar falsear las cifras.

Figura 6.65.: Gráfico que representa la número de tumbas de inhumación y el tipo de descomposición

En principio, se consideró el carácter ritual de aquellos clavos presentes en las tumbas cuya descomposición del cadáver se hizo en medio colmatado. Los clavos documentados en estas tumbas no formarían parte del ataúd, el número de ejemplares recuperados, así como su tamaño, bien pudiera indicar que éstos pudieron formar parte del ataúd. A este respecto Clarke (1979), indica que el número de clavos destinados a la construcción de un ataúd es variable desde dos a más de cincuenta, y que su tamaño es también variable. En la necrópolis tardorromana de Lankhills los clavos tenían dimensiones entre los 15-20 cm de longitud, habiendo algunos ataúdes con clavos de 4-11 cm de longitud (Alfayé, 2010).

Los clavos de la necrópolis tienen entre los 4-5 cm hasta los 6,8 cm de longitud máxima (Tabla 6.80). Es posible que ellos formaran parte del ataúd en aquellas tumbas cuya descomposición se produjo en medio vacío, aunque la presencia de clavos en el interior de, por ejemplo una ollita, pudiera también indicar otra función (véase figura 6.66. tumba N°147).

Tabla 6.80: Inventario de tumbas de inhumación y clavos con la obtención de medidas

NEF	UUEE	TIPO	DESCOMP.	Nº CLAV.	Nº INV.	(1) LONG.	(2) LONG.
2	1.246	SIMPLE-A	COLM.	2	indet.	indet.	indet.
6	1296	SIMPLE-A	VACÍO	1	indet.	indet.	indet.
12	1.368	SIMPLE-A	VACÍO	2	indet.	indet.	indet.
18	1373	CÁMARA-G	VACÍO	1	indet.	indet.	indet.
22	1383	CÁMARA-G	VACÍO	1	indet.	indet.	indet.
23	1435	DOBLE/D	COLM.	3	indet.	6 CM	3,6 CM
31	1.464	CÁMARA-G	VACÍO	2	indet.	indet.	indet.
37	2063	SIMPLE-A	COLM.	4	517	10 CM MÁXIMO	
41	2273-2176	CÁMARA-G	VACÍO	3	538	9,5	
93	2130	SIMPLE-A	VACÍO	1	525	1,7	
138	1273	SIMPLE-A	COLM.	INDET			
147	2049	SIMPLE-A	VACÍO	INDET/1	512/513	5 CM	
155	2177	SIMPLE-A	COLM.	1	indet.	indet.	
156	2189	SIMPLE-A	COLM.	2	536	indet.	
157	2249	SIMPLE-A	VACÍO	1	547	indet.	
158	2308	SIMPLE-A	indet.	4	558	3 cm	
161	2374	SIMPLE-A	COLM.	5	573	3 cm	
163	2414	SIMPLE-A	COLM.	2	575	4,5 cm	
164	2410	SIMPLE-A	COLM.	1	583	6 cm	
166	2420	SIMPLE-A	VACÍO	7	576	2,5 cm	9 cm
168	2429	SIMPLE-A	COLM.	2	577	5 cm	
171	2438	SIMPLE-A	COLM.	2	578	indet.	
206	2012	SIMPLE-A	VACÍO	2	505	indet.	
210	2173	SIMPLE-A	VACÍO	1	534	indet.	
212	2241	SIMPLE-A	VACÍO	1	543	indet.	
213	2256	SIMPLE-A	VACÍO	2	551	indet.	
219	2333	SIMPLE-A	VACÍO	0	indet.	indet.	
222	2408	SIMPLE-A	VACÍO	2	indet.	indet.	
238	2141	SIMPLE-A	VACÍO	INDET.	530	2 cm	
239	2170	SIMPLE-A	VACÍO	1	531	5 cm	
240	2181	SIMPLE-A	VACÍO	INDET.	535	indet.	
245	2244	SIMPLE-A	VACÍO	1	545	6,8 cm	
246	2253	SIMPLE-A	VACÍO	1/5	548/550	indet./6,8 cm	
251	2313	SIMPLE-A	VACÍO	4	559	2 cm	
253	2342	SIMPLE-A	VACÍO	1	566	5,6 cm	

En cambio, sobre este “ajuar tipo” la necrópolis de la calle Quart aporta dos ejemplos en las inhumaciones de la serie imperial. La tumba N°147 (S. I d.C.) se acompañaba de un ajuar funerario consistente en una olla de cerámica y en su interior un clavo de hierro de 5 cm de longitud y la tumba N° 210 corresponde a un enterramiento infantil con un ajuar de cubilete paredes finas, una moneda y un clavo (Figura 6.66). Consideramos que la presencia de estos clavos junto a las monedas, aportan un doble carácter protector: por un lado, por cumplir con los ritos como el de Caronte (por cuanto a la moneda se refiere), y por otro lado, porque ambos (clavo-moneda), son en su mayoría de hierro y/o bronce, y estos metales tienen una fuerte carga simbólica, muy valorados en el mundo clásico por sus características especiales y medicinales (*Plin.HN* 34.151). Ya mencionamos en el capítulo (6.4.1.1) que la inclusión de monedas como ajuar funerario protegía al fallecido por el simple hecho de ser de metal⁵.

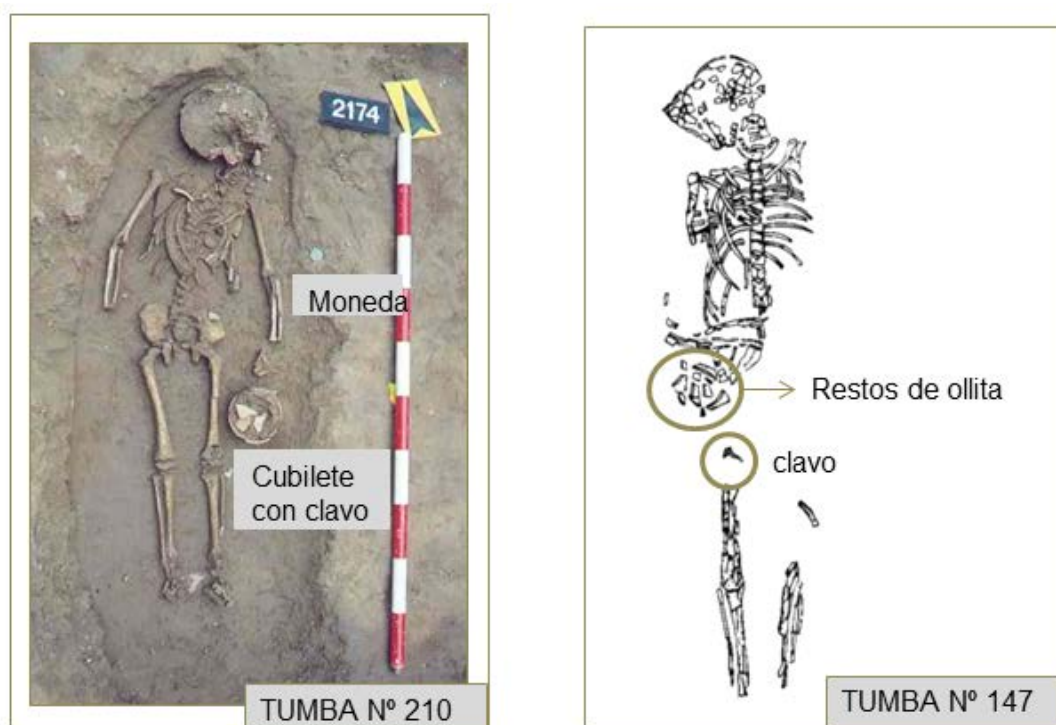


Figura n° 6.66: Tumbas con “ajuar tipo”

Otro grupo de tumbas con clavos son aquellas cuyos individuos estaban enterrados posición de decúbito prono, son tres (NEF 163, 164 y 168) y todas del siglo I d.C. La presencia de clavos de carácter ritual en tumbas de inhumación con individuos enterrados en decúbito prono invita a reflexionar. La relación existente entre este tipo de posición y la presencia de clavos puede interpretarse como una voluntad de “fijar” el finado a la tierra por el “miedo a los muertos”; una pretensión de “volver a cerrar” la sepultura, tal y como apunta Maria Grazia Maioli en su trabajo (2010), o tal vez, como

⁵ Un reciente trabajo sobre el mundo funerario en *Baelo Claudia* (Prados, 2015, 122) se hace referencia a la presencia de clavos en tumbas de cremación e infantiles, este hecho también se ha observado en tumbas infantiles de *Corduba* (Vaquerizo, 2011, 219).

repulsión a una enfermedad infectocontagiosa (véase capítulo anterior 6.5.1). Ya se ha hecho referencia la relación que pueda haber entre la deposición ventral de los cuerpos con su condición social-legal y de salud como las principales causa de este tipo de deposición. En concreto, el esqueleto de la tumba N° 163, presentaba evidencias osteológicas compatibles con la TBC (tuberculosis), una de las enfermedades más repulsivas y horribles en sus últimas fases "*indigni morbi*". El miedo a que este tipo de cuerpos pudiera resucitar motivaba este tipo de reacciones de claro carácter punitivo.

Los esqueletos de las tumbas N° 164 y N° 168, no presentaban evidencias osteológicas compatibles con enfermedades infectocontagiosas que pudiera interpretar en esa dirección la presencia de clavos. Sin embargo, estos tres casos mantienen en común a parte de la posición y de los clavos, que coinciden en una dieta deficitaria que evidencia una mala calidad de vida.

Por tanto, se puede decir que en la necrópolis consideramos que existen varias intenciones a la hora de depositar los clavos en las tumbas: bien por protección como en los casos de las tumbas (N° 210, 147), bien como consecuencia del miedo que producen determinadas enfermedades como el caso de la tumba (N°163).

En este sentido, existe una clara relación entre clavos-pronos que responde a acciones motivadas por una intencionalidad ya sea de protección o de castigo.

En este capítulo se ha querido reflejar la importancia que tiene la actuación de otras disciplinas para la interpretación de los datos arqueológicos. Además de la lectura de los gestos funerarios, que aportan valiosa información y el privilegio de observar estos enterramientos y su *perimundo* de primera mano, la interacción con la antropología y paleopatología y cada vez más con estudios de paleodieta, significa llegar o al menos aproximar al investigador, a esos campos inaccesibles hasta la fecha y que suponen un avance importantísimo en la investigación.

Estos estudios han podido dotar de coherencia a un discurso que con sus limitaciones iba en una dirección interpretativa aceptada. Pero la posibilidad de obtener el tipo de dieta o saber las posibles causas de muerte, ha supuesto obtener interpretaciones fiables, firmes y coherentes.

6.6 El origen de los primeros pobladores de *Valentia*

Uno de los aspectos más interesantes de la historia de *Valentia* supone el conocimiento de quiénes fueron los artífices de la fundación, de dónde procedían, cómo murieron, y cuáles fueron sus rituales de muerte. A este respecto, consideramos que puede ser favorable abordar el tema siguiendo un eje transversal desde las disciplinas más tradicionales, hasta las más novedosas.

La bibliografía sobre el origen y la fundación de *Valentia* es abundante y profusa en interpretaciones; por su parte, los vestigios arqueológicos han aportado, y lo seguirán haciendo, importantes datos que han supuesto la confirmación de muchos de los aspectos recogidos en las fuentes históricas, y por su parte, el cementerio, por el momento, más antiguo de la ciudad, ha ofrecido información sobre los primeros moradores y cuya lectura de los rituales practicados nos aproximan a buscar paralelos en la península Itálica.

Como complemento a las investigaciones más tradicionales se encuentran nuevas técnicas y valoraciones de calado científico como puede ser el análisis del estroncio ($^{87}\text{Sr}/^{86}\text{Sr}$) que supone un aliado para avanzar en la investigación histórica.

En este capítulo se presentan y discuten los principales aspectos relativos a esta temática, con el fin de poder avanzar en la difícil tarea que representa cualquier tema relativo a la fundación de la ciudad.

6.6.1 Apuntes historiográficos y epigráficos sobre la fundación de la ciudad

Ya se ha hecho mención¹ de la importancia que ha supuesto para la historia de la ciudad los hallazgos arqueológicos de la calle Ruaya, y su aportación al conocimiento de la vida pre-colonial en las tierras próximas a *Valentia*. Este, y otros hallazgos que surgirán tras nuevas excavaciones, no quitan autenticidad a la consideración de la ciudad como una de las primeras fundaciones romanas en *Hispania*, y una de las pocas fundaciones *ex novo* o *ex nihilo* de la Península (Pena, 1984).

Valentia fue una de las primeras ciudades que acuñaron monedas en *Hispania* (Pena, 1986; Ripollés, 2002), y a pesar de las ausencias epigráficas de los primeros momentos (Arasa, 2012), las circunstancias de su fundación, y quiénes la materializaron han sido motivo de estudio y debate científico. En esta tesis ya se ha hecho referencia a la cita histórica de Tito Livio conocida a partir de su refundidor (*Periocha LV, 35*) "*Iunius Brutus cos. In Hispania is quid sub Viriatho militaverant agros et oppidum dedit, quod vocatum est Valentia*", piedra angular y punto de partida de muchas de las investigaciones que sobre la ciudad y su origen se ha hecho. Asimismo, han sido numerosas las interpretaciones a partir de la mención en inscripciones de los siglos II y III d.C., de los

¹ PARTE I: Capítulo 1.

“*Valentini veterani et veteres*”. Sin olvidar la controversia que en su día ocasionaron los versos 479/482 del *Ora Marítima* de Rufo Festo Avieno, sobre el posible substrato indígena de *Valentia*, así como los textos de Appiano y Diodoro de Sicilia, sobre los posibles fundadores de la ciudad (Fletcher, 1963).

Lejos de hacer un estado de la cuestión sobre las diferentes opiniones, dado que hay excelentes trabajos publicados que aportan una valiosa fuente documental a este respecto (Ribera, 1998; Almela, 2001; Pena, 2002; Arasa, 2012 Ribera y Jiménez, 2014), sería interesante intentar recoger las diferentes visiones que hay al respecto de las dos cuestiones principales ¿Quiénes fundaron *Valentia*?; ¿Quiénes fueron los *veterani* y los *veteres*?

Por lo que respecta a la primera cuestión, y volviendo a la precitada cita de Tito Livio, la controversia surge en la traducción de parte de la cita “*sub Viriatho militaverant*”, ya que a partir de la cual hay quienes opinan como Dolç (1971), o Galsterer (1971), que la ciudad se fundó con restos del ejército de Viriato. Autores como Fletcher (1963) o Ventura (1981), opinan que la fundación se produjo “*en tiempos de Viriato*” o bien “*durante la guerra de Viriato*”, defendiendo una fundación plenamente itálica (Pena, 1984; Pena, 2002).

En estrecha relación se encuentra la inscripción de época imperial “*Valentini veterani et veteres*”, que hace clara referencia a la existencia de estos dos grupos en el *ordo decurionum* (Arasa, 2012; Escrivà, 2013). Sobre su naturaleza y atribución a los posibles orígenes de ambos contingentes humanos se ha escrito mucho, resultando opiniones variadas y dispares, algunas de las cuales hemos pretendido sintetizar en la Tabla 6.82.

Tabla 6.82: Algunas interpretaciones sobre la identidad y origen de *Valentia*

VETERANI	VETERES (Antiguos)
Soldados licenciados (Almela, 2001)	Antiguos habitantes del país (Almela, 2001)
Aporte de soldados licenciados en diferentes momentos cronológicos, según Ventura (1981) y Ribera, (1989).	
Militares licenciados de las guerras cántabras instaladas en <i>Valentia</i> en época Augusto, según Seguí (Almela, 2001)	Comunidad heterogénea (militares, comerciantes, agricultores, según Seguí (Almela, 2001)
Soldados procedentes guerras sertorianas o soldados cesarianos, según Bellido, Fletcher, Blánquez, Ventura, Esteve (Pena, 1989)	Soldados romano itálicos de Junio Bruto, según Bellido, Fletcher, Blánquez, Ventura, Esteve (Pena, 1989)
Veteranos de Pompeyo, según Gabba y Esteve Forriol.	Lusitanos establecidos por Junio Bruto, según los mismos autores (Pena, 1989)
Asentamiento de veteranos en época tardía, siglos II-III d.C., según Galsterer y Wiegels	Fundación Lusitana (Pena, 1989)
Gentes establecidas en época Augusto o más tarde, según Pereira y Pena (Almela, 2001)	Descendientes de romanos itálicos del 138 a.C que sobrevivieron a las guerras sertorianas , según Pena (Pena, 1989, Almela, 2001; Arasa, 2012)
Instalación de legionarios, adquiriendo la ciudad rango de colonia, según Escrivá, Pascual y Ribera (Almela, 2001).	Gentes venidas con posterioridad a los primeros habitantes, según Ribera (Pena, 1989)

De los datos expuestos (Tabla 6.82) se comprueba cierto consenso con respecto a la identificación de los *veterani* con licenciados del ejército, que se instalaron en *Valentia*, posiblemente en época de Augusto, y que protagonizaron la segunda *Deductio*. Por lo que respecta a los *veteres* (antiguos), no hay una homogeneidad de criterios. Hay quienes afirman que serían descendientes de romanos itálicos del 138 a.C.; otros afirman que son antiguos habitantes del país; fundadores lusitanos; descendientes de los ciudadanos que sobrevivieron a la *deletio* pompeyana o bien una comunidad heterogénea (militares, comerciantes, y agricultores); lusitanos establecidos por Junio Bruto, etc.

De la investigación arqueológica, y también de los datos que se extraen de la epigrafía y la numismática, se deduce que hay una clara de influencia fundacional con pobladores procedentes de diferentes regiones de la Península Itálica.

Los magistrados monetales conocidos en *Valentia* son un total de 8 cuyos *nomina* ofrecen ascendencias sumamente variadas. Tradicionalmente se ha considerado que eran 6 los *nomina* de magistrados relacionados con la historia de la ciudad, omitiendo la bibliografía dos de los cuales cuyo origen no concordaba con las teorías tradicionales sobre la ciudad. Junto a los 6 magistrados monetales conocidos y más referenciados: *C. Lucienus*², *C. Munius*, *T. Ahius*, *L. Trinius*, *L. Coranius*³ y *C. Nurius* de origen itálico,

² Pena (1986) refiere que los *nomina* con el sufijo (-ienus) es frecuente hallarlos en las regiones correspondientes a dialectos oscos (vestinos, sabinos, marsos, etc). Schulze también lo pone en relación con nombres etruscos con su sufijo en -na.

concretamente oscos y samníticos, aunque no todos a juzgar por la variabilidad de opiniones de los diferentes especialistas. A estos *nomina* habría que mencionar otros como *Veneleius* y *Brinnius*, de origen etrusco, muy raros en *Hispania*, y cuya referencia siempre ha quedado en un segundo plano en las discusiones científicas (Pena, 2002)⁴.

Las familias valentinas conocidas a partir de epígrafes votivos y monumentales hallados en inscripciones atribuidas a época imperial, aportan información sobre las gentes que pudieron tener relevancia en los momentos fundacionales dada la inexistencia de epígrafes de época fundacional (Arasa, 2012; Seguí, 1991). Entre los nombres conocidos y atribuibles a los primeros momentos es el que designa a la familia *Herenni* relacionada con los momentos republicanos de la ciudad y cuyo *nomen* estuvo ligado a los *ueteres* que jugaron un papel fundamental en la segunda *Deductio*, y que Augusto los incorporó al *ordo* de los *ueteres* (Seguí, 1991)⁵. De las familias más representativas de época imperial estaban los *Antonii* y los *Iulii*, de gran poder en la ciudad, y que tuvieron gran representatividad. De hecho ambas *gentes* contaron con 13 miembros documentados, algunos hasta desempeñaron magistraturas municipales (Arasa, 2012). Otro *nomen* muy significativo en el de los *Sertorii*, un gentilicio de origen etrusco, cuya aparición en la península Ibérica es dispersa y del que hay dudas si tuvo aparición ya en los primeros momentos de la colonia (Seguí, 1991). Por su parte, las inscripciones funerarias han aportado además de los *nomina* más influyentes, otros *cognomina* helenizantes atribuidos a libertos⁶ y que ponen de manifiesto la importancia de este grupo en la sociedad. De todo ello se extrae el carácter ecléctico y poligénico de la población de *Valentia*, tanto en lo relativo a los primeros pobladores, como las personas que materializaron los cambios acontecidos en la ciudad tras los episodios bélicos.

³ M^a José Pena (1986) difiere de Gabba (1973) en el origen etrusco de los gentilicios de *L. Trinius* y *L. Corannius* y los considera oscos como el resto de los cuatro *nomina* referenciados.

⁴ Esta misma autora en sus trabajos (1986 y 1989) omite los *nomina* *Veneleius* y *Brinnius*, incluyéndolos en su trabajo "*Problemas históricos en torno ...*" del año 2002.

⁵ Este autor establece en su estudio la presencia de dos grupos familiares de diferente antigüedad: Por un lado los *Herennii*, *Fabii*, *Sertorii* y *Valerii* instalados en el periodo republicano con la adscripción de al menos una de estas familias al *ordo decurionum Veterum*. Por otro lado, las familia de los *Antonii*, *Iulii* y *Marcii*, cuya presencia se constata a inicios de la época imperial y cuya presencia al *ordo decurionum Veteranorum* está documentada en todas menos en los *Marcii* (Seguí, 1991).

⁶ Las inscripciones que revelan la condición de libertos son constatables en siete inscripciones de la ciudad (Arasa, 2012).

“Quid humatus non sit, heredi porca praesentanea suscipienda Telluri et Cereri; aliter familia pura nos est”
(Varron, *LibIII Vita Populi Romani*)

6.6.2 Los ritos de los primeros pobladores de *Valentia*

El registro arqueológico, la lectura de los gestos funerarios y la interpretación de los mismos, en conjunción con las fuentes literarias, epigráficas y numismáticas, ofrecen interesantes argumentos para la discusión. Compartimos la opinión de Judit Ciurana (2011:703), cuando expone las dudas que en *Tarraco* se plantean cada vez que se quiere identificar a los inmigrantes itálicos, a partir de las prácticas funerarias, porque se duda de qué área procederían, o si en la Península Itálica había solo una forma de celebrar los *funera*. Es cierto, la visión unidireccional de la investigación funeraria puede conducir a errores metodológicos y a una interpretación deficiente. Es por ello, y así lo consideramos, que la investigación debe abordarse desde una visión interdisciplinar y transversal, siendo la responsabilidad del arqueólogo especialista la lectura e interpretación de los diferentes estudios.

Los rituales funerarios aportan sentido al registro funerario y su lectura debe considerarse como una parte más de la investigación. Una parte importante en los rituales de la necrópolis romana de la calle Quart es la relación existente entre un tipo de tumba característico de esta necrópolis, las tumbas de cámara, y los ajuares que acompañaban al finado. Conviene analizar la simbología, si es posible, de los principales elementos que conformaban los ajuares “tipo” (*sus domesticus*, *strigiles*, ánfora vinaria), hallados tanto en estas tumbas como en otras estructuras del momento fundacional⁷.

La presencia del suido *sus domesticus* no solo en las tumbas de cámara, sino también en algunas de las cremaciones, y en la zanja votiva del nivel fundacional, supone la materialización del culto a la diosa Ceres a través del rito de la *Porca Praesentanea*. Se trataba de un rito de carácter obligatorio en el que el sacrificio de una cerda debía ser practicado por el heredero del muerto con el fin de purificar a la familia que había quedado contaminada por la muerte (*Cic. De Leg*, II, XXII).

El *strigilis* es un objeto cuya relación con el mundo masculino en la fase fundacional, así como la paulatina desaparición en las fases siguientes de la necrópolis, consideramos que tiene que ver con las costumbres funerarias de los primeros pobladores. La clara influencia helenística de este objeto relacionada a la efebía y, en general, al universo masculino, está constatado en los “objetos tipo” de las tumbas griegas del periodo clásico (Lécrivain, Ch, 1896). Se habla de siete categorías de objetos que componen el ajuar: los objetos de aseo personal, aquellos que acompañaron al deceso en vida, objetos que servirían para recoger las ofrendas alimenticias, otra categoría relativa a la

⁷ Un desarrollo de estos aspectos rituales en el contexto republicano de la necrópolis se encuentra recogido en el epígrafe (6.3.1.1) de esta tesis.

monedas como Obolo a Caronte; las cerámicas como platos, vasos, ánforas que contendrían alimentos y líquidos como el vino; y otros objetos de diversa índole (Lécrivain, Ch, 1896). Con respecto a los objetos que acompañan al deceso y que disfrutó en vida, las fuentes hacen mención que para los hombres serían las armas, fíbulas o los precitados *strigiles*.

El vino jugaba un papel fundamental en el *funus*, es un elemento más que confirma esta influencia helenística en los ritos de muerte y Dionisos. La relación con el mundo funerario está en estrecha sintonía con el banquete funerario o *silicernium* elementos fundamentales para la ejecución del *funus romanum*⁸. En Roma, era uno de los cuatro “líquidos para el sacrificio”, al igual que la leche, la sangre y el agua; por este motivo se veía en él un poder mágico y religioso⁹. Estaba asociado a la regeneración, a la vida, por eso se empleaba en el rito funerario de la incineración¹⁰, las libaciones y los banquetes (Urrea, 2009).

El ánfora, el *strigilis* y el *suido* son elementos funerarios que aportan una identidad especial al deceso. Son colocados en las tumbas con una intencionalidad clara, elementos identificativos de un grupo poblacional, que en el momento de la muerte, recuerdan sus rituales funerarios ancestrales y su origen en la península Itálica.

La relación de estas ofrendas, bien conocidas en otras necrópolis del arco mediterráneo¹¹ en sintonía con las tumbas de cámara, resultaron una novedad arqueológica y un hallazgo único en la ciudad y su entorno territorial. Supuso el conocimiento de una nueva tipología de enterramiento y novedosa para el *funus valentiae*, que motivaron la búsqueda de paralelos en la Península Itálica¹².

Con estos criterios, la investigación fue centrándose en regiones donde la necrópolis presentaba los ítems similares al caso de *Valentia* (*suido*, *strigiles*, ánfora y tumba de cámara). Los principales paralelismos hallados se localizaron en la región de la actual Toscana, concretamente con algunas tumbas de cronologías tardorrepublicanas¹³ de

⁸ San Agustín hace mención de la costumbre de depositar sobre la tumba alimentos y vino para el difunto...S.Agust. *Serm.*15, de Sanctis. Cit. DAREMBERG, G; SAGLIO, E; POTTIER, E. “*Funus*”. Dictionnaire des Antiquités Grecques et Romaines Paris, 1896, p 1386-1409.

⁹ El simposio como manifestación en la tumba del poder la muerte es un acto innegable de influencia helenística en el *funus romanum*. La sangre es el alimento de los muertos, de ahí que se practiquen sacrificios junto al sepulcro en concomitancia con las libaciones con el vino como representación de esta sangre.

¹⁰ De hecho se empleaba para “apagar” las piras tras las cremaciones aunque esta práctica finalmente fue prohibida dado que se producía el efecto contrario (Cuq, 1896).

¹¹ El ritual de la *porca praesentanea* está ampliamente constatado en Francia, suponiendo el 65 % de los depósitos de animales en las necrópolis galo-romanas de Valladas y Saint-Paul-Trois-Châteaux (Olive y Bel, 2002).

¹² Esta investigación ha sido publicada en (García-Prósper, *et.al*, 1999; García-Prósper y Guérin, 2002; García-Prósper, 2002; García-Prósper, Polo y Guérin, 2007).

¹³ Estas necrópolis se remontan muchas de ellas desde el siglo VIII-VII a.C, como La necrópolis de Metaponto con enterramientos del siglo V a.C, o en la del Colle del Forno de los siglos VII-III a.C, o Cerveteri, son de tipo tumular, colectivas y muy monumentales. Nuestra búsqueda se centraba en aquellas tumbas más tardías (siglo II a.C), y de tipología más simple y en otras necrópolis como las de Montefiascone en Viterbo de siglo I a.C, o la necrópolis del Portone en Volterra, datada entre los siglos II-I a.C, etc, cuya cronología coincide plenamente con la necrópolis de la calle Quart.

necrópolis etruscas mucho más antiguas pero *locus religiosus* de larga perduración en el tiempo. Los casos de: Chianni (Micheluzzi y Pardini, 1980), Volterra (Fiumi, 1975) Populonia (Romualdi, 1984), Sovana (Arias, 1971), Tarquinia (Mallegni, 1977; Cavagnaro y Moretti, 1972), Colle del Forno (Santoro, 1977; 1983) y Viterbo (Ricci, 1996-97). En la región de Piceno con la necrópolis de Portorecanati (Capitano y Mercado, 1974). Por último, se detectaron algunos paralelos más lejanos, la necrópolis de Locres, región de Calabria, en Basilicata, con la necrópolis de Metaponto (Gino Lo Porto, 1981) y por último, en Sicilia en la necrópolis de Lilibeo (Tusa Cutroni, 1971).

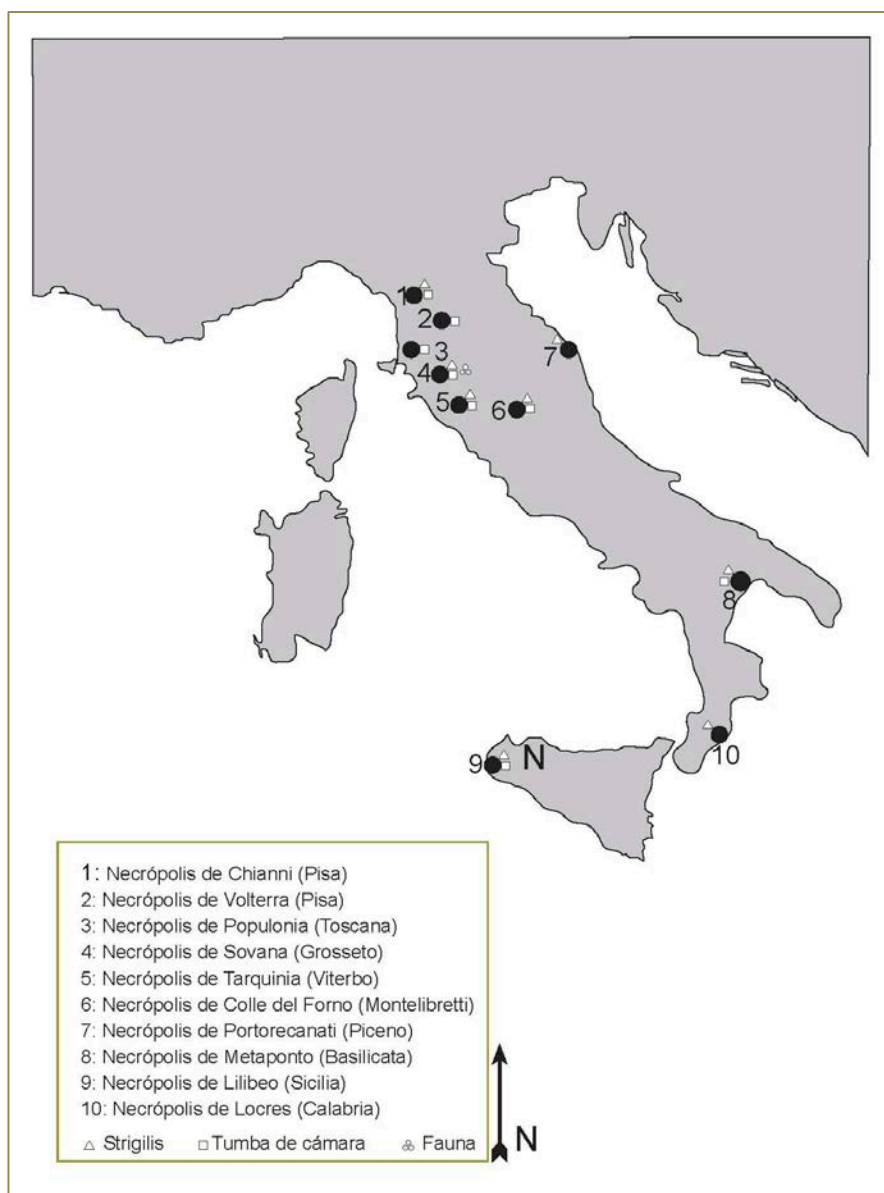


Figura 6.67: Paralelos con algunas necrópolis de la Península Itálica

Las tumbas de cámara representan una élite dentro de un grupo más amplio de hombres, mujeres y niños, procedentes de varios puntos de la Península Itálica. Los testimonios arqueológicos ponen de manifiesto que practicaron rituales funerarios de acuerdo con sus ideologías, creencias, simbolismos y costumbres familiares transmitidas a través de los siglos. La influencia de una práctica funeraria ancestral manifestada en los rituales de los primeros pobladores aporta nuevas líneas interpretativas que si bien no excluyen hipótesis planteadas y defendidas por otros autores, (Ribera, 1998; 2007; 2009; Ribera y Jiménez, 2014) sí ofrecen una solidez científica otorgada por los estudios transversales realizados sobre el origen de los primeros pobladores de *Valentia*.

Como complemento a los aspectos puramente arqueológicos se encuentra la aportación de la Antropología física la Paleopatología. Además de todos los rasgos físicos reseñados de manera detallada en páginas anteriores, conviene hacer una observación que ofrece interesante información sobre este tema. Las variantes de la normalidad pueden ser reflejo de las relaciones de parentesco entre un grupo determinado. En este sentido, se ha observado que en 8 individuos del Siglo II a.C. y 4 de siglo I d.C., compartían un marcador común conocido en la literatura científica especializada como “incisivo lateral superior etrusco” o “diente etrusco” (Pinto Cisternas *et al.*, 1995, citado en García Sívoli, 2009). Se trata de una curvatura o encorvamiento de la cara mesial, visible desde labial y/o palatino de los incisivos superiores laterales (FDI 1.2 y 2.2)¹⁴ (Figura 6.68).



Figura 6.68: Ejemplo del “diente etrusco” en la necrópolis de la calle Quart

El hallazgo de esta variante de la normalidad no es habitual y de hecho suele ser bastante rara encontrarla en los estudios antropológicos peninsulares (García Sívoli, 2009). Es un rasgo casi exclusivo de poblaciones prehistóricas e históricas de la

¹⁴ Entre los esqueletos de la serie republicana con este marcador se encuentran las UUEE: 1334, 1415, 1423, 2204, 2195, 2302, 2459, 2562. Y en entre la serie imperial están las UUEE: 2415, 2432, 2474 y 2396.

península Itálica. En *Lucus Feroniae* y en Isola Sacra la frecuencia de este marcador es de un 25,64% en series antropológicas de época imperial (Manzi, *et. al.* 1997 y García Sívoli, 2009).

En el caso de la necrópolis romana de la calle Quart, conviene destacar que este marcador lo comparten esqueletos del momento fundacional y del siglo I d.C. Su presencia pudiera tener varias interpretaciones ligadas con los momentos históricos de la fundación y segunda *deductio*.

La presencia de esta variante, de claro marcador endogámico, entre algunos de los primeros pobladores, sugiere la posibilidad de proceder de un mismo origen (Etruria) para parte del primer contingente humano¹⁵. Por otro lado, el hecho de que este mismo marcador esté también presente en esqueletos del siglo I d.C. puede significar que con la refundación o segunda *Deductio* llegaron a *Valentia* personas procedentes del mismo lugar de origen de aquellos primeros pobladores del 138 a.C. O bien, que fueran sus descendientes, y que durante las guerras contra Sertorio no hubieran huido, o al menos no definitivamente, formando parte de los refundadores tal y como apunta M^a José Pena, (2002). En definitiva, este nuevo dato no discrimina teorías anteriores, sino que, incorpora nuevas interpretaciones a la investigación de la fundación de la *Valentia*.

¹⁵ En el capítulo 6.3 ya se ha hecho referencia a la presencia de un *ovis* (tumba N°18) cuyos los resultados isotópicos (⁸⁷Sr/⁸⁶Sr) otorgan una procedencia foránea para este espécimen.

6.6.3 El análisis de isótopos del estroncio ($^{87}\text{Sr}/^{86}\text{Sr}$) para la determinación de la movilidad en poblaciones históricas

Tradicionalmente la investigación arqueológica que ha pretendido reconstruir las pautas de movilidad de las poblaciones ha estado centrada en métodos de estudio indirectos al no disponer de posibilidades analíticas directas, interpretando de forma incompleta el registro arqueológico. Es conocido el uso tradicional de los análisis de isótopos del estroncio (Sr) para determinar la procedencia de artefactos de piedra, cerámicas o incluso madera y así responder a preguntas sobre migración humana. Las muestras de esmalte dentario y hueso humanos, pueden ser utilizadas para identificar los patrones de migración ya que el estroncio es incorporado al cuerpo humano a través del consumo de comida y de agua y, en menor medida a través de la respiración (Knudson, 2007).

Los datos arqueológicos y la documentación historiográfica aportan información que apoya la hipótesis de una fundación compuesta por una población ecléctica. Por su parte los estudios bioantropológicos llevados a cabo en esta población, ponen de manifiesto que entre los primeros colonos habría un contingente militar, probablemente licenciados de guerras, y población civil dedicada a tareas agrícolas y actividades de otra índole, que completarían el panorama fundacional. Más allá de la información aportada por la Arqueología, la Bioantropología y la Paleopatología, hoy en día existen técnicas complementarias que aportan datos fiables en torno a la determinación de la movilidad y por tanto al origen de las poblaciones antiguas.

La importancia de este análisis radica en que los isótopos (Sr) encontrados en los huesos y dientes de un individuo reflejan la relación directa con los isótopos de las plantas, animales y agua que haya consumido, lo que refleja a su vez la relación de los isótopos encontrados en el suelo de una determinada región geológica (Knudson, 2007). Debido a que el esmalte dental no se regenera ni tampoco incorpora nuevos elementos después de su formación, los isótopos (Sr) en el esmalte dental reflejan la región geológica que las personas habitaron durante el proceso de formación de dicho esmalte. Los huesos, por el contrario, están regenerándose constantemente y en forma tal que las proporciones de los isótopos en ellos reflejarán la región en la cual el individuo vivió justo antes de su muerte (Knudson, 2007).

Con estas premisas se procedió a realizar un estudio de isótopos Sr-87/Sr-86 a partir de una selección muestral (de hueso y diente) de la necrópolis, en el Center for Bioarchaeological Research de la Universidad de Arizona, siendo responsable del trabajo la Dra. Kelly J. Knudson¹⁶. El objetivo de este trabajo era el análisis de isótopos del estroncio en el esmalte del diente y huesos humanos, así como suelo moderno y muestras de fauna arqueológica para la reconstrucción de la movilidad y la

¹⁶ Los datos se obtienen del informe redactado por esta investigadora (Knudson, 2009).

aproximación al posible origen de la población fundacional de *Valentia* en la península Itálica¹⁷.

Las muestras se escogieron según el protocolo del laboratorio de referencia, y de acuerdo con la secuencia cronológica de la necrópolis. Se identificaron las muestras con un número diferente a la UE, de modo que el laboratorio no tuvo datos relevantes del hallazgo con el fin de realizar un estudio completamente “ciego”.

Material y metodología

Se tomaron 22 muestras relativas a restos humanos, fauna, tierra de cronología republicana, siglo II a.C e Imperial siglo I d.C¹⁸ para su comparación intergrupala.

Las muestras de origen humano procedían de restos esqueléticos de las tumbas de cámara y de tumbas simples de la primera fase de la necrópolis. Estas muestras se trataban de piezas dentales (molares) y cuñas óseas de huesos largos de miembros inferiores (tibia, fémur). Los restos de fauna, procedían de mamíferos hallados en el interior de las tumbas de cámara (siglo II a.C), y de tumbas simples de cronología imperial. Las muestras de tierra se obtuvieron en contexto de una tumba de la primera fase de la necrópolis.

Las muestras fueron fotografiadas y emitidas en el Laboratorio de Química Arqueológica en Arizona State University. Los dientes y las cuñas de hueso se limpiaron con medios mecánicos con un taladro sin cables Dremel MiniMite-750 o Dremel MultiPro 3956-02 (Tabla 6.83). Este proceso eliminó cualquier materia orgánica o la adhesión de contaminantes, así como las capas más externas de los dientes, que son los más susceptibles a la contaminación diagenética (Waldron, Khera et al 1979.; Waldron, 1981; Waldron 1983, Montgomery, Budd *et al.* 1999; Budd, Montgomery et al. 2000). Unos 40 mg de esmalte de los dientes se eliminaron con un taladro inalámbrico Dremel MiniMite-750 o Dremel 3956-02.

La metodología de preparación de muestras y análisis de isótopos del estroncio se realizó bajo la dirección de los Dres. Knudson y Gwyneth. Las muestras de esmalte fueron analizadas por el Dr. Gordon Gwyneth mediante un espectrómetro de masas de plasma acoplado (MC-ICP-MS) en el W.M. Keck de la Foundation Laboratory for Environmental Biogeochemistry. Se utilizaron como muestras control estándares de

¹⁷ El estroncio es un metal se encuentra en la naturaleza y que tiene una elevada reactividad. El estroncio tiene cuatro isótopos naturales estables: Sr-84 (0,56%), Sr-86 (9,86%), Sr-87 (7,0%) y Sr-88 (82,58%). El Sr-87/Sr-86 es el parámetro típicamente utilizado en la datación radiométrica de la investigación geológica, encontrándose entre valores entre 0,7 y 4,0 en distintos minerales y rocas. Reacciona rápidamente con el agua liberando hidrógeno molecular para formar el hidróxido de estroncio. Es muy similar al calcio, y por tanto se incorpora al hueso con facilidad. La distribución actual de los isótopos tienden a variar de una forma considerable de un lugar geográfico a otro. Así analizando huesos de un individuo puede ayudar a determinar la región de donde proviene (Knudson, 2007).

¹⁸ Del momento imperial se escogieron dos casos del siglo I d.C (UE 2447 Y 2415) como muestra control. Sus datos difieren sensiblemente de aquellos del siglo II a.C.

carbonato de estroncio (SRM-987, $87\text{Sr}/86\text{Sr} = 0.710261 \pm 0.000020$; MER-987, $87\text{Sr}/86\text{Sr} = 0.710263 \pm 0.000016$) (Stein *et al.* 1997; Balcaen *et al.* 2005).

Resultados e interpretación

La presencia de isótopos del estroncio hallados en el esmalte y muestras de hueso de los restos arqueológicos humanos son bastante homogéneos y coherentes con las proporciones de isótopos de estroncio hallados en la fauna arqueológica (Tabla 6.83).

Tabla 6.83: Datos bioquímicos sin correlación arqueológica (D: derecho; I: izquierdo)

Nº Laboratorio	Nº Muestra	Tipo muestra	$^{87}\text{Sr}/^{86}\text{Sr}$
ACL-1864	NCQV-0007	tierra	0.71201
ACL-1865	NCQV-0011	Mamífero (arqueológico)	0.70824
ACL-1866	NCQV-0012	Mamífero (arqueológico)	0.70811
ACL-1867	NCQV-0013	Mamífero (arqueológico)	0.70819
ACL-1868	NCQV-0001	M2	NA
ACL-1869	NCQV-0001	D fémur	0.70816
ACL-1870	NCQV-0002	I tibia	0.70814
ACL-1871	NCQV-0002	D fémur	0.70811
ACL-1872	NCQV-0003	I M2	0.70883
ACL-1873	NCQV-0003	D fémur	0.70813
ACL-1874	NCQV-0004	M1	0.70825
ACL-1875	NCQV-0004	D tibia	0.70812
ACL-1876	NCQV-0005	D tibia	0.70820
ACL-1877	NCQV-0005	I fémur	0.70819
ACL-1878	NCQV-0006	M1	0.70840
ACL-1879	NCQV-0006	I fémur	0.70820
ACL-1880	NCQV-0007	IM3	0.70891
ACL-1881	NCQV-0007	I tibia	0.70825
ACL-1882	NCQV-0008	I M3	0.70875
ACL-1883	NCQV-0008	I tibia	0.70816
ACL-1884	NCQV-0009	I M2	0.70839
ACL-1885	NCQV-0010	I M3	0.70849

Los resultados obtenidos del laboratorio fueron correlacionados con los números de tumbas y UUEE (Tabla 6.84). Se analizaron las muestras óseas y dentales de las tumbas de cámara (NEF: 18, 22, 24, 31, 41). Se excluyó de este análisis la tumba NEF: 29 debido a la fuerte afectación tafonómica con una deficiente conservación esquelética (no conservaba cráneo y de las extremidades inferiores apenas conservaba completo el tercio medio diafisario).

Los valores de (Sr) obtenidos en las tumbas de cámara presentan valores muy similares entre sí (0,7081-0,70825) aportando datos parejos a los de las tumbas 38, 40 y 42¹⁹. La fauna analizada también aporta datos homogéneos en cuanto a los niveles de estroncio, indicando que los individuos muestreados probablemente vivieron en la misma región geológica. Sin embargo, la muestra de tierra tomada del sedimento de la necrópolis en época fundacional (siglo II a.C.) aporta datos que difieren con respecto a la muestra analizada (0,71201). (Tabla 6.84).

Tabla 6.84: Correlación de datos arqueológicos y resultados bioquímicos

Nº LAB	Nº MUESTRA	UUEE	NEF /CRONO	Tipo muestra	87Sr/86Sr
ACL-1864	NCQV-0007	2204	II a.C	Muestra tierra	0.71201
ACL-1865	NCQV-0011	3073	Estrato-II a.C.	Fauna mamífero	0.70824
ACL-1866	NCQV-0012	2447	Nº170-I d.C.	Fauna mamífero	0.70811
ACL-1867	NCQV-0013	1372	Nº 18-II a.C.	Fauna mamífero	0.70819
ACL-1868	NCQV-0001	1373	18-IIa.C.	M2	NA
ACL-1869	NCQV-0001	1373	18-IIa.C.	R fémur	0.70816
ACL-1870	NCQV-0002	1383	Nº 22-IIa.C.	L tibia	0.70814
ACL-1871	NCQV-0002	1383	22-IIa.C.	R fémur	0.70811
ACL-1872	NCQV-0003	1440	Nº 24-IIa.C.	LM2	0.70883
ACL-1873	NCQV-0003	1440	24-IIa.C.	R fémur	0.70813
ACL-1874	NCQV-0004	1464	Nº 31-IIa.C.	M1	0.70825
ACL-1875	NCQV-0004	1464	31-IIa.C.	R tibia	0.70812
ACL-1876	NCQV-0005	2273	Nº 41-IIa.C.	R tibia	0.70820
ACL-1877	NCQV-0005	2273	41-IIa.C.	L fémur	0.70819
ACL-1878	NCQV-0006	2261	Nº 42-IIa.C.	M1	0.70840
ACL-1879	NCQV-0006	2261	Nº42-IIa.C.	L fémur	0.70820
ACL-1880	NCQV-0007	2204	Nº 38-II a.C.	LM3	0.70891
ACL-1881	NCQV-0007	2204	Nº38-II a.C.	L tibia	0.70825
ACL-1882	NCQV-0008	2195	Nº 40-II a.C.	LM3	0.70875
ACL-1883	NCQV-0008	2195	Nº40-II a.C.	L tibia	0.70816
ACL-1884	NCQV-0009	2447	Nº 170-I d.C.	LM2	0.70839
ACL-1885	NCQV-0010	2415	Nº 161-I d.C.	LM3	0.70849

Las proporciones de isótopos (sr) observados de las muestras de esmalte y huesos humanos son bastante homogéneos y coherentes con las proporciones isotópicas halladas en las muestras de fauna arqueológica. La homogeneidad en el conjunto de datos implica que los individuos muestreados consumían estroncio con la misma firma o firmas isotópica durante la formación del esmalte y hueso, siendo probable que vivieran en la misma región geológica (Knudson, 2009).

De acuerdo con estos datos, las muestras humanas analizadas y aquellas pertenecientes a la fauna seleccionada, proceden de una misma área geográfica y

¹⁹ Las tumbas (38 y 40) corresponden con las que el finado se encuentran en posición anómala (Láminas 5.15, 5.16). La tumba 42 es la construida con adobes (Figura 6.17). La razón de escoger estas tumbas se debió a criterios fundamentados en establecer relaciones de coincidencia con las tumbas de cámara, y poder hacer inferencias con un mismo origen.

obviamente no es *Valentia*. Siguiendo la hipótesis sobre la procedencia de unas zonas concretas de la península Itálica a partir de paralelos arqueológicos, se procedió a comparar los resultados de estroncio obtenidos, con los isótopos reflejados en los mapas geológicos de Italia.

El estudio isotópico del Sr en los estratos geológicos cuaternarios de la península Itálica se ha ido completando a lo largo de la última década, y es conocida la existencia de un gradiente N-S que oscila entre (0,078 a 0,705) (Peccerillo, 2003) (Tabla 6.85).

Por otra parte, el estudio de aguas naturales y termales aporta información estable como trazador del origen (Barbieri *et al.*, 1998; Boschetti *et al.*, 2005).

Tabla 6.85: Valores isotópicos $^{87}\text{Sr}/^{86}\text{Sr}$ de la península Itálica y *Valentia* (S: Pioch *et al.*, 2003; S-T: Feldstein *et al.*, 1994; W-T: Boschetti *et al.*, 2005; C: Herz *et al.*, 1986; P: Civetta *et al.*, 1991; A: Civetta *et al.*, 1991; C: Martelli *et al.*, 2004; CE y CB: Killgrove, K, 2010).

Sigla	Región	$^{87}\text{Sr}/^{86}\text{Sr}$
S	Somma (Lombardía)	0,70628
S-T	Toscana	0,70820
W-T	Toscana	0,70834
M-C	Carrara	0,70810
V	Presente estudio	0,70817
P	Pompei	0,70766
A	Avellino	0,70728
S-C	Campania	0,70560
CE	Roma	0,70928
CB	Roma	0,70907

Esta nueva investigación consistió en la realización de un rastreo de las zonas que desde nuestro punto de vista y según los paralelos funerarios que aportamos, pudiera proceder el contingente humano de la fundación (actual Toscana, zona compatible con la Antigua Etruria), y la comparamos con otras áreas geográficas de la península que sostienen otros autores (Ribera, 1996; 1998; Ribera y Jiménez, 2014; Rosselló y Ruiz, 1996). La búsqueda no se limitó a estas regiones sino que también se establecieron comparaciones con zonas más alejadas y norteñas como la de Somma en la Lombardía o incluso más próximas como la zona del Lacio (CB Casal Bertone y CE, Castellaccio Europarco).

Los resultados obtenidos apuntan una clara coincidencia entre los datos resultantes de nuestros análisis, con los datos leídos en los mapas geológicos de la región de Toscana (Antigua Etruria) (Figura 6.69). También puede comprobarse como estos resultados isotópicos de la necrópolis, en principio, no tienen relación de muestreo con las otras zonas patrón (Pompeya y Campania) aportando resultados isotópicos diferentes.

La muestra de tierra de la excavación (patrón *Valentia*) supone un dato más de diferencia ya que sus resultados resultan poco coincidentes con los obtenidos en las tumbas demostrando la foraneidad de los fundadores de la ciudad, quedando sobradamente demostrado con este estudio.

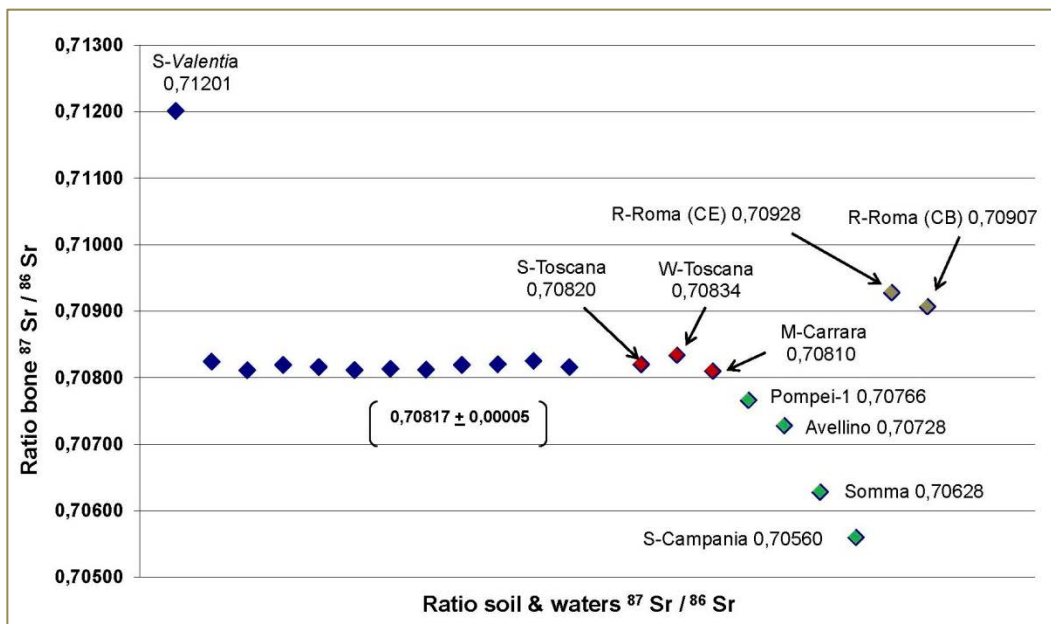


Figura 6.69: Correlación de resultados con la península Itálica. Datos obtenidos de: (S: Pioch *et al.*, 2003; S-T: Feldstein *et al.*, 1994; W-T: Boschetti *et al.*, 2005; C: Herz *et al.*, 1986; P: Civetta *et al.*, 1991; A: Civetta *et al.*, 1991; C: Martelli *et al.*, 2004; CE y CB: Killgrove, K, 2010).

En conclusión, este trabajo expone las coincidencias entre los primeros pobladores de la ciudad y su relación con zonas geográficas de la península Itálica, concretamente en la región de influencia de Etruria. Ello no significa que se rechacen las hipótesis que fundamentan el origen de la ciudad en zonas centroitálicas (samníticas) defendidas por la tradición historiográfica. Sino que más bien, aporta nuevas interpretaciones a la vez que da por concluida una investigación que ha contado con la participación de diversas disciplinas científicas. Estos análisis son coherentes con las hipótesis ya planteadas y publicadas en diversos trabajos por esta autora, fundamentados en la investigación de unos gestos funerarios particulares y exóticos del *funus valentiae*.

7. CONCLUSIONES

Uno de los aspectos más interesantes de la presencia romana en *Hispania*, consiste en la forma en que colonos e indígenas construyeron sus relaciones durante los últimos siglos de la época tardo-republicana, fraguando la nueva sociedad embarcada en el proceso de romanización. Es este un período con muchas sombras, cuyas dinámicas sociales permanecen a menudo inexplicadas, pues escasean los conjuntos funerarios como el de Valencia, donde la impronta colonial se manifiesta de manera tan rotunda. La necrópolis romana de la calle Quart, considerada hasta el momento como la más antigua de la ciudad, ofrece datos y pautas que corresponden a ese interesante periodo.

La topografía funeraria para el primer momento denota una fuerte superposición de tumbas simples que ponen de manifiesto una carencia del espacio, y una pérdida de la memoria de los enterramientos, tal vez, por una ausencia de señalización. Este hecho no parece afectar a las tumbas de cámara, ya que no sufrieron alteración por la construcción de otras tumbas para este periodo, y sí en cambio, por la construcción de estructuras bajomedievales y contemporáneas.

La tipología de enterramiento para las inhumaciones es variada, hasta ocho formas diferenciadas, siendo la mayoritaria la correspondiente a las tumbas simples-A, excavadas en los estratos naturales de arcillas y arenas.

Con respecto a la distribución de tumbas por sexos no parece que haya una disposición organizada del espacio, no hay pues un lugar determinado en función del sexo y/o edad del finado, acumulándose las tumbas en el sector de la necrópolis que tiene como límite meridional la zanja votiva.

Las orientaciones son arbitrarias aunque hay una tímida predominancia en la orientación E-O, con ligeras variaciones, dependiendo de la estación del año. La mayoría de las tumbas simples adoptan esta orientación, de la misma forma que la tumba de adobes, dos de las simples-B, así como cinco de las seis tumbas de cámara.

No parece que haya una distribución organizada en cuanto a las deposiciones (siendo mayoritaria aquella en decúbito supino) y las posiciones de brazos y piernas. De la misma forma, tampoco hay diferencias entre sexos y tipo de deposición, en relación con el ajuar funerario.

Las tumbas de cámara o hipogeos (Tipo-G), suponen un hecho insólito para *Valentia*. La presencia de estos enterramientos asociados a un ajuar tipo indica el posible origen de los primeros pobladores, cuyas tradiciones funerarias, de raigambre helenística, enriquecen el panorama funerario de la ciudad.

Rituales y tipología funeraria proporcionan información sobre los moradores de la ciudad. La comunidad que acudió a fundar la colonia aparece como un contingente de itálicos

exentos de cualquier componente indígena. El carácter foráneo de las tumbas se desprende de su tipología, y de prácticas rituales como la *Porca Praesentanea*. Las ánforas vinarias y los *strigiles* reflejan incluso rituales dionisiacos y la frecuentación de la palestra, propias de una educación “a la griega”.

El estudio de la fauna presente en las tumbas ofrece información sobre el tipo de sacrificio, mientras que las marcas antrópicas efectuadas sobre los restos, ponen de manifiesto el conocimiento de las normas religiosas en materia funeraria. Las deposiciones primarias y secundarias de animales, reflejan la voluntad del disfrute y alimentación del deceso en el más allá, a la vez de ser símbolo purificador para los familiares y amigos asistentes al funeral. Todo parece indicar que los ocupantes de estas tumbas serían miembros de la élite social artífice de la fundación colonial.

La presencia de ofrendas en este periodo es mayor en comparación con el periodo imperial. Los materiales cerámicos y de otra naturaleza como metales, objetos personales, e incluso, fauna que formaron parte de los ajuares funerarios, confirman los preceptos reflejados en las fuentes clásicas, y denotan la preocupación por cumplir con el *funus*.

Otro conjunto de tumbas de importancia en la lectura del ritual funerario, lo componen aquellas de grandes dimensiones (Simples-B), con individuos enterrados en posiciones anómalas, poco convencionales, cuya ausencia de ajuar funerario y posiciones forzadas, denotan una celebración rápida del funeral. Una posible interpretación, al menos para uno de los casos estudiados, es la causa de la muerte por una enfermedad infectocontagiosa, la tuberculosis.

Próximos a estas interpretaciones se encuentran los enterramientos en decúbito prono, que si bien en el periodo imperial son más numerosos, en el momento fundacional ponen de manifiesto la existencia de un estrato social bajo, al igual que los esqueletos hallados en la única fosa común (*puticulus*) de la necrópolis, ejemplo de los *miserii*.

El ritual de la cremación, también estuvo presente en la casuística funeraria del primer momento. Correspondientes a esta pauta se encuentran cremaciones primarias (*busta*), y secundarias (*loculi*). De este conjunto de tumbas llamó la atención el *bustum* con restos calcinados de un varón acompañado por su panoplia militar, entre los que destacaba un casco de tipo montefortino.

La presencia de un *ustrinum* pone de manifiesto la actividad crematoria, que consideramos sería mayor a la muestra documentada, ya que el sesgo que supone una excavación urbana limita el conocimiento sobre la extensión real del conjunto funerario.

Las evidencias arqueológicas de esta primera fase de utilización de la necrópolis ofrecen manifestaciones claras de un interés por el cumplimiento del *funus* entre los recién llegados. De los gestos funerarios se traduce el respeto por las normas con un

sentimiento de cohesión independientemente del *status* social. Hay una preocupación por establecer unas bases funerarias sólidas en tierra extraña, y comenzar una nueva vida lejos de sus lugares de origen. En la necrópolis se percibe que todos encuentran su lugar de descanso eterno, ya sean ricos o pobres como ejemplo de una identidad grupal.

La construcción de calzadas en el siglo I a.C., supuso el inicio a una organización del espacio funerario. Esta segunda fase, ofrece un panorama protagonizado por la incorporación al primer grupo de tumbas de un tipo de cremación con características propias. Las inhumaciones se ven claramente reducidas en número, hecho que evoca a interpretaciones relacionadas con los episodios bélicos sufridos por la ciudad.

La actividad crematoria es mayoritaria en este momento, de hecho, los tres *ustrina* documentados dan buena muestra de ello. Al igual que en la fase anterior, el ritual de la cremación está representado por tumbas primarias y secundarias.

La principal característica de este momento, es la diferenciación existente entre las cremaciones secundarias con urna de cerámica ibérica pintada, y los *loculi* excavados directamente en el sustrato. Las urnas ibéricas decoradas, y tapadas con un plato e introducidas en un *loculus*, junto con carbones, restos óseos y ajuar, caracterizan el mundo funerario ibérico de estas tierras, al menos desde el período Orientalizante (s. VII a.C.). Este reducido conjunto, concentrado en dos extremos de la calzada, ha aportado datos antropológicos bien diferentes si lo comparamos con los estudios del resto de los *loculi*.

Los datos aportados por el estudio bioantropológico de las cremaciones muestran resultados diferentes en los índices ponderales, coloración ósea y manipulación de los restos tras la cremación. La selección y conservación de los restos antropológicos aportan claras diferencias rituales, dando a entender una población distinta, bien diferenciada de aquellos colonos incinerados. Todo ello determina la incorporación a la colonia romana de sus primeros moradores indígenas, todavía escasamente romanizados, puesto que siguen practicando el rito tradicional, pero en simbiosis con los colonos, puesto que comparten su mismo cementerio.

La frecuentación de estos lugares se interrumpe, como se ha visto, durante gran parte del s. I a. C. En general, se aprecia una importante disminución de la actividad funeraria, que interpretamos se debe a la repercusión que tiene el estado de la ciudad tras la implicación y *deletio* durante las guerras sertorianas.

En época Imperial el panorama cambió desarrollándose una fuerte actividad funeraria, visible en una zona concreta del solar analizado, junto a la calle Quart.

En el siglo I d.C., los rituales funerarios ofrecen claras diferencias entre el momento republicano e imperial, como si se tratara de dos necrópolis completamente diferentes. Ya sea por tipología de tumbas, como por tipo de ajuar funerario, la necrópolis sufrió una

transformación, y con la “refundación” o segunda *deductio*, llegó un nuevo contingente humano (sin descartar a los descendientes de los fundadores), que habitó de nuevo la ciudad dejando constancia en sus rituales y prácticas funerarias.

A través del registro arqueológico se observa una estandarización del *funus*, que de alguna forma corresponde con lo observado en otras necrópolis del Imperio. Los rituales se homogeneizan, y si bien la dualidad sigue patente, la inhumación fue ganando un terreno definitivo a partir del siglo III d.C., con una disminución de los ajueres funerarios, tendentes a la austeridad hasta su desaparición.

La mayor parte de las inhumaciones del periodo imperial son de tipo simple con presencia de ajueres que según avance la cronología irán disminuyendo en número y representatividad. De estas tumbas destacan aquellas cuyos ocupantes se encuentran enterrados en decúbito prono y en un sector de la necrópolis, junto a la actual calle Quart. Las interpretaciones apuntan a causas relativas a su condición social o a las posibles causas de muerte que motivaron un enterramiento rápido, en ocasiones, con posiciones de brazos forzadas, y con evidencias paleopatológicas compatibles con enfermedades infecciosas como, de nuevo la tuberculosis, y muertes violentas, evidenciadas a través de la presencia de lesiones *perimortem*.

En esta zona de enterramiento también se halló un esqueleto con una argolla de hierro en uno de sus tobillos. Se interpreta como un esclavo o cautivo enterrado junto a una ofrenda de fauna, con evidencias de mortaja y en posición de decúbito supino. Estos gestos denotan un cuidado en la práctica de su enterramiento, que bien pudiera ser un ejemplo de un funeral a cargo de un *collegium*, o bajo el amparo de la fraternidad de esclavos adoradores de Isis (*sodalitium uernarum*), documentada en *Valentia*.

La información aportada por estudios de paleodieta ofrece datos sobre una alimentación mixta, con diferencias de calidad para los individuos enterrados en decúbito prono. Tuvieron una calidad de vida deficiente manifestada por una alimentación deficitaria. De los gestos funerarios y de las enfermedades padecidas, se traduce que estaban relegados de la sociedad, ya fuera por origen, condición y/o enfermedad.

La presencia de clavos en tumbas cuya descomposición de los cuerpos se realizó en medio colmatado, independientemente del tipo de deposición, ofrece información sobre el empleo de estos materiales bien como elemento de protección (por ejemplo, en tumbas infantiles), o bien como manifestación de castigo (ejemplo de ello son algunos casos presentados en individuos en decúbito prono).

Sobre el origen y procedencia de los primeros pobladores, se ha presentado un estudio que refleja dos aspectos fundamentales de la investigación: las fuentes documentales (historiográficas, numismáticas y epigráficas), y los paralelos arqueológicos. Los magistrados monetales, y las fuentes epigráficas, ofrecen *nomina* de personas, y familias (*gentes*), que pudieron formar parte de este contingente fundador, y que procedían de

diversos lugares dentro de la península Itálica, concretamente zona centro-sur y Etruria. Por su parte, la búsqueda de paralelos de las tumbas de cámara y sus ajuares, ha aportado una cartografía de las necrópolis Itálicas que ofrece se concentran en la actual región de La Toscana, antigua Etruria.

Como complemento a las investigaciones más tradicionales, se ha realizado un análisis del estroncio ($^{87}\text{Sr}/^{86}\text{Sr}$), el cual aporta información sobre la movilidad en épocas pasadas, y supone un aliado de la Arqueología. Los resultados isotópicos obtenidos, de acuerdo con una estrategia de muestreo, exponen coincidencias entre los primeros pobladores de la colonia, y su relación con zonas de la península Itálica, concretamente en la región de influencia de Etruria.

Estos análisis preliminares, son coherentes con las hipótesis ya planteadas y presentadas en esta tesis. Son resultados objetivos que aportan una nueva teoría a las interpretaciones ya existentes sobre los primeros pobladores. Ello no significa que se rechacen las hipótesis que fundamentan el origen en zonas centro-itálicas, sino que se incorporan otras nuevas con el estudio de esta necrópolis, elegida por los artífices de la fundación como morada eterna.

8. BIBLIOGRAFÍA

AA.VV (2009): *Rites funéraires à Lugdunum*. (Goudineau, dir). Paris.

AEP (Asociación Española de Paleopatología), (2005): *Boletín de la Asociación Española de Paleopatología*, N° 43, 9.

ABASCAL PALAZÓN, J.M (1991): La muerte en Roma: fuentes, legislación y evidencias arqueológicas. En: *Arqueología de la Muerte: metodología y perspectivas actuales*. Fons Mellaria, Curso de verano, Córdoba, 220 y ss.

AGUAROD, C (1991): *Cerámica importada de cocina en la Tarraconense*. Institución Fernando el Católico Zaragoza.

ALAPONT MARTÍN, LL; CALVO GÁLVEZ, M y RIBERA LACOMBA, A (2010): La destrucción de Valencia por Pompeyo (75 a.C). *Quaderns de difusió Arqueològica*, 6. Ajuntament de València.

ALAPONT MARTÍN, LL y RIBERA LACOMBA, A (2010): Cementerios tardoantiguos de Valencia: arqueología y antropología. *Anales de Arqueología Cordobesa (AAC)*. N° 17, Vol II, 161-194. Área de Arqueología. Facultad de Filosofía y Letras. Universidad de Córdoba.

ALEMAN, I; BOTELLA, MC y RUIZ, L (1997): Determinación del sexo en el esqueleto postcraneal. Estudio de una población mediterránea actual. *Arch. Esp. Morfol.*2, 69-79.

ALBIACH, R y SORIANO, R (1996): El cementerio romano meridional: nuevos y viejos datos. *Saitabi*, 46, pp. 101-122.

ALBIACH, R y SORIANO, R (1996): El cementerio romano de Orriols. *Saitabi*, 46, pp. 123-145.

ALCAZAR, J y MANTERO, A. (1991): Estudio antropológico de incineraciones prerromanas y romanas de Carmona, Sevilla. *Congreso Nuevas perspectivas en Antropología*. Granada, Vol. I, 27-33.

ALFAYÉ, S (2009): *Sit tibi terra gravis*: magical-religious practices against restless dead in the ancient world. *Formae Mortis: El tránsito de la vida a la muerte en las sociedades antiguas*. (Simón, Pina, Remesal, Eds). *Instrumenta*, 30. Universidad de Barcelona, 181-214.

ALFAYÉ, S (2010): Nails for the dead: a polysemic account of an ancient funerary practice. En: *Gordon, R y Marco, F. Magical practices in the Latin West*, Brill, Leiden-Boston, 427-456.

ALMAGRO, MJ y ALONSO, E (2009): Vidrios antiguos. *Museo Nacional de Artes decorativas*. Real Academia de la Historia, Madrid.

- ALMELA, L (2001): La inscripción de *Cupra maritima*, la colonia de *Valentia* y la *Lex plotia agraria*. *Saguntum (P.L.A.V)* Papeles del laboratorio de Arqueología de Valencia nº33, 65-74.
- ALMELA, L (2011): La colonia “pompeyana” de *Valentia*. *POLIS. Revista de ideas y formas políticas de la Antigüedad Clásica* 23, 7-34.
- ALVAR, J (1997): Héroes ajenos: Aníbal y Viriato. En: *Héroes y antihéroes en la Antigüedad clásica*. (Alvar y Blázquez, eds), 137-153.
- AMANTE, M. y GARCÍA, L. (1988): La Necrópolis Tardorromana de La Molineta. Puerto de Mazarrón (Murcia). Calle Santa Teresa, nums.36-38. Arte y Poblamiento en el S.E peninsular. *Antig.crist.* (Murcia) V, 449-469.
- AQUILUÉ, X (1994): La cerámica común africana *Ceràmica comuna romana d'època Alto- Imperial*. Estat de la qüestió, *Monografies Emporitanes, VIII*, Barcelona, 61-72.
- ARANDA, C (1948): Ajuar funerario de la necrópolis de la Boatella, *III C.A.S.E*, Murcia-Cartagena, 271-274.
- ARANEGUI, C (1985): Las jarritas bicónicas grises de tipo ampuritano. En: *Ceràmiques gregues i helenístiques a la Península Ibérica*. Barcelona, 101-113.
- ARASA, F (2012): Apuntes sobre la epigrafía romana de *Valentia*. *Espacio, Tiempo y Forma, Serie II, Historia Antigua*, T 25, 281-304.
- ARBELOA, J.V (1995): L'arqueologia de la mort a l'Alt Imperi: El suburbi oriental de Tàrraco. *L'arqueologia de la mort. El món funerari a L'Antiguitat a la Catalunya Meridional*, Vol 1. Tarragona, 119-137.
- ARCE, J (1988): *Funus Imperatorum*. Alianza Forma.
- ARCE, J (2000): *Memoria de los antepasados*. Electa.
- ARIAS, P.E (1971). Sovana. Grosseto. Scavi effettuati dal 1962 al 1964. *Atti della Accademia Nazionale dei Lincei*, Vol. XXV-I, 55-85. Roma.
- ARNAU, B; GARCÍA, M.I; RUIZ, E; SERRANO, M.L (2003 a): El monumento funerario templiforme de la plaza de San Nicolás, Valencia, y su contexto arqueológico. *Saguntum (P.L.A.V)* Papeles del laboratorio de Arqueología de Valencia Nº35, 177-195. Valencia.
- ARNAU, B; GARCÍA, M.I; RUIZ, E; SERRANO, M.L (2003 b): Un nuevo espacio funerario en la ciudad de *Valentia*. *Revista de Arqueología*, Nº 266, año XXIV, 25-31.
- AUDIN, A (1960): Inhumation et incinération, *Latomus*, XIX, 518-532.
- AUFDERHEIDE, A y RODRÍGUEZ-MARTÍN, C (1998): *The Cambridge Encyclopedia of Human Paleopathology*. Cambridge University Press.

- A.A V.V, (1981): Atlante delle forme ceramiche, I: Ceramica fine romana nel Bacino Mediterraneo (Medio e Tardo Impero), *Enciclopedia de// 'ArteAntica*, Suppl., (A, Carandini, ed.), Roma.
- AAVV, (1998): *50 años de viaje arqueológico en Valencia*. Grandes temas arqueológicos, 1 (Ribera, A, coord). Ayuntamiento de Valencia.
- BALCAEN, L.; I. D. SCHRIJVER, *et al.* (2005). Determination of the $^{87}\text{Sr}/^{86}\text{Sr}$ Isotope Ratio in USGS Silicate Reference Materials by Multi-Collector ICP–Mass Spectrometry. *International Journal of Mass Spectrometry* 24(2-3), 251-255.
- BALLESTER, I (1946): *La labor del S.I.P. y su Museo en el pasado año 1945*. Valencia.
- BALLESTEROS, M (1947): *Una necrópolis antigua en la ciudad de Valencia*. Atracción, nº 148.
- BARBIERI M, BARBIERI M, FIDELIBUS MD, MOROTTI M, SAPPÀ G, TULIPANO, L (1998): First results of the application of the isotopic ratio $^{87}\text{Sr}/^{86}\text{Sr}$ in the characterization of seawater intrusion in the coastal karstic aquifer of Murgia (Southern Italy). *Proceedings of 15th Salt Water intrusion Meeting*, Ghent (Belgium), 1-9.
- BELÉN, M; GIL DE LOS REYES, S; HERNÁNDEZ,G; LINEROS,R; PUYA,M (1986): Rituales funeraris a la necrópolis de Carmona (Sevilla). *Revista Cota Zero*, nº2, 53-61.
- BEL, V (2002): *Pratiques funéraires du haut-Empire dans la midi de la Gaule. La nécropole Gallo-Romaine du Valladas à Saint-Paul-Trois-Châteaux (Drôme)*. UMR154 du CNRS. Lattes.
- BELTRAN DE HEREDIA, J (2007): *La necrópolis de la Plaza de la Villa de Madrid*. QUARHIS, Época II, nº.3. Museu d'Història de la Ciutat. Ajuntament de Barcelona.
- BENEDITO I NUEZ, J; MELCHOR, J.M y SEGUÍ, J.J (2007): Nuevas aportaciones a la necrópolis romana del sector meridional de la ciudad de *Valentia*, junto a la vía Augusta. *Cæsaraugusta*, 78, 631-644.
- BINFORD, L.W (1972): Mortuary Practices: their study and their potencial. En: L.R. Binford (Ed.): *An Archaeological Perspective*, Seminar Press. New York, 208-243
- BLÁNQUEZ, J (2001): El paisaje funerario ibérico: propuestas renovadas de estudio. En: *Arqueología Funeraria. Las necrópolis de incineración*. Universidad de Castilla La Mancha, 91-139.
- BLAIZOT, F (2009): *Le maintien des pratiques traditionnelles au Bas-Empire*. En: *Rites funéraires à Lugdunum*. (Goudineau, Ch. edit). Errance. Paris, 175-178.
- BOHNERT, M.; ROST, T.; FALLER-MARQUART, M.; ROPOHL, D.; POLLAK, S (1997): Fractures of the base of the skull in charred bodies – postmortem heat injuries or sign of mechanical traumatism? *Forensic Science International*, 87, 55-62.

- BONNIEC, H (1958): *Le culte à Cères à Rome. Des origins à la fin de la République*. Études et Commentaires, XXVII. Paris.
- BOSCHETTI, T; VENTURELLI, G; TOSCANI, L; BARBIERI, M; MUCCHINO, C (2005): The Bagni di Lucca thermal waters (Tuscany, Italy): an example of Ca-SO₄ waters with high Na/Cl and low Ca/SO₄ ratios. *Journal of Hydrology* 307(1), 270-293.
- BOYANCÉ, P (1972): *Études sur la religion romaine*. Collection de l'école Française de Rome, 11.
- BOYLSTON, A; KNÜSEL, C.J & ROBERTS C.A (2000): Investigation of a Romano-British Rural ritual in Bedford, England. *Journal of Archaeological Science*, 27, 241-254.
- BRADLEY, K (1998): *Esclavitud y sociedad en Roma*. Col. Historia, Ciencia, Sociedad, Edic. Península. Barcelona.
- BUDD, P; J. MONTGOMERY, *et al.* (2000): Differential Diagenesis of Strontium in Archaeological Human Dental Tissues. *Applied Geochemistry*, 15, 687-694.
- BUIKSTRA, J.E y UBELAKER, D. H (1994): *Standars for data collection from human skeletal remains*. Arkansas Archaeological survey research series N.44.
- BUXÓ, R (1997). *Arqueología de las plantas*. Edit. Crítica. Barcelona, 309-327.
- CALVO, M (1991): Estudio antropológico y paleopatológico d los restos humanos exhumados en L'Almoína (Valencia), víctimas de las guerras sertotianas. En: *Nuevas perspectivas en Antropología. VII Congreso nacional de Antropología biológica*. Granada, 91-105.
- CALVO, M (2000): El cementerio del área episcopal de Valencia en la época visigoda. En: *Los orígenes del cristianismo en Valencia y su entorno*. Grandes temas arqueológicos, nº2. Ajuntament de Valencia, 193-205.
- CAMPILLO, D (1997 a): Paleopatología, una especialidad médica. *Boletín de la Asociación Española de Paleopatología*, nº 14, 4-7.
- CAMPILLO, D (1997 b): Paleopatologia, una especialitat historicomèdica quasi desconeguda i negligida. *Afers*, nº 26, 171-179.
- CANCI, A y MINOZZI, S (2005): *Archeologia dei resti umani*. (Carocci, ed). Roma.
- CAPASSO, L y DI TOTTA, G (1998): Lece buried under the ashes of Herculaneum. *The Lancet*, 351 (9017), 992.
- CAPITANO, M y MERCANDO, L (1974). Regione V. Piceno. La necropoli romana di Portorecanati. *Atti della Accademia Nazionale dei Lincei*, Vols XXVIII,I, 145-422. Roma.
- CARMONA, P (1990): La formació de la plana al.luvial de València. *Geomorfología, hidrología i geoarqueologis de l'espai litoral del Túria*. Estudis Universitaris, Sèrie Major 5, edicions Alfons el Magnanim. València.

- CARMONA, S (1990): La Necrópolis Tardorromana de “El Ruedo” Almedinilla. *Anales de arqueología Cordobesa I*, 155-171.
- CASAS, J y RUIZ DE ARBULO, J (1997): Ritos domésticos y cultos funerarios. Ofrendas de huevos y gallináceas en villas romanas del territorio emporitano (s. III d.C.) *Pyrenae*, nº28, 211-227.
- CAVAGNARO, L y MORETTI, M (1972). Tarquinia. Viterbo. Sei tombe a camera nella necropoli dei Monterozzi, località Calvario. *Atti della Accademia Nazionale dei Lincei*. Vol. XXVI, Roma, 148—194.
- CEBRIÁN, R y HERREROS, T (2008): Las aras de la necrópolis de la Boatella (Valencia). *Archivo de Prehistoria Levantina (APL)* Vol. XXVII, 303-317.
- CERCHIAI, L (1982). Sesso e classi di età nelle necropoli greche di Locri Epizefiri. En: *La Mort, les morts dans les sociétés anciennes*. (G.Gnoli y J-P Vernant, ed). Cambridge-Paris, 298 y ss.
- CIURANA, J (2011): *Pràctiques i rituals funeraris a Tàrraco i el seu Ager (Segles II a.C-IV d.C)*. ICAC. Universitat Rovira i Virgili. Tarragona.
- CIVETTA, L; GALATI, R; SANTACROCE, R (1991): Magma mixing and convective compositional layering within the Vesuvius magma chamber, *Bulletin of Volcanology* 53(4), 287-300.
- CORNELIO, C y CAVALLARI, C (2010): Le tombe 76, 109, 161 e 244 della necropoli romano-imperiale (I-III sec. D.C.) della nuova stazione dell’Alta Velocità di Bologna. En: *Sepoltore anomale. Indagini archeologiche e antropologiche dall’epoca classica al Medioevo in Emilia Romagna*. (Castelfranco Emilia, 19 dicembre 2009). (Maria Giovann Beleastro y Jacopo Ortalli, eds). Quaderni di Archeologia dell’Emilia Romagna, 28, 85-102.
- COSTANTINI, A (2013): Sepolture “anomale” di età romana: alcuni esempi da pisa. *Milliarum*, nº 10. Periodico di informazione archeologica, 114117.
- CUEVES, D (1948): Elementos constructivos romanos encontrados en la necrópolis de la Boatella de Valencia, *III C.A.S.E*, Murcia-Cartagena, 275-278.
- CUQ, E (1896): s.v *Funus*. En : Daremberg, G; Saglio, E; Pottier, E. *Dictionnaire des Antiquités Grecques et Romaines*. T.II, 2ª parte. Paris, 1386-1409.
- CHAPA, T (1991): La Arqueología de la Muerte:Planteamientos problemas y resultados. Seminario Arqueología de la Muerte, Fons Mellaria. Cultura: pueblo a pueblo, 13-33.
- CHIMENOS, E (2000): Tinciones dentarias de época romana. *Gaceta dental*, nº 108, 52-54.
- DAREMBERG, G; SAGLIO, E; POTTIER, E, (1896 a): s.v *Strigilis*. *Dictionnaire des Antiquités Grecques et Romaines*. Paris, 1532-1533.

DAREMBERG, G; SAGLIO, E; POTTIER, E, (1896 b): s.v *Clavus*. Dictionnaire des Antiquités Grecques et Romaines Paris, 1238-1242.

D.F.M.I.S (1787): *Breve compendio de las costumbres y ceremonias de los antiguos romanos*. En la Imprenta real. Facsímil, Librerías París-Valencia. Valencia.

DUDAY, H; COURTAUD, P; CRUBEZY, E et all (1990): L'Anthropologie "de terrain": reconnaissance et interpretation des gestes funéraires, En: *Bulletins et Mémoires de la Société d'Anthropologie* de Paris, 2, 26-49.

ESCRIVÀ, M^a I.; JIMÉNEZ, J. L.; RIBERA, A. (2013): La curia y la basílica de *Valentia*. *Las sedes de los ordines decurionum en Hispania*. (Soler, B., Mateos, P.; Noguera, J. M. y Ruiz de Arbulo, J, eds.). Análisis arquitectónico y modelo tipológico, Anejos de AEspA LXVII, Mérida, 53-68.

FAZEKAS, I. Gy y KÓSA, F (1978): *Forensic fetal osteology*. Budapest.

FELDSTEIN S.N.; HALLIDAY A.N.; DAVIES G.R.y HALL C.M, (1994): Isotope and chemical microsampling: Constraints on the history of an S-type rhyolite, San Vincenzo, Tuscany, Italy. *Geochimica et Cosmochimica Acta* 58(2), 943-958.

FERDIÈRE, A (2000): *Archéologie funéraire*. Collection "Archéologiques". Edit. Errance. Paris.

FERNÁNDEZ IZQUIERDO, A (1984): *Las ánforas romanas de Valentia y su entorno marítimo*. Ayuntamiento de Valencia. Delegación Municipal de Cultura, Arqueología, nº 3, Valencia.

FÉVRIER, P.A (1987): Nécropoles à incineration du Haut-Empire, *Table Ronde de Lyon*, 30-31 mai 1986.

FIUMI, E (1972): *Volterra. Pisa. Gli scavi degli anni 1960-1965 nell'area della necropoli di Badia*. Atti della Accademia Nazionale dei Lincei, Vol. XXVI-I, 52-136. Roma.

FLETCHER, D (1955): Valencia, *N.A.H* 11, noticia nº 731, 231.

FLETCHER, D (1963): Consideraciones sobre la fundación de Valencia. *Archivo de Prehistoria Levantina*, vol. X, 163-206.

GALLELLO, G (2008): Aspectos de paleodieta en restos óseos de época tardoantigua hallados en la necrópolis de la Boatella en Valencia (CAMPAÑA 2006-2007). *Archivo de Prehistoria Levantina* Vol. XXVII, 319-338.

GALLEGO, M y SUBIRÀ, M.E (2000): Características sociales y biológicas de la población de la Quinta ed San Rafael (Tarragona, Siglos II-V d.C.) a partir del análisis de elementos traza. En: *Investigación en biodiversidad humana*. (Varela, Ta, ed). Universidad de Santiago de Compostela, 223-230.

GARCÍA MATAMALA, B (2003): Enterramientos de tradición indígena en *Corduba. Anales de Arqueología Cordobesa* (AAC). Nº 13-14, 251-277. Área de Arqueología. Facultad de Filosofía y Letras. Universidad de Córdoba.

GARCÍA-PRÓSPER, E (2001): Algunos apuntes sobre las prácticas funerarias de época romana en *Valentia. Saguntum (P.L.A.V)* Papeles del laboratorio de Arqueología de Valencia, 33, 75-84.

GARCÍA-PROSPER, E. (2002): Los ritos funerarios de los primeros pobladores de *Valentia* (ss. II-I a.C). Trabajo de Investigación de Tercer Ciclo (D.E.A en Arqueología) 242 páginas. Dpto. Prehistoria i Arqueología. Universitat de València (inédito).

GARCÍA-PRÓSPER, E (2005): Memoria arqueológica calle del Abate, 4 de Valencia. Depositada en el SIAM (Servicio de investigación arqueológico municipal), Ayuntamiento de Valencia, Dirección General de Patrimonio Arqueológico. Conselleria de Cultura. Generalitat Valenciana (inédito).

GARCÍA-PRÓSPER, E. (2006): En el entorno funerario de las vías romanas. A propósito de la necrópolis romana de la calle Quart de Valencia. En: García-Prósper E, De Madaria JL, Sánchez P, Guérin P (eds). *Catastros, hábitats y vía romana*. Valencia: Consorci de Museus de la Generalitat Valenciana, p.177-195.

GARCÍA-PRÓSPER, E y GUÉRIN, P (2002): Nuevas aportaciones en torno a la necrópolis romana de la calle Quart de Valencia (S.II a.C-IV d.C). *Actas del Congreso Internacional Espacios y usos funerarios en el Occidente Romano*. Ed: Vaquerizo, D. Córdoba, 203-216.

GARCÍA-PRÓSPER, E., LÓPEZ FLORES, I. y POLO CERDÁ, M. (2009): Esclavitud, cautividad y muerte en *Hispania*. A propósito de los casos de *Valentia. Ilipa y Gades*. En: *Investigaciones histórico-médicas sobre salud y enfermedad en el pasado. Actas del IX Congreso Nacional de Paleopatología*. (M, Polo y E, García- Prósper, eds), Valencia, 717-726.

GARCÍA-PRÓSPER, E; MARTÍ, M; GUÉRIN, P y RAMÍREZ, M (1999): La necrópolis romana de la calle Quart. Resultados recientes. *Actas del XXV Congreso Nacional de Arqueología*. Generalitat Valenciana. Valencia, 295-305.

GARCÍA-PRÓSPER, E. y POLO CERDÁ, M. (2003): Enterramientos en decúbito prono y un posible preso entre los primeros pobladores de Valencia (siglos II a.C.- III d.C.). En: *¿Dónde estamos? Pasado, presente y futuro de la Paleopatología*. (M, Campo y F, Robles, eds). Universidad Autónoma de Madrid, 298-316.

GARCÍA-PRÓSPER, E y POLO CERDÁ (2009). *Informe bioantropológico de cuatro urnas de cremación de la necrópolis romana de la calle Sagunto*, 26-28. Valencia (inédito).

GARCÍA-PRÓSPER, E.; POLO CERDÁ, M. y GUÉRIN, P. (2002-2003): Rituales funerarios ibéricos en la necrópolis fundacional de *Valentia*. *Anales de Arqueología*

Cordobesa (AAC). Nº 13-14. Área de Arqueología. Facultad de Filosofía y Letras. Universidad de Córdoba, 279-310

GARCÍA-PRÓSPER, E.; POLO CERDÁ, M.; GUÉRIN, P. (2007): Aproximación a la arqueología funeraria de Valencia a través de la necrópolis de la calle Quart (ss. II a.C-III d.C): estudio preliminar de los rituales funerarios, bioantropología y paleopatología. En: *Enfermedad, muerte y cultura en las sociedades del pasado. Importancia de la contextualización en los estudios paleopatológicos. Vol I. Actas del VIII Congreso Nacional de Paleopatología-I Encuentro Hispano-Luso de Paleopatología* (Cáceres 16-19 noviembre de 2005). (F.J. Barca y J. Jiménez, ed.), 159-187.

GARCÍA-PRÓSPER, E.; POLO CERDÁ, M.; MELCHOR, J. M. y BENEDITO, J. (2005): Un amuleto con un diente deciduo en un enterramiento infantil de *Valentia* (s. I-II d.C.). *Nuevas perspectivas del diagnóstico diferencial en Paleopatología*. (A. Cañellas, ed.), 534-539. Museu de Menorca.

GARCÍA-PRÓSPER, E.; POLO CERDÁ, M.; ROMERO RAMETA, A. y IBORRA, P. (2010): Rituales alimentarios y economía de subsistencia en las tumbas de cámara de la necrópolis romana de la calle Quart de Valentia (ss. II a.C- III d.C). En: *De la cuina a la taula. IV Reunió d'economia en el primer mil·lenni AC* (C. Mata, G. Pérez y J. Vives-Ferrándiz, eds.). *Saguntum*, extra nº 9, Universitat de València, 233-242.

GARCÍA-PRÓSPER, E.; POLO CERDÁ, M.; ROMERO RAMETA, A.; IBORRA, P.; GUÉRIN, P. (en prensa): Diet and italic funerary rites in the founding necropolis of *Valentia-Hispania*. En: *Identités, pratiques et organisation des espaces funéraires durant l'Antiquité romaine en Méditerranée occidentale: travaux d'archéo-anthropologie/Identity, mortuary practices and organization of the funerary space during the Roman Antiquity in western **Mediterranean***: advances in archaeo-anthropology, (Y. Gleize y D. Castex, eds). Ed. Mergoil.

GARCÍA-PRÓSPER, E y SÁEZ LANDETE, M (1999): Nueva campaña de excavaciones en la necrópolis romana de La Boatella. *Actas del XXV Congreso Nacional de Arqueología*. Generalitat Valenciana. Valencia, 306-313.

GARNOTEL, A; FABRE, V (1991). La place de l'enfant médiéval dans l'espace des morts. Apport des fouilles du Lunellois. En: *L'enfant, son corps, son histoire*. (L. Buchet, edit). APDCA, 9-23.

GEJVALL, N.G (1969): *Cremations*. En: *Science in Archaeology*. London, Thames and Hudson, 2ª edición, (D.Brothwel y E. Higgs, eds), 468-479.

GINO LO PORTO, F (1981): Metaponto. Matera. Basilicata. Nuovi scavi nella città e nella sua necropoli. *Atti della Accademia Nazionale dei Lincei*, Vol. XXXV, Roma, 289-389.

GINO LO PORTO, F (1988): Metaponto. Matera, Basilicata. Rinvenimenti nella città antica en el suo retroterra ellenizzato. *Atti della Accademia Nazionale dei Lincei*, Vol. XLII, XLIII, Roma, 322-395.

- GÓMEZ SERRANO, N (1933): *Exacavacions a València. Ab motiu dels seus caterellat i eixamples, ara de bellnou portats alafi*. Facsímil. Institució Alfons el Magnànim. Diputació de València.
- GONZÁLEZ MARTÍ, M (1952): *Cerámica del Levante Español. Siglos medievales*. Tomo II. Alicatados y azulejos. Edit. Labor, 12-17.
- GONZÁLEZ VILLAESCUSA, R (2001): *El mundo funerario romano en el País Valenciano. Monumentos funerarios y sepulturas entre los siglos I a.C-VIII d.C*. Casa de Velázquez. Instituto Alicantino de Cultura Juan Gil Albert.
- GOZÁLBES, M (1997): Los hallazgos numismáticos de una necrópolis de *Valentia* (C/Virgen de la Misericordia). *Anales de Arqueología Cordobesa*, nº8. Área de Arqueología. Facultad de Filosofía y Letras. Universidad de Córdoba, 197-212.
- GRAZIELA, M (2010): I chiodi in época romana. Utilizzo e significati rituali. En: *Sepoltore anomale. Indagini archeologiche e antropologiche dall'epoca classica al Medioevo in Emilia Romagna*. (Castelfranco Emilia, 19 dicembre 2009). (Maria Giovann Beleastro y Jacopo Ortalli, eds). Quaderni di Archeologia dell'Emilia Romagna, 28, 163-166.
- GUÉRIN, P *et al.* (coord), (1998). Los primeros pobladores de *Valentia*: Excavaciones en la Necrópolis Romana de la calle Quart. *Revista de Arqueología*, Año XIX, Nº 204, 34-45.
- GUÉRIN, P, MARTÍNEZ, R (1987-88). Inhumaciones infantiles en poblados ibéricos del área valenciana. *Saguntum. Papeles del laboratorio de Arqueología de Valencia*, (P.L.A.V), 21, 231-265.
- HARRIS, E.C. (1979): *Principles of Archaeology Stratigraphy*. Londres.
- HAYES, J.W (1972 a): *Late Roman Pottery. British School of Rome*. Londres.
- HAYES, J.W (1985 b): *Sigillate Orientali*. Atlante delle forme ceramiche II, 1-96. Roma
- HERZ, N; DEAN, NE (1986): Stable isotopes and archaeological geology: the Carrara marble, northern Italy. *Applied Geochemistry* 1(1), 139-15.
- HOLLY, B (1984): Patterns of Molar Wear in Hunter-Gatherers and Agriculturalists. *American Journal of Physical Anthropology* 63: 39-56.
- HOSKIN, M (1995): Arqueoastromía. *Universo* nº3, Barcelona, 52-57.
- ISINGS C. (1957): *Roman glass from dated finds*, Groningen. Jakarta.
- ISINGS C. (1971): *Roman glass in Limburg*, Groningen. Jakarta.
- JAEGER, W (1978): Heráclito. En: *La teología de los primeros filósofos griegos*. Fondo de Cultura Económica. México.

JIMÉNEZ SALVADOR, J.L (1995): Un monumento funerario romano en forma de altar procedente de Valencia, Homenaje a Milagro Gil-Masarell, I, *Saguntum (P.L.A.V) Papeles del laboratorio de Arqueología* de Valencia, 29, 211-220.

JIMÉNEZ SALVADOR, J.L (1996): Monumentos funerarios romanos de *Valentia*. *Saitabi*, 46, 181-194.

JIMÉNEZ SALVADOR, J.L (2002): Últimas novedades en relación al mundo funerario romano en el este y sureste de *Hispania* (siglos II a.C-IV d.C). En: *Espacios y usos funerarios en el Occidente Romano*. (D, Vaquerizo, ed). Seminario de Arqueología. Universidad de Córdoba, 181-202.

JIMÉNEZ SALVADOR, J.L y RIBERA, A (2002): *Valencia y las primeras ciudades romanas de Hispania*. Grandes temas arqueológicos, 3. Ajuntament de València.

JIMÉNEZ SALVADOR, J.L y RIBERA, A (2005): La topografía religiosa de *Valentia* romana. *Historia de la ciudad, N° IV. Historia urbana*. Valencia, 18-34.

KILLGROVE, K (2010): *Migration and mobility in Imperial Rome*. University of North Carolina Vol II.

KEAY, J (1984): *Late Roman amphorae in the western Mediterranean. A typology and economic study: the Catalan evidence*, British Archaeological Reports, Int. Ser.196, Oxford.

KNUDSON, J.K (2007): La influencia de Tiwanaku en San Pedro de Atacama: Una investigación utilizando el análisis de isótopos del estroncio. *Estudios Atacameños: Arqueología y Antropología Surandinas* N° 33, 7-24.

KNUDSON, J.K (2009): Preliminary Report on Biogeochemical Analysis of Archaeological Human Remains from Valencia, Spain. Center for Bioarchaeological Research Arizona State University (inédito).

LAMBOGLIA, N (1952): *Per una classificazione preliminare della ceramica campana*. Bordighera Italia. Istituto Internazionale di Studi Liguri.

LÉCRIVAIN, CH (1896): s.v *Funus*. En : Daremberg, G; Saglio, E; Pottier, E. *Dictionnaire des Antiquités Grecques et Romaines*. T.II, 2ª parte, Paris, 1368-1381.

LENORZER, s (2006): Pratiques funéraires du bronze final III b au premier Âge du Fer en Languedoc Occidental et Midi-Pyrénées: Approche archéo-anthropologique des nécropoles à incinération. Université Bordeaux. Tesis doctoral.

LEPETZ, S y VAN ANDRIGA (2008): Archéologie du rituel. Méthode appliqué à l'étude de la nécropole de Porta Nocera à Pompéi. En: Pour una Archéologie du rite. Nouvelles perspectives de l'Archéologie funéraire. (J. Scheid, coord.), 105-126.

- LEPETZ, S. (1993): *Les restes animaux dans les sépultures gallo-romaines*, en: A. Ferdière (ed.), *Monde des morts, Monde des vivants en Gaule rurale* (n° spécial 6; Tours: Revue Archéologique du Centre de la France), 37-44.
- LÓPEZ BORGÑOZ, A (1999): Orientaciones de tumbas y sol naciente. Astronomía cultural en la Antigüedad Tardía. *Actas del Congreso arqueológico Nacional. Cartagena*, 593-610.
- LLORCA, J (1946): *Intervención en el Congreso de Arqueología del Levante Español*. Valencia.
- LLORCA, J (1962): Hallazgo de una necrópolis romana en el antiguo portal de Ruçafa. *Saguntum (P.L.A.V) Papeles del laboratorio de Arqueología de Valencia*, 111-115.
- MACHANCOSES, M (2015): Nuevas propuestas sobre la topografía religiosa de la Valentia romana. *Actes de les I Jornades d'Arqueologia de la Comunitat Valenciana. Quaderns dels Museus municipals de València*, 3. Valencia, 125-134.
- MALLEGNI, F (1977). Tarquinia. Viterbo. Sei tombe intatte nella necropoli di Monterozzi in località Calvario. *Atti della Accademia Nazionale dei Lincei*, Vol. XXXI-I, Roma, 157-210.
- MALLEGNI, F. y RUBINI, M. (1994): *Recupero dei materiali scheletrici umani in archeologia*. Edit. CISU. Roma.
- MANGAS, J (1996): *Aldea y ciudad en la antigüedad hispana*. Cuadernos de Historia. Arco/Libros S.L. Madrid.
- MANGAS, J (2003): La implantación del derecho funerario romano en Hispania (República y Alto Imperio). *Actas de los XIII Cursos monográficos sobre el Patrimonio Histórico*. Cursos sobre el Patrimonio Histórico, n° 7. Reinos, 267-283.
- MANOUVRIER, L (1893): La détermination de la taille d'après les grands os des membres. *Bulletin et Mémoires de la Société d'Anthropologie*, 4, 347-402.
- MARTELLI, M; NUCCIO, P.M; STUART, F.M; BURGESS, R; ELLAM, R.M; ITALIANO, F (2004): Helium-strontium isotope constraints on mantle evolution beneath the Roman Comagmatic Province, Italy. *Earth and Planetary Science Letters*, 224 (3-4), 295-308.
- MARTÍN, A (1955): *Necrópolis Tardorromanas de El Castellet, Estruch y Martí. Las necrópolis de Ampurias*. Vol II. Barcelona, 289-321.
- MATA, C y BONET, H (1992): *La cerámica ibérica: Ensayo de tipología*. *Arqueología Ibérica y Romana, Homenaje a Enrique Pla Ballaster*, Serie Trabajos Varios (STV), Servicio Investigación Prehistórica (SIP) N°89, Valencia, 117-173.
- MATEU, F (1949): Las inscripciones del obispo Justiniano y la catedral visigótica de Valencia, *Anales del Centro de Cultura Valenciana, 2ª época, XVII, n° 24*, 139.

MAYET, F (1983): *Les ceramiques sigillees hispaniques. Contribution a l'histoire economique de la Péninsule Ibérique sous l'Empire Romain*. CNRS, Paris.

MEINDL; R.S y LOVEJOY, C.O (1985 a): Ectocranial suture closure: A revised method for the determination of skeletal age at death based on the lateral-anterior sutures. *American Journal of Physical Anthropology* 68, 57-66.

MEINDL; R.S; LOVEJOY, C.O; MENSFORTH, R.P; WALJKER R.A (1985 b): A revised method of age determination using the os pubis, with a review and test of accuracy of other current methods of pubic symphyseal aging. *American Journal of Physical Anthropology* 68, 24-45.

MELCHOR, J.M.; BENEDITO, J.; PASCUAL, M.M.; PASIES, T.; POLO, M.; GARCÍA-PRÓSPER, E. y SANCHIS, A. (2004): El monumento funerario del "Solar de la Morería" (Sagunto). Avance arqueológico y antropológico. *Arse, Boletín Anual del Centro Arqueológico Saguntino*, nº 38, 111-162.

MENDONÇA, N (2000): Estimation of height from the length of long bones in a portuguese adult population. *American Journal of physical Anthropology*, 112, 39-48.

MEZQUÍRIZ, M^a (2002-2003): Aportaciones a la tipología de los vidrios romanos. Hallazgos en yacimientos navarros. *Trabajos de arqueología Navarra*, nº 16, 141-162. I

MILELLA, M; MARIOTTI, V; BELCASTRO, M^a G; KNÜSEL, CH (2015): Patterns of irregular Burials in Western Europe (1st-5st Century A.D). *PLOS ONE*. University of Otago. New Zealand, 1-16.

MICHELUZZI, M y PARDINI, E (1980): *Chianni. Toscana. Tomba ellenistica in loc. Montevaso*. Atti della Accademia Nazionale dei Lincei, Vol. XXXIV, Roma, 5-23.

MCWHIRR, A; VINER, L & WELLS C (1982): Romano-British cemeteries at Cirencester. *Cirencester Excavations II*. Cirencester Excavation Committee.

MONTGOMERY, J., P. BUDD, *et al.* (1999): Evidence for the Distribution of Lead and Strontium in Romano-British, Medieval and Modern Human Teeth: Implications for Life History and Exposure Reconstruction. *Metals in Antiquity*. (S. M. M. Young; A. M. Pollard; P. Budd and R. A. Ixer, eds). Oxford, *BAR International Series N°*. 792, British Archaeological Reports, 290-296.

ORTALLI, J (2010): Morti inquiete e tombe anomale tra storia, antropología e archeologia. En: *Sepoltore anomale. Indagini archeologiche e antropologiche dall'epoca classica al Medioevo in Emilia Romagna*. (Castelfranco Emilia, 19 dicembre 2009). (Maria Giovann Beleastro y Jacopo Ortalli, eds). Quaderni di Archeologia dell'Emilia Romagna, 28, 23-37.

PASTOR VÁZQUEZ, J.F; GIL VERONA, J.A.,*et ali.* (2001): *Atlas de variaciones epigenéticas craneales*. Universidad de Valladolid.

PECCERILLO, A. (2003): Plio-Quaternary magmatism in Italy. *Episodes* 26, 222-226.

- PENA, M^a J. (1984): Apuntes y observaciones sobre las primeras fundaciones romanas en Hispania. *Estudios de la Antigüedad. Áreas de Prehistoria, Arqueología e Historia Antigua*. Universidad Autónoma de Barcelona, vol.1, 49-85.
- PENA, M^a J (1986): Los magistrados monetales de *Valentia*. *Papeles del laboratorio de Arqueología de Valencia*, nº 20, 151-164.
- PENA, M^a J (1989): Consideraciones sobre el estatuto jurídico de *Valentia*. *Saguntum*, (P.L.A.V) nº 22, 303-317.
- PENA, M^a J (2002): Problemas históricos en torno a la fundación de *Valentia*. En: *Valencia y las primeras ciudades romanas de Hispania*. (J.L Jiménez y A. Ribera, coords). Grandes temas arqueológicos, nº 3. Ajuntament de Valencia, 267-278.
- PEREIRA, G (1979): *Inscripciones romanas de Valentia*, Serie Trabajos Varios (STV), Servicio Investigación Prehistórica (SIP), nº 64, Valencia.
- PEREIRA, G (1987): *Valentini veterani et veteres*. Una nota. *Archivo de Prehistoria Levantina*, vol XVII, 337-340.
- PEREIRA SIESO, J (2001): El registro arqueológico de las cremaciones, una fuente para la reconstrucción del ritual funerario. *Arqueología Funeraria. Las necrópolis de incineración*. Universidad de Castilla La Mancha, 11-35.
- PHILPOTT, R (1991): *Burial practices in Roman Britain. A survey of grave treatment and furnishing A.D.43-410*. Tempus Reparatum BAR British Series, 219.
- PIOCHI, M; AYUSO, R.A; DE VIVO, B; PAPPALARDO,L; SOMMA R. (2003): Volcanic rocks from Somma-Vesuvius (Italy): Evidence from an extensive geochemical and Sr-isotopic database, diverse magma sources, and crustal contamination. *American Geophysical Union, Fall Meeting 2003 (abstract)*.
- POLO CERDÁ, M (2015): Paleobiología humana de la fundación romana de *Valentia*. Tesis Doctoral. Universitat d'Alacant.
- POLO CERDÁ, M. & GARCÍA-PRÓSPER, E. (2002): Osteoarchaeological evidences of tuberculosis in the first population of *Valentia* (Spain). *Paleopathology Association. Papers and posters*, Coimbra-Portugal, 28-31, August 2001 Meeting Report. Summary, 24.
- POLO CERDÁ, M. y GARCÍA PROSPER, E. (2002): Ritual, violencia y enfermedad. Los enterramientos en decúbito prono de la necrópolis fundacional de *Valentia*. *Saguntum (P.L.A.V)* Papeles del laboratorio de Arqueología de Valencia, nº 34. Valencia, 137-148.
- POLO CERDÁ, M y GARCÍA-PRÓSPER, E (2004): Ficha de registro en Antropología Forense. *Antropología Forense y la investigación Médico-legal de las Muertes*. Sanabria, C. Facultad de investigación Criminal. Colombia. 123-136.

POLO CERDÁ, M.; GARCÍA-PROSPER, E.; GUÉRIN, P. y VILLALAÍN, J.D. (2004): La fundación de *Valentia* y sus primeros pobladores. Primeras evidencias osteoarqueológicas de tuberculosis en *Hispania. Zona Arqueológica (Miscelánea en homenaje a Emiliano Aguirre)*. Volumen III. Paleoantropología. (E.Baquedano y S.Rubio, eds.) nº 4. Museo Arqueológico Regional. Alcalá de Henares. Madrid, 292-305.

POLO CERDÁ, M.; GARCÍA-PRÓSPER, E. y SANCHIS, A. (2005): Estudio bioarqueológico de las cremaciones del monumento funerario romano del "solar de la Morería" de Sagunto. *Arse, Boletín Anual del Centro Arqueológico Saguntino*, nº 39, 229-268.

POLO CERDÁ, M. y GARCÍA-PRÓSPER, E. (2007): Propuesta de recogida de datos bioantropológicos en los estudios de cremaciones romanas. *Enfermedad, muerte y cultura en las sociedades del pasado. Importancia de la contextualización en los estudios paleopatológicos. Vol I. Actas del VIII Congreso Nacional de Paleopatología-I Encuentro Hispano-Luso de Paleopatología* (Cáceres 16-19 noviembre de 2005). (F.J. Barca, y J. Jiménez Avila, eds.) 221-230.

POLO CERDÁ, M.; GARCÍA-PRÓSPER, E. y DE HARO POZO, S. (2009): El ritual de la cremación en *Valentia* (Ss. II a.C-III d.C). Análisis bioantropológico preliminar. Investigaciones histórico-médicas sobre salud y enfermedad en el pasado. *Actas del IX Congreso Nacional de Paleopatología*. (M. Polo y E. García Prósper, eds). Sociedad Española de Paleopatología y Grupo Paleolab. Valencia, 755-761.

POLO CERDÁ, M.; GARCÍA-PRÓSPER, E. (2011): Pleuritis en la Valencia romana. En: *Paleopatología: ciencia multidisciplinar*. (A. González; O. Cambra-Moo; J. Rascón; M. Campo Martín; M^aM. Robledo; E. Labajo; J.A. Sánchez, eds.). Sociedad Española de Paleopatología-UAM-UCM. San Sebastián, 313-329.

PRADOS, F (2015) : El ritual funerario en *Baelo Claudia* durante el Alto Imperio (SS.I-II d.C.). *La muerte en Baelo Claudia. Necrópolis y ritual en el confín del Imperio romano*. (Prados y Jiménez, eds). Serie Arqueología. Universita d'Alacant, 122-124.

PRIEUR, J (1986): *La mort dans l'antiquité romaine*. De mémoire d'homme:l'histoire. Ouest-France.

PRIMITIU, N (1932): *Excavacions de València*. Centre de Cultura Valenciana. Valencia, 1932.

PRINCIPAL, J y RIBERA, A (2013): El material máspreciado por los arqueólogos. *Manual de cerámica romana. Del mundo Helenístico al Imperio Romano*. (A. Ribera, coord.). 1^a ed. Alcalá de Henares: Museo Arqueológico Regional; Madrid: Colegio Oficial de Doctores y Licenciados en Filosofía y Letras y en Ciencias, Sección de Arqueología, Cursos de Formación Permanente para Arqueólogos, 2013. 504

- PUCHALT FORTEA, FJ (1991): Evidencias de enfermedad de la columna vertebral y vestigios de anemia en la antigua ciudad de Valencia (paleopatología en la Roqueta). *Cullaria*, 3, 111-125.
- QUESADA, F (1991). Muerte y ritual funerario en la Grecia antigua: una introducción a los aspectos arqueológicos. *Arqueología de la muerte: metodología y perspectivas actuales*, Fons Mellaria, Curso de verano, Fuenteovejuna. (D. Vaquerizo, coord), Córdoba, 39-114.
- RAMOS, M^a L (2003): Las prácticas funerarias en la Hispania romana. Síntesis de su ritual. *Actas de los XIII Cursos monográficos sobre el Patrimonio Histórico. Cursos sobre el Patrimonio Histórico*, nº 7. Reinosa, 175-205.
- REICH, J (1979): *Italy before Rome*. Elsevier-Phaidon. Oxford.
- RIBERA, A (1983): *La arqueología romana en la ciudad de Valentia. Informe preliminar*. Publicaciones del archivo Municipal de Valencia, Arqueología 1, Valencia.
- RIBERA, A (1989): Domingo Fletcher y la fundación de Valencia. *Archivo de Prehistoria Levantina*, vol XIX, 205-211.
- RIBERA, A (1996): La topografía de los cementerios romanos de *Valentia*. *Saitabi*, 46, 85-99.
- RIBERA, A (1998): *La fundació de València. La ciutat a l'època romanorepublicana (segles II-I A.de C.)*. Estudis Universitaris 71, Institució Alfons el Magnànim. València.
- RIBERA, A (2000): El influjo ibérico en la ciudad romana de Valentia. *Empúries*, 52, 173-181.
- RIBERA, A (2009): La fundación de *Valentia*: un apéndice de Italia y Campania en la Hispania del S.II a.C. En: *Oebalus. Studi sulla Campania nell' Antichità*, 4. Roma.
- RIBERA, A (2013): La destrucció de *Valentia* per Pompeu (75 a.C.) i el problema del seu abandó, (J. Vidal y B. Antela, eds.), *Más allá de la batalla. La violencia contra la población en el Mundo Antiguo*, Libros Pórtico, Zaragoza, 127-192
- RIBERA, A y CALVO, M (1995): La primera evidencia arqueológica de la destrucción de *Valentia* por Pompeyo. *Journal of Roman Archaeology* 8, Ann Arbor, 19-40.
- RIBERA, A y JIMÉNEZ J.L (2014): La imagen urbana de *Valentia*. En: *Ciudades romanas valencianas*. MARQ. (M. Olcina, coord), 143-165.
- RIBERA, A y SORIANO, R (1987): Enterramientos de la Antigüedad tardía en *Valentia*, *Lucentum VI*, 139-164.
- RIBERA, A y SORIANO, R (1996): Los cementerios de época visigoda, *Saitabi*, 46, 195-230.

- RIBERA, A y ROSSELLÓ, M (2000): La ciudad de Valencia en época Visigoda. En: *Los orígenes del cristianismo en Valencia y su entorno. Grandes temas arqueológicos*, nº 2. Ajuntament de Valencia, 151-164
- RIPOLLÉS, P. P (2002): La ceca de *Valentia* y las monedas de su época. *Valencia y las primeras ciudades romanas de Hispania* (Jiménez, J. L. y Ribera, A, eds.), Ayuntamiento de Valencia, 335-348.
- RODA, S (1955): Aportación al estudio de la arqueología valenciana, *Discurso de ingreso en el Centro de Cultura Valenciana*. Valencia.
- RODRÍGUEZ, F (1996): La cerámica de "paredes finas" en los talleres emeritenses. In: *Mélanges de la Casa de Velázquez*. Tome 32-1, 139-179.
- ROLDÀN, J.M (1996): *El ejército de la República romana*. Cuadernos de Historia. Arco/Libros, S.L.
- ROMUALDI, A (1984-85): Livorno. Toscana. Loc. Le Grotte. Relazione preliminare sulle campagne di scavo 1965-1967 e 1979 nella necropoli. *Atti della Accademia Nazionale dei Lincei*, Vol. XXXVIII-XXXIX. Roma, 5-68.
- ROSSELLÓ, M (1992-93): Informe de la intervención arqueológica en la C/ Virgen de la Misericordia, 4 (Valencia). (Inédito).
- ROSSELLÓ, M y RUIZ, E (1996 a): La necrópolis romana de la C/ Virgen de la Misericordia, Valencia. Siglos I a.C-III d.C. *Actas del IIº Congreso Nacional de Paleopatología*. (J.D. Villalain; C.Gómez-Bellard; F. Gómez-Bellard, eds.). Valencia, 183-193.
- ROSSELLÓ, M y RUIZ, E (1996 b): *La necrópolis occidental de la Valencia romana*. *Saitabi*, 46, 147-168.Valencia.
- ROSSELLÓ, M.V (1980): L'empremta romana a la ciutat de València. *L'Espill* 5. Valencia, 25-53.
- ROSSER, P (1991): La necrópolis romana Alto-Imperial del Parque de Las Naciones (Albufereta Alicante): Estudio de algunos de sus materiales. *LUCENTUM*, IX-X, 85-101.
- RUGGIERO, E (1961): Dizionario epigrafico de Antichità Romane. Tomo II, 349-352.
- SANTORO, P (1977): Colle del Forno. Loc. Montelibretti. Relazione di scavo sulle campagne 1971-1974 nella necropoli. *Atti della Accademia Nazionale dei Lincei*, Vol. XXXI. Roma, 211-298.
- SANTORO, P (1983): Relazione preliminare di scavo dalla campagna settembre-ottobre 1979 nella necropoli. località Montelibretti. *Atti della Accademia Nazionale dei Lincei*, Vol. XXXVII. Roma, 105-140..
- SERRANO, M^ªL (2000): *El vaso de la vida*. Revista de Arqueología, 22-29.

- SEVILLA, A (2015) : Un tipo especial de *funus acerbum* y de ajuar funerario como reflejo de la condición social del difunto. Los casos documentados en *Hispania. Cuadernos de Arqueología*. Universidad de Navarra 23, pp.97-121.
- SCHEID, J (1984): *Contraria Facere: Renversements et déplacements dans les rites funéraires. Aspetti dell'Ideologia Funeraria nel Mondo Romano* Annali. Istituto Universitario Orientale. Archeologia e Storia Antica , VI. Napoles, 117-139.
- SEGUÍ, J.J (1991): *Las familias de Valentia durante el Imperio romano*. Saitabi, XLI, 167-187.
- SEGUÍ, J. J., MELCHOR, J. M., BENEDITO, J. (2000): *Nuevas inscripciones funerarias de Valentia, Hispania Antiqua*, XXIV, Valladolid.
- SENENT, JJ (1947): El año arqueológico valenciano, *Almanaque las Provincias*, Valencia.
- SOLER, E (1961): Correo de Valencia. Nuestro tesoro arqueológico, *Las Provincias*. Valencia.
- SORIANO, R (1989): La necrópolis de la Boatella: elementos para su cronología. *Saguntum (P.L.A.V)* Papeles del laboratorio de Arqueología de Valencia nº 22, 393-411.
- SORIANO, R (1992): La arqueología cristiana en la ciudad de Valencia: de la leyenda a la realidad. *Cuaderns de difusió arqueològica*, nº1. Ajuntament de València.
- SORIANO, R (1996): Las necrópolis bajo-imperiales. Nuevas aportaciones. *Saitabi*, 46, 169-179.
- SORIANO, R (2000): El monumento funerario de la Cárcel de San Vicente y las tumbas privilegiadas, pp. 187-192. En: *Los orígenes del cristianismo en Valencia y su entorno. Grandes temas arqueológicos*, nº 2. Ajuntament de Valencia.
- SPAETH & BARBETTE, S (1996): *The Roman Goddess Ceres*. Austin: University of Texas Press.
- STEIN, M., A.; STARINSKY (1997). Strontium Isotopic, Chemical, and Sedimentological Evidence for the Evolution of Lake Lisan and the Dead Sea. *Geochimica et Cosmochimica Acta* 61(18), 3975-3992.
- TARRADELL, M; LLOBREGAT, E; FLETCHER, D; PLÀ, E; MARTÍN, G; LLORCA, J (1962): La ciudad romana de Valencia. Estudios varios, *P.L.A.V*, 1, Valencia.
- TED'A (1987): *Els enterraments del Parc de la Ciutat i la problemàtica funerària de Tarraco*. Tarragona.
- THUILLIER, J.P (1982): Les *strigiles* de L'Italie Antique. *Revue Archéologique*, fasc.2, 339-342.
- TORRES PALENZUELA, J.A (1997): Antropología de campo y registro arqueológico: el concepto de "Levantamiento". *Eres (Arqueología)*, Vol 7 (1), 73-83.

- TOYNBEE, J.M.C (1982): *Morte e sepoltura nel Mondo Romano*. L'Erma di Bretschneider. Roma.
- TRANOY, I (2000): La mort en Gaule Romaine. En: *Archéologie funéraire*. Collection "Archéologiques". Dir: Alain Ferdière. Edit. Errance, 105-154.
- TROTTER, M y GLESSER, G.C (1952): Estimation os stature from long Bones of American Whites and Negroes. *American Journal of physical Anthropology*, 10, 463-514.
- TROTTER, M y GLESSER, G.C (1958): A re-evaluation of estimation of stature based on measurements of stature taken during life and of long bones after death. En: *American Journal of Physical Anthropology*, 16, 79-123.
- TSALIKI, A (2001): Vampires beyond legend: a bioarchaeological approach. En: *13th European Meeting of the Paleopathology Association*. Ed: La Verghetta, M & Capasso, L Chieti, 295-300.
- TSIRKIN, JU.B (1989): The veterans and the romanization of Spain. *Gerión*, nº 7, 137-147.
- TURCAN, R (1958): Origines et sens de l'inhumation à l'époque imperiale. *Revue des études Anciennes*, LX, 323-347.
- TURCAN, R (2001). *Los cultos orientales en el mundo romano*. Biblioteca Nueva. Madrid.
- URREA, J (2009): Los ritos funerarios: Iberia y Grecia. El uso del vino en el mundo antiguo: un ejemplo en una tumba hallada en la necrópolis ibérica de Lorca. *Alberca* 7, 1697-2708.
- VV.AA (2009): *Rites funéraires à Lugdunum*. (Goudineau, coord.). Errance, Paris.
- VAQUERIZO, D (2001) coord.: *Funus Cordubensium. Costumbres funerarias en la Córdoba Romana*. Seminario de Arqueología. Universidad de Córdoba (corr.).
- VAQUERIZO, D (2002) *Espacios y usos funerarios en el Occidente Romano*. Seminario de Arqueología. Universidad de Córdoba (coord.).
- VAQUERIZO, D (2004): *Immaturi et innupti. Terracotas figuradas en ambiente funerario de Corduba, Colonia Patricia*. Colección Instrumenta, 15.
- VAQUERIZO, D (2006): Sobre la tradición púnica, o los influjos norteafricanos, en algunas manifestaciones arqueológicas del mundo funerario hispano-bético de época pleno-imperial. Una revisión crítica. *El concepto de lo provincial en el mundo antiguo*. Homenaje a la profesora Pilar León Alonso, Córdoba, 317-363.
- VAQUERIZO, D (2010): *Necrópolis urbanas en Baetica*. Tarragona. ICAC.
- VAQUERIZO, D (2011a): De la agonía al luto. Muerte y *funus* en la Hispania romana. *La Muerte en el tiempo. Arqueología e Historia del hecho funerario en la provincia de Toledo*. (J. Pacheco, coord). Talavera de la Reina, 95-125.

- VAQUERIZO, D (2011b): Espacios y usos y hábitos funerarios en la Hispania romana: reflexiones y últimas novedades. *Mors omnibus instat. Aspectos arqueológicos, epigráficos y rituales de la muerte en el Occidente Romano*. (A. Espinosa, coords). Liceus, 190-231.
- VAQUERIZO, D (2012): Enterramientos anómalos en la Hispania romana. Los muertos molestos de la Bética. *Andalucía en la Historia*, nº 38. Centro de Estudios Andaluces. Junta de Andalucía, 38-41.
- VEGAS, M (1973): *Cerámica común romana del Mediterráneo Occidental*. Publicaciones Eventuales Barcelona.
- VICENT GARCÍA, J.M (1995): Problemas teóricos de la arqueología de la muerte. Una introducción. *Arqueoloxía da Morte. Arqueoloxía da Morte na Península Ibérica desde as Orixes ata o Medioevo*. (R, Fábregas; F. Pérez; C.Fernández, eds.). Excmo. Concello de Xinzo de Limia, 15-31.
- WALDRON, H. A. (1981): Postmortem Absorption of Lead by the Skeleton. *American Journal of Physical Anthropology* 55, 395-398.
- WALDRON, H. A. (1983): On the Post-Mortem Accumulation of Lead by Skeletal Tissues. *Journal of Archaeological Science* 10, 35-40.
- WALDRON, H. A., A. KHERA, et al. (1979): Lead Concentrations in Bones and Soil. *Journal of Archaeological Science* 6, 295-298.
- WIEGELS, R (1975): *Liv. Per. 55 y la Fundación de Valentia*. *Archivos de Prehistória levantina*, XIV, 193-218.
- WITTMANN, A y BONNET, CH (2009): La vaisselle des inhumations de bébés. En: *Rites funéraires à Lugdunum*. (Dir: Christian Goudineau). Edit. Errance. Paris, 181-185.
- ZECH-MATTERNE, V (2008): *Les végétaux dans les funérailles. L'exemple de la nécropole de Porta Nocera*. Les Dossiers d'Arcjéologie, N°330, 66-67.

9. LISTADO DE FIGURAS, TABLAS Y LÁMINAS

PARTE I

1. INTRODUCCION

Figura 1.1. *Funus Valentiae*. Los hallazgos funerarios de la Valencia romana.

Tabla 1.1. Relación de las necrópolis de época romana de *Valentia*.

Tabla 1.2. Prácticas funerarias de *Valentia*.

Tabla 1.3. Número de inhumaciones, cremaciones y epitafios hallados en *Valentia*.

Tabla 1.4 Necrópolis y cómputo general de tumbas vs epitafios.

Figura 1. 2. Rituales funerarios y epitafios de *Valentia*.

Figura 1.3. Ritual y topografía funeraria en porcentajes.

Figura 1.4. Plano de situación de la necrópolis romana de la calle Quart. Los sectores excavados y su relación con otras necrópolis próximas.

2. JUSTIFICACIÓN OBJETIVOS DEL TRABAJO (sin parte gráfica)

3. MATERIAL Y METODOLOGÍA

Protocolo 3. 1. Ficha de estratos.

Protocolo 3.2. Ficha de estructuras.

Protocolo 3.3. Ficha antropológica de campo antigua.

Protocolo 3.4. Ficha antropológica de campo nueva.

Protocolo 3.5. Hoja de inventario y catalogación de materiales.

Tabla 3.1. Tumbas y NMI de la Necrópolis.

Tabla 3.2. Tabla 3.2. Nº de enterramientos y NMI del rito de la cremación.

Figura 3.1. Arqueología del ritual: esquema de síntesis metodológica aplicada a la necrópolis.

Figura 3.2. Tipos y código de clasificación de las tumbas de inhumación y cremación.

PARTE II

4. LOS RITUALES FUNERARIOS ROMANOS (sin parte gráfica)

PARTE III

5. RESULTADOS. CATÁLOGO DE TUMBAS

Figura 5.1. Calzada de uso interno del siglo I d.C.

Figura 5.2: Sección de las calzadas del siglo I a.C y I d.C con una reparación (UE 2025).

5.2 ESTRUCTURA DEL CATÁLOGO (sin parte gráfica).

5.3 PERIODO REPUBLICANO (último tercio del S.II a.C).

5.3.3 Láminas de los siglos II-I a.C.

Lámina 5.1: Tipos de tumbas y estructuras del siglo II A.C.

Lámina 5.2: Tumba de inhumación 10 (UUEE: 1335, 1334, 1336) y 12 (1366, 1367, 1368).

Lámina 5.3: Tumba de inhumación 18 (UUEE: 1319, 1318, 1371, 1372, 1373).

Lámina 5.4: Tumba de inhumación 22 (UUEE: 1381, 1382, 1383, 1384, 1385).

Lámina 5.5: Tumba de inhumación 23 (UUEE: 1413, 1414-1435, 1415-1436).

Lámina 5.6 Tumba de inhumación 24 (UUEE: 1419/1441, 1420/1440, 1439).

Lámina 5.7: Tumba de inhumación 26 (UUEE: 1424, 1418, 1423).

Lámina 5.8: Tumba de inhumación 27 (UUEE: 1429, 1430, 1431).

Lámina 5.9: Tumba de inhumación 29 (UUEE: 1451, 1452, 1453).

- Lámina 5.10: Tumba de inhumación 31 (UUEE: 1457, 1458, 1464).
- Lámina 5.11: Tumba de inhumación 41 (UUEE: 2196, 2176, 2272, 2273, 2274).
- Lámina 5.12: Tumba de inhumación 44 (UUEE: 2305, 2306, 2307) y TUMBA 46 (UUEE: 2361, 2362, 2363).
- Lámina 5.13: Tumba de inhumación 54 (UUEE: 3033, 3034, 3035) .
- Lámina 5.14: Tumba de inhumación 15. PUTICULI (UUEE: 1287, 1247, 1337,1338 a y b, 1339/1340 y 1310).
- Lámina 5.15 Tumba de inhumación 11, 38, (UUEE: 1342, 1344, 1343); (2203, 2204, 2104).
- Lámina 5.16 Tumba de inhumación 40 (UUEE: 2137, 2195, 2136).
- Lámina 5.17: Tumba de inhumación 73 (UUEE: 2103/2238, 2104/2240).
- Lámina 5.18: Tumba de inhumación 74 (UUEE: 2113, 2114).
- Lámina 5.19: Tumba de inhumación 75 (UUEE: 2144, 2145).
- Lámina 5.20: Tumba de inhumación 78 (UUEE: 2247,2248).
- Lámina 5.21: Tumba de inhumación 79 (UUEE: 2352, 2353) y 81 (2356, 2357).
- Lámina 5.22: Tumba de inhumación 82 (UUEE: 3060, 3061).
- Lámina 5.23: Tumba de cremación 84 (UUEE: 1360, 1376, 1348, 1333, 1322,1281).
- Lámina 5.24: Cenotafio 87 (UUEE: 1299,1300).
- Lámina 5.25; 5.26; 5.27: Zanja votiva 90 (UUEE: 2311, 2312, /3198,3199).
- Lámina 5.28: Tipos de tumbas y estructuras del siglo I a.C
- Lámina 5.29: Tumba de inhumación 93 (UUEE: 2130, 2131, 2132) y CREMACIÓN 100 (UUEE: 1241, 1242).
- Lámina 5.30: Tumba de cremación 103 (UUEE: 1263, 1249) y 104 (UUEE: 1256, 1255)
- Lámina 5.31: Tumba de cremación 106 (UUEE: 1268, 1269)
- Lámina 5.32: Tumba de cremación 118 (UUEE: 2228, 2229, 2263, 2264)
- Lámina 5.33 Tumba de cremación 119 (UUEE: 2230, 2231, 2265, 2266)
- Lámina 5.34: Tumba de cremación 120 (UUEE: 2267, 2268/2269)
- Lámina 5.35: Tumba de cremación 124 (UUEE: 3078, 3079)
- Lámina 5.36: Tumba de cremación 126 (UUEE: 3123, 3124) y 131 (UUEE: 3185, 3182, 3183, 3184)
- Lámina 5.37: *Ustrinum* 132 (UUEE: 2047, 2068, 2083, 2084, 2095, 2109, 2048)

5.4 Periodo imperial (siglos I- III d.C)

5.4.4 Láminas de la fase de los siglos I-III d.C.

- Lámina 5.38: Tipos de tumbas y estructuras del siglo I d.C.
- Lámina 5. 39: Tumba de inhumación 149 (2081, 2079, 2078, 2077)
- Lámina 5. 40: Tumba de inhumación 153 (2155, 2156, 2154)
- Lámina 5. 41: Tumba de inhumación 165 (2418, 2420, 2417) y Tumba cremación 189 (1301, 1302)
- Lámina 5. 42: Tumba de inhumación 166 (2421 A-B, 2422, 2420)
- Lámina 5.43 Tumba de cremación 198 (2470, 2472)
- Lámina 5. 44: Tumba de inhumación 145 (1432, 1411, 1412) y 163 (2414, 2415, 2416)
- Lámina 5. 45: Tumba de inhumación 164 (2410, 2412, 2413), 166 (2420, 2421-A, 2422) y 168 (2429, 2430, 2437)
- Lámina 5. 46: Tumba de inhumación 173 (2446, 2447, 2448) y 227 (2395, 2396, 2397)

Lámina 5.47: Tipos de tumbas y estructuras del siglos II-III d.C.

Lámina 5. 48: Tumba de inhumación 209 (2146, 2147, 2148).

Lámina 5. 49: Tumba de inhumación 239 (2170, 2171, 2172) y 247 (2275, 2276, 2277).

Lámina 5. 50: Tumba de inhumación 232 (3249, 3250, 3251) y 222 (2408, 2409, 2410).

Lámina 5.51: Tumba de inhumación 239 (2170, 2171, 2172) y 247 (2275, 2276, 2277).

Lámina 5. 52: Tumba de inhumación 240 (2181, 2182, 2183).

Lámina 5. 53: Tumba de inhumación 246 (2253, 2254, 2255).

Lámina 5. 54: Tumba de inhumación 249 (2292, 2293, 2294).

Lámina 5. 55: *Ustrinum* 267 (3017, 3018).

Lámina 5.56 Calzada NEF 268 (2006).

6. DISCUSION

6.1 Algunos aspectos tafonómicos

Figura 6.1: Tinciones (rosarillos) en tercio medio de radio derecho. Tumba N° 41.

Figura 6.2: Rosarillos a nivel maxilar (N°251) y en falange de mano izquierda (N°217).

Figura 6.3: Tumba n° 166.

6.2 Tipos de sepultura

Figura 6.4: Distribución por siglos del número de inhumaciones y cremaciones de la necrópolis.

Tabla 6.1: Valores de NMI y número de tumbas para ambos ritos.

Figura 6.5: Distribución por siglos y porcentaje sobre el total de esqueletos en inhumaciones.

Figura 6.6: Porcentaje y distribución cronológica de las tumbas de cremación .

Tabla 6.2: Representación de estructuras funerarias por cronología y número.

Tabla 6.3: Tipología de enterramiento y representatividad por cronología y número

Figura 6.7: Representación de tipos de tumbas de inhumación por cronologías

Tabla 6.4: Tipos de enterramiento y frecuencia de la cremación a lo largo de toda la cronología

6.3 PERIODO REPUBLICANO

Figura 6.8: Organigrama con el panorama funerario de la necrópolis de la fase inicial.

Tabla 6.5: Relación entre los tipos de tipos de tumbas y el número de esqueletos

6.3.1.1 Tumbas de inhumación y gestos funerarios

6.3.1.1.1 Tipo a: fosa simple

Tabla 6.6: Porcentajes de orientación de las tumbas tipo simple/A.

Tabla 6.7. Número de casos distribuidos por edades.

Tabla 6.8: Porcentajes y representatividad por edades en las tumbas simples .

Figura 6.9: Distribución de edad y sexos de los individuos enterrados en fosas simples

Figura 6.10.: Distribución por edades y sexo de las tumbas de inhumación del siglo II a.C. La mayoría corresponden a tumbas simples-A.

Figura 6.11: Relación de deposiciones en las tumbas simples A.

Figura 6.12: Distribución de las principales posiciones de extremidades superiores.

Figura 6.13: Distribución de las principales posiciones de extremidades inferiores.

Figura 6.14: Relación entre el tipo de descomposición en medio colmatado, vacío e indeterminado.

Tabla 6.8: Tumbas simples con ajuar funerario.

Tabla 6.9 Disposición del ajuar en el interior de las tumbas simples-A.

Figura 6.14: Tipo de ofrendas funerarias y sus representatividad en porcentajes .

Figura 6.15: Tipologías de ajuares cerámicos.

A) Gestos funerarios en enterramientos infantiles

Tabla 6.10: Gestos funerarios de los enterramientos infantiles.

6.3.1.1.2 Tipo B: fosa simple

Tabla 6.11: Principales gestos funerarios de las tumbas simples/B.

Tabla 6.12: Aspectos antropológicos de las fosas simples tipo/B.

Figura 6.16: Planimetrías de los enterramientos N° 38 y 40 con posiciones anómalas.

6.3.1.1.3 Tipo C: fosa común-puticulus

Tabla 6.13: Índice de conservación cadavérica de los individuos de la fosa común.

Tabla 6.14: Principales gestos funerarios de la tumba N°15. Fosa común

6.3.1.1.4 Tipo D: fosa doble

Tabla 6.15: Principales gestos funerarios de la tumba N°23

Tabla 6.16: Aspectos paleopatológicos y paleoocupacionales de la tumba N°23

Tabla 6.17: Principales características de la tumba N° 23

6.3.1.1.5 Tipo E: Fosa simple con cubierta de adobes

Figura 6.17: Composición de la tumba de adobes

6.3.1.1.6 Tipo F: Reutilización de *ustrinum*

Tabla 6.18: Principales características de la tumba

6.3.1.1.7 Tipo G: Tumbas de cámara o hipogeos

Tabla 6.19: Dimensiones conservadas en las tumbas de cámara.

Figura 6.18: Sección y planta de la tumba de cámara N°18

Tabla 6.20: Materiales que componen los ajuares funerarios

Figura 6.19: Organigrama con las principales acciones rituales de las tumbas de cámara

Tabla 6.21: Disposición del ajuar presente en la cámara y el nicho

Figura 6.20: Composición de la tumba N°24 con ofrenda alimentaria

Figura 6.21: Composición tumba N°18

Figura 6. 22: Composición tumba N°31

Figura 6. 23: Sección longitudinal sobre el cráneo del suido adulto hembra de la tumba N°31

Tabla 6.22: Principales características antropológicas y deposicionales de las tumbas de cámara

6.3.1.2 Tumbas de cremaciones

Tabla 6. 23: Las cremaciones del siglo S.II a.C.

Tabla 6. 24: Tipo de material presente en las cremaciones.

Tabla 6.25: Las cremaciones primarias.

Figura 6.24: *Busta* de la fase inicial de la necrópolis.

Figura 6.25: Planimetría y fotografías de campo del *Bustum* N° 78.

Tabla 6.26: Resultados del estudio antropológico de las cremaciones del siglo II a.C.

Tabla 6.27. Las cremaciones secundarias.

Tabla 6.28: Las ofrendas funerarias de las cremaciones secundarias.

Tabla 6.29: Principales características antropológicas.

Tabla 6.30: Resultados antracológicos de las cremaciones primarias y secundarias.

Figura 6.26: Pira funeraria en fosa. (*ustrinum*, N° 84).

6.3.2 Fase republicana (S.I a.C)

Figura 6.27: Organigrama con los tipos de tumbas y el número de casos.

Tabla 6.31: Principales características de las inhumaciones del siglo I a.C.

Tabla 6.32: Principales gestos funerarios de las inhumaciones.

Tabla 6.33: Principales características de salud y enfermedad de las inhumaciones.

6.3.2.2 Tumbas de cremación

Tabla 6.34: Principales características de las cremaciones primarias y secundarias.

Tabla 6.35: Las ofrendas en las tumbas de cremación.

Tabla 6.36: Principales características de las cremaciones secundarias con urna ibérica.

Tabla 6.37: Las cremaciones secundarias y el tipo de ofrendas.

Figura 6.28: Composición tumba N°103 y su contenido de ofrenda de malacofauna.

Tabla 6.38: Principales características del estudio de cremaciones en urnas tradición ibérica.

Tabla 6.39: Principales características del estudio de cremaciones secundarias.

Figura 6.29: Marcas *postmortem* en la cortical de un fragmento de hueso largo.

Tabla 6. 40: Principales diferencias y semejanzas entre las cremaciones ibéricas y las romanas.

Tabla 6.41: Especies de fauna estudiadas.

Figura 6.30: El *ustrina* N° 118 y detalle de frutos secos carbonizados.

Figura 6.31: Los *ustrina* N° 132 y 133 y las cremaciones del sector Oeste.

Tabla 6.42: Los materiales hallados en los *ustrina*.

Tabla 6.43: Frecuencias absolutas y relativas de los carbones analizados.

6.3.3 Otras estructuras funerarias fase republicana (Ss. II-I a.C)

Tabla 6.44: Principales características de los posibles cenotafios.

Figura 6.32: Vista general de la zanja excavada y detalle del relleno que la colmataba.

Figura 6.33: Sección N-S de la secuencia funeraria antigua y las calzadas.

6.4.1 La necrópolis en época imperial (Ss. I-III d.C)

Figura 6.34: Disposición de las tumbas en la necrópolis de época imperial.

Figura 6.35: Organigrama de distribución de tumbas por ritual practicado y tipología.

Tabla 6.45: Relación entre los tipos de tipos de tumbas y el número de esqueletos documentados en cada fase.

Figura 6.36: Representación de la inhumación y cremación en la serie Imperial.

Tabla 6.46: Las cremaciones del periodo imperial y su relación porcentual.

Tabla 6.47: Representatividad de tumbas y restos analizados de las cremaciones.

6.4.1.1 Tumbas de inhumación y gestos funerarios

Figura 6.37: La tumbas de la serie Imperial y el número de casos para cada tipología.

Tabla 6.48: NMI presentes en las 99 tumbas de inhumación.

Tabla 6.49: Porcentajes de orientación de las tumbas S. I-III d.C.

Figura 6.38: Tipo de orientación y frecuencias de uso de la serie imperial.

Tabla 6.50: Distribución de edad y sexo a lo largo del siglo I-III d.C.

Figura 6.39: Número de casos según edad y sexo en la serie Imperial.

Figura 6.40: Distribución de tumbas de inhumación por edad y sexo en la fase del siglo I d.C (*supra*) y las fases de los siglos II y II-III d.C. (*infra*).

Figura 6.41: Ejemplo de tres tipos de deposiciones presentes en la serie Imperial.

Tabla 6.51: Distribución de los tipos de deposición y sexo de la serie imperial.

Figura 6.42: Distribución de los tipos de deposición y sexo.

Tabla 6.52: Diferentes tipos de posiciones de brazos presentes en individuos distribuidos por sexos

Figura 6.43: Distribución de las principales posiciones de extremidades superiores.

Figura 6.44: Distribución de las principales posiciones de extremidades inferiores.

Figura 6.45: Porcentajes y regiones anatómicas con evidencias de mortaja.

Tabla 6.54: Rangos de edad y sexo con evidencias de mortaja.

Tabla 6.55: Relación presencia/ausencia de mortaja y ajuares funerarios.

Tabla 6.56: Tipo de descomposición y porcentajes en las tumbas republicanas.

Tabla 6.57: Tipo de descomposición y porcentajes en las tumbas imperiales.

Figura 6.46: Comparativa entre el tipo de descomposición entre republicanos e imperiales.

Figura 6.47: Evolución de la presencia de ajuares a través de las series cronológicas.

Tabla 6.58: Principales características de las tumbas con ajuares.

Figura 6.48: Distribución en porcentajes del ajuar por regiones anatómicas.

Figura 6.49: Algunos ejemplos de disposición de ajuares en el interior de las tumbas.

Figura 6.50: Tipo de ofrendas funerarias y sus representatividad en porcentajes de la serie imperial.

Figura 6.51: Evolución de las ofrendas funerarias de la serie republicana e imperial. Comparación de tumbas simples de ambas cronologías.

Figura 6.52: Los materiales cerámicos presentes en las ofrendas de la serie imperial

Tabla.6.59: Las tumbas de inhumación con monedas de carácter ritual.

Tabla 6.60: Las tumbas imperiales con ofrendas de fauna.

Tabla 6.61: Las especies presentes en las tumbas y frecuencia por cronologías

Figura 6.53: Distribución porcentual de las ofrendas de fauna

L) Gestos funerarios en enterramientos infantiles

Tabla 6.62: Número de individuos infantiles (I y II) y su representatividad en porcentajes.

Tabla 6.63: Gestos funerarios de los enterramientos infantiles de la serie imperial

Figura 6.54: Los enterramientos infantiles con ajuares de la serie imperial

Tabla 6.64: Tipo de ofrendas y sus posiciones en el interior de las tumbas

Tabla 6.65: Las tumbas infantiles de la serie imperial con patologías

6.4.1.2 Tumbas de cremación y gestos funerarios

Tabla 6.66: Las cremaciones de la serie imperial

Figura 6.55: Distribución del número de casos a lo largo de la cronología

Tabla 6.68: Tipo de material presente en las cremaciones imperiales

B) Aspectos antropológicos

Tabla 6.69: Tipo de enterramiento y número de restos antropológicos de las cremaciones del SI dC

Tabla 6.70: Resultados del estudio antropológico de las cremaciones del S. I d.C

Tabla 6.71: Tipo de enterramiento y número de restos antropológicos de las cremaciones del S. II d.C

Tabla 6.72: Resultados del estudio antropológico de las cremaciones del S. II d.C

Tabla 6.73: Tipo de enterramiento y número de restos antropológicos de las cremaciones Ss. II-III d.C.

Tabla 6.74: Resultados del estudio antropológico de las cremaciones del Ss. II-III d.C

Figura 6.56.: Restitución hipotética de una pira funeraria. Tomado de Marie-Noëlle Baudrand (Rites funéraires à Lugdunum, 2009)

C) Aspectos antracológicos

Tabla 6.75: Resultados antracológicos de las cremaciones primarias

6.4.1.2.1 Los *ustrina*

Tabla 6.76: Principales características de las piras y basurero

Figura 6.57: Escala colorimétrica de las cremaciones elaborada para el estudio de la necrópolis de la calle Quart.

6.5.1 Los enterramientos en decúbito prono y el esclavo de *Valentia*

Tabla 6.77: Principales características de los enterramientos en decúbito prono

Figura 6.58: Distribución de las principales posiciones de extremidades superiores entre varones y

mujeres. Sobre cada columna se representa la frecuencia para cada tipo de posición.

Figura 6.59: Distribución de las principales posiciones de extremidades inferiores. Sobre cada columna se representa la frecuencia para cada tipo de posición.

Figura 6.60: El esqueleto UE 2412-NEF 164 presentaba una posición forzada de miembro superior

Tabla 6.78: Los elementos de ajuar hallados en las tumbas con individuos en posición

Figura 6.61: Interpretación de depósito funerario de la tumba N°26

Figura 6.62: Resultados del estudio de isótopos del carbón y del nitrógeno para conocer el tipo de dieta en enterramientos de la serie imperial

B) El caso de un posible esclavo

Fig.6.63.: El caso de *Valentia*: hallazgo del enterramiento, estudio antropológico y detalle de las argollas restauradas

Figura 6.64: Los casos de Ilipa y Gades

6.5.2 Los clavos como elemento ritual

Tabla 6.79: Número de clavos hallados en las tumbas según fases cronológicas.

Figura 6.65.: Gráfico que representa la número de tumbas de inhumación y el tipo de descomposición

Tabla 6.80: Inventario de tumbas de inhumación y calvos con la obtención de medidas

Tabla. 6.81: Estructuras de cremación con clavos (toda la serie cronológica)

Figura nº 6.66: Tumbas con “ajuar tipo”

6.6 El origen de los primeros pobladores de *Valentia*

6.6.1 Las fuentes literarias y documentales sobre la fundación de la ciudad

Tabla 6.82: Algunas interpretaciones sobre la identidad y origen de *Valentia*

6.6.2 Los ritos funerarios de los primeros pobladores de *Valentia*

Figura 6.67: Paralelos con algunas necrópolis de la Península Itálica

Figura 6.68: Ejemplos del “diente etrusco” en la necrópolis de la calle Quart

Tabla 6.83: Datos bioquímicos sin correlación arqueológica (D: derecho; I: izquierdo)

Tabla 6.84: Correlación de datos arqueológicos y resultados bioquímicos

Tabla 6.85: Valores isotópicos $^{87}\text{Sr}/^{86}\text{Sr}$ de la Península Itálica y *Valentia*

Figura 6.69: Correlación de resultados con la Península Itálica.

10. ANEXOS

10.1 Los restos faunísticos recuperados en la necrópolis calle Quart

M^a Pilar Iborra Eres.IVC+R CULTURARTS GENERALITAT

La necrópolis ha proporcionado un total de 140 huesos y fragmentos óseos de ocho especies domésticas y una silvestre. Las especies domésticas son los équidos (*Equus asinus*, *Equus caballus*), el bovino (*Bos taurus*), el cerdo (*Sus domesticus*), la oveja (*Ovis aries*), la cabra (*Capra hircus*), el perro (*Canis familiaris*) y el gallo (*Gallus gallus domesticus*). Las silvestres tan sólo están representadas por el ciervo (*Cervus elaphus*).

El estudio del material faunístico nos ha permitido diferenciar restos que formarían parte de las ofrendas funerarias y otros que procederían de comidas sacrificiales. La amplitud cronológica del yacimiento nos permite observar las costumbres funerarias de diferentes momentos históricos documentados en la ciudad de *Valentia*; entre los siglos II aC y III dC.

Los hallazgos faunísticos del siglo II aC nos remiten a prácticas rituales funerarias itálicas. En estos contextos es el cerdo la especie que cuentan con una mayor presencia en las tumbas analizadas. Se observa una pauta en el sacrificio de ejemplares con una edad de muerte entre los 23-31 meses. Aunque también hemos identificado un subadulto y un neonato. Hay además una selección en las unidades anatómicas depositadas, favorable a los restos craneales. Estos depósitos de cráneos de cerdo nos remiten al rito del *Porca praesentanea*, rito itálico que encontramos en las tumbas de estos, los primeros pobladores de *Valentia* (García-Prósper *et al*, 2010).

En las estructuras del siglo I a.C cabría destacar los restos localizados en dos *loculi*. En uno se depositaron 3 astrágalos de oveja, elementos que servían como piezas de juego y para leer el oráculo. Los astrágalos son hallazgos comunes en las necrópolis tanto de incineración como de inhumación. En otro *Loculus* se recuperó la parte izquierda del esqueleto de un cerdo de 4 meses, con evidencias de procesado carnicero y los restos de un gallo. El gallo es una especie vinculada al mundo funerario desde época ibérica, documentada no solo en necrópolis como la de Villaricos (Castaños, 1994), sino también en otros contextos, acompañando a neonatos humanos dentro de urnas en habitaciones domésticas o en espacios/departamentos a los que se les confiere un carácter de capillas/santuarios, como es el caso del departamento 14 del Puntal dels Llops (Iborra, 2004). Este tipo de ofrendas; las especies utilizadas y las unidades anatómicas seleccionadas en la necrópolis de Cañete, son muy similares a las identificadas en contextos funerarios de época ibérica.

A partir del cambio de era en las ofrendas funerarias aparecen nuevas especies, como el perro y los équidos. En el siglo I junto a las inhumaciones han aparecido esqueletos de perros completos a modo de ofrendas.

Otro tipo de contexto son las fosas en las que se depositan porciones de animales, con marcas de procesado y consumo, procedentes de comidas sacrificiales.

Este uso de los animales en las prácticas funerarias que hemos documentado en la necrópolis de Cañete, también se han observado en la ciudad de *Saguntum* en el monumento funerario del solar de la morería de época imperial. El estudio realizado, describe algunos conjuntos como pertenecientes a ofrendas de animales sacrificados y otros a restos de comidas sacrificiales (Sanchís, 2004). Finalmente en el ámbito rural junto a una villa localizada en el valle del río Magro se localiza la necrópolis de la Calerilla de Hortunas (Requena, Valencia) (Martínez, A, 1995). La necrópolis incluye un monumento turriforme al que se asocia una necrópolis de cremación. Para santificar el espacio y antes de la construcción del monumento se realizó un pozo en el que se sacrificaron animales domésticos (Iborra, en prensa).

Los resultados de los estudios faunísticos llevados a cabo en las necrópolis enriquecen la visión sobre el uso de estos espacios sacros. En el caso de la necrópolis de Cañete los restos de animales utilizados son expresión de la diversidad social de cada uno de los momentos de uso de la necrópolis.

Los restos faunísticos recuperados en la necrópolis Cañete ss. II aC-III dC.

La necrópolis de Cañete ha proporcionado un total de 140 huesos y fragmentos óseos de ocho especies domésticas y una silvestre. Las especies domésticas son los équidos (*Equus asinus*, *Equus caballus*), el bovino (*Bos taurus*), el cerdo (*Sus domesticus*), la oveja (*Ovis aries*), la cabra (*Capra hircus*), el perro (*Canis familiaris*) y el gallo (*Gallus gallus domesticus*). Las silvestres tan sólo están representadas por el ciervo (*Cervus elaphus*).

	S. II aC	S. I aC	S. I DC	S. I-II DC	S. II DC	S. II-III DC	TOTAL
Equido	1		1	6		5	13
Asno			1				1
Vaca/Toro	1			9	5	1	16
Oveja/Cabra				4	1		5
Oveja	14	3					17
Cabra			1	3	1		5
Cerdo	16	13	2				31
Perro			19		4	2	25
Gallo		3				1	4
Ciervo						1	1
Macro mamífero indet.					2		2
Meso mamífero indet.	3	7	1				11
Ictiofauna indet.	9						9
	44	26	25	22	13	10	
TOTAL	44	26	25	22	13	10	140

El grado de conservación de los huesos es óptimo y las alteraciones que presentan son principalmente de carácter antrópico, causadas por las prácticas carniceras y por haber formado parte de cremaciones (prácticas rituales).

1. RESTOS FAUNISTICOS DEL S. II a.C

El conjunto de fauna analizado procede de cuatro tumbas de inhumación y de dos matrices de tumbas. En total se han analizado 44 huesos y fragmentos óseos, que pertenecen a cuatro mamíferos domésticos y a un pez.

Buena parte del material analizado se interpreta como parte del ajuar depositado en las tumbas. En ellas junto a las inhumaciones se colocaron determinadas unidades anatómicas de animales domésticos. Las partes del esqueleto presentan marcas de carnicería que nos indican un tratamiento previo, antes de ser depositadas en los hipogeos.

Nº REF	18	24	31	47			
S. II aC	Hipogeo	Hipogeo	Hipogeo	Tumba simp	Matriz Tumba	Matriz Tumba	
UE	1372	1439	1457	2405	3073	3031	TOTAL
Equido					1		1
Vaca/Toro			1				1
Oveja	14						14
Cerdo	5	1	9			1	16
Meso mamífero indet.				1		2	4
Ictiofauna indet.			9				9
TOTAL	19	1	19	1	1	3	44

De las especies utilizadas en el ritual, cabe destacar el cerdo (*Sus domesticus*), su presencia se repite en tres tumbas, nº 18, 24 y 31. En estos hipogeos los animales seleccionados para formar parte del ritual son jóvenes-adultos que no superan los dos años. La parte anatómica elegida, es el cráneo, sobre el que se observan marcas de desarticulación y descarnado.

En la tumba nº 24 el cerdo es la única especie identificada, en las restantes sus restos aparecen junto a los de otras especies. En la tumba nº 18 junto a los restos de cerdo se depositó parte del esqueleto de una oveja (*Ovis aries*). En la tumba nº 31 aparecieron también un molar de bovino (*Bos taurus*) y nueve vértebras de ictiofauna.

Por lo que respecta a los restos localizados en las UE identificadas como matriz de tumba, estos pertenecen a un Equido y a un cerdo.

En este conjunto de fauna del siglo II aC solamente los restos recuperados en la UE 3031 (matriz de tumba) presentan alteraciones por fuego.

1.1-Descripción de los restos en relación a las estructuras

18- TUMBA DE INHUMACIÓN (UE 1372)

Los restos de fauna recuperados en la tumba nº 18, pertenecen a dos especies: el cerdo (*Sus domesticus*) y la oveja (*Ovis aries*).

Los restos de cerdo corresponden al cráneo y mandíbulas de un macho, con una edad de muerte comprendida entre los 23-31 meses. El cráneo está totalmente fragmentado en minúsculos trozos, por lo que no podemos apreciar si presentaba alguna marca de carnicería.

Los restos de oveja pertenecen a un animal sub-adulto, no mayor de 30 meses, (aproximadamente rondaría los dos años de edad). Hay restos pertenecientes al esqueleto axial (dos vértebras lumbares y tres caudales), así como del esqueleto apendicular (pelvis izquierda, los dos fémures, fragmentos de las dos tibias y un fragmento de calcáneo).

Una pelvis y un fémur presentan marcas de carnicería. En la pelvis se observa un corte profundo en la cresta iliaca realizado durante el despiece. El fémur presenta incisiones finas marcas que por su localización en las zonas articulares, relacionamos con la desarticulación de los miembros.

La pelvis presenta una patología: un crecimiento anormal del tejido óseo sobre la zona de inserción muscular en el íleon.

Como característica de los restos de oveja, queremos resaltar su robustez ya que pese a ser un ejemplar inmaduro (huesos con epífisis no fusionadas), el tamaño de los huesos es superior al de las ovejas presentes en los yacimientos ibéricos del Camp del Turia. Tal vez se trate de una raza introducida o de un ejemplar castrado, aunque no disponemos de suficientes restos para concretar esta posibilidad.

24- TUMBA DE INHUMACIÓN (UE 1439)

En la tumba de inhumación nº 24, los restos óseos son de un cerdo (*Sus domesticus*). Hemos identificado un cráneo y sus correspondientes mandíbulas. Considerando el desgaste que presentan los molares primero y segundo y la ausencia de desgaste oclusal en los molares terceros, podemos atribuir una edad de muerte entre los 23-31 meses (adulto-joven).

Las marcas de carnicería se manifiestan en un corte fino y largo localizado en el hueso frontal que pone de manifiesto un procesado carnicero previo a la deposición en la tumba.



31- TUMBA DE INHUMACIÓN (UE 1457)

Las especies de mamíferos identificadas son el bovino (*Bos taurus*) y el cerdo (*Sus domesticus*). Junto a ellas había 9 vértebras de un pez de tamaño mediano no identificado taxonómicamente. Algunas de estas vértebras presenta una perforación antrópica realizada sobre el agujero natural del *centrum* de la vértebra. Por lo que habría que considerar este conjunto como un amuleto o resto de un adorno.



Pertenece al bovino tan sólo hay un molar primero superior derecho, con desgaste en las primeras cúspides.

De cerdo contamos con los restos de dos individuos, un subadulto y un neonato. Del animal subadulto (19 y 23 meses) contamos con un cráneo completo y las mandíbulas. La morfología de la dentición nos indica que se trata de una hembra. Por las marcas que hemos observado en una hemimandíbula podemos decir que hay un procesamiento carnívoros previo a su deposición en la tumba. Sobre la superficie lingual de la mandíbula izquierda hay dos cortes finos y largos producidos muy probablemente al extraer la lengua del animal. También hay una fractura producida por un instrumento cortante (hacha o cuchillo grande) sobre la sínfisis mandibular.

El cráneo presenta sobre el frontal derecho una depresión de forma irregular, con tres pequeñas marcas circulares en su interior, que no llega a perforar el hueso. Por sus características pudiera corresponder a la marca de la dentición de un carnívoro (perro). La marca presenta los bordes redondeados lo que indica crecimiento de hueso y por lo tanto la supervivencia del animal a la agresión.

El segundo individuo identificado, es un animal neonato. Los huesos identificados son: dos húmeros, un calcáneo, un astrágalo, dos costillas y un metapodio.



47- TUMBA SIMPLE (UE 2405)

Hemos identificado un fragmento de costilla de meso mamífero indeterminado. El resto pertenece a un animal infantil.

-MATRIZ DE TUMBA (UE 3073)

Los restos de fauna son 6 fragmentos de una misma pelvis izquierda de un Equido. Se conserva parte del acetábulo, íleon e isquion. El hueso presenta marcas de carnicería en la superficie medial de la tabla del isquion.

-MATRIZ DE TUMBA (UE 3031)

Los restos están calcinados, se trata de un calcáneo derecho de un cerdo juvenil menor de dos años y de dos fragmentos indeterminados de meso mamífero. La coloración del hueso es blanquecina y la estructura esta agrietada.

2. RESTOS FAUNISTICOS DEL S. I aC.

El material estudiado está formado por 26 huesos y fragmentos óseos de cuatro mamíferos domésticos, los équidos (*Equus caballus/ E.asinus*), el cerdo (*Sus domesticus*), la oveja (*Ovis aries*) y el perro (*Canis familiaris*) y un ave doméstica, el gallo (*Gallus gallus domesticus*). Los huesos se recuperaron en cuatro *Loculus* y en un estrato.

Nº REF	102	103	118	113		
S.I aC	Loculus	Loculus	Loculus	Loculus	Estrato	
UE	1205	1263	2263	2107 b	3152	TOTAL
Oveja	3					3
Cerdo		10		3		13
Gallo		3				3
Meso mamífero indet.			2		5	7
TOTAL	3	13	2	3	5	26

De las estructuras analizadas cabría destacar que en el *Loculus* nº 102 se depositaron 3 astrágalos de oveja, estos elementos entre otras utilidades servían como piezas de juego y para leer el oráculo. Desde época clásica son elementos comunes en las necrópolis tanto de incineración como de inhumación. De igual manera es significativo el hallazgo de la parte izquierda del esqueleto de un cerdo de 4 meses, con evidencias de un previo procesado carnicero y de los restos de un gallo en el *Loculus* 103.

Finalmente hay que señalar que los restos recuperados en el interior de las urnas de los *Loculus* nº 113 y 118 estaban todos calcinados. Por lo que formarían parte de la cremación, tal y como es el caso del cerdo cremado de la UE 2017b como ofrenda.

2.1.- Descripción de los restos en relación a las estructuras

102- *LOCULUS* (1205).

Los restos asociados a la cremación son tres astrágalos, dos derechos y uno izquierdo de oveja (*Ovis aries*), que se recuperaron en la UE 1205. La estructura ósea está bastante alterada tanto es así que alguna de las piezas casi ha perdido toda la cortical. Debido a estas modificaciones, consecuencia de las características del sedimento resulta difícil apreciar las marcas antrópicas, es decir las marcas de carnicería y otras marcas de manipulación. Tan sólo en un astrágalo derecho observamos, en la faceta lateral una abrasión de la superficie, también en la superficie distal se distingue una ligera abrasión, que modifica una marca de carnicería (incisión fina de desarticulación). Los pulidos parciales de su superficie son consecuencia de su manipulación para transformarlo en una "taba".

Estos elementos, que no presentan signos de cremación, tal vez estaban relacionados con el ajuar funerario. Ya que el uso de los astrágalos con piezas de juego o como piezas para leer el oráculo, esta atestiguada desde épocas precedentes.

103- *LOCULUS* (1263).

Los restos faunísticos proceden de la UE 1263 y formarían parte del relleno del *Luculus*. Los huesos pertenecen a dos especies, un mamífero y un ave. Los restos de mamífero son de un cerdo (*Sus domesticus*) y pertenecen a un único individuo que no alcanzaría los 4 meses de edad. Los huesos identificados son todos de la parte izquierda del animal, y contamos con un fragmento de cráneo, un maxilar, una mandíbula, una escápula, una pelvis, un fémur y cuatro fragmentos de costilla. Sobre la mandíbula y sobre el cráneo se aprecian marcas de carnicería.

Por lo que respecta al ave, los huesos son de un gallo (*Gallus gallus domesticus*) de corta edad. Contamos con una vértebra, un húmero derecho y un tibio-tarso izquierdo. No hemos observado marcas de carnicería sobre estos huesos, aunque hay que señalar que la cortical de los huesos está muy alterada por agentes edáficos.

118- *LOCULUS* (2263).

Los restos proceden del relleno del interior de la urna, se trata de dos pequeños fragmentos indeterminados que están totalmente calcinados, presentando una coloración blanca y gris, para los que no podemos atribuir especie (no sabemos si son animales o humanos).



113- LOCULUS (2107b).

Los restos proceden del relleno del interior de la urna y pertenecen a un cerdo menor de tres años. Los huesos son un fémur distal izquierdo no fusionado, un fragmento de vértebra y 19 fragmentos de cráneo. Todos ellos están calcinados y presentan una coloración blanca. Sobre ellos no hemos apreciado marcas de carnicería, en parte debido a la cremación que han sufrido.

ESTRATO (UE 3152)

En este estrato se han identificado cinco pequeños fragmentos de una única diáfisis de meso mamífero indeterminado.

3. RESTOS FAUNISTICOS DEL S.I dC.

Los huesos y fragmentos óseos de este momento cronológico son un total de 25, proceden principalmente de los rellenos de las tumbas de inhumación. En las tumbas 173 (UE 2447), 149 (UE2077) y 166 (UE 2420) pensamos que los restos podrían formar parte de ofrendas al difunto, tras considerar las especies, lateralidad y unidades anatómicas depositadas.

Nº REF	164	149	163	166	173	146	
S. I DC	T.Inhumacion	T.Inhumacion	T.Inhumacion	T.Inhumacion	T. Inhumación	T. Inhumación	
UE	2410	2077	2414	2420	2447	1434	TOTAL
Equido						1	1
Asno					1		1
Cabra	1						1
Cerdo	2						2
Perro	1	14		3	1		19
Meso mamífero indet.			1				1
TOTAL	4	14	1	3	2	1	25

Los restos de cánidos no presentan marcas de carnicería ni de consumo. Estas marcas si que se observan sobre los huesos del resto de especies identificadas.

3.1-Descripción de los restos en relación a las estructuras

149- TUMBA DE INHUMACIÓN (2077)

En el relleno 2077 se localizó parte del cráneo, con las mandíbulas derecha e izquierda y el maxilar derecho, así como parte del esqueleto axial y parte del esqueleto apendicular delantero izquierdo de un perro (*Canis familiaris*). Se trata de un animal adulto de talla media, que presenta malformaciones en la diáfisis de un húmero y en la apófisis de una vértebra, posiblemente causadas por un traumatismo. Sobre los huesos de este animal no hemos observado marcas de carnicería.

146-TUMBA DE INHUMACIÓN (1434)

El hueso recuperado es un centro-tarsal derecho de équido.

163- TUMBA DE INHUMACIÓN (2414).

El único resto es una diáfisis de meso mamífero indeterminado, se trata de un fragmento de 6 centímetros que presenta marcas de haber sido fracturado.

164- TUMBA DE INHUMACIÓN (2410)

Junto al esqueleto, se encontraban varios huesos de animales, contamos con una mandíbula izquierda y una escápula derecha de cerdo (*Sus domesticus*). Una primera falange de cabra (*Capra hircus*) y una diáfisis de un fémur izquierdo de perro (*Canis familiaris*).

Tan sólo hemos observado una marca de carnicería en la falange de cabra, se trata de un corte fino y oblicuo realizado en la superficie medial.

166- TUMBA DE INHUMACIÓN (2420)

De esta unidad proceden un maxilar izquierdo, una ulna derecha, y una tibia proximal izquierda de perro (*Canis familiaris*) de edad adulta y talla media.

173- TUMBA DE INHUMACIÓN (2447)

En la UE 2447 se localizaron una mandíbula izquierda de un perro adulto (*Canis familiaris*) y otra mandíbula izquierda de un asno (*Equus asinus*). La edad de muerte del équido es de 10-11 años.

Sobre el cuerpo de la mandíbula de équido se observan marcas de carnicería, se trata de cortes de escasa longitud, no muy profundos, realizados con un instrumento metálico

4. RESTOS FAUNISTICOS DE LOS SS. I-II dC.

Los restos óseos pertenecen a tres especies domésticas y una silvestre. Algunos huesos muestran fracturas antrópicas, como las que se observan en la diáfisis del metacarpo de bovino y en la superficie basal de dos clavijas córneas de cabra. Otras fracturas observadas son recientes.



S. I-II DC	Estrato antrópico
UE	3223
Equido	6
Vaca/Toro	9
Oveja/Cabra	4
Cabra	3
TOTAL	22

4.1-Descripción de los restos en relación a las estructuras

Équido (*Equus sp.*). Una diáfisis de húmero y una falange primera distal.

Bovino (*Bos taurus*). Presente con cinco fragmentos de clavija córnea, cuatro fragmentos de cuerpo mandibular, tres molares y un metacarpo proximal izquierdo.

Cabra (*Capra hircus*). Los restos de cabra son cinco clavijas córneas izquierdas y tres derechas.

Ovicaprino. Dos fragmentos de vértebras y uno de costilla.

Ciervo (*Cervus elaphus*). Un fragmento de diáfisis de metapodio



5. RESTOS FAUNISTICOS DEL S. II dC.

El conjunto analizado son un total de 13 huesos y fragmentos óseos que pertenecen a tres especies domésticas; el bovino (*Bos taurus*), la cabra (*Capra hircus*) y el perro (*Canis familiaris*).

S. II DC	inhumacion	inhumacion	inhumacion	inhumacion	
UE	2366	2377	2333	2323	TOTAL
Vaca/Toro		5			5
Oveja/Cabra			1		1
Cabra				1	1
Perro	1	2		1	4
Macro mamífero indet.				2	2
TOTAL	1	7	1	4	13

Los restos identificados en la UE 2323 presentan marcas producidas por el procesado carnívor, estas marcas son visibles en la cuerna de cabra y sobre la costilla de macro mamífero indeterminado, así como en el fragmento de mandíbula de bovino de la UE 2377.

Sobre los restos de perro no se observan marcas de prácticas carniceras.

5.1- Descripción de los restos en relación a las estructuras

218- INHUMACIÓN (UE 2323)

Los restos se localizaron junto a la pelvis de un esqueleto humano. Se trata del fragmento de una cuerna de cabra (*Capra hircus*), de un calcáneo derecho de un perro (*Canis familiaris*) de talla pequeña y de dos fragmentos de macro mamífero indeterminado, una costilla y un húmero.

219- INHUMACIÓN (UE 2333)

Hemos identificado un fragmento proximal de un fémur derecho de ovicaprino (*Ovis aries/Capra hircus*).

221-INHUMACIÓN (UE 2366)

Un único resto, se trata de un fragmento de metatrso IV proximal izquierdo de perro (*Canis familiaris*).

223- INHUMACIÓN (UE 2377)

Los huesos pertenecen dos especies domésticas; a un perro de talla pequeña (*Canis familiaris*), con dos fragmentos de una ulna derecha y a un bovino (*Bos taurus*) con cinco fragmentos de la rama horizontal de una mandíbula.

6. RESTOS FAUNISTICOS DE LOS SS. II-III dC.

Un total de 10 huesos se recuperaron en los rellenos de inhumación. Las especies identificadas son el bovino (*Bos taurus*), el équido (*Equus caballus/E.asinus*), el perro (*Canis familiaris*), el ciervo (*Cervus elaphus*) y el gallo (*Gallus gallus domesticus*).

S. II-III DC	Loculus	LOCULUS			
UE	2278	2330	2101	2292	TOTAL
Equido				5	5
Vaca/Toro	1				1
Perro			1	1	2
Ciervo		1			1
Gallo		1			1
TOTAL	1	2	1	6	10

Hemos observado marcas de carnicería sobre los restos de équido de la UE 2292, se trata de marcas de descarnado. También fracturas de despiece sobre el metatarso de ciervo de la UE 2330. Los restos de perro no presentan alteraciones de prácticas carniceras, ni de consumo.

6.1- Descripción de los restos en relación a las estructuras

237-INHUMACIÓN (UE2101)

Un único resto, se trata de un fragmento de una ulna izquierda de perro (*Canis familiaris*) de talla mediana.

261- LOCULUS (2278)

En único resto de fauna es un molar segundo superior derecho de bovino (*Bos taurus*). El molar presenta un desgaste oclusal poco pronunciado por lo que debía pertenecer a un animal joven-adulto.

252- TUMBA DE INHUMACIÓN (2330)

Los restos de fauna son un fragmento distal de metatarso de ciervo (*Cervus elaphus*), y de un carpo metacarpo distal de gallo (*Gallus gallus domesticus*).

El metatarso de ciervo presenta una malformación en el extremo distal. Así mismo se trata de un hueso fracturado en la mitad de la diáfisis.

249- INHUMACIÓN (UE 2292)

Los huesos pertenecen a dos especies domésticas, contamos con tres fragmentos de vértebra, uno de cráneo y un fragmento de diáfisis de metapodio de Équido. También con un occipital izquierdo de un perro (*Canis familiaris*) de talla pequeña.

7. MEDIDAS DE LOS HUESOS

Bovino

M2 sup dr	L	A	Alt
2278	29	21,5	35

M1 inf	L	A
3223	21	15,5

M2 inf	L	A
3223	24	14

M3 inf	L	A	ALT
3223	41	16,6	31

MC	Ap
3223,iz	55

Asno

	M1	M2	M3
1	22,5	21,7	26,4
2	14,5	13,5	12
3	16,4	15,7	13,7
4	12	11,7	10,5
5			
6		2,4	4,9
7			
8	6	5,5	5,5
9	5,5	9	1
10			

11	6	8	8
ALT	46	45,4	44,5

Caballo / Mula

Centrotarsal	AM
1434	50

Falange 1	Ad
3223	42,6

Cerdo

Cráneo	11	24	40
1457	102	33	23

Mandíbula	1	9c	9a	11	21	16c	16 b
1457	46,5	54	35	37,4	10	38	36

Mandíbula	6	7a	8	9a	16b	16c
2412,iz	111	94,5	62,5	32,5	38	40

P3	L	A
2412,iz	11	6

P4	L	A
2412,iz	13	8

M1	L	A
2412,iz	13,5	9,5

M2	L	A
2412,iz	18	11,5

M3	L	A
2412,iz	29	14

Escápula	LmC	BG	LG
2412,dr	24	27	28,5

Cabra

Falange 1	Ap	Ad	AmD	Glpe
2412,iz	13	13,5	12	38,4

Oveja

M1 sup	L	A	Alt
1372 dr	16,7	11	6,5

M2 sup	L	A	Alt
1372 dr	20	14	15

M3 sup	L	A	Alt
1372 dr	33,5	16,5	19,5

M3 inf	L	A	Alt
1372 dr	32,5	15	18,5
1372 iz	33,5	15	17

Astrágalo	LML	LMm	Ad
1205,iz	24		15
1205, dr		28,6	
1205, dr			19

Perro

Maxilar	16
2077,dr	19

P4	L	A
2077,dr	16,5	10

M1	L	A
2077,dr	11,5	14

M1	L	A
2077,dr	6	7,5

Mandibula	8	9	10	12	13	14	19	20
2077,dr		63	33	33	21,4		21	15
2447,iz	66,5		35	31	21	21,5	25	17,6

M1 inf	L	A
2077,dr	30	8
2077,dr	8,5	5,5
2077,dr	4	3,5

Húmero	AD	AT
2077	27	20

Radio	Ap
2077,iz	16

Ulna	EPA	EmO	APC	LO
2421,dr	21,5	18,5		
2077,iz	22	18	14,5	25

Calcáneo	LM
2333,dr	31

Gallo

Carpo Metacarpo	Did
2331	7,5

BIBLIOGRAFIA

- CASTAÑOS, P.:1994: Estudio de la fauna de la necrópolis de Villaricos (Almería). *Archaeofauna*, 3. Madrid, 1-12.
- IBORRA ERES, M. P.: 2004. *La ganadería y la caza del Bronce Final al Ibérico Final en el territorio valenciano*, Serie de Trabajos Varios 103, Valencia.
- IBORRA ERES, M. P.: (en prensa, 2016). Arqueozoología de época romana en el país valenciano. *Archaeofauna*. Madrid
- MARTÍNEZ, A. 1995: El monumento funerario de la Calerilla de Hortunas (Requena). *Archivo Español de Arqueología* Vol. 68 nº 171-172. Madrid: 259-289.
- SANCHIS, A.2004: Estudio Arqueozoológico, en Melchor, JN; Benedito, J *et all*. El monumento funerario del Solar de las Morería (Sagunto), avance arqueológico y antropológico. *ARSE*, 38. *Boletín Anual del Centro Arqueológico Saguntino*.Sagunto:113-167.

M^a Pilar Iborra Eres. 33402444G

IVC+R Culturarts Generalitat

10.2 Análisis antracológico necrópolis de la calle Quart (Valencia)

Sonia de Haro. Universitat de València

En la Necrópolis de la calle Quart, la mayor parte del carbón recuperado procede de la combustión de las maderas que se utilizaban en las cremaciones rituales. Se han analizado un total de 1508 fragmentos de carbón procedentes de diferentes UU.EE. y de diferentes estructuras funerarias (*loculi*, *busta* y *ustrina*). Durante el análisis se han identificado 9 taxones de especies vegetales propias de los carrascales y de la maquia litoral de los pisos bioclimáticos termomediterráneo i mesomediterráneo. También se ha identificado un taxón (*Corylus* sp.), propio de quejigares sublitorales.

Nombre científico	Nombre vulgar
<i>Arbutus unedo</i>	Madroño
<i>Corylus</i> sp.	Avellano
<i>Leguminosae</i> tipo <i>Ulex</i>	Leguminosa tipo aliaga
<i>Olea europaea</i>	Olivo y/o acebuche
<i>Pinus halepensis</i>	Pino carrasco
<i>Pinus pinaster</i>	Pino resinero
<i>Pistacia lentiscus</i>	Lentisco
<i>Punica granatum</i>	Granado
<i>Quercus caducifolia</i>	Roble/ Quejigo
<i>Quercus ilex</i> - <i>Quercus coccifera</i>	Carrasca y/o Coscoja

Arbutus unedo (madroño): Se trata de un árbol que vive en bosques perennifolios y coscojares con preferencia de suelos descarbonatados y las situaciones de umbría. La madera de madroño es pesada, dura y homogénea. Es un buen combustible y proporciona un carbón muy apreciado para la fragua, llamado “breña”. Tiene un alto poder calorífico.

Corylus sp. (avellano): Árbol que vive en bosques caducifolios y en las orlas espinosas de éstos. La madera de avellano es buena y apreciada.. El carbón, muy fino, proporciona una brasa duradera y ha sido empleado para la fabricación de pólvora y también como material de dibujo.

Leguminosae tipo *Ulex*: Las leguminosas tipo aliaga son arbustos espinosos que forman parte de los romerales y tomillares litorales y sublitorales. Son grandes pirófitas y poseen una alta inflamabilidad.

Olea europaea (olivo i/o acebuche): Árbol que en su forma silvestre crece en bosques térmicos de carrascales y en coscojares litorales. Su variedad cultivada constituye uno de los

cultivos típicos mediterráneos. La madera de olivo es una de las más duras y compactas que se conocen. Es un magnífico combustible y da un carbón de primera calidad.

Pinus halepensis (pino carrasco): Árbol que de forma natural vive en coscojares y lentiscales formando un dosel arbolado poco denso. Aún siendo natural en nuestro territorio, no forma parte de los bosques maduros y estables, sino de etapas de degradación de éstos. Especie muy inflamable. La madera del pino carrasco es una madera muy resinosa y muy dura. Su resina contiene pineno puro (hidrocarburo que se encuentra en sus aceites esenciales).

Pinus pinaster (pino resinero). Árbol que vive en bosques y matorrales con sustratos descarbonatados o pobres en bases. Especie muy inflamable. La madera de *Pinus pinaster* es una de las más resinosas del género *Pinus*. Su resina, que se denomina trementina, se obtiene por incisión y sangrado de los troncos de ejemplares adultos.

Pistacia lentiscus (lentisco): Arbusto que habita en matorrales heliófilos que surgen de la degradación de los bosques perennifolios, en coscojares y carrascales térmicos. El lentisco pertenece a la familia de las terebintáceas, plantas muy ricas en esencias, que les confieren aromas característicos. Tanto el lentisco como su pariente la cornicabra (*Pistacia terebinthus* L.) exhalan un aroma que recuerda al de las resinas de algunas coníferas; de hecho ambas especies producen resinas oleosas, que reciben el nombre de 'almáciga' en el lentisco, y de 'trementina' en el caso de la cornicabra. Madera pesada y dura. La leña es un magnífico combustible y proporciona un carbón de primera calidad.

Punica granatum (granado). Especie oriunda de Asia suroccidental y Europa suroriental. Se cultiva como especie frutal en comarcas litorales. También crece de forma espontánea y naturalizada prácticamente en la totalidad de nuestras comarcas. Madera muy dura, compacta y homogénea.

Quercus caducifolia (roble y/o quejigo): Estos árboles viven generalmente sobre suelos de naturaleza calcárea desde prácticamente la costa hasta el interior. Forma parte de quejigares o robledales y en ocasiones también aparece en encinares y carrascales.

Quercus ilex - *Quercus coccifera* (carrasca y/o coscoja): La carrasca es el principal componente de los bosques autóctonos litorales, sublitorales y continentales, en comarcas con ombroclima seco o subhúmedo. La coscoja forma parte de las orlas secas de los carrascales. Vive tanto en zonas litorales como continentales no excesivamente frías. Madera de gran potencia calorífica. Es la que más se usa para el carboneo, dando un producto de primera calidad.

También ha habido una gran cantidad de fragmentos de carbón que no han podido identificarse porque su estructura anatómica ha sido alterada por la acción del fuego a muy alta temperatura. La carbonización, ocurre a temperaturas entre 400 y 600 °C. Si se superan estas temperaturas(entre 700 y 800 °C), muchos de los átomos de hidrógeno y los grupos hidrocarbonados son eliminados, dejando pequeños cristales con estructura similar al grafito y deforman totalmente la estructura anatómica de la madera, por lo que es prácticamente imposible su identificación a través de la observación microscópica.

ESTRUCTURAS FUNERARIAS

LOCULI

MONO ESPECIFICOS:

13 UU.EE de las 23 que corresponde a los *loculi* son mono específicas, es decir, solo se ha identificado un taxón. Así todos los fragmentos de carbón recuperados en la U.E.1258 pertenecen a madera de *Arbutus unedo* (madroño). Del mismo modo todos los fragmentos de carbón recuperados en la U.E.1324 pertenecen a madera de *Leguminosae* tipo *ulex* y los recuperados en la U.E 2126 pertenecen a madera de *Pinus halepensis*.

Algunas U.E. han coincidido en el resultado como las U.E. 2017, 3009, 3071 donde el carbón recuperado pertenece a madera de *Pistacia lentiscus*. Las U.E. 1268, 2053-2054, 3080 todos los fragmentos de carbón pertenece a madera de *Quercus perennifolio*. Por último las U.E. 1302, 2123, 2236, 2263 todos los fragmentos de carbón analizados pertenece a madera de *Olea europaea*.

VARIOS TAXONES:

Los fragmentos de carbón recuperados en la U.E.1256 pertenece a madera de *Arbutus unedo* con un 25% y el 75% no se han podido identificar por la alteración de su estructura anatómica.

Los fragmentos de carbón recuperados en la U.E.1263 pertenecen a madera de *Quercus caducifolio* en un 66,6% y de *Quercus perennifolio* en un 33,4%. Los fragmentos recuperados en la U.E. 2184 pertenecen a *Olea europaea* en un 53,8% mientras que un 46,1%. no se han podido identificar por la alteración de su estructura anatómica Los fragmentos recuperados en la U.E. 3017 pertenecen a *Olea europaea* en un 28,7, en un 54,3 % pertenece a *Quercus perennifolio* y un 16,8% no se han podido identificar por la alteración de su estructura anatómica. Los fragmentos recuperados en la U.E. 3123 pertenecen a *Arbutus unedo* en un 0,4%, *Olea europaea* en un 17,5%, en un 66,8% pertenece a *Pinus halepensis*, en un 11% a *Pinus Pinaster* (pino resinero), y en un 4,1% no se han podido identificar por la alteración de su estructura anatómica Los fragmentos

recuperados en la U.E. 3125 pertenecen a *Leguminosae* tipo *ulex* en un 2,1%, *Quercus* perennifolio en un 87,8%, y en un 10% no se han podido identificar por la alteración de su estructura anatómica. Los fragmentos recuperados en la U.E. 3177 pertenecen a *Olea europaea* en un 10,8%, en un 7,5% a *Pinus halepensis*, en un 80,8% a *Quercus* perennifolio y en un 1,6% no se han podido identificar por la alteración de su estructura anatómica. Los fragmentos recuperados en la U.E. 3184 pertenecen a *Pinus halepensis* en un 81,9% a *Quercus perennifolio* en un 16,3% y el 1,7% no se han podido identificar por la alteración de su estructura anatómica.

Los fragmentos recuperados en la U.E. 3208 pertenecen a *Olea europaea* en un 56,2%, en un 7,5% a *Pinus halepensis* y en un 43,7% a *Punica granatum* (granado).

UE	<i>Arbutus unedo</i>		<i>Legum sp.</i>		<i>Olea Europ.</i>		<i>Pinus Halep.</i>		<i>Pinus pinaster</i>		<i>Pistacia Lentis.</i>		<i>Punica Gran.</i>		<i>Quercus Caduc.</i>		<i>Quercus Perenni.</i>		Inde.		Tot.
	N	%	N	%	N	%	N	%	N	%	N	%	N	%	N	%	N	%	N	%	
1256	1	25																	3	75	4
1258	2	100																			2
1263														18	66,6	9	33,4				27
1268																65	100				65
1302					3	100															3
1324			13	100																	13
2017											7	100									7
2053-2054																9	100				9
2069					1	20					1	20					1	20	2	40	5
2123					5	100															5
2126							39	100													39
2184					7	53,8													6	46,15	13
2263					1	100															1
2236					1	100															1
3009											16	100									16
3017					46	28,7											87	54,3	27	16,8	160
3071											30	100									30
3080																75	100				75
3123	1	0,4			38	17,5	145	66,8	24	11,0									9	4,1	217
3125			5	2,1													202	87,8	23	10	230
3177					13	10,8	9	7,5									97	80,8	2	1,6	120
3184							95	81,9									19	16,3	2	1,7	116
3208					63	56,2							49	43,7							112

Tabla 1: Frecuencias absolutas (N) y relativas (%) de los fragmentos de carbón analizados en los *loculi* de La Necrópolis de Cañete.

Si agrupamos los resultados, como podemos observar en el gráfico 1, vemos que en el conjunto de los *loculi* el taxón mejor representado es el *Quercus perennifolia* que supera el 45% del total de carbones analizados. Le sigue *Pinus halepensis* que supera el 20% y *Olea europaea* que supera el 17%. Los demás taxones identificados como *Arbutus unedo*,

leguminosae tipo *ulex*, *Pinus pinaster*, *Pistacia lentiscus*, *Punica granatum* y *Quercus caducifolia* a penas superan el 5% del total de fragmentos de carbón analizados.

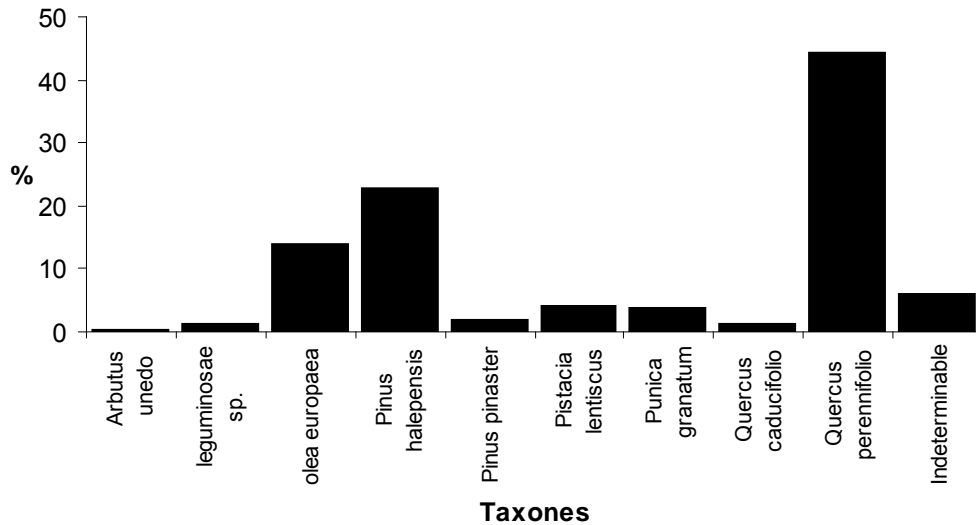


Grafico 1. Frecuencias relativas de los distintos taxones identificados en los Loculi de la Necrópolis de Cañete.

Por otra parte podemos observar en el gráfico 2, que tanto en los *loculi* de cronología romana como en los de cronología ibérica, el taxones mejor representado sigue siendo el *Quercus perennifolia*, seguido de *Pinus halepensis* y de *Olea europaea*. Sin embargo hay diferencias entre los taxones de menor presencia como observamos en *Pinus pinaster* que solo aparece representado en los *loculi* íberos. El mismo caso ocurre con *Punica granatum* aunque hay que señalar que probablemente que los fragmentos de carbón que pertenecen a este taxón sean una contaminación de estratos de épocas posteriores. Por otra parte se puede observar que en los *loculi* romanos aparece representado el taxón *Quercus caducifolia*, que no aparece en los *loculi* íberos. Por otra parte disminuye el porcentaje de *Leguminosae* tipo *ulex* respecto a los *loculi* de cronología ibérica que no supera el 10% del total de fragmentos de carbón analizado en este tipo de estructura funeraria..

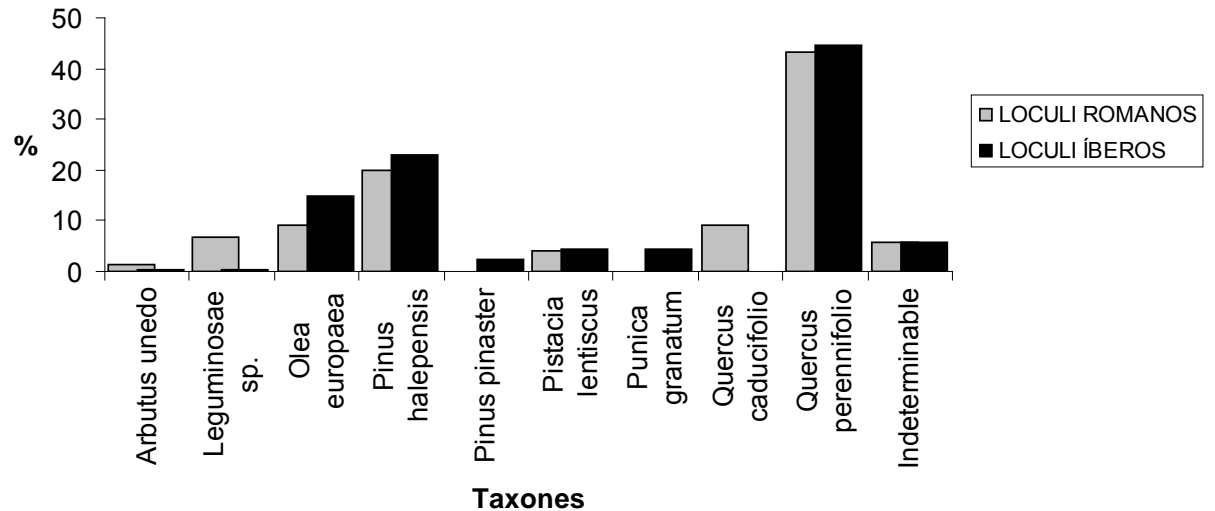


Grafico 2. Frecuencias relativas de los distintos taxones identificados en los *Loculi* de cronología ibérica y en los de cronología romana.

BUSTA

En los *Busta* donde se ha recuperado carbón (U.E. 1284 y 2073) se han identificado dos taxones diferentes en cada estructura. En la U.E: 1284 se han recuperado un total de 11 fragmentos de carbón todos ellos pertenecientes a *Pinus halepensis*. Y en la U.E: 2073 se han recuperado un total de 8 fragmentos de carbón todos ellos pertenecientes a *Olea europaea*.

UE	<i>Olea europaea</i>		<i>Pinus halepensis</i>		Total
	N	%	N	%	
1284			11	100	11
2073	8	100			8

Tabla 2: Frecuencias absolutas (N) y relativas (%) de los fragmentos de carbón analizados en los *Busta* de La Necrópolis de Cañete.

USTRINA

Como podemos observar tanto en la tabla 3 como en el gráfico 3, en el *ustrinum* 2047 se han analizado un total de 187 fragmentos de carbón y se han identificado 4 taxones. El mejor representado es *Quercus perennifolio* con un 33,16%, seguido de *Pistacia lentiscus* con un 12,83% y por último un 0,53% de *Corylus* (avellano). También hay que mencionar que el 50% de los fragmentos de carbón recuperado no se ha podido identificar por la alteración de su estructura anatómica.

En el *ustrinum* 2151 los resultados son diferentes ya que se han identificado dos taxones: *Olea europaea* con un 53,1% y *Arbutus unedo* con un 46,88%.

	<i>Arbutus unedo</i>		<i>Corylus sp.</i>		<i>Olea europaea</i>		<i>Pinus halepensis</i>		<i>Pistacia lentiscus</i>		<i>Quercus perennifolio</i>		INDET.		Total
	N	%	N	%	N	%	N	%	N	%	N	%	N	%	
2047			1	0,53			5	2,67	24	12,83	62	33,16	95	50,80	187
2151	1	46,88		0	17	53,13									32

Tabla 3: Frecuencias absolutas (N) y relativas (%) de los fragmentos de carbón analizados en los *Ustrina*

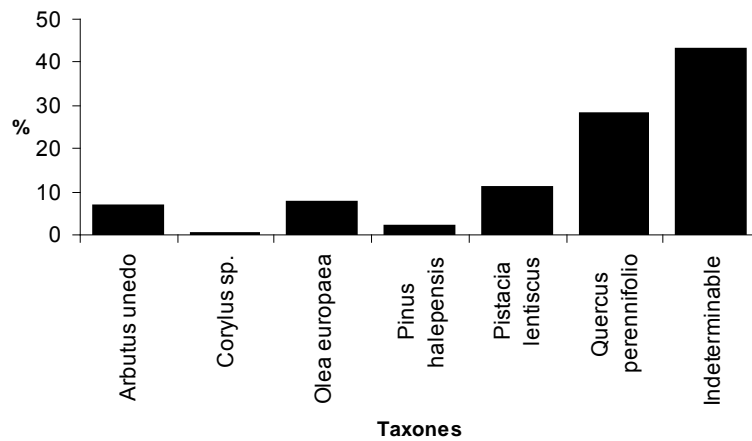


Grafico 3. Frecuencias relativas de los distintos taxones identificados en los *Ustrina* de la Necrópolis de Cañete.

INTERPRETACIÓN DE LOS RESULTADOS

La mayor parte de los carbones recuperados en Cañete, proceden de estructuras de combustión, por lo que hasta el momento solo se puede realizar una interpretación etnológica sobre el tipo de leña utilizado como combustible en los ritos funerarios.

En los *loculi* los carbones más abundantes pertenecen a maderas de carrasca i/o coscoja, de pino carrasco i de olivo i/o acebuche, por lo que es de suponer que eran estas especies vegetales las más utilizadas como material de combustión para llevar a cabo las cremaciones.

También se ha identificado madera de pino resinero y de leguminosa tipo aliaga que por sus características hace que sean especies muy inflamables que producirían una alta temperatura durante la cremación.

El lentisco es otra de las plantas identificadas en los *loculi*. No es una especie especialmente inflamable, por lo que suponemos que se utilizaría en las cremaciones por los aromas característicos que desprenderían sus aceites esenciales al ser quemados.

Por otra parte no se observan grandes diferencias entre los combustibles utilizados para realizar las cremaciones entre los *loculi* de cronología ibérica i los de cronología romana. En ambos periodos el combustible más utilizado era la madera de carrasca i/o coscoja, la de pino carrasco i la de olivo i/o acebuche. En ambos periodos también parece utilizarse la madera de lentisco durante las cremaciones.

En los *busta* parece ser que solo utilizan como combustible la madera de olivo i/o acebuche y madera de pino carrasco, aunque este dato hay que tomarlo con precaución ya que se han analizado muy pocos fragmentos de carbón y estos resultados puede que no sean representativos.

En cuanto a los *ustrina* hay que decir que aunque la madera de carrasca y/o coscoja, la de olivo y/o acebuche, la de madroño y la de lentisco tienen una importante presencia, destaca el alto porcentaje que alcanzan en estas estructuras los carbones indeterminables. Ello es debido a las altas temperaturas que alcanzaban estas estructuras funerarias, que debería superar los 700 u 800 °C. A esta temperatura, como hemos observado anteriormente, la estructura anatómica de la madera sufre tal alteración que es prácticamente imposible su identificación anatómica a través del microscopio. Por otra parte la identificación de avellano está directamente relacionada con los frutos secos calcinados que se han encontrado en algunos de los *ustrinum*. Por lo que es de suponer que la presencia de restos de esta madera se explique por el hecho de que aprovechaban como combustible los restos de las ramas que sujetaban los frutos que se utilizaban como ofrenda al difunto.

La identificación de estos taxones en la Necrópolis de Cañete nos hace pensar que para preparar la pira funeraria se combinarían leñas de combustión rápida como es el caso de *Pinus pinaster*, *Pinus halepensis*, especies que alcanzan una temperatura muy elevada debido a su alta concentración de resina, con especies de combustión lenta que contribuye al mantenimiento de una temperatura constante como es el caso de *Quercus ilex-coccifera*, *Olea europaea*, *Quercus caducifolia* y de *Arbutus unedo*. Las leguminosas tipo aliaga se utilizarían con el fin de facilitar la combustión inicial. También utilizaban en la cremación maderas aromáticas como el lentisco, que podían tener un significado simbólico, tal y como sucede en otras culturas del mediterráneo.

En otras necrópolis del país Valenciano donde se han realizado análisis antracológicos se puede observar una gran variedad de especies vegetales utilizadas en las estructuras de combustión tales como carrasca, olivo, enebros, rosáceas, chopos, fresnos, entre otras por lo que no se pudo asociar ninguna especie en concreto con los ritos funerarios.

Sonia de Haro

BIBLIOGRAFIA

ALBUIXECH, J. (1994): Nuestros árboles. Catalogo de los árboles de la provincia de Castellón. Diputació de Castelló.

CHABAL, L. (1992): La représentativité paleo-écologique des charbons de bois archeologiques issus du bois de feu, Actes du Colloque International "Les charbons de bois, les anciens écosystemes et le role de l'Homme" (Montpellier: 10-13 septembre 1991). *Bull. Soc. Bot. Fr.*, 139, Actual.bot.(2/3/4), pp. 213-236.

GRAU, E., (1993): Antracoanálisis de la necrópolis ibérica de Cabezo Lucero (Guardamar del Segura), *In* Aranegui, C., Jodin, A., Llobregat, E., Rouillard, P., Uroz, J: La nécropole Ibérique de Cabezo Lucero. Guardamar del Segura. Alicante. CCV, 41, 329-331. Madrid-Alicante.

GRAU, E. (2000): Anexo IV. Antracoanálisis de la necrópolis del Corral de Saus (Moixent, Valencia). *In* Izquierdo, I: Monumentos funerarios ibéricos: Los pilares-estela. Trabajos Varios del SIP, 98, 513-516. Valencia.

PERIS, J.- STÜBING, G.-ROSELLÓ, R. (1996): Bosques y matorrales de la Comunidad Valenciana. Diputació de Castelló.

PITARH, R. (1995): Estudio de la flora de los montes de Palomita y el Bovalar de Vilafranca (Castelló). Diputació de Castelló.

VV.AA (1975): Árboles y arbustos. Escuela Técnica Superior de Ingenieros de Montes.

VV.AA. (2001): En el umbral del más allá. Una tumba ibérica de Elche. Ajuntament d'Elx y Pimesa.

10.3 Estudio preliminar del conjunto numismático de la necrópolis romana de la calle Quart

Antonio Sáez Landete. Arqueólogo

INTRODUCCIÓN

A lo largo de las sucesivas campañas de excavación realizadas en la necrópolis de la calle Quart – Cañete se recuperaron un total de 60 monedas¹. Dejando a un lado las monedas halladas en estratos alterados, el resto se encuentra relacionado, muy claramente, con diferentes contextos dentro de la misma excavación. Por un lado las monedas pertenecientes a los enterramientos, por otro las relacionada directa o indirectamente con los episodios de calzada que amortizan la necrópolis y por último las halladas en un relleno antrópico que nivela una depresión natural del terreno en el sector S. de la excavación.

Los datos proporcionados por las monedas de la excavación Quart-Cañete, junto con los obtenidos del estudio del conjunto numismático procedente de la excavación de esta misma necrópolis en la vecina calle Virgen de la Misericordia (Gozalbes, 1997), permite realizar una aproximación al uso de la moneda en contextos funerarios de época romana y comprobar si el ritual influye en este uso, para evitar distorsiones que impedirían obtener una visión amplia y objetiva de la circulación monetaria.

VALORACIÓN DEL CONJUNTO

Los márgenes cronológicos para el conjunto de monedas recuperado quedan establecidos por un as republicano del tipo Jano bifronte acuñado en Roma, de principios del s. II a.C. y por dos antoninianos del tipo Divo Claudio, conmemorativos de su muerte y datados tras la misma a partir del 270 d.C. Pese a este amplio marco cronológico, la mayoría de monedas se concentran entre los siglos I – II d.C. en directa concordancia con los vestigios de circulación de moneda en Hispania.

Para el período republicano los ejemplares recuperados son escasos y nunca aparecen en contextos anteriores al siglo I d.C., a excepción de dos piezas de Sagunto con un cronología amplia que abarcaría desde el 130 a.C. hasta época augustea y que fue recuperada en un *ustrinum* fechado en el s. I a.C. A partir de Augusto se observa una cierta constancia en la representación de los distintos emperadores hasta Marco Aurelio, momento en el que se produce un enorme *hiatus* hasta las referidas monedas

¹ Este trabajo de carácter preliminar fue estudiado y redactado por el arqueólogo Antonio Saéz Landete, miembro del equipo de investigación del proyecto de estudio de la necrópolis de la calle Quart. (nota de la autora)

conmemorativas de Claudio II (recuperadas en uno de los estratos que amortizan la calzada del siglo III d. C.). Este vacío coincidiría con el momento final de la necrópolis como se desprende de las cronologías propuestas para los enterramientos más recientes y que no superarían el siglo III de nuestra era, momento en el que la actividad se trasladaría a otras necrópolis de la ciudad.

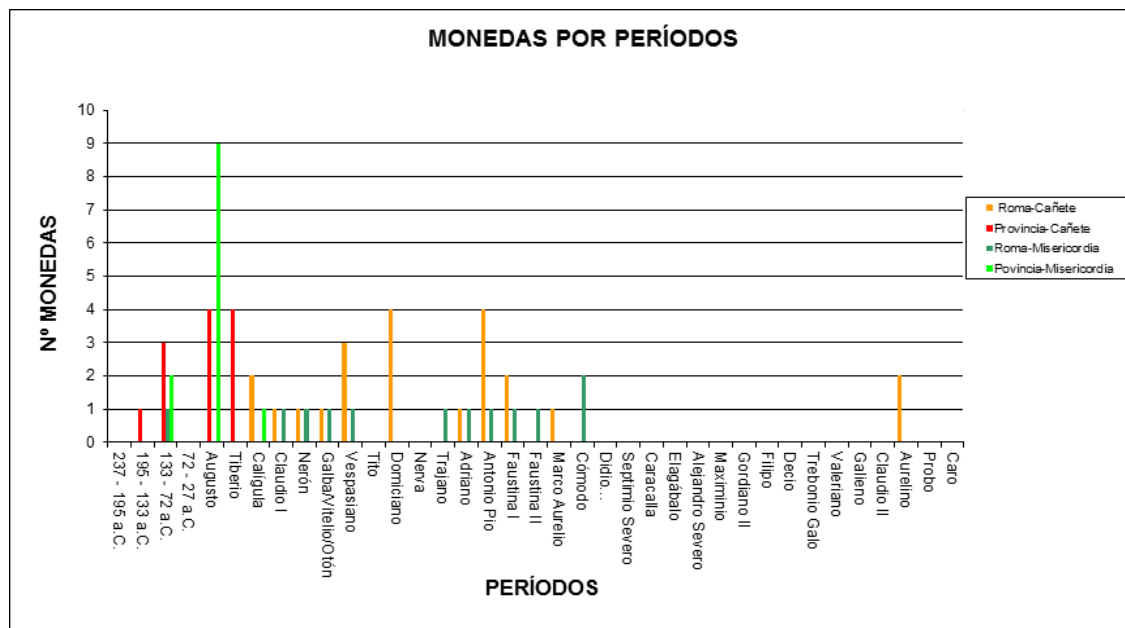


Fig1. Gráfica comparativa de la composición monetaria de Quart y Virgen de la Misericordia

Desde el punto de vista de la procedencia de las monedas se observa un claro predominio de las cecas provinciales, destacando las cecas hispánicas, especialmente las del valle del Ebro, comprobándose su capital importancia como principales centros de abastecimiento de moneda para la zona levantina (Ripollés, 1982) y la ceca de Arse/Sagunto dada su proximidad geográfica. Por otro lado llama la atención la ausencia de moneda procedente de otros centros emisores peninsulares como pueden ser las activas cecas andaluzas o la inexistencia de moneda procedente de la propia ciudad de *Valentia*, como sí ocurre en otros contextos de la ciudad para el período republicano (Ribera, 2000).

Tras un período de inactividad, que corresponde a los años posteriores a la destrucción de la ciudad por las tropas de Pompeyo durante las guerras sertorianas, la composición de la masa monetaria se ajusta al esquema propuesto para las llamadas acuñaciones cívicas, respuesta de carácter local al desabastecimiento de moneda divisionaria producto de la reducida producción de moneda a lo largo del período post-sertoriano, entre otras causas (RIPOLLÉS, 1994). Así se observa como de nuevo vuelve a haber un predominio de las cecas del Valle del Ebro, que mantienen su importancia en el

abastecimiento de moneda. Por último, dentro de este contexto provincial, es necesario destacar, por su origen extrapeninsular en un momento en el que predominan ampliamente las cecas hispánicas, la presencia de monedas procedentes de la ceca de Narbona en la Galia Narbonense.

Coincidiendo con el reinado de Calígula se produce una transición, apareciendo a partir de su reinado representadas sólo emisiones imperiales procedentes de la ceca de Roma, a excepción de un ejemplar de Vitellio que se considera, por cuestiones estilísticas, acuñado en Tarraco. Esta situación hay que relacionarla directamente con el paulatino cierre de las cecas provinciales, cierre que será definitivo durante el reinado de Claudio I y que supondrá la total dependencia de la ceca de Roma para el abastecimiento de moneda. Como resultado se produce una falta de suministro notable durante todo el período flavio que debe explicarse principalmente por la incapacidad de la ceca de Roma de abastecer adecuadamente al Imperio tras el cierre de las cecas provinciales con Claudio I, tal y como sucede en otros yacimientos peninsulares como Ampurias (Campo y Ruiz De Arbulo, 1989) o Baetulo (Gurt y Padrós, 1993). Aunque cabría la posibilidad de hallarnos ante el indicador de un periodo de inactividad en la necrópolis.

Esta situación de falta de suministro de moneda nueva provoca el que se adopten toda una serie de medidas encaminadas a paliarla. En este sentido observamos como durante el reinado de Claudio I se asiste a un fenómeno de imitación local de moneda de bronce, se contramarkan viejos bronces, se parten monedas con la finalidad de obtener divisores o incluso se continúa utilizando moneda de períodos anteriores que continúa manteniendo toda su validez.

Las imitaciones locales de moneda de Claudio I:

La inactividad de la ceca senatorial de Roma durante buena parte del reinado de Claudio I, provoca que aumente el problema de la escasez de moneda ya patente en estos momentos. Como respuesta se acuñan bronces imitando los tipos de la ceca oficial de Roma, situación que se mantendrá hasta el reinado de Trajano. Son acuñaciones de tipo local, no clandestinas ya que son consentidas por el poder central. Por lo que habrá que hablar de imitaciones y no de falsificaciones en la mayoría de los casos (Campo, 1974).

El principal problema que plantean es el desconocimiento de la autoría de dichas acuñaciones. Se han planteado diferentes hipótesis que abarcan desde una acuñación por parte del ejército para el pago de tropas, como parece ocurrir en Britania; hasta la participación de particulares reconocidos por el propio emperador, quien no solo autoriza estas acuñaciones sino que las estimula, como ocurre en la Galia. En el caso de la Península no se da esta situación al no haber en estos momentos un ejército al que pagar, por otro lado presentan un estilo y una técnica de imitación superior a los ejemplares de la Galia y Britania, por lo que pueden responder a otras situaciones

Las denominaciones más imitadas están en proporción inversa a su valor, así el valor más imitado fue el as, alcanzando cotas cercanas al 90% de la producción. Entre los diseños de reverso más imitados destaca la representación de Minerva. Se diferencian por cuestiones tanto técnicas como de estilo. De entre las primeras indicar la forma del flan, la posición de los cuños o el relieve que presentan. De las segundas destacar aspectos relacionados con el diseño de la figura, la leyendas o la grafía de las mismas. Otros indicadores son la ausencia de las siglas P.P. (*Pater Patriae*) en las leyendas de anverso o tener un peso ligeramente menor.

Las contramarcas:

Bajo el proceso de contramarcado se encuadran diferentes situaciones ya que no siempre fue aplicado por la autoridad local, aunque este sea posiblemente el origen de una buena parte de ellas: principalmente las que reproducen de forma abreviada el nombre de la ciudad o hacen referencia a la autoridad emisora como el caso de la contramarca DD (*Decreto Decuriorum*) aplicada sobre monedas de Sagunto, destinada a revalidar un numerario ya puesto en circulación por los decuriones. En Hispania se efectuaron principalmente sobre moneda provincial y en un período de tiempo muy concreto que no parece sobrepasar el reinado de Claudio I.

Otras contramarcas se relacionan con ambientes militares. Tradicionalmente se considera como contramarca legionaria la cabeza de águila, que tiene su mayor concentración sobre monedas acuñadas en cuatro talleres del Alto Ebro: Turiaso, Cascatum, Calagrurris y Gracurris y con un área de dispersión muy concentrada en la zona del Noroeste peninsular, en estrecha relación con los campamentos romanos allí instalados y con la composición del circulante de la zona.

La partición monedas:

Se considera que la partición de moneda viene a producirse en dos momentos concretos, el primero de ellos hacia el 20 a.C., en el que con la partición de bronces con peso superior a 19 grs. se obtienen ases de 10/11 grs. asimilables a los ases de la reforma augustea. El segundo momento se hallaría entorno al año 30 d.C., con la clara intención de obtener semis a partir de los ases semiunciales de Augusto. El primer momento corresponde a una reforma de tipo metrológico por lo que es un hecho generalizado, mientras que el segundo parece responder a una necesidad de moneda fraccionaria por lo que tiene un carácter más local. Indicar que las procedencia de las monedas partidas coincide con el numerario circulante característico de la zona.

En los último años se viene vinculando la partición de monedas a ambientes militarizados, observándose una correlación entre los hallazgos de moneda partida y los de moneda contramarcada con la cabeza de águila (Blázquez, 1995). En todo caso, tanto si se trata de ambientes militarizados como si son ambientes estrictamente urbanos la finalidad última continúa siendo la misma y es la obtención de divisores para las pequeñas transacciones cotidianas ante la falta de moneda imperial de estas denominaciones.

Las perduraciones de moneda o circulación residual:

Pero quizás la circunstancia más interesante, como respuesta a la falta de moneda, sea el como se sigue utilizando moneda de períodos anteriores que se mantiene en circulación con toda su validez. Esta situación definida como circulación residual, muchas veces intuita, sólo ha sido posible valorarla en toda su extensión a partir del conocimiento exacto de los contextos estratigráficos en los que aparece la moneda, a partir de las excavaciones sistemáticas. Las perduraciones del numerario introduce un nuevo elemento a tener en cuenta a la hora de definir los contextos, ya que las dataciones aportadas pueden diferir sustancialmente si se toma como única referencia la fecha de emisión de la moneda. Así vemos como nunca se debe desligar la moneda del resto de materiales para ofrecer una valoración de conjunto incluyendo todas las

variables. Este planteamiento supone asumir que estas monedas que perduran se encuentran en uso en el momento de su amortización.

CAMPAÑA	U.E.	DESCRIPCIÓN	MONEDAS	CRONOLOGÍA
2 CAN	1262	Relleno amortización calzada s. I d.C.	- Adriano. As. (117 – 138 d.C.)	s. II d.C.
2 CAN	1334	Óbolo.	- Arse/Sagunto. Quadrans (133 - 120 a.C.)	s. II a.C.
2 CAN	1355	Ofrenda	- Arse/Sagunto. As (109 – 108 a.C.)	s. II a.C.
3 CAN	1455	Óbolo	- Frustra. As	ff. s II a.C.
4 CAN	2000	Relleno amortización de la calzada	- 2 DIVO CLAUDIO (post. 270 d.C.) .- Calagurris. Augusto. As. (27 a.C.-14 d.C.)	s. III d.C.
4 CAN	2001	Calzada	- Jano Bifronte (195 – 146 a.C.?). .- Calígula. As. (37 – 38 d.C.) .- Frustra.	s. I d.C.
4 CAN	2002	Relleno	- Narbo. Octaviano. As. (40 a.C.) .- Domitiano? As. (92 – 94 d.C.)	s. I d.C.
4 CAN	2004	Relleno fosa islámica.	- Domitiano?. As. .- Frustra. As	Islámico.
4 CAN	2006	Calzada.	- 2 Frustras. Ases	s. I d.C.
4 CAN	2017	Relleno	- Calígula. As. (37 – 41 d.C.)	s. I d.C.
4 CAN	2021	Relleno arcilloso rojizo	- Frustra. As.	Romano
4 CAN	2023	Relleno fosa islámica	- Frustra. As	Islámico
4 CAN	2025	Reparación de calzada	- Faustina I. As.	s. II d.C.
4 CAN	2035	Relleno islámico.	- Frustra. As .- Antonio Pio. As. (148 – 149 d.C.)	Islámico
4 CAN	2036	Relleno islámico.	- Vespasiano. As. (74 d.C.)	Islámico
4 CAN	2051	Relleno de nivelación.	- 3 Frustras. As. .- Marco Aurelio?. As .- Domitiano ?. As. .- Jano Bifronte? As. .- Narbo. Octaviano. As (40 a.C.) .- Sagunto. Tiberio. As. (14 – 37 d.C.) .- Turiaso. Tiberio. As. (14 – 37 d.C.) .- Nerón. As. (64 – 65) d. C.) .- Vespasiano. As. (72 – 79 d.C.)	s. I – II d.C.
4 CAN	2057	Relleno	- Frustra.	s. I a.C.
4 CAN	2065	Relleno preparación calzada.	- Arse/Sagunto. As. (85-83 a.C.)	s. I d.C.
4 CAN	2081	Relleno interior ánfora.	- Frustra. As.	s. I d.C.
4 CAN	2084	2º nivel de utilización de un <i>ustrinum</i>	- Arse/Sagunto. As. (130- Augusto)	s. I. a.C.
4 CAN	2168	Relleno medieval.	- Adriano. As. (119 – 135 d.C.) .- Frustra. As	Medieval
4 CAN	2173	Relleno inhumación.	- Antonio Pio. (141 – 161 d.C.)	s. III d.C.
4 CAN	2192	Óbolo	- Antonio Pio. (145 – 161 d.C.)	s. II d.C.
4 CAN	2241	Relleno inhumación	- Antonio Pio. (141 – 161 d.C.)	s. II d.C.
4 CAN	2314	Óbolo.	- Frustra. As.	s. II. d.C.
4 CAN	2337	Relleno incineración	- Domiciano?	s. II d.C.
4 CAN	2345	Relleno incineración.	- Tiberio? .- Claudio I. (41- 50 d.C.)	s. II d.C.
4 CAN	2374	Relleno inhumación.	- Vespasiano. (78 – 79 d.C.) .- Frustra. As.	s. I d.C.
4 CAN	2347	Relleno incineración.	- Antonio Pio. (138- 161 d.C.)	s. II d.C.
4 CAN	2456	Relleno <i>ustrinum</i>	- Celsa. Tiberio. 14 – 37 d. C.	s. I d.C.
4 CAN	2470	Relleno incineración.	- Vitelio. (69 d. C.)	s. I d.C.
4 CAN	2329	Relleno bassurero	- Domitiano. (92 – 94 d. C.)	s. I d.C.
4 CAN	--	--	--	--
4 CAN	2065	Relleno de arena	- Frustra. As.	Romano
4 CAN	2041	Relleno zanja cimentación	- Frustra. As.	s. XX d.C.
5 CAN	3021	Reparación de calzada	- Tiberio. As. (14 – 37 d.C.)	s. I d.C.
5 CAN	3071	Incineración	- Arse/Sagunto. Quadrans (133- 120 a.C.)	s. II a.C.
5 CAN	3223	Relleno nivelación = 2051	- Frustra. As.	s. I – II d.C.
5 CAN	3234	Óbolo	- Frustra. As.	s. II – III d.C.

Esta situación se observa como una constante en los conjuntos monetarios recuperados en diferentes yacimientos peninsulares como los anteriormente mencionados de Ampurias, (Campo y Ruiz De Arbulo, 1989) y Baetulo (Gurt y Padrós, 1993), o Llíria (Lledó, 2001).

Dejando a un lado las monedas recuperadas en los niveles islámicos y bajo-medievales, cuya inclusión en estos niveles responde a alteraciones de los estratos inferiores, en el resto se pueden observar ejemplos de perduraciones. Destaca la recuperación en contextos del s. I d.C. de antiguos broncees del s. II a.C. acompañados siempre de moneda coetánea a la formación del mismo. De la misma forma la presencia de acuñaciones del s. I d.C. en niveles del s. II d.C. ilustraría los problemas de abastecimiento anteriormente mencionados.

LA NECRÓPOLIS

El total de monedas recuperadas que se relacionan con este contexto asciende a 17, de las cuales diez pertenecen a inhumaciones, seis a incineraciones y una a un *ad enchytrismos* o enterramiento en ánfora. A estas habría que añadir las recuperadas en los *ustrina* y en un depósito votivo del s. II a.C.

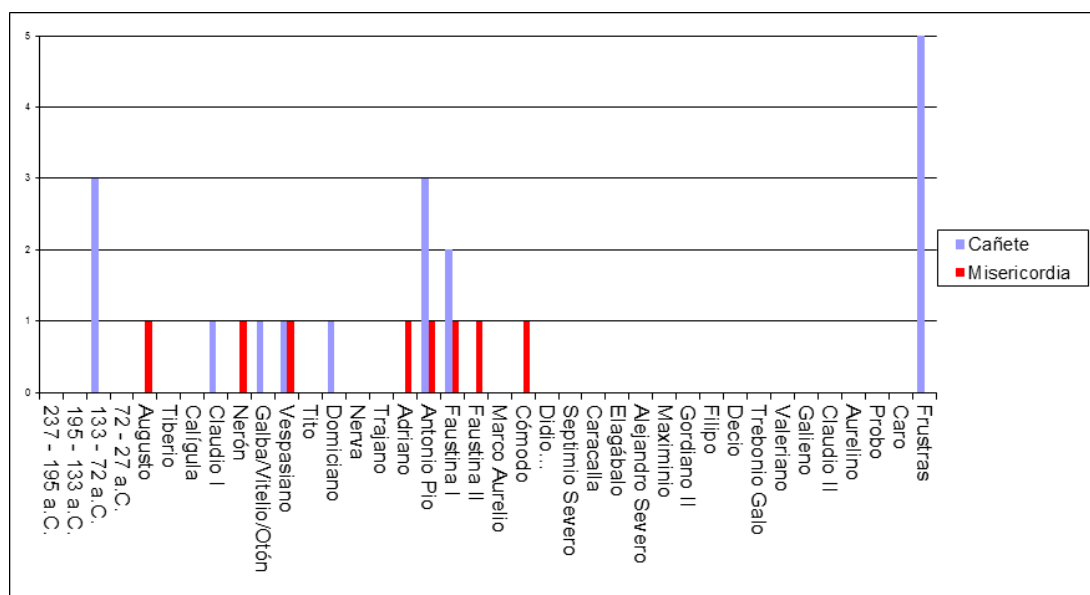


Fig. 2 Composición de la masa monetaria de la necrópolis

Se observan dos momentos en la necrópolis, el primero de ellos a lo largo del s. II a.C. en el que las monedas recuperadas corresponden todas a la ceca de Arse/Sagunto, predominando los divisores sobre la unidad. Destaca la ausencia de ejemplares de la propia ceca de *Valentia* ya que en estos momentos se encuentra activa. Se considera que deja producir con la destrucción de Pompeyo en el 75 a.C. (Ripollés, 1988)

El segundo momento arranca en el s. I d.C. extendiéndose hasta el reinado de Cómodo, momento en el que desaparece la costumbre de depositar ofrendas en el interior de las tumbas. Las monedas recuperadas este segundo momento tanto en las incineraciones

como en las inhumaciones hay que relacionarlas con la costumbre de depositar un “óbolo”, bien en la boca del difunto, bien junto al esqueleto como pago al barquero Caronte. Esta costumbre, de tradición helenística, se introduce en Roma bajo el reinado de Augusto y se encuentra vinculado a las clases sociales más bajas. Pocas dudas ofrecen las monedas recuperadas en la boca de los esqueletos o en las incineraciones a la hora de relacionarlas con esta tradición. Más dificultades, en cambio, ofrecen las monedas halladas en los rellenos de amortización de las fosas de inhumación. En estos casos se observa una constante como son las evidencias de descomposición en vacío de estos esqueletos, circunstancia esta que pudo provocar la caída de la moneda de la boca al desarticularse la mandíbula. En todo caso esta circunstancia nos hace plantearnos dudas sobre la definición y su posterior excavación de estos rellenos.

Resumiendo las características presentadas por las monedas recuperadas en los enterramientos nos encontramos con que la denominación más usada es el as, excepto en época republicana donde predominan los divisores. La fecha de amortización se encuentra muy próxima a la de emisión, generalmente no más de cincuenta años entre ambas. Evidentemente son monedas que están en circulación pero que no están muy desgastadas, en las que los diseños todavía son reconocibles.

En este punto hay que plantearse si existen diferencias entre los ejemplares recuperados en un contexto funerario y los recuperados en otro tipo de ambientes. Establecer si la fuerte componente simbólica del ambiente funerario influye en la elección de una moneda u otra, puesto que las deposiciones de moneda en los enterramientos responde a un acto completamente consciente. En este sentido la casi exclusividad del as como denominación usada y la ausencia de divisores así podría indicarlo durante la etapa imperial.

EL ESTRATO 2051

Corresponde a un relleno antrópico que cubre una depresión natural del terreno en el sector Sur de la excavación y que puede ser relacionada con uno de los brazos antiguos del río Turia. Este relleno permite la instalación de sucesivos niveles de enterramientos con una cronología Alto Imperial, distinguiéndose dos momentos diferentes en su formación. Durante su excavación se recuperaron un total de 12 monedas que ofrecen una instantánea del circulante del momento al carecer del componente simbólico presente en los ejemplares recuperados en las tumbas.

El análisis de las monedas recuperadas en este estrato permite corroborar su formación a principios del s. I d.C. Sin embargo su distribución dificulta el poder definir los dos momentos en su formación tal y como fueron establecidos. Las acuñaciones de Tiberio,

con un grado de desgaste mínimo, podrían estar indicando la cronología de la primera deposición de tierras para nivelar la depresión. La ausencia de monedas, tanto de Calígula como de Claudio I, mostraría el primer momento de utilización del estrato que se prolongaría por todo el s. I. d.C. La segunda fase de formación habría que situarla a lo largo de la dinastía flavia.

La visión que se nos ofrece del circulante poco varía respecto a lo comentado para las monedas recuperadas en la necrópolis, ya que la denominación que predomina es el as. Destaca poderosamente la ausencia tanto de divisores como de denominaciones superiores, circunstancia que podría indicar la falta de suministro por parte de la ceca de Roma.

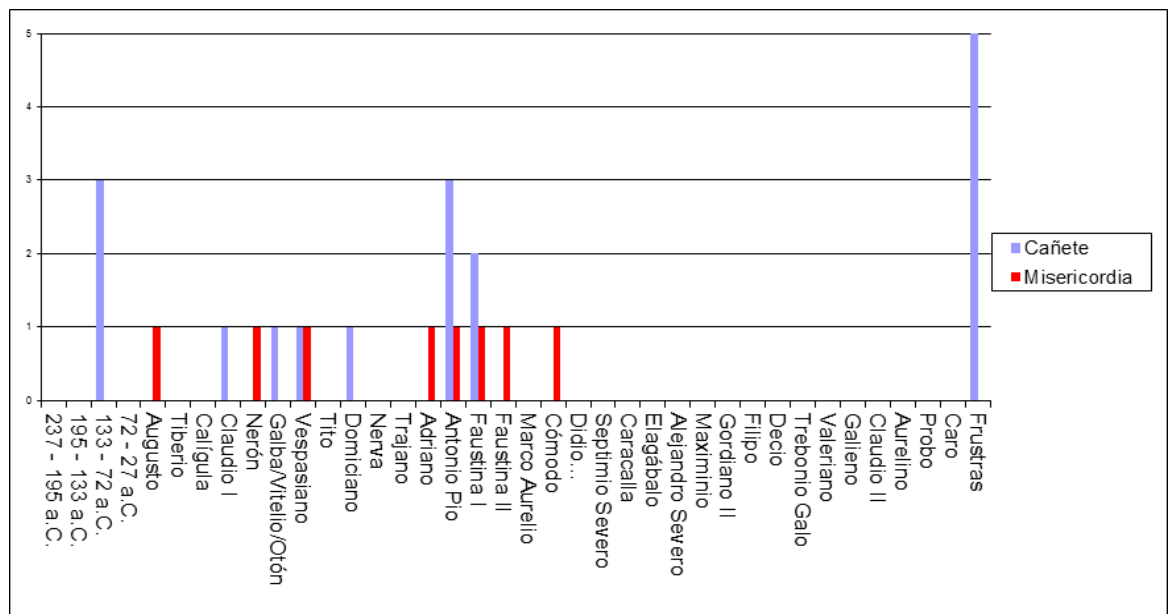


Fig. 3: Composición monetaria del estrato 2051

CONCLUSIONES

El conjunto de monedas recuperado en las excavaciones de la necrópolis occidental de la *Valentia* romana permite realizar toda una serie de valoraciones sobre aspectos tanto numismáticos como históricos. El conocimiento de los contextos de pérdida de las mismas es un elemento de capital importancia para poder realzarlas. Desde el punto de vista numismático comprobamos una vez más el peso de las perduraciones, como respuesta a los problemas de abastecimiento dentro de la masa monetaria de época imperial especialmente, sin desmarcarse del cuadro general de la circulación monetaria. Desde el punto de vista histórico permite aproximarse al uso de la moneda en un

contexto funerario en el que no sólo nos indica cuestiones relacionadas con el ritual, óbolos para el pago a Caronte, deposiciones votivas en los *ustrina*, sino que nos puede servir para establecer períodos de actividad-inactividad de la necrópolis. Sólo nos queda una duda y es la total ausencia de moneda de la propia ciudad de *Valentia*, moneda que si aparece en los contextos urbanos.

BIBLIOGRAFÍA:

ABASCAL PALAZÓN, J.M. (1995): *Hallazgos arqueológicos y circulación monetaria. Disfunciones metodológicas en el estudio de la Hispania romana*. Actas del IX Congreso Nacional de Numismática. Elche.

ALBEROLA, A / ABASCAL, J.M. (1998): *Moneda antigua y vida económica en las comarcas del Vinalopó*. Estudis Numismàtics Valencians, 9. Valencia.

ALBIACH, R / SORIANO, R. (1996): *El cementerio romano de Orriols*. Saitabi, 46. Revista de la Facultad de Geografía e Historia. Valencia.

ALMAGRO BASCH, M. (1955): *Las necrópolis de Ampurias*. Vol. I – II. Barcelona.

ALMAGRO GORBEA, M.J. (1962); *Nuevas tumbas halladas en las necrópolis de Ampurias* Ampurias, 24.

ARROYO, R et alii (1986): *Aproximación a la circulación monetaria de las comarcas interiores de la provincia de Valencia*. Saguntum,22. Papeles del Laboratorio de Arqueología. Valencia.

BELÉN, M (1983): *Aportaciones al conocimiento de los rituales funerarios en la necrópolis romana de Carmona*. Homenaje al Prof. Martín Almagro Basch III. Madrid.

BELÉN, M et alii (1986): *Rituales funerarios a la necrópolis romana de Carmona (Sevilla)*. Revista Cota Zero, 2.

BENDALA GALÁN, M (1976): *La necrópolis romana de Carmona (Sevilla)*.

BLÁZQUEZ CERRATO, C. (1995): *Consideraciones sobre los hallazgos de monedas partidas en la Península Ibérica*. La moneda Hispánica, Ciudad y Territorio. (Actas del I Encuentro Peninsular de Numismática Antigua. Madrid 1994). Anejos del Archivo Español de Arqueología, XIV.

CAMPO, M. (1974): *Los problemas de imitación de Claudio I en Hispania*. Acta Numismática, IV.

CAMPO, M / RUIZ DE ARBULO, J (1989): *Conjuntos de abandono y circulación monetaria en la Neápolis emporitana*. Empuries XLVIII – L, Tomo I. Barcelona, 1986 – 1989.

GOZALBES, M. (1996): *Las monedas de la necrópolis de la Av. Constitución*, 260. Saitabi, 46. Revista de la Facultad de Geografía e Historia. Valencia.

GOZALBES, M. (1997): *Los hallazgos numismáticos de una necrópolis de Valentia (c/. Virgen de la Misericordia)*. Anales de Arqueología Cordobesa, 8.

GUERÍN y cols. (1998): *Los primeros pobladores de Valentia. Excavaciones en la necrópolis romana de la Calle Quart*. Revista de Arqueología, 204. Madrid.

GURT, J. / PADRÓS, P. (1993): *Significació de les monedes dins el context arqueològic. L'exemple de Baetulo*. Homenatge a Miquel Tarradell.

LÓPEZ, I et alii. (1994): *Hallazgos arqueológicos en el Palau de les Corts*. Corts Valencianes. Valencia.

LLEDÓ CARDONA, N. (2001): *Los hallazgos monetarios de Liria (Valencia)*. Saguntum, 33. Papeles del Laboratorio de Arqueología de Valencia. Valencia.

QUESADA SANZ, F. (1990): *Muerte Y ritual funerario en la Grecia antigua: una introducción a los aspectos arqueológicos*. Fons Mel.laria, Seminario de Arqueología de la Muerte. Metodología y perspectivas actuales. Córdoba.

RIBERA, A. (1998): *La Fundación de Valencia*. Institución Alfons el Magnànim. Valencia.

RIBERA, A. (2000): *El influjo ibérico en la ciudad romana de Valentia*. Empúries, 52.

RIPOLLÉS ALEGRE, P.P. (1982): *La circulación monetaria en la tarraconense mediterránea*. Serie de Trabajos Varios del SIP, 77. Valencia.

RIPOLLÉS ALEGRE, P.P. (1988): *La ceca de Valentia*. Estudis Numismàtics Valencians, 2. Valencia.

RIPOLLÉS ALEGRE, P.P. (1994): *Circulación monetaria en Hispania durante el período republicano y el inicio de la dinastía Julio – Claudia*. VIII Congreso Nacional de Numismática (Avilés, 1992). Madrid.

RIPOLLÉS, P.P. / ABASCAL, J.M. (1996): *Las monedas de la ciudad romana de Segóbriga (Saelices, Cuenca)*. Asociación Numismática Española, Museo Casa de la Moneda. Madrid – Barcelona.

ROSELLÓ, M / RUIZ, E. (1996): *La necrópolis occidental de la Valencia romana*. Saitabi, 46. Revista de la Facultad de Geografía e Historia. Valencia.

TED'A.(1987): *Els enterraments del Parc de la Ciutat i la problemática funeraria de Tarraco*. Memòries d'excavació, 1. Tarragona.

VOLLMER TORRUBIANO, A / LÓPEZ BORGONÓZ, A. (1993): *Nuevas consideraciones sobre las variaciones en el ritual funerario romano (ss. I – III d. C.)*. Actas del XXII Congreso Nacional de Arqueología. Vigo

